

ORIGINAL RESEARCH

Histone Deacetylase 6 Inhibitor JS28 Prevents Pathological Gene Expression in Cardiac Myocytes

Vivien Ngo , PhD; Bernd K. Fleischmann , MD; Manfred Jung , PhD; Lutz Hein , MD*
Achim Lothar , MD*

BACKGROUND: Epigenetic modulators have been proposed as promising new drug targets to treat adverse remodeling in heart failure. Here, we evaluated the potential of 4 epigenetic drugs, including the recently developed histone deacetylase 6 (HDAC6) inhibitor JS28, to prevent endothelin-1 induced pathological gene expression in cardiac myocytes and analyzed the chromatin binding profile of the respective inhibitor targets.

METHODS AND RESULTS: Cardiac myocytes were differentiated and puromycin-selected from mouse embryonic stem cells and treated with endothelin-1 to induce pathological gene expression (938 differentially expressed genes, $q < 0.05$). Dysregulation of gene expression was at least in part prevented by epigenetic inhibitors, including the pan-BRD (bromodomain-containing protein) inhibitor bromosporine (290/938 genes), the BET (bromodomain and extraterminal) inhibitor JQ1 (288/938), the broad-spectrum HDAC inhibitor suberoylanilide hydroxamic acid (227/938), and the HDAC6 inhibitor JS28 (210/938). Although the 4 compounds were similarly effective toward pathological gene expression, JS28 demonstrated the least adverse effects on physiological gene expression. Genome-wide chromatin binding profiles revealed that HDAC6 binding sites were preferentially associated with promoters of genes involved in RNA processing. In contrast, BRD4 binding was associated with genes involved in core cardiac myocyte functions, for example, myocyte contractility, and showed enrichment at enhancers and intronic regions. These distinct chromatin binding profiles of HDAC6 and BRD4 might explain the different effects of their inhibitors on pathological versus physiological gene expression.

CONCLUSIONS: In summary, we demonstrated, that the HDAC6 inhibitor JS28 effectively prevented the adverse effects of endothelin-1 on gene expression with minor impact on physiological gene expression in cardiac myocytes. Selective HDAC6 inhibition by JS28 appears to be a promising strategy for future evaluation in vivo and potential translation into clinical application.

Key Words: bromodomain-containing protein ■ cardiac myocyte ■ epigenetics ■ heart ■ heart failure ■ histone deacetylase

In chronic heart failure, impaired cardiac function leads to increased neurohormonal activity. While this serves as a compensatory mechanism to maintain blood pressure and organ perfusion in the short term, sustained activation accelerates deleterious cardiac remodeling, including cardiomyocyte (CM) hypertrophy and fibrosis. Accordingly, many established pharmacotherapies for chronic heart failure aim to mitigate

disease progression by inhibiting neurohormonal activity.^{1,2} Emerging evidence suggests that epigenetic regulation of pathological gene expression plays an important role as mediator of organ damage, thus representing a potential therapeutic target.^{2,3}

Many genes that modulate the progression of cardiac remodeling have been identified, and there is growing knowledge about the transcriptional and

Correspondence to: Achim Lothar, MD, Institute of Experimental and Clinical Pharmacology and Toxicology, University of Freiburg, Albertstr. 25, 79104 Freiburg, Germany. Email: achim.lothar@uniklinik-freiburg.de

*L. Hein and A. Lothar contributed equally.

Supplemental Material is available at <https://www.ahajournals.org/doi/suppl/10.1161/JAHA.122.025857>

For Sources of Funding and Disclosures, see page 12.

© 2022 The Authors. Published on behalf of the American Heart Association, Inc., by Wiley. This is an open access article under the terms of the [Creative Commons Attribution-NonCommercial-NoDerivs](https://creativecommons.org/licenses/by-nc-nd/4.0/) License, which permits use and distribution in any medium, provided the original work is properly cited, the use is non-commercial and no modifications or adaptations are made.

JAHA is available at: www.ahajournals.org/journal/jaha

CLINICAL PERSPECTIVE

What Is New?

- The pan-BRD (bromodomain-containing protein) inhibitor bromosporine, the BET (bromodomain and extraterminal) inhibitor JQ1, the broad-spectrum histone deacetylase (HDAC) inhibitor suberoylanilide hydroxamic acid, and the HDAC6 inhibitor JS28 were able to attenuate pathological gene expression in cardiac myocytes.
- The HDAC6 inhibitor JS28 showed the most desirable profile as it effectively restored gene expression with minor impact on physiological gene expression.
- Chromatin immunoprecipitation enabled genome-wide profiling of HDAC6 and BRD4 binding in cardiac myocytes.

What Are the Clinical Implications?

- Pharmacological inhibition of HDAC6 by JS28 may be an effective strategy to prevent progressive organ injury in heart failure.

Nonstandard Abbreviations and Acronyms

BRD	bromodomain-containing protein
ES-CM	embryonic stem cell-derived cardiac myocyte
ET-1	endothelin-1
HDAC	histone deacetylase

epigenetic mechanisms controlling their expression. In particular, reversible histone acetylation, affecting chromatin state and gene expression, is known to play a regulatory role in pathological gene expression of heart failure.⁴ Histone acetyltransferases and histone deacetylases (HDACs) antagonistically control the acetylation levels at histone tails by transferring or removing acetyl groups, respectively, to lysine residues.⁵ BRDs (bromodomain-containing proteins) function as reader proteins of acetylated histone tails, translating the acetylation signals into downstream signaling cascades.⁵ In addition, histone acetyltransferases and HDACs may acetylate and deacetylate numerous non-histone proteins in both the nucleus and cytoplasm, thereby affecting multiple cellular functions.^{6,7} Inhibitors of HDAC activity have been shown to have beneficial effects in preclinical models of heart failure.⁸⁻¹⁰ The epigenetic reader protein BRD4 takes a pivotal role as transcriptional coactivator of pathological gene expression that drives CM hypertrophy and heart failure progression.^{11,12} The importance of BRD4 in the context of

heart failure has been demonstrated in experimental studies, primarily using the BET (bromodomain and extraterminal) inhibitor JQ1.¹¹⁻¹⁴ Treatment with JQ1 prevented stress-induced gene expression and CM hypertrophy in primary culture models and in mouse models of heart failure. JQ1-treated mice showed improved cardiac function and attenuation of cardiac histopathological features of heart failure.¹¹⁻¹³

Subsequently, small molecule compounds targeting BRD4 or HDACs but also numerous other epigenetic modulators have been developed.¹⁵ In a screening experiment the recently developed HDAC6 inhibitor JS28 (previously compound 4g¹⁶) showed promise to prevent adverse gene expression in CM. Here, we systematically assess the impact of JS28 on physiological and ET-1 induced gene expression in CM in comparison to other epigenetic drugs.

METHODS

Detailed information on RNA-seq, chromatin immunoprecipitation (ChIP)-seq, and assay for transposase-accessible chromatin (ATAC)-seq experiments is listed in Table S5. Raw data are available at the National Center for Biotechnology Information Sequence Read Archive (BioProject ID [PRJNA788870](https://www.ncbi.nlm.nih.gov/bioproject/PRJNA788870)).

Cell Culture

Male transgenic mouse embryonic stem cell (ESC) line D3/ α PIG44 expressing puromycin resistance and enhanced green fluorescent protein cassettes under control of the cardiac myocyte-specific α MHC (alpha myosin heavy chain) promoter were generated as previously described.^{17,18} ESC were maintained on mouse embryonic fibroblasts that were mitotically inactivated with mitomycin C, in Dulbecco's modified Eagle's medium (Gibco, #11960-085) supplemented with 15% (v/v) fetal bovine serum (Gibco, #10270-106), 2 mmol/L L-glutamine (Gibco), 100 U/ μ g per mL penicillin/streptomycin (Gibco), 1x [non-essential amino acids](#) (Gibco) and 100 μ mol/L β -mercaptoethanol and 1000 U/mL LIF (leukemia inhibitory factor; ESGRO, Merck Millipore). Cells were passaged regularly every second day.

ESC Differentiation

ESCs were differentiated by mass culture method to obtain cardiac myocytes.¹⁹ Therefore, 10⁶ ESCs were suspended in differentiation medium (day 0), consisting of IMDM (Gibco, #21980065) supplemented with 20% (v/v) fetal bovine serum, 2 mmol/L L-glutamine (Gibco), 100 U/ μ g per mL penicillin/streptomycin (Gibco), 1x [nonessential amino acids](#) (Gibco), and 100 μ mol/L β -mercaptoethanol. Cell suspension was cultured in a sterile 10 cm bacterial petri dish on a horizontal shaker (GFL 3006, Greiner) at 75 rpm. After 2 days

of incubation formed embryoid bodies (EBs) were diluted to 2000 EBs per petri dish and further cultured in differentiation medium. Medium was changed every 2 to 3 days. After detection of first GFP+ (green fluorescent protein transgenic) clusters followed by spontaneous beating inside EBs, 9 µg/mL puromycin was added on days 9 to 11 of differentiation for a total of 3 days. Following 3 days of puromycin selection, embryonic stem cell-derived cardiac myocytes (ES-CM) were dissociated enzymatically from EB with 0.25% trypsin–EDTA. Resulting ES-CM were seeded in puromycin-supplemented differentiation medium supplemented on fibronectin-coated plates or dishes for further experiments (Figure S1A). All experiments were conducted in accordance with institutional guidelines.

Immunofluorescence Staining

For immunocytochemical staining, 5×10^4 ES-CM were seeded after EB dissociation on fibronectin-coated glass coverslips in 24-well plate. Cells were rinsed with PBS and fixed with 4% paraformaldehyde for 15 minutes. After a 3-fold washing step with PBST (0.1% Tween20 in PBS) cells were permeabilized with 0.2% Triton X-100 in PBS for 20 minutes. Blocking of unspecific bindings was performed with 5% bovine serum albumin in PBST for 2 hours, followed by staining with primary antibody against α -actinin (1:500, A7811, Sigma) in blocking buffer overnight at 4 °C. Cells were washed before incubation with secondary antibody AlexaFluor488 (1:500; A-11029, Invitrogen) in PBST at room temperature for 1 hour in the dark. Subsequently, DNA was stained with 4',6-diamidino-2-phenylindole (DAPI, 50 ng/mL in PBS). Samples were washed 3 times with PBS and mounted. Confocal fluorescence microscopy was performed using an inverted Axiovert 200M microscope (Carl Zeiss, Jena, Germany) with a CSU-X1 spinning-disk (Yokogawa, Tokyo, Japan) equipped with an emission filter wheel and solid-state laser lines (405, 488, and 561 nm). Image processing was performed using the ImageJ software.

Stimulation Experiment

ES-CM were deprived of fetal bovine serum for 24 hours by changing medium to starvation medium consisting of M199 (SigmaAldrich, #M7528) supplemented with 0.1% fetal bovine serum, 2 mmol/L L-glutamine (Gibco) and 100 U/µg per mL penicillin/streptomycin (Gibco). The following day, the medium was changed again, supplemented with 100 nmol/L endothelin-1 (ET-1), and incubated for additional 24 hours before RNA extraction. For inhibitor testing, ES-CM were preincubated with epigenetic inhibitors (final concentrations, see Table S1) starting 6 hours before ET-1 was added. Final dimethyl sulfoxide concentration was 0.5% in all experimental groups including controls. For stimulation

experiments, ES-CM were distributed to culture wells, randomly assigned to treatment groups, and treatments independently administered to each well, with *n* values representing the number of wells. ES-CM differentiation and stimulation were replicated in 2 independent experiments with at least 1 well per treatment group per experiment.

Gene Expression Analysis

Total RNA was isolated from cultured ES-CM using Quick-RNA Microprep (Zymo Research) and quantified by NanoDrop (Thermo Fisher). The isolated RNA was transcribed into cDNA using QuantiTect Reverse Transcription Kit (Qiagen) according to the manufacturer's protocol and SYBR green reverse transcription quantitative polymerase chain reaction (PCR) was performed with custom primers (Table S2). Ribosomal protein S29 (*Rps29*) was used as reference gene.

RNA-Sequencing

For RNA sequencing of ES-CM, an amplified cDNA library was prepared from 10 ng of isolated RNA using the Ovation SoLo RNA-Seq Library Preparation Kit (NuGEN) according to the manufacturer's instructions. Before amplification, the number of amplification cycles for each sample was determined individually via reverse transcription PCR. Agencourt AMPure XP Beads (Beckman Coulter) were used for purification and size selection. DNA concentration was determined using the Qubit dsDNA HS (High Sensitivity) Assay (Life Technologies). The distribution of DNA fragment sizes was determined using the High Sensitivity DNA Kit in the 2100 Bioanalyzer (Agilent). Sequencing of all samples was performed on either the HiSeq 3000 or NextSeq 500 sequencers (75 base pair [bp] paired end, Illumina) at the Max Planck Institute for Immunobiology and Epigenetics in Freiburg, Germany, or the EMBL genomics core facility, Heidelberg, Germany.

ChIP-Sequencing

To perform ChIP of histone modifications, chromatin was isolated from 1 to 2×10^6 ES-CM using the ChIP-IT High Sensitivity Kit from Active Motif according to the manufacturer's instructions. Cell fixation was performed with 1% formaldehyde for 10 minutes and cell lysis was carried out using Bioruptor (Diagenode) with 7 to 9 cycles (30 seconds on/30 seconds off, high intensity). Chromatin shearing was performed with the same settings in the Bioruptor for 3×10 cycles. For each ChIP experiment, 0.2 to 1 µg chromatin (measured as DNA) was used.

To perform ChIP from HDAC6, BRD4, and RNA polymerase II, chromatin was isolated from 1 to 4×10^6 ES-CM using the iDeal ChIP-seq kit for Transcription

Factors from Diagenode according to the manufacturer's instructions. Cells were fixed with 1% formaldehyde for 10 minutes. Chromatin was sheared using Bioruptor (Diagenode) for 3×10 cycles (30 seconds on/30 seconds off, high intensity). For each ChIP experiment, 1.5 to 30 µg chromatin (measured as DNA) was used. Immunocomplexes were purified using either protein A- or protein G-coated magnetic beads, depending on the antibody. All antibodies are listed in Table S3. Library preparation was performed using the NEBNext Ultra DNA Library Prep Lot (NEB) according to the manufacturer's manual. Purification of the amplified cDNA library was performed using Agencourt AMPure XP beads (Beckman Coulter). Quantification and sequencing of the final DNA library was performed as described before.

ATAC-Sequencing

Following the protocol of Buenrostro et al,²⁰ 50 000 ESCM were lysed and processed. Tagmented and amplified DNA were purified using the MinElute Reaction Cleanup Kit from Qiagen according to the manufacturer's instructions and eluted in 10 µL EB-buffer (Qiagen). Size selection of libraries was performed using PAGE. The samples were loaded onto a polyacrylamide gel (6%) and run in TBE buffer (89 mmol/L Tris HCl, 89 mmol/L boric acid, 2 mmol/L Na₂EDTA, pH 8.0). Subsequent DNA staining was performed with SYBR Gold Nucleic Acid Stain (Invitrogen, 1:10 000 in TBE buffer) for ≈10 minutes in the dark. Under UV light, the DNA was visualized and bands in the range of 100 to 800 bp were excised. For each 100 mg of gel, 100 µL of diffusion buffer (1 mmol/L Na₂EDTA, 10 mmol/L Mg(CH₃COO)₂, 0.5 mol/L CH₃COONH₄, 0.1% SDS) was added and incubated overnight at 37 °C and 500 rpm. Remaining gel fragments were removed via a 30 µm strainer (CellTrics) and the resulting eluate was purified with the MinElute Kit (Qiagen) according to the manufacturer's manual. Quantification and sequencing of the final DNA library was performed as described before.

Bioinformatic Analysis

Sequencing data were analyzed using the tools integrated in the Galaxy platform.²¹ For RNA-seq data, low quality reads and adapters were removed from sequenced reads using Trim Galore!²² Reads were mapped to the mouse reference genome mm9 using RNA STAR²³ and annotated with genes.²⁴ PCR duplicates were removed from the mapped reads using RmDup²⁵ and their number was subsequently quantified using htseq-count.²⁶ DESeq2²⁷ was used to determine differentially regulated genes between 2 samples with $q < 0.05$ after correction for multiple testing considered statistically significant (Table S4). Functional

enrichment analysis of genes (gene ontology: biological process) was performed using the Database for Annotation, Visualization and Integrated Discovery with $P < 0.05$ considered statistically significant.²⁸

Similar to the RNA-Seq data sets, Trim Galore!²² was applied to the data sets from ChIP- and ATAC-Seq. assignment of reads to the mouse genome mm9 was done with bowtie2 under default settings.²⁹ PCR duplicates were also removed using RmDup.²⁵ Subsequently, the MACS2 tool³⁰ was used to identify all enriched regions (peaks) of an ATAC or ChIP experiment, such as regions of higher accessibility or regions with enriched histone modifications and transcription factors.

The assignment of peaks from ChIP and ATAC experiments to nearby gene was performed using the Genomic Regions Enrichment of Annotations Tool.³¹ For the analysis of enriched transcription factor binding motifs within specific regions, Hypergeometric Optimization of Motif Enrichment³² was used with default settings.

Visualization of Data Sets

Further processing and visualization of sequencing data sets was done mainly with deeptools.³³ For genome-wide visualization and normalization to reads per kilobase per million mapped bamcoverage was run. The bigwig files obtained were visualized in the Integrative Genomic Viewer program.³⁴ Heat maps for the representation of log₂-transformed RNA-seq data were created using R software³⁵ using the lattice package.³⁶ The UpSetR Shiny App³⁷ was used to visualize intersecting data sets. To calculate an enriched distribution of values for specific genomic regions from ChIP-seq data, computeMatrix was used. These values were then visualized using plotHeatmap or plotProfile.

Statistical Analysis

Statistical data analysis was performed using GraphPad Prism (version 9.0.2 for Windows, San Diego, CA). According to the data, the *t* test for independent samples and single factor analysis of variance followed by Dunnett's T3 multiple comparison test were applied assuming normal distribution. For data sets without evidence of a normal distribution, the Mann-Whitney *U* test or the Kruskal-Wallis test followed by Dunn's multiple comparison were performed. All values are presented as mean±SEM.

RESULTS

In Vitro Differentiation of ESC-Derived CMs

CMs were differentiated from mouse ESCs, which contained a puromycin resistance cassette and

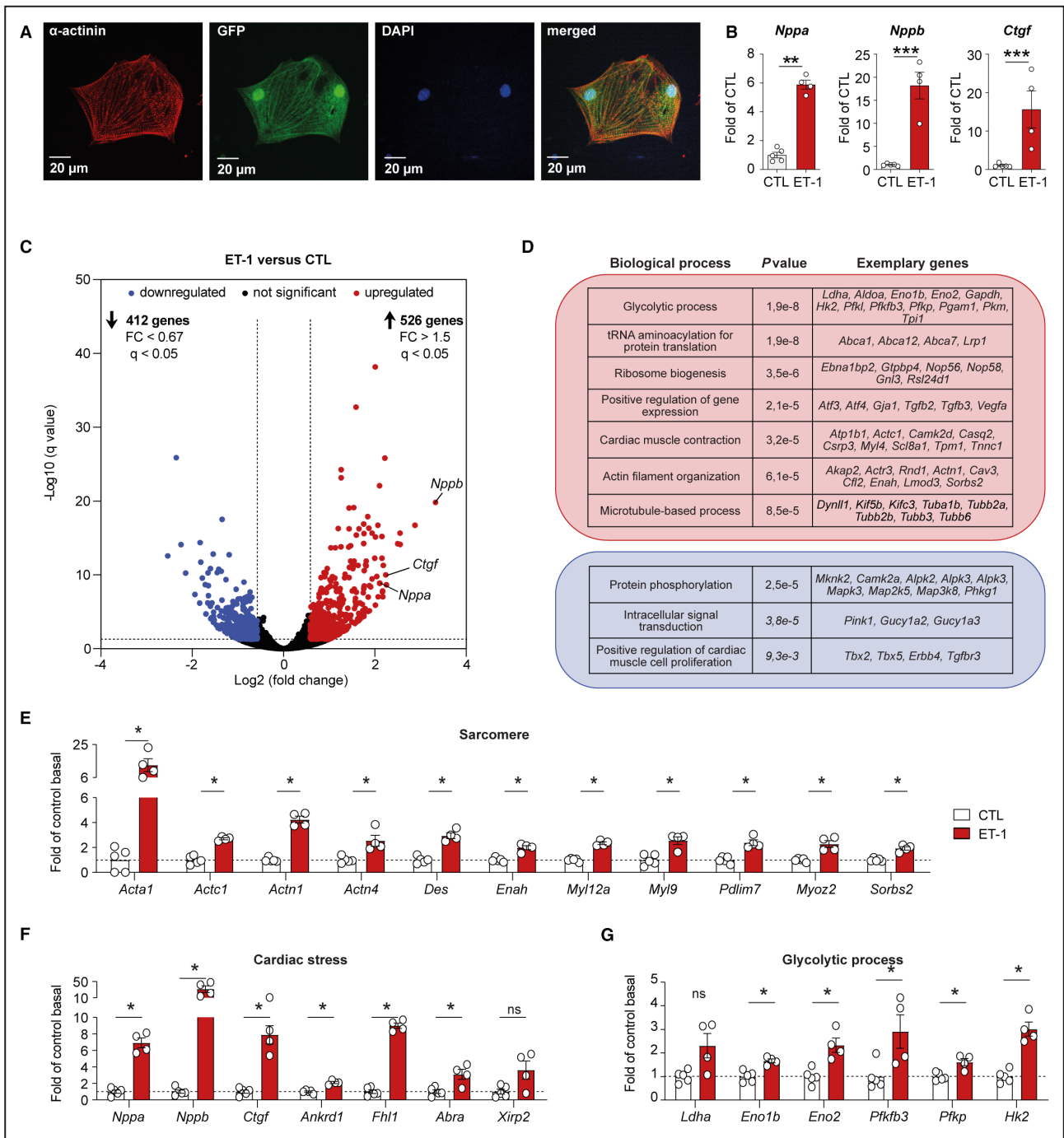


Figure 1. Pathological gene expression induced by endothelin-1 in embryonic stem cell-derived cardiac myocytes.

A, Representative immunofluorescence staining of cardiac α -actinin (1:500, red) in GFP (green fluorescent protein)-positive embryonic stem cell-derived cardiac myocytes (ES-CM, green). Nuclei are counterstained with DAPI (1:1000, blue). **B**, Gene expression of natriuretic peptide precursor A (*Nppa*) and B (*Nppb*) or connective tissue growth factor (*Ctgf*) in control (CTL) ES-CM and in ES-CM treated with endothelin-1 (ET-1, 100 nmol/L) were determined by quantitative reverse transcription polymerase chain reaction (n=4–8 per group, mean \pm SEM, Student *t* test, ***P*<0.01, ****P*<0.001). **C**, Volcano plot showing RNA-seq data of significantly upregulated (red) and downregulated genes (blue) in ES-CM treated with ET-1 compared with control (CTL) ES-CM (n=4–5, normalized counts >1, fold change >1.5 or <0.67, *q*<0.05). **D**, Gene ontology analysis using the Database for Annotation, Visualization and Integrated Discovery for significantly upregulated genes (red box) and downregulated genes (blue box) that are shown in **(C)**. **E** through **G**, Gene expression of differentially regulated genes associated with sarcomere, cardiac stress, or glycolytic process in control and ET-1 treated ES-CM as derived from RNA-seq (n=4–5 per group, mean \pm SEM, **q*<0.05).

eGFP (enhanced GFP) under control of the murine cardiac myocyte-specific α -MHC (*Myh6*) promoter¹⁷ (Figure 1A, Figure S1A). After 3 weeks of culture and selection with puromycin, ES-CM showed the typical CM sarcomere structure (Figure 1A) and stable expression of adult isoforms of troponin I (*Tnni3*) and β -MHC 6 (*Myh6*) (Figure S1B).

Induction of Pathological Gene Expression in ES-CM In Vitro

To induce pathological gene expression in vitro, differentiated ES-CM were treated with ET-1 (Figure 1B). ET-1 induced the expression of typical cardiac stress marker genes (*Nppa*, *Nppb*, *Ctgf*) as determined by reverse transcription quantitative PCR (Figure 1B). In order to get in-depth insights into the transcriptional changes induced by ET-1 in ES-CM, we performed RNA-seq (Figure 1C through 1H). After ET-1 stimulation, we observed an upregulation of 526 genes ($q < 0.05$, 1.5-fold up) and downregulation of 412 genes ($q < 0.05$, 1.5-fold down) (Figure 1D, Table S4). Gene ontology analysis revealed a strong signature of sarcomeric genes, cardiac stress-associated genes, and metabolism-related genes among the genes differentially regulated by ET-1 (Figure 1D through 1G). Similar to in vivo observations that have shown a metabolic shift from fatty acid oxidation to increased glucose use,³⁸ ET-1 induced upregulation of genes involved in glycolytic processes (Figure 1E and 1G). Thus, genome-wide gene expression patterns of ES-CM in response to ET-1 resembled the pathological gene program of heart failure.

Epigenetic Inhibitors Attenuate the Pathological Gene Expression Program

To evaluate the potential of epigenetic inhibitors to prevent pathological, ET-1 induced gene expression, we compared the effect of the HDAC6 inhibitor JS28¹⁶ to a the broad-spectrum HDAC inhibitor suberoylanilide hydroxamic acid (SAHA; vorinostat),³⁹ the BRD inhibitor bromosporine,⁴⁰ and the BET inhibitor JQ1.¹¹⁻¹³ Epigenetic inhibitors were able to prevent differential expression of 22% to 31% of genes responsive to ET-1 (JS28 210/938 genes, SAHA 227/938 genes, bromosporine 290/938 genes, JQ1 288/938 genes; Table S4). Gene ontology analysis revealed

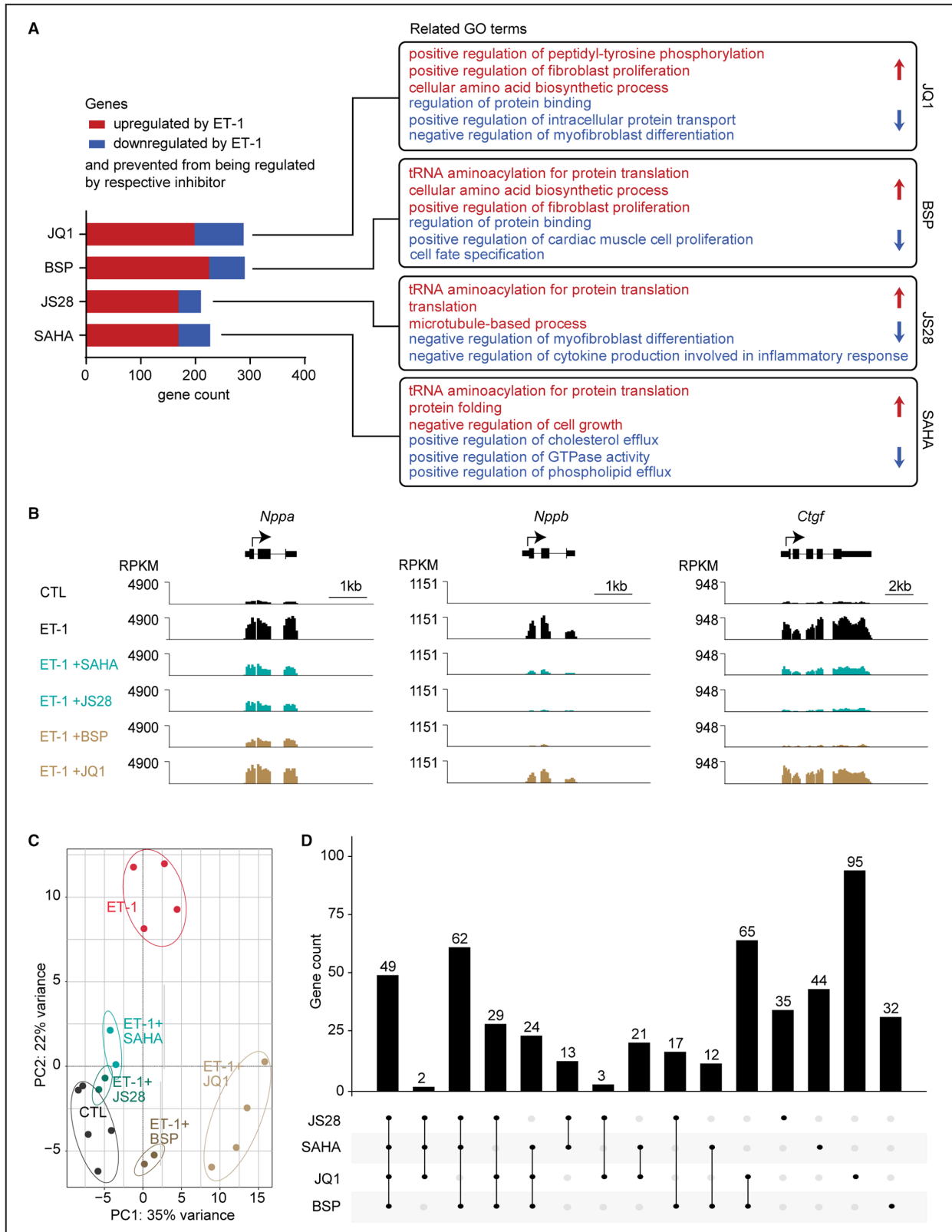
overlapping impact of bromosporine, JS28, and SAHA on processes related to protein translation (Figure 2A). Both JS28 and JQ1 prevented the dysregulation of genes related to myofibroblast differentiation and for JS28 we observed additional effects on inflammatory processes (Figure 2A). All epigenetic inhibitors tested modulated the upregulation of typical heart failure marker genes *Nppa*, *Nppb*, and *Ctgf*, although to different extent (Figure 2B). Principal component analysis revealed differential effects of the epigenetic inhibitors on ET-1-induced gene expression, and in particular, the effects of JQ1 appeared to be markedly different from those of the others (Figure 2C). In line with this, the 4 inhibitors affected only a small overlap of genes (49/938 genes, Figure 2D).

Genome-Wide Distribution of Inhibitor Targets HDAC6 and BRD4

To gain deeper insights into the underlying molecular mechanisms of the selected inhibitors, we assessed chromatin binding of 2 inhibitor targets, namely HDAC6 and BRD4, to promoter and enhancer regions in ES-CM. We performed ChIP-seq of HDAC6 and BRD4, as well as of epigenetic marks that define promoter (H3K27ac, H3K9ac, H3K4me1, H3K4me3, RNA Polymerase II) and enhancer (H3K27ac, H3K4me1) signatures from naïve ES-CM and assessed chromatin accessibility by ATAC-seq (Figures 3 and 4). Peak calling identified a total of 1740 HDAC6 peaks compared with 30906 BRD4 peaks (Figures 3 and 4). Characterization of the HDAC6 peaks by annotation with specific genomic features (Figure 3A) revealed that 56% of the genome-wide peaks were located at promoters (985 peaks) and <20% each in intergenic (328 peaks) or intronic regions (315 peaks), respectively (Figure 3B). Consistent with this, the majority of peaks were located 0 to 5 kb away from the transcription start site of the single nearest gene (Figure 3C). Interestingly, annotation of genes associated with the HDAC6 peaks showed an enrichment mainly for RNA-associated processes, organelle organization, and protein transport (Figure 3D). Transcription factor binding motif analysis revealed a striking enrichment for the motif CACGTG (G-box) (Figure 3E), a specific DNA sequence that is typically recognized and bound by general transcription factors to initiate and regulate

Figure 2. Epigenetic inhibitors prevent part of the pathological gene program.

A, Gene ontology (GO) analysis of up- (red) or downregulated (blue) genes in embryonic stem cell-derived cardiac myocytes (ES-CM) by endothelin-1 (ET-1, normalized counts >1, 1.5-fold down-/upregulated, $q < 0.05$, $n = 2-5$) that were prevented from being regulated by treatment with the indicated inhibitors. **B**, Representative traces showing the impact of epigenetic inhibitors on natriurectic peptide precursor A (*Nppa*) and B (*Nppb*) or connective tissue growth factor (*Ctgf*) gene expression. **C**, Principal component (PC) analysis plot from DESeq2 visualizing similarities and differences among samples from control ES-CM, from ES-CM treated with ET-1 alone and ES-CM treated with indicated inhibitors in presence of ET-1. **D**, Summarizing the number of genes that were prevented from being regulated by the respective inhibitor and the overlap between different compounds. BSP indicates bromosporine; CTL, control; RPKM, reads per kilobase per million mapped; and SAHA, suberoylanilide hydroxamic acid.



gene transcription,^{41,42} and SP1 (Figure 3E), known for its binding to guanine-cytosine-rich DNA sequences that occur in many promoters.⁴³

Compared with HDAC6, a far different genome-wide pattern was found for BRD4 (Figure 4). BRD4 peaks at promoter regions and intergenic plus intronic regions

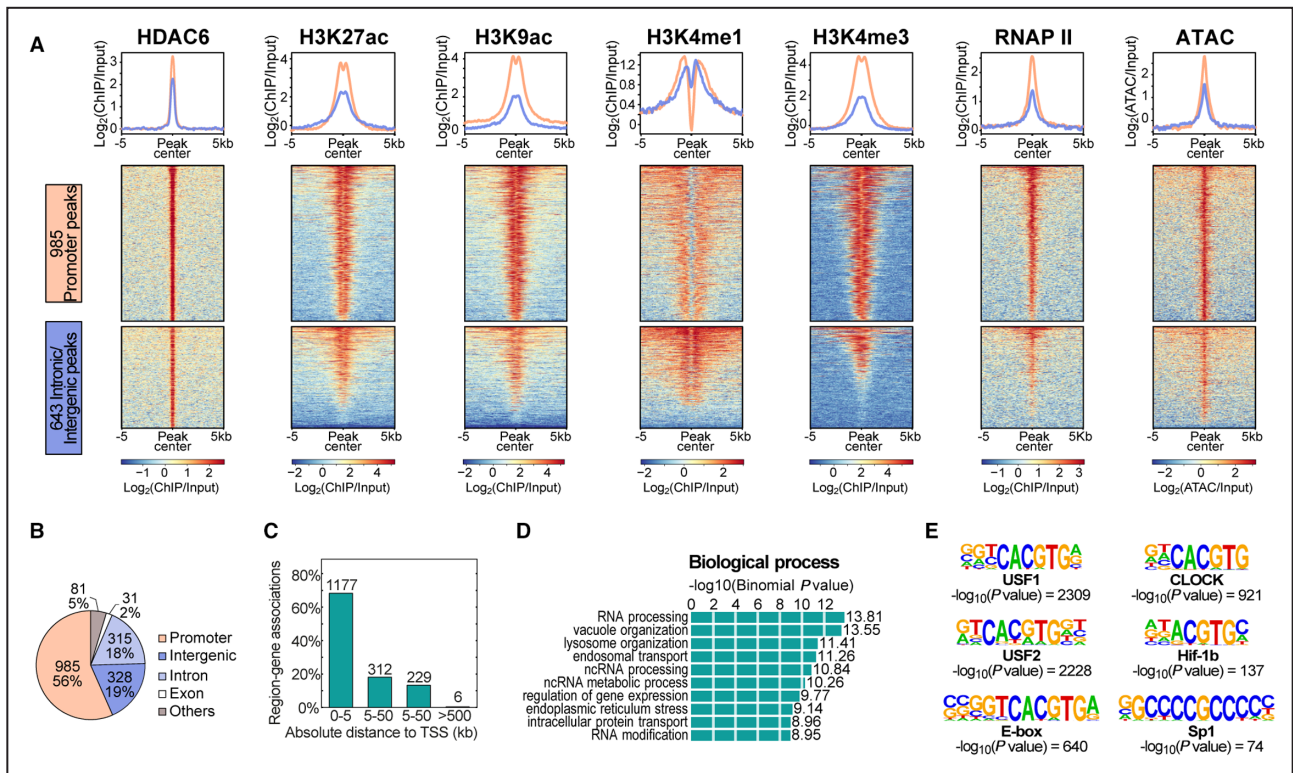


Figure 3. Genomic distribution of the JS28 inhibitor target HDAC6.

A, Heatmaps illustrating all histone deacetylase 6 (HDAC6) peaks at the promoter (pink) and at intronic/intergenic regions (blue) and their association with histone modifications, RNAP II (RNA polymerase II), and chromatin accessibility as derived from ATAC. **B**, Genome-wide localization of all 1740 HDAC6 peaks and **(C)** the distribution of all HDAC6 peaks in distance to the transcription start site (TSS) of the nearest gene in kilobases (kb). **D**, Gene ontology analysis of genes associated with HDAC6 peaks. **E**, Significantly enriched transcription factor binding motifs within HDAC6 peaks. ATAC indicates assay for transposase-accessible chromatin.

were characterized by distinct promoter- and enhancer-specific histone, RNAP II (RNA polymerase II), and ATAC signatures, respectively (Figure 4A). BRD4 peaks were not only localized at the promoter (6604 peaks) but also a substantial number in intergenic (9560 peaks) and intronic regions (12065 peaks) (Figure 4B). BRD4 peaks were distributed both close to and distant from the transcription start site (Figure 4C). Biological processes associated with these genes revealed a pronounced enrichment for heart-related processes such as striated muscle cell differentiation and development, myofibril assembly, and cardiac contraction (Figure 4D). This finding was confirmed by motif enrichment for typical transcription factors that play an essential role in regulating cardiac development and gene regulation in context of stress response (Figure 4E). For instance, motifs for GATA4, GATA6, and members of the AP-1 (activator protein-1) transcription factor family were overrepresented (Figure 4E).

Effects of Epigenetic Inhibitors on Physiological Gene Expression in ES-CM

We hypothesized that epigenetic compounds, in addition to their inhibitory effects on ET-1 signaling,

may have undesired effects on basal gene expression (Figure 5). To address this question, ES-CM were treated with selected candidate compounds (SAHA, JS28, bromosporine, JQ1) in absence of ET-1. RNA-seq data revealed that SAHA and JQ1 induced strong but distinct changes in physiological gene expression (Figure 5A and 5B), with 770 genes differentially expressed by SAHA and 1347 genes by JQ1, respectively (Figure 5A and 5B). Notably, genes affected by SAHA were associated with chromatin modification, histone acetylation, and in general coregulatory factors involved in the control of gene transcription (Figure 5C). In contrast, JQ1-mediated BET inhibition affected genes involved in typical cardiac myocyte functions such as muscle contraction, fatty acid oxidation, or ATP metabolism (Figure 5C). In contrast, selective inhibition of HDAC6 by JS28 attenuated ET-1-induced gene expression with minimal effects on baseline gene expression, with 12 genes differentially expressed (Figure 5A and 5B). Interestingly, the broad-spectrum BRD inhibitor bromosporine with 106 up- or downregulated genes also showed only a moderate impairment of the gene expression profile in ES-CM (Figure 5A and 5B).

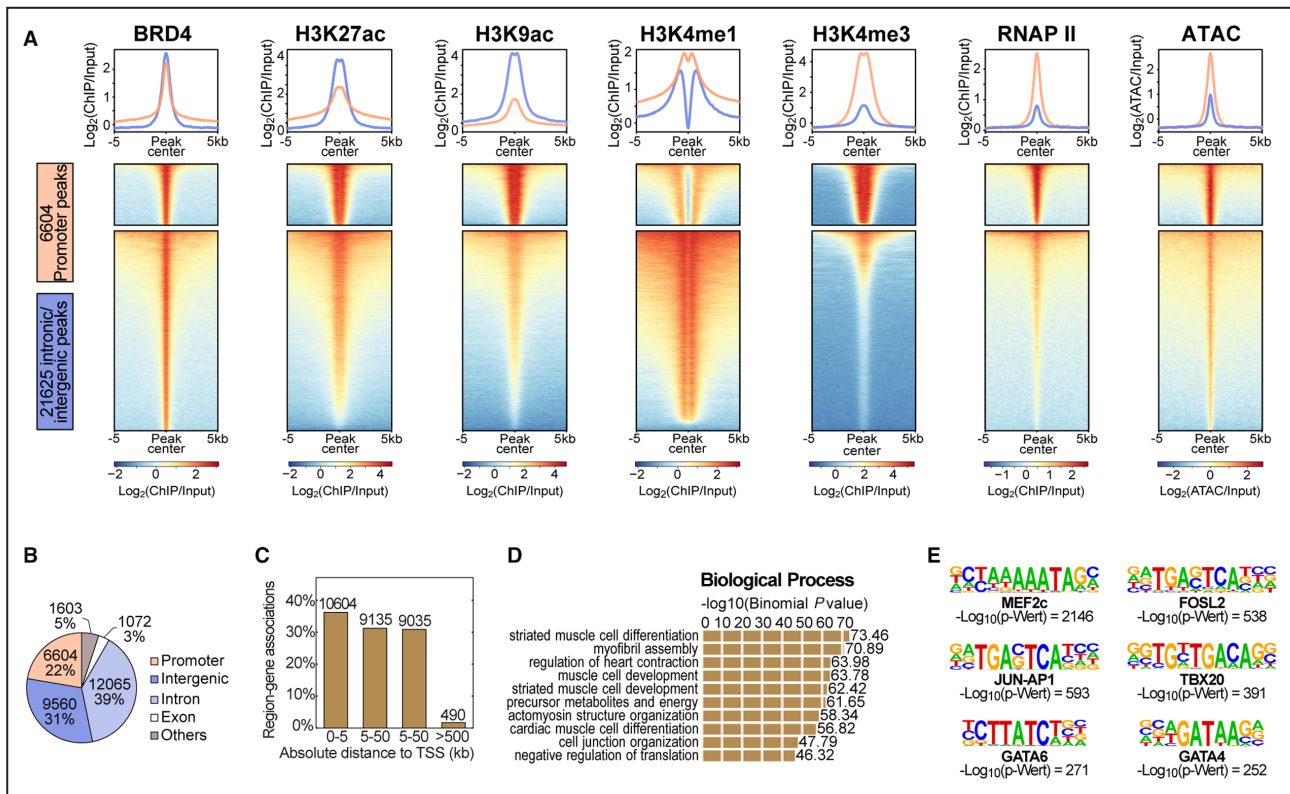


Figure 4. Genomic distribution of the JQ1 inhibitor target BRD4.

A, Heatmaps illustrating all BRD4 (bromodomain-containing protein 4) peaks at the promoter (pink) and at intronic/intergenic regions (blue) and their association with histone modifications, RNAP II (RNA polymerase II), and chromatin accessibility as derived from ATAC. **B**, Genome-wide localization of all 30906 BRD4 peaks and **(C)** the distribution of all BRD4 peaks in distance to the transcription start site of the nearest gene in kilobases (kb). **D**, Gene ontology analysis of genes associated with BRD4 peaks. **E**, Significantly enriched transcription factor binding motifs within BRD4 peaks. ATAC indicates assay for transposase-accessible chromatin.

To estimate the respective risk–benefit ratio for each compound we compared their potential to prevent ET-1 induced gene dysregulation (desired effect) to the number of genes altered by the inhibitor in absence of ET-1 (undesired effect, Figure 5D and 5E). This ratio identified the HDAC6-selective inhibitor JS28 as the most effective inhibitor to prevent pathological gene expression with minimal adverse effects in ES-CM in vitro. JS28 was followed by the pan-BRD inhibitor bromosporine, whereas the broad-spectrum HDAC-inhibitor SAHA and the BET-inhibitor JQ1 showed a less desirable profile.

DISCUSSION

Pathological gene expression is a key component of adverse tissue remodeling induced by circulating hormones in hypertension in heart failure. In this study, we evaluated the potential of epigenetic drugs to reverse the pathological gene expression response to ET-1 in vitro. As expected, exposure of ES-CM to ET-1 resulted in a pronounced dysregulation of well-known marker genes of heart failure such as *Nppa*, *Nppb*, or

Ctgf.^{44,45} In addition, we observed an upregulation of genes associated with microtubules or actin filaments, which have been reported to represent a compensatory response to contractile stress.^{46,47} Although established heart failure drugs indirectly influence gene expression via inhibition of upstream signaling pathways, epigenetic drugs have been suggested as a new therapeutic approach to directly restore aberrant gene expression.⁴⁸ We show here that the novel HDAC6 inhibitor JS28 effectively prevented pathological gene expression with minor impact on physiological gene expression.

Among the established HDAC inhibitors, SAHA is one of the best studied compounds and has demonstrated cardioprotective effects in several experimental models of heart failure.^{9,39,49,50} However, SAHA is a broad-spectrum inhibitor and as our data suggest, unselective inhibition of more than 1 HDAC could have deleterious effects. Accordingly, more recently isoform-specific inhibitors have been developed.^{51,52} There is emerging evidence for the role of HDAC6 in cardiovascular pathophysiology. HDAC6 catalytic activity is increased in several models of cardiac stress.^{53,54}

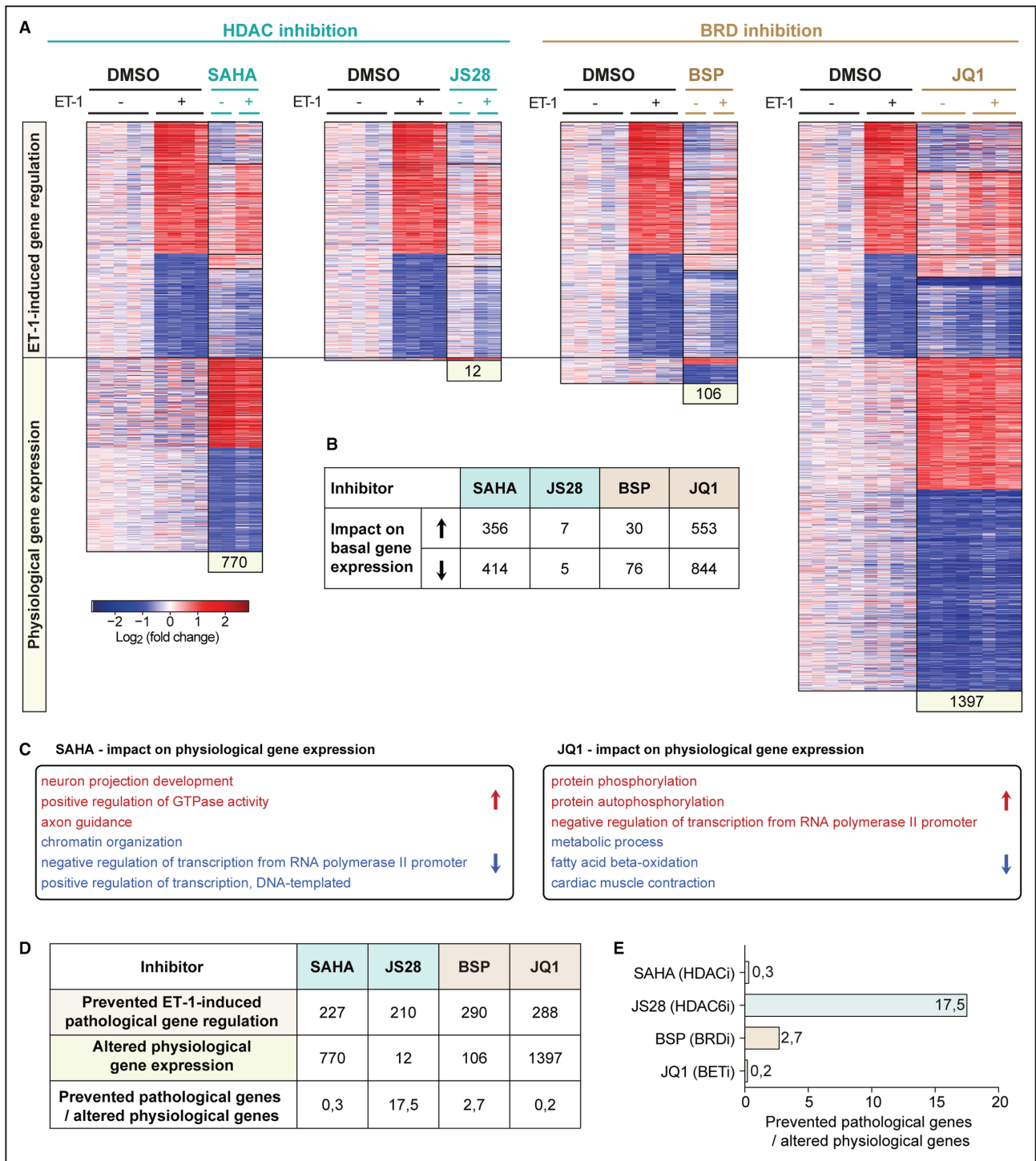


Figure 5. Impact of epigenetic inhibitors on physiological gene expression. **A**, Heat maps showing the effects of epigenetic inhibitors on genes differentially expressed after treatment with endothelin 1 (ET-1, upper panel) and on physiological gene expression (lower panel) (normalized counts >1, q<0.05, 1.5-fold up-/downregulated, n=2–5). **B**, Numbers of genes differentially up- or downregulated by the respective inhibitor in absence of ET-1. **C**, Gene ontology analysis of genes differentially regulated by SAHA (vorinostat) or JQ1 (normalized counts >1, 1.5x up-/downregulated, q<0.05). **D** and **E**, Numbers of genes regulated by ET-1 and prevented from being regulated by epigenetic inhibitors compared with the impact of epigenetic inhibitors on physiological gene expression, implicating desired vs undesired effects. BRD indicates bromodomain-containing protein; BSP, bromosporine; HDAC, histone deacetylase; and SAHA, suberoylanilide hydroxamic acid.

After angiotensin II infusion, chronic pressure overload, or doxorubicin treatment HDAC6-deficient mice and mice treated with the HDAC6-selective inhibitor tubastatin A showed improved cardiac function compared with control mice.^{55,56} Importantly, in this study the HDAC6-selective compound JS28 showed similar efficacy in abrogating pathological gene expression with minimum undesired effects when compared with the broad-spectrum inhibitor SAHA.

The BET inhibitor JQ1 had achieved significant therapeutic effects in various animal models of heart failure.¹¹⁻¹⁴ Here, we compared the effects of JS28 to JQ1 and bromosporine, another BET inhibitor that has not yet been tested in cardiovascular disease. Both compounds showed comparable efficacy to restore gene expression and a clear transcriptional overlap after ET-1 treatment. Compared with HDAC inhibitors, JQ1 and bromosporine seem to address a different pathological gene subset. Importantly, in particular JQ1 also had a strong negative impact on genes involved in cardiac contraction and energy metabolism in absence of ET-1. This has not yet been investigated but may have important implications for potential translation into clinical use, as it suggests that JQ1 may have potential cardiotoxic side effects that could become relevant with long-term use.

To gain further insight into the molecular mechanisms involved in the different response to BET and HDAC inhibitors, we assessed the chromatin binding profile of the inhibitor targets BRD4 and HDAC6 in ES-CM. BRD4-bound chromatin regions were associated with genes related to CM structure and metabolism and harbored binding sites for typical myocyte transcription factors such as mouse embryonic fibroblast or GATA. Indeed, BRD4 has previously been shown to play a central role in CM energetic homeostasis.^{57,58} On the one hand, this corresponds to the cardioprotective potential of the BET inhibitor JQ1, but it may also explain its undesired effects on cardiac myocyte gene expression. In contrast, HDAC6 binding sites were less frequent and mainly located at promoter regions. This is in line with the earlier finding that HDAC6 is recruited to active genes, interacting with RNAP II^{59,60} and may explain why JS28 attenuated active transcription but had less impact on basal cardiac gene expression.

In this project we focused on the impact of epigenetic inhibitors on gene expression. However, selective HDAC inhibition restored the expression of genes associated with microtubule-based processes in ET-1 treated ES-CM, which is of particular interest when considering the broad nongenomic actions of HDAC6. HDAC6-dependent deacetylation of nonhistone proteins regulates protein stability and degradation, enzymatic activity, or cytoskeleton organization.⁷ Microtubules, together with actin filaments, form the major components of the CM cytoskeleton.⁶¹ In the

heart, microtubules and microtubule-based transport assist in the organization and maintenance of key structures within the cardiac myocyte, including the sarcomere and protein clearance machinery.⁶¹ Tubulin acetylation improves its flexibility and resistance to mechanical stress, which could be beneficial for CM mechanics in heart failure.⁶¹ In fact, a previous study showed that pharmacological deacetylation of tubulin by nocodazole reversed the beneficial effect of HDAC6 deletion, indicating a causal relation between tubulin acetylation and heart function.⁵⁶ In addition, CM mechanics and the cytoskeleton influence nuclear organization,^{61,62} indicating that HDAC6 inhibition via nongenomic actions on tubulin could indirectly alter gene expression.

CONCLUSIONS

In summary, the HDAC6 inhibitor JS28 effectively restored pathological gene expression with minor impact on physiological gene expression *in vitro* and thus appears a promising candidate for future evaluation *in vivo*. Combining different epigenetic drugs has been proposed as a strategy for cancer therapy to reduce adverse effects.^{63,64} Preclinical studies indicate that BRD4 and HDAC inhibitors have good synergy at low dosages, perhaps avoiding the overlapping toxicities associated with these 2 drugs.⁶⁴ For example, concomitant use of the clinically used HDAC6i ricolinostat significantly increased the antimyeloma activity of JQ1 in a panel of multiple myeloma cell lines and primary CD138⁺ cells obtained from patients with multiple myeloma.⁶⁵ The synergy of this combination was also associated with a reduced expression of c-MYC and increased apoptosis.⁶⁵ As HDAC inhibitors and BRD inhibitors had distinct effects on cardiac myocyte gene expression, synergistic effects of the 2 inhibitors seem conceivable. Based on these results, further experiments with JS28 and bromosporine at different concentrations could be used to find combinations that allow enhancement of the desired effects with tolerable side effects.

ARTICLE INFORMATION

Received March 25, 2022; accepted May 23, 2022.

Affiliations

Institute of Experimental and Clinical Pharmacology and Toxicology, Faculty of Medicine, University of Freiburg, Germany (V.N., L.H., A.L.); Institute of Physiology I, Life & Brain Center, Medical Faculty, University of Bonn, Germany (B.K.F.); Institute of Pharmaceutical Sciences (M.J.); BIOS Centre for Biological Signaling Studies (L.H.) and Interdisciplinary Medical Intensive Care (IMIT), Medical Center – University of Freiburg, Faculty of Medicine, University of Freiburg Germany, (A.L.).

Acknowledgments

We thank the Freiburg Galaxy Team, Björn Grüning, Anika Exleben, and Rolf Backofen, Bioinformatics, University of Freiburg, Germany, funded

by the Deutsche Forschungsgemeinschaft (SFB 992 and SFB 1425, project S3) and German Federal Ministry of Education and Research (BMBF grant 031 A538A RBC [de.NBI]). We thank the European Molecular Biology Laboratory GeneCore (Heidelberg, Germany) and the Max Planck Institute of Immunobiology and Epigenetics Deep Sequencing Facility (Freiburg, Germany) for providing sequencing services.

Author contributions: All authors contributed to the study conception and design. Ngo performed experiments and analyzed the data. All authors interpreted the data. The article was written by Ngo, Lothar, and Hein. Fleischmann and Jung critically revised the draft. All authors read and approved the final article. Lothar and Hein contributed equally to this work.

Sources of Funding

Fleischmann, Hein, and Lothar are members of SFB 1425, funded by the Deutsche Forschungsgemeinschaft (DFG, German Research Foundation)—Project ID 422681845. Jung, Hein and Ngo were funded by the Deutsche Forschungsgemeinschaft—Project ID 192904750—SFB 992 Medical Epigenetics.

Disclosures

Lothar received fees for lectures and/or serving on advisory boards from Bayer and AstraZeneca not related to this work. The remaining authors have no disclosures to report.

Supplemental Material

Tables S1–S5

Figure S1

REFERENCES

- McDonagh TA, Metra M, Adamo M, Gardner RS, Baumbach A, Bohm M, Burri H, Butler J, Celutkiene J, Chioncel O, et al. 2021 ESC guidelines for the diagnosis and treatment of acute and chronic heart failure. *Eur Heart J*. 2021;42:3599–3726. doi: [10.1093/eurheartj/ehab368](https://doi.org/10.1093/eurheartj/ehab368)
- Lothar A, Hein L. Pharmacology of heart failure: from basic science to novel therapies. *Pharmacol Ther*. 2016;166:136–149. doi: [10.1016/j.pharmthera.2016.07.004](https://doi.org/10.1016/j.pharmthera.2016.07.004)
- Alexanian M, Padmanabhan A, McKinsey TA, Haldar SM. Epigenetic therapies in heart failure. *J Mol Cell Cardiol*. 2019;130:197–204. doi: [10.1016/j.yjmcc.2019.04.012](https://doi.org/10.1016/j.yjmcc.2019.04.012)
- Qin J, Guo N, Tong J, Wang Z. Function of histone methylation and acetylation modifiers in cardiac hypertrophy. *J Mol Cell Cardiol*. 2021;159:120–129. doi: [10.1016/j.yjmcc.2021.06.011](https://doi.org/10.1016/j.yjmcc.2021.06.011)
- Gillette TG, Hill JA. Readers, writers, and erasers: chromatin as the whiteboard of heart disease. *Circ Res*. 2015;116:1245–1253. doi: [10.1161/CIRCRESAHA.116.303630](https://doi.org/10.1161/CIRCRESAHA.116.303630)
- Choudhary C, Kumar C, Gnad F, Nielsen ML, Rehman M, Walther TC, Olsen JV, Mann M. Lysine acetylation targets protein complexes and co-regulates major cellular functions. *Science*. 2009;325:834–840. doi: [10.1126/science.1175371](https://doi.org/10.1126/science.1175371)
- Narita T, Weinert BT, Choudhary C. Functions and mechanisms of non-histone protein acetylation. *Nat Rev Mol Cell Biol*. 2019;20:156–174. doi: [10.1038/s41580-018-0081-3](https://doi.org/10.1038/s41580-018-0081-3)
- Travers JG, Wennersten SA, Pena B, Bagchi RA, Smith HE, Hirsch RA, Vanderlinden LA, Lin YH, Dobrinskikh E, Demos-Davies KM, et al. HDAC inhibition reverses preexisting diastolic dysfunction and blocks covert extracellular matrix remodeling. *Circulation*. 2021;143:1874–1890. doi: [10.1161/CIRCULATIONAHA.120.046462](https://doi.org/10.1161/CIRCULATIONAHA.120.046462)
- Wallner M, Eaton DM, Berretta RM, Liesinger L, Schittmayer M, Gindlhuber J, Wu J, Jeong MY, Lin YH, Borghetti G, et al. HDAC inhibition improves cardiopulmonary function in a feline model of diastolic dysfunction. *Sci Transl Med*. 2020;12:eaay7205. doi: [10.1126/scitranslmed.aay7205](https://doi.org/10.1126/scitranslmed.aay7205)
- Gallo P, Latronico MV, Grimaldi S, Borgia F, Todaro M, Jones P, Gallinari P, De Francesco R, Ciliberto G, Steinkuhler C, et al. Inhibition of class I histone deacetylase with an apicidin derivative prevents cardiac hypertrophy and failure. *Cardiovasc Res*. 2008;80:416–424. doi: [10.1093/cvr/cvn215](https://doi.org/10.1093/cvr/cvn215)
- Spiltoir JI, Stratton MS, Cavasin MA, Demos-Davies K, Reid BG, Qi J, Bradner JE, McKinsey TA. BET acetyl-lysine binding proteins control pathological cardiac hypertrophy. *J Mol Cell Cardiol*. 2013;63:175–179. doi: [10.1016/j.yjmcc.2013.07.017](https://doi.org/10.1016/j.yjmcc.2013.07.017)
- Anand P, Brown JD, Lin CY, Qi J, Zhang R, Artero PC, Alaiti MA, Bullard J, Alazem K, Margulies KB, et al. BET bromodomains mediate transcriptional pause release in heart failure. *Cell*. 2013;154:569–582. doi: [10.1016/j.cell.2013.07.013](https://doi.org/10.1016/j.cell.2013.07.013)
- Duan Q, McMahon S, Anand P, Shah H, Thomas S, Salunga HT, Huang Y, Zhang R, Sahadevan A, Lemieux ME, et al. BET bromodomain inhibition suppresses innate inflammatory and profibrotic transcriptional networks in heart failure. *Sci Transl Med*. 2017;9:eaah5084. doi: [10.1126/scitranslmed.aah5084](https://doi.org/10.1126/scitranslmed.aah5084)
- Stratton MS, Lin CY, Anand P, Tatman PD, Ferguson BS, Wickers ST, Ambardekar AV, Sucharov CC, Bradner JE, Haldar SM, et al. Signal-dependent recruitment of BRD4 to cardiomyocyte super-enhancers is suppressed by a microRNA. *Cell Rep*. 2016;16:1366–1378. doi: [10.1016/j.celrep.2016.06.074](https://doi.org/10.1016/j.celrep.2016.06.074)
- Cheng Y, He C, Wang M, Ma X, Mo F, Yang S, Han J, Wei X. Targeting epigenetic regulators for cancer therapy: mechanisms and advances in clinical trials. *Signal Transduct Target Ther*. 2019;4:62. doi: [10.1038/s41392-019-0095-0](https://doi.org/10.1038/s41392-019-0095-0)
- Senger J, Melesina J, Marek M, Romier C, Oehme I, Witt O, Sippl W, Jung M. Synthesis and biological investigation of oxazole hydroxamates as highly selective histone deacetylase 6 (HDAC6) inhibitors. *J Med Chem*. 2016;59:1545–1555. doi: [10.1021/acs.jmedchem.5b01493](https://doi.org/10.1021/acs.jmedchem.5b01493)
- Kolossov E, Bostani T, Roell W, Breitbach M, Pillekamp F, Nygren JM, Sasse P, Rubenchik O, Fries JW, Wenzel D, et al. Engraftment of engineered ES cell-derived cardiomyocytes but not BM cells restores contractile function to the infarcted myocardium. *J Exp Med*. 2006;203:2315–2327. doi: [10.1084/jem.20061469](https://doi.org/10.1084/jem.20061469)
- Doetschman TC, Eistetter H, Katz M, Schmidt W, Kemler R. The in vitro development of blastocyst-derived embryonic stem cell lines: formation of visceral yolk sac, blood islands and myocardium. *J Embryol Exp Morphol*. 1985;87:27–45.
- Fuegeman CJ, Samraj AK, Walsh S, Fleischmann BK, Jovinge S, Breitbach M. Differentiation of mouse embryonic stem cells into cardiomyocytes via the hanging-drop and mass culture methods. *Curr Protoc Stem Cell Biol*. 2010;Chapter 1:Unit 1F.11. doi: [10.1002/9780470151808.sc011f11s15](https://doi.org/10.1002/9780470151808.sc011f11s15)
- Buenrostro JD, Wu B, Chang HY, Greenleaf WJ. ATAC-seq: a method for assaying chromatin accessibility genome-wide. *Curr Protoc Mol Biol*. 2015;109:21.29.21–21.29.29. doi: [10.1002/0471142727.mb2129s109](https://doi.org/10.1002/0471142727.mb2129s109)
- Afgan E, Baker D, van den Beek M, Blankenberg D, Bouvier D, Cech M, Chilton J, Clements D, Coraor N, Eberhard C, et al. The galaxy platform for accessible, reproducible and collaborative biomedical analyses: 2016 update. *Nucleic Acids Res*. 2016;44:W3–W10. doi: [10.1093/nar/gkw343](https://doi.org/10.1093/nar/gkw343)
- Krueger F. Trim Galore! A wrapper tool around Cutadapt and FastQC to consistently apply quality and adapter trimming to FastQ files. 2015.
- Dobin A, Davis CA, Schlesinger F, Drenkow J, Zaleski C, Jha S, Batut P, Chaisson M, Gingeras TR. STAR: ultrafast universal RNA-seq aligner. *Bioinformatics*. 2013;29:15–21. doi: [10.1093/bioinformatics/bts635](https://doi.org/10.1093/bioinformatics/bts635)
- Karolchik D, Barber GP, Casper J, Clawson H, Cline MS, Diekhans M, Dreszer TR, Fujita PA, Gurusvadoo L, Haussler M, et al. The UCSC genome browser database: 2014 update. *Nucleic Acids Res*. 2014;42:D764–D770. doi: [10.1093/nar/gkt1168](https://doi.org/10.1093/nar/gkt1168)
- Li H, Handsaker B, Wysoker A, Fennell T, Ruan J, Homer N, Marth G, Abecasis G, Durbin R; Genome Project Data Processing S. The sequence alignment/map format and SAMtools. *Bioinformatics*. 2009;25:2078–2079. doi: [10.1093/bioinformatics/btp352](https://doi.org/10.1093/bioinformatics/btp352)
- Anders S, Pyl PT, Huber W. HTSeq—a Python framework to work with high-throughput sequencing data. *Bioinformatics*. 2015;31:166–169. doi: [10.1093/bioinformatics/btu638](https://doi.org/10.1093/bioinformatics/btu638)
- Love MI, Huber W, Anders S. Moderated estimation of fold change and dispersion for RNA-seq data with DESeq2. *Genome Biol*. 2014;15:550. doi: [10.1186/s13059-014-0550-8](https://doi.org/10.1186/s13059-014-0550-8)
- Dennis G Jr, Sherman BT, Hosack DA, Yang J, Gao W, Lane HC, Lempicki RA. DAVID: database for annotation, visualization, and integrated discovery. *Genome Biol*. 2003;4:P3
- Langmead B, Salzberg SL. Fast gapped-read alignment with Bowtie 2. *Nat Methods*. 2012;9:357–359. doi: [10.1038/nmeth.1923](https://doi.org/10.1038/nmeth.1923)
- Zhang Y, Liu T, Meyer CA, Eeckhoutte J, Johnson DS, Bernstein BE, Nusbaum C, Myers RM, Brown M, Li W, et al. Model-based analysis of ChIP-seq (MACS). *Genome Biol*. 2008;9:R137. doi: [10.1186/gb-2008-9-9-r137](https://doi.org/10.1186/gb-2008-9-9-r137)
- McLean CY, Bristor D, Hiller M, Clarke SL, Schaar BT, Lowe CB, Wenger AM, Bejerano G. GREAT improves functional interpretation of

- cis-regulatory regions. *Nat Biotechnol*. 2010;28:495–501. doi: [10.1038/nbt.1630](https://doi.org/10.1038/nbt.1630)
32. Heinz S, Benner C, Spann N, Bertolino E, Lin YC, Laslo P, Cheng JX, Murre C, Singh H, Glass CK. Simple combinations of lineage-determining transcription factors prime cis-regulatory elements required for macrophage and B cell identities. *Mol Cell*. 2010;38:576–589. doi: [10.1016/j.molcel.2010.05.004](https://doi.org/10.1016/j.molcel.2010.05.004)
 33. Ramirez F, Ryan DP, Gruning B, Bhardwaj V, Kilpert F, Richter AS, Heyne S, Dundar F, Manke T. deepTools2: a next generation web server for deep-sequencing data analysis. *Nucleic Acids Res*. 2016;44:W160–W165. doi: [10.1093/nar/gkw257](https://doi.org/10.1093/nar/gkw257)
 34. Robinson JT, Thorvaldsdottir H, Winckler W, Guttman M, Lander ES, Getz G, Mesirov JP. Integrative genomics viewer. *Nat Biotechnol*. 2011;29:24–26. doi: [10.1038/nbt.1754](https://doi.org/10.1038/nbt.1754)
 35. R Development Core Team. *R: A Language and Environment for Statistical Computing*. R Foundation for Statistical Computing; 2010
 36. Sarkar D. Lattice: multivariate data visualization with R. *Use R*. 2008:1–265. doi: [10.1007/978-0-387-75969-2](https://doi.org/10.1007/978-0-387-75969-2)
 37. Lex A, Gehlenborg N, Strobel H, Vuillemot R, Pfister H. UpSet: visualization of intersecting sets. *IEEE Trans Vis Comput Graph*. 2014;20:1983–1992. doi: [10.1109/TVCG.2014.2346248](https://doi.org/10.1109/TVCG.2014.2346248)
 38. Tran DH, Wang ZV. Glucose metabolism in cardiac hypertrophy and heart failure. *J Am Heart Assoc*. 2019;8:e012673. doi: [10.1161/JAHA.119.012673](https://doi.org/10.1161/JAHA.119.012673)
 39. Nagata S, Marunouchi T, Tanonaka K. Histone deacetylase inhibitor SAHA treatment prevents the development of heart failure after myocardial infarction via an induction of heat-shock proteins in rats. *Biol Pharm Bull*. 2019;42:453–461. doi: [10.1248/bpb.b18-00785](https://doi.org/10.1248/bpb.b18-00785)
 40. Picaud S, Leonards K, Lambert JP, Dovey O, Wells C, Fedorov O, Monteiro O, Fujisawa T, Wang CY, Lingard H, et al. Promiscuous targeting of bromodomains by bromosporine identifies BET proteins as master regulators of primary transcription response in leukemia. *Sci Adv*. 2016;2:e1600760. doi: [10.1126/sciadv.1600760](https://doi.org/10.1126/sciadv.1600760)
 41. Kawagoe Y, Campbell BR, Murai N. Synergism between CACGTG (G-box) and CACCTG cis-elements is required for activation of the bean seed storage protein beta-phaseolin gene. *Plant J*. 1994;5:885–890. doi: [10.1046/j.1365-313x.1994.5060885.x](https://doi.org/10.1046/j.1365-313x.1994.5060885.x)
 42. Liu L, Xu W, Hu X, Liu H, Lin Y. W-box and G-box elements play important roles in early senescence of rice flag leaf. *Sci Rep*. 2016;6:20881. doi: [10.1038/srep20881](https://doi.org/10.1038/srep20881)
 43. Briggs MR, Kadonaga JT, Bell SP, Tjian R. Purification and biochemical characterization of the promoter-specific transcription factor, Sp1. *Science*. 1986;234:47–52. doi: [10.1126/science.3529394](https://doi.org/10.1126/science.3529394)
 44. Dirkx E, da Costa Martins PA, De Windt LJ. Regulation of fetal gene expression in heart failure. *Biochim Biophys Acta*. 2013;1832:2414–2424. doi: [10.1016/j.bbadis.2013.07.023](https://doi.org/10.1016/j.bbadis.2013.07.023)
 45. Harada M, Itoh H, Nakagawa O, Ogawa Y, Miyamoto Y, Kuwahara K, Ogawa E, Igaki T, Yamashita J, Masuda I, et al. Significance of ventricular myocytes and nonmyocytes interaction during cardiocyte hypertrophy: evidence for endothelin-1 as a paracrine hypertrophic factor from cardiac nonmyocytes. *Circulation*. 1997;96:3737–3744. doi: [10.1161/01.cir.96.10.3737](https://doi.org/10.1161/01.cir.96.10.3737)
 46. Sequeira V, Nijenkamp LL, Regan JA, van der Velden J. The physiological role of cardiac cytoskeleton and its alterations in heart failure. *Biochim Biophys Acta*. 2014;1838:700–722. doi: [10.1016/j.bbamem.2013.07.011](https://doi.org/10.1016/j.bbamem.2013.07.011)
 47. Hein S, Kostin S, Helling A, Maeno Y, Schaper J. The role of the cytoskeleton in heart failure. *Cardiovasc Res*. 2000;45:273–278. doi: [10.1016/s0008-6363\(99\)00268-0](https://doi.org/10.1016/s0008-6363(99)00268-0)
 48. Papait R, Greco C, Kunderfranco P, Latronico MV, Condorelli G. Epigenetics: a new mechanism of regulation of heart failure? *Basic Res Cardiol*. 2013;108:361. doi: [10.1007/s00395-013-0361-1](https://doi.org/10.1007/s00395-013-0361-1)
 49. Xie M, Kong Y, Tan W, May H, Battiprolu PK, Pedrozo Z, Wang ZV, Morales C, Luo X, Cho G, et al. Histone deacetylase inhibition blunts ischemia/reperfusion injury by inducing cardiomyocyte autophagy. *Circulation*. 2014;129:1139–1151. doi: [10.1161/CIRCULATIONAHA.113.002416](https://doi.org/10.1161/CIRCULATIONAHA.113.002416)
 50. Iyer A, Fenning A, Lim J, Le GT, Reid RC, Halli MA, Fairlie DP, Brown L. Antifibrotic activity of an inhibitor of histone deacetylases in DOCA-salt hypertensive rats. *Br J Pharmacol*. 2010;159:1408–1417. doi: [10.1111/j.1476-5381.2010.00637.x](https://doi.org/10.1111/j.1476-5381.2010.00637.x)
 51. Batchu SN, Brijmohan AS, Advani A. The therapeutic hope for HDAC6 inhibitors in malignancy and chronic disease. *Clin Sci (Lond)*. 2016;130:987–1003. doi: [10.1042/CS20160084](https://doi.org/10.1042/CS20160084)
 52. Romanick SS, Ferguson BS. The nonepigenetic role for small molecule histone deacetylase inhibitors in the regulation of cardiac function. *Future Med Chem*. 2019;11:1345–1356. doi: [10.4155/fmc-2018-0311](https://doi.org/10.4155/fmc-2018-0311)
 53. Lemon DD, Horn TR, Cavasin MA, Jeong MY, Haubold KW, Long CS, Irwin DC, McCune SA, Chung E, Leinwand LA, et al. Cardiac HDAC6 catalytic activity is induced in response to chronic hypertension. *J Mol Cell Cardiol*. 2011;51:41–50. doi: [10.1016/j.yjmcc.2011.04.005](https://doi.org/10.1016/j.yjmcc.2011.04.005)
 54. Kee HJ, Bae EH, Park S, Lee KE, Suh SH, Kim SW, Jeong MH. HDAC inhibition suppresses cardiac hypertrophy and fibrosis in DOCA-salt hypertensive rats via regulation of HDAC6/HDAC8 enzyme activity. *Kidney Blood Press Res*. 2013;37:229–239. doi: [10.1159/000350148](https://doi.org/10.1159/000350148)
 55. Demos-Davies KM, Ferguson BS, Cavasin MA, Mahaffey JH, Williams SM, Spiltoir JI, Schuetz KB, Horn TR, Chen B, Ferrara C, et al. HDAC6 contributes to pathological responses of heart and skeletal muscle to chronic angiotensin-II signaling. *Am J Physiol Heart Circ Physiol*. 2014;307:H252–H258. doi: [10.1152/ajpheart.00149.2014](https://doi.org/10.1152/ajpheart.00149.2014)
 56. Song R, Yang Y, Lei H, Wang G, Huang Y, Xue W, Wang Y, Yao L, Zhu Y. HDAC6 inhibition protects cardiomyocytes against doxorubicin-induced acute damage by improving alpha-tubulin acetylation. *J Mol Cell Cardiol*. 2018;124:58–69. doi: [10.1016/j.yjmcc.2018.10.007](https://doi.org/10.1016/j.yjmcc.2018.10.007)
 57. Kim SY, Zhang X, Schiattarella GG, Altamirano F, Ramos TAR, French KM, Jiang N, Szweda PA, Evers BM, May HI, et al. Epigenetic reader BRD4 (bromodomain-containing protein 4) governs nucleus-encoded mitochondrial transcriptome to regulate cardiac function. *Circulation*. 2020;142:2356–2370. doi: [10.1161/CIRCULATIONAHA.120.047239](https://doi.org/10.1161/CIRCULATIONAHA.120.047239)
 58. Padmanabhan A, Alexanian M, Linares-Saldana R, Gonzalez-Teran B, Androletti G, Huang Y, Connolly AJ, Kim W, Hsu A, Duan Q, et al. BRD4 (bromodomain-containing protein 4) interacts with GATA4 (GATA binding protein 4) to govern mitochondrial homeostasis in adult cardiomyocytes. *Circulation*. 2020;142:2338–2355. doi: [10.1161/CIRCULATIONAHA.120.047753](https://doi.org/10.1161/CIRCULATIONAHA.120.047753)
 59. Wang Z, Zang C, Cui K, Schones DE, Barski A, Peng W, Zhao K. Genome-wide mapping of HATs and HDACs reveals distinct functions in active and inactive genes. *Cell*. 2009;138:1019–1031. doi: [10.1016/j.cell.2009.06.049](https://doi.org/10.1016/j.cell.2009.06.049)
 60. Chen PB, Hung JH, Hickman TL, Coles AH, Carey JF, Weng Z, Chu F, Fazzio TG. Hdac6 regulates Tip60-p400 function in stem cells. *Elife*. 2013;2:e01557. doi: [10.7554/eLife.01557](https://doi.org/10.7554/eLife.01557)
 61. Uchida K, Scarborough EA, Prosser BL. Cardiomyocyte microtubules: control of mechanics, transport, and remodeling. *Annu Rev Physiol*. 2022;84:257–283. doi: [10.1146/annurev-physiol-062421-040656](https://doi.org/10.1146/annurev-physiol-062421-040656)
 62. Heffler J, Shah PP, Robison P, Phyo S, Veliz K, Uchida K, Bogush A, Rhoades J, Jain R, Prosser BL. A balance between intermediate filaments and microtubules maintains nuclear architecture in the cardiomyocyte. *Circ Res*. 2020;126:e10–e26. doi: [10.1161/CIRCRESAHA.119.315582](https://doi.org/10.1161/CIRCRESAHA.119.315582)
 63. Ramadoss M, Mahadevan V. Targeting the cancer epigenome: synergistic therapy with bromodomain inhibitors. *Drug Discov Today*. 2018;23:76–89. doi: [10.1016/j.drudis.2017.09.011](https://doi.org/10.1016/j.drudis.2017.09.011)
 64. Chen J, Li Y, Zhang J, Zhang M, Wei A, Liu H, Xie Z, Ren W, Duan W, Zhang Z, et al. Discovery of selective HDAC/BRD4 dual inhibitors as epigenetic probes. *Eur J Med Chem*. 2021;209:112868. doi: [10.1016/j.ejmech.2020.112868](https://doi.org/10.1016/j.ejmech.2020.112868)
 65. Carew JS, Espitia CM, Zhao W, Visconte V, Anwer F, Kelly KR, Nawrocki ST. Rational cotargeting of HDAC6 and BET proteins yields synergistic antimyeloma activity. *Blood Adv*. 2019;3:1318–1329. doi: [10.1182/bloodadvances.2018026484](https://doi.org/10.1182/bloodadvances.2018026484)

SUPPLEMENTAL MATERIAL

Table S1. Compound characteristics

Compound	Target	Concentration	IC50 (in vitro)	CAS-no. or reference
SAHA (Vorinostat)	HDAC	1 μ M	33 nM (HDAC1/6)	149647-78-9
JS28	HDAC6	1 μ M	59 nM	1839529-41-7 or 4g ¹⁶
Bromosporine (BSP)	BRD	1 μ M	0.41 μ M (BRD2); 0.29 μ M (BRD4)	1619994-69-2
JQ1	BET	500 nM	77 nM (BRD4 BD1); 33 nM (BRD4 BD2)	1268524-70-4

Table S2. qRT-PCR primer sequences

Gene	Forward	Reverse
<i>Nppa</i>	GCTTCCAGGCCATATTGGAG	GGGGGCATGACCTCATCTT
<i>Nppb</i>	CCCAAAAAGAGTCCTTCGGTC	CGGTCTATCTTGTGCCCAAAG
<i>Ctgf</i>	TGACCCCTGCGACCCACA	TACACCGACCCACCGAAGACACAG
<i>Rps29</i>	ATGGGTCACCAGCAGCTCTA	AGCCTATGTCCTTCGCGTACT
<i>Myh6</i>	CTTCTGCAGACATAGAGACCTACCTTC	ATCAGTGGCCAAGAGCTCCTCAG
<i>Myh7</i>	ACTGTCAACACTAAGAGGGTCA	TTGGATGATTTGATCTTCCAGGG
<i>Tnni1</i>	CTCCACGAGGACTAAACTAGGC	CTTGGATTTCTCTCAACTTCC
<i>Tnni3</i>	CTGCCAACTACCGAGCCTAT	AAGTTTTCTGGAGGCGGAGA

Table S3. Antibodies used for ChIP-seq

Antibody	Manufacturer	ID	Amount per ChIP
Anti-H3K27ac	Abcam	ab4729	4 μ l
Anti-H3K9ac	Active motif	39137	5 μ l
Anti-H3K4me1	Abcam	ab8895	4 μ l
Anti-H3K4me3	Diagenode	pAb-003-050	4 μ l
Anti-RNAP II	Diagenode	C15200004	2 μ l
Anti-HDAC6	Novus Biologicals	NBP1-56343	5 μ l
Anti-BRD4	Biomol	A301-985A50	5 μ l

Table S4: Gene expression in embryonic stem cell-derived cardiac myocytes

GeneID	CTL	ET-1 vs CTL		SAHA vs CTL		JS28 vs CTL		BSP vs CTL		JQ1 vs CTL		ET-1+SAHA vs ET1		ET-1+JS28 vs ET1		ET-1+BSP vs ET1		ET-1+JQ1 vs ET1	
	mean	log2(FC)	P-adj	log2(FC)	P-adj	log2(FC)	P-adj	log2(FC)	P-adj	log2(FC)	P-adj	log2(FC)	P-adj	log2(FC)	P-adj	log2(FC)	P-adj	log2(FC)	P-adj
0610007P14Rik	11,12	0,24	0,7372	-0,26	0,7593	0,06	NA	0,04	0,9853	0,00	0,9976	0,13	0,9166	-0,05	NA	-0,53	0,5744	-0,32	0,6498
0610009B22Rik	45,19	0,18	0,6713	-0,25	0,6251	0,13	1,0000	0,10	0,9605	0,20	0,6035	0,02	0,9818	-0,12	0,8804	0,02	0,9918	0,01	0,9884
0610009L18Rik	5,83	-0,07	0,9412	-0,21	0,8217	-0,05	NA	-0,21	NA	0,43	0,5181	-0,34	0,7517	0,15	NA	0,30	0,8262	-0,27	0,7577
0610009O20Rik	63,03	0,15	0,7268	-0,66	0,0474	-0,22	1,0000	-0,04	0,9853	0,15	0,7434	-0,59	0,2280	-0,35	0,5247	-0,06	0,9636	0,00	0,9988
0610010F05Rik	66,27	0,12	0,8051	-0,10	0,8654	0,24	1,0000	0,31	0,6551	0,57	0,0384	-0,40	0,4788	0,17	0,8219	0,07	0,9590	0,54	0,1448
0610010K14Rik	11,78	0,16	0,8312	-0,60	0,3354	-0,04	NA	0,12	0,9626	0,55	0,3011	-0,63	0,4198	-0,05	NA	0,14	0,9367	0,50	0,3798
0610011F06Rik	7,94	-0,07	0,9398	0,64	0,2706	0,12	NA	0,23	0,8786	1,12	0,0085	0,36	0,7231	0,31	NA	0,70	0,3588	1,02	0,0476
0610012G03Rik	24,86	0,67	0,0667	0,19	0,7919	0,07	NA	0,22	0,8797	-0,02	0,9797	-0,31	0,6994	-0,43	0,5083	-0,13	0,9291	-0,76	0,0908
0610030E20Rik	40,69	0,20	0,6552	-0,55	0,2026	0,07	1,0000	-0,19	0,8966	-0,01	0,9926	-0,66	0,1761	-0,37	0,5264	-0,55	0,3460	-0,26	0,6381
0610031J06Rik	37,47	-0,17	0,7450	0,25	0,6155	-0,03	1,0000	0,11	0,9559	0,50	0,1275	0,55	0,3073	-0,16	0,8548	0,11	0,9422	0,67	0,0663
0610037L13Rik	33,83	0,27	0,5288	-0,56	0,2114	-0,07	NA	-0,05	0,9853	-0,16	0,7342	-0,52	0,3717	-0,32	0,6315	-0,15	0,9068	-0,17	0,7331
0610038B21Rik	3,01	-0,21	0,7976	-0,11	0,9132	-0,07	NA	-0,13	NA	0,17	0,8429	0,01	0,9966	0,09	NA	-0,16	NA	0,53	0,5085
0610039K10Rik	1,07	-0,01	NA	-0,08	NA	-0,04	NA	-0,07	NA	0,25	0,7346	0,35	NA	0,08	NA	0,01	NA	0,11	NA
0610040B10Rik	3,17	-0,05	0,9580	0,26	0,7608	0,07	NA	-0,03	NA	0,32	0,6718	0,46	0,6250	0,22	NA	0,06	NA	0,06	0,9564
1010001N08Rik	52,05	-0,92	0,0002	-0,80	0,0053	0,00	1,0000	-0,10	0,9472	-0,01	0,9858	-0,33	0,6483	0,29	0,6735	0,14	0,9130	0,28	0,5571
1110001J03Rik	11,14	0,09	0,9064	-0,39	0,5936	0,04	NA	-0,10	0,9701	-0,69	0,2174	0,04	0,9748	-0,25	NA	0,26	0,8446	-0,63	0,2977
1110002L01Rik	50,15	0,38	0,2852	0,12	0,8622	0,04	1,0000	0,04	0,9853	0,53	0,0884	-0,02	0,9817	-0,06	0,9454	-0,22	0,8122	0,35	0,3474
1110004E09Rik	19,64	-0,12	0,8527	0,06	0,9505	-0,05	NA	-0,38	0,6740	-1,00	0,0208	-0,03	0,9805	-0,34	NA	-0,56	0,4811	-1,34	0,0051
1110004F10Rik	110,28	0,32	0,2535	-0,13	0,8003	0,15	1,0000	0,14	0,9129	-0,11	0,7666	-0,25	0,6093	-0,23	0,6387	-0,14	0,8577	-0,08	0,8203
1110007C09Rik	21,12	0,21	0,7158	-0,06	0,9531	0,14	NA	-0,26	0,8420	-0,59	0,2173	0,05	0,9661	-0,56	NA	-0,01	0,9971	-0,75	0,1301
1110008F13Rik	29,47	0,60	0,2464	0,36	0,5682	0,03	NA	0,16	0,9329	0,10	0,8759	0,40	0,6080	-0,26	0,7518	-0,12	0,9417	-0,41	0,4974
1110008L16Rik	20,97	-0,08	0,9032	0,49	0,2998	0,15	NA	-0,01	0,9956	-1,75	0,0000	0,28	0,7451	0,16	NA	-0,62	0,4088	-1,25	0,0090
1110008P14Rik	11,15	0,47	0,4237	0,03	0,9813	-0,04	NA	0,19	0,9141	0,69	0,2068	0,35	0,7027	0,02	NA	0,03	0,9920	0,55	0,3322
1110012L19Rik	20,02	-0,01	0,9924	0,06	0,9444	0,08	NA	0,06	0,9853	0,09	0,8819	0,11	0,9219	0,00	NA	0,26	0,8309	0,14	0,8166
1110019D14Rik	15,23	-0,52	0,2858	0,03	0,9799	-0,11	NA	-0,21	0,8948	-0,61	0,2017	0,78	0,2092	0,69	NA	0,30	0,8127	-0,20	0,7782
1110020A21Rik	1,58	-0,08	NA	-0,22	0,7273	-0,02	NA	-0,04	NA	-0,27	0,6794	0,09	NA	0,07	NA	0,00	NA	-0,27	NA
1110032A03Rik	29,31	-0,26	0,5997	0,71	0,0492	0,02	1,0000	0,19	0,9004	0,53	0,1187	1,27	0,0009	0,72	0,1254	0,69	0,1979	0,70	0,0651
1110034G24Rik	5,75	-0,06	0,9485	0,03	0,9799	0,23	NA	0,19	0,9084	-0,30	0,6929	0,19	0,8730	-0,09	NA	0,15	0,9372	-0,68	0,3589
1110037F02Rik	125,56	-0,04	0,9254	0,06	0,9009	-0,19	1,0000	-0,02	0,9884	-0,14	0,6105	-0,04	0,9575	0,05	0,9417	-0,17	0,8266	0,03	0,9401
1110038B12Rik	12,47	-0,18	0,8180	0,30	0,7144	0,15	NA	0,22	0,8903	0,31	0,6552	-0,15	0,9049	-0,09	NA	-0,12	0,9495	0,22	0,7592
1110038F14Rik	12,69	-0,34	0,5792	-0,16	0,8501	0,00	NA	-0,06	0,9853	-0,48	0,3822	0,61	0,4012	0,27	NA	0,12	0,9494	-0,13	0,8812
1110046J04Rik	1,73	-0,22	NA	0,07	0,9506	-0,04	NA	-0,04	NA	-0,40	0,5556	0,45	NA	0,03	NA	-0,17	NA	-0,39	NA
1110051M20Rik	19,51	-0,16	0,7964	0,18	0,7954	0,02	NA	-0,02	0,9901	-0,67	0,1391	0,55	0,4111	0,06	NA	-0,22	0,8719	-0,50	0,3790
1110054M08Rik	11,73	0,07	0,9340	-0,53	0,4166	0,00	NA	-0,05	0,9853	-0,26	0,7047	-0,38	0,7007	-0,57	NA	-0,04	0,9911	-0,40	0,5880
1110057K04Rik	40,60	0,00	0,9995	0,25	0,6189	-0,09	1,0000	0,35	0,6103	-0,35	0,3329	0,15	0,8598	0,20	0,7977	0,50	0,4089	-0,18	0,7299
1110058L19Rik	17,41	-0,02	0,9858	0,07	0,9441	-0,16	NA	0,05	0,9853	-0,27	0,6255	0,26	0,8034	-0,40	NA	-0,09	0,9680	-0,12	0,8860
1110059E24Rik	34,89	-0,07	0,9032	0,12	0,8501	-0,15	1,0000	-0,14	0,9364	-0,85	0,0148	0,34	0,6261	0,33	0,6024	0,11	0,9396	-0,25	0,6306
1110059G10Rik	22,28	0,20	0,7269	-0,63	0,2120	-0,23	NA	-0,42	0,6103	-1,36	0,0014	-0,44	0,5395	-0,04	0,9679	-0,30	0,7779	-1,07	0,0292
1110065P20Rik	7,72	0,02	0,9810	-0,13	0,8959	0,05	NA	-0,18	0,9158	0,13	0,8635	-0,06	0,9665	-0,21	NA	-0,06	0,9841	0,18	0,8458
1190002N15Rik	243,96	0,14	0,6189	-0,88	0,0000	-0,22	1,0000	0,00	0,9972	0,41	0,1456	-0,52	0,0790	-0,08	0,8837	-0,16	0,7952	0,54	0,1186
1190007I07Rik	2,43	0,26	0,7392	0,08	0,9320	0,10	NA	-0,03	NA	0,18	0,8180	-0,24	0,8223	-0,07	NA	-0,43	NA	0,13	0,9047
1200014J11Rik	105,51	0,00	0,9975	0,01	0,9918	-0,01	1,0000	0,01	0,9943	-0,28	0,3504	0,01	0,9936	0,20	0,6959	0,16	0,8429	-0,11	0,7494
1300002E11Rik	24,51	-0,56	0,1816	-0,10	0,8986	-0,28	NA	0,00	0,9988	-0,19	0,7278	0,09	0,9389	0,48	0,4534	-0,01	0,9967	-0,15	0,8285

GeneID	CTL	ET-1 vs CTL		SAHA vs CTL		JS28 vs CTL		BSP vs CTL		JQ1 vs CTL		ET-1+SAHA vs ET1		ET-1+JS28 vs ET1		ET-1+BSP vs ET1		ET-1+JQ1 vs ET1	
	mean	log2(FC)	P-adj	log2(FC)	P-adj	log2(FC)	P-adj	log2(FC)	P-adj	log2(FC)	P-adj	log2(FC)	P-adj	log2(FC)	P-adj	log2(FC)	P-adj	log2(FC)	P-adj
1500004A13Rik	1,15	0,08	NA	-0,12	NA	-0,08	NA	-0,05	NA	-0,33	NA	-0,16	NA	0,06	NA	-0,29	NA	-0,06	NA
1500009L16Rik	12,64	0,07	0,9356	0,92	0,0402	-0,01	NA	0,06	0,9853	0,32	0,5734	0,96	0,0760	-0,27	NA	-0,08	0,9730	-0,09	0,9201
1500011B03Rik	14,74	-0,09	0,9118	-0,46	0,4800	-0,17	NA	-0,17	0,9306	-0,05	0,9488	-0,47	0,5825	-0,57	NA	0,12	0,9443	0,12	0,8660
1500011K16Rik	17,89	0,47	0,3415	-0,04	0,9709	0,01	NA	0,29	0,8147	-0,10	0,8844	0,46	0,4929	0,00	0,9989	-0,39	0,6847	-0,26	0,6609
1500012F01Rik	19,62	-0,89	0,0593	0,24	0,7774	-0,07	NA	0,13	0,9563	-0,05	0,9502	0,17	0,8834	0,15	NA	0,59	0,4582	0,63	0,2385
1500015A07Rik	8,78	-0,21	0,7789	-0,21	0,8144	-0,34	NA	0,01	0,9943	-0,18	0,8035	0,09	0,9444	-0,47	NA	0,07	0,9784	-0,07	0,9397
1500017E21Rik	35,33	1,13	0,0020	0,02	0,9883	-0,49	NA	-0,84	0,0632	-1,93	0,0000	0,12	0,8992	-0,56	0,3199	-1,67	0,0000	-2,99	0,0000
1600002H07Rik	5,04	0,51	0,4192	0,47	0,4945	0,13	NA	0,31	NA	0,90	0,1020	-0,07	0,9584	-0,22	NA	-0,05	0,9874	-0,20	0,8109
1600002K03Rik	3,22	0,03	0,9761	-0,30	0,6981	0,02	NA	0,37	NA	0,44	0,5364	-0,22	0,8382	0,03	NA	0,22	NA	0,19	0,8445
1600012H06Rik	40,20	-0,14	0,7760	-0,01	0,9923	0,05	1,0000	-0,16	0,9141	0,54	0,0808	0,30	0,6504	0,35	0,5381	0,59	0,2201	0,66	0,0352
1600014C10Rik	30,45	-0,01	0,9915	-0,17	0,7884	-0,01	NA	0,38	0,5917	0,84	0,0040	0,12	0,9072	0,11	0,9100	0,34	0,7155	0,84	0,0454
1600020E01Rik	3,78	-0,17	0,8372	0,05	0,9665	0,05	NA	-0,06	NA	-0,11	0,8982	0,31	0,7734	0,25	NA	-0,04	NA	-0,17	0,8640
1700001G11Rik	1,04	0,06	NA	0,24	0,7265	-0,06	NA	0,05	NA	0,18	0,8146	-0,02	NA	0,05	NA	-0,02	NA	0,07	NA
1700001L05Rik	2,91	0,43	0,5276	1,06	0,0380	0,05	NA	0,18	NA	1,01	0,0818	0,46	0,6257	-0,38	NA	0,05	NA	0,44	0,5863
1700003M07Rik	3,37	-0,32	0,6636	0,10	0,9231	-0,03	NA	-0,36	NA	-1,11	0,0454	0,14	0,9044	-0,14	NA	0,05	NA	-0,57	NA
1700007J10Rik	3,38	0,02	NA	-0,07	0,8332	-0,02	NA	-0,05	NA	0,35	0,5808	-0,09	0,9402	-0,11	NA	-0,53	NA	0,24	0,7922
1700007K13Rik	2,83	0,06	0,9504	0,16	0,8542	0,01	NA	-0,18	NA	-0,72	0,2113	-0,38	0,6800	-0,10	NA	-0,04	NA	-0,88	NA
1700007L15Rik	2,40	-0,08	0,9259	-0,03	0,9780	-0,05	NA	-0,09	NA	-0,10	0,9080	0,36	0,7155	-0,16	NA	0,11	NA	-0,09	0,9325
1700008J07Rik	3,86	0,10	0,9137	-0,47	0,4655	-0,01	NA	-0,14	NA	-0,07	0,9430	-0,25	0,8270	-0,25	NA	-0,23	NA	-0,06	0,9528
1700012D01Rik	2,18	0,02	NA	-0,15	0,8389	-0,02	NA	-0,04	NA	-0,57	0,3205	0,00	NA	-0,10	NA	-0,01	NA	-0,70	NA
1700012D14Rik	5,85	-0,35	0,6204	-0,06	0,9609	-0,15	NA	0,14	0,9469	0,64	0,2467	0,33	0,7559	0,35	NA	0,29	0,8343	0,56	0,4279
1700017B05Rik	13,40	0,17	0,8024	0,43	0,4910	0,22	NA	0,61	0,2909	1,48	0,0000	0,18	0,8688	-0,20	NA	-0,01	0,9980	1,12	0,0042
1700019G17Rik	5,12	0,30	0,6935	0,27	0,7569	-0,16	NA	0,10	NA	-0,36	0,6276	-0,43	0,6604	0,01	NA	-0,28	NA	-0,66	0,3528
1700020D05Rik	2,62	-0,28	0,7055	-0,19	0,8276	-0,14	NA	-0,08	NA	-0,55	0,3914	-0,09	NA	-0,13	NA	-0,23	NA	0,06	0,9559
1700020I14Rik	238,32	-0,10	0,7954	-0,86	0,0000	-0,18	1,0000	-0,06	0,9647	-0,38	0,1180	-0,57	0,1235	0,29	0,5402	0,02	0,9918	-0,20	0,6491
1700021F05Rik	19,57	0,23	0,7074	0,37	0,5563	0,07	NA	0,18	0,9211	0,48	0,3847	0,14	0,8906	0,17	0,8514	0,52	0,4643	0,26	0,6272
1700021K19Rik	133,10	0,27	0,3911	0,07	0,9150	-0,08	1,0000	0,03	0,9853	0,14	0,6952	-0,20	0,6804	-0,11	0,8465	0,00	0,9980	0,09	0,7794
1700025G04Rik	98,01	1,24	0,0000	0,65	0,0614	0,22	1,0000	-0,10	0,9606	0,19	0,6287	-0,33	0,4070	-0,46	0,1935	-0,77	0,0066	-0,53	0,0273
1700029J07Rik	1,11	0,13	NA	0,09	NA	0,11	NA	0,31	NA	0,06	NA	0,04	NA	0,24	NA	-0,04	NA	-0,16	NA
1700030J22Rik	1,56	0,30	NA	0,79	0,1287	0,03	NA	0,11	NA	0,88	0,1445	0,28	0,7925	-0,07	NA	-0,25	NA	0,49	0,5439
1700030K09Rik	21,89	0,04	0,9599	-0,86	0,0678	-0,09	NA	-0,55	0,3898	-2,19	0,0000	-0,72	0,2602	-0,47	NA	-0,84	0,1614	-2,67	0,0000
1700034F02Rik	1,93	-0,35	NA	0,26	0,7518	-0,12	NA	0,18	NA	-0,23	0,7685	0,30	NA	0,18	NA	0,31	NA	0,07	NA
1700034H15Rik	4,02	0,47	0,4772	0,79	0,1698	-0,06	NA	0,03	NA	0,28	0,7143	-0,16	0,8956	-0,27	NA	-0,43	NA	-0,29	0,7371
1700034P13Rik	1,06	0,20	NA	-0,09	NA	-0,04	NA	-0,07	NA	0,71	0,2228	0,09	NA	-0,13	NA	-0,23	NA	0,08	0,9006
1700037C18Rik	2,71	-0,14	0,8708	-0,13	0,8895	-0,05	NA	0,00	NA	-0,46	0,5126	0,09	0,9436	-0,19	NA	-0,03	NA	-0,39	0,6381
1700037H04Rik	23,26	0,12	0,8411	0,23	0,7248	-0,16	NA	-0,15	0,9372	0,71	0,0619	0,36	0,6054	-0,35	0,6315	-0,04	0,9911	0,95	0,0213
1700049G17Rik	14,82	-0,25	0,6748	-0,35	0,6031	-0,24	NA	0,03	0,9872	-0,31	0,5765	0,22	0,8297	0,11	NA	-0,01	0,9967	-0,22	0,7548
1700052K11Rik	17,19	0,48	0,3463	0,68	0,1676	0,01	NA	0,27	0,8420	0,65	0,1524	0,05	0,9627	-0,49	NA	-0,14	0,9340	-0,41	0,4788
1700052N19Rik	38,28	-0,19	0,7221	0,38	0,4040	0,08	1,0000	-0,37	0,6344	-0,69	0,0647	0,70	0,1448	0,41	0,4965	-0,40	0,6212	-0,29	0,5847
1700066M21Rik	14,96	0,16	0,8169	0,01	0,9916	0,08	NA	0,19	0,9102	-0,15	0,8203	0,37	0,6595	0,20	NA	-0,05	0,9862	0,15	0,8247
1700086O06Rik	5,44	0,04	0,9681	0,08	0,9451	-0,10	NA	-0,07	NA	0,14	0,8674	0,04	0,9771	-0,03	NA	-0,07	NA	-0,24	0,7864
1700088E04Rik	7,20	-0,06	0,9398	-0,21	0,8212	-0,21	NA	-0,16	0,9263	0,09	0,9163	0,40	0,6942	-0,01	NA	-0,33	NA	0,40	0,6206
1700094D03Rik	7,10	-0,42	0,5288	-0,08	0,9453	0,20	NA	-0,07	0,9798	0,00	0,9961	0,06	0,9638	0,52	NA	0,11	0,9565	0,22	0,8033
1700094J05Rik	1,50	-0,10	NA	-0,07	0,8347	-0,08	NA	-0,04	NA	0,13	0,8626	-0,07	NA	-0,10	NA	-0,20	NA	0,36	0,6554
1700095B10Rik	8,09	0,01	NA	-0,17	NA	-0,03	NA	-0,07	NA	0,05	0,9446	0,06	0,9516	-0,04	NA	-0,17	0,8018	0,19	0,8276

GeneID	CTL	ET-1 vs CTL		SAHA vs CTL		JS28 vs CTL		BSP vs CTL		JQ1 vs CTL		ET-1+SAHA vs ET1		ET-1+JS28 vs ET1		ET-1+BSP vs ET1		ET-1+JQ1 vs ET1	
	mean	log2(FC)	P-adj	log2(FC)	P-adj	log2(FC)	P-adj	log2(FC)	P-adj	log2(FC)	P-adj	log2(FC)	P-adj	log2(FC)	P-adj	log2(FC)	P-adj	log2(FC)	P-adj
1700096K18Rik	2,93	0,35	0,6213	-0,07	0,9444	0,02	NA	0,16	NA	0,36	0,6312	-0,42	0,6563	-0,22	NA	-0,12	NA	0,53	0,4740
170010111Rik	1,72	-0,16	NA	0,00	0,9960	-0,02	NA	-0,13	NA	0,57	0,4019	-0,08	NA	-0,05	NA	0,19	NA	1,20	0,0611
1700109H08Rik	7,04	-0,28	0,7039	0,07	0,9537	-0,23	NA	-0,26	0,8430	-0,03	0,9698	0,04	0,9816	-0,13	NA	-0,20	NA	0,17	0,8505
1700110C19Rik	2,15	-0,36	NA	-0,66	0,1873	-0,09	NA	-0,11	NA	0,10	0,9055	0,04	NA	0,03	NA	0,25	NA	0,52	0,5000
1700113A16Rik	1,89	-0,18	NA	-0,31	0,5632	-0,08	NA	-0,05	NA	-0,07	0,9349	0,08	NA	0,27	NA	-0,07	NA	0,19	0,8414
1700123M08Rik	2,51	0,05	0,9606	0,09	0,9337	0,04	NA	0,06	NA	-0,04	0,9673	0,11	0,9353	0,03	NA	-0,04	NA	0,37	0,6690
1700123O20Rik	18,98	-0,09	0,8991	-0,24	0,7395	0,12	NA	0,05	0,9853	0,47	0,2651	0,26	0,7790	0,10	NA	0,18	0,9074	0,74	0,1085
1810010H24Rik	1,17	-0,02	NA	0,22	0,7581	0,02	NA	0,01	NA	0,57	0,3899	0,41	NA	-0,01	NA	0,04	NA	0,43	0,5953
1810011O10Rik	2,17	-0,18	NA	0,43	0,5457	0,00	NA	-0,13	NA	-0,30	0,6880	1,02	0,1199	0,23	NA	-0,14	NA	-0,34	NA
1810012K16Rik	1,11	-0,17	NA	0,27	0,7137	-0,01	NA	-0,04	NA	0,08	0,9198	0,23	NA	-0,02	NA	0,17	NA	0,01	NA
1810013L24Rik	174,20	0,18	0,4780	0,30	0,2417	0,03	1,0000	0,14	0,8681	0,69	0,0003	0,35	0,3224	0,20	0,6663	-0,19	0,7636	0,58	0,0073
1810014B01Rik	4,13	0,15	0,8641	-0,29	0,7156	-0,09	NA	-0,10	NA	-0,78	0,2026	-0,58	0,4778	-0,21	NA	0,03	NA	-0,88	0,2054
1810019D21Rik	1,52	-0,03	NA	0,10	0,9086	-0,06	NA	-0,13	NA	-0,37	0,5173	-0,30	NA	0,06	NA	-0,17	NA	-0,11	NA
1810021B22Rik	2,27	-0,03	0,9769	-0,01	0,9910	-0,13	NA	0,03	NA	-0,61	0,3339	0,58	0,4821	-0,13	NA	0,04	NA	-0,32	NA
1810022K09Rik	43,13	0,26	0,5210	0,37	0,4185	0,11	1,0000	0,11	0,9601	-0,28	0,5080	0,39	0,5120	0,53	0,2317	0,10	0,9379	-0,24	0,6114
1810024B03Rik	2,58	0,22	0,7783	0,01	0,9947	0,01	NA	-0,18	NA	-0,76	0,1518	-0,24	0,8245	-0,02	NA	-0,16	NA	-0,66	0,3495
1810026B05Rik	43,86	-0,47	0,2050	0,12	0,8544	-0,13	1,0000	0,10	0,9626	-0,40	0,3696	0,48	0,3717	0,77	0,0526	0,14	0,9161	-0,43	0,3255
1810026J23Rik	73,53	-0,02	0,9773	-0,19	0,6718	0,15	1,0000	-0,12	0,9417	0,30	0,2966	0,14	0,8417	0,09	0,9102	0,14	0,8937	0,38	0,2148
1810030O07Rik	29,97	0,05	0,9350	0,03	0,9768	0,04	NA	0,27	0,7836	0,06	0,9013	0,23	0,7661	0,11	0,9050	0,25	0,8126	0,04	0,9445
1810032O08Rik	6,39	0,06	0,9485	0,23	0,7943	0,10	NA	-0,04	NA	0,01	0,9935	0,07	0,9624	-0,27	NA	-0,20	0,9052	-0,25	0,7675
1810034E14Rik	2,57	-0,56	0,3568	-0,12	0,9080	-0,04	NA	-0,28	NA	-0,27	0,7324	0,04	NA	0,19	NA	0,36	NA	0,24	0,7798
1810037I17Rik	50,06	0,31	0,4117	-0,07	0,9237	-0,17	1,0000	0,12	0,9452	-0,12	0,8115	0,12	0,8781	-0,15	0,8416	-0,25	0,7839	-0,25	0,5631
1810041L15Rik	2,98	0,26	0,7385	0,85	0,1186	0,05	NA	-0,03	NA	-0,29	0,6880	0,52	0,5603	0,03	NA	-0,07	NA	-0,81	0,2369
1810043G02Rik	15,88	-0,68	0,1426	-0,40	0,5042	-0,11	NA	-0,25	0,8587	-0,24	0,6948	0,07	0,9572	0,19	NA	0,33	0,7913	0,55	0,3728
1810043H04Rik	18,57	0,05	0,9530	-0,91	0,0786	-0,26	NA	-0,23	0,8797	-0,65	0,2185	-0,16	0,8781	-0,32	NA	-0,46	0,6114	-0,50	0,3466
1810044D09Rik	4,40	-0,17	0,8447	0,40	0,5987	-0,12	NA	0,06	NA	0,38	0,5890	0,67	0,3985	0,19	NA	-0,05	NA	0,21	0,8176
1810055G02Rik	16,94	0,78	0,0547	1,10	0,0073	-0,03	NA	0,20	0,9060	0,97	0,0161	0,14	0,8859	-0,36	NA	0,11	0,9483	0,40	0,3728
1810058I24Rik	141,23	-0,18	0,5641	-0,26	0,3838	-0,13	1,0000	-0,01	0,9901	0,78	0,0000	0,24	0,6361	0,08	0,9095	0,23	0,7271	1,11	0,0001
1810062O18Rik	1,50	0,21	NA	-0,14	NA	-0,01	NA	0,14	NA	0,24	0,7122	-0,45	NA	-0,01	NA	-0,08	NA	0,47	0,5701
2010012O05Rik	18,02	0,18	0,7679	-1,05	0,0247	-0,04	NA	-0,39	0,6770	-0,01	0,9930	-0,84	0,1702	-0,30	NA	-0,44	0,6358	-0,53	0,3253
2010107E04Rik	142,78	0,12	0,7888	-0,28	0,4978	-0,27	1,0000	-0,25	0,7444	-0,55	0,0529	0,21	0,7100	0,08	0,9197	0,05	0,9730	-0,43	0,1717
2010107G23Rik	1,30	-0,36	NA	-0,20	0,7716	0,04	NA	-0,02	NA	-0,27	0,7008	-0,05	NA	0,30	NA	0,17	NA	0,06	NA
2010111O1Rik	61,42	0,46	0,2040	-0,13	0,8236	-0,14	1,0000	0,08	0,9634	0,16	0,6487	-0,32	0,6369	-0,47	0,3957	-0,21	0,8432	-0,55	0,1865
2010310C07Rik	1,66	-0,22	NA	-0,29	0,6506	-0,13	NA	-0,13	NA	-0,51	0,3777	-0,15	NA	0,01	NA	0,09	NA	0,09	NA
2010315B03Rik	22,03	-0,19	0,7534	0,25	0,7103	-0,13	NA	0,05	0,9853	-0,31	0,5484	0,35	0,6666	0,05	NA	0,07	0,9752	-0,48	0,4365
2010320M18Rik	9,67	0,05	0,9530	-0,69	0,2479	-0,04	NA	-0,14	0,9458	0,07	0,9238	-0,50	0,5713	0,05	NA	-0,01	0,9998	0,03	0,9746
2210013O21Rik	24,56	-0,32	0,5082	-0,76	0,0748	-0,38	NA	-0,14	0,9437	-0,89	0,0219	0,19	0,8411	0,50	0,4257	-0,14	0,9322	-0,25	0,6756
2210015D19Rik	44,50	0,04	0,9504	-0,24	0,7047	0,08	1,0000	0,26	0,8147	0,61	0,0923	-0,21	0,7846	0,04	0,9662	0,38	0,5606	0,71	0,0130
2210016L21Rik	37,61	0,01	0,9852	0,00	0,9954	-0,03	1,0000	-0,09	0,9634	0,05	0,9293	-0,33	0,6381	-0,26	0,7063	-0,36	0,6443	-0,29	0,5953
2210018M11Rik	107,02	-0,06	0,9044	0,25	0,4842	-0,05	1,0000	0,05	0,9805	0,21	0,5226	-0,19	0,7777	0,21	0,7232	0,00	1,0000	0,19	0,6871
2210404O09Rik	9,24	-0,81	0,1079	0,31	0,6716	0,04	NA	0,01	0,9982	-0,90	0,1070	0,86	0,2235	0,75	NA	0,61	0,4811	0,11	0,9135
2210408F21Rik	4,22	-0,10	0,9132	-0,08	0,9462	-0,05	NA	-0,25	NA	-0,39	0,5985	0,28	0,8043	0,07	NA	-0,36	NA	-0,42	0,6127
2210408I21Rik	26,75	-0,22	0,7173	0,00	0,9960	-0,14	NA	-0,03	0,9860	-0,83	0,0476	0,56	0,3717	0,32	0,6735	0,14	0,9292	-0,83	0,0964
2300009A05Rik	9,17	0,18	0,8095	-0,02	0,9861	0,12	NA	0,12	0,9606	-0,34	0,6078	-0,05	0,9714	0,01	NA	-0,08	0,9730	-0,59	0,3865
2310003H01Rik	27,88	0,07	0,9176	0,01	0,9876	0,19	NA	0,60	0,2191	0,70	0,0357	-0,51	0,4432	-0,27	0,7226	0,53	0,4133	0,49	0,3152

GeneID	CTL	ET-1 vs CTL		SAHA vs CTL		JS28 vs CTL		BSP vs CTL		JQ1 vs CTL		ET-1+SAHA vs ET1		ET-1+JS28 vs ET1		ET-1+BSP vs ET1		ET-1+JQ1 vs ET1	
	mean	log2(FC)	P-adj	log2(FC)	P-adj	log2(FC)	P-adj	log2(FC)	P-adj	log2(FC)	P-adj	log2(FC)	P-adj	log2(FC)	P-adj	log2(FC)	P-adj	log2(FC)	P-adj
2310005G13Rik	1,37	0,33	NA	-0,16	NA	-0,03	NA	-0,05	NA	-0,20	NA	-0,42	NA	-0,17	NA	-0,35	NA	-0,59	NA
2310009A05Rik	14,03	0,13	0,8602	-0,22	0,7899	0,11	NA	0,11	0,9634	-0,15	0,8180	0,32	0,7359	0,05	NA	0,22	0,8780	0,08	0,9222
2310009B15Rik	3,69	0,04	0,9713	-0,28	0,7319	-0,01	NA	0,02	NA	0,67	0,2801	0,04	0,9771	-0,33	NA	0,14	NA	0,28	0,7485
2310010J17Rik	1,70	-0,66	NA	-0,24	0,7576	-0,15	NA	-0,04	NA	-0,55	0,4009	0,42	NA	0,07	NA	0,30	NA	0,87	NA
2310011J03Rik	12,90	0,23	0,7324	-0,18	0,8361	0,15	NA	0,09	0,9746	0,66	0,1621	-0,27	0,7953	-0,07	NA	-0,07	0,9789	0,23	0,7366
2310015A10Rik	22,18	-1,01	0,0045	0,41	0,3975	0,30	1,0000	-0,27	0,8214	-0,47	0,3912	0,96	0,0760	0,63	NA	0,57	0,4724	-0,11	0,8948
2310015D24Rik	7,60	-0,27	0,7326	-1,52	0,0008	-0,31	NA	-0,82	0,0548	-1,91	0,0002	-0,73	0,3151	0,15	NA	-0,24	NA	-1,18	0,0633
2310022A10Rik	81,96	0,50	0,1169	-0,38	0,2762	-0,44	0,5413	-1,06	0,0001	0,04	0,9366	-0,64	0,1857	-0,83	0,0428	-1,12	0,0031	-0,48	0,2593
2310022B05Rik	269,22	0,70	0,0000	-0,60	0,0033	-0,25	1,0000	-0,38	0,2303	0,27	0,2271	-0,83	0,0012	-0,71	0,0055	-0,56	0,0390	-0,12	0,7832
2310030G06Rik	8,82	-0,14	0,8552	-0,10	0,9221	-0,09	NA	-0,13	0,9550	-0,23	0,7506	0,05	0,9742	0,19	NA	0,16	0,9251	-0,57	0,4135
2310033P09Rik	30,51	0,13	0,8040	0,45	0,2885	-0,03	NA	0,22	0,8616	0,76	0,0084	0,07	0,9445	0,02	0,9818	0,15	0,9065	0,70	0,0508
2310035C23Rik	91,83	-0,18	0,6380	0,03	0,9666	-0,10	1,0000	0,27	0,6323	-0,12	0,7010	0,22	0,7219	0,41	0,3821	0,34	0,5734	-0,12	0,7916
2310036O22Rik	49,04	0,40	0,2305	-0,03	0,9751	-0,04	1,0000	0,22	0,8569	0,30	0,4345	-0,31	0,5932	-0,44	0,3859	0,13	0,9074	-0,07	0,8904
2310039H08Rik	5,86	0,02	0,9812	0,31	0,7104	-0,04	NA	0,03	NA	0,93	0,0743	0,43	0,6583	-0,20	NA	0,42	0,6973	0,72	0,2454
2310040G24Rik	6,37	-0,65	0,2683	-1,01	0,0534	-0,01	NA	-0,16	0,9370	-1,51	0,0046	-0,12	0,9257	0,31	NA	-0,07	NA	-0,89	0,1845
2310045N01Rik	33,28	0,01	0,9895	0,18	0,7807	-0,01	1,0000	-0,04	0,9853	0,05	0,9250	0,23	0,7608	-0,22	0,7758	-0,08	0,9595	-0,29	0,5248
2310047M10Rik	14,87	0,02	0,9852	0,15	0,8524	0,15	NA	-0,13	0,9556	0,03	0,9718	0,28	0,7617	-0,44	NA	-0,18	0,9087	0,39	0,5313
2310057M21Rik	19,83	0,54	0,2257	0,00	0,9960	-0,12	NA	-0,31	0,7927	-0,18	0,7714	-0,46	0,5243	-0,31	0,6844	-0,96	0,0807	-0,55	0,2889
2310061I04Rik	24,84	0,04	0,9580	-0,56	0,2853	-0,26	NA	-0,29	0,8020	0,06	0,9336	-0,53	0,4376	-0,39	0,5850	-0,44	0,6212	0,38	0,5921
2310061J03Rik	3,49	-0,11	0,9032	-0,04	0,9715	-0,03	NA	0,06	NA	0,46	0,5045	-0,07	0,9611	0,27	NA	0,22	NA	0,59	0,4293
2310067B10Rik	271,53	-0,58	0,0002	-1,07	0,0000	-0,12	1,0000	-0,47	0,0481	-2,10	0,0000	-0,46	0,2128	0,17	0,7157	0,04	0,9742	-1,30	0,0002
2310068J16Rik	1,07	-0,20	NA	-0,06	0,9506	-0,10	NA	-0,19	NA	-0,06	0,9470	0,29	NA	0,05	NA	0,07	NA	0,37	NA
2410002F23Rik	42,95	0,06	0,9128	-0,53	0,2283	-0,04	1,0000	0,08	0,9746	0,50	0,1417	-0,43	0,4627	-0,14	0,8618	0,17	0,8793	0,57	0,1079
2410003L11Rik	4,70	0,16	0,8525	0,04	0,9750	0,13	NA	-0,16	NA	-0,19	0,8165	-0,20	0,8689	0,11	NA	-0,10	NA	-0,32	0,7075
2410004B18Rik	14,29	0,04	0,9654	0,21	0,7841	-0,08	NA	0,00	0,9998	-0,27	0,6559	0,67	0,3105	0,01	NA	-0,10	0,9602	-0,15	0,8361
2410004N09Rik	3,98	-0,02	0,9867	-0,24	0,7801	-0,07	NA	-0,03	NA	-0,06	0,9441	-0,18	0,8823	0,05	NA	-0,28	NA	-0,61	0,4281
2410006H16Rik	22,70	-0,54	0,2822	0,20	0,7849	-0,07	NA	0,31	0,7654	0,52	0,2435	-0,02	0,9914	0,01	NA	0,11	0,9558	0,52	0,3723
2410015M20Rik	33,07	0,56	0,1579	0,47	0,2911	-0,01	NA	-0,11	0,9606	0,28	0,5631	0,24	0,7649	-0,34	0,6283	-0,33	0,7125	-0,29	0,5646
2410016O06Rik	4,62	1,07	0,0303	0,32	0,6251	0,12	NA	0,35	NA	1,55	0,0030	-0,62	0,4548	-0,44	NA	-0,07	0,9778	0,29	0,7092
2410076I21Rik	4,40	0,51	0,4293	-0,66	0,2200	-0,24	NA	-0,12	NA	-0,18	0,8283	-0,04	0,9792	-0,51	NA	-0,05	0,9909	-0,14	0,8914
2410089E03Rik	102,41	-0,53	0,0139	-0,13	0,7698	-0,20	1,0000	0,28	0,6021	0,28	0,3221	0,01	0,9893	0,27	0,5851	0,39	0,4370	0,50	0,1021
2410127L17Rik	9,77	0,29	0,6775	0,08	0,9453	0,00	NA	0,21	0,8998	0,47	0,4240	-0,46	0,6068	0,28	NA	-0,03	0,9931	0,24	0,7491
2410131K14Rik	19,66	0,42	0,3711	0,17	0,8322	0,04	NA	-0,20	0,9050	0,13	0,8323	-0,18	0,8447	-0,32	0,6743	-0,20	0,8847	-0,58	0,2249
2500004C02Rik	8,81	-0,36	0,5764	-0,54	0,4020	0,00	NA	0,29	0,8156	-0,47	0,4497	-0,53	0,5553	0,55	NA	0,35	0,7779	-0,14	0,8787
2510002D24Rik	19,37	0,15	0,8128	0,42	0,4334	0,20	NA	0,09	0,9742	-0,20	0,7237	0,13	0,9009	-0,01	NA	-0,01	0,9967	0,01	0,9921
2510003E04Rik	34,57	-0,14	0,7968	-0,33	0,5042	-0,05	1,0000	-0,08	0,9742	-0,11	0,8180	-0,09	0,9281	-0,03	0,9744	-0,07	0,9730	0,02	0,9800
2510009E07Rik	111,90	-0,36	0,1489	-0,62	0,0086	-0,16	1,0000	0,08	0,9496	-0,28	0,2781	-0,30	0,5725	0,20	0,7226	0,26	0,6906	-0,02	0,9636
2510039O18Rik	50,22	0,41	0,2089	0,05	0,9507	0,08	1,0000	0,16	0,9060	0,87	0,0008	-0,11	0,8914	-0,39	0,4866	0,06	0,9664	0,55	0,1685
2610001J05Rik	54,55	0,41	0,2017	-0,13	0,8360	-0,14	1,0000	-0,18	0,9004	-0,09	0,8565	-0,01	0,9914	-0,29	0,6113	-0,62	0,1678	-0,29	0,4296
2610002J02Rik	17,51	-0,14	0,8295	-0,16	0,8355	0,02	NA	-0,34	0,7443	-0,43	0,4158	-0,30	0,7578	-0,11	NA	-0,09	0,9630	-0,47	0,4277
2610002M06Rik	81,45	-0,52	0,0495	-0,71	0,0040	-0,17	1,0000	-0,26	0,6740	-1,19	0,0000	-0,04	0,9707	0,36	0,4993	-0,15	0,8926	-0,65	0,0698
2610005L07Rik	39,20	-0,81	0,0306	-0,27	0,6189	-0,34	1,0000	0,00	0,9998	-0,10	0,8475	-0,17	0,8684	0,42	0,5360	0,47	0,5668	0,46	0,4390
2610008E11Rik	87,28	-0,25	0,4317	-0,09	0,8524	0,09	1,0000	0,15	0,8853	-0,18	0,5867	-0,20	0,7599	0,53	0,1933	0,50	0,2628	0,00	0,9982
2610015P09Rik	19,66	-0,60	0,2030	0,52	0,2751	0,09	NA	0,17	0,9213	-0,45	0,3439	0,48	0,5497	0,80	NA	0,54	0,5243	-0,27	0,7106
2610018G03Rik	3,37	-0,43	0,5236	0,86	0,1177	0,05	NA	0,22	NA	-0,62	0,3525	1,29	0,0340	0,62	NA	0,16	NA	-0,35	NA

GeneID	CTL	ET-1 vs CTL		SAHA vs CTL		JS28 vs CTL		BSP vs CTL		JQ1 vs CTL		ET-1+SAHA vs ET1		ET-1+JS28 vs ET1		ET-1+BSP vs ET1		ET-1+JQ1 vs ET1	
	mean	log2(FC)	P-adj	log2(FC)	P-adj	log2(FC)	P-adj	log2(FC)	P-adj	log2(FC)	P-adj	log2(FC)	P-adj	log2(FC)	P-adj	log2(FC)	P-adj	log2(FC)	P-adj
2610020C07Rik	2,06	-0,11	NA	-0,33	0,5812	-0,01	NA	-0,08	NA	-0,01	0,9894	0,17	0,8781	0,08	NA	0,04	NA	0,56	0,4757
2610020H08Rik	3,69	-0,37	0,6114	0,53	0,4259	-0,05	NA	0,12	NA	-0,26	0,7371	0,68	0,3890	0,25	NA	-0,23	NA	-0,39	0,6405
2610027K06Rik	4,76	-0,88	0,0919	0,12	0,9044	-0,08	NA	-0,11	NA	-0,60	0,3522	0,50	0,5725	-0,11	NA	0,46	NA	0,66	0,3754
2610034B18Rik	7,74	-0,14	0,8623	-0,20	0,8266	0,01	NA	-0,18	0,9209	-1,67	0,0013	-0,27	0,8085	-0,49	NA	-0,16	0,9300	-1,32	0,0353
2610044O15Rik8	12,80	-0,25	0,7019	0,18	0,8238	-0,07	NA	-0,17	0,9300	-0,28	0,6541	0,46	0,5825	0,56	NA	-0,27	0,8446	0,07	0,9325
2610203C20Rik	33,31	-0,69	0,0811	-0,13	0,8631	0,39	0,9367	0,27	0,8149	-1,06	0,0123	0,01	0,9967	1,20	0,0011	0,67	0,2483	-0,85	0,1426
2610206C17Rik	1,82	0,17	NA	-0,23	0,7239	-0,08	NA	-0,03	NA	0,29	0,6996	-0,24	NA	-0,12	NA	-0,27	NA	-0,26	0,7566
2610301B20Rik	39,13	-0,23	0,5873	0,20	0,7170	-0,08	1,0000	-0,01	0,9925	-0,69	0,0300	0,47	0,4012	0,16	0,8437	0,13	0,9218	-0,66	0,1059
2610305D13Rik	6,39	0,08	0,9336	-0,03	0,9799	0,20	NA	-0,30	NA	-1,18	0,0378	-0,17	0,8903	0,44	NA	-0,63	NA	-1,30	0,0388
2610306M01Rik	4,65	-0,01	0,9949	-0,12	0,9077	0,02	NA	0,11	NA	-0,97	0,0983	0,04	0,9783	-0,39	NA	-0,11	NA	-0,47	0,5631
2610307P16Rik	4,70	-0,12	0,8923	0,09	0,9366	0,00	NA	0,04	NA	-0,21	0,7993	0,21	0,8588	0,32	NA	0,18	NA	-0,93	0,1745
2610507B11Rik	810,71	-0,05	0,9126	0,08	0,8121	0,13	1,0000	0,28	0,3145	0,28	0,1069	0,23	0,7006	0,23	0,6938	0,49	0,2551	0,30	0,4068
2610507I01Rik	4,22	-0,74	0,1842	-0,15	0,8764	-0,02	NA	0,00	NA	0,11	0,8908	0,07	0,9257	0,16	NA	0,27	NA	0,70	0,3480
2610524H06Rik	7,50	-0,06	0,9452	0,39	0,5864	0,02	NA	0,29	0,8217	-0,36	0,6065	0,48	0,5930	-0,10	NA	-0,16	0,9264	0,41	0,5661
2700029M09Rik	53,25	0,25	0,5382	-0,05	0,9477	0,29	1,0000	0,53	0,2211	-0,16	0,7198	-0,15	0,8493	0,57	0,1800	0,34	0,6004	-0,18	0,7058
2700038G22Rik	2,79	0,13	0,8856	0,45	0,5099	-0,08	NA	0,13	NA	0,99	0,0818	0,53	0,5464	0,29	NA	0,28	NA	0,40	0,6267
2700046G09Rik	5,47	0,19	0,8137	0,16	0,8664	0,12	NA	0,19	NA	0,98	0,0703	0,31	0,7715	-0,01	NA	0,24	0,8666	0,44	0,5397
2700049A03Rik	35,62	-0,42	0,2427	0,27	0,5544	-0,14	1,0000	0,22	0,8369	0,06	0,8888	0,20	0,8109	0,29	0,6757	0,39	0,6122	0,34	0,4488
2700054A10Rik	3,10	0,14	0,8742	1,02	0,0503	0,06	NA	0,02	NA	0,27	0,7331	0,52	0,5620	0,32	NA	-0,04	NA	0,09	0,9290
2700060E02Rik	124,45	0,29	0,2369	0,05	0,9271	0,00	1,0000	0,00	0,9988	0,05	0,8947	0,11	0,8452	0,07	0,9132	-0,02	0,9911	-0,08	0,8303
2700062C07Rik	2,46	-0,31	0,6640	0,01	0,9926	-0,05	NA	-0,09	NA	-0,58	0,3792	0,26	0,7891	-0,03	NA	0,00	NA	-0,16	NA
2700081O15Rik	43,39	-0,39	0,3110	-0,36	0,4661	-0,04	1,0000	0,24	0,8292	-0,08	0,8707	-0,30	0,6689	0,11	0,8995	0,63	0,2060	0,28	0,5560
2700089E24Rik	261,76	0,10	0,7888	-1,08	0,0000	-0,08	1,0000	0,04	0,9853	-0,50	0,0307	-0,89	0,0010	0,26	0,5440	0,12	0,8884	-0,35	0,2862
2700094K13Rik	17,33	-0,81	0,0472	0,05	0,9545	0,15	NA	-0,39	0,6592	-0,75	0,0702	0,74	0,2630	0,26	NA	-0,27	0,8496	-0,30	0,6973
2700097O09Rik	5,91	-0,22	0,7792	0,18	0,8480	0,14	NA	0,06	0,9853	0,17	0,8184	0,52	0,5578	-0,02	NA	-0,44	NA	-0,05	0,9585
2810001G20Rik	6,75	-0,02	0,9859	0,20	0,8276	-0,08	NA	-0,13	NA	-0,38	0,5873	0,28	0,8028	0,06	NA	-0,13	0,9425	-0,58	0,4485
2810002D19Rik	2,75	-0,34	0,6339	-0,38	0,5878	-0,10	NA	0,29	NA	-0,12	0,8840	0,05	NA	-0,07	NA	0,22	NA	0,27	0,7672
2810004N23Rik	184,46	0,48	0,0381	-0,10	0,8355	-0,31	0,9896	-0,16	0,8781	0,07	0,8523	-0,45	0,2312	-0,30	0,4841	-0,29	0,5640	-0,20	0,5319
2810006K23Rik	30,80	0,09	0,8843	-0,23	0,7409	-0,11	NA	-0,25	0,8420	-0,43	0,3599	-0,36	0,6277	-0,07	0,9489	-0,09	0,9556	-0,16	0,7639
2810008D09Rik	6,79	-0,33	0,6395	0,12	0,9001	-0,22	NA	-0,11	0,9628	-0,43	0,5182	0,46	0,6305	0,28	NA	-0,05	NA	-0,22	0,8104
2810013P06Rik	30,89	0,22	0,6989	-0,61	0,1890	-0,24	NA	-0,04	0,9853	0,06	0,9160	-0,41	0,5706	-0,19	0,8355	-0,28	0,7948	-0,03	0,9693
2810021J22Rik	26,25	-0,26	0,6183	0,20	0,7548	-0,01	NA	-0,17	0,9211	0,01	0,9804	-0,06	0,9549	0,51	0,3789	0,10	0,9528	-0,30	0,6000
2810025M15Rik	9,61	-0,18	0,8133	0,77	0,1311	0,08	NA	0,16	0,9430	-0,48	0,4478	0,91	0,1479	0,27	NA	0,49	0,6098	-0,35	0,6424
2810029C07Rik	1,36	0,26	NA	0,39	0,4795	0,03	NA	0,04	NA	0,24	0,7316	0,23	0,8336	0,02	NA	-0,06	NA	-0,31	0,7191
2810055G20Rik	7,19	0,39	0,5616	-0,37	0,6369	-0,12	NA	-0,15	NA	-1,14	0,0452	-0,52	0,5542	0,07	NA	-0,75	0,3191	-1,66	0,0049
2810403A07Rik	109,77	-0,20	0,5269	0,01	0,9924	0,13	1,0000	-0,08	0,9574	0,05	0,8676	-0,08	0,9120	0,09	0,8985	0,07	0,9527	0,17	0,6273
2810403D21Rik	5,37	-0,63	0,2784	-0,19	0,8355	-0,12	NA	0,05	0,9853	0,00	0,9980	0,59	0,4810	0,34	NA	0,17	NA	0,27	0,7591
2810408A11Rik	3,31	-0,24	0,7591	0,43	0,5577	0,02	NA	0,12	NA	-0,03	0,9745	-0,02	0,9914	0,08	NA	0,05	NA	0,09	0,9327
2810408M09Rik	7,64	0,32	0,6372	0,27	0,7548	0,03	NA	0,20	0,9060	0,86	0,0894	0,50	0,5419	-0,13	NA	0,25	0,8567	0,07	0,9383
2810410L24Rik	8,42	-0,58	0,3360	-0,40	0,5875	-0,25	NA	-0,45	0,5638	-0,07	0,9256	-0,45	0,6365	-0,16	NA	-0,05	NA	0,44	0,5934
2810417H13Rik	1,41	-0,31	NA	-0,07	0,9487	0,00	NA	-0,21	NA	0,08	0,9310	-0,11	NA	0,20	NA	0,03	NA	-0,09	NA
2810428I15Rik	33,72	0,18	0,7528	-0,25	0,7047	-0,09	NA	0,01	0,9968	0,31	0,4906	-0,53	0,3914	-0,66	0,2462	-0,16	0,9074	0,04	0,9567
2810454H06Rik	1,26	-0,21	NA	0,05	0,9651	0,02	NA	0,09	NA	0,50	0,4726	0,20	NA	0,15	NA	0,40	NA	0,40	NA
2810474O19Rik	63,42	-0,20	0,6767	0,02	0,9841	0,31	1,0000	0,20	0,8579	0,10	0,8209	-0,02	0,9863	0,64	0,1516	0,40	0,5292	0,13	0,8218
2900005J15Rik	1,46	-0,39	NA	-0,46	0,4122	0,01	NA	-0,14	NA	-0,04	0,9663	0,00	NA	0,06	NA	0,00	NA	-0,06	NA

GeneID	CTL	ET-1 vs CTL		SAHA vs CTL		JS28 vs CTL		BSP vs CTL		JQ1 vs CTL		ET-1+SAHA vs ET1		ET-1+JS28 vs ET1		ET-1+BSP vs ET1		ET-1+JQ1 vs ET1	
	mean	log2(FC)	P-adj	log2(FC)	P-adj	log2(FC)	P-adj	log2(FC)	P-adj	log2(FC)	P-adj	log2(FC)	P-adj	log2(FC)	P-adj	log2(FC)	P-adj	log2(FC)	P-adj
2900008C10Rik	1,40	-0,41	NA	-0,21	0,7842	-0,08	NA	-0,20	NA	-0,41	0,5546	-0,08	NA	-0,11	NA	0,07	NA	-0,07	NA
2900026A02Rik	124,47	-0,07	0,8760	-0,26	0,5441	-0,06	1,0000	-0,24	0,7688	-0,16	0,7091	-0,39	0,3680	-0,17	0,7578	-0,46	0,2987	-0,29	0,4668
2900055J20Rik	1,98	-0,29	NA	-0,17	0,8332	-0,06	NA	-0,24	NA	-0,61	0,2778	0,35	NA	0,16	NA	-0,26	NA	-0,21	NA
2900056M20Rik	35,80	-0,31	0,5025	-0,29	0,6251	-0,23	1,0000	0,01	0,9932	0,11	0,8180	0,46	0,4493	0,34	0,6089	-0,23	0,8469	0,24	0,6383
2900060B14Rik	8,09	0,24	0,7682	-0,12	0,9050	-0,11	NA	-0,15	NA	0,30	0,6955	-0,92	0,1864	-0,69	NA	0,07	0,9789	-0,05	0,9612
2900076A07Rik	9,12	-0,24	0,7450	-0,23	0,7845	-0,06	NA	-0,21	0,9021	0,02	0,9760	0,24	0,8286	0,15	NA	-0,34	0,7922	0,30	0,6838
2900097C17Rik	212,49	-0,15	0,5417	-0,07	0,8413	0,16	1,0000	0,27	0,4708	0,23	0,2737	-0,06	0,9201	0,25	0,5266	0,27	0,5401	0,43	0,0691
3000002C10Rik	1,36	-0,02	NA	0,23	0,7593	0,05	NA	0,17	NA	0,91	0,1299	0,23	NA	0,02	NA	-0,06	NA	0,39	0,6436
3010026O09Rik	9,34	0,74	0,1481	0,76	0,1787	-0,08	NA	0,20	0,9060	0,86	0,1073	0,09	0,9414	-0,10	NA	-0,34	0,7865	-0,15	0,8472
3110001I22Rik	4,12	-0,06	0,9467	0,09	0,9319	0,00	NA	-0,22	NA	-0,30	0,6930	-0,11	0,9346	0,15	NA	0,15	NA	-0,76	0,2943
3110002H16Rik	34,39	-0,37	0,3722	-0,38	0,4185	-0,10	1,0000	0,02	0,9901	0,40	0,2566	0,20	0,8144	0,03	0,9768	0,18	0,8960	0,86	0,0134
3110009E18Rik	2,32	0,12	0,8903	0,06	0,9550	0,03	NA	0,17	NA	0,18	0,8180	0,12	0,9255	-0,01	NA	0,10	NA	0,00	0,9984
3110021N24Rik	3,11	-0,16	0,8513	-0,40	0,5626	-0,20	NA	-0,28	NA	-0,38	0,6057	-0,21	0,8466	0,00	NA	-0,24	NA	-0,72	NA
3110040N11Rik	13,49	-0,15	0,8319	-0,08	0,9356	-0,19	NA	0,10	0,9676	-0,40	0,4755	0,27	0,7826	-0,16	NA	-0,40	0,7132	-0,08	0,9258
3110043O21Rik	110,82	0,11	0,7621	0,05	0,9268	0,10	1,0000	0,45	0,1923	0,55	0,0079	0,13	0,8255	-0,06	0,9403	0,19	0,7929	0,52	0,0712
3110052M02Rik	27,42	-0,35	0,4460	-0,20	0,7620	-0,13	NA	-0,13	0,9454	-0,66	0,1178	0,46	0,4661	0,30	0,6786	0,17	0,9028	-0,36	0,5025
3110056K07Rik	9,70	-0,31	0,6439	-0,56	0,3723	-0,08	NA	-0,13	0,9521	-0,35	0,5786	-0,38	0,7090	-0,05	NA	0,17	0,9191	-0,17	0,8396
3110057O12Rik	31,80	-0,22	0,6936	0,42	0,4010	0,00	1,0000	0,13	0,9472	-0,56	0,1784	0,61	0,2583	0,71	0,1463	0,52	0,4405	-0,38	0,4740
3110062M04Rik	4,14	0,04	0,9692	0,16	0,8707	-0,06	NA	0,34	NA	0,52	0,4258	-0,13	0,9255	-0,20	NA	0,48	0,6395	-0,27	0,7691
3110082I17Rik	7,52	0,27	0,7126	-0,04	0,9776	0,10	NA	-0,16	NA	0,02	0,9797	-0,08	0,9494	-0,17	NA	-0,57	0,5304	-0,44	0,5390
3300002I08Rik	1,82	-0,03	NA	-0,11	0,9043	0,08	NA	0,09	NA	0,33	0,6606	0,20	NA	0,10	NA	-0,06	NA	0,02	0,9921
3425401B19Rik	64,12	-0,02	0,9647	-0,51	0,1294	-0,25	1,0000	-0,57	0,1510	-2,05	0,0000	-0,52	0,3140	-0,13	0,8688	-0,48	0,4130	-2,16	0,0000
3632451O06Rik	183,30	-0,23	0,4117	0,40	0,0875	0,00	1,0000	0,12	0,8994	-0,27	0,2135	0,63	0,0403	0,33	0,4149	0,67	0,0218	-0,03	0,9516
3830406C13Rik	13,64	-0,59	0,2229	-0,47	0,4447	-0,15	NA	-0,11	0,9634	-0,84	0,0835	0,37	0,6997	0,15	NA	-0,12	0,9492	-0,62	0,3320
3830408C21Rik	1,07	0,04	NA	0,15	0,8421	0,01	NA	-0,01	NA	-0,10	NA	-0,12	NA	0,16	NA	-0,01	NA	0,00	NA
4430402I18Rik	9,55	-0,36	0,5857	-0,28	0,7251	-0,05	NA	-0,34	0,7446	-1,01	0,0566	0,19	0,8709	0,30	NA	-0,05	0,9911	-1,30	0,0381
4632415L05Rik	33,14	0,10	0,8554	-0,22	0,7144	-0,23	NA	-0,15	0,9295	-0,39	0,3329	-0,35	0,6257	-0,11	0,9063	-0,39	0,6212	-0,29	0,5715
4632427E13Rik	10,72	-0,22	0,7534	-0,54	0,4042	-0,16	NA	-0,02	0,9925	-0,15	0,8323	-0,50	0,5667	-0,06	NA	-0,05	0,9867	0,15	0,8535
4632428C04Rik	2,70	-0,04	0,9646	0,61	0,3256	-0,05	NA	0,05	NA	-0,50	0,4685	0,69	0,3696	-0,08	NA	0,13	NA	0,43	0,6051
4632434I11Rik	29,54	-0,25	0,6638	-0,25	0,7218	-0,08	NA	-0,30	0,7934	-0,78	0,0894	-0,37	0,6335	0,04	0,9726	-0,44	0,5949	-0,63	0,2636
4732416N19Rik	1,70	-0,09	NA	-0,10	0,9046	-0,04	NA	0,08	NA	0,06	0,9504	0,39	0,6536	-0,07	NA	-0,03	NA	-0,12	NA
4732471J01Rik	2,01	-0,04	NA	-0,31	0,6548	-0,15	NA	-0,07	NA	-0,55	0,3817	0,02	NA	-0,12	NA	-0,28	NA	-0,41	NA
4732491K20Rik	7,64	-0,19	0,8085	0,15	0,8773	-0,08	NA	0,02	0,9901	-0,40	0,5481	0,30	0,7764	0,22	NA	0,16	0,9316	-0,31	0,7046
4831440E17Rik	4,02	-0,82	0,1300	0,14	0,8869	0,01	NA	0,23	0,8797	-0,01	0,9946	0,72	0,3333	0,66	NA	0,62	NA	0,96	0,1589
4833412C05Rik	3,43	1,23	0,0092	0,01	NA	0,03	NA	-0,12	NA	-0,19	NA	-0,30	0,7826	-0,62	NA	-1,12	NA	-1,60	0,0082
4833417C18Rik	2,67	-0,42	0,5275	0,14	0,8781	0,04	NA	0,22	NA	-0,20	0,8054	0,73	0,3170	0,24	NA	0,25	NA	0,50	0,5365
4833418N02Rik	1,83	-0,51	NA	-0,54	0,3216	-0,05	NA	-0,09	NA	-0,45	0,5102	-0,09	NA	0,11	NA	0,07	NA	0,57	NA
4833419F23Rik	4,69	-0,05	0,9627	-0,09	0,9354	0,06	NA	0,00	NA	-0,06	0,9460	0,14	0,9149	-0,06	NA	-0,29	NA	-0,57	0,4663
4833420G17Rik	22,95	-0,84	0,0324	0,09	0,9150	0,02	NA	-0,06	0,9853	-0,03	0,9612	0,78	0,1912	0,69	NA	0,62	0,4003	0,40	0,5055
4833422C13Rik	1,02	0,09	NA	-0,18	NA	-0,04	NA	-0,09	NA	-0,04	NA	0,46	0,5721	0,19	NA	-0,22	NA	-0,12	NA
4833424O15Rik	76,98	-0,31	0,4957	-0,41	0,2658	-0,52	0,3547	-0,41	0,4532	-1,38	0,0000	-0,03	0,9789	0,04	0,9726	0,16	0,9023	-0,93	0,0322
4833439L19Rik	167,83	-0,06	0,8855	-0,16	0,6411	-0,01	1,0000	0,08	0,9449	0,48	0,0069	0,17	0,7612	0,19	0,7074	0,43	0,2627	0,61	0,0149
4921504A21Rik	11,46	0,01	0,9943	-0,54	0,3884	0,03	NA	0,20	0,9096	-0,17	0,8015	-0,41	0,6583	0,16	NA	0,36	0,7465	-0,42	0,5632
4921507P07Rik	1,96	-0,04	NA	0,39	0,5934	0,06	NA	0,23	NA	0,11	0,8908	0,26	0,8028	0,10	NA	0,00	NA	-0,17	NA
4921524J17Rik	64,52	0,54	0,0924	0,31	0,4690	0,14	1,0000	0,32	0,6695	0,33	0,3739	0,14	0,8514	0,03	0,9768	0,12	0,9214	0,02	0,9772

GeneID	CTL	ET-1 vs CTL		SAHA vs CTL		JS28 vs CTL		BSP vs CTL		JQ1 vs CTL		ET-1+SAHA vs ET1		ET-1+JS28 vs ET1		ET-1+BSP vs ET1		ET-1+JQ1 vs ET1	
	mean	log2(FC)	P-adj	log2(FC)	P-adj	log2(FC)	P-adj	log2(FC)	P-adj	log2(FC)	P-adj	log2(FC)	P-adj	log2(FC)	P-adj	log2(FC)	P-adj	log2(FC)	P-adj
4921531C22Rik	6,58	-0,57	0,3340	-0,44	0,5377	-0,03	NA	-0,33	0,7446	-0,96	0,0883	0,16	0,8967	-0,09	NA	0,35	NA	-0,19	0,8377
4930402H24Rik	148,06	-0,09	0,8256	-0,30	0,2854	-0,12	1,0000	-0,14	0,8809	-0,39	0,0660	-0,40	0,3806	-0,08	0,9177	-0,32	0,5893	-0,59	0,0409
4930404N11Rik	1,64	-0,04	NA	0,12	0,8877	-0,06	NA	-0,19	NA	0,23	0,7728	0,21	NA	-0,09	NA	-0,24	NA	0,28	0,7549
4930405A21Rik	2,07	-0,15	NA	-0,13	0,8895	-0,18	NA	0,00	NA	0,45	0,5281	0,15	NA	0,06	NA	0,18	NA	0,54	0,4997
4930414L22Rik	4,37	0,47	0,4758	-0,18	0,8317	-0,04	NA	-0,22	NA	0,60	0,3624	-0,27	0,8065	-0,52	NA	-0,34	NA	-0,26	0,7566
4930415F15Rik	2,09	-0,12	NA	-0,32	0,6327	0,18	NA	-0,08	NA	-0,25	0,7454	-0,19	NA	0,15	NA	0,10	NA	0,26	0,7741
4930427A07Rik	1,79	-0,09	NA	0,25	0,7550	0,01	NA	0,07	NA	0,44	0,5336	-0,44	NA	-0,10	NA	0,24	NA	0,34	0,6948
4930429B21Rik	6,56	1,18	0,0110	0,38	0,6108	0,01	NA	-0,10	NA	0,41	0,5757	-0,19	0,8681	-0,93	NA	-0,89	0,1798	-0,60	0,3528
4930429F24Rik	2,83	0,03	0,9726	-0,25	0,7376	-0,15	NA	-0,20	NA	-0,04	0,9658	-0,04	0,9739	-0,04	NA	-0,26	NA	-0,20	0,8354
4930430F08Rik	25,53	-0,32	0,5321	0,26	0,6588	0,05	NA	0,23	0,8587	0,18	0,7194	0,50	0,4534	0,65	0,2335	0,37	0,6935	0,58	0,2769
4930451G09Rik	3,04	-0,63	0,2786	-0,06	0,9577	-0,02	NA	0,27	NA	0,48	0,4675	0,55	0,4638	0,48	NA	0,48	NA	1,12	0,0890
4930452B06Rik	14,67	0,41	0,4520	-0,04	0,9765	-0,01	NA	-0,47	0,5477	-0,91	0,0939	-0,31	0,7401	-0,16	NA	-0,82	0,2105	-1,46	0,0044
4930453N24Rik	59,33	0,36	0,2211	-0,11	0,8569	0,03	1,0000	-0,02	0,9901	-0,31	0,3548	-0,25	0,6788	0,00	0,9963	-0,23	0,7738	-0,47	0,1485
4930473A02Rik	2,09	0,07	NA	-0,07	0,8349	-0,08	NA	-0,06	NA	0,32	0,5695	0,15	0,8963	0,08	NA	-0,34	NA	0,11	0,8714
4930481A15Rik	20,81	-0,93	0,0274	-0,67	0,1988	-0,03	NA	-0,21	0,8966	-0,93	0,0323	-0,27	0,8036	0,45	NA	0,63	0,4266	-0,50	0,4568
4930503L19Rik	11,48	0,07	0,9356	-0,10	0,9136	0,01	NA	-0,33	0,7548	-0,60	0,2795	-0,08	0,9476	0,11	NA	-0,33	0,7910	-1,09	0,0605
4930506C21Rik	2,59	0,40	0,5382	-0,28	0,6108	-0,09	NA	-0,08	NA	0,30	0,6915	-0,18	0,8734	-0,03	NA	-0,47	NA	-0,06	0,9552
4930506M07Rik	7,62	-0,29	0,6791	-0,47	0,4903	0,08	NA	-0,14	0,9469	-0,96	0,0974	-0,46	0,6283	-0,02	NA	-0,40	NA	-1,29	0,0412
4930513N10Rik	7,27	-0,03	0,9800	-0,48	0,4880	-0,31	NA	-0,29	NA	0,31	0,6324	-0,29	0,7960	-0,16	NA	-0,30	0,8262	0,13	0,8886
4930515G01Rik	1,80	0,31	NA	-0,14	0,8332	0,07	NA	0,01	NA	0,01	0,9913	-0,06	0,9629	-0,23	NA	-0,15	NA	-0,34	0,6850
4930526I15Rik	2,40	-0,17	0,8329	-0,03	0,9822	-0,05	NA	0,07	NA	0,13	0,8776	0,28	0,7815	0,08	NA	0,08	NA	0,14	0,8850
4930528A17Rik	2,01	-0,17	NA	-0,28	0,6988	-0,03	NA	0,15	NA	0,16	0,8454	-0,05	NA	0,15	NA	0,16	NA	0,20	0,8282
4930538K18Rik	1,75	-0,15	NA	0,39	0,5668	-0,05	NA	-0,03	NA	-0,07	0,9315	0,03	NA	-0,08	NA	0,28	NA	0,51	0,5099
4930539J05Rik	1,14	-0,09	NA	-0,09	0,9085	-0,01	NA	0,04	NA	0,32	0,6604	-0,24	NA	0,14	NA	-0,05	NA	0,02	NA
4930549G23Rik	1,01	0,20	NA	-0,15	NA	-0,05	NA	-0,04	NA	-0,07	NA	-0,17	NA	-0,18	NA	-0,25	NA	0,32	0,7006
4930563E22Rik	4,01	-0,46	0,4780	-0,18	0,8430	0,04	NA	-0,19	NA	-0,35	0,6359	0,15	0,8999	0,16	NA	-0,09	NA	-0,36	0,6425
4930570G19Rik	2,53	-0,39	0,5641	-0,16	0,8571	0,04	NA	-0,03	NA	-0,25	0,7508	-0,22	NA	0,43	NA	-0,18	NA	0,22	0,8135
4930577N17Rik	2,18	-0,04	NA	-0,40	0,5114	-0,01	NA	0,01	NA	-0,16	0,8492	-0,06	NA	0,06	NA	-0,18	NA	0,51	0,5264
4930579G18Rik	1,72	-0,05	NA	-0,07	0,8644	-0,02	NA	-0,15	NA	0,03	0,9721	0,08	NA	-0,03	NA	-0,17	NA	0,24	NA
4930579G24Rik	9,77	0,44	0,4468	0,40	0,5699	-0,10	NA	0,08	0,9769	0,46	0,4318	0,17	0,8816	-0,26	NA	-0,16	0,9267	-0,52	0,3937
4931406C07Rik	44,29	-0,29	0,4136	0,14	0,8112	0,28	1,0000	-0,24	0,8147	-0,47	0,1477	0,08	0,9359	0,41	0,4532	-0,10	0,9438	-0,36	0,4127
4931406H21Rik	8,00	-0,28	0,7071	0,70	0,1984	0,01	NA	0,01	0,9932	0,16	0,8265	0,33	0,7579	0,36	NA	-0,13	0,9487	-0,23	0,7931
4931406P16Rik	111,78	0,13	0,6969	0,26	0,4580	0,13	1,0000	0,22	0,7648	0,39	0,1054	0,30	0,4769	-0,19	0,7129	0,09	0,9192	0,36	0,1680
4931412M21	9,76	-0,86	0,0759	-1,10	0,0258	-0,41	NA	-0,26	0,8475	-1,93	0,0001	-0,71	0,3587	-0,02	NA	-0,11	NA	-1,38	0,0278
4931414P19Rik	7,75	0,19	0,8030	0,33	0,6763	-0,07	NA	-0,27	NA	-0,74	0,2205	-0,23	0,8383	-0,38	NA	-0,70	0,3840	-0,06	0,9488
4931428F04Rik	10,22	0,47	0,4163	-0,25	0,7720	-0,01	NA	-0,08	0,9770	0,22	0,7690	-0,68	0,3584	-0,50	NA	-0,52	0,5783	-0,90	0,1345
4932416H05Rik	3,80	-0,08	0,9370	0,21	0,8217	0,24	NA	0,20	NA	0,17	0,8403	0,39	0,7027	0,24	NA	0,04	NA	0,39	0,6354
4932418E24Rik	3,17	-0,92	0,0590	0,68	0,2602	0,00	NA	-0,04	NA	-0,96	0,0969	0,14	NA	0,10	NA	0,18	NA	-0,08	NA
4932438A13Rik	467,68	-0,36	0,0145	-0,37	0,0457	-0,19	1,0000	0,23	0,4968	0,06	0,8203	-0,34	0,2688	0,25	0,4532	0,29	0,4025	0,36	0,1506
4932441J04Rik	2,61	-0,06	0,9485	-0,07	0,9487	-0,04	NA	0,03	NA	0,74	0,2375	0,21	0,8542	0,10	NA	0,50	NA	1,01	0,1260
4933404O12Rik	6,37	0,37	0,6007	-0,01	0,9926	0,17	NA	-0,07	NA	-0,65	0,3183	-0,09	0,9476	0,02	NA	-0,74	0,3227	-1,39	0,0247
4933406C10Rik	2,74	0,01	0,9927	0,04	0,9721	0,03	NA	0,07	NA	-0,36	0,6231	0,16	0,8923	-0,14	NA	-0,16	NA	-0,34	0,6947
4933406F09Rik	1,89	-0,12	NA	-0,42	0,4502	-0,14	NA	-0,22	NA	-0,73	0,1657	-0,09	NA	-0,20	NA	-0,22	NA	-0,53	NA
4933407E24Rik	1,66	-0,21	NA	-0,28	0,6911	-0,10	NA	-0,28	NA	-0,50	0,4417	-0,02	NA	-0,12	NA	-0,08	NA	-0,25	NA
4933407K13Rik	3,26	-0,35	0,6239	-0,07	0,9523	-0,06	NA	-0,20	NA	-0,72	0,2533	0,03	0,9837	0,20	NA	0,18	NA	0,18	0,8542

GeneID	CTL	ET-1 vs CTL		SAHA vs CTL		JS28 vs CTL		BSP vs CTL		JQ1 vs CTL		ET-1+SAHA vs ET1		ET-1+JS28 vs ET1		ET-1+BSP vs ET1		ET-1+JQ1 vs ET1	
	mean	log2(FC)	P-adj	log2(FC)	P-adj	log2(FC)	P-adj	log2(FC)	P-adj	log2(FC)	P-adj	log2(FC)	P-adj	log2(FC)	P-adj	log2(FC)	P-adj	log2(FC)	P-adj
4933411K20Rik	124,23	-0,31	0,1857	-0,30	0,3029	-0,05	1,0000	0,15	0,8676	-0,01	0,9876	0,20	0,7035	0,41	0,2866	0,17	0,8339	0,33	0,3214
4933412E12Rik	2,52	0,10	0,9114	1,31	0,0057	0,08	NA	0,01	NA	-0,55	0,3824	1,01	0,1335	0,21	NA	-0,38	NA	-0,08	0,9382
4933416M07Rik	1,04	-0,06	NA	-0,16	NA	-0,05	NA	-0,09	NA	0,07	0,8904	0,01	NA	-0,10	NA	-0,17	NA	0,18	NA
4933417D19Rik	1,49	0,08	NA	0,20	0,7885	0,11	NA	0,08	NA	0,37	0,5940	0,23	NA	0,08	NA	0,41	NA	0,82	0,2520
4933421O10Rik	5,90	0,18	0,8312	0,06	0,9567	0,14	NA	0,25	NA	0,96	0,0605	-0,33	0,7585	-0,10	NA	0,17	0,9211	0,53	0,4703
4933426M11Rik	176,16	0,24	0,3535	0,03	0,9591	-0,15	1,0000	0,01	0,9932	0,78	0,0001	0,13	0,8143	-0,13	0,8261	-0,28	0,5862	0,68	0,0062
4933427D14Rik	31,08	-0,49	0,2008	0,33	0,5010	-0,08	1,0000	-0,28	0,7884	-1,31	0,0006	0,36	0,6128	0,31	0,6581	-0,18	0,8960	-1,34	0,0041
4933428G20Rik	1,06	0,33	NA	-0,04	NA	-0,02	NA	-0,02	NA	0,37	NA	0,00	NA	0,10	NA	-0,34	NA	-0,21	NA
4933431E20Rik	3,01	0,00	0,9999	1,36	0,0037	0,37	NA	0,44	NA	0,34	0,6548	1,35	0,0222	0,39	NA	0,00	NA	0,09	0,9296
4933432I09Rik	5,32	-0,14	0,8681	0,14	0,8873	0,01	NA	0,29	0,8102	0,75	0,1898	-0,19	0,8765	0,07	NA	0,38	0,7504	0,89	0,1383
4933433G19Rik	1,07	-0,11	NA	-0,22	NA	-0,06	NA	-0,07	NA	0,16	0,8346	0,19	NA	0,02	NA	-0,19	NA	0,04	NA
4933434E20Rik	84,34	0,08	0,8382	-0,21	0,6128	0,35	0,7849	0,13	0,9124	0,13	0,6953	-0,11	0,8745	-0,02	0,9780	0,01	0,9980	-0,06	0,9035
4933439C10Rik	4,33	0,01	0,9952	-0,34	0,6626	0,04	NA	-0,13	NA	-0,19	0,8180	-0,37	0,7140	0,04	NA	-0,45	NA	-0,81	0,2556
5031414D18Rik	3,83	-0,16	0,8497	0,48	0,4893	-0,02	NA	0,28	NA	-0,02	0,9808	0,10	0,9414	0,21	NA	-0,01	NA	0,24	0,7963
5031425E22Rik	25,18	-0,45	0,2832	-0,76	0,0799	-0,16	NA	0,14	0,9427	0,11	0,8327	-0,16	0,8781	0,20	0,8232	0,33	0,7412	0,21	0,7504
5031426D15Rik	25,30	-0,08	0,9091	-0,49	0,3935	-0,51	NA	-0,24	0,8610	-0,72	0,1396	-0,33	0,7176	-0,06	0,9622	-0,39	0,6935	-1,17	0,0207
5031434O11Rik	1,46	-0,21	NA	0,28	0,7099	0,05	NA	0,04	NA	0,52	0,4546	0,42	NA	0,18	NA	0,30	NA	0,43	0,5948
5031439G07Rik	52,61	0,25	0,5034	0,34	0,4255	0,23	1,0000	0,50	0,2687	0,94	0,0002	-0,04	0,9596	-0,44	0,3823	0,32	0,6297	0,87	0,0003
5330426P16Rik	8,14	0,82	0,1179	0,84	0,1320	0,10	NA	0,33	NA	0,76	0,1893	0,39	0,6621	-0,18	NA	-0,04	0,9911	0,34	0,6314
5430405H02Rik	2,91	0,13	0,8789	0,04	0,9710	0,00	NA	0,14	NA	0,25	0,7510	0,09	0,9452	0,07	NA	-0,10	NA	-0,12	0,9084
5430416N02Rik	1,61	0,16	NA	0,10	0,9044	0,04	NA	0,08	NA	0,17	0,8346	-0,34	NA	-0,07	NA	-0,15	NA	-0,30	NA
5430417L22Rik	73,10	0,59	0,0225	0,26	0,5430	0,05	1,0000	0,15	0,9121	0,35	0,2293	-0,34	0,4945	-0,31	0,5440	-0,34	0,5747	-0,25	0,4836
5530601H04Rik	7,58	-0,25	0,7365	-0,05	0,9677	0,05	NA	-0,21	0,8998	-0,50	0,4339	-0,01	0,9952	0,02	NA	0,04	0,9918	-0,31	0,6956
5730405O15Rik	2,83	0,27	0,7222	0,30	0,7047	0,09	NA	0,11	NA	-0,36	0,6039	-0,12	0,9257	-0,32	NA	0,04	NA	-0,29	0,7397
5730408K05Rik	14,51	0,03	0,9734	0,18	0,8475	0,07	NA	0,13	0,9587	-0,04	0,9597	-0,04	0,9755	-0,21	NA	0,00	1,0000	0,09	0,9292
5730422E09Rik	1,85	-0,12	NA	-0,07	0,9488	-0,13	NA	-0,18	NA	-0,12	0,8873	-0,18	NA	-0,13	NA	0,02	NA	0,08	0,9382
5730455P16Rik	127,34	-0,07	0,8594	0,17	0,6620	0,01	1,0000	-0,02	0,9901	-0,41	0,0731	0,22	0,6531	0,34	0,4291	0,07	0,9438	-0,28	0,5573
5730480H06Rik	3,50	-0,68	0,2364	0,11	0,9174	-0,08	NA	0,00	NA	-0,36	0,6264	0,56	0,4882	0,66	NA	0,61	NA	0,29	0,7441
5730508B09Rik	4,41	0,51	0,4253	0,83	0,1369	0,08	NA	0,36	NA	0,94	0,1028	0,17	0,8878	0,08	NA	-0,16	0,9264	0,46	0,5482
5830415F09Rik	7,29	0,13	0,8828	-0,86	0,1218	-0,13	NA	0,01	0,9932	0,11	0,8827	-0,34	0,7501	-0,28	NA	0,21	0,8990	-0,18	0,8364
5830417I10Rik	47,07	-0,24	0,5831	-0,40	0,3901	-0,32	1,0000	-0,05	0,9853	0,00	0,9948	-0,38	0,5447	-0,09	0,9192	0,06	0,9745	0,31	0,4322
5830418K08Rik	83,48	0,09	0,8340	-0,28	0,4892	-0,06	1,0000	-0,01	0,9908	-0,14	0,6880	-0,42	0,3707	0,00	0,9975	-0,14	0,8915	-0,18	0,6781
5930403L14Rik	17,85	0,59	0,2729	-0,39	0,5941	-0,08	NA	-0,42	0,6195	-0,51	0,3961	-0,58	0,4435	-0,55	NA	-0,73	0,2918	-0,80	0,1942
5930430L01Rik	10,87	-0,20	0,7789	0,32	0,6508	0,08	NA	-0,21	0,9021	0,34	0,5338	0,51	0,5243	0,04	NA	0,00	1,0000	0,04	0,9669
6030419C18Rik	5,55	0,06	0,9543	-0,27	0,7473	-0,04	NA	0,11	NA	0,47	0,4914	-0,61	0,4493	-0,33	NA	0,15	0,9322	0,01	0,9975
6030443J06Rik	7,23	-0,58	0,3098	-0,40	0,5936	-0,17	NA	-0,26	0,8491	-1,13	0,0346	0,06	0,9654	0,24	NA	0,23	0,8833	-0,56	0,4661
6030458C11Rik	63,84	0,19	0,6035	-0,23	0,6032	0,01	1,0000	0,01	0,9925	-0,33	0,3049	-0,23	0,7187	-0,07	0,9327	-0,33	0,6061	-0,36	0,2935
6230400D17Rik	4,58	0,33	0,6520	-0,22	0,8004	-0,07	NA	0,00	NA	-0,36	0,6314	-0,40	0,6902	-0,52	NA	-0,37	NA	-0,59	0,4368
6330403K07Rik	3,35	-0,50	0,4307	0,06	0,9579	0,00	NA	-0,10	NA	-0,30	0,7011	-0,03	NA	0,13	NA	0,23	NA	-0,17	NA
6330408A02Rik	15,04	-0,21	0,7432	-0,12	0,8925	0,06	NA	-0,05	0,9853	-0,98	0,0367	-0,52	0,5265	-0,09	NA	-0,30	0,8229	-0,48	0,4576
6330410L21Rik	5,92	-0,52	0,4137	-0,05	0,9682	-0,22	NA	-0,39	NA	-1,51	0,0046	0,71	0,3630	0,56	NA	-0,39	NA	-0,56	0,4696
6330416G13Rik	1,29	0,33	NA	0,18	NA	0,02	NA	0,08	NA	0,21	NA	-0,02	NA	-0,01	NA	-0,29	NA	-0,23	NA
6330418K02Rik	4,54	0,07	0,9412	0,16	0,8680	0,07	NA	0,21	NA	0,32	0,6582	0,10	0,9414	-0,24	NA	0,24	0,8665	0,10	0,9220
6330419J24Rik	1,50	-0,24	NA	-0,03	0,9804	0,06	NA	-0,06	NA	0,13	0,8796	0,44	NA	0,13	NA	0,08	NA	-0,16	NA
6330549D23Rik	1,06	-0,05	NA	-0,06	NA	0,01	NA	-0,11	NA	-0,06	0,9434	-0,25	NA	-0,11	NA	-0,05	NA	-0,17	NA

GeneID	CTL	ET-1 vs CTL		SAHA vs CTL		JS28 vs CTL		BSP vs CTL		JQ1 vs CTL		ET-1+SAHA vs ET1		ET-1+JS28 vs ET1		ET-1+BSP vs ET1		ET-1+JQ1 vs ET1	
	mean	log2(FC)	P-adj	log2(FC)	P-adj	log2(FC)	P-adj	log2(FC)	P-adj	log2(FC)	P-adj	log2(FC)	P-adj	log2(FC)	P-adj	log2(FC)	P-adj	log2(FC)	P-adj
6430411K18Rik	2,07	0,31	NA	-0,02	0,9836	-0,14	NA	-0,18	NA	0,44	0,5266	-0,35	NA	-0,34	NA	-0,44	NA	-0,02	0,9895
6430548M08Rik	56,02	0,39	0,3512	0,37	0,4848	-0,52	0,5240	0,03	0,9867	0,99	0,0012	0,09	0,9054	-0,52	0,2656	0,32	0,6122	0,93	0,0001
6430571L13Rik	3,05	-0,13	0,8874	0,11	0,9098	0,03	NA	-0,16	NA	-0,46	0,5117	0,58	0,4886	0,05	NA	0,25	NA	-0,03	0,9807
6430573F11Rik	1,36	0,34	NA	0,11	NA	0,12	NA	0,02	NA	-0,05	NA	0,22	0,8376	-0,04	NA	-0,33	NA	-0,81	NA
6530402F18Rik	3,24	0,22	0,7902	0,94	0,0767	-0,14	NA	-0,05	NA	-0,19	0,8160	1,01	0,1307	0,07	NA	-0,12	NA	-0,56	0,4722
6720489N17Rik	3,74	-0,01	0,9930	0,81	0,1528	0,05	NA	-0,25	NA	-0,16	0,8466	0,77	0,3053	0,50	NA	-0,01	NA	-0,38	0,6493
6820408C15Rik	1,62	0,04	NA	0,45	0,4860	-0,06	NA	-0,16	NA	-0,31	0,6460	0,22	NA	-0,28	NA	-0,11	NA	-0,27	NA
6820431F20Rik	147,19	0,03	0,9534	-0,31	0,3047	-0,29	0,9896	-0,31	0,5372	0,23	0,5322	-0,36	0,4627	0,19	0,7477	-0,17	0,8496	-0,02	0,9815
8030462N17Rik	90,96	0,38	0,1128	0,36	0,2434	0,04	1,0000	0,18	0,8571	0,66	0,0029	0,15	0,7990	-0,14	0,8216	-0,09	0,9264	0,25	0,4132
8430419L09Rik	10,53	-0,04	0,9678	0,44	0,5212	-0,05	NA	0,16	0,9370	-1,02	0,0646	0,24	0,8251	-0,12	NA	-0,39	0,7336	-0,50	0,4709
8430427H17Rik	22,94	-0,50	0,2225	0,88	0,0081	0,12	NA	-0,32	0,7449	-0,15	0,7795	0,91	0,0660	0,54	0,3774	0,57	0,4159	0,74	0,0716
8430429K09Rik	20,45	-0,14	0,8335	-0,06	0,9523	-0,18	NA	0,26	0,8489	0,53	0,2289	0,06	0,9601	0,06	NA	0,65	0,2968	0,66	0,1066
8430431K14Rik	4,16	-1,28	0,0053	-0,76	0,1907	-0,29	NA	-0,27	NA	-1,54	0,0038	0,05	NA	0,22	NA	0,05	NA	0,04	NA
9030025P20Rik	5,05	-0,46	0,4762	-0,37	0,6313	-0,14	NA	-0,33	NA	-0,62	0,3325	0,06	0,9666	0,34	NA	-0,05	NA	-0,34	0,6930
9030617O03Rik	55,84	-1,20	0,0000	-0,36	0,4132	-0,36	0,9675	-1,06	0,0009	-1,94	0,0000	0,17	0,8421	0,44	0,4442	-0,90	0,0868	-1,29	0,0078
9030624G23Rik	1,32	-0,14	NA	0,16	0,8494	-0,06	NA	-0,07	NA	-0,55	NA	0,00	NA	-0,07	NA	-0,07	NA	-0,34	NA
9030624J02Rik	73,59	-0,33	0,3362	-0,01	0,9883	0,18	1,0000	0,06	0,9798	-0,11	0,7729	0,03	0,9771	0,18	0,7772	-0,01	0,9935	0,02	0,9739
9130011E15Rik	39,09	-0,18	0,7063	-0,63	0,1317	-0,02	1,0000	-0,22	0,8671	-0,56	0,1248	-0,93	0,0527	0,24	0,7225	-0,40	0,6122	-0,39	0,3673
9130019O22Rik	5,03	-0,32	0,6614	0,26	0,7636	0,08	NA	-0,09	NA	0,04	0,9614	0,37	0,7224	0,12	NA	0,12	NA	0,49	0,5391
9130023H24Rik	15,24	0,18	0,7894	-0,20	0,8018	0,00	NA	0,19	0,9125	0,50	0,2843	-0,14	0,8970	0,06	NA	0,22	0,8660	0,27	0,6400
9130221H12Rik	9,68	0,21	0,7864	-0,31	0,7037	-0,23	NA	0,08	0,9769	0,56	0,3235	-0,29	0,7891	-0,25	NA	-0,33	0,7959	-0,14	0,8636
9130401M01Rik	19,24	0,03	0,9710	-0,29	0,6898	-0,09	NA	-0,03	0,9860	0,17	0,7650	-0,24	0,8064	-0,10	NA	-0,07	0,9745	0,26	0,6421
9230110C19Rik	19,96	-0,73	0,0612	0,15	0,8389	-0,24	NA	-0,14	0,9440	-0,77	0,0696	0,40	0,6364	0,38	NA	-0,19	0,9064	0,00	0,9982
9230114K14Rik	33,89	0,34	0,4430	0,25	0,6859	-0,16	NA	-0,50	0,4548	-0,24	0,6312	-0,17	0,8418	-0,21	0,7800	-0,45	0,5273	-0,82	0,0695
9330020H09Rik	2,59	0,10	0,9173	-0,27	0,7059	-0,01	NA	-0,11	NA	0,78	0,2086	-0,15	0,8999	0,12	NA	-0,33	NA	0,15	0,8850
9330102E08Rik	13,33	-0,18	0,7962	0,81	0,0594	-0,11	NA	-0,47	0,5518	-0,23	0,7087	0,61	0,3909	0,26	NA	-0,08	0,9714	0,05	0,9514
9330133O14Rik	10,63	0,31	0,6401	-0,13	0,8952	0,02	NA	0,04	0,9853	0,54	0,3084	0,52	0,5019	0,87	NA	1,32	0,0031	0,80	0,1177
9330151L19Rik	9,95	-0,41	0,5146	-0,25	0,7534	0,00	NA	0,10	0,9700	0,28	0,6365	-0,39	0,7083	0,26	NA	0,32	0,8103	0,75	0,1930
9330158H04Rik	5,09	-0,25	0,7568	-0,44	0,5452	-0,09	NA	-0,27	NA	-0,89	0,1387	0,02	0,9889	-0,22	NA	-0,22	NA	-0,47	0,5703
9330159F19Rik	1,14	-0,36	NA	0,60	0,3144	-0,07	NA	-0,19	NA	-0,44	0,4859	0,41	NA	0,25	NA	-0,03	NA	0,04	NA
9330159M07Rik	4,80	0,12	0,8903	0,09	0,9332	0,09	NA	-0,02	NA	-0,76	0,2248	-0,05	0,9754	0,00	NA	-0,25	NA	-0,95	0,1625
9330179D12Rik	2,67	0,40	0,5595	-0,44	0,3706	-0,12	NA	-0,14	NA	-0,54	0,3422	-0,59	0,4372	-0,31	NA	-0,37	NA	-0,78	0,2738
9330182L06Rik	3,38	0,19	0,8204	0,97	0,0670	-0,01	NA	-0,06	NA	0,72	0,2409	0,71	0,3636	0,17	NA	-0,12	NA	0,89	0,1696
9430008C03Rik	7,13	0,64	0,2615	0,07	0,9523	0,16	NA	0,20	NA	0,20	0,8008	-0,49	0,5932	-0,41	NA	-0,60	0,4938	-0,59	0,3832
9430015G10Rik	15,38	-0,20	0,7670	0,16	0,8363	0,11	NA	-0,02	0,9925	0,19	0,7345	-0,86	0,2004	-0,08	NA	0,17	0,9178	0,30	0,6251
9430016H08Rik	27,61	0,51	0,1791	0,09	0,9169	0,24	NA	0,19	0,9060	0,00	0,9996	0,08	0,9374	-0,20	0,8170	-0,15	0,9065	-0,65	0,1688
9430020K01Rik	67,31	0,51	0,0861	0,45	0,2673	0,23	1,0000	-0,22	0,8512	0,68	0,0118	-0,14	0,8292	-0,26	0,6376	-0,71	0,0630	0,47	0,1037
9430037G07Rik	3,55	-0,28	0,7197	-0,09	0,9337	0,02	NA	-0,16	NA	-0,88	0,1391	0,29	0,7873	0,30	NA	-0,10	NA	-0,06	0,9535
9430038I01Rik	2,39	0,09	0,9151	0,36	0,6097	0,00	NA	-0,08	NA	-0,13	0,8626	0,09	0,9426	-0,23	NA	-0,25	NA	-0,38	0,6451
9430076C15Rik	5,85	-0,08	0,9340	-0,46	0,5194	-0,16	NA	-0,06	NA	-0,28	0,7046	-0,06	0,9649	0,14	NA	-0,14	NA	-0,21	0,8140
9430083A17Rik	2,06	0,15	NA	0,71	0,1967	0,14	NA	-0,04	NA	0,74	0,2433	0,58	0,4858	0,27	NA	0,00	NA	0,34	0,6956
9430091E24Rik	5,71	-0,11	0,9029	-0,10	0,9252	-0,06	NA	0,19	0,9060	0,39	0,5707	0,15	0,9095	0,06	NA	0,21	0,8947	0,34	0,6798
9530051G07Rik	1,28	0,03	NA	-0,01	0,9926	-0,08	NA	0,02	NA	-0,13	0,8676	-0,05	NA	0,02	NA	0,02	NA	-0,43	NA
9530052E02Rik	2,17	0,34	NA	-0,11	0,8722	-0,07	NA	-0,12	NA	0,36	0,5997	-0,47	0,5791	-0,26	NA	-0,48	NA	0,14	0,8904
9530053A07Rik	1,37	-0,15	NA	-0,16	0,8333	-0,11	NA	-0,22	NA	-0,50	0,3910	-0,07	NA	0,07	NA	-0,18	NA	-0,27	NA

GeneID	CTL	ET-1 vs CTL		SAHA vs CTL		JS28 vs CTL		BSP vs CTL		JQ1 vs CTL		ET-1+SAHA vs ET1		ET-1+JS28 vs ET1		ET-1+BSP vs ET1		ET-1+JQ1 vs ET1	
	mean	log2(FC)	P-adj	log2(FC)	P-adj	log2(FC)	P-adj	log2(FC)	P-adj	log2(FC)	P-adj	log2(FC)	P-adj	log2(FC)	P-adj	log2(FC)	P-adj	log2(FC)	P-adj
9530068E07Rik	414,58	-0,12	0,6725	0,02	0,9730	0,14	1,0000	-0,06	0,9628	0,02	0,9153	0,60	0,0340	0,31	0,4087	0,14	0,8423	0,15	0,6063
9530077C05Rik	1,39	-0,35	NA	0,16	0,8469	-0,13	NA	-0,20	NA	-0,10	0,9029	0,34	NA	0,08	NA	-0,07	NA	-0,14	NA
9530091C08Rik	18,35	-0,50	0,4137	0,09	0,9268	-0,40	NA	-0,16	0,9399	-0,58	0,2663	-0,27	0,8081	-0,15	NA	-0,24	0,8736	-0,30	0,7205
9630033F20Rik	48,26	0,29	0,4549	0,13	0,8246	0,13	1,0000	-0,15	0,9213	-0,15	0,7211	0,06	0,9452	0,03	0,9728	-0,27	0,7393	-0,16	0,7259
9830147E19Rik	8,14	-0,53	0,3720	0,66	0,2186	0,09	NA	-0,01	0,9932	-0,33	0,6075	0,69	0,3730	0,54	NA	0,29	0,8364	0,03	0,9803
9930014A18Rik	5,16	-0,10	0,9106	-0,42	0,5662	-0,09	NA	-0,38	NA	-0,81	0,1912	-0,25	0,8269	-0,11	NA	-0,23	NA	-0,71	0,3407
9930021J03Rik	107,51	-0,22	0,5448	-0,36	0,3165	-0,10	1,0000	0,05	0,9798	0,45	0,0761	-0,38	0,4470	0,22	0,6959	0,37	0,4765	0,70	0,0077
9930104L06Rik	16,26	0,14	0,8287	0,48	0,3707	0,02	NA	0,02	0,9901	-0,54	0,2937	0,16	0,8797	0,15	NA	0,01	0,9967	-0,77	0,1341
A130010J15Rik	22,46	-0,02	0,9851	-0,06	0,9494	-0,09	NA	-0,37	0,6940	0,01	0,9836	0,26	0,7643	-0,24	NA	-0,37	0,7155	0,12	0,8480
A230046K03Rik	148,56	-0,19	0,5414	-0,20	0,5501	0,01	1,0000	0,26	0,6070	-0,07	0,8417	-0,03	0,9635	0,32	0,4822	0,35	0,4749	0,20	0,6397
A230056P14Rik	1,42	0,32	NA	0,17	NA	-0,04	NA	-0,02	NA	0,10	NA	0,26	0,8038	0,11	NA	-0,43	NA	-0,59	NA
A230057D06Rik	4,69	-0,31	0,6803	-0,01	0,9899	-0,06	NA	-0,24	NA	-1,37	0,0118	0,19	0,8709	0,03	NA	0,07	NA	-0,93	0,1752
A230072C01Rik	6,41	-0,42	0,5270	-0,43	0,5475	-0,03	NA	-0,03	0,9873	-0,05	0,9511	0,28	0,8051	0,12	NA	-0,13	NA	0,16	0,8699
A230073K19Rik	2,61	0,20	0,7893	-0,14	0,8425	-0,06	NA	-0,04	NA	-0,04	0,9664	0,40	0,6946	0,16	NA	-0,64	NA	-0,13	0,8960
A230103J11Rik	4,66	0,33	0,6560	-0,52	0,3591	-0,20	NA	-0,26	NA	0,19	0,8140	-0,04	0,9789	-0,03	NA	-0,91	NA	0,09	0,9287
A330021E22Rik	1,84	0,30	NA	1,38	0,0028	-0,04	NA	0,11	NA	0,19	0,8008	0,79	0,2831	0,05	NA	-0,13	NA	-0,14	0,8929
A330023F24Rik	7,85	-0,21	0,7898	0,62	0,2919	0,02	NA	0,11	0,9634	-0,27	0,7119	-0,08	0,9549	0,06	NA	-0,52	0,5910	-0,26	0,7709
A330035P11Rik	2,49	-0,01	0,9927	0,40	0,5727	0,10	NA	0,09	NA	0,50	0,4675	0,28	0,7928	0,00	NA	0,23	NA	0,28	0,7504
A330041J22Rik	1,48	-0,38	NA	-0,43	0,4390	-0,01	NA	0,02	NA	-0,22	0,7827	0,15	NA	0,32	NA	0,06	NA	-0,10	NA
A330069E16Rik	1,90	0,40	NA	0,12	0,8597	0,03	NA	0,18	NA	0,13	0,8602	-0,22	0,8343	-0,35	NA	-0,33	NA	-0,17	0,8591
A330076H08Rik	5,48	-0,61	0,3016	0,08	0,9422	-0,04	NA	-0,18	NA	-1,40	0,0096	0,44	0,6531	0,42	NA	-0,02	NA	-0,60	0,4368
A430005L14Rik	8,10	0,03	0,9710	-0,27	0,7582	0,04	NA	-0,23	0,8784	0,33	0,6244	0,01	0,9953	-0,53	NA	0,04	0,9911	-0,02	0,9861
A430033K04Rik	14,14	-0,04	0,9663	0,08	0,9366	-0,20	NA	0,04	0,9855	-0,63	0,2176	-0,09	0,9427	0,02	NA	0,41	0,6935	-0,07	0,9320
A430035B10Rik	2,59	0,12	0,8855	-0,45	0,4168	-0,11	NA	-0,10	NA	-0,08	0,9275	-0,57	NA	-0,13	NA	-0,39	NA	0,07	0,9479
A430105H19Rik	58,03	-0,13	0,7758	-1,26	0,0000	0,00	1,0000	-0,53	0,2471	-2,10	0,0000	-1,10	0,0064	-0,11	0,8989	-0,37	0,5922	-1,72	0,0000
A4galt	2,98	-0,14	0,8709	0,57	0,3821	0,05	NA	-0,15	NA	-0,55	0,4135	0,17	0,8877	0,22	NA	-0,26	NA	-0,56	NA
A530054K11Rik	38,58	-0,40	0,3180	0,21	0,7046	0,09	1,0000	-0,05	0,9853	-0,84	0,0136	0,24	0,7672	0,36	0,5771	0,09	0,9579	-0,70	0,1624
A530072M11Rik	2,47	-0,15	0,8616	0,21	0,8112	-0,08	NA	-0,06	NA	-0,29	0,7079	-0,21	NA	-0,13	NA	-0,17	NA	-0,15	0,8716
A630007B06Rik	155,77	-0,24	0,3675	-0,15	0,6608	-0,09	1,0000	0,26	0,6068	0,07	0,8191	-0,07	0,9305	0,41	0,3093	0,54	0,1101	0,15	0,7657
A630019I02Rik	8,34	0,06	0,9485	-0,69	0,2100	-0,22	NA	-0,44	NA	-0,03	0,9748	-0,21	0,8593	0,13	NA	-0,95	0,1134	0,39	0,6395
A630020A06	1,16	-0,16	NA	-0,07	0,9385	-0,04	NA	-0,06	NA	-0,41	NA	0,19	NA	-0,02	NA	-0,10	NA	0,12	NA
A630066F11Rik	2,77	-0,28	0,7049	-0,25	0,7608	-0,05	NA	0,04	NA	-0,16	0,8478	0,35	0,7116	-0,07	NA	-0,09	NA	-0,27	NA
A630072M18Rik	16,96	-0,66	0,1333	-0,57	0,2760	-0,30	NA	-0,10	0,9681	-0,01	0,9906	-0,04	0,9789	0,14	NA	0,37	0,7359	0,62	0,2415
A630089N07Rik	4,20	0,16	0,8491	0,51	0,4535	-0,06	NA	-0,10	NA	-0,40	0,5874	0,22	0,8522	-0,08	NA	-0,36	NA	-0,73	0,3193
A730017L22Rik	10,31	-0,20	0,7858	0,11	0,9150	-0,06	NA	0,03	0,9901	-0,25	0,7184	-0,04	0,9792	0,13	NA	-0,33	0,7954	-0,52	0,4505
A730056A06Rik	4,00	-0,54	0,3857	-0,36	0,6382	0,15	NA	0,34	0,7392	-0,15	0,8603	0,12	0,9207	0,31	NA	0,25	NA	0,08	0,9375
A730098P11Rik	12,88	-0,20	0,7849	-0,64	0,2749	-0,32	NA	-0,24	0,8695	-0,30	0,6359	-0,20	0,8542	0,05	NA	-0,44	0,6796	0,03	0,9769
A830010M20Rik	20,29	-0,20	0,7470	0,47	0,3502	0,22	NA	-0,12	0,9606	-0,58	0,1983	0,28	0,7556	0,30	NA	-0,45	0,6354	-1,12	0,0388
A830080D01Rik	30,57	-0,27	0,5971	-0,16	0,8190	-0,29	NA	0,20	0,8797	0,18	0,6880	-0,02	0,9903	0,21	0,8002	0,51	0,4705	0,48	0,3005
A830082K12Rik	12,00	-0,58	0,2648	-0,60	0,3084	-0,36	NA	-0,32	0,7729	-1,20	0,0152	-0,65	0,4159	0,22	NA	-0,02	0,9931	-0,39	0,6090
A830082N09Rik	12,78	-0,23	0,7325	0,09	0,9237	-0,40	NA	-0,15	0,9430	-0,91	0,0741	0,45	0,5852	0,49	NA	0,41	0,6904	-0,64	0,2973
A930001C03Rik	1,84	-0,12	NA	-0,12	0,8955	0,03	NA	-0,22	NA	-0,14	0,8580	0,06	NA	0,09	NA	0,01	NA	0,05	NA
A930004D18Rik	10,30	0,22	0,7590	0,09	0,9337	-0,04	NA	-0,01	0,9947	0,04	0,9652	-0,84	0,2328	-0,35	NA	-0,27	0,8431	-0,20	0,7806
A930005H10Rik	26,58	0,30	0,5326	0,35	0,5354	0,02	NA	-0,12	0,9563	-0,04	0,9444	0,16	0,8465	-0,33	0,6445	-0,21	0,8597	-0,15	0,7782
A930007I19Rik	2,08	0,21	NA	0,03	0,9780	0,09	NA	0,17	NA	0,86	0,1597	0,11	0,9325	0,04	NA	0,13	NA	0,14	0,8914

GeneID	CTL	ET-1 vs CTL		SAHA vs CTL		JS28 vs CTL		BSP vs CTL		JQ1 vs CTL		ET-1+SAHA vs ET1		ET-1+JS28 vs ET1		ET-1+BSP vs ET1		ET-1+JQ1 vs ET1	
	mean	log2(FC)	P-adj	log2(FC)	P-adj	log2(FC)	P-adj	log2(FC)	P-adj	log2(FC)	P-adj	log2(FC)	P-adj	log2(FC)	P-adj	log2(FC)	P-adj	log2(FC)	P-adj
A930011G23Rik	5,05	-0,73	0,1974	-0,38	0,6150	-0,32	NA	0,02	0,9908	-0,92	0,1211	0,04	0,9755	-0,01	NA	-0,21	NA	-0,26	0,7709
A930012L18Rik	2,76	-0,43	0,5127	-0,17	0,8497	-0,10	NA	-0,20	NA	-0,31	0,6802	0,37	0,6966	-0,10	NA	-0,04	NA	0,60	0,4309
A930013F10Rik	14,71	-0,50	0,3334	0,09	0,9221	-0,19	NA	0,26	0,8446	0,08	0,9008	0,35	0,7131	0,60	NA	0,39	0,7132	-0,04	0,9665
A930015D03Rik	2,37	0,71	0,2004	0,74	0,1631	0,06	NA	0,20	NA	0,56	0,3987	0,39	0,7078	-0,26	NA	0,00	NA	0,14	0,8842
A930024E05Rik	3,49	-0,06	0,9462	0,40	0,6004	-0,01	NA	-0,16	NA	-0,57	0,3987	0,28	0,7988	0,23	NA	0,04	NA	-0,34	0,6937
AA388235	6,64	-1,07	0,0279	-0,10	0,9213	-0,05	NA	-0,28	0,8191	0,27	0,6911	0,13	0,9171	0,15	NA	0,34	NA	1,25	0,0384
AA414768	1,18	0,16	NA	0,09	NA	0,11	NA	0,07	NA	0,05	NA	0,11	NA	-0,03	NA	0,26	NA	0,07	NA
AA415398	6,56	-0,42	0,5288	-0,02	0,9851	0,07	NA	-0,08	0,9764	0,33	0,6075	0,02	0,9883	0,31	NA	0,23	0,8793	0,77	0,2240
AA465934	3,68	-0,03	0,9746	-0,06	0,9549	0,03	NA	-0,06	NA	-0,23	0,7781	0,27	0,8043	0,06	NA	-0,02	NA	-0,21	0,8232
AA474331	2,13	0,15	NA	0,17	0,8389	0,02	NA	0,11	NA	0,83	0,1766	0,26	0,8074	0,21	NA	0,13	NA	0,32	0,7170
AA543186	1,12	0,18	NA	0,09	NA	-0,01	NA	0,07	NA	0,01	NA	-0,33	NA	-0,23	NA	-0,26	NA	-0,03	NA
AA987161	36,27	-0,03	0,9665	0,20	0,7183	0,02	1,0000	-0,09	0,9634	-0,84	0,0140	0,01	0,9906	0,17	0,8324	-0,30	0,7442	-1,12	0,0089
Aaas	32,47	-0,04	0,9543	0,09	0,9017	-0,04	1,0000	-0,33	0,7092	-0,03	0,9534	-0,45	0,5149	-0,17	0,8492	-0,41	0,6358	0,05	0,9448
Aacs	16,30	0,20	0,7778	0,32	0,6308	0,01	NA	0,01	0,9932	-0,16	0,8061	-0,20	0,8449	-0,40	NA	-0,55	0,5243	-0,17	0,8200
Aaed1	25,93	-0,08	0,9012	-0,08	0,9191	0,07	NA	0,30	0,7468	-0,16	0,7564	-0,03	0,9823	0,19	0,8291	0,09	0,9590	-0,17	0,7708
Aagab	40,98	0,04	0,9543	0,33	0,5324	0,12	1,0000	-0,21	0,8797	-0,09	0,8603	0,34	0,5858	0,14	0,8587	0,04	0,9854	-0,10	0,8520
Aak1	302,96	-0,13	0,5844	-0,11	0,7376	-0,21	1,0000	-0,08	0,9432	0,30	0,1113	-0,10	0,8446	-0,02	0,9744	-0,02	0,9918	0,49	0,0071
Aamdc	17,18	-0,18	0,7968	0,28	0,7057	-0,04	NA	-0,12	0,9614	-0,27	0,6581	0,48	0,5183	0,06	NA	0,02	0,9936	0,05	0,9543
Aamp	80,17	0,00	0,9979	0,12	0,8139	0,05	1,0000	0,02	0,9867	0,29	0,2913	0,14	0,8297	-0,45	0,3342	-0,03	0,9861	0,25	0,4368
Aar2	27,79	-0,02	0,9720	-0,16	0,8194	-0,20	NA	-0,04	0,9853	0,16	0,7340	0,21	0,8049	-0,21	0,8103	0,19	0,8724	0,29	0,6222
Aars	385,42	1,10	0,0000	-0,72	0,0112	-0,38	0,7747	-0,56	0,1227	0,20	0,5956	-1,72	0,0000	-1,37	0,0000	-1,47	0,0000	-0,50	0,2327
Aars2	13,02	-0,18	0,8072	0,34	0,6369	-0,15	NA	-0,22	0,8923	0,03	0,9683	0,32	0,7451	-0,34	NA	-0,23	0,8833	0,12	0,8766
Aarsd1	26,03	0,06	0,9279	-0,16	0,8194	-0,27	NA	-0,24	0,8597	0,04	0,9385	-0,04	0,9757	-0,19	0,8344	-0,11	0,9434	0,17	0,7557
Aasdh	33,06	-0,31	0,5030	0,44	0,3564	0,08	1,0000	0,19	0,8998	-0,07	0,8930	0,49	0,3966	0,38	0,5399	0,34	0,6847	0,29	0,5216
Aasdhpt	56,89	0,10	0,8142	-0,21	0,6562	-0,17	1,0000	0,14	0,9211	-0,08	0,8569	0,05	0,9572	-0,03	0,9765	0,07	0,9605	0,10	0,8558
Aatf	32,70	0,40	0,3125	-0,01	0,9929	0,08	NA	0,19	0,8939	-0,03	0,9537	-0,57	0,3167	-0,40	0,5201	-0,74	0,1696	-0,56	0,2282
AB041803	6,95	-0,71	0,2050	0,02	0,9883	-0,19	NA	-0,05	0,9853	0,24	0,7347	0,37	0,7193	0,60	NA	0,54	0,5640	0,10	0,9251
Abat	119,13	-0,43	0,3106	0,44	0,3343	-0,16	1,0000	-0,03	0,9853	0,29	0,4600	0,80	0,0277	0,05	0,9558	0,13	0,9104	1,03	0,0004
Abca1	120,55	-1,70	0,0000	-1,11	0,0011	-0,17	1,0000	-0,24	0,8369	-0,22	0,6358	0,43	0,5800	0,99	0,0377	0,63	0,3684	1,38	0,0021
Abca12	10,14	-1,16	0,0082	0,57	0,2998	0,00	NA	-0,62	0,2874	-1,69	0,0005	1,25	0,0337	0,66	NA	0,45	0,6695	-0,60	0,4307
Abca2	93,96	-0,30	0,4019	-0,31	0,4767	0,23	1,0000	0,07	0,9727	0,49	0,0761	-0,66	0,1112	-0,04	0,9593	0,11	0,9170	0,56	0,0659
Abca3	97,08	-0,38	0,1488	-0,25	0,4544	0,04	1,0000	0,11	0,9349	0,57	0,0066	-0,08	0,9257	0,09	0,9100	0,16	0,8597	0,82	0,0018
Abca4	1,13	0,15	NA	0,07	NA	0,03	NA	-0,11	NA	0,12	0,8647	0,02	NA	-0,05	NA	0,16	NA	-0,55	NA
Abca5	190,14	0,27	0,2140	-0,15	0,7099	-0,19	1,0000	0,27	0,5731	0,62	0,0007	-0,45	0,1536	-0,35	0,3405	-0,17	0,7864	0,38	0,1562
Abca6	1,20	0,19	NA	0,08	NA	-0,02	NA	0,11	NA	0,29	0,6671	-0,19	NA	-0,13	NA	0,14	NA	0,24	0,7903
Abca7	41,99	-0,98	0,0003	0,54	0,0881	0,17	1,0000	0,20	0,8515	0,74	0,0077	0,88	0,0457	0,35	0,6089	0,52	0,4243	0,89	0,0164
Abca8b	19,37	-0,48	0,3090	0,42	0,4452	0,01	NA	-0,21	0,8922	-1,01	0,0187	0,24	0,7990	0,19	NA	-0,65	0,4133	-0,84	0,1212
Abcb10	73,56	0,12	0,7931	0,16	0,7345	-0,06	1,0000	0,05	0,9805	-0,09	0,8163	0,22	0,7279	-0,12	0,8753	-0,27	0,7198	-0,58	0,0857
Abcb1b	25,66	-0,31	0,5577	-0,68	0,1662	-0,35	NA	-0,41	0,6103	-0,49	0,2642	-0,46	0,5470	-0,44	NA	-0,36	0,7274	-0,53	0,3663
Abcb4	9,29	0,09	0,9150	0,38	0,6028	0,03	NA	-0,19	0,9102	-1,29	0,0172	0,87	0,1539	0,46	NA	0,20	0,9023	-1,13	0,0613
Abcb6	12,88	0,40	0,4718	0,43	0,4877	-0,15	NA	-0,13	0,9548	-0,10	0,8900	0,03	0,9836	-0,28	NA	-0,73	0,3201	-0,61	0,2732
Abcb7	117,68	0,12	0,8010	-0,15	0,7056	-0,07	1,0000	0,02	0,9860	-0,70	0,0019	-0,09	0,9166	0,23	0,7081	0,02	0,9918	-0,68	0,0713
Abcb8	39,17	-0,06	0,9186	-0,44	0,3292	0,01	1,0000	-0,26	0,8149	-0,49	0,1772	-0,17	0,8311	-0,10	0,9102	0,01	0,9966	-0,36	0,4761
Abcb9	1,56	-0,16	NA	0,23	0,7600	0,01	NA	-0,02	NA	-0,59	0,2488	0,32	NA	0,24	NA	-0,16	NA	-0,09	NA
Abcc1	44,76	0,34	0,4819	0,22	0,7589	0,13	1,0000	-0,19	0,9084	0,63	0,0933	-0,40	0,5002	-0,60	0,2259	-0,48	0,4463	0,19	0,6473

GeneID	CTL	ET-1 vs CTL		SAHA vs CTL		JS28 vs CTL		BSP vs CTL		JQ1 vs CTL		ET-1+SAHA vs ET1		ET-1+JS28 vs ET1		ET-1+BSP vs ET1		ET-1+JQ1 vs ET1	
	mean	log2(FC)	P-adj	log2(FC)	P-adj	log2(FC)	P-adj	log2(FC)	P-adj	log2(FC)	P-adj	log2(FC)	P-adj	log2(FC)	P-adj	log2(FC)	P-adj	log2(FC)	P-adj
Abcc10	22,93	-0,25	0,6504	0,30	0,5823	0,16	NA	0,01	0,9925	0,33	0,4379	-0,09	0,9406	0,01	NA	-0,09	0,9617	0,97	0,0248
Abcc4	39,58	-0,06	0,9251	0,04	0,9634	-0,01	1,0000	0,17	0,9084	-0,06	0,9238	-0,15	0,8686	-0,25	0,7335	-0,25	0,8161	0,00	0,9981
Abcc5	76,04	-0,50	0,0865	0,37	0,2707	0,01	1,0000	0,22	0,8137	0,48	0,0668	0,53	0,2342	0,66	0,0871	0,45	0,4089	0,63	0,0878
Abcc8	13,96	-0,12	0,8832	0,84	0,0549	0,72	NA	-0,20	0,9058	-0,65	0,2214	0,66	0,3736	0,58	NA	0,13	0,9470	-0,16	0,8563
Abcc9	1,14	-0,11	NA	-0,30	NA	-0,10	NA	-0,12	NA	-0,23	0,7216	-0,17	NA	-0,12	NA	-0,03	NA	0,03	NA
Abcd1	18,69	-0,45	0,3908	0,44	0,3868	0,20	NA	-0,02	0,9901	0,36	0,4238	0,53	0,4746	0,31	NA	0,26	0,8472	0,78	0,1415
Abcd2	6,29	-0,17	0,8440	1,46	0,0010	0,13	NA	0,45	0,5564	-0,30	0,6941	1,71	0,0005	0,49	NA	0,56	0,5324	-0,36	0,6715
Abcd3	113,59	0,03	0,9452	-0,14	0,7593	0,04	1,0000	0,26	0,6689	0,18	0,5211	-0,20	0,7252	0,31	0,4965	0,21	0,7583	0,36	0,2430
Abcd4	15,04	0,45	0,3886	0,35	0,5981	0,26	NA	0,16	0,9361	0,21	0,7344	-0,11	0,9254	-0,03	NA	-0,02	0,9931	-0,08	0,9211
Abce1	431,84	0,82	0,0000	-0,16	0,5693	-0,10	1,0000	0,05	0,9634	-0,08	0,8169	-0,69	0,0169	-0,51	0,1161	-0,53	0,0903	-0,66	0,0487
Abcf1	186,13	0,15	0,5673	0,49	0,0184	0,10	1,0000	0,23	0,6464	0,55	0,0013	0,02	0,9853	-0,09	0,8732	0,02	0,9911	0,45	0,0366
Abcf2	103,49	0,26	0,4019	0,01	0,9836	0,07	1,0000	0,07	0,9700	0,00	0,9934	-0,34	0,4650	-0,38	0,3928	-0,21	0,7864	-0,12	0,7445
Abcf3	66,50	-0,06	0,8991	-0,20	0,6906	-0,09	1,0000	-0,02	0,9901	0,20	0,5266	-0,06	0,9410	-0,19	0,7693	0,01	0,9957	0,13	0,7864
Abcg1	3,05	-0,77	0,1504	0,99	0,0546	0,06	NA	0,28	NA	0,22	0,7761	1,34	0,0213	0,67	NA	1,15	NA	0,92	0,1741
Abcg2	100,32	-0,13	0,6741	-0,08	0,8679	0,03	1,0000	-0,29	0,5750	-0,70	0,0013	0,40	0,3196	0,10	0,8910	-0,23	0,7331	-0,25	0,4983
Abhd1	9,58	0,00	0,9988	0,21	0,8110	-0,05	NA	-0,15	0,9440	0,05	0,9461	0,16	0,8888	0,15	NA	-0,13	0,9445	0,39	0,5404
Abhd10	18,58	0,49	0,2832	-0,32	0,6528	0,04	NA	0,18	0,9251	0,04	0,9585	-0,66	0,2969	-0,09	0,9320	0,07	0,9717	-0,36	0,4855
Abhd11	15,30	0,05	0,9450	0,18	0,8227	0,04	NA	-0,12	0,9626	0,37	0,4888	-0,19	0,8596	-0,02	NA	0,04	0,9915	0,08	0,9226
Abhd12	34,17	0,29	0,5050	-0,04	0,9663	-0,09	NA	0,08	0,9746	0,29	0,4631	0,20	0,8021	-0,24	0,7434	0,28	0,7454	0,37	0,3543
Abhd13	137,19	0,21	0,5127	0,15	0,7106	0,17	1,0000	0,12	0,9124	-0,24	0,3883	0,15	0,7966	0,11	0,8559	0,09	0,9283	-0,11	0,7630
Abhd14a	10,09	-0,01	0,9933	-0,46	0,4944	0,16	NA	-0,15	0,9440	-0,31	0,6446	-0,07	0,9585	-0,25	NA	-0,41	0,7081	-0,40	0,5703
Abhd14b	2,15	-0,40	NA	1,06	0,0381	0,16	NA	0,13	NA	0,15	0,8633	0,82	0,2293	0,52	NA	0,14	NA	0,64	0,3952
Abhd15	1,45	0,25	NA	0,50	0,3893	0,01	NA	0,22	NA	1,19	0,0354	0,31	0,7573	-0,10	NA	-0,14	NA	0,82	0,2429
Abhd16a	34,81	0,04	0,9509	-0,46	0,4018	0,03	1,0000	-0,28	0,8191	0,31	0,5044	-0,45	0,5289	-0,19	0,8307	-0,12	0,9347	0,33	0,4964
Abhd17a	29,05	-0,30	0,5343	0,40	0,3711	0,11	1,0000	0,34	0,6648	0,70	0,0438	0,68	0,2180	0,25	0,7477	0,77	0,1335	0,95	0,0188
Abhd17b	32,84	-0,10	0,8681	-0,19	0,7686	-0,04	1,0000	0,19	0,8903	0,07	0,8932	-0,37	0,6024	0,18	0,8336	0,32	0,7112	0,12	0,8292
Abhd17c	162,09	0,49	0,0051	-0,21	0,5335	0,01	1,0000	-0,19	0,8196	-0,15	0,5864	-0,48	0,1288	-0,54	0,0797	-0,52	0,1372	-0,43	0,0852
Abhd2	16,70	-0,09	0,9043	0,32	0,6223	-0,07	NA	0,29	0,8039	0,35	0,4641	0,25	0,8008	0,15	NA	-0,08	0,9734	0,29	0,6397
Abhd3	4,68	-0,63	0,2876	0,89	0,0881	0,37	NA	0,43	0,6004	0,47	0,4587	1,39	0,0173	0,62	NA	0,61	NA	0,82	0,2359
Abhd4	154,23	-0,38	0,1099	-0,10	0,8283	0,11	1,0000	0,03	0,9853	0,50	0,0070	0,13	0,8292	0,19	0,7068	0,28	0,6051	0,56	0,0335
Abhd5	61,09	-0,22	0,6047	-0,13	0,8355	0,05	1,0000	-0,37	0,6039	-0,50	0,1436	0,15	0,8316	0,18	0,7965	0,02	0,9918	-0,13	0,8047
Abhd6	17,12	-0,07	0,9195	0,15	0,8565	-0,16	NA	-0,02	0,9915	0,32	0,5313	0,23	0,8094	-0,06	NA	0,19	0,8994	0,16	0,8051
Abhd8	55,14	-0,73	0,0032	0,23	0,5515	0,02	1,0000	0,05	0,9805	0,16	0,6740	0,87	0,0289	-0,10	0,9094	0,71	0,1009	0,67	0,0760
Abi1	67,44	0,13	0,7865	0,02	0,9764	-0,09	1,0000	-0,11	0,9472	0,08	0,8439	-0,09	0,9087	-0,06	0,9459	-0,19	0,8375	-0,01	0,9921
Abi2	264,14	0,13	0,6140	-0,27	0,2668	-0,14	1,0000	0,19	0,7167	0,27	0,1580	-0,22	0,5878	-0,10	0,8536	-0,21	0,6728	0,35	0,1476
Abi3	20,66	0,22	0,7635	-0,16	0,8323	-0,07	NA	-0,21	0,7757	0,00	0,9986	-0,03	0,9832	-0,12	0,9064	-1,41	0,0068	-0,31	0,7225
Abl1	129,31	0,07	0,8345	0,10	0,8309	0,17	1,0000	-0,12	0,9211	-0,04	0,9257	-0,30	0,4935	-0,24	0,6265	-0,24	0,6934	-0,09	0,8489
Abl2	109,88	0,03	0,9380	-0,28	0,3794	-0,15	1,0000	-0,03	0,9853	-0,15	0,6174	-0,67	0,0549	-0,16	0,7846	-0,20	0,7767	-0,21	0,5369
Ablim1	236,05	0,48	0,0108	-0,02	0,9722	-0,02	1,0000	-0,24	0,6070	-0,03	0,9308	0,00	0,9967	-0,18	0,7030	-0,18	0,7779	-0,29	0,3663
Ablim2	3,80	-0,50	0,4431	0,70	0,2402	0,14	NA	0,31	NA	0,29	0,7011	0,78	0,2901	0,25	NA	0,20	NA	0,61	0,4216
Ablim3	49,16	-0,09	0,8899	0,34	0,5040	-0,01	1,0000	-0,79	0,0531	-0,91	0,0221	0,73	0,1374	0,29	0,6866	-0,44	0,5927	-0,67	0,1856
Abr	176,99	-0,40	0,0428	-0,42	0,0804	-0,18	1,0000	-0,02	0,9901	-0,51	0,0235	-0,22	0,6453	0,10	0,8600	0,10	0,9067	-0,42	0,1048
Abra	40,59	1,28	0,0004	0,23	0,7623	0,07	NA	-0,16	0,9399	-0,64	0,2126	-0,67	0,2192	-0,42	0,5017	-0,42	0,5919	-0,45	0,3660
Abraci	20,45	0,45	0,3495	-0,94	0,0539	0,12	NA	-0,13	0,9516	-0,42	0,4318	-1,29	0,0126	-0,58	NA	-0,22	0,8597	-0,66	0,2024
Abt1	17,62	0,39	0,4317	0,17	0,8325	0,05	NA	-0,18	0,9252	0,00	0,9972	-0,24	0,8008	-0,44	NA	-0,82	0,1814	-0,46	0,4003

GeneID	CTL	ET-1 vs CTL		SAHA vs CTL		JS28 vs CTL		BSP vs CTL		JQ1 vs CTL		ET-1+SAHA vs ET1		ET-1+JS28 vs ET1		ET-1+BSP vs ET1		ET-1+JQ1 vs ET1	
	mean	log2(FC)	P-adj	log2(FC)	P-adj	log2(FC)	P-adj	log2(FC)	P-adj	log2(FC)	P-adj	log2(FC)	P-adj	log2(FC)	P-adj	log2(FC)	P-adj	log2(FC)	P-adj
Abtb1	24,51	-1,07	0,0011	0,26	0,6266	0,23	1,0000	0,14	0,9417	0,56	0,1020	0,80	0,1756	0,55	NA	0,70	0,2889	0,93	0,0363
Abtb2	95,07	0,05	0,9117	-0,19	0,6485	-0,12	1,0000	-0,05	0,9806	0,31	0,2755	0,05	0,9424	-0,09	0,8987	0,14	0,8730	0,44	0,2043
Acaa1a	34,33	-0,06	0,9195	-0,23	0,7045	0,07	1,0000	0,09	0,9700	-0,01	0,9926	-0,11	0,9125	0,00	0,9964	-0,09	0,9570	-0,13	0,8294
Acaa2	287,30	0,14	0,6878	0,29	0,3807	-0,05	1,0000	0,03	0,9853	-0,67	0,0015	-0,06	0,9183	-0,33	0,3765	-0,11	0,8780	-0,75	0,0105
Acaca	62,81	0,13	0,7706	0,53	0,1109	0,05	1,0000	0,17	0,8998	0,11	0,7851	-0,01	0,9955	-0,37	0,4868	-0,34	0,6178	0,12	0,7639
Acacb	206,53	-0,61	0,0060	-0,35	0,2667	-0,11	1,0000	-0,50	0,1268	-1,62	0,0000	-0,21	0,6928	0,21	0,6759	0,18	0,7954	-1,26	0,0001
Acad10	6,89	-0,50	0,4185	0,12	0,9044	0,13	NA	-0,24	0,8722	-0,32	0,6439	0,23	0,8384	0,43	NA	0,18	NA	-0,06	0,9537
Acad11	121,44	0,05	0,9027	0,61	0,0039	0,25	1,0000	0,03	0,9853	0,02	0,9652	0,72	0,0113	0,24	0,6089	0,25	0,6610	0,07	0,8584
Acad12	30,29	-0,72	0,0355	-0,69	0,0968	-0,07	1,0000	-0,07	0,9770	-0,16	0,7295	0,32	0,6955	0,52	0,3819	0,34	0,7227	0,51	0,2474
Acad8	34,46	0,03	0,9563	-0,16	0,8082	0,03	1,0000	-0,02	0,9901	-0,49	0,2144	-0,33	0,6522	-0,22	0,7667	-0,05	0,9789	-0,55	0,2284
Acad9	45,80	0,13	0,7876	0,10	0,8884	-0,09	1,0000	-0,20	0,8781	-0,45	0,2288	-0,01	0,9972	-0,07	0,9406	-0,12	0,9202	-0,45	0,2280
Acadl	875,61	0,32	0,1027	-0,66	0,0008	-0,39	0,4315	-0,19	0,7446	-0,29	0,1630	-0,73	0,0014	-0,59	0,0091	-0,44	0,0739	-0,55	0,0022
Acadm	259,99	0,13	0,7478	-0,10	0,8238	-0,08	1,0000	0,09	0,9540	-0,03	0,9421	0,02	0,9742	0,30	0,5077	0,52	0,1506	-0,13	0,7136
Acads	52,39	-0,25	0,5837	-0,10	0,8785	-0,19	1,0000	-0,27	0,7689	-0,50	0,1456	0,26	0,7383	-0,20	0,7925	-0,11	0,9355	-0,38	0,3739
Acadsb	131,48	-0,28	0,2819	0,10	0,8284	0,00	1,0000	-0,06	0,9727	-0,43	0,0763	0,37	0,3396	0,39	0,3134	-0,02	0,9911	-0,41	0,2850
Acadvl	139,28	-0,10	0,8554	-0,34	0,3523	0,07	1,0000	0,03	0,9853	-0,20	0,5173	-0,21	0,7672	-0,21	0,7609	0,12	0,9189	-0,31	0,4964
Acap2	115,14	-0,27	0,4136	0,35	0,3411	0,16	1,0000	0,34	0,5551	0,33	0,2560	0,47	0,2112	0,31	0,4961	0,38	0,4187	0,63	0,0245
Acap3	27,01	-0,41	0,3731	0,41	0,3738	0,05	1,0000	0,07	0,9764	0,63	0,0847	0,63	0,2880	0,16	0,8646	0,41	0,6401	1,15	0,0012
Acat1	110,13	0,04	0,9249	-0,35	0,3292	-0,07	1,0000	-0,14	0,9060	-0,84	0,0003	-0,16	0,7958	0,19	0,7225	-0,05	0,9674	-0,93	0,0016
Acat2	11,73	0,34	0,6043	-0,06	0,9569	0,14	NA	0,43	0,6103	0,69	0,1363	-0,14	0,9089	-0,17	NA	0,16	0,9250	0,44	0,4746
Acat3	2,38	0,31	0,6449	-0,17	0,8135	-0,08	NA	-0,07	NA	-0,06	0,9441	0,39	0,7009	0,13	NA	-0,54	NA	0,03	0,9826
Acbd3	121,19	0,42	0,0824	0,00	0,9975	0,22	1,0000	0,16	0,8619	0,14	0,6366	-0,50	0,1944	-0,12	0,8558	-0,06	0,9568	-0,16	0,7050
Acbd4	39,30	-0,08	0,8895	0,13	0,8309	0,27	1,0000	-0,06	0,9853	-0,27	0,5112	-0,28	0,7067	-0,02	0,9843	-0,04	0,9862	-0,24	0,6709
Acbd5	158,93	0,01	0,9800	0,05	0,9291	-0,11	1,0000	-0,06	0,9720	-0,24	0,3804	0,19	0,7186	0,28	0,5014	-0,21	0,7155	-0,25	0,5789
Acbd6	28,96	0,35	0,4048	0,14	0,8391	0,05	NA	0,19	0,8968	0,81	0,0779	0,01	0,9967	-0,15	0,8669	-0,04	0,9889	0,10	0,8806
Accs	17,24	-0,39	0,4697	-0,14	0,8544	0,17	NA	-0,44	0,5813	-0,59	0,1993	-0,18	0,8764	0,36	NA	-0,05	0,9854	-0,66	0,2821
Acd	18,84	0,31	0,5659	0,26	0,7144	0,23	NA	0,09	0,9746	0,94	0,0243	-0,32	0,7067	-0,11	NA	0,11	0,9494	0,33	0,5313
Acer2	30,04	-0,70	0,0347	0,05	0,9549	0,14	1,0000	0,26	0,7777	-0,61	0,0913	0,47	0,4723	0,52	0,3858	0,27	0,8152	0,26	0,6225
Acer3	31,50	-0,10	0,8540	0,14	0,8337	-0,04	1,0000	0,25	0,8147	-0,09	0,8536	0,25	0,7574	0,42	0,4791	0,14	0,9181	0,11	0,8489
Ache	16,99	-0,73	0,1138	0,50	0,3575	0,09	NA	-0,07	0,9809	-0,98	0,0404	0,72	0,2925	0,64	NA	-0,29	0,8309	-1,00	0,1001
Acin1	181,97	-0,31	0,2101	-0,32	0,1971	-0,01	1,0000	0,17	0,7688	0,11	0,7071	-0,39	0,3630	0,15	0,7965	0,15	0,8569	0,40	0,1827
Ackr3	4,99	-0,82	0,1293	0,11	0,9213	0,43	NA	0,85	0,0602	-0,68	0,2721	0,16	0,8834	0,62	NA	0,51	NA	-0,01	0,9980
Acly	174,48	-0,30	0,2373	-0,35	0,1613	0,02	1,0000	0,23	0,6521	0,58	0,0003	-0,26	0,6035	-0,05	0,9456	0,41	0,3149	0,57	0,0147
Acn9	12,15	0,19	0,7792	0,61	0,2564	0,08	NA	-0,18	0,9220	-0,33	0,6210	0,70	0,2796	-0,11	NA	-0,08	0,9712	-0,40	0,5439
Aco1	73,08	0,20	0,5733	-0,07	0,9054	-0,24	1,0000	-0,10	0,9516	0,14	0,6916	-0,61	0,1383	-0,40	0,4170	-0,30	0,6666	0,01	0,9932
Aco2	905,85	0,28	0,3418	-0,19	0,5937	-0,13	1,0000	-0,24	0,6565	-0,55	0,0023	-0,25	0,5778	-0,23	0,6266	-0,06	0,9558	-0,59	0,0196
Acot1	1,08	-0,19	NA	-0,10	0,9025	-0,06	NA	-0,08	NA	0,29	0,6975	-0,09	NA	-0,13	NA	-0,15	NA	-0,17	NA
Acot11	34,95	-0,79	0,0153	0,27	0,5527	0,39	0,7942	-0,52	0,3301	-2,01	0,0000	0,94	0,0457	0,55	0,3469	-0,39	0,6935	-1,97	0,0000
Acot13	71,68	0,14	0,7063	0,11	0,8309	0,10	1,0000	-0,02	0,9901	-0,28	0,3666	0,05	0,9453	0,24	0,6449	0,10	0,9264	-0,30	0,3690
Acot2	100,73	0,04	0,9540	-1,45	0,0000	-0,45	0,7271	-0,86	0,0172	-1,42	0,0000	-1,02	0,0075	-0,46	0,3552	-1,16	0,0009	-1,59	0,0000
Acot7	16,66	0,26	0,6750	-0,07	0,9483	-0,06	NA	-0,45	0,5819	-1,04	0,0380	0,20	0,8351	0,06	NA	0,06	0,9822	-1,18	0,0139
Acot8	5,31	-0,04	0,9632	-0,16	0,8634	-0,03	NA	0,12	NA	0,28	0,7060	0,43	0,6604	-0,02	NA	0,05	NA	0,12	0,9004
Acot9	60,26	0,79	0,0016	-0,50	0,2206	-0,11	1,0000	-0,32	0,6940	-0,35	0,3649	-0,68	0,1048	-0,87	0,0141	-0,90	0,0131	-0,54	0,1411
Acox1	308,79	0,06	0,8249	-0,33	0,1156	0,01	1,0000	-0,04	0,9798	0,01	0,9744	-0,41	0,1741	-0,21	0,6003	-0,17	0,7602	-0,19	0,4365
Acox3	44,01	-0,57	0,0975	-0,32	0,4575	-0,08	1,0000	-0,36	0,5969	-0,98	0,0022	-0,16	0,8601	0,33	0,6225	-0,31	0,7508	-0,66	0,1336

GeneID	CTL	ET-1 vs CTL		SAHA vs CTL		JS28 vs CTL		BSP vs CTL		JQ1 vs CTL		ET-1+SAHA vs ET1		ET-1+JS28 vs ET1		ET-1+BSP vs ET1		ET-1+JQ1 vs ET1	
	mean	log2(FC)	P-adj	log2(FC)	P-adj	log2(FC)	P-adj	log2(FC)	P-adj	log2(FC)	P-adj	log2(FC)	P-adj	log2(FC)	P-adj	log2(FC)	P-adj	log2(FC)	P-adj
Acp1	26,75	-0,12	0,8440	-0,14	0,8445	-0,06	NA	0,08	0,9746	-0,27	0,5752	0,37	0,6184	0,18	0,8410	0,34	0,7227	-0,31	0,5839
Acp2	70,70	0,03	0,9580	0,02	0,9718	0,16	1,0000	-0,04	0,9853	-0,90	0,0004	-0,02	0,9853	-0,11	0,8910	-0,24	0,7668	-0,78	0,0133
Acp6	35,82	-0,08	0,8945	0,71	0,0560	0,11	1,0000	-0,03	0,9853	0,24	0,5783	0,81	0,0642	-0,11	0,9089	-0,20	0,8655	0,23	0,6267
Acrbp	9,90	-0,51	0,3948	-0,12	0,9054	-0,05	NA	0,24	0,8676	0,17	0,8165	0,02	0,9909	0,12	NA	0,43	0,6935	0,34	0,6699
Acsf2	20,45	-0,26	0,6297	0,90	0,0090	0,60	NA	-0,45	0,5621	-0,86	0,0507	0,88	0,0884	0,68	0,2149	-0,42	0,6743	-0,62	0,2929
Acsf3	22,10	-0,12	0,8527	0,99	0,0028	0,56	NA	0,71	0,0849	-0,87	0,0360	0,12	0,9081	-0,21	NA	0,37	0,6972	-0,89	0,1211
Acs1	234,55	-0,58	0,0082	-0,37	0,2540	-0,27	1,0000	-0,21	0,7841	-0,31	0,2427	0,15	0,7667	0,00	0,9963	0,26	0,5760	0,44	0,0615
Acs13	34,12	-0,42	0,2842	0,25	0,6734	-0,06	1,0000	0,06	0,9805	0,16	0,7081	0,83	0,0606	0,41	0,5254	0,27	0,7850	0,51	0,2333
Acs14	124,97	0,71	0,0009	0,09	0,8585	-0,01	1,0000	0,17	0,8643	0,05	0,9029	-0,28	0,5613	-0,12	0,8465	-0,50	0,1845	-0,49	0,1469
Acs15	21,12	0,30	0,5551	-1,04	0,0211	0,21	NA	-0,60	0,3089	-1,11	0,0111	-1,26	0,0145	-0,35	0,6283	-0,84	0,1436	-1,63	0,0002
Acs16	3,56	0,24	0,7607	0,92	0,0855	0,07	NA	-0,31	NA	-0,71	0,2357	0,58	0,4901	-0,17	NA	-0,55	NA	-1,29	0,0372
Acss1	21,98	-0,04	0,9517	0,42	0,4512	0,10	NA	-0,09	0,9727	-0,75	0,0962	0,45	0,5086	0,57	0,3134	0,02	0,9935	-0,85	0,0920
Acss2	33,92	0,39	0,4167	0,96	0,0043	0,11	NA	0,34	0,7006	0,69	0,0303	0,44	0,4945	-0,18	0,8389	0,22	0,8492	0,43	0,3442
Acss3	9,14	-1,28	0,0027	0,63	0,2017	-0,11	NA	0,11	0,9634	-1,36	0,0059	0,88	0,2117	0,51	NA	0,29	NA	-0,16	0,8648
Acta1	5,75	1,64	0,0002	-0,08	NA	-0,03	NA	-0,11	NA	0,35	0,6060	-0,90	0,2033	-0,97	NA	-1,29	0,0185	-0,43	0,5746
Acta2	596,44	2,01	0,0000	-0,21	0,6685	0,11	1,0000	-0,30	0,6769	0,22	0,6241	-0,68	0,0834	-1,23	0,0000	-1,27	0,0000	-0,87	0,0179
Actb	198,52	0,76	0,0007	0,04	0,9500	0,12	1,0000	0,02	0,9901	1,16	0,0000	-0,25	0,6257	-0,68	0,0449	-0,62	0,0758	0,56	0,0528
Actc1	8564,75	1,34	0,0000	0,31	0,4661	0,06	1,0000	-0,30	0,6770	-0,88	0,0235	0,05	0,9219	-0,50	0,0158	-0,70	0,0000	-1,37	0,0000
Actg1	113,16	0,51	0,0738	0,37	0,3449	0,05	1,0000	0,56	0,1505	1,62	0,0000	-0,08	0,9087	-0,56	0,1350	-0,04	0,9785	1,17	0,0000
Actl6a	41,33	0,08	0,8875	-0,44	0,3094	-0,12	1,0000	-0,22	0,8487	0,11	0,8100	-0,35	0,5938	-0,25	0,7169	-0,10	0,9425	-0,09	0,8635
Actn1	310,46	2,00	0,0000	-0,08	0,8755	-0,18	1,0000	-0,48	0,1767	0,15	0,6117	-1,41	0,0000	-1,81	0,0000	-1,74	0,0000	-0,83	0,0001
Actn2	2817,52	0,48	0,0010	-0,01	0,9874	-0,24	0,9022	-0,20	0,5892	0,05	0,8124	-0,07	0,8739	-0,27	0,3880	0,08	0,9138	0,12	0,6156
Actn4	287,97	1,22	0,0000	-0,14	0,7845	0,24	1,0000	-0,20	0,8369	0,56	0,0345	-0,70	0,0500	-0,49	0,2365	-0,56	0,1626	-0,15	0,7178
Actr10	82,45	0,08	0,8746	0,26	0,4877	0,07	1,0000	0,25	0,7107	0,17	0,6057	0,44	0,3464	0,00	0,9963	-0,14	0,9045	-0,14	0,7808
Actr1a	170,64	0,19	0,6251	0,13	0,7737	0,05	1,0000	0,12	0,9188	0,36	0,1313	-0,09	0,9049	-0,16	0,8105	0,02	0,9918	0,25	0,4848
Actr1b	80,85	0,23	0,4926	-0,04	0,9507	0,00	1,0000	0,00	0,9988	0,49	0,0615	-0,10	0,8923	-0,44	0,3419	0,04	0,9789	0,41	0,2758
Actr2	418,22	0,23	0,3365	0,06	0,8482	0,11	1,0000	0,33	0,1891	0,19	0,4836	0,19	0,6817	0,11	0,8407	0,12	0,8660	0,01	0,9924
Actr3	377,89	0,60	0,0000	0,03	0,9338	0,01	1,0000	0,12	0,8521	-0,02	0,9614	-0,23	0,5149	-0,32	0,3160	-0,38	0,2087	-0,47	0,0911
Actr3b	19,24	0,20	0,7478	0,74	0,0814	0,07	NA	0,17	0,9267	0,12	0,8466	0,93	0,0530	0,44	0,5017	0,81	0,1328	0,21	0,7302
Actr5	7,97	0,01	0,9927	-0,56	0,3919	-0,06	NA	-0,05	0,9853	-0,33	0,6373	-0,60	0,4684	-0,49	NA	-0,41	0,7070	-0,54	0,4422
Actr6	24,40	0,15	0,8137	0,22	0,7467	-0,02	NA	0,11	0,9628	-0,37	0,4747	0,00	0,9983	0,13	0,8922	0,05	0,9831	-0,44	0,4458
Actr8	42,32	-0,03	0,9635	-0,33	0,4676	0,09	1,0000	0,06	0,9794	-0,07	0,8819	-0,40	0,5125	0,09	0,9239	0,09	0,9526	-0,17	0,7253
Acvr1	40,52	0,05	0,9391	-0,17	0,7857	0,05	1,0000	0,23	0,8246	0,10	0,8128	0,23	0,7667	0,00	0,9975	-0,08	0,9609	0,02	0,9832
Acvr1b	57,75	-0,09	0,8492	0,15	0,7769	0,18	1,0000	0,00	0,9986	0,00	0,9944	0,18	0,8119	-0,02	0,9834	0,07	0,9608	-0,09	0,8706
Acvr1c	4,22	-1,04	0,0340	0,44	0,5480	0,12	NA	0,03	0,9860	-0,67	0,3005	0,74	0,2749	0,54	NA	0,36	NA	0,54	0,4743
Acvr2a	160,26	0,00	0,9943	-0,26	0,4123	-0,16	1,0000	0,13	0,8939	0,07	0,8033	-0,20	0,7027	0,20	0,6947	0,09	0,9294	0,15	0,6514
Acvr2b	8,78	-0,47	0,4382	-0,13	0,8909	-0,04	NA	-0,39	0,6753	-0,12	0,8705	-0,20	0,8641	0,19	NA	0,34	0,7915	-0,01	0,9929
Acy1	5,16	-0,22	0,7853	-0,02	0,9853	-0,03	NA	-0,08	NA	-0,43	0,5398	-0,21	0,8552	0,13	NA	-0,07	NA	-0,11	0,9150
Acy3	7,81	-0,54	0,3825	-0,49	0,4791	-0,05	NA	-0,70	0,1424	-1,67	0,0014	-0,07	0,9601	0,03	NA	-0,52	NA	-1,53	0,0117
Acyp1	13,41	-0,09	0,9054	-0,52	0,3919	0,12	NA	-0,13	0,9550	-0,36	0,5126	0,34	0,7219	-0,13	NA	0,26	0,8472	-0,47	0,5057
Acyp2	9,83	0,03	0,9699	-0,57	0,3726	0,03	NA	-0,14	0,9472	0,32	0,6052	-0,01	0,9957	0,07	NA	0,36	0,7614	0,23	0,7587
Ada	1,08	-0,26	NA	0,09	0,9210	-0,06	NA	-0,20	NA	-0,24	0,7386	0,54	NA	-0,03	NA	-0,09	NA	0,10	NA
Adal	26,32	0,16	0,7782	-0,23	0,7467	-0,08	NA	0,19	0,9060	-0,07	0,9009	0,07	0,9448	-0,20	0,8228	-0,13	0,9264	-0,28	0,5893
Adam10	373,20	-0,14	0,6520	-0,11	0,8003	0,28	0,9896	0,42	0,1786	0,21	0,4376	0,09	0,8780	0,52	0,0758	0,47	0,1288	0,26	0,4455
Adam11	139,52	-1,21	0,0000	-0,32	0,3562	0,07	1,0000	-0,92	0,0003	-1,74	0,0000	-0,07	0,9424	0,11	0,8963	-0,59	0,2967	-0,45	0,4437

GeneID	CTL	ET-1 vs CTL		SAHA vs CTL		JS28 vs CTL		BSP vs CTL		JQ1 vs CTL		ET-1+SAHA vs ET1		ET-1+JS28 vs ET1		ET-1+BSP vs ET1		ET-1+JQ1 vs ET1	
	mean	log2(FC)	P-adj	log2(FC)	P-adj	log2(FC)	P-adj	log2(FC)	P-adj	log2(FC)	P-adj	log2(FC)	P-adj	log2(FC)	P-adj	log2(FC)	P-adj	log2(FC)	P-adj
Adam15	11,62	0,15	0,8374	1,98	0,0000	0,30	NA	0,21	0,8998	0,60	0,2497	1,93	0,0000	-0,09	NA	-0,14	0,9400	-0,03	0,9726
Adam17	77,19	-0,19	0,6418	-0,10	0,8749	0,20	1,0000	0,47	0,2932	0,39	0,2037	0,09	0,9069	0,27	0,6045	0,37	0,4950	0,53	0,1913
Adam19	191,88	0,30	0,3728	-0,47	0,2011	-0,14	1,0000	-1,04	0,0002	-0,35	0,3211	-0,51	0,1367	-0,30	0,4645	-0,97	0,0001	-0,99	0,0000
Adam1a	1,26	0,08	NA	0,10	0,8953	0,00	NA	-0,03	NA	0,33	0,6282	0,27	NA	0,04	NA	-0,14	NA	-0,12	NA
Adam22	102,62	-0,78	0,0012	-0,50	0,0714	-0,06	1,0000	-0,52	0,1329	-0,48	0,0418	0,31	0,5843	0,36	0,4994	-0,02	0,9918	-0,13	0,7789
Adam23	3,55	0,27	0,7288	0,75	0,1949	-0,08	NA	-0,14	NA	-0,64	0,3084	0,49	0,5948	-0,08	NA	0,13	NA	-0,26	0,7702
Adam32	3,41	0,22	0,7888	0,23	0,7891	-0,13	NA	0,21	NA	0,47	0,5035	-0,19	0,8697	-0,31	NA	-0,17	NA	0,18	0,8464
Adam33	7,34	-0,10	0,9141	-0,27	0,7485	-0,07	NA	-0,51	NA	-1,49	0,0052	0,10	0,9426	-0,17	NA	-0,29	0,8369	-1,68	0,0052
Adam4	1,01	0,06	NA	0,11	0,8895	-0,03	NA	0,04	NA	0,25	0,7342	-0,03	NA	-0,02	NA	-0,09	NA	-0,13	NA
Adam8	2,02	-0,51	NA	-0,20	0,8165	-0,09	NA	0,03	NA	-0,03	0,9767	-0,16	NA	0,09	NA	0,09	NA	0,55	0,4743
Adam9	376,65	1,46	0,0000	0,03	0,9666	-0,13	1,0000	0,17	0,8581	0,64	0,0048	-1,01	0,0001	-1,03	0,0001	-0,97	0,0001	-0,35	0,3560
Adams1	77,41	0,57	0,1380	0,08	0,9221	0,12	1,0000	-0,81	0,0536	-1,60	0,0000	-0,78	0,0614	-0,83	0,0420	-1,72	0,0000	-2,60	0,0000
Adams10	15,08	-0,58	0,2779	0,25	0,7312	0,06	NA	-0,17	0,9275	-0,72	0,1614	0,16	0,8905	0,27	NA	0,29	0,8364	-0,22	0,7962
Adams15	28,44	-0,01	0,9898	-0,10	0,8919	0,10	NA	-0,67	0,1804	-0,88	0,0360	-0,69	0,2391	-0,56	0,3437	-0,87	0,1062	-1,17	0,0042
Adams17	38,59	-1,72	0,0000	0,57	0,0968	0,12	1,0000	0,23	0,8214	-0,45	0,2204	1,24	0,0084	0,23	NA	0,53	0,5131	0,43	0,4427
Adams19	80,94	-0,35	0,4894	0,11	0,8765	-0,17	1,0000	0,00	0,9998	-1,60	0,0000	0,34	0,6240	0,50	0,3675	0,47	0,4773	-1,13	0,0052
Adams2	5,97	-0,50	0,4211	0,18	0,8391	0,03	NA	-0,05	0,9853	-0,23	0,7528	-0,07	0,9571	0,07	NA	-0,19	NA	0,00	0,9992
Adams20	6,03	1,31	0,0042	-0,26	0,7106	-0,14	NA	-0,26	NA	-0,50	0,4231	-1,63	0,0035	-1,21	NA	-1,08	0,0685	-1,67	0,0042
Adams3	10,94	-0,47	0,4140	1,26	0,0006	0,50	NA	0,60	0,3043	-0,23	0,7103	1,44	0,0051	0,81	NA	0,83	0,2132	0,03	0,9753
Adams5	1,54	0,09	NA	-0,37	NA	0,02	NA	-0,04	NA	0,07	0,9336	-0,22	NA	0,13	NA	-0,02	NA	0,15	0,8802
Adams6	43,09	-0,68	0,0606	-0,27	0,6189	-0,31	1,0000	-0,29	0,7499	-0,97	0,0066	0,00	0,9994	0,41	0,5132	-0,27	0,8161	-0,88	0,0703
Adams7	24,46	-1,21	0,0001	0,42	0,3009	0,20	1,0000	0,10	0,9634	-0,59	0,1463	0,86	0,1357	0,39	NA	0,64	0,3865	0,09	0,9204
Adams8	2,59	0,83	0,1109	0,63	0,2420	0,07	NA	0,09	NA	-0,06	NA	-0,27	0,8068	-0,27	NA	-0,74	NA	-0,77	0,2888
Adams9	29,88	0,18	0,7580	0,67	0,1186	0,06	NA	-0,06	0,9853	-0,39	0,4197	0,62	0,2106	0,29	0,6589	-0,19	0,8800	-0,33	0,4861
Adams11	39,99	-0,53	0,1623	-0,66	0,0909	-0,20	1,0000	-0,93	0,0087	-1,86	0,0000	-0,24	0,7819	-0,25	0,7543	-0,41	0,6354	-0,78	0,1060
Adams12	35,63	-0,47	0,4034	0,76	0,0939	0,34	1,0000	-0,06	0,9853	-2,02	0,0000	0,60	0,3524	0,63	0,2875	-0,11	0,9526	-1,77	0,0004
Adams13	85,89	-0,05	0,9378	-1,19	0,0001	-0,28	1,0000	-1,32	0,0000	-1,20	0,0000	-0,98	0,0419	-0,26	0,7226	-0,94	0,0499	-0,69	0,1194
Adams14	14,12	-0,37	0,5673	0,65	0,2037	-0,07	NA	-0,60	0,3220	-1,64	0,0006	0,61	0,4050	0,20	NA	-0,11	0,9565	-0,72	0,2944
Adams15	26,97	0,81	0,0404	0,77	0,0636	0,19	NA	-0,53	0,4419	-1,25	0,0087	-0,29	0,7322	-0,24	0,7729	-0,53	0,4733	-1,22	0,0247
Adap1	5,62	0,38	0,5957	1,92	0,0000	0,29	NA	0,12	NA	-0,76	0,2263	1,26	0,0222	0,22	NA	0,33	0,7975	-0,73	0,3131
Adar	48,41	0,22	0,6176	0,43	0,2527	0,01	1,0000	-0,20	0,8646	-0,34	0,3306	-0,13	0,8781	-0,04	0,9654	-0,42	0,5357	-0,36	0,4150
Adarb1	41,14	-0,42	0,2639	0,62	0,0901	0,22	1,0000	0,44	0,4526	0,67	0,0331	0,90	0,0222	0,52	0,3141	0,65	0,1777	0,95	0,0017
Adat1	16,67	-0,21	0,7581	-0,10	0,9132	0,11	NA	-0,17	0,9269	-0,21	0,7261	-0,22	0,8414	-0,16	NA	0,03	0,9918	0,04	0,9588
Adat2	12,08	-0,23	0,7389	0,19	0,8213	-0,25	NA	-0,52	0,4602	-1,04	0,0411	0,44	0,6066	-0,09	NA	-0,31	0,8122	-0,83	0,1839
Adc	9,13	-0,05	0,9559	-0,28	0,7407	-0,24	NA	-0,54	0,4170	-0,30	0,6538	-0,04	0,9771	-0,32	NA	-0,54	0,5691	0,03	0,9800
Adck1	21,84	0,02	0,9858	-0,25	0,7348	-0,05	NA	-0,21	0,8948	-0,62	0,1882	-0,43	0,5980	-0,09	NA	-0,47	0,5934	-0,53	0,3354
Adck2	19,69	-0,26	0,6623	-0,10	0,9146	0,05	NA	0,28	0,8237	0,63	0,1066	0,31	0,7222	0,04	NA	0,47	0,5846	0,66	0,1283
Adck3	52,27	-1,11	0,0000	-0,11	0,8355	0,24	1,0000	0,09	0,9563	-0,01	0,9738	1,06	0,0110	0,99	0,0141	1,33	0,0002	1,10	0,0017
Adck4	16,16	-0,23	0,7205	0,08	0,9317	-0,08	NA	-0,50	0,4843	-0,52	0,2939	-0,50	0,5470	-0,76	NA	-0,27	0,8446	-0,56	0,3472
Adck5	8,05	0,04	0,9706	0,22	0,7985	-0,01	NA	0,04	0,9853	0,15	0,8346	0,05	0,9707	-0,35	NA	-0,12	0,9526	-0,02	0,9892
Adcy1	82,83	0,82	0,0009	0,89	0,0002	0,25	1,0000	-0,21	0,8369	0,08	0,8443	0,04	0,9651	-0,01	0,9885	-0,40	0,4889	0,15	0,7334
Adcy2	3,50	-0,27	0,7215	-0,45	0,4916	-0,20	NA	-0,17	NA	-0,26	0,7453	-0,36	NA	-0,16	NA	-0,08	NA	-0,14	0,8932
Adcy3	1,35	0,03	NA	-0,26	NA	0,07	NA	-0,01	NA	-0,11	0,8866	-0,09	NA	0,23	NA	-0,07	NA	0,03	NA
Adcy5	369,27	-0,33	0,2186	-0,47	0,0301	0,00	1,0000	0,09	0,9370	-0,14	0,6050	-0,13	0,8417	0,05	0,9432	0,59	0,0727	0,01	0,9810
Adcy6	300,27	-0,17	0,6372	-0,60	0,0188	-0,12	1,0000	0,00	0,9986	-0,19	0,4727	-0,50	0,1740	-0,15	0,7929	0,21	0,7269	-0,07	0,8535

GeneID	CTL	ET-1 vs CTL		SAHA vs CTL		JS28 vs CTL		BSP vs CTL		JQ1 vs CTL		ET-1+SAHA vs ET1		ET-1+JS28 vs ET1		ET-1+BSP vs ET1		ET-1+JQ1 vs ET1	
	mean	log2(FC)	P-adj	log2(FC)	P-adj	log2(FC)	P-adj	log2(FC)	P-adj	log2(FC)	P-adj	log2(FC)	P-adj	log2(FC)	P-adj	log2(FC)	P-adj	log2(FC)	P-adj
Adcy8	4,58	0,06	0,9504	0,31	0,7075	-0,08	NA	0,49	NA	0,64	0,3092	0,42	0,6722	0,23	NA	0,90	0,1720	1,31	0,0106
Adcy9	45,19	-0,49	0,1400	0,30	0,4714	0,26	1,0000	0,50	0,2303	0,42	0,1329	0,43	0,4539	0,32	0,6232	0,78	0,0739	0,93	0,0025
Add1	286,45	-0,20	0,4360	-0,37	0,0608	0,16	1,0000	0,11	0,8903	0,38	0,0217	-0,20	0,7009	0,04	0,9624	0,34	0,4281	0,64	0,0261
Add3	503,43	-0,48	0,0317	-0,05	0,9354	-0,38	0,6751	-0,09	0,9500	-0,15	0,6216	0,41	0,1909	-0,02	0,9784	0,31	0,4101	0,06	0,8763
Adh5	62,14	-0,15	0,7500	-0,18	0,7172	0,02	1,0000	-0,03	0,9860	-0,32	0,3743	-0,03	0,9714	-0,03	0,9730	0,04	0,9852	-0,27	0,5450
Adhfe1	1,72	-0,83	NA	1,11	0,0280	0,03	NA	-0,05	NA	-0,45	0,5280	1,38	0,0102	0,42	NA	0,09	NA	-0,04	NA
Adi1	38,64	-0,58	0,0696	-1,35	0,0000	-0,23	1,0000	-0,41	0,4879	0,05	0,9103	-0,09	0,9327	0,15	0,8730	0,22	0,8492	0,47	0,2738
Adipor1	228,96	-0,09	0,7708	-0,10	0,8176	-0,12	1,0000	0,05	0,9746	0,17	0,4808	0,09	0,8689	-0,16	0,7212	0,16	0,7914	0,34	0,2485
Adipor2	93,53	0,11	0,7865	0,59	0,0166	0,22	1,0000	0,43	0,2674	0,72	0,0013	0,31	0,5345	0,10	0,8968	0,31	0,6114	0,59	0,0337
Adk	83,27	0,36	0,1533	0,38	0,2149	0,09	1,0000	0,03	0,9853	-0,25	0,4832	0,64	0,0411	-0,01	0,9878	-0,39	0,4311	-0,38	0,2939
Adm	15,12	-0,05	0,9580	1,74	0,0000	0,49	NA	0,34	0,7392	-0,29	0,6207	0,68	0,3715	0,41	NA	-0,13	0,9437	-1,07	0,0972
Adnp	308,33	0,02	0,9479	-0,01	0,9826	0,03	1,0000	-0,02	0,9853	0,23	0,2562	-0,18	0,7159	0,17	0,7226	0,03	0,9861	0,16	0,6338
Adnp2	59,72	0,12	0,7792	-0,06	0,9290	-0,16	1,0000	-0,22	0,8369	0,08	0,8466	-0,15	0,8354	-0,36	0,5008	-0,19	0,8400	0,31	0,3424
Ado	38,62	0,27	0,5270	-0,16	0,8113	-0,10	1,0000	-0,18	0,9021	-0,58	0,1166	-0,15	0,8534	-0,24	0,7283	-0,11	0,9346	-0,43	0,2722
Adora1	40,09	-0,33	0,4420	0,55	0,1418	-0,25	1,0000	-0,40	0,5826	-1,12	0,0016	0,54	0,3108	-0,66	0,2184	-0,96	0,0609	-1,59	0,0001
Adpgk	18,12	0,57	0,2342	0,25	0,7354	-0,01	NA	0,34	0,7446	1,45	0,0000	0,13	0,9044	-0,17	0,8627	0,16	0,9181	0,62	0,1717
Adprh	31,07	0,11	0,8513	-0,14	0,8492	0,00	NA	-0,26	0,8369	-0,22	0,6530	-0,04	0,9714	-0,18	0,8288	-0,25	0,8127	-0,30	0,5143
Adprh1	312,00	0,12	0,6636	-0,76	0,0004	-0,13	1,0000	0,06	0,9626	-0,40	0,1391	-0,96	0,0000	-0,52	0,0727	-0,12	0,8521	-0,74	0,0148
Adprh2	10,78	0,10	0,9043	-0,08	0,9407	0,06	NA	0,15	0,9448	0,68	0,1584	-0,21	0,8522	-0,17	NA	0,24	0,8651	0,25	0,7427
Adprm	18,09	-0,26	0,6786	-0,26	0,7214	0,11	NA	-0,15	0,9440	-0,50	0,3415	0,01	0,9976	0,22	NA	0,20	0,8926	-0,39	0,5456
Adra1b	69,51	-0,57	0,0397	0,28	0,4164	0,03	1,0000	0,08	0,9629	-0,08	0,8506	0,55	0,2645	0,43	0,4173	0,50	0,3599	0,18	0,7785
Adra1d	1,20	0,24	NA	0,01	NA	0,03	NA	-0,10	NA	-0,18	NA	0,09	NA	-0,16	NA	-0,19	NA	-0,57	NA
Adra2b	1,11	-0,54	NA	-0,15	0,8520	-0,07	NA	-0,16	NA	-0,18	0,8124	0,02	NA	0,01	NA	0,07	NA	0,06	NA
Adrb1	28,50	0,28	0,6150	0,30	0,6071	0,31	NA	0,60	0,2191	0,78	0,0144	0,14	0,8888	0,21	0,8064	0,44	0,5597	0,35	0,4952
Adrbk1	60,84	0,32	0,3473	-0,33	0,4226	-0,03	1,0000	-0,15	0,9140	0,13	0,7261	-0,80	0,0516	-0,63	0,1502	-0,34	0,6122	-0,38	0,3205
Adrbk2	61,75	-0,01	0,9871	0,23	0,6189	-0,15	1,0000	-0,09	0,9600	-0,51	0,0850	0,01	0,9948	0,00	0,9975	0,13	0,9065	-0,27	0,5783
Adrm1	50,80	0,21	0,6139	0,05	0,9429	0,02	1,0000	-0,08	0,9727	0,40	0,2254	-0,52	0,3328	-0,55	0,2838	0,03	0,9918	0,28	0,5260
Adsl	71,42	0,31	0,3532	0,17	0,7341	-0,04	1,0000	0,22	0,8095	-0,26	0,4421	0,04	0,9572	-0,26	0,6487	-0,21	0,7987	-0,22	0,5592
Adss	13,49	-0,29	0,6481	0,68	0,1691	0,09	NA	0,02	0,9925	-0,03	0,9641	0,62	0,3759	0,56	NA	-0,03	0,9918	-0,22	0,7613
Adssl1	69,99	0,05	0,9365	-0,74	0,0429	0,26	1,0000	0,09	0,9634	-0,68	0,0307	-0,42	0,4506	0,43	0,3903	0,62	0,1603	-0,60	0,1961
Aebp1	8,43	-0,28	0,7141	-0,06	0,9549	0,18	NA	-0,57	0,3390	-1,23	0,0250	0,34	0,7399	0,09	NA	-0,25	0,8659	-1,04	0,1194
Aebp2	119,66	0,13	0,7266	-0,15	0,7332	-0,12	1,0000	-0,04	0,9853	-0,04	0,9025	-0,43	0,2925	-0,19	0,7283	-0,33	0,5448	-0,32	0,3249
Aen	61,75	0,68	0,0402	0,13	0,8562	-0,32	1,0000	-0,49	0,4419	-0,35	0,3931	-0,40	0,4376	-0,83	0,0364	-0,89	0,0227	-1,07	0,0006
Aes	303,68	-0,22	0,5460	-0,34	0,2895	-0,28	1,0000	-0,35	0,4316	0,07	0,8889	-0,06	0,9342	-0,27	0,5746	0,30	0,5806	0,44	0,4061
AF357359	9,54	1,03	0,0209	0,29	0,7282	0,25	NA	-0,16	NA	0,33	0,6359	0,09	0,9398	-0,03	NA	-0,31	0,7989	-0,45	0,4702
AF357399	2,94	-0,02	0,9852	0,13	0,8873	-0,10	NA	-0,09	NA	0,57	0,4015	-0,21	0,8290	-0,06	NA	0,02	NA	0,15	0,8396
AF357425	1,27	0,18	NA	0,09	0,9015	-0,07	NA	-0,12	NA	0,36	0,5961	-0,03	NA	-0,03	NA	-0,18	NA	0,33	0,6988
Afap1	210,30	-0,08	0,7928	-0,66	0,0006	-0,13	1,0000	-0,45	0,0743	0,38	0,0320	-0,40	0,2504	-0,11	0,8465	-0,26	0,5985	0,35	0,1869
Afap111	257,26	0,11	0,7708	0,08	0,8326	0,14	1,0000	-0,17	0,7661	-0,45	0,0114	0,02	0,9836	0,07	0,9176	0,19	0,8004	-0,20	0,6030
Aff1	280,72	0,02	0,9521	-0,08	0,8481	0,04	1,0000	0,15	0,8616	0,31	0,1770	-0,52	0,0858	-0,33	0,3675	-0,21	0,6911	0,06	0,8573
Aff2	76,85	-0,55	0,0465	-0,41	0,1949	-0,12	1,0000	0,16	0,8684	0,35	0,2492	-0,15	0,8464	0,14	0,8556	0,59	0,2208	0,78	0,0155
Aff3	6,45	-0,46	0,4802	0,25	0,7710	-0,01	NA	-0,04	0,9853	-0,09	0,9091	-0,14	0,9173	0,25	NA	0,23	NA	0,59	0,3965
Aff4	1190,37	0,19	0,1707	-0,01	0,9706	-0,16	1,0000	-0,08	0,8903	0,24	0,1088	-0,26	0,3914	-0,19	0,5909	-0,23	0,5209	0,12	0,7225
Afg3l1	95,43	0,31	0,3180	-0,36	0,3267	-0,02	1,0000	0,04	0,9853	0,15	0,6459	-0,59	0,1334	-0,47	0,2861	-0,14	0,8756	-0,06	0,8997
Afg3l2	152,06	0,47	0,0209	0,06	0,9025	-0,06	1,0000	-0,06	0,9700	-0,25	0,3199	-0,38	0,3148	-0,27	0,5274	-0,38	0,3662	-0,76	0,0004

GeneID	CTL	ET-1 vs CTL		SAHA vs CTL		JS28 vs CTL		BSP vs CTL		JQ1 vs CTL		ET-1+SAHA vs ET1		ET-1+JS28 vs ET1		ET-1+BSP vs ET1		ET-1+JQ1 vs ET1	
	mean	log2(FC)	P-adj	log2(FC)	P-adj	log2(FC)	P-adj	log2(FC)	P-adj	log2(FC)	P-adj	log2(FC)	P-adj	log2(FC)	P-adj	log2(FC)	P-adj	log2(FC)	P-adj
Afmid	54,06	-0,72	0,0259	-0,49	0,1927	-0,54	0,3547	-1,82	0,0000	-1,63	0,0000	0,02	0,9899	-0,11	0,9050	-1,11	0,0214	-1,16	0,0121
Aftph	96,45	-0,40	0,1489	0,33	0,2998	0,18	1,0000	0,16	0,8719	0,26	0,3349	0,60	0,1274	0,42	0,3426	0,38	0,4807	0,41	0,1983
Aga	21,66	-0,01	0,9935	-0,41	0,4851	-0,07	NA	-0,14	0,9454	-1,81	0,0000	-0,28	0,7573	-0,04	0,9754	-0,71	0,2896	-1,47	0,0015
Agap1	184,12	0,69	0,0065	0,18	0,6675	0,11	1,0000	-0,02	0,9901	0,46	0,0306	-0,65	0,0779	-0,70	0,0474	-0,59	0,1271	-0,03	0,9486
Agap3	75,79	-0,14	0,7550	0,12	0,8313	0,07	1,0000	0,00	0,9986	0,50	0,1235	-0,04	0,9601	-0,16	0,8307	0,34	0,5831	0,82	0,0094
Agbl2	2,16	-0,58	NA	-0,30	0,6897	-0,14	NA	-0,33	NA	-0,86	0,1297	0,16	NA	0,41	NA	-0,06	NA	-0,17	NA
Agbl3	6,40	-0,69	0,2209	-0,40	0,5875	-0,17	NA	-0,08	0,9777	-0,25	0,7340	0,52	0,5603	0,35	NA	0,62	NA	0,00	0,9982
Agbl5	21,94	-0,36	0,4377	0,24	0,6918	0,10	NA	-0,18	0,9102	0,13	0,8523	0,22	0,8095	0,42	0,5284	-0,22	0,8772	0,07	0,9353
Agfg1	199,11	0,37	0,0841	0,11	0,7649	-0,30	0,8491	-0,07	0,9594	0,24	0,2400	-0,01	0,9869	-0,32	0,4311	-0,44	0,2466	0,01	0,9912
Agfg2	18,51	0,12	0,8696	0,04	0,9747	-0,07	NA	-0,07	0,9805	0,20	0,7340	0,04	0,9721	-0,13	NA	0,09	0,9606	0,31	0,6100
Aggf1	78,67	0,00	0,9943	0,33	0,4263	-0,01	1,0000	0,19	0,8646	-0,07	0,8706	0,38	0,4123	0,21	0,7164	0,38	0,4707	-0,03	0,9564
Agk	8,97	0,10	0,9091	-0,09	0,9342	0,02	NA	-0,14	0,9473	-0,96	0,0926	-0,56	0,5120	-0,30	NA	-0,41	0,7132	-0,69	0,2973
AgI	379,89	-0,16	0,6239	-0,38	0,0986	-0,15	1,0000	0,21	0,6939	0,09	0,7743	-0,36	0,3646	0,13	0,8232	0,32	0,4733	0,23	0,4747
Ago1	82,54	-0,55	0,0516	-0,10	0,8532	0,20	1,0000	0,10	0,9473	0,26	0,4146	0,21	0,7571	0,43	0,3819	0,38	0,5222	0,55	0,1595
Ago2	423,67	0,18	0,4006	0,21	0,4171	0,00	1,0000	-0,10	0,9081	0,25	0,1639	-0,03	0,9558	-0,23	0,5017	-0,35	0,2457	0,13	0,5628
Ago3	83,70	-0,11	0,8040	0,44	0,1896	-0,09	1,0000	0,30	0,6377	0,33	0,2446	0,13	0,8512	0,38	0,4311	0,42	0,4295	0,40	0,2951
Ago4	26,87	-0,63	0,0813	-0,71	0,0734	-0,02	1,0000	-0,34	0,6939	-0,88	0,0160	-0,24	0,8094	0,26	0,7450	-0,30	0,8020	-0,35	0,5459
Agpat1	94,94	0,16	0,6176	-0,04	0,9445	-0,22	1,0000	-0,32	0,5478	0,56	0,0166	-0,07	0,9254	-0,36	0,4257	0,17	0,8328	0,72	0,0165
Agpat2	13,89	-0,43	0,4453	-0,40	0,5490	-0,02	NA	-0,36	0,7205	-0,65	0,1979	-0,44	0,6348	0,07	NA	-0,07	0,9789	-0,60	0,3802
Agpat3	121,23	-0,39	0,0946	-0,60	0,0165	-0,20	1,0000	-0,20	0,7940	-0,41	0,1122	-0,30	0,5522	-0,06	0,9360	-0,01	0,9938	0,05	0,9226
Agpat4	27,94	0,09	0,8899	0,74	0,0529	0,14	NA	-0,15	0,9404	0,15	0,7601	0,64	0,2200	-0,08	0,9324	-0,31	0,7602	0,44	0,2863
Agpat5	71,69	0,55	0,0439	0,79	0,0027	0,09	1,0000	0,44	0,3246	0,29	0,3796	0,56	0,1569	-0,09	0,9089	0,11	0,9192	-0,06	0,9180
Agpat6	142,95	0,18	0,5999	-0,12	0,7891	-0,15	1,0000	0,14	0,8921	0,27	0,2797	-0,20	0,7124	-0,44	0,2787	0,02	0,9918	0,04	0,9252
Agpat9	43,98	0,41	0,2724	-0,87	0,0266	-0,26	1,0000	-0,30	0,7560	-0,96	0,0097	-0,86	0,0589	-0,69	0,1363	-0,98	0,0218	-1,62	0,0000
Agps	113,11	0,12	0,7473	-0,04	0,9476	0,03	1,0000	0,33	0,4738	0,11	0,7513	-0,08	0,9166	0,15	0,8232	0,24	0,7165	-0,06	0,9138
Agrn	106,55	-0,49	0,0780	0,81	0,0031	0,16	1,0000	0,27	0,7338	0,28	0,4266	0,88	0,0043	0,29	0,5436	0,61	0,0711	0,44	0,1278
Agt	16,53	-0,68	0,1274	-0,51	0,3601	0,03	NA	-0,42	0,6103	-1,02	0,0197	0,12	0,9257	0,08	NA	-0,18	0,9119	-0,09	0,9168
Agtpbp1	64,43	-0,08	0,8485	0,44	0,2005	-0,18	1,0000	0,13	0,9269	0,44	0,1009	0,34	0,4975	0,12	0,8646	0,33	0,5858	0,40	0,1891
Agtr1a	2,77	0,24	0,7578	0,56	0,3751	0,03	NA	-0,11	NA	-0,01	0,9945	0,46	0,6277	0,23	NA	-0,22	NA	-0,51	0,5253
Agtrap	26,37	0,04	0,9545	0,59	0,1922	0,29	NA	-0,46	0,5443	-1,20	0,0051	0,40	0,5591	0,12	0,8988	-1,03	0,0544	-1,51	0,0006
Ahctf1	150,94	-0,07	0,8527	-0,31	0,2573	-0,05	1,0000	-0,04	0,9805	0,24	0,2756	-0,52	0,1635	0,06	0,9277	0,11	0,9025	0,46	0,1160
Ahcy	8,28	-0,51	0,3995	-0,86	0,1100	0,15	NA	0,29	0,8147	0,60	0,2006	0,11	0,9359	0,24	NA	0,31	0,8207	0,82	0,1850
Ahcyl1	187,98	0,01	0,9754	0,11	0,7737	0,19	1,0000	0,04	0,9853	-0,23	0,3601	0,11	0,8465	0,12	0,8354	-0,18	0,7828	-0,21	0,4778
Ahcyl2	71,54	0,00	0,9943	0,31	0,3418	0,15	1,0000	0,08	0,9626	0,11	0,7573	0,36	0,4465	-0,23	0,7016	0,12	0,9168	0,32	0,3414
Ahdc1	128,49	-0,42	0,2150	0,02	0,9764	0,08	1,0000	0,16	0,8731	0,31	0,2948	-0,12	0,8860	-0,26	0,6949	0,08	0,9545	0,45	0,3414
Ahi1	10,46	-0,25	0,7218	0,52	0,3738	-0,22	NA	0,28	0,8318	0,50	0,3895	0,11	0,9325	0,21	NA	0,27	0,8466	0,81	0,1152
Ahnak	3119,56	-0,32	0,1418	-1,29	0,0000	-0,29	0,5808	-0,21	0,5632	0,09	0,6562	-1,53	0,0000	-0,22	0,6125	-0,02	0,9878	0,66	0,0100
Ahr	6,93	-0,15	0,8592	0,35	0,6580	-0,18	NA	-0,23	NA	0,68	0,2226	0,01	0,9957	-0,03	NA	0,05	0,9861	0,61	0,3803
Ahsa1	100,50	-0,13	0,7528	-0,34	0,3155	-0,22	1,0000	-0,21	0,8095	0,14	0,6278	-0,01	0,9952	-0,14	0,8415	0,11	0,9118	0,24	0,4679
Ahsa2	92,03	-0,29	0,3359	-0,72	0,0032	-0,06	1,0000	0,14	0,8947	-0,16	0,5702	-0,53	0,2493	0,24	0,6719	0,35	0,5603	0,03	0,9590
AI314180	423,37	-0,01	0,9867	-0,68	0,0000	0,08	1,0000	0,07	0,9440	-0,23	0,1680	-0,74	0,0010	0,07	0,8927	-0,11	0,8638	-0,31	0,2703
AI317395	6,03	-0,28	0,7115	-0,45	0,5322	0,11	NA	-0,08	NA	0,09	0,9125	0,10	0,9401	0,12	NA	-0,18	NA	-0,19	0,8418
AI413582	7,13	-0,16	0,8455	0,19	0,8300	0,01	NA	0,15	0,9440	0,49	0,4040	0,33	0,7565	0,13	NA	-0,01	0,9971	0,56	0,4099
AI414108	113,03	0,24	0,5577	0,22	0,6766	-0,43	0,7713	-0,12	0,9496	0,06	0,9077	0,07	0,9175	-0,38	0,4014	-0,25	0,6935	-0,08	0,8507
AI429214	6,70	-0,19	0,8153	-0,11	0,9150	0,04	NA	-0,26	NA	-0,14	0,8633	-0,11	0,9343	0,36	NA	0,12	0,9492	0,00	0,9988

GeneID	CTL	ET-1 vs CTL		SAHA vs CTL		JS28 vs CTL		BSP vs CTL		JQ1 vs CTL		ET-1+SAHA vs ET1		ET-1+JS28 vs ET1		ET-1+BSP vs ET1		ET-1+JQ1 vs ET1	
	mean	log2(FC)	P-adj	log2(FC)	P-adj	log2(FC)	P-adj	log2(FC)	P-adj	log2(FC)	P-adj	log2(FC)	P-adj	log2(FC)	P-adj	log2(FC)	P-adj	log2(FC)	P-adj
AI450353	6,51	-0,28	0,7141	-0,40	0,5899	-0,28	NA	-0,45	NA	-0,24	0,7490	0,08	0,9564	0,06	NA	0,01	0,9967	-0,04	0,9731
AI462493	11,45	0,11	0,8934	0,11	0,9134	0,28	NA	0,16	0,9389	0,00	0,9996	-0,03	0,9832	-0,07	NA	0,13	0,9423	-0,03	0,9717
AI464131	27,19	-0,26	0,5852	0,16	0,8003	-0,14	NA	-0,52	0,3789	-0,90	0,0129	0,35	0,6366	-0,02	0,9878	-0,13	0,9328	-0,55	0,2556
AI597479	76,75	0,11	0,7709	0,13	0,7762	0,10	1,0000	0,10	0,9563	-0,16	0,6273	0,07	0,9328	0,04	0,9628	0,15	0,8638	0,01	0,9818
AI837181	22,59	0,05	0,9485	-0,92	0,0503	0,06	NA	-0,21	0,8946	-0,32	0,5339	-0,55	0,4198	-0,59	NA	-0,11	0,9494	-0,34	0,5564
AI839979	4,26	0,99	0,0506	0,25	0,7485	-0,14	NA	0,05	NA	-0,45	0,4832	0,17	0,8923	-0,32	NA	-0,83	NA	-1,68	0,0050
AI846148	19,69	0,36	0,4618	0,23	0,7429	0,22	NA	-0,05	0,9853	0,34	0,5035	0,02	0,9886	-0,22	0,7981	-0,18	0,8960	0,27	0,6641
AI987944	59,90	-0,17	0,7045	0,47	0,1700	-0,12	1,0000	-0,18	0,8891	-0,50	0,1622	0,63	0,1665	0,47	0,3340	0,16	0,8801	-0,31	0,4632
Aida	53,72	0,09	0,8700	-0,01	0,9895	0,02	1,0000	0,01	0,9928	0,42	0,1430	0,44	0,3957	0,22	0,7276	0,22	0,8203	0,11	0,8179
Aif1l	101,47	1,43	0,0000	-0,21	0,7376	-0,10	1,0000	-0,39	0,6019	0,07	0,8899	-0,60	0,0732	-0,61	0,0602	-0,30	0,5606	-0,13	0,7277
Aifm1	80,16	0,27	0,3958	0,16	0,7376	-0,24	1,0000	-0,13	0,9251	-0,52	0,0585	0,09	0,8922	-0,18	0,7729	-0,15	0,8630	-0,78	0,0089
Aifm2	13,09	0,34	0,5844	0,81	0,0807	0,12	NA	-0,07	0,9805	-0,36	0,5599	-0,13	0,9162	-0,19	NA	-0,33	0,7850	-0,26	0,7073
Aig1	23,44	0,27	0,6172	0,45	0,3748	0,17	NA	0,19	0,9093	-0,10	0,8642	0,15	0,8781	-0,11	0,9100	-0,17	0,9065	-0,44	0,4044
Aimp1	88,99	-0,05	0,9158	0,31	0,3611	-0,01	1,0000	0,15	0,8903	-0,30	0,3041	0,21	0,7228	0,21	0,6969	0,13	0,8903	-0,12	0,7707
Aimp2	24,02	0,65	0,0778	-0,04	0,9715	-0,10	NA	0,18	0,9178	0,24	0,6522	0,13	0,8892	-0,54	0,3555	-0,80	0,1397	0,19	0,6932
Aip	28,85	-0,11	0,8596	-0,43	0,4246	-0,14	NA	-0,15	0,9340	-0,59	0,1451	-0,25	0,7698	-0,30	0,6949	0,04	0,9911	-0,11	0,8623
Airn	62,98	-0,42	0,3701	-0,47	0,2722	-0,53	0,4291	0,05	0,9853	-0,11	0,8407	-0,32	0,6953	-0,32	0,6674	0,02	0,9931	0,10	0,8941
Ajuba	41,08	0,19	0,6602	-0,65	0,0966	-0,14	1,0000	-0,38	0,6068	0,35	0,2946	-0,54	0,3098	-0,35	0,5496	-0,15	0,8990	0,21	0,6395
AK010878	4,65	-0,12	0,8953	-0,25	0,7701	-0,06	NA	-0,11	NA	-0,34	0,6433	0,19	0,8689	0,25	NA	0,22	NA	-0,50	0,5371
Ak1	139,27	0,07	0,8887	-0,96	0,0009	-0,30	1,0000	-0,58	0,1540	-1,17	0,0000	-0,43	0,3869	-0,18	0,7650	-0,15	0,8592	-0,92	0,0132
AK129341	12,05	0,35	0,5897	0,66	0,2228	-0,15	NA	-0,21	0,8998	0,09	0,9037	-0,04	0,9789	-0,36	NA	-0,62	0,4610	-0,04	0,9678
Ak2	43,48	0,18	0,7125	0,12	0,8478	-0,17	1,0000	-0,18	0,8994	-0,09	0,8512	-0,17	0,8292	-0,41	0,4841	-0,33	0,6743	-0,49	0,2110
Ak3	172,60	-0,05	0,8867	-0,58	0,0058	-0,01	1,0000	-0,30	0,4528	-0,67	0,0003	-0,39	0,3085	0,05	0,9360	-0,29	0,5739	-0,79	0,0007
Ak4	33,27	1,72	0,0000	1,19	0,0031	0,69	NA	0,28	0,8332	0,81	0,0751	-0,33	0,6738	-0,82	0,1041	-1,11	0,0241	-1,00	0,0296
Ak6	9,49	0,13	0,8700	0,05	0,9666	-0,20	NA	-0,24	0,8643	-0,22	0,7660	0,39	0,6699	-0,25	NA	0,01	0,9986	0,27	0,7065
Ak7	1,48	-0,19	NA	-0,23	0,7258	-0,08	NA	0,04	NA	-0,18	0,8057	0,02	NA	-0,04	NA	0,15	NA	0,09	NA
Akap1	239,81	-0,20	0,5027	0,02	0,9664	0,04	1,0000	0,23	0,6464	0,26	0,2189	-0,02	0,9755	0,32	0,4423	0,59	0,0490	0,46	0,1192
Akap10	90,71	-0,14	0,6827	-0,13	0,7698	-0,06	1,0000	0,04	0,9853	0,03	0,9242	-0,36	0,4511	0,22	0,6760	0,23	0,7341	0,16	0,6382
Akap11	374,89	-0,25	0,2859	0,20	0,5293	0,14	1,0000	0,23	0,6746	0,07	0,8158	0,39	0,2258	0,57	0,0282	0,43	0,1436	0,40	0,1357
Akap12	8,69	0,13	0,8781	1,71	0,0000	0,05	NA	-0,04	0,9853	0,42	0,5075	1,15	0,0316	0,17	NA	0,03	0,9918	0,56	0,3643
Akap13	670,79	-0,22	0,2620	-0,12	0,6555	-0,29	0,6734	-0,10	0,8998	0,02	0,9528	0,14	0,7603	0,12	0,8013	0,36	0,2317	0,40	0,0691
Akap17b	20,11	0,44	0,3341	0,43	0,4364	-0,29	NA	0,16	0,9371	-0,07	0,9167	0,18	0,8406	0,01	0,9963	-0,11	0,9483	-0,29	0,6160
Akap2	1602,00	0,80	0,0000	-0,25	0,4028	-0,26	1,0000	-0,26	0,5919	0,40	0,0578	-0,74	0,0008	-0,82	0,0002	-0,77	0,0002	-0,20	0,4153
Akap5	17,82	0,77	0,0865	1,09	0,0076	0,37	NA	-0,04	0,9855	-0,01	0,9870	0,83	0,1107	0,18	0,8492	-0,18	0,9065	-0,03	0,9753
Akap6	822,35	0,77	0,0000	-0,90	0,0000	-0,35	0,6454	-0,52	0,0360	-1,08	0,0000	-1,10	0,0000	-0,43	0,0879	-0,52	0,0227	-1,07	0,0000
Akap7	49,39	0,16	0,7040	0,16	0,7649	0,20	1,0000	0,47	0,3039	0,07	0,8725	0,21	0,7556	0,49	0,2830	0,18	0,8465	0,00	0,9988
Akap8	97,61	-0,27	0,3961	-0,31	0,4205	0,01	1,0000	0,15	0,8998	0,11	0,7472	-0,40	0,3860	0,40	0,3502	0,27	0,6601	0,28	0,3752
Akap8l	99,43	-0,56	0,0274	-0,26	0,4716	-0,18	1,0000	-0,42	0,3390	-0,21	0,5251	-0,08	0,9206	0,29	0,5936	0,31	0,6413	0,20	0,5989
Akap9	522,09	-0,41	0,0727	-0,27	0,3038	0,00	1,0000	0,21	0,6627	-0,05	0,8930	-0,60	0,0618	0,36	0,3516	0,35	0,4115	0,05	0,9226
Akip1	19,89	0,49	0,2610	0,14	0,8585	-0,05	NA	-0,32	0,7688	-0,06	0,9314	-0,22	0,8044	-0,55	NA	-0,35	0,7234	-0,18	0,7811
Akirin1	96,44	0,60	0,0086	0,49	0,0848	0,04	1,0000	0,06	0,9742	0,38	0,1410	0,34	0,4187	-0,12	0,8586	-0,06	0,9606	-0,02	0,9805
Akirin2	77,98	0,34	0,3348	0,18	0,7388	0,22	1,0000	0,19	0,8636	-0,18	0,6386	-0,05	0,9549	-0,08	0,9138	0,10	0,9286	-0,23	0,5776
Akna	1,34	0,30	NA	0,59	0,2637	0,12	NA	-0,02	NA	0,36	0,5879	-0,49	NA	-0,28	NA	-0,16	NA	-0,35	NA
Akr1a1	232,38	0,08	0,8201	-0,18	0,6218	-0,25	1,0000	-0,43	0,2108	-0,03	0,9255	0,12	0,8198	-0,20	0,6588	-0,28	0,5276	-0,16	0,5573
Akr1b10	34,52	-0,46	0,2404	-0,22	0,7218	0,05	1,0000	-0,21	0,8699	-0,47	0,2670	0,32	0,6583	0,25	0,7383	-0,17	0,9065	-0,52	0,2807

GeneID	CTL	ET-1 vs CTL		SAHA vs CTL		JS28 vs CTL		BSP vs CTL		JQ1 vs CTL		ET-1+SAHA vs ET1		ET-1+JS28 vs ET1		ET-1+BSP vs ET1		ET-1+JQ1 vs ET1	
	mean	log2(FC)	P-adj	log2(FC)	P-adj	log2(FC)	P-adj	log2(FC)	P-adj	log2(FC)	P-adj	log2(FC)	P-adj	log2(FC)	P-adj	log2(FC)	P-adj	log2(FC)	P-adj
Akr1e1	44,68	-0,05	0,9350	-0,15	0,8013	0,03	1,0000	-0,04	0,9853	-0,27	0,4784	-0,12	0,8856	-0,03	0,9728	-0,02	0,9931	-0,18	0,7086
Akr7a5	14,48	-0,45	0,3989	-0,32	0,6397	-0,13	NA	0,04	0,9853	0,79	0,0331	-0,08	0,9527	-0,15	NA	0,63	0,4141	1,17	0,0073
Akt1	187,58	0,08	0,8219	-0,09	0,8335	0,24	1,0000	-0,04	0,9853	-0,27	0,2524	-0,21	0,6554	-0,45	0,1800	0,14	0,8429	-0,72	0,0048
Akt1s1	52,86	-0,15	0,7649	-0,79	0,0201	-0,01	1,0000	-0,22	0,8512	0,48	0,1743	-0,72	0,1651	-0,41	0,4954	0,10	0,9425	0,67	0,1152
Akt2	138,08	-0,24	0,4507	-0,24	0,4501	0,25	1,0000	0,24	0,6679	-0,01	0,9797	-0,07	0,9307	0,20	0,7232	0,29	0,6427	0,18	0,7126
Akt3	287,35	-0,63	0,0030	-0,28	0,4457	0,08	1,0000	0,19	0,8264	-0,43	0,0683	0,21	0,6459	0,58	0,0336	0,54	0,0570	0,12	0,7653
Aktip	116,93	-0,12	0,7467	0,30	0,3346	0,23	1,0000	0,23	0,7175	0,46	0,0355	0,45	0,2258	0,28	0,5266	0,32	0,5140	0,53	0,0835
Alad	81,91	-0,13	0,7450	-0,18	0,6882	0,04	1,0000	-0,06	0,9794	0,12	0,7375	-0,04	0,9650	-0,34	0,5225	-0,19	0,8257	0,19	0,6269
Alas1	59,62	0,20	0,6290	-0,40	0,3623	-0,15	1,0000	-0,47	0,3898	-0,44	0,1952	-0,34	0,5540	-0,22	0,7226	-0,20	0,8299	-0,37	0,3197
Alcam	74,67	-0,03	0,9567	0,69	0,0049	0,05	1,0000	0,33	0,5151	0,52	0,0227	0,70	0,0877	0,57	0,1858	0,51	0,3297	0,81	0,0116
Aldh16a1	16,24	-0,03	0,9699	-0,59	0,3043	-0,24	NA	-0,13	0,9563	0,12	0,8574	-1,30	0,0224	-0,49	NA	-0,56	0,5029	-0,31	0,6333
Aldh18a1	50,44	1,67	0,0000	0,30	0,6108	0,04	NA	-0,07	0,9805	0,29	0,5432	-1,45	0,0014	-1,42	0,0005	-1,84	0,0000	-1,15	0,0185
Aldh1a1	1,35	-0,02	NA	0,13	0,8739	-0,03	NA	-0,15	NA	-0,43	NA	-0,14	NA	-0,16	NA	-0,05	NA	-0,30	NA
Aldh1b1	33,33	-0,54	0,2308	0,46	0,3893	-0,14	1,0000	-0,27	0,8264	-2,08	0,0000	1,13	0,0059	0,14	0,8825	-0,36	0,7189	-1,32	0,0061
Aldh1l1	1,05	0,09	NA	-0,07	NA	-0,04	NA	-0,07	NA	-0,13	NA	-0,11	NA	-0,21	NA	-0,15	NA	-0,18	NA
Aldh1l2	229,72	0,37	0,5910	-0,87	0,0039	-0,53	0,3210	-0,66	0,0679	-1,23	0,0000	-0,86	0,2312	-0,58	0,3980	-0,86	0,2037	-1,14	0,0556
Aldh2	7,43	-0,05	0,9517	1,60	0,0000	0,25	NA	-0,05	0,9853	0,37	0,5583	1,04	0,0876	-0,14	NA	-0,28	0,8389	0,42	0,5599
Aldh3a2	145,98	-0,23	0,4295	-0,60	0,0102	-0,16	1,0000	-0,17	0,8364	-0,56	0,0054	-0,57	0,1289	-0,50	0,2032	-0,55	0,1628	-0,73	0,0257
Aldh4a1	28,94	-0,25	0,6220	-0,19	0,7778	-0,19	NA	-0,15	0,9338	0,26	0,5394	0,16	0,8593	-0,29	0,6982	0,02	0,9933	0,69	0,0758
Aldh5a1	30,59	-0,19	0,7074	0,17	0,7804	-0,08	1,0000	0,16	0,9250	-0,34	0,4104	0,20	0,8224	0,40	0,5261	-0,10	0,9495	-0,49	0,3042
Aldh6a1	176,63	-0,46	0,0149	-0,16	0,5916	0,30	0,7553	0,28	0,4602	0,03	0,9008	0,43	0,2231	0,43	0,2247	0,48	0,1687	0,48	0,0689
Aldh7a1	38,98	-0,24	0,5994	0,18	0,7331	0,06	1,0000	-0,05	0,9853	-0,22	0,5699	0,18	0,8292	0,10	0,9133	0,02	0,9936	-0,07	0,9199
Aldh9a1	13,71	-1,03	0,0189	-0,08	0,9337	0,04	NA	-0,31	0,7893	-0,14	0,8341	0,59	0,4661	0,89	NA	-0,13	0,9433	0,58	0,3697
Aldoa	1351,60	0,64	0,0068	-0,18	0,6701	-0,13	1,0000	-0,04	0,9853	0,41	0,1406	-0,50	0,1521	-0,56	0,0762	-0,19	0,7668	0,13	0,8047
Aldoart2	1,45	0,07	NA	-0,27	NA	-0,09	NA	-0,10	NA	-0,17	0,8058	-0,39	NA	-0,27	NA	-0,24	NA	-0,52	NA
Aldoc	3,98	0,17	0,8337	1,20	0,0131	0,07	NA	-0,39	NA	-0,37	0,6141	0,71	0,3630	-0,16	NA	-0,32	NA	-0,85	0,2154
Alg1	28,65	0,35	0,4194	0,22	0,7300	0,12	NA	0,27	0,8191	0,72	0,0391	-0,18	0,8316	-0,43	0,5017	0,19	0,8619	0,21	0,6527
Alg10b	109,97	-0,09	0,8251	-0,50	0,1123	0,00	1,0000	0,24	0,7412	0,34	0,1837	-0,28	0,5553	0,26	0,5863	0,29	0,5928	0,36	0,2611
Alg11	83,64	-0,03	0,9485	0,06	0,9103	-0,09	1,0000	0,32	0,5291	0,23	0,4587	0,22	0,7110	0,08	0,9118	0,06	0,9616	0,32	0,2907
Alg12	20,97	0,16	0,7865	-0,07	0,9424	-0,12	NA	0,04	0,9853	0,16	0,7663	-0,34	0,6955	0,00	0,9998	-0,10	0,9565	-0,29	0,6156
Alg13	16,47	-0,44	0,3650	0,15	0,8355	-0,38	NA	-0,15	0,9399	-0,44	0,3787	0,43	0,6035	0,18	NA	0,07	0,9754	0,11	0,8901
Alg14	13,61	0,35	0,5676	0,34	0,6422	0,03	NA	-0,02	0,9901	0,11	0,8794	0,07	0,9500	0,13	NA	0,10	0,9556	0,27	0,6428
Alg2	42,25	-0,51	0,1440	0,00	0,9967	0,04	1,0000	0,28	0,7488	0,55	0,0733	0,25	0,7425	0,40	0,4936	0,60	0,2593	0,82	0,0217
Alg3	14,05	0,60	0,2156	-0,04	0,9730	-0,22	NA	-0,14	0,9473	-0,02	0,9760	0,15	0,8905	-0,51	NA	-0,78	0,2466	0,05	0,9472
Alg5	24,48	0,38	0,4280	0,14	0,8524	0,03	NA	-0,05	0,9853	0,16	0,7635	-0,11	0,9103	-0,03	0,9754	-0,29	0,7834	-0,08	0,9002
Alg6	12,77	-0,42	0,4646	0,42	0,4711	-0,17	NA	-0,45	0,5915	-1,15	0,0172	0,34	0,7310	0,34	NA	-0,26	0,8525	-0,69	0,2993
Alg8	19,83	0,54	0,1892	-0,24	0,7506	-0,10	NA	-0,38	0,6793	0,14	0,8200	-0,16	0,8701	-0,35	0,6345	-0,88	0,1185	-0,62	0,1786
Alg9	24,24	-0,08	0,9141	-0,54	0,3179	-0,04	NA	-0,42	0,6129	-0,96	0,0259	-0,17	0,8669	0,16	0,8701	-0,14	0,9264	-0,75	0,1437
Alkbh1	15,43	0,17	0,7900	0,03	0,9818	-0,05	NA	-0,03	0,9865	0,23	0,6893	-0,10	0,9309	-0,21	NA	-0,32	0,7902	-0,01	0,9918
Alkbh2	2,96	-0,15	0,8574	0,21	0,8148	-0,06	NA	-0,14	NA	-0,22	0,7810	0,01	0,9976	0,10	NA	-0,01	NA	0,06	0,9559
Alkbh3	40,45	0,11	0,8451	0,24	0,6669	0,22	1,0000	-0,09	0,9647	-0,44	0,2530	0,28	0,6621	0,06	0,9478	-0,14	0,9074	-0,36	0,3995
Alkbh4	4,28	0,36	0,6239	0,17	0,8585	0,00	NA	0,14	NA	0,36	0,6328	-0,10	0,9394	-0,12	NA	-0,10	NA	0,12	0,9002
Alkbh5	429,47	0,19	0,3360	-0,09	0,7694	-0,01	1,0000	0,19	0,6249	0,60	0,0000	-0,12	0,8064	-0,15	0,7226	0,03	0,9789	0,48	0,0181
Alkbh6	12,60	-0,02	0,9859	0,34	0,6245	0,02	NA	0,15	0,9447	0,52	0,3182	0,33	0,7239	0,00	NA	0,15	0,9272	0,05	0,9493
Alkbh7	12,99	-0,03	0,9706	-0,29	0,7070	-0,15	NA	-0,04	0,9853	0,20	0,7539	0,46	0,5603	-0,24	NA	0,09	0,9616	0,65	0,1880

GeneID	CTL	ET-1 vs CTL		SAHA vs CTL		JS28 vs CTL		BSP vs CTL		JQ1 vs CTL		ET-1+SAHA vs ET1		ET-1+JS28 vs ET1		ET-1+BSP vs ET1		ET-1+JQ1 vs ET1	
	mean	log2(FC)	P-adj	log2(FC)	P-adj	log2(FC)	P-adj	log2(FC)	P-adj	log2(FC)	P-adj	log2(FC)	P-adj	log2(FC)	P-adj	log2(FC)	P-adj	log2(FC)	P-adj
Alkbh8	29,15	-0,26	0,5915	0,17	0,7762	-0,01	1,0000	-0,10	0,9626	-0,56	0,1378	0,18	0,8411	0,31	0,6588	0,11	0,9476	-0,31	0,5506
Alms1	41,37	-0,72	0,0264	0,10	0,8771	-0,06	1,0000	0,23	0,8318	-0,03	0,9487	0,41	0,5362	0,43	0,4872	-0,18	0,8972	0,25	0,6160
Alox12	1,44	-0,21	NA	-0,23	0,7214	-0,06	NA	-0,16	NA	-0,58	0,2639	-0,06	NA	-0,18	NA	-0,06	NA	-0,24	NA
Alpk1	4,52	-0,32	0,6666	0,40	0,5892	0,28	NA	0,14	NA	-0,36	0,6216	0,81	0,2692	0,59	NA	0,59	NA	-0,29	0,7411
Alpk2	605,86	-0,58	0,0277	-0,70	0,0029	-0,19	1,0000	-0,19	0,8055	-1,91	0,0000	-0,54	0,1636	-0,15	0,8162	-0,20	0,7809	-2,45	0,0000
Alpk3	399,51	-0,74	0,0000	-0,58	0,0008	0,22	1,0000	0,08	0,9417	-0,18	0,6818	-0,24	0,5667	0,34	0,3110	0,64	0,0106	0,28	0,6072
Alpl	3,78	-0,26	0,7418	-0,50	0,4537	0,09	NA	-0,30	NA	-1,28	0,0166	-0,48	0,5407	0,02	NA	-0,53	NA	-0,96	NA
Als2	48,97	-0,41	0,1711	-0,04	0,9550	0,07	1,0000	0,32	0,5997	0,66	0,0044	0,05	0,9583	0,07	0,9361	0,61	0,1969	0,97	0,0007
Als2cl	6,25	0,13	0,8824	0,08	0,9453	0,11	NA	-0,07	NA	0,16	0,8395	-0,04	0,9767	-0,06	NA	-0,45	NA	-0,29	0,7297
Aix1	2,64	0,15	0,8592	0,28	0,7251	0,19	NA	0,05	NA	0,50	0,4691	0,29	0,7827	-0,23	NA	-0,33	NA	-0,80	0,2370
Alyref	25,31	0,35	0,4758	-0,40	0,5325	-0,37	NA	-0,41	0,6259	-0,75	0,0974	-0,51	0,4363	-0,32	0,6678	-0,38	0,6789	-1,29	0,0023
Alyref2	9,89	-0,28	0,6860	-0,67	0,2595	-0,18	NA	-0,28	0,8294	-0,32	0,6122	-0,51	0,5725	0,00	NA	-0,06	0,9802	-0,87	0,1827
Amacr	13,24	0,03	0,9744	-0,60	0,3165	-0,20	NA	0,27	0,8380	-0,16	0,8110	-0,57	0,4851	-0,22	NA	0,09	0,9621	0,47	0,4390
Ambra1	102,55	-0,05	0,9133	0,18	0,6189	-0,04	1,0000	0,05	0,9753	0,56	0,0186	0,16	0,8043	-0,03	0,9714	0,12	0,9018	0,67	0,0266
Amdhd2	10,75	-0,22	0,7568	-0,04	0,9752	-0,02	NA	-0,11	0,9634	0,27	0,6484	0,63	0,3874	-0,13	NA	0,09	0,9631	0,54	0,3836
Amer1	62,00	-0,23	0,5192	0,08	0,8782	0,03	1,0000	0,12	0,9417	0,07	0,8552	0,18	0,7953	-0,08	0,9269	-0,13	0,9119	0,19	0,6411
Amfr	613,88	0,36	0,0111	-0,51	0,0024	-0,06	1,0000	0,07	0,9454	0,30	0,0695	-0,55	0,0221	-0,42	0,1129	-0,16	0,7445	0,03	0,9124
Amigo1	33,28	-0,45	0,2512	0,03	0,9747	0,08	1,0000	0,00	0,9986	0,07	0,8932	0,19	0,8243	0,25	0,7279	0,16	0,9106	0,32	0,5385
Amigo2	1,08	-0,16	NA	-0,30	NA	0,06	NA	0,10	NA	0,01	0,9917	-0,17	NA	0,00	NA	0,06	NA	0,48	NA
Amigo3	2,98	0,22	0,7803	-0,28	0,7073	-0,13	NA	0,03	NA	0,38	0,6051	-0,11	0,9312	-0,14	NA	-0,30	NA	0,33	0,7044
Ammecr1	42,75	0,26	0,5856	-0,26	0,6703	0,18	1,0000	0,18	0,9058	0,12	0,8031	-0,30	0,6530	0,10	0,9096	-0,02	0,9921	-0,03	0,9602
Ammecr11	80,35	-0,09	0,8056	-0,34	0,3056	-0,14	1,0000	-0,24	0,7446	-0,12	0,7272	-0,31	0,5510	-0,07	0,9300	-0,04	0,9789	0,02	0,9717
Amn1	14,66	0,07	0,9359	0,31	0,6741	0,10	NA	0,27	0,8363	0,45	0,3738	0,28	0,7715	0,29	NA	0,16	0,9242	0,25	0,7253
Amot	24,23	-0,20	0,7040	0,60	0,1271	0,04	NA	0,00	0,9986	0,24	0,6077	0,66	0,2260	0,24	0,7578	-0,03	0,9915	0,62	0,1647
Amotl1	208,49	-0,14	0,5897	-0,37	0,1102	0,00	1,0000	-0,13	0,8662	-0,70	0,0007	-0,40	0,2435	0,01	0,9843	-0,68	0,0154	-0,73	0,0026
Amotl2	260,92	0,92	0,0000	-0,69	0,0039	-0,15	1,0000	-0,48	0,1386	0,40	0,1110	-0,80	0,0006	-0,66	0,0070	-0,67	0,0059	0,30	0,1924
Ampd2	30,74	-0,20	0,7036	0,28	0,6353	0,11	1,0000	-0,21	0,8782	-0,52	0,2088	0,17	0,8557	0,17	0,8442	0,04	0,9854	-0,54	0,2196
Ampd3	6,28	-0,26	0,7450	0,59	0,3387	0,35	NA	0,11	0,9634	-1,45	0,0072	0,48	0,6026	-0,09	NA	-0,10	NA	-1,12	0,0880
Amt	9,78	-0,31	0,6625	0,95	0,0380	0,11	NA	-0,17	0,9306	-0,52	0,4135	1,13	0,0542	0,19	NA	-0,14	0,9425	-0,36	0,6559
Amy1	4,67	0,35	0,6346	0,41	0,5803	-0,02	NA	0,32	NA	0,60	0,3509	-0,30	0,7848	-0,15	NA	0,33	0,7986	-0,05	0,9604
Amz2	138,04	-0,09	0,8022	-0,27	0,3451	-0,01	1,0000	0,02	0,9867	0,27	0,2189	0,16	0,7672	0,09	0,8910	0,10	0,9192	0,43	0,0837
Anapc1	330,04	0,16	0,5485	-0,10	0,7608	0,06	1,0000	0,17	0,7576	0,07	0,8022	-0,02	0,9719	-0,08	0,8995	0,01	0,9955	-0,13	0,6873
Anapc10	26,47	0,20	0,7161	0,16	0,8301	0,24	NA	0,07	0,9770	-0,08	0,8840	0,06	0,9572	0,01	0,9898	0,06	0,9752	-0,48	0,3255
Anapc11	58,52	-0,15	0,7217	-0,68	0,0413	0,08	1,0000	0,04	0,9853	0,04	0,9264	-0,57	0,2461	-0,46	0,3948	0,11	0,9300	0,07	0,8914
Anapc13	35,87	-0,25	0,6035	-0,16	0,8189	-0,25	1,0000	-0,51	0,3866	-0,86	0,0231	0,06	0,9572	-0,14	0,8837	0,17	0,8999	-0,38	0,4369
Anapc15	29,54	-0,09	0,9020	0,69	0,0802	0,21	1,0000	0,09	0,9737	-0,95	0,0171	0,27	0,7506	0,34	0,6355	-0,17	0,9074	-0,66	0,1983
Anapc16	23,05	0,13	0,8380	-0,59	0,2625	-0,15	NA	-0,04	0,9853	0,49	0,2288	-0,22	0,8043	-0,11	0,9150	-0,09	0,9602	0,53	0,2194
Anapc2	101,47	-0,19	0,5607	0,01	0,9836	0,15	1,0000	-0,05	0,9769	0,14	0,6243	0,08	0,9073	-0,09	0,8987	0,02	0,9918	0,10	0,7754
Anapc4	141,83	-0,11	0,7367	-0,30	0,3040	0,02	1,0000	-0,06	0,9728	-0,08	0,7650	-0,21	0,6887	0,16	0,7649	-0,01	0,9978	0,20	0,4998
Anapc5	303,41	-0,08	0,7871	-0,49	0,0080	0,10	1,0000	0,38	0,1164	0,59	0,0000	-0,51	0,1040	0,00	0,9963	0,54	0,0539	0,62	0,0032
Anapc7	89,34	0,01	0,9901	0,09	0,8688	-0,02	1,0000	-0,12	0,9389	-0,10	0,7928	0,18	0,7698	-0,14	0,8359	0,00	0,9998	-0,17	0,6491
Angel1	15,72	-0,01	0,9870	0,97	0,0184	0,18	NA	0,21	0,8966	1,38	0,0000	0,99	0,0491	-0,06	NA	0,42	0,6427	1,08	0,0121
Angel2	77,89	0,17	0,6140	-0,71	0,0120	-0,02	1,0000	-0,09	0,9556	0,13	0,6967	-0,71	0,0563	0,07	0,9266	-0,18	0,8364	-0,18	0,6272
Angpt1	14,47	-1,11	0,0154	-0,22	0,7803	-0,03	NA	-0,47	0,5531	-2,46	0,0000	0,62	0,4478	0,72	NA	0,28	0,8412	-0,71	0,3359
Angpt2	147,02	-0,88	0,0009	-0,50	0,0931	0,19	1,0000	0,13	0,9211	-0,47	0,0628	0,14	0,8562	0,22	0,7263	0,26	0,7376	-0,49	0,3091

GeneID	CTL	ET-1 vs CTL		SAHA vs CTL		JS28 vs CTL		BSP vs CTL		JQ1 vs CTL		ET-1+SAHA vs ET1		ET-1+JS28 vs ET1		ET-1+BSP vs ET1		ET-1+JQ1 vs ET1	
	mean	log2(FC)	P-adj	log2(FC)	P-adj	log2(FC)	P-adj	log2(FC)	P-adj	log2(FC)	P-adj	log2(FC)	P-adj	log2(FC)	P-adj	log2(FC)	P-adj	log2(FC)	P-adj
Angptl6	2,29	0,63	0,2547	0,05	0,9568	0,06	NA	0,01	NA	0,55	0,3835	-0,41	0,6563	-0,22	NA	-0,26	NA	-0,15	0,8843
Ank	184,67	-0,04	0,8993	0,04	0,9396	0,36	0,5224	0,56	0,0144	0,28	0,1635	0,03	0,9695	0,23	0,5824	0,36	0,3392	0,31	0,1595
Ank1	106,09	-0,06	0,9504	-0,78	0,1730	-0,24	1,0000	-0,48	0,5074	-1,72	0,0005	-1,36	0,0004	-0,17	0,8275	-0,52	0,3710	-1,83	0,0000
Ank2	32,74	0,38	0,5232	0,06	0,9545	0,15	NA	-0,46	0,5772	-1,50	0,0012	-0,20	0,8251	-0,23	0,7798	-0,90	0,1009	-2,09	0,0000
Ank3	264,64	-0,01	0,9740	-0,07	0,8587	0,10	1,0000	0,16	0,8149	-0,10	0,7330	-0,01	0,9952	0,15	0,7554	0,24	0,6354	-0,13	0,6632
Ankfy1	233,64	-0,01	0,9873	-0,07	0,8614	0,08	1,0000	0,19	0,7246	0,09	0,7046	-0,13	0,7828	-0,09	0,8627	0,06	0,9470	0,09	0,7825
Ankhd1	242,65	-0,20	0,4808	0,07	0,8795	0,03	1,0000	0,29	0,5144	0,42	0,0365	-0,02	0,9716	0,22	0,6210	0,33	0,4274	0,64	0,0180
Ankib1	71,81	0,45	0,0964	0,35	0,3675	0,02	1,0000	0,05	0,9853	0,25	0,4748	0,10	0,8779	-0,02	0,9828	0,11	0,9165	0,14	0,7240
Ankle2	109,00	-0,21	0,4894	-0,35	0,2608	-0,07	1,0000	0,08	0,9538	0,03	0,9211	-0,14	0,8279	0,38	0,3774	0,25	0,6902	0,20	0,5695
Ankmy2	79,78	0,12	0,7842	-0,66	0,0312	-0,10	1,0000	-0,03	0,9853	-0,54	0,0578	-0,53	0,2338	-0,27	0,6257	-0,44	0,4159	-0,74	0,0151
Ankra2	58,30	0,01	0,9867	-0,29	0,5314	0,10	1,0000	-0,25	0,7737	-0,19	0,6312	-0,02	0,9878	-0,09	0,9133	-0,06	0,9659	-0,27	0,4867
Ankrd1	7473,36	1,04	0,0000	0,16	0,6661	0,06	1,0000	-0,68	0,0040	-0,20	0,5090	-0,13	0,7645	-0,40	0,1641	-0,87	0,0000	-0,61	0,0022
Ankrd10	212,83	0,07	0,8913	0,33	0,3094	0,15	1,0000	0,08	0,9626	-0,05	0,8928	0,28	0,5915	0,04	0,9634	-0,03	0,9911	-0,35	0,3370
Ankrd11	671,02	0,13	0,7500	-0,14	0,6555	0,08	1,0000	0,10	0,9129	0,27	0,2084	-0,80	0,0173	-0,23	0,6719	-0,14	0,8793	0,25	0,5226
Ankrd12	166,42	-0,24	0,4498	0,03	0,9626	-0,19	1,0000	-0,04	0,9853	-0,06	0,8853	-0,10	0,8784	0,42	0,3155	0,19	0,7779	0,10	0,8728
Ankrd13a	83,88	0,21	0,5027	-0,01	0,9906	0,18	1,0000	0,11	0,9404	0,83	0,0000	-0,34	0,4970	-0,35	0,4836	0,18	0,8262	0,57	0,0554
Ankrd13b	48,71	0,43	0,2620	-0,28	0,6034	-0,16	1,0000	-0,55	0,3014	-0,02	0,9716	-0,92	0,0388	-0,69	0,1385	-0,89	0,0426	-0,20	0,7397
Ankrd13c	105,69	0,05	0,8916	0,11	0,7980	-0,11	1,0000	0,08	0,9611	0,11	0,7121	-0,06	0,9401	0,15	0,8210	0,11	0,9094	0,07	0,8700
Ankrd13d	1,13	-0,19	NA	0,39	0,5390	-0,04	NA	-0,16	NA	0,02	0,9833	0,49	NA	0,01	NA	0,01	NA	-0,13	NA
Ankrd16	18,72	-0,36	0,5046	-0,14	0,8492	0,08	NA	-0,17	0,9251	0,08	0,8882	-0,09	0,9431	0,45	NA	0,28	0,8267	0,12	0,8741
Ankrd17	633,77	-0,06	0,8225	0,06	0,8823	0,09	1,0000	0,23	0,6025	0,26	0,1718	-0,10	0,8292	0,12	0,7925	0,21	0,5906	0,30	0,2015
Ankrd2	2,72	1,21	0,0072	-0,04	NA	-0,01	NA	-0,02	NA	-0,02	NA	-0,49	0,5933	-0,84	NA	-0,87	NA	-1,33	0,0351
Ankrd23	128,30	1,23	0,0000	-0,98	0,0028	-0,66	0,1305	-1,16	0,0001	-0,97	0,0020	-1,50	0,0000	-1,38	0,0000	-1,58	0,0000	-2,17	0,0000
Ankrd24	13,53	-0,23	0,7310	0,94	0,0195	0,25	NA	-0,04	0,9853	-0,62	0,2397	0,81	0,1836	0,27	NA	-0,37	0,7497	-0,23	0,7510
Ankrd26	39,72	-0,31	0,5030	0,15	0,8195	-0,01	1,0000	0,03	0,9858	-0,16	0,7470	-0,09	0,9281	0,39	0,5045	0,39	0,5893	0,16	0,7784
Ankrd27	58,39	0,15	0,7014	0,03	0,9730	-0,11	1,0000	-0,17	0,8903	-0,22	0,5674	-0,32	0,5791	-0,27	0,6545	-0,55	0,2639	-0,35	0,3428
Ankrd28	77,89	0,21	0,5784	0,38	0,2912	0,13	1,0000	0,31	0,6363	0,38	0,2435	0,30	0,5653	-0,01	0,9948	-0,30	0,6486	0,11	0,8377
Ankrd29	11,56	-0,04	0,9643	-0,05	0,9696	-0,01	NA	0,35	0,7365	-0,38	0,5362	0,58	0,4254	0,56	NA	0,65	0,3872	-0,35	0,6340
Ankrd32	50,34	0,16	0,7310	-0,53	0,1939	-0,29	1,0000	-0,41	0,5436	-0,80	0,0176	-0,34	0,5680	0,11	0,8923	-0,30	0,7067	-0,63	0,1356
Ankrd33b	52,85	0,28	0,4265	0,25	0,6192	-0,08	1,0000	0,21	0,8420	0,12	0,7708	-0,05	0,9500	-0,27	0,6430	0,13	0,9068	0,18	0,6262
Ankrd34a	3,70	-0,35	0,6239	0,47	0,4976	-0,11	NA	-0,27	NA	-0,78	0,2103	0,21	0,8451	0,24	NA	0,12	NA	0,09	0,9271
Ankrd39	17,97	0,02	0,9858	0,20	0,7807	-0,16	NA	-0,29	0,8156	-0,41	0,4591	-0,08	0,9446	0,00	NA	-0,08	0,9686	-0,90	0,0766
Ankrd40	294,08	-0,04	0,9118	-0,18	0,5765	0,09	1,0000	0,06	0,9634	0,17	0,5375	-0,10	0,8419	0,10	0,8585	0,29	0,4908	0,40	0,2405
Ankrd42	2,71	-0,29	0,6969	0,28	0,7381	-0,20	NA	-0,17	NA	-0,68	0,2797	0,34	0,7289	0,13	NA	-0,27	NA	-0,17	0,8591
Ankrd44	16,37	-0,43	0,4241	-0,47	0,4246	-0,07	NA	-0,19	0,9141	0,00	0,9996	-0,31	0,7574	0,12	NA	-0,34	0,7810	-0,05	0,9525
Ankrd46	74,30	0,02	0,9632	0,05	0,9429	-0,12	1,0000	0,10	0,9516	0,37	0,1843	0,26	0,6405	-0,02	0,9765	0,14	0,8922	0,18	0,6239
Ankrd49	32,38	0,28	0,5360	0,01	0,9940	-0,16	NA	0,00	0,9988	-0,40	0,3386	-0,27	0,7240	-0,04	0,9669	-0,41	0,6075	-0,17	0,7515
Ankrd50	131,04	-0,99	0,0000	0,07	0,8836	-0,02	1,0000	0,08	0,9614	0,22	0,3987	0,30	0,5725	0,34	0,4532	0,44	0,3239	0,68	0,0071
Ankrd52	163,90	0,02	0,9474	-0,16	0,6564	-0,13	1,0000	-0,15	0,8502	0,55	0,0180	-0,75	0,0102	-0,32	0,4311	-0,35	0,4286	0,48	0,1476
Ankrd54	6,29	-0,36	0,6114	0,26	0,7549	0,01	NA	0,07	0,9805	0,41	0,5115	0,39	0,7027	0,00	NA	0,22	NA	0,92	0,1275
Ankrd6	18,37	-0,71	0,1096	0,35	0,5936	-0,01	NA	-0,34	0,7428	-0,51	0,3423	1,32	0,0041	0,14	NA	-0,54	0,5541	-0,08	0,9270
Ankrd63	3,22	-0,88	0,0914	1,24	0,0069	0,24	NA	0,00	NA	-0,84	0,1691	1,59	0,0044	0,44	NA	0,51	NA	0,45	0,5682
Ankrd9	5,33	0,10	0,9141	-0,03	0,9801	0,04	NA	-0,12	NA	0,04	0,9641	0,37	0,7224	0,00	NA	0,12	0,9547	-0,13	0,8981
Anks1	38,02	0,04	0,9467	0,31	0,5318	0,10	1,0000	0,08	0,9717	0,34	0,3439	-0,27	0,7209	-0,18	0,8232	0,35	0,6395	0,27	0,5223
Anks3	21,24	-0,16	0,7914	0,11	0,8952	-0,11	NA	0,00	0,9998	0,13	0,8186	0,13	0,9081	0,32	0,6737	0,37	0,6982	0,22	0,7147

GeneID	CTL	ET-1 vs CTL		SAHA vs CTL		JS28 vs CTL		BSP vs CTL		JQ1 vs CTL		ET-1+SAHA vs ET1		ET-1+JS28 vs ET1		ET-1+BSP vs ET1		ET-1+JQ1 vs ET1	
	mean	log2(FC)	P-adj	log2(FC)	P-adj	log2(FC)	P-adj	log2(FC)	P-adj	log2(FC)	P-adj	log2(FC)	P-adj	log2(FC)	P-adj	log2(FC)	P-adj	log2(FC)	P-adj
Anks6	3,34	-0,91	0,0792	0,02	0,9845	0,06	NA	-0,22	NA	0,02	0,9801	0,23	NA	0,23	NA	0,39	NA	1,04	0,1212
Ankzf1	29,50	0,03	0,9639	0,00	0,9965	0,08	NA	0,06	0,9829	-0,12	0,8391	-0,21	0,8085	-0,32	0,6657	-0,14	0,9202	-0,38	0,4726
Anln	9,61	-0,15	0,8616	0,38	0,5785	0,19	NA	0,20	0,9060	0,17	0,8066	-0,46	0,6278	0,02	NA	0,06	0,9853	0,07	0,9462
Ano10	65,83	-0,02	0,9710	0,54	0,0692	0,24	1,0000	-0,09	0,9606	-0,62	0,0389	0,48	0,2965	0,24	0,6959	-0,19	0,8492	-0,69	0,0362
Ano3	59,18	-0,07	0,8913	-0,47	0,2364	-0,60	0,2649	-0,76	0,0366	-1,85	0,0000	-0,47	0,3570	-0,08	0,9197	-0,57	0,2651	-1,48	0,0000
Ano4	26,42	0,36	0,4758	-0,24	0,7425	0,11	NA	0,12	0,9600	-0,36	0,4949	-0,43	0,5553	0,07	0,9463	-0,03	0,9915	-0,67	0,1475
Ano6	45,34	-0,30	0,4123	0,10	0,8743	0,08	1,0000	-0,09	0,9634	-0,02	0,9697	0,21	0,7716	0,31	0,6089	0,21	0,8401	0,42	0,2491
Ano8	34,94	-0,14	0,7865	-0,42	0,3593	-0,08	1,0000	-0,56	0,2683	-0,33	0,4071	-0,37	0,5971	-0,18	0,8392	-0,05	0,9800	-0,60	0,1563
Anp32a	151,50	0,05	0,9331	-0,07	0,9059	-0,07	1,0000	0,09	0,9634	-0,75	0,0037	-0,19	0,7789	0,08	0,9223	0,08	0,9501	-0,78	0,0129
Anp32b	150,18	0,34	0,2816	-0,20	0,5626	0,25	1,0000	0,04	0,9845	-0,66	0,0017	-0,78	0,0395	-0,03	0,9745	-0,18	0,8375	-0,67	0,0387
Anp32e	149,34	0,70	0,0033	-0,14	0,7801	-0,33	0,9896	-0,29	0,6921	-0,58	0,0458	-0,42	0,2726	-0,48	0,2008	-0,98	0,0005	-0,75	0,0133
Antxr1	3,53	-0,56	0,3631	-0,62	0,3090	-0,12	NA	-0,59	NA	-1,41	0,0080	-0,15	NA	0,14	NA	-0,06	NA	-0,46	NA
Antxr2	642,53	-0,03	0,9195	-0,64	0,0000	0,11	1,0000	-0,04	0,9674	-0,28	0,1867	-0,25	0,4684	0,15	0,7198	0,21	0,6212	-0,17	0,6026
Anxa11	31,67	-0,11	0,8616	0,10	0,8836	0,08	1,0000	-0,04	0,9853	-0,44	0,3518	0,00	0,9986	-0,35	0,6411	0,05	0,9860	-0,16	0,8104
Anxa2	28,27	0,89	0,0073	0,08	0,9293	0,25	NA	-0,30	0,7822	0,30	0,5832	-0,68	0,2121	-0,80	0,0965	-1,00	0,0350	-0,13	0,8030
Anxa3	15,83	1,13	0,0093	-0,02	0,9845	0,13	NA	-0,61	NA	-0,24	0,7368	-0,16	0,8805	-0,52	0,4532	-1,04	0,0741	-1,49	0,0079
Anxa4	15,24	0,01	0,9892	-0,08	0,9359	0,12	NA	-0,14	0,9482	-0,16	0,8102	-0,04	0,9789	0,03	NA	-0,50	0,5899	-0,57	0,3739
Anxa5	85,33	0,33	0,3580	-0,66	0,0571	0,01	1,0000	-0,09	0,9634	-0,22	0,5566	-0,58	0,1664	-0,18	0,7812	-0,41	0,4640	-0,60	0,0668
Anxa6	708,99	0,08	0,8314	0,35	0,1556	-0,10	1,0000	0,09	0,9404	-0,01	0,9779	0,26	0,4958	-0,51	0,0726	0,12	0,8601	-0,06	0,8587
Anxa7	150,33	0,28	0,2531	-0,27	0,3503	-0,08	1,0000	-0,21	0,7218	-0,09	0,7811	-0,05	0,9475	-0,32	0,4768	-0,58	0,0955	-0,37	0,2320
Anxa9	2,19	-0,26	NA	-0,05	0,9605	0,05	NA	-0,15	NA	-0,29	0,6982	0,11	NA	-0,03	NA	-0,10	NA	-0,07	0,9506
Aoc2	5,49	-0,22	0,7866	0,48	0,4800	0,01	NA	-0,05	NA	0,58	0,3362	0,11	0,9360	-0,07	NA	0,07	NA	0,72	0,2878
Aox1	6,57	-0,98	0,0504	-0,59	0,3566	0,04	NA	-0,60	0,2604	-1,48	0,0059	-0,26	0,8040	0,17	NA	-0,38	NA	-0,36	0,6769
Ap1ar	55,82	0,10	0,8072	0,06	0,9237	0,11	1,0000	0,15	0,9113	0,37	0,1750	-0,08	0,9281	0,16	0,8175	0,04	0,9818	0,41	0,2073
Ap1b1	145,77	0,13	0,6480	0,21	0,4767	0,06	1,0000	0,11	0,9158	0,31	0,1052	-0,01	0,9894	-0,17	0,7418	-0,02	0,9918	0,06	0,8901
Ap1g1	325,37	-0,03	0,9221	-0,05	0,8884	-0,08	1,0000	-0,09	0,9269	0,21	0,2397	0,00	0,9986	0,06	0,9088	-0,01	0,9931	0,35	0,0600
Ap1g2	3,54	-0,42	0,5417	0,06	0,9622	-0,04	NA	-0,09	NA	0,40	0,5712	0,20	0,8514	0,17	NA	0,35	NA	0,75	0,3027
Ap1m1	96,60	-0,14	0,7087	-0,39	0,2032	-0,25	1,0000	-0,29	0,6281	0,02	0,9534	-0,37	0,4453	-0,38	0,4311	-0,04	0,9789	0,30	0,3609
Ap1s1	24,98	0,24	0,6809	-0,21	0,7641	-0,19	NA	-0,42	0,6004	-0,23	0,6449	-0,23	0,8028	-0,36	0,6257	-0,12	0,9415	-0,13	0,8591
Ap1s2	60,92	0,28	0,5185	0,25	0,5824	-0,12	1,0000	0,57	0,1229	0,71	0,0057	0,60	0,2118	0,18	0,8170	0,39	0,5723	0,71	0,0863
Ap1s3	12,09	1,74	0,0000	0,49	0,4763	-0,11	NA	-0,27	NA	0,20	0,8022	-0,96	0,1129	-1,13	NA	-0,98	0,1055	-0,58	0,3032
Ap2a1	126,73	0,21	0,4413	0,49	0,0447	0,12	1,0000	0,07	0,9626	0,23	0,4528	-0,10	0,8705	-0,46	0,2073	0,04	0,9770	0,11	0,7903
Ap2a2	155,75	-0,18	0,5034	0,18	0,5669	0,16	1,0000	0,33	0,3418	0,69	0,0000	0,08	0,9034	-0,16	0,7703	0,41	0,2746	0,97	0,0000
Ap2b1	350,03	0,06	0,8554	-0,31	0,1507	-0,02	1,0000	0,04	0,9798	0,23	0,1969	-0,49	0,1022	-0,27	0,4880	-0,06	0,9428	0,17	0,5086
Ap2m1	107,40	0,15	0,6797	-0,42	0,1737	-0,20	1,0000	-0,17	0,8671	0,05	0,8956	-0,29	0,5650	-0,51	0,1943	-0,09	0,9368	-0,04	0,9341
Ap2s1	32,50	0,10	0,8532	0,22	0,6959	0,04	1,0000	0,06	0,9805	0,12	0,8029	0,40	0,5019	-0,14	0,8785	0,33	0,6882	-0,25	0,6195
Ap3b1	166,92	-0,44	0,0344	0,26	0,3876	0,19	1,0000	0,20	0,7521	0,13	0,6470	0,10	0,8793	0,17	0,7452	0,31	0,4992	0,34	0,2143
Ap3d1	188,61	0,00	0,9927	0,38	0,0778	0,15	1,0000	-0,01	0,9950	0,24	0,2350	0,00	0,9982	-0,14	0,7943	0,00	1,0000	0,13	0,6604
Ap3m1	93,77	0,36	0,1993	0,38	0,2709	0,06	1,0000	0,14	0,9213	-0,04	0,9165	0,35	0,3966	0,07	0,9150	-0,23	0,7223	-0,23	0,5300
Ap3m2	14,63	-0,49	0,3418	0,25	0,7170	-0,02	NA	0,01	0,9968	0,21	0,6990	0,41	0,6506	0,07	NA	0,39	0,7176	0,91	0,0505
Ap3s1	30,68	-0,11	0,8406	-0,05	0,9523	0,05	1,0000	0,27	0,7778	0,45	0,2178	0,41	0,5144	0,30	0,6653	0,34	0,6887	0,57	0,1356
Ap3s2	102,05	-0,16	0,6509	0,31	0,3538	0,09	1,0000	0,04	0,9853	0,41	0,0962	0,58	0,0933	0,10	0,8865	0,32	0,5402	0,77	0,0015
Ap4b1	29,10	0,01	0,9852	0,16	0,8270	0,18	NA	0,26	0,8318	0,08	0,8819	0,42	0,5002	0,14	0,8785	0,04	0,9911	-0,41	0,4403
Ap4e1	58,48	-0,28	0,4900	-0,15	0,8073	0,07	1,0000	0,19	0,8767	0,05	0,9091	-0,09	0,9257	0,43	0,4023	0,08	0,9558	0,12	0,8132
Ap4m1	15,57	-0,71	0,1294	-0,25	0,7352	-0,16	NA	-0,30	0,8049	-0,65	0,1851	-0,29	0,7874	0,25	NA	-0,02	0,9931	-0,09	0,9251

GeneID	CTL	ET-1 vs CTL		SAHA vs CTL		JS28 vs CTL		BSP vs CTL		JQ1 vs CTL		ET-1+SAHA vs ET1		ET-1+JS28 vs ET1		ET-1+BSP vs ET1		ET-1+JQ1 vs ET1	
	mean	log2(FC)	P-adj	log2(FC)	P-adj	log2(FC)	P-adj	log2(FC)	P-adj	log2(FC)	P-adj	log2(FC)	P-adj	log2(FC)	P-adj	log2(FC)	P-adj	log2(FC)	P-adj
Ap4s1	29,93	0,33	0,4280	-0,49	0,3297	-0,21	NA	-0,23	0,8674	-1,31	0,0010	-0,56	0,3307	-0,05	0,9654	-0,41	0,5957	-1,34	0,0006
Ap5b1	6,69	-0,14	0,8730	-0,20	0,8320	0,05	NA	0,11	0,9634	0,59	0,2970	-0,26	0,8196	-0,05	NA	0,31	0,8203	0,42	0,5570
Ap5m1	56,78	0,04	0,9366	0,12	0,8347	0,03	1,0000	-0,06	0,9805	-0,23	0,5915	0,30	0,6019	0,32	0,5702	0,14	0,9018	-0,36	0,4432
Ap5s1	17,27	-0,27	0,6520	-0,07	0,9403	-0,13	NA	-0,25	0,8600	-0,13	0,8304	0,17	0,8781	0,03	NA	0,21	0,8849	0,21	0,7438
Ap5z1	18,38	-0,44	0,3459	-0,24	0,7429	-0,21	NA	-0,03	0,9858	0,29	0,5620	-0,13	0,9079	0,26	NA	0,17	0,9170	0,53	0,3114
Apaf1	59,07	-0,10	0,8380	-0,05	0,9396	-0,05	1,0000	-0,07	0,9746	0,08	0,8505	-0,02	0,9805	-0,14	0,8504	-0,48	0,4172	0,13	0,7716
Apba1	25,47	0,08	0,9062	0,50	0,2761	-0,16	NA	0,33	0,7308	1,18	0,0001	0,01	0,9952	-0,42	0,5303	0,20	0,8772	1,47	0,0000
Apba3	18,48	0,20	0,7470	-0,10	0,9125	-0,06	NA	-0,07	0,9825	0,03	0,9658	-0,59	0,3990	-0,32	NA	0,02	0,9936	0,02	0,9884
Apbb1	42,98	-0,51	0,1489	0,13	0,8325	0,02	1,0000	0,10	0,9600	0,42	0,1787	0,42	0,4987	0,12	0,9050	0,35	0,6900	0,66	0,1545
Apbb2	179,10	0,65	0,0036	-0,06	0,9057	-0,25	1,0000	-0,11	0,9430	0,23	0,4379	-0,54	0,1166	-0,05	0,9432	-0,35	0,4405	-0,22	0,4855
Apbb3	9,32	-0,30	0,6721	-0,27	0,7376	0,11	NA	0,17	0,9340	-0,05	0,9459	0,18	0,8840	0,31	NA	0,55	0,5429	0,56	0,3960
Apc	425,46	-0,13	0,6314	-0,02	0,9761	0,12	1,0000	0,18	0,7488	0,11	0,6548	-0,25	0,5531	0,15	0,7517	0,16	0,7854	0,18	0,6124
Apc2	23,08	-0,60	0,1271	0,35	0,4720	-0,12	NA	-0,02	0,9915	0,02	0,9743	0,25	0,7917	-0,03	NA	0,23	0,8590	0,40	0,4971
Apcdd1	2,24	0,17	NA	0,14	0,8731	-0,11	NA	-0,08	NA	0,50	0,4690	-0,33	NA	-0,23	NA	-0,15	NA	-0,37	0,6568
Apeh	51,17	-0,13	0,7980	0,24	0,5843	0,12	1,0000	0,09	0,9628	0,11	0,7779	0,08	0,9339	-0,04	0,9661	0,07	0,9659	0,13	0,8130
Apex1	32,68	0,13	0,8340	0,11	0,8933	-0,07	NA	-0,21	0,8966	-0,24	0,6649	0,28	0,7014	-0,47	0,4291	-0,36	0,6605	-0,64	0,1033
Apex2	6,25	-0,02	0,9867	0,19	0,8389	-0,19	NA	-0,03	NA	-0,76	0,2118	-0,26	0,8159	-0,26	NA	-0,65	NA	-0,16	0,8623
Aph1a	46,86	0,21	0,6615	0,10	0,8703	-0,01	1,0000	-0,16	0,9093	-0,36	0,3095	-0,18	0,8292	-0,12	0,8968	-0,11	0,9423	-0,24	0,6425
Aph1b	29,48	-0,32	0,4959	0,63	0,1179	-0,04	1,0000	-0,07	0,9790	-0,98	0,0156	0,99	0,0268	0,26	0,7232	-0,01	0,9993	-0,50	0,3618
Api5	117,59	0,32	0,2300	0,35	0,2198	0,01	1,0000	0,31	0,5144	0,31	0,2159	0,15	0,7967	0,11	0,8649	0,01	0,9931	0,18	0,6377
Apip	22,38	0,45	0,2866	0,04	0,9730	0,22	NA	0,03	0,9901	-0,01	0,9906	-0,35	0,6499	-0,48	0,4534	-0,16	0,9119	-0,36	0,4765
Apitd1	1,66	0,10	NA	-0,22	0,7393	0,07	NA	-0,11	NA	-0,06	0,9387	-0,18	NA	-0,13	NA	-0,32	NA	-0,31	NA
Apif	12,70	-0,39	0,4979	0,68	0,1582	0,07	NA	-0,18	0,9250	-0,39	0,5222	0,72	0,2912	0,41	NA	-0,32	0,8100	-0,41	0,5709
Apin	1,07	0,36	NA	0,12	NA	0,02	NA	-0,01	NA	-0,05	NA	-0,30	NA	-0,06	NA	-0,07	NA	-0,51	NA
Aplp1	59,69	0,37	0,3226	0,72	0,0184	0,25	1,0000	-0,36	0,6103	0,00	0,9955	0,69	0,0886	-0,24	0,7087	-0,38	0,5893	0,13	0,8233
Aplp2	608,59	-0,20	0,3418	0,22	0,3705	-0,05	1,0000	0,51	0,0125	0,92	0,0000	0,56	0,0257	0,36	0,2269	0,79	0,0001	1,24	0,0000
Apmap	21,60	0,05	0,9427	0,54	0,2632	0,12	NA	-0,08	0,9746	0,11	0,8509	0,30	0,7239	0,32	0,6743	-0,13	0,9366	0,12	0,8495
Apoa1bp	35,49	0,02	0,9743	0,24	0,6555	0,06	1,0000	0,24	0,8320	0,44	0,1921	0,27	0,7209	-0,36	0,5925	0,06	0,9766	0,40	0,3561
Apobec1	1,47	0,02	NA	-0,14	0,8524	-0,05	NA	-0,18	NA	-0,50	NA	-0,38	NA	0,14	NA	-0,17	NA	-0,55	NA
Apobec2	169,48	-0,71	0,0061	-0,80	0,0006	-0,03	1,0000	-0,20	0,8011	-2,02	0,0000	0,02	0,9805	0,37	0,4532	0,14	0,8926	-1,70	0,0000
Apobec3	7,97	-0,28	0,7057	0,06	0,9579	-0,06	NA	-0,27	0,8334	-0,75	0,2172	-0,22	0,8451	0,04	NA	-0,47	NA	-0,63	0,3750
Apobr	3,14	1,15	0,0095	-0,04	NA	0,02	NA	0,04	NA	0,25	NA	-1,09	0,0722	-0,62	NA	-0,83	NA	-0,04	0,9705
Apoe	30,87	-0,20	0,7604	-0,38	0,5702	0,22	1,0000	-0,65	0,2365	0,07	0,9100	0,02	0,9886	0,17	0,8453	0,00	1,0000	0,50	0,2002
Apoo	5,98	0,98	0,0462	0,51	0,4535	0,30	NA	0,12	NA	-0,04	0,9659	-0,57	0,4927	-0,02	NA	0,00	1,0000	-0,63	0,3382
Apool	55,00	0,15	0,7305	-0,21	0,6851	-0,01	1,0000	-0,23	0,8257	-0,78	0,0085	-0,02	0,9829	0,26	0,6451	-0,18	0,8551	-0,94	0,0027
Apopt1	24,04	0,39	0,3957	0,25	0,7041	0,14	NA	0,39	0,6299	0,45	0,2909	0,05	0,9583	-0,11	0,9071	0,00	1,0000	0,15	0,8044
App	1154,14	-0,01	0,9882	-0,70	0,0003	-0,36	0,5136	-0,21	0,6894	0,19	0,3939	-0,51	0,0661	-0,45	0,1118	-0,13	0,8412	0,22	0,4365
Appbp2	156,34	-0,01	0,9871	-0,22	0,5069	-0,04	1,0000	0,10	0,9269	0,08	0,8033	0,00	0,9966	-0,04	0,9611	0,17	0,7986	0,16	0,6774
App1	153,38	0,31	0,1891	-0,01	0,9872	0,11	1,0000	0,17	0,8469	0,22	0,4049	-0,23	0,6271	-0,08	0,8962	-0,35	0,4134	-0,18	0,6531
App2	144,06	-1,35	0,0000	-0,22	0,6906	0,17	1,0000	0,05	0,9853	-0,35	0,3515	0,26	0,6583	0,81	0,0153	0,53	0,2377	0,44	0,1863
Aprt	45,30	0,48	0,2257	-0,54	0,2549	-0,24	1,0000	-0,52	0,4033	-0,45	0,2698	-0,27	0,7255	-0,71	0,1381	-0,72	0,1543	-1,09	0,0040
Aptx	45,05	-0,43	0,1602	0,43	0,2281	0,25	1,0000	0,25	0,7638	-0,25	0,4784	0,84	0,0317	0,42	0,4412	0,62	0,1992	0,22	0,6326
Aqp11	1,37	0,01	NA	0,59	0,3014	0,10	NA	0,01	NA	0,39	0,5814	0,40	NA	0,12	NA	0,08	NA	0,44	0,5921
Aqp4	5,72	-0,63	0,2784	-0,11	0,9109	-0,20	NA	-0,48	NA	-1,63	0,0017	0,63	0,4338	0,15	NA	-0,20	NA	-0,71	NA
Aqr	136,52	0,06	0,8746	-0,12	0,7711	-0,14	1,0000	-0,07	0,9650	0,07	0,8335	-0,19	0,7155	-0,09	0,8885	-0,16	0,8339	-0,07	0,8501

GeneID	CTL	ET-1 vs CTL		SAHA vs CTL		JS28 vs CTL		BSP vs CTL		JQ1 vs CTL		ET-1+SAHA vs ET1		ET-1+JS28 vs ET1		ET-1+BSP vs ET1		ET-1+JQ1 vs ET1	
	mean	log2(FC)	P-adj	log2(FC)	P-adj	log2(FC)	P-adj	log2(FC)	P-adj	log2(FC)	P-adj	log2(FC)	P-adj	log2(FC)	P-adj	log2(FC)	P-adj	log2(FC)	P-adj
Ar	1,33	-0,21	NA	0,20	0,7951	-0,07	NA	-0,06	NA	-0,44	0,4235	0,25	NA	-0,07	NA	-0,14	NA	-0,09	NA
Araf	103,26	-0,11	0,7503	-0,06	0,9010	-0,06	1,0000	-0,11	0,9306	0,11	0,7046	0,20	0,7121	0,34	0,4264	0,27	0,6395	0,12	0,7302
Arap1	21,24	-0,52	0,2770	0,84	0,0412	-0,17	NA	-0,93	0,0252	-0,56	0,2539	0,70	0,2382	-0,44	NA	-0,36	0,7486	0,11	0,8763
Arap2	87,63	-0,06	0,9003	-0,06	0,9324	0,11	1,0000	-0,04	0,9853	-0,50	0,1459	-0,09	0,9049	0,05	0,9529	0,04	0,9784	-0,44	0,1591
Arc	3,60	-0,41	0,5459	1,21	0,0111	0,59	NA	0,49	0,4739	-0,06	0,9450	1,01	0,1301	0,32	NA	0,37	NA	1,19	0,0656
Arcn1	227,54	0,18	0,3786	-0,24	0,3388	-0,01	1,0000	-0,02	0,9853	0,21	0,2797	-0,32	0,3509	-0,12	0,8017	-0,11	0,8787	0,23	0,3414
Arel1	154,24	-0,03	0,9315	0,07	0,8518	-0,01	1,0000	0,14	0,8619	0,10	0,7620	0,28	0,4788	0,08	0,9009	0,34	0,4215	0,29	0,2326
Arf1	402,58	0,42	0,0408	-0,15	0,6546	-0,01	1,0000	0,05	0,9746	0,54	0,0011	-0,22	0,6137	-0,41	0,2335	-0,14	0,8472	0,27	0,3833
Arf2	103,29	0,74	0,0008	-0,29	0,4824	-0,19	1,0000	-0,07	0,9715	0,17	0,6534	-0,36	0,3966	-0,25	0,6111	0,00	1,0000	-0,11	0,8159
Arf3	155,40	-0,06	0,8857	0,02	0,9730	-0,09	1,0000	0,08	0,9563	0,77	0,0001	0,02	0,9805	-0,13	0,8375	-0,03	0,9861	0,83	0,0003
Arf4	139,78	0,42	0,0682	-0,07	0,8703	0,14	1,0000	0,09	0,9440	-0,14	0,6511	-0,13	0,8267	-0,05	0,9406	-0,18	0,8100	-0,22	0,5261
Arf5	31,12	0,01	0,9871	-0,26	0,6875	0,00	NA	-0,02	0,9901	0,36	0,4328	0,01	0,9952	-0,02	0,9837	0,62	0,2481	0,28	0,6525
Arf6	79,53	0,43	0,1226	-0,27	0,5374	-0,15	1,0000	-0,03	0,9860	0,42	0,1390	-0,31	0,5739	-0,25	0,6588	-0,12	0,9065	0,30	0,3820
Arfgap1	63,07	0,14	0,7221	0,18	0,7117	0,09	1,0000	0,03	0,9853	0,35	0,2084	-0,24	0,6994	-0,36	0,4924	-0,12	0,9118	0,20	0,5783
Arfgap2	98,67	0,02	0,9670	-0,55	0,0630	0,07	1,0000	0,07	0,9634	0,02	0,9570	-0,43	0,3256	-0,05	0,9458	-0,01	0,9957	-0,09	0,8147
Arfgap3	43,41	0,31	0,4138	0,09	0,8895	0,13	1,0000	-0,29	0,7666	-0,28	0,4952	-0,14	0,8538	-0,23	0,7226	-0,42	0,5271	-0,43	0,2697
Arfgef1	1009,81	-0,23	0,1791	-0,14	0,6237	-0,13	1,0000	0,00	0,9979	-0,24	0,2409	0,13	0,7580	0,28	0,3664	0,21	0,5809	0,00	0,9937
Arfgef2	134,28	-0,01	0,9802	-0,17	0,6271	0,02	1,0000	-0,01	0,9901	-0,07	0,8218	-0,22	0,6677	0,05	0,9436	-0,04	0,9734	0,07	0,8558
Arfip1	67,43	0,43	0,1807	0,52	0,1370	0,05	1,0000	-0,06	0,9805	0,12	0,7596	0,08	0,9233	0,19	0,7453	-0,29	0,6683	-0,12	0,7905
Arfip2	24,34	0,13	0,8265	0,36	0,4969	0,10	NA	0,01	0,9972	0,43	0,2841	0,24	0,7814	0,10	0,9192	0,04	0,9911	0,23	0,6740
Arfrp1	38,60	-0,05	0,9401	-0,31	0,5644	-0,16	1,0000	-0,22	0,8671	-0,15	0,7475	-0,22	0,7826	-0,54	0,3341	-0,16	0,8960	-0,10	0,8427
Arglu1	106,95	-0,02	0,9710	0,06	0,9075	0,03	1,0000	0,19	0,8125	-0,39	0,1196	-0,04	0,9558	0,58	0,0720	0,39	0,3693	-0,55	0,0456
Arhgap1	191,86	0,51	0,0126	-0,71	0,0076	-0,07	1,0000	-0,12	0,9269	0,60	0,0025	-0,81	0,0016	-0,54	0,0618	-0,32	0,4133	0,38	0,0978
Arhgap10	161,42	0,23	0,4651	-0,01	0,9836	-0,09	1,0000	0,13	0,9125	-0,08	0,7965	-0,22	0,6783	-0,33	0,4502	-0,02	0,9911	-0,08	0,8316
Arhgap11a	15,22	-0,60	0,2064	0,79	0,0586	-0,02	NA	-0,18	0,9213	-0,26	0,6448	0,72	0,2717	0,44	NA	-0,07	0,9784	0,12	0,8797
Arhgap12	80,56	-0,17	0,6361	0,27	0,4893	0,15	1,0000	0,37	0,4968	0,18	0,6132	0,48	0,2218	0,42	0,3169	0,45	0,2968	0,44	0,1849
Arhgap17	39,82	0,03	0,9635	0,12	0,8676	0,02	1,0000	0,22	0,8783	0,58	0,0993	-0,24	0,7574	0,01	0,9963	0,36	0,6112	0,49	0,1717
Arhgap18	44,98	-0,49	0,1591	-0,02	0,9836	-0,23	1,0000	-0,10	0,9618	0,47	0,1155	0,00	0,9976	-0,09	0,9243	-0,08	0,9595	1,05	0,0006
Arhgap19	9,70	-0,06	0,9419	0,62	0,2737	-0,14	NA	-0,24	0,8731	0,08	0,9147	0,56	0,4661	-0,15	NA	-0,20	0,9065	-0,28	0,7092
Arhgap21	619,06	-0,03	0,9303	-0,36	0,1735	-0,13	1,0000	-0,08	0,9469	0,06	0,8350	-0,55	0,0268	0,03	0,9539	-0,13	0,8220	0,22	0,4403
Arhgap23	177,53	0,79	0,0000	-0,21	0,6021	-0,26	1,0000	-0,35	0,4708	0,15	0,7070	-1,02	0,0001	-1,06	0,0000	-0,88	0,0005	0,01	0,9919
Arhgap24	37,20	0,61	0,0868	0,06	0,9449	0,00	NA	-0,22	0,8768	-1,27	0,0013	-0,11	0,8999	0,02	0,9837	-0,42	0,5493	-1,25	0,0011
Arhgap26	67,21	-0,58	0,0195	0,24	0,5241	-0,17	1,0000	0,19	0,8426	0,30	0,2694	0,65	0,1011	0,42	0,3880	0,48	0,3462	0,67	0,0333
Arhgap27	21,02	0,20	0,7789	-0,86	0,1020	-0,07	NA	-0,07	0,9827	-0,88	0,0899	-1,14	0,0492	-0,86	NA	-0,31	0,7903	-1,38	0,0089
Arhgap28	3,55	0,13	0,8856	0,74	0,2012	0,10	NA	0,27	NA	0,63	0,3316	0,46	0,6313	-0,27	NA	-0,29	NA	0,46	0,5727
Arhgap29	63,83	0,77	0,0100	0,46	0,2361	0,22	1,0000	-0,29	0,7444	-0,18	0,6691	-0,16	0,8269	-0,21	0,7661	-0,42	0,4889	-0,43	0,3466
Arhgap31	1483,93	-0,54	0,0033	-0,26	0,2871	-0,03	1,0000	0,18	0,7424	0,45	0,0154	-0,30	0,3913	-0,09	0,8775	0,18	0,7398	0,64	0,0154
Arhgap32	90,79	-0,16	0,6912	0,13	0,7976	-0,07	1,0000	-0,05	0,9805	0,30	0,2801	-0,11	0,8781	0,07	0,9263	0,32	0,5886	0,36	0,3006
Arhgap33	6,02	-0,30	0,6832	0,66	0,2576	0,00	NA	-0,27	NA	0,09	0,9164	-0,27	0,8044	-0,57	NA	-0,44	NA	-0,19	0,8365
Arhgap35	476,55	-0,14	0,5999	-0,10	0,6962	-0,08	1,0000	-0,06	0,9472	0,05	0,8200	0,01	0,9893	0,14	0,7732	0,32	0,4329	0,28	0,3306
Arhgap39	30,83	0,21	0,6952	0,36	0,5018	0,19	NA	0,02	0,9901	-0,11	0,8285	0,01	0,9910	-0,10	0,9192	-0,28	0,7954	0,08	0,8981
Arhgap4	1,47	0,18	NA	0,36	0,5845	0,05	NA	0,22	NA	0,13	0,8714	0,00	NA	0,17	NA	0,21	NA	0,31	0,7210
Arhgap42	54,12	-0,27	0,5340	-0,28	0,5794	0,12	1,0000	-0,14	0,9287	-0,74	0,0216	-0,32	0,6369	0,45	0,3994	-0,16	0,9017	-0,40	0,3656
Arhgap44	125,76	0,27	0,4041	0,68	0,0056	0,02	1,0000	0,03	0,9853	0,44	0,0594	0,38	0,3605	-0,24	0,6445	-0,05	0,9751	0,26	0,4216
Arhgap5	434,27	0,07	0,7888	-0,17	0,5118	0,04	1,0000	0,09	0,9269	-0,34	0,1244	0,03	0,9572	0,33	0,3234	0,07	0,9202	-0,30	0,4499

GeneID	CTL	ET-1 vs CTL		SAHA vs CTL		JS28 vs CTL		BSP vs CTL		JQ1 vs CTL		ET-1+SAHA vs ET1		ET-1+JS28 vs ET1		ET-1+BSP vs ET1		ET-1+JQ1 vs ET1	
	mean	log2(FC)	P-adj	log2(FC)	P-adj	log2(FC)	P-adj	log2(FC)	P-adj	log2(FC)	P-adj	log2(FC)	P-adj	log2(FC)	P-adj	log2(FC)	P-adj	log2(FC)	P-adj
Arhgap6	56,85	-0,28	0,5228	-0,29	0,5254	-0,15	1,0000	0,02	0,9901	0,25	0,4642	-0,16	0,8493	0,10	0,9127	0,12	0,9292	0,13	0,8102
Arhgdia	237,61	0,59	0,0005	-0,28	0,3668	-0,06	1,0000	-0,14	0,8819	0,48	0,0173	-0,94	0,0001	-0,91	0,0001	-0,59	0,0190	0,27	0,4455
Arhgdib	6,69	0,40	0,5460	0,23	0,7944	0,16	NA	-0,21	NA	-1,13	0,0468	-0,30	0,7762	0,26	NA	-0,12	0,9528	-0,99	0,1161
Arhgef1	47,50	-0,27	0,4900	0,37	0,3119	0,00	1,0000	-0,31	0,6826	-0,24	0,5649	0,29	0,6793	-0,10	0,9096	-0,22	0,8401	-0,25	0,6272
Arhgef10	48,73	-0,24	0,5368	0,03	0,9730	0,23	1,0000	-0,39	0,5568	-0,63	0,0645	-0,07	0,9395	0,26	0,6799	-0,10	0,9412	-0,55	0,2025
Arhgef10l	36,76	-0,18	0,7117	-0,36	0,4669	0,04	1,0000	-0,49	0,3977	-1,38	0,0001	-0,09	0,9285	0,12	0,8939	-0,34	0,7073	-1,79	0,0000
Arhgef11	71,97	-0,23	0,4792	-0,10	0,8355	0,14	1,0000	0,10	0,9448	0,58	0,0097	-0,34	0,5348	0,04	0,9622	0,06	0,9616	0,58	0,0620
Arhgef12	711,21	0,14	0,6401	0,02	0,9760	-0,02	1,0000	0,14	0,8601	0,18	0,4293	-0,09	0,8689	-0,12	0,8109	-0,05	0,9602	0,05	0,8984
Arhgef17	281,38	-0,22	0,2268	-0,39	0,0360	-0,12	1,0000	-0,18	0,7153	-0,59	0,0013	-0,43	0,1712	-0,24	0,5225	0,22	0,6324	-0,01	0,9784
Arhgef18	100,11	0,02	0,9606	0,04	0,9422	0,08	1,0000	-0,12	0,9260	0,24	0,3707	-0,11	0,8604	-0,05	0,9432	0,06	0,9608	0,13	0,7046
Arhgef2	191,77	1,01	0,0003	-0,15	0,7214	0,07	1,0000	-0,13	0,9060	-0,07	0,8538	-1,29	0,0005	-0,92	0,0186	-0,91	0,0246	-0,93	0,0182
Arhgef25	10,91	-0,32	0,6241	0,28	0,7106	0,37	NA	-0,13	0,9559	-0,50	0,3985	0,11	0,9307	0,21	NA	-0,10	0,9616	-0,06	0,9506
Arhgef26	33,96	-0,01	0,9872	-1,01	0,0222	-0,10	1,0000	-0,41	0,6211	0,18	0,7438	-1,02	0,0676	-0,23	0,7945	-0,18	0,9018	0,78	0,0943
Arhgef28	17,83	-0,47	0,2949	0,23	0,7266	0,39	NA	-0,15	0,9410	-0,34	0,4977	0,01	0,9976	0,10	NA	0,05	0,9836	-0,04	0,9644
Arhgef3	24,00	-0,74	0,0590	0,19	0,7792	0,17	1,0000	0,15	0,9404	-0,21	0,6969	0,48	0,4987	0,67	0,2330	0,70	0,2461	0,01	0,9936
Arhgef37	1,65	0,28	NA	0,69	0,1884	0,20	NA	0,08	NA	-0,21	NA	0,76	0,3124	0,38	NA	0,35	NA	-0,58	NA
Arhgef4	3,44	-0,16	0,8554	0,55	0,4006	0,06	NA	-0,08	NA	-0,43	0,5546	0,10	0,9396	-0,02	NA	-0,13	NA	-0,47	0,5607
Arhgef40	58,31	-0,42	0,2069	-0,20	0,6855	-0,03	1,0000	0,01	0,9925	0,04	0,9326	-0,40	0,5243	-0,15	0,8508	-0,23	0,8262	-0,04	0,9479
Arhgef5	12,49	-0,56	0,2669	-0,34	0,6265	0,43	NA	-0,75	0,1315	-1,03	0,0338	-0,14	0,9144	0,47	NA	-0,48	0,6339	-0,56	0,4284
Arhgef6	62,53	0,10	0,8409	-0,15	0,8003	0,33	1,0000	-0,31	0,6886	-1,20	0,0001	-0,27	0,6677	-0,05	0,9520	-0,69	0,1233	-1,22	0,0003
Arhgef7	719,66	0,28	0,1463	-0,10	0,7809	-0,28	0,8412	-0,23	0,6019	-0,38	0,0629	-0,39	0,1646	-0,39	0,1713	-0,44	0,0967	-0,73	0,0000
Arhgef9	23,38	0,04	0,9605	0,00	0,9981	-0,04	NA	-0,21	0,8950	-0,51	0,2793	0,08	0,9427	-0,01	0,9917	0,01	0,9967	-0,45	0,4016
Arid1a	427,94	-0,18	0,6598	-0,49	0,0187	-0,20	1,0000	-0,40	0,1532	0,14	0,6875	-0,62	0,1129	-0,29	0,5851	-0,25	0,7332	0,45	0,2673
Arid1b	175,24	-0,12	0,6848	-0,28	0,2701	0,17	1,0000	0,20	0,7079	0,20	0,4617	-0,38	0,3206	-0,06	0,9241	0,25	0,6395	0,26	0,4113
Arid2	195,71	-0,48	0,0121	-0,34	0,2071	0,11	1,0000	0,10	0,9264	-0,20	0,4039	-0,17	0,7425	0,52	0,0893	0,33	0,4431	0,14	0,6540
Arid3a	6,94	0,27	0,7184	0,57	0,3727	0,04	NA	-0,05	NA	-0,60	0,3691	0,22	0,8417	-0,31	NA	-0,39	0,7375	-0,73	0,2812
Arid3b	9,82	0,39	0,5480	0,33	0,6626	-0,11	NA	-0,22	0,8881	-0,29	0,6811	0,00	0,9982	-0,40	NA	-0,27	0,8465	-0,47	0,5166
Arid4a	108,32	-0,13	0,7667	0,08	0,8532	-0,20	1,0000	-0,12	0,9211	-0,26	0,3556	-0,14	0,8588	0,02	0,9843	-0,13	0,9074	-0,09	0,8721
Arid4b	221,26	-0,09	0,8137	0,05	0,9193	0,02	1,0000	0,19	0,7543	-0,06	0,8622	-0,19	0,7522	0,43	0,3164	0,27	0,6531	0,10	0,8418
Arid5a	22,48	0,78	0,0715	-0,32	0,6555	-0,05	NA	0,49	0,4734	1,28	0,0001	-1,27	0,0169	-0,85	0,1235	-0,32	0,7864	0,46	0,3791
Arid5b	98,73	0,09	0,8994	-0,46	0,2859	-0,14	1,0000	-0,35	0,6299	0,03	0,9559	-0,61	0,2856	-0,59	0,2917	-0,43	0,5882	-0,20	0,7240
Arih1	306,12	0,29	0,1130	0,18	0,5306	0,00	1,0000	0,13	0,8671	0,40	0,0186	0,03	0,9572	-0,12	0,8099	0,04	0,9628	0,18	0,6221
Arih2	105,09	0,05	0,9194	0,12	0,8019	0,15	1,0000	0,05	0,9805	0,12	0,7010	0,14	0,8292	-0,06	0,9336	0,10	0,9192	0,15	0,6692
Arl1	81,20	0,23	0,5704	0,18	0,6920	-0,04	1,0000	0,27	0,7148	0,02	0,9767	0,30	0,5834	0,09	0,9070	0,11	0,9253	0,06	0,9261
Arl10	4,71	-0,12	0,8938	-0,23	0,8021	0,15	NA	-0,13	NA	-0,41	0,5662	-0,04	0,9801	0,13	NA	-0,25	NA	-0,16	0,8671
Arl13b	21,25	0,23	0,7217	0,45	0,4441	0,05	NA	0,06	0,9853	0,28	0,6072	-0,07	0,9486	-0,18	0,8465	-0,44	0,6256	-0,23	0,7013
Arl14ep	64,78	0,31	0,4754	-0,27	0,6036	-0,10	1,0000	-0,03	0,9860	-0,62	0,0594	-0,19	0,7956	-0,06	0,9432	-0,40	0,5483	-0,73	0,0694
Arl15	34,75	-0,04	0,9517	0,22	0,7096	0,08	1,0000	0,09	0,9681	0,35	0,3491	0,44	0,4901	0,37	0,5746	0,28	0,7891	0,38	0,4239
Arl16	27,67	0,00	0,9948	-0,03	0,9756	0,04	NA	-0,39	0,6281	0,18	0,6982	0,27	0,7286	-0,03	0,9776	0,06	0,9740	0,37	0,3886
Arl2	17,68	0,30	0,5953	0,06	0,9549	0,02	NA	-0,25	0,8610	-0,71	0,1552	0,03	0,9792	-0,47	NA	-0,42	0,6576	-0,91	0,0675
Arl2bp	204,07	-0,13	0,6241	-0,71	0,0003	-0,05	1,0000	-0,14	0,8646	0,12	0,5896	-0,39	0,2666	0,17	0,7136	0,00	0,9990	0,16	0,5572
Arl3	28,25	-0,43	0,3036	1,16	0,0000	0,27	1,0000	0,62	0,1492	0,13	0,7980	1,41	0,0002	0,57	0,3151	1,00	0,0227	0,68	0,1072
Arl4a	28,65	-0,43	0,3180	-0,47	0,3321	-0,17	1,0000	0,16	0,9260	-0,01	0,9868	0,27	0,7515	0,22	0,7963	0,21	0,8659	0,07	0,9209
Arl4c	14,00	0,25	0,6912	0,71	0,1397	0,03	NA	0,30	0,7882	0,91	0,0234	0,65	0,2972	-0,08	NA	0,10	0,9590	0,67	0,1376
Arl4d	3,75	0,47	0,4743	0,33	0,6682	0,15	NA	0,23	NA	1,43	0,0056	0,21	0,8557	-0,09	NA	0,15	0,9372	0,71	0,2705

GeneID	CTL	ET-1 vs CTL		SAHA vs CTL		JS28 vs CTL		BSP vs CTL		JQ1 vs CTL		ET-1+SAHA vs ET1		ET-1+JS28 vs ET1		ET-1+BSP vs ET1		ET-1+JQ1 vs ET1	
	mean	log2(FC)	P-adj	log2(FC)	P-adj	log2(FC)	P-adj	log2(FC)	P-adj	log2(FC)	P-adj	log2(FC)	P-adj	log2(FC)	P-adj	log2(FC)	P-adj	log2(FC)	P-adj
Arl5a	151,47	0,18	0,6296	0,15	0,6875	-0,10	1,0000	0,09	0,9454	0,13	0,6378	0,55	0,1570	0,38	0,4173	0,09	0,9400	0,18	0,6845
Arl5b	75,31	0,10	0,8035	0,06	0,9221	0,06	1,0000	0,39	0,4382	0,59	0,0098	0,32	0,5115	0,18	0,7693	0,21	0,7863	0,71	0,0029
Arl5c	3,44	0,16	0,8470	0,23	0,7899	0,00	NA	-0,04	NA	0,33	0,6664	0,20	0,8620	-0,26	NA	-0,04	NA	-0,17	0,8585
Arl6	21,48	-0,15	0,8230	0,41	0,4577	0,07	NA	0,23	0,8730	-0,70	0,1265	0,88	0,0756	0,36	0,6154	0,22	0,8609	-0,38	0,5328
Arl6ip1	54,36	-0,29	0,4569	-0,09	0,8725	-0,01	1,0000	0,16	0,8903	0,25	0,4724	0,00	0,9982	0,19	0,7970	0,27	0,7639	0,69	0,0517
Arl6ip4	34,39	0,20	0,6861	-0,35	0,5312	-0,22	NA	0,05	0,9853	-0,26	0,5631	-0,17	0,8422	-0,27	0,6966	-0,30	0,7375	-0,35	0,4307
Arl6ip5	93,69	-0,08	0,8540	-0,30	0,3950	-0,06	1,0000	-0,10	0,9472	-0,07	0,8469	0,32	0,5044	0,06	0,9361	0,15	0,8745	0,22	0,5283
Arl6ip6	45,93	0,20	0,6750	-0,05	0,9545	0,01	1,0000	0,35	0,6529	0,34	0,3946	0,05	0,9537	0,38	0,4874	0,21	0,8364	0,20	0,6681
Arl8a	39,96	0,30	0,5703	-0,16	0,8190	0,13	1,0000	-0,07	0,9798	0,73	0,0516	-0,55	0,3879	-0,50	0,4214	-0,39	0,6540	0,71	0,1556
Arl8b	210,28	0,16	0,5074	0,08	0,8277	-0,08	1,0000	0,09	0,9275	0,16	0,5398	0,17	0,7037	0,18	0,6959	-0,12	0,8597	0,10	0,8064
Armc1	88,26	0,64	0,0033	0,26	0,4889	0,17	1,0000	0,26	0,7143	0,13	0,7387	-0,04	0,9564	-0,32	0,4965	-0,37	0,4673	-0,36	0,3833
Armc10	36,01	-0,08	0,8850	-0,03	0,9730	0,03	1,0000	0,09	0,9634	-0,14	0,7608	0,20	0,7960	-0,02	0,9830	-0,19	0,8638	-0,08	0,8753
Armc2	1,82	-0,35	NA	-0,07	0,9445	0,13	NA	0,04	NA	0,01	0,9935	0,15	NA	0,46	NA	0,18	NA	0,00	NA
Armc5	25,52	0,32	0,5131	-0,34	0,5839	0,16	NA	0,00	0,9998	0,25	0,6578	-0,71	0,2336	-0,49	0,4379	-0,34	0,7188	0,33	0,6126
Armc6	11,87	0,07	0,9295	-0,42	0,5445	-0,04	NA	-0,27	0,8369	-0,16	0,8114	-0,35	0,7290	-0,41	NA	-0,22	0,8876	-0,39	0,5703
Armc7	7,07	-0,14	0,8712	-0,51	0,4497	-0,10	NA	0,04	0,9853	-0,12	0,8796	-0,14	0,9156	-0,18	NA	0,02	0,9931	0,08	0,9397
Armc8	108,83	0,05	0,8993	0,15	0,7467	-0,02	1,0000	0,01	0,9932	-0,08	0,8285	0,15	0,8117	0,11	0,8672	-0,02	0,9911	-0,10	0,7825
Armc9	12,12	-0,36	0,5551	0,50	0,3893	0,04	NA	0,05	0,9853	0,25	0,6609	0,00	0,9982	0,17	NA	0,26	0,8511	0,70	0,1827
Armcx1	79,54	-0,11	0,7994	-0,74	0,0082	-0,19	1,0000	-0,40	0,4183	-0,22	0,4788	-0,45	0,3650	-0,05	0,9518	-0,21	0,8152	-0,12	0,8047
Armcx2	135,10	0,16	0,6062	0,47	0,0975	-0,05	1,0000	0,06	0,9737	0,43	0,0618	0,17	0,7394	-0,37	0,3437	0,03	0,9824	0,38	0,1053
Armcx3	61,14	0,07	0,8824	0,08	0,8903	0,03	1,0000	0,01	0,9932	0,20	0,5500	0,16	0,8143	-0,13	0,8618	-0,24	0,7711	-0,02	0,9726
Armcx4	255,78	-0,30	0,2170	-0,42	0,0986	-0,40	0,4885	-0,32	0,4665	-0,37	0,1020	-0,45	0,2201	0,06	0,9305	-0,03	0,9800	-0,12	0,7402
Armcx5	27,51	0,04	0,9452	0,03	0,9752	-0,06	NA	-0,07	0,9799	-0,06	0,9055	0,02	0,9870	-0,14	0,8806	-0,11	0,9416	-0,06	0,9246
Armcx6	11,99	-0,69	0,1504	-0,25	0,7485	-0,12	NA	-0,15	0,9437	0,33	0,5235	0,67	0,3619	0,30	NA	0,06	0,9824	0,60	0,3163
Arnt	156,31	-0,28	0,1997	-0,32	0,2357	-0,12	1,0000	0,01	0,9901	0,27	0,2363	-0,22	0,6360	-0,05	0,9397	0,08	0,9328	0,56	0,0044
Arnt2	48,36	0,25	0,5952	0,17	0,7694	-0,10	1,0000	-1,07	0,0013	-1,68	0,0000	-0,19	0,8072	-0,81	0,0740	-1,16	0,0052	-1,49	0,0001
Arnt1	12,63	-0,32	0,6187	-0,04	0,9750	-0,03	NA	-0,07	0,9798	0,00	0,9960	-0,18	0,8772	0,17	NA	-0,01	0,9967	0,18	0,8181
Arnt12	2,33	-0,18	0,8220	-0,21	0,8003	-0,15	NA	-0,09	NA	-0,06	0,9441	-0,07	NA	-0,11	NA	-0,36	NA	-0,25	NA
Arpc1a	74,54	-0,04	0,9372	-0,17	0,7075	0,09	1,0000	0,16	0,8797	0,32	0,2385	-0,19	0,7608	0,01	0,9878	0,22	0,7773	0,48	0,0980
Arpc1b	31,92	-0,04	0,9550	0,00	0,9975	0,33	1,0000	-0,24	0,8491	-0,04	0,9350	0,01	0,9952	0,05	0,9654	-0,06	0,9789	-0,03	0,9659
Arpc2	277,18	0,32	0,0697	-0,24	0,3529	0,02	1,0000	-0,03	0,9853	0,15	0,4768	-0,16	0,7290	-0,30	0,3948	-0,16	0,7930	0,01	0,9782
Arpc3	92,86	0,04	0,9230	0,53	0,0532	0,19	1,0000	0,14	0,9125	0,32	0,2120	0,56	0,1044	0,06	0,9336	0,32	0,5469	0,22	0,4740
Arpc4	49,47	0,27	0,5197	0,45	0,2322	0,25	1,0000	0,19	0,8814	0,49	0,1367	0,26	0,6997	-0,30	0,6418	-0,05	0,9800	0,18	0,6846
Arpc5	77,89	0,49	0,0462	0,06	0,9120	0,00	1,0000	0,03	0,9853	0,40	0,1706	-0,10	0,8904	-0,46	0,3018	-0,22	0,7689	0,14	0,7147
Arpc5l	42,74	0,09	0,8670	0,09	0,8975	-0,18	1,0000	0,00	0,9988	0,04	0,9347	0,12	0,8805	-0,19	0,8064	0,19	0,8525	-0,07	0,9140
Arpp19	124,94	-0,03	0,9485	0,04	0,9579	-0,19	1,0000	-0,10	0,9601	-0,50	0,0726	0,49	0,1371	0,07	0,9150	-0,08	0,9347	-0,63	0,0073
Arpp21	6,19	-0,42	0,5388	0,24	0,7823	-0,18	NA	-0,53	NA	-1,55	0,0036	0,23	0,8406	-0,04	NA	-0,57	NA	-1,09	0,0871
Arrb1	43,19	-0,67	0,0209	0,64	0,0313	0,10	1,0000	-0,11	0,9486	-0,17	0,6899	1,28	0,0003	0,31	0,6365	0,42	0,5655	0,05	0,9415
Arrb2	13,30	-0,44	0,4317	0,76	0,0920	0,15	NA	0,17	0,9287	0,69	0,1241	0,77	0,2443	-0,06	NA	0,09	0,9630	0,60	0,2956
Arrdc1	2,53	-0,77	0,1459	0,08	0,9444	0,04	NA	-0,32	NA	-0,51	0,4611	0,37	NA	0,37	NA	0,01	NA	0,11	NA
Arrdc2	4,23	0,38	0,5994	0,42	0,5658	0,35	NA	0,43	NA	0,96	0,0841	-0,04	0,9765	0,32	NA	0,53	0,5762	0,83	0,1694
Arrdc3	199,44	-0,43	0,1127	-0,19	0,6001	-0,03	1,0000	0,27	0,6117	0,13	0,6749	0,03	0,9742	0,10	0,8885	0,09	0,9315	0,13	0,7871
Arrdc4	41,22	0,37	0,3663	0,06	0,9444	0,58	0,2671	-0,25	0,8355	0,10	0,8565	0,06	0,9472	-0,29	0,6845	-0,92	0,0459	-0,62	0,1247
Arsa	8,09	-0,63	0,2732	0,19	0,8300	0,32	NA	-0,46	0,5525	-0,73	0,2096	0,39	0,7025	0,43	NA	-0,15	NA	0,26	0,7657
Arsb	4,75	0,24	0,7683	0,09	0,9315	0,19	NA	-0,04	NA	-0,31	0,6808	-0,11	0,9371	-0,13	NA	-0,22	NA	0,00	0,9988

GeneID	CTL	ET-1 vs CTL		SAHA vs CTL		JS28 vs CTL		BSP vs CTL		JQ1 vs CTL		ET-1+SAHA vs ET1		ET-1+JS28 vs ET1		ET-1+BSP vs ET1		ET-1+JQ1 vs ET1	
	mean	log2(FC)	P-adj	log2(FC)	P-adj	log2(FC)	P-adj	log2(FC)	P-adj	log2(FC)	P-adj	log2(FC)	P-adj	log2(FC)	P-adj	log2(FC)	P-adj	log2(FC)	P-adj
Arsg	3,70	0,63	0,2897	1,13	0,0231	0,16	NA	0,12	NA	0,01	0,9910	0,39	0,7009	-0,01	NA	-0,17	NA	-0,74	0,2977
Arsk	5,16	0,02	0,9871	0,62	0,3186	0,21	NA	0,09	NA	0,08	0,9278	0,73	0,3360	0,63	NA	-0,01	NA	-0,44	0,5847
Art3	70,98	-0,07	0,9195	0,35	0,3098	0,80	0,0030	0,67	0,0183	-0,85	0,0026	0,44	0,4681	0,93	0,0227	0,80	0,0813	-0,94	0,0347
Arv1	15,24	0,07	0,9290	-0,01	0,9919	0,00	NA	-0,13	0,9556	0,08	0,9036	-0,36	0,6895	-0,11	NA	0,03	0,9918	-0,24	0,7095
Arvcf	64,65	-0,05	0,9421	-0,40	0,3824	-0,24	1,0000	-0,39	0,5973	-0,05	0,9270	-0,62	0,2117	-0,73	0,1030	-0,57	0,2955	-0,13	0,7864
Arxes1	13,62	0,88	0,0392	0,29	0,7164	-0,04	NA	-0,07	0,9805	0,18	0,8061	-0,16	0,8709	-0,30	NA	-0,28	0,8179	-0,24	0,7114
Arxes2	22,00	0,31	0,5997	-0,10	0,9232	-0,27	NA	0,13	0,9592	-0,17	0,7925	0,02	0,9903	-0,31	0,6786	0,00	0,9995	-0,12	0,8542
Asah1	129,71	0,05	0,9350	0,67	0,0013	0,42	0,3778	0,24	0,6921	0,26	0,4162	0,65	0,1123	0,29	0,6141	0,07	0,9616	0,05	0,9454
Asah2	46,10	-0,67	0,0229	-0,48	0,2247	0,13	1,0000	-0,41	0,4968	-1,24	0,0001	0,03	0,9805	0,65	0,1458	-0,12	0,9355	-1,03	0,0093
Asap1	79,49	-0,32	0,4117	-0,08	0,8797	-0,03	1,0000	0,05	0,9853	0,19	0,6032	-0,15	0,8493	0,09	0,9190	-0,07	0,9616	0,10	0,8464
Asap2	60,37	0,27	0,4664	0,30	0,5115	0,19	1,0000	0,54	0,2279	0,73	0,0064	-0,44	0,3616	-0,15	0,8307	-0,03	0,9911	0,25	0,4585
Asap3	7,94	-0,32	0,6418	0,35	0,6340	0,10	NA	-0,09	0,9737	-0,20	0,7863	0,43	0,6565	0,02	NA	-0,12	0,9494	0,19	0,8233
Asb1	40,96	0,25	0,6511	0,29	0,5929	0,06	1,0000	0,28	0,7705	0,39	0,2654	0,19	0,8291	0,01	0,9963	0,04	0,9909	0,24	0,6550
Asb10	8,51	-0,65	0,2516	-0,96	0,0671	0,00	NA	-0,56	0,3706	-1,37	0,0105	-0,01	0,9976	0,35	NA	-0,26	NA	-0,45	0,5820
Asb11	32,99	0,24	0,6790	-0,98	0,0284	-0,24	NA	-0,81	0,0741	-2,50	0,0000	-0,84	0,1237	0,26	0,7274	-0,83	0,1379	-3,00	0,0000
Asb12	10,56	-0,82	0,1183	-0,60	0,3396	-0,19	NA	-0,81	0,0660	-1,52	0,0038	0,08	0,9544	-0,37	NA	-0,36	NA	-0,61	0,4262
Asb13	21,95	0,04	0,9559	-0,14	0,8532	0,17	NA	-0,12	0,9606	-0,84	0,0509	-0,40	0,6145	0,35	0,6283	-0,24	0,8469	-1,02	0,0308
Asb14	32,74	-1,84	0,0000	-1,58	0,0002	-0,12	1,0000	-1,12	0,0038	-2,96	0,0000	-0,41	0,6722	1,47	NA	0,04	0,9911	-1,47	0,0143
Asb15	5,60	-1,44	0,0014	-0,19	0,8337	0,07	NA	-0,54	0,3795	-1,37	0,0111	0,71	NA	0,24	NA	0,39	NA	0,16	NA
Asb18	2,26	0,17	0,8243	-0,13	0,8765	0,07	NA	-0,13	NA	-0,49	0,4366	-0,02	0,9903	-0,05	NA	-0,05	NA	-0,58	NA
Asb2	583,03	0,10	0,7745	-0,30	0,3283	0,04	1,0000	-0,01	0,9901	-0,09	0,8301	-0,24	0,5755	-0,27	0,4337	0,07	0,9300	0,01	0,9832
Asb3	41,92	-0,22	0,5902	-0,13	0,8275	0,09	1,0000	0,08	0,9708	0,03	0,9465	0,40	0,4945	0,35	0,5602	0,11	0,9372	0,09	0,8746
Asb4	82,53	-0,55	0,0464	-0,34	0,3774	-0,38	0,8398	-1,06	0,0001	-1,88	0,0000	0,51	0,2317	0,33	0,5208	-0,24	0,7790	-1,56	0,0000
Asb5	5,36	0,22	0,7900	0,02	0,9883	-0,14	NA	-0,19	NA	-0,95	0,0986	0,01	0,9957	-0,40	NA	-0,45	NA	-1,25	0,0510
Asb6	14,19	0,10	0,8909	0,33	0,6246	0,05	NA	-0,11	0,9647	0,14	0,8253	0,39	0,6499	-0,39	NA	-0,28	0,8335	0,00	0,9981
Asb7	34,71	-0,02	0,9747	0,11	0,8722	0,15	1,0000	0,11	0,9516	-0,20	0,6398	0,28	0,6997	0,01	0,9878	-0,06	0,9784	-0,47	0,2730
Asb8	106,36	-0,02	0,9668	-0,03	0,9591	-0,02	1,0000	-0,03	0,9853	-0,18	0,5484	0,16	0,7826	-0,03	0,9678	0,03	0,9911	0,07	0,8631
Ascc1	21,87	-0,30	0,5459	-0,13	0,8688	0,02	NA	-0,16	0,9361	0,09	0,8731	0,19	0,8411	-0,06	NA	-0,09	0,9616	0,61	0,1939
Ascc2	84,17	0,40	0,1282	0,36	0,3052	0,21	1,0000	0,14	0,9155	0,30	0,3518	-0,37	0,4316	-0,42	0,3405	-0,42	0,3826	-0,02	0,9782
Ascc3	158,75	0,13	0,6645	-0,29	0,3596	-0,05	1,0000	0,22	0,7352	0,49	0,0343	-0,55	0,0904	-0,09	0,8817	0,13	0,8646	0,47	0,1116
Asf1a	22,16	0,28	0,6176	0,28	0,6626	0,06	NA	0,17	0,9252	-0,17	0,7606	0,29	0,7245	0,43	0,5069	0,21	0,8609	-0,55	0,2727
Asf1b	2,40	-0,12	0,8851	0,22	0,7941	0,08	NA	0,14	NA	0,13	0,8831	0,31	0,7579	0,28	NA	0,45	NA	0,48	0,5559
Ash1l	544,96	-0,28	0,0682	-0,81	0,0000	-0,27	0,5409	-0,02	0,9853	0,06	0,8033	-0,87	0,0001	0,05	0,9223	0,08	0,9164	0,33	0,0989
Ash2l	149,05	-0,44	0,0153	-0,37	0,1224	0,03	1,0000	0,22	0,6524	0,31	0,0993	-0,14	0,8106	0,31	0,4532	0,28	0,5780	0,42	0,0856
Asic1	1,49	-0,18	NA	0,48	0,4594	-0,08	NA	-0,09	NA	-0,56	0,3226	0,17	NA	0,05	NA	-0,14	NA	0,16	NA
Asic3	1,43	0,00	NA	-0,12	0,8663	-0,08	NA	-0,05	NA	-0,08	0,9275	-0,26	NA	-0,06	NA	-0,08	NA	-0,22	NA
Asl	28,41	-0,30	0,5673	0,24	0,6882	0,08	1,0000	0,02	0,9901	0,06	0,9148	0,12	0,9057	0,03	0,9784	0,04	0,9911	0,01	0,9959
Asna1	75,17	0,32	0,3432	-0,10	0,8641	0,03	1,0000	0,07	0,9701	0,37	0,2325	-0,25	0,6713	-0,49	0,2787	0,09	0,9372	0,17	0,6632
Asns	247,58	1,34	0,0019	-0,06	0,9377	-0,30	1,0000	-0,27	0,7893	0,58	0,1016	-0,99	0,1403	-0,96	0,0845	-1,10	0,0616	-0,52	0,4770
Asnsd1	160,30	-0,24	0,3269	0,30	0,2556	0,20	1,0000	0,36	0,2471	0,16	0,5283	0,49	0,1570	0,33	0,4131	0,57	0,0575	0,27	0,3472
Aspdh	1,88	-0,40	NA	-0,15	0,8621	-0,03	NA	-0,02	NA	-0,78	0,1721	-0,14	NA	0,18	NA	0,01	NA	-0,24	NA
Asph	688,54	-0,24	0,1208	-1,06	0,0000	-0,12	1,0000	-0,31	0,1767	-0,77	0,0000	-0,69	0,0019	0,18	0,6267	-0,39	0,1553	-0,81	0,0000
Aspm	6,47	-0,58	0,3219	-0,50	0,4635	0,06	NA	0,16	0,9422	0,25	0,7083	-0,17	0,8885	0,09	NA	0,23	NA	0,31	0,7253
Aspscr1	76,20	-0,16	0,6969	-0,46	0,2154	0,17	1,0000	-0,09	0,9602	0,03	0,9384	-0,38	0,4547	-0,08	0,9227	-0,18	0,8472	0,04	0,9381
Asrgl1	31,18	-0,41	0,3553	0,24	0,6882	0,06	1,0000	0,06	0,9853	-0,61	0,1058	0,47	0,4681	0,03	0,9754	0,37	0,6822	0,22	0,7019

GeneID	CTL	ET-1 vs CTL		SAHA vs CTL		JS28 vs CTL		BSP vs CTL		JQ1 vs CTL		ET-1+SAHA vs ET1		ET-1+JS28 vs ET1		ET-1+BSP vs ET1		ET-1+JQ1 vs ET1	
	mean	log2(FC)	P-adj	log2(FC)	P-adj	log2(FC)	P-adj	log2(FC)	P-adj	log2(FC)	P-adj	log2(FC)	P-adj	log2(FC)	P-adj	log2(FC)	P-adj	log2(FC)	P-adj
Ass1	9,20	0,20	0,7896	0,92	0,0629	0,15	NA	-0,27	0,8355	-0,74	0,2163	0,44	0,6234	-0,36	NA	-0,31	0,8161	-0,55	0,4279
Aste1	14,89	0,43	0,4194	-0,04	0,9706	0,09	NA	-0,07	0,9805	-0,46	0,4350	-0,61	0,3934	0,07	NA	-0,36	0,7404	-0,66	0,2242
Astn1	1,05	-0,12	NA	-0,32	NA	0,02	NA	0,06	NA	0,12	0,8827	-0,02	NA	-0,15	NA	0,13	NA	-0,22	NA
Astn2	21,16	-0,53	0,2742	-0,88	0,0555	-0,25	NA	-0,72	0,1510	-1,10	0,0084	-0,79	0,2558	0,19	NA	-0,04	0,9911	-0,50	0,4177
Asun	46,99	-0,22	0,6239	0,61	0,0469	0,22	1,0000	0,58	0,1252	0,35	0,2635	0,52	0,3190	0,38	0,5170	0,47	0,4476	0,49	0,2393
Asxl1	131,83	-0,32	0,1725	-0,20	0,5606	-0,12	1,0000	0,09	0,9469	0,20	0,3847	0,01	0,9952	0,09	0,9039	0,31	0,5469	0,47	0,0583
Asxl2	164,55	-0,32	0,1333	-0,21	0,4907	0,08	1,0000	-0,01	0,9925	0,03	0,9182	-0,25	0,5943	0,16	0,7694	0,24	0,6695	0,23	0,4057
Asxl3	1,66	0,04	NA	0,08	0,9263	-0,03	NA	-0,11	NA	-0,28	0,6644	0,15	NA	0,13	NA	0,07	NA	-0,61	NA
Atad1	213,91	0,35	0,0951	-0,15	0,6506	0,10	1,0000	0,33	0,3014	0,25	0,2938	-0,09	0,8838	0,14	0,7929	0,16	0,8152	-0,16	0,7385
Atad2	35,92	-0,24	0,6172	0,19	0,7605	-0,17	1,0000	-0,04	0,9853	0,28	0,4617	0,35	0,6231	0,31	0,6388	0,11	0,9437	0,28	0,5772
Atad2b	150,60	-0,15	0,6410	-0,63	0,0046	-0,16	1,0000	0,08	0,9533	-0,33	0,1392	-0,85	0,0083	0,26	0,5880	0,06	0,9581	-0,15	0,7179
Atad3a	67,57	0,72	0,0009	0,20	0,6865	-0,17	1,0000	-0,02	0,9860	-0,25	0,4991	-0,52	0,2081	-0,63	0,0972	-0,61	0,1219	-1,09	0,0000
Atad5	20,28	-0,35	0,4896	-0,23	0,7380	-0,15	NA	-0,36	0,7006	-0,93	0,0387	-0,06	0,9596	-0,01	NA	-0,15	0,9292	-0,75	0,1540
Atat1	51,09	-0,41	0,2369	-0,52	0,1410	-0,42	0,7553	-0,44	0,4146	0,36	0,2843	0,20	0,7966	0,09	0,9218	-0,20	0,8573	0,80	0,0156
Atcay	4,30	0,01	NA	-0,06	0,9462	-0,14	NA	-0,07	NA	0,05	0,9512	0,71	0,3651	0,05	NA	-0,44	NA	0,31	0,7225
Atcayos	57,42	0,05	0,9315	0,53	0,1523	0,01	1,0000	0,26	0,7737	0,51	0,1120	0,61	0,1284	0,12	0,8722	0,43	0,4290	0,53	0,0926
Ate1	141,28	0,08	0,8256	-0,33	0,2268	-0,24	1,0000	-0,03	0,9853	-0,18	0,5631	-0,33	0,4497	-0,30	0,4963	-0,23	0,7017	-0,17	0,6756
Atf1	60,88	0,00	0,9927	-0,51	0,1444	0,09	1,0000	0,16	0,8998	-0,25	0,4535	-0,50	0,3128	0,26	0,6504	0,13	0,9074	-0,17	0,7302
Atf2	148,58	0,03	0,9479	0,08	0,8524	0,11	1,0000	0,24	0,6921	0,01	0,9685	0,11	0,8538	0,18	0,7274	0,25	0,6728	0,17	0,6491
Atf3	24,53	1,35	0,0010	-0,43	0,5533	-0,27	NA	0,02	0,9925	1,20	0,0071	-1,28	0,0152	-1,88	0,0000	-1,64	0,0004	0,35	0,6127
Atf4	240,57	1,07	0,0179	-0,85	0,0214	-0,28	1,0000	-0,38	0,6058	0,51	0,1736	-1,32	0,0242	-0,82	0,1641	-0,99	0,1142	-0,35	0,6520
Atf5	100,31	1,04	0,0367	-1,14	0,0033	-0,27	1,0000	-0,91	0,0199	0,13	0,8360	-1,18	0,0539	-0,76	0,1774	-0,98	0,0990	-0,47	0,5592
Atf6	407,13	-0,04	0,9195	-0,12	0,6829	-0,16	1,0000	0,19	0,6921	0,13	0,5447	-0,18	0,7425	-0,35	0,4015	-0,11	0,9074	-0,05	0,9107
Atf6b	33,88	-0,10	0,8646	-0,82	0,0459	-0,28	1,0000	-0,13	0,9500	-0,24	0,5971	-0,30	0,7035	-0,38	0,5771	-0,21	0,8567	0,19	0,7332
Atf7	45,50	-0,30	0,4065	0,31	0,4324	0,04	1,0000	-0,10	0,9564	0,39	0,2533	0,06	0,9476	0,23	0,7320	0,26	0,7790	0,67	0,0499
Atf7ip	299,06	-0,29	0,3200	-0,32	0,1138	-0,45	0,0762	-0,02	0,9853	-0,53	0,0130	-0,26	0,6211	-0,01	0,9904	0,23	0,7320	-0,19	0,6193
Atg10	37,73	-0,14	0,7860	-0,31	0,5606	-0,01	1,0000	0,01	0,9925	-0,58	0,1060	0,22	0,7715	0,36	0,5475	0,26	0,7828	-0,55	0,2210
Atg101	15,87	-0,18	0,7896	0,11	0,8972	-0,03	NA	-0,15	0,9449	0,09	0,8819	0,38	0,6526	-0,27	NA	0,23	0,8671	0,48	0,4044
Atg12	95,45	-0,18	0,6227	0,33	0,2931	0,00	1,0000	0,40	0,3040	0,48	0,0277	0,44	0,2965	0,12	0,8618	0,48	0,2624	0,59	0,0486
Atg13	102,96	-0,18	0,5923	0,07	0,8849	-0,04	1,0000	-0,07	0,9713	0,61	0,0063	0,12	0,8472	-0,25	0,6591	0,02	0,9918	0,76	0,0237
Atg14	34,74	-0,37	0,3857	0,19	0,7396	0,07	1,0000	-0,02	0,9910	-0,06	0,9078	0,07	0,9444	0,35	0,6103	0,29	0,7779	0,29	0,6000
Atg16i1	56,58	-0,18	0,6861	-0,05	0,9433	0,04	1,0000	0,00	0,9990	0,02	0,9580	0,37	0,5016	0,07	0,9408	0,16	0,8907	0,25	0,5793
Atg16i2	20,41	-0,29	0,6123	0,62	0,1481	0,18	NA	0,05	0,9853	-0,22	0,6759	0,44	0,5741	-0,10	NA	0,32	0,7865	-0,04	0,9621
Atg2a	66,73	-0,39	0,1785	0,27	0,4938	0,05	1,0000	-0,05	0,9853	0,41	0,1621	0,00	0,9983	-0,15	0,8425	0,32	0,6219	0,67	0,0711
Atg2b	139,60	-0,06	0,8444	0,15	0,6672	0,02	1,0000	0,02	0,9855	-0,03	0,9374	0,07	0,9086	-0,01	0,9885	-0,04	0,9789	0,02	0,9604
Atg3	41,33	-0,25	0,5842	0,03	0,9751	0,17	1,0000	0,04	0,9853	-0,09	0,8497	0,09	0,9320	0,29	0,6695	0,46	0,4707	0,25	0,5814
Atg4a	18,29	-0,07	0,9217	0,18	0,8201	0,21	NA	-0,21	0,8998	-0,26	0,6423	0,48	0,4973	0,32	NA	0,21	0,8782	-0,35	0,5727
Atg4b	29,73	0,11	0,8470	0,37	0,4581	0,28	1,0000	0,29	0,7652	0,59	0,0894	0,34	0,6166	-0,05	0,9622	0,02	0,9933	0,29	0,5155
Atg4c	27,43	0,10	0,8755	0,27	0,6440	0,32	NA	0,04	0,9853	-0,51	0,2392	0,39	0,5534	0,38	0,5440	-0,02	0,9931	-0,74	0,0860
Atg4d	17,11	0,08	0,9195	0,24	0,7414	0,00	NA	0,08	0,9746	0,45	0,3114	0,03	0,9805	0,01	NA	0,25	0,8469	0,42	0,4529
Atg5	35,81	0,17	0,7314	0,17	0,7762	0,13	1,0000	0,19	0,8797	0,10	0,8417	0,46	0,4070	0,28	0,6786	0,28	0,7608	0,38	0,3766
Atg7	27,67	0,36	0,3933	0,48	0,2865	0,28	NA	0,16	0,9371	0,56	0,1253	-0,20	0,8085	-0,10	0,9152	0,05	0,9822	0,15	0,7671
Atg9a	123,45	0,09	0,8189	-0,42	0,1072	0,24	1,0000	-0,09	0,9482	0,35	0,0865	-0,43	0,3518	-0,25	0,6620	0,08	0,9423	0,39	0,3287
Ath1	14,87	-0,54	0,2699	-0,68	0,1990	0,19	NA	-0,05	0,9853	0,26	0,6479	-0,25	0,8135	0,31	NA	-0,09	0,9630	0,51	0,4029
Atic	68,86	0,21	0,6183	-0,42	0,2625	-0,01	1,0000	-0,44	0,4081	-0,58	0,0460	-0,67	0,1290	-0,46	0,3469	-0,69	0,1209	-0,87	0,0133

GeneID	CTL	ET-1 vs CTL		SAHA vs CTL		JS28 vs CTL		BSP vs CTL		JQ1 vs CTL		ET-1+SAHA vs ET1		ET-1+JS28 vs ET1		ET-1+BSP vs ET1		ET-1+JQ1 vs ET1	
	mean	log2(FC)	P-adj	log2(FC)	P-adj	log2(FC)	P-adj	log2(FC)	P-adj	log2(FC)	P-adj	log2(FC)	P-adj	log2(FC)	P-adj	log2(FC)	P-adj	log2(FC)	P-adj
Att1	32,39	-0,12	0,8282	0,36	0,4364	0,14	1,0000	-0,13	0,9437	-0,28	0,5407	0,37	0,5585	0,21	0,7856	-0,08	0,9590	0,20	0,7072
Att2	83,42	0,19	0,5673	0,23	0,5696	0,25	1,0000	0,33	0,5813	0,03	0,9332	0,13	0,8429	0,11	0,8722	0,16	0,8511	0,12	0,7508
Att3	57,17	0,03	0,9635	-0,02	0,9780	-0,02	1,0000	-0,24	0,8294	-0,13	0,7596	-0,06	0,9475	-0,26	0,6949	-0,65	0,2013	-0,47	0,2380
Atm	110,67	-0,76	0,0007	-0,17	0,7106	-0,15	1,0000	0,13	0,9249	-0,12	0,7235	0,28	0,5935	0,46	0,2700	0,44	0,3292	0,43	0,1938
Atmin	132,49	0,02	0,9559	0,41	0,0943	-0,02	1,0000	0,13	0,8899	0,66	0,0002	0,18	0,7451	-0,19	0,7274	0,16	0,8285	0,60	0,0168
Atn1	193,77	-0,03	0,9584	-0,45	0,1945	-0,11	1,0000	-0,46	0,3191	0,54	0,3302	-0,93	0,0306	-0,66	0,1485	-0,36	0,6212	0,67	0,3140
Atoh8	20,30	0,21	0,7336	-0,07	0,9426	0,32	NA	0,13	0,9540	-0,35	0,5099	-0,18	0,8588	0,00	0,9999	-0,25	0,8472	-1,05	0,0334
Atox1	32,85	0,12	0,8388	0,64	0,0722	-0,01	1,0000	-0,04	0,9853	0,73	0,0314	0,72	0,1319	-0,28	0,7169	-0,12	0,9400	0,59	0,1768
Atp10a	8,00	-0,21	0,7981	-0,25	0,7776	-0,26	NA	-0,43	0,5926	-0,30	0,6774	0,24	0,8292	-0,17	NA	-0,30	0,8285	0,13	0,8913
Atp10d	10,47	0,36	0,5733	1,15	0,0091	-0,21	NA	0,20	0,9080	0,81	0,1106	0,72	0,2621	0,04	NA	0,05	0,9856	0,93	0,0387
Atp11a	389,44	0,03	0,9278	0,47	0,0513	0,18	1,0000	0,11	0,9135	0,39	0,0621	0,30	0,3684	0,09	0,8527	0,27	0,4736	0,54	0,0066
Atp11b	130,50	-0,16	0,5842	-0,21	0,5492	-0,15	1,0000	0,19	0,7893	0,26	0,3130	-0,04	0,9510	0,39	0,3048	0,33	0,4773	0,30	0,4466
Atp11c	48,51	-0,06	0,9135	0,02	0,9845	0,18	1,0000	0,23	0,8475	0,25	0,5697	-0,02	0,9854	0,63	0,1273	0,17	0,8833	0,06	0,9332
Atp13a1	85,02	0,12	0,7607	0,20	0,6562	0,12	1,0000	0,14	0,9178	0,74	0,0020	0,11	0,8623	-0,14	0,8355	0,19	0,7971	0,58	0,0965
Atp13a2	54,00	-0,28	0,4139	0,22	0,6230	0,26	1,0000	0,28	0,6940	0,67	0,0050	0,01	0,9903	-0,01	0,9902	0,48	0,3511	0,84	0,0097
Atp13a3	378,21	0,86	0,0000	-0,08	0,8477	-0,19	1,0000	0,04	0,9805	0,56	0,0028	-0,43	0,1335	-0,56	0,0392	-0,60	0,0164	0,07	0,8650
Atp1a1	1510,06	0,56	0,0197	-0,13	0,7841	-0,10	1,0000	-0,16	0,8832	-0,01	0,9736	-0,27	0,4325	-0,49	0,0694	-0,19	0,7070	-0,43	0,0611
Atp1a2	135,50	-0,74	0,1254	-0,17	0,7435	-0,25	1,0000	-0,85	0,0051	-1,66	0,0000	0,19	0,8720	0,06	0,9644	-0,73	0,2145	-0,98	0,0405
Atp1a3	1,03	-0,03	NA	2,08	0,0000	0,15	NA	0,04	NA	-0,28	NA	2,03	0,0001	0,25	NA	0,10	NA	-0,24	NA
Atp1b1	1618,16	0,64	0,0000	0,23	0,3721	0,10	1,0000	0,31	0,3043	-0,09	0,6727	0,09	0,8348	-0,03	0,9583	0,10	0,8798	-0,40	0,0209
Atp1b2	154,55	-1,26	0,0000	-0,24	0,5021	-0,31	0,9488	-0,09	0,9556	-0,33	0,3303	0,59	0,2580	0,41	0,4880	0,21	0,8472	0,42	0,4651
Atp1b3	76,11	-0,02	0,9692	-0,28	0,5249	0,19	1,0000	0,60	0,0846	0,73	0,0038	0,09	0,9125	0,39	0,4489	0,78	0,0356	0,92	0,0040
Atp1b4	2,76	1,09	0,0199	-0,08	NA	-0,03	NA	-0,04	NA	-0,03	NA	-0,41	0,6853	-0,76	NA	-0,86	NA	-1,29	0,0437
Atp2a2	8200,94	0,14	0,7549	0,01	0,9870	0,43	0,5912	0,43	0,3553	-0,15	0,6671	0,11	0,8574	0,52	0,1265	0,53	0,1170	-0,14	0,7065
Atp2a3	1,62	0,41	NA	0,81	0,1044	0,04	NA	-0,10	NA	-0,25	NA	0,00	0,9982	-0,34	NA	-0,39	NA	-0,34	0,6839
Atp2b1	225,15	0,42	0,0364	-0,14	0,7370	-0,07	1,0000	0,15	0,8758	0,56	0,0037	-0,38	0,2279	0,06	0,9263	0,13	0,8472	0,37	0,0805
Atp2b2	1,52	0,53	NA	0,11	NA	0,02	NA	0,00	NA	-0,14	NA	0,21	0,8493	0,21	NA	0,14	NA	-0,64	0,3739
Atp2b4	44,03	-0,46	0,4079	1,18	0,0163	0,19	1,0000	0,27	0,8363	-0,61	0,2263	2,07	0,0000	0,53	0,3445	0,26	0,8059	-0,34	0,5661
Atp2c1	331,09	-0,40	0,0188	-0,19	0,4850	0,02	1,0000	0,12	0,8917	-0,17	0,4274	0,12	0,7990	0,42	0,1459	0,29	0,4707	0,20	0,4508
Atp5a1	1488,19	0,38	0,1690	-0,31	0,3315	-0,14	1,0000	-0,05	0,9798	-0,02	0,9580	-0,23	0,6210	-0,27	0,5266	-0,18	0,7864	-0,29	0,3523
Atp5b	2232,63	0,27	0,2140	-0,17	0,5626	0,02	1,0000	0,06	0,9627	-0,01	0,9580	-0,28	0,3934	-0,17	0,6898	0,06	0,9379	-0,19	0,4350
Atp5c1	582,92	0,11	0,7272	-0,32	0,2219	-0,13	1,0000	0,00	0,9972	-0,52	0,0126	-0,04	0,9478	0,16	0,7274	0,09	0,9023	-0,62	0,0197
Atp5d	187,82	0,25	0,3065	-0,28	0,3470	-0,10	1,0000	-0,12	0,9118	-0,16	0,5317	-0,25	0,6266	-0,36	0,3655	-0,22	0,6900	-0,15	0,6100
Atp5e	56,09	0,09	0,8798	-0,62	0,1922	-0,47	0,6790	-0,46	0,5135	-1,32	0,0003	-0,56	0,2519	-0,54	0,2752	-0,03	0,9911	-1,58	0,0000
Atp5f1	371,79	0,45	0,0418	0,03	0,9547	-0,03	1,0000	0,31	0,4240	-0,31	0,1433	-0,09	0,8719	0,00	0,9963	0,23	0,6531	-0,51	0,0468
Atp5g1	111,42	0,83	0,0092	-0,33	0,5609	-0,26	1,0000	-0,30	0,7563	-0,39	0,3515	-0,37	0,4843	-0,44	0,3160	-0,42	0,3945	-0,86	0,0094
Atp5g2	66,77	-0,04	0,9445	-0,91	0,0045	-0,28	1,0000	-0,41	0,4923	-0,15	0,7788	-0,64	0,2742	-0,38	0,5215	-0,35	0,6619	0,19	0,7870
Atp5g3	338,67	0,55	0,0815	-0,12	0,8167	-0,06	1,0000	0,04	0,9853	-0,17	0,6449	-0,19	0,7750	-0,49	0,2542	-0,22	0,7810	-0,55	0,1014
Atp5h	318,71	0,27	0,4140	0,11	0,8474	-0,09	1,0000	0,15	0,8998	-0,53	0,0451	0,31	0,3930	0,08	0,8910	0,18	0,7601	-0,59	0,0191
Atp5j	142,15	0,19	0,6372	-0,09	0,8726	-0,11	1,0000	-0,05	0,9805	-0,77	0,0094	0,10	0,8824	0,08	0,9064	0,32	0,5324	-0,86	0,0021
Atp5j2	125,80	0,34	0,2345	-0,13	0,7776	-0,01	1,0000	0,07	0,9700	0,07	0,8525	0,24	0,6277	-0,02	0,9768	0,07	0,9528	-0,53	0,0638
Atp5k	94,90	0,33	0,3650	-0,30	0,5463	-0,23	1,0000	-0,20	0,8681	-0,72	0,0180	0,06	0,9371	-0,28	0,5753	-0,07	0,9528	-0,82	0,0016
Atp5l	47,46	0,17	0,7534	-0,55	0,2450	-0,21	1,0000	-0,48	0,4711	0,09	0,8694	0,21	0,7754	0,05	0,9569	-0,63	0,2325	-0,20	0,6739
Atp5o	408,80	0,42	0,0678	-0,11	0,8014	-0,07	1,0000	0,01	0,9925	-0,33	0,1371	-0,05	0,9325	-0,19	0,6653	-0,01	0,9936	-0,50	0,0207
Atp5s	35,56	-0,07	0,8982	-0,30	0,5679	-0,10	1,0000	-0,06	0,9823	0,00	0,9945	0,17	0,8308	0,10	0,9115	0,22	0,8326	0,12	0,8318

GeneID	CTL	ET-1 vs CTL		SAHA vs CTL		JS28 vs CTL		BSP vs CTL		JQ1 vs CTL		ET-1+SAHA vs ET1		ET-1+JS28 vs ET1		ET-1+BSP vs ET1		ET-1+JQ1 vs ET1	
	mean	log2(FC)	P-adj	log2(FC)	P-adj	log2(FC)	P-adj	log2(FC)	P-adj	log2(FC)	P-adj	log2(FC)	P-adj	log2(FC)	P-adj	log2(FC)	P-adj	log2(FC)	P-adj
Atp5sl	33,49	-0,21	0,6666	-0,66	0,1244	0,04	1,0000	-0,14	0,9437	-0,33	0,4423	-0,20	0,8095	-0,01	0,9900	-0,03	0,9911	0,08	0,9006
Atp6ap1	145,37	0,33	0,1846	-0,23	0,4851	0,16	1,0000	0,04	0,9827	0,58	0,0012	-0,38	0,4027	-0,08	0,9009	0,00	1,0000	0,31	0,2705
Atp6ap1l	1,12	-0,24	NA	-0,06	0,9444	-0,08	NA	-0,09	NA	-0,46	NA	0,04	NA	0,35	NA	-0,10	NA	-0,04	NA
Atp6ap2	63,08	0,26	0,4985	0,20	0,6897	0,24	1,0000	0,36	0,5507	0,26	0,4379	-0,13	0,8561	-0,04	0,9654	-0,16	0,8793	-0,03	0,9593
Atp6v0a1	322,29	0,36	0,1001	-0,13	0,6906	-0,03	1,0000	-0,07	0,9519	0,16	0,4350	-0,38	0,3098	-0,15	0,7759	-0,21	0,7161	-0,11	0,7513
Atp6v0a2	96,61	0,45	0,0906	-0,17	0,6865	-0,09	1,0000	-0,17	0,8671	0,20	0,4893	-0,26	0,6361	-0,26	0,6354	-0,25	0,7206	-0,02	0,9604
Atp6v0b	60,51	0,30	0,4273	0,13	0,8245	0,03	1,0000	0,21	0,8369	0,78	0,0017	0,46	0,3521	-0,12	0,8839	0,21	0,8278	0,38	0,3449
Atp6v0d1	104,54	-0,08	0,8616	0,33	0,3140	0,12	1,0000	0,07	0,9717	0,48	0,0726	0,35	0,4548	0,02	0,9842	0,14	0,8915	0,57	0,0402
Atp6v0e	42,60	0,46	0,1785	0,16	0,7802	0,01	1,0000	-0,13	0,9430	0,19	0,6360	0,20	0,7857	-0,25	0,7063	-0,20	0,8463	-0,34	0,5079
Atp6v0e2	34,59	0,13	0,8006	-0,01	0,9935	0,16	1,0000	-0,11	0,9626	-0,56	0,1321	-0,06	0,9549	-0,43	0,4932	-0,46	0,5293	-0,87	0,0333
Atp6v1a	106,80	0,15	0,7645	0,44	0,2655	0,14	1,0000	0,14	0,9330	0,20	0,6060	0,35	0,5027	-0,14	0,8412	-0,02	0,9918	0,15	0,7591
Atp6v1b2	222,98	0,19	0,4153	0,34	0,1109	0,12	1,0000	0,11	0,9102	0,39	0,0495	0,18	0,7103	-0,28	0,4886	-0,07	0,9416	0,20	0,5454
Atp6v1c1	106,90	0,38	0,1090	0,31	0,3583	0,07	1,0000	0,02	0,9901	0,41	0,0768	0,06	0,9265	-0,03	0,9728	-0,18	0,8018	0,09	0,7833
Atp6v1d	161,23	0,18	0,4762	0,30	0,2347	-0,07	1,0000	-0,04	0,9852	-0,07	0,8484	0,25	0,5529	-0,15	0,7729	-0,20	0,7336	-0,16	0,6756
Atp6v1e1	188,81	0,23	0,3759	0,25	0,4108	0,06	1,0000	0,06	0,9741	0,00	0,9996	0,36	0,3254	0,02	0,9728	0,10	0,9100	-0,05	0,9230
Atp6v1f	41,11	0,01	0,9904	0,04	0,9668	0,14	1,0000	0,32	0,6921	0,27	0,5449	0,29	0,6610	-0,18	0,8275	0,20	0,8405	0,19	0,6896
Atp6v1g1	80,47	0,23	0,5604	0,17	0,7485	-0,02	1,0000	0,09	0,9606	0,35	0,2797	0,09	0,9034	-0,19	0,7642	0,13	0,9023	0,01	0,9880
Atp6v1g2	14,41	0,12	0,8646	-0,25	0,7593	-0,05	NA	-0,46	0,5649	-0,07	0,9190	-0,58	0,4403	-0,20	NA	-0,49	0,5910	-0,11	0,8876
Atp6v1h	98,13	0,29	0,3253	0,01	0,9841	-0,04	1,0000	-0,06	0,9737	0,08	0,8492	-0,17	0,7755	-0,19	0,7442	-0,06	0,9590	-0,14	0,7671
Atp7a	68,13	-0,32	0,3270	-0,09	0,8737	0,02	1,0000	0,22	0,8039	0,42	0,1020	-0,12	0,8709	0,17	0,8143	-0,06	0,9633	0,92	0,0004
Atp7b	4,68	0,18	0,8304	0,72	0,2230	0,01	NA	-0,47	NA	-0,90	0,1268	0,10	0,9387	-0,06	NA	-0,50	NA	-1,27	0,0463
Atp8a1	64,70	-0,33	0,2905	0,57	0,0447	0,28	1,0000	1,00	0,0000	1,34	0,0000	0,67	0,0792	0,51	0,2374	1,23	0,0000	1,55	0,0000
Atp8a2	49,82	-0,11	0,8230	-0,53	0,1537	-0,10	1,0000	-0,09	0,9611	-0,76	0,0104	-0,50	0,3898	0,08	0,9243	-0,06	0,9784	-0,64	0,1263
Atp8b1	8,65	-1,28	0,0046	-0,36	0,6261	-0,34	NA	-0,50	0,4925	-0,83	0,1313	0,09	0,9450	0,25	NA	0,03	NA	0,04	0,9755
Atp8b2	69,52	0,01	0,9865	0,03	0,9651	0,09	1,0000	0,07	0,9746	-0,33	0,3358	-0,45	0,3620	-0,26	0,6719	-0,06	0,9706	-0,34	0,3497
Atp8b5	2,97	-0,26	0,7450	-0,34	0,6581	0,15	NA	0,01	NA	-1,03	0,0661	-0,08	NA	0,25	NA	-0,13	NA	-0,07	0,9486
Atp9a	46,32	-0,14	0,7607	0,17	0,7397	0,32	1,0000	-0,28	0,7413	-0,62	0,0462	0,16	0,8392	0,13	0,8758	-0,16	0,8946	-0,94	0,0133
Atp9b	81,84	-0,28	0,3106	0,12	0,7824	-0,01	1,0000	0,11	0,9295	-0,57	0,0145	0,02	0,9869	0,31	0,5247	0,13	0,9023	-0,40	0,2268
Atpaf1	19,87	0,13	0,8317	0,02	0,9844	-0,12	NA	-0,10	0,9686	-0,55	0,2409	0,29	0,7285	-0,01	NA	0,01	0,9989	-0,29	0,6226
Atpaf2	37,66	0,14	0,7803	0,33	0,4737	0,08	1,0000	-0,05	0,9853	0,19	0,6328	0,32	0,6227	0,15	0,8558	0,06	0,9759	-0,15	0,7729
Atpif1	100,31	-0,23	0,5628	-0,10	0,8363	-0,18	1,0000	-0,29	0,6464	-0,57	0,0454	0,37	0,4776	0,04	0,9666	-0,12	0,9170	-0,57	0,1319
Atr	104,39	0,03	0,9507	-0,25	0,5211	-0,18	1,0000	0,12	0,9251	-0,08	0,8287	-0,37	0,4201	-0,19	0,7383	-0,14	0,8660	-0,27	0,5398
Atraid	39,54	-0,15	0,7792	0,30	0,5187	0,41	0,7608	0,45	0,3779	0,67	0,0404	0,41	0,5019	0,19	0,8170	0,53	0,3821	0,60	0,1457
Atrip	23,68	0,04	0,9509	-0,11	0,8953	-0,06	NA	0,22	0,8786	0,10	0,8606	-0,09	0,9343	0,12	0,9036	0,05	0,9829	-0,12	0,8468
Atrn	117,64	0,02	0,9643	0,28	0,4148	0,10	1,0000	0,34	0,4992	0,75	0,0005	-0,03	0,9629	0,01	0,9904	0,26	0,6427	0,59	0,0177
Atrnl1	74,74	-0,23	0,4675	0,39	0,1930	0,12	1,0000	0,29	0,6084	0,13	0,6933	0,42	0,3433	0,34	0,4970	0,50	0,2545	0,35	0,3549
Atrx	676,58	-0,56	0,0017	-0,43	0,0483	-0,14	1,0000	0,00	0,9983	-0,42	0,0448	-0,21	0,6398	0,62	0,0282	0,50	0,0741	0,04	0,9426
Atxn1	212,17	-0,18	0,5127	-0,02	0,9799	0,07	1,0000	0,28	0,5470	0,51	0,0193	0,09	0,8711	0,04	0,9447	0,38	0,2539	0,67	0,0002
Atxn10	332,65	0,23	0,3054	-0,35	0,1085	-0,08	1,0000	-0,10	0,9118	0,00	0,9944	-0,34	0,3195	-0,33	0,3437	-0,14	0,8285	0,06	0,8564
Atxn11	131,52	-0,01	0,9777	-0,35	0,1945	0,05	1,0000	-0,21	0,7454	-0,16	0,5332	-0,24	0,6313	-0,13	0,8291	-0,15	0,8453	-0,17	0,6430
Atxn2	209,47	0,27	0,3530	0,25	0,4028	0,07	1,0000	-0,07	0,9628	0,26	0,3475	-0,12	0,8471	0,04	0,9629	-0,23	0,7189	0,23	0,5174
Atxn2l	221,80	0,34	0,3362	-0,19	0,5973	0,06	1,0000	-0,27	0,5961	0,66	0,0332	-0,99	0,0055	-0,62	0,1365	-0,51	0,3066	0,46	0,3373
Atxn3	70,26	-0,01	0,9827	-0,06	0,9169	-0,06	1,0000	0,13	0,9220	0,10	0,8097	-0,07	0,9307	0,07	0,9281	-0,12	0,9143	0,12	0,8075
Atxn7	66,70	0,09	0,8256	-0,39	0,2751	0,09	1,0000	0,13	0,9247	0,02	0,9612	-0,67	0,1086	0,09	0,9088	-0,07	0,9612	0,10	0,8309
Atxn711	32,37	-0,04	0,9485	-0,54	0,2668	-0,39	NA	-0,26	0,8353	-0,23	0,6282	-0,32	0,6980	-0,04	0,9699	-0,39	0,6579	-0,13	0,8519

GeneID	CTL	ET-1 vs CTL		SAHA vs CTL		JS28 vs CTL		BSP vs CTL		JQ1 vs CTL		ET-1+SAHA vs ET1		ET-1+JS28 vs ET1		ET-1+BSP vs ET1		ET-1+JQ1 vs ET1	
	mean	log2(FC)	P-adj	log2(FC)	P-adj	log2(FC)	P-adj	log2(FC)	P-adj	log2(FC)	P-adj	log2(FC)	P-adj	log2(FC)	P-adj	log2(FC)	P-adj	log2(FC)	P-adj
Atxn7i2	11,73	-0,26	0,7027	-0,91	0,0784	-0,12	NA	0,04	0,9853	0,31	0,6364	-0,55	0,5179	-0,12	NA	0,32	0,7954	0,57	0,3790
Atxn7i3	76,07	0,21	0,5632	0,04	0,9545	-0,22	1,0000	-0,17	0,8917	0,33	0,3750	-0,60	0,1448	-0,28	0,6156	-0,19	0,8309	0,26	0,5965
Atxn7i3b	74,36	0,23	0,4868	0,10	0,8469	-0,13	1,0000	0,02	0,9860	0,28	0,3957	-0,19	0,7518	-0,34	0,4917	-0,12	0,9025	0,11	0,8233
AU019823	54,82	-0,02	0,9692	-0,07	0,9075	0,07	1,0000	0,07	0,9746	0,34	0,2718	0,18	0,7985	0,42	0,3981	0,27	0,7312	0,48	0,1454
AU022252	27,23	0,05	0,9372	0,24	0,6882	0,15	NA	0,06	0,9853	0,24	0,5728	-0,09	0,9292	-0,09	0,9313	-0,21	0,8572	0,27	0,5712
AU040320	101,34	-0,17	0,5671	0,15	0,7038	0,09	1,0000	0,14	0,8797	0,49	0,0119	-0,15	0,8134	-0,39	0,3912	0,04	0,9800	0,34	0,2814
AU041133	17,53	-0,08	0,9191	-0,17	0,8355	-0,12	NA	0,45	0,5548	0,23	0,7209	-0,19	0,8593	0,27	NA	0,51	0,5269	0,37	0,5216
Auh	24,13	0,27	0,6183	0,03	0,9747	0,17	NA	0,06	0,9853	-0,19	0,7295	0,38	0,5739	0,32	0,6432	0,27	0,8014	-0,10	0,8779
Aup1	68,70	0,18	0,6047	-0,21	0,6266	0,00	1,0000	-0,15	0,9024	0,58	0,0230	-0,27	0,6335	-0,24	0,6790	-0,12	0,9099	0,51	0,1321
Aurka	2,49	0,01	0,9882	-0,42	0,4890	-0,05	NA	-0,05	NA	-0,16	0,8487	-0,29	NA	-0,16	NA	0,13	NA	-0,23	0,8013
Aurkaip1	38,09	0,37	0,3337	-0,05	0,9496	-0,08	1,0000	0,24	0,8369	-0,28	0,5241	0,17	0,8291	-0,19	0,7981	-0,06	0,9766	-0,35	0,4111
Auts2	112,00	0,06	0,8938	-0,34	0,3444	0,10	1,0000	-0,23	0,7630	0,42	0,2226	-0,87	0,0156	-0,05	0,9535	-0,21	0,7985	0,45	0,2730
AV039307	2,03	0,19	NA	-0,04	0,9664	-0,06	NA	-0,11	NA	-0,23	0,7114	-0,36	0,6955	-0,10	NA	-0,54	NA	-0,55	0,4740
AV051173	1,34	0,29	NA	0,12	NA	0,00	NA	0,02	NA	0,74	0,2226	-0,06	NA	-0,28	NA	-0,38	NA	-0,28	NA
Aven	10,66	0,17	0,8225	-0,29	0,7265	0,22	NA	0,23	0,8797	0,24	0,7052	-0,78	0,2810	-0,41	NA	0,04	0,9911	0,21	0,7702
Avil	6,70	0,03	0,9761	-0,02	0,9878	-0,09	NA	0,06	0,9853	0,36	0,5956	-0,15	0,9049	-0,21	NA	-0,17	0,9241	0,29	0,7155
Avi9	63,40	-0,45	0,2352	-0,02	0,9780	-0,19	1,0000	0,25	0,7521	0,19	0,5765	0,22	0,7866	0,44	0,4500	0,32	0,7155	0,49	0,2750
Avp	1,68	0,68	NA	0,19	NA	0,09	NA	0,04	NA	0,03	NA	-0,28	0,7856	-0,10	NA	-0,48	NA	-0,52	0,5112
Avpi1	8,87	0,81	0,1037	0,57	0,3773	0,19	NA	-0,09	NA	0,02	0,9872	-0,16	0,8892	-0,28	NA	-0,34	0,7854	-0,33	0,6299
AW011738	3,40	0,09	0,9238	0,38	0,6189	0,11	NA	0,11	NA	-0,11	0,9008	0,29	0,7956	0,12	NA	-0,14	NA	-0,36	0,6752
AW146154	16,01	0,04	0,9579	0,65	0,1890	0,07	NA	0,20	0,9046	-0,66	0,1936	0,40	0,6252	0,33	NA	0,14	0,9372	-0,92	0,1027
AW209491	29,25	0,56	0,1498	0,16	0,8315	0,05	NA	0,04	0,9853	-0,37	0,4532	-0,16	0,8464	-0,27	0,7063	-0,52	0,4584	-0,66	0,1502
AW549877	146,71	-0,23	0,6155	0,20	0,7154	0,18	1,0000	0,18	0,8903	0,30	0,4069	0,49	0,2049	0,71	0,0280	0,10	0,9290	0,30	0,4970
AW551984	2,80	0,31	0,6750	1,53	0,0008	0,25	NA	-0,24	NA	-0,39	0,5706	1,33	0,0242	0,00	NA	-0,47	NA	-0,54	0,4951
AW554918	30,98	0,23	0,6387	0,14	0,8391	0,01	NA	0,11	0,9614	-0,28	0,5715	0,05	0,9582	-0,16	0,8536	-0,73	0,1814	-0,37	0,4185
Axin1	48,77	0,07	0,8903	-0,23	0,6839	0,03	1,0000	0,25	0,8044	0,58	0,0438	-0,57	0,2694	-0,27	0,6809	0,03	0,9918	0,46	0,1617
Axin2	12,42	-0,22	0,7532	0,78	0,0844	0,32	NA	0,02	0,9901	-0,24	0,7327	0,57	0,4487	0,30	NA	0,07	0,9784	-0,23	0,7572
Axl	100,25	0,92	0,0003	-0,16	0,7703	-0,05	1,0000	-0,90	0,0055	-1,12	0,0011	-0,73	0,0577	-1,24	0,0001	-1,71	0,0000	-1,84	0,0000
Azi2	121,10	0,08	0,8080	-0,28	0,3637	0,22	1,0000	0,25	0,6256	-0,06	0,8462	0,01	0,9939	0,42	0,2526	0,36	0,3826	-0,06	0,9071
Azin1	422,04	0,81	0,0000	0,30	0,2341	-0,27	0,9654	0,29	0,4767	0,00	0,9919	-0,08	0,8745	-0,52	0,0392	-0,27	0,4344	-0,52	0,0554
B130006D01Rik	4,06	-0,22	0,7866	-0,51	0,4470	-0,23	NA	0,30	NA	0,34	0,6446	-0,27	0,7928	0,28	NA	-0,02	NA	0,10	0,9283
B130024G19Rik	1,49	-0,11	NA	0,14	0,8743	-0,12	NA	-0,04	NA	-0,49	0,4011	-0,06	NA	-0,11	NA	-0,29	NA	-0,36	NA
B130034C11Rik	2,98	-0,37	0,6033	0,01	0,9942	-0,13	NA	0,13	NA	-0,17	0,8349	-0,03	NA	0,09	NA	0,24	NA	0,16	0,8676
B230118H07Rik	38,53	-0,09	0,8733	0,09	0,8880	0,00	1,0000	-0,02	0,9867	-0,75	0,0325	0,46	0,4249	-0,05	0,9628	0,09	0,9570	-0,74	0,0790
B230216N24Rik	2,24	-0,24	NA	0,01	0,9960	-0,06	NA	0,12	NA	-0,08	0,9285	0,58	0,4632	-0,24	NA	0,21	NA	0,06	0,9567
B230217C12Rik	1,36	-0,21	NA	-0,09	0,9169	-0,07	NA	-0,12	NA	-0,55	NA	0,42	NA	-0,02	NA	-0,11	NA	-0,06	NA
B230217O12Rik	1,91	0,10	NA	-0,12	0,8873	-0,07	NA	-0,09	NA	0,05	0,9579	-0,22	NA	-0,11	NA	-0,20	NA	0,24	0,7986
B230219D22Rik	350,02	-0,02	0,9427	-0,34	0,1400	0,03	1,0000	0,10	0,9220	-0,01	0,9805	0,05	0,9231	0,19	0,6411	0,07	0,9372	0,09	0,7770
B230312C02Rik	7,50	-0,86	0,0891	0,00	1,0000	-0,15	NA	-0,04	0,9853	-0,36	0,5765	-0,25	0,8255	0,00	NA	-0,29	NA	-0,35	0,6868
B2m	61,71	0,31	0,3697	0,31	0,4321	0,22	1,0000	-0,28	0,7277	0,32	0,2913	0,65	0,0887	0,22	0,7131	0,03	0,9911	0,17	0,6798
B330016D10Rik	2,62	-0,32	0,6637	-0,51	0,4101	-0,04	NA	-0,10	NA	-0,64	0,3163	-0,19	NA	-0,08	NA	0,18	NA	-0,05	NA
B3galnt1	5,29	-0,16	0,8554	-0,02	0,9895	0,09	NA	-0,22	NA	-0,87	0,1535	0,15	0,9081	0,00	NA	-0,10	NA	-0,75	0,3022
B3galnt2	49,68	-0,20	0,6247	-0,16	0,7679	-0,06	1,0000	0,02	0,9884	-0,40	0,2127	-0,11	0,9004	0,17	0,8300	0,00	1,0000	-0,17	0,7281
B3galnt1	31,43	0,10	0,8740	0,66	0,0866	-0,08	NA	0,47	0,4566	1,02	0,0003	0,72	0,1458	0,37	0,5598	0,74	0,1295	1,09	0,0006
B3galnt4	3,52	0,13	0,8846	-0,04	0,9752	-0,03	NA	-0,06	NA	-0,24	0,7696	-0,18	0,8856	-0,24	NA	-0,29	NA	-0,53	0,5020

GeneID	CTL	ET-1 vs CTL		SAHA vs CTL		JS28 vs CTL		BSP vs CTL		JQ1 vs CTL		ET-1+SAHA vs ET1		ET-1+JS28 vs ET1		ET-1+BSP vs ET1		ET-1+JQ1 vs ET1	
	mean	log2(FC)	P-adj	log2(FC)	P-adj	log2(FC)	P-adj	log2(FC)	P-adj	log2(FC)	P-adj	log2(FC)	P-adj	log2(FC)	P-adj	log2(FC)	P-adj	log2(FC)	P-adj
B3galt6	4,00	-0,10	0,9119	-0,31	0,6981	-0,08	NA	0,19	NA	0,01	0,9914	0,00	0,9982	0,05	NA	0,05	NA	-0,07	0,9505
B3gat3	27,60	0,11	0,8597	-0,05	0,9545	-0,15	NA	-0,08	0,9764	0,18	0,7517	-0,03	0,9771	-0,42	0,5364	0,09	0,9595	0,55	0,3126
B3glct	29,40	-0,25	0,6279	-1,93	0,0000	-0,02	1,0000	-0,03	0,9853	0,45	0,1840	-1,91	0,0001	0,19	0,8291	0,09	0,9570	0,63	0,1426
B3gnt1	57,08	-0,10	0,8634	0,02	0,9839	0,28	1,0000	0,37	0,5441	-0,04	0,9359	0,35	0,6032	0,41	0,4866	0,58	0,2989	0,27	0,5808
B3gnt2	37,78	0,24	0,5741	0,07	0,9183	0,09	1,0000	0,04	0,9853	0,14	0,7506	0,07	0,9424	0,12	0,8837	0,20	0,8492	0,06	0,9236
B3gnt5	33,80	1,31	0,0000	0,65	0,1660	-0,07	NA	-0,39	0,6743	-0,53	0,3299	0,04	0,9714	-0,77	0,1087	-1,06	0,0137	-1,10	0,0033
B3gnt9	1,32	-0,24	NA	-0,04	0,9665	-0,01	NA	0,04	NA	0,41	0,5734	-0,03	NA	0,10	NA	0,04	NA	0,82	0,2403
B3gnt11	24,82	-0,38	0,3895	-0,19	0,7698	-0,18	NA	-0,31	0,7446	-0,44	0,2851	0,04	0,9732	-0,43	NA	0,05	0,9833	-0,43	0,4623
B430010I23Rik	3,43	0,10	0,8726	-0,41	0,4404	-0,13	NA	-0,24	NA	0,33	0,6606	-0,05	0,9695	-0,17	NA	-0,15	NA	0,07	0,9521
B430212C06Rik	2,40	-0,69	0,2119	0,57	0,3848	-0,07	NA	-0,07	NA	-0,47	0,5078	0,58	NA	0,15	NA	-0,16	NA	-0,22	NA
B430319G15Rik	11,00	-0,11	0,8864	0,13	0,8804	-0,12	NA	-0,11	0,9647	0,19	0,7712	0,09	0,9444	0,19	NA	-0,45	0,6707	0,03	0,9800
B4galnt1	2,55	-0,04	0,9686	0,59	0,3479	0,08	NA	-0,26	NA	-0,69	0,2322	0,44	0,6390	-0,14	NA	-0,41	NA	-0,77	NA
B4galnt2	3,93	0,90	0,0854	-0,43	0,3765	-0,04	NA	-0,14	NA	-0,16	0,8346	-0,77	0,3015	-0,39	NA	-0,81	NA	-1,08	0,1035
B4galt1	179,85	-0,16	0,6520	-0,35	0,2668	-0,24	1,0000	0,01	0,9932	0,44	0,0712	-0,18	0,7536	-0,25	0,6103	-0,22	0,7376	0,46	0,0920
B4galt2	18,85	-0,13	0,8321	-0,55	0,2959	0,40	NA	0,03	0,9860	-0,04	0,9571	-0,27	0,7782	-0,21	NA	0,18	0,9065	0,15	0,8316
B4galt3	21,56	-0,14	0,8204	-0,21	0,7765	-0,04	NA	-0,37	0,6826	0,17	0,7417	0,16	0,8781	0,23	0,7963	0,42	0,6358	0,46	0,3495
B4galt4	50,30	0,05	0,9261	0,59	0,0718	0,10	1,0000	0,03	0,9866	0,28	0,4183	0,49	0,3112	0,15	0,8390	0,13	0,9074	0,41	0,2205
B4galt5	72,23	0,44	0,0872	0,25	0,5341	-0,04	1,0000	-0,02	0,9901	-0,04	0,9289	-0,39	0,4432	-0,67	0,0806	-0,56	0,1994	-0,20	0,6538
B4galt6	95,10	-0,28	0,3432	-0,26	0,5084	-0,19	1,0000	-0,06	0,9764	0,05	0,8986	0,12	0,8446	0,32	0,4970	0,30	0,6061	0,38	0,1875
B4galt7	13,09	0,01	0,9879	-0,27	0,7282	0,02	NA	-0,13	0,9545	0,19	0,7620	0,16	0,8856	-0,30	NA	0,04	0,9914	-0,03	0,9767
B630005N14Rik	160,09	-0,13	0,7438	0,20	0,6156	0,22	1,0000	0,28	0,6117	0,09	0,7925	0,33	0,4548	0,46	0,2514	0,25	0,6851	0,28	0,5134
B630019K06Rik	5,08	-0,07	0,9443	-0,35	0,6512	0,12	NA	0,11	NA	0,08	0,9235	-0,44	0,6365	0,06	NA	0,07	NA	-0,27	0,7576
B930003M22Rik	2,95	-0,27	0,7301	-0,49	0,4213	-0,13	NA	0,15	NA	0,37	0,6114	0,03	0,9805	-0,15	NA	0,23	NA	0,12	0,9052
B930041F14Rik	10,91	0,06	0,9479	-0,01	0,9954	-0,05	NA	-0,26	0,8550	-0,60	0,3006	0,47	0,5838	-0,29	NA	-0,40	0,7168	-0,64	0,3278
B9d1	4,38	-0,13	0,8869	-0,13	0,8951	0,00	NA	-0,14	NA	-0,42	0,5670	0,48	0,6097	-0,15	NA	-0,14	NA	-0,84	0,2358
B9d2	4,01	0,00	0,9984	-0,33	0,6742	-0,03	NA	-0,16	NA	-0,56	0,4058	-0,10	0,9414	-0,24	NA	-0,40	NA	0,02	0,9902
Baalc	6,79	0,28	0,7203	-0,40	0,5851	-0,18	NA	-0,31	NA	-0,98	0,0928	-0,73	0,3442	-0,82	NA	-0,94	0,1351	-1,31	0,0341
Babam1	101,81	-0,07	0,8617	-0,19	0,6431	-0,19	1,0000	-0,17	0,8614	-0,34	0,1936	0,26	0,5913	-0,18	0,7469	-0,16	0,8492	-0,06	0,8728
Bace1	47,38	-0,14	0,7897	0,37	0,3221	-0,12	1,0000	0,19	0,8683	0,45	0,0985	0,54	0,3148	0,26	0,7138	0,28	0,7721	0,64	0,0878
Bace2	14,64	0,45	0,4158	0,57	0,3110	-0,08	NA	0,00	0,9988	0,48	0,3696	0,33	0,7200	-0,46	NA	0,30	0,7933	0,20	0,7492
Bach1	107,62	-0,18	0,5733	-0,25	0,4910	0,10	1,0000	0,20	0,8110	0,34	0,1508	-0,15	0,8132	0,16	0,7856	0,05	0,9686	0,41	0,1827
Bach2	89,40	0,22	0,6179	-0,45	0,2854	-0,03	1,0000	-0,38	0,5679	0,11	0,7852	-0,72	0,0766	-0,53	0,2478	-0,87	0,0214	0,04	0,9455
Bad	11,78	-0,25	0,7084	-0,67	0,2337	-0,15	NA	-0,30	0,8109	-0,11	0,8738	-0,13	0,9198	-0,34	NA	-0,24	0,8707	0,02	0,9890
Bag1	133,17	-0,01	0,9859	0,40	0,0986	0,19	1,0000	0,43	0,1420	0,55	0,0029	0,40	0,3194	0,08	0,9112	0,62	0,0490	0,69	0,0049
Bag2	53,14	0,61	0,0278	-0,07	0,9248	-0,05	1,0000	-0,12	0,9534	-0,30	0,4424	-0,66	0,1116	-0,64	0,1149	-0,34	0,5858	-0,67	0,0329
Bag3	272,29	0,10	0,8394	-0,71	0,0036	-0,27	1,0000	-0,32	0,5124	0,15	0,6995	-1,04	0,0037	-0,58	0,1771	-0,55	0,2434	0,13	0,8130
Bag4	42,44	-0,14	0,7632	0,18	0,7452	-0,03	1,0000	0,00	0,9988	0,00	0,9943	0,29	0,6545	0,30	0,6365	-0,08	0,9602	0,08	0,8703
Bag5	33,27	0,31	0,5046	-0,23	0,7232	0,17	1,0000	0,15	0,9306	0,04	0,9460	-0,23	0,7698	-0,07	0,9432	-0,09	0,9545	-0,28	0,6748
Bag6	302,51	-0,12	0,6741	-0,14	0,6226	-0,11	1,0000	-0,19	0,6921	0,25	0,2937	-0,12	0,8158	-0,41	0,2535	-0,06	0,9570	0,47	0,1355
Bahcc1	72,74	-0,86	0,0009	-0,14	0,7892	-0,38	0,7849	-0,13	0,9312	1,06	0,0001	-0,09	0,9201	-0,04	0,9699	0,52	0,3462	1,78	0,0000
Bahd1	46,32	-0,07	0,8994	0,25	0,6189	0,07	1,0000	0,09	0,9668	0,77	0,0074	-0,17	0,8379	-0,40	0,5032	0,22	0,8311	0,61	0,0947
Bai2	49,75	-0,67	0,0574	1,49	0,0000	0,02	1,0000	0,32	0,6921	0,11	0,8296	1,54	0,0000	-0,13	0,8876	0,53	0,3925	0,58	0,2304
Bai3	3,42	-0,23	0,7720	-0,26	0,7582	-0,20	NA	-0,46	NA	-1,03	0,0664	-0,43	NA	-0,18	NA	-0,51	NA	-0,95	NA
Baiap2	12,54	-0,67	0,1707	0,63	0,2191	0,14	NA	0,44	0,5830	1,13	0,0016	0,61	0,4214	0,19	NA	0,91	0,1371	1,89	0,0000
Baiap2l1	27,74	0,42	0,3635	0,40	0,4193	0,14	NA	-0,25	0,8489	-0,29	0,5588	0,30	0,7090	0,00	0,9963	-0,60	0,3980	-0,56	0,2671

GeneID	CTL	ET-1 vs CTL		SAHA vs CTL		JS28 vs CTL		BSP vs CTL		JQ1 vs CTL		ET-1+SAHA vs ET1		ET-1+JS28 vs ET1		ET-1+BSP vs ET1		ET-1+JQ1 vs ET1	
	mean	log2(FC)	P-adj	log2(FC)	P-adj	log2(FC)	P-adj	log2(FC)	P-adj	log2(FC)	P-adj	log2(FC)	P-adj	log2(FC)	P-adj	log2(FC)	P-adj	log2(FC)	P-adj
Baiap2l2	1,68	-0,21	NA	-0,25	0,6897	-0,03	NA	-0,20	NA	-0,34	0,5874	0,16	NA	0,28	NA	0,04	NA	0,06	NA
Bak1	36,07	0,45	0,2479	0,11	0,8807	0,15	1,0000	-0,19	0,9060	-0,19	0,7408	-0,06	0,9523	-0,27	0,6956	-0,53	0,4021	-0,43	0,4819
Bambi	139,29	-0,05	0,8983	0,22	0,5753	-0,01	1,0000	0,23	0,7454	0,40	0,1340	0,37	0,3288	0,04	0,9504	0,32	0,4931	0,16	0,6459
Banf1	38,41	0,40	0,3425	-0,52	0,2937	-0,38	NA	-0,12	0,9573	0,28	0,5277	-0,35	0,6020	-0,79	0,0908	-0,78	0,1187	0,05	0,9455
Banp	38,68	-0,02	0,9761	-0,14	0,8325	0,05	1,0000	-0,06	0,9853	0,28	0,4658	-0,40	0,5832	0,02	0,9841	-0,04	0,9909	0,54	0,1910
Bap1	78,18	0,23	0,4374	-0,09	0,8655	0,01	1,0000	0,01	0,9925	0,20	0,4972	-0,18	0,7691	-0,33	0,4925	-0,09	0,9379	-0,08	0,8396
Bard1	9,85	-0,61	0,2424	-0,21	0,8066	-0,12	NA	0,05	0,9853	-0,37	0,5308	-0,34	0,7467	0,08	NA	-0,09	0,9659	-0,09	0,9230
Bax	41,92	0,24	0,6234	-0,17	0,8003	-0,18	1,0000	-0,51	0,3800	0,79	0,0148	-0,03	0,9732	-0,63	0,2196	-0,79	0,1113	0,33	0,5701
Baz1a	41,62	0,39	0,3391	-0,18	0,7623	-0,23	1,0000	-0,41	0,5550	0,44	0,1730	-0,73	0,1630	-0,72	0,1463	-0,72	0,1883	0,33	0,5454
Baz1b	245,79	-0,26	0,3342	-0,26	0,2921	-0,31	0,7105	0,03	0,9853	0,15	0,5395	-0,42	0,2965	-0,06	0,9277	0,20	0,7608	0,17	0,6369
Baz2a	180,40	-0,12	0,6555	0,32	0,1860	-0,13	1,0000	-0,21	0,6940	0,39	0,0766	0,10	0,8593	-0,17	0,7164	-0,19	0,7644	0,29	0,2695
Baz2b	255,94	-0,24	0,3989	-0,98	0,0000	-0,16	1,0000	-0,39	0,1410	-0,62	0,0012	-0,98	0,0012	0,07	0,9173	-0,26	0,6695	-0,25	0,5166
Bbc3	6,35	-0,10	0,9087	0,22	0,8039	-0,01	NA	-0,15	NA	0,56	0,3603	-0,29	0,7891	0,01	NA	-0,10	0,9600	0,30	0,7165
Bbip1	22,44	0,29	0,5580	0,16	0,8275	-0,22	NA	0,25	0,8515	0,76	0,0307	0,43	0,5086	-0,19	0,8359	0,24	0,8320	0,56	0,1780
Bbs1	12,42	-0,30	0,6461	0,29	0,6948	-0,03	NA	-0,40	0,6648	-0,87	0,0896	0,40	0,6573	-0,17	NA	0,11	0,9535	-0,46	0,5286
Bbs10	13,35	-0,19	0,7896	0,30	0,6869	-0,22	NA	0,46	0,5477	0,40	0,4318	0,45	0,5921	0,23	NA	0,15	0,9300	0,49	0,4257
Bbs12	16,52	-0,41	0,4167	0,23	0,7370	-0,11	NA	-0,22	0,8832	-0,90	0,0429	0,71	0,2580	0,25	NA	0,01	0,9980	-0,38	0,5779
Bbs2	25,96	-0,78	0,0276	0,39	0,3977	-0,03	1,0000	0,16	0,9251	0,35	0,3658	0,83	0,1315	0,61	0,3050	0,13	0,9388	0,73	0,0949
Bbs4	14,44	-0,52	0,2970	0,03	0,9745	-0,07	NA	0,30	0,7796	0,05	0,9372	0,77	0,2369	0,46	NA	0,69	0,3380	0,30	0,6742
Bbs5	7,67	0,19	0,8067	0,29	0,7214	-0,02	NA	0,01	0,9977	-0,42	0,5317	0,32	0,7574	0,23	NA	-0,11	0,9590	-0,66	0,3295
Bbs7	20,92	-0,22	0,6861	-0,26	0,6946	0,03	NA	-0,40	0,6295	-0,95	0,0243	0,20	0,8292	0,46	0,4789	-0,41	0,6695	-0,68	0,2531
Bbs9	35,77	-0,88	0,0033	0,52	0,1190	0,12	1,0000	0,05	0,9837	-0,32	0,3695	1,22	0,0027	0,55	0,3469	0,24	0,8458	0,09	0,9001
Bbx	284,96	-0,06	0,8128	-0,25	0,2993	0,09	1,0000	0,02	0,9866	-0,37	0,0739	-0,14	0,7642	0,17	0,6857	-0,25	0,5957	-0,23	0,4488
BC002163	46,82	0,08	0,9087	-0,10	0,9044	-0,23	1,0000	-0,31	0,7668	-0,58	0,1645	-0,21	0,7698	-0,35	0,5709	0,10	0,9423	-0,71	0,0617
BC003331	118,64	0,21	0,5190	-0,21	0,5815	0,02	1,0000	-0,05	0,9798	-0,79	0,0013	-0,55	0,1610	0,18	0,7561	-0,10	0,9192	-1,06	0,0003
BC003965	20,89	0,48	0,2765	0,33	0,5982	-0,03	NA	0,11	0,9628	-0,03	0,9665	0,09	0,9320	-0,48	0,4534	-0,11	0,9425	-0,19	0,7570
BC004004	126,81	-0,12	0,7523	0,02	0,9776	0,06	1,0000	0,32	0,4647	0,50	0,0123	0,17	0,7702	0,04	0,9622	0,54	0,1272	0,60	0,0127
BC005537	175,95	0,31	0,2732	-0,07	0,9091	0,14	1,0000	0,43	0,3390	1,16	0,0000	-0,25	0,5328	-0,03	0,9611	0,32	0,4295	1,08	0,0000
BC005561	51,05	-0,13	0,8183	-0,13	0,8427	-0,17	1,0000	0,20	0,8643	-0,05	0,9261	-0,43	0,5101	0,15	0,8536	0,24	0,8100	0,10	0,8695
BC005624	22,21	-0,05	0,9468	-0,28	0,6682	0,08	NA	0,09	0,9701	0,14	0,7925	-0,06	0,9581	0,25	0,7496	-0,12	0,9416	0,39	0,4274
BC017158	10,95	-0,33	0,6006	0,30	0,6790	0,14	NA	0,08	0,9764	0,08	0,9092	0,02	0,9889	0,57	NA	0,05	0,9862	0,62	0,2986
BC017643	20,93	0,01	0,9927	0,12	0,8766	-0,02	NA	-0,12	0,9606	-0,41	0,4126	0,34	0,6637	0,07	0,9454	0,03	0,9918	-0,58	0,2480
BC018242	9,46	-0,42	0,4947	1,70	0,0000	0,07	NA	-0,16	0,9399	0,06	0,9327	1,72	0,0003	0,21	NA	0,11	0,9559	0,88	0,1540
BC018507	200,32	0,02	0,9584	0,10	0,7804	0,01	1,0000	0,08	0,9510	0,21	0,3302	-0,11	0,8297	0,05	0,9341	-0,04	0,9714	-0,04	0,9133
BC020402	5,88	-0,34	0,6291	-0,62	0,3232	-0,21	NA	0,06	0,9853	0,06	0,9465	-0,05	0,9714	-0,23	NA	-0,05	NA	0,20	0,8276
BC021785	1,02	-0,25	NA	0,18	0,8214	-0,04	NA	-0,06	NA	-0,33	NA	0,33	NA	0,03	NA	0,02	NA	0,19	NA
BC021891	1,24	0,43	NA	0,38	0,4719	0,12	NA	0,10	NA	0,08	NA	-0,05	NA	-0,29	NA	-0,17	NA	-0,28	0,7441
BC022687	8,64	-0,30	0,6725	0,36	0,6189	-0,05	NA	-0,27	0,8420	-0,44	0,5051	0,70	0,3443	-0,44	NA	-0,41	0,7124	-0,84	0,2106
BC023829	54,89	-0,20	0,5929	-0,29	0,4800	-0,01	1,0000	0,05	0,9853	-0,09	0,8106	0,11	0,8863	0,13	0,8646	-0,08	0,9570	0,19	0,6798
BC024978	26,96	-0,16	0,7789	-1,11	0,0059	-0,18	NA	-0,45	0,5427	0,14	0,7777	-0,63	0,3104	0,11	0,9103	-0,15	0,9143	0,62	0,1722
BC025920	4,73	0,05	0,9619	0,03	0,9800	-0,06	NA	0,14	NA	0,31	0,6742	0,23	0,8417	-0,04	NA	-0,32	NA	-0,47	0,5628
BC027231	19,48	-0,01	0,9867	0,44	0,4150	0,19	NA	0,05	0,9853	-0,14	0,8173	0,39	0,6234	0,30	0,7057	-0,14	0,9311	-0,08	0,9203
BC028528	2,56	-0,16	0,8415	-0,12	0,8899	0,01	NA	-0,21	NA	-0,77	0,1402	0,23	0,8304	-0,16	NA	-0,18	NA	-0,75	NA
BC029214	9,32	-0,03	0,9754	-0,42	0,5561	0,07	NA	0,16	0,9370	0,21	0,7497	-0,27	0,8025	-0,02	NA	0,31	0,8100	0,35	0,6065
BC029722	25,42	0,30	0,5656	-0,07	0,9429	0,12	NA	0,23	0,8699	0,61	0,1291	-0,12	0,9044	-0,29	0,6973	0,04	0,9873	0,42	0,4107

GeneID	CTL	ET-1 vs CTL		SAHA vs CTL		JS28 vs CTL		BSP vs CTL		JQ1 vs CTL		ET-1+SAHA vs ET1		ET-1+JS28 vs ET1		ET-1+BSP vs ET1		ET-1+JQ1 vs ET1	
	mean	log2(FC)	P-adj	log2(FC)	P-adj	log2(FC)	P-adj	log2(FC)	P-adj	log2(FC)	P-adj	log2(FC)	P-adj	log2(FC)	P-adj	log2(FC)	P-adj	log2(FC)	P-adj
BC030307	4,68	-0,25	0,7591	0,15	0,8808	-0,06	NA	0,12	NA	-0,55	0,4183	-0,16	0,8914	0,30	NA	0,33	NA	-0,09	0,9292
BC030336	100,55	0,15	0,6630	0,39	0,2090	0,22	1,0000	0,27	0,6891	0,02	0,9519	0,40	0,3072	0,22	0,6751	-0,03	0,9911	-0,15	0,6723
BC030499	3,04	0,23	0,7709	0,38	0,6081	-0,13	NA	0,10	NA	-0,30	0,6880	-0,19	0,8709	-0,04	NA	-0,11	NA	-0,74	0,3114
BC030867	1,72	-0,37	NA	-0,38	0,5353	-0,01	NA	-0,19	NA	-0,02	0,9835	0,11	NA	0,10	NA	-0,10	NA	-0,20	NA
BC031181	65,47	0,40	0,2160	-0,39	0,3821	-0,19	1,0000	-0,06	0,9793	0,35	0,3041	-0,27	0,6361	-0,18	0,7789	-0,43	0,4411	0,24	0,5428
BC031361	4,54	0,14	0,8787	-0,13	0,8934	0,02	NA	0,09	NA	0,39	0,5916	-0,99	0,1232	-0,19	NA	0,15	0,9317	0,24	0,7811
BC037032	2,46	0,38	0,5816	0,14	0,8608	0,02	NA	0,18	NA	0,53	0,4240	0,26	0,8221	0,08	NA	-0,03	NA	0,37	0,6460
BC037034	7,03	-0,19	0,8048	0,46	0,4917	0,02	NA	0,45	0,5917	0,75	0,1766	0,49	0,5836	-0,11	NA	0,46	0,6618	0,98	0,0867
BC037704	2,43	-0,06	0,9446	-0,33	0,6189	-0,05	NA	0,05	NA	0,56	0,4135	-0,26	NA	-0,34	NA	-0,01	NA	0,95	0,1542
BC039771	1,57	0,14	NA	0,36	0,5825	-0,01	NA	0,08	NA	0,01	0,9945	0,13	NA	0,00	NA	0,00	NA	-0,19	NA
BC048403	10,31	0,92	0,0492	-0,06	0,9594	0,12	NA	-0,10	NA	-0,20	0,7959	-0,94	0,1494	-0,27	NA	-1,05	0,0737	-1,01	0,0673
BC048546	1,21	0,64	NA	-0,04	NA	0,00	NA	0,04	NA	-0,02	NA	-0,37	NA	-0,21	NA	-0,08	NA	-0,87	NA
BC049715	1,32	0,15	NA	0,67	0,2097	0,18	NA	0,03	NA	0,18	0,8127	0,26	NA	0,20	NA	0,04	NA	0,12	0,9105
BC051142	2,36	-0,46	0,4663	0,68	0,2668	-0,13	NA	-0,15	NA	-0,43	0,5449	0,66	0,3683	0,24	NA	0,02	NA	-0,01	NA
BC051226	1,11	0,30	NA	0,23	NA	0,15	NA	0,16	NA	0,78	0,1812	0,10	NA	-0,29	NA	-0,04	NA	-0,10	NA
BC052040	16,42	-0,07	0,9350	0,49	0,3489	0,37	NA	-0,07	0,9798	-0,76	0,1332	0,51	0,4782	0,24	NA	-0,48	0,6122	-1,02	0,0696
BC053749	11,10	-0,74	0,1323	-0,46	0,4626	-0,06	NA	-0,26	0,8521	0,01	0,9891	0,18	0,8781	0,25	NA	0,05	0,9856	0,43	0,5447
BC055324	10,22	0,00	0,9968	0,39	0,5957	0,04	NA	-0,01	0,9943	0,27	0,7031	0,38	0,6794	0,04	NA	-0,36	0,7645	0,08	0,9284
BC065397	7,65	-0,95	0,0497	-0,95	0,0679	-0,22	NA	-0,10	0,9681	-0,30	0,6462	-0,23	0,8400	0,51	NA	0,45	NA	0,19	0,8354
BC068281	18,48	-0,37	0,4802	0,39	0,4825	-0,09	NA	-0,18	0,9220	-0,22	0,6864	0,52	0,4561	0,25	NA	0,31	0,7916	0,31	0,6093
BC100451	3,04	-0,12	0,8895	-0,51	0,4128	-0,10	NA	0,09	NA	-0,36	0,6281	-0,23	0,8220	-0,18	NA	-0,03	NA	-0,31	0,7242
Bcam	119,71	-0,16	0,7197	-0,27	0,4602	-0,07	1,0000	-0,07	0,9700	-0,98	0,0000	-0,14	0,8534	-0,17	0,8196	-0,02	0,9918	-0,87	0,0154
Bcap29	67,12	0,32	0,3059	0,14	0,7851	-0,09	1,0000	-0,01	0,9940	-0,48	0,1183	-0,23	0,7290	-0,12	0,8756	-0,36	0,5529	-0,73	0,0467
Bcap31	108,72	0,13	0,7141	0,15	0,7134	0,02	1,0000	-0,06	0,9728	0,17	0,6050	0,36	0,3806	-0,13	0,8354	-0,12	0,8990	0,03	0,9565
Bcar1	116,30	0,34	0,2389	0,06	0,9044	0,12	1,0000	-0,09	0,9496	0,87	0,0003	-0,46	0,2909	-0,79	0,0225	-0,18	0,8311	0,67	0,0840
Bcar3	1,39	-0,18	NA	0,18	0,8316	0,03	NA	0,07	NA	-0,28	0,6854	0,29	NA	0,07	NA	0,00	NA	0,15	NA
Bcas2	57,36	0,20	0,6555	0,05	0,9463	-0,02	1,0000	0,06	0,9805	0,11	0,7957	0,01	0,9893	0,10	0,8995	-0,10	0,9388	-0,33	0,5482
Bcas3	78,52	-0,80	0,0003	0,02	0,9756	0,19	1,0000	0,01	0,9932	0,23	0,4040	0,69	0,0781	0,56	0,2050	0,47	0,3917	0,82	0,0078
Bcat1	11,81	2,17	0,0000	-0,20	NA	-0,01	NA	-0,10	NA	0,07	0,9269	-1,84	0,0005	-1,75	NA	-2,02	0,0000	-2,10	0,0001
Bcat2	25,26	0,34	0,4657	-0,03	0,9776	-0,03	NA	-0,05	0,9853	-0,49	0,3203	-0,18	0,8379	-0,33	0,6365	-0,42	0,6098	-0,88	0,0615
Bccip	45,38	0,74	0,0041	0,36	0,4226	0,43	0,7128	0,23	0,8334	-0,18	0,6847	-0,21	0,7535	-0,13	0,8581	-0,42	0,4855	-0,43	0,3380
Bcdin3d	4,63	-0,36	0,6183	-0,64	0,2834	-0,09	NA	-0,06	NA	-0,59	0,3787	-0,14	0,9081	-0,15	NA	0,21	NA	0,07	0,9512
Bche	158,26	-0,66	0,0091	-0,78	0,0025	-0,32	0,9367	-0,49	0,1532	-1,52	0,0000	0,04	0,9627	0,36	0,4730	-0,19	0,8369	-0,81	0,0210
Bckdha	43,81	-0,51	0,2075	0,11	0,8634	0,17	1,0000	0,20	0,8643	0,32	0,3245	0,62	0,2582	0,30	0,6734	0,49	0,4908	0,77	0,0747
Bckdhb	37,06	0,27	0,5097	0,78	0,0130	0,13	1,0000	0,34	0,6285	-0,34	0,4045	0,76	0,0642	0,27	0,6786	0,23	0,8126	-0,22	0,6590
Bckdk	74,44	0,20	0,5931	-0,09	0,8752	-0,01	1,0000	0,07	0,9728	0,01	0,9772	-0,32	0,5570	-0,24	0,6938	-0,13	0,9074	-0,02	0,9626
Bcl10	35,39	0,26	0,5414	0,17	0,7877	0,04	1,0000	0,01	0,9970	0,21	0,6216	0,31	0,6255	-0,10	0,9089	0,15	0,9025	0,19	0,6559
Bcl11a	49,37	-0,54	0,1466	0,05	0,9396	-0,02	1,0000	-0,25	0,8121	-0,18	0,6453	0,34	0,6271	0,55	0,3070	0,13	0,9250	0,57	0,2003
Bcl11b	3,34	-0,31	0,6750	0,25	0,7739	0,03	NA	-0,07	NA	-0,85	0,1579	0,35	0,7245	0,11	NA	-0,22	NA	-0,09	0,9355
Bcl2	67,09	0,85	0,0011	-0,07	0,9291	0,14	1,0000	0,12	0,9469	0,60	0,0453	-0,39	0,4244	-0,43	0,3476	-0,83	0,0231	0,06	0,9187
Bcl2l1	43,25	0,02	0,9754	0,06	0,9436	-0,06	1,0000	-0,30	0,7630	0,09	0,8628	-0,07	0,9394	-0,14	0,8627	-0,13	0,9144	0,14	0,7673
Bcl2l11	41,44	-1,57	0,0000	0,04	0,9696	0,02	1,0000	0,33	0,6921	-0,04	0,9465	1,03	0,0394	1,10	0,0120	1,33	0,0015	1,28	0,0010
Bcl2l12	3,66	0,35	0,6285	0,29	0,7214	0,03	NA	-0,03	NA	0,73	0,2386	-0,24	0,8322	-0,09	NA	-0,05	NA	0,26	0,7594
Bcl2l13	144,61	0,04	0,8975	0,14	0,6925	-0,12	1,0000	0,07	0,9634	0,10	0,7017	0,22	0,6283	-0,17	0,7283	0,13	0,8613	0,15	0,6251
Bcl2l15	1,63	-0,11	NA	-0,25	0,6981	-0,01	NA	-0,08	NA	-0,47	0,4266	-0,04	NA	-0,09	NA	-0,11	NA	-0,13	NA

GeneID	CTL	ET-1 vs CTL		SAHA vs CTL		JS28 vs CTL		BSP vs CTL		JQ1 vs CTL		ET-1+SAHA vs ET1		ET-1+JS28 vs ET1		ET-1+BSP vs ET1		ET-1+JQ1 vs ET1	
	mean	log2(FC)	P-adj	log2(FC)	P-adj	log2(FC)	P-adj	log2(FC)	P-adj	log2(FC)	P-adj	log2(FC)	P-adj	log2(FC)	P-adj	log2(FC)	P-adj	log2(FC)	P-adj
Bcl2l2	68,49	0,15	0,6891	-0,43	0,2244	-0,20	1,0000	-0,39	0,4881	-0,56	0,0591	-0,51	0,2519	-0,41	0,3934	-0,54	0,2472	-0,68	0,0509
Bcl6	76,65	0,04	0,9445	-0,45	0,2955	-0,29	1,0000	-0,32	0,6883	1,03	0,0000	-0,42	0,3716	-0,54	0,2058	-0,69	0,0875	0,91	0,0006
Bcl7a	47,53	-0,72	0,0189	-0,62	0,0630	-0,05	1,0000	-0,23	0,8147	-0,28	0,4819	-0,29	0,7160	0,23	0,7655	0,18	0,8857	-0,07	0,9325
Bcl7b	42,75	-0,02	0,9754	-1,51	0,0000	-0,15	1,0000	-0,12	0,9462	0,01	0,9880	-0,95	0,0449	-0,26	0,7131	0,01	0,9980	0,27	0,6316
Bcl7c	7,37	-0,12	0,8894	-0,10	0,9240	-0,02	NA	0,07	0,9809	0,48	0,4183	-0,34	0,7498	-0,16	NA	0,36	0,7717	0,28	0,7339
Bcl9	91,46	-0,30	0,4126	0,01	0,9824	-0,15	1,0000	-0,22	0,7862	0,17	0,6463	0,19	0,7859	0,09	0,9095	0,08	0,9570	0,39	0,4269
Bcl9l	94,21	-0,54	0,1197	-0,30	0,4453	-0,31	1,0000	-0,46	0,3014	0,30	0,5077	-0,52	0,3538	-0,40	0,4981	-0,02	0,9918	0,70	0,1444
Bclaf1	304,74	-0,06	0,8002	-0,19	0,4123	-0,04	1,0000	0,29	0,2972	0,46	0,0014	-0,05	0,9291	0,28	0,4311	0,31	0,3938	0,40	0,1278
Bcor	147,58	0,06	0,8887	0,20	0,5657	0,08	1,0000	0,25	0,6258	0,20	0,4675	-0,24	0,6365	-0,34	0,4340	-0,23	0,7198	0,07	0,8765
Bcor1	43,54	-0,74	0,0073	0,39	0,2654	0,05	1,0000	-0,45	0,3784	0,18	0,6319	0,49	0,3966	0,30	0,6533	0,13	0,9264	0,87	0,0257
Bcr	64,97	-0,49	0,1683	0,13	0,8238	0,21	1,0000	0,22	0,8369	0,69	0,0110	0,20	0,7928	0,01	0,9925	0,27	0,7608	0,73	0,0189
Bcs1l	25,03	0,35	0,4116	0,21	0,7536	0,08	NA	0,16	0,9300	0,20	0,6749	0,33	0,6252	-0,19	0,8244	-0,21	0,8576	-0,28	0,6093
Bdh1	7,21	1,37	0,0024	1,56	0,0005	0,23	NA	0,02	NA	-0,49	0,4540	0,72	0,2716	-0,22	NA	-1,05	0,0793	-2,39	0,0000
Bdh2	5,70	-0,98	0,0525	-0,90	0,0968	0,14	NA	-0,64	NA	-1,61	0,0023	-0,12	0,9229	0,68	NA	-0,32	NA	-0,59	NA
Bdnf	2,43	0,85	0,0968	0,01	NA	-0,06	NA	0,02	NA	-0,09	NA	-0,32	0,7607	-0,50	NA	-0,82	NA	-1,50	0,0124
Bdp1	189,54	0,04	0,9141	0,06	0,8836	-0,02	1,0000	0,01	0,9925	-0,15	0,5786	-0,29	0,4816	0,18	0,7070	0,02	0,9911	-0,11	0,7976
Bean1	10,39	2,17	0,0000	-0,34	0,5936	0,13	NA	0,05	NA	0,49	0,4872	-1,59	0,0023	-1,44	NA	-1,18	0,0242	-1,04	0,0365
Becn1	137,43	0,13	0,7389	-0,31	0,4461	-0,12	1,0000	0,03	0,9853	0,24	0,4693	-0,32	0,4383	-0,06	0,9223	0,00	1,0000	-0,03	0,9440
Bend3	41,19	-0,40	0,2753	-1,15	0,0004	-0,27	1,0000	-0,33	0,6577	-0,14	0,7482	-0,62	0,2828	0,09	0,9199	-0,11	0,9437	0,46	0,3167
Bend4	163,20	0,45	0,0300	-0,20	0,5606	-0,15	1,0000	0,02	0,9866	0,80	0,0000	-0,66	0,0312	-0,54	0,0917	-0,23	0,6820	0,46	0,0508
Bend5	9,24	-0,13	0,8822	0,13	0,8972	0,12	NA	0,00	0,9998	-1,07	0,0510	0,11	0,9357	-0,11	NA	-0,13	0,9442	-0,84	0,2212
Bend6	28,11	-0,12	0,8394	-0,11	0,8895	-0,13	NA	-0,40	0,6159	0,16	0,7392	0,21	0,8058	0,45	0,4423	-0,14	0,9250	0,31	0,4939
Bend7	21,34	-0,38	0,4295	-0,69	0,1384	-0,07	NA	-0,11	0,9628	-0,23	0,6448	-0,75	0,2644	0,09	NA	-0,03	0,9918	0,36	0,5479
Bet1	21,70	0,29	0,5923	0,18	0,8123	0,21	NA	0,01	0,9929	0,06	0,9311	0,08	0,9413	0,18	0,8388	0,20	0,8736	-0,56	0,2750
Bet1l	21,88	0,55	0,1974	-0,03	0,9820	0,01	NA	0,08	0,9764	0,19	0,7541	-0,32	0,6788	-0,41	0,5354	-0,53	0,4784	-0,13	0,8198
Bex1	31,40	0,77	0,0578	0,28	0,6865	-0,38	NA	-0,37	0,6998	0,23	0,6668	-0,19	0,8292	-0,73	0,1617	-1,00	0,0490	-0,37	0,5629
Bex2	5,60	0,58	0,3360	1,26	0,0073	-0,05	NA	0,04	NA	0,77	0,1920	0,64	0,3981	-0,28	NA	-0,28	0,8465	-0,15	0,8700
Bex4	16,61	-0,17	0,8113	0,09	0,9253	-0,13	NA	-0,25	0,8610	-0,26	0,6584	0,22	0,8310	-0,24	NA	-0,79	0,2596	-0,21	0,7634
Bfar	79,34	0,20	0,5429	0,07	0,9017	-0,09	1,0000	-0,04	0,9853	-0,32	0,3142	-0,06	0,9343	0,05	0,9518	0,07	0,9545	-0,12	0,7438
Bhlhb9	116,68	-0,26	0,2700	-0,31	0,2749	-0,11	1,0000	-0,05	0,9769	-0,54	0,0077	-0,17	0,7672	0,31	0,4755	0,12	0,8970	-0,23	0,4517
Bhlhe40	79,99	0,39	0,3751	-0,62	0,1186	0,01	1,0000	-0,13	0,9406	-0,16	0,6988	-0,62	0,2622	-0,40	0,4940	-1,16	0,0029	-0,43	0,2960
Bhlhe41	84,22	0,19	0,6214	0,11	0,8333	-0,28	1,0000	-0,33	0,5913	-0,37	0,2093	-0,24	0,7027	-0,48	0,3090	-0,74	0,0596	-0,24	0,6103
Bicc1	15,26	0,01	0,9891	0,10	0,9212	0,03	NA	0,29	0,8134	0,51	0,2733	-0,31	0,7388	-0,09	NA	0,16	0,9170	0,39	0,4639
Bicd1	114,49	0,09	0,8062	0,23	0,5051	-0,02	1,0000	0,12	0,9118	-0,98	0,0007	0,18	0,7574	0,31	0,4928	-0,30	0,5951	-1,10	0,0023
Bicd2	307,03	0,22	0,3861	-0,26	0,2688	-0,08	1,0000	0,06	0,9626	0,09	0,7229	-0,25	0,5805	-0,22	0,6294	0,07	0,9416	-0,02	0,9741
Bid	4,02	0,20	0,8023	0,56	0,3794	-0,06	NA	-0,13	NA	-0,06	0,9465	0,41	0,6817	-0,22	NA	-0,57	NA	-0,47	0,5570
Bik	11,59	-0,24	0,7139	0,02	0,9836	0,12	NA	0,12	0,9594	0,44	0,3780	0,63	0,3716	0,61	NA	1,03	0,0538	0,34	0,6156
Bin3	15,39	0,01	0,9883	-0,01	0,9960	-0,03	NA	0,00	0,9988	-0,45	0,4088	-0,14	0,9044	-0,25	NA	0,02	0,9931	0,08	0,9201
Birc2	51,58	-0,29	0,4338	-0,11	0,8434	-0,01	1,0000	0,28	0,7036	-0,10	0,8077	0,26	0,7106	0,37	0,5031	0,24	0,8045	-0,01	0,9846
Birc5	2,63	-0,58	0,3255	0,06	0,9603	0,02	NA	-0,13	NA	0,59	0,3626	0,12	NA	0,14	NA	0,41	NA	0,80	0,2621
Birc6	656,69	-0,22	0,1646	-0,11	0,6716	-0,16	1,0000	0,13	0,8318	0,06	0,8243	-0,20	0,5948	0,19	0,6089	0,28	0,3946	0,30	0,1576
Bivm	41,41	-0,42	0,2487	-0,07	0,9072	-0,07	1,0000	-0,05	0,9853	-0,81	0,0072	0,10	0,9201	0,45	0,4311	0,12	0,9372	-0,54	0,2266
Bicap	33,79	-0,28	0,5896	-0,07	0,9194	-0,20	1,0000	-0,08	0,9728	0,07	0,8928	0,29	0,7289	0,29	0,7016	0,17	0,9037	0,46	0,3777
Blk	1,31	0,20	NA	-0,18	NA	-0,06	NA	-0,07	NA	-0,05	NA	0,02	NA	-0,18	NA	-0,30	NA	-0,52	NA
Blm	20,64	-0,45	0,3746	1,05	0,0048	0,30	NA	0,44	0,5632	0,04	0,9580	1,14	0,0169	0,55	NA	0,40	0,6750	0,20	0,7548

GeneID	CTL	ET-1 vs CTL		SAHA vs CTL		JS28 vs CTL		BSP vs CTL		JQ1 vs CTL		ET-1+SAHA vs ET1		ET-1+JS28 vs ET1		ET-1+BSP vs ET1		ET-1+JQ1 vs ET1	
	mean	log2(FC)	P-adj	log2(FC)	P-adj	log2(FC)	P-adj	log2(FC)	P-adj	log2(FC)	P-adj	log2(FC)	P-adj	log2(FC)	P-adj	log2(FC)	P-adj	log2(FC)	P-adj
Blmh	142,16	-0,16	0,6033	0,13	0,7450	-0,09	1,0000	-0,10	0,9440	-0,36	0,2173	0,54	0,0933	0,06	0,9313	0,17	0,8179	-0,10	0,7832
Bloc1s1	41,39	0,14	0,8256	-0,02	0,9878	0,00	1,0000	-0,01	0,9972	0,56	0,1371	0,32	0,6203	-0,14	0,8658	0,06	0,9730	0,20	0,6650
Bloc1s2	22,03	-0,11	0,8611	-0,05	0,9523	-0,18	NA	-0,07	0,9769	-0,30	0,5690	-0,35	0,6722	-0,32	NA	0,30	0,7854	0,03	0,9668
Bloc1s3	8,16	0,07	0,9398	0,21	0,8113	-0,10	NA	-0,05	0,9853	0,56	0,2995	0,02	0,9909	0,07	NA	-0,30	0,8257	-0,61	0,3750
Bloc1s4	7,49	0,27	0,7147	0,37	0,6326	-0,02	NA	-0,20	NA	-0,42	0,5561	0,36	0,7159	0,04	NA	0,37	0,7502	-0,17	0,8494
Bloc1s5	27,79	0,05	0,9398	-0,39	0,4452	-0,05	NA	-0,07	0,9779	-0,29	0,5077	-0,29	0,7248	-0,35	0,6257	-0,59	0,3886	-0,50	0,2695
Bloc1s6	89,56	0,35	0,2215	-0,03	0,9671	-0,09	1,0000	-0,27	0,7333	0,14	0,6990	0,13	0,8341	-0,13	0,8363	-0,42	0,3546	0,11	0,7673
Blvra	16,02	-0,15	0,8460	0,11	0,9077	-0,08	NA	-0,23	0,8797	-0,27	0,6617	0,33	0,7231	0,04	NA	-0,21	0,8960	-0,10	0,9062
Blvrb	14,59	-0,60	0,2516	0,71	0,1183	0,04	NA	0,02	0,9901	0,21	0,7008	1,21	0,0252	0,32	NA	0,42	0,6910	0,11	0,9000
Blzf1	52,96	0,41	0,2209	0,11	0,8621	0,07	1,0000	0,15	0,9269	-0,20	0,6438	-0,20	0,7672	-0,16	0,8219	-0,12	0,9192	-0,30	0,4172
Bmf	19,11	-1,25	0,0008	0,14	0,8622	0,21	NA	0,30	0,7859	-0,16	0,7921	0,70	0,3127	0,45	NA	0,64	0,4172	0,49	0,4307
Bmi1	161,02	0,29	0,2467	-1,18	0,0000	-0,06	1,0000	-0,03	0,9853	-0,46	0,0651	-1,16	0,0000	-0,12	0,8355	-0,15	0,8349	-0,53	0,1403
Bmp1	72,98	-0,54	0,0492	-0,14	0,7694	-0,01	1,0000	-0,02	0,9901	0,25	0,4258	-0,08	0,9265	0,09	0,9152	0,23	0,7913	0,42	0,2970
Bmp2	40,54	-0,88	0,0131	-0,21	0,7546	0,03	1,0000	-0,24	0,8521	-0,18	0,7508	0,21	0,8143	0,04	0,9714	0,05	0,9822	0,24	0,6779
Bmp2k	55,35	0,37	0,2749	0,05	0,9506	-0,12	1,0000	0,07	0,9764	0,74	0,0039	-0,20	0,7672	-0,20	0,7615	-0,04	0,9835	0,52	0,1146
Bmp4	6,88	0,87	0,0876	1,36	0,0029	0,35	NA	0,25	NA	-0,31	0,6905	0,88	0,1507	0,07	NA	-0,86	0,2091	-1,50	0,0137
Bmp5	24,17	-1,34	0,0007	-0,31	0,6417	0,13	1,0000	0,22	0,8797	-1,28	0,0018	0,93	0,1486	0,76	NA	0,44	0,6800	-1,23	0,0509
Bmp7	47,88	0,51	0,0965	1,03	0,0004	0,65	0,1344	-0,20	0,8767	0,17	0,7004	0,80	0,0233	0,19	0,7780	-0,13	0,9074	0,13	0,8198
Bmper	15,90	0,46	0,4435	-0,39	0,6014	-0,30	NA	-0,39	0,6626	-0,67	0,2622	-0,88	0,1600	-1,12	NA	-1,12	0,0437	-1,22	0,0187
Bmpr1a	517,52	0,23	0,4720	0,24	0,4853	0,13	1,0000	0,37	0,3400	-0,11	0,7272	0,16	0,7521	0,18	0,7087	0,12	0,8833	-0,32	0,3334
Bmpr2	777,00	-0,08	0,7208	-0,11	0,7087	-0,14	1,0000	0,06	0,9581	0,03	0,9264	0,07	0,8859	0,30	0,2875	-0,02	0,9878	0,12	0,7491
Bms1	83,59	0,04	0,9220	0,18	0,6460	0,06	1,0000	0,23	0,7424	0,12	0,7121	0,07	0,9240	-0,01	0,9878	0,07	0,9500	0,28	0,3609
Bmyc	11,96	-0,09	0,9035	0,28	0,7071	-0,08	NA	-0,33	0,7560	0,12	0,8512	0,02	0,9882	-0,51	NA	-0,22	0,8904	0,30	0,6430
Bnc2	3,27	0,24	0,7683	-0,32	0,6546	0,12	NA	-0,17	NA	0,08	0,9284	-0,31	0,7651	-0,07	NA	-0,15	NA	0,43	0,5875
Bnip1	23,00	0,67	0,0640	0,10	0,9072	-0,02	NA	0,08	0,9761	-0,43	0,4088	-0,24	0,7672	-0,39	0,5746	-0,06	0,9734	-0,42	0,3601
Bnip2	155,78	0,06	0,8760	0,04	0,9436	0,01	1,0000	-0,02	0,9853	-0,09	0,7801	0,34	0,4070	0,48	0,1615	0,17	0,8171	-0,10	0,7891
Bnip3	106,43	0,88	0,0682	0,52	0,1729	0,40	0,8445	0,22	0,8587	0,50	0,1151	-0,09	0,9475	-0,20	0,8465	-0,44	0,6820	-0,69	0,1605
Bnip3l	179,67	-0,19	0,5482	-0,22	0,4390	-0,30	0,7615	0,07	0,9516	0,51	0,0022	0,31	0,5088	0,05	0,9437	0,24	0,7198	0,61	0,0372
Boc	127,52	-1,18	0,0000	-0,46	0,0336	-0,60	0,0333	-0,20	0,7250	-0,33	0,1645	-0,19	0,8228	-0,42	0,5083	-0,38	0,6492	-0,48	0,3386
Bod1	88,59	0,01	0,9805	0,09	0,8597	0,07	1,0000	-0,07	0,9681	-0,44	0,0897	0,46	0,2519	0,26	0,6315	0,12	0,9025	-0,31	0,3531
Bod1l	287,59	-0,23	0,4256	-0,02	0,9709	0,15	1,0000	0,29	0,4246	0,03	0,9203	-0,44	0,3204	0,27	0,5801	0,49	0,1753	0,18	0,6779
Bok	2,05	0,15	NA	-0,15	0,8544	-0,12	NA	-0,15	NA	-0,50	0,3957	-0,26	NA	-0,27	NA	-0,30	NA	-0,40	0,6222
Bola1	11,10	0,07	0,9398	-0,13	0,8921	0,09	NA	0,22	0,8923	0,68	0,1474	-0,15	0,8994	0,05	NA	0,22	0,8833	0,64	0,2435
Bola2	11,94	0,35	0,5714	0,74	0,1411	-0,01	NA	0,02	0,9925	0,03	0,9656	0,84	0,1413	-0,16	NA	-0,31	0,8100	0,14	0,8446
Bola3	27,32	0,58	0,2362	-0,08	0,9337	-0,17	NA	-0,23	0,8811	-0,54	0,3534	0,03	0,9822	-0,35	0,6289	0,01	0,9957	-0,93	0,0363
Bop1	35,97	0,29	0,5029	0,03	0,9747	0,21	1,0000	0,16	0,9260	0,57	0,0752	-0,62	0,2370	-0,42	0,4831	-0,31	0,7186	0,42	0,2556
Bora	9,24	0,48	0,3995	0,93	0,0546	0,04	NA	-0,22	NA	-0,16	0,8297	0,05	0,9707	-0,26	NA	-0,51	0,5949	-0,51	0,4406
Bpgm	21,42	-0,29	0,5924	0,09	0,9062	-0,12	NA	-0,19	0,9040	-0,83	0,0458	0,79	0,1714	0,40	0,5737	0,01	0,9971	-0,64	0,2452
Bphl	21,23	-0,43	0,3402	-0,49	0,3388	-0,14	NA	0,03	0,9860	-0,48	0,2888	0,05	0,9713	-0,04	NA	0,22	0,8638	0,05	0,9482
Bpnt1	30,09	0,25	0,6155	0,21	0,7333	0,15	NA	-0,08	0,9742	0,32	0,4168	0,32	0,6586	0,12	0,9009	0,12	0,9328	0,06	0,9305
Bptf	541,47	-0,27	0,2669	-0,52	0,0111	-0,09	1,0000	-0,01	0,9938	-0,10	0,7375	-0,71	0,0087	0,03	0,9606	0,21	0,6847	0,13	0,6950
Braf	128,94	-0,17	0,5852	-0,03	0,9551	0,01	1,0000	0,02	0,9853	-0,33	0,2138	-0,07	0,9211	0,25	0,5827	0,30	0,5524	0,01	0,9800
Brap	60,95	0,00	0,9927	0,03	0,9595	0,31	1,0000	0,34	0,5813	0,65	0,0047	-0,13	0,8522	0,02	0,9818	0,36	0,5357	0,70	0,0078
Brat1	21,08	-0,04	0,9515	0,26	0,6809	-0,10	NA	-0,15	0,9371	0,38	0,3804	0,07	0,9476	-0,38	NA	-0,02	0,9936	0,35	0,5197
Brc1	6,05	-0,25	0,7528	0,22	0,8110	0,18	NA	0,09	0,9741	0,32	0,6514	-0,23	0,8417	0,53	NA	0,10	NA	0,29	0,7277

GeneID	CTL	ET-1 vs CTL		SAHA vs CTL		JS28 vs CTL		BSP vs CTL		JQ1 vs CTL		ET-1+SAHA vs ET1		ET-1+JS28 vs ET1		ET-1+BSP vs ET1		ET-1+JQ1 vs ET1	
	mean	log2(FC)	P-adj	log2(FC)	P-adj	log2(FC)	P-adj	log2(FC)	P-adj	log2(FC)	P-adj	log2(FC)	P-adj	log2(FC)	P-adj	log2(FC)	P-adj	log2(FC)	P-adj
Brca2	52,92	-0,37	0,2973	0,26	0,5771	-0,03	1,0000	0,03	0,9853	-0,11	0,8124	0,04	0,9627	0,25	0,7090	0,42	0,4910	0,06	0,9252
Brcc3	67,38	-0,08	0,8554	0,06	0,9200	0,10	1,0000	0,23	0,8055	-0,05	0,9113	0,34	0,4843	0,32	0,5231	0,18	0,8532	0,03	0,9599
Brd1	134,42	-0,07	0,8539	-0,54	0,0456	-0,12	1,0000	-0,01	0,9967	0,48	0,0293	-0,38	0,3814	0,14	0,8137	0,03	0,9862	0,71	0,0070
Brd2	238,63	-0,11	0,7389	-0,85	0,0000	0,03	1,0000	0,14	0,8426	1,04	0,0000	-0,78	0,0086	-0,01	0,9948	0,34	0,4284	1,34	0,0000
Brd3	126,73	-0,07	0,8518	-0,22	0,5150	-0,01	1,0000	-0,16	0,8504	0,23	0,3297	-0,38	0,3762	-0,05	0,9444	-0,02	0,9918	0,37	0,1959
Brd4	250,26	-0,01	0,9914	0,05	0,9295	-0,09	1,0000	-0,04	0,9825	0,79	0,0016	-0,41	0,4005	-0,11	0,8872	0,19	0,8257	0,89	0,0114
Brd7	173,57	0,26	0,2495	0,22	0,4790	0,07	1,0000	0,16	0,8420	-0,19	0,4726	0,02	0,9725	0,04	0,9454	-0,03	0,9790	-0,30	0,3371
Brd8	77,20	-0,46	0,0556	-0,40	0,1964	-0,10	1,0000	0,06	0,9742	0,00	0,9981	-0,18	0,7925	0,29	0,5733	0,36	0,5291	0,26	0,4293
Brd9	54,79	-0,30	0,3628	-0,81	0,0079	-0,19	1,0000	-0,85	0,0081	-1,13	0,0000	-0,75	0,1040	0,24	0,7016	-0,15	0,8948	-0,88	0,0102
Brdt	3,43	-0,31	0,6750	0,13	0,8980	0,08	NA	0,15	NA	-0,03	0,9745	0,50	0,5603	0,10	NA	0,43	NA	0,36	0,6751
Bre	52,27	1,02	0,0000	0,35	0,4535	0,13	1,0000	-0,09	0,9708	-0,02	0,9766	0,03	0,9695	-0,31	0,5639	-0,47	0,3744	-0,66	0,0278
Brf1	42,64	-0,13	0,7877	0,37	0,3509	0,12	1,0000	0,20	0,8610	0,20	0,5793	0,03	0,9739	0,19	0,8000	0,20	0,8577	0,27	0,5418
Brf2	21,41	0,06	0,9277	-0,06	0,9507	-0,11	NA	-0,27	0,8363	-0,43	0,4052	0,01	0,9966	0,19	0,8376	-0,15	0,9191	-0,33	0,5439
Bri3	34,02	-0,01	0,9867	-0,15	0,8195	0,08	1,0000	0,27	0,7766	0,79	0,0417	-0,15	0,8668	-0,33	0,6296	0,55	0,3398	1,03	0,0370
Bri3bp	35,39	-0,50	0,1835	0,56	0,1271	-0,13	1,0000	-0,06	0,9798	-0,25	0,5848	0,68	0,2081	0,24	0,7589	0,10	0,9526	-0,10	0,8925
Brip1	3,33	-0,21	0,8006	-0,17	0,8585	0,09	NA	0,13	NA	-0,22	0,7815	-0,30	0,7607	0,14	NA	0,18	NA	0,76	0,2720
Brix1	69,34	0,59	0,0363	0,20	0,6695	0,22	1,0000	0,25	0,7593	-0,45	0,1599	-0,15	0,8417	-0,15	0,8405	-0,64	0,1766	-0,82	0,0301
Brk1	62,26	-0,05	0,9497	-0,15	0,8491	-0,12	1,0000	-0,20	0,8998	0,18	0,7363	0,15	0,8472	-0,17	0,8390	0,18	0,8638	0,10	0,8591
Brms1	13,08	0,48	0,3752	0,07	0,9505	0,14	NA	0,20	0,9058	0,42	0,4617	-0,35	0,7051	-0,11	NA	-0,31	0,7955	-0,03	0,9763
Brms11	56,74	0,00	0,9930	-0,32	0,4485	-0,03	1,0000	0,05	0,9853	-0,03	0,9594	-0,38	0,4870	0,15	0,8375	-0,07	0,9611	0,04	0,9488
Brox	106,57	0,15	0,6638	-0,24	0,5144	0,01	1,0000	-0,04	0,9853	-0,06	0,8576	-0,03	0,9645	-0,21	0,6919	-0,28	0,6339	-0,20	0,6494
Brpf1	48,41	0,09	0,8554	0,38	0,3296	-0,03	1,0000	0,01	0,9940	0,19	0,6221	0,16	0,8258	-0,22	0,7548	0,01	0,9946	-0,07	0,8839
Brpf3	98,67	-0,55	0,0362	-1,72	0,0000	-0,22	1,0000	-0,16	0,8903	0,49	0,0710	-1,47	0,0000	-0,14	0,8492	0,18	0,8400	0,90	0,0044
Brsk1	52,41	0,52	0,0866	-0,29	0,5457	-0,07	1,0000	-0,53	0,2958	-1,18	0,0008	-0,80	0,0641	-0,48	0,3405	-0,69	0,1350	-1,49	0,0003
Brwd1	231,23	-0,13	0,6093	-0,28	0,2221	-0,13	1,0000	0,26	0,4852	-0,01	0,9614	-0,36	0,3288	0,00	0,9969	0,24	0,6268	0,10	0,7769
Brwd3	84,01	-0,24	0,4602	0,01	0,9886	0,00	1,0000	0,01	0,9967	-0,12	0,7368	0,01	0,9894	0,15	0,8175	0,11	0,9119	0,14	0,7141
Bscl2	7,87	-0,06	0,9431	0,08	0,9454	-0,11	NA	-0,04	0,9853	0,17	0,8117	0,02	0,9912	0,08	NA	-0,18	0,9170	-0,07	0,9422
Bsdc1	81,94	-0,29	0,3465	-0,15	0,7298	-0,24	1,0000	0,02	0,9873	0,43	0,0863	-0,42	0,4120	-0,14	0,8412	0,00	1,0000	0,72	0,0193
Bsg	364,80	0,48	0,0453	0,56	0,0112	0,08	1,0000	-0,14	0,8797	0,39	0,0417	0,20	0,6791	-0,29	0,5032	-0,19	0,7818	0,11	0,7820
Btaf1	173,88	0,30	0,3742	0,02	0,9730	-0,23	1,0000	0,11	0,9404	0,32	0,2311	-0,33	0,4908	-0,36	0,4311	-0,29	0,6271	-0,12	0,8078
Btbd1	163,20	0,04	0,9128	-0,02	0,9666	-0,01	1,0000	0,42	0,0955	-0,08	0,7751	0,16	0,7822	0,37	0,3765	0,28	0,6098	-0,16	0,6778
Btbd10	34,22	0,51	0,1465	-0,02	0,9822	0,11	NA	0,26	0,8121	0,31	0,4361	-0,36	0,5925	-0,28	0,6761	-0,40	0,5913	-0,16	0,7709
Btbd11	7,90	-0,16	0,8489	0,23	0,7828	0,13	NA	0,19	0,9211	0,31	0,6221	-0,12	0,9257	0,04	NA	0,04	0,9911	0,41	0,5709
Btbd19	2,00	0,21	NA	-0,37	0,4461	-0,10	NA	0,02	NA	-0,04	0,9593	-0,28	NA	-0,03	NA	-0,17	NA	-0,53	0,4895
Btbd2	41,17	-0,26	0,5791	0,23	0,7045	-0,12	1,0000	0,21	0,8786	0,69	0,0524	0,27	0,7029	-0,08	0,9336	0,54	0,3218	0,67	0,0533
Btbd3	25,93	-0,42	0,3361	-0,07	0,9255	0,12	NA	-0,18	0,9084	-0,07	0,8960	-0,12	0,9108	0,46	0,4768	0,05	0,9831	0,12	0,8753
Btbd6	23,86	-0,04	0,9550	-0,78	0,0920	0,02	NA	-0,06	0,9853	0,15	0,7840	-0,38	0,6565	-0,01	0,9963	0,55	0,4329	0,13	0,8495
Btbd7	144,05	-0,45	0,0162	-0,52	0,0208	-0,27	0,9628	-0,03	0,9853	0,27	0,1803	-0,08	0,9089	0,36	0,3730	0,43	0,2625	0,67	0,0038
Btbd8	5,54	-0,52	0,4098	-0,05	0,9666	-0,19	NA	-0,07	NA	-0,59	0,3539	0,03	0,9822	0,12	NA	-0,25	NA	-0,61	0,4176
Btbd9	60,42	-0,11	0,7900	-0,18	0,7161	-0,18	1,0000	-0,05	0,9829	-0,07	0,8538	0,08	0,9192	0,03	0,9752	0,15	0,8833	0,18	0,6462
Btc	1,42	0,00	NA	0,08	0,9315	0,13	NA	-0,11	NA	-0,47	NA	0,09	NA	0,07	NA	-0,06	NA	-0,47	NA
Btd	16,21	-0,28	0,6551	-0,74	0,1520	0,16	NA	-0,11	0,9626	0,47	0,2829	0,12	0,9201	0,09	NA	0,39	0,7067	1,14	0,0049
Btf3	160,61	0,24	0,4272	0,30	0,3748	0,07	1,0000	0,06	0,9737	0,09	0,7921	0,02	0,9778	-0,30	0,4772	-0,21	0,7223	-0,04	0,9286
Btf314	89,48	0,10	0,8262	-0,23	0,6042	-0,25	1,0000	-0,15	0,9060	-0,17	0,6088	0,15	0,8085	0,08	0,9096	-0,12	0,9065	-0,12	0,7610
Btg1	153,44	0,08	0,8497	-0,16	0,7071	-0,22	1,0000	0,01	0,9901	0,50	0,0271	0,02	0,9782	0,08	0,9050	0,35	0,4582	0,34	0,2135

GeneID	CTL	ET-1 vs CTL		SAHA vs CTL		JS28 vs CTL		BSP vs CTL		JQ1 vs CTL		ET-1+SAHA vs ET1		ET-1+JS28 vs ET1		ET-1+BSP vs ET1		ET-1+JQ1 vs ET1	
	mean	log2(FC)	P-adj	log2(FC)	P-adj	log2(FC)	P-adj	log2(FC)	P-adj	log2(FC)	P-adj	log2(FC)	P-adj	log2(FC)	P-adj	log2(FC)	P-adj	log2(FC)	P-adj
Btg2	141,64	0,20	0,6075	0,36	0,3052	-0,48	0,4800	-0,45	0,3145	-0,02	0,9673	0,15	0,8064	-0,86	0,0070	-1,35	0,0000	-0,36	0,3204
Btrc	57,19	-0,34	0,3026	0,22	0,6265	0,07	1,0000	-0,09	0,9606	-0,12	0,7558	0,45	0,3765	0,24	0,6998	0,15	0,8915	-0,02	0,9746
Bub1	3,30	-0,84	0,1080	-0,03	0,9826	0,08	NA	-0,09	NA	-0,49	0,4819	0,13	NA	0,30	NA	0,52	NA	0,57	0,4577
Bub1b	3,63	0,00	0,9968	0,26	0,7569	0,03	NA	0,07	NA	-0,63	0,3261	-0,31	0,7608	-0,04	NA	-0,07	NA	-0,57	0,4589
Bub3	57,28	0,37	0,2140	0,02	0,9804	0,15	1,0000	0,43	0,3801	0,71	0,0054	-0,24	0,7031	-0,32	0,5851	0,01	0,9966	0,30	0,3955
Bud13	21,94	0,26	0,6712	-0,32	0,6555	-0,25	NA	-0,26	0,8451	0,46	0,3310	-0,24	0,8026	-0,65	NA	-0,39	0,6935	0,48	0,3523
Bud31	77,21	0,35	0,4295	-0,27	0,5324	-0,09	1,0000	-0,09	0,9634	0,71	0,0126	-0,34	0,6250	-0,13	0,8865	-0,03	0,9915	0,75	0,1160
Bves	145,61	0,49	0,0813	-0,23	0,5209	-0,02	1,0000	-0,02	0,9855	-0,13	0,6478	-0,27	0,6277	-0,06	0,9432	0,06	0,9612	-0,38	0,2880
Bysl	55,20	0,75	0,0164	0,03	0,9718	-0,20	1,0000	-0,20	0,8903	-0,17	0,7440	-0,40	0,4462	-0,83	0,0392	-0,76	0,0770	-0,56	0,1011
Bzw1	225,61	0,11	0,6968	-0,21	0,4448	-0,25	0,9896	0,05	0,9717	0,25	0,3233	0,04	0,9470	0,00	0,9963	0,11	0,8879	0,30	0,3619
Bzw2	148,35	0,08	0,8201	-0,21	0,5855	-0,20	1,0000	0,08	0,9628	0,06	0,8487	0,03	0,9688	0,13	0,8268	0,12	0,8816	-0,01	0,9808
C030006K11Rik	20,24	0,13	0,8344	0,29	0,6485	0,17	NA	0,08	0,9746	0,67	0,0742	0,10	0,9284	-0,19	NA	0,42	0,6114	0,57	0,2107
C030016D13Rik	1,76	-0,01	NA	0,00	0,9965	-0,08	NA	-0,04	NA	0,13	0,8706	-0,25	NA	-0,06	NA	0,23	NA	-0,29	NA
C030034I22Rik	1,38	0,20	NA	-0,17	NA	-0,03	NA	0,04	NA	0,16	0,8267	-0,23	NA	-0,11	NA	-0,20	NA	-0,68	NA
C030037D09Rik	8,97	-0,52	0,3613	0,07	0,9467	-0,25	NA	-0,23	0,8786	-0,15	0,8338	0,76	0,2827	0,20	NA	0,28	0,8408	0,05	0,9622
C030039L03Rik	7,75	-0,25	0,7568	0,16	0,8621	-0,08	NA	-0,05	0,9853	-0,46	0,5001	0,13	0,9197	-0,06	NA	0,12	0,9501	0,22	0,7964
C030046E11Rik	77,60	0,04	0,9370	0,38	0,2475	0,24	1,0000	0,62	0,0365	0,57	0,0099	0,34	0,5183	0,29	0,6022	0,55	0,2136	0,66	0,0297
C130036L24Rik	1,19	-0,11	NA	-0,11	0,8836	-0,04	NA	0,00	NA	-0,28	NA	-0,06	NA	-0,11	NA	-0,05	NA	-0,10	NA
C130060C02Rik	1,03	0,42	NA	0,16	NA	0,01	NA	-0,01	NA	0,36	NA	-0,15	NA	-0,18	NA	-0,21	NA	-0,28	NA
C130080G10Rik	64,55	0,10	0,8709	1,67	0,0000	-0,22	1,0000	-0,18	0,9030	-1,70	0,0000	2,35	0,0000	0,09	0,9176	-0,48	0,4263	-2,00	0,0000
C1d	89,93	-0,07	0,8863	-0,27	0,4661	0,03	1,0000	-0,08	0,9634	-1,49	0,0000	0,04	0,9601	0,42	0,3437	0,07	0,9570	-1,32	0,0001
C1galt1	53,30	-0,55	0,0578	-0,03	0,9718	0,03	1,0000	0,30	0,6740	0,52	0,0507	0,43	0,4201	0,73	0,0587	0,62	0,1907	1,17	0,0000
C1galt1c1	28,17	0,08	0,9068	-0,68	0,1351	-0,13	NA	0,06	0,9827	-0,16	0,7589	-0,02	0,9903	0,05	0,9640	0,19	0,8904	-0,07	0,9201
C1qbp	75,53	0,79	0,0009	0,49	0,1742	-0,01	1,0000	0,07	0,9745	0,16	0,6996	-0,21	0,7193	-0,46	0,2766	-0,39	0,4509	-0,81	0,0031
C1qI3	2,94	0,48	0,4631	0,03	0,9799	-0,03	NA	-0,14	NA	-0,64	0,2189	-0,44	0,6390	-0,22	NA	-0,28	NA	-0,95	0,1650
C1qtnf4	2,75	-0,02	0,9859	-0,01	0,9949	-0,06	NA	-0,11	NA	-0,63	0,3103	0,21	0,8493	-0,01	NA	-0,14	NA	-0,14	0,8860
C1qtnf6	5,88	-0,05	0,9619	-0,24	0,7841	0,04	NA	-0,42	NA	-1,09	0,0583	-0,50	0,5746	-0,21	NA	-0,22	NA	-0,70	0,3370
C1rl	3,14	-0,72	0,2035	0,00	0,9981	0,19	NA	-0,33	NA	-1,21	0,0286	0,79	0,2614	0,32	NA	-0,12	NA	-0,37	NA
C230035I16Rik	1,62	-0,35	NA	0,29	0,7170	-0,09	NA	-0,16	NA	-0,36	0,6151	0,51	NA	0,27	NA	0,01	NA	-0,33	NA
C230037L18Rik	1,64	-0,59	NA	0,68	0,2639	-0,07	NA	0,11	NA	0,24	0,7690	0,58	NA	0,04	NA	0,22	NA	0,89	0,1752
C230052I12Rik	9,66	-0,05	0,9568	-0,54	0,4045	-0,12	NA	-0,44	0,5969	-0,56	0,3518	-0,60	0,4661	-0,08	NA	-0,34	0,7912	-0,37	0,6046
C230091D08Rik	4,52	0,07	0,9120	-0,30	0,6496	-0,15	NA	-0,16	NA	0,27	0,6807	0,31	0,7691	0,26	NA	-0,72	NA	0,16	0,8709
C2cd2	9,72	-0,06	0,9431	0,14	0,8782	-0,05	NA	0,20	0,9060	0,62	0,2101	0,02	0,9903	0,08	NA	-0,24	0,8697	0,68	0,2241
C2cd2l	23,11	0,22	0,6861	0,38	0,4874	0,06	NA	0,32	0,7424	0,97	0,0040	-0,03	0,9819	0,04	0,9713	0,65	0,2482	1,40	0,0000
C2cd3	71,79	-0,32	0,3006	-0,34	0,3726	-0,22	1,0000	-0,21	0,8280	-0,55	0,0554	-0,28	0,6637	-0,06	0,9432	-0,30	0,6900	-0,32	0,3911
C2cd4b	1,94	-0,61	NA	0,37	0,6270	-0,10	NA	-0,09	NA	0,14	0,8706	0,42	NA	0,02	NA	0,20	NA	0,50	0,4974
C2cd5	44,81	-0,55	0,1002	0,15	0,7891	-0,13	1,0000	-0,02	0,9867	-0,04	0,9384	0,18	0,8255	0,35	0,5785	0,21	0,8511	0,33	0,4772
C3	3,88	0,91	0,0786	-0,13	0,8548	-0,04	NA	-0,02	NA	-0,44	NA	-0,95	0,1654	-0,49	NA	-0,53	NA	-1,23	0,0570
C330006A16Rik	63,27	0,00	0,9968	-0,47	0,1682	-0,01	1,0000	-0,26	0,7444	-0,29	0,3932	-0,32	0,5989	-0,31	0,5768	0,08	0,9457	-0,01	0,9927
C330007P06Rik	41,20	-0,04	0,9485	-0,15	0,8113	0,00	1,0000	0,09	0,9634	0,33	0,3121	0,03	0,9789	0,16	0,8442	0,10	0,9442	0,24	0,5847
C330013E15Rik	1,79	-0,38	NA	0,08	0,9360	0,02	NA	0,06	NA	0,65	0,3172	-0,08	NA	0,18	NA	0,42	NA	0,39	NA
C330018D20Rik	11,89	0,11	0,8895	-0,30	0,7003	-0,07	NA	0,05	0,9853	-0,60	0,2842	-0,51	0,5464	-0,01	NA	0,04	0,9911	-0,44	0,5298
C330024D21Rik	14,05	0,28	0,6505	0,08	0,9359	-0,06	NA	-0,13	0,9574	-0,39	0,5280	-0,11	0,9278	-0,11	NA	-0,36	0,7445	-0,86	0,1089
C330027C09Rik	10,85	0,10	0,9054	0,46	0,4737	0,27	NA	-0,02	0,9925	-0,01	0,9891	-0,53	0,5239	0,11	NA	-0,21	0,8923	-0,63	0,3022
C430049B03Rik	215,16	-0,25	0,3889	-0,16	0,7003	-0,18	1,0000	-0,32	0,5023	0,08	0,8138	-0,25	0,5795	-0,07	0,9153	0,00	1,0000	0,27	0,3743

GeneID	CTL	ET-1 vs CTL		SAHA vs CTL		JS28 vs CTL		BSP vs CTL		JQ1 vs CTL		ET-1+SAHA vs ET1		ET-1+JS28 vs ET1		ET-1+BSP vs ET1		ET-1+JQ1 vs ET1	
	mean	log2(FC)	P-adj	log2(FC)	P-adj	log2(FC)	P-adj	log2(FC)	P-adj	log2(FC)	P-adj	log2(FC)	P-adj	log2(FC)	P-adj	log2(FC)	P-adj	log2(FC)	P-adj
C530005A16Rik	7,41	-0,15	0,8560	-0,04	0,9730	-0,19	NA	0,07	0,9805	0,10	0,9040	0,09	0,9438	0,09	NA	-0,05	0,9861	0,16	0,8459
C530008M17Rik	35,75	0,29	0,4772	-0,77	0,0624	-0,50	NA	-0,61	0,2356	-0,94	0,0292	-0,38	0,5446	-0,24	0,7274	-0,75	0,1397	-0,95	0,0158
C630043F03Rik	2,01	-0,04	NA	-0,17	0,8326	-0,08	NA	-0,21	NA	-0,38	0,5759	-0,24	NA	-0,11	NA	-0,13	NA	-0,28	NA
C77370	35,37	-0,73	0,0687	-1,09	0,0065	-0,42	0,8486	-0,48	0,4645	-0,33	0,4477	-0,79	0,2143	-0,03	0,9780	-0,07	0,9751	0,20	0,7593
C78339	48,42	-0,18	0,6851	-0,20	0,7170	-0,15	1,0000	-0,09	0,9634	-0,15	0,7024	-0,19	0,8150	0,08	0,9256	0,12	0,9264	-0,07	0,8960
C87436	28,58	-0,13	0,8225	-0,48	0,3137	-0,08	NA	-0,16	0,9267	-0,05	0,9278	-0,05	0,9665	-0,07	0,9444	-0,03	0,9918	0,18	0,7501
C8g	1,10	-0,10	NA	-0,24	NA	0,06	NA	-0,03	NA	0,15	0,8475	0,11	NA	0,02	NA	-0,19	NA	-0,16	NA
C920006O11Rik	3,06	0,26	0,7473	-0,11	0,9044	0,19	NA	0,14	NA	0,39	0,6002	0,12	0,9320	0,25	NA	-0,14	NA	-0,14	0,8843
C920021L13Rik	3,24	-0,02	0,9867	-0,29	0,7154	0,02	NA	0,43	NA	1,29	0,0097	0,23	0,8388	0,30	NA	0,18	NA	0,91	0,1518
Caap1	20,36	-0,11	0,8591	0,07	0,9315	-0,13	NA	0,32	0,7370	0,07	0,9055	0,15	0,8874	0,37	0,6062	0,44	0,5943	0,05	0,9474
Cab39	253,32	0,50	0,0011	0,13	0,6668	0,02	1,0000	0,09	0,9260	0,11	0,7424	0,07	0,8956	-0,21	0,6167	-0,29	0,4890	-0,22	0,5772
Cab39l	49,93	-0,24	0,5423	0,16	0,7433	-0,15	1,0000	0,08	0,9634	0,15	0,7062	0,55	0,2692	0,19	0,8108	0,11	0,9373	0,49	0,2062
Cabin1	128,70	0,04	0,9278	-0,06	0,8978	0,01	1,0000	-0,01	0,9916	0,08	0,8118	-0,49	0,1702	-0,32	0,4532	-0,10	0,9138	-0,09	0,8218
Cables1	3,30	-0,62	0,2971	-0,07	0,9550	0,10	NA	-0,12	NA	0,29	0,6948	-0,14	NA	0,27	NA	0,38	NA	0,41	0,6205
Cables2	30,81	-0,01	0,9877	0,27	0,6157	0,04	NA	0,17	0,9111	0,36	0,3160	-0,06	0,9516	-0,12	0,8988	0,36	0,6585	0,52	0,1686
Cabyr	1,13	-0,09	NA	0,11	0,8919	-0,03	NA	-0,04	NA	-0,04	0,9580	0,10	NA	-0,02	NA	-0,03	NA	0,23	NA
Cacfd1	35,04	-0,38	0,4143	-0,19	0,7793	-0,10	1,0000	0,03	0,9860	0,33	0,3923	0,01	0,9930	0,22	0,7860	0,28	0,7790	0,42	0,3746
Cachd1	53,33	-0,23	0,6129	0,40	0,3726	0,20	1,0000	0,30	0,7367	0,56	0,0885	0,21	0,7598	0,48	0,3093	0,54	0,2566	0,87	0,0006
Cacna1a	33,60	0,04	0,9452	0,65	0,0670	0,24	1,0000	-0,55	0,3244	-0,45	0,2707	0,42	0,4870	0,45	0,4288	-0,27	0,7954	-0,30	0,5511
Cacna1b	1,13	0,16	NA	1,12	0,0172	0,00	NA	0,14	NA	-0,03	NA	0,80	0,2564	-0,20	NA	-0,03	NA	-0,19	NA
Cacna1c	477,57	-0,15	0,5953	0,06	0,8867	0,16	1,0000	0,15	0,8514	0,11	0,7779	-0,17	0,6978	0,32	0,3155	0,49	0,0484	0,28	0,4031
Cacna1d	261,43	-1,66	0,0000	-0,10	0,7849	-0,03	1,0000	0,38	0,1923	-0,82	0,0000	0,44	0,4545	0,63	0,1903	0,55	0,3415	-0,39	0,4795
Cacna1g	735,35	-1,11	0,0000	-0,21	0,6086	0,30	1,0000	0,50	0,1510	-0,49	0,0918	0,11	0,8895	0,66	0,1043	1,11	0,0005	0,18	0,7630
Cacna1h	79,88	-0,51	0,1690	0,85	0,0124	0,11	1,0000	0,30	0,7260	-0,42	0,5028	0,68	0,1040	0,20	0,7750	0,45	0,4173	0,05	0,9531
Cacna2d1	336,23	0,26	0,2548	-0,73	0,0007	-0,14	1,0000	-0,11	0,9250	-0,26	0,3811	-0,65	0,0090	-0,04	0,9535	-0,19	0,6904	-0,31	0,4043
Cacna2d2	402,67	-0,61	0,2784	0,09	0,8744	0,18	1,0000	0,09	0,9628	-1,23	0,0040	0,14	0,9186	0,17	0,8732	0,14	0,9425	-0,77	0,2468
Cacna2d3	3,87	-0,74	0,1853	-0,15	0,8741	-0,15	NA	0,13	NA	-0,25	0,7529	0,36	0,6997	0,03	NA	0,23	NA	0,14	0,8886
Cacnb1	35,99	-0,30	0,5067	0,84	0,0151	-0,12	1,0000	-0,21	0,8780	0,01	0,9872	0,66	0,1698	-0,35	0,6223	-0,23	0,8456	0,40	0,4894
Cacnb2	326,65	0,30	0,1753	-0,38	0,1703	-0,17	1,0000	-0,52	0,0679	-0,48	0,0363	-0,40	0,1657	-0,28	0,4110	-0,45	0,1020	-0,66	0,0001
Cacnb3	38,94	-0,17	0,7540	0,53	0,2198	0,04	1,0000	0,01	0,9972	-0,10	0,8706	0,56	0,2639	-0,02	0,9828	0,23	0,8285	0,03	0,9679
Cacnb4	3,32	-0,12	0,8954	0,10	0,9253	-0,09	NA	-0,35	NA	-0,94	0,0918	0,13	0,9219	-0,05	NA	-0,08	NA	-0,70	0,3386
Cactin	18,30	0,45	0,3672	0,40	0,5037	-0,09	NA	-0,33	0,7630	0,14	0,8138	-0,45	0,5667	-0,32	NA	-0,41	0,6847	-0,35	0,5575
Cacul1	118,65	0,02	0,9686	0,42	0,0699	0,12	1,0000	0,19	0,7733	0,25	0,3509	0,45	0,2063	0,22	0,6653	0,08	0,9372	0,30	0,3054
Cacybp	125,92	0,06	0,8749	-0,39	0,2140	-0,25	1,0000	0,12	0,9251	-0,09	0,8267	-0,26	0,5980	0,10	0,8790	0,18	0,7975	0,03	0,9679
Cad	55,80	0,52	0,0800	-0,19	0,7476	-0,06	1,0000	0,11	0,9533	0,26	0,5130	-0,89	0,0299	-1,09	0,0018	-0,56	0,2422	-0,20	0,6558
Cadm1	27,32	0,08	0,9032	0,52	0,2749	0,15	NA	0,31	0,7601	1,18	0,0000	0,56	0,3328	-0,13	0,8988	-0,06	0,9784	1,27	0,0001
Cadm2	1,17	-0,40	NA	-0,13	0,8621	0,02	NA	0,23	NA	1,10	0,0542	0,02	NA	0,12	NA	0,40	NA	1,79	0,0023
Cadm4	7,41	-0,43	0,5048	0,64	0,2605	0,31	NA	-0,25	0,8597	-0,20	0,7837	0,85	0,2258	0,31	NA	-0,11	NA	0,49	0,4989
Cadps	29,87	-0,26	0,6178	-0,45	0,4029	-0,58	NA	-0,42	0,5978	-1,36	0,0005	-0,36	0,6429	-0,02	0,9837	-0,27	0,8103	-1,29	0,0028
Cadps2	3,44	-0,38	0,5951	-0,57	0,3572	-0,17	NA	-0,11	NA	0,08	0,9255	-0,33	NA	-0,18	NA	0,32	NA	0,22	0,8104
Cage1	21,82	-0,58	0,1891	-0,05	0,9613	-0,09	NA	-0,01	0,9968	0,09	0,8657	0,28	0,7607	0,49	NA	0,44	0,6196	0,35	0,5428
Calcoco1	239,32	-0,86	0,0000	0,09	0,8275	0,12	1,0000	-0,14	0,8861	0,23	0,3128	0,66	0,0204	0,57	0,0543	0,38	0,2960	0,86	0,0003
Calcr1	4,49	0,84	0,1154	0,46	0,4852	0,01	NA	0,01	NA	-0,37	0,5727	-0,10	0,9426	-0,21	NA	-0,95	NA	-1,11	0,0929
Cald1	168,19	0,72	0,0032	-0,55	0,0878	-0,37	0,8582	-0,70	0,0428	-0,36	0,2725	-1,12	0,0001	-0,78	0,0124	-1,24	0,0000	-0,53	0,0514
Calm1	312,06	0,75	0,0000	-0,02	0,9745	-0,10	1,0000	0,44	0,1386	0,82	0,0000	-0,37	0,2831	-0,40	0,2506	0,08	0,9282	0,44	0,0924

GeneID	CTL	ET-1 vs CTL		SAHA vs CTL		JS28 vs CTL		BSP vs CTL		JQ1 vs CTL		ET-1+SAHA vs ET1		ET-1+JS28 vs ET1		ET-1+BSP vs ET1		ET-1+JQ1 vs ET1	
	mean	log2(FC)	P-adj	log2(FC)	P-adj	log2(FC)	P-adj	log2(FC)	P-adj	log2(FC)	P-adj	log2(FC)	P-adj	log2(FC)	P-adj	log2(FC)	P-adj	log2(FC)	P-adj
Calm2	139,82	0,27	0,2858	0,03	0,9579	0,01	1,0000	0,16	0,8636	0,30	0,2127	-0,21	0,6810	0,00	0,9963	0,04	0,9736	0,29	0,2964
Calm3	106,53	0,51	0,0903	-0,40	0,2998	-0,31	1,0000	-0,42	0,4453	0,27	0,4751	-0,45	0,3169	-0,62	0,1092	-0,35	0,5557	0,22	0,6241
Calr	547,99	-0,20	0,4796	-0,60	0,0100	-0,54	0,0916	-0,04	0,9829	0,30	0,1906	-0,09	0,8551	-0,02	0,9765	0,07	0,9300	0,52	0,0089
Calr3	30,42	-0,61	0,1765	-1,56	0,0000	-0,05	1,0000	-0,96	0,0106	-2,60	0,0000	-1,08	0,0697	-0,05	0,9644	-1,08	0,0575	-2,41	0,0000
Calu	659,92	0,65	0,0000	-0,05	0,8836	-0,06	1,0000	-0,01	0,9884	0,10	0,6764	-0,16	0,7003	-0,34	0,2752	-0,43	0,1204	-0,34	0,2470
Camk1	26,96	-0,35	0,5050	-0,07	0,9390	0,05	NA	-0,17	0,9269	-0,90	0,0274	0,29	0,7325	0,10	0,9231	0,10	0,9551	-0,97	0,0521
Camk1d	188,94	0,36	0,4270	-0,45	0,3472	-0,49	0,5413	-0,70	0,1033	0,04	0,9384	-0,41	0,4027	-0,47	0,3199	-0,48	0,3509	0,05	0,9230
Camk1g	6,29	0,15	0,8608	1,10	0,0211	0,24	NA	-0,04	NA	-1,10	0,0539	1,36	0,0105	0,40	NA	-0,09	0,9633	-1,47	0,0165
Camk2a	116,48	-0,88	0,0031	-0,63	0,0540	-0,19	1,0000	-0,66	0,0606	-2,28	0,0000	-0,11	0,8972	0,28	0,6649	-0,12	0,9264	-1,62	0,0008
Camk2b	54,79	-0,31	0,3961	0,61	0,0410	0,41	0,6871	0,16	0,8998	-0,26	0,5531	0,39	0,4548	0,30	0,6087	0,37	0,5955	0,04	0,9467
Camk2d	825,63	0,78	0,0000	0,02	0,9627	-0,06	1,0000	-0,23	0,4968	-0,18	0,3098	0,32	0,3475	-0,02	0,9744	-0,24	0,5936	-0,48	0,0174
Camk2g	190,28	0,35	0,1320	-0,44	0,0506	-0,17	1,0000	-0,06	0,9634	0,29	0,1400	-0,57	0,0951	-0,46	0,2068	-0,10	0,9118	0,11	0,7639
Camk2n1	17,26	-0,56	0,2234	-0,23	0,7467	0,05	NA	0,14	0,9458	0,06	0,9310	0,25	0,8021	0,21	NA	0,32	0,7903	0,36	0,5950
Camk2n2	1,41	0,28	NA	0,42	0,4874	0,05	NA	-0,14	NA	0,08	0,9202	-0,10	NA	-0,02	NA	-0,31	NA	-0,49	NA
Camk4	1,58	0,48	NA	0,00	NA	-0,02	NA	0,02	NA	0,34	0,6230	-0,64	NA	-0,32	NA	-0,21	NA	0,07	0,9506
Camkk1	1,34	0,47	NA	0,75	0,1190	0,02	NA	-0,03	NA	0,45	0,4721	0,29	0,7891	0,02	NA	-0,17	NA	-0,60	NA
Camkk2	3,80	0,37	0,6140	1,06	0,0396	0,03	NA	-0,03	NA	-0,23	0,7794	0,65	0,4156	-0,05	NA	-0,33	NA	-0,39	0,6340
Camkmt	3,16	0,06	0,9486	0,26	0,7594	-0,12	NA	-0,33	NA	-0,32	0,6763	-0,59	0,4390	-0,24	NA	-0,34	NA	-0,68	0,3609
Caml	22,95	0,26	0,6140	-0,11	0,8952	0,05	NA	0,14	0,9440	0,25	0,6075	-0,54	0,4082	-0,04	0,9671	-0,29	0,7916	-0,08	0,9124
Camsap1	158,41	0,19	0,4947	0,06	0,8879	0,01	1,0000	0,14	0,8681	0,37	0,0443	-0,17	0,7400	0,01	0,9939	0,02	0,9911	0,22	0,5073
Camsap2	211,34	-0,08	0,8048	-0,33	0,1946	-0,12	1,0000	-0,02	0,9865	0,27	0,2023	-0,31	0,3913	0,22	0,6087	-0,03	0,9819	0,32	0,2791
Camsap3	3,10	-0,33	0,6564	0,81	0,1502	-0,04	NA	-0,45	NA	-0,61	0,3583	-0,02	NA	0,08	NA	-0,41	NA	0,06	0,9562
Camta1	334,28	0,09	0,7637	-0,05	0,9210	-0,06	1,0000	-0,13	0,9008	-0,20	0,4540	-0,03	0,9525	0,29	0,3895	0,02	0,9918	-0,08	0,7837
Camta2	117,68	0,00	0,9969	-0,35	0,2519	-0,16	1,0000	-0,41	0,2838	0,33	0,4444	-0,20	0,7411	-0,56	0,1626	-0,14	0,8781	0,51	0,2369
Cand1	231,04	-0,42	0,0415	-0,15	0,6330	0,09	1,0000	0,11	0,9124	-0,07	0,7814	-0,05	0,9442	0,37	0,3355	0,27	0,5936	0,25	0,3868
Cand2	327,41	-0,36	0,0565	-0,27	0,2811	-0,01	1,0000	-0,23	0,6039	-0,19	0,4135	-0,02	0,9788	0,01	0,9847	0,17	0,7593	-0,18	0,5602
Cant1	49,60	0,14	0,7844	-0,03	0,9703	0,21	1,0000	0,37	0,6068	0,48	0,1445	-0,07	0,9351	-0,08	0,9309	0,20	0,8343	0,21	0,6333
Canx	1747,67	0,13	0,5651	-0,24	0,3124	-0,15	1,0000	-0,06	0,9600	-0,09	0,6722	-0,30	0,2965	-0,07	0,8965	-0,19	0,6352	-0,19	0,5115
Cap1	144,25	-0,06	0,8625	0,24	0,4477	0,23	1,0000	0,09	0,9440	0,65	0,0002	0,18	0,7322	-0,02	0,9834	-0,07	0,9492	0,51	0,0812
Cap2	966,77	0,45	0,0399	-0,38	0,2069	-0,18	1,0000	-0,03	0,9853	-0,34	0,1447	-0,44	0,0714	-0,38	0,1578	-0,14	0,7939	-0,28	0,2013
Capn1	44,87	-0,18	0,7040	-1,15	0,0004	-0,08	1,0000	0,05	0,9853	-0,29	0,4781	-0,87	0,0760	-0,19	0,8170	-0,11	0,9400	-0,04	0,9514
Capn10	10,14	0,12	0,8853	0,21	0,8027	-0,07	NA	-0,01	0,9953	0,32	0,6065	0,10	0,9391	-0,04	NA	-0,56	0,5357	-0,06	0,9483
Capn12	1,58	0,15	NA	-0,16	NA	-0,05	NA	-0,07	NA	0,01	0,9876	-0,11	NA	-0,23	NA	-0,37	NA	-0,27	NA
Capn15	15,98	-0,12	0,8616	0,05	0,9632	-0,09	NA	-0,01	0,9967	0,09	0,8899	-0,47	0,5667	-0,06	NA	-0,30	0,8161	0,08	0,9277
Capn2	102,59	0,17	0,6606	-0,07	0,8898	0,14	1,0000	0,05	0,9764	-0,33	0,2371	-0,35	0,5016	-0,23	0,7037	-0,25	0,7442	-0,43	0,2057
Capn3	2,65	-0,91	0,0717	-0,75	0,1707	-0,02	NA	-0,21	NA	-1,28	0,0167	-0,08	NA	0,30	NA	-0,07	NA	-0,03	NA
Capn5	1,18	-0,29	NA	1,27	0,0079	0,02	NA	-0,12	NA	-0,37	0,5598	1,28	0,0264	0,14	NA	-0,11	NA	-0,15	NA
Capn7	151,54	-0,10	0,7450	-0,21	0,5051	0,04	1,0000	0,38	0,2283	0,11	0,6889	-0,08	0,9017	0,23	0,6078	0,35	0,3886	0,24	0,4488
Capns1	199,04	0,24	0,3620	-0,16	0,7003	-0,01	1,0000	-0,19	0,8255	-0,11	0,7240	-0,25	0,5653	-0,37	0,2843	-0,32	0,4310	-0,31	0,2035
Caprin1	524,27	0,12	0,6666	-0,21	0,2885	-0,06	1,0000	0,04	0,9770	0,09	0,6119	-0,40	0,2161	-0,08	0,8987	-0,02	0,9911	0,06	0,8691
Caprin2	29,04	-0,38	0,3532	0,84	0,0068	0,15	1,0000	0,36	0,6249	0,56	0,0683	0,84	0,0753	0,55	0,3257	0,37	0,6671	0,89	0,0086
Capza1	66,16	0,17	0,6511	0,37	0,2834	-0,01	1,0000	-0,04	0,9853	-0,01	0,9904	0,25	0,6763	-0,04	0,9666	0,13	0,9023	0,02	0,9706
Capza2	324,80	0,15	0,5551	-0,40	0,0623	-0,18	1,0000	0,06	0,9626	-0,05	0,8576	-0,19	0,6876	0,10	0,8581	0,18	0,7376	-0,01	0,9928
Capzb	244,89	0,22	0,4295	0,16	0,6470	0,17	1,0000	-0,07	0,9626	0,12	0,6995	0,17	0,7267	-0,32	0,4242	-0,27	0,5920	0,14	0,7268
Car11	3,56	-0,03	0,9802	0,74	0,2052	0,42	NA	-0,20	NA	-0,94	0,1090	0,89	0,2121	0,44	NA	-0,11	NA	-0,58	0,4401

GeneID	CTL	ET-1 vs CTL		SAHA vs CTL		JS28 vs CTL		BSP vs CTL		JQ1 vs CTL		ET-1+SAHA vs ET1		ET-1+JS28 vs ET1		ET-1+BSP vs ET1		ET-1+JQ1 vs ET1	
	mean	log2(FC)	P-adj	log2(FC)	P-adj	log2(FC)	P-adj	log2(FC)	P-adj	log2(FC)	P-adj	log2(FC)	P-adj	log2(FC)	P-adj	log2(FC)	P-adj	log2(FC)	P-adj
Car13	1,16	0,34	NA	-0,07	NA	0,15	NA	0,01	NA	0,07	NA	-0,36	NA	-0,25	NA	-0,37	NA	-0,19	NA
Car14	9,91	-0,63	0,2837	0,91	0,0376	0,07	NA	-0,55	0,4102	-1,94	0,0001	0,90	0,1495	0,35	NA	-0,15	NA	-0,98	0,1458
Car15	3,98	-0,63	0,2895	-0,44	0,5327	-0,21	NA	-0,02	NA	-0,87	0,1541	0,10	0,9360	0,03	NA	0,16	NA	0,12	0,9124
Car2	3,61	1,04	0,0344	0,10	0,9017	0,04	NA	0,08	NA	0,07	0,9308	-0,74	0,3284	-0,47	NA	-0,77	NA	-1,21	0,0609
Card14	2,44	-0,06	0,9478	-0,36	0,5328	-0,08	NA	-0,23	NA	0,35	0,6359	-0,06	0,9606	-0,05	NA	-0,28	NA	0,47	0,5631
Card6	8,31	0,02	0,9812	0,23	0,7849	0,05	NA	0,24	0,8670	1,76	0,0000	-0,02	0,9911	0,31	NA	0,26	0,8572	1,67	0,0001
Carf	25,46	-0,24	0,6261	-0,19	0,7686	0,10	NA	0,13	0,9437	-0,03	0,9534	0,01	0,9942	0,49	0,4260	0,09	0,9616	0,12	0,8455
Carhsp1	84,69	0,09	0,8491	0,30	0,4007	0,03	1,0000	0,17	0,8660	1,09	0,0000	0,12	0,8641	-0,33	0,5354	0,18	0,8472	1,19	0,0000
Carkd	34,25	0,36	0,4185	0,11	0,8775	-0,10	NA	0,14	0,9437	0,40	0,3034	0,15	0,8557	-0,45	0,4542	0,19	0,8638	-0,04	0,9530
Carm1	114,38	0,11	0,7753	-0,14	0,7298	-0,03	1,0000	-0,22	0,7563	-0,01	0,9826	-0,25	0,6494	-0,38	0,4199	-0,17	0,8389	0,01	0,9945
Carns1	40,26	-0,24	0,6726	-0,06	0,9493	-0,12	1,0000	-1,02	0,0084	-1,91	0,0000	0,07	0,9444	0,11	0,9062	-0,55	0,4427	-1,46	0,0014
Cars	76,24	0,76	0,0552	-0,25	0,6673	-0,23	1,0000	-0,39	0,6060	0,71	0,0198	-1,25	0,0065	-1,21	0,0036	-1,06	0,0227	-0,10	0,8886
Cars2	35,98	-0,48	0,1889	-0,33	0,4931	-0,20	1,0000	-0,19	0,8903	-0,16	0,7043	0,03	0,9805	-0,16	0,8558	0,37	0,6486	0,27	0,6095
Casc1	1,14	-0,38	NA	0,42	0,5110	0,05	NA	0,04	NA	-0,22	0,7564	0,66	NA	-0,06	NA	-0,07	NA	0,21	NA
Casc3	79,21	0,04	0,9258	-0,09	0,8754	0,05	1,0000	0,18	0,8671	1,09	0,0000	-0,32	0,5368	-0,26	0,6505	0,28	0,6667	0,87	0,0003
Casc4	159,04	-0,18	0,5682	0,07	0,8747	0,11	1,0000	0,33	0,4526	0,40	0,0658	0,18	0,7478	0,50	0,1572	0,35	0,4329	0,67	0,0036
Casc5	3,84	-0,37	0,6033	-0,01	0,9940	0,25	NA	0,32	NA	0,49	0,4577	0,30	0,7762	0,68	NA	0,27	NA	0,44	0,5953
Casd1	113,88	-0,25	0,4295	-1,23	0,0000	-0,04	1,0000	0,04	0,9853	-0,59	0,0301	-0,62	0,1029	0,22	0,6790	0,00	0,9993	-0,32	0,5071
Cask	65,82	-0,18	0,6183	-0,13	0,7976	-0,17	1,0000	-0,11	0,9430	0,11	0,7455	-0,05	0,9494	0,08	0,9217	0,19	0,8285	0,23	0,5096
Caskin1	3,27	-0,59	0,3334	0,36	0,6485	-0,11	NA	-0,29	NA	-0,45	0,5226	0,36	0,7007	0,18	NA	0,36	NA	-0,13	NA
Caskin2	77,50	-0,04	0,9350	-0,09	0,8782	0,07	1,0000	-0,12	0,9430	-0,31	0,4240	-0,33	0,5486	-0,42	0,3877	0,22	0,7865	0,10	0,8769
Casp12	29,80	-1,03	0,0030	-2,33	0,0000	-0,44	0,7615	-0,83	0,0366	-2,51	0,0000	-0,85	0,2143	0,25	NA	-0,71	0,3405	-1,81	0,0006
Casp2	51,13	-0,41	0,2365	-0,16	0,7661	-0,05	1,0000	-0,11	0,9500	-0,45	0,2120	0,24	0,7308	0,41	0,4453	0,21	0,8386	0,17	0,7305
Casp3	66,02	-0,41	0,1279	0,44	0,1155	0,03	1,0000	-0,07	0,9654	0,22	0,4230	0,55	0,1970	0,31	0,5746	0,29	0,6900	0,39	0,2882
Casp6	12,34	-0,27	0,6640	0,09	0,9284	0,05	NA	0,08	0,9747	-0,76	0,1429	0,31	0,7556	0,51	NA	-0,45	0,6623	-0,77	0,1994
Casp7	10,92	0,08	0,9252	-0,83	0,1334	-0,03	NA	-0,08	0,9763	-0,13	0,8565	-0,90	0,1925	-0,10	NA	0,01	0,9980	-0,40	0,5597
Casp8	2,06	0,01	NA	-0,14	0,8743	-0,02	NA	-0,27	NA	-0,75	0,1591	-0,28	NA	0,14	NA	-0,22	NA	-0,68	NA
Casp8ap2	60,41	-0,03	0,9613	0,21	0,6807	-0,14	1,0000	0,24	0,8027	0,09	0,8407	0,19	0,7960	0,29	0,6210	0,23	0,7891	0,07	0,9046
Casp9	33,52	-0,40	0,2821	-0,02	0,9804	-0,20	1,0000	-0,14	0,9389	0,08	0,8676	0,29	0,7110	0,06	0,9589	0,12	0,9373	0,78	0,0471
Casq1	110,58	0,45	0,4964	-0,27	0,7314	-0,14	1,0000	-0,35	0,5913	-1,33	0,0155	-0,61	0,4605	-0,34	0,6910	-1,17	0,0393	-2,63	0,0000
Casq2	699,53	0,92	0,0000	-0,99	0,0005	-0,19	1,0000	-0,54	0,1760	-0,44	0,1592	-0,86	0,0001	-0,24	0,5438	-0,03	0,9745	-0,21	0,4216
Cast	249,09	-0,09	0,7896	-0,40	0,0793	-0,19	1,0000	-0,31	0,4453	-0,05	0,8771	-0,43	0,2261	-0,14	0,8122	-0,15	0,8343	0,09	0,7891
Casz1	219,35	0,22	0,4876	-0,14	0,7541	-0,20	1,0000	-0,31	0,5418	-0,02	0,9641	-0,37	0,3466	-0,30	0,4789	-0,21	0,7183	-0,02	0,9747
Cat	204,77	-0,42	0,0435	-0,63	0,0034	-0,09	1,0000	0,06	0,9723	0,01	0,9760	-0,26	0,5667	0,27	0,5247	0,08	0,9334	0,41	0,0882
Catsper2	13,49	-0,71	0,1375	-0,45	0,4737	-0,22	NA	-0,36	0,7138	-0,78	0,1050	-0,17	0,8888	0,41	NA	0,10	0,9619	-0,64	0,3486
Cav1	95,74	-0,28	0,5832	-0,73	0,0944	-0,23	1,0000	-0,57	0,3025	-1,43	0,0001	-0,34	0,5578	-0,27	0,6411	-0,10	0,9347	-1,12	0,0006
Cav3	144,94	0,70	0,0040	-0,24	0,5727	0,08	1,0000	-0,08	0,9674	-1,49	0,0000	-0,26	0,5897	-0,44	0,2996	-0,18	0,8107	-0,99	0,0044
Cbfa2t2	102,79	-0,16	0,6059	-0,08	0,8666	-0,02	1,0000	0,03	0,9853	0,18	0,5483	0,12	0,8437	0,09	0,8910	-0,04	0,9829	0,16	0,6449
Cbfa2t3	44,46	-0,43	0,4039	0,82	0,0238	0,36	0,9896	0,77	0,0406	-0,59	0,2189	0,57	0,3727	0,12	0,9037	0,33	0,7454	-1,01	0,0605
Cbfb	118,13	0,06	0,8923	-0,57	0,0525	-0,11	1,0000	0,04	0,9853	-0,16	0,6363	-0,06	0,9265	0,38	0,3333	-0,29	0,5934	-0,11	0,8415
Cbl	74,13	-0,14	0,7200	0,16	0,7071	-0,12	1,0000	0,08	0,9602	0,01	0,9766	0,26	0,6565	0,07	0,9271	-0,06	0,9641	0,56	0,0818
Cblb	197,39	-0,62	0,0014	-0,57	0,0030	-0,32	0,6468	-0,19	0,7365	0,23	0,3986	-0,34	0,4534	0,19	0,7226	0,27	0,6358	0,84	0,0018
Cbill1	55,14	0,04	0,9446	0,28	0,4848	0,00	1,0000	0,13	0,9318	0,22	0,5541	0,18	0,7990	0,02	0,9843	0,06	0,9731	0,37	0,2851
Cbr1	33,50	-0,32	0,4623	-0,28	0,6108	-0,03	1,0000	-0,23	0,8554	0,21	0,6158	-0,19	0,8292	0,02	0,9837	-0,11	0,9421	0,38	0,4273
Cbr4	37,45	0,05	0,9421	0,02	0,9779	0,17	1,0000	0,12	0,9486	0,24	0,5829	-0,02	0,9837	0,13	0,8876	0,08	0,9612	-0,12	0,8410

GeneID	CTL	ET-1 vs CTL		SAHA vs CTL		JS28 vs CTL		BSP vs CTL		JQ1 vs CTL		ET-1+SAHA vs ET1		ET-1+JS28 vs ET1		ET-1+BSP vs ET1		ET-1+JQ1 vs ET1	
	mean	log2(FC)	P-adj	log2(FC)	P-adj	log2(FC)	P-adj	log2(FC)	P-adj	log2(FC)	P-adj	log2(FC)	P-adj	log2(FC)	P-adj	log2(FC)	P-adj	log2(FC)	P-adj
Cbwd1	32,63	0,22	0,6256	0,42	0,3202	0,16	1,0000	0,11	0,9604	-0,11	0,8407	0,35	0,5756	-0,17	0,8384	-0,07	0,9693	0,11	0,8723
Cbx1	49,62	-0,11	0,8011	0,04	0,9503	-0,20	1,0000	-0,12	0,9430	0,01	0,9796	-0,09	0,9144	0,04	0,9692	0,36	0,5908	0,23	0,6248
Cbx2	17,49	-0,15	0,8289	0,34	0,5915	0,16	NA	0,35	0,7167	1,14	0,0005	0,23	0,8118	-0,35	NA	0,37	0,7142	0,99	0,0087
Cbx3	65,64	0,32	0,3187	-0,16	0,7724	0,20	1,0000	0,09	0,9634	0,02	0,9654	0,00	0,9976	0,15	0,8354	-0,19	0,8285	-0,17	0,7000
Cbx4	57,99	0,35	0,2801	0,11	0,8520	-0,25	1,0000	0,29	0,6886	1,17	0,0000	-0,18	0,7960	-0,12	0,8812	-0,10	0,9335	0,76	0,0235
Cbx5	717,36	-0,17	0,4696	-0,97	0,0000	-0,41	0,1344	-0,41	0,0572	-0,48	0,0016	-0,59	0,0289	-0,25	0,5043	-0,62	0,0136	-0,24	0,3365
Cbx6	153,13	-0,64	0,0067	-0,46	0,0730	-0,03	1,0000	0,00	0,9986	0,18	0,6199	-0,20	0,7564	0,23	0,6907	0,40	0,4329	0,63	0,0939
Cbx7	16,14	-0,61	0,2190	0,25	0,7120	0,12	NA	-0,06	0,9852	0,01	0,9849	0,18	0,8730	-0,14	NA	0,10	0,9615	0,30	0,7012
Cbx8	6,60	-0,05	0,9584	-0,48	0,4916	-0,09	NA	0,24	0,8646	0,52	0,3696	-0,61	0,4493	-0,43	NA	0,09	0,9686	0,25	0,7729
Cyb1	12,43	0,35	0,5442	-0,10	0,9256	0,09	NA	0,07	0,9798	0,07	0,9270	-0,34	0,7155	-0,30	NA	-0,26	0,8446	-0,11	0,8829
Cc2d1a	62,38	-0,33	0,2801	0,18	0,7087	0,23	1,0000	-0,22	0,8044	-0,84	0,0071	-0,22	0,7597	0,17	0,8175	-0,08	0,9570	-0,72	0,0810
Cc2d1b	53,49	-0,12	0,7928	-0,11	0,8391	-0,06	1,0000	0,00	0,9986	0,57	0,0271	-0,32	0,6184	-0,04	0,9634	0,32	0,6531	0,47	0,1647
Cc2d2a	33,13	-0,72	0,0551	-0,85	0,0125	-0,23	1,0000	-0,16	0,9158	-1,05	0,0008	-0,25	0,7985	0,32	0,6832	-0,16	0,9228	-0,90	0,1028
Ccar1	167,70	0,13	0,7238	0,14	0,7282	0,05	1,0000	0,35	0,3898	0,36	0,1553	-0,07	0,9155	0,19	0,7117	0,34	0,4868	0,29	0,4624
Ccar2	39,19	-0,38	0,3337	0,09	0,9010	-0,15	1,0000	-0,09	0,9681	0,58	0,0736	0,05	0,9627	0,12	0,8988	0,39	0,5934	0,78	0,0552
Ccbl1	29,41	0,01	0,9921	0,68	0,0615	0,03	NA	0,06	0,9837	0,42	0,2614	0,49	0,3949	0,03	0,9780	0,21	0,8472	0,05	0,9305
Ccbl2	6,91	-0,13	0,8767	1,27	0,0026	0,30	NA	0,37	0,7006	0,59	0,2801	1,44	0,0051	0,27	NA	0,16	0,9264	0,99	0,0619
Ccdc101	17,37	0,00	0,9975	-0,50	0,3825	-0,11	NA	0,08	0,9746	0,24	0,6542	-0,24	0,8061	-0,03	NA	0,06	0,9812	0,64	0,1493
Ccdc102a	34,07	-0,06	0,9350	-0,60	0,2011	-0,08	1,0000	-0,13	0,9500	-0,79	0,0558	-0,63	0,3200	-0,30	0,6852	-0,16	0,9091	-0,25	0,6542
Ccdc103	1,11	-0,09	NA	0,44	0,4799	-0,05	NA	-0,12	NA	0,16	0,8396	0,78	0,2525	0,02	NA	-0,06	NA	-0,18	NA
Ccdc104	100,06	-0,29	0,3878	0,33	0,3472	-0,01	1,0000	-0,02	0,9867	-0,87	0,0005	0,58	0,1713	0,51	0,2178	0,07	0,9568	-0,55	0,1773
Ccdc107	12,19	0,42	0,4759	0,46	0,4860	0,04	NA	0,23	0,8786	1,02	0,0273	0,42	0,5971	-0,20	NA	-0,12	0,9494	0,69	0,1426
Ccdc110	1,29	-0,01	NA	-0,32	NA	-0,03	NA	-0,13	NA	-0,35	NA	-0,33	NA	-0,17	NA	-0,19	NA	-0,14	NA
Ccdc112	22,70	0,18	0,7900	0,45	0,4114	-0,05	NA	0,04	0,9853	-0,09	0,8908	-0,15	0,8877	0,03	0,9777	-0,31	0,7915	-0,07	0,9292
Ccdc115	22,35	0,41	0,3478	-0,08	0,9317	-0,02	NA	-0,07	0,9798	-0,39	0,4347	0,01	0,9914	-0,02	0,9834	-0,51	0,5007	-0,68	0,1210
Ccdc117	64,56	-0,26	0,5051	-0,31	0,4812	-0,04	1,0000	0,10	0,9534	-0,20	0,5810	-0,20	0,7796	0,04	0,9629	0,03	0,9911	0,12	0,7982
Ccdc12	17,10	-0,09	0,9123	-0,69	0,2070	-0,15	NA	-0,32	0,7712	-0,46	0,4015	-0,63	0,3930	-0,14	NA	-0,16	0,9181	0,04	0,9635
Ccdc122	7,62	-0,49	0,4406	0,24	0,7793	0,15	NA	-0,15	0,9417	-0,70	0,2509	0,50	0,5802	0,40	NA	-0,02	NA	-0,15	0,8788
Ccdc124	35,61	0,10	0,8683	0,32	0,5988	0,08	1,0000	-0,04	0,9853	0,07	0,8975	0,40	0,5226	-0,26	0,7160	-0,06	0,9784	0,23	0,6459
Ccdc126	13,77	-0,58	0,2342	0,12	0,8895	0,32	NA	0,06	0,9852	-0,21	0,7278	0,29	0,7715	0,95	NA	0,16	0,9292	0,10	0,9047
Ccdc127	93,70	-0,12	0,7636	0,07	0,8884	-0,03	1,0000	0,22	0,7418	0,72	0,0002	0,52	0,2109	0,32	0,5083	0,53	0,1925	0,91	0,0003
Ccdc130	26,49	-0,18	0,7727	0,05	0,9578	0,00	NA	-0,13	0,9472	0,06	0,9141	0,11	0,9180	0,09	0,9360	0,36	0,7001	0,29	0,5922
Ccdc132	72,95	-0,18	0,6288	0,07	0,8924	-0,14	1,0000	0,03	0,9853	-0,42	0,1050	0,14	0,8514	0,11	0,8837	0,07	0,9616	-0,23	0,6378
Ccdc134	8,12	0,23	0,7604	-0,14	0,8899	-0,06	NA	0,00	0,9988	-0,28	0,7056	0,00	0,9986	-0,09	NA	-0,30	0,8285	0,26	0,7185
Ccdc136	86,85	-0,50	0,0373	0,64	0,0057	0,11	1,0000	0,36	0,3898	-0,13	0,6664	0,70	0,0449	0,15	0,8260	0,23	0,7668	-0,20	0,6037
Ccdc137	29,11	0,36	0,4377	-0,70	0,1214	-0,28	NA	-0,12	0,9563	-0,10	0,8460	-0,97	0,0606	-0,41	0,5308	-0,42	0,6422	-0,46	0,3600
Ccdc138	4,23	-0,44	0,5211	0,10	0,9257	-0,02	NA	-0,07	NA	0,03	0,9711	0,25	0,8193	0,29	NA	0,20	NA	0,39	0,6462
Ccdc14	19,81	0,19	0,7717	0,53	0,2908	-0,04	NA	-0,29	0,8147	-0,66	0,1952	0,11	0,9192	-0,06	0,9628	-0,62	0,4172	-0,82	0,1142
Ccdc141	403,51	-0,19	0,6668	-0,41	0,1998	0,03	1,0000	0,03	0,9853	-0,95	0,0000	-0,17	0,7891	0,26	0,6289	0,27	0,6935	-0,93	0,0042
Ccdc142	7,10	-0,65	0,2463	-0,37	0,6203	-0,09	NA	-0,60	0,3038	0,04	0,9634	-0,13	0,9201	-0,01	NA	0,52	0,5940	0,42	0,5853
Ccdc146	1,29	-0,11	NA	-0,07	0,9393	0,05	NA	-0,15	NA	-0,41	NA	0,16	NA	0,06	NA	0,04	NA	-0,37	NA
Ccdc147	3,24	0,07	0,9401	-0,67	0,2070	-0,11	NA	-0,32	NA	-1,05	0,0501	-0,47	0,5841	-0,33	NA	-0,54	NA	-0,69	0,3251
Ccdc149	13,95	-0,57	0,2675	-0,66	0,2345	-0,10	NA	-0,39	0,6765	-1,24	0,0076	-0,11	0,9328	0,28	NA	-0,08	0,9740	-0,27	0,7280
Ccdc15	10,18	-0,14	0,8561	-0,02	0,9895	0,12	NA	0,15	0,9430	-0,21	0,7517	-0,93	0,1787	0,11	NA	0,27	0,8472	-0,04	0,9662
Ccdc157	17,09	-0,19	0,7853	-0,01	0,9919	-0,04	NA	-0,23	0,8797	-0,11	0,8668	-0,11	0,9257	0,12	NA	0,22	0,8666	-0,02	0,9839

GeneID	CTL	ET-1 vs CTL		SAHA vs CTL		JS28 vs CTL		BSP vs CTL		JQ1 vs CTL		ET-1+SAHA vs ET1		ET-1+JS28 vs ET1		ET-1+BSP vs ET1		ET-1+JQ1 vs ET1	
	mean	log2(FC)	P-adj	log2(FC)	P-adj	log2(FC)	P-adj	log2(FC)	P-adj	log2(FC)	P-adj	log2(FC)	P-adj	log2(FC)	P-adj	log2(FC)	P-adj	log2(FC)	P-adj
Ccdc159	4,70	-0,28	0,7156	-0,19	0,8383	-0,08	NA	-0,31	NA	-0,72	0,2592	0,24	0,8344	0,02	NA	-0,65	NA	0,06	0,9530
Ccdc163	1,94	-0,02	NA	0,16	0,8492	0,07	NA	0,29	NA	0,79	0,2048	0,22	0,8343	0,22	NA	0,40	NA	0,25	0,7820
Ccdc166	1,59	-0,04	NA	-0,35	0,5408	0,06	NA	-0,09	NA	-0,20	0,7846	-0,21	NA	0,10	NA	0,04	NA	0,00	NA
Ccdc167	17,69	-0,08	0,9107	-0,09	0,9239	0,09	NA	0,19	0,9088	0,14	0,8171	0,09	0,9368	0,29	NA	0,30	0,7884	0,10	0,8894
Ccdc17	4,84	0,20	0,8106	0,32	0,6988	0,44	NA	0,08	NA	-0,17	0,8323	0,21	0,8555	-0,21	NA	-0,19	NA	-0,68	0,3472
Ccdc171	15,52	-0,63	0,1834	0,22	0,7479	-0,08	NA	-0,39	0,6648	-0,39	0,4809	0,61	0,4148	0,45	NA	-0,03	0,9921	0,21	0,7891
Ccdc173	6,27	-0,45	0,5065	0,07	0,9544	0,11	NA	0,06	0,9853	-0,50	0,4534	0,07	0,9596	0,43	NA	0,23	NA	-0,09	0,9321
Ccdc174	26,11	0,15	0,7896	0,22	0,7237	0,31	NA	0,20	0,8929	0,06	0,9251	0,05	0,9601	0,39	0,5308	-0,18	0,8915	-0,16	0,7652
Ccdc176	5,31	-0,06	0,9492	0,23	0,8031	0,00	NA	0,09	NA	0,40	0,5685	0,38	0,7131	0,22	NA	0,26	0,8567	0,20	0,8200
Ccdc18	2,33	-0,33	0,6355	0,22	0,7996	0,08	NA	0,22	NA	0,35	0,6398	0,44	0,6100	0,11	NA	0,23	NA	0,47	0,5611
Ccdc181	30,57	-0,57	0,1212	-0,05	0,9547	0,07	1,0000	0,14	0,9389	-0,48	0,1932	0,10	0,9316	0,45	0,4741	0,31	0,7644	-0,01	0,9945
Ccdc22	16,09	0,12	0,8729	0,01	0,9920	0,29	NA	0,07	0,9805	-0,84	0,0894	0,16	0,8856	-0,05	NA	-0,70	0,3539	-0,89	0,0983
Ccdc23	16,05	-0,07	0,9315	0,05	0,9599	-0,01	NA	0,12	0,9608	-0,67	0,1750	0,09	0,9394	0,15	NA	0,20	0,8915	-0,59	0,3186
Ccdc24	5,02	0,10	0,9083	0,07	0,9518	-0,03	NA	0,08	NA	0,57	0,3729	-0,16	0,8999	-0,08	NA	0,21	0,8970	-0,11	0,9167
Ccdc25	99,38	0,37	0,1818	0,42	0,1823	0,05	1,0000	0,25	0,7291	-0,02	0,9711	0,09	0,8954	-0,03	0,9733	-0,01	0,9966	-0,26	0,4668
Ccdc28a	8,44	-0,30	0,6750	0,07	0,9487	0,01	NA	-0,03	0,9884	0,05	0,9507	0,60	0,4534	0,24	NA	0,00	1,0000	0,18	0,8314
Ccdc28b	18,42	-0,18	0,7759	-0,03	0,9776	0,08	NA	-0,14	0,9482	-0,06	0,9238	0,05	0,9635	-0,16	NA	0,11	0,9494	0,14	0,8369
Ccdc30	2,12	-0,71	NA	0,47	0,4937	-0,14	NA	-0,27	NA	-0,31	0,6812	0,84	NA	0,26	NA	0,11	NA	0,13	NA
Ccdc32	16,97	0,48	0,2949	0,02	0,9824	0,08	NA	0,06	0,9853	-0,15	0,8177	-0,21	0,8292	-0,15	NA	0,02	0,9936	-0,52	0,3278
Ccdc34	56,23	-0,68	0,0179	-0,45	0,2478	-0,15	1,0000	-0,76	0,0210	-1,35	0,0000	0,10	0,9186	0,62	0,1769	0,01	0,9971	-0,52	0,2484
Ccdc43	57,64	0,26	0,4646	-0,27	0,5563	-0,02	1,0000	-0,08	0,9708	-0,21	0,5613	-0,20	0,7613	0,00	0,9963	-0,16	0,8656	-0,40	0,2622
Ccdc47	360,99	0,05	0,8527	0,01	0,9765	-0,14	1,0000	0,09	0,9272	-0,17	0,5080	0,03	0,9649	0,04	0,9432	0,00	0,9998	-0,32	0,3655
Ccdc50	217,90	0,04	0,9117	-0,11	0,7947	0,08	1,0000	-0,04	0,9853	-0,20	0,3685	-0,16	0,7574	0,13	0,8140	-0,06	0,9481	-0,17	0,5361
Ccdc51	6,85	0,02	0,9836	-0,15	0,8782	0,02	NA	-0,17	NA	-0,44	0,5135	0,08	0,9530	-0,03	NA	-0,21	0,8985	-0,54	0,4589
Ccdc53	25,17	-0,11	0,8539	-0,37	0,4976	0,14	NA	-0,14	0,9449	-0,62	0,1294	-0,26	0,7672	-0,30	0,6955	-0,46	0,5858	-0,60	0,2318
Ccdc55	98,83	0,11	0,8099	0,20	0,6189	0,25	1,0000	0,25	0,7148	0,05	0,8922	-0,22	0,7594	0,36	0,4789	0,29	0,6673	-0,16	0,7121
Ccdc57	8,85	0,12	0,8820	0,23	0,7841	0,02	NA	-0,07	0,9805	-0,76	0,1968	-0,15	0,9044	-0,09	NA	-0,31	0,8214	-1,00	0,1047
Ccdc58	26,01	0,48	0,2169	-0,06	0,9444	0,14	NA	-0,23	0,8683	-0,20	0,7097	-0,31	0,6853	-0,21	0,7939	-0,32	0,7343	-0,90	0,0354
Ccdc59	34,82	0,35	0,3678	-0,17	0,7995	-0,26	NA	-0,39	0,6211	-0,25	0,6143	-0,33	0,6246	-0,46	0,4196	-0,47	0,4773	-0,93	0,0103
Ccdc6	139,29	0,09	0,8366	-0,06	0,9067	0,02	1,0000	0,00	0,9986	0,29	0,2464	-0,40	0,3520	-0,40	0,3353	-0,44	0,3128	0,33	0,2556
Ccdc61	5,21	0,42	0,5328	0,74	0,2058	0,19	NA	0,24	NA	1,05	0,0484	0,05	0,9737	-0,36	NA	0,16	0,9286	0,01	0,9958
Ccdc62	7,40	-0,50	0,4070	0,27	0,7332	-0,11	NA	0,27	0,8399	0,56	0,2826	0,47	0,6141	0,43	NA	0,47	0,6531	0,46	0,5328
Ccdc63	4,14	0,05	0,9321	-0,07	0,8332	-0,03	NA	-0,04	NA	-0,20	NA	-0,36	0,7176	0,01	NA	-0,67	NA	-0,35	0,6835
Ccdc64	2,18	0,09	NA	0,60	0,3281	0,05	NA	0,27	NA	0,55	0,4173	0,20	0,8610	0,01	NA	0,26	NA	0,21	0,8262
Ccdc66	62,01	-0,17	0,7036	0,11	0,8532	-0,02	1,0000	0,00	0,9988	-0,52	0,0999	0,18	0,8095	0,35	0,5261	0,25	0,7772	-0,25	0,6075
Ccdc69	30,38	0,04	0,9485	-1,39	0,0003	-0,12	NA	-0,36	0,6921	-2,08	0,0000	-0,82	0,1199	-0,06	0,9554	-0,45	0,5557	-1,21	0,0019
Ccdc71	39,77	-0,17	0,7450	-0,18	0,7762	0,03	1,0000	-0,28	0,7841	0,22	0,6041	-0,05	0,9601	-0,17	0,8392	0,05	0,9818	0,30	0,5052
Ccdc711	26,58	0,21	0,6731	-0,58	0,2336	0,05	NA	0,31	0,7443	0,08	0,8884	-0,43	0,5149	-0,03	0,9768	-0,50	0,4910	-0,26	0,6382
Ccdc77	24,39	0,09	0,8926	-0,40	0,4843	-0,27	NA	-0,06	0,9837	-0,32	0,5289	-0,60	0,3966	0,00	0,9975	-0,41	0,6743	-0,47	0,4118
Ccdc8	27,34	-0,08	0,9032	-0,46	0,4255	-0,07	NA	-0,36	0,6986	-0,90	0,0322	-0,28	0,7413	-0,63	0,2966	-0,49	0,5471	-0,93	0,0676
Ccdc80	6,54	-0,74	0,1881	-0,31	0,7075	-0,03	NA	-0,34	0,7338	-1,49	0,0051	0,46	0,6108	0,31	NA	-0,08	NA	-0,52	0,4563
Ccdc82	29,36	-0,38	0,3989	-0,40	0,4583	0,07	1,0000	-0,14	0,9440	-0,38	0,4183	-0,43	0,5573	0,39	0,5479	-0,03	0,9918	-0,34	0,5223
Ccdc84	9,89	-0,34	0,5971	-0,44	0,5112	0,02	NA	-0,35	0,7334	0,38	0,5159	-0,15	0,9046	-0,08	NA	0,00	1,0000	0,71	0,2261
Ccdc85a	1,47	-0,60	NA	-0,28	0,7073	-0,07	NA	-0,18	NA	-0,71	0,2208	-0,08	NA	0,06	NA	-0,01	NA	0,04	NA
Ccdc85b	8,21	-0,10	0,9027	0,18	0,8438	-0,07	NA	0,11	0,9628	0,22	0,7471	0,55	0,5019	-0,04	NA	0,11	0,9570	0,24	0,7544

GeneID	CTL	ET-1 vs CTL		SAHA vs CTL		JS28 vs CTL		BSP vs CTL		JQ1 vs CTL		ET-1+SAHA vs ET1		ET-1+JS28 vs ET1		ET-1+BSP vs ET1		ET-1+JQ1 vs ET1	
	mean	log2(FC)	P-adj	log2(FC)	P-adj	log2(FC)	P-adj	log2(FC)	P-adj	log2(FC)	P-adj	log2(FC)	P-adj	log2(FC)	P-adj	log2(FC)	P-adj	log2(FC)	P-adj
Ccdc85c	10,76	-0,78	0,1161	0,09	0,9332	-0,06	NA	-0,29	0,8147	-0,11	0,8804	0,65	0,4110	0,38	NA	0,36	0,7712	0,63	0,3325
Ccdc86	34,82	0,72	0,0271	0,05	0,9574	-0,40	NA	-0,21	0,8807	0,02	0,9685	-0,70	0,1751	-0,88	0,0529	-0,99	0,0305	-0,40	0,4001
Ccdc88a	277,48	0,19	0,5120	0,15	0,6447	-0,02	1,0000	0,57	0,0051	0,72	0,0001	-0,23	0,6692	0,22	0,6711	0,49	0,1710	0,73	0,0342
Ccdc88c	3,76	-0,19	0,8208	0,59	0,3568	0,07	NA	0,05	NA	-0,23	0,7779	0,61	0,4539	-0,08	NA	-0,10	NA	-0,15	0,8810
Ccdc89	1,02	-0,17	NA	-0,18	0,7947	0,02	NA	-0,04	NA	-0,35	NA	0,09	NA	-0,11	NA	-0,12	NA	-0,14	NA
Ccdc9	15,65	0,30	0,6183	-0,23	0,7809	0,04	NA	0,18	0,9243	1,14	0,0021	-0,59	0,4125	-0,25	NA	-0,09	0,9636	0,52	0,3320
Ccdc90b	41,21	-0,43	0,2404	-0,01	0,9888	-0,11	1,0000	0,05	0,9829	0,05	0,9068	0,33	0,6289	0,35	0,5851	0,19	0,8772	0,40	0,3600
Ccdc91	34,00	-0,22	0,6268	-0,92	0,0101	0,08	1,0000	0,08	0,9707	-0,27	0,5048	-0,25	0,7571	0,42	0,4600	0,40	0,5893	0,07	0,9182
Ccdc92	7,95	-0,32	0,6538	0,37	0,6253	0,09	NA	0,00	0,9988	0,03	0,9766	0,62	0,4376	-0,19	NA	0,25	0,8655	0,48	0,4924
Ccdc93	77,21	0,12	0,7744	0,10	0,8476	0,29	1,0000	0,14	0,9211	0,13	0,7078	-0,18	0,7691	0,07	0,9235	-0,01	0,9980	-0,25	0,4795
Ccdc94	11,55	-0,04	0,9619	-0,77	0,1699	-0,23	NA	-0,22	0,8947	0,06	0,9434	-0,26	0,8143	-0,15	NA	-0,24	0,8722	0,17	0,8323
Ccdc97	74,77	0,05	0,9151	-0,02	0,9712	0,11	1,0000	-0,12	0,9372	0,59	0,0918	-0,25	0,6953	-0,53	0,2427	-0,10	0,9318	0,65	0,0725
Cchr1	8,58	-0,24	0,7450	0,16	0,8532	0,05	NA	-0,41	0,6324	-0,49	0,4198	0,45	0,6224	-0,10	NA	-0,49	0,6187	-0,54	0,4515
Ccl25	25,85	-0,03	0,9663	-0,17	0,8144	-0,01	NA	-0,21	0,8842	0,16	0,7278	-0,41	0,5919	0,12	0,8994	0,26	0,8159	0,13	0,8396
Ccm2	37,05	0,16	0,7534	0,17	0,7629	0,04	1,0000	-0,05	0,9853	0,43	0,2116	-0,23	0,7672	-0,07	0,9432	0,05	0,9789	0,29	0,4998
Ccna2	11,23	-0,20	0,8078	-0,11	0,9157	0,15	NA	0,00	0,9986	-0,12	0,8662	-0,63	0,4383	0,05	NA	-0,20	0,9065	-0,35	0,6636
Ccnb1	3,63	-0,04	0,9698	0,14	0,8810	0,12	NA	0,12	NA	-0,02	0,9836	-0,46	0,5472	-0,10	NA	-0,08	NA	-0,51	0,5204
Ccnb2	4,18	-0,24	0,7704	-0,48	0,4850	0,19	NA	-0,03	NA	-0,12	0,8844	-0,45	0,5980	0,07	NA	-0,18	NA	-0,15	0,8802
Ccnc	46,35	0,17	0,6667	-0,01	0,9867	0,03	1,0000	0,24	0,8055	-0,07	0,8815	0,26	0,6722	0,18	0,8002	0,03	0,9882	-0,13	0,8159
Ccnd1	71,35	0,95	0,0017	-0,01	0,9899	-0,14	1,0000	-0,85	0,0367	-1,85	0,0000	-0,57	0,1787	-0,89	0,0132	-1,75	0,0000	-2,04	0,0000
Ccnd2	782,84	0,33	0,1074	-0,64	0,0002	-0,39	0,2671	-0,68	0,0001	-0,04	0,8941	-0,75	0,0040	-0,37	0,2671	-0,77	0,0010	-0,09	0,7900
Ccnd3	151,50	-0,29	0,4631	-0,16	0,7503	-0,20	1,0000	-0,55	0,1767	-0,22	0,5283	0,02	0,9882	-0,17	0,8087	-0,33	0,6122	0,22	0,6378
Ccndbp1	76,30	-0,31	0,3260	0,03	0,9668	-0,04	1,0000	0,03	0,9853	0,14	0,6674	0,44	0,3402	0,06	0,9415	0,22	0,7954	0,26	0,5074
Ccne1	4,15	0,01	0,9901	0,99	0,0575	0,23	NA	0,01	NA	-0,39	0,5956	1,16	0,0573	0,00	NA	-0,39	NA	0,28	0,7419
Ccne2	7,69	-0,18	0,8317	-0,13	0,8940	-0,03	NA	-0,13	0,9516	-0,44	0,5322	0,22	0,8493	0,23	NA	-0,30	0,8285	0,19	0,8217
Ccnf	2,46	-0,17	0,8323	0,39	0,5941	0,11	NA	0,22	NA	0,68	0,2861	0,18	0,8707	0,08	NA	0,13	NA	0,81	0,2544
Ccng1	2600,39	0,00	0,9867	-0,32	0,0096	-0,39	0,0126	-0,67	0,0000	-0,56	0,0069	0,04	0,9395	0,08	0,8659	-0,52	0,0226	-0,51	0,0964
Ccng2	81,97	-0,86	0,0016	-0,58	0,0624	0,02	1,0000	0,09	0,9628	-0,18	0,6052	0,24	0,7375	0,74	0,0662	0,73	0,0867	0,55	0,1448
Ccnh	63,57	0,13	0,7587	0,16	0,7674	-0,01	1,0000	0,20	0,8565	-0,36	0,2591	0,24	0,7240	0,14	0,8379	0,08	0,9454	-0,32	0,4694
Ccni	342,61	-0,40	0,0534	0,62	0,0036	0,29	0,9475	0,63	0,0059	1,00	0,0000	0,88	0,0002	0,69	0,0039	1,00	0,0000	1,48	0,0000
Ccnj	19,51	0,18	0,7678	-0,51	0,3630	0,29	NA	-0,28	0,8264	-0,69	0,1396	-0,33	0,7083	0,12	0,9089	-0,35	0,7387	-0,59	0,2643
Ccnjl	27,58	-0,52	0,1898	-0,01	0,9947	0,02	1,0000	-0,03	0,9866	-0,08	0,8710	-0,06	0,9596	0,23	0,7907	0,60	0,3487	0,23	0,7277
Ccnk	67,60	-0,08	0,8594	0,42	0,1818	0,07	1,0000	0,07	0,9683	0,58	0,0162	0,11	0,8874	0,09	0,9042	0,24	0,7502	0,46	0,1782
Ccnl1	55,61	-0,03	0,9517	0,33	0,3989	0,24	1,0000	0,27	0,7412	0,08	0,8568	0,19	0,7997	0,39	0,4698	0,42	0,4889	-0,01	0,9949
Ccnl2	96,60	-0,14	0,7255	0,06	0,9070	0,15	1,0000	0,25	0,7087	0,29	0,2860	0,19	0,7574	0,62	0,0887	0,43	0,3925	0,40	0,1772
Ccnt1	50,83	-0,12	0,8074	0,05	0,9487	-0,22	1,0000	-0,08	0,9701	0,34	0,2955	0,10	0,9057	-0,03	0,9726	0,09	0,9494	0,68	0,0355
Ccnt2	115,42	-0,15	0,6259	0,12	0,7681	-0,03	1,0000	0,29	0,5813	0,27	0,3034	0,15	0,7985	0,40	0,3115	0,38	0,4234	0,47	0,0514
Ccny	178,03	0,06	0,8611	-0,18	0,5815	0,06	1,0000	-0,05	0,9737	-0,34	0,0960	-0,13	0,8076	0,08	0,8953	-0,19	0,7668	-0,13	0,6767
Ccnyl1	18,43	0,59	0,1734	0,10	0,9140	0,03	NA	0,49	0,4840	0,88	0,0234	-0,09	0,9359	-0,29	0,7082	0,22	0,8543	0,96	0,0091
Ccp110	19,54	-0,62	0,1320	0,61	0,1391	0,07	NA	-0,06	0,9853	-0,25	0,6158	0,79	0,1744	0,41	NA	0,33	0,7683	0,36	0,5673
Ccpg1	161,92	-0,67	0,0003	0,31	0,2532	0,18	1,0000	0,35	0,3526	0,05	0,8759	0,85	0,0018	0,76	0,0064	0,79	0,0031	0,57	0,0651
Ccpg10s	13,93	0,28	0,6555	0,61	0,2443	0,16	NA	0,14	0,9500	-0,11	0,8738	0,29	0,7574	-0,41	NA	0,07	0,9789	-0,20	0,7653
Ccr12	5,34	-0,78	0,1553	-0,23	0,7922	0,34	NA	0,11	0,9628	-0,61	0,3281	0,18	0,8712	0,60	NA	0,54	NA	0,31	0,7171
Ccrn4l	18,43	1,58	0,0000	0,38	0,5888	0,01	NA	0,18	0,9264	1,06	0,0139	-0,65	0,2583	-0,84	0,0879	-0,67	0,2684	-0,10	0,8923
Ccs	8,18	-0,26	0,7266	-0,06	0,9574	0,15	NA	-0,28	0,8318	-1,00	0,0709	0,53	0,5447	0,01	NA	0,03	0,9918	-0,36	0,6548

GeneID	CTL	ET-1 vs CTL		SAHA vs CTL		JS28 vs CTL		BSP vs CTL		JQ1 vs CTL		ET-1+SAHA vs ET1		ET-1+JS28 vs ET1		ET-1+BSP vs ET1		ET-1+JQ1 vs ET1	
	mean	log2(FC)	P-adj	log2(FC)	P-adj	log2(FC)	P-adj	log2(FC)	P-adj	log2(FC)	P-adj	log2(FC)	P-adj	log2(FC)	P-adj	log2(FC)	P-adj	log2(FC)	P-adj
Ccsap	6,15	-0,50	0,4233	0,19	0,8355	0,04	NA	0,09	0,9727	-0,18	0,8056	0,30	0,7873	0,26	NA	0,06	NA	0,42	0,5812
Ccser2	341,74	-0,41	0,0227	-0,61	0,0033	-0,04	1,0000	-0,24	0,6309	-0,50	0,0055	-0,34	0,3004	0,37	0,2316	-0,10	0,8963	-0,24	0,3253
Cct2	314,20	0,15	0,5235	0,46	0,0144	-0,14	1,0000	0,19	0,7079	0,28	0,1523	0,40	0,2033	-0,26	0,4875	0,02	0,9911	0,06	0,8382
Cct3	187,82	0,50	0,0231	-0,11	0,8179	-0,14	1,0000	-0,14	0,8903	-0,10	0,7471	-0,30	0,4810	-0,47	0,1697	-0,47	0,1904	-0,40	0,1848
Cct4	539,44	-0,03	0,9412	0,13	0,7349	0,05	1,0000	0,21	0,7308	0,01	0,9906	0,05	0,9343	-0,09	0,8589	0,09	0,8915	-0,01	0,9786
Cct5	264,92	0,14	0,5423	0,10	0,7762	-0,02	1,0000	0,19	0,7287	0,13	0,5383	-0,16	0,7143	-0,27	0,4485	0,15	0,8020	0,06	0,8648
Cct6a	207,69	0,40	0,0344	-0,07	0,8686	-0,19	1,0000	-0,01	0,9910	-0,09	0,7417	-0,40	0,2430	-0,22	0,6315	-0,32	0,4411	-0,43	0,0908
Cct6b	1,22	0,14	NA	0,25	0,7129	0,05	NA	0,10	NA	0,58	0,3780	-0,01	NA	-0,11	NA	-0,08	NA	-0,16	NA
Cct7	206,88	0,38	0,0392	0,21	0,4800	0,02	1,0000	0,22	0,6921	0,47	0,0173	-0,01	0,9889	-0,34	0,3199	-0,02	0,9911	0,24	0,3255
Cct8	190,62	0,24	0,4185	0,28	0,3088	0,10	1,0000	0,35	0,3505	0,45	0,0177	0,28	0,5392	-0,01	0,9925	0,10	0,9119	0,27	0,3714
Ccz1	70,16	-0,02	0,9632	0,12	0,8211	0,10	1,0000	0,13	0,9220	-0,06	0,8776	0,12	0,8689	0,30	0,5563	0,05	0,9753	-0,11	0,8159
Cd101	1,19	0,27	NA	0,10	NA	-0,03	NA	0,21	NA	-0,04	NA	-0,14	NA	-0,16	NA	0,08	NA	-0,44	NA
Cd109	32,28	-0,05	0,9412	-0,59	0,2156	0,13	1,0000	-0,86	0,0401	-1,03	0,0068	-0,54	0,3991	0,04	0,9677	-0,75	0,1889	-1,14	0,0116
Cd151	195,28	0,11	0,7994	-0,68	0,0025	-0,03	1,0000	-0,45	0,1650	-0,56	0,0105	-0,34	0,5069	-0,29	0,5890	-0,27	0,6987	-0,40	0,2537
Cd164	620,55	-0,09	0,7517	-0,09	0,7608	-0,08	1,0000	0,08	0,9293	0,14	0,6065	0,30	0,3584	0,25	0,5037	0,26	0,5150	0,31	0,3495
Cd1d1	8,31	-1,03	0,0276	-1,56	0,0006	0,03	NA	-0,43	0,6175	-1,65	0,0011	-0,24	0,8292	0,06	NA	0,16	NA	-0,32	0,7136
Cd247	1,27	-0,02	NA	-0,18	NA	-0,06	NA	-0,10	NA	0,03	0,9718	0,14	NA	0,22	NA	-0,17	NA	-0,07	NA
Cd24a	294,31	0,09	0,7896	-0,75	0,0002	-0,03	1,0000	-0,33	0,3507	0,16	0,5566	-0,35	0,3613	-0,05	0,9432	-0,20	0,7377	0,48	0,0721
Cd274	18,10	0,06	0,9374	-0,37	0,5773	-0,13	NA	-0,53	0,4434	-0,30	0,6082	-0,33	0,7267	-0,29	NA	-0,16	0,9192	-0,60	0,3114
Cd276	29,44	0,11	0,8512	0,16	0,8040	0,13	NA	-0,43	0,5641	-1,40	0,0002	0,41	0,5041	0,23	0,7589	-0,64	0,3128	-1,01	0,0212
Cd2ap	68,01	-0,68	0,0472	-0,28	0,5658	-0,13	1,0000	0,25	0,7882	0,55	0,0525	0,24	0,7549	0,72	0,1066	0,69	0,1510	1,09	0,0007
Cd2bp2	76,36	0,22	0,4812	-0,33	0,3618	-0,14	1,0000	-0,21	0,8129	-0,04	0,9147	-0,32	0,5215	-0,41	0,3765	-0,27	0,6935	-0,07	0,8648
Cd300a	1,84	-0,42	NA	0,40	0,5820	-0,16	NA	-0,06	NA	-0,65	0,2861	0,25	NA	0,09	NA	-0,07	NA	-0,09	NA
Cd320	8,74	0,00	0,9993	0,61	0,2853	0,06	NA	0,48	0,5372	1,61	0,0000	0,64	0,4024	0,19	NA	0,73	0,3198	1,58	0,0005
Cd36	587,32	-0,15	0,5433	-0,59	0,0013	-0,58	0,0093	-0,63	0,0012	-2,43	0,0000	0,02	0,9664	-0,09	0,8558	-0,68	0,0031	-2,53	0,0000
Cd3eap	25,61	0,97	0,0035	0,64	0,1729	-0,01	NA	0,18	0,9211	0,52	0,2076	-0,76	0,1526	-0,56	0,3239	-0,54	0,4277	-0,31	0,5437
Cd44	76,22	1,55	0,0000	0,74	0,0699	-0,09	1,0000	-0,66	0,2017	0,50	0,1924	-0,56	0,1664	-1,38	0,0000	-1,94	0,0000	-0,72	0,0312
Cd46	4,89	-0,84	0,1144	-0,67	0,2742	-0,14	NA	0,05	0,9853	-0,37	0,6051	-0,11	NA	0,43	NA	0,13	NA	0,18	0,8542
Cd47	60,59	-0,21	0,5882	-0,24	0,5794	0,18	1,0000	0,49	0,2025	0,29	0,3390	0,09	0,9162	0,25	0,6801	0,69	0,0778	0,52	0,1357
Cd55	8,51	0,44	0,4595	0,69	0,2281	0,06	NA	-0,28	NA	0,04	0,9665	0,35	0,7160	-0,18	NA	0,00	1,0000	-0,57	0,3656
Cd59a	7,06	-0,39	0,5795	-0,10	0,9250	-0,09	NA	-0,06	0,9853	-1,10	0,0519	0,60	0,4684	0,61	NA	-0,03	NA	-0,22	0,8086
Cd63	125,58	0,42	0,2424	0,03	0,9571	0,23	1,0000	0,17	0,8731	0,10	0,7994	0,03	0,9789	-0,09	0,9152	-0,14	0,9025	-0,41	0,3057
Cd68	2,00	0,07	NA	-0,01	0,9944	-0,05	NA	0,19	NA	0,52	0,4502	-0,23	NA	0,05	NA	0,02	NA	0,37	0,6592
Cd81	658,30	-0,08	0,8415	0,17	0,4661	-0,21	1,0000	-0,56	0,0013	-0,45	0,0013	0,52	0,1488	-0,30	0,5083	-0,52	0,1628	-0,63	0,0223
Cd82	5,60	0,17	0,8323	0,40	0,5915	0,13	NA	-0,04	NA	0,18	0,8208	-0,05	0,9714	0,04	NA	-0,02	0,9936	-0,10	0,9195
Cd9	4,50	0,17	0,8419	1,22	0,0099	0,24	NA	0,40	NA	0,21	0,7925	1,38	0,0148	0,20	NA	0,17	0,9192	0,10	0,9261
Cd97	20,10	0,25	0,6555	-0,07	0,9366	0,42	NA	-0,53	0,4468	-1,68	0,0002	-0,02	0,9900	0,23	0,7833	-0,77	0,2298	-1,52	0,0014
Cd99l2	115,33	0,32	0,2101	0,27	0,4259	0,14	1,0000	-0,24	0,7365	-0,73	0,0023	-0,10	0,8781	-0,30	0,4947	-0,36	0,4463	-0,94	0,0004
Cda	1,57	-0,52	NA	-0,43	0,4775	0,00	NA	-0,32	NA	-0,76	0,1862	0,24	NA	0,08	NA	-0,11	NA	-0,15	NA
Cdadc1	64,60	-0,14	0,7781	-0,14	0,8127	0,01	1,0000	0,09	0,9628	-0,21	0,5810	-0,05	0,9601	0,50	0,2966	0,39	0,5306	-0,02	0,9778
Cdan1	35,39	-0,32	0,4582	-0,87	0,0180	-0,12	1,0000	0,10	0,9628	0,20	0,6250	-0,21	0,8068	0,06	0,9570	0,36	0,6743	0,67	0,0652
Cdc123	37,39	0,02	0,9833	0,06	0,9429	0,12	1,0000	-0,01	0,9959	-0,13	0,7778	0,28	0,7142	0,07	0,9443	0,00	0,9998	-0,19	0,7240
Cdc14a	6,35	-0,29	0,6860	0,37	0,6189	0,11	NA	0,07	0,9817	-0,38	0,5709	0,73	0,3298	0,40	NA	-0,13	NA	0,32	0,6896
Cdc14b	97,76	-1,09	0,0001	-0,61	0,1070	-0,41	0,7942	-0,23	0,8366	-0,50	0,1502	0,42	0,4061	0,24	0,6975	0,36	0,5949	0,09	0,8828
Cdc16	86,43	0,46	0,0462	0,37	0,2538	0,11	1,0000	0,14	0,9084	-0,13	0,6969	0,06	0,9360	-0,18	0,7517	-0,12	0,9017	-0,48	0,0991

GeneID	CTL	ET-1 vs CTL		SAHA vs CTL		JS28 vs CTL		BSP vs CTL		JQ1 vs CTL		ET-1+SAHA vs ET1		ET-1+JS28 vs ET1		ET-1+BSP vs ET1		ET-1+JQ1 vs ET1	
	mean	log2(FC)	P-adj	log2(FC)	P-adj	log2(FC)	P-adj	log2(FC)	P-adj	log2(FC)	P-adj	log2(FC)	P-adj	log2(FC)	P-adj	log2(FC)	P-adj	log2(FC)	P-adj
Cdc20	2,62	0,02	0,9858	0,32	0,6881	0,14	NA	-0,09	NA	0,35	0,6404	-0,22	NA	-0,11	NA	-0,03	NA	-0,15	0,8819
Cdc23	95,20	0,04	0,9175	-0,19	0,6420	0,06	1,0000	-0,02	0,9860	-0,27	0,3020	-0,16	0,7988	-0,03	0,9740	-0,26	0,6921	-0,50	0,1047
Cdc25a	25,19	-0,02	0,9769	0,32	0,5843	-0,17	NA	-0,39	0,6430	-0,68	0,1391	0,13	0,8921	0,11	0,9089	-0,58	0,4340	-0,93	0,0368
Cdc25b	4,80	-0,32	0,6718	0,31	0,7047	-0,05	NA	-0,38	NA	-0,32	0,6620	0,14	0,9125	-0,29	NA	-0,20	NA	-0,45	0,5891
Cdc26	30,12	-0,33	0,4867	0,01	0,9906	-0,21	1,0000	0,06	0,9835	-1,21	0,0021	0,70	0,1864	0,12	0,9052	0,01	0,9971	-0,50	0,3245
Cdc27	312,75	0,46	0,0007	0,16	0,5563	0,06	1,0000	0,25	0,4691	-0,17	0,3900	-0,16	0,7016	-0,14	0,7460	-0,16	0,7608	-0,53	0,0236
Cdc34	67,88	0,24	0,5856	-0,12	0,8408	-0,03	1,0000	-0,39	0,5176	0,27	0,4927	0,05	0,9525	-0,83	0,0512	-0,34	0,6540	0,18	0,7594
Cdc37	107,35	-0,01	0,9867	0,47	0,0773	0,05	1,0000	0,18	0,8386	0,08	0,8040	0,31	0,4821	-0,24	0,6416	0,07	0,9494	0,26	0,3649
Cdc37l1	117,78	-0,03	0,9386	0,15	0,6937	0,06	1,0000	0,11	0,9329	-0,08	0,7947	0,38	0,3573	0,52	0,1454	0,28	0,6443	0,20	0,5799
Cdc40	46,37	0,05	0,9340	0,14	0,8242	0,12	1,0000	0,12	0,9482	-0,23	0,5876	-0,16	0,8417	0,32	0,5893	0,11	0,9392	-0,02	0,9782
Cdc42	323,06	0,01	0,9788	-0,10	0,7564	-0,09	1,0000	0,06	0,9600	0,10	0,7025	0,32	0,5030	0,23	0,6719	0,17	0,8376	0,16	0,6892
Cdc42bpa	273,85	-0,02	0,9630	-0,20	0,5662	-0,12	1,0000	0,31	0,4775	0,72	0,0000	-0,27	0,5170	0,15	0,7549	0,31	0,4607	0,81	0,0003
Cdc42bbp	174,66	-0,10	0,7429	0,17	0,5708	0,16	1,0000	0,03	0,9853	-0,07	0,8213	-0,22	0,6283	-0,13	0,7992	0,01	0,9971	0,03	0,9506
Cdc42bpg	46,47	-0,40	0,2700	-0,72	0,0556	-0,24	1,0000	-0,76	0,0558	-0,37	0,3427	-0,98	0,0369	-0,35	0,5872	-0,61	0,2975	-0,37	0,4745
Cdc42ep1	14,17	0,88	0,0508	-0,22	0,8097	0,09	NA	-0,41	0,6249	-0,58	0,3503	-1,14	0,0456	-1,21	NA	-1,40	0,0055	-1,85	0,0002
Cdc42ep2	3,71	-0,06	0,9453	-0,27	0,7426	-0,01	NA	-0,39	NA	-0,12	0,8847	0,08	0,9513	0,02	NA	0,09	NA	0,40	0,6203
Cdc42ep3	81,38	0,61	0,0092	-0,30	0,4800	0,10	1,0000	0,08	0,9681	-0,15	0,7042	-0,88	0,0068	-0,43	0,3291	-0,47	0,2932	-0,25	0,4876
Cdc42ep4	18,17	-0,54	0,2326	0,10	0,8970	-0,01	NA	-0,23	0,8782	-0,12	0,8487	0,90	0,1030	0,05	NA	-0,17	0,9170	0,07	0,9292
Cdc42se1	47,22	0,58	0,0663	0,26	0,6444	-0,06	1,0000	0,08	0,9746	0,12	0,7891	-0,39	0,4911	-0,37	0,5017	-0,29	0,7070	0,08	0,8762
Cdc42se2	142,08	0,23	0,3168	0,06	0,8975	-0,24	1,0000	0,08	0,9574	0,54	0,0463	0,08	0,8913	-0,30	0,4772	-0,06	0,9494	0,50	0,1396
Cdc45	3,64	-0,11	0,9025	-0,49	0,4661	0,11	NA	-0,06	NA	-0,22	0,7860	-0,45	0,5964	0,32	NA	-0,25	NA	-0,42	0,6127
Cdc5l	106,61	-0,05	0,9091	-0,06	0,9076	-0,10	1,0000	0,34	0,4138	0,54	0,0067	0,04	0,9571	0,39	0,3516	0,41	0,3917	0,63	0,0536
Cdc6	1,91	-0,27	NA	-0,46	0,3480	-0,02	NA	-0,05	NA	-0,22	0,7777	-0,32	NA	-0,17	NA	-0,04	NA	0,01	NA
Cdc7	1,88	0,04	NA	0,30	0,6937	0,04	NA	0,36	NA	0,63	0,3343	-0,11	NA	0,10	NA	0,17	NA	0,25	0,7811
Cdc73	109,10	0,21	0,4752	-0,42	0,1496	-0,08	1,0000	0,12	0,9211	0,06	0,8643	-0,65	0,0697	0,02	0,9752	-0,02	0,9918	-0,06	0,8764
Cdca2	2,39	-0,29	0,6912	-0,05	0,9675	-0,01	NA	0,04	NA	0,19	0,8180	-0,34	NA	0,13	NA	-0,06	NA	0,64	0,3984
Cdca3	2,99	-0,64	0,2724	-0,47	0,4892	-0,04	NA	-0,16	NA	0,04	0,9698	0,07	NA	0,00	NA	0,11	NA	0,09	NA
Cdca4	9,87	-0,21	0,7899	-0,34	0,6524	-0,23	NA	-0,16	0,9364	-0,12	0,8619	0,48	0,5971	-0,03	NA	-0,12	0,9531	0,21	0,8054
Cdca7	3,85	1,02	0,0358	0,21	0,7214	0,05	NA	0,03	NA	0,09	NA	-0,86	0,2292	-0,88	NA	-0,77	0,2881	-1,32	0,0373
Cdca8	3,80	-0,15	0,8621	0,14	0,8916	0,11	NA	-0,25	NA	-0,03	0,9716	0,09	0,9460	0,25	NA	-0,01	NA	-0,24	0,7953
Cdh11	27,30	0,58	0,2034	-0,50	0,3925	-0,38	NA	-0,98	0,0164	-1,02	0,0247	-1,05	0,0425	-0,22	0,7939	-1,03	0,0442	-1,05	0,0198
Cdh13	342,85	0,06	0,8554	-0,30	0,2687	0,26	1,0000	-0,03	0,9853	-0,18	0,4704	-0,21	0,5916	0,28	0,4110	0,30	0,4114	0,08	0,8181
Cdh16	13,26	-0,73	0,1227	0,70	0,1384	-0,29	NA	-0,44	0,5969	-1,53	0,0011	2,29	0,0000	0,78	NA	0,89	0,1567	-0,37	0,6251
Cdh2	2257,82	0,22	0,3604	-0,44	0,0384	0,04	1,0000	0,15	0,8402	0,46	0,0179	-0,53	0,0409	-0,13	0,7701	0,02	0,9862	0,42	0,1065
Cdh22	3,34	-0,06	0,9543	-0,15	0,8750	-0,24	NA	-0,30	NA	-0,57	0,4022	0,01	0,9942	-0,26	NA	-0,37	NA	-0,61	0,4188
Cdh24	3,85	-0,39	0,5778	0,23	0,8029	-0,10	NA	0,09	NA	0,77	0,1884	0,47	0,6128	-0,21	NA	-0,23	NA	0,55	0,4834
Cdh3	7,48	-0,05	0,9626	-0,26	0,7679	0,06	NA	-0,46	NA	-1,60	0,0025	-1,01	0,1181	-0,62	NA	-0,74	NA	-1,61	0,0073
Cdh4	5,42	0,23	0,7798	-0,03	0,9805	0,03	NA	-0,30	NA	0,06	0,9512	-0,36	0,7304	-0,44	NA	-0,39	NA	0,54	0,4277
Cdh6	5,87	-0,51	0,4175	-0,01	0,9960	-0,20	NA	-0,40	NA	-0,11	0,8908	0,37	0,7240	0,02	NA	-0,03	NA	0,52	0,4895
Cdh8	21,37	1,15	0,0017	-0,74	0,1945	-0,36	NA	-0,35	0,7392	0,62	0,2385	-0,93	0,0807	-0,84	0,0970	-0,87	0,1101	-0,02	0,9809
Cdip1	116,70	-0,55	0,0057	0,00	0,9996	-0,13	1,0000	0,06	0,9656	0,15	0,5971	0,47	0,2210	0,38	0,3782	0,57	0,1039	0,56	0,0559
Cdipt	54,32	0,51	0,1058	0,11	0,8631	-0,01	1,0000	-0,16	0,9213	-0,27	0,5078	0,10	0,9044	-0,25	0,6801	-0,69	0,1176	-0,21	0,6122
Cdk1	2,12	-0,40	NA	0,01	0,9947	-0,01	NA	-0,03	NA	-0,25	0,7471	0,19	NA	0,32	NA	0,10	NA	0,28	0,7441
Cdk10	31,26	-0,02	0,9812	0,33	0,5026	0,14	1,0000	0,19	0,8948	0,78	0,0064	-0,07	0,9427	-0,05	0,9622	0,48	0,4549	0,78	0,0393
Cdk11b	99,07	0,17	0,6037	0,46	0,0926	0,19	1,0000	0,26	0,6782	-0,04	0,9188	0,02	0,9836	0,12	0,8586	-0,07	0,9526	-0,13	0,7299

GeneID	CTL	ET-1 vs CTL		SAHA vs CTL		JS28 vs CTL		BSP vs CTL		JQ1 vs CTL		ET-1+SAHA vs ET1		ET-1+JS28 vs ET1		ET-1+BSP vs ET1		ET-1+JQ1 vs ET1	
	mean	log2(FC)	P-adj	log2(FC)	P-adj	log2(FC)	P-adj	log2(FC)	P-adj	log2(FC)	P-adj	log2(FC)	P-adj	log2(FC)	P-adj	log2(FC)	P-adj	log2(FC)	P-adj
Cdk12	210,33	-0,23	0,4069	-0,07	0,8703	-0,11	1,0000	0,15	0,8671	0,34	0,1542	-0,18	0,7239	0,31	0,4371	0,35	0,4089	0,58	0,0129
Cdk13	164,29	-0,05	0,9066	-0,04	0,9359	0,05	1,0000	0,33	0,3376	0,50	0,0031	-0,16	0,7897	0,04	0,9634	0,38	0,3908	0,63	0,0065
Cdk14	141,22	-0,17	0,6060	-0,56	0,0220	-0,28	1,0000	-0,06	0,9713	0,06	0,8516	-0,67	0,0539	-0,44	0,2931	-0,25	0,6902	-0,08	0,8697
Cdk16	173,21	-0,17	0,5322	-0,03	0,9524	0,34	0,5413	0,27	0,5005	0,46	0,0051	-0,12	0,8446	0,02	0,9737	0,42	0,2610	0,40	0,1190
Cdk17	80,58	0,36	0,2152	0,04	0,9487	0,09	1,0000	0,08	0,9654	-0,15	0,6680	-0,43	0,3542	-0,12	0,8586	-0,27	0,7067	-0,31	0,4279
Cdk18	14,69	0,72	0,1254	0,76	0,1483	0,19	NA	-0,50	0,4775	-0,73	0,2182	0,48	0,4987	-0,29	NA	-0,98	0,0908	-0,57	0,4098
Cdk19	70,17	-0,88	0,0012	-0,33	0,4239	-0,17	1,0000	0,06	0,9769	-0,36	0,2235	0,31	0,6446	0,47	0,3821	0,38	0,5934	0,47	0,2582
Cdk2	39,68	-0,53	0,1149	-0,37	0,4309	-0,17	1,0000	-0,29	0,7521	-0,26	0,5173	0,10	0,9183	-0,23	0,7690	-0,13	0,9300	-0,16	0,7718
Cdk20	2,02	0,06	NA	0,64	0,2785	0,08	NA	0,15	NA	0,81	0,1911	0,13	0,9158	0,10	NA	-0,25	NA	0,35	0,6896
Cdk2ap1	17,98	0,04	0,9605	-0,88	0,0850	-0,40	NA	-0,36	0,7205	-0,54	0,3152	-0,86	0,1841	-0,02	NA	-0,74	0,2925	-0,46	0,4716
Cdk2ap2	11,57	-0,04	0,9650	-0,14	0,8802	-0,04	NA	0,14	0,9500	0,42	0,4321	-0,35	0,7256	-0,20	NA	-0,08	0,9745	0,31	0,6358
Cdk3-ps	1,31	-0,13	NA	-0,14	0,8501	-0,09	NA	0,05	NA	-0,22	0,7487	-0,20	NA	0,00	NA	0,04	NA	-0,22	NA
Cdk4	87,58	0,05	0,9098	-0,22	0,5843	-0,04	1,0000	-0,18	0,8671	-0,03	0,9312	-0,65	0,0979	-0,29	0,5946	-0,32	0,6122	-0,09	0,8542
Cdk5	23,00	0,35	0,4631	0,40	0,4477	0,16	NA	-0,08	0,9764	0,34	0,4530	0,28	0,7211	-0,26	0,7372	-0,06	0,9785	0,00	0,9982
Cdk5r1	3,72	-0,15	0,8623	0,36	0,6484	0,02	NA	0,27	NA	0,97	0,0663	0,17	0,8860	0,23	NA	0,86	0,2074	1,28	0,0302
Cdk5rap1	18,25	0,14	0,8366	0,31	0,6387	0,01	NA	-0,17	0,9293	-0,02	0,9771	0,28	0,7574	0,01	NA	-0,01	0,9989	-0,55	0,3221
Cdk5rap2	49,37	-0,46	0,1922	-0,36	0,4182	0,02	1,0000	-0,06	0,9805	-0,79	0,0103	-0,10	0,9190	0,03	0,9754	0,29	0,7398	-0,64	0,1609
Cdk5rap3	62,17	-0,43	0,1769	-0,13	0,8116	0,18	1,0000	0,10	0,9516	0,00	0,9948	0,13	0,8676	0,19	0,7900	0,18	0,8608	0,16	0,7147
Cdk6	38,11	0,04	0,9559	-0,17	0,7842	0,09	1,0000	-0,17	0,9125	-0,44	0,2442	-0,62	0,2883	-0,22	0,7759	-0,85	0,1062	-0,77	0,0904
Cdk7	146,55	0,43	0,1417	0,04	0,9444	-0,24	1,0000	-0,03	0,9853	-0,60	0,0180	-0,06	0,9325	-0,27	0,5824	-0,12	0,8988	-1,01	0,0001
Cdk8	54,93	0,28	0,4298	0,34	0,4033	0,30	1,0000	0,00	0,9988	0,00	0,9999	-0,25	0,7139	0,26	0,6517	0,13	0,9067	-0,04	0,9378
Cdk9	29,45	-0,14	0,8096	0,47	0,2807	0,38	0,9475	0,50	0,3618	0,67	0,0352	0,67	0,2039	0,23	0,7735	0,32	0,7341	0,52	0,2271
Cdkal1	47,44	0,12	0,7891	0,00	0,9960	0,26	1,0000	0,11	0,9533	-0,04	0,9284	0,07	0,9343	0,00	0,9963	0,03	0,9911	-0,05	0,9226
Cdkl1	20,70	-0,31	0,6335	-1,87	0,0000	-0,47	NA	-1,10	0,0044	-2,21	0,0000	-1,64	0,0022	-0,04	NA	-1,25	0,0212	-2,20	0,0000
Cdkl2	16,89	-0,27	0,6564	0,16	0,8359	-0,14	NA	-0,24	0,8636	-0,02	0,9779	0,42	0,6166	-0,13	NA	-0,16	0,9264	0,31	0,6062
Cdkl3	20,29	0,38	0,4093	0,06	0,9505	0,01	NA	0,18	0,9156	0,92	0,0135	0,01	0,9918	0,05	0,9634	0,20	0,8719	0,75	0,0742
Cdkl5	18,73	-0,23	0,7021	-0,01	0,9885	-0,11	NA	0,09	0,9707	0,24	0,6360	0,13	0,9034	0,24	NA	0,39	0,6900	0,23	0,7046
Cdkn1a	308,48	0,23	0,5499	-0,32	0,3004	-0,64	0,0235	-1,38	0,0000	-0,42	0,0827	-0,63	0,1012	-0,96	0,0024	-1,38	0,0000	-0,23	0,6037
Cdkn1b	106,59	-0,17	0,6737	-0,33	0,3609	-0,05	1,0000	0,21	0,8010	0,30	0,2670	0,04	0,9572	0,10	0,8872	0,05	0,9708	0,34	0,2807
Cdkn1c	53,34	-0,75	0,1811	-0,65	0,2008	-0,46	0,7407	-0,71	0,1571	-0,82	0,0538	-0,03	0,9848	-0,02	0,9837	0,01	0,9967	0,17	0,8259
Cdkn2a	2,60	0,10	0,9140	0,33	0,6718	-0,10	NA	0,01	NA	0,03	0,9745	0,46	0,6207	-0,02	NA	-0,33	NA	-0,38	0,6548
Cdkn2aip	52,25	-0,01	0,9810	-0,55	0,1249	0,01	1,0000	0,26	0,7392	0,44	0,1029	-0,30	0,6313	-0,05	0,9536	0,45	0,3931	0,59	0,0857
Cdkn2aipnl	35,91	0,11	0,8255	0,41	0,3292	-0,10	1,0000	0,19	0,8903	-0,06	0,9046	0,71	0,0948	0,16	0,8397	0,01	0,9975	0,06	0,9211
Cdkn2b	11,28	0,81	0,0700	0,15	0,8775	0,00	NA	-0,16	0,9387	0,60	0,2654	-0,32	0,7355	-0,46	NA	-0,28	0,8285	0,07	0,9327
Cdkn2c	1,38	0,05	NA	0,46	0,4509	0,09	NA	0,24	NA	0,04	0,9679	0,31	NA	0,04	NA	0,05	NA	0,43	0,6024
Cdkn2d	1,84	0,52	NA	0,71	0,1749	0,12	NA	0,19	NA	0,59	0,3561	-0,25	0,8158	-0,08	NA	0,02	NA	0,14	0,8886
Cdnf	24,23	0,11	0,8660	-0,16	0,8520	-0,13	NA	-0,21	0,8987	0,17	0,7729	-0,68	0,2820	0,03	0,9754	0,03	0,9911	-0,01	0,9960
Cdo1	34,94	-1,94	0,0000	-0,42	0,4664	0,29	1,0000	0,31	0,7688	-1,10	0,0060	0,65	0,3912	1,18	NA	0,79	0,2523	-0,23	0,7899
Cdon	147,64	-0,82	0,0000	0,12	0,7474	0,09	1,0000	0,39	0,2309	0,40	0,0468	0,54	0,1226	0,54	0,1231	0,71	0,0197	1,03	0,0000
Cdpf1	14,64	-0,24	0,7045	-0,22	0,7703	-0,28	NA	-0,03	0,9860	0,81	0,0354	-0,25	0,8089	-0,12	NA	0,26	0,8472	0,84	0,0862
Cdr2	20,49	1,18	0,0010	0,52	0,4019	0,04	NA	-0,06	0,9853	0,38	0,5135	-0,41	0,5565	-0,81	0,1051	-0,66	0,2925	0,12	0,8203
Cdr2l	20,39	0,10	0,8923	0,55	0,2998	-0,10	NA	0,39	0,6521	1,08	0,0026	0,07	0,9528	-0,03	NA	0,55	0,4277	1,35	0,0002
Cds1	4,73	-0,22	0,7896	0,40	0,5994	-0,16	NA	-0,33	NA	-0,69	0,2807	0,56	0,5115	0,47	NA	-0,07	NA	-0,57	0,4637
Cds2	417,50	-0,28	0,1562	-0,18	0,4324	-0,06	1,0000	0,10	0,8881	-0,03	0,9035	0,11	0,8366	-0,02	0,9756	-0,17	0,7891	0,04	0,9226
Cdsn	9,15	1,05	0,0246	-0,19	0,8333	-0,06	NA	-0,15	NA	-0,68	0,2884	-0,81	0,2520	-0,32	NA	-1,15	0,0454	-1,50	0,0089

GeneID	CTL	ET-1 vs CTL		SAHA vs CTL		JS28 vs CTL		BSP vs CTL		JQ1 vs CTL		ET-1+SAHA vs ET1		ET-1+JS28 vs ET1		ET-1+BSP vs ET1		ET-1+JQ1 vs ET1	
	mean	log2(FC)	P-adj	log2(FC)	P-adj	log2(FC)	P-adj	log2(FC)	P-adj	log2(FC)	P-adj	log2(FC)	P-adj	log2(FC)	P-adj	log2(FC)	P-adj	log2(FC)	P-adj
Cdt1	7,40	-0,14	0,8613	0,46	0,4950	-0,08	NA	-0,09	0,9727	0,27	0,6845	0,17	0,8905	-0,28	NA	0,12	0,9496	0,22	0,7842
Cdv3	225,49	0,42	0,0450	-0,08	0,8532	-0,04	1,0000	-0,13	0,8981	0,02	0,9489	-0,63	0,0308	-0,39	0,2849	-0,67	0,0177	-0,22	0,4604
Cdyl	48,58	0,07	0,8875	0,07	0,9063	0,11	1,0000	-0,20	0,8619	-0,04	0,9350	0,03	0,9722	0,06	0,9518	0,10	0,9400	0,27	0,4901
Cdyl2	22,06	0,23	0,6861	0,17	0,8139	0,24	NA	-0,12	0,9601	0,24	0,6339	-0,55	0,4338	-0,26	0,7477	-0,54	0,4926	0,05	0,9496
Cebpb	5,84	0,22	0,7888	0,36	0,6522	0,24	NA	0,15	NA	0,38	0,5982	0,13	0,9190	-0,36	NA	-0,34	0,7792	-0,43	0,6031
Cebpd	5,05	0,80	0,1339	0,23	0,7857	0,05	NA	0,04	NA	0,39	0,5956	-0,86	0,2331	-0,39	NA	-0,72	0,3510	-0,96	0,1283
Cebpg	77,07	0,96	0,0011	-0,26	0,6189	-0,24	1,0000	-0,11	0,9516	0,24	0,5122	-1,14	0,0036	-0,86	0,0374	-1,21	0,0011	-0,83	0,0247
Cebpz	117,13	0,14	0,7076	-0,37	0,2865	0,02	1,0000	-0,06	0,9745	0,04	0,9195	-0,83	0,0140	0,08	0,9138	-0,27	0,6609	0,10	0,8047
Cebpzos	13,29	0,17	0,8027	0,17	0,8389	0,29	NA	-0,12	0,9604	-0,01	0,9912	0,16	0,8793	0,28	NA	0,14	0,9372	-0,23	0,7339
Cecr2	20,58	-0,74	0,0677	0,06	0,9469	0,03	NA	0,09	0,9701	0,21	0,6665	0,72	0,2557	-0,01	NA	0,29	0,8179	0,57	0,2858
Cecr5	9,16	0,11	0,8913	-0,03	0,9805	0,07	NA	0,28	0,8334	0,49	0,3835	-0,45	0,6277	-0,05	NA	0,16	0,9282	0,09	0,9222
Celf1	572,55	0,23	0,2039	-0,30	0,1705	-0,15	1,0000	-0,16	0,7884	0,18	0,3543	-0,26	0,4054	-0,33	0,2787	-0,33	0,2747	0,13	0,5894
Celf2	335,09	0,55	0,0162	-0,35	0,2785	-0,30	0,9895	-0,42	0,2630	-0,55	0,0154	-0,34	0,3919	-0,50	0,1215	-0,79	0,0023	-1,07	0,0000
Celf5	11,06	-0,46	0,4418	0,18	0,8290	-0,54	NA	-0,81	0,0794	-1,39	0,0074	-0,03	0,9853	-0,23	NA	-0,54	0,5666	-0,87	0,1920
Celsr1	76,28	-0,23	0,5607	-0,10	0,8634	-0,13	1,0000	0,10	0,9601	-0,66	0,0225	-0,30	0,5904	-0,21	0,7386	0,33	0,5878	-0,75	0,0161
Celsr2	34,42	-0,50	0,2101	0,23	0,6865	0,05	1,0000	-0,22	0,8643	0,34	0,4173	0,40	0,5732	-0,19	0,8344	0,06	0,9784	0,69	0,0767
Cemip	42,09	1,57	0,0000	-0,10	0,9129	-0,30	NA	-0,98	0,0155	-1,98	0,0000	-1,94	0,0000	-1,97	0,0000	-2,20	0,0000	-4,10	0,0000
Cend1	1,10	0,22	NA	0,21	NA	-0,03	NA	-0,05	NA	-0,17	NA	0,54	0,5019	0,04	NA	-0,03	NA	-0,44	NA
Cenpa	4,93	0,10	0,9173	0,24	0,7845	0,19	NA	0,13	NA	-0,20	0,8033	0,18	0,8810	0,33	NA	0,56	0,5438	0,16	0,8650
Cenpb	105,19	0,10	0,8075	-0,09	0,8742	0,19	1,0000	0,30	0,6030	0,68	0,0007	-0,20	0,7293	-0,07	0,9287	0,16	0,8492	0,72	0,0022
Cenpc1	38,35	0,15	0,7706	0,04	0,9666	-0,03	1,0000	-0,30	0,7443	-0,43	0,2762	-0,02	0,9822	0,02	0,9792	-0,14	0,9170	-0,29	0,5431
Cenpe	13,15	-0,12	0,8843	-0,14	0,8760	0,20	NA	-0,15	0,9448	-0,17	0,7922	-1,09	0,0918	-0,16	NA	-0,07	0,9792	-0,36	0,6411
Cenpf	7,92	-0,40	0,5577	-0,16	0,8590	0,18	NA	0,38	0,6892	0,07	0,9289	-0,79	0,2722	0,13	NA	0,66	0,4290	0,21	0,8170
Cenph	1,65	-0,18	NA	0,30	0,6964	-0,06	NA	-0,11	NA	0,34	0,6546	-0,06	NA	-0,11	NA	-0,04	NA	-0,09	NA
Cenpi	2,91	-0,22	0,7876	-0,19	0,8298	-0,12	NA	-0,01	NA	-0,37	0,6233	0,02	0,9883	0,12	NA	-0,25	NA	0,04	0,9705
Cenpj	17,04	-0,54	0,2499	0,19	0,7865	-0,17	NA	0,09	0,9727	-0,48	0,3205	0,35	0,7106	0,25	NA	0,09	0,9648	0,03	0,9755
Cenpk	1,76	-0,41	NA	-0,28	0,6984	-0,01	NA	0,01	NA	-0,27	0,7271	-0,05	NA	0,48	NA	0,15	NA	0,06	NA
Cenpl	4,53	-0,16	0,8554	0,19	0,8335	0,06	NA	-0,03	NA	0,39	0,5829	0,81	0,2644	0,45	NA	0,23	NA	-0,26	0,7709
Cenpn	4,42	-0,19	0,8204	0,17	0,8587	0,18	NA	0,36	NA	0,80	0,1500	0,37	0,7190	0,19	NA	0,33	NA	0,67	0,3320
Cenpo	4,63	-0,52	0,4139	-0,37	0,6370	-0,01	NA	-0,06	NA	-0,37	0,6075	-0,24	0,8241	0,21	NA	0,28	NA	-0,12	0,9090
Cenpp	1,53	0,12	NA	-0,24	NA	0,09	NA	0,10	NA	0,43	0,5372	-0,01	NA	0,20	NA	0,00	NA	0,22	0,8068
Cenpq	16,76	-0,03	0,9754	-0,60	0,2737	-0,04	NA	0,04	0,9853	-0,78	0,1028	-0,34	0,7160	0,12	NA	0,21	0,8833	-0,35	0,5660
Cenpt	11,53	0,18	0,8095	-0,17	0,8501	-0,41	NA	-0,56	0,3496	-0,52	0,4135	-0,44	0,6207	-0,45	NA	-0,42	0,6935	-0,34	0,6086
Cenpu	3,92	-0,49	0,4480	0,49	0,4708	-0,07	NA	0,04	NA	-0,27	0,7235	0,30	0,7716	0,41	NA	0,05	NA	0,20	0,8363
Cenpv	7,07	-0,55	0,3745	-0,20	0,8238	-0,14	NA	-0,22	0,8814	-0,10	0,9017	0,24	0,8297	-0,02	NA	-0,09	NA	0,13	0,8966
Cenpw	2,57	-0,16	0,8493	0,19	0,8300	-0,02	NA	-0,16	NA	-0,54	0,4199	0,16	0,8912	0,18	NA	0,03	NA	-0,31	0,7046
Cep104	65,07	-0,05	0,9254	-0,18	0,7089	0,09	1,0000	-0,21	0,8318	-0,46	0,1213	-0,14	0,8417	-0,22	0,7274	-0,11	0,9268	-0,13	0,7486
Cep112	9,70	-0,77	0,1160	0,40	0,5291	0,02	NA	-0,29	0,8217	-1,15	0,0209	0,71	0,3456	0,31	NA	-0,29	NA	-0,74	0,2975
Cep120	128,07	0,07	0,8667	-0,46	0,0953	-0,03	1,0000	0,02	0,9860	-0,20	0,4558	-0,58	0,1110	-0,07	0,9194	-0,36	0,4811	-0,23	0,5042
Cep128	10,00	-0,30	0,6627	-0,73	0,2050	-0,07	NA	-0,23	0,8814	-0,84	0,1124	-0,63	0,4390	-0,09	NA	-0,48	0,6401	-1,06	0,0948
Cep131	27,74	-0,39	0,3335	0,54	0,1608	0,32	1,0000	0,38	0,6015	0,63	0,0474	0,08	0,9375	0,43	0,5001	0,62	0,3124	0,64	0,1061
Cep135	28,37	0,05	0,9431	-0,55	0,2859	0,17	NA	-0,06	0,9817	-0,58	0,1642	-0,47	0,4690	0,17	0,8492	-0,35	0,7067	-0,83	0,0856
Cep152	9,99	-0,09	0,9186	0,50	0,4146	0,11	NA	-0,09	0,9741	-0,51	0,3995	0,20	0,8551	0,10	NA	0,03	0,9931	-0,61	0,3491
Cep162	34,20	-0,56	0,1015	0,40	0,3044	-0,08	1,0000	-0,29	0,7414	-0,80	0,0224	0,50	0,4228	0,51	0,3789	0,03	0,9918	-0,33	0,5521
Cep164	63,94	-0,45	0,1666	-0,11	0,8563	-0,17	1,0000	-0,27	0,7595	0,30	0,3996	0,05	0,9572	-0,04	0,9634	-0,08	0,9570	0,39	0,2813

GeneID	CTL	ET-1 vs CTL		SAHA vs CTL		JS28 vs CTL		BSP vs CTL		JQ1 vs CTL		ET-1+SAHA vs ET1		ET-1+JS28 vs ET1		ET-1+BSP vs ET1		ET-1+JQ1 vs ET1	
	mean	log2(FC)	P-adj	log2(FC)	P-adj	log2(FC)	P-adj	log2(FC)	P-adj	log2(FC)	P-adj	log2(FC)	P-adj	log2(FC)	P-adj	log2(FC)	P-adj	log2(FC)	P-adj
Cep170	158,99	0,14	0,6816	0,14	0,7426	0,05	1,0000	0,10	0,9399	-0,02	0,9580	-0,05	0,9378	-0,03	0,9654	-0,24	0,6729	-0,15	0,6323
Cep170b	72,23	0,07	0,9151	0,21	0,7548	-0,06	1,0000	-0,05	0,9853	0,35	0,3987	-0,34	0,5332	-0,73	0,0656	-0,28	0,6935	0,33	0,4432
Cep19	20,72	-0,69	0,1154	0,38	0,4748	0,09	NA	0,07	0,9769	-0,24	0,6199	0,89	0,1373	0,44	NA	0,32	0,7910	-0,03	0,9782
Cep192	60,90	-0,49	0,1603	0,22	0,6330	-0,18	1,0000	-0,26	0,7576	-0,29	0,4453	0,13	0,8781	0,28	0,6777	0,04	0,9852	0,09	0,8766
Cep250	20,14	-0,56	0,2004	-0,37	0,5211	-0,05	NA	-0,11	0,9628	-0,84	0,0467	-0,14	0,9026	0,18	NA	-0,26	0,8501	-0,86	0,1301
Cep290	30,27	-0,28	0,5649	0,57	0,1594	0,13	1,0000	0,06	0,9805	-0,35	0,4381	0,18	0,8379	0,41	0,5077	-0,35	0,7235	-0,10	0,8699
Cep350	242,19	-0,30	0,1179	-0,14	0,6512	-0,06	1,0000	0,22	0,6050	0,37	0,0532	-0,27	0,5125	0,37	0,2787	0,40	0,2307	0,62	0,0250
Cep41	7,72	0,09	0,9151	0,04	0,9747	-0,23	NA	-0,56	NA	-0,61	0,3438	0,31	0,7661	0,03	NA	-0,49	0,6212	-1,56	0,0097
Cep44	28,68	-0,11	0,8545	0,24	0,6888	0,30	1,0000	0,41	0,5592	-0,15	0,7643	0,37	0,5971	0,46	0,4453	0,29	0,7662	-0,20	0,7162
Cep55	1,54	-0,29	NA	0,66	0,2536	-0,06	NA	0,26	NA	0,08	0,9239	0,10	NA	0,40	NA	0,11	NA	0,79	0,2630
Cep57	56,50	-0,18	0,6485	-0,47	0,1865	-0,02	1,0000	-0,11	0,9469	-0,29	0,3980	-0,38	0,5239	0,14	0,8586	0,08	0,9536	-0,22	0,6430
Cep5711	9,81	-0,35	0,5951	-0,15	0,8687	0,00	NA	-0,42	0,6281	-0,96	0,0731	0,16	0,9004	0,08	NA	-0,24	0,8784	-0,65	0,3644
Cep63	37,99	-0,12	0,8085	0,19	0,7356	-0,02	1,0000	0,38	0,5478	0,47	0,1244	0,38	0,5551	0,37	0,5260	0,66	0,1643	0,86	0,0089
Cep68	180,62	0,19	0,4011	-0,56	0,0061	-0,13	1,0000	-0,16	0,8369	-0,33	0,1002	-0,39	0,2647	-0,24	0,5834	-0,21	0,6935	-0,26	0,3371
Cep70	15,92	-0,52	0,2856	0,16	0,8389	-0,15	NA	-0,08	0,9746	-1,11	0,0137	0,33	0,7286	0,54	NA	0,15	0,9328	-0,05	0,9555
Cep72	1,86	0,19	NA	0,32	0,6635	0,02	NA	0,17	NA	-0,26	0,7177	0,43	0,6442	0,34	NA	-0,16	NA	-0,43	0,5990
Cep76	30,25	0,40	0,3362	0,09	0,9075	-0,05	NA	-0,08	0,9742	0,00	0,9997	0,01	0,9955	-0,12	0,8994	-0,40	0,6114	0,02	0,9727
Cep78	13,04	0,10	0,9000	0,09	0,9288	-0,05	NA	0,32	0,7654	0,72	0,0854	-0,30	0,7612	-0,17	NA	0,29	0,8185	0,50	0,3750
Cep83	47,60	0,33	0,3751	0,35	0,4181	0,26	1,0000	0,46	0,3739	0,23	0,5417	-0,09	0,9219	0,05	0,9634	0,16	0,8772	0,12	0,8308
Cep83os	31,38	-0,14	0,7879	0,16	0,7891	0,23	1,0000	0,46	0,4033	0,54	0,0884	-0,13	0,8898	0,22	0,7749	0,55	0,3651	0,70	0,0533
Cep85	43,21	0,77	0,0149	0,58	0,1292	0,00	NA	0,10	0,9628	0,36	0,3281	-0,64	0,2089	-0,51	0,3367	-0,49	0,4329	-0,26	0,5776
Cep85i	18,67	-0,41	0,4478	-0,10	0,9044	-0,08	NA	-0,03	0,9860	0,01	0,9809	0,33	0,7326	0,52	NA	0,40	0,6935	0,68	0,1983
Cep89	22,80	-0,39	0,3994	0,20	0,7618	0,09	NA	0,19	0,8966	-0,28	0,5679	-0,26	0,7874	0,16	NA	0,05	0,9843	0,20	0,7302
Cep95	47,77	-0,16	0,7749	0,18	0,7667	0,01	1,0000	0,19	0,8887	0,13	0,7624	-0,16	0,8493	-0,02	0,9834	0,44	0,5092	0,20	0,7046
Cep97	72,36	-0,56	0,0415	-0,45	0,1799	-0,16	1,0000	-0,06	0,9764	-0,14	0,6729	0,27	0,6915	0,49	0,2866	0,24	0,7788	0,31	0,4061
Cept1	40,45	-0,07	0,9120	-0,12	0,8782	-0,04	1,0000	0,09	0,9713	-0,03	0,9656	0,08	0,9281	0,20	0,7883	0,17	0,8759	-0,10	0,8525
Cercam	6,51	-0,32	0,6623	0,39	0,6031	-0,07	NA	-0,50	NA	-0,81	0,1921	0,31	0,7739	-0,09	NA	0,04	NA	-0,42	0,6156
Cerk	49,29	-0,11	0,8225	0,16	0,7724	0,04	1,0000	0,16	0,9102	0,36	0,2385	0,32	0,5952	0,17	0,8244	0,48	0,4047	0,15	0,7368
Cers2	101,29	-0,02	0,9753	-0,66	0,0283	-0,14	1,0000	-0,28	0,6921	-0,64	0,0144	-0,42	0,3658	-0,34	0,4981	-0,53	0,2330	-0,67	0,0257
Cers4	146,01	-0,55	0,0300	-0,15	0,7593	0,01	1,0000	-0,04	0,9853	-0,69	0,0052	-0,02	0,9792	0,46	0,2341	0,25	0,6820	-0,30	0,4365
Cers5	57,71	-0,14	0,7697	-0,18	0,7364	-0,08	1,0000	-0,14	0,9250	-0,36	0,2851	-0,25	0,7375	0,00	0,9970	-0,11	0,9306	-0,61	0,1065
Cers6	231,51	0,44	0,0890	0,04	0,9393	-0,30	0,9488	0,07	0,9606	0,27	0,2315	-0,87	0,0047	-0,91	0,0020	-0,65	0,0535	-0,21	0,5862
Ces1d	4,03	-0,57	0,3523	-0,61	0,3267	0,15	NA	-0,45	NA	-1,34	0,0143	-0,11	NA	-0,14	NA	-0,09	NA	-0,58	NA
Ces2g	9,18	-0,46	0,4780	-0,40	0,5957	-0,05	NA	-0,33	0,7443	-1,04	0,0621	-0,80	0,2799	-0,13	NA	-0,71	NA	-0,64	0,3857
Cetn2	26,42	-0,04	0,9574	0,32	0,5548	-0,03	NA	0,16	0,9272	0,40	0,3206	0,69	0,2004	0,19	0,8261	0,57	0,3742	0,57	0,2268
Cetn3	82,88	0,13	0,7253	-0,29	0,4028	0,19	1,0000	0,08	0,9626	-1,12	0,0000	-0,29	0,5751	0,34	0,4453	0,09	0,9342	-0,89	0,0018
Cfb	1,11	-0,11	NA	-0,23	NA	-0,07	NA	-0,12	NA	-0,25	0,6903	-0,06	NA	-0,04	NA	-0,16	NA	-0,23	NA
Cfdp1	98,54	-0,05	0,8998	0,14	0,7356	0,05	1,0000	0,31	0,5478	-0,11	0,7423	0,02	0,9789	0,10	0,8794	0,14	0,8719	0,10	0,8174
Cfh	1,69	-0,10	NA	-0,13	0,8662	0,00	NA	-0,02	NA	-0,51	0,3863	-0,29	NA	-0,20	NA	0,14	NA	-0,41	NA
Cfl1	260,84	0,37	0,1320	-0,06	0,9114	-0,14	1,0000	0,02	0,9860	0,84	0,0000	-0,29	0,4776	-0,49	0,1339	-0,25	0,6232	0,74	0,0117
Cfl2	693,14	0,88	0,0000	-0,58	0,0012	-0,27	0,8412	-0,20	0,6625	-0,05	0,8692	-0,74	0,0010	-0,64	0,0059	-0,57	0,0098	-0,38	0,1769
Cflar	61,97	0,00	0,9974	-1,67	0,0000	-0,14	1,0000	-0,37	0,5913	-0,30	0,4009	-1,43	0,0002	-0,20	0,7759	-0,23	0,7939	-0,32	0,4618
Cfp	5,60	-0,40	0,5674	0,20	0,8306	0,03	NA	0,21	0,8977	0,25	0,7328	0,22	0,8472	0,43	NA	0,41	NA	0,69	0,3160
Cggbp1	175,38	-0,09	0,7708	-0,16	0,6376	0,06	1,0000	0,47	0,0721	0,59	0,0030	0,05	0,9378	0,33	0,3967	0,44	0,2087	0,69	0,0171
Cgnl1	10,10	-1,11	0,0135	-0,13	0,8903	-0,04	NA	0,36	0,7143	0,95	0,0194	0,65	0,4200	0,68	NA	1,15	0,0412	1,99	0,0000

GeneID	CTL	ET-1 vs CTL		SAHA vs CTL		JS28 vs CTL		BSP vs CTL		JQ1 vs CTL		ET-1+SAHA vs ET1		ET-1+JS28 vs ET1		ET-1+BSP vs ET1		ET-1+JQ1 vs ET1	
	mean	log2(FC)	P-adj	log2(FC)	P-adj	log2(FC)	P-adj	log2(FC)	P-adj	log2(FC)	P-adj	log2(FC)	P-adj	log2(FC)	P-adj	log2(FC)	P-adj	log2(FC)	P-adj
Cgref1	4,89	-0,11	0,9027	-0,52	0,4198	-0,14	NA	-0,45	NA	-1,35	0,0114	-0,61	0,4363	-0,35	NA	-0,46	NA	-1,07	0,1037
Cgrrf1	18,99	0,16	0,8022	0,04	0,9712	0,15	NA	0,02	0,9918	0,01	0,9836	0,25	0,7755	0,32	0,6674	0,27	0,8058	-0,20	0,7296
Chac1	54,99	1,76	0,0000	-1,28	0,0074	-0,23	NA	-0,11	0,9634	0,85	0,0890	-1,03	0,0971	-0,71	0,1738	-0,86	0,1550	-0,57	0,4669
Chac2	6,04	0,11	0,9043	0,19	0,8361	0,06	NA	0,04	NA	-0,19	0,8169	0,11	0,9360	0,05	NA	0,05	0,9882	-0,37	0,6405
Chaf1a	3,88	-0,47	0,4772	0,00	0,9964	0,13	NA	-0,13	NA	0,15	0,8482	0,00	0,9993	0,39	NA	0,51	NA	0,51	0,5253
Chaf1b	2,51	-0,07	0,9386	0,76	0,1884	0,01	NA	-0,03	NA	-0,23	0,7728	0,03	0,9818	-0,03	NA	-0,32	NA	-0,31	0,7166
Champ1	63,03	0,19	0,6581	0,10	0,8793	0,04	1,0000	0,13	0,9437	0,09	0,8287	-0,24	0,7001	-0,17	0,7947	-0,23	0,7767	0,05	0,9220
Chchd1	34,82	0,70	0,0521	-0,24	0,7348	0,00	NA	0,26	0,8353	0,12	0,8304	-0,15	0,8551	-0,51	0,3469	-0,43	0,5276	-0,45	0,2711
Chchd10	185,00	0,38	0,3187	-0,48	0,2481	-0,42	0,7747	-0,41	0,5124	-0,30	0,4582	0,00	0,9982	-0,20	0,7452	-0,16	0,8511	-0,43	0,3613
Chchd2	129,63	0,24	0,4430	0,17	0,6716	-0,08	1,0000	0,16	0,8662	-0,39	0,1354	0,36	0,4376	-0,07	0,9270	0,19	0,8018	-0,33	0,3320
Chchd3	155,44	0,32	0,2732	0,53	0,0144	0,26	1,0000	0,22	0,7006	-0,24	0,4183	0,18	0,7613	0,18	0,7524	0,46	0,2651	-0,35	0,2956
Chchd4	16,51	0,48	0,3072	-0,28	0,7075	-0,05	NA	0,03	0,9860	-0,12	0,8588	-0,06	0,9601	-0,23	NA	-0,59	0,4340	-0,98	0,0380
Chchd5	26,07	-0,13	0,8230	0,46	0,3121	0,05	NA	-0,09	0,9701	-0,06	0,9148	0,46	0,4768	-0,07	0,9454	0,41	0,6098	0,12	0,8396
Chchd6	7,47	0,11	0,8916	0,48	0,4736	-0,25	NA	0,02	0,9901	0,07	0,9312	0,96	0,1178	0,00	NA	-0,29	0,8364	0,05	0,9559
Chchd7	36,30	-0,20	0,6755	0,76	0,0144	0,26	1,0000	0,68	0,0548	0,79	0,0022	1,10	0,0041	0,51	0,3601	0,96	0,0175	0,87	0,0085
Chd1	154,07	0,11	0,7473	0,27	0,4101	0,05	1,0000	0,21	0,7793	0,55	0,0186	-0,19	0,7027	0,24	0,5851	0,06	0,9581	0,39	0,2563
Chd11	24,38	0,19	0,7240	-0,28	0,6558	0,03	NA	-0,13	0,9510	-0,31	0,5376	-0,15	0,8686	-0,08	0,9403	-0,12	0,9372	-0,28	0,6151
Chd2	209,62	-0,08	0,8307	-0,28	0,2754	-0,09	1,0000	0,01	0,9901	0,07	0,8093	-0,61	0,0941	0,11	0,8719	0,06	0,9570	0,03	0,9486
Chd3	159,84	-0,37	0,0778	-1,10	0,0000	-0,04	1,0000	-0,20	0,7426	-1,51	0,0000	-1,41	0,0000	-0,35	0,3947	-0,74	0,0206	-1,70	0,0000
Chd3os	8,28	-0,13	0,8795	0,13	0,8947	-0,09	NA	-0,02	0,9925	-0,45	0,4970	0,79	0,2583	0,23	NA	-0,09	0,9633	0,15	0,8535
Chd4	588,48	-0,35	0,0618	0,03	0,9444	-0,07	1,0000	0,00	0,9986	0,10	0,6671	-0,12	0,8118	0,12	0,8170	0,10	0,8915	0,38	0,0750
Chd5	4,41	0,19	0,8204	-0,07	0,9469	-0,04	NA	-0,18	NA	0,28	0,7178	-0,84	0,2065	-0,63	NA	-0,43	NA	0,00	0,9988
Chd6	160,19	-0,23	0,3253	0,05	0,9177	-0,10	1,0000	0,05	0,9746	-0,17	0,5289	0,03	0,9714	0,36	0,3241	0,22	0,7091	-0,09	0,7903
Chd7	162,18	-0,49	0,0454	0,04	0,9328	-0,08	1,0000	0,26	0,5731	-0,05	0,9066	-0,17	0,8021	0,03	0,9666	0,28	0,6667	0,16	0,7125
Chd8	240,84	-0,23	0,2215	0,05	0,8873	-0,05	1,0000	0,02	0,9860	0,02	0,9552	0,04	0,9476	0,08	0,8813	0,15	0,8142	-0,02	0,9731
Chd9	178,38	0,01	0,9778	0,18	0,6376	0,07	1,0000	-0,02	0,9873	-0,08	0,8287	-0,25	0,5954	0,22	0,6465	-0,16	0,8326	-0,09	0,7858
Chek1	4,13	-0,11	0,8993	-0,22	0,8119	-0,02	NA	-0,25	NA	-0,54	0,4244	-0,23	0,8373	0,35	NA	-0,11	NA	-0,71	0,3304
Chek2	2,98	-0,38	0,5898	0,53	0,4328	-0,08	NA	-0,12	NA	-0,59	0,3763	0,27	0,7966	0,06	NA	-0,28	NA	-0,18	0,8505
Cherp	131,43	0,08	0,8795	0,23	0,5757	0,15	1,0000	0,19	0,8420	0,70	0,0049	-0,23	0,7209	-0,37	0,4657	0,07	0,9590	0,69	0,0455
Chfr	48,60	-0,51	0,1007	-0,18	0,7174	-0,06	1,0000	-0,07	0,9746	-0,05	0,9092	-0,06	0,9552	0,39	0,5003	0,32	0,6935	0,39	0,3173
Chgb	1,68	0,21	NA	-0,25	0,6668	0,06	NA	0,05	NA	1,05	0,0714	-0,41	NA	-0,30	NA	0,03	NA	1,19	0,0560
Chic1	69,11	-0,29	0,3857	-0,33	0,4226	-0,14	1,0000	-0,13	0,9306	-0,28	0,3947	-0,08	0,9274	0,16	0,8175	0,00	1,0000	-0,25	0,5610
Chic2	32,29	-0,17	0,7398	0,00	0,9960	-0,02	1,0000	0,03	0,9855	-0,49	0,2342	0,33	0,6390	0,24	0,7481	0,56	0,3413	-0,57	0,2666
Chid1	44,06	0,50	0,1342	0,28	0,5988	0,12	1,0000	0,37	0,6207	0,65	0,0218	0,15	0,8443	-0,12	0,8779	0,15	0,8935	0,43	0,1848
Chka	16,46	0,32	0,5958	1,03	0,0091	0,09	NA	0,37	0,6940	0,56	0,2055	0,11	0,9237	-0,21	NA	0,21	0,8781	0,40	0,4636
Chkb	1,43	-0,17	NA	-0,25	0,7106	-0,08	NA	-0,07	NA	-0,36	0,5766	-0,07	NA	-0,05	NA	-0,06	NA	-0,13	NA
Chm	111,01	0,08	0,8225	-0,08	0,8560	-0,29	0,9896	-0,09	0,9469	-0,66	0,0024	0,03	0,9708	0,21	0,6967	0,07	0,9563	-0,37	0,3442
Chml	55,83	0,22	0,5716	0,52	0,1008	-0,16	1,0000	-0,21	0,8543	-0,72	0,0182	0,46	0,3234	-0,05	0,9554	-0,86	0,0362	-0,80	0,0299
Chmp1a	111,09	-0,03	0,9470	-0,34	0,3051	-0,14	1,0000	-0,05	0,9823	0,58	0,0084	-0,28	0,6124	0,05	0,9527	0,09	0,9416	0,65	0,0146
Chmp1b	136,19	-0,05	0,8971	0,11	0,8059	-0,02	1,0000	0,03	0,9853	0,14	0,6832	0,44	0,2137	0,38	0,3292	0,14	0,8535	0,24	0,5453
Chmp2a	82,44	0,32	0,2741	0,11	0,8332	0,11	1,0000	0,25	0,7246	-0,01	0,9906	-0,08	0,9106	-0,09	0,9042	0,07	0,9528	-0,17	0,7112
Chmp2b	107,30	-0,07	0,8485	0,08	0,8434	-0,06	1,0000	-0,20	0,7766	-0,59	0,0077	0,11	0,8684	0,39	0,3629	-0,07	0,9553	-0,60	0,0581
Chmp3	118,20	0,07	0,8512	-0,52	0,0387	-0,02	1,0000	-0,15	0,8699	-0,40	0,1401	-0,20	0,7002	0,07	0,9167	-0,23	0,7179	-0,41	0,1786
Chmp4b	123,59	0,20	0,5843	0,14	0,7891	0,06	1,0000	-0,08	0,9634	-0,32	0,2983	0,07	0,9080	-0,08	0,9019	0,05	0,9633	-0,41	0,1344
Chmp4c	4,19	-0,09	0,9189	0,07	0,9482	0,08	NA	-0,04	NA	-0,89	0,1371	0,31	0,7755	0,25	NA	-0,55	NA	-1,03	0,1183

GeneID	CTL	ET-1 vs CTL		SAHA vs CTL		JS28 vs CTL		BSP vs CTL		JQ1 vs CTL		ET-1+SAHA vs ET1		ET-1+JS28 vs ET1		ET-1+BSP vs ET1		ET-1+JQ1 vs ET1	
	mean	log2(FC)	P-adj	log2(FC)	P-adj	log2(FC)	P-adj	log2(FC)	P-adj	log2(FC)	P-adj	log2(FC)	P-adj	log2(FC)	P-adj	log2(FC)	P-adj	log2(FC)	P-adj
Chmp5	81,95	-0,10	0,8114	0,09	0,8641	0,18	1,0000	0,07	0,9681	-0,17	0,6075	0,27	0,6420	0,39	0,4181	0,32	0,6114	0,02	0,9763
Chmp6	24,41	-0,05	0,9398	-0,10	0,9062	0,08	NA	-0,11	0,9626	-0,26	0,6198	-0,47	0,5148	-0,18	0,8434	0,00	1,0000	0,00	0,9988
Chmp7	69,14	-0,12	0,7840	0,09	0,8538	-0,02	1,0000	0,03	0,9853	0,01	0,9782	0,04	0,9624	-0,08	0,9269	-0,09	0,9494	-0,03	0,9572
Chn1	51,26	0,20	0,6861	-0,34	0,4805	-0,19	1,0000	-0,32	0,7006	-0,44	0,2063	-0,41	0,4939	-0,17	0,8354	-0,61	0,2788	-0,30	0,5221
Chn2	1,77	0,10	NA	0,16	0,8474	-0,03	NA	0,05	NA	-0,13	0,8754	-0,20	NA	0,04	NA	0,20	NA	0,07	0,9462
Chordc1	99,68	0,52	0,0345	-0,26	0,5382	-0,15	1,0000	0,12	0,9372	-0,10	0,7841	-0,31	0,5018	-0,17	0,7578	-0,27	0,6467	-0,38	0,3280
Chp1	99,10	-0,15	0,7104	0,27	0,4029	0,07	1,0000	0,02	0,9860	0,45	0,0269	0,54	0,1804	0,11	0,8905	0,28	0,6812	0,49	0,1338
Chpf	39,94	0,34	0,4020	0,67	0,0404	0,19	1,0000	0,34	0,6430	0,46	0,1414	0,51	0,3256	-0,43	0,4793	0,11	0,9372	0,32	0,4496
Chpf2	27,91	0,35	0,4263	0,26	0,6865	-0,06	NA	-0,04	0,9853	0,28	0,5332	0,19	0,8135	-0,19	0,8232	-0,34	0,6999	-0,09	0,8865
Chpt1	256,09	-0,16	0,5957	0,07	0,8507	0,08	1,0000	0,29	0,4117	-0,48	0,0077	0,39	0,2829	0,65	0,0360	0,47	0,1790	-0,26	0,4421
Chrac1	31,11	0,07	0,9176	-0,65	0,2244	0,08	NA	0,14	0,9440	-0,20	0,7146	-0,53	0,3965	-0,15	0,8658	0,19	0,8782	-0,17	0,7784
Chrm2	149,83	0,13	0,7438	-0,62	0,0390	-0,06	1,0000	-0,16	0,8922	-0,69	0,0075	-0,37	0,3585	-0,10	0,8759	-0,12	0,8833	-0,95	0,0000
Chrb1	11,32	0,49	0,4175	-0,58	0,3711	-0,17	NA	-0,42	0,5913	0,04	0,9584	-0,73	0,3124	-0,17	NA	-0,56	0,5209	-0,14	0,8608
Chst10	5,15	-0,13	0,8846	-0,71	0,2232	-0,15	NA	-0,29	NA	-0,02	0,9872	-0,25	0,8292	-0,10	NA	0,03	NA	0,11	0,9114
Chst11	14,20	0,68	0,1377	0,99	0,0276	0,16	NA	0,13	0,9540	0,88	0,0432	0,55	0,3930	-0,10	NA	0,22	0,8614	0,45	0,3551
Chst12	4,51	-0,57	0,3560	0,60	0,3317	0,05	NA	-0,12	NA	0,22	0,7700	1,06	0,1059	0,65	NA	0,26	NA	0,53	0,5036
Chst14	6,03	-0,03	0,9761	-0,06	0,9625	0,23	NA	-0,06	NA	-0,84	0,1707	-0,23	0,8423	0,24	NA	-0,16	NA	-1,25	0,0523
Chst15	3,97	0,21	0,7984	0,69	0,2582	0,17	NA	-0,04	NA	0,04	0,9698	0,47	0,6184	0,04	NA	-0,60	NA	-0,36	0,6709
Chst2	14,10	-0,19	0,7799	-0,21	0,7954	-0,37	NA	0,22	0,8903	0,99	0,0051	0,16	0,8903	-0,05	NA	0,26	0,8507	1,82	0,0000
Chst7	2,54	0,90	0,0757	0,50	0,3445	-0,02	NA	0,02	NA	0,07	0,9242	0,14	0,9171	-0,61	NA	-0,75	NA	-0,66	0,3833
Chsy1	139,96	-0,47	0,0427	-0,10	0,8117	0,09	1,0000	0,37	0,2303	0,06	0,8421	0,10	0,8805	0,28	0,5771	0,43	0,3551	0,22	0,5467
Chsy3	3,10	-0,35	0,6279	0,02	0,9867	-0,14	NA	0,18	NA	0,81	0,1707	0,02	NA	0,01	NA	0,59	NA	1,53	0,0079
Chtf18	5,07	0,06	0,9471	-0,31	0,7087	0,00	NA	0,11	NA	0,30	0,6844	-0,36	0,7245	-0,33	NA	-0,38	NA	0,01	0,9943
Chtf8	100,58	0,02	0,9638	0,01	0,9836	-0,07	1,0000	-0,02	0,9901	0,50	0,0588	0,11	0,8557	0,01	0,9897	0,09	0,9325	0,45	0,0968
Chtop	139,93	0,12	0,7812	-0,22	0,6031	0,32	0,9896	0,34	0,5291	0,13	0,6942	-0,19	0,7501	0,36	0,4131	0,28	0,6260	0,17	0,7046
Chuk	100,57	0,29	0,3104	-0,11	0,8275	-0,04	1,0000	0,19	0,8420	0,03	0,9497	-0,16	0,7925	-0,03	0,9656	-0,15	0,8511	-0,29	0,3890
Churc1	15,51	-0,03	0,9691	-0,13	0,8836	0,06	NA	-0,20	0,9096	-0,99	0,0459	-0,27	0,7891	-0,33	NA	-0,13	0,9397	-0,74	0,2013
Ciao1	45,76	-0,26	0,5659	-0,05	0,9505	-0,02	1,0000	0,05	0,9853	-0,11	0,8060	0,36	0,5727	0,10	0,9148	0,17	0,8857	-0,06	0,9220
Ciabin1	65,36	0,43	0,2004	-0,14	0,7894	-0,42	0,6790	-0,23	0,8147	0,33	0,2712	-0,18	0,8118	-0,52	0,3009	-0,30	0,7067	0,00	0,9967
Ciart	2,83	0,51	0,4126	0,41	0,5525	-0,09	NA	-0,13	NA	-0,40	0,5426	0,18	0,8797	-0,41	NA	-0,60	NA	-0,60	0,4350
Cib1	14,47	-0,22	0,7504	0,00	0,9964	-0,12	NA	0,24	0,8731	0,65	0,1203	-0,04	0,9771	-0,13	NA	-0,05	0,9855	0,57	0,2901
Cib2	1,09	-0,22	NA	0,14	0,8712	0,06	NA	-0,01	NA	-0,57	NA	0,30	NA	0,01	NA	-0,05	NA	0,13	NA
Cic	152,19	-0,31	0,2626	-0,11	0,8283	-0,07	1,0000	0,01	0,9968	0,46	0,1560	-0,15	0,7846	-0,28	0,5354	-0,06	0,9531	0,64	0,0606
Cidea	6,05	0,20	0,8048	0,66	0,2772	0,00	NA	0,16	NA	-0,69	0,2801	0,48	0,5915	-0,15	NA	-0,18	0,9170	-1,60	0,0082
Ciip2	1,71	0,32	NA	-0,03	NA	-0,03	NA	0,00	NA	0,12	0,8738	-0,18	0,8557	-0,13	NA	-0,09	NA	-0,34	0,6739
Cinp	21,08	0,54	0,2545	-0,06	0,9569	-0,02	NA	0,40	0,6491	0,38	0,4952	-0,23	0,7990	-0,03	0,9784	-0,15	0,9144	-0,29	0,5894
Cipc	121,42	0,14	0,7014	-0,32	0,3057	-0,18	1,0000	-0,29	0,6020	-1,18	0,0000	-0,18	0,7607	-0,24	0,6432	-0,59	0,1166	-1,52	0,0000
Cir1	26,51	-0,34	0,5042	0,24	0,7259	0,24	1,0000	0,14	0,9437	0,43	0,3095	0,35	0,6405	0,69	0,1683	0,37	0,6750	0,78	0,0614
Cirbp	75,69	-0,25	0,4737	-0,19	0,6682	-0,20	1,0000	0,20	0,8318	0,72	0,0003	0,35	0,5019	0,20	0,7465	0,17	0,8638	0,71	0,0129
Cirh1a	59,10	0,04	0,9378	0,39	0,3469	-0,02	1,0000	0,06	0,9779	0,57	0,0494	0,19	0,7816	-0,06	0,9454	-0,10	0,9345	0,42	0,2053
Cisd1	47,94	0,34	0,3821	-0,35	0,4910	-0,10	1,0000	-0,04	0,9853	-0,28	0,5593	-0,18	0,8134	-0,31	0,6220	-0,04	0,9824	-0,52	0,2038
Cisd2	86,25	0,53	0,0629	0,05	0,9390	-0,09	1,0000	0,34	0,5980	0,24	0,5065	0,09	0,9044	-0,04	0,9634	0,04	0,9784	-0,02	0,9683
Cisd3	14,87	0,35	0,5184	0,50	0,3675	-0,02	NA	0,05	0,9853	0,43	0,4011	0,25	0,7891	-0,44	NA	-0,15	0,9297	0,00	0,9994
Cish	31,92	0,21	0,7480	0,13	0,8631	0,39	0,9702	0,39	0,6285	-0,92	0,0354	-0,19	0,8449	-0,01	0,9963	0,09	0,9590	-1,30	0,0082
Cit	1,85	-0,10	NA	0,04	0,9747	-0,05	NA	-0,05	NA	-0,19	0,8165	-0,12	NA	-0,04	NA	0,01	NA	-0,39	NA

GeneID	CTL	ET-1 vs CTL		SAHA vs CTL		JS28 vs CTL		BSP vs CTL		JQ1 vs CTL		ET-1+SAHA vs ET1		ET-1+JS28 vs ET1		ET-1+BSP vs ET1		ET-1+JQ1 vs ET1	
	mean	log2(FC)	P-adj	log2(FC)	P-adj	log2(FC)	P-adj	log2(FC)	P-adj	log2(FC)	P-adj	log2(FC)	P-adj	log2(FC)	P-adj	log2(FC)	P-adj	log2(FC)	P-adj
Cited1	10,81	0,22	0,7788	-0,59	0,3550	-0,09	NA	-0,03	0,9860	0,44	0,4784	-0,50	0,5777	-0,59	NA	-0,29	0,8369	0,34	0,6749
Cited2	151,24	0,65	0,0330	-0,25	0,4466	-0,12	1,0000	-0,15	0,8674	0,94	0,0000	-0,60	0,2081	-0,44	0,4015	-0,25	0,7806	0,73	0,0486
Cited4	5,45	-0,34	0,6453	0,88	0,0909	0,13	NA	0,01	NA	0,00	0,9997	1,27	0,0348	0,07	NA	0,26	NA	0,19	0,8318
Ciz1	86,13	-0,47	0,1418	-0,20	0,7070	-0,02	1,0000	-0,12	0,9448	0,36	0,3311	-0,07	0,9310	-0,02	0,9765	-0,14	0,9023	0,49	0,1870
Ckap2	22,70	-0,61	0,1556	0,18	0,7955	-0,03	NA	-0,46	0,5144	0,39	0,3817	0,22	0,8292	0,33	NA	0,28	0,8262	0,55	0,3325
Ckap2l	6,07	0,16	0,8525	-0,20	0,8325	0,31	NA	0,10	NA	0,03	0,9766	-0,73	0,3330	0,18	NA	-0,11	0,9565	-0,43	0,6000
Ckap4	144,69	1,15	0,0000	-0,04	0,9523	0,02	1,0000	0,00	0,9998	0,11	0,7440	-0,88	0,0023	-0,80	0,0048	-0,89	0,0012	-0,44	0,2606
Ckap5	257,43	-0,08	0,8128	0,14	0,6516	0,10	1,0000	0,04	0,9798	-0,22	0,3013	-0,15	0,7814	0,20	0,6759	0,15	0,8285	-0,11	0,7302
Ckb	82,61	0,74	0,0014	1,31	0,0000	0,42	0,5932	-0,42	0,4439	-0,47	0,1117	0,86	0,0054	-0,25	0,6411	-0,68	0,0724	-0,53	0,0954
Ckif	5,60	-0,43	0,5210	0,09	0,9369	-0,01	NA	-0,16	NA	0,41	0,5144	0,19	0,8709	0,24	NA	0,15	NA	0,22	0,8077
Ckm	24,78	0,47	0,3334	-0,33	0,6235	-0,12	NA	-0,72	0,1553	-0,22	0,7241	-0,91	0,1181	-1,28	0,0051	-1,02	0,0542	-0,55	0,3635
Ckmt2	8,32	0,05	0,9565	-0,43	0,5556	-0,29	NA	-0,52	NA	-0,64	0,3121	-0,17	0,8904	-0,15	NA	-0,62	0,4703	-0,71	0,3149
Cks1b	19,70	-0,22	0,7528	-0,32	0,6643	-0,02	NA	-0,08	0,9746	-0,42	0,4315	0,28	0,7643	0,07	NA	-0,20	0,8990	0,00	0,9982
Cks2	3,73	-0,33	0,6516	0,28	0,7474	0,01	NA	-0,07	NA	-0,90	0,1362	0,28	0,7953	0,14	NA	-0,20	NA	-0,31	0,7177
Clasp1	1175,52	-0,31	0,0263	-0,42	0,0078	-0,16	1,0000	-0,24	0,4246	-0,56	0,0001	-0,47	0,0519	-0,28	0,3516	-0,25	0,4615	-0,92	0,0000
Clasp2	201,78	-0,33	0,1001	0,00	0,9975	0,14	1,0000	-0,02	0,9860	-0,73	0,0000	0,22	0,6334	0,33	0,3880	-0,06	0,9558	-0,51	0,0659
Clasrp	35,64	-0,25	0,6172	-0,06	0,9445	-0,13	1,0000	0,08	0,9742	0,15	0,7397	-0,18	0,8344	0,28	0,6922	0,32	0,7189	0,40	0,3663
Clca1	5,00	0,38	0,5923	-0,60	0,2838	-0,19	NA	-0,26	NA	-1,04	0,0519	-0,89	0,2010	-0,82	NA	-0,99	NA	-1,50	0,0139
Clcc1	77,06	0,04	0,9230	0,01	0,9926	0,15	1,0000	-0,03	0,9853	-0,23	0,4726	0,22	0,7155	0,16	0,7981	0,07	0,9547	-0,08	0,8676
Clcn1	4,81	-0,70	0,2216	-0,23	0,7955	-0,17	NA	-0,09	NA	-0,10	0,9009	0,11	0,9351	0,12	NA	0,16	NA	0,35	0,6868
Clcn2	6,07	-0,43	0,5184	0,10	0,9288	0,05	NA	0,08	0,9764	0,94	0,0592	0,51	0,5727	0,23	NA	0,10	NA	1,15	0,0416
Clcn3	301,34	0,26	0,2133	-0,67	0,0009	-0,32	0,7128	-0,17	0,8133	-0,35	0,0695	-1,02	0,0000	-0,44	0,1372	-0,69	0,0048	-0,48	0,0304
Clcn4-2	126,58	-0,01	0,9858	-1,39	0,0000	-0,10	1,0000	0,16	0,8681	0,49	0,0516	-0,83	0,0196	0,19	0,7343	0,53	0,1867	0,54	0,0655
Clcn5	32,14	0,20	0,7049	0,31	0,5911	-0,07	NA	-0,17	0,9249	0,14	0,8030	0,10	0,9186	-0,50	0,3960	-0,83	0,1138	0,00	0,9988
Clcn6	28,96	0,13	0,8204	0,13	0,8574	-0,05	NA	-0,15	0,9371	0,66	0,0542	-0,25	0,7603	-0,28	0,7025	-0,13	0,9300	0,34	0,5298
Clcn7	63,19	-0,01	0,9786	-0,04	0,9558	0,05	1,0000	0,06	0,9798	0,47	0,1023	-0,15	0,8316	-0,22	0,7138	0,14	0,8960	0,43	0,2405
Cldn1	1,20	-0,19	NA	-0,27	0,6248	-0,03	NA	-0,17	NA	-0,40	NA	0,05	NA	-0,09	NA	-0,11	NA	-0,16	NA
Cldn12	74,27	0,45	0,2827	-0,15	0,8306	0,21	1,0000	0,37	0,6229	0,09	0,8679	-0,40	0,4930	0,13	0,8771	0,03	0,9911	0,00	0,9999
Cldn23	1,29	0,61	NA	-0,01	NA	0,00	NA	0,07	NA	0,00	NA	-0,02	0,9909	-0,17	NA	-0,28	NA	-0,63	NA
Cldn25	107,27	0,46	0,0919	0,30	0,3870	0,12	1,0000	0,17	0,8671	0,60	0,0184	0,30	0,5338	-0,19	0,7406	0,09	0,9400	0,27	0,4365
Clec11a	1,80	-0,11	NA	-0,14	0,8752	-0,13	NA	-0,09	NA	0,15	0,8621	-0,05	NA	-0,23	NA	-0,28	NA	-0,11	NA
Clec16a	120,55	0,20	0,5354	0,50	0,0296	-0,01	1,0000	0,13	0,9084	0,35	0,1023	0,29	0,5446	0,05	0,9432	0,21	0,7608	0,29	0,3549
Clec2d	1,19	-0,25	NA	-0,17	0,8210	-0,11	NA	0,08	NA	-0,45	0,4478	-0,17	NA	0,00	NA	-0,14	NA	-0,16	NA
Clec2l	5,21	0,18	0,8277	0,12	0,9050	0,09	NA	-0,16	NA	-0,11	0,8959	0,22	0,8534	-0,21	NA	-0,45	NA	-0,76	0,2928
Clic1	119,05	0,28	0,4153	-0,23	0,6251	-0,12	1,0000	-0,27	0,7295	-0,26	0,4307	-0,44	0,2850	-0,51	0,1897	-0,64	0,0732	-0,46	0,1445
Clic4	921,05	0,58	0,0004	-0,20	0,5356	-0,09	1,0000	0,00	0,9972	0,16	0,4972	-0,36	0,1566	-0,44	0,0611	-0,24	0,4707	-0,18	0,3856
Clic5	276,09	1,01	0,0000	0,09	0,8355	0,25	1,0000	-0,27	0,6068	-0,86	0,0001	-0,57	0,0471	-0,51	0,0860	-1,00	0,0000	-1,21	0,0000
Clint1	220,49	0,10	0,7629	0,13	0,7087	0,20	1,0000	0,11	0,9213	-0,06	0,8346	-0,22	0,6583	0,04	0,9559	-0,07	0,9406	-0,11	0,7366
Clip1	517,40	0,50	0,0065	-0,46	0,0127	-0,22	1,0000	-0,33	0,2253	-0,13	0,5266	-0,74	0,0053	-0,40	0,2615	-0,59	0,0397	-0,51	0,0989
Clip2	17,27	-0,77	0,0788	-0,15	0,8562	-0,07	NA	-0,29	0,8196	0,08	0,9008	0,38	0,6713	0,08	NA	0,58	0,4773	0,77	0,1124
Clip3	60,39	-0,93	0,0094	0,67	0,0726	0,02	1,0000	-0,05	0,9853	0,57	0,3207	0,82	0,1027	0,29	0,6973	0,43	0,5957	1,27	0,0089
Clip4	766,20	-0,50	0,0524	-0,47	0,0894	0,00	1,0000	-0,37	0,3748	-0,66	0,0017	-0,01	0,9919	0,05	0,9403	-0,31	0,5123	-0,62	0,0148
Clk1	164,45	-0,31	0,3051	0,19	0,6542	0,32	0,9488	0,47	0,1823	0,08	0,8102	0,31	0,4858	0,67	0,0269	0,65	0,0345	0,22	0,5373
Clk2	52,87	-0,01	0,9924	-0,26	0,5899	-0,07	1,0000	-0,12	0,9437	0,51	0,1222	-0,22	0,7691	-0,14	0,8558	0,18	0,8582	0,58	0,1551
Clk3	43,11	-0,34	0,3428	0,24	0,6031	0,03	1,0000	-0,22	0,8369	0,01	0,9872	0,45	0,4036	0,09	0,9217	0,19	0,8583	-0,03	0,9637

GeneID	CTL	ET-1 vs CTL		SAHA vs CTL		JS28 vs CTL		BSP vs CTL		JQ1 vs CTL		ET-1+SAHA vs ET1		ET-1+JS28 vs ET1		ET-1+BSP vs ET1		ET-1+JQ1 vs ET1	
	mean	log2(FC)	P-adj	log2(FC)	P-adj	log2(FC)	P-adj	log2(FC)	P-adj	log2(FC)	P-adj	log2(FC)	P-adj	log2(FC)	P-adj	log2(FC)	P-adj	log2(FC)	P-adj
Clk4	100,20	-0,22	0,5673	-0,26	0,5226	0,17	1,0000	0,21	0,8147	-0,09	0,8150	-0,16	0,8174	0,59	0,1230	0,33	0,5955	0,09	0,8481
Clmn	2,91	-0,11	0,9007	1,66	0,0002	0,20	NA	0,04	NA	-0,19	0,8180	1,20	0,0530	0,20	NA	0,06	NA	0,07	0,9530
Cln3	8,40	-0,39	0,5581	-0,21	0,8167	0,06	NA	-0,28	0,8294	-0,68	0,2478	0,13	0,9228	0,14	NA	0,12	0,9494	-1,10	0,0976
Cln5	51,33	0,18	0,7239	-0,11	0,8697	0,01	1,0000	0,19	0,8731	0,56	0,0874	-0,12	0,8892	0,05	0,9564	0,09	0,9545	0,34	0,4130
Cln6	29,70	-0,37	0,3750	-0,48	0,3023	0,01	1,0000	0,11	0,9600	0,04	0,9542	-0,24	0,7877	0,12	0,8994	-0,21	0,8660	0,32	0,6417
Cln8	52,09	0,30	0,3651	-0,46	0,2331	0,15	1,0000	0,00	0,9972	0,52	0,0617	-0,31	0,5971	-0,34	0,5333	-0,04	0,9862	0,29	0,4037
Clns1a	50,72	0,28	0,4812	0,26	0,6232	0,03	1,0000	0,00	0,9988	-0,31	0,4423	0,00	0,9986	-0,04	0,9644	-0,10	0,9412	-0,38	0,2965
Clock	244,89	0,01	0,9742	-0,33	0,2218	-0,10	1,0000	-0,05	0,9746	-0,48	0,0378	-0,45	0,1448	0,09	0,8817	-0,25	0,5827	-0,57	0,0407
Clp1	11,87	0,18	0,7954	0,33	0,6473	-0,04	NA	0,29	0,8147	0,36	0,5613	0,34	0,7140	0,21	NA	0,15	0,9304	0,08	0,9277
Clpb	73,43	-0,21	0,5949	0,08	0,8882	-0,17	1,0000	-0,15	0,9078	-0,05	0,8895	0,08	0,9303	-0,33	0,5543	-0,03	0,9909	0,01	0,9800
Clpp	25,75	0,32	0,5485	-0,14	0,8621	-0,10	NA	-0,16	0,9406	-0,26	0,6511	0,05	0,9629	-0,27	0,7136	-0,32	0,7502	-0,58	0,1921
Clptm1	207,12	0,09	0,7578	0,30	0,1717	0,12	1,0000	0,27	0,4665	0,65	0,0000	0,18	0,7031	-0,15	0,7856	0,39	0,2911	0,76	0,0001
Clptm11	102,72	0,39	0,0982	-0,50	0,0869	-0,13	1,0000	-0,15	0,8917	-0,04	0,9238	-0,69	0,0449	-0,50	0,2008	-0,54	0,1687	-0,40	0,1475
Clpx	105,14	0,01	0,9851	0,18	0,6336	0,02	1,0000	0,04	0,9853	-0,33	0,1745	-0,13	0,8382	-0,07	0,9270	0,05	0,9753	-0,30	0,4256
Clsn	4,50	-0,65	0,2692	-0,61	0,3315	-0,08	NA	-0,35	NA	-0,57	0,3982	0,19	0,8681	0,26	NA	-0,01	NA	0,18	0,8520
Clstn1	156,41	-0,18	0,4774	-0,36	0,1381	0,19	1,0000	0,18	0,7757	0,44	0,0168	-0,77	0,0115	-0,36	0,3792	0,28	0,5928	0,57	0,0311
Clstn2	22,70	0,37	0,5832	0,43	0,5280	0,55	NA	0,84	0,0666	0,94	0,0388	-0,32	0,7388	-0,06	0,9629	0,45	0,6187	0,48	0,4192
CIta	88,50	-0,15	0,6509	0,21	0,5940	0,24	1,0000	0,10	0,9464	0,12	0,6990	0,27	0,5966	-0,04	0,9629	0,21	0,7668	0,41	0,1437
CItb	65,26	0,58	0,0392	0,24	0,6150	-0,01	1,0000	-0,01	0,9932	0,06	0,8986	-0,04	0,9666	-0,38	0,4514	-0,21	0,7992	0,00	0,9975
CItc	1953,16	0,33	0,0110	0,04	0,9075	0,01	1,0000	0,12	0,8190	0,20	0,2948	-0,20	0,5253	-0,10	0,8334	-0,13	0,7939	0,01	0,9928
Clu	3950,23	0,14	0,6813	0,14	0,6440	0,02	1,0000	-0,51	0,0156	-0,17	0,3415	0,40	0,2852	-0,30	0,5015	-0,51	0,1174	-0,28	0,4513
Cluap1	16,44	0,01	0,9895	-0,22	0,7807	-0,06	NA	0,09	0,9713	-1,08	0,0227	-0,46	0,5760	0,27	NA	-0,30	0,8037	-1,63	0,0013
Cluh	280,21	0,40	0,0154	0,43	0,0455	-0,09	1,0000	-0,26	0,5216	0,04	0,9035	0,06	0,9155	-0,38	0,2759	-0,31	0,4243	-0,34	0,2581
Clvs1	15,85	-0,65	0,1891	-0,32	0,6669	-0,23	NA	-0,71	0,1767	-1,80	0,0001	0,49	0,5399	0,52	NA	-0,63	0,4512	-1,12	0,0541
Clybl	66,85	0,04	0,9317	0,32	0,3681	0,14	1,0000	-0,01	0,9967	-0,64	0,0175	0,23	0,7219	0,14	0,8536	0,36	0,5506	-0,47	0,1809
Cmas	66,88	0,15	0,7049	0,12	0,8300	-0,02	1,0000	0,52	0,1923	0,21	0,5182	0,14	0,8408	0,14	0,8371	0,14	0,8878	0,01	0,9894
Cmc1	22,70	-0,25	0,6481	0,25	0,6931	0,09	NA	0,18	0,9131	0,21	0,6592	0,37	0,6278	0,29	0,7016	0,47	0,5560	0,14	0,8532
Cmc2	33,71	0,52	0,1583	0,45	0,3051	0,02	NA	0,10	0,9634	0,42	0,3150	0,30	0,6713	-0,26	0,7169	-0,30	0,7434	-0,06	0,9251
Cmip	59,29	0,27	0,5407	0,49	0,1288	0,12	1,0000	-0,24	0,7887	0,72	0,0166	-0,17	0,8336	-0,35	0,5771	-0,48	0,4696	0,39	0,4432
Cml1	2,14	-0,34	NA	0,04	0,9760	-0,12	NA	-0,17	NA	-0,46	0,5035	-0,06	NA	0,13	NA	-0,04	NA	-0,35	NA
Cmpk1	59,04	0,22	0,5641	-0,21	0,6668	-0,13	1,0000	-0,09	0,9628	-0,42	0,1902	-0,20	0,7848	0,09	0,9085	-0,24	0,7895	-0,46	0,2240
Cmss1	6,82	-0,30	0,6741	-0,22	0,8047	-0,10	NA	-0,16	0,9340	-0,33	0,6359	-0,12	0,9307	0,07	NA	-0,13	NA	-0,35	0,6731
Cmtm3	20,27	-0,61	0,2074	-0,80	0,0939	-0,06	NA	-0,51	0,4688	-0,87	0,0488	-0,02	0,9889	0,39	NA	-0,20	0,9025	0,20	0,8078
Cmtm4	198,04	-0,24	0,2794	-0,31	0,2474	-0,17	1,0000	-0,23	0,6695	-0,27	0,2201	-0,20	0,6763	-0,06	0,9194	0,01	0,9936	0,02	0,9649
Cmtm6	48,29	0,04	0,9412	0,05	0,9429	-0,06	1,0000	0,21	0,8420	0,09	0,8180	-0,26	0,7088	-0,19	0,7939	-0,07	0,9616	0,27	0,4740
Cmtm7	1,83	0,17	NA	0,27	0,7251	0,24	NA	-0,03	NA	-0,36	NA	0,06	0,9650	-0,01	NA	-0,07	NA	-0,45	NA
Cmtm8	2,63	-0,28	0,7115	0,23	0,7882	0,06	NA	0,08	NA	-0,25	0,7497	0,19	0,8590	0,04	NA	0,11	NA	-0,38	NA
Cmtr1	91,37	0,07	0,8592	0,15	0,7259	-0,05	1,0000	0,16	0,8797	0,33	0,1784	-0,04	0,9584	0,01	0,9914	0,11	0,9119	0,21	0,5250
Cmtr2	19,26	0,45	0,3550	0,07	0,9451	0,06	NA	0,35	0,7328	0,04	0,9528	-0,44	0,5464	-0,05	0,9644	-0,25	0,8343	-0,45	0,4191
Cmya5	578,77	-0,41	0,1233	-0,70	0,0003	-0,12	1,0000	-0,07	0,9604	-0,34	0,2610	-0,59	0,1012	0,55	0,1157	0,65	0,0484	0,30	0,4777
Cnbd2	3,21	0,21	0,7994	0,17	0,8472	0,13	NA	0,06	NA	0,77	0,2149	-0,30	0,7801	-0,12	NA	-0,02	NA	0,65	0,3634
Cnbp	298,22	0,34	0,1670	-0,10	0,7892	0,13	1,0000	0,15	0,8420	-0,18	0,4674	0,08	0,9018	-0,13	0,8244	-0,25	0,6531	-0,39	0,1625
Cndp2	29,16	0,45	0,3043	0,25	0,6971	0,13	NA	0,13	0,9469	0,08	0,8823	0,15	0,8630	-0,59	0,3134	-0,33	0,7341	-0,33	0,5524
Cnep1r1	73,56	0,08	0,8554	0,20	0,6506	0,00	1,0000	0,38	0,4564	0,15	0,6649	0,40	0,3759	0,30	0,5636	0,34	0,5524	0,04	0,9412
Cnih1	120,02	0,57	0,0041	0,02	0,9798	-0,12	1,0000	-0,11	0,9417	-0,12	0,7229	-0,07	0,9144	-0,31	0,4678	-0,49	0,1817	-0,43	0,2435

GeneID	CTL	ET-1 vs CTL		SAHA vs CTL		JS28 vs CTL		BSP vs CTL		JQ1 vs CTL		ET-1+SAHA vs ET1		ET-1+JS28 vs ET1		ET-1+BSP vs ET1		ET-1+JQ1 vs ET1	
	mean	log2(FC)	P-adj	log2(FC)	P-adj	log2(FC)	P-adj	log2(FC)	P-adj	log2(FC)	P-adj	log2(FC)	P-adj	log2(FC)	P-adj	log2(FC)	P-adj	log2(FC)	P-adj
Cnih2	1,79	-0,21	NA	-0,21	0,7793	-0,13	NA	-0,06	NA	-0,15	0,8574	0,17	NA	-0,12	NA	-0,01	NA	0,21	0,8171
Cnih4	156,87	0,55	0,0258	-0,42	0,2073	-0,31	1,0000	-0,49	0,2211	-0,61	0,0175	-0,27	0,5680	-0,34	0,4372	-0,34	0,4923	-0,77	0,0025
Cnksr2	6,41	0,20	0,8044	0,65	0,2794	-0,01	NA	-0,02	NA	0,08	0,9219	0,68	0,3570	0,22	NA	0,00	1,0000	0,31	0,6852
Cnksr3	33,17	-0,06	0,9123	-0,56	0,1987	-0,16	1,0000	-0,12	0,9555	0,52	0,1182	-0,46	0,4671	-0,06	0,9522	0,24	0,8204	0,69	0,0504
Cnn1	157,68	2,10	0,0000	-0,63	0,1541	-0,25	1,0000	-0,82	0,0428	-1,30	0,0003	-0,88	0,0003	-1,16	0,0000	-1,30	0,0000	-1,70	0,0000
Cnn2	75,73	1,29	0,0000	-0,25	0,6521	-0,10	1,0000	-0,59	0,2282	-0,12	0,8180	-0,82	0,0443	-1,24	0,0002	-1,62	0,0000	-0,87	0,0316
Cnn3	97,07	0,24	0,5197	-0,10	0,8524	-0,03	1,0000	0,05	0,9805	0,25	0,4029	-0,23	0,7067	-0,17	0,7874	-0,17	0,8511	0,08	0,8691
Cnnm1	2,61	0,66	0,2507	-0,17	0,7976	-0,01	NA	0,16	NA	0,01	0,9874	-0,23	0,8396	-0,46	NA	-0,51	NA	-0,62	0,4129
Cnnm2	12,92	0,00	0,9993	0,25	0,7486	0,00	NA	-0,07	0,9835	0,13	0,8444	0,42	0,6224	0,06	NA	-0,02	0,9931	0,13	0,8635
Cnnm3	44,12	-0,35	0,3751	-0,36	0,4292	0,11	1,0000	0,24	0,8062	0,54	0,0704	-0,21	0,8122	0,29	0,6695	0,53	0,3693	0,84	0,0150
Cnnm4	18,91	0,28	0,6176	0,47	0,3901	0,05	NA	1,14	0,0007	2,43	0,0000	-0,02	0,9893	-0,40	NA	1,13	0,0056	2,26	0,0000
Cnot1	773,53	-0,30	0,0435	-0,02	0,9531	-0,06	1,0000	0,01	0,9901	-0,14	0,4546	0,18	0,6151	0,25	0,4286	0,39	0,1244	0,12	0,6409
Cnot10	47,45	-0,12	0,8128	0,29	0,5360	0,17	1,0000	0,20	0,8671	0,44	0,1507	0,40	0,4506	0,17	0,8171	0,14	0,9077	0,37	0,3491
Cnot11	57,46	0,20	0,5812	-0,19	0,7161	0,05	1,0000	0,28	0,7006	0,17	0,6470	-0,15	0,8292	-0,03	0,9707	0,13	0,9119	0,04	0,9325
Cnot2	65,89	-0,04	0,9446	0,08	0,8986	0,05	1,0000	0,11	0,9472	0,23	0,4980	0,06	0,9394	0,29	0,5873	0,15	0,8739	0,09	0,8425
Cnot3	59,63	-0,01	0,9868	0,04	0,9550	-0,02	1,0000	-0,07	0,9746	0,56	0,1383	-0,43	0,4534	0,10	0,9070	0,39	0,5483	0,73	0,0741
Cnot4	114,85	0,08	0,8750	-0,23	0,5527	-0,16	1,0000	0,13	0,9131	0,43	0,0703	-0,26	0,6746	-0,02	0,9776	0,00	1,0000	0,33	0,3739
Cnot6	239,36	-0,12	0,7320	0,01	0,9872	0,00	1,0000	0,24	0,6249	-0,30	0,2020	0,23	0,6257	0,62	0,0480	0,33	0,4718	-0,18	0,6649
Cnot6l	187,95	-0,33	0,1109	0,06	0,8836	0,17	1,0000	0,43	0,1131	-0,14	0,5529	0,52	0,0864	0,57	0,0490	0,52	0,0852	0,00	0,9982
Cnot7	253,40	0,11	0,6487	-0,31	0,1840	-0,17	1,0000	-0,15	0,8274	-0,09	0,7288	0,08	0,8838	0,30	0,3789	-0,18	0,7274	-0,23	0,3739
Cnot8	67,83	-0,29	0,4050	-0,01	0,9895	-0,02	1,0000	-0,03	0,9853	-0,40	0,1580	0,36	0,5183	0,27	0,6719	0,27	0,7524	-0,09	0,8496
Cnp	10,80	-0,33	0,6329	0,60	0,2858	0,09	NA	-0,10	0,9717	0,46	0,4088	1,01	0,0939	0,00	NA	0,02	0,9936	0,68	0,2325
Cnppd1	57,13	-0,34	0,3482	-0,01	0,9899	-0,12	1,0000	-0,38	0,5770	-0,07	0,8782	-0,01	0,9960	-0,21	0,7690	-0,50	0,4088	0,18	0,7451
Cnpy2	43,19	-0,03	0,9614	-0,52	0,3015	-0,05	1,0000	0,01	0,9932	-0,18	0,7185	0,13	0,8689	0,26	0,6804	0,24	0,7963	-0,08	0,8741
Cnpy3	25,88	0,19	0,7166	0,09	0,9099	0,10	NA	0,08	0,9764	0,29	0,4952	-0,30	0,7163	0,00	0,9963	0,01	0,9967	0,28	0,5552
Cnpy4	5,03	-0,59	0,3362	-0,10	0,9288	0,00	NA	-0,42	NA	-0,44	0,5217	0,26	0,8107	0,28	NA	0,30	NA	-0,04	0,9753
Cnst	99,10	-0,36	0,1891	-0,34	0,3187	-0,12	1,0000	0,10	0,9472	0,13	0,6739	0,42	0,3159	0,36	0,4379	0,35	0,5180	0,14	0,7032
Cntd1	1,65	0,33	NA	-0,08	NA	-0,01	NA	-0,10	NA	-0,09	NA	-0,39	NA	0,09	NA	-0,26	NA	-0,20	0,8318
Cntfr	12,36	-0,56	0,3392	0,48	0,4444	-0,12	NA	-0,17	0,9306	-0,36	0,5788	0,37	0,7148	0,12	NA	-0,39	0,7351	-0,44	0,5703
Cntln	19,96	-0,08	0,9189	-0,58	0,2595	0,02	NA	-0,04	0,9853	-1,35	0,0015	-0,83	0,2077	0,23	NA	-0,29	0,8256	-0,94	0,0999
Cntn1	4,09	0,22	0,7865	1,99	0,0000	0,11	NA	0,19	NA	-0,58	0,3835	1,47	0,0073	0,11	NA	-0,13	NA	-0,99	0,1451
Cntn2	2,84	0,21	0,7845	1,13	0,0202	0,55	NA	0,30	NA	-0,35	0,6050	0,44	0,6475	0,44	NA	-0,05	NA	-0,60	0,4350
Cntn3	7,71	0,24	0,7528	0,12	0,9046	-0,02	NA	0,24	0,8643	0,18	0,8072	0,45	0,6211	0,73	NA	0,63	0,4423	-0,12	0,8948
Cntn5	1,03	0,16	NA	0,08	NA	-0,04	NA	-0,10	NA	-0,19	NA	-0,16	NA	-0,05	NA	-0,27	NA	-0,47	NA
Cntnap1	1,85	-0,28	NA	0,12	0,8980	-0,11	NA	-0,21	NA	-0,40	0,5711	0,11	NA	0,02	NA	-0,21	NA	-0,05	NA
Cntrl	85,71	-0,60	0,0155	-0,60	0,0283	0,00	1,0000	-0,40	0,3748	-0,79	0,0016	-0,31	0,6184	0,33	0,5266	0,14	0,8982	-0,29	0,4740
Cntrob	20,14	-0,32	0,5243	-0,06	0,9431	-0,11	NA	-0,15	0,9430	0,37	0,4144	-0,41	0,6365	0,01	NA	0,36	0,7186	0,75	0,0918
Coa3	35,26	0,30	0,5236	-0,20	0,7679	0,02	1,0000	-0,23	0,8643	-0,40	0,3736	0,03	0,9794	-0,14	0,8722	-0,13	0,9178	0,01	0,9909
Coa4	13,06	0,13	0,8683	0,28	0,7087	-0,23	NA	0,22	0,8929	0,47	0,3504	0,03	0,9824	-0,06	NA	0,26	0,8492	0,06	0,9431
Coa5	231,27	0,18	0,6736	0,00	0,9960	0,11	1,0000	-0,07	0,9717	-0,67	0,0066	0,18	0,7776	0,09	0,9039	-0,14	0,8860	-0,70	0,0437
Coa6	15,60	-0,08	0,9187	-0,07	0,9462	0,12	NA	0,37	0,6846	-0,28	0,6367	0,56	0,4245	0,40	NA	0,44	0,6427	0,11	0,8896
Coa7	45,64	-0,09	0,8573	-0,37	0,3821	-0,23	1,0000	-0,02	0,9901	-0,14	0,7327	-0,25	0,7389	-0,04	0,9699	-0,09	0,9531	-0,04	0,9506
Coasy	25,56	-0,11	0,8616	0,23	0,7231	0,19	NA	0,08	0,9745	0,22	0,6507	0,03	0,9801	0,13	0,8871	0,29	0,7719	0,13	0,8288
Cobl	38,76	-0,34	0,4301	0,40	0,3962	0,18	1,0000	0,11	0,9573	-0,71	0,0794	0,45	0,4262	0,02	0,9837	0,14	0,9170	-0,27	0,6237
Cobl1	181,06	-0,59	0,0211	-0,25	0,4661	-0,14	1,0000	0,15	0,8731	0,31	0,1699	-0,06	0,9410	0,37	0,4392	0,54	0,1834	0,69	0,0163

GeneID	CTL	ET-1 vs CTL		SAHA vs CTL		JS28 vs CTL		BSP vs CTL		JQ1 vs CTL		ET-1+SAHA vs ET1		ET-1+JS28 vs ET1		ET-1+BSP vs ET1		ET-1+JQ1 vs ET1	
	mean	log2(FC)	P-adj	log2(FC)	P-adj	log2(FC)	P-adj	log2(FC)	P-adj	log2(FC)	P-adj	log2(FC)	P-adj	log2(FC)	P-adj	log2(FC)	P-adj	log2(FC)	P-adj
Cog1	68,11	0,03	0,9559	-1,14	0,0000	-0,01	1,0000	-0,04	0,9853	-0,12	0,7452	-0,96	0,0108	-0,27	0,6365	-0,15	0,8759	-0,27	0,4989
Cog2	60,46	-0,10	0,8442	-0,15	0,7890	0,13	1,0000	0,12	0,9399	0,17	0,6460	-0,03	0,9739	0,00	0,9963	0,13	0,9099	0,01	0,9923
Cog3	74,55	-0,06	0,9141	0,04	0,9464	0,15	1,0000	0,19	0,8514	0,00	0,9981	0,18	0,8036	0,17	0,8190	0,11	0,9300	0,13	0,7788
Cog4	137,45	-0,02	0,9650	-0,10	0,8261	0,09	1,0000	0,12	0,9158	0,18	0,5487	-0,15	0,8245	-0,12	0,8658	0,31	0,5886	0,22	0,5363
Cog5	78,00	-0,15	0,6666	0,24	0,4938	-0,23	1,0000	0,03	0,9853	-0,29	0,2975	0,47	0,2517	0,12	0,8658	-0,14	0,8915	-0,30	0,3683
Cog6	127,79	0,12	0,7039	-0,24	0,4586	-0,03	1,0000	-0,05	0,9746	-0,25	0,4024	-0,33	0,4358	0,00	0,9963	-0,06	0,9565	-0,14	0,6914
Cog7	57,93	-0,32	0,3647	0,26	0,5149	0,06	1,0000	-0,47	0,3089	-0,88	0,0011	0,65	0,1458	0,33	0,5715	-0,13	0,9192	-0,93	0,0239
Cog8	47,28	0,27	0,5180	0,12	0,8456	0,07	1,0000	0,00	0,9988	0,47	0,1341	0,05	0,9586	-0,37	0,5176	-0,27	0,7530	0,25	0,5602
Coil	22,67	-0,12	0,8394	-0,31	0,6097	-0,16	NA	-0,19	0,9021	0,07	0,9071	0,01	0,9930	0,14	0,8813	0,19	0,8926	-0,15	0,8149
Col11a1	1,39	0,08	NA	2,32	0,0000	0,08	NA	0,04	NA	-0,09	0,9086	2,00	0,0001	0,25	NA	-0,03	NA	-0,10	NA
Col11a2	12,23	-0,24	0,7473	0,15	0,8654	-0,16	NA	0,26	0,8581	0,12	0,8807	0,33	0,7404	-0,12	NA	0,07	0,9789	0,36	0,5980
Col12a1	75,65	1,76	0,0000	-0,83	0,0501	-0,61	NA	-0,95	0,0141	-0,56	0,1824	-2,18	0,0000	-1,58	0,0000	-1,78	0,0000	-1,55	0,0000
Col13a1	3,55	-0,86	0,1056	-0,18	0,8423	-0,07	NA	-0,36	NA	-0,75	0,2315	0,17	NA	-0,09	NA	-0,02	NA	-0,41	NA
Col16a1	5,06	0,23	0,7697	-0,02	0,9861	-0,08	NA	-0,28	NA	-0,43	0,5449	-0,03	0,9853	-0,47	NA	-0,84	NA	-1,48	0,0159
Col18a1	23,96	-1,35	0,0005	1,00	0,0153	-0,22	1,0000	0,24	0,8671	-1,10	0,0137	1,84	0,0000	0,22	NA	0,16	0,9250	-0,26	0,7609
Col19a1	1,09	0,49	NA	0,07	NA	-0,01	NA	-0,02	NA	-0,02	NA	-0,39	NA	-0,21	NA	-0,18	NA	-0,34	NA
Col20a1	13,33	0,00	0,9969	-0,10	0,9250	-0,23	NA	-0,06	0,9853	0,50	0,3614	-0,38	0,7110	-0,47	NA	-0,08	0,9712	0,50	0,4816
Col22a1	1,02	0,14	NA	0,34	0,5554	0,06	NA	-0,05	NA	-0,14	NA	-0,11	NA	-0,13	NA	-0,15	NA	-0,28	NA
Col4a1	1142,51	1,54	0,0000	-0,32	0,2424	0,12	1,0000	-0,33	0,4092	0,12	0,6287	-1,22	0,0000	-1,13	0,0000	-1,23	0,0000	-0,58	0,0204
Col4a2	1360,85	1,26	0,0000	-0,05	0,8947	0,13	1,0000	-0,34	0,2273	0,19	0,4144	-0,99	0,0000	-0,95	0,0000	-0,78	0,0000	-0,43	0,0921
Col4a3	6,84	-0,16	0,8470	0,40	0,6004	0,43	NA	0,48	0,5133	-0,54	0,4226	0,53	0,5419	0,94	NA	0,02	0,9957	-0,21	0,8148
Col4a3bp	165,27	-0,04	0,9225	-0,32	0,3497	-0,09	1,0000	0,30	0,5926	0,10	0,7441	-0,22	0,6250	0,18	0,7076	0,09	0,9138	0,11	0,7864
Col4a4	10,13	0,06	0,9504	0,89	0,0905	0,45	NA	0,48	0,5216	-0,33	0,6427	0,22	0,8454	0,59	NA	0,10	0,9608	-0,44	0,5516
Col4a5	841,52	-0,03	0,9355	-0,92	0,0000	-0,17	1,0000	-0,27	0,4246	-0,28	0,0859	-0,61	0,0326	-0,20	0,6516	-0,30	0,4841	-0,40	0,1060
Col4a6	233,53	0,01	0,9871	-0,13	0,7280	-0,12	1,0000	-0,04	0,9829	0,05	0,8739	-0,11	0,8297	-0,39	0,2896	-0,06	0,9510	0,04	0,9183
Col5a1	41,18	0,02	0,9742	0,10	0,8919	0,00	1,0000	-0,70	0,1136	-0,49	0,2147	-0,15	0,8532	-0,25	0,7138	-0,78	0,1121	-0,85	0,0346
Col5a2	6,67	0,37	0,5952	-0,06	0,9621	0,42	NA	0,25	NA	-0,08	0,9222	-0,13	0,9232	0,22	NA	-0,20	0,9068	-0,32	0,6842
Col6a1	102,04	-1,01	0,0001	-0,99	0,0007	0,08	1,0000	-0,61	0,1163	-1,46	0,0000	-0,46	0,3704	0,15	0,8390	-0,50	0,3815	-0,78	0,1108
Col6a2	163,59	-0,12	0,8380	-0,82	0,0221	-0,10	1,0000	-0,68	0,1078	-1,08	0,0347	-1,17	0,0011	-0,47	0,3425	-0,53	0,2902	-0,64	0,3514
Col6a6	4,68	-1,09	0,0256	-0,23	0,7930	-0,11	NA	-0,46	NA	-0,96	0,0985	0,02	NA	0,27	NA	-0,12	NA	-0,33	NA
Col7a1	5,51	-0,23	0,7734	0,08	0,9469	-0,08	NA	0,19	0,9156	0,93	0,0899	0,47	0,6137	0,20	NA	0,39	0,7235	0,85	0,1910
Col9a3	1,56	-0,29	NA	-0,19	0,8153	0,01	NA	-0,08	NA	0,66	0,3084	0,03	NA	0,08	NA	0,22	NA	0,53	0,4939
Colec12	38,29	0,00	0,9997	-0,16	0,8003	0,33	1,0000	-0,27	0,7954	0,13	0,7685	0,09	0,9270	0,24	0,7405	0,13	0,9250	0,25	0,6240
Colgalt2	3,35	0,35	0,6306	-0,16	0,8524	-0,14	NA	-0,14	NA	-0,61	0,3251	-0,32	0,7597	-0,20	NA	0,02	NA	-0,62	0,4185
Colq	1,61	0,52	NA	0,51	0,3403	0,08	NA	0,16	NA	-0,21	NA	0,13	0,9183	0,02	NA	-0,47	NA	-0,79	NA
Commd1	40,78	-0,03	0,9580	-0,22	0,7309	-0,25	1,0000	0,13	0,9469	-0,12	0,8191	0,28	0,6955	-0,04	0,9676	0,19	0,8618	0,03	0,9721
Commd10	32,02	0,18	0,7344	-0,10	0,8978	0,00	NA	0,02	0,9925	0,15	0,7539	0,05	0,9601	-0,13	0,8795	-0,17	0,8949	0,10	0,8535
Commd2	17,15	-0,16	0,8086	-0,02	0,9845	-0,04	NA	0,22	0,8841	-0,62	0,2134	0,49	0,4816	0,09	NA	-0,05	0,9852	-0,12	0,8716
Commd3	153,56	-0,06	0,8625	0,00	0,9981	-0,02	1,0000	0,01	0,9932	0,19	0,4226	0,23	0,6365	0,16	0,7684	0,20	0,7608	0,24	0,4060
Commd4	14,48	0,01	0,9939	-0,37	0,6048	0,12	NA	-0,44	0,5969	-0,77	0,1244	-0,16	0,8872	-0,26	NA	-0,56	0,5180	-1,05	0,0504
Commd5	11,91	0,29	0,6636	-0,47	0,4909	0,19	NA	0,25	0,8610	0,24	0,7115	0,16	0,8877	-0,37	NA	0,01	0,9967	-0,06	0,9420
Commd6	49,28	0,10	0,8477	0,02	0,9799	-0,02	1,0000	0,20	0,8504	-0,13	0,7779	0,35	0,5552	0,04	0,9712	0,37	0,5924	-0,05	0,9286
Commd7	20,49	-0,50	0,2832	-0,79	0,0871	-0,19	NA	-0,17	0,9264	-0,70	0,1121	-0,11	0,9305	0,19	NA	-0,07	0,9784	-0,13	0,8591
Commd8	71,83	0,05	0,9132	-0,14	0,8060	0,07	1,0000	0,23	0,7927	-0,16	0,7046	-0,03	0,9742	0,37	0,4246	0,26	0,7034	-0,03	0,9548
Commd9	23,62	-0,05	0,9446	-0,06	0,9444	-0,02	NA	0,00	0,9986	0,18	0,7418	0,28	0,7498	0,28	0,7226	-0,04	0,9878	0,47	0,3402

GeneID	CTL	ET-1 vs CTL		SAHA vs CTL		JS28 vs CTL		BSP vs CTL		JQ1 vs CTL		ET-1+SAHA vs ET1		ET-1+JS28 vs ET1		ET-1+BSP vs ET1		ET-1+JQ1 vs ET1	
	mean	log2(FC)	P-adj	log2(FC)	P-adj	log2(FC)	P-adj	log2(FC)	P-adj	log2(FC)	P-adj	log2(FC)	P-adj	log2(FC)	P-adj	log2(FC)	P-adj	log2(FC)	P-adj
Comt	62,59	0,20	0,6444	-0,19	0,7445	0,08	1,0000	-0,57	0,2232	-1,14	0,0002	-0,41	0,4099	-0,12	0,8713	-0,15	0,8787	-1,08	0,0003
Comtd1	8,80	0,47	0,4574	0,11	0,9166	-0,12	NA	-0,19	NA	-0,16	0,8405	0,13	0,9134	-0,42	NA	-0,35	0,7766	-0,20	0,7902
Copa	443,84	0,00	0,9945	0,09	0,8003	0,03	1,0000	-0,04	0,9769	0,31	0,0592	-0,06	0,9171	-0,21	0,5824	-0,18	0,7067	0,27	0,1503
Copb1	244,01	0,03	0,9370	-0,05	0,9203	0,03	1,0000	0,03	0,9853	-0,15	0,5806	-0,04	0,9572	0,07	0,9042	-0,01	0,9967	-0,18	0,6725
Copb2	325,54	0,17	0,4371	0,07	0,8391	0,04	1,0000	0,05	0,9649	0,09	0,6934	0,11	0,8267	0,12	0,7992	0,21	0,6673	0,07	0,8558
Cope	118,44	0,43	0,0966	0,06	0,9057	0,21	1,0000	0,13	0,9156	0,12	0,7024	-0,08	0,9034	-0,34	0,4576	-0,14	0,8713	-0,14	0,7043
Copg1	180,75	0,22	0,4272	-0,38	0,1414	0,05	1,0000	0,13	0,8928	0,12	0,6470	-0,55	0,0950	-0,30	0,4869	-0,04	0,9792	-0,01	0,9769
Copg2	118,00	0,03	0,9646	0,15	0,7409	0,03	1,0000	0,07	0,9647	-0,04	0,9131	0,48	0,2972	0,02	0,9834	-0,08	0,9500	-0,09	0,8830
Coprs	10,93	-0,13	0,8594	-0,24	0,7712	-0,14	NA	-0,18	0,9249	0,12	0,8635	0,64	0,3697	0,00	NA	0,05	0,9859	0,14	0,8664
Cops2	326,26	0,00	0,9968	0,26	0,3094	0,08	1,0000	0,14	0,8616	-0,09	0,7340	0,17	0,7245	0,37	0,2659	0,25	0,5726	0,07	0,8551
Cops3	182,17	0,37	0,0579	-0,21	0,4850	0,11	1,0000	0,25	0,6028	0,24	0,3260	-0,31	0,4497	-0,11	0,8407	0,11	0,8833	0,07	0,8582
Cops4	109,34	0,02	0,9682	-0,06	0,9083	-0,01	1,0000	0,22	0,7627	-0,28	0,3511	-0,04	0,9601	0,13	0,8390	0,11	0,9138	-0,27	0,5125
Cops5	129,95	-0,04	0,9370	0,01	0,9894	0,08	1,0000	0,12	0,8998	-0,34	0,1594	0,10	0,8912	0,10	0,8932	0,25	0,7106	-0,32	0,4593
Cops6	84,56	0,19	0,6037	0,21	0,5605	0,05	1,0000	0,19	0,8296	0,20	0,5028	0,00	0,9991	-0,02	0,9837	0,46	0,3339	0,00	0,9953
Cops7a	104,10	0,17	0,6677	-0,90	0,0016	-0,29	1,0000	-0,37	0,5135	0,58	0,0722	-0,66	0,0682	-0,45	0,2861	-0,21	0,7880	0,59	0,2004
Cops7b	24,25	0,19	0,7419	0,38	0,4933	0,02	NA	0,12	0,9601	-0,33	0,5126	-0,10	0,9216	-0,30	0,6938	-0,01	0,9967	-0,25	0,6346
Cops8	63,71	0,29	0,4083	-0,01	0,9899	-0,15	1,0000	0,07	0,9764	0,03	0,9434	0,23	0,7139	-0,28	0,6288	-0,21	0,8156	0,01	0,9924
Copz1	90,27	0,18	0,6155	0,28	0,3966	0,04	1,0000	0,02	0,9884	0,61	0,0084	0,19	0,7532	-0,14	0,8354	-0,04	0,9792	0,44	0,2448
Copz2	31,02	-0,18	0,7627	-0,54	0,2655	0,14	1,0000	-0,12	0,9510	-0,41	0,3655	-0,29	0,7383	0,22	0,7945	-0,15	0,9192	-0,17	0,7866
Coq10a	38,00	-0,32	0,4268	0,01	0,9927	0,22	1,0000	0,35	0,6004	0,96	0,0002	0,41	0,5183	0,21	0,7883	0,58	0,3191	1,19	0,0001
Coq10b	76,53	0,95	0,0009	0,24	0,6937	0,21	1,0000	0,18	0,9068	0,45	0,2785	-0,32	0,5149	-0,24	0,6729	-0,37	0,5141	0,08	0,9138
Coq2	51,22	0,22	0,5856	-0,42	0,3229	0,02	1,0000	0,05	0,9853	-0,22	0,5704	-0,38	0,4945	-0,27	0,6630	-0,02	0,9931	-0,68	0,0565
Coq3	18,18	0,38	0,4953	-0,28	0,7087	-0,23	NA	-0,09	0,9737	-0,08	0,9091	-0,21	0,8306	-0,27	NA	-0,13	0,9374	-0,26	0,6954
Coq4	13,92	0,03	0,9687	0,18	0,8320	-0,03	NA	-0,18	0,9247	-0,53	0,3334	0,64	0,3204	-0,07	NA	-0,18	0,9077	-0,18	0,8109
Coq5	68,49	0,39	0,2897	-0,09	0,8816	-0,29	1,0000	-0,25	0,7893	-0,45	0,1414	-0,10	0,9044	-0,40	0,4789	-0,39	0,5657	-0,69	0,0798
Coq6	33,90	0,03	0,9641	0,23	0,6865	0,06	1,0000	-0,16	0,9213	-0,31	0,4758	0,51	0,3650	-0,27	0,7063	-0,08	0,9608	-0,27	0,5974
Coq7	17,75	0,02	0,9858	-0,80	0,1232	-0,29	NA	-0,26	0,8504	-1,25	0,0079	-0,40	0,6563	0,21	NA	-0,10	0,9608	-0,74	0,1859
Coq9	173,34	0,06	0,8998	-0,23	0,5788	-0,21	1,0000	0,04	0,9853	0,01	0,9903	-0,08	0,9048	-0,11	0,8548	0,29	0,5388	0,07	0,8487
Corin	178,89	-0,84	0,0015	-1,07	0,0001	-0,24	1,0000	-1,04	0,0001	-2,06	0,0000	-0,06	0,9358	0,45	0,2924	-0,41	0,4560	-1,72	0,0000
Coro1b	35,97	0,28	0,5577	-0,28	0,6568	0,23	1,0000	0,12	0,9564	0,39	0,3486	-0,45	0,4627	-0,35	0,6045	-0,08	0,9595	0,15	0,7764
Coro1c	54,83	0,25	0,5522	0,53	0,1271	0,07	1,0000	-0,03	0,9860	0,51	0,0752	0,09	0,9157	-0,23	0,7263	-0,40	0,5551	0,12	0,7964
Coro2b	8,04	-0,09	0,9195	-0,19	0,8355	0,17	NA	0,24	0,8670	-0,33	0,6359	-0,15	0,9049	-0,41	NA	0,09	0,9686	0,16	0,8585
Coro6	264,34	0,13	0,6228	-0,42	0,0855	0,12	1,0000	-0,35	0,3244	-0,67	0,0216	-0,65	0,0124	-0,13	0,7833	-0,07	0,9412	-0,48	0,2468
Coro7	16,31	-0,19	0,7676	0,89	0,0265	0,15	NA	0,00	0,9986	0,42	0,3869	0,42	0,5897	0,18	NA	0,01	0,9966	0,36	0,5171
Cotl1	2,14	-0,28	NA	0,51	0,4477	-0,06	NA	0,15	NA	1,09	0,0533	0,34	NA	0,00	NA	0,00	NA	0,68	0,3511
Cox10	61,54	0,52	0,0838	-0,59	0,1235	-0,27	1,0000	-0,59	0,2057	-0,83	0,0244	-0,52	0,2614	-0,26	0,6649	-0,34	0,6064	-0,64	0,1359
Cox11	39,65	0,28	0,5103	-0,31	0,5685	-0,27	1,0000	-0,03	0,9853	-0,69	0,0658	0,25	0,7124	0,02	0,9837	-0,14	0,9065	-0,59	0,1286
Cox14	23,27	0,09	0,9027	-0,36	0,6040	-0,13	NA	-0,12	0,9626	-0,44	0,4039	-0,11	0,9157	-0,17	0,8558	-0,17	0,9065	-0,36	0,5166
Cox15	61,44	0,31	0,3334	-0,37	0,3728	-0,09	1,0000	0,20	0,8500	0,11	0,7846	-0,16	0,8135	-0,28	0,6185	-0,15	0,8772	-0,23	0,5330
Cox16	12,82	-0,17	0,8047	0,00	0,9981	0,15	NA	0,00	0,9997	-0,21	0,7548	0,12	0,9243	0,11	NA	0,50	0,5788	0,02	0,9803
Cox17	93,19	0,26	0,4737	0,71	0,0039	-0,27	1,0000	0,11	0,9371	0,20	0,5912	1,04	0,0007	-0,42	0,3868	-0,07	0,9602	-0,19	0,6552
Cox18	18,35	0,83	0,0386	0,15	0,8674	-0,01	NA	-0,22	0,8923	0,65	0,1739	-0,24	0,7877	-0,08	0,9427	-0,37	0,6935	-0,25	0,6908
Cox19	31,79	0,25	0,6366	0,45	0,3723	0,44	0,7849	0,13	0,9469	0,07	0,8947	0,41	0,4979	0,03	0,9765	-0,03	0,9918	0,02	0,9811
Cox20	93,98	0,64	0,0062	-0,20	0,6716	-0,13	1,0000	-0,14	0,9141	-1,28	0,0000	0,02	0,9782	0,01	0,9939	-0,32	0,5681	-1,53	0,0000
Cox4i1	557,86	0,13	0,7633	-0,25	0,5472	-0,24	1,0000	-0,17	0,8719	0,22	0,4896	0,16	0,7789	-0,29	0,5552	0,11	0,9028	0,25	0,5862

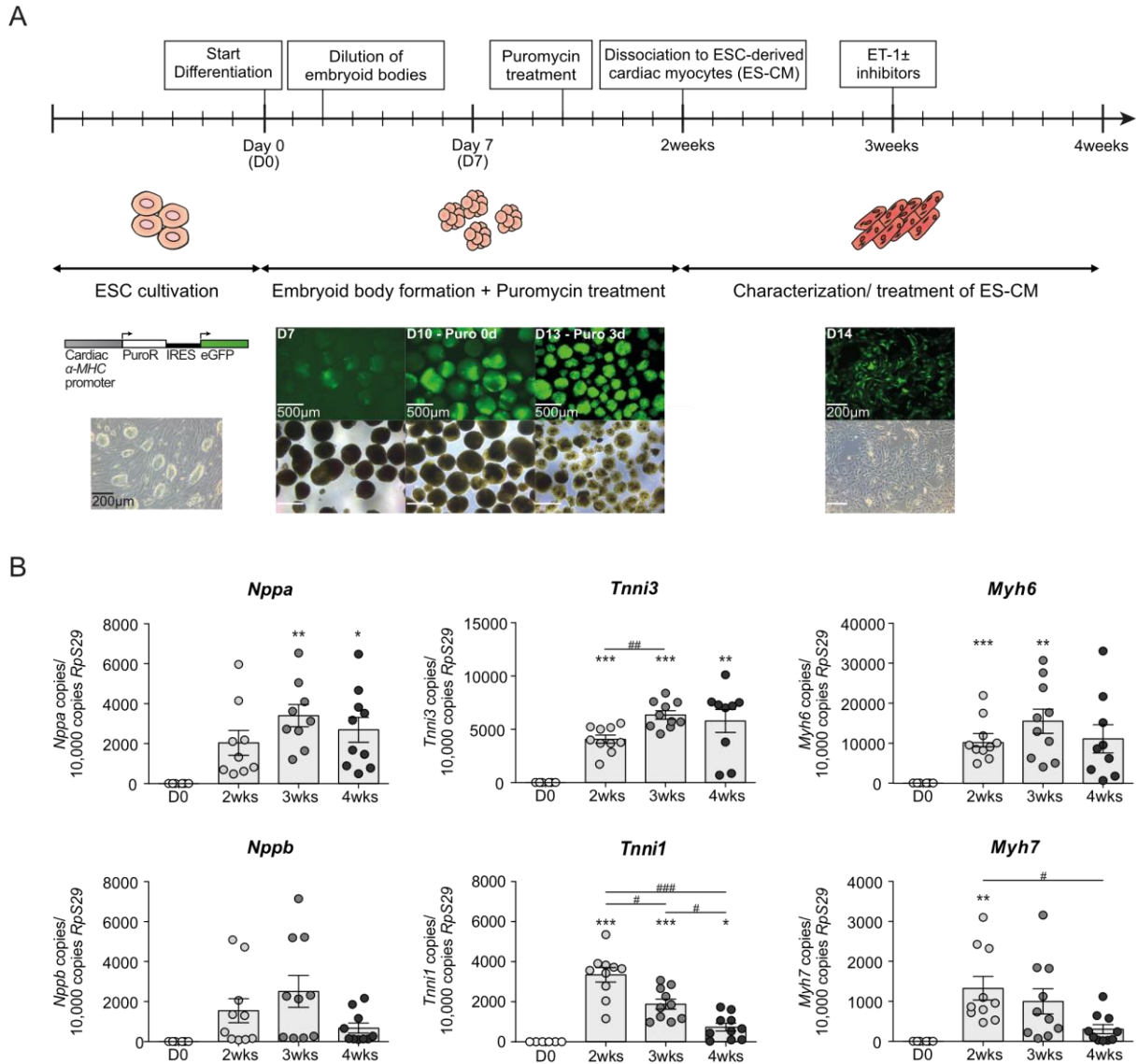
GeneID	CTL	ET-1 vs CTL		SAHA vs CTL		JS28 vs CTL		BSP vs CTL		JQ1 vs CTL		ET-1+SAHA vs ET1		ET-1+JS28 vs ET1		ET-1+BSP vs ET1		ET-1+JQ1 vs ET1	
	mean	log2(FC)	P-adj	log2(FC)	P-adj	log2(FC)	P-adj	log2(FC)	P-adj	log2(FC)	P-adj	log2(FC)	P-adj	log2(FC)	P-adj	log2(FC)	P-adj	log2(FC)	P-adj
Cox5a	189,66	0,60	0,0596	0,17	0,7687	0,10	1,0000	0,22	0,8423	-0,12	0,7896	-0,07	0,9325	-0,40	0,3789	-0,02	0,9918	-0,46	0,1469
Cox5b	202,28	0,33	0,2921	-0,20	0,6160	0,04	1,0000	-0,03	0,9853	-0,20	0,5496	-0,10	0,8815	-0,29	0,5676	-0,14	0,8787	-0,53	0,1114
Cox6a1	92,83	0,81	0,0003	-0,04	0,9505	-0,22	1,0000	-0,44	0,3592	0,36	0,1587	-0,04	0,9595	-0,54	0,1912	-0,50	0,2867	-0,31	0,3726
Cox6a2	116,26	0,38	0,5856	-0,91	0,0270	-0,64	0,2194	-0,73	0,1131	-0,62	0,1264	-0,67	0,4035	-0,54	0,4453	-0,76	0,3128	-0,42	0,5848
Cox6b1	144,85	0,24	0,4315	-0,05	0,9424	-0,07	1,0000	-0,33	0,5813	-0,32	0,2418	0,25	0,5580	-0,06	0,9305	0,04	0,9748	-0,27	0,3675
Cox6b2	2,80	-0,35	0,6201	0,42	0,5626	0,20	NA	-0,31	NA	-0,23	0,7729	0,89	0,2059	0,24	NA	-0,08	NA	-0,15	NA
Cox6c	249,39	0,30	0,3747	0,08	0,8630	0,19	1,0000	0,36	0,3484	-0,47	0,1239	0,29	0,5915	0,09	0,9034	0,14	0,8793	-0,77	0,0251
Cox7a1	7,42	0,40	0,5429	-0,57	0,3821	-0,30	NA	-0,51	NA	-0,38	0,6082	-0,15	0,9034	-0,35	NA	-0,83	0,2352	-0,90	0,1537
Cox7a2	130,63	0,25	0,5038	-0,28	0,4910	-0,12	1,0000	-0,11	0,9435	-0,63	0,0279	0,13	0,8557	-0,20	0,7268	-0,28	0,6847	-0,76	0,0191
Cox7a2l	119,62	0,16	0,7072	0,19	0,6882	-0,12	1,0000	-0,13	0,9269	-0,20	0,6374	0,56	0,1253	0,09	0,9009	-0,08	0,9416	-0,42	0,2283
Cox7b	250,94	0,28	0,3560	-0,13	0,7851	-0,01	1,0000	-0,05	0,9798	-0,76	0,0025	0,12	0,8292	0,08	0,8987	0,11	0,8915	-0,80	0,0014
Cox7c	80,28	0,38	0,3360	-0,37	0,3262	-0,04	1,0000	0,11	0,9422	-0,34	0,4114	-0,54	0,3128	-0,39	0,5017	-0,21	0,8376	-0,62	0,1158
Cox8a	99,66	0,33	0,3755	-0,19	0,6838	0,09	1,0000	0,09	0,9600	-0,07	0,8574	-0,08	0,9239	-0,25	0,6956	-0,20	0,8339	-0,59	0,0881
Cox8b	38,65	-0,27	0,6320	-1,64	0,0000	-0,24	1,0000	-0,65	0,2232	-0,87	0,0345	-0,49	0,4376	0,21	0,7811	0,00	1,0000	-0,38	0,4777
Cp	2,59	0,43	0,5197	0,02	0,9845	-0,01	NA	-0,08	NA	-0,51	NA	-0,80	0,2089	-0,20	NA	-0,66	NA	-0,48	0,5519
Cpa4	13,79	2,25	0,0000	-0,20	0,8056	-0,11	NA	-0,25	NA	-0,79	0,1359	-1,40	0,0056	-1,89	NA	-1,79	0,0001	-2,19	0,0000
Cpa6	1,51	-0,16	NA	-0,27	0,6741	-0,01	NA	-0,19	NA	-0,65	NA	-0,02	NA	-0,08	NA	-0,26	NA	-0,36	NA
Cpd	886,89	0,01	0,9699	0,22	0,3292	0,05	1,0000	0,69	0,0000	0,42	0,0060	0,36	0,2891	0,45	0,1447	0,80	0,0005	0,38	0,1540
Cpe	683,92	0,03	0,9252	-0,74	0,0002	-0,09	1,0000	-0,08	0,9523	-0,30	0,1414	-0,29	0,3402	0,08	0,8731	0,29	0,3846	-0,23	0,2812
Cpeb1	57,16	0,01	0,9923	-0,22	0,6741	0,26	1,0000	-0,58	0,1812	-0,86	0,0036	-0,55	0,3245	-0,22	0,7693	-0,70	0,1867	-0,70	0,0960
Cpeb2	392,44	-0,16	0,4196	-0,04	0,9091	-0,05	1,0000	0,32	0,2471	0,29	0,1049	0,08	0,8730	0,29	0,3752	0,30	0,3886	0,40	0,0330
Cpeb3	140,36	-0,30	0,2411	-0,44	0,0631	-0,25	1,0000	-0,19	0,7638	-0,22	0,4066	-0,06	0,9340	0,16	0,7963	0,29	0,6212	-0,01	0,9943
Cpeb4	897,78	0,11	0,6372	-0,11	0,7254	-0,36	0,3210	-0,17	0,7439	0,31	0,0817	-0,21	0,5289	-0,22	0,5170	-0,44	0,0770	0,15	0,5425
Cplx1	1,53	0,20	NA	0,10	0,9044	-0,04	NA	0,16	NA	0,45	0,5144	-0,26	NA	-0,17	NA	0,25	NA	0,42	0,6124
Cplx2	33,26	0,01	0,9901	-1,19	0,0011	-0,05	1,0000	-0,47	0,4665	-1,54	0,0001	-1,25	0,0169	-0,16	0,8669	-0,97	0,0858	-1,24	0,0209
Cpne1	39,80	0,31	0,4872	-0,20	0,7494	0,39	0,9123	0,24	0,8420	0,64	0,0370	-0,30	0,6949	0,07	0,9444	0,33	0,6695	0,65	0,0646
Cpne2	5,70	-0,25	0,7471	-0,04	0,9750	-0,07	NA	-0,28	NA	-0,34	0,6459	0,13	0,9209	-0,19	NA	-0,41	NA	-0,28	0,7413
Cpne3	179,03	-0,18	0,6296	0,23	0,5164	0,11	1,0000	0,10	0,9443	0,02	0,9612	0,50	0,1996	0,48	0,2374	0,12	0,9074	0,04	0,9525
Cpne5	65,89	-2,15	0,0000	0,39	0,4455	0,22	1,0000	0,80	0,0406	-2,01	0,0000	1,95	0,0000	1,72	0,0000	2,63	0,0000	-0,05	0,9604
Cpne8	2,26	-0,06	0,9446	-0,19	0,7927	0,06	NA	-0,24	NA	-0,50	0,4217	-0,07	NA	0,44	NA	-0,13	NA	-0,64	NA
Cpox	106,27	0,41	0,2240	0,30	0,3588	0,15	1,0000	0,17	0,8662	0,39	0,1954	0,05	0,9549	-0,19	0,7848	-0,39	0,5291	-0,02	0,9823
Cpped1	121,95	-0,14	0,7255	-0,92	0,0002	-0,14	1,0000	-0,41	0,3315	-0,49	0,0697	-0,48	0,2716	0,26	0,6068	-0,14	0,8833	-0,36	0,3418
Cpq	4,14	0,12	0,8955	0,03	0,9822	0,28	NA	0,01	NA	-0,83	0,1583	0,13	0,9201	0,21	NA	-0,39	NA	-0,48	0,5562
Cpsf1	77,15	-0,17	0,6198	-0,05	0,9422	0,00	1,0000	-0,09	0,9545	0,28	0,3041	-0,09	0,9030	-0,38	0,4438	-0,01	0,9967	0,10	0,8301
Cpsf2	123,64	0,28	0,3180	-0,35	0,3186	-0,08	1,0000	-0,05	0,9798	-0,47	0,0658	-0,65	0,0449	-0,18	0,7200	-0,17	0,8285	-0,61	0,0147
Cpsf3	88,34	-0,10	0,7988	-0,03	0,9666	0,16	1,0000	0,04	0,9853	-0,52	0,0324	-0,15	0,8076	0,07	0,9220	-0,07	0,9519	-0,35	0,2483
Cpsf3l	18,23	0,31	0,5675	-0,01	0,9894	-0,09	NA	0,20	0,9058	0,86	0,0174	0,15	0,8810	-0,52	NA	-0,08	0,9633	0,48	0,2761
Cpsf4	13,71	0,06	0,9350	0,20	0,7947	0,08	NA	-0,03	0,9860	0,72	0,0868	-0,34	0,7249	-0,32	NA	-0,12	0,9442	0,32	0,5946
Cpsf6	195,11	-0,16	0,6283	-0,05	0,9198	-0,09	1,0000	0,31	0,4992	0,04	0,9071	0,29	0,4652	0,48	0,1350	0,49	0,1274	0,31	0,2251
Cpsf7	78,67	-0,13	0,7303	-0,88	0,0011	-0,07	1,0000	0,02	0,9901	0,67	0,0051	-0,56	0,1856	0,06	0,9408	0,06	0,9656	0,81	0,0251
Cpt1a	147,25	-0,62	0,0919	0,11	0,8381	0,11	1,0000	0,35	0,5082	0,19	0,5210	0,21	0,7980	0,21	0,7874	0,49	0,4585	0,52	0,2411
Cpt1b	2,48	-0,19	0,8089	-0,45	0,4417	-0,10	NA	-0,13	NA	-0,41	0,5599	0,04	NA	0,13	NA	0,17	NA	-0,25	0,7757
Cpt1c	9,07	-0,98	0,0344	-0,17	0,8441	-0,20	NA	-0,56	0,4033	0,07	0,9287	0,64	0,4316	0,20	NA	-0,28	NA	1,21	0,0297
Cpt2	156,30	-0,41	0,1956	0,17	0,6572	0,10	1,0000	-0,13	0,9081	-0,48	0,0250	0,53	0,2201	0,13	0,8659	-0,16	0,8793	-0,25	0,5631
Cpxm1	4,69	-0,04	0,9650	-0,46	0,4910	-0,22	NA	-0,22	NA	-0,70	0,2766	-0,34	0,7451	0,06	NA	-0,40	NA	-0,41	0,6222

GeneID	CTL	ET-1 vs CTL		SAHA vs CTL		JS28 vs CTL		BSP vs CTL		JQ1 vs CTL		ET-1+SAHA vs ET1		ET-1+JS28 vs ET1		ET-1+BSP vs ET1		ET-1+JQ1 vs ET1	
	mean	log2(FC)	P-adj	log2(FC)	P-adj	log2(FC)	P-adj	log2(FC)	P-adj	log2(FC)	P-adj	log2(FC)	P-adj	log2(FC)	P-adj	log2(FC)	P-adj	log2(FC)	P-adj
Cpz	1,53	-0,32	NA	-0,11	0,9007	-0,04	NA	0,00	NA	-0,20	0,7977	0,12	NA	0,10	NA	-0,03	NA	-0,12	NA
Cr1l	45,90	-0,08	0,8824	-0,64	0,0980	0,00	1,0000	0,02	0,9901	-0,26	0,5281	-0,35	0,5983	-0,05	0,9634	-0,08	0,9562	-0,13	0,8053
Cradd	8,45	0,19	0,7994	0,67	0,2328	0,22	NA	0,07	0,9805	-0,49	0,4448	0,46	0,5946	0,08	NA	-0,54	0,5705	-1,22	0,0495
Cramp1l	86,14	-0,35	0,1785	-0,31	0,3580	-0,06	1,0000	-0,33	0,5253	-0,42	0,1671	-0,29	0,5924	-0,10	0,8951	0,01	0,9935	-0,25	0,5074
Crat	137,94	-0,15	0,5839	-0,42	0,1008	-0,03	1,0000	-0,35	0,3977	-0,59	0,0033	-0,45	0,2212	0,04	0,9557	-0,07	0,9425	-0,37	0,2317
Crb2	1,17	-0,27	NA	0,19	0,8105	0,02	NA	-0,05	NA	-0,45	0,4271	0,31	NA	0,23	NA	0,05	NA	0,00	NA
Crbn	135,39	-0,52	0,0295	-0,03	0,9564	0,04	1,0000	-0,06	0,9746	-0,39	0,1455	0,60	0,0824	0,61	0,0649	0,53	0,1543	0,00	0,9971
Crcp	36,18	0,28	0,4817	-0,40	0,4045	0,16	1,0000	0,22	0,8512	-0,30	0,4710	-0,42	0,4769	-0,04	0,9654	-0,15	0,9007	-0,23	0,6709
Creb1	126,80	0,37	0,1433	0,21	0,5988	-0,09	1,0000	0,12	0,9269	0,45	0,0685	-0,12	0,8297	-0,30	0,4936	-0,14	0,8561	0,14	0,7449
Creb3	32,90	0,43	0,3253	-0,04	0,9665	-0,25	NA	-0,46	0,5124	0,26	0,5981	0,06	0,9571	-0,53	0,3774	-0,36	0,6916	0,02	0,9757
Creb3l1	13,22	0,77	0,1341	0,82	0,1133	-0,06	NA	-0,49	0,4883	-0,36	0,6026	-0,38	0,6982	-0,97	NA	-1,56	0,0019	-0,93	0,1448
Creb3l2	318,92	-0,09	0,8215	-0,60	0,0011	-0,41	0,2671	-0,38	0,1552	0,47	0,0140	-0,33	0,4684	-0,19	0,7385	-0,09	0,9322	0,70	0,0204
Creb5	28,02	0,09	0,8867	-0,13	0,8576	-0,48	NA	-0,33	0,7443	-0,21	0,7175	-0,30	0,7258	-0,37	0,6089	-0,93	0,0889	-0,57	0,3495
Crebbp	372,56	-0,28	0,3250	-0,82	0,0001	0,03	1,0000	-0,09	0,9437	-0,15	0,6709	-0,91	0,0022	0,09	0,8885	0,22	0,7271	0,12	0,7594
Creb12	15,92	-0,13	0,8716	-0,08	0,9387	0,18	NA	0,49	0,4873	-0,02	0,9756	0,21	0,8418	0,30	NA	0,04	0,9918	0,54	0,3615
Crebrf	293,75	-1,04	0,0000	-0,19	0,6184	0,05	1,0000	0,07	0,9643	0,10	0,7392	0,62	0,0265	0,88	0,0002	0,69	0,0068	0,72	0,0106
Crebzf	45,02	-0,26	0,5266	-0,10	0,8664	0,14	1,0000	0,36	0,5771	0,23	0,5173	0,28	0,6722	0,44	0,3948	0,32	0,6778	0,13	0,8059
Creg1	51,87	-0,08	0,8878	0,40	0,3599	0,07	1,0000	0,39	0,5507	0,90	0,0008	0,18	0,7990	0,09	0,9103	0,68	0,0848	1,21	0,0000
Creld1	41,24	-0,11	0,8708	-0,18	0,7857	-0,13	1,0000	-0,89	0,0198	-0,59	0,1382	-0,32	0,6995	-0,34	0,6355	-1,01	0,0474	-0,63	0,2478
Creld2	14,60	-0,16	0,8225	-0,07	0,9429	-0,09	NA	0,41	0,6249	0,30	0,5789	-0,31	0,7567	-0,13	NA	0,24	0,8577	0,29	0,6471
Crem	8,24	0,46	0,4361	-0,06	0,9622	-0,01	NA	0,17	0,9269	0,46	0,4724	-0,86	0,2177	0,00	NA	-0,36	0,7677	-0,16	0,8418
Crhr2	37,97	-0,72	0,0489	-0,91	0,0068	0,07	1,0000	-0,93	0,0065	-3,26	0,0000	0,05	0,9707	0,81	0,1032	-0,20	0,8919	-2,76	0,0000
Crim1	102,56	-0,03	0,9691	-0,46	0,3028	0,05	1,0000	0,37	0,5980	0,93	0,0021	-0,65	0,1486	-0,28	0,6379	0,02	0,9931	0,95	0,0094
Crip2	597,82	-0,17	0,6456	-0,89	0,0005	-0,22	1,0000	-0,51	0,1552	-0,40	0,1280	-0,39	0,3476	-0,20	0,6949	-0,13	0,8475	-0,39	0,3666
Cript	62,20	0,04	0,9317	0,04	0,9507	0,04	1,0000	0,22	0,8147	0,14	0,7287	0,43	0,3620	0,45	0,3134	0,52	0,2533	0,12	0,8349
Crk	392,12	0,37	0,0570	0,19	0,4424	0,09	1,0000	0,22	0,6019	0,29	0,1902	0,14	0,7733	0,01	0,9898	0,00	1,0000	0,12	0,7666
Crkl	130,78	0,04	0,9119	-0,58	0,0151	-0,11	1,0000	-0,07	0,9634	0,09	0,7620	-0,42	0,2920	-0,20	0,6949	0,02	0,9918	0,40	0,1121
Crif1	1,48	0,33	NA	-0,17	NA	0,04	NA	-0,08	NA	-0,23	NA	-0,34	NA	-0,11	NA	-0,13	NA	-0,30	0,7229
Crif2	4,02	0,21	0,7988	-0,26	0,7445	0,00	NA	-0,21	NA	-0,10	0,9091	-0,82	0,2402	-0,25	NA	0,03	NA	0,00	0,9982
Crif3	30,02	0,23	0,6612	-0,01	0,9947	-0,02	NA	0,14	0,9437	0,30	0,4819	0,11	0,9101	-0,17	0,8407	0,08	0,9616	0,10	0,8845
Crls1	40,32	0,12	0,7963	-0,10	0,8853	-0,07	1,0000	-0,16	0,9158	-0,71	0,0462	0,14	0,8620	0,13	0,8779	-0,34	0,6556	-0,84	0,0170
Crmp1	1,27	-0,20	NA	0,80	0,1307	-0,06	NA	-0,14	NA	-0,51	NA	1,03	0,0935	-0,08	NA	-0,16	NA	-0,24	NA
Crnde	1,47	0,10	NA	0,53	0,3636	0,07	NA	0,17	NA	0,35	0,6273	0,58	0,4568	0,45	NA	0,47	NA	-0,32	NA
Crnk1l	81,55	0,07	0,8597	0,01	0,9913	0,02	1,0000	0,14	0,9102	0,14	0,7016	0,01	0,9914	0,21	0,6949	0,25	0,7033	0,27	0,4813
Crocc	12,23	-0,06	0,9412	0,23	0,7703	0,06	NA	0,34	0,7443	0,28	0,6332	-0,09	0,9433	-0,11	NA	0,24	0,8638	0,39	0,5348
Crot	99,12	-0,38	0,1320	-0,52	0,0624	0,05	1,0000	-0,16	0,8797	-0,90	0,0001	-0,28	0,6066	0,33	0,4989	0,23	0,7406	-0,30	0,4817
Crtap	39,20	-0,01	0,9927	-0,70	0,0671	-0,13	1,0000	-0,41	0,5504	-0,97	0,0033	-0,24	0,7536	0,12	0,8974	-0,30	0,7351	-1,03	0,0133
Crtc1	62,27	-0,50	0,1490	-0,20	0,7141	-0,08	1,0000	0,05	0,9853	0,40	0,2604	-0,56	0,3014	0,01	0,9948	0,38	0,5729	0,70	0,0878
Crtc2	15,50	-0,04	0,9588	0,41	0,4938	0,02	NA	-0,17	0,9269	0,93	0,0391	0,34	0,7131	0,16	NA	-0,10	0,9602	0,88	0,1060
Crtc3	31,73	-0,24	0,6480	-0,34	0,5097	-0,11	1,0000	-0,45	0,5124	0,26	0,5690	-0,35	0,6621	-0,21	0,8170	0,04	0,9889	0,42	0,3901
Cry1	18,21	0,42	0,3858	-0,10	0,9129	0,09	NA	0,56	0,3473	0,57	0,1912	-0,10	0,9257	-0,27	NA	0,13	0,9345	0,11	0,8896
Cry2	55,25	0,08	0,8562	0,42	0,2198	0,11	1,0000	-0,01	0,9967	0,56	0,0246	0,11	0,8885	-0,10	0,9089	-0,18	0,8541	0,43	0,1818
Cryab	721,03	0,81	0,0055	-1,62	0,0000	-0,46	0,5932	-0,65	0,0982	-0,06	0,9091	-1,55	0,0000	-0,96	0,0005	-0,74	0,0144	-0,08	0,8617
Crybg3	176,05	-0,18	0,4759	-0,84	0,0000	-0,33	0,7571	-0,08	0,9447	-0,40	0,0369	-0,52	0,1181	0,09	0,8758	0,21	0,7121	-0,16	0,6377
Cryz	13,86	-0,34	0,5473	0,19	0,8105	-0,11	NA	-0,14	0,9487	-1,32	0,0044	0,39	0,6573	0,20	NA	-0,21	0,8915	-0,51	0,4268

GeneID	CTL	ET-1 vs CTL		SAHA vs CTL		JS28 vs CTL		BSP vs CTL		JQ1 vs CTL		ET-1+SAHA vs ET1		ET-1+JS28 vs ET1		ET-1+BSP vs ET1		ET-1+JQ1 vs ET1	
	mean	log2(FC)	P-adj	log2(FC)	P-adj	log2(FC)	P-adj	log2(FC)	P-adj	log2(FC)	P-adj	log2(FC)	P-adj	log2(FC)	P-adj	log2(FC)	P-adj	log2(FC)	P-adj
Cryz1	34,37	-0,44	0,2097	0,28	0,5585	0,03	1,0000	0,04	0,9853	-0,13	0,7979	0,73	0,1191	0,48	0,3942	0,32	0,7186	-0,23	0,6892
Cs	517,68	0,47	0,0095	0,31	0,1789	-0,19	1,0000	0,00	0,9972	0,11	0,6314	0,16	0,7232	-0,49	0,0899	-0,21	0,6652	-0,23	0,3742
Csad	25,29	-0,57	0,1252	-0,31	0,5670	0,23	1,0000	0,28	0,7737	0,00	0,9967	0,20	0,8322	0,44	0,4970	0,71	0,2142	0,62	0,1817
Csdc2	16,17	-0,70	0,1409	0,91	0,0179	0,17	NA	0,00	0,9988	-0,86	0,0859	1,22	0,0221	0,32	NA	0,36	0,7626	-0,11	0,9202
Csde1	1093,70	0,15	0,3581	-0,24	0,1753	0,02	1,0000	0,06	0,9516	-0,25	0,0991	-0,26	0,4061	0,10	0,8386	0,05	0,9442	-0,24	0,3782
Cse1l	174,22	0,37	0,1333	0,04	0,9547	-0,10	1,0000	0,21	0,7978	0,39	0,1608	0,11	0,8388	-0,08	0,8973	0,06	0,9527	0,05	0,9001
Csf1	46,99	0,31	0,3935	0,15	0,8094	-0,36	0,9896	-0,01	0,9948	0,81	0,0074	-0,21	0,7661	-0,58	0,2269	-0,52	0,3614	0,63	0,0717
Csgalnact1	1,22	-0,16	NA	-0,14	0,8501	0,12	NA	-0,02	NA	-0,13	0,8662	-0,12	NA	0,12	NA	-0,01	NA	0,05	NA
Csgalnact2	45,54	0,29	0,4583	0,04	0,9613	0,01	1,0000	-0,07	0,9777	0,16	0,7050	-0,19	0,7869	0,25	0,6907	0,16	0,8801	0,05	0,9226
Csk	42,32	-0,14	0,7792	0,09	0,8857	0,07	1,0000	0,09	0,9676	0,43	0,2365	-0,47	0,4392	-0,39	0,5265	0,13	0,9202	0,70	0,1537
Csmd1	1,59	0,22	NA	0,25	0,7154	0,08	NA	-0,01	NA	-0,20	NA	-0,07	NA	0,00	NA	-0,13	NA	-0,23	0,7958
Csnk1a1	467,78	0,32	0,0754	0,23	0,3781	0,11	1,0000	0,21	0,6440	-0,08	0,7690	0,14	0,7360	0,09	0,8564	0,13	0,8257	-0,37	0,1703
Csnk1d	169,55	0,12	0,6666	0,24	0,3782	0,20	1,0000	0,08	0,9500	0,10	0,6739	-0,05	0,9377	-0,37	0,3253	-0,07	0,9479	0,04	0,9129
Csnk1e	65,99	-0,32	0,3133	-0,36	0,2880	0,04	1,0000	-0,13	0,9208	0,32	0,2149	0,11	0,8999	0,32	0,5580	0,14	0,9023	0,44	0,2053
Csnk1g1	102,92	-0,22	0,4370	-0,29	0,3606	-0,16	1,0000	-0,19	0,8120	-0,13	0,7105	-0,10	0,8778	0,18	0,7528	-0,17	0,8364	-0,02	0,9625
Csnk1g2	80,92	-0,14	0,7338	0,34	0,3344	0,00	1,0000	0,20	0,8318	0,25	0,4173	0,20	0,7413	-0,14	0,8504	0,30	0,6342	0,47	0,1700
Csnk1g3	102,21	-0,03	0,9398	0,14	0,7485	0,05	1,0000	0,26	0,6430	0,34	0,1363	0,15	0,8086	0,37	0,3895	0,27	0,6531	0,52	0,0552
Csnk2a1	224,09	0,23	0,3187	0,20	0,5491	0,00	1,0000	0,17	0,8211	0,21	0,3385	0,00	0,9981	-0,11	0,8354	-0,07	0,9345	0,12	0,6405
Csnk2a2	74,49	0,15	0,7221	0,31	0,4383	-0,03	1,0000	-0,19	0,8643	-0,23	0,5106	-0,04	0,9647	-0,10	0,8993	0,09	0,9379	-0,06	0,8981
Csnk2b	96,13	0,16	0,6992	0,09	0,8587	-0,05	1,0000	-0,30	0,6361	0,16	0,6158	-0,06	0,9378	-0,16	0,8174	-0,32	0,6358	0,09	0,8505
Cspg4	10,88	0,91	0,0478	0,86	0,1002	0,36	NA	-0,01	0,9968	-1,12	0,0498	-0,06	0,9629	-0,14	NA	-0,41	0,6935	-1,58	0,0041
Cspg5	5,44	-0,25	0,7528	-0,09	0,9385	-0,05	NA	-0,29	NA	-0,22	0,7774	-0,39	0,6942	-0,49	NA	0,21	NA	0,13	0,8981
Cspp1	42,18	-0,33	0,4583	-0,08	0,9110	-0,12	1,0000	0,09	0,9628	0,63	0,0428	-0,21	0,8085	0,39	0,5266	0,19	0,8712	0,69	0,0855
Csrnp1	12,13	0,83	0,0562	-0,07	0,9477	-0,29	NA	-0,23	0,8767	0,83	0,0869	-0,27	0,7846	-1,09	NA	-0,70	0,3350	0,66	0,1786
Csrnp2	24,60	-0,05	0,9407	-0,54	0,3183	-0,03	NA	0,36	0,6917	0,81	0,0195	0,01	0,9927	-0,10	0,9231	0,00	0,9998	1,02	0,0019
Csrnp3	16,51	-0,56	0,2565	0,80	0,0634	-0,04	NA	-0,54	0,4191	-0,94	0,0428	1,29	0,0066	0,64	NA	0,23	0,8745	-0,86	0,1562
Csrp1	85,78	0,81	0,0112	0,24	0,5970	0,27	1,0000	-0,06	0,9805	0,30	0,3501	0,10	0,9129	-0,67	0,1481	-0,72	0,1283	-0,21	0,7311
Csrp2	47,20	-0,15	0,7739	0,61	0,0498	0,06	1,0000	-0,01	0,9972	-0,43	0,2274	0,91	0,0341	0,04	0,9726	0,00	1,0000	-0,32	0,5363
Csrp2bp	37,13	0,22	0,6296	-0,14	0,8365	-0,19	1,0000	-0,45	0,4968	-0,53	0,1610	-0,43	0,4751	-0,41	0,4914	-0,14	0,9159	-0,60	0,1410
Csrp3	546,26	0,84	0,0007	0,01	0,9919	-0,20	1,0000	-0,37	0,5813	-0,56	0,0577	0,13	0,7715	-0,90	0,0000	-0,66	0,0024	-1,17	0,0000
Cst3	474,46	0,67	0,0012	0,07	0,8413	0,03	1,0000	0,05	0,9746	0,22	0,4555	0,04	0,9505	-0,37	0,3516	-0,28	0,5997	-0,43	0,1263
Cstad	4,76	-0,44	0,5121	0,03	0,9812	-0,09	NA	-0,14	NA	-0,76	0,2254	0,26	0,8118	0,51	NA	0,25	NA	-0,20	0,8364
Cstb	19,42	0,37	0,4505	0,25	0,7174	0,28	NA	-0,31	0,7757	0,19	0,7281	0,07	0,9459	-0,22	0,8114	-0,56	0,4651	-0,17	0,7809
Cstf1	21,33	0,07	0,9085	0,13	0,8582	0,12	NA	0,21	0,8798	-0,33	0,5281	0,30	0,7044	0,09	0,9320	0,21	0,8614	-0,16	0,7809
Cstf2	70,03	0,45	0,1373	-1,13	0,0003	-0,19	1,0000	0,15	0,9178	0,15	0,6880	-1,05	0,0033	-0,28	0,6089	-0,27	0,7075	-0,12	0,7973
Cstf2t	94,35	0,17	0,6459	-0,24	0,5652	0,06	1,0000	-0,02	0,9908	0,05	0,9068	0,00	0,9976	-0,06	0,9368	-0,11	0,9124	0,01	0,9905
Cstf3	59,74	0,26	0,4450	0,14	0,7809	0,08	1,0000	0,17	0,8881	0,43	0,1339	-0,08	0,9180	0,12	0,8732	0,00	0,9993	0,51	0,1325
Ctage5	99,39	0,09	0,8540	-0,59	0,0308	-0,04	1,0000	-0,06	0,9746	-0,22	0,4308	-0,53	0,2604	0,14	0,8472	-0,08	0,9514	-0,21	0,6203
Ctbp1	118,21	0,20	0,4860	-0,53	0,0527	-0,06	1,0000	-0,05	0,9801	0,23	0,4173	-0,64	0,0574	-0,35	0,4116	0,01	0,9973	0,22	0,4876
Ctbp2	38,06	0,08	0,8741	-0,24	0,6608	0,00	1,0000	-0,24	0,8334	-0,08	0,8766	-0,38	0,5502	-0,08	0,9305	-0,17	0,8915	-0,13	0,7966
Ctbs	24,86	0,27	0,6028	0,02	0,9836	0,00	NA	0,04	0,9853	-0,79	0,1207	0,02	0,9837	-0,02	0,9834	-0,08	0,9628	-0,83	0,0506
Ctc1	170,48	-0,41	0,0453	0,03	0,9563	-0,21	1,0000	-0,63	0,0042	-0,08	0,8130	0,06	0,9316	-0,12	0,8443	-0,25	0,6935	0,27	0,5172
Ctcf	125,26	-0,08	0,8236	-0,61	0,0222	-0,15	1,0000	0,00	0,9986	0,10	0,7326	-0,65	0,0628	0,17	0,7624	0,35	0,4470	0,19	0,6065
Ctcf1	1,51	0,43	NA	-0,07	NA	-0,04	NA	-0,06	NA	-0,13	NA	-0,05	0,9475	-0,31	NA	-0,34	NA	-0,55	0,3886
Ctcflos	4,37	1,04	0,0366	0,33	0,6506	0,00	NA	0,02	NA	-0,13	0,8738	-0,16	0,8956	-0,48	NA	-0,53	0,5810	-1,02	0,1060

GeneID	CTL	ET-1 vs CTL		SAHA vs CTL		JS28 vs CTL		BSP vs CTL		JQ1 vs CTL		ET-1+SAHA vs ET1		ET-1+JS28 vs ET1		ET-1+BSP vs ET1		ET-1+JQ1 vs ET1	
	mean	log2(FC)	P-adj	log2(FC)	P-adj	log2(FC)	P-adj	log2(FC)	P-adj	log2(FC)	P-adj	log2(FC)	P-adj	log2(FC)	P-adj	log2(FC)	P-adj	log2(FC)	P-adj
Ctdnep1	94,70	0,07	0,8733	-0,38	0,2352	0,04	1,0000	-0,22	0,7688	-0,25	0,4710	-0,27	0,6184	-0,16	0,8085	-0,05	0,9730	-0,11	0,8467
Ctdp1	39,56	0,45	0,1893	0,28	0,5717	-0,06	1,0000	-0,15	0,9339	0,47	0,1639	-0,14	0,8688	-0,48	0,3808	-0,24	0,8035	0,09	0,8676
Ctdsp1	64,16	-0,17	0,6902	-0,50	0,1612	0,04	1,0000	-0,29	0,7008	-0,23	0,5423	-0,30	0,6312	-0,08	0,9223	0,09	0,9412	-0,30	0,5202
Ctdsp2	173,64	-0,57	0,0098	-0,14	0,7484	0,08	1,0000	-0,16	0,8643	0,30	0,3518	0,19	0,7250	0,11	0,8657	0,23	0,7070	0,82	0,0174
Ctdspl	44,32	-0,18	0,6722	-0,40	0,3283	-0,01	1,0000	-0,33	0,6479	-0,15	0,7090	-0,43	0,4778	-0,14	0,8721	0,00	1,0000	0,28	0,4809
Ctdspl2	99,43	-0,03	0,9559	-0,01	0,9885	0,02	1,0000	0,28	0,6285	0,01	0,9732	0,20	0,7471	0,39	0,4038	0,28	0,6660	-0,14	0,7780
Ctgf	836,90	2,24	0,0000	-0,24	0,7802	-0,05	1,0000	-0,47	0,5477	0,46	0,4726	-1,34	0,0000	-2,47	0,0000	-2,95	0,0000	-0,73	0,0403
Ctif	35,96	0,10	0,8500	0,59	0,1167	0,22	1,0000	0,22	0,8515	0,73	0,0269	0,25	0,7304	-0,26	0,7068	0,11	0,9366	0,85	0,0264
Ctnna1	1395,38	0,23	0,4007	0,31	0,2719	0,41	0,3778	0,39	0,2282	-0,02	0,9423	0,16	0,7131	0,10	0,8504	0,14	0,8254	-0,13	0,7012
Ctnna3	85,09	-0,24	0,4233	-0,29	0,4313	-0,12	1,0000	-0,25	0,7205	-1,55	0,0000	-0,21	0,7289	0,41	0,3398	0,19	0,8171	-0,89	0,0018
Ctnnal1	94,32	-1,28	0,0000	-0,23	0,7114	0,06	1,0000	0,22	0,8646	-0,74	0,0432	0,54	0,2205	0,88	0,0090	0,77	0,0389	-0,19	0,6703
Ctnnb1	684,14	-0,11	0,6522	0,00	0,9944	0,33	0,2433	0,55	0,0001	0,73	0,0000	-0,01	0,9822	0,07	0,9063	0,49	0,0527	0,64	0,0016
Ctnnbip1	18,79	0,05	0,9421	0,15	0,8533	0,15	NA	-0,13	0,9563	-0,16	0,8014	-0,09	0,9371	-0,21	NA	-0,26	0,8390	0,06	0,9296
Ctnnb1	21,11	-0,43	0,3534	0,27	0,6506	0,17	NA	-0,12	0,9527	-0,74	0,0841	0,59	0,3602	0,16	NA	0,07	0,9784	-0,25	0,6964
Ctnnd1	493,98	-0,26	0,0956	-0,54	0,0006	-0,13	1,0000	-0,18	0,6770	0,44	0,0025	-0,22	0,5305	-0,16	0,6947	-0,28	0,4478	0,52	0,0082
Ctnnd2	16,24	0,69	0,1333	0,13	0,8895	-0,15	NA	-0,26	0,8526	0,76	0,0921	-0,89	0,1366	-0,96	NA	-0,33	0,7668	0,58	0,1915
Ctns	48,40	-0,62	0,0596	0,06	0,9424	0,16	1,0000	-0,13	0,9430	0,38	0,2545	0,55	0,2760	0,42	0,4668	0,21	0,8389	0,77	0,0210
Ctps	132,90	1,02	0,0000	-0,63	0,0268	-0,46	0,4654	-0,51	0,1634	-0,04	0,9350	-0,98	0,0003	-1,09	0,0000	-1,01	0,0001	-0,82	0,0010
Ctps2	38,46	-0,99	0,0003	-0,24	0,6248	0,09	1,0000	-0,05	0,9853	-0,80	0,0205	0,44	0,5086	0,73	0,1300	0,57	0,3750	-0,40	0,4563
Ctr9	146,25	-0,05	0,8903	0,37	0,0942	0,07	1,0000	0,15	0,8451	0,45	0,0143	0,27	0,5553	0,20	0,6719	0,27	0,6003	0,44	0,1549
Ctsa	159,68	0,09	0,7825	0,18	0,5899	0,01	1,0000	0,15	0,8504	0,95	0,0000	0,12	0,8291	-0,28	0,5333	0,04	0,9789	0,61	0,0103
Ctsb	299,54	0,08	0,8621	0,33	0,1818	0,14	1,0000	0,09	0,9437	0,66	0,0001	0,52	0,1857	0,06	0,9320	0,13	0,8949	0,54	0,1162
Ctsc	8,67	-0,31	0,6498	0,11	0,9070	-0,02	NA	-0,13	0,9580	-1,12	0,0423	0,34	0,7370	0,30	NA	0,03	0,9918	-0,76	0,2581
Ctsd	483,91	0,12	0,6384	0,43	0,0101	0,19	1,0000	-0,13	0,8334	-0,02	0,9408	0,48	0,0726	0,00	0,9973	0,01	0,9931	-0,11	0,7080
Ctsf	21,32	-0,47	0,3119	0,53	0,2444	0,32	NA	-0,06	0,9853	-0,03	0,9666	0,60	0,3520	0,16	NA	0,22	0,8707	-0,08	0,9226
Ctsl	228,64	-0,17	0,6298	0,85	0,0000	0,50	0,0994	0,23	0,6753	0,02	0,9599	0,61	0,0589	0,21	0,6898	0,10	0,9189	-0,04	0,9323
Ctso	50,90	-0,58	0,0285	0,01	0,9836	-0,03	1,0000	-0,09	0,9628	-1,00	0,0003	0,72	0,0823	0,25	0,6960	-0,23	0,8253	-0,92	0,0273
Ctsz	2,32	0,13	0,8792	0,78	0,1682	0,14	NA	-0,05	NA	0,12	0,8852	0,66	0,4032	0,11	NA	-0,08	NA	-0,54	NA
Cttn	165,11	0,35	0,1164	0,48	0,0415	0,02	1,0000	-0,08	0,9563	0,34	0,0925	0,11	0,8493	-0,30	0,4836	-0,23	0,6756	-0,12	0,7064
Cttnbp2	40,43	-1,20	0,0000	-0,13	0,8381	-0,22	1,0000	0,04	0,9853	-0,42	0,2984	0,39	0,5965	0,36	0,6050	0,60	0,3487	0,19	0,7472
Cttnbp2nl	91,65	-0,26	0,5691	0,27	0,4879	0,22	1,0000	0,14	0,9096	0,37	0,1623	0,35	0,5592	0,28	0,6674	0,15	0,8985	0,29	0,5263
Ctu1	5,12	-0,14	0,8736	0,06	0,9579	0,00	NA	0,06	NA	-0,41	0,5644	0,33	0,7574	0,05	NA	-0,11	NA	-0,01	0,9961
Ctu2	10,53	-0,20	0,7812	-0,33	0,6598	-0,10	NA	-0,03	0,9872	0,30	0,6124	0,02	0,9909	0,17	NA	0,37	0,7454	0,24	0,7676
Ctxn1	44,30	-1,65	0,0000	-0,74	0,0703	-0,32	1,0000	-0,64	0,1812	-0,53	0,1475	0,30	0,7388	0,49	NA	0,20	0,8915	0,79	0,0646
Cubn	8,03	-0,28	0,7039	-1,03	0,0474	-0,10	NA	-0,36	0,7006	-0,69	0,2516	-0,43	0,6586	-0,06	NA	-0,20	0,9053	-0,57	0,4557
Cuedc1	101,28	-0,29	0,3147	-0,20	0,5854	0,12	1,0000	-0,22	0,7443	-0,05	0,8884	-0,06	0,9419	-0,07	0,9291	0,17	0,8463	0,32	0,5158
Cuedc2	41,32	0,05	0,9303	-0,10	0,8782	-0,15	1,0000	-0,37	0,6299	-0,72	0,0389	0,02	0,9879	-0,17	0,8375	-0,51	0,4476	-0,62	0,1528
Cul1	250,48	0,15	0,6147	-0,45	0,0299	-0,01	1,0000	0,13	0,8619	-0,14	0,6517	-0,68	0,0257	0,05	0,9432	-0,01	0,9967	-0,18	0,7092
Cul2	130,60	0,20	0,5128	0,38	0,1976	0,03	1,0000	-0,05	0,9798	-0,39	0,1267	0,28	0,5094	0,26	0,5600	0,02	0,9918	-0,55	0,0941
Cul3	312,66	0,15	0,5453	0,03	0,9337	0,11	1,0000	0,31	0,2471	0,13	0,5920	-0,25	0,5339	0,25	0,5794	0,29	0,4868	-0,01	0,9890
Cul4a	285,18	-0,45	0,0082	-0,21	0,4088	-0,11	1,0000	0,14	0,8318	0,16	0,4087	0,19	0,6716	0,03	0,9713	0,20	0,7193	0,29	0,2467
Cul4b	130,56	-0,35	0,2105	-0,11	0,8262	0,09	1,0000	0,15	0,8917	0,48	0,0348	0,00	0,9982	0,49	0,1943	0,52	0,1747	0,77	0,0013
Cul5	225,54	0,39	0,0424	-0,11	0,7845	-0,01	1,0000	0,13	0,8952	-0,50	0,0270	-0,43	0,1670	0,06	0,9263	-0,21	0,6847	-0,57	0,0606
Cul7	92,18	-0,63	0,0073	-0,94	0,0003	-0,10	1,0000	-0,40	0,3960	-0,54	0,0438	-0,54	0,2283	-0,18	0,7844	0,03	0,9911	-0,24	0,5710
Cul9	28,41	-0,72	0,0409	0,35	0,4523	0,18	1,0000	0,26	0,7954	0,32	0,4062	0,63	0,2875	0,31	0,6845	0,54	0,4614	0,48	0,3667

Figure S1. In vitro differentiation of mouse embryonic stem cells.



Suppl. Fig. S1. in vitro differentiation of mouse embryonic stem cells. a Workflow for in vitro differentiation of embryonic stem cells (ESC), purification of resulting ESC-derived cardiac myocytes (ES-CM), and their characterization as well as treatment with endothelin-1 (ET-1) and inhibitors. Depicted is the scheme of bicistronic vector used in embryonic stem cells (ESC) (PuroR, puromycin-resistance cassette; IRES, internal ribosomal entry site; eGFP, enhanced green fluorescent protein)¹⁷. Also shown are the bright-field and fluorescence images of ESC-colonies on feeder cells, GFP-positive clusters in embryoid bodies (EBs) before and after puromycin (Puro)-treatment (9 µg/ml) and of enriched cardiac myocytes after dissociation of EBs. **b** Scatter plots showing expression levels of indicated cardiac marker genes over time in ES-CM that were measured by RT-qPCR (wks = weeks, n=6-10, mean ± SEM, one-way ANOVA followed by Dunnett's T3 multiple comparisons test, *p<0.05, **p<0.01, ***p<0.001 comparison vs. D0, #p<0.05, ##p<0.01, ###p<0.001 comparison as indicated).

GeneID	CTL	ET-1 vs CTL		SAHA vs CTL		JS28 vs CTL		BSP vs CTL		JQ1 vs CTL		ET-1+SAHA vs ET1		ET-1+JS28 vs ET1		ET-1+BSP vs ET1		ET-1+JQ1 vs ET1	
	mean	log2(FC)	P-adj	log2(FC)	P-adj	log2(FC)	P-adj	log2(FC)	P-adj	log2(FC)	P-adj	log2(FC)	P-adj	log2(FC)	P-adj	log2(FC)	P-adj	log2(FC)	P-adj
Cuta	35,36	0,00	0,9995	-0,09	0,8956	0,02	1,0000	0,06	0,9853	0,39	0,2524	0,29	0,7103	-0,11	0,9089	-0,21	0,8597	0,39	0,3595
Cutc	9,89	-0,60	0,2784	-1,14	0,0207	-0,16	NA	-0,04	0,9853	-0,34	0,6060	-0,06	0,9685	0,10	NA	-0,09	0,9708	0,47	0,4997
Cux1	643,55	-0,16	0,5918	-0,70	0,0010	-0,25	1,0000	0,03	0,9853	-0,31	0,2456	-0,70	0,0041	-0,04	0,9454	0,12	0,8478	-0,04	0,9236
Cux2	21,55	-0,64	0,1074	0,43	0,3583	0,21	NA	-0,22	0,8803	-0,90	0,0261	0,65	0,3010	0,37	NA	0,25	0,8466	-0,15	0,8480
Cwc15	86,17	0,26	0,4410	0,01	0,9883	0,07	1,0000	0,03	0,9853	0,13	0,7154	-0,06	0,9350	-0,12	0,8600	-0,18	0,8285	0,08	0,8797
Cwc22	44,77	-0,07	0,8889	-0,09	0,8836	-0,03	1,0000	0,09	0,9674	-0,54	0,1337	-0,02	0,9822	0,47	0,3354	0,10	0,9433	-0,27	0,5610
Cwc25	42,95	0,13	0,7888	-0,05	0,9505	-0,11	1,0000	-0,24	0,8350	0,13	0,7713	-0,08	0,9257	0,19	0,7939	-0,21	0,8405	0,06	0,9115
Cwc27	42,64	-0,18	0,6969	-0,10	0,8634	0,04	1,0000	-0,29	0,7414	-1,72	0,0000	-0,22	0,7849	0,28	0,6818	-0,12	0,9346	-1,22	0,0018
Cwf19l1	14,82	0,03	0,9713	-0,56	0,3596	-0,18	NA	-0,18	0,9249	-0,34	0,5786	-0,24	0,8153	-0,16	NA	-0,24	0,8660	-0,18	0,8098
Cwf19l2	86,92	-0,06	0,8952	0,26	0,4496	0,14	1,0000	0,08	0,9625	-0,51	0,0720	0,05	0,9446	0,38	0,4131	0,17	0,8432	-0,22	0,5710
Cx3cl1	13,73	0,14	0,8594	0,69	0,2307	0,27	NA	0,06	0,9853	0,39	0,5226	0,85	0,1321	0,21	NA	0,40	0,6824	0,40	0,5025
Cxadr	362,74	0,08	0,7838	0,19	0,4165	-0,24	0,9326	0,20	0,6249	0,01	0,9744	0,29	0,4372	0,04	0,9527	-0,06	0,9483	-0,19	0,5989
Cxcl12	67,02	-0,44	0,3097	-0,12	0,8798	0,34	1,0000	-0,45	0,5372	-0,54	0,1756	0,25	0,7131	1,00	0,0020	-0,18	0,8665	-0,23	0,6570
Cxx1a	26,58	0,23	0,7055	-0,61	0,2668	0,15	NA	0,24	0,8671	0,43	0,3744	-0,60	0,3500	-0,39	0,5864	-0,09	0,9608	0,42	0,3711
Cxx1b	33,48	-0,39	0,3504	-1,01	0,0046	-0,33	1,0000	-0,25	0,8214	0,04	0,9284	-0,59	0,3751	0,00	0,9963	0,27	0,7987	0,51	0,2697
Cxx1c	30,22	-0,56	0,1514	-0,40	0,4363	-0,24	1,0000	-0,20	0,8923	-1,20	0,0011	0,21	0,8280	0,19	0,8310	-0,15	0,9202	-0,47	0,3849
Cxxc1	45,81	-0,01	0,9895	-0,12	0,8332	0,06	1,0000	-0,29	0,7338	0,04	0,9352	-0,18	0,8243	-0,18	0,8244	-0,08	0,9590	-0,04	0,9445
Cxxc4	29,75	-0,94	0,0031	0,88	0,0015	-0,22	1,0000	0,05	0,9853	-0,29	0,5268	1,39	0,0010	0,68	0,2180	0,11	0,9494	0,10	0,8956
Cxxc5	93,06	-0,30	0,3166	0,17	0,6925	0,13	1,0000	0,09	0,9537	-0,20	0,4876	0,39	0,3893	0,40	0,3720	0,25	0,7236	0,25	0,5252
Cyb5	27,16	-0,28	0,5656	-0,36	0,4910	-0,05	NA	-0,50	0,4373	-1,00	0,0142	0,55	0,3713	0,31	0,6719	-0,39	0,6847	-0,44	0,4041
Cyb561	2,99	0,07	0,9398	0,76	0,1924	-0,04	NA	-0,02	NA	-0,20	0,8086	0,56	0,5136	-0,09	NA	-0,54	NA	-0,96	0,1388
Cyb561a3	23,81	-0,39	0,4050	-0,28	0,6603	-0,23	NA	-0,40	0,6197	-0,11	0,8302	0,38	0,6176	-0,08	NA	-0,28	0,8170	0,51	0,2699
Cyb561d1	17,33	-0,11	0,8837	0,07	0,9390	0,14	NA	0,10	0,9654	0,50	0,2681	0,28	0,7559	-0,08	NA	0,36	0,7227	-0,04	0,9649
Cyb561d2	4,62	0,07	0,9403	0,27	0,7593	0,23	NA	-0,24	NA	0,04	0,9654	0,13	0,9251	0,03	NA	-0,01	NA	-0,05	0,9656
Cyb5b	143,29	0,15	0,6716	0,10	0,7972	-0,07	1,0000	-0,03	0,9853	-0,20	0,4235	0,17	0,7836	0,14	0,8355	-0,20	0,7968	-0,27	0,4848
Cyb5d1	11,37	-0,24	0,7392	-0,43	0,5112	-0,14	NA	-0,36	0,7125	-0,22	0,7490	-0,11	0,9360	0,15	NA	0,30	0,8253	-0,26	0,7496
Cyb5d2	36,78	0,08	0,9031	0,12	0,8722	0,28	1,0000	0,34	0,7037	0,42	0,3076	0,34	0,5801	0,02	0,9830	0,43	0,4809	0,48	0,1659
Cyb5r1	96,73	1,27	0,0000	0,23	0,6034	-0,14	1,0000	-0,03	0,9853	-0,03	0,9426	-0,64	0,1151	-1,02	0,0027	-0,77	0,0452	-0,69	0,0323
Cyb5r3	230,48	0,20	0,5683	0,48	0,0740	-0,05	1,0000	-0,24	0,7197	0,61	0,0013	0,31	0,4512	-0,31	0,4803	0,01	0,9931	0,55	0,0387
Cyb5r4	54,41	-0,09	0,8449	-0,16	0,7720	-0,08	1,0000	0,06	0,9764	-0,27	0,4462	0,21	0,7501	0,22	0,7143	0,14	0,8960	0,04	0,9355
Cyb5rl	10,04	-0,16	0,8312	0,63	0,2461	0,12	NA	-0,25	0,8643	0,69	0,1341	0,33	0,7388	-0,37	NA	0,32	0,7992	0,60	0,2918
Cybrd1	1,85	0,30	NA	0,32	0,6234	0,00	NA	0,19	NA	0,09	0,9064	-0,21	0,8433	-0,04	NA	-0,12	NA	-0,37	0,6521
Cyc1	135,89	0,55	0,0891	-0,31	0,5044	-0,21	1,0000	-0,53	0,2471	-0,05	0,9080	-0,58	0,1762	-0,67	0,0770	-0,43	0,3886	-0,33	0,3707
Cycs	104,66	0,98	0,0000	-0,43	0,3337	-0,29	1,0000	-0,12	0,9472	-0,01	0,9874	-0,31	0,4925	-0,03	0,9666	-0,16	0,8429	-0,57	0,0621
Cyflp1	57,43	0,51	0,0760	-0,05	0,9488	-0,20	1,0000	-0,13	0,9430	-0,14	0,7529	-0,20	0,7501	-0,24	0,6887	-0,26	0,7155	-0,07	0,8637
Cyflp2	105,88	-0,45	0,0466	1,07	0,0000	0,05	1,0000	-0,16	0,8643	0,07	0,8337	1,27	0,0000	0,21	0,6949	0,19	0,8152	0,43	0,1426
Cyhr1	112,44	-0,26	0,3392	-0,13	0,7703	0,06	1,0000	0,09	0,9473	0,28	0,2452	0,06	0,9360	-0,02	0,9834	0,48	0,2074	0,34	0,2432
Cyld	270,99	0,26	0,2971	-0,18	0,6104	-0,09	1,0000	-0,09	0,9430	-0,06	0,8350	-0,08	0,8859	-0,05	0,9383	-0,22	0,6847	-0,11	0,7867
Cyp20a1	16,06	0,33	0,5483	0,18	0,8275	-0,21	NA	0,07	0,9805	-0,50	0,3599	-0,14	0,8963	-0,16	NA	-0,71	0,3198	-0,33	0,5847
Cyp2j6	29,97	-0,84	0,0205	0,37	0,4679	0,18	1,0000	0,02	0,9901	-0,28	0,5608	1,02	0,0299	0,90	0,0534	0,22	0,8614	-0,24	0,7075
Cyp2u1	27,08	0,53	0,2093	0,06	0,9505	-0,03	NA	0,06	0,9853	-0,11	0,8577	-0,20	0,8167	-0,16	0,8558	0,12	0,9313	-0,24	0,6548
Cyp39a1	17,59	-0,37	0,4870	0,90	0,0122	0,64	NA	-0,22	0,8797	-1,14	0,0068	1,42	0,0014	0,99	0,0392	0,10	0,9595	-0,50	0,4284
Cyp46a1	5,95	-0,36	0,6035	1,10	0,0155	0,10	NA	-0,06	0,9853	0,60	0,2705	0,87	0,2107	-0,03	NA	0,24	NA	0,89	0,1411
Cyp4b1	1,08	-0,46	NA	-0,25	0,6865	0,04	NA	-0,04	NA	0,11	0,8962	0,20	NA	0,07	NA	0,01	NA	0,55	NA
Cyp4f13	25,33	-0,26	0,6232	0,44	0,3575	0,48	0,5633	0,23	0,8587	0,47	0,2144	0,36	0,6312	0,23	0,7811	0,43	0,5858	0,44	0,3320

GeneID	CTL	ET-1 vs CTL		SAHA vs CTL		JS28 vs CTL		BSP vs CTL		JQ1 vs CTL		ET-1+SAHA vs ET1		ET-1+JS28 vs ET1		ET-1+BSP vs ET1		ET-1+JQ1 vs ET1	
	mean	log2(FC)	P-adj	log2(FC)	P-adj	log2(FC)	P-adj	log2(FC)	P-adj	log2(FC)	P-adj	log2(FC)	P-adj	log2(FC)	P-adj	log2(FC)	P-adj	log2(FC)	P-adj
Cyp4f16	23,52	-0,42	0,3630	0,58	0,1588	0,04	NA	-0,26	0,8317	-0,40	0,3565	0,75	0,1740	0,00	NA	0,16	0,9170	-0,13	0,8472
Cyp4f17	23,60	-0,54	0,1807	0,20	0,7570	0,13	NA	-0,21	0,8903	-0,31	0,5069	0,69	0,2279	0,48	0,4559	0,18	0,9025	-0,01	0,9892
Cyp4v3	7,38	-0,52	0,3955	0,10	0,9264	0,20	NA	-0,10	0,9713	-0,41	0,5496	0,64	0,4232	0,45	NA	0,10	0,9602	-0,38	0,6383
Cyp51	76,94	1,10	0,0018	0,31	0,5626	0,13	1,0000	-0,15	0,9306	-0,12	0,8057	-0,35	0,7245	-0,14	0,8996	-0,29	0,7668	-0,93	0,0351
Cyr61	160,87	1,77	0,0000	0,13	0,8456	-0,01	1,0000	-0,24	0,8420	1,08	0,0008	-0,56	0,1747	-0,74	0,0428	-0,99	0,0024	0,30	0,4333
Cystm1	14,21	0,39	0,4748	0,69	0,1813	0,08	NA	0,29	0,8211	0,60	0,2054	0,75	0,1945	-0,32	NA	-0,18	0,9067	0,53	0,3156
Cyth1	53,90	-0,26	0,5011	0,08	0,9010	-0,14	1,0000	-0,12	0,9437	-0,19	0,6025	0,11	0,8921	0,42	0,4311	0,18	0,8597	0,15	0,7819
Cyth2	47,00	-0,02	0,9743	-0,53	0,1929	-0,42	0,7849	-0,10	0,9634	0,18	0,6903	-0,61	0,2384	-0,02	0,9794	0,02	0,9918	0,25	0,6280
Cyth3	43,75	0,05	0,9309	-0,02	0,9848	-0,07	1,0000	-0,24	0,8350	-0,26	0,5687	-0,05	0,9602	0,01	0,9954	-0,42	0,5934	-0,37	0,3918
D030028A08Rik	2,05	0,49	NA	0,25	0,7137	0,09	NA	-0,13	NA	-0,34	NA	-0,05	0,9725	-0,13	NA	-0,52	NA	-0,76	0,2592
D030047H15Rik	1,01	0,29	NA	-0,13	NA	0,00	NA	0,01	NA	-0,01	NA	-0,32	NA	-0,30	NA	-0,10	NA	-0,22	NA
D030056L22Rik	26,41	0,14	0,8078	-0,02	0,9830	0,17	NA	0,02	0,9901	-0,14	0,7935	0,35	0,6108	0,04	0,9666	0,16	0,9065	0,07	0,9044
D10Bwg1379e	2,45	0,77	0,1490	0,58	0,2865	0,13	NA	0,05	NA	-0,05	NA	-0,23	0,8396	-0,23	NA	-0,69	NA	-1,19	0,0645
D10Jhu81e	36,74	0,22	0,6598	-0,19	0,7638	0,06	1,0000	0,15	0,9306	0,15	0,7415	-0,21	0,7990	-0,26	0,7182	0,23	0,8311	-0,30	0,5534
D10Wsu102e	28,72	-0,53	0,1569	-0,04	0,9675	-0,10	1,0000	0,11	0,9571	-0,01	0,9784	0,33	0,6792	0,29	0,7025	0,42	0,6061	0,59	0,1828
D11Wsu47e	23,51	0,16	0,7790	0,44	0,3711	0,22	NA	0,19	0,8993	0,30	0,5031	0,10	0,9226	-0,24	0,7624	-0,09	0,9606	0,06	0,9230
D130020L05Rik	5,96	-0,12	0,8916	-0,31	0,7052	-0,04	NA	0,02	NA	0,20	0,8016	0,03	0,9822	0,02	NA	-0,18	NA	0,12	0,9057
D130040H23Rik	14,69	-0,20	0,7701	0,33	0,6189	-0,11	NA	0,01	0,9941	-0,56	0,2962	0,55	0,4402	0,47	NA	-0,12	0,9480	-0,49	0,4342
D15Erttd621e	66,39	0,12	0,8085	0,34	0,4255	-0,11	1,0000	0,15	0,9158	0,39	0,2789	0,37	0,4973	0,04	0,9666	-0,02	0,9918	-0,01	0,9902
D16Erttd472e	19,14	0,45	0,3589	0,06	0,9551	-0,26	NA	-0,08	0,9798	0,12	0,8464	-0,70	0,2661	-0,62	NA	-0,56	0,4681	-0,06	0,9375
D17H6S53E	16,28	0,39	0,4558	-0,30	0,6925	0,03	NA	0,03	0,9876	-0,23	0,7103	-0,88	0,1473	-0,34	NA	-0,21	0,8813	-0,32	0,5862
D17Wsu104e	21,00	0,24	0,6750	-0,31	0,6520	-0,17	NA	-0,30	0,7932	0,16	0,7888	-0,38	0,6238	-0,37	NA	0,16	0,9119	0,34	0,5027
D17Wsu92e	187,66	0,04	0,8855	-0,19	0,5021	-0,16	1,0000	-0,10	0,9264	0,58	0,0056	-0,18	0,7110	-0,30	0,4398	-0,06	0,9548	0,49	0,0859
D19Bwg1357e	70,34	0,26	0,4087	0,27	0,4827	0,06	1,0000	-0,13	0,9267	-0,29	0,3499	-0,22	0,7305	-0,01	0,9929	-0,25	0,7354	-0,67	0,0291
D1Erttd622e	11,45	0,56	0,2742	0,21	0,8112	0,08	NA	0,13	0,9563	0,47	0,4058	-0,41	0,6381	-0,30	NA	-0,68	0,3788	-0,06	0,9363
D230025D16Rik	55,33	-0,12	0,7792	0,30	0,4623	0,03	1,0000	-0,11	0,9449	-0,13	0,7342	0,14	0,8443	0,19	0,7735	0,06	0,9680	0,32	0,3439
D2hgdh	8,53	0,26	0,7256	-0,08	0,9429	0,26	NA	0,44	0,5969	1,07	0,0157	-0,65	0,4163	-0,02	NA	0,45	0,6550	0,55	0,3435
D2Wsu81e	10,43	0,15	0,8457	0,44	0,4989	0,04	NA	-0,03	0,9901	0,26	0,6783	0,66	0,3399	-0,16	NA	0,00	1,0000	0,13	0,8734
D330023K18Rik	2,72	-0,37	0,5958	-0,15	0,8686	-0,19	NA	-0,23	NA	-0,25	0,7549	0,58	0,4615	0,11	NA	0,04	NA	0,25	0,7820
D330041H03Rik	11,78	-0,86	0,0685	-0,41	0,5509	-0,20	NA	-0,30	0,8095	-0,10	0,8955	0,22	0,8443	0,22	NA	0,52	0,5858	0,59	0,3481
D330045A20Rik	1,66	-0,03	NA	0,37	0,5941	-0,01	NA	-0,04	NA	-0,30	0,6584	0,62	0,4299	-0,03	NA	-0,11	NA	-0,52	NA
D330050I16Rik	1,88	-0,17	NA	-0,02	0,9885	-0,05	NA	-0,12	NA	0,37	0,6151	0,35	0,7083	-0,03	NA	0,01	NA	1,14	0,0819
D3Bwg0562e	5,13	0,22	0,7853	0,49	0,4725	0,32	NA	0,23	NA	-0,12	0,8845	-0,04	0,9789	-0,15	NA	-0,02	0,9931	-0,39	0,6282
D3Erttd254e	51,05	-0,30	0,4011	-0,07	0,9044	0,00	1,0000	0,11	0,9482	-0,03	0,9405	0,02	0,9836	0,41	0,4532	0,27	0,7502	0,30	0,5020
D3Erttd751e	33,56	-0,64	0,0472	0,38	0,3599	-0,20	1,0000	0,14	0,9318	-0,78	0,0217	0,87	0,0662	0,67	0,1697	0,38	0,6443	-0,43	0,4235
D430019H16Rik	4,86	0,00	0,9975	1,50	0,0004	0,33	NA	0,18	NA	-0,63	0,3303	1,56	0,0039	0,12	NA	-0,07	NA	-0,55	0,4820
D430020J02Rik	1,47	-0,27	NA	-0,37	0,5075	-0,05	NA	-0,15	NA	-0,05	0,9534	-0,16	NA	0,03	NA	0,12	NA	-0,04	NA
D430042O09Rik	66,96	-0,45	0,0872	-0,29	0,4676	-0,24	1,0000	-0,71	0,0233	-1,01	0,0000	-0,31	0,5925	-0,38	0,4841	-0,39	0,5331	-0,51	0,1231
D5Erttd579e	289,07	0,22	0,3794	-0,19	0,5742	-0,15	1,0000	0,05	0,9794	-0,23	0,3504	-0,34	0,3475	-0,09	0,8766	-0,06	0,9494	-0,19	0,5573
D630032N06Rik	1,55	-0,33	NA	0,10	0,9228	-0,03	NA	0,02	NA	0,36	0,6319	0,33	NA	0,19	NA	0,33	NA	0,65	0,3697
D630045J12Rik	32,44	-0,34	0,4766	0,62	0,0869	0,14	1,0000	0,07	0,9764	0,45	0,2017	0,40	0,5703	0,10	0,9239	0,14	0,9242	0,80	0,0391
D630045M09Rik	9,31	-0,37	0,5703	-1,14	0,0208	-0,03	NA	-0,64	0,2508	-2,09	0,0000	-0,86	0,2303	0,81	NA	-0,07	0,9789	-1,96	0,0007
D6Wsu163e	24,07	-0,36	0,4206	0,32	0,5540	0,09	NA	0,11	0,9614	0,12	0,8111	0,30	0,7239	0,13	NA	0,03	0,9918	0,29	0,5839
D7Erttd443e	4,03	-0,35	0,6371	-0,42	0,5626	0,01	NA	-0,27	NA	-1,17	0,0391	0,38	0,7142	0,08	NA	-0,07	NA	-0,75	0,2888
D7Erttd715e	93,25	0,17	0,6625	0,30	0,4436	0,05	1,0000	-0,03	0,9853	-0,39	0,2670	0,32	0,4927	0,53	0,1601	0,05	0,9714	-0,41	0,3781

GeneID	CTL	ET-1 vs CTL		SAHA vs CTL		JS28 vs CTL		BSP vs CTL		JQ1 vs CTL		ET-1+SAHA vs ET1		ET-1+JS28 vs ET1		ET-1+BSP vs ET1		ET-1+JQ1 vs ET1	
	mean	log2(FC)	P-adj	log2(FC)	P-adj	log2(FC)	P-adj	log2(FC)	P-adj	log2(FC)	P-adj	log2(FC)	P-adj	log2(FC)	P-adj	log2(FC)	P-adj	log2(FC)	P-adj
D830005E20Rik	29,82	0,22	0,6919	-0,59	0,2441	-0,16	NA	-0,39	0,6569	-2,19	0,0000	-0,71	0,2077	0,15	0,8586	-0,06	0,9784	-2,53	0,0000
D830013O20Rik	1,51	-0,45	NA	-0,28	0,6844	-0,07	NA	-0,27	NA	-0,74	0,1608	-0,05	NA	0,21	NA	0,18	NA	-0,12	NA
D830015G02Rik	96,02	0,30	0,6492	-0,18	NA	-0,11	NA	-0,24	NA	-0,71	NA	0,31	0,7437	-0,04	0,9678	-0,63	0,3674	-0,92	0,1827
D830031N03Rik	303,93	-0,47	0,0090	-1,00	0,0000	-0,17	1,0000	0,26	0,4632	0,61	0,0001	-0,80	0,0037	0,12	0,8244	0,66	0,0126	1,09	0,0000
D830032E09Rik	1,39	-0,41	NA	-0,11	0,9044	-0,06	NA	-0,21	NA	-0,68	0,1949	-0,12	NA	0,03	NA	-0,09	NA	-0,11	NA
D830046C22Rik	3,26	0,24	0,7534	0,04	0,9756	0,00	NA	0,00	NA	-0,40	0,5706	-0,04	0,9805	-0,15	NA	-0,35	NA	-0,69	0,3514
D8Erttd738e	61,94	0,20	0,5795	0,24	0,5696	0,13	1,0000	0,07	0,9741	0,48	0,0816	0,45	0,2972	-0,41	0,4311	-0,08	0,9479	0,32	0,3210
D8Erttd82e	19,83	0,27	0,6297	-0,42	0,5099	-0,10	NA	-0,53	0,4467	0,04	0,9531	-1,12	0,0420	-0,71	NA	-0,89	0,1329	-0,16	0,7998
D930015E06Rik	57,45	-0,30	0,3857	0,05	0,9294	0,20	1,0000	0,09	0,9606	0,39	0,1402	-0,02	0,9853	0,20	0,7736	0,43	0,4724	0,63	0,0835
D930016D06Rik	20,33	0,08	0,9151	-0,06	0,9505	0,03	NA	0,25	0,8504	0,15	0,8057	-0,49	0,5125	0,35	0,6266	0,04	0,9874	-0,02	0,9836
Daam1	652,24	0,06	0,8845	-0,18	0,4323	-0,08	1,0000	-0,09	0,9081	-0,35	0,0130	-0,51	0,1363	-0,41	0,2866	-0,55	0,0936	-0,57	0,0254
Daam2	35,15	0,02	0,9707	0,41	0,3418	0,21	1,0000	-0,09	0,9634	-0,22	0,6374	0,24	0,7592	0,37	0,5430	0,39	0,6038	-0,31	0,5143
Dab2	10,05	-0,22	0,7755	0,55	0,3667	0,34	NA	-0,39	0,6647	-0,62	0,3058	0,52	0,5289	0,68	NA	-0,11	0,9570	-0,30	0,6952
Dab2ip	178,77	0,31	0,1169	0,21	0,4709	-0,19	1,0000	-0,20	0,7413	-0,08	0,7801	-0,09	0,8681	-0,65	0,0340	-0,80	0,0022	-0,39	0,1983
Dach1	36,49	-0,13	0,8366	-0,76	0,0655	-0,18	1,0000	-0,45	0,5124	-1,25	0,0007	-0,36	0,6465	0,09	0,9288	-0,23	0,8511	-0,74	0,1287
Dact1	51,31	-0,26	0,5473	-0,18	0,7679	0,05	1,0000	0,08	0,9741	0,36	0,3128	0,25	0,7224	0,21	0,7578	0,33	0,6577	0,47	0,1966
Dact3	12,27	-0,09	0,9079	1,11	0,0087	0,00	NA	-0,25	0,8620	0,38	0,5274	0,94	0,0957	-0,03	NA	-0,01	0,9980	0,76	0,1595
Dad1	63,21	0,24	0,5716	-0,25	0,6418	-0,34	1,0000	-0,39	0,5826	0,52	0,0686	0,44	0,3552	0,02	0,9818	-0,29	0,7072	0,48	0,1291
Dag1	994,34	0,44	0,0024	-0,01	0,9845	0,07	1,0000	0,11	0,8671	0,59	0,0001	-0,15	0,7066	-0,09	0,8497	0,29	0,3644	0,57	0,0063
Dagla	4,39	-0,06	0,9497	0,58	0,3666	0,02	NA	-0,05	NA	-0,43	0,5559	0,59	0,4810	0,10	NA	0,04	NA	-0,25	0,7766
Daglb	29,62	-0,03	0,9635	-0,40	0,4413	0,07	NA	-0,30	0,7688	0,42	0,2456	-0,26	0,7501	-0,08	0,9400	-0,07	0,9730	0,48	0,2644
Dak	10,68	-0,07	0,9388	0,78	0,1074	0,16	NA	0,32	0,7652	0,15	0,8180	0,49	0,5687	-0,04	NA	-0,20	0,9025	0,70	0,2404
Dalrd3	23,93	-0,44	0,3006	0,03	0,9747	0,15	NA	-0,05	0,9853	0,01	0,9797	0,29	0,7383	0,08	NA	0,25	0,8360	0,28	0,6119
Dancr	6,61	0,44	0,5022	-0,22	0,8113	0,02	NA	-0,12	NA	0,00	0,9973	0,06	0,9685	-0,32	NA	-0,28	0,8446	0,05	0,9644
Dand5	10,15	-0,02	0,9781	0,01	0,9946	0,24	NA	-0,09	0,9746	-0,15	0,8349	-0,34	0,7383	0,25	NA	0,00	1,0000	-0,62	0,3371
Dap	32,14	-0,24	0,6720	-0,26	0,6865	-0,05	1,0000	-0,20	0,8987	-0,11	0,8484	0,22	0,7972	-0,15	0,8732	0,00	1,0000	0,19	0,7268
Dap3	59,05	0,06	0,9133	0,85	0,0006	0,10	1,0000	0,48	0,2303	0,77	0,0013	0,56	0,2135	-0,06	0,9517	0,50	0,3410	0,64	0,0656
Dapk1	77,08	-0,41	0,1358	-0,44	0,1595	-0,07	1,0000	-0,14	0,9100	0,09	0,8093	-0,40	0,4392	-0,29	0,6167	-0,13	0,9074	0,26	0,5289
Dapk3	38,94	0,03	0,9632	0,01	0,9943	-0,06	1,0000	-0,14	0,9426	-0,14	0,7744	0,30	0,6556	-0,14	0,8732	-0,33	0,7067	0,14	0,7833
Dapp1	33,47	0,14	0,8329	0,12	0,8722	0,10	1,0000	-0,13	0,9527	-1,56	0,0001	0,09	0,9350	-0,21	0,8173	-0,60	0,4098	-1,18	0,0139
Dars	152,70	0,43	0,0222	-0,54	0,0208	0,00	1,0000	0,04	0,9805	-0,35	0,1165	-0,80	0,0037	-0,17	0,7385	-0,34	0,4388	-0,63	0,0581
Dars2	33,64	-0,07	0,9043	0,03	0,9747	-0,18	1,0000	-0,03	0,9860	-0,15	0,7525	0,46	0,4363	0,11	0,9052	0,16	0,9054	0,00	0,9982
Daxx	25,94	-0,05	0,9398	0,19	0,7835	0,18	NA	-0,16	0,9349	-0,01	0,9868	-0,05	0,9627	-0,11	0,9118	-0,01	0,9967	0,49	0,3154
Dazap1	40,24	0,44	0,2162	0,10	0,8813	0,16	1,0000	-0,24	0,8369	0,56	0,1463	-0,30	0,6583	-0,47	0,3919	-0,50	0,4263	0,32	0,5679
Dazap2	263,44	-0,15	0,6516	-0,70	0,0028	-0,03	1,0000	-0,17	0,8451	0,10	0,7402	-0,46	0,1592	0,05	0,9346	-0,14	0,8463	0,35	0,2086
Dbf4	9,38	-0,13	0,8737	0,06	0,9579	0,05	NA	-0,11	0,9634	-0,13	0,8507	-0,09	0,9452	0,11	NA	-0,21	0,9017	-0,10	0,9123
Dbh	7,02	-0,40	0,5612	-0,48	0,4909	0,30	NA	-0,45	0,5541	-1,76	0,0007	-0,23	0,8417	0,43	NA	-0,55	NA	-1,66	0,0051
Dbhos	1,66	-0,09	NA	-0,03	0,9750	0,03	NA	-0,11	NA	-0,41	0,4631	-0,27	NA	0,15	NA	-0,15	NA	-0,47	NA
Dbi	54,48	0,22	0,6509	0,05	0,9420	-0,14	1,0000	-0,12	0,9447	-0,41	0,3297	0,00	0,9982	-0,40	0,5009	-0,16	0,8974	-0,65	0,1677
Dbn1	6,35	-0,51	0,4128	0,26	0,7608	-0,19	NA	-0,31	0,7778	-1,37	0,0116	0,27	0,8064	0,30	NA	-0,31	NA	-0,11	0,9133
Dbndd1	2,59	-0,26	0,7298	0,36	0,6445	-0,16	NA	-0,19	NA	-0,29	0,7067	0,48	0,5803	0,17	NA	-0,30	NA	-0,01	0,9923
Dbndd2	19,51	0,15	0,8044	-0,19	0,8031	0,13	NA	-0,16	0,9352	-0,37	0,4876	-0,51	0,4752	-0,12	NA	-0,64	0,3748	-0,42	0,4281
Dbnl	175,24	0,19	0,5990	-0,22	0,6189	-0,28	1,0000	-0,31	0,6334	0,25	0,3912	-0,29	0,4816	-0,62	0,0437	-0,11	0,8915	0,36	0,1622
Dbp	37,62	-0,38	0,4088	0,22	0,7106	0,19	1,0000	-0,33	0,7022	-0,47	0,2881	0,49	0,4110	0,58	0,2895	0,15	0,9161	0,06	0,9396
Dbr1	18,39	0,11	0,8792	0,00	0,9965	-0,07	NA	0,22	0,8881	0,42	0,3662	-0,15	0,8838	-0,03	NA	0,21	0,8745	-0,03	0,9681

GeneID	CTL	ET-1 vs CTL		SAHA vs CTL		JS28 vs CTL		BSP vs CTL		JQ1 vs CTL		ET-1+SAHA vs ET1		ET-1+JS28 vs ET1		ET-1+BSP vs ET1		ET-1+JQ1 vs ET1	
	mean	log2(FC)	P-adj	log2(FC)	P-adj	log2(FC)	P-adj	log2(FC)	P-adj	log2(FC)	P-adj	log2(FC)	P-adj	log2(FC)	P-adj	log2(FC)	P-adj	log2(FC)	P-adj
Dbt	73,59	-0,05	0,9031	-0,03	0,9652	-0,02	1,0000	0,28	0,6409	0,03	0,9464	-0,23	0,7031	0,09	0,9070	0,35	0,5086	-0,30	0,4296
Dcaf10	106,82	-0,23	0,4139	-0,34	0,2794	-0,15	1,0000	0,01	0,9901	-0,21	0,4341	-0,16	0,7901	0,22	0,6875	0,20	0,7864	-0,09	0,8380
Dcaf11	98,77	-0,11	0,8102	-0,12	0,8195	0,04	1,0000	0,16	0,8929	0,33	0,2125	-0,04	0,9608	-0,07	0,9313	0,32	0,6098	0,28	0,4373
Dcaf12	77,27	-0,21	0,5266	-0,28	0,4543	0,05	1,0000	-0,09	0,9516	0,71	0,0013	-0,01	0,9966	0,07	0,9243	0,27	0,7070	0,80	0,0143
Dcaf121	23,28	-0,24	0,6750	-1,37	0,0006	0,05	NA	-0,59	0,2934	-1,38	0,0006	-0,98	0,1040	0,41	0,5548	-0,56	0,5014	-0,82	0,1622
Dcaf13	45,29	0,33	0,3335	-0,03	0,9705	0,04	1,0000	0,21	0,8482	-0,18	0,6769	-0,13	0,8686	-0,16	0,8336	-0,24	0,7911	-0,16	0,7355
Dcaf15	37,18	0,00	0,9980	-0,45	0,3606	-0,13	1,0000	-0,12	0,9574	-0,17	0,7219	-0,67	0,2161	-0,46	0,4392	-0,20	0,8565	-0,34	0,5391
Dcaf17	40,43	-0,46	0,1832	-0,06	0,9295	0,04	1,0000	-0,16	0,9096	-0,45	0,2012	0,30	0,6699	0,40	0,4925	0,37	0,6386	0,11	0,8396
Dcaf4	20,89	-0,84	0,0333	-0,15	0,8391	0,07	NA	-0,35	0,7295	-0,40	0,3982	0,46	0,5667	0,47	NA	-0,07	0,9789	0,00	0,9994
Dcaf5	129,11	-0,19	0,5034	0,09	0,8389	0,06	1,0000	-0,04	0,9805	0,13	0,6757	0,04	0,9572	0,13	0,8390	0,03	0,9815	0,13	0,7281
Dcaf6	153,51	-0,31	0,1783	0,19	0,6002	0,14	1,0000	0,27	0,5926	-0,04	0,9080	0,41	0,2424	0,28	0,5083	0,24	0,6579	0,34	0,3157
Dcaf7	311,11	-0,06	0,8616	0,16	0,6021	-0,20	1,0000	-0,24	0,5853	-0,10	0,6854	0,30	0,4254	-0,18	0,6926	-0,22	0,6673	0,04	0,9202
Dcaf8	233,63	-0,42	0,0305	-0,65	0,0003	-0,06	1,0000	-0,03	0,9853	0,15	0,4832	-0,29	0,5086	0,04	0,9535	0,26	0,6148	0,33	0,2928
Dcakd	101,13	-0,13	0,7534	-0,42	0,1596	-0,11	1,0000	0,00	0,9982	0,78	0,0001	-0,45	0,3578	-0,26	0,6648	0,11	0,9192	0,98	0,0018
Dcbld1	6,57	-0,45	0,4812	-0,10	0,9252	-0,17	NA	-0,19	0,9141	-0,40	0,5566	0,64	0,4241	0,34	NA	-0,29	NA	0,07	0,9431
Dcbld2	192,15	0,24	0,5025	0,07	0,8884	0,03	1,0000	0,32	0,5477	0,50	0,0552	0,30	0,5041	0,06	0,9391	0,26	0,6671	0,44	0,2261
Dcc	2,60	-0,77	0,1451	-0,67	0,2232	-0,16	NA	-0,37	NA	-1,18	0,0277	-0,21	NA	0,05	NA	-0,09	NA	-0,13	NA
Dcdc2b	1,30	-0,26	NA	-0,03	0,9790	-0,10	NA	-0,08	NA	0,24	0,7579	0,27	NA	-0,02	NA	0,15	NA	0,26	NA
Dchs1	5,49	-0,07	0,9378	-0,12	0,9061	0,24	NA	-0,44	NA	-1,49	0,0047	-0,40	0,6722	-0,07	NA	-0,57	NA	-1,02	0,1116
Dck	28,82	0,11	0,8525	-0,13	0,8688	-0,13	NA	-0,15	0,9424	0,36	0,3842	-0,01	0,9930	0,10	0,9173	-0,06	0,9789	0,56	0,1650
Dclk2	5,45	-0,22	0,7831	0,08	0,9444	0,05	NA	-0,11	NA	-0,34	0,6449	0,08	0,9528	0,03	NA	-0,08	NA	0,01	0,9942
Dclk3	12,95	-1,34	0,0007	-0,91	0,0537	-0,07	NA	-0,29	0,8149	0,22	0,7130	-0,14	0,9156	0,28	NA	0,28	0,8446	1,01	0,0845
Dclre1a	24,13	-0,02	0,9812	0,04	0,9716	0,00	NA	-0,08	0,9764	-0,78	0,0741	0,09	0,9343	0,18	0,8465	-0,24	0,8401	-0,76	0,1067
Dclre1b	13,96	0,33	0,5792	-0,04	0,9721	0,01	NA	0,01	0,9956	-0,41	0,4895	-0,23	0,8198	-0,23	NA	-0,60	0,4634	-0,47	0,4269
Dclre1c	13,40	-0,57	0,2516	0,19	0,8121	0,03	NA	-0,04	0,9853	0,04	0,9590	0,58	0,4335	0,66	NA	0,62	0,4348	0,35	0,6160
Dcp1a	81,54	0,32	0,2492	0,22	0,5958	-0,14	1,0000	-0,20	0,8420	0,48	0,0538	0,15	0,8038	-0,32	0,5032	0,16	0,8472	0,33	0,2432
Dcp1b	6,99	-0,51	0,4142	-0,17	0,8596	-0,14	NA	0,10	0,9674	0,39	0,5226	0,30	0,7826	0,03	NA	0,51	0,5997	0,93	0,1248
Dcp2	174,90	-0,15	0,7134	-0,06	0,9114	-0,04	1,0000	0,09	0,9516	-0,09	0,8105	0,40	0,3342	0,30	0,5260	0,22	0,7488	0,18	0,6525
Dcps	26,56	0,31	0,5447	-0,64	0,1947	-0,12	NA	-0,10	0,9634	-0,55	0,2286	-1,22	0,0152	-0,78	0,1440	-0,57	0,4274	-0,85	0,0673
Dctd	8,70	0,59	0,2970	-0,05	0,9706	-0,15	NA	-0,39	NA	-1,14	0,0444	-0,38	0,7013	-0,82	NA	-1,23	0,0268	-1,60	0,0047
Dctn1	213,18	0,01	0,9844	0,22	0,4951	0,06	1,0000	0,13	0,8998	0,34	0,1186	-0,07	0,9094	-0,32	0,3821	-0,06	0,9503	0,30	0,1698
Dctn2	166,78	-0,25	0,4069	-0,03	0,9697	0,18	1,0000	0,12	0,9264	0,21	0,5136	-0,06	0,9360	0,07	0,9199	0,29	0,5814	0,48	0,2179
Dctn3	39,09	-0,14	0,7899	-0,20	0,7251	0,10	1,0000	-0,13	0,9440	-0,16	0,7146	0,40	0,5030	-0,02	0,9806	0,00	1,0000	0,38	0,3571
Dctn4	186,16	-0,01	0,9863	0,05	0,8953	-0,18	1,0000	-0,10	0,9215	-0,24	0,2697	0,09	0,8772	-0,12	0,8244	-0,12	0,8825	-0,13	0,7012
Dctn5	32,32	0,23	0,6473	0,21	0,7273	0,20	1,0000	0,19	0,8966	0,31	0,4581	0,05	0,9647	0,01	0,9957	0,11	0,9423	-0,09	0,9025
Dctn6	90,47	0,12	0,7354	0,33	0,2914	-0,03	1,0000	-0,10	0,9469	-0,41	0,1667	0,42	0,2917	-0,06	0,9305	-0,10	0,9255	-0,56	0,0456
Dctpp1	8,49	0,12	0,8898	-0,15	0,8752	-0,10	NA	-0,11	0,9634	0,15	0,8375	0,42	0,6448	-0,60	NA	-0,11	0,9590	-0,09	0,9272
Dcun1d1	119,94	0,34	0,1996	0,20	0,6490	0,13	1,0000	0,35	0,5023	0,39	0,1491	0,10	0,8660	0,34	0,3858	0,12	0,8750	-0,01	0,9923
Dcun1d2	94,74	0,10	0,8086	0,07	0,8916	0,02	1,0000	0,18	0,8462	0,35	0,1555	-0,01	0,9939	0,05	0,9554	0,28	0,6427	0,27	0,4806
Dcun1d3	71,71	0,42	0,1056	-0,03	0,9706	-0,13	1,0000	0,11	0,9440	0,17	0,6114	-0,17	0,7866	-0,33	0,5112	-0,33	0,5751	-0,35	0,4093
Dcun1d4	144,21	0,05	0,8912	0,18	0,6192	-0,09	1,0000	0,08	0,9574	0,19	0,4453	0,51	0,1041	0,26	0,5317	-0,09	0,9179	0,38	0,1111
Dcun1d5	58,13	0,10	0,8312	0,11	0,8422	0,13	1,0000	0,30	0,6853	0,00	0,9948	0,24	0,6949	0,22	0,7118	0,31	0,6309	-0,22	0,5686
Dcxr	11,18	-0,37	0,5382	-0,11	0,9092	-0,37	NA	-0,50	0,4921	-0,22	0,7522	0,10	0,9387	-0,24	NA	-0,22	0,8906	-0,44	0,5425
Dda1	91,75	0,32	0,2252	0,70	0,0027	0,02	1,0000	-0,05	0,9805	0,67	0,0010	0,58	0,0919	-0,31	0,5132	-0,23	0,7375	0,58	0,0532
Ddah1	59,37	1,87	0,0000	0,58	0,1892	0,20	NA	-0,26	0,8364	0,29	0,5496	0,03	0,9661	-0,04	0,9588	-0,42	0,3608	-0,27	0,4390

GeneID	CTL	ET-1 vs CTL		SAHA vs CTL		JS28 vs CTL		BSP vs CTL		JQ1 vs CTL		ET-1+SAHA vs ET1		ET-1+JS28 vs ET1		ET-1+BSP vs ET1		ET-1+JQ1 vs ET1	
	mean	log2(FC)	P-adj	log2(FC)	P-adj	log2(FC)	P-adj	log2(FC)	P-adj	log2(FC)	P-adj	log2(FC)	P-adj	log2(FC)	P-adj	log2(FC)	P-adj	log2(FC)	P-adj
Ddah2	13,19	-0,27	0,7151	-0,33	0,6466	-0,12	NA	-0,64	0,2633	-0,66	0,2172	0,23	0,8382	-0,08	NA	-0,21	0,9018	-0,86	0,2030
Ddb1	738,08	0,04	0,8886	-0,16	0,4848	0,06	1,0000	-0,08	0,9264	0,32	0,0538	-0,12	0,8134	-0,16	0,7169	-0,08	0,9214	0,29	0,1813
Ddb2	7,17	-0,63	0,2775	0,84	0,1073	0,26	NA	0,12	0,9600	0,68	0,1924	1,49	0,0062	0,60	NA	0,00	NA	1,09	0,0569
Ddc	283,76	-0,51	0,1553	-0,16	0,7775	-0,16	1,0000	0,00	0,9988	-0,77	0,0082	0,51	0,2232	-0,22	0,7087	0,26	0,6978	-0,60	0,1065
Ddhd1	73,73	0,43	0,1765	0,10	0,8614	0,15	1,0000	0,24	0,7627	0,46	0,0578	-0,12	0,8808	-0,14	0,8536	0,12	0,9192	0,24	0,5668
Ddhd2	66,42	0,16	0,7266	-0,16	0,7686	0,15	1,0000	0,46	0,2960	0,71	0,0030	-0,61	0,1989	0,00	0,9994	0,15	0,8915	0,51	0,1593
Ddi2	27,83	-0,02	0,9793	0,13	0,8538	0,09	NA	0,29	0,7674	0,10	0,8498	-0,36	0,6329	0,09	0,9243	0,10	0,9471	0,48	0,2426
Ddit3	42,04	0,32	0,4966	0,12	0,8760	0,17	1,0000	0,47	0,4496	1,07	0,0004	-0,49	0,3932	-0,28	0,6780	0,10	0,9425	0,64	0,0651
Ddit4	3,92	0,18	0,8329	0,46	0,5084	0,01	NA	0,06	NA	-0,13	0,8739	0,28	0,7987	-0,11	NA	0,36	0,7639	-0,49	0,5465
Ddit4l	21,42	-0,86	0,0266	-0,71	0,1315	-0,12	NA	-0,72	0,1420	-0,78	0,0570	0,19	0,8542	0,22	NA	-0,02	0,9931	0,00	0,9994
Ddn	2,18	0,20	NA	0,94	0,0726	-0,02	NA	-0,19	NA	-0,17	0,8327	1,25	0,0400	0,13	NA	-0,21	NA	-0,47	0,5625
Ddo	8,27	-0,87	0,0814	0,56	0,3229	0,14	NA	-0,30	0,8121	-1,52	0,0025	0,47	0,6175	0,54	NA	0,00	NA	-0,66	0,3803
Ddost	102,07	0,25	0,4321	-0,38	0,2834	-0,19	1,0000	-0,17	0,8797	0,01	0,9783	-0,28	0,5811	-0,55	0,1599	-0,30	0,6051	-0,23	0,5709
Ddr1	359,81	-0,17	0,6434	-0,76	0,0003	0,00	1,0000	-0,16	0,8451	-0,13	0,6358	-0,47	0,2445	-0,22	0,6852	0,17	0,8384	0,10	0,8479
Ddr2	9,29	1,59	0,0003	-0,18	0,8355	-0,01	NA	-0,16	NA	-0,84	0,1166	-1,80	0,0009	-1,26	NA	-1,46	0,0047	-2,70	0,0000
Ddrkg1	44,90	-0,30	0,4549	-1,19	0,0005	-0,12	1,0000	0,07	0,9764	0,13	0,7663	-1,19	0,0066	-0,13	0,8779	0,30	0,6991	0,61	0,0510
Ddt	8,09	0,14	0,8621	0,99	0,0476	0,03	NA	-0,24	NA	0,02	0,9793	0,85	0,1778	-0,09	NA	-0,69	0,3872	-0,14	0,8732
Ddx1	182,75	-0,01	0,9905	0,23	0,3806	0,09	1,0000	0,20	0,7443	-0,14	0,6513	0,32	0,4644	0,02	0,9818	-0,02	0,9921	-0,16	0,7245
Ddx10	50,93	0,03	0,9479	0,23	0,6108	-0,01	1,0000	-0,04	0,9853	-0,04	0,9348	0,19	0,7987	0,17	0,8105	-0,07	0,9590	-0,19	0,6920
Ddx11	7,30	-0,81	0,1252	0,67	0,2283	0,00	NA	-0,17	0,9330	0,08	0,9237	0,57	0,5074	0,47	NA	0,32	NA	0,62	0,3758
Ddx17	536,43	-0,17	0,4786	-0,21	0,5023	0,04	1,0000	0,12	0,9058	0,23	0,3527	-0,09	0,8411	0,21	0,5428	0,17	0,7055	0,20	0,4369
Ddx18	46,15	0,49	0,1418	-0,15	0,8114	-0,07	1,0000	-0,23	0,8500	-0,34	0,4135	-0,36	0,5484	-0,25	0,7038	-0,59	0,2617	-0,82	0,0161
Ddx19a	79,18	-0,02	0,9632	-0,13	0,7807	-0,07	1,0000	0,02	0,9901	0,21	0,4677	0,18	0,7827	-0,02	0,9780	0,54	0,1783	0,23	0,4963
Ddx19b	87,78	0,34	0,2097	-0,27	0,4848	-0,05	1,0000	-0,12	0,9364	0,14	0,6584	-0,26	0,6364	-0,29	0,5598	-0,18	0,8274	0,05	0,9150
Ddx20	33,84	0,49	0,1735	0,32	0,5356	-0,04	NA	0,38	0,6084	0,41	0,2973	-0,13	0,8802	-0,33	0,6291	-0,10	0,9425	0,00	0,9988
Ddx21	64,54	0,54	0,0735	-0,05	0,9407	0,01	1,0000	-0,01	0,9925	0,26	0,5242	-0,46	0,3520	-0,36	0,4981	-0,58	0,2166	0,02	0,9736
Ddx23	116,40	-0,07	0,8561	0,03	0,9550	0,07	1,0000	-0,10	0,9378	-0,42	0,0617	-0,11	0,8827	-0,05	0,9552	0,00	1,0000	-0,23	0,5556
Ddx24	162,71	0,07	0,8260	0,31	0,2314	0,13	1,0000	0,00	0,9972	0,23	0,3125	0,37	0,3100	0,05	0,9434	-0,03	0,9792	0,21	0,5253
Ddx25	1,01	-0,31	NA	0,82	0,1293	0,13	NA	0,16	NA	-0,36	0,5774	0,14	NA	0,10	NA	-0,01	NA	0,10	NA
Ddx26b	59,21	-0,11	0,8201	-0,20	0,6884	0,06	1,0000	-0,02	0,9866	-0,81	0,0084	-0,23	0,7511	0,25	0,6967	0,25	0,7828	-0,78	0,0291
Ddx27	35,18	0,12	0,8302	0,20	0,7679	0,12	1,0000	0,12	0,9589	0,05	0,9353	-0,22	0,7827	0,01	0,9961	-0,52	0,4354	-0,21	0,6715
Ddx28	18,70	-0,42	0,3970	0,16	0,8322	-0,03	NA	-0,16	0,9387	-0,14	0,8077	0,19	0,8533	0,13	NA	0,43	0,6374	0,29	0,6283
Ddx31	12,53	-0,37	0,5414	-0,49	0,4364	-0,21	NA	-0,45	0,5913	-0,56	0,2975	-0,21	0,8521	0,01	NA	0,04	0,9911	-0,37	0,6203
Ddx39	33,81	0,57	0,1123	-0,09	0,9195	-0,27	NA	-0,41	0,6103	-0,57	0,2101	0,03	0,9732	-0,43	0,4532	-0,52	0,4096	-0,81	0,0440
Ddx39b	85,38	0,31	0,2692	-0,29	0,5114	0,06	1,0000	-0,09	0,9601	0,54	0,0935	-0,36	0,4443	-0,17	0,7655	-0,02	0,9918	0,23	0,5226
Ddx3x	606,23	0,36	0,0155	-0,36	0,0539	0,02	1,0000	0,01	0,9901	-0,07	0,8033	-0,36	0,2285	0,05	0,9313	-0,24	0,5206	-0,24	0,5124
Ddx3y	146,43	0,47	0,0659	-0,18	0,6194	-0,16	1,0000	-0,25	0,6592	-0,34	0,2358	-0,48	0,2621	-0,32	0,5394	-0,69	0,0585	-0,70	0,0738
Ddx41	23,55	-0,11	0,8730	-0,59	0,2536	-0,30	NA	-0,08	0,9753	-0,35	0,4754	-0,48	0,5136	-0,25	NA	0,24	0,8428	0,03	0,9705
Ddx42	160,17	0,04	0,9133	-0,01	0,9916	0,09	1,0000	0,09	0,9435	0,20	0,3509	-0,25	0,6026	-0,05	0,9428	-0,09	0,9192	-0,04	0,9327
Ddx46	123,58	0,01	0,9810	0,25	0,4267	-0,11	1,0000	0,09	0,9501	-0,26	0,3229	0,15	0,7891	0,40	0,3109	-0,03	0,9878	-0,26	0,4682
Ddx47	50,89	0,03	0,9486	0,00	0,9960	0,07	1,0000	0,15	0,9158	-0,10	0,8146	0,39	0,4346	0,23	0,7009	0,08	0,9527	-0,02	0,9782
Ddx49	51,89	0,56	0,0652	0,15	0,8105	0,04	1,0000	-0,13	0,9426	0,43	0,1605	-0,64	0,1618	-0,75	0,0723	-0,22	0,8100	-0,36	0,3470
Ddx5	1473,71	-0,17	0,5112	-0,64	0,0014	0,14	1,0000	0,28	0,5009	0,01	0,9599	-0,56	0,0214	0,37	0,1954	0,35	0,2330	0,06	0,8710
Ddx50	64,04	0,22	0,5867	0,26	0,5936	0,20	1,0000	0,00	0,9990	-0,06	0,9124	-0,06	0,9410	0,12	0,8646	0,01	0,9938	-0,27	0,5847
Ddx51	24,21	-0,08	0,8965	-0,14	0,8434	-0,06	NA	0,02	0,9925	-0,13	0,8131	0,03	0,9805	0,13	0,8987	0,11	0,9483	-0,21	0,7291

GeneID	CTL	ET-1 vs CTL		SAHA vs CTL		JS28 vs CTL		BSP vs CTL		JQ1 vs CTL		ET-1+SAHA vs ET1		ET-1+JS28 vs ET1		ET-1+BSP vs ET1		ET-1+JQ1 vs ET1	
	mean	log2(FC)	P-adj	log2(FC)	P-adj	log2(FC)	P-adj	log2(FC)	P-adj	log2(FC)	P-adj	log2(FC)	P-adj	log2(FC)	P-adj	log2(FC)	P-adj	log2(FC)	P-adj
Ddx52	91,63	-0,19	0,6053	-0,18	0,6716	0,06	1,0000	-0,11	0,9399	-0,75	0,0015	-0,05	0,9549	0,19	0,7624	-0,19	0,8310	-0,31	0,4039
Ddx54	63,18	0,37	0,2780	-0,17	0,7771	-0,05	1,0000	0,21	0,8587	0,79	0,0034	-0,58	0,1723	-0,72	0,0613	-0,17	0,8561	0,26	0,4605
Ddx55	11,88	0,21	0,7792	0,15	0,8685	0,01	NA	0,14	0,9472	0,27	0,6701	-0,66	0,3934	0,20	NA	0,10	0,9570	0,05	0,9506
Ddx56	48,78	0,20	0,6241	-0,06	0,9290	0,06	1,0000	0,16	0,9096	0,08	0,8484	-0,48	0,3574	-0,35	0,5520	-0,37	0,6083	-0,18	0,6767
Ddx58	30,46	-0,15	0,7792	0,13	0,8347	0,23	1,0000	-0,15	0,9287	-0,70	0,0668	0,01	0,9976	0,18	0,8389	-0,59	0,4133	-0,49	0,3603
Ddx59	19,80	0,03	0,9710	-0,41	0,5282	-0,02	NA	0,03	0,9860	0,81	0,0457	-0,84	0,1787	-0,37	NA	0,34	0,7260	0,41	0,4014
Ddx6	520,11	-0,08	0,7438	-0,27	0,2071	-0,08	1,0000	0,07	0,9437	0,01	0,9769	-0,24	0,4837	0,14	0,7468	0,10	0,8750	0,15	0,7012
Ddx60	23,19	-1,66	0,0000	-0,46	0,3591	-0,23	1,0000	-0,28	0,7916	-1,35	0,0002	0,60	0,4376	1,16	NA	0,46	0,6548	-0,33	0,6739
Deaf1	23,52	-0,54	0,1988	-0,50	0,3142	0,02	NA	-0,24	0,8643	-0,40	0,3997	-0,22	0,8297	0,32	NA	0,29	0,8020	0,00	0,9996
Deb1	30,92	0,38	0,3432	0,12	0,8663	-0,05	NA	-0,19	0,9021	-0,58	0,1897	0,55	0,2884	-0,09	0,9239	0,08	0,9606	-0,28	0,5646
Decr1	118,76	-0,20	0,5235	-0,73	0,0014	-0,10	1,0000	-0,11	0,9269	-0,68	0,0038	-0,36	0,4402	0,11	0,8779	0,06	0,9616	-0,49	0,0900
Decr2	32,01	-0,41	0,2913	-0,14	0,8275	-0,08	1,0000	-0,26	0,8042	-0,28	0,5077	0,03	0,9771	0,09	0,9288	-0,04	0,9909	0,04	0,9622
Dedd	47,48	0,20	0,6520	0,01	0,9876	0,13	1,0000	-0,15	0,9264	0,05	0,9141	-0,50	0,3465	-0,43	0,4311	-0,48	0,4295	-0,06	0,9138
Dedd2	10,89	-0,39	0,5120	0,25	0,7425	-0,07	NA	-0,24	0,8695	0,41	0,4076	-0,24	0,8315	0,40	NA	0,31	0,8122	0,57	0,3471
Def8	59,67	0,47	0,1233	0,16	0,7679	0,01	1,0000	-0,25	0,7939	-0,08	0,8585	-0,15	0,8292	-0,57	0,2002	-0,45	0,4219	-0,50	0,1717
Degs1	124,73	0,44	0,0743	-0,15	0,7246	0,27	1,0000	0,12	0,9269	-0,04	0,9245	-0,25	0,6371	-0,14	0,8170	-0,37	0,4340	-0,37	0,2194
Dek	141,71	0,08	0,8250	-0,26	0,4205	0,05	1,0000	0,29	0,5074	0,11	0,6662	-0,28	0,5838	0,27	0,5946	0,38	0,4115	0,25	0,5620
Dennd1a	76,18	-0,39	0,2639	-0,03	0,9666	0,11	1,0000	-0,06	0,9798	-0,35	0,3016	-0,22	0,7598	0,07	0,9378	0,07	0,9608	-0,05	0,9298
Dennd1b	212,62	-0,05	0,8620	-0,33	0,1571	-0,14	1,0000	-0,05	0,9742	-0,30	0,1688	0,09	0,8722	0,20	0,6597	0,09	0,9141	-0,18	0,6149
Dennd2a	14,32	-0,57	0,2389	-0,08	0,9337	0,23	NA	-0,16	0,9340	-0,73	0,1311	0,04	0,9789	0,14	NA	0,11	0,9551	-0,29	0,7151
Dennd2c	16,65	-0,16	0,8362	0,26	0,7395	-0,13	NA	-0,37	0,7079	-0,38	0,5180	0,49	0,5368	-0,04	NA	-0,62	0,4512	-0,26	0,7163
Dennd4a	106,20	0,26	0,4126	0,35	0,3062	0,15	1,0000	0,36	0,4711	0,56	0,0143	-0,06	0,9316	-0,11	0,8732	-0,43	0,3511	0,06	0,9129
Dennd4b	51,50	0,00	0,9990	-0,41	0,2992	-0,10	1,0000	-0,04	0,9853	-0,02	0,9667	-0,45	0,3966	-0,57	0,2708	-0,18	0,8651	-0,12	0,8301
Dennd4c	120,64	-0,42	0,1415	0,01	0,9918	0,17	1,0000	0,28	0,6702	0,05	0,8951	0,20	0,7413	0,60	0,0973	0,66	0,0539	0,44	0,1540
Dennd5a	404,68	0,10	0,6449	0,12	0,6248	0,19	1,0000	0,18	0,6430	0,35	0,0171	0,15	0,7267	-0,13	0,7802	0,04	0,9616	0,27	0,2237
Dennd5b	156,86	-0,13	0,7594	-0,10	0,8306	-0,08	1,0000	-0,12	0,9220	0,10	0,7583	-0,19	0,7599	0,17	0,7811	-0,02	0,9931	0,27	0,4637
Dennd6a	103,71	-0,16	0,6564	-0,39	0,1834	0,02	1,0000	0,24	0,6883	0,13	0,6564	0,19	0,7608	0,65	0,0585	0,42	0,3865	0,40	0,2942
Dennd6b	17,81	-0,42	0,4062	0,23	0,7376	0,19	NA	-0,14	0,9447	-0,18	0,7571	0,58	0,4070	0,34	NA	0,33	0,7739	-0,33	0,6156
Denr	51,69	0,07	0,8910	-0,04	0,9666	-0,01	1,0000	0,15	0,9264	-0,31	0,4303	-0,23	0,7341	-0,19	0,7883	0,20	0,8285	-0,11	0,8383
Depdc1a	1,52	0,09	NA	-0,34	NA	0,04	NA	0,04	NA	-0,30	NA	-0,23	NA	-0,16	NA	-0,19	NA	-0,42	NA
Depdc5	61,83	-0,22	0,5607	0,72	0,0027	0,07	1,0000	-0,06	0,9746	0,22	0,5031	0,66	0,1024	0,04	0,9661	0,14	0,9025	0,28	0,4557
Depdc7	2,48	0,05	0,9619	0,31	0,6865	-0,01	NA	0,18	NA	1,01	0,0778	0,01	0,9952	-0,16	NA	0,06	NA	0,80	0,2544
Deptor	13,85	-0,48	0,3580	0,57	0,2515	-0,28	NA	-0,15	0,9440	-0,06	0,9250	0,77	0,2361	-0,23	NA	-0,14	0,9415	0,59	0,3095
Dera	25,07	0,26	0,6415	-0,65	0,2010	-0,01	NA	-0,29	0,8134	-0,56	0,2228	-0,54	0,4192	-0,13	0,8927	-0,52	0,5028	-0,67	0,1670
Derl1	120,74	0,47	0,0560	-0,21	0,5662	0,04	1,0000	0,19	0,8039	0,43	0,0650	-0,33	0,5423	-0,53	0,1672	-0,35	0,5180	0,16	0,6723
Derl2	77,04	0,27	0,4772	-0,18	0,7356	0,01	1,0000	0,15	0,9158	0,25	0,5182	-0,08	0,9171	-0,16	0,8172	-0,04	0,9852	-0,02	0,9798
Derl3	1,17	-0,33	NA	-0,20	0,7870	-0,04	NA	0,20	NA	-0,17	0,8227	-0,14	NA	-0,05	NA	-0,04	NA	0,62	NA
Des	1853,61	1,47	0,0000	-0,21	0,6129	-0,40	0,6162	-0,38	0,4098	0,24	0,4180	-0,65	0,0115	-1,44	0,0000	-0,90	0,0000	-0,18	0,6768
Desi1	39,57	0,18	0,7528	0,61	0,0964	0,42	0,7942	0,43	0,4772	0,90	0,0023	0,12	0,8912	-0,05	0,9628	0,36	0,6610	0,74	0,0617
Desi2	112,59	0,03	0,9498	-0,08	0,8631	-0,06	1,0000	0,06	0,9742	0,00	0,9955	0,24	0,6429	0,24	0,6357	0,11	0,9144	-0,09	0,8096
Det1	16,51	-0,38	0,4858	-0,03	0,9768	0,12	NA	-0,03	0,9860	-0,59	0,2286	-0,11	0,9257	-0,07	NA	0,17	0,9170	-0,34	0,6125
Dexi	17,72	-0,34	0,5429	0,49	0,3503	0,11	NA	0,25	0,8489	0,75	0,0450	0,59	0,3797	0,29	NA	0,53	0,5081	0,86	0,0442
Dffa	22,89	-0,11	0,8772	0,16	0,8195	0,21	NA	0,20	0,8887	0,39	0,3325	0,28	0,7571	-0,05	NA	0,34	0,7336	0,49	0,3531
Dffb	7,20	-0,04	0,9668	-0,20	0,8315	0,17	NA	-0,15	0,9406	-0,31	0,6662	-0,04	0,9794	-0,07	NA	0,00	1,0000	-0,79	0,2514
Dgat1	15,55	0,00	0,9993	0,23	0,7562	0,01	NA	0,04	0,9855	0,32	0,5139	0,32	0,7359	-0,08	NA	0,09	0,9616	0,05	0,9514

GeneID	CTL	ET-1 vs CTL		SAHA vs CTL		JS28 vs CTL		BSP vs CTL		JQ1 vs CTL		ET-1+SAHA vs ET1		ET-1+JS28 vs ET1		ET-1+BSP vs ET1		ET-1+JQ1 vs ET1	
	mean	log2(FC)	P-adj	log2(FC)	P-adj	log2(FC)	P-adj	log2(FC)	P-adj	log2(FC)	P-adj	log2(FC)	P-adj	log2(FC)	P-adj	log2(FC)	P-adj	log2(FC)	P-adj
Dgat2	3,44	0,00	0,9993	0,86	0,1186	0,20	NA	-0,12	NA	0,37	0,6186	0,35	0,7326	0,11	NA	0,31	NA	0,66	0,3528
Dgcr14	37,49	0,02	0,9797	0,28	0,5688	0,08	1,0000	-0,20	0,8814	0,29	0,4457	0,11	0,9018	-0,22	0,7802	0,05	0,9792	0,00	0,9981
Dgcr2	80,30	0,01	0,9810	-0,23	0,5981	-0,06	1,0000	0,10	0,9525	0,33	0,2279	-0,45	0,3294	-0,24	0,6678	0,11	0,9170	0,29	0,3592
Dgcr6	13,89	0,11	0,8889	-0,01	0,9936	-0,09	NA	0,15	0,9454	0,67	0,1707	0,06	0,9581	-0,07	NA	0,53	0,5141	0,28	0,6459
Dgcr8	56,42	0,02	0,9704	-0,14	0,8027	-0,06	1,0000	0,18	0,8761	0,04	0,9370	-0,11	0,8905	0,17	0,8170	0,10	0,9368	0,09	0,8570
Dgka	18,76	-0,63	0,1523	0,35	0,5335	0,17	NA	0,11	0,9628	0,27	0,5682	0,70	0,2829	0,45	NA	0,68	0,3380	0,54	0,3226
Dgkd	95,56	-0,15	0,6977	0,14	0,7450	0,12	1,0000	0,22	0,7560	0,13	0,6902	0,22	0,7147	-0,18	0,7797	0,02	0,9931	0,28	0,3952
Dgke	93,11	0,32	0,3474	0,58	0,0536	0,17	1,0000	0,62	0,0560	0,67	0,0057	0,35	0,4548	0,45	0,2996	0,58	0,1272	0,60	0,0644
Dgkh	29,36	0,02	0,9781	0,70	0,0686	-0,04	NA	0,36	0,6529	0,54	0,1294	0,17	0,8430	0,04	0,9728	0,21	0,8551	0,56	0,1379
Dgki	17,86	-0,47	0,4050	0,73	0,1299	-0,24	NA	0,05	0,9853	-0,50	0,3444	1,10	0,0316	0,46	NA	0,47	0,6074	0,12	0,8780
Dgkk	2,75	0,41	0,5473	1,88	0,0000	-0,12	NA	-0,02	NA	0,71	0,2709	0,76	0,3128	-0,22	NA	-0,26	NA	0,78	0,2632
Dgkq	17,12	0,07	0,9254	0,68	0,1400	0,35	NA	0,20	0,9004	0,37	0,4679	0,54	0,4468	0,02	NA	0,09	0,9608	0,09	0,9168
Dgkz	87,12	-0,65	0,0164	0,01	0,9919	-0,02	1,0000	-0,07	0,9746	-0,28	0,4895	0,24	0,6929	0,18	0,7889	0,19	0,8364	-0,11	0,8394
Dguok	19,63	0,40	0,4006	0,30	0,6400	0,18	NA	0,06	0,9853	0,24	0,6627	-0,09	0,9316	0,08	0,9341	0,01	0,9967	-0,31	0,5746
Dhcr24	111,38	0,93	0,0039	0,43	0,2983	-0,21	1,0000	-0,19	0,8797	-0,23	0,5503	-0,44	0,4251	-0,88	0,0317	-0,69	0,1400	-0,68	0,1006
Dhcr7	25,76	-0,32	0,5361	0,00	0,9982	-0,22	NA	-0,25	0,8420	-0,05	0,9374	0,66	0,2529	0,28	0,7225	0,23	0,8525	0,57	0,3210
Dhdds	37,17	-0,34	0,3908	0,00	0,9960	-0,15	1,0000	0,07	0,9794	0,50	0,1089	-0,12	0,9048	-0,07	0,9463	0,51	0,4172	0,73	0,0820
Dhdh	1,40	0,02	NA	-0,10	0,8895	-0,06	NA	-0,13	NA	-0,38	NA	-0,17	NA	-0,07	NA	-0,31	NA	-0,32	NA
Dhfr	10,05	-0,96	0,0322	-0,41	0,5351	-0,33	NA	0,16	0,9397	0,50	0,2851	0,46	0,6224	0,53	NA	0,89	0,1706	1,23	0,0139
Dhodh	11,46	0,07	0,9370	0,20	0,8164	-0,16	NA	-0,29	0,8214	0,12	0,8610	-0,06	0,9627	-0,25	NA	0,17	0,9192	-0,34	0,6347
Dhps	21,00	0,44	0,3511	0,00	0,9972	0,00	NA	0,03	0,9876	0,17	0,7735	-0,20	0,8306	-0,38	0,5990	-0,45	0,6042	0,07	0,9237
Dhrs1	24,34	-0,14	0,8440	0,43	0,4101	0,26	NA	-0,26	0,8402	-0,56	0,2126	0,65	0,2831	-0,04	0,9726	-0,10	0,9570	-0,85	0,1224
Dhrs11	59,77	-0,40	0,2641	-0,33	0,4883	-0,16	1,0000	0,20	0,8671	0,36	0,4281	-0,11	0,9018	0,11	0,8989	0,68	0,0977	1,06	0,0095
Dhrs13	16,48	0,01	0,9901	-0,11	0,9075	-0,15	NA	-0,12	0,9626	0,65	0,1178	0,01	0,9919	-0,07	NA	-0,08	0,9734	0,54	0,2957
Dhrs3	4,54	0,30	0,6919	0,03	0,9826	0,11	NA	-0,20	NA	-0,15	0,8565	-0,41	0,6801	-0,14	NA	-0,61	NA	-0,60	0,4308
Dhrs4	22,62	-0,78	0,0459	-1,98	0,0000	-0,15	NA	-0,30	0,7734	-0,90	0,0230	-0,87	0,1857	0,19	NA	0,20	0,8926	-0,42	0,4891
Dhrs7	73,72	-0,30	0,4339	0,17	0,7462	0,10	1,0000	0,42	0,4144	-0,36	0,3205	0,70	0,0668	0,18	0,8040	0,23	0,7863	-0,54	0,1475
Dhrs7b	28,31	0,11	0,8552	0,21	0,7375	0,07	NA	-0,12	0,9559	-0,25	0,5956	0,25	0,7613	0,15	0,8732	-0,03	0,9918	0,08	0,8929
Dhrs7c	77,77	-0,26	0,5656	0,10	0,8716	0,43	0,6790	-0,02	0,9916	-2,31	0,0000	0,62	0,1473	1,13	0,0002	0,87	0,0140	-1,83	0,0000
Dhrs9	1,92	0,91	NA	-0,04	NA	0,05	NA	0,00	NA	-0,02	NA	-0,74	0,2799	-0,48	NA	-0,51	NA	-0,95	0,1593
Dhrsx	8,23	-0,03	0,9767	-0,55	0,3989	-0,17	NA	-0,19	0,9158	0,08	0,9222	-0,28	0,8008	-0,36	NA	0,22	0,8913	0,50	0,4416
Dhtkd1	5,12	-0,33	0,6613	0,60	0,3401	0,15	NA	-0,27	NA	-0,53	0,4413	0,68	0,3935	0,34	NA	-0,12	NA	-0,42	0,6132
Dhx15	194,39	0,12	0,6790	0,16	0,6135	0,06	1,0000	0,28	0,4548	0,22	0,2756	-0,07	0,9057	0,16	0,7481	0,13	0,8571	0,00	0,9982
Dhx16	57,32	-0,13	0,7616	-0,06	0,9268	-0,04	1,0000	0,13	0,9330	0,39	0,1643	-0,35	0,5553	-0,11	0,8942	0,12	0,9192	0,37	0,2922
Dhx29	72,36	0,37	0,1770	0,07	0,9075	-0,11	1,0000	0,03	0,9858	0,40	0,1414	-0,24	0,6916	-0,22	0,6949	-0,23	0,7650	0,18	0,6568
Dhx30	109,97	0,22	0,3882	-0,19	0,6121	0,17	1,0000	0,07	0,9634	0,14	0,5992	-0,39	0,3458	-0,28	0,5372	-0,13	0,8853	-0,21	0,5010
Dhx32	39,78	0,16	0,7616	0,18	0,7598	0,04	1,0000	0,08	0,9700	-0,13	0,7690	0,08	0,9372	-0,17	0,8407	-0,18	0,8833	-0,35	0,4982
Dhx33	83,64	-0,19	0,5691	-0,31	0,3763	-0,02	1,0000	0,05	0,9805	0,12	0,6892	-0,15	0,8213	0,15	0,8174	0,04	0,9792	0,33	0,2661
Dhx34	24,44	-0,14	0,8089	-0,11	0,8895	0,18	NA	-0,13	0,9500	-0,28	0,5734	-0,04	0,9742	-0,16	0,8672	0,03	0,9918	-0,66	0,1791
Dhx35	39,79	0,17	0,7450	0,37	0,4535	0,06	1,0000	-0,25	0,8334	-0,89	0,0235	0,15	0,8547	-0,08	0,9305	-0,35	0,6579	-1,19	0,0007
Dhx36	218,84	-0,08	0,8002	-0,02	0,9747	0,00	1,0000	0,04	0,9853	-0,33	0,1452	-0,02	0,9742	0,28	0,5170	0,07	0,9328	-0,35	0,3634
Dhx37	38,05	-0,12	0,8128	0,05	0,9444	0,07	1,0000	-0,07	0,9753	0,53	0,1157	-0,17	0,8411	-0,38	0,5446	0,10	0,9418	0,59	0,1108
Dhx38	74,55	0,11	0,7984	-0,24	0,5973	-0,03	1,0000	-0,24	0,7820	-0,79	0,0072	-0,31	0,5687	-0,16	0,8171	-0,19	0,8301	-0,76	0,0206
Dhx40	100,08	-0,63	0,0201	0,43	0,1942	0,15	1,0000	0,33	0,5898	0,39	0,1729	0,83	0,0140	0,66	0,0759	0,82	0,0131	0,82	0,0031
Dhx57	27,68	-0,23	0,6585	0,30	0,6081	0,33	1,0000	0,20	0,8877	0,08	0,8864	0,23	0,7891	0,36	0,5850	0,18	0,8972	0,10	0,8699

GeneID	CTL	ET-1 vs CTL		SAHA vs CTL		JS28 vs CTL		BSP vs CTL		JQ1 vs CTL		ET-1+SAHA vs ET1		ET-1+JS28 vs ET1		ET-1+BSP vs ET1		ET-1+JQ1 vs ET1	
	mean	log2(FC)	P-adj	log2(FC)	P-adj	log2(FC)	P-adj	log2(FC)	P-adj	log2(FC)	P-adj	log2(FC)	P-adj	log2(FC)	P-adj	log2(FC)	P-adj	log2(FC)	P-adj
Dhx8	123,75	0,23	0,3955	0,15	0,6865	-0,06	1,0000	-0,07	0,9634	0,12	0,6736	-0,06	0,9292	-0,22	0,6728	-0,21	0,7608	-0,13	0,7321
Dhx9	290,22	-0,17	0,5326	-0,05	0,9168	-0,15	1,0000	-0,10	0,9306	-0,16	0,5689	0,26	0,4487	0,30	0,3789	0,26	0,5061	0,10	0,8078
Diablo	44,68	0,31	0,3879	0,17	0,7711	-0,19	1,0000	0,27	0,7541	0,36	0,2895	0,00	0,9982	-0,13	0,8672	0,09	0,9425	0,15	0,7378
Diap1	66,25	0,01	0,9871	0,71	0,0071	0,18	1,0000	0,32	0,6103	0,57	0,0181	0,48	0,2774	0,15	0,8307	0,05	0,9726	0,64	0,0202
Diap2	133,71	-0,24	0,4251	-0,38	0,2175	0,01	1,0000	-0,05	0,9764	-0,05	0,8829	-0,19	0,7231	0,12	0,8394	-0,15	0,8511	0,35	0,1601
Diap3	15,81	0,09	0,9107	-0,11	0,8970	-0,20	NA	-0,41	0,6344	-0,93	0,0577	-0,08	0,9470	-0,41	NA	-0,37	0,7336	-0,84	0,1423
Dicer1	334,43	0,13	0,6674	-0,25	0,3821	-0,02	1,0000	-0,06	0,9634	-0,45	0,0168	-0,40	0,2050	-0,01	0,9837	-0,20	0,6996	-0,56	0,0148
Dido1	186,07	0,06	0,8382	-0,41	0,0623	-0,16	1,0000	-0,13	0,8681	-0,15	0,5403	-0,54	0,0906	-0,31	0,4423	-0,11	0,8904	-0,10	0,8142
Diexf	20,35	0,21	0,7266	0,06	0,9507	0,11	NA	-0,05	0,9853	-0,11	0,8557	-0,16	0,8641	-0,02	0,9837	-0,34	0,7277	-0,49	0,3369
Dimt1	11,81	0,34	0,5952	0,11	0,9081	-0,02	NA	0,14	0,9472	-0,28	0,6769	-0,14	0,9057	-0,12	NA	-0,16	0,9249	-0,70	0,2251
Dip2a	45,45	-0,48	0,1822	-0,06	0,9391	0,05	1,0000	-0,02	0,9866	0,13	0,7595	0,21	0,7956	0,27	0,7061	0,18	0,8791	0,20	0,6964
Dip2b	174,55	-0,07	0,8011	-0,35	0,1235	-0,14	1,0000	0,02	0,9860	0,39	0,0154	-0,37	0,3170	0,08	0,8965	0,16	0,8185	0,51	0,0134
Dip2c	438,76	-0,33	0,0545	-0,46	0,0135	-0,12	1,0000	-0,16	0,7630	-0,04	0,8581	-0,10	0,8291	0,17	0,6757	0,21	0,6444	0,37	0,1376
Diras2	6,72	0,56	0,3573	1,03	0,0429	0,25	NA	-0,23	NA	-0,33	0,6586	0,56	0,4842	-0,09	NA	-0,76	0,2993	-0,59	0,3978
Dirc2	60,86	-0,70	0,0086	-0,17	0,7096	0,15	1,0000	0,18	0,8462	-0,31	0,2923	0,67	0,1413	0,51	0,3151	0,70	0,1198	0,20	0,6954
Dis3	41,33	0,09	0,8597	-0,15	0,8194	-0,27	1,0000	-0,16	0,9178	-0,40	0,2904	-0,32	0,6300	-0,33	0,5905	-0,51	0,4088	-0,43	0,3156
Dis3l	37,29	-0,06	0,9084	-0,57	0,1571	0,31	1,0000	0,00	0,9986	-0,75	0,0314	-0,76	0,1357	-0,03	0,9471	-0,10	0,9471	-0,76	0,0398
Dis3l2	44,00	-0,55	0,0985	-0,37	0,4295	-0,08	1,0000	-0,31	0,7076	-0,68	0,0325	-0,08	0,9394	0,10	0,9118	0,45	0,4986	0,20	0,7072
Disp1	25,18	0,08	0,9084	0,48	0,3115	0,26	NA	0,00	0,9988	-0,79	0,0630	0,04	0,9732	-0,27	0,7385	-0,30	0,7864	-0,53	0,3386
Dixdc1	72,31	-1,60	0,0000	0,31	0,3601	-0,06	1,0000	0,14	0,9077	-0,06	0,8690	1,57	0,0000	0,79	0,0760	1,09	0,0052	1,11	0,0012
Dkc1	34,06	-0,03	0,9632	-0,57	0,1967	-0,19	1,0000	-0,14	0,9417	-0,57	0,1341	-0,85	0,1048	-0,09	0,9276	-0,07	0,9659	-0,38	0,4126
Dkk3	638,16	-0,27	0,2463	-0,29	0,2169	0,34	0,5413	0,09	0,9272	-0,52	0,0072	-0,11	0,8411	0,27	0,4925	0,54	0,0558	-0,40	0,1205
Dlat	255,95	0,42	0,0576	-0,28	0,3286	-0,09	1,0000	0,02	0,9855	-0,16	0,5392	-0,25	0,5667	-0,11	0,8558	-0,16	0,8118	-0,37	0,1983
Dlc1	683,98	-0,20	0,5995	-0,21	0,5430	-0,31	0,9367	-0,26	0,6386	0,00	0,9913	0,03	0,9737	-0,20	0,7074	-0,11	0,9074	0,16	0,6867
Did	291,92	0,48	0,0020	0,10	0,7743	-0,05	1,0000	0,10	0,9211	-0,46	0,0450	-0,06	0,9175	0,05	0,9239	-0,10	0,8919	-0,69	0,0008
Dlec1	1,87	0,17	NA	0,97	0,0541	0,13	NA	0,20	NA	0,54	0,4222	0,34	0,7331	-0,07	NA	0,06	NA	0,07	0,9528
Dleu2	17,54	-0,56	0,2342	-1,23	0,0033	-0,37	NA	-0,37	0,6937	-0,35	0,4771	-0,53	0,5227	-0,02	NA	-0,26	0,8566	0,15	0,8507
Dlg1	172,30	0,08	0,8011	-0,28	0,3073	0,04	1,0000	0,09	0,9440	-0,14	0,5546	-0,23	0,6093	-0,10	0,8719	-0,14	0,8473	-0,24	0,4544
Dlg3	12,87	-0,77	0,0884	-0,08	0,9360	0,27	NA	-0,05	0,9853	-0,61	0,2173	0,54	0,5019	0,82	NA	0,44	0,6729	0,03	0,9797
Dlg4	5,96	-0,08	0,9345	1,81	0,0000	0,21	NA	-0,46	NA	-0,48	0,4977	1,37	0,0130	0,19	NA	-0,48	NA	-1,21	0,0612
Dlg5	68,82	-0,21	0,5955	-0,18	0,7298	0,14	1,0000	0,01	0,9915	-0,35	0,3078	-0,39	0,4821	-0,04	0,9666	-0,07	0,9608	-0,23	0,6013
Dlgap4	127,35	0,33	0,1582	0,01	0,9835	0,05	1,0000	-0,10	0,9417	0,43	0,1643	-0,57	0,1040	-0,52	0,1451	-0,49	0,1994	0,31	0,3692
Dlgap5	4,00	-0,38	0,6025	-0,02	0,9845	0,00	NA	-0,05	NA	-0,02	0,9796	-0,45	NA	0,00	NA	0,10	NA	0,13	0,9035
Dll1	1,41	-0,27	NA	0,49	0,4281	-0,04	NA	-0,05	NA	-0,07	0,9374	-0,01	NA	-0,08	NA	0,13	NA	-0,18	NA
Dlst	243,73	0,37	0,1423	-0,21	0,5525	-0,07	1,0000	-0,05	0,9746	-0,22	0,3784	-0,18	0,7369	-0,17	0,7330	0,02	0,9918	-0,26	0,4274
Dlx5	6,28	-0,45	0,5044	0,14	0,8895	0,31	NA	-0,01	0,9932	0,18	0,8184	0,34	0,7494	0,80	NA	0,41	0,7070	0,53	0,4721
Dlx6	1,35	-0,20	NA	0,25	0,7373	-0,03	NA	-0,03	NA	-0,58	NA	0,27	NA	0,35	NA	0,04	NA	-0,31	NA
Dlx6os1	2,07	-0,58	NA	-0,24	0,7690	0,00	NA	0,18	NA	0,08	0,9308	0,30	NA	0,11	NA	0,42	NA	-0,12	NA
Dmap1	25,43	0,21	0,6946	-0,12	0,8782	-0,03	NA	-0,45	0,5470	-0,80	0,0621	-0,42	0,5465	-0,35	0,6219	-0,75	0,2013	-1,09	0,0142
Dmd	1031,77	0,57	0,0088	-0,02	0,9750	0,03	1,0000	0,07	0,9681	-0,34	0,2177	-0,27	0,3682	0,26	0,4699	0,48	0,0227	0,03	0,9248
Dmpk	261,29	0,47	0,0447	-0,38	0,1113	-0,14	1,0000	-0,55	0,0243	-0,72	0,0053	-0,68	0,0624	-0,68	0,0340	-0,49	0,2201	-0,75	0,0455
Dmrt2	4,71	0,16	0,8489	0,11	0,9193	0,02	NA	-0,25	NA	0,18	0,8235	-0,06	0,9638	-0,13	NA	-0,24	NA	-0,37	0,6552
Dmrt1	3,09	0,14	0,8733	0,08	0,9337	0,04	NA	-0,05	NA	-0,12	0,8895	-0,06	0,9627	-0,05	NA	0,09	NA	-0,63	0,4045
Dmrt2	5,24	0,21	0,7894	-0,03	0,9826	-0,11	NA	-0,17	NA	-0,45	0,5241	-0,60	0,4663	-0,10	NA	-0,76	NA	-0,65	0,3832
Dmtf1	77,61	0,13	0,7513	0,10	0,8560	-0,25	1,0000	0,15	0,8977	0,26	0,4054	-0,23	0,7085	0,07	0,9315	-0,07	0,9565	0,22	0,5750

GeneID	CTL	ET-1 vs CTL		SAHA vs CTL		JS28 vs CTL		BSP vs CTL		JQ1 vs CTL		ET-1+SAHA vs ET1		ET-1+JS28 vs ET1		ET-1+BSP vs ET1		ET-1+JQ1 vs ET1	
	mean	log2(FC)	P-adj	log2(FC)	P-adj	log2(FC)	P-adj	log2(FC)	P-adj	log2(FC)	P-adj	log2(FC)	P-adj	log2(FC)	P-adj	log2(FC)	P-adj	log2(FC)	P-adj
Dmwd	65,94	0,07	0,8841	0,06	0,9298	-0,12	1,0000	-0,04	0,9853	0,48	0,1547	-0,19	0,7960	-0,49	0,3101	0,07	0,9558	0,38	0,3783
Dmx1	313,11	-0,11	0,6552	-0,23	0,3838	-0,26	0,9896	0,12	0,8814	0,13	0,6984	-0,17	0,7007	0,16	0,7026	0,18	0,7186	0,19	0,6684
Dmx2	217,06	-0,22	0,4629	-0,08	0,8797	0,07	1,0000	0,03	0,9853	-0,02	0,9593	-0,14	0,7891	0,13	0,7979	0,02	0,9911	0,30	0,4365
Dna2	1,29	-0,13	NA	-0,14	0,8560	-0,02	NA	-0,06	NA	-0,10	0,8984	0,18	NA	0,13	NA	-0,14	NA	0,21	NA
Dnaaf2	6,64	0,12	0,8903	-0,03	0,9805	0,02	NA	0,34	0,7446	0,63	0,2607	0,25	0,8290	0,35	NA	0,39	0,7358	0,36	0,6231
Dnah10	3,10	0,17	0,8409	-0,13	0,8921	-0,12	NA	-0,17	NA	0,20	0,8061	-0,25	0,8245	-0,19	NA	-0,35	NA	-0,45	0,5841
Dnah17	1,94	0,18	NA	-0,05	0,9579	-0,11	NA	-0,07	NA	0,61	0,3534	-0,14	0,9049	-0,11	NA	-0,42	NA	-0,30	0,7281
Dnah2	1,61	-0,30	NA	0,37	0,6104	-0,07	NA	-0,05	NA	-0,61	0,2984	0,02	NA	0,06	NA	-0,17	NA	0,24	NA
Dnah6	3,24	-0,52	0,4082	-0,53	0,4176	-0,28	NA	-0,29	NA	-0,82	0,1800	0,07	NA	-0,05	NA	-0,22	NA	-0,52	NA
Dnah7b	6,15	-0,75	0,1683	-0,14	0,8895	0,03	NA	-0,28	0,8211	-1,11	0,0462	0,10	0,9413	0,31	NA	0,39	NA	-0,22	0,8148
Dnah9	1,67	-0,21	NA	0,00	0,9962	-0,09	NA	0,03	NA	0,44	0,5344	-0,03	NA	-0,15	NA	-0,02	NA	0,60	0,4322
Dnaja1	158,76	-0,04	0,9066	-0,47	0,0445	0,00	1,0000	0,24	0,6309	-0,02	0,9614	-0,56	0,0971	0,18	0,7226	0,30	0,5240	0,16	0,7305
Dnaja2	423,27	0,28	0,0706	0,08	0,8021	0,09	1,0000	0,21	0,5892	0,05	0,8552	0,08	0,8707	0,12	0,8040	0,00	1,0000	-0,09	0,8542
Dnaja3	87,21	0,57	0,0257	0,38	0,2397	0,10	1,0000	0,13	0,9208	0,27	0,3341	-0,14	0,8308	-0,30	0,5703	-0,09	0,9392	-0,28	0,4339
Dnaja4	162,27	0,98	0,0000	-0,78	0,0107	-0,19	1,0000	-0,09	0,9600	-0,19	0,6075	-1,11	0,0000	-0,64	0,0260	-0,64	0,0250	-0,36	0,2470
Dnajb1	55,07	0,29	0,4053	-0,59	0,0969	-0,20	1,0000	0,09	0,9634	0,49	0,0972	-0,40	0,4560	-0,20	0,7759	-0,18	0,8511	0,55	0,1357
Dnajb11	115,35	0,56	0,0108	0,30	0,3835	0,07	1,0000	0,12	0,9264	-0,14	0,6543	0,02	0,9771	-0,23	0,6392	-0,39	0,3874	-0,49	0,0880
Dnajb12	40,56	-0,19	0,6636	-0,61	0,1037	0,07	1,0000	0,19	0,8731	0,08	0,8502	-0,50	0,3934	0,00	0,9963	0,07	0,9616	0,41	0,2693
Dnajb14	33,95	0,48	0,1698	-0,84	0,0556	-0,01	NA	0,10	0,9626	-0,03	0,9580	-1,06	0,0173	-0,24	0,7274	-0,51	0,4344	-0,15	0,7811
Dnajb2	28,93	0,12	0,8256	-0,94	0,0198	-0,11	NA	-0,09	0,9701	0,53	0,1214	-1,06	0,0343	-0,40	0,5354	-0,02	0,9931	0,32	0,5124
Dnajb4	234,25	0,40	0,0857	0,08	0,8595	-0,07	1,0000	0,07	0,9634	-0,31	0,2087	-0,11	0,8452	-0,12	0,8300	-0,29	0,5206	-0,67	0,0281
Dnajb5	70,34	1,09	0,0001	-0,20	0,7593	-0,12	1,0000	-0,27	0,8147	-0,01	0,9905	-0,90	0,0106	-0,85	0,0142	-0,69	0,0766	-0,69	0,0303
Dnajb6	116,37	-0,22	0,5440	0,22	0,6230	0,09	1,0000	0,11	0,9482	0,42	0,1662	0,44	0,2395	0,32	0,4502	0,26	0,6605	0,61	0,0074
Dnajb9	112,47	-0,11	0,8002	-0,35	0,3936	-0,04	1,0000	0,11	0,9449	0,10	0,7925	0,11	0,8683	0,40	0,3155	0,11	0,9065	0,42	0,1842
Dnajc1	81,54	-0,31	0,3549	-0,34	0,3751	-0,16	1,0000	-0,05	0,9829	0,21	0,5221	-0,16	0,8135	0,14	0,8492	0,40	0,4651	0,35	0,3740
Dnajc10	149,85	0,04	0,9315	0,32	0,3320	0,04	1,0000	0,30	0,5824	0,06	0,8691	0,50	0,1191	0,22	0,6185	0,29	0,5245	0,14	0,7185
Dnajc11	58,58	0,46	0,0905	0,18	0,7330	-0,05	1,0000	-0,12	0,9449	0,41	0,1848	-0,22	0,7228	-0,25	0,6624	-0,46	0,3917	0,01	0,9943
Dnajc12	7,49	0,28	0,7029	0,30	0,7101	0,04	NA	0,04	NA	0,37	0,5876	0,38	0,7001	-0,34	NA	-0,19	0,9119	-0,28	0,7366
Dnajc13	269,65	-0,16	0,5177	0,03	0,9471	0,05	1,0000	0,15	0,8446	-0,11	0,6535	-0,06	0,9242	0,22	0,5958	0,24	0,5897	-0,02	0,9695
Dnajc14	75,52	0,01	0,9901	-0,44	0,1727	-0,13	1,0000	-0,15	0,8998	0,12	0,7288	-0,42	0,3966	-0,28	0,6283	0,05	0,9728	0,06	0,9226
Dnajc15	32,05	0,10	0,8700	0,24	0,6931	-0,04	NA	0,07	0,9777	-0,81	0,0378	0,45	0,4270	-0,03	0,9763	0,25	0,8089	-0,49	0,2520
Dnajc16	56,95	0,04	0,9431	0,01	0,9946	0,00	1,0000	0,02	0,9901	0,53	0,0564	0,02	0,9818	-0,02	0,9780	0,00	1,0000	0,42	0,2448
Dnajc17	4,74	-0,14	0,8795	-0,13	0,8987	-0,21	NA	-0,42	NA	-0,87	0,1553	0,03	0,9869	0,06	NA	-0,12	NA	-1,00	0,1358
Dnajc18	135,06	0,03	0,9277	0,30	0,2766	0,10	1,0000	0,12	0,9050	0,12	0,6784	0,19	0,7037	0,06	0,9337	0,00	1,0000	0,13	0,6929
Dnajc19	31,30	0,13	0,8463	-0,28	0,6880	-0,02	NA	0,03	0,9884	-0,27	0,6158	0,51	0,4036	0,04	0,9685	-0,16	0,9074	-0,02	0,9827
Dnajc2	95,52	0,18	0,6379	0,00	0,9981	0,20	1,0000	0,11	0,9349	-0,24	0,4663	-0,42	0,3966	0,03	0,9756	0,02	0,9931	-0,20	0,7064
Dnajc21	46,56	0,52	0,1490	0,25	0,6330	0,02	1,0000	0,14	0,9372	0,32	0,3675	-0,50	0,3839	-0,25	0,7158	-0,29	0,7375	-0,32	0,5226
Dnajc24	15,32	-0,25	0,6985	-0,29	0,6886	-0,19	NA	-0,09	0,9717	-0,58	0,2352	0,47	0,5552	0,07	NA	0,38	0,7188	-0,50	0,4710
Dnajc25	18,47	0,48	0,2748	0,24	0,7412	-0,02	NA	0,14	0,9447	-0,29	0,6319	-0,19	0,8379	0,13	0,8903	-0,18	0,8981	-0,43	0,4277
Dnajc27	42,13	0,19	0,7134	-0,14	0,8389	0,08	1,0000	0,02	0,9901	0,33	0,4093	-0,18	0,8220	-0,31	0,6352	0,02	0,9930	0,16	0,7480
Dnajc28	37,59	-0,83	0,0122	-0,03	0,9706	0,10	1,0000	0,01	0,9972	-0,54	0,0993	0,52	0,4254	0,70	0,1738	0,82	0,1134	0,23	0,7174
Dnajc3	114,83	-0,14	0,7307	-1,35	0,0000	-0,14	1,0000	0,03	0,9853	-0,04	0,9271	-0,87	0,0175	0,16	0,7981	0,04	0,9842	0,02	0,9874
Dnajc30	20,72	0,24	0,6741	-0,22	0,7686	0,03	NA	-0,27	0,8335	-0,02	0,9771	-0,02	0,9855	-0,74	NA	-0,32	0,7660	-0,27	0,6351
Dnajc4	18,60	0,34	0,5236	-0,07	0,9396	0,08	NA	-0,19	0,9141	-0,91	0,0554	0,14	0,8905	-0,02	0,9878	-0,43	0,6353	-0,87	0,0702
Dnajc5	243,58	0,17	0,4900	-0,21	0,4613	-0,05	1,0000	-0,05	0,9727	0,20	0,4195	-0,30	0,4072	-0,21	0,6257	-0,25	0,5841	0,09	0,7820

GeneID	CTL	ET-1 vs CTL		SAHA vs CTL		JS28 vs CTL		BSP vs CTL		JQ1 vs CTL		ET-1+SAHA vs ET1		ET-1+JS28 vs ET1		ET-1+BSP vs ET1		ET-1+JQ1 vs ET1	
	mean	log2(FC)	P-adj	log2(FC)	P-adj	log2(FC)	P-adj	log2(FC)	P-adj	log2(FC)	P-adj	log2(FC)	P-adj	log2(FC)	P-adj	log2(FC)	P-adj	log2(FC)	P-adj
Dnajc7	165,75	-0,12	0,7057	0,14	0,6974	0,25	1,0000	0,16	0,8363	-0,29	0,1881	-0,02	0,9732	0,09	0,8849	0,04	0,9785	-0,37	0,1487
Dnajc8	99,76	0,29	0,4007	-0,01	0,9836	0,00	1,0000	-0,14	0,9156	-0,08	0,8352	-0,08	0,9125	-0,02	0,9768	0,04	0,9792	0,03	0,9588
Dnajc9	17,34	-0,37	0,4697	0,01	0,9929	-0,07	NA	-0,16	0,9349	-0,82	0,0651	0,20	0,8430	-0,02	NA	-0,12	0,9494	-0,37	0,5755
Dnal1	34,95	-0,48	0,3459	0,32	0,6032	-0,02	1,0000	-0,04	0,9853	-0,37	0,4222	0,91	0,0808	0,73	0,1641	0,03	0,9918	0,06	0,9440
Dnal4	15,00	0,17	0,8078	-0,44	0,5186	0,11	NA	-0,38	0,6892	-0,23	0,7394	-0,50	0,5281	-0,27	NA	-0,19	0,9025	-0,23	0,7321
Dnase111	15,11	-0,55	0,2435	0,00	0,9960	0,01	NA	-0,05	0,9853	-0,47	0,3368	0,61	0,3930	0,17	NA	-0,14	0,9404	0,10	0,9071
Dnase112	1,68	0,12	NA	0,14	0,8532	-0,05	NA	0,01	NA	0,55	0,4128	-0,05	NA	-0,16	NA	0,07	NA	-0,27	0,7543
Dnase2a	5,58	-0,22	0,7789	0,00	0,9981	0,05	NA	-0,35	NA	-0,41	0,5662	0,29	0,7943	0,17	NA	-0,36	NA	-0,13	0,9001
Dnlz	26,75	0,62	0,1045	-0,37	0,5662	-0,11	NA	-0,22	0,8841	-1,22	0,0054	-0,54	0,3674	-0,48	0,4331	-0,78	0,1527	-2,14	0,0000
Dnm1	1,31	-0,35	NA	2,33	0,0000	-0,10	NA	-0,02	NA	-0,32	0,6433	1,70	0,0018	0,20	NA	0,15	NA	0,20	NA
Dnm11	326,81	0,62	0,0003	-0,33	0,2719	-0,06	1,0000	0,13	0,9060	-0,12	0,7285	-0,71	0,0020	-0,11	0,8231	-0,29	0,4243	-0,69	0,0234
Dnm2	131,90	0,13	0,6724	0,48	0,0318	-0,06	1,0000	0,09	0,9472	0,49	0,0058	0,05	0,9407	-0,18	0,7383	-0,03	0,9875	0,47	0,0466
Dnm3	1,78	-0,37	NA	0,83	0,1400	-0,05	NA	0,09	NA	1,29	0,0143	0,82	0,2192	0,23	NA	0,34	NA	2,15	0,0001
Dnmbp	46,06	0,05	0,9261	-0,20	0,7214	-0,03	1,0000	-0,11	0,9525	-0,09	0,8504	-0,45	0,4438	-0,35	0,5851	0,00	1,0000	0,12	0,8140
Dnmt1	80,68	-0,09	0,8440	0,14	0,7976	-0,19	1,0000	0,11	0,9437	0,26	0,4045	-0,10	0,8912	-0,17	0,7890	-0,03	0,9911	0,26	0,3974
Dnmt3a	339,58	-0,19	0,4573	-0,18	0,4984	0,09	1,0000	0,14	0,8257	-0,06	0,8033	-0,33	0,4089	0,17	0,7226	0,13	0,8521	-0,01	0,9741
Dnpep	38,91	-0,32	0,4406	0,28	0,5727	-0,07	1,0000	-0,23	0,8465	-0,28	0,5211	0,57	0,2574	-0,27	0,7068	-0,21	0,8525	0,11	0,8455
Dnph1	1,40	0,10	NA	0,27	0,6902	-0,02	NA	-0,06	NA	-0,06	0,9363	-0,20	NA	-0,08	NA	-0,24	NA	-0,20	NA
Dnttip1	27,18	-0,34	0,4800	-0,41	0,4307	-0,34	NA	-0,12	0,9574	0,21	0,6538	0,00	0,9982	-0,02	0,9885	0,38	0,6743	0,30	0,6579
Dnttip2	87,35	0,03	0,9550	0,20	0,6330	0,15	1,0000	0,03	0,9853	-0,21	0,5115	-0,04	0,9601	0,20	0,7311	-0,04	0,9831	-0,17	0,6770
Doc2g	25,91	-0,11	0,8554	-0,17	0,8139	0,25	NA	-0,21	0,8947	-0,39	0,4601	0,03	0,9789	0,77	0,0965	0,69	0,1898	0,51	0,3663
Dock1	133,68	0,07	0,8462	-0,43	0,1172	-0,06	1,0000	-0,16	0,8619	-0,78	0,0001	-0,74	0,0208	0,00	0,9963	-0,47	0,2330	-0,67	0,0076
Dock10	4,11	-0,45	0,5036	-0,46	0,4968	-0,11	NA	-0,16	NA	-0,51	0,4597	0,43	0,6563	0,17	NA	0,29	NA	0,11	0,9153
Dock11	36,22	-0,77	0,0260	-0,05	0,9579	-0,10	1,0000	-0,15	0,9399	0,11	0,8267	0,51	0,3934	0,77	0,0917	0,67	0,2201	0,98	0,0110
Dock2	1,09	0,66	NA	0,00	NA	0,00	NA	-0,02	NA	-0,02	NA	-0,58	NA	-0,42	NA	-0,47	NA	-0,91	NA
Dock3	18,17	-0,08	0,9085	0,19	0,8054	0,27	NA	0,23	0,8786	0,09	0,8802	-0,05	0,9655	0,36	NA	0,42	0,6406	-0,14	0,8396
Dock4	56,28	-0,37	0,3395	0,46	0,2582	0,30	1,0000	0,33	0,6589	0,26	0,4845	0,40	0,4534	0,43	0,3957	0,25	0,7782	0,55	0,0933
Dock5	20,59	1,91	0,0000	0,13	0,8935	0,03	NA	0,08	0,9793	0,94	0,0570	-1,85	0,0000	-1,37	0,0008	-1,04	0,0229	0,07	0,9150
Dock6	11,23	-0,21	0,7708	1,60	0,0000	0,51	NA	-0,66	0,2279	-0,48	0,4223	0,75	0,2630	0,27	NA	-0,36	0,7672	-0,39	0,6037
Dock7	197,10	-0,33	0,1313	-0,36	0,1675	0,07	1,0000	-0,27	0,5750	-0,67	0,0006	-0,10	0,8607	0,35	0,3426	-0,10	0,9074	-0,42	0,1213
Dock8	1,66	0,34	NA	-0,04	NA	-0,02	NA	-0,06	NA	-0,33	NA	-0,28	NA	-0,30	NA	-0,34	NA	-0,74	NA
Dock9	16,99	-0,60	0,2177	1,19	0,0012	0,33	NA	0,13	0,9500	0,44	0,3363	1,09	0,0385	0,48	NA	0,59	0,4580	0,88	0,0624
Dohh	13,48	0,62	0,2114	0,27	0,7429	-0,02	NA	0,09	0,9746	0,38	0,5265	0,09	0,9394	-0,60	NA	-0,49	0,5899	-0,58	0,2910
Dok1	4,91	0,37	0,6061	0,03	0,9799	-0,09	NA	-0,02	NA	-0,09	0,9206	-0,74	0,3294	-0,41	NA	-0,40	NA	-0,59	0,4288
Dok3	1,21	-0,10	NA	-0,03	0,9706	-0,03	NA	-0,01	NA	-0,28	NA	-0,22	NA	-0,05	NA	0,02	NA	-0,02	NA
Dok4	22,79	-0,29	0,6008	0,25	0,7228	-0,30	NA	0,23	0,8671	0,90	0,0255	0,38	0,6227	-0,22	NA	0,58	0,3886	0,98	0,0332
Dok5	7,22	0,73	0,1846	0,76	0,1942	0,09	NA	0,11	NA	0,58	0,3626	0,47	0,5603	-0,10	NA	0,42	0,6740	0,80	0,1595
Dok7	11,57	0,01	0,9872	-0,19	0,8275	-0,06	NA	-0,13	0,9534	-0,88	0,0971	-0,10	0,9377	-0,21	NA	0,05	0,9862	-1,40	0,0187
Dolk	17,34	0,06	0,9415	0,28	0,6874	-0,08	NA	0,07	0,9798	0,14	0,8175	-0,46	0,5751	0,02	NA	-0,01	0,9993	0,68	0,1340
Dolpp1	8,62	0,10	0,9032	-0,09	0,9329	-0,07	NA	0,09	0,9746	0,17	0,8130	-0,61	0,4548	-0,16	NA	-0,02	0,9931	0,36	0,5872
Donson	11,14	-0,03	0,9777	0,16	0,8532	-0,11	NA	0,14	0,9498	0,75	0,1171	-0,23	0,8292	0,02	NA	-0,08	0,9708	0,58	0,3141
Dopey1	126,27	-0,30	0,2215	-0,16	0,6804	0,07	1,0000	0,02	0,9855	0,00	0,9913	-0,11	0,8610	0,28	0,5225	0,13	0,8772	0,11	0,7689
Dopey2	57,74	-0,54	0,0833	0,21	0,6869	-0,04	1,0000	0,32	0,6540	0,85	0,0004	0,21	0,7762	0,03	0,9744	0,51	0,3497	1,13	0,0000
Dos	5,73	0,34	0,6377	0,51	0,4535	0,11	NA	0,16	NA	0,70	0,2283	0,04	0,9792	-0,50	NA	-0,16	0,9290	1,01	0,0445
Dot1l	240,34	0,49	0,0038	0,22	0,4422	-0,05	1,0000	0,18	0,7796	0,69	0,0007	-0,32	0,3461	-0,26	0,4928	0,43	0,1571	0,47	0,1292

GeneID	CTL	ET-1 vs CTL		SAHA vs CTL		JS28 vs CTL		BSP vs CTL		JQ1 vs CTL		ET-1+SAHA vs ET1		ET-1+JS28 vs ET1		ET-1+BSP vs ET1		ET-1+JQ1 vs ET1	
	mean	log2(FC)	P-adj	log2(FC)	P-adj	log2(FC)	P-adj	log2(FC)	P-adj	log2(FC)	P-adj	log2(FC)	P-adj	log2(FC)	P-adj	log2(FC)	P-adj	log2(FC)	P-adj
Dpagt1	33,82	0,13	0,7984	-0,11	0,8765	-0,01	1,0000	-0,25	0,8334	-0,23	0,6243	-0,05	0,9572	-0,35	0,5881	-0,27	0,7790	-0,45	0,3723
Dpcd	9,70	-0,29	0,6801	0,24	0,7649	0,12	NA	-0,05	0,9853	-0,09	0,9077	0,72	0,3203	-0,10	NA	0,26	0,8561	0,49	0,4722
Dpep2	1,61	-0,37	NA	-0,34	0,5782	-0,09	NA	-0,22	NA	-0,59	0,3092	-0,09	NA	0,06	NA	-0,13	NA	-0,06	NA
Dpf2	73,53	0,10	0,8077	-0,21	0,6376	-0,07	1,0000	0,01	0,9972	0,41	0,1111	-0,30	0,5787	-0,20	0,7308	-0,07	0,9590	0,20	0,6462
Dpf3	16,69	0,06	0,9398	0,53	0,2965	-0,25	NA	0,09	0,9728	0,25	0,6478	0,28	0,7599	-0,17	NA	-0,10	0,9606	0,41	0,4590
Dph1	20,18	0,22	0,7158	-0,40	0,5274	-0,13	NA	-0,13	0,9510	-0,14	0,8184	-0,36	0,6621	-0,29	NA	0,02	0,9931	-0,41	0,4630
Dph2	10,10	0,06	0,9427	-0,54	0,4029	-0,39	NA	-0,10	0,9684	0,29	0,6463	-0,03	0,9840	-0,46	NA	-0,09	0,9680	-0,05	0,9560
Dph3	29,40	-0,18	0,7749	-0,63	0,1411	-0,07	NA	0,04	0,9853	0,04	0,9511	0,14	0,8921	0,23	0,7923	0,20	0,8833	0,12	0,8623
Dph5	13,35	0,98	0,0172	-0,05	0,9665	0,01	NA	-0,33	0,7530	-0,66	0,2832	-0,72	0,2726	-0,73	NA	-1,15	0,0327	-1,25	0,0171
Dph6	20,04	0,56	0,1852	0,09	0,9257	0,23	NA	-0,01	0,9932	-0,29	0,6072	-0,02	0,9883	-0,17	0,8558	-0,49	0,5435	-0,97	0,0329
Dph7	9,74	0,29	0,6718	0,09	0,9363	0,12	NA	0,16	0,9372	-0,18	0,8033	0,06	0,9629	-0,05	NA	-0,61	0,4733	-0,09	0,9226
Dpm1	40,81	0,09	0,8621	0,60	0,0875	-0,02	1,0000	0,23	0,8334	-0,30	0,4536	0,61	0,1759	0,40	0,4789	0,14	0,9086	-0,04	0,9511
Dpm2	13,42	0,04	0,9602	-0,79	0,1457	-0,08	NA	-0,03	0,9901	0,28	0,6411	-0,33	0,7286	-0,12	NA	-0,35	0,7668	0,27	0,6548
Dpm3	2,99	-0,02	0,9811	0,07	0,9505	-0,08	NA	-0,04	NA	-0,14	0,8714	0,15	0,9004	-0,05	NA	-0,23	NA	-0,10	0,9228
Dpp3	68,62	0,06	0,9029	-0,26	0,5434	0,15	1,0000	0,01	0,9932	0,52	0,0367	-0,20	0,7579	-0,23	0,7118	-0,22	0,7975	0,28	0,4464
Dpp7	11,13	-0,65	0,2080	0,06	0,9568	0,04	NA	-0,11	0,9634	-0,05	0,9495	0,90	0,1751	0,30	NA	0,20	0,9034	0,46	0,5209
Dpp8	282,25	-0,17	0,4886	-0,22	0,4107	-0,05	1,0000	0,01	0,9901	-0,07	0,8023	0,19	0,6795	0,16	0,7180	0,17	0,7667	0,18	0,4997
Dpp9	45,17	-0,07	0,9090	-0,55	0,1943	-0,15	1,0000	-0,45	0,4734	-0,17	0,7010	-0,55	0,3179	-0,40	0,5017	-0,18	0,8772	-0,15	0,7837
Dpy191	51,85	-0,11	0,8119	0,39	0,2957	-0,08	1,0000	0,43	0,4111	0,64	0,0138	0,61	0,1363	-0,27	0,6719	0,51	0,2930	0,77	0,0066
Dpy1913	19,34	-0,60	0,1552	0,32	0,5735	-0,01	NA	-0,58	0,3191	-0,71	0,1054	0,96	0,0660	0,66	NA	-0,62	0,4512	-0,50	0,4087
Dpy1914	82,45	-0,30	0,3213	-0,21	0,5988	0,10	1,0000	0,21	0,7734	0,21	0,4728	0,24	0,6924	0,48	0,2685	0,29	0,6577	0,33	0,4625
Dpy30	31,53	0,00	0,9975	0,01	0,9910	0,15	1,0000	0,26	0,8062	0,34	0,3939	0,32	0,6788	0,03	0,9754	-0,12	0,9418	-0,01	0,9905
Dpys1	1,18	-0,32	NA	0,62	0,2895	0,16	NA	-0,01	NA	-0,37	0,5614	0,94	0,1228	0,20	NA	0,15	NA	0,37	NA
Dpysl2	312,42	-0,07	0,8555	-0,15	0,5929	-0,09	1,0000	-0,12	0,8807	0,30	0,1543	0,34	0,4376	0,07	0,9173	0,02	0,9918	0,50	0,1666
Dpysl3	708,56	-0,26	0,4196	-0,51	0,0986	-0,46	0,4885	-0,16	0,8797	-0,83	0,0002	-0,37	0,2637	-0,31	0,3851	-0,20	0,6743	-0,93	0,0001
Dpysl5	7,84	-1,24	0,0082	1,24	0,0047	-0,03	NA	-0,11	0,9628	-0,43	0,5160	2,19	0,0000	-0,08	NA	0,42	NA	0,92	0,1783
Dqx1	1,05	-0,09	NA	0,06	0,9523	-0,08	NA	-0,03	NA	-0,09	0,9001	0,20	NA	-0,04	NA	0,07	NA	-0,08	NA
Dr1	91,99	0,34	0,2220	0,15	0,7470	0,15	1,0000	0,30	0,6021	0,20	0,5271	0,05	0,9419	-0,01	0,9939	-0,08	0,9470	0,07	0,9047
Dram2	78,79	-0,04	0,9419	-0,01	0,9909	0,12	1,0000	0,13	0,9272	-0,31	0,3166	0,19	0,7715	0,22	0,7063	0,15	0,8915	-0,31	0,4111
Drap1	37,15	0,12	0,8709	0,09	0,9240	-0,20	1,0000	-0,08	0,9746	0,21	0,7171	-0,75	0,2000	-0,43	0,5196	0,03	0,9911	0,21	0,7591
Drg1	91,10	-0,06	0,8913	0,10	0,8347	-0,05	1,0000	0,29	0,5646	0,28	0,3231	0,39	0,4029	0,10	0,8988	0,30	0,6218	0,15	0,7287
Drg2	62,26	0,12	0,7581	0,28	0,4690	0,13	1,0000	-0,04	0,9853	0,20	0,5392	-0,16	0,8100	-0,21	0,7226	0,01	0,9966	0,01	0,9921
Drosha	166,78	-0,16	0,5680	-0,21	0,4841	0,01	1,0000	-0,05	0,9764	0,33	0,1745	-0,58	0,0992	-0,04	0,9622	-0,04	0,9785	0,38	0,1497
Dsc2	28,96	-0,37	0,4560	-0,01	0,9883	0,34	1,0000	-0,23	0,8758	-1,15	0,0036	0,51	0,3988	0,23	0,7705	-0,48	0,5624	-1,05	0,0247
Dscr3	35,38	0,06	0,9141	0,43	0,3132	0,19	1,0000	-0,03	0,9860	-0,08	0,8680	0,36	0,5570	-0,15	0,8646	-0,14	0,9191	-0,28	0,5645
Dse	15,60	-0,13	0,8554	-0,17	0,8337	-0,12	NA	-0,28	0,8294	-0,82	0,0878	0,10	0,9350	-0,16	NA	-0,30	0,8122	-0,49	0,4678
Dsel	19,71	0,23	0,6927	0,45	0,4371	0,23	NA	0,36	0,7107	0,22	0,6902	0,49	0,4473	0,16	0,8558	-0,04	0,9911	0,39	0,5115
Dsg2	249,74	-0,89	0,0000	-0,84	0,0000	-0,01	1,0000	-0,30	0,3733	-0,76	0,0001	-0,28	0,5841	0,52	0,1626	0,23	0,7320	-0,32	0,4003
Dsn1	14,53	0,02	0,9851	0,04	0,9747	0,17	NA	-0,34	0,7444	-0,60	0,2544	-0,35	0,7155	-0,30	NA	-0,23	0,8736	-0,43	0,4964
Dsp	2408,85	-0,12	0,6520	-0,34	0,0658	-0,04	1,0000	-0,09	0,9081	-0,01	0,9683	-0,48	0,0722	0,11	0,8285	0,29	0,4204	0,22	0,4494
Dst	2567,59	-0,01	0,9867	-0,44	0,0097	-0,37	0,2613	-0,07	0,9452	-0,14	0,5689	-0,79	0,0008	-0,08	0,8772	0,21	0,6665	0,09	0,7955
Dstn	810,92	0,59	0,0010	-0,16	0,6563	-0,13	1,0000	-0,08	0,9472	-0,17	0,5819	0,33	0,2965	-0,09	0,8530	-0,06	0,9393	-0,19	0,6142
Dsty1	75,72	-0,11	0,7994	-0,33	0,3297	0,16	1,0000	0,24	0,7392	0,12	0,7071	-0,21	0,7567	0,16	0,8285	0,39	0,4929	0,42	0,1875
Dtd1	18,70	-0,06	0,9386	-0,40	0,5057	0,07	NA	-0,12	0,9563	-1,31	0,0036	-0,35	0,6978	-0,05	NA	0,02	0,9931	-0,82	0,1185
Dtd2	10,12	-0,04	0,9622	0,22	0,7891	-0,08	NA	0,27	0,8380	0,83	0,0628	0,59	0,4506	0,31	NA	0,65	0,4147	0,99	0,0514

GeneID	CTL	ET-1 vs CTL		SAHA vs CTL		JS28 vs CTL		BSP vs CTL		JQ1 vs CTL		ET-1+SAHA vs ET1		ET-1+JS28 vs ET1		ET-1+BSP vs ET1		ET-1+JQ1 vs ET1	
	mean	log2(FC)	P-adj	log2(FC)	P-adj	log2(FC)	P-adj	log2(FC)	P-adj	log2(FC)	P-adj	log2(FC)	P-adj	log2(FC)	P-adj	log2(FC)	P-adj	log2(FC)	P-adj
Dtl	8,10	-0,17	0,8344	0,06	0,9551	-0,11	NA	-0,19	0,9158	-0,38	0,5688	0,03	0,9849	0,15	NA	-0,19	0,9119	-0,26	0,7536
Dtna	102,25	0,52	0,0123	-0,36	0,2792	-0,33	0,9488	-0,49	0,2074	-0,47	0,0973	-0,21	0,6900	-0,29	0,5032	-0,47	0,2225	-0,22	0,5261
Dtnb	23,03	-0,44	0,3413	0,66	0,1204	0,28	NA	0,31	0,7588	0,36	0,4011	0,62	0,3138	0,22	NA	0,60	0,3693	0,77	0,0569
Dtnbp1	63,57	-0,05	0,9195	0,19	0,6906	-0,02	1,0000	0,20	0,8451	-0,22	0,5002	0,45	0,2974	0,24	0,6801	0,45	0,3576	0,21	0,5746
Dtwd1	8,34	0,17	0,8312	0,24	0,7857	0,15	NA	0,14	0,9472	-0,32	0,6543	0,20	0,8653	0,03	NA	-0,19	0,9074	-0,59	0,4186
Dtwd2	4,22	-0,32	0,6726	-0,46	0,5151	0,03	NA	0,01	NA	0,22	0,7729	0,41	0,6801	0,32	NA	-0,03	NA	-0,07	0,9527
Dtx2	13,52	-0,21	0,7605	-0,30	0,6915	0,04	NA	0,04	0,9853	0,43	0,4144	-0,66	0,3900	-0,21	NA	0,48	0,5957	0,38	0,5298
Dtx3	39,71	-0,32	0,4870	0,09	0,8984	-0,10	1,0000	-0,10	0,9627	-0,12	0,8580	0,16	0,8636	-0,17	0,8445	0,11	0,9428	0,13	0,8894
Dtx3l	20,72	-0,51	0,2731	-0,61	0,2111	-0,10	NA	-0,56	0,3583	-1,46	0,0004	-0,67	0,3608	0,01	NA	-0,57	0,4999	-1,53	0,0037
Dtx4	2,59	0,07	0,9398	0,15	0,8725	-0,02	NA	0,07	NA	0,36	0,6282	-0,24	0,8100	-0,26	NA	-0,14	NA	-0,15	0,8792
Dtymk	13,05	-0,21	0,7789	-0,29	0,7167	-0,07	NA	-0,14	0,9496	-0,43	0,4768	0,17	0,8859	0,21	NA	-0,01	0,9967	-0,32	0,6548
Dus1l	30,66	-0,10	0,8653	0,23	0,6741	0,15	1,0000	0,31	0,7195	0,17	0,7139	0,09	0,9353	0,02	0,9830	0,17	0,9065	0,26	0,6462
Dus2	13,45	0,67	0,1490	0,27	0,7452	-0,03	NA	-0,26	0,8475	-0,74	0,1934	-0,33	0,7140	-0,74	NA	-0,88	0,1584	-1,60	0,0010
Dus3l	17,42	-0,29	0,6253	-0,05	0,9644	0,08	NA	-0,04	0,9853	-0,46	0,3626	0,31	0,7322	0,00	NA	0,16	0,9219	-0,31	0,6548
Dus4l	8,47	0,22	0,7753	0,08	0,9400	0,02	NA	-0,12	0,9596	0,09	0,9141	0,13	0,9144	-0,16	NA	-0,55	0,5543	-0,64	0,3600
Dusp1	16,75	0,52	0,2878	0,37	0,5629	0,08	NA	0,11	0,9634	0,96	0,0144	-0,05	0,9654	0,19	0,8390	-0,08	0,9722	0,54	0,3652
Dusp10	44,17	0,89	0,0114	0,60	0,1615	0,05	NA	0,11	0,9626	0,55	0,1205	-0,25	0,7452	-0,57	0,3032	-0,35	0,6761	-0,42	0,3786
Dusp11	161,41	-0,26	0,4256	-0,20	0,6418	-0,09	1,0000	0,12	0,9276	0,11	0,7817	0,14	0,8095	0,35	0,4134	0,06	0,9558	0,26	0,4816
Dusp12	14,88	0,03	0,9710	-0,75	0,1551	-0,10	NA	-0,20	0,9084	-0,72	0,1512	-0,34	0,7209	-0,30	NA	-0,43	0,6743	-0,72	0,2018
Dusp14	2,83	0,50	0,4206	0,50	0,4255	0,10	NA	-0,04	NA	0,05	0,9532	0,26	0,8188	-0,17	NA	-0,11	NA	0,24	0,7864
Dusp16	97,42	-0,16	0,6276	-0,57	0,0283	-0,10	1,0000	-0,04	0,9853	-0,28	0,2599	-0,41	0,3599	0,01	0,9842	-0,08	0,9483	-0,21	0,5482
Dusp18	16,07	-0,37	0,4887	1,15	0,0010	0,05	NA	-1,25	0,0006	-2,08	0,0000	1,26	0,0062	-0,04	NA	-0,93	0,1428	-1,97	0,0003
Dusp19	10,20	-0,42	0,4941	-0,30	0,7045	-0,17	NA	0,04	0,9853	-0,53	0,3696	0,40	0,6808	0,18	NA	0,59	0,4910	0,12	0,8993
Dusp22	36,99	-0,10	0,8634	-0,30	0,5765	-0,03	1,0000	-0,12	0,9472	-0,49	0,1708	0,32	0,6610	0,30	0,6790	0,22	0,8492	-0,42	0,4212
Dusp23	1,90	-0,27	NA	0,25	0,7580	-0,05	NA	-0,16	NA	0,05	0,9553	-0,25	NA	0,14	NA	-0,04	NA	1,04	0,1217
Dusp27	175,55	0,31	0,2535	-0,99	0,0000	-0,16	1,0000	-0,34	0,4742	-1,25	0,0000	-1,22	0,0000	-0,57	0,1039	-0,62	0,0597	-1,40	0,0000
Dusp28	8,58	-0,29	0,6791	-0,03	0,9822	-0,08	NA	0,00	0,9986	0,26	0,6934	0,25	0,8245	0,27	NA	-0,07	0,9789	0,47	0,5010
Dusp3	378,36	0,46	0,0030	-1,42	0,0000	-0,38	0,2138	-0,71	0,0000	-0,51	0,0005	-1,60	0,0000	-0,42	0,1738	-0,65	0,0090	-0,63	0,0018
Dusp4	18,79	0,47	0,4420	-0,15	0,8347	-0,02	NA	-0,06	0,9746	-0,16	0,8478	-0,90	0,1486	-0,93	0,0888	-1,17	0,0306	-0,61	0,3163
Dusp5	7,18	0,95	0,0526	0,32	0,6937	-0,06	NA	0,14	NA	0,40	0,5704	-0,12	0,9226	-0,81	NA	-0,44	0,6741	0,21	0,7686
Dusp6	39,52	2,18	0,0000	0,38	0,6031	0,18	NA	0,38	0,6846	0,73	0,1615	-0,72	0,0950	-1,16	0,0011	-1,65	0,0000	0,06	0,9380
Dusp7	39,21	0,08	0,8991	0,44	0,3047	0,19	1,0000	0,43	0,4944	0,17	0,6934	0,39	0,5368	0,26	0,7091	0,55	0,3354	0,50	0,2750
Dusp8	64,09	0,94	0,0002	-0,33	0,4697	-0,58	0,2671	-0,72	0,0702	0,13	0,7676	-0,87	0,0233	-1,28	0,0001	-1,28	0,0002	-0,46	0,2914
Dut	10,64	-0,18	0,8142	-0,19	0,8236	-0,17	NA	-0,17	0,9325	-0,48	0,4036	-0,28	0,7981	-0,51	NA	-0,21	0,8959	-0,28	0,7147
Dvl1	39,47	0,09	0,8726	0,38	0,4357	0,05	1,0000	0,14	0,9371	0,64	0,0387	-0,05	0,9610	-0,67	0,1653	0,01	0,9980	0,35	0,4104
Dvl2	33,54	-0,22	0,6741	0,15	0,8195	-0,13	1,0000	0,00	0,9988	0,57	0,1835	-0,04	0,9714	-0,56	0,3398	0,23	0,8339	0,73	0,1300
Dvl3	118,98	0,08	0,8566	-0,03	0,9681	0,02	1,0000	-0,14	0,9211	0,15	0,6802	-0,39	0,3887	-0,28	0,5450	-0,25	0,6796	0,10	0,7935
Dxo	6,95	0,27	0,7197	0,03	0,9813	0,21	NA	0,04	NA	0,96	0,0693	-0,23	0,8417	-0,34	NA	-0,16	0,9311	0,70	0,2148
Dym	69,58	0,01	0,9873	0,46	0,1285	0,16	1,0000	0,23	0,7805	0,56	0,0143	0,35	0,4493	0,04	0,9661	0,10	0,9264	0,26	0,4176
Dync1h1	1668,09	-0,53	0,0001	-0,07	0,8213	0,01	1,0000	0,27	0,3358	0,23	0,2075	-0,43	0,0932	-0,02	0,9713	0,30	0,3338	0,44	0,0149
Dync1i2	265,03	-0,05	0,8561	-0,53	0,0042	-0,12	1,0000	-0,27	0,4619	-0,26	0,1758	-0,13	0,7896	0,16	0,7274	0,00	0,9998	0,02	0,9731
Dync1li1	173,19	0,35	0,1153	-0,07	0,8895	-0,18	1,0000	0,03	0,9853	0,22	0,3985	-0,32	0,3856	-0,23	0,6010	-0,31	0,4707	0,18	0,5369
Dync1li2	321,39	-0,55	0,0002	-0,25	0,2873	-0,07	1,0000	0,20	0,6648	0,27	0,1507	0,16	0,7372	0,18	0,6790	0,12	0,8579	0,45	0,0302
Dync2h1	93,36	-0,57	0,0073	0,16	0,6937	0,04	1,0000	-0,11	0,9378	-0,74	0,0007	-0,01	0,9914	0,29	0,5636	0,29	0,6352	-0,40	0,2970
Dync2li1	5,93	-0,72	0,2027	-0,19	0,8309	-0,09	NA	-0,27	0,8355	-1,02	0,0705	0,24	0,8292	0,15	NA	0,07	NA	-0,27	0,7557

GeneID	CTL	ET-1 vs CTL		SAHA vs CTL		JS28 vs CTL		BSP vs CTL		JQ1 vs CTL		ET-1+SAHA vs ET1		ET-1+JS28 vs ET1		ET-1+BSP vs ET1		ET-1+JQ1 vs ET1	
	mean	log2(FC)	P-adj	log2(FC)	P-adj	log2(FC)	P-adj	log2(FC)	P-adj	log2(FC)	P-adj	log2(FC)	P-adj	log2(FC)	P-adj	log2(FC)	P-adj	log2(FC)	P-adj
Dynl1	109,99	1,16	0,0000	-0,53	0,1047	-0,31	1,0000	0,36	0,4725	0,46	0,1562	-1,03	0,0009	-0,95	0,0030	-0,29	0,6114	-0,37	0,3523
Dynl2	450,69	0,38	0,0873	0,45	0,0104	0,18	1,0000	0,54	0,0044	0,87	0,0000	0,19	0,7110	-0,11	0,8548	0,32	0,4676	0,59	0,0134
Dynlr1b	121,37	0,14	0,7024	-0,03	0,9579	-0,07	1,0000	-0,21	0,7729	0,24	0,3485	0,44	0,2718	0,04	0,9654	-0,01	0,9935	0,20	0,5947
Dynlt1a	6,64	-0,03	0,9791	-0,20	0,8238	-0,22	NA	-0,27	NA	-0,34	0,6273	0,43	0,6438	0,06	NA	-0,40	0,7235	-0,39	0,6176
Dynlt1b	19,51	-0,27	0,6353	-0,31	0,6330	-0,22	NA	-0,05	0,9853	-0,09	0,8799	0,30	0,7449	0,20	NA	0,19	0,9023	0,12	0,8695
Dynlt3	142,84	0,11	0,7591	-0,12	0,7787	0,02	1,0000	0,09	0,9500	-0,23	0,3899	0,02	0,9754	0,23	0,6288	0,03	0,9854	-0,35	0,3970
Dyrk1a	253,95	0,41	0,0386	-0,25	0,3728	-0,03	1,0000	-0,07	0,9599	0,04	0,8904	-0,42	0,2044	-0,32	0,3823	-0,38	0,3111	-0,17	0,5668
Dyrk1b	61,46	-1,03	0,0002	-0,66	0,0318	-0,02	1,0000	-0,12	0,9379	0,37	0,2962	-0,10	0,9255	0,52	0,3437	0,82	0,0720	1,34	0,0005
Dyrk2	69,40	0,24	0,4707	0,27	0,5097	0,25	1,0000	-0,07	0,9741	0,16	0,6771	-0,20	0,7476	-0,30	0,5636	-0,25	0,7227	-0,11	0,8329
Dyrk3	2,63	0,32	0,6578	0,58	0,3255	0,11	NA	0,08	NA	0,50	0,4720	0,49	0,5916	-0,07	NA	-0,21	NA	-0,16	0,8699
Dysf	183,86	0,64	0,0151	-0,78	0,0034	-0,23	1,0000	-0,36	0,4526	-0,62	0,0259	-1,34	0,0000	-0,82	0,0141	-0,48	0,2843	-1,08	0,0001
Dyx1c1	2,86	-0,77	0,1490	-0,02	0,9878	0,00	NA	-0,30	NA	-0,92	0,1190	0,24	NA	0,33	NA	0,38	NA	0,04	NA
Dzank1	6,66	-0,08	0,9350	0,95	0,0551	-0,04	NA	0,05	0,9853	0,15	0,8466	1,20	0,0385	0,26	NA	-0,03	0,9931	0,20	0,8188
Dzip1	66,11	-0,66	0,0038	0,41	0,1449	0,12	1,0000	0,35	0,4557	0,56	0,0052	0,61	0,1413	0,70	0,0640	1,08	0,0007	1,01	0,0001
Dzip1l	41,27	0,16	0,7253	-0,33	0,4988	-0,04	1,0000	-0,29	0,7563	-0,37	0,3475	-0,90	0,0467	-0,12	0,8865	-0,32	0,6935	-0,72	0,0483
Dzip3	158,48	0,37	0,1342	-0,61	0,0149	-0,33	0,8818	-0,05	0,9798	0,20	0,5243	-0,73	0,0193	-0,34	0,4392	-0,21	0,7368	0,10	0,8254
E030024N20Rik	4,54	-0,25	0,7511	0,16	0,8643	-0,05	NA	0,32	NA	-0,03	0,9766	0,16	0,8999	0,33	NA	0,18	NA	-0,24	0,7905
E130012A19Rik	1,92	0,02	NA	0,83	0,1293	0,05	NA	-0,03	NA	0,90	0,1317	0,55	0,5086	-0,15	NA	0,29	NA	0,39	0,6425
E130102H24Rik	4,13	-0,51	0,4251	-0,05	0,9665	0,11	NA	0,10	NA	-0,06	0,9441	0,17	0,8882	0,73	NA	0,48	NA	0,22	0,8143
E130112N10Rik	4,45	-0,32	0,6685	-0,41	0,5702	-0,08	NA	0,16	NA	0,40	0,5599	0,19	0,8670	0,08	NA	0,03	NA	0,60	0,4284
E130201H02Rik	1,44	-0,06	NA	-0,07	0,8353	-0,02	NA	-0,04	NA	-0,18	0,7887	-0,31	NA	-0,22	NA	-0,19	NA	0,58	0,4395
E130307A14Rik	10,76	0,29	0,6520	-0,69	0,2434	-0,27	NA	0,13	0,9599	0,88	0,0476	-1,05	0,0994	-0,25	NA	0,09	0,9648	0,46	0,3847
E130308A19Rik	52,06	-0,17	0,6943	0,29	0,5031	0,34	0,9896	0,39	0,4800	0,51	0,0604	0,40	0,4369	0,35	0,5127	0,39	0,5180	0,80	0,0046
E130309D02Rik	18,33	0,00	0,9999	-0,20	0,7812	-0,17	NA	-0,17	0,9275	0,29	0,5736	-0,33	0,7224	-0,64	NA	0,01	0,9980	0,50	0,3320
E130309D14Rik	1,20	-0,30	NA	0,29	0,6881	-0,02	NA	0,03	NA	-0,08	0,9275	0,01	NA	0,08	NA	0,10	NA	0,10	NA
E130309F12Rik	3,95	-0,64	0,2718	0,23	0,8023	-0,09	NA	-0,22	NA	-0,70	0,2747	0,52	0,5329	0,04	NA	-0,15	NA	-0,48	NA
E130310I04Rik	2,58	0,10	0,9151	0,63	0,3017	0,14	NA	-0,01	NA	-0,73	0,2063	0,07	0,9601	0,19	NA	-0,26	NA	-1,09	NA
E130311K13Rik	7,13	0,05	0,9526	-0,36	0,6416	0,18	NA	-0,21	NA	-1,06	0,0645	0,07	0,9564	0,13	NA	-0,47	0,6449	-1,17	0,0659
E130317F20Rik	7,36	0,14	0,8667	-0,31	0,7131	-0,10	NA	0,23	0,8797	-0,13	0,8783	-0,16	0,8957	-0,11	NA	-0,09	0,9710	-0,06	0,9528
E230016M11Rik	3,08	0,40	0,5701	0,21	0,8113	-0,02	NA	0,00	NA	0,33	0,6652	0,06	0,9629	-0,30	NA	-0,15	NA	0,10	0,9211
E2f1	3,63	-0,67	0,2545	0,60	0,3399	-0,09	NA	-0,23	NA	-0,15	0,8560	0,56	0,4916	0,24	NA	0,21	NA	0,19	0,8396
E2f2	1,66	-0,11	NA	-0,33	0,6085	-0,11	NA	-0,12	NA	-0,22	0,7800	0,27	NA	-0,11	NA	-0,13	NA	-0,37	NA
E2f3	65,33	0,56	0,0448	0,31	0,4698	0,23	1,0000	-0,21	0,8523	-0,44	0,2385	-0,10	0,8973	-0,23	0,7062	-0,58	0,1992	-0,50	0,1206
E2f4	70,99	0,34	0,2220	0,09	0,8703	-0,08	1,0000	-0,09	0,9634	0,63	0,0476	-0,33	0,5044	-0,30	0,5560	-0,12	0,9080	0,60	0,2019
E2f5	13,85	-0,01	0,9924	-0,23	0,7660	-0,06	NA	0,17	0,9264	0,55	0,2234	0,18	0,8684	0,05	NA	0,12	0,9494	0,72	0,1308
E2f6	119,50	0,16	0,5883	-0,18	0,6327	-0,03	1,0000	0,21	0,7532	-0,05	0,8866	-0,14	0,8065	0,12	0,8407	0,16	0,8343	-0,01	0,9884
E2f7	2,65	-0,56	0,3093	-0,47	0,4364	-0,01	NA	-0,16	NA	-0,60	0,3509	-0,24	NA	0,14	NA	-0,05	NA	-0,02	NA
E2f8	6,57	-0,58	0,3260	1,27	0,0020	0,16	NA	0,21	0,8977	0,20	0,7774	1,35	0,0213	0,30	NA	0,40	0,7235	0,42	0,5933
E330009J07Rik	7,39	-0,31	0,6594	0,06	0,9579	0,01	NA	0,04	0,9853	0,44	0,4582	0,24	0,8376	0,11	NA	-0,28	NA	0,46	0,5216
E330011O21Rik	1,39	0,07	NA	0,00	0,9973	0,04	NA	-0,02	NA	-0,38	NA	0,16	NA	0,06	NA	-0,23	NA	-0,23	NA
E330033B04Rik	20,43	-0,30	0,6407	-0,32	0,6576	-0,34	NA	0,31	0,7796	0,30	0,5813	-0,44	0,6033	0,20	NA	0,12	0,9442	0,38	0,5482
E430018J23Rik	7,63	-0,36	0,6093	-0,31	0,7075	-0,12	NA	0,16	0,9364	0,08	0,9155	-0,17	0,8912	0,03	NA	0,30	0,8281	0,41	0,5631
E430025E21Rik	151,22	-0,05	0,8869	0,21	0,4736	0,20	1,0000	-0,01	0,9959	0,21	0,3384	0,33	0,3788	0,23	0,6011	0,04	0,9745	0,12	0,6858
E4f1	16,76	-0,22	0,7315	-0,29	0,6902	-0,12	NA	0,00	0,9998	0,07	0,9092	-0,03	0,9794	-0,36	NA	0,26	0,8455	0,48	0,4105
E530011L22Rik	6,76	-0,24	0,7602	-0,56	0,3976	-0,07	NA	-0,13	0,9483	-0,08	0,9214	-0,38	0,7159	0,24	NA	0,32	0,8071	0,41	0,5949

GeneID	CTL	ET-1 vs CTL		SAHA vs CTL		JS28 vs CTL		BSP vs CTL		JQ1 vs CTL		ET-1+SAHA vs ET1		ET-1+JS28 vs ET1		ET-1+BSP vs ET1		ET-1+JQ1 vs ET1	
	mean	log2(FC)	P-adj	log2(FC)	P-adj	log2(FC)	P-adj	log2(FC)	P-adj	log2(FC)	P-adj	log2(FC)	P-adj	log2(FC)	P-adj	log2(FC)	P-adj	log2(FC)	P-adj
Eaf1	37,46	0,47	0,2273	-0,16	0,8278	-0,05	NA	0,21	0,8797	0,38	0,3431	-0,51	0,3839	-0,42	0,4874	-0,52	0,4285	0,00	0,9996
Eapp	42,46	-0,26	0,5343	-0,37	0,4168	-0,06	1,0000	-0,04	0,9853	-0,47	0,1721	-0,22	0,7807	0,23	0,7419	0,17	0,8833	0,00	0,9982
Ears2	35,14	-0,10	0,8695	-1,27	0,0005	-0,62	NA	-0,84	0,0367	-1,98	0,0000	-1,19	0,0133	-0,26	0,7223	-0,66	0,2701	-1,41	0,0015
Ebag9	30,62	0,32	0,4316	0,27	0,6330	0,13	NA	0,28	0,7866	-0,10	0,8472	0,10	0,9128	0,37	0,5328	0,23	0,8261	-0,18	0,7218
Ebf4	6,25	-0,14	0,8712	0,41	0,5660	0,40	NA	0,31	0,7914	0,67	0,2129	-0,08	0,9534	0,06	NA	0,18	0,9178	0,53	0,4488
Ebna1bp2	45,79	0,62	0,0453	0,10	0,8869	0,11	1,0000	0,27	0,7734	-0,12	0,8077	-0,45	0,4125	-0,54	0,2869	-0,70	0,1447	-0,64	0,1066
Ebp	13,33	-0,10	0,8993	-0,98	0,0510	-0,35	NA	-0,35	0,7413	-0,51	0,3679	-0,41	0,6583	-0,81	NA	-0,46	0,6427	-0,30	0,6628
Ebpl	5,28	-0,11	0,9054	0,42	0,5626	0,00	NA	-0,01	NA	-0,42	0,5613	0,05	0,9739	0,12	NA	-0,26	NA	-0,44	0,5872
Ecd	58,67	0,47	0,0818	0,18	0,7214	0,27	1,0000	-0,18	0,8881	-0,45	0,1946	-0,22	0,7322	-0,24	0,6905	-0,57	0,2113	-1,02	0,0003
Ece1	7,43	-0,28	0,7110	1,86	0,0000	0,37	NA	-0,16	0,9339	-0,03	0,9743	1,51	0,0046	0,57	NA	0,35	0,7779	0,61	0,3786
Ece2	3,76	0,58	0,3482	0,34	0,6528	0,39	NA	0,00	NA	0,14	0,8707	0,05	0,9738	-0,42	NA	-0,55	NA	-0,67	0,3673
Ecel1	1,12	0,52	NA	0,04	NA	0,01	NA	0,03	NA	0,21	NA	-0,33	NA	-0,04	NA	-0,20	NA	-0,01	0,9981
Ech1	101,02	-0,40	0,1320	-0,66	0,0245	-0,22	1,0000	-0,69	0,0274	-2,41	0,0000	-0,23	0,6955	-0,09	0,9042	-0,54	0,2193	-1,47	0,0000
Echdc1	51,55	-0,16	0,7330	0,35	0,3866	0,00	1,0000	0,02	0,9884	-0,14	0,7506	0,56	0,2148	0,30	0,6113	0,09	0,9479	-0,03	0,9703
Echdc2	31,32	-0,92	0,0034	-0,29	0,5822	-0,04	1,0000	-0,35	0,6491	-0,58	0,1541	0,00	0,9989	0,35	0,6365	-0,15	0,9231	-0,37	0,5302
Echdc3	1,70	-0,31	NA	-0,18	0,8209	0,04	NA	-0,08	NA	-0,68	0,1919	0,72	0,2965	0,03	NA	-0,05	NA	-0,36	NA
Echs1	101,88	0,40	0,1683	-0,37	0,3491	0,03	1,0000	-0,12	0,9420	-0,65	0,0190	-0,60	0,0970	-0,29	0,5461	-0,47	0,2747	-1,07	0,0001
Eci1	52,38	-0,01	0,9895	-0,22	0,6506	0,02	1,0000	0,13	0,9330	0,11	0,7871	-0,26	0,7110	-0,27	0,6790	0,15	0,9017	0,30	0,5143
Eci2	98,25	-0,35	0,1765	-0,40	0,1884	-0,06	1,0000	-0,19	0,8420	-1,28	0,0000	-0,33	0,4939	-0,08	0,9089	-0,11	0,9119	-0,85	0,0027
Ecm1	21,33	-0,12	0,8482	0,22	0,7352	-0,02	NA	-0,91	0,0291	0,10	0,8831	0,96	0,0395	0,12	NA	-0,11	0,9483	0,11	0,8723
Ecsit	40,84	0,75	0,0093	-0,14	0,8423	0,12	1,0000	-0,26	0,8334	0,42	0,2718	-0,51	0,2956	-0,63	0,1572	-0,55	0,2882	-0,50	0,1383
Ect2	7,56	-0,12	0,8919	0,05	0,9702	0,21	NA	0,03	0,9901	-0,52	0,4266	-0,43	0,6628	0,15	NA	-0,04	0,9911	-0,76	0,2788
Eda	19,17	-0,50	0,3130	0,61	0,2114	0,12	NA	0,32	0,7601	0,67	0,0883	0,74	0,2104	-0,17	NA	0,38	0,7033	0,77	0,0973
Eda2r	212,48	0,08	0,8522	-0,95	0,0001	-0,52	0,2201	-1,19	0,0000	-0,76	0,0010	-0,89	0,0027	-0,73	0,0150	-1,35	0,0000	-0,74	0,0113
Edc3	25,99	-0,34	0,4859	0,18	0,7870	-0,03	NA	0,17	0,9194	0,04	0,9421	0,53	0,3959	0,01	0,9963	0,48	0,5276	0,52	0,2876
Edc4	147,66	-0,07	0,8554	-0,09	0,8520	0,00	1,0000	-0,16	0,8671	0,20	0,4587	-0,16	0,7746	-0,26	0,5883	0,04	0,9789	0,13	0,6896
Edem1	21,21	-0,23	0,7180	-0,04	0,9730	0,15	NA	-0,04	0,9853	0,48	0,2756	-0,22	0,8292	0,27	NA	0,14	0,9339	0,46	0,3606
Edem2	34,77	-0,62	0,0590	0,36	0,3930	0,08	1,0000	-0,01	0,9925	0,14	0,7623	0,53	0,3547	0,33	0,6283	0,21	0,8601	0,26	0,6127
Edem3	184,73	0,22	0,4222	0,00	0,9975	-0,19	1,0000	0,11	0,9269	0,30	0,1989	-0,15	0,7691	-0,04	0,9527	0,06	0,9514	0,17	0,6459
Edf1	64,04	0,50	0,0830	0,08	0,9062	-0,03	1,0000	0,01	0,9968	0,42	0,1599	-0,44	0,3664	-0,65	0,1145	-0,09	0,9423	-0,04	0,9317
Edil3	14,69	-0,97	0,0329	0,09	0,9155	0,05	NA	-0,17	0,9300	-1,41	0,0017	0,76	0,2965	0,45	NA	-0,40	0,7179	-0,39	0,6284
Edn1	1,13	0,00	NA	-0,05	0,9571	-0,08	NA	-0,09	NA	-0,26	NA	0,00	NA	-0,06	NA	-0,08	NA	-0,23	NA
Ednra	407,41	-0,79	0,0000	-0,55	0,0045	-0,13	1,0000	-0,29	0,4392	-0,62	0,0011	0,05	0,9351	0,50	0,0677	-0,03	0,9856	-0,44	0,1410
Ednrb	16,33	-1,37	0,0008	-1,77	0,0000	-0,67	NA	-0,56	0,3851	-2,27	0,0000	-0,92	0,1731	-0,31	NA	-0,39	NA	-1,35	0,0320
Edrf1	55,21	-0,28	0,4762	0,03	0,9659	0,17	1,0000	0,23	0,7766	0,32	0,3034	0,32	0,6250	0,33	0,5946	0,46	0,4707	0,46	0,2563
Eea1	220,94	0,13	0,6454	-0,01	0,9899	-0,12	1,0000	0,19	0,7306	0,40	0,0568	-0,27	0,5542	0,06	0,9194	0,14	0,8369	0,27	0,5669
Eed	38,26	0,13	0,7900	-0,07	0,9273	0,22	1,0000	0,29	0,7443	0,01	0,9797	-0,02	0,9879	0,01	0,9915	0,11	0,9339	-0,07	0,9023
Eef1a1	4976,90	0,11	0,7221	-0,13	0,7174	-0,19	1,0000	0,08	0,9454	0,19	0,4315	0,11	0,8184	-0,12	0,7823	0,17	0,7289	0,19	0,4279
Eef1a2	606,28	-0,39	0,3346	-0,44	0,2531	-0,22	1,0000	0,02	0,9901	-0,85	0,0703	-0,47	0,3148	-0,11	0,8865	0,07	0,9568	-0,83	0,1545
Eef1b2	217,20	0,28	0,1958	0,01	0,9799	-0,16	1,0000	0,24	0,6222	0,29	0,1574	0,15	0,7385	-0,20	0,6288	0,28	0,4948	0,20	0,4332
Eef1d	140,23	0,14	0,6261	0,04	0,9393	-0,29	0,9488	0,24	0,6551	0,62	0,0003	-0,15	0,7891	-0,23	0,6365	0,21	0,7246	0,48	0,0416
Eef1e1	22,00	1,25	0,0002	0,14	0,8773	0,00	NA	0,06	0,9853	-0,06	0,9385	-0,78	0,1447	-0,48	0,4532	-0,97	0,0484	-1,12	0,0130
Eef1g	250,50	0,52	0,0217	0,16	0,7401	-0,22	1,0000	-0,08	0,9619	0,21	0,4877	0,19	0,6467	-0,56	0,0385	-0,25	0,5603	0,01	0,9800
Eef2	2503,28	-0,09	0,7759	0,22	0,4910	-0,12	1,0000	0,29	0,4873	0,71	0,0000	0,12	0,7918	-0,36	0,1970	0,49	0,0363	0,79	0,0000
Eef2k	40,49	-0,47	0,1575	-0,28	0,5537	0,13	1,0000	-0,05	0,9853	0,26	0,4691	-0,28	0,7240	0,04	0,9664	-0,06	0,9770	0,22	0,6494

GeneID	CTL	ET-1 vs CTL		SAHA vs CTL		JS28 vs CTL		BSP vs CTL		JQ1 vs CTL		ET-1+SAHA vs ET1		ET-1+JS28 vs ET1		ET-1+BSP vs ET1		ET-1+JQ1 vs ET1	
	mean	log2(FC)	P-adj	log2(FC)	P-adj	log2(FC)	P-adj	log2(FC)	P-adj	log2(FC)	P-adj	log2(FC)	P-adj	log2(FC)	P-adj	log2(FC)	P-adj	log2(FC)	P-adj
Eefsec	11,34	-0,49	0,3934	0,34	0,6043	-0,04	NA	0,21	0,8903	0,50	0,2935	0,34	0,7400	0,07	NA	0,52	0,5829	1,01	0,0559
Eepd1	23,54	-0,95	0,0105	-0,08	0,9293	-0,09	NA	-0,09	0,9742	-0,45	0,3079	0,58	0,4032	0,48	NA	0,50	0,5545	0,27	0,6624
Efcab14	134,92	0,07	0,8473	0,35	0,2052	-0,06	1,0000	0,23	0,7094	0,15	0,5641	0,35	0,3519	0,27	0,5265	0,04	0,9792	0,22	0,4654
Efcab2	51,04	-0,42	0,1920	-1,32	0,0000	-0,27	1,0000	-0,66	0,0982	-1,85	0,0000	-0,50	0,3630	0,32	0,5854	-0,39	0,5949	-1,30	0,0028
Efcab3	1,21	0,08	NA	0,03	0,9799	-0,09	NA	-0,10	NA	-0,21	NA	-0,24	NA	-0,04	NA	-0,12	NA	-0,35	NA
Efcab4b	1,79	-0,22	NA	0,27	0,7332	0,06	NA	-0,14	NA	-0,37	0,6031	0,08	NA	0,16	NA	-0,18	NA	-0,43	NA
Efcab5	9,54	0,33	0,6220	-0,75	0,1957	-0,06	NA	0,00	0,9988	0,19	0,8056	-1,22	0,0443	-0,66	NA	0,15	0,9343	-0,06	0,9412
Efcab7	4,56	-0,09	0,9233	0,25	0,7780	-0,09	NA	-0,06	NA	-0,22	0,7788	0,11	0,9344	-0,15	NA	-0,13	NA	-0,35	0,6879
Efcab8	1,40	-0,20	NA	0,01	0,9944	0,03	NA	0,03	NA	0,84	0,1735	0,17	NA	0,07	NA	0,13	NA	0,85	0,2269
Efemp2	4,32	0,08	0,9350	-0,41	0,5626	0,06	NA	-0,22	NA	-1,00	0,0852	-0,56	0,4945	-0,38	NA	-0,14	NA	-0,77	0,2888
Efhc1	1,25	0,17	NA	0,12	0,8773	0,29	NA	0,27	NA	0,88	0,1408	-0,03	NA	0,14	NA	0,30	NA	1,19	0,0651
Efhd2	125,88	0,24	0,5045	0,09	0,8666	0,26	1,0000	0,11	0,9472	0,46	0,1363	-0,03	0,9726	-0,32	0,4789	-0,26	0,6750	0,20	0,6565
Efna1	10,68	-0,27	0,6856	-0,50	0,4328	0,15	NA	-0,09	0,9746	-0,54	0,3393	0,23	0,8292	0,18	NA	0,53	0,5506	-0,63	0,3648
Efna2	5,27	-0,15	0,8616	0,06	0,9630	-0,13	NA	-0,16	NA	-0,25	0,7517	-0,14	0,9144	-0,37	NA	0,00	NA	0,19	0,8364
Efna4	3,43	-0,34	0,6434	-0,17	0,8520	-0,08	NA	-0,15	NA	-0,67	0,2962	0,11	0,9328	0,08	NA	-0,31	NA	-0,43	0,6008
Efna5	164,34	-0,01	0,9841	-1,44	0,0000	-0,52	0,2511	-0,74	0,0086	0,26	0,3753	-1,25	0,0000	-0,50	0,1509	-0,74	0,0138	0,46	0,1355
Efnb1	31,28	-0,12	0,8428	0,22	0,7084	0,06	1,0000	-0,11	0,9600	0,11	0,8465	0,07	0,9476	-0,07	0,9434	0,06	0,9789	0,12	0,8661
Efnb2	100,03	0,43	0,2553	-0,62	0,0886	-0,63	0,1527	-0,28	0,7560	0,61	0,0262	-1,08	0,0038	-0,67	0,1138	-0,42	0,4967	0,64	0,0712
Efnb3	84,55	-2,25	0,0000	-1,85	0,0000	-0,09	1,0000	-0,01	0,9925	-0,67	0,2486	-0,39	0,6633	0,73	0,1862	0,71	0,2657	0,40	0,6354
Efr3a	227,34	0,03	0,9360	0,25	0,3575	0,08	1,0000	0,12	0,8998	0,03	0,9255	0,31	0,3966	0,04	0,9458	-0,05	0,9621	-0,03	0,9416
Efr3b	88,54	0,73	0,0097	0,96	0,0002	0,11	1,0000	0,12	0,9426	0,40	0,1623	0,44	0,3326	0,02	0,9768	0,30	0,6406	0,21	0,6074
Eftud1	32,60	-0,27	0,5478	0,09	0,8909	0,07	1,0000	0,10	0,9606	-0,01	0,9805	0,20	0,8143	0,03	0,9765	0,07	0,9722	0,32	0,4694
Eftud2	126,42	0,09	0,7887	0,41	0,1044	0,16	1,0000	0,28	0,5813	0,55	0,0029	0,13	0,8239	-0,08	0,9034	0,04	0,9753	0,22	0,4041
Egf	22,58	-0,81	0,0233	-0,59	0,1984	-0,10	NA	-0,77	0,0794	-1,94	0,0000	0,30	0,7508	0,43	NA	-0,14	0,9372	-1,13	0,0336
Egfl7	1,32	-0,10	NA	1,70	0,0001	0,10	NA	0,24	NA	0,18	0,8229	1,18	0,0513	0,15	NA	0,22	NA	0,09	NA
Egflam	2,39	-0,04	0,9681	-0,27	0,7170	-0,03	NA	-0,25	NA	-0,68	0,2311	-0,25	NA	-0,02	NA	-0,28	NA	-0,73	NA
Egfr	1,39	0,20	NA	0,40	0,5021	0,03	NA	0,14	NA	-0,17	NA	0,13	NA	-0,25	NA	-0,14	NA	0,13	0,9002
Egln1	184,27	0,53	0,0914	-0,14	0,7134	0,02	1,0000	0,04	0,9829	-0,01	0,9673	-0,23	0,7308	-0,32	0,5863	-0,38	0,5603	-0,65	0,0673
Egln2	35,81	-0,18	0,7062	-0,43	0,3456	-0,06	1,0000	-0,22	0,8532	0,17	0,7015	0,04	0,9714	-0,08	0,9306	0,00	1,0000	0,37	0,4568
Egln3	17,50	0,71	NA	1,18	0,0144	0,59	NA	0,24	0,8610	0,40	0,5672	-0,20	0,8430	-0,20	0,7925	-0,34	0,7227	-0,74	NA
Egr1	69,20	0,04	0,9710	0,66	0,2800	0,26	1,0000	0,51	0,4092	1,27	0,0140	0,64	0,1373	-0,56	0,2732	0,16	0,8830	2,11	0,0000
Egr3	2,58	-0,56	0,3378	-0,47	0,4668	0,13	NA	0,57	NA	0,80	0,1847	-0,09	NA	0,00	NA	0,43	NA	1,55	0,0112
Ehbp1	550,40	0,43	0,0507	-0,73	0,0007	-0,23	1,0000	-0,59	0,0248	-1,20	0,0000	-0,80	0,0016	-0,18	0,6950	-0,35	0,3303	-0,90	0,0000
Ehbp11	317,90	0,55	0,0341	-0,80	0,0047	-0,29	1,0000	-0,49	0,2353	-1,10	0,0001	-1,16	0,0000	-0,87	0,0005	-0,71	0,0066	-1,41	0,0000
Ehd1	53,21	0,28	0,5175	-0,61	0,1445	-0,26	1,0000	0,12	0,9510	0,81	0,0052	-0,71	0,1189	-0,90	0,0260	-0,15	0,8960	0,84	0,0064
Ehd2	65,98	0,21	0,6480	-0,13	0,8363	0,14	1,0000	-0,66	0,1160	-0,70	0,0279	-0,34	0,5573	-0,30	0,6093	-0,70	0,1233	-0,21	0,6405
Ehd3	20,64	-0,24	0,6813	0,17	0,8227	-0,19	NA	-0,30	0,7882	0,23	0,6326	0,72	0,2201	0,02	NA	-0,06	0,9790	0,41	0,4694
Ehd4	960,28	1,44	0,0000	0,17	0,6969	0,55	0,1344	0,21	0,7776	0,28	0,2643	-0,25	0,4513	-0,21	0,5501	-0,17	0,6982	-0,43	0,0581
Ehmt1	94,13	-0,37	0,2462	-0,41	0,2516	-0,20	1,0000	-0,19	0,8587	0,00	0,9934	-0,07	0,9360	0,12	0,8688	0,29	0,6695	0,15	0,7019
Ehmt2	97,42	-0,43	0,0683	-0,01	0,9849	0,23	1,0000	0,19	0,8149	-0,08	0,8215	0,11	0,8678	0,19	0,7481	0,49	0,2405	0,14	0,7702
Ei24	127,07	0,04	0,9208	-0,15	0,6961	-0,27	1,0000	-0,26	0,6195	0,29	0,2213	0,12	0,8432	-0,28	0,5440	-0,41	0,3549	0,27	0,5102
Eid1	128,90	-0,03	0,9492	-0,17	0,7170	0,02	1,0000	0,03	0,9853	-0,04	0,9175	0,50	0,1949	0,37	0,3882	0,28	0,6324	0,06	0,8917
Eid2	19,32	0,00	0,9993	0,13	0,8752	-0,02	NA	0,04	0,9853	0,20	0,7151	0,06	0,9616	0,12	NA	0,28	0,7993	-0,03	0,9754
Eid2b	19,67	-0,52	0,2546	-0,09	0,9135	-0,19	NA	-0,03	0,9855	-0,59	0,1952	0,46	0,5446	0,28	NA	0,14	0,9368	0,20	0,7589
Eid3	2,71	-0,14	0,8625	0,24	0,7737	-0,07	NA	0,14	NA	0,06	0,9506	0,06	0,9629	0,14	NA	0,10	NA	0,61	0,4212

GeneID	CTL	ET-1 vs CTL		SAHA vs CTL		JS28 vs CTL		BSP vs CTL		JQ1 vs CTL		ET-1+SAHA vs ET1		ET-1+JS28 vs ET1		ET-1+BSP vs ET1		ET-1+JQ1 vs ET1	
	mean	log2(FC)	P-adj	log2(FC)	P-adj	log2(FC)	P-adj	log2(FC)	P-adj	log2(FC)	P-adj	log2(FC)	P-adj	log2(FC)	P-adj	log2(FC)	P-adj	log2(FC)	P-adj
Eif1	588,92	0,51	0,0056	-0,38	0,1498	0,09	1,0000	0,37	0,2900	0,68	0,0044	-0,84	0,0002	-0,32	0,3264	0,19	0,6847	0,62	0,0570
Eif1a	106,17	0,73	0,0100	0,09	0,8780	-0,15	1,0000	0,10	0,9606	-0,14	0,7744	-0,37	0,4487	-0,62	0,1191	-0,84	0,0201	-0,64	0,1233
Eif1ad	56,58	0,49	0,0778	-0,26	0,5760	-0,22	1,0000	-0,08	0,9727	-0,19	0,6122	-0,63	0,1507	-0,43	0,3861	-0,49	0,3662	-0,35	0,3085
Eif1ax	85,05	0,06	0,8972	-0,11	0,8306	-0,20	1,0000	-0,05	0,9794	-0,17	0,6473	0,08	0,9226	-0,04	0,9661	-0,06	0,9681	0,07	0,8732
Eif1b	40,83	-0,28	0,4775	-0,58	0,1478	-0,23	1,0000	-0,28	0,7443	-0,49	0,1556	-0,03	0,9748	-0,13	0,8876	-0,08	0,9590	0,10	0,8619
Eif2a	148,88	-0,34	0,1749	0,27	0,3914	0,04	1,0000	0,01	0,9932	-0,35	0,1651	0,43	0,2621	0,42	0,2546	0,28	0,6014	0,08	0,8396
Eif2ak1	58,73	-0,07	0,9032	0,04	0,9540	0,18	1,0000	0,07	0,9742	0,19	0,5774	0,14	0,8534	0,01	0,9881	-0,18	0,8601	0,39	0,2902
Eif2ak2	69,25	-0,39	0,2489	-0,23	0,6555	0,06	1,0000	-0,09	0,9628	-0,34	0,3329	0,04	0,9645	0,37	0,4763	0,33	0,6051	-0,10	0,8505
Eif2ak3	19,17	0,61	0,1419	0,58	0,2679	0,15	NA	0,09	0,9742	0,05	0,9392	-0,18	0,8451	-0,27	0,7274	-0,38	0,6900	-0,24	0,6600
Eif2ak4	39,16	-0,25	0,5831	0,17	0,7595	0,07	1,0000	0,06	0,9798	-0,48	0,1765	0,22	0,7876	0,27	0,6959	-0,15	0,9138	-0,43	0,3673
Eif2b1	47,55	0,05	0,9291	-0,41	0,3296	-0,22	1,0000	0,18	0,8789	0,19	0,5906	-0,30	0,6492	-0,24	0,7204	0,08	0,9583	0,12	0,7962
Eif2b2	26,84	0,19	0,7196	0,32	0,5626	-0,13	NA	-0,37	0,6770	0,30	0,4771	0,24	0,7617	-0,33	0,6445	-0,25	0,8207	0,11	0,8617
Eif2b3	20,55	0,80	0,0309	0,12	0,8919	0,19	NA	0,57	0,3358	0,69	0,0908	-0,07	0,9476	-0,47	0,4760	-0,22	0,8572	-0,22	0,7035
Eif2b4	42,83	0,14	0,7825	-0,25	0,6357	-0,15	1,0000	-0,16	0,9129	0,02	0,9718	-0,67	0,1897	-0,30	0,6432	-0,18	0,8833	0,03	0,9558
Eif2b5	99,36	0,34	0,1624	-0,17	0,6682	0,04	1,0000	0,29	0,5926	0,55	0,0051	-0,27	0,5885	-0,23	0,6588	-0,05	0,9714	0,22	0,5112
Eif2d	57,00	0,20	0,6331	-0,06	0,9210	-0,15	1,0000	-0,08	0,9681	-0,14	0,7186	0,09	0,9180	-0,21	0,7639	-0,01	0,9966	-0,04	0,9506
Eif2s1	124,04	0,46	0,0253	0,19	0,6382	0,01	1,0000	0,13	0,9107	-0,15	0,6724	0,08	0,8981	-0,18	0,7100	-0,29	0,5560	-0,50	0,2110
Eif2s2	268,79	0,87	0,0016	-0,06	0,9150	-0,25	1,0000	-0,01	0,9940	-0,06	0,8831	-0,87	0,0222	-0,69	0,0860	-0,63	0,1487	-0,66	0,1070
Eif2s3x	42,82	0,16	0,7421	0,25	0,6150	0,05	1,0000	0,03	0,9860	0,35	0,2849	-0,03	0,9794	0,03	0,9728	0,28	0,7480	0,26	0,5883
Eif2s3y	114,42	-0,23	0,4163	0,04	0,9507	0,07	1,0000	0,14	0,8987	-0,32	0,2258	0,34	0,4157	0,51	0,1395	0,33	0,5141	-0,36	0,3442
Eif3a	817,97	0,11	0,7470	0,28	0,1542	0,14	1,0000	0,14	0,8044	0,06	0,8171	-0,19	0,7155	0,12	0,8329	0,04	0,9734	0,04	0,9296
Eif3b	176,26	0,31	0,2097	0,11	0,8073	0,12	1,0000	0,23	0,7443	0,37	0,1029	-0,27	0,4889	-0,54	0,0685	-0,13	0,8536	0,11	0,7072
Eif3c	615,24	0,40	0,0771	-0,29	0,2443	-0,01	1,0000	-0,06	0,9634	-0,08	0,7471	-0,89	0,0012	-0,57	0,0743	-0,56	0,0775	-0,25	0,5077
Eif3d	107,69	0,28	0,3240	0,59	0,0190	0,10	1,0000	-0,04	0,9853	0,25	0,4069	0,11	0,8501	-0,29	0,5299	0,04	0,9792	0,18	0,6487
Eif3e	249,20	0,09	0,7778	0,09	0,8003	-0,20	1,0000	-0,01	0,9901	0,01	0,9797	0,07	0,9057	-0,08	0,9034	-0,14	0,8511	0,03	0,9585
Eif3f	163,69	-0,18	0,6564	0,08	0,9008	-0,10	1,0000	0,06	0,9784	0,25	0,4768	0,38	0,3458	0,05	0,9454	0,60	0,0604	0,43	0,1688
Eif3g	64,93	0,52	0,1514	0,00	0,9973	-0,09	1,0000	0,03	0,9866	0,17	0,6975	-0,72	0,1145	-0,86	0,0364	-0,49	0,3899	-0,50	0,2331
Eif3h	197,97	0,04	0,8887	0,21	0,4285	-0,16	1,0000	-0,03	0,9853	0,03	0,8969	0,36	0,2961	-0,21	0,6345	0,07	0,9392	0,11	0,6896
Eif3i	46,62	0,10	0,8763	0,00	0,9975	-0,13	1,0000	0,12	0,9600	0,25	0,6210	0,17	0,8251	-0,17	0,8291	0,19	0,8597	0,06	0,9174
Eif3k	119,37	0,20	0,5308	0,05	0,9424	-0,22	1,0000	-0,32	0,6019	-0,05	0,8935	0,39	0,2792	-0,21	0,6757	-0,30	0,5640	-0,19	0,5140
Eif3l	189,46	0,02	0,9452	0,03	0,9567	-0,12	1,0000	-0,17	0,8318	0,26	0,2026	0,11	0,8310	-0,19	0,6750	-0,11	0,8965	0,27	0,2727
Eif3m	159,32	-0,06	0,8634	0,12	0,7577	0,01	1,0000	0,28	0,5228	-0,38	0,1348	0,38	0,2860	0,17	0,7289	0,25	0,6212	-0,35	0,4367
Eif4a1	330,24	0,82	0,0000	-0,32	0,1485	0,05	1,0000	0,16	0,7716	0,55	0,0009	-0,79	0,0005	-0,67	0,0039	-0,32	0,3534	-0,02	0,9532
Eif4a2	442,22	-0,22	0,2257	-0,04	0,9240	0,20	1,0000	0,35	0,1881	0,21	0,3919	0,12	0,7759	0,46	0,0634	0,57	0,0080	0,44	0,0611
Eif4a3	85,22	0,46	0,1045	0,44	0,2198	0,12	1,0000	0,12	0,9417	-0,27	0,4541	0,20	0,7149	-0,52	0,1738	-0,22	0,7502	-0,53	0,0646
Eif4b	492,90	-0,53	0,0078	0,34	0,1784	0,00	1,0000	0,10	0,9269	0,14	0,5865	0,34	0,3453	0,02	0,9744	0,21	0,6991	0,39	0,1717
Eif4e	105,91	0,47	0,0304	0,14	0,7468	-0,08	1,0000	0,15	0,8903	0,22	0,4659	0,06	0,9370	-0,18	0,7385	-0,22	0,7336	0,13	0,7210
Eif4e2	112,00	0,13	0,7567	0,00	0,9944	0,02	1,0000	0,04	0,9853	0,24	0,3924	0,14	0,8292	-0,01	0,9963	-0,07	0,9503	0,14	0,7037
Eif4e3	9,36	-0,23	0,7607	0,31	0,6909	-0,11	NA	-0,61	0,2909	-0,91	0,1028	-0,01	0,9955	0,13	NA	-0,19	0,9119	-1,00	0,1252
Eif4ebp1	163,81	0,84	0,0131	-0,66	0,0563	-0,30	1,0000	-0,41	0,4434	0,18	0,6278	-0,97	0,1235	-0,80	0,1672	-0,66	0,3984	-0,23	0,6879
Eif4ebp2	67,73	-0,28	0,4452	0,15	0,7883	-0,19	1,0000	-0,13	0,9399	0,87	0,0036	0,27	0,6298	0,03	0,9726	0,25	0,7354	1,27	0,0002
Eif4ebp3	5,94	0,05	0,9567	0,25	0,7740	-0,09	NA	0,32	0,7624	0,45	0,4926	-0,02	0,9915	-0,04	NA	0,30	0,8285	0,35	0,6632
Eif4enif1	141,06	0,11	0,7314	-0,15	0,7087	0,01	1,0000	0,05	0,9769	0,25	0,2985	-0,28	0,5115	-0,36	0,3469	-0,30	0,5285	0,22	0,3777
Eif4g1	861,23	0,17	0,5017	-0,51	0,0143	-0,26	0,9896	-0,11	0,9084	0,31	0,1494	-0,78	0,0002	-0,46	0,0556	-0,08	0,9065	0,34	0,1217
Eif4g2	2254,55	0,07	0,7781	0,02	0,9651	0,13	1,0000	0,19	0,5913	-0,03	0,8662	-0,23	0,4889	0,12	0,7780	0,12	0,8285	-0,01	0,9722

GeneID	CTL	ET-1 vs CTL		SAHA vs CTL		JS28 vs CTL		BSP vs CTL		JQ1 vs CTL		ET-1+SAHA vs ET1		ET-1+JS28 vs ET1		ET-1+BSP vs ET1		ET-1+JQ1 vs ET1	
	mean	log2(FC)	P-adj	log2(FC)	P-adj	log2(FC)	P-adj	log2(FC)	P-adj	log2(FC)	P-adj	log2(FC)	P-adj	log2(FC)	P-adj	log2(FC)	P-adj	log2(FC)	P-adj
Eif4g3	205,91	0,11	0,7254	0,27	0,3144	0,05	1,0000	0,31	0,4118	0,78	0,0000	-0,18	0,7139	-0,08	0,8963	0,21	0,7067	0,80	0,0000
Eif4h	219,86	0,30	0,1490	-0,27	0,3523	-0,22	1,0000	-0,17	0,8122	0,46	0,0343	-0,40	0,2215	-0,55	0,0543	-0,36	0,3303	0,37	0,2048
Eif5	484,76	-0,03	0,9467	-0,55	0,0070	0,21	1,0000	0,32	0,3496	0,11	0,6819	-0,26	0,6100	0,64	0,0649	0,64	0,0528	0,31	0,4274
Eif5a	214,50	0,75	0,0001	-0,02	0,9790	-0,41	0,5025	-0,17	0,8420	0,20	0,4533	-0,12	0,8246	-0,68	0,0192	-0,66	0,0243	-0,23	0,4733
Eif5a2	45,87	0,00	0,9933	0,54	0,1407	-0,13	1,0000	-0,17	0,9110	-0,68	0,0438	0,97	0,0084	0,18	0,8170	-0,42	0,5610	-0,42	0,4758
Eif5b	337,51	-0,23	0,2786	0,11	0,7239	0,06	1,0000	0,02	0,9853	-0,15	0,5559	-0,06	0,9351	0,33	0,4165	0,28	0,4963	0,09	0,8310
Eif6	40,39	0,32	0,4988	-0,15	0,8347	-0,04	1,0000	-0,18	0,9088	0,21	0,6649	-0,03	0,9784	-0,61	0,2491	-0,32	0,6995	-0,14	0,7833
Elac1	14,81	-0,07	0,9252	-0,05	0,9607	0,14	NA	0,27	0,8369	-0,36	0,5222	0,24	0,8075	0,24	NA	-0,11	0,9556	-0,61	0,3062
Elac2	49,23	-0,01	0,9895	0,21	0,6669	0,10	1,0000	-0,07	0,9763	0,01	0,9766	-0,02	0,9883	-0,19	0,7963	0,04	0,9826	-0,01	0,9951
Elavl1	189,63	0,51	0,0016	-0,01	0,9832	-0,06	1,0000	0,07	0,9628	0,35	0,0588	-0,18	0,7028	-0,34	0,3385	-0,39	0,2593	-0,06	0,8662
Elavl2	5,45	0,04	0,9652	0,16	0,8680	-0,13	NA	-0,02	NA	-0,60	0,3706	0,25	0,8280	-0,03	NA	-0,48	NA	-0,77	0,2858
Elavl4	2,52	0,45	0,4758	0,12	0,8895	-0,02	NA	0,10	NA	-0,52	NA	-0,05	0,9714	-0,19	NA	-0,56	NA	-0,78	0,2671
Elf1	40,84	-0,30	0,4697	-1,18	0,0005	0,04	1,0000	0,53	0,2309	0,41	0,2101	-1,17	0,0117	0,47	0,3758	0,68	0,1379	1,07	0,0003
Elf2	110,53	-0,15	0,6347	-0,18	0,6213	0,00	1,0000	-0,01	0,9901	-0,05	0,8831	-0,24	0,6563	0,13	0,8325	0,09	0,9300	0,07	0,8732
Elf4	112,43	-0,05	0,9133	-0,46	0,1779	0,08	1,0000	-0,01	0,9968	0,29	0,4259	-0,62	0,0753	-0,22	0,6654	-0,18	0,8129	0,35	0,3123
Elk1	37,19	-0,07	0,8913	0,42	0,2863	0,02	1,0000	-0,11	0,9555	0,15	0,7062	0,14	0,8686	-0,27	0,7058	-0,07	0,9708	0,44	0,2942
Elk3	14,46	0,02	0,9859	-0,13	0,8875	0,04	NA	-0,25	0,8619	-0,57	0,3148	0,20	0,8456	0,41	NA	-0,41	0,6935	-0,30	0,6665
Elk4	112,26	0,12	0,7575	-0,49	0,0933	-0,12	1,0000	0,10	0,9440	0,24	0,4135	-0,64	0,0694	-0,16	0,7798	-0,25	0,6906	0,28	0,3395
Ell	52,04	-0,33	0,4072	0,47	0,2210	0,10	1,0000	0,29	0,7367	0,71	0,0250	-0,03	0,9745	0,08	0,9313	0,27	0,7608	0,74	0,0587
Ell2	45,03	-0,32	0,3910	0,15	0,7802	0,14	1,0000	0,36	0,5262	0,13	0,7171	0,37	0,5553	0,46	0,3861	0,71	0,1171	0,69	0,0514
Elmo1	3,63	-0,32	0,6578	-0,27	0,7362	-0,09	NA	-0,32	NA	-0,75	0,2244	-0,30	NA	0,16	NA	-0,34	NA	-0,10	0,9277
Elmo2	57,97	-0,26	0,4799	0,04	0,9550	-0,11	1,0000	0,26	0,7455	0,37	0,2101	0,12	0,8730	0,24	0,6947	0,32	0,6531	0,74	0,0095
Elmo3	2,35	-0,08	0,9318	0,22	0,7923	-0,02	NA	0,18	NA	0,49	0,4819	0,33	0,7400	0,17	NA	-0,01	NA	0,38	0,6528
Elmod2	117,70	-0,15	0,6748	-0,60	0,0286	0,00	1,0000	0,16	0,8758	0,20	0,5057	-0,63	0,0890	0,30	0,5239	0,11	0,9074	0,55	0,0381
Elmod3	10,40	-0,59	0,3001	0,08	0,9390	-0,10	NA	-0,15	0,9440	-0,36	0,5815	0,51	0,5479	0,52	NA	0,46	0,6531	0,41	0,5668
Elmsan1	79,26	-0,09	0,8392	-0,29	0,4848	-0,08	1,0000	0,01	0,9940	0,37	0,1724	-0,71	0,0800	-0,37	0,4867	-0,32	0,6283	0,42	0,1672
Eln	5,19	-0,53	0,3961	-0,52	0,4181	0,22	NA	-0,20	NA	-0,28	0,7234	-0,33	0,7194	0,70	NA	0,28	NA	0,44	0,5986
Elof1	18,66	-0,20	0,7518	0,03	0,9774	0,01	NA	0,05	0,9853	0,05	0,9370	0,55	0,3966	0,26	NA	0,37	0,6945	0,41	0,4711
Elovl1	38,05	0,32	0,4374	-0,08	0,9221	0,16	1,0000	-0,13	0,9469	0,22	0,6312	-0,53	0,3464	-0,46	0,4050	-0,60	0,2714	-0,08	0,8731
Elovl4	16,53	-0,06	0,9407	0,61	0,2114	-0,27	NA	-0,23	0,8797	0,02	0,9771	0,68	0,2849	-0,16	NA	-0,36	0,7531	0,24	0,7205
Elovl5	120,88	0,28	0,4180	0,73	0,0065	0,51	0,2865	0,67	0,0247	0,64	0,0216	0,49	0,1901	0,25	0,6227	0,38	0,4325	0,42	0,1606
Elovl6	23,00	0,88	0,0214	0,77	0,0793	-0,24	NA	-0,28	0,8296	-0,66	0,1826	-0,03	0,9816	-0,62	0,2924	-0,82	0,1513	-1,29	0,0082
Elovl7	1,69	0,40	NA	0,33	0,6070	0,04	NA	-0,05	NA	-0,08	NA	-0,31	NA	0,10	NA	0,09	NA	0,29	0,7402
Elp2	72,75	0,10	0,8354	0,31	0,4654	0,21	1,0000	0,10	0,9563	0,16	0,6517	0,13	0,8557	0,19	0,7694	-0,12	0,9181	-0,15	0,7174
Elp3	103,52	0,05	0,9123	0,10	0,8391	-0,07	1,0000	-0,15	0,8853	-0,12	0,7046	-0,20	0,7255	-0,16	0,7833	-0,22	0,7570	-0,03	0,9422
Elp4	37,10	0,31	0,4233	-0,21	0,7376	-0,02	1,0000	0,06	0,9836	-0,19	0,6667	0,02	0,9863	0,18	0,8076	-0,04	0,9824	-0,42	0,2846
Elp5	69,81	0,25	0,4817	0,27	0,4852	0,03	1,0000	-0,04	0,9853	0,18	0,6368	0,12	0,8805	-0,08	0,9184	-0,04	0,9799	0,14	0,7391
Elp6	2,65	0,37	0,6075	-0,18	0,8158	0,01	NA	0,04	NA	-0,28	0,7010	-0,33	0,7413	-0,17	NA	-0,38	NA	-1,06	0,1060
Emb	20,42	0,63	0,1371	0,09	0,9252	0,00	NA	-0,18	0,9250	0,33	0,5460	0,05	0,9627	0,24	0,7496	-0,24	0,8432	-0,03	0,9668
Emc1	170,58	0,10	0,7865	-0,21	0,5186	-0,02	1,0000	0,11	0,9156	0,27	0,2274	-0,37	0,3821	-0,06	0,9315	-0,02	0,9931	0,10	0,7794
Emc10	94,97	0,03	0,9421	-0,35	0,3028	0,09	1,0000	-0,11	0,9399	0,39	0,1255	-0,38	0,4290	-0,29	0,5703	0,20	0,7865	0,52	0,1025
Emc2	182,70	0,32	0,2239	0,00	0,9987	-0,06	1,0000	0,03	0,9853	-0,35	0,2376	0,13	0,8043	0,11	0,8482	0,02	0,9909	-0,57	0,0688
Emc3	108,14	0,39	0,1172	0,05	0,9337	0,07	1,0000	0,11	0,9430	-0,18	0,5738	-0,18	0,7366	-0,01	0,9893	-0,06	0,9551	-0,50	0,0393
Emc4	39,10	0,27	0,4865	0,02	0,9818	-0,10	1,0000	-0,12	0,9469	-0,04	0,9275	0,15	0,8417	-0,14	0,8649	-0,11	0,9300	-0,10	0,8501
Emc6	59,99	0,58	0,0598	0,18	0,7352	-0,21	1,0000	0,21	0,8465	0,30	0,4079	0,11	0,8905	-0,43	0,4311	-0,54	0,3190	-0,14	0,8181

GeneID	CTL	ET-1 vs CTL		SAHA vs CTL		JS28 vs CTL		BSP vs CTL		JQ1 vs CTL		ET-1+SAHA vs ET1		ET-1+JS28 vs ET1		ET-1+BSP vs ET1		ET-1+JQ1 vs ET1	
	mean	log2(FC)	P-adj	log2(FC)	P-adj	log2(FC)	P-adj	log2(FC)	P-adj	log2(FC)	P-adj	log2(FC)	P-adj	log2(FC)	P-adj	log2(FC)	P-adj	log2(FC)	P-adj
Emc7	64,05	0,60	0,0425	0,08	0,9194	0,04	1,0000	0,00	0,9984	-0,09	0,8360	0,08	0,9159	-0,45	0,3360	-0,25	0,7336	-0,46	0,1664
Emc8	36,28	0,17	0,7528	0,54	0,1727	0,02	1,0000	0,18	0,9058	-0,26	0,5460	0,28	0,6928	-0,07	0,9428	0,13	0,9249	-0,21	0,6873
Emc9	7,89	-0,09	0,9149	-0,06	0,9591	-0,03	NA	-0,01	0,9972	0,26	0,7006	0,14	0,9163	0,00	NA	0,03	0,9918	0,56	0,3781
Emd	51,25	0,13	0,7896	-0,33	0,4654	-0,22	1,0000	-0,42	0,4844	0,28	0,4726	-0,01	0,9934	-0,40	0,4836	-0,35	0,6427	0,25	0,5615
Eme1	2,86	0,03	0,9747	-0,28	0,7047	-0,17	NA	-0,13	NA	0,08	0,9280	-0,34	0,7245	0,14	NA	-0,44	NA	-0,20	0,8348
Eme2	13,63	0,18	0,7928	0,02	0,9826	0,07	NA	0,24	0,8676	0,81	0,0594	-0,08	0,9460	-0,27	NA	-0,01	0,9966	0,55	0,2507
Emg1	27,05	0,24	0,6269	-0,08	0,9291	-0,02	NA	0,10	0,9634	0,06	0,9222	-0,26	0,7501	-0,41	0,5274	-0,23	0,8412	-0,06	0,9251
Emilin1	1,00	-0,42	NA	-0,28	0,6189	0,01	NA	-0,07	NA	-0,44	0,4212	0,18	NA	0,07	NA	NA	NA	NA	NA
Emilin2	68,15	-0,24	0,6608	-0,02	0,9776	0,48	0,5224	-0,94	0,0056	-1,62	0,0000	-0,15	0,8689	0,04	0,9710	-1,13	0,0117	-1,28	0,0061
Eml1	61,57	-0,84	0,0015	-0,60	0,0483	0,01	1,0000	-0,07	0,9741	-1,36	0,0000	0,27	0,7160	0,63	0,1738	0,40	0,5884	-0,60	0,1593
Eml2	35,71	-0,16	0,7667	0,27	0,5688	0,19	1,0000	-0,03	0,9853	0,01	0,9796	0,44	0,4916	0,12	0,8986	-0,16	0,9074	0,09	0,9002
Eml3	7,13	-0,40	0,5573	0,30	0,7074	0,04	NA	-0,14	0,9469	-0,43	0,5211	0,41	0,6808	0,18	NA	-0,19	NA	0,35	0,6570
Eml4	39,54	-0,12	0,8128	0,23	0,6366	0,02	1,0000	0,18	0,8977	0,51	0,0916	0,34	0,5938	0,34	0,5854	0,37	0,6034	0,61	0,0961
Eml5	71,96	-0,35	0,2369	0,48	0,1219	-0,07	1,0000	0,41	0,3484	0,16	0,6245	0,57	0,1702	0,17	0,7981	0,58	0,1508	0,35	0,4261
Eml6	50,46	-0,58	0,0327	0,01	0,9894	-0,02	1,0000	0,05	0,9835	-0,11	0,7753	0,17	0,8301	0,31	0,6113	0,33	0,6665	0,35	0,3480
Emp1	1,21	0,58	NA	0,12	NA	0,04	NA	0,03	NA	0,06	NA	-0,35	NA	-0,27	NA	-0,30	NA	-0,33	0,6920
Emp2	94,87	-0,18	0,6735	-0,44	0,2834	0,25	1,0000	-0,20	0,8715	-0,36	0,3251	-0,45	0,3058	0,21	0,6950	0,29	0,6212	0,18	0,6665
En1	6,15	-0,40	0,5641	-0,30	0,7228	-0,11	NA	-0,26	NA	-0,94	0,1138	0,24	0,8348	0,12	NA	0,05	NA	-0,13	0,8993
En2	1,09	0,30	NA	0,21	NA	0,03	NA	0,01	NA	-0,09	NA	0,03	NA	-0,09	NA	-0,23	NA	-0,39	NA
Enah	1433,49	0,96	0,0000	-0,12	0,7501	-0,37	0,4654	-0,31	0,3960	0,12	0,6255	-0,58	0,0239	-0,82	0,0003	-0,93	0,0000	-0,57	0,0050
Enc1	17,22	0,95	0,0152	0,20	0,8105	-0,03	NA	-0,27	0,8380	0,40	0,4614	-1,23	0,0196	-0,80	NA	-0,86	0,1468	-0,15	0,8167
Endod1	25,84	-0,10	0,8789	-0,78	0,0727	0,08	NA	-0,05	0,9853	-0,83	0,0509	-0,60	0,3604	-0,08	0,9360	-0,42	0,6309	-0,14	0,8142
Endog	7,09	0,09	0,9221	-0,83	0,1397	-0,08	NA	0,02	0,9915	-0,03	0,9721	-0,31	0,7712	-0,09	NA	0,52	0,5831	0,14	0,8713
Endov	37,19	0,01	0,9844	0,24	0,6643	-0,03	1,0000	0,13	0,9452	-0,02	0,9698	-0,34	0,6224	-0,09	0,9227	-0,08	0,9602	-0,08	0,9220
Engase	6,71	-0,17	0,8372	0,39	0,5974	0,00	NA	0,06	0,9853	-0,18	0,8189	0,57	0,4949	0,06	NA	0,01	0,9971	-0,15	0,8808
Enkd1	3,58	-0,20	0,8087	0,34	0,6673	0,04	NA	-0,26	NA	-0,41	0,5756	0,16	0,8953	-0,06	NA	0,24	NA	0,38	0,6462
Enkur	13,93	-0,20	0,7604	0,73	0,1074	-0,11	NA	-0,59	0,3368	-1,47	0,0018	0,83	0,1654	0,20	NA	-0,57	0,5206	-1,64	0,0023
Eno1b	31,08	0,65	0,0467	0,22	0,7344	0,17	NA	-0,36	0,6939	-0,10	0,8633	0,20	0,7827	-0,30	0,6449	-0,27	0,7712	-0,44	0,2553
Eno2	16,50	0,98	0,0119	1,29	0,0009	0,07	NA	-0,35	0,7412	0,35	0,5774	0,36	0,6255	-0,95	NA	-0,85	0,1467	-0,53	0,3362
Eno3	284,85	0,11	0,8912	-0,40	0,5638	-0,25	1,0000	-0,33	0,7639	-1,32	0,0015	-0,44	0,4254	-0,23	0,8099	0,15	0,9264	-0,78	0,0712
Enoph1	10,24	0,09	0,9085	-0,28	0,7298	-0,11	NA	-0,09	0,9742	-0,14	0,8507	0,03	0,9822	-0,35	NA	-0,26	0,8507	-0,27	0,7223
Enox1	4,29	0,11	0,9039	0,90	0,0964	0,06	NA	0,28	NA	0,98	0,0847	-0,12	0,9314	0,15	NA	0,27	0,8466	0,43	0,5839
Enox2	35,87	-0,40	0,2793	-0,68	0,0840	-0,09	1,0000	-0,02	0,9901	-0,27	0,4938	-0,36	0,6234	0,29	0,6734	-0,19	0,8816	-0,22	0,6901
Enpep	129,65	-1,42	0,0000	0,13	0,8021	-0,17	1,0000	-0,07	0,9701	-1,17	0,0000	0,48	0,2965	0,71	0,0455	0,34	0,5873	-0,91	0,0038
Enpp1	79,16	-0,28	0,5577	-0,15	0,7720	-0,02	1,0000	0,47	0,2380	0,40	0,1245	-0,12	0,8905	-0,33	0,6227	-0,16	0,8974	0,76	0,0631
Enpp4	69,24	-0,08	0,8894	0,20	0,6327	-0,06	1,0000	0,33	0,5372	0,35	0,1657	0,50	0,3470	0,18	0,8238	0,17	0,8913	0,52	0,2448
Enpp5	58,73	-0,65	0,0306	0,59	0,0639	0,33	0,9896	-0,05	0,9853	-0,73	0,0114	0,90	0,0185	0,53	0,2860	-0,04	0,9848	-0,32	0,4840
Ensa	102,81	0,11	0,8040	-0,05	0,9390	0,02	1,0000	0,11	0,9437	0,45	0,0643	-0,31	0,5447	-0,17	0,7860	0,11	0,9170	0,25	0,4790
Enthd2	26,43	-0,14	0,8047	-0,27	0,6521	-0,18	NA	-0,39	0,6249	0,09	0,8708	0,00	0,9976	-0,36	0,6291	-0,09	0,9602	0,12	0,8480
Entpd4	119,41	0,09	0,8078	-0,05	0,9227	0,21	1,0000	0,09	0,9555	-0,04	0,9078	-0,08	0,9051	-0,05	0,9406	0,02	0,9911	-0,22	0,4642
Entpd5	83,79	-0,42	0,1262	-0,41	0,1986	-0,19	1,0000	0,29	0,6103	0,82	0,0000	0,22	0,7228	0,15	0,8255	0,83	0,0139	1,42	0,0000
Entpd6	21,12	0,24	0,6696	0,02	0,9824	-0,41	NA	0,25	0,8464	0,58	0,1359	-0,37	0,6465	-0,28	0,7201	0,07	0,9714	0,35	0,5261
Entpd7	17,21	0,12	0,8611	-0,54	0,3503	-0,08	NA	-0,27	0,8334	-0,11	0,8643	-0,17	0,8784	-0,15	NA	-0,64	0,4180	-0,50	0,4016
Eny2	76,90	-0,01	0,9850	-0,13	0,7807	0,09	1,0000	0,33	0,5298	0,02	0,9673	0,04	0,9596	0,56	0,1310	0,32	0,5796	0,00	0,9971
Eogt	41,41	0,28	0,5153	0,08	0,9237	0,27	1,0000	-0,33	0,7182	-0,29	0,5123	0,00	0,9982	0,24	0,7063	-0,32	0,6900	-0,67	0,0540

GeneID	CTL	ET-1 vs CTL		SAHA vs CTL		JS28 vs CTL		BSP vs CTL		JQ1 vs CTL		ET-1+SAHA vs ET1		ET-1+JS28 vs ET1		ET-1+BSP vs ET1		ET-1+JQ1 vs ET1	
	mean	log2(FC)	P-adj	log2(FC)	P-adj	log2(FC)	P-adj	log2(FC)	P-adj	log2(FC)	P-adj	log2(FC)	P-adj	log2(FC)	P-adj	log2(FC)	P-adj	log2(FC)	P-adj
Ep300	368,45	-0,25	0,3368	-0,70	0,0003	-0,13	1,0000	0,01	0,9954	0,31	0,2417	-0,83	0,0039	0,03	0,9664	0,11	0,8934	0,62	0,0224
Ep400	206,71	-0,26	0,2700	-0,43	0,1030	-0,06	1,0000	0,35	0,3290	0,73	0,0000	-0,53	0,0900	0,07	0,9042	0,41	0,2188	0,97	0,0000
Epas1	15,01	-0,65	0,1923	1,42	0,0000	0,59	NA	1,22	0,0001	1,06	0,0116	1,30	0,0127	0,69	NA	1,40	0,0030	1,49	0,0015
Epb4.1	245,69	-0,21	0,3776	0,12	0,7174	0,00	1,0000	0,14	0,8402	0,22	0,3158	-0,16	0,7717	-0,01	0,9874	0,06	0,9514	0,34	0,1563
Epb4.111	137,59	-0,48	0,0539	0,32	0,3050	-0,17	1,0000	-0,06	0,9713	-0,63	0,0140	0,55	0,1237	0,09	0,8929	0,25	0,6935	-0,09	0,8301
Epb4.112	181,46	-0,78	0,0000	-0,31	0,2131	-0,30	0,8025	-0,06	0,9684	0,24	0,3588	0,10	0,8790	-0,11	0,8618	0,18	0,8152	0,43	0,1231
Epb4.113	169,65	-0,42	0,0833	-0,67	0,0032	-0,08	1,0000	-0,10	0,9398	-0,40	0,0981	-0,43	0,2894	0,11	0,8615	-0,04	0,9792	-0,17	0,6675
Epb4.114a	6,97	0,25	0,7516	0,50	0,4659	0,19	NA	0,16	0,9389	-0,45	0,5126	-0,25	0,8246	-0,04	NA	0,30	0,8248	-0,03	0,9800
Epb4.114b	1,63	-0,16	NA	-0,09	0,9232	0,01	NA	-0,15	NA	0,22	0,7766	-0,21	NA	0,08	NA	-0,18	NA	-0,03	NA
Epb4.115	48,06	-0,21	0,6062	0,41	0,2618	-0,02	1,0000	-0,13	0,9370	0,06	0,8808	0,69	0,0913	0,23	0,7138	-0,28	0,7385	0,23	0,5932
Epc1	86,67	-0,17	0,6075	-1,00	0,0001	-0,06	1,0000	-0,11	0,9430	-0,14	0,6589	-0,94	0,0081	0,14	0,8285	0,08	0,9442	-0,08	0,8449
Epc2	106,49	-0,34	0,2786	-1,24	0,0000	-0,08	1,0000	-0,09	0,9537	-0,56	0,0238	-1,36	0,0001	0,21	0,7200	0,06	0,9669	-0,24	0,5574
Epdr1	76,30	0,37	0,2453	-0,64	0,0583	-0,03	1,0000	-0,02	0,9901	-0,51	0,0927	-0,57	0,1828	-0,15	0,8232	-0,44	0,3929	-0,57	0,0656
Epg5	68,23	-0,21	0,5537	-0,10	0,8590	-0,03	1,0000	0,08	0,9649	0,44	0,0721	0,02	0,9853	-0,01	0,9949	0,27	0,7025	0,41	0,1819
Epha3	7,74	-0,85	0,0873	-0,18	0,8325	-0,02	NA	0,05	0,9853	0,05	0,9464	0,12	0,9310	-0,15	NA	0,09	NA	0,25	0,7745
Epha4	236,27	-0,13	0,7789	-0,24	0,5626	-0,01	1,0000	-0,23	0,7624	0,23	0,4784	-0,03	0,9732	0,17	0,7889	-0,15	0,8745	0,28	0,5547
Epha7	212,93	-0,46	0,0272	-0,61	0,0029	-0,34	0,6734	-0,03	0,9853	-0,45	0,0180	-0,12	0,8320	0,21	0,6594	0,34	0,4476	0,12	0,7198
Ephb1	2,57	-0,72	0,1473	-0,25	0,7595	-0,13	NA	0,02	NA	-0,29	0,7079	0,05	NA	0,20	NA	0,37	NA	0,26	NA
Ephb2	10,63	-0,25	0,7154	0,30	0,6882	0,09	NA	0,15	0,9440	-0,52	0,3696	0,29	0,7827	-0,28	NA	-0,19	0,9071	0,03	0,9800
Ephb3	52,08	-0,26	0,5832	0,78	0,0272	0,20	1,0000	0,47	0,4434	0,50	0,1427	0,84	0,0257	0,16	0,8465	0,51	0,3410	1,02	0,0004
Ephb4	46,52	-0,09	0,8540	-0,15	0,7954	0,08	1,0000	-0,09	0,9634	0,02	0,9664	-0,41	0,4851	-0,02	0,9842	-0,18	0,8660	0,24	0,6711
Ephb6	8,63	-0,41	0,5270	0,05	0,9652	0,04	NA	-0,39	0,6753	-0,38	0,5604	0,36	0,7286	-0,03	NA	-0,37	0,7608	-0,22	0,8049
Ephx1	92,73	-0,68	0,0152	-0,51	0,1799	-0,01	1,0000	-1,10	0,0001	-0,95	0,0010	-0,23	0,7267	0,28	0,6185	-0,75	0,0760	-0,91	0,0062
Ephx2	3,58	-0,17	0,8440	0,06	0,9579	0,06	NA	-0,40	NA	-0,85	0,1633	-0,05	0,9726	0,37	NA	-0,52	NA	-1,03	0,1018
Epm2a	7,17	0,02	0,9833	-0,34	0,6682	-0,07	NA	-0,17	NA	-0,67	0,2767	-0,54	0,5431	-0,17	NA	-0,39	0,7375	-0,92	0,1683
Epm2aip1	206,78	-0,25	0,2780	-0,13	0,7113	-0,03	1,0000	0,43	0,0855	0,53	0,0033	0,15	0,7891	0,34	0,3765	0,44	0,2151	0,62	0,0055
Epn1	87,91	-0,10	0,8026	0,23	0,5462	0,09	1,0000	-0,12	0,9308	0,37	0,3020	0,01	0,9879	-0,10	0,8875	0,16	0,8543	0,62	0,1815
Epn2	84,04	-0,12	0,7900	0,20	0,6850	0,15	1,0000	0,07	0,9742	0,05	0,8968	0,36	0,4532	0,20	0,7377	0,38	0,4908	0,19	0,6690
Epn3	1,32	0,05	NA	0,94	0,0635	0,10	NA	0,10	NA	0,04	0,9658	0,45	0,5759	0,14	NA	-0,18	NA	-0,20	NA
Epor	3,85	-0,56	0,3651	0,26	0,7593	0,16	NA	0,00	NA	-0,29	0,7043	0,72	0,3456	0,31	NA	0,11	NA	-0,13	0,8956
Eppk1	6,38	0,31	0,6731	-0,80	0,1523	-0,24	NA	-0,61	NA	-1,53	0,0037	-0,42	0,6722	-0,59	NA	-0,92	NA	-1,92	0,0010
Eprs	409,91	0,88	0,0000	-0,03	0,9454	-0,20	1,0000	-0,06	0,9626	0,18	0,3393	-0,96	0,0014	-0,85	0,0050	-0,94	0,0011	-0,49	0,1455
Eps15	301,21	0,03	0,9180	0,21	0,4661	-0,08	1,0000	0,16	0,8277	0,29	0,1267	0,19	0,6720	-0,10	0,8550	0,08	0,9170	0,36	0,0929
Eps15l1	136,02	-0,16	0,6291	-0,15	0,7096	0,00	1,0000	0,09	0,9471	0,38	0,1054	-0,36	0,4006	-0,12	0,8492	0,06	0,9570	0,48	0,0900
Eps8	2,87	0,26	0,7378	0,43	0,5390	0,25	NA	-0,16	NA	-0,54	0,4011	-0,09	0,9431	-0,18	NA	-0,36	NA	-0,35	0,6811
Ept1	85,01	0,20	0,6370	-0,10	0,8585	0,00	1,0000	0,06	0,9805	0,31	0,3593	-0,27	0,6526	-0,06	0,9454	-0,14	0,8926	0,19	0,6769
Eqtn	1,51	-0,07	NA	0,17	0,8391	-0,05	NA	0,18	NA	0,29	0,7010	-0,07	NA	0,01	NA	0,13	NA	0,15	NA
Eral1	36,04	0,07	0,9084	-0,19	0,7544	0,02	1,0000	-0,09	0,9674	-0,19	0,6729	0,27	0,7027	-0,22	0,7734	0,14	0,9082	0,04	0,9536
Erap1	70,63	-0,47	0,0944	-1,28	0,0000	-0,16	1,0000	-0,24	0,7630	-0,39	0,2063	-0,81	0,0645	0,31	0,5768	-0,04	0,9854	-0,12	0,8189
Erb2	181,76	-0,09	0,7928	-0,31	0,3153	-0,03	1,0000	0,33	0,4890	0,46	0,0388	-0,50	0,1328	-0,21	0,6575	0,52	0,0766	0,54	0,0592
Erb2ip	561,71	-0,15	0,5440	-0,52	0,0046	-0,10	1,0000	0,00	0,9988	-0,17	0,5216	-0,37	0,2293	0,28	0,4474	-0,05	0,9612	-0,19	0,6473
Erb3	2,98	0,44	0,5175	0,50	0,4280	-0,12	NA	-0,18	NA	-0,57	0,3359	-0,22	0,8452	-0,47	NA	-0,61	NA	-0,75	0,2986
Erb4	119,79	-0,59	0,0385	-0,24	0,6032	-0,16	1,0000	-0,17	0,8881	-0,26	0,5228	-0,23	0,7078	-0,11	0,8732	0,25	0,7183	0,32	0,4511
Erc1	157,26	0,04	0,9177	-0,04	0,9258	-0,21	1,0000	0,03	0,9853	0,17	0,4663	-0,26	0,5957	-0,03	0,9722	0,15	0,8489	0,34	0,2214
Erc2	17,47	0,41	0,4115	0,15	0,8585	0,37	NA	-0,25	0,8579	-0,69	0,1721	-0,47	0,5414	-0,24	NA	-0,15	0,9280	-0,67	0,2493

GeneID	CTL	ET-1 vs CTL		SAHA vs CTL		JS28 vs CTL		BSP vs CTL		JQ1 vs CTL		ET-1+SAHA vs ET1		ET-1+JS28 vs ET1		ET-1+BSP vs ET1		ET-1+JQ1 vs ET1	
	mean	log2(FC)	P-adj	log2(FC)	P-adj	log2(FC)	P-adj	log2(FC)	P-adj	log2(FC)	P-adj	log2(FC)	P-adj	log2(FC)	P-adj	log2(FC)	P-adj	log2(FC)	P-adj
Ercc1	18,12	0,53	0,2724	0,15	0,8621	-0,10	NA	-0,18	0,9251	0,26	0,6521	-0,22	0,8143	-0,23	NA	-0,21	0,8830	-0,24	0,6979
Ercc2	17,11	0,15	0,8312	0,34	0,6081	0,14	NA	0,14	0,9458	0,65	0,1089	-0,03	0,9822	0,06	NA	-0,02	0,9931	0,41	0,4500
Ercc3	51,49	-0,14	0,7534	-0,17	0,7546	0,18	1,0000	0,22	0,8363	0,12	0,7841	-0,12	0,8781	0,10	0,9089	0,25	0,7608	0,43	0,2004
Ercc4	32,89	-0,18	0,7129	-0,03	0,9718	-0,07	1,0000	0,09	0,9634	-0,16	0,7272	0,20	0,8058	0,03	0,9781	0,06	0,9730	0,19	0,7038
Ercc5	72,84	-0,02	0,9626	0,46	0,1008	0,14	1,0000	0,25	0,7107	0,04	0,9219	0,24	0,6817	0,22	0,6997	0,25	0,7112	0,37	0,2888
Ercc6	30,05	0,21	0,7057	-0,02	0,9878	0,30	NA	0,18	0,9165	0,73	0,0387	-0,33	0,6506	-0,07	0,9444	0,42	0,5435	0,50	0,1982
Ercc6l	3,26	-0,22	0,7792	-0,19	0,8309	0,08	NA	0,06	NA	-0,17	0,8401	-0,02	0,9893	-0,06	NA	-0,09	NA	-0,02	0,9921
Ercc6l2	58,42	0,12	0,7834	-0,12	0,8244	-0,06	1,0000	0,08	0,9674	-0,06	0,8900	-0,22	0,7478	-0,01	0,9878	0,00	1,0000	0,04	0,9351
Ercc8	7,34	0,18	0,8225	0,25	0,7744	-0,19	NA	0,05	0,9853	-0,52	0,4281	0,35	0,7289	-0,02	NA	-0,06	0,9815	-0,61	0,4036
Erf	26,26	-0,58	0,2332	-0,58	0,2740	-0,32	NA	-0,24	0,8610	0,58	0,2658	-0,31	0,7558	-0,08	NA	0,32	0,7790	1,36	0,0096
Ergic1	89,93	0,56	0,0229	0,43	0,1613	0,05	1,0000	-0,03	0,9853	0,43	0,1599	0,33	0,4664	-0,37	0,4293	0,04	0,9827	0,02	0,9827
Ergic2	91,93	0,06	0,8789	-0,04	0,9462	0,09	1,0000	-0,01	0,9910	-0,42	0,0934	0,16	0,8066	0,41	0,3327	0,11	0,9143	-0,36	0,4464
Ergic3	47,48	-0,11	0,8262	-0,28	0,5842	-0,29	1,0000	-0,16	0,9158	0,10	0,8247	-0,50	0,3564	-0,24	0,7226	-0,15	0,8990	-0,26	0,5974
Erh	32,36	0,16	0,8072	-0,33	0,6234	-0,21	NA	-0,24	0,8619	-0,04	0,9590	0,21	0,7985	-0,24	0,7705	-0,26	0,8192	-0,11	0,8693
Eri1	86,94	0,27	0,3843	0,25	0,5377	-0,15	1,0000	0,25	0,7454	0,40	0,1445	0,31	0,5280	0,13	0,8435	-0,03	0,9854	0,33	0,3358
Eri2	14,43	-0,21	0,7528	0,13	0,8830	0,07	NA	-0,05	0,9853	-0,74	0,1393	0,00	0,9989	0,51	NA	0,07	0,9789	-0,01	0,9906
Eri3	53,64	0,04	0,9412	0,21	0,6607	0,15	1,0000	0,34	0,5945	0,46	0,1394	0,28	0,6350	0,06	0,9432	0,14	0,8972	0,21	0,6107
Erich1	40,37	-0,07	0,8955	-0,26	0,6108	-0,04	1,0000	-0,31	0,7107	-0,15	0,7177	0,00	0,9976	0,18	0,8202	-0,19	0,8656	-0,06	0,9222
Erlc1	167,14	0,03	0,9311	-0,03	0,9550	0,09	1,0000	0,14	0,8659	0,00	0,9976	-0,05	0,9395	0,38	0,2861	0,36	0,3415	0,11	0,7320
Erlin1	21,75	0,08	0,9032	-0,27	0,6882	0,00	NA	-0,08	0,9769	0,14	0,8061	-0,12	0,9108	-0,24	NA	-0,28	0,8056	-0,04	0,9546
Erlin2	102,23	-0,35	0,1791	-0,07	0,8867	-0,02	1,0000	-0,14	0,9015	0,09	0,7664	0,25	0,6472	0,37	0,4170	0,01	0,9935	0,54	0,0481
Ermard	11,74	0,07	0,9326	-0,17	0,8458	0,04	NA	0,14	0,9469	-0,41	0,4925	-0,45	0,6228	0,01	NA	0,12	0,9483	-1,23	0,0388
Ermpl	34,45	-0,09	0,8772	0,17	0,7801	0,42	0,8025	0,55	0,2471	0,58	0,0558	0,15	0,8701	0,14	0,8734	0,48	0,4722	0,93	0,0073
Ern1	45,51	0,07	0,9055	0,23	0,7106	0,06	1,0000	0,03	0,9866	0,73	0,0190	-0,14	0,8709	-0,31	0,6297	-0,07	0,9633	0,75	0,0201
Ero1l	76,73	1,22	0,0000	0,24	0,6366	0,07	1,0000	0,06	0,9829	0,42	0,2624	-0,78	0,0300	-0,62	0,1151	-0,95	0,0046	-0,57	0,0786
Ero1lb	4,81	-0,53	0,4069	0,28	0,7356	0,04	NA	-0,16	NA	0,21	0,7768	0,53	0,5447	0,12	NA	0,37	NA	0,58	0,4382
Erp29	36,92	0,32	0,4957	-0,45	0,3344	-0,08	1,0000	0,05	0,9853	0,34	0,4315	-0,65	0,2546	-0,47	0,4474	-0,15	0,9170	0,32	0,5431
Erp44	103,42	0,10	0,7755	0,13	0,7672	-0,02	1,0000	-0,05	0,9798	-0,17	0,5755	0,31	0,4858	0,25	0,6179	0,12	0,8926	-0,10	0,7982
Erpfl	13,09	0,45	0,4006	-0,36	0,6237	0,05	NA	0,12	0,9602	0,78	0,0816	-0,36	0,6997	-0,63	NA	-0,28	0,8266	0,47	0,3495
Esco1	105,45	-0,12	0,7502	0,32	0,2937	0,12	1,0000	0,38	0,3706	0,07	0,8269	0,24	0,6763	0,48	0,2443	0,66	0,0436	0,38	0,3152
Esco2	2,80	-0,37	0,5875	-0,01	0,9947	-0,03	NA	-0,14	NA	-0,73	0,2367	-0,09	NA	0,09	NA	0,28	NA	-0,27	NA
Esd	104,28	0,50	0,1057	0,55	0,0397	0,18	1,0000	0,27	0,6891	0,31	0,3204	0,38	0,4363	-0,21	0,7383	-0,08	0,9494	-0,11	0,8326
Esf1	94,61	0,55	0,0570	0,35	0,3073	0,03	1,0000	0,08	0,9629	-0,18	0,6050	-0,42	0,4125	-0,20	0,7549	-0,29	0,6823	-0,44	0,3576
Espl1	3,04	-0,40	0,5624	-0,27	0,7467	0,18	NA	-0,03	NA	-0,04	0,9641	0,03	NA	0,03	NA	-0,09	NA	-0,20	NA
Espn	1,55	0,22	NA	0,07	0,9429	0,05	NA	0,10	NA	0,51	0,4496	-0,11	NA	-0,15	NA	-0,25	NA	-0,08	0,9406
Espnl	1,46	-0,14	NA	-0,15	0,8355	-0,10	NA	-0,16	NA	-0,33	0,5866	-0,18	NA	-0,06	NA	0,06	NA	-0,02	NA
Esr1	1,19	0,18	NA	-0,14	NA	0,07	NA	-0,03	NA	-0,19	NA	-0,10	NA	-0,07	NA	-0,15	NA	-0,43	NA
Esrra	41,86	0,25	0,6339	-0,16	0,8283	-0,31	1,0000	-0,10	0,9634	0,19	0,6880	-0,31	0,6628	-0,34	0,6117	-0,12	0,9321	0,00	0,9981
Esrrb	1,42	0,62	NA	0,27	NA	0,10	NA	0,02	NA	-0,09	NA	0,16	0,8915	-0,19	NA	-0,38	NA	-0,32	0,7113
Esrrg	151,11	0,21	0,4894	-0,07	0,8631	-0,03	1,0000	-0,19	0,7688	-0,07	0,8017	-0,09	0,8981	-0,44	0,2869	-0,37	0,4634	-0,26	0,4573
Esy1	38,52	0,41	0,2773	0,15	0,8159	-0,18	NA	-0,25	0,8369	0,12	0,7878	-0,21	0,7866	-1,05	0,0117	-0,74	0,1428	-0,37	0,3952
Esy2	70,70	-0,03	0,9497	0,47	0,1411	0,00	1,0000	0,65	0,0365	0,62	0,0114	0,79	0,0151	0,39	0,3914	0,46	0,3218	0,80	0,0054
Etaa1	47,19	-0,38	0,3141	-0,20	0,7137	-0,17	1,0000	-0,06	0,9823	-0,40	0,2657	0,22	0,7759	0,39	0,5037	0,31	0,7132	-0,08	0,9137
Etf1	276,89	0,41	0,0048	0,22	0,3667	0,00	1,0000	0,10	0,9158	0,07	0,8245	0,14	0,7573	-0,03	0,9604	-0,23	0,6212	-0,27	0,5001
Etf2	150,81	0,00	0,9905	0,42	0,0558	0,27	0,9896	0,32	0,4161	-0,19	0,5572	0,37	0,3330	0,11	0,8503	0,56	0,0760	-0,12	0,7291

GeneID	CTL	ET-1 vs CTL		SAHA vs CTL		JS28 vs CTL		BSP vs CTL		JQ1 vs CTL		ET-1+SAHA vs ET1		ET-1+JS28 vs ET1		ET-1+BSP vs ET1		ET-1+JQ1 vs ET1	
	mean	log2(FC)	P-adj	log2(FC)	P-adj	log2(FC)	P-adj	log2(FC)	P-adj	log2(FC)	P-adj	log2(FC)	P-adj	log2(FC)	P-adj	log2(FC)	P-adj	log2(FC)	P-adj
Etfb	110,68	0,26	0,5701	0,06	0,9445	-0,09	1,0000	-0,12	0,9501	-0,66	0,0514	-0,08	0,9210	-0,65	0,0918	-0,32	0,6038	-0,68	0,0356
Etfdh	197,24	0,08	0,8167	0,10	0,7681	-0,06	1,0000	0,06	0,9628	-0,39	0,0617	0,35	0,3934	0,23	0,6258	-0,06	0,9590	-0,46	0,1531
Ethe1	6,17	0,35	0,6167	0,27	0,7535	0,08	NA	-0,11	NA	-0,40	0,5813	0,41	0,6621	-0,29	NA	-0,39	0,7382	-0,95	0,1475
Eti4	36,78	-0,44	0,3448	0,04	0,9637	-0,06	1,0000	-0,15	0,9364	-0,42	0,3038	0,31	0,7155	0,48	0,4453	0,00	1,0000	0,07	0,9270
Etnk1	172,57	-0,13	0,7118	-0,24	0,4309	0,00	1,0000	0,34	0,3484	0,40	0,0650	-0,03	0,9629	0,15	0,7971	0,12	0,8935	0,58	0,0446
Etnk2	2,16	-0,01	NA	0,51	0,4406	-0,07	NA	-0,14	NA	-0,36	0,6061	0,08	0,9502	-0,04	NA	-0,25	NA	-0,38	NA
Etohd2	6,47	-0,28	0,7115	-0,60	0,3477	0,00	NA	0,15	0,9449	-0,32	0,6470	0,21	0,8596	0,18	NA	-0,01	NA	-0,04	0,9717
Etohi1	31,18	0,07	0,9129	0,52	0,2576	0,17	1,0000	0,26	0,8246	-0,64	0,1375	0,38	0,5542	0,39	0,5085	0,21	0,8472	-0,35	0,4277
Ets1	8,31	0,90	0,0621	-0,01	0,9916	-0,14	NA	0,08	NA	0,79	0,1511	-0,60	0,4497	-0,72	NA	-0,69	0,3872	0,21	0,7708
Ets2	148,65	-0,32	0,1136	0,02	0,9718	-0,23	1,0000	0,20	0,7291	0,25	0,2223	0,09	0,8838	-0,06	0,9353	0,23	0,6906	0,46	0,0365
Etv1	54,58	-0,27	0,5268	-0,31	0,5242	-0,03	1,0000	-0,96	0,0051	-1,09	0,0017	0,63	0,1462	0,12	0,8779	-0,66	0,2028	-0,84	0,0291
Etv3	49,32	0,00	0,9975	-0,03	0,9718	0,13	1,0000	0,18	0,8832	0,63	0,0184	-0,32	0,6086	-0,46	0,3821	-0,14	0,9065	0,52	0,1012
Etv4	1,98	0,76	NA	0,30	NA	-0,01	NA	0,02	NA	0,06	NA	0,07	0,9566	-0,27	NA	-0,32	NA	-0,36	0,6728
Etv5	22,08	1,22	0,0058	0,16	0,8634	0,09	NA	0,27	0,8237	1,09	0,0317	-0,61	0,3133	-1,28	0,0028	-1,20	0,0111	0,46	0,3576
Etv6	96,45	0,34	0,2002	-0,18	0,6844	-0,06	1,0000	-0,21	0,8147	0,37	0,1648	-0,20	0,7157	-0,43	0,2869	-0,27	0,6429	0,10	0,8109
Eva1b	1,91	-0,28	NA	-0,11	0,9077	-0,04	NA	-0,19	NA	-0,03	0,9714	-0,18	NA	-0,01	NA	-0,02	NA	-0,28	NA
Evc	1,50	-0,30	NA	0,24	0,7614	0,06	NA	0,01	NA	-0,19	0,8061	0,67	NA	0,27	NA	-0,05	NA	-0,16	NA
Evc2	17,93	-0,14	0,8402	0,32	0,6167	0,20	NA	0,14	0,9469	-0,85	0,0668	0,30	0,7504	0,01	NA	0,11	0,9526	-0,96	0,0811
Evi5	71,52	-0,33	0,3253	0,11	0,8228	0,02	1,0000	-0,01	0,9925	-0,13	0,7305	0,00	0,9984	0,46	0,3426	-0,16	0,8853	0,16	0,7415
Evi5l	35,34	-0,19	0,6666	0,36	0,4028	-0,16	1,0000	-0,22	0,8504	-0,13	0,7664	0,16	0,8459	-0,13	0,8837	-0,28	0,7790	0,27	0,5447
Evl	44,56	-0,13	0,8113	-0,34	0,4852	0,09	1,0000	0,07	0,9761	0,42	0,1934	-0,57	0,3204	0,09	0,9234	0,33	0,6881	0,65	0,1366
Evpl	1,03	0,13	NA	-0,13	NA	-0,04	NA	-0,02	NA	0,04	NA	-0,13	NA	0,09	NA	-0,17	NA	0,29	0,7398
Ewsr1	287,24	-0,01	0,9754	0,01	0,9899	0,12	1,0000	-0,07	0,9563	0,08	0,8061	-0,19	0,7176	0,09	0,8885	-0,29	0,5949	-0,02	0,9765
Exd1	2,79	-0,21	0,7948	0,61	0,3341	0,08	NA	-0,29	NA	0,21	0,8016	0,10	0,9359	-0,18	NA	-0,40	NA	0,35	0,6825
Exd2	32,96	-0,14	0,7976	0,27	0,6251	0,11	1,0000	-0,12	0,9516	-0,33	0,4505	0,48	0,4135	0,19	0,8140	-0,03	0,9918	-0,41	0,3865
Exo5	4,55	0,16	0,8547	0,37	0,6294	-0,06	NA	0,30	NA	0,34	0,6368	0,02	0,9901	0,05	NA	0,01	NA	0,46	0,5613
Exoc1	66,31	0,09	0,8380	0,03	0,9706	-0,10	1,0000	-0,39	0,4833	-0,88	0,0019	-0,22	0,7289	-0,09	0,9089	-0,41	0,4811	-0,48	0,1768
Exoc2	83,43	-0,27	0,3394	-0,14	0,7470	0,06	1,0000	-0,16	0,8797	-0,22	0,4287	-0,16	0,8107	0,15	0,8123	0,17	0,8446	-0,14	0,7084
Exoc3	133,21	0,18	0,5273	0,04	0,9440	0,05	1,0000	0,11	0,9270	0,43	0,0550	0,09	0,8856	0,01	0,9953	0,08	0,9357	0,23	0,4848
Exoc3l4	7,04	-0,58	0,3158	-0,03	0,9776	-0,19	NA	-0,66	0,1830	-1,87	0,0003	0,06	0,9648	-0,21	NA	-0,44	NA	-1,43	0,0196
Exoc4	293,88	-0,18	0,4309	-0,03	0,9451	-0,12	1,0000	-0,29	0,4190	-0,58	0,0006	0,13	0,7960	-0,11	0,8288	-0,13	0,8521	-0,39	0,1148
Exoc5	122,43	0,16	0,6201	0,15	0,7078	0,13	1,0000	0,22	0,7414	0,03	0,9564	0,10	0,8781	0,28	0,5801	0,05	0,9667	0,04	0,9385
Exoc6	37,96	0,25	0,5570	-0,61	0,1503	0,18	1,0000	0,23	0,8369	0,00	0,9966	-0,91	0,0502	-0,22	0,7685	0,00	1,0000	-0,22	0,6548
Exoc6b	90,20	-0,01	0,9797	0,22	0,6133	0,06	1,0000	0,23	0,7708	0,12	0,7499	0,22	0,7012	0,00	0,9973	-0,01	0,9931	0,38	0,2015
Exoc7	101,36	-0,39	0,1125	-0,11	0,8166	-0,04	1,0000	-0,16	0,8761	0,51	0,0324	0,27	0,5915	0,00	0,9963	0,26	0,6756	0,86	0,0015
Exoc8	79,50	0,07	0,8789	-0,20	0,6458	0,24	1,0000	0,24	0,7421	0,30	0,2888	-0,21	0,7451	-0,15	0,8300	0,15	0,8833	0,19	0,6644
Exog	4,93	0,18	0,8321	0,20	0,8309	0,12	NA	0,10	NA	0,44	0,5263	0,35	0,7372	0,30	NA	-0,10	NA	0,48	0,4895
Exosc1	24,89	0,47	0,2584	-0,02	0,9854	-0,08	NA	-0,32	0,7601	-0,15	0,7925	-0,33	0,6712	-0,39	0,5600	-0,62	0,3485	-0,42	0,3736
Exosc10	120,80	0,12	0,7389	-0,52	0,0842	0,08	1,0000	0,03	0,9853	-0,23	0,4069	-0,70	0,0385	-0,30	0,4989	-0,38	0,4277	-0,40	0,1341
Exosc2	14,60	0,86	0,0361	0,06	0,9613	0,03	NA	-0,07	0,9805	-0,24	0,7078	-0,79	0,2022	-0,83	NA	-0,66	0,3496	-0,79	0,0938
Exosc3	11,41	0,01	0,9948	-0,10	0,9194	-0,05	NA	0,14	0,9472	-0,29	0,6687	-0,23	0,8292	0,15	NA	0,20	0,9017	-0,52	0,4153
Exosc4	13,99	-0,07	0,9263	-0,07	0,9469	-0,15	NA	0,18	0,9183	0,29	0,5967	0,37	0,6722	-0,03	NA	0,25	0,8465	0,35	0,5461
Exosc5	7,20	0,35	0,6037	0,05	0,9665	0,00	NA	-0,10	NA	-0,06	0,9487	-0,36	0,7267	-0,43	NA	-0,10	0,9616	0,14	0,8741
Exosc6	9,37	0,39	0,5577	-0,22	0,8110	0,04	NA	-0,38	NA	0,04	0,9671	-0,27	0,7982	-0,34	NA	-0,42	0,6935	-0,46	0,4760
Exosc7	19,27	0,42	0,3478	-0,22	0,7681	-0,10	NA	-0,25	0,8587	-0,23	0,6837	-0,29	0,7388	-0,27	0,7263	-0,46	0,5922	-0,85	0,0761

GeneID	CTL	ET-1 vs CTL		SAHA vs CTL		JS28 vs CTL		BSP vs CTL		JQ1 vs CTL		ET-1+SAHA vs ET1		ET-1+JS28 vs ET1		ET-1+BSP vs ET1		ET-1+JQ1 vs ET1	
	mean	log2(FC)	P-adj	log2(FC)	P-adj	log2(FC)	P-adj	log2(FC)	P-adj	log2(FC)	P-adj	log2(FC)	P-adj	log2(FC)	P-adj	log2(FC)	P-adj	log2(FC)	P-adj
Exosc8	14,30	0,29	0,6501	-0,42	0,5525	-0,09	NA	0,15	0,9437	0,05	0,9532	-0,30	0,7451	0,04	NA	0,00	1,0000	-0,41	0,4784
Exosc9	57,98	-0,22	0,5459	-0,10	0,8676	0,03	1,0000	0,03	0,9853	-0,49	0,0946	0,41	0,4291	0,25	0,6734	0,40	0,4805	0,06	0,9138
Ext1	72,76	0,58	0,0409	0,05	0,9441	-0,01	1,0000	0,18	0,8814	0,36	0,3029	-0,24	0,7002	-0,14	0,8390	-0,01	0,9967	0,03	0,9525
Ext2	55,01	-0,08	0,8749	-0,09	0,8895	0,09	1,0000	0,13	0,9304	0,12	0,7640	0,23	0,7242	0,01	0,9895	0,32	0,6446	0,15	0,7271
Extl1	65,74	0,69	0,0592	0,73	0,0562	0,26	1,0000	0,59	0,2282	0,50	0,2140	-0,06	0,9427	-0,39	0,4925	0,23	0,8014	0,08	0,8941
Extl2	47,59	0,37	0,3102	0,03	0,9751	0,07	1,0000	-0,11	0,9563	-0,47	0,2123	-0,05	0,9510	-0,15	0,8451	-0,44	0,4835	-1,07	0,0018
Extl3	292,87	-0,25	0,4841	-0,19	0,6218	-0,16	1,0000	0,02	0,9853	-0,31	0,1881	0,27	0,5973	0,15	0,8185	0,46	0,2809	0,07	0,8763
Eya1	3,72	-0,15	0,8611	-0,59	0,3388	-0,01	NA	-0,16	NA	-0,90	0,1349	-0,59	0,4439	-0,12	NA	-0,34	NA	-0,69	0,3505
Eya3	99,37	-0,14	0,6728	0,36	0,2069	0,03	1,0000	-0,13	0,9118	0,22	0,3899	0,48	0,1937	0,10	0,8779	-0,13	0,8892	0,33	0,2474
Ezh1	110,31	-0,39	0,1980	-0,10	0,8537	0,14	1,0000	0,26	0,7006	0,43	0,0903	-0,06	0,9360	0,11	0,8785	0,50	0,2330	0,52	0,0866
Ezh2	31,19	-0,47	0,2240	0,16	0,8016	0,19	1,0000	-0,04	0,9853	0,27	0,5036	0,36	0,6234	0,55	0,3180	0,53	0,4310	0,59	0,1500
Ezr	119,20	-0,08	0,8331	0,32	0,2758	0,13	1,0000	-0,03	0,9853	-0,06	0,8407	0,30	0,4973	-0,04	0,9559	-0,03	0,9859	-0,03	0,9420
F11r	82,21	-0,77	0,0005	0,31	0,2850	0,05	1,0000	0,34	0,4205	0,76	0,0006	1,18	0,0003	0,75	0,0472	0,88	0,0106	1,34	0,0004
F2r	41,09	0,01	0,9892	0,08	0,9156	0,29	1,0000	-0,04	0,9853	-0,33	0,4308	0,32	0,6329	0,47	0,3820	0,25	0,7916	0,26	0,5610
F3	7,25	0,27	0,7108	0,59	0,3388	0,22	NA	0,30	0,8065	-0,18	0,8205	0,56	0,4778	-0,05	NA	-0,11	0,9590	-0,03	0,9805
F420014N23Rik	3,72	0,01	0,9922	-0,45	0,5018	0,00	NA	-0,24	NA	0,10	0,9055	0,00	0,9993	-0,03	NA	-0,25	NA	0,30	0,7281
F8	38,25	-0,81	0,0085	-0,25	0,6232	-0,16	1,0000	-0,13	0,9354	-0,48	0,1536	0,06	0,9572	0,61	0,2714	0,35	0,6991	0,04	0,9525
F830016B08Rik	4,93	-1,40	0,0020	-1,37	0,0034	-0,37	NA	-0,63	NA	-1,64	0,0019	-0,01	NA	0,21	NA	-0,02	NA	-0,14	NA
F8a	7,60	-0,26	0,7277	-0,36	0,6330	-0,04	NA	0,09	0,9746	0,63	0,2180	-0,24	0,8348	-0,11	NA	0,38	0,7502	0,68	0,2611
Fabp3	111,15	-0,29	0,3653	0,64	0,0213	-0,04	1,0000	0,00	0,9991	-0,75	0,0037	0,72	0,0169	0,12	0,8442	0,48	0,2099	-0,91	0,0005
Fadd	35,35	0,31	0,4759	-0,28	0,6551	0,17	1,0000	-0,02	0,9901	0,67	0,0293	-0,73	0,1599	-0,09	0,9267	-0,14	0,9170	0,26	0,5796
Fads1	44,98	0,32	0,3574	0,65	0,0551	0,15	1,0000	-0,12	0,9473	-0,40	0,2739	0,25	0,7066	-0,06	0,9443	-0,33	0,6484	-0,46	0,1914
Fads2	18,83	0,21	0,7589	0,30	0,6778	0,07	NA	-0,39	0,6782	-0,49	0,3863	0,16	0,8712	-0,06	NA	-0,71	0,2953	-1,01	0,0323
Fads3	197,47	0,71	0,0019	-0,84	0,0013	-0,03	1,0000	-0,54	0,1197	-0,23	0,4217	-1,03	0,0005	-0,80	0,0066	-0,60	0,0728	-0,36	0,2529
Faf1	233,42	0,32	0,0934	0,38	0,0614	0,16	1,0000	0,36	0,1836	0,20	0,3522	-0,02	0,9789	-0,18	0,6959	0,15	0,8257	0,10	0,7566
Faf2	69,62	0,13	0,7289	0,17	0,7037	0,03	1,0000	0,05	0,9798	0,52	0,0448	0,11	0,8684	-0,04	0,9628	-0,12	0,9077	0,50	0,1066
Fah	4,40	0,14	0,8749	0,73	0,2180	0,40	NA	-0,12	NA	-0,51	0,4689	0,12	0,9275	-0,02	NA	-0,88	NA	-1,09	0,1011
Fahd1	21,21	0,19	0,7528	-0,38	0,5327	-0,35	NA	-0,21	0,8912	-0,30	0,5709	-0,28	0,7607	-0,39	NA	0,05	0,9827	-0,94	0,0541
Fahd2a	15,89	-0,47	0,3666	0,11	0,8952	0,09	NA	0,03	0,9860	-0,21	0,7054	0,65	0,3464	0,11	NA	0,27	0,8376	0,19	0,7842
Faim	13,59	-0,06	0,9386	-0,24	0,7641	0,04	NA	0,14	0,9472	0,06	0,9292	-0,52	0,5316	-0,01	NA	-0,31	0,8076	0,08	0,9236
Fam101b	26,01	-0,14	0,8440	0,21	0,7699	-0,13	NA	-0,24	0,8643	0,05	0,9390	0,24	0,8053	0,04	0,9745	-0,01	0,9966	0,17	0,8055
Fam102a	22,02	0,14	0,8382	0,25	0,7246	0,04	NA	0,14	0,9460	0,66	0,0833	0,20	0,8292	0,02	0,9864	0,23	0,8511	0,60	0,1624
Fam102b	34,71	-0,37	0,3731	-0,10	0,8898	-0,09	1,0000	0,35	0,6249	0,50	0,1128	0,07	0,9500	-0,02	0,9838	0,52	0,4312	0,73	0,0645
Fam103a1	35,59	-0,09	0,8783	0,35	0,4461	0,18	1,0000	0,37	0,6039	0,06	0,9172	0,63	0,1966	0,37	0,5274	0,49	0,4133	-0,04	0,9506
Fam104a	62,79	0,24	0,5046	0,26	0,5626	0,14	1,0000	-0,09	0,9628	-0,18	0,6333	0,12	0,8557	-0,29	0,5905	-0,15	0,8879	-0,14	0,7820
Fam107b	10,14	-0,01	0,9946	0,10	0,9188	-0,03	NA	-0,54	0,4079	-0,71	0,2068	0,34	0,7309	0,14	NA	-0,23	0,8833	-0,36	0,6176
Fam109a	7,90	-0,07	0,9370	0,34	0,6546	-0,03	NA	-0,12	0,9619	-0,10	0,8959	0,00	0,9982	0,17	NA	0,35	0,7701	0,08	0,9327
Fam110a	6,17	-0,46	0,4772	0,56	0,3666	-0,01	NA	-0,10	0,9700	-0,61	0,3330	0,62	0,4487	-0,01	NA	0,18	NA	-0,66	0,3803
Fam110b	17,27	-0,11	0,8732	-0,01	0,9927	0,10	NA	-0,27	0,8351	0,03	0,9628	-0,20	0,8458	-0,41	NA	-0,14	0,9372	-0,07	0,9292
Fam111a	1,10	-0,15	NA	0,20	0,7966	-0,01	NA	0,08	NA	-0,09	0,9078	0,30	NA	0,27	NA	-0,10	NA	-0,20	NA
Fam114a1	65,85	0,35	0,2487	0,02	0,9818	0,16	1,0000	-0,26	0,7443	-0,51	0,1445	-0,01	0,9927	-0,18	0,7874	-0,33	0,6098	-0,69	0,0276
Fam114a2	95,30	-0,31	0,2135	0,01	0,9845	0,18	1,0000	0,13	0,9178	-0,06	0,8538	0,13	0,8304	0,48	0,2033	0,36	0,4582	0,24	0,4339
Fam115a	93,83	-0,41	0,0910	-0,31	0,3222	-0,03	1,0000	-0,08	0,9612	-0,01	0,9721	-0,12	0,8709	0,24	0,6719	0,28	0,6610	0,07	0,8858
Fam117a	4,08	-0,19	0,8219	0,90	0,0939	0,23	NA	0,17	NA	0,95	0,0831	0,56	0,5121	0,19	NA	0,35	NA	1,15	0,0604
Fam117b	34,33	-0,27	0,5622	0,28	0,5863	0,23	1,0000	0,37	0,6159	0,35	0,3655	0,20	0,8122	0,34	0,5976	0,06	0,9783	0,43	0,3162

GeneID	CTL	ET-1 vs CTL		SAHA vs CTL		JS28 vs CTL		BSP vs CTL		JQ1 vs CTL		ET-1+SAHA vs ET1		ET-1+JS28 vs ET1		ET-1+BSP vs ET1		ET-1+JQ1 vs ET1	
	mean	log2(FC)	P-adj	log2(FC)	P-adj	log2(FC)	P-adj	log2(FC)	P-adj	log2(FC)	P-adj	log2(FC)	P-adj	log2(FC)	P-adj	log2(FC)	P-adj	log2(FC)	P-adj
Fam118a	18,00	0,07	0,9263	0,72	0,1147	0,25	NA	0,11	0,9634	-0,43	0,4168	0,51	0,4788	0,26	NA	0,36	0,7252	-0,72	0,1971
Fam118b	29,30	-0,17	0,7470	0,10	0,8832	-0,08	NA	0,18	0,9060	0,58	0,0778	0,13	0,8887	0,17	0,8481	0,36	0,6695	0,76	0,0625
Fam120a	481,89	0,09	0,7274	0,22	0,2834	0,05	1,0000	0,06	0,9516	-0,06	0,7777	0,34	0,2941	0,13	0,7899	0,08	0,9259	-0,04	0,9118
Fam120aos	7,79	-0,22	0,7792	-0,27	0,7485	-0,12	NA	-0,01	0,9972	0,31	0,6359	0,08	0,9528	0,13	NA	0,14	0,9388	-0,02	0,9902
Fam120b	89,56	-0,44	0,0520	-0,03	0,9663	-0,17	1,0000	0,03	0,9853	0,02	0,9528	0,01	0,9886	0,33	0,4836	0,18	0,8309	0,18	0,6294
Fam120c	69,86	-0,13	0,7559	-0,24	0,5863	-0,28	1,0000	0,41	0,3748	0,73	0,0007	0,05	0,9564	-0,02	0,9843	0,38	0,4868	0,82	0,0004
Fam122a	20,91	0,04	0,9584	0,05	0,9633	-0,16	NA	-0,13	0,9559	0,52	0,2913	0,07	0,9512	-0,02	NA	0,36	0,7075	0,64	0,1771
Fam122b	57,06	-0,52	0,0926	0,12	0,8195	-0,20	1,0000	-0,38	0,5135	-0,44	0,1682	0,65	0,1502	0,10	0,9089	-0,10	0,9442	-0,46	0,2621
Fam124a	13,79	0,26	0,7063	0,11	0,9126	-0,11	NA	-0,48	0,5317	-0,60	0,2995	-0,18	0,8678	-0,31	NA	-0,62	0,4563	-0,56	0,3390
Fam126a	97,39	-0,15	0,6556	0,14	0,7474	-0,11	1,0000	0,11	0,9364	0,11	0,7609	0,31	0,5028	0,17	0,7639	0,43	0,3227	0,37	0,2862
Fam126b	84,52	-0,17	0,7036	0,45	0,1705	0,04	1,0000	0,10	0,9482	0,20	0,5706	0,47	0,2849	0,32	0,5445	0,17	0,8569	0,33	0,4757
Fam129a	2,28	0,22	0,7748	0,32	0,6607	-0,07	NA	-0,22	NA	-0,50	0,3869	0,18	0,8789	-0,20	NA	-0,17	NA	-0,76	NA
Fam129b	37,85	-0,40	0,2832	0,61	0,0765	0,18	1,0000	0,21	0,8643	-0,28	0,4804	0,62	0,2088	0,14	0,8779	0,15	0,9067	0,02	0,9807
Fam129c	7,14	-0,23	0,7706	-0,21	0,8201	0,02	NA	-0,18	0,9183	-0,30	0,6746	-0,16	0,8957	0,11	NA	0,06	0,9815	0,14	0,8812
Fam131a	8,75	-0,45	0,4858	0,16	0,8638	0,17	NA	-0,16	0,9399	0,32	0,6417	0,35	0,7308	0,25	NA	0,60	0,4855	0,88	0,1487
Fam132a	2,02	0,11	NA	0,06	0,9491	-0,01	NA	0,14	NA	0,44	0,5283	-0,07	NA	0,00	NA	-0,13	NA	0,00	0,9982
Fam132b	2,27	0,18	0,8204	0,55	0,3765	0,17	NA	0,15	NA	0,06	0,9450	0,15	0,9057	0,12	NA	0,14	NA	-0,60	0,4303
Fam133b	32,53	-0,04	0,9479	0,03	0,9750	-0,02	1,0000	0,02	0,9901	0,31	0,4000	-0,01	0,9952	0,30	0,6663	0,42	0,5515	0,27	0,5739
Fam134a	57,73	-0,38	0,2357	-0,17	0,7376	-0,03	1,0000	0,15	0,9084	0,80	0,0011	0,05	0,9528	0,15	0,8447	0,53	0,2809	1,17	0,0000
Fam134b	226,97	-0,03	0,9462	-0,63	0,0545	-0,12	1,0000	-0,28	0,7079	-0,51	0,0672	-0,30	0,4316	-0,19	0,6663	-0,19	0,7314	-0,49	0,1331
Fam134c	97,68	0,08	0,8312	0,08	0,8562	0,09	1,0000	0,26	0,6491	0,78	0,0000	-0,28	0,5935	-0,08	0,9133	0,30	0,6017	0,76	0,0018
Fam135a	188,81	0,14	0,6861	-0,27	0,3723	0,00	1,0000	0,04	0,9853	-0,26	0,3419	-0,34	0,4228	0,08	0,9089	-0,29	0,5951	-0,65	0,0337
Fam136a	42,79	-0,03	0,9598	-0,12	0,8590	0,04	1,0000	0,06	0,9845	-0,28	0,5001	0,08	0,9337	0,24	0,7276	0,00	0,9995	-0,48	0,2622
Fam13a	43,27	0,29	0,5577	0,23	0,6583	0,04	1,0000	-0,22	0,8561	-0,20	0,6809	-0,01	0,9919	-0,34	0,6185	-0,57	0,3886	-1,20	0,0034
Fam13b	97,71	0,16	0,6718	-0,40	0,2480	-0,28	1,0000	0,11	0,9417	0,13	0,7342	-0,44	0,2977	-0,15	0,8246	0,04	0,9790	0,11	0,8152
Fam13c	10,53	-0,48	0,4265	0,01	0,9903	0,10	NA	0,19	0,9211	-0,01	0,9906	0,40	0,6736	0,37	NA	0,09	0,9680	-0,19	0,8211
Fam149a	1,91	-0,42	NA	0,01	0,9947	0,03	NA	-0,25	NA	-0,47	0,4846	0,24	NA	-0,10	NA	-0,18	NA	0,08	NA
Fam149b	40,69	-0,30	0,4592	-0,29	0,6005	0,02	1,0000	0,18	0,8977	0,11	0,8073	-0,15	0,8603	0,38	0,5017	0,35	0,6427	0,24	0,5729
Fam151b	1,85	-0,38	NA	-0,11	0,9085	0,17	NA	0,14	NA	0,01	0,9953	0,22	NA	0,49	NA	0,45	NA	0,29	NA
Fam160a1	55,67	-0,19	0,6496	0,09	0,8824	-0,04	1,0000	-0,05	0,9853	-0,12	0,7774	0,08	0,9240	0,26	0,6719	0,14	0,9074	0,03	0,9693
Fam160a2	78,59	0,04	0,9219	0,40	0,1795	-0,12	1,0000	0,03	0,9853	-0,04	0,9164	0,41	0,3185	-0,26	0,6291	-0,33	0,5889	-0,14	0,6956
Fam160b1	81,23	-0,21	0,6068	-0,25	0,6108	0,01	1,0000	-0,07	0,9749	-0,01	0,9797	-0,21	0,7415	0,32	0,5174	0,04	0,9791	0,01	0,9836
Fam160b2	75,40	-0,01	0,9895	-0,21	0,6695	0,12	1,0000	0,06	0,9798	-0,09	0,8340	-0,28	0,6191	0,24	0,6605	0,28	0,6695	0,00	0,9992
Fam161a	5,70	-0,31	0,6795	0,03	0,9818	0,08	NA	-0,47	NA	-1,32	0,0162	0,05	0,9723	-0,04	NA	-0,30	NA	-1,20	0,0629
Fam161b	13,11	-0,40	0,4771	0,44	0,4596	-0,05	NA	0,10	0,9700	-0,07	0,9222	0,59	0,4268	-0,02	NA	0,20	0,8990	0,91	0,0478
Fam162a	44,76	1,19	0,0001	0,43	0,3870	-0,08	NA	-0,06	0,9827	0,10	0,8592	0,06	0,9516	-0,36	0,5399	-0,52	0,3877	-0,90	0,0299
Fam163a	2,26	-0,53	0,3865	0,19	0,8391	-0,04	NA	0,30	NA	-0,06	0,9500	0,13	NA	0,15	NA	0,36	NA	0,37	0,6502
Fam163b	2,19	-0,38	NA	-0,11	0,9157	0,27	NA	-0,09	NA	-0,17	0,8385	0,57	0,4487	0,33	NA	-0,10	NA	-0,34	NA
Fam166a	1,70	0,08	NA	-0,19	0,7995	-0,06	NA	-0,09	NA	0,64	0,3302	-0,03	NA	-0,02	NA	-0,17	NA	0,49	0,5504
Fam168a	292,12	0,17	0,4953	0,04	0,9096	-0,17	1,0000	-0,21	0,6551	0,05	0,8444	-0,14	0,7955	-0,43	0,1903	-0,58	0,0459	-0,35	0,1636
Fam168b	137,54	-0,19	0,5414	-0,37	0,1785	-0,01	1,0000	0,15	0,8681	0,31	0,1363	-0,22	0,6953	0,05	0,9428	0,14	0,8687	0,50	0,0355
Fam169a	7,74	1,04	0,0315	0,23	0,7983	-0,06	NA	-0,01	NA	-0,56	0,3987	-0,87	0,2044	-0,69	NA	-1,02	0,0968	-1,72	0,0024
Fam171a1	146,38	-0,33	0,1834	-0,59	0,0190	-0,24	1,0000	-0,24	0,6991	-0,60	0,0062	-0,28	0,5446	-0,28	0,5496	-0,45	0,2695	-0,56	0,0774
Fam171a2	35,01	-0,40	0,3172	-0,10	0,8895	-0,13	1,0000	-0,17	0,9140	0,00	0,9980	0,28	0,7248	-0,05	0,9622	0,20	0,8614	0,32	0,5308
Fam171b	9,64	-0,23	0,7591	0,66	0,2526	-0,09	NA	0,25	0,8619	0,88	0,0572	1,03	0,0870	0,50	NA	0,81	0,2231	1,82	0,0000

GeneID	CTL	ET-1 vs CTL		SAHA vs CTL		JS28 vs CTL		BSP vs CTL		JQ1 vs CTL		ET-1+SAHA vs ET1		ET-1+JS28 vs ET1		ET-1+BSP vs ET1		ET-1+JQ1 vs ET1	
	mean	log2(FC)	P-adj	log2(FC)	P-adj	log2(FC)	P-adj	log2(FC)	P-adj	log2(FC)	P-adj	log2(FC)	P-adj	log2(FC)	P-adj	log2(FC)	P-adj	log2(FC)	P-adj
Fam172a	48,92	-0,26	0,5476	0,05	0,9537	0,12	1,0000	-0,02	0,9901	-0,48	0,1840	0,12	0,8812	0,39	0,4559	0,25	0,7677	-0,39	0,3856
Fam173a	16,09	0,36	0,5270	0,57	0,2968	0,09	NA	0,46	0,5531	0,81	0,0651	0,38	0,6271	-0,05	NA	0,32	0,7668	0,23	0,7072
Fam173b	8,25	0,13	0,8786	-0,53	0,4295	-0,12	NA	-0,27	0,8334	-0,99	0,0883	-0,64	0,4291	-0,19	NA	-0,07	0,9788	-0,73	0,2529
Fam174a	41,70	0,34	0,4180	-0,17	0,8139	-0,03	1,0000	0,16	0,9250	-0,72	0,0494	-0,13	0,8781	-0,12	0,8912	0,06	0,9759	-0,40	0,3981
Fam174b	196,06	0,54	0,0113	-0,41	0,0902	-0,11	1,0000	-0,26	0,6018	0,15	0,5788	-0,15	0,8008	-0,09	0,8922	0,19	0,7864	0,33	0,2383
Fam175a	35,34	0,29	0,5059	-0,40	0,4259	0,00	1,0000	0,09	0,9681	-0,26	0,5573	-0,28	0,7026	-0,05	0,9624	-0,21	0,8511	-0,42	0,3459
Fam175b	81,66	0,11	0,7709	0,07	0,9004	-0,06	1,0000	-0,12	0,9269	-0,21	0,5327	0,21	0,7155	0,06	0,9361	-0,17	0,8401	-0,05	0,9254
Fam178a	303,96	-0,12	0,6974	-0,09	0,8112	0,15	1,0000	0,41	0,1457	0,60	0,0007	-0,19	0,6834	0,56	0,0394	0,76	0,0009	0,80	0,0009
Fam179a	5,46	-0,47	0,4783	0,41	0,5824	-0,18	NA	-0,42	NA	-1,53	0,0040	0,59	0,4816	-0,34	NA	-0,47	NA	-0,82	0,2445
Fam179b	80,79	-0,28	0,4185	-0,42	0,2322	-0,11	1,0000	-0,12	0,9371	-0,24	0,4784	-0,29	0,6342	0,33	0,5264	0,11	0,9264	-0,09	0,8650
Fam180a	1,58	-0,20	NA	-0,48	0,3297	0,09	NA	-0,03	NA	-0,26	0,7188	0,07	NA	0,20	NA	0,34	NA	-0,02	NA
Fam184a	12,10	-0,36	0,5554	0,10	0,9075	0,07	NA	-0,23	0,8781	-1,16	0,0169	0,24	0,8267	0,60	NA	0,24	0,8638	-0,13	0,8787
Fam185a	13,70	-0,12	0,8733	0,52	0,3543	0,00	NA	-0,26	0,8569	-1,07	0,0327	0,83	0,1684	-0,06	NA	-0,38	0,7341	-1,30	0,0180
Fam188a	53,78	-0,06	0,8958	0,11	0,8422	0,00	1,0000	0,28	0,7197	0,53	0,0663	0,09	0,9081	0,15	0,8398	-0,03	0,9914	0,52	0,1672
Fam188b	5,20	-0,78	0,1490	-0,21	0,8194	-0,19	NA	-0,36	NA	-0,76	0,2185	0,11	0,9340	0,13	NA	0,04	NA	0,09	0,9335
Fam189a2	241,53	-0,16	0,5135	-0,25	0,3023	0,16	1,0000	0,21	0,6259	0,25	0,1401	0,14	0,7891	0,21	0,6401	0,59	0,0330	0,47	0,0246
Fam189b	10,48	-0,42	0,4978	-0,35	0,6417	0,13	NA	-0,40	0,6542	-0,85	0,1177	0,04	0,9794	-0,26	NA	-0,23	0,8852	0,01	0,9924
Fam192a	75,13	0,03	0,9559	-0,02	0,9750	-0,15	1,0000	-0,21	0,8486	-0,15	0,6949	-0,09	0,9057	0,15	0,8244	-0,19	0,8285	-0,10	0,8591
Fam193a	128,91	-0,24	0,4065	-0,36	0,2210	-0,17	1,0000	-0,09	0,9516	0,15	0,6916	-0,54	0,1698	0,12	0,8527	0,22	0,7375	0,30	0,3679
Fam193b	36,59	-0,91	0,0150	-0,25	0,7228	-0,10	1,0000	-0,08	0,9747	0,39	0,4066	-0,29	0,7406	0,20	0,8285	0,75	0,1583	1,22	0,0086
Fam195a	22,05	0,80	0,0347	-0,13	0,8747	-0,05	NA	-0,20	0,9093	-0,32	0,5783	-0,78	0,1841	-0,90	0,0740	-0,63	0,3410	-1,27	0,0031
Fam195b	57,62	-0,10	0,8089	0,04	0,9551	0,12	1,0000	-0,06	0,9764	0,18	0,6001	-0,04	0,9695	-0,19	0,7883	0,12	0,9157	0,35	0,3410
Fam196a	3,15	-0,13	0,8799	-0,06	0,9536	-0,12	NA	-0,14	NA	-0,36	0,6319	-0,56	NA	-0,34	NA	-0,22	NA	-0,49	0,5461
Fam196b	3,78	0,08	0,9321	-0,18	0,8306	-0,13	NA	-0,20	NA	-0,78	0,1711	-0,43	0,6448	-0,17	NA	-0,55	NA	-1,36	0,0242
Fam198b	12,16	1,78	0,0000	1,57	0,0004	0,06	NA	-0,36	NA	-1,02	0,0684	1,28	0,0009	-0,59	NA	-2,30	0,0000	-3,49	0,0000
Fam199x	87,97	0,08	0,8561	0,37	0,2672	-0,11	1,0000	0,19	0,8569	0,07	0,8512	0,37	0,3912	0,31	0,5031	0,12	0,8990	0,06	0,9002
Fam19a3	5,32	0,01	0,9933	-0,40	0,5988	-0,02	NA	0,05	NA	-0,66	0,3033	-0,61	0,4548	-0,01	NA	0,04	0,9911	-0,40	0,6381
Fam19a5	12,09	-0,05	0,9565	-0,25	0,7679	0,16	NA	0,07	0,9805	-0,21	0,7645	-0,47	0,6158	0,10	NA	-0,68	0,3984	-0,33	0,6703
Fam203a	11,25	0,52	0,3464	-0,03	0,9813	-0,14	NA	0,02	0,9905	0,34	0,5982	-0,67	0,3697	-0,35	NA	-0,36	0,7608	-0,64	0,2986
Fam204a	32,89	0,22	0,6454	0,12	0,8628	0,07	NA	-0,01	0,9941	-0,34	0,4627	-0,09	0,9242	0,07	0,9406	-0,06	0,9786	-0,40	0,3634
Fam206a	16,64	0,33	0,5622	0,27	0,7158	0,08	NA	0,32	0,7688	0,94	0,0128	-0,06	0,9601	-0,11	NA	-0,09	0,9608	0,27	0,6340
Fam207a	26,89	0,26	0,6008	-0,06	0,9494	0,19	NA	0,21	0,8797	0,28	0,5281	-0,40	0,5807	-0,35	0,6257	-0,16	0,9065	-0,06	0,9283
Fam208a	110,50	-0,26	0,3955	-0,47	0,0631	-0,02	1,0000	0,48	0,0809	-0,10	0,7327	-0,38	0,4352	0,45	0,3115	0,53	0,2028	0,17	0,7178
Fam208b	212,97	0,38	0,1721	0,24	0,4477	-0,16	1,0000	0,09	0,9500	0,20	0,5179	-0,28	0,5760	-0,22	0,6907	-0,37	0,4674	-0,12	0,8078
Fam20a	1,95	0,08	NA	0,48	0,4563	0,29	NA	0,02	NA	-0,16	0,8305	0,38	0,7009	0,11	NA	0,10	NA	-0,38	NA
Fam20b	157,35	0,13	0,7057	-0,50	0,0251	-0,06	1,0000	-0,01	0,9938	0,40	0,0609	-0,31	0,5184	-0,03	0,9666	-0,02	0,9918	0,44	0,1050
Fam20c	42,85	0,28	0,5235	-0,19	0,7712	-0,21	1,0000	-0,01	0,9967	0,61	0,0933	-0,56	0,2639	-0,55	0,2752	-0,27	0,7608	0,53	0,0775
Fam21	120,21	-0,58	0,0048	-0,15	0,7078	-0,02	1,0000	-0,09	0,9430	0,23	0,3294	-0,02	0,9771	0,19	0,7412	0,05	0,9766	0,40	0,2039
Fam210a	207,52	0,16	0,5624	-0,57	0,0045	-0,12	1,0000	-0,02	0,9853	-0,26	0,2376	-0,46	0,1769	-0,12	0,8430	-0,12	0,8833	-0,53	0,0351
Fam210b	14,05	-0,13	0,8554	0,32	0,6429	0,21	NA	0,25	0,8579	-0,02	0,9805	0,49	0,5159	-0,27	NA	-0,22	0,8800	0,02	0,9826
Fam212a	1,11	-0,19	NA	0,49	0,4136	-0,08	NA	0,00	NA	-0,24	0,7161	0,01	NA	-0,13	NA	0,14	NA	0,61	NA
Fam212b	80,65	-0,16	0,7196	-0,01	0,9929	-0,04	1,0000	-0,23	0,8122	-0,21	0,5372	0,11	0,8823	-0,15	0,8405	-0,30	0,6847	-0,20	0,6568
Fam213a	9,32	-0,20	0,7900	0,65	0,2527	0,30	NA	0,16	0,9406	-0,16	0,8215	0,67	0,3646	0,30	NA	0,47	0,6308	0,33	0,6405
Fam214a	90,94	-1,11	0,0000	-0,28	0,4694	0,09	1,0000	0,07	0,9727	0,06	0,8766	0,36	0,5041	0,82	0,0195	0,78	0,0318	0,81	0,0061
Fam214b	58,93	0,18	0,6564	0,01	0,9919	-0,06	1,0000	-0,30	0,6982	0,13	0,7211	-0,05	0,9590	-0,44	0,3822	-0,43	0,4714	0,01	0,9900

GeneID	CTL	ET-1 vs CTL		SAHA vs CTL		JS28 vs CTL		BSP vs CTL		JQ1 vs CTL		ET-1+SAHA vs ET1		ET-1+JS28 vs ET1		ET-1+BSP vs ET1		ET-1+JQ1 vs ET1	
	mean	log2(FC)	P-adj	log2(FC)	P-adj	log2(FC)	P-adj	log2(FC)	P-adj	log2(FC)	P-adj	log2(FC)	P-adj	log2(FC)	P-adj	log2(FC)	P-adj	log2(FC)	P-adj
Fam216a	23,31	-0,25	0,6547	-0,18	0,8066	-0,20	NA	-0,35	0,7017	-0,40	0,4613	0,17	0,8577	-0,12	NA	-0,04	0,9911	-0,28	0,6450
Fam217b	38,15	-0,13	0,8062	0,06	0,9393	-0,29	1,0000	-0,02	0,9887	0,34	0,3954	-0,27	0,7155	-0,45	0,4527	0,16	0,8972	0,74	0,0587
Fam219a	16,36	0,07	0,9314	-0,04	0,9709	0,03	NA	0,19	0,9125	1,20	0,0013	0,06	0,9601	-0,19	NA	0,06	0,9796	1,34	0,0006
Fam219b	10,19	0,03	0,9742	-0,48	0,4701	-0,20	NA	-0,16	0,9426	0,25	0,6915	-0,56	0,5019	-0,19	NA	-0,30	0,8217	0,40	0,5298
Fam220a	32,87	0,24	0,6090	0,21	0,7246	-0,02	NA	0,32	0,6939	0,63	0,0342	-0,22	0,7966	0,19	0,8174	0,23	0,8285	0,49	0,2057
Fam221a	3,55	-1,04	0,0325	0,51	0,4502	0,05	NA	-0,20	NA	-0,79	0,2084	0,59	NA	0,50	NA	-0,01	NA	0,05	NA
Fam222a	5,30	-0,17	0,8392	0,71	0,2166	0,23	NA	0,51	0,4710	2,01	0,0000	0,22	0,8460	0,41	NA	1,25	0,0213	2,25	0,0000
Fam222b	121,50	-0,17	0,6367	0,04	0,9393	-0,06	1,0000	-0,24	0,6986	0,53	0,0559	0,07	0,9225	-0,03	0,9713	0,09	0,9329	0,80	0,0134
Fam227a	4,23	-0,40	0,5656	0,19	0,8421	0,05	NA	0,20	NA	0,06	0,9514	0,58	0,4965	0,04	NA	-0,06	NA	0,38	0,6525
Fam228b	1,58	-0,05	NA	0,19	0,8201	0,02	NA	-0,04	NA	-0,27	0,6996	-0,19	NA	0,13	NA	0,07	NA	-0,19	NA
Fam229b	4,51	-0,15	0,8643	0,23	0,7986	0,14	NA	0,09	NA	-0,40	0,5858	0,54	0,5339	0,39	NA	-0,11	NA	-0,76	0,2977
Fam26e	1,16	-0,02	NA	0,04	0,9607	-0,05	NA	-0,11	NA	-0,31	NA	0,14	NA	-0,01	NA	-0,08	NA	-0,25	NA
Fam32a	98,86	-0,35	0,1287	-0,22	0,5174	0,06	1,0000	0,04	0,9853	-0,25	0,3398	-0,04	0,9581	0,25	0,6257	0,27	0,6579	0,20	0,5776
Fam35a	27,21	-0,54	0,1509	-0,55	0,1960	-0,03	1,0000	-0,18	0,9058	-0,03	0,9582	0,10	0,9257	0,30	0,6949	0,36	0,6952	0,47	0,3649
Fam3a	30,20	0,21	0,6506	-0,35	0,5184	0,09	NA	0,04	0,9853	-0,35	0,4318	-0,59	0,3003	-0,19	0,8210	-0,30	0,7478	-0,56	0,2148
Fam3c	35,58	0,03	0,9668	-0,25	0,6577	-0,20	1,0000	-0,08	0,9746	0,28	0,5038	0,04	0,9714	-0,07	0,9406	-0,25	0,8110	0,19	0,7454
Fam43a	5,62	-0,08	0,9363	0,59	0,3575	0,01	NA	0,31	0,7708	0,91	0,0861	1,16	0,0527	0,77	NA	0,48	0,6401	1,69	0,0004
Fam45a	39,43	0,56	0,1598	0,20	0,7638	0,02	1,0000	0,48	0,4278	0,46	0,2075	0,01	0,9952	-0,14	0,8732	-0,24	0,8257	-0,17	0,7511
Fam46a	142,04	0,84	0,0000	-0,41	0,2221	-0,31	1,0000	-0,39	0,4526	-0,09	0,8083	-0,52	0,1011	-0,48	0,1481	-0,87	0,0014	-0,66	0,0178
Fam46b	1,10	0,16	NA	0,33	0,5936	0,02	NA	-0,08	NA	-0,29	NA	0,12	NA	-0,19	NA	-0,28	NA	-0,32	NA
Fam49a	176,73	-0,52	0,0070	0,32	0,1594	0,00	1,0000	0,46	0,0741	0,36	0,0541	0,89	0,0013	0,62	0,0484	0,85	0,0013	0,83	0,0005
Fam49b	80,46	0,37	0,1980	-0,23	0,6155	-0,15	1,0000	0,20	0,8464	0,36	0,2623	-0,19	0,7451	-0,04	0,9654	0,20	0,7790	0,25	0,5530
Fam50a	47,20	0,16	0,7268	-0,09	0,9019	0,04	1,0000	0,12	0,9473	0,55	0,0850	0,03	0,9771	-0,10	0,9034	0,06	0,9730	0,70	0,0354
Fam53a	34,96	0,24	0,6033	-0,09	0,9075	0,16	1,0000	0,06	0,9805	0,31	0,4307	-0,48	0,4245	-0,12	0,8966	0,13	0,9192	-0,22	0,6356
Fam53b	52,65	-0,50	0,0906	-0,13	0,8121	0,05	1,0000	-0,31	0,6338	-0,07	0,8867	-0,09	0,9292	-0,08	0,9360	-0,06	0,9727	0,39	0,3790
Fam53c	66,68	-0,12	0,7587	-0,06	0,9211	-0,05	1,0000	0,01	0,9925	0,52	0,0307	-0,24	0,7093	-0,21	0,7412	0,08	0,9443	0,49	0,1102
Fam57a	8,66	0,41	0,5414	0,14	0,8873	-0,12	NA	-0,31	NA	0,13	0,8679	-0,12	0,9268	-0,47	NA	-0,76	0,3128	-0,93	0,1341
Fam57b	3,42	-0,41	0,5598	0,33	0,6865	0,21	NA	0,20	NA	0,11	0,9011	0,17	0,8805	0,04	NA	0,27	NA	0,50	0,5359
Fam58b	13,17	0,51	0,3428	-0,05	0,9655	0,06	NA	-0,06	0,9853	-0,36	0,6070	0,00	0,9979	-0,42	NA	-0,39	0,7067	-0,85	0,1160
Fam60a	3,63	0,08	0,9343	0,41	0,5824	0,12	NA	-0,07	NA	-0,36	0,6255	0,68	0,3890	0,08	NA	-0,39	NA	-0,26	0,7709
Fam63a	39,65	-0,22	0,6271	-0,48	0,2594	0,16	1,0000	0,08	0,9701	0,27	0,4540	-0,32	0,6736	-0,02	0,9818	-0,02	0,9922	0,38	0,3648
Fam63b	101,92	0,06	0,9064	0,37	0,2993	0,05	1,0000	0,39	0,4434	0,09	0,8180	0,31	0,5728	0,31	0,5676	0,31	0,6427	-0,04	0,9529
Fam65a	162,71	-0,22	0,5179	-0,06	0,9044	-0,04	1,0000	-0,23	0,7605	0,55	0,0382	-0,15	0,8054	-0,18	0,7675	-0,07	0,9483	0,75	0,0367
Fam65b	1,23	0,39	NA	0,87	0,0654	0,13	NA	0,05	NA	-0,09	NA	0,40	0,6791	-0,08	NA	-0,33	NA	-0,79	NA
Fam69a	25,55	-0,16	0,7928	0,42	0,3757	0,17	NA	0,38	0,6121	0,29	0,5181	0,70	0,2388	0,22	0,7963	0,26	0,8285	0,45	0,3663
Fam69b	1,57	-0,10	NA	0,15	0,8621	0,06	NA	-0,23	NA	-0,53	0,3646	0,15	NA	0,21	NA	-0,20	NA	-0,20	NA
Fam69c	1,93	0,12	NA	0,22	0,7842	0,02	NA	-0,06	NA	0,11	0,8928	0,34	0,7305	0,26	NA	-0,02	NA	-0,41	0,6102
Fam71e1	2,88	-0,19	0,8231	0,12	0,9075	-0,05	NA	0,09	NA	0,60	0,3610	-0,14	0,9030	0,00	NA	0,35	NA	0,63	0,4003
Fam72a	2,08	-0,27	NA	-0,30	0,6906	-0,03	NA	-0,10	NA	-0,24	0,7640	-0,08	NA	-0,18	NA	0,12	NA	0,04	NA
Fam73a	131,47	0,02	0,9622	0,03	0,9549	0,06	1,0000	0,32	0,5481	0,28	0,3166	0,08	0,9044	0,08	0,9095	0,11	0,9036	0,19	0,5847
Fam73b	63,69	0,27	0,4295	0,34	0,3748	-0,14	1,0000	-0,23	0,8147	0,03	0,9487	-0,19	0,7848	-0,35	0,5229	-0,09	0,9437	-0,32	0,3739
Fam76a	70,23	-0,01	0,9858	-0,32	0,4028	0,05	1,0000	0,01	0,9925	0,10	0,7887	-0,17	0,8098	0,02	0,9814	-0,09	0,9437	0,33	0,3472
Fam76b	55,00	-0,57	0,0562	-0,22	0,6865	0,15	1,0000	0,23	0,8214	-0,07	0,8782	0,17	0,8243	0,73	0,0609	0,76	0,0558	0,44	0,2585
Fam78a	202,69	0,43	0,0569	0,19	0,5693	0,01	1,0000	0,09	0,9430	-0,61	0,0132	-0,19	0,7162	-0,27	0,5435	-0,38	0,3826	-0,66	0,0351
Fam81a	36,89	0,96	0,0019	0,86	0,0230	-0,16	NA	-0,46	0,5427	-1,51	0,0003	0,51	0,2833	-0,06	0,9527	-0,76	0,1058	-1,73	0,0000

GeneID	CTL	ET-1 vs CTL		SAHA vs CTL		JS28 vs CTL		BSP vs CTL		JQ1 vs CTL		ET-1+SAHA vs ET1		ET-1+JS28 vs ET1		ET-1+BSP vs ET1		ET-1+JQ1 vs ET1	
	mean	log2(FC)	P-adj	log2(FC)	P-adj	log2(FC)	P-adj	log2(FC)	P-adj	log2(FC)	P-adj	log2(FC)	P-adj	log2(FC)	P-adj	log2(FC)	P-adj	log2(FC)	P-adj
Fam83d	1,70	-0,51	NA	-0,07	0,9505	-0,10	NA	0,03	NA	0,29	0,7079	-0,06	NA	0,36	NA	0,14	NA	0,74	0,2833
Fam83h	10,46	-0,55	0,3141	-0,14	0,8747	0,20	NA	-0,26	0,8507	-0,65	0,2456	0,22	0,8462	-0,14	NA	-0,29	0,8368	-0,31	0,6925
Fam84a	1,51	0,11	NA	0,48	0,4405	-0,01	NA	0,31	NA	0,21	0,7887	0,18	NA	0,24	NA	0,41	NA	0,40	0,6365
Fam84b	25,30	0,29	0,6075	0,25	0,6962	-0,02	NA	-0,22	0,8818	-0,84	0,0503	-0,15	0,8856	-0,52	0,4206	-1,07	0,0407	-1,28	0,0062
Fam86	16,23	-0,02	0,9859	0,30	0,6506	-0,25	NA	-0,50	0,4954	-0,15	0,8077	0,37	0,6604	-0,35	NA	-0,02	0,9957	-0,14	0,8472
Fam89b	34,44	-0,03	0,9650	-0,25	0,6874	0,00	1,0000	0,04	0,9853	0,61	0,0985	-0,27	0,7350	-0,30	0,6786	0,44	0,5141	0,75	0,1188
Fam92a	44,32	-0,07	0,8940	-0,24	0,6516	0,20	1,0000	0,27	0,7544	-0,70	0,0372	0,01	0,9911	0,47	0,3614	0,29	0,7346	-0,45	0,3031
Fam96a	42,89	-0,19	0,7134	0,33	0,4853	0,25	1,0000	-0,11	0,9601	-1,21	0,0002	1,12	0,0021	0,69	0,1157	-0,06	0,9772	-1,33	0,0006
Fam96b	49,00	0,55	0,1038	0,67	0,0479	0,10	1,0000	0,32	0,6940	0,39	0,2999	0,49	0,3053	-0,32	0,6013	-0,02	0,9931	0,21	0,6203
Fam98a	115,09	0,48	0,0347	0,21	0,6144	0,10	1,0000	0,10	0,9500	0,32	0,1902	-0,19	0,7197	-0,24	0,6202	-0,32	0,5202	-0,19	0,5328
Fam98b	53,94	0,36	0,2779	-0,09	0,8921	0,21	1,0000	0,01	0,9925	-0,49	0,1512	-0,21	0,7672	0,10	0,8974	-0,10	0,9328	-0,56	0,1108
Fam98c	5,34	0,46	0,4870	-0,07	0,9471	0,17	NA	0,16	NA	0,65	0,2950	-0,47	0,6186	-0,39	NA	-0,38	0,7488	0,45	0,5183
Fan1	23,05	-0,09	0,8910	-0,48	0,3682	-0,06	NA	-0,35	0,7167	-0,09	0,8707	-0,40	0,6184	-0,08	0,9431	-0,10	0,9570	-0,39	0,5194
Fanca	6,44	-0,50	0,4252	-0,05	0,9665	-0,15	NA	-0,47	NA	0,09	0,9165	0,19	0,8731	0,01	NA	-0,49	NA	0,38	0,6411
FanCb	1,47	-0,06	NA	0,24	0,7341	0,14	NA	-0,09	NA	-0,20	0,7774	-0,05	NA	0,40	NA	-0,12	NA	-0,20	NA
FancC	7,19	-0,38	0,5832	-0,41	0,5812	-0,11	NA	-0,16	0,9309	0,05	0,9483	-0,20	0,8684	0,37	NA	0,16	0,9264	0,91	0,1035
Fancd2	4,56	-0,32	0,6646	-0,16	0,8703	0,02	NA	-0,27	NA	-0,55	0,4216	-0,15	0,8995	0,28	NA	-0,08	NA	-0,14	0,8896
Fance	12,76	-0,36	0,5680	0,09	0,9248	0,04	NA	0,22	0,8819	0,22	0,6941	0,34	0,7294	0,23	NA	0,49	0,6075	0,75	0,1832
Fancf	3,10	0,24	0,7708	-0,31	0,6676	-0,07	NA	-0,12	NA	-0,43	0,5392	-0,21	0,8473	-0,11	NA	-0,29	NA	-0,44	0,5947
Fancg	7,94	-0,38	0,5680	0,33	0,6668	0,05	NA	-0,42	0,6242	-0,99	0,0766	0,28	0,7965	0,07	NA	-0,44	NA	-0,59	0,4304
Fanci	2,67	-0,49	0,4373	-0,01	0,9906	0,09	NA	-0,09	NA	0,08	0,9250	0,05	NA	0,26	NA	0,15	NA	0,57	0,4475
Fancl	18,25	-0,09	0,9001	-0,52	0,3297	-0,16	NA	0,19	0,9078	-0,29	0,5892	-0,23	0,8167	-0,14	NA	0,09	0,9633	-0,02	0,9813
Fancm	75,09	-0,18	0,6801	-0,33	0,3566	-0,07	1,0000	-0,20	0,8318	-0,17	0,6120	-0,37	0,5377	0,00	0,9997	-0,01	0,9966	0,05	0,9351
Far1	164,46	0,18	0,4911	0,14	0,7170	-0,02	1,0000	0,15	0,8601	-0,14	0,6275	0,15	0,7672	0,00	0,9963	-0,04	0,9712	-0,12	0,7891
Far2	1,71	-0,17	NA	-0,39	0,4237	-0,13	NA	-0,18	NA	-0,39	0,5251	0,19	NA	0,01	NA	-0,22	NA	-0,12	NA
Farp1	83,17	-0,05	0,8962	-0,13	0,7765	0,14	1,0000	-0,21	0,8062	0,09	0,7994	-0,49	0,2542	-0,25	0,6449	-0,32	0,6051	0,00	0,9997
Farp2	44,83	-0,11	0,8488	0,10	0,8830	0,02	1,0000	0,44	0,4347	0,96	0,0001	-0,10	0,9176	0,04	0,9710	0,47	0,4469	0,98	0,0012
Fars2	30,30	-0,41	0,3336	-0,34	0,4892	0,01	1,0000	-0,01	0,9940	-1,21	0,0005	0,39	0,5988	0,29	0,6975	0,13	0,9347	-1,04	0,0341
Farsa	46,30	0,38	0,2424	-0,21	0,7183	0,02	1,0000	-0,18	0,8998	0,11	0,7922	-0,39	0,4846	-0,55	0,2623	-0,42	0,4910	-0,21	0,6107
Farsb	94,48	0,50	0,0275	0,27	0,4616	-0,02	1,0000	0,13	0,9275	-0,02	0,9519	-0,19	0,7388	-0,28	0,5526	-0,31	0,5760	-0,37	0,2037
Fas	1,30	-0,16	NA	-0,06	0,9408	-0,04	NA	-0,16	NA	-0,21	0,7729	0,04	NA	0,09	NA	-0,21	NA	-0,10	NA
Fasn	325,34	-0,31	0,3407	-0,50	0,0222	-0,06	1,0000	0,24	0,6249	0,10	0,7595	-0,71	0,0707	-0,19	0,7568	0,09	0,9396	0,24	0,5650
Fastk	103,67	0,14	0,6339	-0,41	0,1498	-0,17	1,0000	-0,02	0,9901	0,30	0,2863	-0,56	0,1293	-0,33	0,4789	0,06	0,9590	0,32	0,4403
Fastkd1	57,18	0,32	0,3614	-0,12	0,8474	-0,11	1,0000	-0,45	0,4647	-0,88	0,0077	0,05	0,9506	-0,03	0,9678	-0,99	0,0070	-1,13	0,0003
Fastkd2	55,72	0,20	0,6271	-0,02	0,9799	0,01	1,0000	0,03	0,9853	-1,21	0,0002	0,28	0,6340	0,06	0,9458	-0,24	0,7779	-1,12	0,0003
Fastkd3	10,78	-0,29	0,6635	-0,45	0,4863	0,07	NA	-0,06	0,9853	0,29	0,6098	0,48	0,5789	0,44	NA	0,47	0,6403	0,72	0,1903
Fastkd5	24,59	0,13	0,8312	0,18	0,7976	-0,45	NA	-0,20	0,8922	-0,55	0,2089	-0,10	0,9257	-0,43	0,5327	-0,53	0,4948	-0,84	0,0721
Fat1	1507,83	0,36	0,0492	-0,82	0,0000	-0,57	0,0083	-0,28	0,3898	0,23	0,1952	-1,16	0,0000	-0,76	0,0005	-0,55	0,0218	0,11	0,6941
Fat3	97,95	0,11	0,8266	0,19	0,7258	-0,54	0,3547	-0,21	0,8570	-0,98	0,0006	0,09	0,9000	0,03	0,9726	0,51	0,2476	-0,59	0,1537
Fat4	25,29	-0,84	0,0268	0,25	0,6469	0,22	1,0000	0,33	0,6846	0,09	0,8453	0,42	0,6035	0,41	NA	0,31	0,7939	0,91	0,0453
Fau	144,14	0,37	0,1261	0,33	0,3363	-0,07	1,0000	0,05	0,9845	0,45	0,0460	0,34	0,3402	-0,44	0,2642	-0,07	0,9458	0,35	0,2622
Faxc	47,62	-0,40	0,2700	-0,86	0,0130	-0,19	1,0000	-1,01	0,0033	-1,13	0,0003	-0,61	0,2599	0,38	0,4961	-0,56	0,3645	-0,62	0,1339
Fbf1	116,12	-0,11	0,7534	-0,12	0,7625	0,07	1,0000	0,01	0,9940	0,14	0,6472	-0,26	0,6271	-0,06	0,9406	-0,06	0,9622	0,30	0,3459
Fbl	17,55	0,26	0,6552	-0,15	0,8628	-0,08	NA	-0,20	0,9061	0,08	0,8953	-0,27	0,7704	-0,48	NA	-0,99	0,0875	-0,09	0,9069
Fblim1	5,31	0,18	0,8329	1,66	0,0001	0,62	NA	-0,49	NA	-1,02	0,0794	2,05	0,0000	0,49	NA	-0,28	NA	-1,19	0,0654

GeneID	CTL	ET-1 vs CTL		SAHA vs CTL		JS28 vs CTL		BSP vs CTL		JQ1 vs CTL		ET-1+SAHA vs ET1		ET-1+JS28 vs ET1		ET-1+BSP vs ET1		ET-1+JQ1 vs ET1	
	mean	log2(FC)	P-adj	log2(FC)	P-adj	log2(FC)	P-adj	log2(FC)	P-adj	log2(FC)	P-adj	log2(FC)	P-adj	log2(FC)	P-adj	log2(FC)	P-adj	log2(FC)	P-adj
Fbln1	37,60	-0,16	0,7891	0,05	0,9429	0,73	0,0241	-0,02	0,9901	0,18	0,7303	-0,04	0,9759	0,14	0,8865	-0,12	0,9425	0,63	0,1948
Fbn1	23,17	0,53	0,2021	0,14	0,8606	0,09	NA	-0,22	0,8903	-0,41	0,4318	-0,65	0,2622	-0,71	0,1769	-0,32	0,7320	-0,42	0,3495
Fbn2	221,33	-0,44	0,1224	-0,32	0,3787	-0,13	1,0000	-0,44	0,3025	-1,50	0,0000	-0,08	0,9087	0,39	0,3419	-0,52	0,1814	-1,46	0,0000
Fbrs	51,65	0,22	0,6416	0,14	0,8194	-0,16	1,0000	0,02	0,9901	0,74	0,0205	-0,83	0,0849	-0,60	0,2427	-0,47	0,4724	0,46	0,3832
Fbrsl1	39,89	-0,21	0,6674	0,45	0,2428	0,21	1,0000	0,21	0,8587	0,87	0,0061	0,02	0,9879	0,23	0,7518	0,47	0,4848	0,81	0,0374
Fbxl12	18,53	0,02	0,9769	0,33	0,6249	0,12	NA	0,21	0,8917	0,29	0,5866	-0,15	0,8815	-0,32	NA	0,12	0,9423	0,26	0,6440
Fbxl12os	2,89	-0,48	0,4575	-0,25	0,7605	0,04	NA	-0,09	NA	-0,37	0,6193	-0,04	NA	0,13	NA	0,39	NA	0,08	NA
Fbxl14	35,00	0,02	0,9791	0,27	0,6081	0,17	1,0000	0,33	0,6782	0,76	0,0072	0,20	0,8066	0,24	0,7451	0,22	0,8405	0,56	0,1523
Fbxl15	2,90	0,40	0,5593	-0,05	0,9551	0,06	NA	0,15	NA	1,00	0,0857	-0,28	0,7987	-0,28	NA	0,14	NA	0,74	0,2616
Fbxl16	14,63	0,15	0,8361	0,47	0,4502	0,20	NA	-0,12	0,9626	0,31	0,6362	0,19	0,8465	-0,18	NA	-0,10	0,9570	-0,01	0,9928
Fbxl17	87,47	-0,52	0,0364	-0,19	0,6521	0,13	1,0000	0,04	0,9853	-0,71	0,0017	0,49	0,2621	0,87	0,0067	0,70	0,0575	0,14	0,7244
Fbxl18	19,40	-0,14	0,8259	0,33	0,5609	0,10	NA	0,06	0,9853	0,08	0,8928	0,02	0,9853	-0,58	NA	-0,26	0,8389	0,33	0,5363
Fbxl19	8,39	-0,38	0,5725	-0,11	0,9093	0,08	NA	-0,37	0,6921	-0,16	0,8259	0,04	0,9789	-0,04	NA	-0,40	0,7206	-0,24	0,7780
Fbxl2	6,18	0,29	0,6947	0,49	0,4790	-0,08	NA	-0,31	NA	0,07	0,9363	0,29	0,7877	-0,44	NA	-0,56	0,5331	-0,44	0,5796
Fbxl20	191,83	-0,62	0,0007	0,10	0,8139	0,02	1,0000	0,04	0,9852	0,26	0,3827	0,34	0,3586	0,52	0,0948	0,52	0,0947	0,65	0,0483
Fbxl22	65,13	0,83	0,0100	-2,09	0,0000	-0,30	1,0000	-0,95	0,0156	-0,72	0,0948	-1,41	0,0001	-0,66	0,0891	-1,17	0,0003	-1,19	0,0001
Fbxl3	151,76	-0,39	0,0555	-0,73	0,0004	0,07	1,0000	0,23	0,6542	-0,07	0,8218	-0,36	0,3800	0,57	0,0760	0,39	0,3450	0,11	0,8170
Fbxl4	47,24	-0,14	0,7739	-0,01	0,9914	0,14	1,0000	0,21	0,8426	-0,11	0,7974	0,14	0,8641	0,06	0,9444	0,29	0,7164	0,12	0,8073
Fbxl5	74,63	-0,31	0,3694	0,20	0,6418	0,05	1,0000	0,12	0,9306	0,10	0,7763	0,49	0,2731	0,48	0,2924	0,40	0,4761	0,22	0,5853
Fbxl6	17,22	0,18	0,7948	0,40	0,5275	0,18	NA	0,30	0,8095	0,14	0,8191	-0,04	0,9732	-0,35	NA	-0,12	0,9425	0,09	0,9041
Fbxl7	2,49	0,01	0,9883	0,62	0,3098	0,15	NA	0,16	NA	0,94	0,1054	0,44	0,6365	0,56	NA	0,10	NA	0,99	0,1251
Fbxl8	5,25	-0,17	0,8385	0,15	0,8731	0,11	NA	-0,35	NA	-0,19	0,8102	-0,21	0,8573	0,22	NA	-0,37	NA	0,00	0,9988
Fbxo10	57,92	0,27	0,4751	-0,14	0,8189	-0,24	1,0000	-0,30	0,7415	0,24	0,5447	-0,11	0,8805	-0,31	0,5639	0,38	0,4779	0,06	0,9037
Fbxo11	178,64	-0,22	0,3443	-0,28	0,3068	0,03	1,0000	0,22	0,6982	-0,11	0,7175	-0,01	0,9914	0,37	0,3014	0,31	0,4659	0,33	0,2251
Fbxo16	8,49	-0,40	0,5382	0,03	0,9771	-0,08	NA	-0,31	0,7893	-1,02	0,0618	0,70	0,3527	0,44	NA	-0,02	0,9957	-0,58	0,4329
Fbxo17	1,15	0,36	NA	0,15	NA	0,12	NA	-0,03	NA	-0,01	NA	-0,01	NA	0,11	NA	-0,08	NA	-0,41	NA
Fbxo18	94,00	-0,14	0,7726	0,16	0,7280	0,24	1,0000	0,29	0,6479	-0,25	0,4171	0,27	0,6738	0,21	0,7480	0,26	0,7377	0,02	0,9665
Fbxo21	76,10	-0,04	0,9370	0,16	0,7144	0,24	1,0000	0,00	0,9986	-0,03	0,9391	0,00	0,9982	0,08	0,9142	0,26	0,7121	0,10	0,8153
Fbxo22	54,31	0,23	0,5811	0,03	0,9665	0,04	1,0000	0,17	0,8958	0,42	0,1884	0,09	0,9125	-0,18	0,8151	-0,10	0,9388	0,15	0,7602
Fbxo24	1,12	-0,06	NA	-0,22	NA	0,03	NA	-0,11	NA	-0,34	NA	0,19	NA	-0,17	NA	-0,05	NA	0,10	NA
Fbxo25	60,58	-0,24	0,5701	0,22	0,6848	0,13	1,0000	0,17	0,9058	0,34	0,2983	0,45	0,3330	0,56	0,1647	0,15	0,8915	0,52	0,0844
Fbxo28	71,66	0,00	0,9971	0,06	0,9252	0,00	1,0000	0,08	0,9681	0,19	0,5773	0,15	0,8246	0,05	0,9482	0,11	0,9178	0,05	0,9133
Fbxo3	105,61	-0,18	0,6395	0,02	0,9815	0,00	1,0000	0,11	0,9417	-0,28	0,3688	0,12	0,8532	0,30	0,5411	0,01	0,9936	-0,31	0,3877
Fbxo30	176,21	0,36	0,1242	-0,51	0,0575	-0,05	1,0000	-0,19	0,7987	-0,17	0,5556	-0,60	0,0545	-0,23	0,6355	-0,53	0,1152	-0,46	0,2545
Fbxo31	39,31	-0,26	0,5268	0,30	0,5005	0,36	0,9212	0,29	0,7143	0,55	0,0448	0,05	0,9582	0,00	0,9989	0,55	0,3343	0,61	0,0831
Fbxo32	466,95	-1,19	0,0000	-0,33	0,2114	-0,04	1,0000	-0,07	0,9634	-0,22	0,3650	0,35	0,3025	0,75	0,0016	0,37	0,2932	0,35	0,3052
Fbxo33	31,30	0,11	0,8462	0,08	0,9247	0,01	NA	0,43	0,5253	0,42	0,2922	0,28	0,7028	0,48	0,3789	0,17	0,8954	0,48	0,3022
Fbxo34	23,67	0,18	0,7528	0,09	0,9075	-0,07	NA	0,12	0,9563	0,19	0,7216	-0,17	0,8534	-0,32	0,6693	-0,05	0,9815	0,05	0,9408
Fbxo36	2,42	-0,62	0,2722	0,25	0,7763	-0,13	NA	0,20	NA	-0,46	0,5091	1,23	0,0400	0,29	NA	0,02	NA	0,71	0,3239
Fbxo38	133,96	-0,10	0,7528	0,23	0,4364	0,11	1,0000	0,10	0,9293	0,16	0,4894	0,16	0,7598	0,19	0,6926	0,23	0,6814	0,19	0,5610
Fbxo4	30,38	-0,17	0,7534	-0,55	0,2484	0,02	1,0000	-0,14	0,9437	0,01	0,9874	-0,08	0,9368	0,40	0,5018	0,13	0,9300	-0,09	0,8797
Fbxo40	67,42	0,83	0,0002	-1,05	0,0007	-0,06	1,0000	-1,31	0,0000	-2,59	0,0000	-1,35	0,0000	-0,60	0,1254	-1,44	0,0000	-2,83	0,0000
Fbxo42	75,86	0,29	0,3722	0,24	0,5727	0,04	1,0000	0,08	0,9634	0,50	0,0364	-0,12	0,8595	-0,31	0,5609	-0,40	0,4674	0,23	0,5221
Fbxo44	1,76	-0,17	NA	0,93	0,0793	0,01	NA	-0,29	NA	-0,64	0,2718	0,92	0,1771	-0,07	NA	-0,24	NA	-0,59	NA
Fbxo45	71,21	-0,35	0,2080	-0,16	0,7216	0,00	1,0000	0,17	0,8705	-0,01	0,9874	0,12	0,8686	0,35	0,4737	0,42	0,4187	0,19	0,6296

GeneID	CTL	ET-1 vs CTL		SAHA vs CTL		JS28 vs CTL		BSP vs CTL		JQ1 vs CTL		ET-1+SAHA vs ET1		ET-1+JS28 vs ET1		ET-1+BSP vs ET1		ET-1+JQ1 vs ET1	
	mean	log2(FC)	P-adj	log2(FC)	P-adj	log2(FC)	P-adj	log2(FC)	P-adj	log2(FC)	P-adj	log2(FC)	P-adj	log2(FC)	P-adj	log2(FC)	P-adj	log2(FC)	P-adj
Fbxo46	11,35	-0,10	0,9032	0,34	0,6291	0,06	NA	0,14	0,9501	0,60	0,1953	0,05	0,9708	0,02	NA	0,08	0,9708	0,73	0,1493
Fbxo47	4,30	-0,35	0,6313	0,78	0,1682	0,03	NA	0,04	NA	0,35	0,6163	1,11	0,0844	0,32	NA	0,67	NA	0,66	0,3619
Fbxo48	1,65	-0,33	NA	-0,09	0,9287	-0,03	NA	0,02	NA	-0,30	0,6880	0,11	NA	0,34	NA	0,02	NA	0,22	NA
Fbxo5	4,24	-0,52	0,4136	-0,36	0,6463	-0,13	NA	-0,08	NA	-0,41	0,5632	-0,20	0,8557	0,41	NA	0,16	NA	0,30	0,7302
Fbxo6	42,53	0,14	0,7926	-1,00	0,0076	-0,08	1,0000	-0,44	0,5253	-0,37	0,3573	-0,93	0,0440	-0,54	0,3216	-0,21	0,8405	-0,28	0,5946
Fbxo7	24,37	-0,17	0,7642	-0,01	0,9895	-0,01	NA	-0,03	0,9876	-0,06	0,9167	-0,29	0,7369	-0,10	0,9263	-0,10	0,9563	-0,17	0,7616
Fbxo8	115,40	-0,12	0,7749	0,32	0,3028	-0,01	1,0000	0,23	0,7336	-0,03	0,9303	0,52	0,1960	0,51	0,2066	0,51	0,2459	0,19	0,6340
Fbxo9	49,25	0,30	0,5235	0,00	0,9954	0,07	1,0000	0,55	0,2553	0,62	0,0429	-0,05	0,9581	0,20	0,7943	0,59	0,2411	0,52	0,1772
Fbxw11	201,26	0,15	0,5965	0,26	0,3126	0,11	1,0000	0,08	0,9430	0,12	0,6047	0,24	0,5971	-0,09	0,8885	-0,02	0,9911	0,09	0,7986
Fbxw17	5,22	0,07	0,9412	0,09	0,9337	0,19	NA	0,13	NA	-0,04	0,9634	0,30	0,7836	-0,02	NA	-0,08	NA	-0,34	0,6901
Fbxw2	68,84	-0,15	0,6956	0,10	0,8474	0,09	1,0000	0,32	0,5555	0,09	0,8077	0,52	0,2105	0,36	0,4750	0,26	0,7189	0,12	0,7631
Fbxw4	23,17	-0,07	0,9151	-0,56	0,2761	-0,01	NA	0,11	0,9626	0,28	0,5526	-0,88	0,1352	-0,17	NA	0,14	0,9297	0,39	0,4848
Fbxw5	95,77	0,07	0,8789	-0,06	0,9252	-0,07	1,0000	0,04	0,9853	0,16	0,6314	0,12	0,8423	-0,23	0,6545	-0,02	0,9918	0,10	0,7902
Fbxw7	93,55	-0,31	0,3851	-0,08	0,8951	0,15	1,0000	-0,19	0,8587	-1,28	0,0000	0,05	0,9528	0,64	0,0805	-0,16	0,8772	-1,00	0,0008
Fbxw8	84,18	0,05	0,9141	0,09	0,8646	0,03	1,0000	-0,11	0,9440	0,18	0,6330	-0,13	0,8532	-0,54	0,1912	-0,11	0,9179	0,04	0,9396
Fbxw9	27,68	-0,27	0,6234	-0,01	0,9907	-0,16	NA	-0,39	0,6430	-0,51	0,2657	0,08	0,9452	-0,34	0,6605	-0,44	0,6114	-0,29	0,6074
Fcamr	1,76	-0,37	NA	0,65	0,2873	0,00	NA	-0,14	NA	-0,71	0,2217	1,40	0,0151	0,23	NA	0,14	NA	-0,25	NA
Fcf1	40,76	0,13	0,7984	0,05	0,9444	0,02	1,0000	-0,20	0,8786	-0,23	0,5809	-0,13	0,8856	-0,12	0,8965	-0,37	0,6429	-0,36	0,4322
Fcgrt	5,19	-0,33	0,6577	-0,32	0,6906	0,28	NA	0,01	NA	-0,71	0,2625	0,10	0,9394	0,52	NA	0,04	NA	-0,64	0,3972
Fcho1	2,23	-0,63	NA	0,73	0,2089	-0,04	NA	-0,24	NA	-0,94	0,0752	1,30	0,0213	0,15	NA	0,03	NA	-0,01	NA
Fcho2	201,39	-0,31	0,2925	-0,29	0,4223	0,12	1,0000	0,35	0,4665	0,01	0,9829	-0,10	0,8730	0,66	0,0282	0,57	0,0681	0,27	0,5570
Fchsd1	10,72	-0,24	0,7330	0,34	0,6167	-0,11	NA	-0,21	0,8998	0,56	0,2340	0,11	0,9360	-0,36	NA	-0,30	0,8254	0,09	0,9209
Fchsd2	80,97	-0,57	0,0149	-0,04	0,9506	-0,10	1,0000	-0,24	0,7365	-0,54	0,0194	0,08	0,9253	0,49	0,2535	0,43	0,4180	0,41	0,1983
Fdft1	30,67	0,47	0,3538	0,53	0,3131	-0,11	NA	-0,31	0,7734	-0,47	0,3957	0,27	0,7363	-0,43	0,5143	-0,52	0,4779	-0,95	0,0320
Fdps	19,38	0,67	0,1876	0,25	0,7426	-0,20	NA	-0,46	0,5567	-0,36	0,5418	0,11	0,9307	-0,38	0,6277	-0,66	0,3846	-0,79	0,1718
Fdx1	15,95	0,33	0,5577	-0,19	0,8217	-0,01	NA	0,15	0,9448	-0,04	0,9544	-0,11	0,9237	-0,29	NA	-0,10	0,9570	-0,78	0,1241
Fdxacb1	3,90	-0,23	0,7829	0,30	0,7174	0,00	NA	-0,01	NA	-0,07	0,9388	0,54	0,5329	0,39	NA	-0,11	NA	-0,22	0,8170
Fdxr	5,00	0,10	0,9118	0,10	0,9288	0,02	NA	-0,13	NA	0,75	0,1983	-0,16	0,9033	-0,26	NA	-0,19	NA	-0,17	0,8611
Fech	129,13	-0,35	0,1125	-0,33	0,2179	-0,03	1,0000	0,04	0,9853	0,39	0,0489	0,17	0,7598	0,25	0,5915	0,17	0,8218	0,67	0,0041
Fem1a	149,57	0,19	0,5473	-0,25	0,4220	-0,18	1,0000	0,11	0,9178	0,37	0,0618	-0,19	0,7360	-0,04	0,9611	0,29	0,5884	0,19	0,6060
Fem1b	176,67	0,35	0,2516	0,48	0,0381	0,01	1,0000	0,32	0,4434	0,65	0,0052	0,13	0,8429	-0,30	0,5515	-0,07	0,9570	0,28	0,5096
Fem1c	78,04	0,26	0,3598	-0,02	0,9737	-0,02	1,0000	0,15	0,8950	0,22	0,4684	-0,19	0,7573	-0,02	0,9768	-0,15	0,8739	0,19	0,6203
Fen1	8,73	-0,08	0,9347	-0,14	0,8782	-0,09	NA	-0,38	0,6883	-0,37	0,5752	-0,03	0,9853	-0,33	NA	-0,34	0,7891	-0,13	0,8910
Fer1l5	1,53	-0,04	NA	-0,22	0,6858	-0,08	NA	-0,11	NA	-0,03	0,9711	-0,12	NA	-0,02	NA	-0,34	NA	0,31	0,7247
Fermt2	448,80	0,36	0,0432	-0,08	0,8073	0,04	1,0000	0,09	0,9178	0,30	0,0717	-0,30	0,3991	-0,26	0,4936	-0,07	0,9347	0,15	0,6436
Fert2	69,26	-0,21	0,5759	0,33	0,3596	-0,23	1,0000	-0,13	0,9298	-0,67	0,0120	0,46	0,3128	0,22	0,7265	0,03	0,9911	-0,14	0,7648
Fes	1,29	-0,32	NA	0,05	0,9578	0,00	NA	0,06	NA	-0,08	0,9255	0,27	NA	0,14	NA	0,20	NA	0,76	0,2722
Fez2	84,07	0,76	0,0015	-0,15	0,7949	-0,14	1,0000	-0,32	0,6934	-0,57	0,0981	-0,36	0,4006	-0,56	0,1177	-0,74	0,0323	-0,70	0,0133
Fgd1	49,97	-0,40	0,2466	-0,22	0,6603	-0,14	1,0000	0,02	0,9901	0,08	0,8693	-0,06	0,9525	0,03	0,9763	0,47	0,4411	0,53	0,2621
Fgd4	52,88	-0,69	0,0134	-0,75	0,0131	0,08	1,0000	-0,01	0,9910	-1,69	0,0000	-0,04	0,9723	0,79	0,0543	0,13	0,9192	-0,88	0,0355
Fgd6	18,12	-0,38	0,5074	0,91	0,0317	0,06	NA	0,40	0,6430	0,90	0,0216	1,23	0,0083	0,48	NA	0,56	0,4736	1,19	0,0035
Fgf1	55,76	0,08	0,8709	0,05	0,9499	0,46	0,5413	-0,44	0,4735	-2,07	0,0000	0,28	0,6221	0,96	0,0018	-0,02	0,9922	-2,16	0,0000
Fgf10	3,20	-0,74	0,1830	0,64	0,2921	0,13	NA	0,26	NA	-0,60	0,3637	0,81	0,2424	0,57	NA	0,43	NA	0,63	0,4095
Fgf11	10,41	0,03	0,9717	1,93	0,0000	0,40	NA	-0,06	0,9853	0,16	0,8155	1,12	0,0595	0,03	NA	-0,49	0,6200	-0,57	0,4484
Fgf12	113,37	1,25	0,0000	-0,41	0,4602	-0,31	1,0000	-0,79	0,0679	-0,95	0,0130	-0,44	0,3126	-0,62	0,1149	-0,64	0,0893	-0,79	0,0106

GeneID	CTL	ET-1 vs CTL		SAHA vs CTL		JS28 vs CTL		BSP vs CTL		JQ1 vs CTL		ET-1+SAHA vs ET1		ET-1+JS28 vs ET1		ET-1+BSP vs ET1		ET-1+JQ1 vs ET1	
	mean	log2(FC)	P-adj	log2(FC)	P-adj	log2(FC)	P-adj	log2(FC)	P-adj	log2(FC)	P-adj	log2(FC)	P-adj	log2(FC)	P-adj	log2(FC)	P-adj	log2(FC)	P-adj
Fgf13	86,93	-0,01	0,9871	-0,48	0,1355	0,30	1,0000	0,36	0,4767	0,24	0,5460	0,11	0,8905	0,39	0,4392	0,87	0,0095	0,69	0,0715
Fgf16	8,29	0,69	0,2212	-0,52	0,4259	-0,05	NA	-0,21	NA	-0,89	0,1359	-1,30	0,0312	-0,31	NA	-0,45	0,6605	-1,29	0,0311
Fgf18	16,47	0,47	0,4029	-0,08	0,9429	-0,15	NA	-0,73	0,1532	-0,30	0,6358	-0,67	0,3534	-0,31	NA	-0,73	0,3218	-0,44	0,4810
Fgf21	1,28	0,54	NA	-0,04	NA	-0,01	NA	-0,02	NA	-0,02	NA	-0,52	NA	-0,37	NA	-0,42	NA	-0,77	NA
Fgf23	2,29	-0,01	0,9891	0,53	0,4146	-0,15	NA	-0,17	NA	-0,84	0,1149	0,42	0,6528	-0,39	NA	-0,44	NA	-0,80	NA
Fgf5	4,71	0,26	0,7450	-0,29	0,7080	-0,13	NA	-0,18	NA	-0,17	0,8406	-0,35	0,7405	-0,33	NA	-0,31	NA	-0,42	0,6000
Fgf9	2,18	0,20	NA	0,32	0,6588	-0,02	NA	-0,10	NA	-0,08	0,9219	-0,05	0,9714	0,16	NA	-0,12	NA	-0,68	NA
Fgfbp3	2,57	0,29	0,7009	0,00	0,9981	-0,15	NA	0,00	NA	0,60	0,3658	-0,29	0,7784	-0,14	NA	-0,26	NA	-0,27	0,7597
Fgfr1	59,31	-0,54	0,0392	0,00	0,9964	0,10	1,0000	0,02	0,9901	0,95	0,0000	-0,03	0,9766	-0,09	0,9173	0,42	0,4889	1,35	0,0000
Fgfr1op	41,03	-0,35	0,4407	-0,13	0,8532	-0,09	1,0000	-0,14	0,9437	-0,75	0,0538	0,42	0,4837	0,46	0,4301	0,36	0,6427	-0,67	0,1469
Fgfr1op2	192,31	0,14	0,6193	-0,17	0,6032	-0,09	1,0000	0,14	0,8619	-0,07	0,8077	-0,11	0,8546	0,08	0,8989	0,09	0,9196	-0,16	0,6342
Fgfr2	21,59	0,13	0,8712	-0,57	0,2747	0,07	NA	0,33	0,7345	0,15	0,7795	-0,86	0,2088	-0,24	NA	0,11	0,9540	0,12	0,8792
Fgfr3	3,36	0,29	0,7014	-0,06	0,9587	0,03	NA	-0,27	NA	0,56	0,4051	0,10	0,9410	-0,46	NA	-0,77	NA	0,56	0,4390
Fgfr11	28,64	-0,34	0,4281	0,07	0,9268	0,00	1,0000	-0,23	0,8512	-0,08	0,8708	0,25	0,7637	0,09	0,9305	0,17	0,9054	0,24	0,6491
Fggy	7,96	-0,85	0,0947	0,91	0,0555	0,19	NA	-0,19	0,9129	-0,80	0,1615	1,98	0,0000	0,58	NA	0,26	NA	-0,36	0,6781
Fgl2	47,23	-0,24	0,5931	-0,21	0,7075	0,10	1,0000	0,27	0,7521	-1,04	0,0021	0,55	0,2768	0,51	0,3119	0,18	0,8750	-1,24	0,0009
Fh1	183,33	0,21	0,5228	-0,23	0,5557	0,03	1,0000	-0,02	0,9901	-0,37	0,1772	0,03	0,9726	-0,01	0,9893	0,14	0,8567	-0,34	0,2551
Fhad1	4,37	-0,17	0,8409	0,26	0,7686	0,23	NA	-0,26	NA	-1,04	0,0715	-0,31	0,7672	0,60	NA	-0,11	NA	-0,83	0,2439
Fhl1	857,86	2,50	0,0000	-0,70	0,2259	-0,41	0,8061	-0,64	0,2665	0,00	0,9997	-2,28	0,0000	-2,57	0,0000	-1,99	0,0000	-0,53	0,1055
Fhl2	219,82	-0,13	0,7580	-0,22	0,6155	0,22	1,0000	-0,23	0,7688	-0,83	0,0024	0,06	0,9340	0,30	0,4755	-0,03	0,9852	-0,60	0,0615
Fhl3	7,43	0,43	0,5082	0,82	0,1271	0,02	NA	0,04	NA	-0,44	0,5280	0,48	0,5904	-0,51	NA	-0,33	0,7939	-0,29	0,7281
Fhl4	9,11	-0,18	0,8116	-0,19	0,8323	-0,02	NA	-0,11	0,9629	-0,29	0,6614	0,37	0,7051	0,14	NA	-0,09	0,9633	-0,01	0,9942
Fhod1	13,90	-0,49	0,3584	-0,04	0,9747	-0,14	NA	-0,26	0,8491	-0,04	0,9580	0,37	0,7003	0,41	NA	-0,13	0,9446	-0,35	0,6519
Fhod3	627,60	0,47	0,0242	0,52	0,0214	0,44	0,2671	0,47	0,0905	0,31	0,1198	0,17	0,7135	0,13	0,7965	0,47	0,0930	0,18	0,4835
Fibp	28,93	0,04	0,9458	-0,59	0,2073	-0,08	NA	0,07	0,9798	0,00	0,9996	-0,25	0,7665	-0,01	0,9963	-0,01	0,9980	0,08	0,8954
Ficd	20,09	0,47	0,3175	-0,30	0,6875	0,04	NA	-0,24	0,8663	-0,06	0,9296	-0,43	0,5553	-0,37	0,6103	-0,49	0,5357	-0,26	0,6299
Fig4	203,56	-0,05	0,9194	-0,55	0,0540	-0,31	0,9895	-0,60	0,0542	-0,29	0,2931	-0,22	0,7003	-0,12	0,8474	-0,14	0,8723	0,19	0,6000
Figf	3,64	-0,36	0,5940	-0,29	0,7109	-0,06	NA	-0,24	NA	-1,02	0,0651	0,01	0,9957	0,01	NA	-0,39	NA	-0,70	NA
Fign	108,84	-0,82	0,0004	-0,92	0,0006	-0,19	1,0000	-0,07	0,9684	-1,26	0,0000	-0,31	0,5671	0,60	0,0922	0,46	0,3157	-0,54	0,0758
Fignl1	29,65	-0,67	0,1258	-0,69	0,1745	-0,22	1,0000	-0,54	0,4092	-1,59	0,0002	-0,19	0,8417	0,20	0,8291	0,36	0,7070	-0,84	0,1059
Fignl2	1,55	-0,15	NA	0,78	0,1631	0,01	NA	-0,14	NA	0,34	0,6446	0,41	NA	0,31	NA	-0,08	NA	0,16	NA
Filip1	402,79	0,76	0,0012	-0,44	0,1335	-0,17	1,0000	-0,20	0,8078	-0,06	0,8726	-1,12	0,0001	-0,71	0,0263	-0,67	0,0345	-0,50	0,0927
Filip1l	52,55	0,29	0,5682	-0,37	0,4619	-0,16	1,0000	-0,29	0,7688	0,23	0,5685	-0,44	0,4986	-0,29	0,6802	-0,58	0,3509	-0,17	0,7815
Fip1l1	118,56	0,17	0,7001	-0,22	0,5856	-0,16	1,0000	-0,10	0,9469	-0,41	0,1371	-0,64	0,1363	-0,33	0,5465	-0,36	0,5829	-0,46	0,2055
Firre	90,16	-0,56	0,0256	0,53	0,0358	0,18	1,0000	0,11	0,9430	0,01	0,9824	0,85	0,0118	0,48	0,2830	0,46	0,3510	0,00	0,9975
Fis1	50,17	0,09	0,8700	-0,80	0,0390	-0,06	1,0000	0,01	0,9956	-0,72	0,0393	0,02	0,9805	0,13	0,8643	0,04	0,9822	-0,42	0,2838
Fitm1	14,11	-0,66	0,1822	-0,75	0,1662	-0,10	NA	-0,08	0,9769	-1,28	0,0076	-0,89	0,2079	-0,10	NA	0,21	0,8915	-0,51	0,5261
Fitm2	28,50	-0,07	0,9294	0,42	0,3949	0,02	NA	-0,02	0,9901	-0,24	0,6170	0,55	0,3746	0,09	0,9321	-0,15	0,9238	-0,42	0,4560
Fiz1	40,45	-0,17	0,7344	-0,41	0,4078	-0,04	1,0000	-0,39	0,6070	0,27	0,4884	-0,32	0,6556	-0,09	0,9254	-0,08	0,9608	0,33	0,4883
Fkbp10	15,11	0,35	0,5270	0,39	0,5377	0,27	NA	-0,61	0,3071	-1,48	0,0034	-0,22	0,8292	-0,26	NA	-0,91	0,1379	-2,13	0,0000
Fkbp11	1,89	0,18	NA	0,71	0,2016	0,13	NA	-0,07	NA	-0,27	0,6795	0,54	0,5228	-0,24	NA	-0,36	NA	-0,63	NA
Fkbp14	21,22	0,29	0,6239	0,16	0,8383	0,05	NA	-0,33	0,7484	-1,36	0,0025	0,17	0,8596	-0,08	0,9432	-0,30	0,7948	-0,93	0,0594
Fkbp15	70,81	-0,13	0,7389	0,04	0,9444	-0,03	1,0000	0,02	0,9873	0,24	0,4104	0,00	0,9994	0,09	0,9089	0,18	0,8412	0,30	0,3543
Fkbp1a	129,45	0,55	0,0092	-0,17	0,6984	-0,25	1,0000	-0,33	0,5467	-0,10	0,7871	0,05	0,9371	-0,67	0,0428	-0,59	0,0997	-0,40	0,2105
Fkbp1b	3,98	-0,10	0,9166	0,66	0,2794	0,01	NA	-0,38	NA	0,16	0,8466	0,52	0,5603	-0,16	NA	-0,27	NA	-0,42	0,6126

GeneID	CTL	ET-1 vs CTL		SAHA vs CTL		JS28 vs CTL		BSP vs CTL		JQ1 vs CTL		ET-1+SAHA vs ET1		ET-1+JS28 vs ET1		ET-1+BSP vs ET1		ET-1+JQ1 vs ET1	
	mean	log2(FC)	P-adj	log2(FC)	P-adj	log2(FC)	P-adj	log2(FC)	P-adj	log2(FC)	P-adj	log2(FC)	P-adj	log2(FC)	P-adj	log2(FC)	P-adj	log2(FC)	P-adj
Fkbp2	6,75	-0,14	0,8641	0,08	0,9444	-0,16	NA	-0,20	0,8998	-0,45	0,4969	0,08	0,9512	0,11	NA	-0,12	0,9500	-0,21	0,8109
Fkbp3	171,01	0,16	0,6454	-0,01	0,9914	0,09	1,0000	0,46	0,1553	-0,10	0,7837	0,07	0,9102	0,29	0,5111	0,77	0,0046	-0,01	0,9929
Fkbp4	124,28	0,13	0,7699	-0,56	0,0751	-0,34	0,9654	-0,17	0,8797	-0,07	0,8574	-0,40	0,4006	-0,42	0,3948	-0,23	0,7608	-0,13	0,7832
Fkbp5	4,79	0,40	0,5596	-0,09	0,9363	-0,15	NA	0,25	NA	1,72	0,0001	-0,48	0,6037	-0,51	NA	0,15	0,9339	1,00	0,0696
Fkbp7	16,39	-0,28	0,6259	-0,03	0,9750	0,00	NA	-0,67	0,2021	-1,34	0,0020	0,21	0,8343	0,29	NA	-0,24	0,8597	-1,01	0,0667
Fkbp8	156,36	0,02	0,9579	-0,18	0,6668	0,01	1,0000	-0,14	0,9046	-0,27	0,3458	-0,21	0,6722	-0,39	0,3156	0,05	0,9706	-0,20	0,6125
Fkbp9	148,55	0,09	0,8066	-0,33	0,2663	0,03	1,0000	-0,46	0,1786	0,03	0,9328	-0,56	0,1123	-0,23	0,6411	-0,25	0,6761	0,10	0,8472
Fkbp1	6,38	-0,24	0,7574	0,32	0,6875	0,07	NA	-0,03	0,9860	-0,04	0,9587	0,18	0,8816	0,19	NA	-0,03	NA	0,18	0,8455
Fkrp	73,51	0,09	0,8470	-1,10	0,0001	-0,03	1,0000	0,14	0,9158	0,33	0,2286	-0,93	0,0194	-0,25	0,6778	-0,15	0,8830	0,35	0,4135
Fktn	66,64	0,10	0,8132	-0,48	0,1808	-0,04	1,0000	-0,02	0,9901	-0,38	0,2231	-0,41	0,4061	0,44	0,3110	-0,11	0,9276	-0,45	0,1503
Flad1	30,29	0,26	0,5806	-0,27	0,6673	-0,09	NA	-0,20	0,8881	-0,76	0,0538	-0,29	0,7124	-0,06	0,9582	-0,45	0,5511	-0,71	0,0920
Flcn	105,03	-0,34	0,2832	-0,59	0,0534	0,17	1,0000	-0,10	0,9500	-0,02	0,9522	-0,65	0,1040	0,03	0,9744	0,12	0,9037	0,27	0,4158
Fli1	1,04	-0,09	NA	-0,25	NA	-0,08	NA	-0,13	NA	-0,29	NA	-0,18	NA	-0,13	NA	-0,15	NA	-0,18	NA
Flii	287,61	-0,10	0,7587	-0,79	0,0000	-0,11	1,0000	-0,42	0,0645	-0,38	0,0530	-0,74	0,0112	-0,23	0,6225	-0,29	0,5483	-0,29	0,3414
Flna	326,06	0,24	0,5461	-0,41	0,1646	-0,01	1,0000	0,02	0,9860	0,52	0,0259	-0,62	0,1237	-0,40	0,4131	-0,29	0,6610	-0,03	0,9588
Flnb	36,57	-0,09	0,9020	0,19	0,7670	-0,24	1,0000	-0,11	0,9600	0,17	0,7427	-0,53	0,4338	-0,63	0,2966	-0,23	0,8511	0,00	0,9971
Flnc	1954,28	0,71	0,0046	-0,98	0,0001	-0,46	0,4800	-0,19	0,8380	0,42	0,1378	-1,67	0,0000	-1,46	0,0000	-0,49	0,1257	0,34	0,3320
Flot1	210,57	0,02	0,9687	-0,36	0,1923	-0,40	0,4885	-0,60	0,0224	-0,83	0,0000	-0,44	0,2445	-0,78	0,0136	-0,72	0,0205	-0,87	0,0002
Flot2	215,27	-0,23	0,4737	-0,67	0,0007	-0,38	0,4315	-0,45	0,1062	0,05	0,8831	-0,30	0,5553	-0,47	0,2743	-0,36	0,4948	0,33	0,4637
Flrt1	11,21	-0,58	0,3001	0,22	0,7797	-0,17	NA	-0,45	0,5913	-0,83	0,1234	0,30	0,7824	0,61	NA	0,26	0,8567	-0,38	0,6383
Flrt2	72,61	-0,21	0,5774	0,20	0,6673	0,03	1,0000	0,10	0,9563	0,02	0,9717	0,23	0,7118	0,16	0,8183	0,27	0,6996	0,18	0,6473
Flrt3	48,08	-0,66	0,0949	-0,84	0,0272	-0,23	1,0000	-0,34	0,6835	0,00	0,9986	-0,35	0,6649	0,07	0,9516	0,14	0,9238	0,59	0,1737
Flt3l	1,13	0,00	NA	0,02	0,9805	0,08	NA	-0,15	NA	-0,08	0,9222	0,00	NA	-0,07	NA	-0,24	NA	-0,18	NA
Flt4	4,53	0,17	0,8367	1,48	0,0009	-0,08	NA	-0,05	NA	0,30	0,6915	1,09	0,0795	-0,05	NA	-0,03	NA	0,49	0,4843
Flywch1	30,75	0,51	0,1431	-0,14	0,8574	-0,04	NA	-0,06	0,9837	-0,35	0,4574	-0,44	0,4644	-0,61	0,2526	-0,55	0,3872	-0,57	0,1426
Fmn1	3,22	0,88	0,0840	-0,29	NA	-0,07	NA	-0,15	NA	-0,29	NA	-0,97	0,1326	-0,65	NA	-0,80	NA	-1,33	0,0334
Fmn2	9,49	-0,49	0,4034	0,68	0,1880	-0,07	NA	0,04	0,9853	0,13	0,8552	0,80	0,2536	-0,05	NA	0,30	0,8262	0,89	0,1112
Fmnl2	8,50	0,53	0,3930	0,81	0,1462	0,20	NA	0,09	NA	0,78	0,1783	-0,02	0,9886	0,04	NA	-0,56	0,5408	0,18	0,8181
Fmnl3	16,84	-0,19	0,7697	0,05	0,9578	-0,17	NA	0,14	0,9464	0,30	0,5874	-0,17	0,8739	-0,01	NA	-0,08	0,9712	0,30	0,6548
Fmo5	12,68	0,26	0,6969	-0,42	0,5437	-0,14	NA	0,37	0,7054	1,82	0,0000	-0,65	0,3860	-0,43	NA	0,37	0,7288	2,08	0,0000
Fmod	4,86	0,37	0,6133	0,37	0,6291	0,15	NA	-0,13	NA	-0,32	0,6742	-0,09	0,9444	0,00	NA	-0,30	NA	-0,26	0,7731
Fmr1	91,43	-0,16	0,6891	0,00	0,9996	-0,03	1,0000	0,15	0,9096	0,16	0,6876	-0,29	0,5864	0,10	0,8912	-0,02	0,9911	0,25	0,5610
Fn1	36,70	1,19	0,0009	0,41	0,4880	-0,13	NA	-0,15	0,9437	0,36	0,4724	-1,37	0,0019	-1,29	0,0016	-1,23	0,0048	-0,92	0,0326
Fn3k	10,14	-0,91	0,0509	0,38	0,5626	0,09	NA	-0,05	0,9853	-0,54	0,3205	0,96	0,1441	0,68	NA	0,40	0,7215	0,32	0,6936
Fn3krp	18,49	-0,35	0,5228	0,46	0,3682	-0,03	NA	-0,20	0,9021	-0,37	0,4801	0,18	0,8636	0,01	NA	-0,11	0,9514	0,46	0,4044
Fnbp1	129,87	-0,24	0,3255	-0,13	0,7687	-0,06	1,0000	0,04	0,9853	0,31	0,1724	-0,31	0,4944	0,11	0,8645	0,49	0,1644	0,74	0,0024
Fnbp1l	121,30	-0,32	0,3260	-0,42	0,1715	0,02	1,0000	-0,24	0,7297	-0,70	0,0033	-0,06	0,9476	0,52	0,1998	0,07	0,9545	-0,14	0,7709
Fnbp4	71,83	-0,18	0,7255	-0,12	0,8422	0,08	1,0000	0,11	0,9473	0,23	0,5105	-0,24	0,7406	0,32	0,6024	0,21	0,8364	0,23	0,6358
Fndc3a	43,25	-0,30	0,4799	0,00	0,9951	-0,08	1,0000	-0,11	0,9501	-0,08	0,8576	0,05	0,9572	0,09	0,9271	-0,23	0,8364	0,02	0,9722
Fndc3b	393,51	0,36	0,0258	-0,38	0,0415	-0,14	1,0000	-0,12	0,8643	0,21	0,2635	-0,48	0,0954	-0,38	0,2180	-0,33	0,3510	0,10	0,7391
Fndc3c1	5,25	0,06	0,9449	0,76	0,1799	0,07	NA	-0,10	NA	-0,27	0,7278	1,01	0,1145	0,03	NA	-0,56	NA	-0,01	0,9923
Fndc4	7,28	0,43	0,5026	-0,27	0,7519	-0,09	NA	-0,25	NA	-0,35	0,6332	-0,69	0,3763	-0,43	NA	-0,57	0,5273	-0,88	0,1608
Fndc5	2,79	-0,05	0,9509	0,58	0,3668	0,01	NA	-0,16	NA	-0,83	0,1487	0,18	0,8678	-0,12	NA	-0,29	NA	-0,46	0,4966
Fnip1	294,79	-0,19	0,5097	0,03	0,9658	0,02	1,0000	0,15	0,8797	0,19	0,5182	0,06	0,9144	0,43	0,1536	0,20	0,6999	0,38	0,2507
Fnip2	46,07	-0,15	0,7589	0,00	0,9973	0,22	1,0000	-0,27	0,7729	0,15	0,7322	-0,06	0,9446	0,12	0,8853	-0,40	0,5831	0,23	0,5716

GeneID	CTL	ET-1 vs CTL		SAHA vs CTL		JS28 vs CTL		BSP vs CTL		JQ1 vs CTL		ET-1+SAHA vs ET1		ET-1+JS28 vs ET1		ET-1+BSP vs ET1		ET-1+JQ1 vs ET1	
	mean	log2(FC)	P-adj	log2(FC)	P-adj	log2(FC)	P-adj	log2(FC)	P-adj	log2(FC)	P-adj	log2(FC)	P-adj	log2(FC)	P-adj	log2(FC)	P-adj	log2(FC)	P-adj
Fnta	178,97	-0,16	0,5678	-0,57	0,0110	-0,03	1,0000	0,25	0,6242	0,33	0,1247	-0,38	0,3124	0,10	0,8575	0,49	0,1250	0,43	0,0717
Fntb	16,87	0,05	0,9517	0,06	0,9551	0,04	NA	-0,31	0,7790	-0,27	0,6363	0,00	0,9982	-0,21	NA	-0,37	0,7217	-0,32	0,5961
Focad	32,28	-0,03	0,9665	0,47	0,2953	0,21	1,0000	0,13	0,9473	0,08	0,8899	0,65	0,1734	-0,01	0,9953	-0,36	0,6745	0,07	0,9041
Folr1	2,55	-0,01	0,9901	-0,22	0,7867	0,08	NA	-0,23	NA	-0,27	0,7178	-0,06	0,9624	-0,23	NA	-0,11	NA	-0,25	0,7762
Fopnl	41,65	-0,03	0,9573	0,05	0,9499	0,07	1,0000	0,26	0,7619	-0,53	0,1177	0,30	0,6549	0,25	0,7037	0,05	0,9789	-0,61	0,1682
Fos	9,27	0,13	0,8828	-0,34	0,6662	-0,03	NA	0,54	0,3960	1,00	0,0676	-0,50	0,5757	-0,50	NA	-0,27	0,8492	1,32	0,0213
Fosb	1,82	-0,32	NA	-0,31	0,6520	-0,07	NA	-0,12	NA	0,79	0,2032	0,00	NA	-0,13	NA	0,07	NA	1,39	0,0262
Fosl2	62,52	1,22	0,0000	-0,52	0,2460	-0,10	1,0000	-0,20	0,8887	0,01	0,9796	-1,46	0,0000	-0,99	0,0016	-1,43	0,0000	-0,63	0,0424
Foxa1	1,11	0,46	NA	0,19	NA	-0,01	NA	-0,02	NA	0,02	NA	-0,37	NA	-0,27	NA	-0,37	NA	-0,47	NA
Foxc1	6,38	0,03	0,9797	-0,15	0,8744	-0,07	NA	-0,04	NA	-0,35	0,6379	-0,42	0,6722	-0,29	NA	-0,48	NA	-0,36	0,6675
Foxf1	2,96	-0,08	0,9326	0,22	0,8095	0,4	NA	0,03	NA	0,22	0,7878	0,31	0,7613	-0,02	NA	-0,22	NA	-0,33	0,7012
Foxj2	92,08	-0,05	0,9301	-0,42	0,1818	-0,04	1,0000	-0,16	0,8812	0,09	0,8360	-0,47	0,3358	-0,17	0,8109	-0,09	0,9480	0,18	0,7043
Foxj3	160,42	0,00	0,9967	0,30	0,3579	0,09	1,0000	-0,10	0,9469	0,29	0,2426	0,27	0,5329	0,11	0,8558	-0,06	0,9570	0,41	0,1782
Foxk1	96,42	-0,07	0,8709	0,25	0,4755	-0,15	1,0000	-0,15	0,8818	0,43	0,1871	-0,42	0,3981	-0,24	0,6898	-0,23	0,7791	0,57	0,1626
Foxk2	139,28	0,41	0,1236	-0,07	0,8722	0,13	1,0000	0,12	0,9130	0,24	0,3257	-0,40	0,3707	-0,20	0,7204	-0,16	0,8543	-0,12	0,7630
Foxl2	1,08	-0,05	NA	0,08	0,9231	-0,04	NA	-0,11	NA	-0,16	NA	0,04	NA	-0,03	NA	-0,13	NA	-0,02	NA
Foxl2os	2,60	-0,14	0,8683	-0,20	0,8153	-0,13	NA	-0,36	NA	-0,72	0,2235	-0,17	NA	-0,07	NA	-0,37	NA	-0,36	0,6665
Foxm1	5,60	0,04	0,9711	-0,13	0,8956	0,10	NA	0,09	NA	0,13	0,8714	-0,86	0,2223	-0,07	NA	-0,12	0,9494	0,23	0,7766
Foxn2	55,02	0,44	0,1788	-0,23	0,6716	0,19	1,0000	-0,22	0,8499	-0,63	0,0729	-0,57	0,2355	-0,23	0,7138	-0,60	0,2181	-0,67	0,0964
Foxn3	128,03	-0,27	0,3418	-0,62	0,0235	-0,19	1,0000	0,05	0,9769	-0,02	0,9580	-0,23	0,6544	0,02	0,9780	0,32	0,5209	0,28	0,3790
Foxo1	78,42	-0,33	0,3093	0,08	0,8895	0,13	1,0000	0,33	0,5548	0,82	0,0000	0,37	0,4482	0,33	0,5090	0,44	0,3846	1,09	0,0000
Foxo3	105,45	-0,48	0,1013	0,04	0,9469	-0,04	1,0000	0,25	0,7446	0,70	0,0018	-0,14	0,8458	-0,06	0,9383	0,35	0,5624	0,86	0,0007
Foxo4	55,19	-0,54	0,0621	-0,59	0,0920	0,06	1,0000	0,19	0,8619	0,40	0,1776	-0,18	0,8132	0,14	0,8548	0,26	0,7668	0,84	0,0115
Foxo6	5,99	-0,29	0,7004	0,70	0,2180	0,08	NA	0,28	0,8245	0,01	0,9899	0,19	0,8707	-0,11	NA	0,07	NA	0,23	0,8027
Foxp1	118,93	-0,20	0,6222	-0,06	0,9155	-0,07	1,0000	0,13	0,9096	0,02	0,9653	-0,12	0,8669	-0,07	0,9350	0,03	0,9875	-0,18	0,6910
Foxp2	15,12	-0,77	0,1102	-0,27	0,7015	-0,01	NA	-0,37	0,6982	-0,92	0,0530	0,13	0,9199	0,44	NA	0,25	0,8603	0,09	0,9280
Foxp4	80,01	-0,35	0,3564	0,19	0,6710	-0,01	1,0000	0,05	0,9853	0,67	0,0799	-0,11	0,8970	-0,03	0,9776	0,44	0,4673	0,91	0,0522
Foxred1	45,04	0,29	0,4460	0,08	0,9062	-0,10	1,0000	-0,29	0,7521	0,02	0,9673	0,09	0,9149	-0,28	0,6605	-0,28	0,7393	-0,30	0,4964
Foxred2	3,46	-0,04	0,9692	0,64	0,3009	0,16	NA	0,02	NA	0,30	0,6929	0,24	0,8295	-0,02	NA	0,12	NA	-0,06	0,9568
Fpgs	6,03	0,59	0,3335	-0,03	0,9826	0,04	NA	-0,06	NA	0,93	0,0911	-0,33	0,7608	-0,61	NA	-0,63	0,4607	-0,11	0,9109
Fpgt	45,31	0,11	0,8384	-0,06	0,9399	0,08	1,0000	0,23	0,8451	-0,48	0,2189	0,11	0,8923	0,05	0,9557	0,06	0,9691	-0,46	0,2430
Fra10ac1	21,35	-0,02	0,9751	0,49	0,2921	0,06	NA	-0,07	0,9798	-0,48	0,3245	0,34	0,6563	-0,02	NA	0,36	0,6935	-0,66	0,1665
Fras1	1373,81	-0,67	0,0016	-0,72	0,0012	-0,25	1,0000	-0,49	0,1068	-0,11	0,7082	-0,24	0,5760	-0,14	0,7701	-0,10	0,9065	0,38	0,1904
Frat1	4,57	-0,25	0,7583	0,01	0,9929	0,13	NA	0,20	NA	0,36	0,6098	0,09	0,9449	-0,07	NA	0,49	NA	0,14	0,8860
Frat2	3,07	-0,18	0,8308	0,44	0,5448	0,18	NA	0,37	NA	1,22	0,0165	0,87	0,2263	0,36	NA	0,70	NA	0,77	0,2705
Frem1	4,38	-1,10	0,0218	-0,12	0,9007	-0,12	NA	-0,35	NA	-1,23	0,0266	0,48	NA	0,22	NA	-0,02	NA	-0,07	NA
Frem2	366,14	-0,04	0,9543	-0,01	0,9799	-0,15	1,0000	-0,41	0,1767	-1,27	0,0000	-0,25	0,8143	-0,04	0,9754	-0,48	0,6145	-1,36	0,0003
Frem3	16,45	-0,28	0,6971	-1,30	0,0055	-0,10	NA	0,17	0,9306	-0,41	0,5080	-0,69	0,3763	0,60	NA	1,01	0,0775	0,41	0,5610
Frg1	54,55	-0,45	0,1089	-0,12	0,8244	0,04	1,0000	0,13	0,9250	0,05	0,8980	0,23	0,7435	0,48	0,3307	0,58	0,2041	0,37	0,2788
Frmd3	1,91	0,70	NA	0,08	NA	-0,03	NA	0,02	NA	-0,04	NA	-0,63	0,3646	-0,41	NA	-0,52	NA	-0,66	0,3613
Frmd4a	43,51	0,48	0,1675	0,31	0,5655	0,71	0,0634	0,14	0,9437	-0,96	0,0107	-0,14	0,8461	0,06	0,9432	-0,64	0,1777	-1,34	0,0000
Frmd4b	62,41	-0,41	0,1697	-0,25	0,5609	-0,01	1,0000	-0,63	0,0855	-1,01	0,0015	0,25	0,6924	-0,04	0,9694	-0,67	0,1628	-0,99	0,0071
Frmd5	25,90	0,36	0,5059	-0,21	0,7823	-0,09	NA	-0,85	0,0606	-2,03	0,0000	0,23	0,8001	-0,45	0,5018	-1,18	0,0181	-1,76	0,0004
Frmd6	159,08	0,14	0,7381	-0,08	0,8628	-0,15	1,0000	0,33	0,4380	0,46	0,0375	0,06	0,9412	0,06	0,9432	0,25	0,7067	0,47	0,1633
Frmd8	20,87	-0,18	0,7798	0,04	0,9730	0,03	NA	-0,18	0,9211	0,13	0,8227	0,13	0,9049	-0,07	NA	0,06	0,9792	0,01	0,9923

GeneID	CTL	ET-1 vs CTL		SAHA vs CTL		JS28 vs CTL		BSP vs CTL		JQ1 vs CTL		ET-1+SAHA vs ET1		ET-1+JS28 vs ET1		ET-1+BSP vs ET1		ET-1+JQ1 vs ET1	
	mean	log2(FC)	P-adj	log2(FC)	P-adj	log2(FC)	P-adj	log2(FC)	P-adj	log2(FC)	P-adj	log2(FC)	P-adj	log2(FC)	P-adj	log2(FC)	P-adj	log2(FC)	P-adj
Frmpp1	15,00	-0,22	0,7789	0,23	0,7842	0,05	NA	0,07	0,9805	-0,24	0,7046	0,19	0,8660	-0,04	NA	0,14	0,9400	-1,24	0,0368
Frrs1	18,10	-0,12	0,8777	0,19	0,8167	0,03	NA	-0,20	0,9060	-0,56	0,2709	-0,12	0,9190	0,33	NA	-0,21	0,8915	-0,54	0,4194
Frs2	138,82	-0,33	0,2217	0,10	0,8554	-0,09	1,0000	-0,01	0,9901	0,42	0,0890	0,44	0,2162	0,43	0,2322	0,20	0,7614	0,78	0,0010
Frs3	4,33	-0,17	0,8384	0,11	0,9158	-0,02	NA	-0,09	NA	-0,05	0,9577	0,16	0,9018	-0,38	NA	0,04	NA	0,38	0,6491
Fry	365,28	-0,30	0,2427	-0,73	0,0003	-0,23	1,0000	-0,57	0,0167	-0,64	0,0018	-0,51	0,1314	0,12	0,8302	0,14	0,8446	0,09	0,8054
Fryl	257,00	-0,24	0,2240	-0,02	0,9643	-0,13	1,0000	0,24	0,4983	0,38	0,0288	-0,17	0,7300	0,09	0,8719	0,45	0,1430	0,67	0,0004
Fsd1	1,93	-0,49	NA	1,48	0,0010	0,09	NA	-0,01	NA	-0,14	0,8685	1,42	0,0134	0,03	NA	0,10	NA	0,37	NA
Fsd1l	44,20	-0,49	0,1770	0,22	0,6895	-0,01	1,0000	-0,02	0,9901	0,10	0,8275	0,87	0,0365	0,45	0,4246	-0,25	0,8161	-0,11	0,8505
Fsd2	273,44	-0,17	0,5607	0,31	0,1857	0,07	1,0000	-0,03	0,9853	-0,67	0,0082	0,50	0,1357	0,36	0,3426	0,50	0,1223	-0,38	0,3320
Fst	2,00	0,05	NA	0,05	0,9595	0,05	NA	-0,21	NA	-0,05	0,9557	-0,20	NA	-0,15	NA	-0,32	NA	-0,58	NA
Fstl1	161,33	-0,24	0,5673	0,23	0,5495	0,20	1,0000	-0,35	0,4890	-0,85	0,0002	0,30	0,6059	0,38	0,4620	-0,20	0,8365	-0,60	0,1187
Fstl4	84,28	0,84	0,0019	0,79	0,0021	0,60	0,1725	-0,42	0,4380	-1,20	0,0000	0,23	0,7258	0,59	0,1536	-0,32	0,6579	-1,55	0,0000
Fth1	916,73	-0,10	0,6647	0,22	0,2955	0,09	1,0000	0,16	0,7325	0,17	0,4417	0,18	0,6271	-0,11	0,7963	0,29	0,3552	0,34	0,0465
Ftl1	158,01	-0,09	0,8872	-0,08	0,9256	0,18	1,0000	0,31	0,7778	1,31	0,0027	-0,69	0,0998	-0,71	0,0583	0,07	0,9557	1,16	0,0000
Fto	204,05	-0,19	0,5288	-0,34	0,2024	-0,18	1,0000	-0,25	0,6395	-0,12	0,7046	-0,05	0,9476	-0,03	0,9654	-0,16	0,8399	0,23	0,5764
Ftsj1	19,54	-0,07	0,9263	0,02	0,9838	-0,22	NA	-0,20	0,8998	-0,21	0,6964	0,24	0,7881	0,07	NA	-0,44	0,6427	-0,33	0,6125
Ftsj2	9,39	-0,24	0,7518	-0,57	0,3795	-0,24	NA	-0,24	0,8731	-0,57	0,3478	-0,14	0,9175	-0,39	NA	-0,05	0,9911	-0,82	0,2148
Ftsj3	119,17	0,62	0,0061	0,07	0,8952	-0,09	1,0000	-0,07	0,9717	-0,08	0,8061	-0,45	0,2965	-0,59	0,1090	-0,68	0,0499	-0,48	0,1287
Ftx	6,56	0,19	0,8217	-0,45	0,5324	0,11	NA	-0,05	NA	-0,43	0,5457	-0,62	0,4510	0,17	NA	-0,15	0,9328	-1,00	0,1339
Fubp1	203,61	-0,14	0,6750	-0,16	0,6798	-0,17	1,0000	0,10	0,9369	0,23	0,4011	0,04	0,9556	0,28	0,5032	0,05	0,9608	0,42	0,0939
Fubp3	46,15	-0,14	0,7898	0,21	0,7075	0,09	1,0000	-0,09	0,9650	0,26	0,4819	0,06	0,9525	0,31	0,6225	0,25	0,7891	0,29	0,5177
Fuca1	30,20	-0,21	0,6661	0,40	0,3901	0,05	1,0000	0,08	0,9746	0,71	0,0148	0,63	0,2263	0,40	0,5231	0,70	0,1680	0,65	0,0721
Fuca2	324,60	0,47	0,2069	0,27	0,5449	0,28	1,0000	0,20	0,8581	0,23	0,5111	-0,17	0,8029	-0,33	0,5384	-0,42	0,4476	-0,27	0,5264
Fuk	24,81	-0,43	0,3862	0,16	0,8197	0,02	NA	-0,34	0,7175	-0,26	0,6050	0,42	0,5890	0,22	NA	0,20	0,8866	0,30	0,6114
Fundc1	62,42	-0,14	0,7429	-0,45	0,2617	-0,02	1,0000	0,20	0,8523	-0,70	0,0148	0,26	0,6518	0,51	0,2344	0,12	0,9080	-0,68	0,0278
Fundc2	108,74	-0,19	0,6239	-0,60	0,0523	-0,32	0,9896	-0,09	0,9573	-0,54	0,1208	0,11	0,8781	0,18	0,7640	0,42	0,3985	-0,22	0,6665
Fuom	15,08	0,29	0,6416	-0,26	0,7593	0,03	NA	-0,25	0,8591	-0,55	0,3394	-0,70	0,3007	-0,03	NA	-0,22	0,8675	-1,24	0,0119
Furin	278,55	0,34	0,3719	0,60	0,0161	0,79	0,0018	0,68	0,0098	0,04	0,9222	0,08	0,9278	-0,12	0,8811	0,24	0,7701	-0,30	0,5556
Fus	152,24	0,34	0,2106	0,04	0,9520	-0,11	1,0000	-0,11	0,9361	-0,26	0,3233	-0,24	0,6271	-0,26	0,5883	-0,58	0,0944	-0,72	0,0135
Fut10	20,41	-0,51	0,2269	0,62	0,1126	0,33	NA	-0,10	0,9634	-0,67	0,0993	0,98	0,0473	0,49	NA	0,20	0,8915	-0,48	0,4329
Fut11	15,25	-0,23	0,7307	0,23	0,7550	0,23	NA	0,53	0,4111	0,85	0,0234	0,70	0,2692	0,59	NA	0,48	0,5927	1,00	0,0180
Fut8	28,02	-0,03	0,9677	0,05	0,9550	0,23	NA	0,24	0,8426	0,75	0,0181	0,09	0,9320	0,42	0,5078	0,32	0,7336	0,70	0,0681
Fuz	6,75	-0,46	0,4591	-0,09	0,9292	-0,03	NA	-0,06	0,9853	0,25	0,7105	0,31	0,7784	-0,13	NA	0,71	0,3657	0,67	0,3026
Fv1	5,53	0,45	0,5022	-0,02	0,9889	-0,19	NA	-0,09	NA	0,59	0,3524	-0,22	0,8514	-0,29	NA	-0,35	0,7790	0,29	0,7181
Fxn	11,81	-0,26	0,6861	-0,85	0,0986	-0,15	NA	-0,04	0,9853	0,04	0,9523	-0,23	0,8343	0,08	NA	-0,06	0,9824	0,46	0,4563
Fxr1	538,41	-0,08	0,8096	0,26	0,2149	0,00	1,0000	0,25	0,4548	0,04	0,8706	0,27	0,5348	0,27	0,5138	0,28	0,5243	0,24	0,4324
Fxr2	233,34	0,21	0,3634	0,03	0,9551	0,14	1,0000	0,01	0,9959	0,55	0,0031	-0,39	0,2317	-0,43	0,1641	-0,23	0,6538	0,22	0,3919
Fxyd1	97,75	0,13	0,7905	-0,44	0,2582	-0,31	1,0000	-0,51	0,2674	-1,03	0,0026	0,00	0,9972	-0,39	0,4311	-0,58	0,1747	-1,34	0,0036
Fxyd6	1,44	0,16	NA	0,40	0,5341	0,09	NA	0,10	NA	0,14	0,8635	0,15	NA	-0,06	NA	-0,08	NA	-0,41	NA
Fyco1	621,90	-0,26	0,1313	0,15	0,5112	0,11	1,0000	0,16	0,7054	-0,46	0,0014	0,28	0,4074	0,19	0,6345	0,06	0,9428	-0,53	0,0126
Fyn	46,05	0,63	0,0682	0,66	0,0630	0,31	1,0000	0,39	0,5805	0,74	0,0098	0,16	0,8382	-0,38	0,5354	0,00	1,0000	0,28	0,5450
Fytd1	337,12	0,32	0,0956	0,30	0,1556	0,00	1,0000	0,22	0,6039	0,36	0,1843	0,46	0,1249	0,25	0,5303	0,08	0,9315	0,16	0,7130
Fzd1	33,55	0,61	0,0891	-0,35	0,5478	-0,32	NA	-0,14	0,9437	0,38	0,3182	-0,68	0,2192	-0,45	0,4597	-0,57	0,3693	0,03	0,9670
Fzd2	110,09	0,13	0,7778	-0,28	0,5428	0,15	1,0000	-0,23	0,8147	0,05	0,9192	-0,31	0,5741	-0,30	0,5484	-0,12	0,9082	0,19	0,7057
Fzd3	137,02	-0,08	0,8204	-0,14	0,7405	-0,17	1,0000	0,60	0,0061	0,98	0,0000	0,04	0,9544	0,26	0,5801	0,69	0,0154	1,06	0,0000

GeneID	CTL	ET-1 vs CTL		SAHA vs CTL		JS28 vs CTL		BSP vs CTL		JQ1 vs CTL		ET-1+SAHA vs ET1		ET-1+JS28 vs ET1		ET-1+BSP vs ET1		ET-1+JQ1 vs ET1	
	mean	log2(FC)	P-adj	log2(FC)	P-adj	log2(FC)	P-adj	log2(FC)	P-adj	log2(FC)	P-adj	log2(FC)	P-adj	log2(FC)	P-adj	log2(FC)	P-adj	log2(FC)	P-adj
Fzd4	25,93	-0,16	0,7875	0,24	0,6902	-0,17	NA	0,12	0,9516	0,16	0,7659	0,59	0,3157	0,49	0,4291	0,14	0,9231	0,50	0,2799
Fzd5	31,19	0,33	0,4707	0,25	0,6865	0,09	NA	0,53	0,3484	1,30	0,0000	-0,43	0,5087	-0,23	0,7578	0,34	0,6746	1,14	0,0010
Fzd6	66,74	-0,20	0,6088	-0,42	0,2524	0,03	1,0000	-0,07	0,9744	-0,29	0,3986	-0,36	0,4985	0,12	0,8646	-0,09	0,9425	-0,24	0,5375
Fzd7	117,38	-0,47	0,0936	-0,36	0,2794	-0,04	1,0000	0,12	0,9213	0,58	0,0160	-0,10	0,8897	-0,07	0,9243	0,03	0,9862	0,82	0,0048
Fzd8	21,52	-0,17	0,7879	-0,94	0,0349	-0,06	NA	-0,41	0,6175	-0,29	0,5705	-0,89	0,1497	-0,26	NA	0,11	0,9494	0,22	0,7088
Fzd9	1,48	-0,08	NA	-0,04	0,9666	-0,12	NA	-0,08	NA	0,14	0,8635	-0,24	NA	-0,11	NA	-0,13	NA	0,59	0,4437
Fzr1	51,74	0,08	0,8708	-0,37	0,3939	-0,09	1,0000	-0,17	0,8998	-0,19	0,6158	-0,28	0,6955	-0,14	0,8649	-0,02	0,9931	0,00	0,9992
G0s2	10,02	0,24	0,7603	-0,01	0,9929	-0,09	NA	-0,34	0,7219	-1,06	0,0624	-0,11	0,9355	-0,36	NA	-0,16	0,9300	-1,99	0,0004
G2e3	30,25	-0,21	0,6989	0,28	0,6104	-0,30	NA	0,28	0,7762	-0,06	0,9091	0,33	0,6466	0,34	0,6140	0,14	0,9192	0,01	0,9891
G3bp1	237,77	0,42	0,0181	-0,25	0,3869	-0,28	0,9488	-0,01	0,9921	0,17	0,5274	-0,54	0,0525	-0,58	0,0384	-0,29	0,4724	-0,05	0,9002
G3bp2	295,85	0,11	0,7218	-0,30	0,3145	-0,19	1,0000	0,06	0,9742	0,49	0,0212	-0,23	0,5529	0,05	0,9294	0,08	0,9170	0,42	0,1060
G630090E17Rik	3,46	0,17	0,8442	0,41	0,5727	-0,07	NA	0,03	NA	-0,10	0,9114	0,32	0,7678	0,22	NA	0,17	NA	-0,59	0,4454
G6pc3	55,57	-0,04	0,9359	0,16	0,7610	0,26	1,0000	-0,14	0,9220	-0,30	0,3574	0,09	0,9180	-0,11	0,8918	-0,07	0,9572	-0,52	0,1594
G6pdx	31,49	0,36	0,4406	0,03	0,9777	-0,17	NA	-0,20	0,8966	0,77	0,0210	-0,50	0,4218	-0,68	0,2050	-0,52	0,4646	0,24	0,6392
G730013B05Rik	1,69	-0,41	NA	0,06	0,9550	-0,01	NA	0,01	NA	-0,29	0,6904	0,49	NA	-0,06	NA	-0,01	NA	-0,16	NA
Gaa	253,08	-0,19	0,5148	-0,22	0,5782	0,23	1,0000	-0,24	0,7197	-0,39	0,1222	-0,49	0,0998	-0,04	0,9439	-0,26	0,5640	-0,35	0,3111
Gab1	387,22	-0,51	0,0073	-0,19	0,5167	-0,03	1,0000	0,00	0,9998	0,42	0,0144	0,05	0,9350	0,32	0,3868	0,37	0,3437	0,83	0,0000
Gab2	20,93	0,03	0,9684	0,50	0,2984	0,10	NA	-0,51	0,4665	-0,76	0,0931	0,18	0,8514	-0,08	NA	-0,58	0,4446	-0,31	0,6232
Gab3	1,22	-0,25	NA	0,45	0,4838	-0,06	NA	-0,01	NA	0,19	0,8110	0,61	NA	0,12	NA	0,27	NA	0,30	NA
Gabarap	307,62	-0,09	0,7134	-0,20	0,4192	-0,07	1,0000	-0,05	0,9684	0,57	0,0005	-0,05	0,9307	-0,12	0,7981	0,00	0,9993	0,78	0,0133
Gabarapl1	87,34	0,03	0,9559	0,09	0,8532	0,09	1,0000	0,07	0,9700	0,36	0,2382	-0,12	0,8658	-0,15	0,8219	-0,12	0,9106	0,32	0,3547
Gabarapl2	95,65	-0,13	0,7896	0,11	0,8479	0,10	1,0000	0,26	0,7443	0,49	0,2040	0,64	0,1143	-0,02	0,9837	0,19	0,8412	0,47	0,3255
Gabbr1	31,32	-0,53	0,2105	0,20	0,7548	-0,13	1,0000	-0,11	0,9614	0,58	0,1204	0,36	0,6426	0,49	0,4183	0,38	0,6663	0,66	0,1248
Gabpa	127,29	-0,08	0,8360	-0,65	0,0130	0,09	1,0000	0,19	0,8318	-0,13	0,6750	-0,66	0,0516	0,32	0,4437	0,28	0,5927	-0,12	0,7458
Gabpb1	50,65	0,27	0,4531	-0,15	0,7947	-0,13	1,0000	0,02	0,9901	0,05	0,9046	-0,35	0,5580	-0,41	0,4600	-0,02	0,9931	-0,12	0,8112
Gabpb2	41,77	-0,12	0,8204	-0,55	0,2002	-0,18	1,0000	-0,05	0,9853	-0,46	0,2493	-0,82	0,0913	0,12	0,8910	-0,28	0,7679	-0,51	0,2406
Gabra5	1,38	0,10	NA	-0,04	0,9551	-0,06	NA	-0,13	NA	-0,27	NA	-0,11	NA	-0,12	NA	-0,28	NA	-0,50	NA
Gabrb2	2,60	0,06	0,9467	1,64	0,0002	0,24	NA	0,16	NA	-0,09	0,9172	1,82	0,0005	0,30	NA	0,00	NA	-0,08	0,9401
Gabrb3	88,16	0,45	0,1173	0,78	0,0039	-0,26	1,0000	0,08	0,9674	1,09	0,0000	0,78	0,0113	-0,08	0,9095	-0,32	0,6218	0,50	0,1067
Gabrg3	12,72	-0,36	0,5766	0,45	0,4608	0,05	NA	-0,39	0,6786	-1,35	0,0070	0,69	0,3330	0,57	NA	-0,12	0,9511	-0,65	0,3391
Gad2	3,43	-0,93	0,0624	-0,36	0,6487	-0,12	NA	-0,15	NA	-0,84	0,1726	0,34	NA	0,14	NA	-0,01	NA	0,06	NA
Gadd45a	20,83	1,20	0,0024	0,60	0,2786	0,49	NA	1,06	0,0051	1,25	0,0016	-0,57	0,4110	-0,47	0,4925	0,05	0,9860	0,47	0,3653
Gadd45b	22,29	0,16	0,7900	-0,41	0,4851	-0,21	NA	-0,26	0,8399	0,22	0,6579	-0,27	0,7598	-0,58	NA	-0,03	0,9918	0,42	0,3528
Gadd45g	55,59	1,81	0,0000	-0,26	0,7214	-0,44	NA	-0,33	0,7521	0,13	0,8421	-1,24	0,0002	-2,51	0,0000	-2,21	0,0000	-0,73	0,0615
Gadd45gip1	39,51	0,36	0,3587	-0,14	0,8317	0,15	1,0000	0,05	0,9853	-0,30	0,4754	-0,37	0,5553	-0,51	0,3426	-0,32	0,6991	-0,48	0,2396
Gadl1	1,06	-0,05	NA	0,06	0,9505	0,02	NA	-0,14	NA	-0,37	NA	0,17	NA	-0,12	NA	-0,21	NA	-0,28	NA
Gak	83,19	0,07	0,8919	0,03	0,9668	0,10	1,0000	0,02	0,9866	0,45	0,1239	-0,25	0,6583	-0,21	0,7138	-0,22	0,7864	0,07	0,8691
Gal3st3	16,45	-0,98	0,0132	-0,32	0,6189	-0,15	NA	-0,04	0,9853	-1,01	0,0197	0,33	0,7388	0,44	NA	0,71	0,3308	-0,18	0,8486
Galc	52,50	-0,12	0,7936	-0,16	0,7922	-0,01	1,0000	-0,13	0,9417	-0,19	0,6404	-0,32	0,6002	-0,02	0,9834	-0,25	0,7790	-0,11	0,8096
Gale	1,11	0,72	NA	NA	NA	0,01	NA	0,01	NA	0,94	0,0577	-0,08	0,9472	-0,38	NA	-0,21	NA	-0,23	0,8032
Galk1	22,54	0,26	0,6615	0,22	0,7564	0,02	NA	-0,43	0,6033	-0,40	0,4416	0,18	0,8557	-0,53	0,4336	-0,56	0,4908	-0,71	0,2036
Galk2	32,17	-0,35	0,3763	0,40	0,3214	0,21	1,0000	-0,07	0,9746	-0,21	0,6124	0,81	0,0789	0,48	0,4068	0,27	0,7904	-0,18	0,7476
Galm	1,84	-0,14	NA	0,37	0,6108	0,05	NA	0,00	NA	-0,62	0,2937	0,33	NA	-0,16	NA	-0,34	NA	-0,64	NA
Galns	28,23	0,25	0,6494	0,70	0,0821	-0,01	NA	-0,23	0,8695	-0,10	0,8662	0,50	0,4029	-0,21	0,8122	-0,16	0,9106	-0,24	0,7012
Galnt1	150,25	0,30	0,3451	-0,19	0,6413	0,11	1,0000	0,36	0,4240	0,46	0,0622	-0,08	0,9144	0,08	0,9063	0,08	0,9407	0,24	0,5757

GeneID	CTL	ET-1 vs CTL		SAHA vs CTL		JS28 vs CTL		BSP vs CTL		JQ1 vs CTL		ET-1+SAHA vs ET1		ET-1+JS28 vs ET1		ET-1+BSP vs ET1		ET-1+JQ1 vs ET1	
	mean	log2(FC)	P-adj	log2(FC)	P-adj	log2(FC)	P-adj	log2(FC)	P-adj	log2(FC)	P-adj	log2(FC)	P-adj	log2(FC)	P-adj	log2(FC)	P-adj	log2(FC)	P-adj
Galnt10	41,45	0,49	0,1189	0,24	0,6577	0,04	1,0000	-0,04	0,9853	0,80	0,0076	-0,21	0,7718	-0,46	0,3894	-0,10	0,9416	0,68	0,0251
Galnt11	44,05	-0,24	0,5330	0,01	0,9889	0,02	1,0000	0,26	0,7489	0,54	0,0378	0,53	0,2831	0,33	0,5962	0,75	0,0764	0,64	0,0413
Galnt14	2,24	-0,48	NA	-0,29	0,7038	0,02	NA	0,00	NA	-0,82	0,1507	0,48	NA	-0,05	NA	0,08	NA	-0,25	NA
Galnt16	8,30	-0,09	0,9251	1,53	0,0001	0,01	NA	0,32	0,7688	0,04	0,9663	1,38	0,0083	-0,31	NA	0,27	0,8472	0,09	0,9263
Galnt18	6,81	-0,35	0,6247	0,67	0,2687	0,13	NA	0,41	0,6247	-0,16	0,8454	0,49	0,5890	0,19	NA	0,29	0,8339	0,00	0,9992
Galnt2	177,14	-0,18	0,5146	0,18	0,5855	0,25	1,0000	0,09	0,9449	0,47	0,0069	0,22	0,6401	-0,07	0,9089	0,24	0,6579	0,53	0,0152
Galnt4	11,38	0,19	0,7845	-0,14	0,8852	0,15	NA	-0,06	0,9853	-0,46	0,4447	-0,18	0,8709	-0,16	NA	-0,51	0,5895	-0,46	0,4693
Galnt7	43,45	-0,02	0,9710	-0,47	0,3131	0,09	1,0000	0,00	0,9998	-0,15	0,7408	-0,42	0,4858	0,00	0,9963	0,07	0,9619	0,13	0,7905
Galt	17,61	-0,11	0,8726	-0,24	0,7426	0,04	NA	-0,30	0,7860	-0,91	0,0461	-0,51	0,5098	0,33	NA	-0,07	0,9770	-0,33	0,6491
Gamt	4,23	-0,85	0,1133	-0,43	0,5494	-0,17	NA	-0,14	NA	0,24	0,7542	0,95	0,1626	-0,11	NA	0,28	NA	0,59	0,4421
Gan	15,31	-0,15	0,8204	-0,02	0,9851	0,03	NA	-0,02	0,9901	-0,12	0,8414	-0,24	0,8246	0,14	NA	-0,20	0,9004	0,36	0,5367
Ganab	106,08	-0,10	0,7789	-0,24	0,5242	-0,14	1,0000	-0,20	0,8147	0,24	0,3385	-0,53	0,1626	-0,19	0,7226	-0,14	0,8736	0,38	0,2279
Ganc	31,82	-0,23	0,6123	-0,02	0,9848	-0,06	1,0000	0,14	0,9399	-0,42	0,3012	0,06	0,9544	0,31	0,6556	0,19	0,8697	-0,04	0,9604
Gapdh	844,95	0,59	0,0330	0,15	0,6724	0,08	1,0000	0,09	0,9430	0,26	0,3384	-0,11	0,8781	-0,24	0,6719	-0,12	0,9118	-0,01	0,9953
Gapvd1	162,04	-0,12	0,6871	0,03	0,9436	-0,03	1,0000	0,09	0,9435	0,29	0,2433	-0,08	0,9004	0,10	0,8731	0,08	0,9372	0,22	0,5069
Gar1	8,33	0,58	0,3125	0,54	0,4025	-0,03	NA	-0,21	NA	-0,45	0,5145	-0,08	0,9527	-0,39	NA	-0,32	0,8056	-0,63	0,3428
Garem	131,93	-0,31	0,2278	0,18	0,6189	0,09	1,0000	0,46	0,1313	0,58	0,0070	0,30	0,5019	0,16	0,7784	0,55	0,0990	0,47	0,0605
Garnl3	5,76	-0,04	0,9635	1,18	0,0110	-0,02	NA	-0,01	NA	-0,02	0,9804	0,94	0,1635	-0,12	NA	-0,36	NA	-0,87	0,2144
Gars	348,75	1,50	0,0000	0,21	0,6032	-0,18	1,0000	-0,20	0,8279	-0,06	0,8607	-0,85	0,1701	-1,10	0,0260	-1,30	0,0080	-0,94	0,0168
Gart	54,78	0,38	0,2182	0,30	0,4768	0,10	1,0000	0,27	0,7412	0,42	0,1433	0,06	0,9420	-0,37	0,4903	-0,26	0,7393	-0,11	0,8064
Gas1	36,40	0,03	0,9699	-0,54	0,2673	0,37	0,9896	-0,15	0,9399	-0,08	0,8732	0,52	0,3795	0,77	0,0796	0,62	0,2604	0,44	0,2983
Gas2	9,46	-0,47	0,4163	-1,13	0,0202	-0,12	NA	0,05	0,9853	-0,18	0,7835	-0,85	0,2404	-0,21	NA	0,18	0,9143	0,13	0,8872
Gas211	43,96	-0,29	0,5063	-0,17	0,7698	0,20	1,0000	0,36	0,5929	0,96	0,0002	-0,20	0,8135	-0,12	0,8932	0,01	0,9967	0,88	0,0078
Gas213	14,86	0,30	0,6381	0,96	0,0385	0,00	NA	-0,13	0,9587	0,95	0,0379	0,77	0,1665	-0,27	NA	-0,02	0,9936	0,72	0,1036
Gas5	109,28	0,14	0,8148	-0,22	0,7273	-0,43	0,7895	-0,05	0,9853	0,47	0,4444	-0,51	0,3105	-0,35	0,5297	-0,09	0,9479	0,44	0,5635
Gas6	270,76	0,20	0,6075	0,54	0,0868	-0,20	1,0000	-0,69	0,0336	-0,52	0,0620	0,64	0,0299	-0,19	0,7016	-0,50	0,1219	-0,76	0,0012
Gas8	15,22	0,06	0,9378	0,30	0,6672	0,11	NA	0,06	0,9853	0,08	0,9096	0,22	0,8290	-0,43	NA	-0,15	0,9264	-0,01	0,9905
Gata4	372,66	0,58	0,0009	-0,09	0,8234	-0,19	1,0000	-0,29	0,4992	0,32	0,2075	-0,52	0,0950	-0,76	0,0022	-0,62	0,0172	0,04	0,9309
Gata5	6,21	-0,19	0,8093	0,77	0,1569	0,13	NA	0,15	0,9440	-0,27	0,7178	0,43	0,6604	-0,11	NA	-0,03	NA	-0,66	0,3693
Gata6	388,35	-0,27	0,2531	-0,36	0,1007	-0,27	0,9367	0,00	0,9988	0,20	0,3464	-0,02	0,9732	0,05	0,9432	0,25	0,6070	0,30	0,2102
Gatad1	151,97	0,24	0,2765	-0,22	0,4714	0,01	1,0000	-0,09	0,9404	-0,01	0,9779	-0,11	0,8392	-0,15	0,7671	-0,28	0,5770	-0,27	0,3815
Gatad2a	145,56	0,38	0,0618	0,35	0,1517	-0,06	1,0000	0,04	0,9853	0,66	0,0036	-0,14	0,8025	-0,43	0,2526	-0,28	0,5886	0,47	0,1904
Gatad2b	105,27	-0,22	0,5675	0,20	0,6068	0,07	1,0000	0,01	0,9967	0,32	0,1856	-0,11	0,8860	0,08	0,9223	0,03	0,9911	0,43	0,2305
Gatc	36,99	0,01	0,9858	0,17	0,7737	-0,19	1,0000	-0,10	0,9628	0,64	0,0717	0,18	0,8215	0,47	0,3717	0,24	0,8044	0,72	0,0895
Gatsl2	48,19	-0,59	0,0718	-0,31	0,5407	0,06	1,0000	0,04	0,9853	0,64	0,0847	-0,14	0,8678	0,33	0,5965	0,64	0,1839	1,30	0,0008
Gatsl3	1,13	0,07	NA	0,19	0,7679	0,02	NA	-0,10	NA	0,06	0,9354	0,41	NA	-0,16	NA	-0,17	NA	-0,42	NA
Gba	32,78	0,00	0,9939	-0,01	0,9889	-0,05	1,0000	-0,55	0,3059	0,15	0,7522	0,10	0,9226	-0,20	0,8085	-0,43	0,6065	0,21	0,6692
Gba2	28,37	0,17	0,7789	-0,14	0,8520	-0,04	NA	0,11	0,9600	0,37	0,3738	-0,33	0,6875	-0,12	0,8994	0,01	0,9971	0,27	0,6151
Gbas	340,63	0,19	0,5733	-0,90	0,0002	-0,20	1,0000	-0,01	0,9959	-0,23	0,3807	-0,72	0,0090	-0,07	0,9089	0,08	0,9254	-0,41	0,0838
Gbe1	144,89	0,93	0,0004	-0,53	0,1061	0,04	1,0000	0,34	0,5551	0,31	0,2684	-0,74	0,0530	-0,44	0,3552	-0,24	0,7602	-0,10	0,8354
Gbf1	210,85	0,00	0,9999	-0,10	0,7892	-0,23	1,0000	-0,14	0,8786	0,07	0,8058	-0,27	0,5019	-0,31	0,4172	-0,01	0,9974	0,28	0,3855
Gbp2	11,40	-0,40	0,5184	-0,94	0,0713	-0,10	NA	-0,58	0,3484	-1,10	0,0338	-1,07	0,1024	0,04	NA	-0,56	0,5384	-1,06	0,0900
Gbp2b	11,37	-0,78	0,1065	-1,01	0,0418	-0,13	NA	-0,59	0,3360	-1,44	0,0034	-0,34	0,7451	0,26	NA	-0,47	0,6484	-0,80	0,2448
Gbp6	68,87	-1,83	0,0000	-0,33	0,3585	-0,04	1,0000	-0,40	0,4092	-1,92	0,0000	0,47	0,4586	0,97	0,0177	0,23	0,8405	-1,46	0,0022
Gbp7	7,63	-1,40	0,0012	-0,40	0,5657	0,15	NA	-0,44	0,6004	-1,70	0,0006	0,58	0,4906	0,86	NA	-0,26	NA	-0,87	NA

GeneID	CTL	ET-1 vs CTL		SAHA vs CTL		JS28 vs CTL		BSP vs CTL		JQ1 vs CTL		ET-1+SAHA vs ET1		ET-1+JS28 vs ET1		ET-1+BSP vs ET1		ET-1+JQ1 vs ET1	
	mean	log2(FC)	P-adj	log2(FC)	P-adj	log2(FC)	P-adj	log2(FC)	P-adj	log2(FC)	P-adj	log2(FC)	P-adj	log2(FC)	P-adj	log2(FC)	P-adj	log2(FC)	P-adj
Gbp9	10,99	-1,22	0,0038	-0,47	0,4466	0,06	NA	-0,74	0,1424	-1,75	0,0002	0,13	0,9210	0,60	NA	-0,41	NA	-1,21	0,0609
Gca	49,35	-0,10	0,8230	0,75	0,0055	0,01	1,0000	-0,28	0,7400	-0,07	0,8726	1,24	0,0001	0,38	0,4621	0,08	0,9565	0,25	0,5516
Gcat	3,84	0,25	0,7535	0,45	0,5168	-0,03	NA	0,15	NA	0,58	0,3834	0,31	0,7715	-0,07	NA	-0,23	NA	0,32	0,6992
Gcc1	31,10	-0,01	0,9895	-0,23	0,6981	0,05	1,0000	-0,11	0,9611	-0,13	0,7800	-0,42	0,5392	-0,01	0,9963	0,10	0,9494	-0,23	0,6665
Gcc2	52,15	-0,41	0,1785	0,23	0,5941	-0,07	1,0000	0,07	0,9746	-0,21	0,6114	0,34	0,5616	0,61	0,1533	0,47	0,4020	0,28	0,5422
Gcdh	33,57	-0,26	0,5526	0,70	0,0327	-0,08	1,0000	-0,02	0,9901	-0,10	0,8400	0,80	0,0711	0,06	0,9542	-0,02	0,9936	-0,11	0,8458
Gcfc2	9,72	-0,10	0,9020	0,14	0,8744	-0,01	NA	0,15	0,9437	0,23	0,7334	0,40	0,6622	0,43	NA	0,07	0,9792	-0,24	0,7508
Gcgr	5,02	-0,59	0,3323	-0,73	0,2181	0,09	NA	-0,16	NA	-1,45	0,0070	-0,26	0,7965	0,00	NA	-0,47	NA	-0,69	NA
Gch1	2,01	-0,25	NA	0,12	0,8975	-0,05	NA	-0,02	NA	0,16	0,8460	0,63	0,3966	0,16	NA	0,39	NA	0,96	0,1599
Gclc	54,01	0,47	0,2664	-0,26	0,6937	-0,01	1,0000	0,51	0,3748	1,10	0,0002	-0,59	0,2420	-0,48	0,3675	-0,08	0,9600	0,90	0,0157
Gclm	43,05	0,80	0,0300	-0,57	0,2155	-0,33	NA	0,04	0,9853	0,40	0,3226	-1,10	0,0214	-0,62	0,2723	-1,10	0,0172	-0,15	0,8301
Gcn111	201,31	-0,10	0,7344	0,01	0,9775	0,02	1,0000	0,02	0,9853	0,20	0,3205	-0,27	0,5251	-0,32	0,4087	0,04	0,9696	0,21	0,4407
Gcnt1	72,42	-0,86	0,0039	-0,08	0,8956	-0,12	1,0000	0,61	0,0809	0,97	0,0001	0,20	0,8068	0,04	0,9666	0,86	0,0390	1,50	0,0000
Gcnt2	6,43	-0,79	0,1489	0,40	0,5690	-0,13	NA	-0,26	0,8420	0,07	0,9275	1,00	0,1382	-0,09	NA	-0,18	NA	0,56	0,4649
Gcsh	68,66	0,25	0,4595	-0,48	0,1687	-0,21	1,0000	0,06	0,9769	0,14	0,7442	-0,27	0,6371	-0,47	0,3037	-0,35	0,5618	0,25	0,5215
Gdap10	2,65	-0,54	0,3615	0,06	0,9579	-0,07	NA	0,06	NA	0,17	0,8379	0,35	NA	0,12	NA	0,09	NA	0,73	0,3144
Gdap2	30,47	0,28	0,5358	0,30	0,5692	-0,08	NA	-0,03	0,9884	0,04	0,9366	-0,02	0,9873	-0,03	0,9768	-0,11	0,9423	0,15	0,7784
Gde1	114,18	0,07	0,8616	-0,02	0,9730	-0,10	1,0000	0,13	0,9211	-0,10	0,7774	-0,17	0,7796	0,04	0,9557	0,25	0,6750	0,05	0,9180
Gdf11	8,79	-0,26	0,7257	2,11	0,0000	0,29	NA	0,38	0,6921	0,77	0,1173	2,00	0,0000	0,30	NA	0,83	0,2139	0,95	0,0748
Gdf15	2,77	0,36	0,6035	-0,08	0,9349	-0,05	NA	-0,18	NA	-0,43	0,4752	-0,10	0,9360	-0,52	NA	-0,42	NA	-0,86	0,2196
Gdf6	1,16	0,24	NA	0,04	NA	-0,06	NA	-0,05	NA	-0,02	NA	0,00	NA	-0,15	NA	-0,26	NA	-0,36	NA
Gdf9	1,27	-0,01	NA	0,03	0,9740	0,03	NA	0,00	NA	-0,16	0,8335	0,04	NA	0,09	NA	-0,11	NA	0,22	0,8078
Gdi1	168,72	-0,26	0,2369	-0,12	0,7615	0,08	1,0000	0,07	0,9600	0,52	0,0204	0,20	0,6783	0,11	0,8420	0,24	0,6426	0,68	0,0127
Gdi2	519,86	0,03	0,9370	0,27	0,1888	0,13	1,0000	0,22	0,5440	0,08	0,7589	0,00	0,9986	0,04	0,9432	0,01	0,9918	0,10	0,7445
Gdpd1	74,28	-0,34	0,2404	-0,68	0,0232	-0,18	1,0000	0,33	0,5541	0,40	0,1023	-0,68	0,1191	0,19	0,7589	0,48	0,2953	0,77	0,0027
Gdpd5	27,47	-0,66	0,1002	0,39	0,4646	-0,19	1,0000	0,14	0,9437	0,26	0,6022	0,70	0,2253	0,30	NA	1,00	0,0279	0,95	0,0135
Gdpgp1	6,08	0,35	0,6336	0,18	0,8391	0,06	NA	0,12	NA	0,91	0,1063	0,59	0,4493	0,06	NA	0,09	0,9695	0,20	0,7950
Gem	4,39	-0,23	0,7802	0,01	0,9901	0,23	NA	-0,05	NA	-0,36	0,6287	0,52	0,5603	-0,03	NA	0,16	NA	0,06	0,9585
Gemin2	14,15	0,30	0,6155	0,14	0,8775	-0,09	NA	0,41	0,6249	0,53	0,2709	-0,24	0,8143	-0,11	NA	0,07	0,9770	0,47	0,3750
Gemin4	27,17	-0,18	0,7629	-0,21	0,7474	-0,28	NA	-0,25	0,8420	-0,64	0,1421	0,00	0,9986	-0,25	0,7634	-0,26	0,8339	-0,31	0,5872
Gemin5	66,42	0,00	0,9953	0,26	0,5282	0,13	1,0000	-0,07	0,9737	0,16	0,6398	-0,02	0,9794	-0,23	0,7138	-0,04	0,9861	0,07	0,8936
Gemin6	7,64	-0,02	0,9839	-0,24	0,7825	-0,03	NA	-0,18	0,9213	-0,15	0,8495	-0,18	0,8859	-0,26	NA	-0,40	0,7227	-0,11	0,9168
Gemin7	26,38	-0,21	0,6953	-0,13	0,8622	-0,07	NA	-0,20	0,8929	0,14	0,7775	0,48	0,4561	0,17	0,8492	0,25	0,8261	0,47	0,3317
Gemin8	5,49	-0,71	0,2039	0,13	0,8981	-0,23	NA	-0,35	NA	-0,27	0,7078	0,61	0,4629	0,50	NA	0,55	NA	0,64	0,3849
Gen1	3,45	0,75	0,1821	0,17	0,8391	0,05	NA	0,21	NA	0,85	0,1635	-0,73	0,3366	-0,28	NA	-0,32	NA	-0,15	0,8716
Get4	45,97	0,31	0,3948	-0,21	0,7109	0,01	1,0000	0,10	0,9574	-0,01	0,9910	-0,21	0,7712	-0,25	0,6973	-0,24	0,7913	-0,05	0,9325
Gfer	18,76	0,16	0,8128	-0,29	0,6865	0,10	NA	-0,27	0,8451	-0,58	0,2438	-0,47	0,5578	-0,28	NA	-0,39	0,6935	-0,77	0,1407
Gfm1	138,93	0,62	0,0440	0,14	0,7832	-0,07	1,0000	0,05	0,9853	-0,34	0,2633	-0,18	0,7891	-0,22	0,7123	-0,26	0,7168	-0,64	0,0568
Gfm2	56,35	0,16	0,7020	0,26	0,5390	-0,01	1,0000	0,09	0,9628	-0,02	0,9716	-0,03	0,9720	-0,23	0,7143	-0,05	0,9766	-0,20	0,6236
Gfod1	79,47	0,14	0,7040	-0,12	0,8073	0,13	1,0000	0,33	0,5133	0,63	0,0035	0,12	0,8538	-0,42	0,3603	-0,14	0,8904	0,32	0,3478
Gfod2	5,49	-0,33	0,6438	0,29	0,7282	-0,14	NA	0,06	NA	0,59	0,2924	0,21	0,8610	0,20	NA	0,00	NA	0,66	0,3370
Gfpt1	76,94	0,66	0,0054	-0,02	0,9821	-0,16	1,0000	-0,07	0,9746	0,33	0,2727	-0,44	0,2965	-0,54	0,1648	-0,57	0,1422	-0,35	0,4014
Gfpt2	22,15	0,73	0,0882	0,32	0,6339	0,46	NA	-0,20	0,9058	-0,10	0,8707	-0,08	0,9412	-0,30	0,7016	-0,81	0,1771	-0,80	0,0950
Gfra1	4,92	-0,25	0,7567	-0,12	0,9072	-0,01	NA	-0,43	NA	-0,78	0,2074	-0,04	0,9755	-0,40	NA	-0,60	NA	-1,04	0,1183
Gfra2	68,39	0,27	0,5232	0,15	0,8146	-0,22	1,0000	-0,68	0,1227	-0,84	0,0171	0,22	0,7209	-0,48	0,3291	-1,19	0,0009	-0,92	0,0332

GeneID	CTL	ET-1 vs CTL		SAHA vs CTL		JS28 vs CTL		BSP vs CTL		JQ1 vs CTL		ET-1+SAHA vs ET1		ET-1+JS28 vs ET1		ET-1+BSP vs ET1		ET-1+JQ1 vs ET1	
	mean	log2(FC)	P-adj	log2(FC)	P-adj	log2(FC)	P-adj	log2(FC)	P-adj	log2(FC)	P-adj	log2(FC)	P-adj	log2(FC)	P-adj	log2(FC)	P-adj	log2(FC)	P-adj
Gga1	46,76	-0,33	0,3746	-0,17	0,7593	-0,17	1,0000	-0,20	0,8671	0,25	0,5786	-0,14	0,8681	-0,41	0,4977	0,18	0,8768	0,80	0,0921
Gga2	100,33	-0,20	0,5857	0,24	0,5601	-0,09	1,0000	-0,10	0,9473	0,25	0,3837	0,46	0,2519	0,19	0,7419	0,25	0,7134	0,48	0,1214
Gga3	73,20	-0,06	0,9039	0,19	0,6838	-0,04	1,0000	0,10	0,9482	0,49	0,0987	-0,06	0,9401	-0,26	0,6386	-0,02	0,9918	0,55	0,1576
Ggact	15,49	-0,10	0,8867	0,27	0,6962	-0,04	NA	-0,21	0,8939	-0,63	0,2101	0,61	0,3598	0,08	NA	-0,48	0,6114	-0,58	0,3474
Ggct	4,83	-0,07	0,9446	0,99	0,0545	-0,02	NA	0,10	NA	-0,59	0,3820	0,81	0,2670	0,21	NA	0,49	0,6212	0,67	0,3304
Ggcx	27,96	0,22	0,6895	0,07	0,9349	-0,08	NA	0,30	0,7668	0,55	0,1433	-0,13	0,8905	-0,19	0,8243	0,27	0,7739	-0,05	0,9486
Ggh	13,13	-0,02	0,9858	0,36	0,5727	0,13	NA	-0,56	0,3978	-1,82	0,0002	0,69	0,2777	-0,03	NA	-0,26	0,8495	-1,71	0,0015
Ggnbp1	5,41	-0,30	0,6900	-0,44	0,5390	-0,07	NA	-0,36	NA	-0,65	0,3151	-0,20	0,8630	-0,11	NA	0,01	NA	-0,68	0,3643
Ggnbp2	214,01	-0,32	0,2041	0,09	0,8453	0,09	1,0000	0,32	0,4992	-0,04	0,8999	0,02	0,9754	0,45	0,1641	0,43	0,1915	0,20	0,6073
Ggps1	72,93	-0,16	0,6721	-0,27	0,5018	-0,02	1,0000	0,09	0,9600	0,25	0,4066	0,22	0,7240	0,19	0,7685	0,28	0,6822	0,37	0,2422
Ggt7	4,18	0,06	0,9521	0,49	0,4839	0,30	NA	-0,01	NA	-0,36	0,6278	0,71	0,3624	0,29	NA	-0,17	NA	-0,44	0,5947
Ggta1	6,15	-0,36	0,6183	-0,04	0,9766	0,05	NA	-0,46	NA	-1,15	0,0425	0,29	0,7966	0,34	NA	-0,42	NA	-0,91	0,1889
Ghdc	36,79	-0,22	0,6289	0,19	0,7485	-0,02	1,0000	0,08	0,9700	0,38	0,3303	0,42	0,4661	0,02	0,9801	0,19	0,8660	0,29	0,6031
Ghitm	462,25	0,82	0,0000	0,04	0,9288	-0,11	1,0000	0,03	0,9853	-0,20	0,4948	-0,34	0,2644	-0,53	0,0428	-0,51	0,0485	-0,71	0,0066
Ghr	291,07	-0,05	0,8928	-0,18	0,6223	0,18	1,0000	0,08	0,9600	0,04	0,9092	0,14	0,7953	0,67	0,0132	0,48	0,1187	0,32	0,2452
Gid4	103,67	-0,16	0,6315	0,33	0,2668	0,18	1,0000	0,01	0,9967	-0,20	0,4894	0,18	0,7655	0,07	0,9295	-0,06	0,9583	-0,17	0,6126
Gid8	138,40	0,05	0,8955	-0,05	0,9196	0,04	1,0000	-0,04	0,9853	-0,36	0,1099	-0,14	0,7997	0,06	0,9234	0,06	0,9526	-0,38	0,1278
Gigyf1	84,19	-0,31	0,3143	-0,22	0,5755	-0,21	1,0000	-0,22	0,7737	0,62	0,0736	-0,30	0,6121	-0,16	0,8232	0,02	0,9918	0,65	0,1611
Gigyf2	129,93	-0,15	0,6686	-0,02	0,9729	0,04	1,0000	0,10	0,9440	0,51	0,0183	-0,15	0,8015	0,26	0,5672	0,24	0,6740	0,54	0,0132
Gin1	13,38	-0,47	0,3719	-0,01	0,9929	0,00	NA	0,13	0,9550	-0,35	0,5094	0,65	0,3627	0,57	NA	0,22	0,8903	0,37	0,5703
Ginm1	84,41	0,13	0,7161	0,17	0,6663	-0,07	1,0000	-0,07	0,9700	-0,15	0,6359	0,29	0,5529	0,36	0,4131	-0,02	0,9918	-0,26	0,5319
Gins1	1,55	-0,44	NA	0,11	0,9044	-0,05	NA	-0,11	NA	0,35	0,6403	0,27	NA	0,07	NA	0,08	NA	0,37	NA
Gins2	2,64	-0,38	0,5901	0,15	0,8775	0,11	NA	0,08	NA	-0,15	0,8546	0,37	0,7018	0,08	NA	0,08	NA	-0,17	NA
Gins3	5,98	0,33	0,6508	0,54	0,4194	0,03	NA	0,10	NA	-0,05	0,9590	0,61	0,4357	0,08	NA	-0,49	0,6211	-0,42	0,5800
Gins4	29,19	-0,32	0,4591	0,20	0,7298	-0,29	NA	0,18	0,8987	0,58	0,0607	0,27	0,7388	0,23	0,7793	0,50	0,4824	0,55	0,1810
Gipc1	49,73	0,14	0,7840	-0,39	0,4108	-0,09	1,0000	-0,07	0,9764	0,38	0,2564	-0,59	0,2331	-0,62	0,1823	-0,11	0,9300	0,15	0,7547
Gipr	1,87	-0,05	NA	0,43	0,5085	-0,05	NA	-0,14	NA	-0,53	0,3560	0,20	NA	-0,23	NA	-0,27	NA	-0,44	NA
Git1	227,45	0,23	0,5030	0,14	0,7752	0,07	1,0000	0,21	0,8190	0,92	0,0005	-0,48	0,1630	-0,57	0,0802	-0,03	0,9800	0,62	0,0726
Git2	69,90	0,01	0,9879	-0,06	0,9319	0,16	1,0000	0,00	0,9986	0,28	0,3439	-0,26	0,6875	0,10	0,8988	-0,12	0,9192	0,19	0,6306
Gja1	576,14	0,83	0,0000	-0,49	0,1128	0,03	1,0000	-1,16	0,0000	0,62	0,0235	-1,05	0,0000	-0,50	0,0611	-1,31	0,0000	0,17	0,5837
Gja3	37,56	0,39	0,2851	0,19	0,7474	0,05	1,0000	0,31	0,7054	0,35	0,3460	-0,19	0,8080	-0,03	0,9755	0,64	0,1508	0,57	0,2086
Gja5	41,61	-0,32	0,6647	0,15	0,8709	-0,01	1,0000	-0,14	0,9399	-0,96	0,1076	0,98	0,0525	0,16	0,8732	-0,21	0,8791	-0,35	0,6876
Gjc1	85,26	-0,28	0,4593	0,12	0,8285	0,44	0,5912	0,33	0,6084	-0,06	0,8928	0,30	0,5805	0,63	0,0826	0,45	0,3511	-0,08	0,8787
Gk5	6,40	0,05	0,9545	0,36	0,6400	0,00	NA	-0,13	NA	-0,12	0,8864	0,20	0,8603	-0,15	NA	-0,17	0,9192	-0,35	0,6723
Gkap1	42,49	-0,37	0,3958	0,11	0,8688	0,08	1,0000	-0,13	0,9458	-0,46	0,2204	0,25	0,7474	0,39	0,5297	0,13	0,9273	-0,29	0,5770
Gla	9,69	0,17	0,8265	0,69	0,2004	-0,26	NA	-0,47	0,5248	-0,25	0,7173	0,55	0,4615	-0,05	NA	-0,29	0,8339	-0,34	0,6226
Glb1	32,83	-0,21	0,6662	0,17	0,7679	0,29	1,0000	0,29	0,7338	0,49	0,1199	-0,02	0,9882	-0,04	0,9737	0,21	0,8590	0,40	0,3749
Glb1l	8,34	-0,21	0,7853	0,04	0,9721	0,12	NA	-0,17	0,9318	-0,50	0,4230	0,40	0,6818	0,05	NA	-0,29	0,8364	-0,03	0,9747
Glcci1	46,96	-0,46	0,1731	0,05	0,9408	0,02	1,0000	0,68	0,0572	1,17	0,0000	0,32	0,6111	0,61	0,1739	1,20	0,0002	1,60	0,0000
Glce	23,84	0,18	0,7637	0,29	0,6364	-0,06	NA	0,14	0,9462	0,53	0,1783	0,19	0,8318	0,03	0,9768	0,10	0,9500	0,69	0,0759
Gle1	58,96	-0,24	0,4796	-0,71	0,0197	-0,18	1,0000	-0,15	0,9084	-0,25	0,4587	-0,48	0,3584	-0,02	0,9834	-0,05	0,9784	0,21	0,6037
Glg1	444,30	0,03	0,9278	0,28	0,1456	0,08	1,0000	0,46	0,0079	0,59	0,0000	0,09	0,8684	0,11	0,8196	0,52	0,0402	0,65	0,0008
Gli3	9,64	0,48	0,4211	0,43	0,5436	0,12	NA	0,24	0,8646	0,70	0,1813	-0,47	0,5924	-0,35	NA	-0,20	0,9034	0,30	0,6514
Glipr2	34,19	1,74	0,0000	0,75	0,1397	-0,33	NA	0,02	0,9903	0,83	0,0772	-0,64	0,4264	-1,04	0,0463	-0,93	0,1453	-0,74	0,2119
Glis1	2,01	0,09	NA	-0,22	0,7670	-0,05	NA	0,22	NA	0,82	0,1826	-0,41	NA	-0,16	NA	0,03	NA	0,20	0,8294

GeneID	CTL	ET-1 vs CTL		SAHA vs CTL		JS28 vs CTL		BSP vs CTL		JQ1 vs CTL		ET-1+SAHA vs ET1		ET-1+JS28 vs ET1		ET-1+BSP vs ET1		ET-1+JQ1 vs ET1	
	mean	log2(FC)	P-adj	log2(FC)	P-adj	log2(FC)	P-adj	log2(FC)	P-adj	log2(FC)	P-adj	log2(FC)	P-adj	log2(FC)	P-adj	log2(FC)	P-adj	log2(FC)	P-adj
Glis2	43,69	-0,36	0,3857	0,20	0,7093	0,24	1,0000	0,00	0,9988	0,35	0,3632	0,18	0,8290	0,11	0,9079	0,22	0,8386	0,48	0,3480
Glis3	5,68	-0,29	0,7073	-0,01	0,9901	-0,03	NA	-0,10	NA	0,14	0,8661	0,15	0,9081	0,00	NA	-0,06	NA	0,49	0,5243
Glmn	22,75	-0,26	0,6201	-0,34	0,5509	-0,19	NA	0,04	0,9853	-0,62	0,1440	-0,08	0,9446	0,24	0,7735	-0,07	0,9730	-0,27	0,7125
Glo1	174,51	0,04	0,9335	-0,55	0,0430	-0,10	1,0000	-0,22	0,7576	-0,04	0,9207	-0,11	0,8458	-0,07	0,9114	-0,21	0,7375	-0,03	0,9416
Glod4	169,94	-0,27	0,3141	-0,40	0,1100	-0,06	1,0000	-0,09	0,9430	-0,49	0,0190	0,00	0,9989	0,04	0,9603	0,09	0,9264	-0,45	0,1377
Glrb	51,41	0,40	0,2160	0,33	0,4136	-0,06	1,0000	0,19	0,8797	0,10	0,8180	0,14	0,8493	-0,04	0,9666	-0,19	0,8492	-0,23	0,6835
Glrx	47,05	-0,04	0,9550	-0,23	0,7167	-0,02	1,0000	0,04	0,9853	-0,22	0,6325	-0,07	0,9394	0,15	0,8430	0,22	0,8228	-0,05	0,9292
Glrx2	33,57	0,11	0,8481	0,39	0,4001	-0,10	NA	-0,22	0,8670	-0,39	0,3781	0,36	0,5680	0,04	0,9677	-0,14	0,9143	-0,42	0,3879
Glrx3	10,58	0,10	0,9085	-0,01	0,9903	-0,19	NA	-0,22	0,8814	-0,66	0,2758	-0,40	0,6820	-0,43	NA	0,00	1,0000	-0,97	0,0994
Glrx5	20,25	0,39	0,4158	0,04	0,9682	0,14	NA	-0,06	0,9853	0,12	0,8346	0,13	0,8927	-0,38	0,6049	0,15	0,9192	-0,20	0,7382
Gls	235,12	0,17	0,6861	0,02	0,9822	0,26	1,0000	0,52	0,1543	0,66	0,0128	0,04	0,9572	0,28	0,5501	0,33	0,5273	0,55	0,1917
Git25d1	140,72	0,39	0,0604	-0,17	0,6607	-0,10	1,0000	-0,31	0,5586	0,32	0,2397	-0,45	0,1999	-0,37	0,3257	-0,40	0,3026	0,13	0,7804
Git28d2	11,07	-0,42	0,5074	-0,15	0,8666	-0,15	NA	-0,39	0,6725	-0,69	0,2027	0,36	0,7259	0,45	NA	0,01	0,9980	-0,29	0,7275
Git8d1	43,73	-0,20	0,6511	-0,76	0,0296	0,02	1,0000	-0,31	0,7022	-1,03	0,0010	-0,75	0,1459	0,11	0,8994	-0,27	0,7828	-0,64	0,0979
Gitp	35,94	0,02	0,9780	0,03	0,9799	-0,06	1,0000	-0,56	0,3748	-0,43	0,4158	-0,02	0,9894	-0,34	0,6185	-0,89	0,0850	-0,60	0,2024
Gitpd1	13,40	-0,26	0,7046	0,43	0,4935	-0,19	NA	-0,08	0,9761	-0,03	0,9673	0,37	0,6966	-0,04	NA	-0,43	0,6935	0,06	0,9430
Gltscr1	38,69	-0,31	0,5363	0,39	0,4088	-0,10	1,0000	-0,15	0,9364	0,18	0,7620	-0,09	0,9333	-0,22	0,7981	0,13	0,9328	0,34	0,5573
Gltscr11	63,17	0,10	0,8410	0,30	0,4622	0,03	1,0000	0,15	0,9084	0,01	0,9786	-0,29	0,6565	-0,01	0,9878	-0,32	0,6738	-0,43	0,3786
Gltscr2	99,64	-0,26	0,4182	-0,44	0,1613	-0,16	1,0000	-0,06	0,9746	0,29	0,2600	-0,52	0,2258	-0,18	0,7690	-0,05	0,9765	0,43	0,1537
Glud1	153,39	0,30	0,2660	-0,35	0,2701	0,06	1,0000	0,26	0,6524	0,48	0,0175	-0,32	0,4545	-0,18	0,7273	0,14	0,8614	0,25	0,4296
Glu1	185,22	-0,29	0,2447	-0,11	0,7679	0,10	1,0000	-0,18	0,7716	0,10	0,6882	0,02	0,9771	0,22	0,6575	0,06	0,9558	0,31	0,3698
Glyctk	1,45	0,06	NA	-0,17	0,8060	-0,01	NA	-0,08	NA	0,12	0,8844	-0,01	NA	-0,14	NA	-0,01	NA	-0,04	NA
Glyr1	127,41	-0,12	0,7304	-0,28	0,3876	0,11	1,0000	0,18	0,8246	0,27	0,2435	-0,13	0,8301	0,08	0,9052	0,20	0,7608	0,28	0,3322
Gm10033	37,08	-0,25	0,5919	-0,14	0,8323	0,04	1,0000	-0,09	0,9654	-0,40	0,2984	0,01	0,9957	0,38	0,5526	0,07	0,9654	-0,60	0,2533
Gm10069	8,15	-0,17	0,8256	0,49	0,4467	-0,11	NA	-0,18	0,9251	-0,89	0,1185	-0,28	0,8021	-0,23	NA	-0,40	0,7215	-0,78	0,2478
Gm10336	51,15	0,24	0,5812	0,09	0,8953	0,32	1,0000	0,31	0,6940	0,11	0,8005	-0,13	0,8727	-0,02	0,9837	-0,04	0,9858	-0,18	0,6791
Gm10400	4,18	-0,40	0,5624	-0,49	0,4725	-0,22	NA	-0,16	NA	-0,71	0,2696	-0,53	NA	-0,21	NA	-0,31	NA	-0,45	0,5445
Gm10406	6,20	0,28	0,7088	-0,21	0,8162	-0,13	NA	-0,23	NA	-0,58	0,3804	-0,37	0,7228	0,04	NA	-0,27	0,8507	-1,10	0,0908
Gm10416	1,04	-0,26	NA	-0,04	0,9712	-0,09	NA	-0,09	NA	-0,48	NA	0,14	NA	0,32	NA	-0,03	NA	-0,10	NA
Gm10440	1,39	-0,64	NA	-0,52	0,3448	-0,15	NA	-0,32	NA	-0,71	0,2175	0,02	NA	0,19	NA	-0,03	NA	0,01	NA
Gm1045	2,31	-0,30	0,6771	0,18	0,8463	-0,11	NA	0,09	NA	0,31	0,6892	0,25	NA	-0,03	NA	-0,11	NA	0,77	0,2900
Gm10509	14,31	-0,23	0,7344	0,10	0,9119	-0,10	NA	-0,25	0,8591	-0,96	0,0523	-0,21	0,8430	0,45	NA	-0,24	0,8638	-0,94	0,0998
Gm10516	5,10	0,19	0,8236	-0,40	0,5753	0,02	NA	0,10	NA	0,31	0,6680	-0,51	0,5667	0,07	NA	0,37	0,7644	0,47	0,5162
Gm10532	1,07	-0,24	NA	-0,31	NA	-0,10	NA	-0,14	NA	0,14	0,8605	0,01	NA	-0,05	NA	-0,07	NA	0,53	NA
Gm10549	1,04	-0,10	NA	-0,07	0,9288	0,05	NA	0,06	NA	0,32	0,6631	-0,03	NA	-0,14	NA	0,08	NA	0,07	NA
Gm10560	3,20	-0,68	0,2329	-0,32	0,6882	-0,08	NA	0,04	NA	-0,85	0,1608	0,35	NA	0,17	NA	-0,20	NA	0,30	0,7281
Gm10653	1,10	-0,16	NA	-0,24	NA	-0,08	NA	-0,13	NA	0,14	0,8635	-0,10	NA	-0,07	NA	-0,09	NA	0,17	NA
Gm11149	5,70	0,19	NA	-0,11	0,8227	-0,03	NA	-0,04	NA	0,10	0,8298	0,05	0,9727	-0,27	NA	-1,03	0,0618	0,10	0,9286
Gm11517	1,43	-0,03	NA	0,11	0,9054	-0,05	NA	0,13	NA	0,69	0,2844	-0,07	NA	-0,05	NA	0,06	NA	0,72	0,3336
Gm11696	7,09	-0,21	0,7857	-0,49	0,4817	-0,24	NA	0,01	0,9972	-0,29	0,6880	0,23	0,8417	0,09	NA	-0,07	0,9786	0,09	0,9319
Gm11837	6,47	-0,10	0,9141	-0,24	0,7861	-0,19	NA	-0,42	NA	-1,13	0,0467	-0,61	0,4608	0,13	NA	-0,75	NA	-1,43	0,0210
Gm11944	13,20	0,18	0,7893	-0,48	0,4552	-0,09	NA	0,31	0,7793	0,43	0,4212	-0,57	0,4567	-0,18	NA	-0,32	0,7895	0,15	0,8325
Gm11974	3,00	0,63	0,2792	0,33	0,6327	0,12	NA	-0,02	NA	0,05	0,9580	0,29	0,7960	-0,31	NA	-0,19	NA	-0,78	0,2784
Gm11992	10,83	-1,17	0,0055	0,95	0,0135	0,21	NA	-0,09	0,9742	-1,62	0,0004	1,49	0,0060	1,08	NA	0,51	0,6059	-1,14	0,0790
Gm12238	11,68	0,13	0,8733	0,08	0,9405	0,10	NA	0,21	0,8833	0,63	0,3182	-0,25	0,7985	-0,16	NA	0,03	0,9918	0,04	0,9665

GeneID	CTL	ET-1 vs CTL		SAHA vs CTL		JS28 vs CTL		BSP vs CTL		JQ1 vs CTL		ET-1+SAHA vs ET1		ET-1+JS28 vs ET1		ET-1+BSP vs ET1		ET-1+JQ1 vs ET1	
	mean	log2(FC)	P-adj	log2(FC)	P-adj	log2(FC)	P-adj	log2(FC)	P-adj	log2(FC)	P-adj	log2(FC)	P-adj	log2(FC)	P-adj	log2(FC)	P-adj	log2(FC)	P-adj
Gm12250	3,66	-0,88	0,0936	-0,37	0,6345	-0,09	NA	0,08	NA	-0,18	0,8283	-0,04	NA	0,26	NA	0,22	NA	0,56	0,4668
Gm12295	63,35	2,15	0,0000	-0,10	0,9044	0,17	NA	-1,37	0,0001	-2,09	0,0000	-0,79	0,0520	0,07	0,9292	-2,54	0,0000	-3,91	0,0000
Gm12338	30,82	0,01	0,9891	-0,96	0,0643	-0,39	NA	-0,50	0,4954	-1,00	0,0516	-0,84	0,1804	-0,13	0,9063	0,14	0,9311	-0,91	0,1028
Gm12359	4,63	0,09	0,9193	-0,49	0,4470	-0,11	NA	-0,20	NA	0,71	0,2497	-0,45	0,6358	-0,35	NA	0,19	0,9080	0,20	0,8220
Gm12409	4,20	-0,25	0,7511	0,90	0,0920	0,11	NA	0,18	NA	-1,39	0,0086	0,87	0,2208	0,36	NA	0,29	NA	-0,97	0,1349
Gm12522	1,52	0,31	NA	1,03	0,0347	0,01	NA	-0,01	NA	0,14	0,8506	1,09	0,0928	0,19	NA	-0,29	NA	-0,09	0,9317
Gm12657	1,11	-0,22	NA	-0,21	0,6981	-0,02	NA	-0,04	NA	-0,35	NA	-0,05	NA	-0,08	NA	-0,09	NA	0,43	NA
Gm12942	4,08	0,01	0,9938	0,13	0,8920	0,01	NA	0,18	NA	-0,38	0,6113	-0,18	0,8856	-0,24	NA	-0,29	NA	-0,57	0,4651
Gm12992	3,46	-0,27	0,7196	0,07	0,9504	-0,22	NA	-0,22	NA	0,30	0,6915	0,07	0,9516	0,01	NA	-0,12	NA	0,62	0,4118
Gm13154	1,67	0,23	NA	0,22	0,7549	0,09	NA	-0,03	NA	-0,24	NA	0,02	0,9903	0,01	NA	-0,34	NA	-0,82	NA
Gm13157	16,57	-0,14	0,8356	0,32	0,6135	0,28	NA	-0,25	0,8580	-0,66	0,1867	0,01	0,9966	0,46	NA	-0,11	0,9551	-1,18	0,0305
Gm13247	3,06	0,24	0,7635	-0,05	0,9587	-0,05	NA	-0,03	NA	0,05	0,9528	-0,42	0,6506	-0,25	NA	-0,13	NA	-0,46	0,5772
Gm13251	13,05	0,39	0,5113	0,33	0,6521	0,09	NA	0,18	0,9260	0,24	0,7063	0,14	0,9034	0,15	NA	-0,29	0,8199	-0,33	0,6127
Gm13315	10,71	0,17	0,8331	-0,08	0,9393	-0,22	NA	0,12	0,9614	0,20	0,7922	-0,55	0,5127	-0,58	NA	-0,46	0,6579	0,34	0,6736
Gm13375	25,03	-0,11	0,8824	-0,01	0,9899	0,02	NA	0,21	0,8803	1,47	0,0000	-0,16	0,8781	-0,21	0,8293	0,38	0,6935	1,40	0,0030
Gm13826	12,82	0,16	0,8265	-0,51	0,4259	-0,40	NA	-0,50	0,4990	-0,39	0,5126	-0,02	0,9889	-0,41	NA	0,16	0,9194	-0,12	0,8761
Gm13889	2,81	0,58	0,3382	-0,02	0,9867	-0,08	NA	0,02	NA	0,10	0,9080	-0,02	0,9883	-0,27	NA	-0,03	NA	0,43	0,5948
Gm14057	9,48	0,16	0,8440	-0,14	0,8895	-0,30	NA	0,03	0,9860	0,25	0,7260	-0,34	0,7375	-0,52	NA	-0,01	0,9973	-0,36	0,6222
Gm14164	1,81	0,83	NA	-0,04	NA	-0,01	NA	0,00	NA	0,08	NA	-0,68	0,3307	-0,50	NA	-0,57	NA	-1,03	0,1076
Gm14295	2,52	-0,12	0,8913	-0,28	0,7233	0,19	NA	-0,17	NA	-0,47	0,4980	0,18	0,8709	0,34	NA	0,23	NA	-0,28	0,7459
Gm14322	2,99	-0,11	0,9032	0,32	0,6906	0,05	NA	0,02	NA	-0,11	0,8955	0,69	0,3765	0,22	NA	0,05	NA	-0,54	NA
Gm14325	40,65	-0,31	0,4205	0,50	0,1677	0,10	1,0000	0,02	0,9901	-0,58	0,0928	0,39	0,5137	0,60	0,2113	0,53	0,3549	-0,26	0,6029
Gm14326	29,47	0,09	0,8772	0,72	0,0414	0,37	0,9895	0,26	0,8185	-0,42	0,3205	0,08	0,9414	0,28	0,6975	0,02	0,9938	-0,42	0,3927
Gm14378	4,06	0,13	0,8824	-0,08	0,9342	-0,10	NA	0,11	NA	-0,22	0,7865	-0,53	0,5304	-0,39	NA	0,07	NA	-0,44	0,5990
Gm14403	22,38	-0,29	0,5720	0,56	0,2050	0,01	NA	-0,02	0,9901	-1,02	0,0130	0,80	0,1307	0,51	0,3954	0,42	0,6114	-0,70	0,1622
Gm14420	27,78	-0,12	0,8382	0,52	0,2137	0,23	NA	-0,20	0,8903	-0,19	0,6969	0,37	0,6035	0,74	0,1130	0,51	0,4312	-0,14	0,8142
Gm14446	2,21	-0,29	NA	-0,28	0,6937	0,06	NA	0,02	NA	0,13	0,8796	0,07	NA	0,56	NA	0,48	NA	1,25	0,0499
Gm14634	1,20	-0,47	NA	0,16	0,8532	0,17	NA	0,13	NA	0,09	0,9201	0,33	NA	0,07	NA	0,51	NA	0,17	NA
Gm14827	1,52	0,26	NA	-0,18	NA	-0,04	NA	-0,06	NA	-0,12	NA	-0,29	NA	-0,28	NA	-0,13	NA	-0,62	NA
Gm15328	13,83	0,29	0,6531	-0,12	0,8954	-0,26	NA	-0,54	0,4282	-0,09	0,8984	0,10	0,9320	-0,35	NA	-0,54	0,5438	0,02	0,9829
Gm15350	1,59	0,01	NA	-0,16	0,7858	-0,02	NA	-0,03	NA	0,44	0,5107	0,09	NA	0,06	NA	-0,28	NA	0,33	0,6969
Gm15408	1,09	-0,27	NA	0,07	0,9368	-0,07	NA	-0,14	NA	-0,50	NA	0,05	NA	0,10	NA	0,05	NA	-0,10	NA
Gm15417	3,04	0,49	0,4416	0,24	0,7646	0,07	NA	-0,11	NA	-0,01	0,9874	-0,20	0,8641	-0,15	NA	-0,50	NA	-0,90	0,1971
Gm15421	5,26	0,16	0,8540	-0,49	0,4668	-0,19	NA	-0,24	NA	-0,31	0,6878	-0,30	0,7828	-0,27	NA	0,48	0,6395	-0,21	0,8223
Gm15441	12,29	-0,11	NA	-0,32	0,6001	-0,10	NA	-0,22	0,7443	0,17	0,8283	0,34	0,7018	0,10	NA	-0,88	0,1508	0,27	0,7513
Gm15446	2,39	-0,16	0,8430	0,14	0,8775	-0,03	NA	0,05	NA	-0,30	0,6860	0,69	0,3695	0,21	NA	0,00	NA	0,31	0,7239
Gm15545	3,17	-0,35	0,6225	0,07	0,9471	0,02	NA	-0,20	NA	0,10	0,9080	-0,29	NA	0,19	NA	-0,01	NA	0,38	0,6527
Gm15612	5,65	0,03	0,9761	0,02	0,9845	0,01	NA	-0,17	NA	0,55	0,4158	0,32	0,7613	0,35	NA	-0,32	NA	0,39	0,6237
Gm15663	3,94	-0,01	0,9927	-0,07	0,9545	-0,19	NA	0,30	NA	0,20	0,8061	-0,05	0,9695	-0,30	NA	-0,18	NA	0,20	0,8323
Gm15708	1,64	0,12	NA	-0,02	0,9815	0,03	NA	-0,04	NA	0,28	0,7020	0,12	NA	0,00	NA	-0,27	NA	0,66	0,3810
Gm15760	6,10	0,36	0,6155	0,00	0,9967	-0,21	NA	0,07	NA	0,80	0,1518	-0,36	0,7258	-0,29	NA	-0,02	0,9936	0,22	0,7838
Gm15787	4,36	0,12	0,8910	-0,22	0,7888	-0,08	NA	0,12	NA	0,03	0,9721	0,07	0,9596	-0,14	NA	-0,46	NA	0,08	0,9401
Gm15800	290,89	-0,44	0,0158	0,21	0,4485	-0,18	1,0000	0,11	0,8987	0,23	0,2414	0,06	0,9265	0,08	0,8988	0,23	0,6256	0,47	0,0192
Gm15816	9,26	-0,06	0,9508	-0,87	0,1123	-0,35	NA	-0,62	0,2309	-0,94	0,0985	-0,47	0,6203	0,11	NA	-0,94	0,1340	-0,76	0,2653
Gm16023	3,04	-0,34	0,6352	-0,28	0,7312	-0,20	NA	-0,06	NA	-0,53	0,4372	0,06	0,9650	0,04	NA	-0,02	NA	0,04	0,9753

GeneID	CTL	ET-1 vs CTL		SAHA vs CTL		JS28 vs CTL		BSP vs CTL		JQ1 vs CTL		ET-1+SAHA vs ET1		ET-1+JS28 vs ET1		ET-1+BSP vs ET1		ET-1+JQ1 vs ET1	
	mean	log2(FC)	P-adj	log2(FC)	P-adj	log2(FC)	P-adj	log2(FC)	P-adj	log2(FC)	P-adj	log2(FC)	P-adj	log2(FC)	P-adj	log2(FC)	P-adj	log2(FC)	P-adj
Gm16039	33,35	-0,24	0,6232	0,03	0,9666	0,02	1,0000	-0,19	0,8903	-0,60	0,0836	0,42	0,5096	0,26	0,7263	0,16	0,9064	0,03	0,9649
Gm16386	12,58	-0,17	0,8095	0,19	0,8126	-0,18	NA	0,02	0,9901	-0,16	0,8063	0,41	0,6518	0,08	NA	0,15	0,9311	-0,30	0,6879
Gm16515	118,29	-0,12	0,7781	-0,20	0,6251	-0,06	1,0000	-0,16	0,8687	0,48	0,0781	-0,27	0,6306	-0,15	0,8244	0,15	0,8665	0,86	0,0267
Gm16523	4,23	-0,66	0,2636	-0,31	0,7087	-0,19	NA	-0,26	NA	-0,28	0,7078	-0,07	NA	0,11	NA	0,27	NA	0,34	0,6908
Gm1653	1,27	-0,68	NA	-0,56	0,2608	-0,14	NA	-0,25	NA	-0,65	0,2636	0,04	NA	NA	NA	0,03	NA	NA	NA
Gm16532	1,40	0,16	NA	0,14	0,8495	-0,03	NA	0,10	NA	0,09	0,9091	0,16	NA	0,01	NA	-0,27	NA	-0,51	NA
Gm16576	12,88	0,30	0,6297	-0,83	0,1226	-0,01	NA	-0,06	0,9853	-0,24	0,7163	-0,72	0,3148	-0,26	NA	-0,06	0,9792	-0,30	0,6491
Gm16596	1,18	-0,01	NA	-0,22	NA	-0,07	NA	-0,11	NA	-0,30	NA	0,02	NA	-0,08	NA	-0,15	NA	-0,09	NA
Gm166	8,47	-0,21	0,7897	0,33	0,6751	-0,03	NA	0,14	0,9469	0,44	0,4574	0,68	0,3654	0,14	NA	0,13	0,9437	0,34	0,6491
Gm16675	3,91	0,34	0,6430	0,13	0,8952	-0,06	NA	-0,07	NA	0,12	0,8867	-0,48	0,5971	-0,37	NA	-0,62	NA	-0,24	0,7910
Gm1673	4,94	-0,70	0,2152	-0,18	0,8471	-0,18	NA	0,26	0,8475	0,61	0,2832	0,87	0,2201	-0,14	NA	0,13	NA	0,97	0,1376
Gm16740	1,94	-0,19	NA	-0,52	0,3477	-0,04	NA	-0,12	NA	0,39	0,6022	0,05	NA	-0,08	NA	0,01	NA	0,27	0,7653
Gm16793	34,49	-0,16	0,8016	-1,20	0,0037	-0,03	1,0000	-0,49	0,4756	-1,21	0,0018	-0,36	0,6464	0,37	0,5741	-0,28	0,7954	-0,66	0,1786
Gm16845	1,12	0,17	NA	0,04	NA	-0,02	NA	0,14	NA	0,64	0,3098	-0,05	NA	-0,14	NA	-0,24	NA	-0,28	NA
Gm16861	3,02	-0,51	0,4163	-0,44	0,5129	-0,11	NA	-0,32	NA	-0,18	0,8203	0,21	NA	0,25	NA	-0,11	NA	-0,01	NA
Gm16907	2,01	0,02	NA	-0,07	0,8347	-0,02	NA	-0,04	NA	-0,08	0,8706	-0,15	NA	-0,03	NA	-0,23	NA	0,08	0,9391
Gm16973	8,70	-0,45	0,4817	-0,86	0,1186	-0,12	NA	-0,11	0,9634	-0,16	0,8235	-0,13	0,9243	0,15	NA	0,17	0,9250	0,34	0,6599
Gm16982	3,44	-0,17	0,8265	-0,47	0,4266	-0,21	NA	-0,26	NA	0,25	0,7522	-0,17	0,8682	-0,08	NA	-0,34	NA	0,75	0,2997
Gm17066	44,04	-0,31	0,4293	0,09	0,8884	-0,01	1,0000	0,20	0,8646	-0,56	0,0841	0,56	0,2619	0,69	0,1147	0,30	0,7265	-0,37	0,4268
Gm17296	24,89	0,32	0,4926	-0,05	0,9609	0,18	NA	0,11	0,9600	0,50	0,2037	-0,54	0,3999	-0,24	0,7690	-0,17	0,9025	0,54	0,1582
Gm17762	1,18	-0,19	NA	0,01	0,9926	-0,03	NA	-0,06	NA	-0,23	0,7380	-0,09	NA	0,12	NA	-0,08	NA	-0,05	NA
Gm17769	3,06	-0,15	0,8597	0,25	0,7712	-0,12	NA	0,20	NA	0,47	0,4942	0,22	0,8456	0,07	NA	0,51	NA	-0,01	0,9959
Gm1821	41,94	0,05	0,9467	-0,50	0,3644	-0,26	1,0000	-0,35	0,7079	0,62	0,1348	-0,06	0,9573	-0,11	0,9118	-0,17	0,9021	0,43	0,3621
Gm1943	1,54	-0,06	NA	-0,09	0,9221	-0,08	NA	-0,12	NA	-0,37	0,5662	0,18	NA	0,02	NA	0,09	NA	-0,11	NA
Gm19461	1,05	-0,10	NA	-0,19	0,7792	-0,11	NA	-0,13	NA	-0,20	NA	-0,10	NA	0,08	NA	-0,12	NA	-0,10	NA
Gm19522	1,49	0,00	NA	0,14	0,8713	-0,02	NA	0,29	NA	0,73	0,2433	0,20	NA	0,00	NA	0,11	NA	0,46	0,5764
Gm19689	1,90	0,32	NA	-0,17	0,8019	-0,08	NA	-0,15	NA	-0,41	NA	0,09	0,9414	-0,37	NA	-0,41	NA	-0,88	NA
Gm1976	11,05	0,48	0,3786	0,56	0,3550	0,08	NA	0,03	0,9860	-0,27	0,6971	0,41	0,6203	0,10	NA	-0,41	0,7001	-0,16	0,8303
Gm19897	2,76	0,12	0,8201	0,02	0,9820	-0,08	NA	-0,04	NA	-0,11	0,8871	-0,13	0,9171	-0,13	NA	-0,48	NA	-0,37	0,6495
Gm2011	1,08	-0,07	NA	0,07	0,9411	-0,09	NA	-0,02	NA	-0,24	NA	-0,15	NA	0,08	NA	0,01	NA	-0,31	NA
Gm20199	9,80	-0,94	0,0472	-0,20	0,8139	-0,50	NA	-0,32	0,7688	0,09	0,8980	0,93	0,1723	0,58	NA	0,69	0,3930	0,94	0,1224
Gm20300	61,78	-0,42	0,2004	0,08	0,8972	0,04	1,0000	0,06	0,9798	-0,79	0,0130	0,81	0,0268	0,68	0,1054	0,31	0,6695	-0,55	0,1841
Gm20324	1,36	-0,05	NA	-0,12	0,8726	-0,05	NA	-0,10	NA	-0,52	NA	-0,05	NA	-0,03	NA	-0,02	NA	-0,16	NA
Gm20594	192,66	-0,03	0,9794	-0,49	0,4251	-0,22	1,0000	-0,34	0,6070	-0,06	0,9453	-0,85	0,2389	-0,53	0,4311	-0,42	0,6935	0,00	0,9984
Gm21119	1,80	-0,16	NA	-0,26	0,7103	0,03	NA	0,11	NA	0,40	0,5826	0,01	NA	0,09	NA	-0,01	NA	0,23	0,8004
Gm21284	2,01	-0,31	NA	0,41	0,5687	-0,08	NA	0,01	NA	-0,59	0,3337	0,51	0,5086	0,12	NA	0,18	NA	-0,03	NA
Gm2382	1,95	-0,18	NA	0,03	0,9818	-0,05	NA	0,05	NA	-0,74	0,1578	0,20	NA	-0,05	NA	0,00	NA	-0,27	NA
Gm2518	1,28	-0,25	NA	0,23	0,7681	-0,07	NA	0,05	NA	0,72	0,2539	0,14	NA	0,04	NA	0,34	NA	0,77	0,2798
Gm2a	107,17	-0,12	0,7699	0,90	0,0000	0,19	1,0000	-0,14	0,9050	-0,37	0,1893	1,21	0,0000	0,40	0,3644	-0,05	0,9713	-0,09	0,8669
Gm3219	1,35	0,15	NA	-0,19	NA	-0,02	NA	-0,03	NA	0,05	0,9540	-0,31	NA	-0,22	NA	-0,18	NA	-0,40	NA
Gm3264	2,07	-0,01	NA	-0,42	0,4537	-0,09	NA	-0,22	NA	-0,36	0,6051	-0,12	NA	-0,14	NA	-0,23	NA	-0,14	0,8911
Gm3414	20,42	-0,18	0,7882	0,38	0,5097	-0,05	NA	0,43	0,5969	0,12	0,8343	-0,18	0,8684	0,49	0,4736	0,37	0,7189	0,49	0,3729
Gm3558	12,14	0,82	0,0678	-0,03	0,9824	0,04	NA	0,20	0,9118	-0,51	0,4248	-0,78	0,2570	-0,48	NA	-0,42	0,6775	-1,60	0,0020
Gm3604	3,15	-0,21	0,8021	0,35	0,6563	0,01	NA	0,03	NA	-0,01	0,9938	0,51	0,5652	0,48	NA	0,73	NA	0,29	0,7451
Gm364	1,49	0,62	NA	0,09	NA	0,03	NA	0,14	NA	-0,09	NA	0,02	0,9903	0,02	NA	-0,24	NA	-0,82	NA

GeneID	CTL	ET-1 vs CTL		SAHA vs CTL		JS28 vs CTL		BSP vs CTL		JQ1 vs CTL		ET-1+SAHA vs ET1		ET-1+JS28 vs ET1		ET-1+BSP vs ET1		ET-1+JQ1 vs ET1	
	mean	log2(FC)	P-adj	log2(FC)	P-adj	log2(FC)	P-adj	log2(FC)	P-adj	log2(FC)	P-adj	log2(FC)	P-adj	log2(FC)	P-adj	log2(FC)	P-adj	log2(FC)	P-adj
Gm4285	3,87	-0,08	0,9301	-0,27	0,7498	-0,11	NA	-0,15	NA	0,24	0,7592	0,61	0,4626	0,33	NA	-0,01	NA	0,04	0,9746
Gm4349	1,89	0,14	NA	0,07	0,9444	0,08	NA	0,04	NA	-0,14	0,8565	-0,25	NA	-0,12	NA	-0,21	NA	-0,54	NA
Gm4532	3,10	-0,67	0,2479	-0,52	0,4363	-0,12	NA	-0,28	NA	-0,94	0,1161	-0,01	NA	-0,01	NA	0,02	NA	0,50	0,5381
Gm4890	4,03	-0,23	0,7797	0,35	0,6521	-0,12	NA	0,05	NA	0,40	0,5693	0,56	0,5086	-0,06	NA	0,24	NA	0,55	0,4736
Gm4944	51,75	-0,31	0,4056	0,37	0,3358	0,07	1,0000	0,13	0,9364	-0,02	0,9718	0,23	0,7506	0,68	0,0993	0,25	0,7864	0,11	0,8620
Gm5105	1,65	0,04	NA	-0,33	0,5626	-0,06	NA	-0,17	NA	-0,57	NA	0,02	NA	-0,10	NA	-0,27	NA	-0,49	NA
Gm5113	12,60	0,37	0,5322	0,33	0,6546	0,28	NA	-0,06	0,9853	-1,21	0,0202	0,41	0,6340	-0,25	NA	-0,53	0,5640	-1,49	0,0062
Gm5124	2,00	-0,04	NA	0,45	0,4910	0,10	NA	0,00	NA	0,30	0,6989	0,43	0,6381	0,04	NA	-0,03	NA	-0,31	NA
Gm5141	6,87	-0,07	0,9380	0,50	0,4432	0,09	NA	0,11	0,9634	-0,51	0,4377	0,17	0,8888	0,18	NA	-0,31	0,8160	-0,56	0,4510
Gm527	5,71	-0,05	0,9548	-0,23	0,7952	0,06	NA	0,19	NA	0,00	0,9979	-0,34	0,7483	0,04	NA	-0,12	NA	0,78	0,2051
Gm5464	1,27	0,03	NA	0,11	0,8869	-0,04	NA	0,09	NA	-0,03	0,9726	0,11	NA	-0,18	NA	0,09	NA	-0,20	NA
Gm5577	1,81	-0,42	NA	-0,28	0,7144	0,03	NA	-0,23	NA	-0,59	0,3441	-0,15	NA	0,15	NA	0,02	NA	-0,31	NA
Gm5595	28,49	-0,19	0,7296	-0,04	0,9659	0,00	NA	0,00	0,9986	-0,46	0,2873	-0,41	0,5667	0,22	0,7856	0,22	0,8511	-0,09	0,8938
Gm561	15,38	0,30	0,6347	0,26	0,7330	0,01	NA	0,01	0,9932	-0,46	0,4268	-0,04	0,9738	-0,07	NA	-0,30	0,8161	-0,96	0,0765
Gm5617	5,04	-0,07	0,9398	0,25	0,7721	-0,03	NA	0,20	NA	1,02	0,0424	0,67	0,3959	-0,20	NA	0,35	0,7839	1,31	0,0110
Gm5643	1,41	0,06	NA	-0,18	NA	-0,06	NA	-0,02	NA	-0,33	NA	-0,28	NA	-0,20	NA	-0,22	NA	-0,46	NA
Gm572	5,18	-0,30	0,6853	-0,38	0,6228	0,11	NA	-0,35	NA	-1,22	0,0299	0,02	0,9930	0,21	NA	0,00	NA	-1,00	0,1379
Gm5796	1,26	0,19	NA	0,13	0,8691	0,05	NA	0,00	NA	-0,27	NA	-0,21	NA	0,04	NA	0,11	NA	-0,13	NA
Gm5801	3,19	-0,11	0,9032	0,02	0,9836	-0,05	NA	0,04	NA	0,04	0,9614	0,07	0,9596	0,23	NA	0,11	NA	0,40	0,6383
Gm608	192,47	-0,17	0,4900	-0,32	0,1791	-0,09	1,0000	-0,16	0,8214	-0,52	0,0138	-0,30	0,4429	0,12	0,8355	0,10	0,9025	-0,29	0,3228
Gm6251	1,86	-0,37	NA	-0,19	0,8099	-0,12	NA	-0,22	NA	-0,18	0,8180	-0,19	NA	-0,08	NA	0,05	NA	0,33	NA
Gm6297	5,59	-0,63	0,2763	-0,31	0,7054	-0,19	NA	-0,15	0,9430	-0,10	0,9011	-0,17	0,8859	0,38	NA	0,08	NA	0,15	0,8777
Gm6307	24,54	0,20	0,7745	0,19	0,7976	-0,01	NA	0,27	0,8237	1,41	0,0086	0,34	0,7013	-0,04	0,9739	0,98	0,0572	1,34	0,0344
Gm6402	1,19	-0,02	NA	-0,14	0,8389	-0,08	NA	0,02	NA	0,30	0,6785	-0,19	NA	-0,21	NA	-0,09	NA	-0,23	NA
Gm6416	4,83	0,33	0,6560	-0,20	0,8127	-0,07	NA	-0,36	NA	-0,63	0,3345	-0,11	0,9360	-0,05	NA	-0,70	NA	-1,57	0,0090
Gm6498	3,30	-0,21	0,7900	-0,06	0,9623	-0,08	NA	0,04	NA	-0,24	0,7690	0,42	0,6526	0,25	NA	0,10	NA	0,19	0,8407
Gm6548	16,91	0,19	0,7849	-0,09	0,9291	0,08	NA	0,10	0,9684	0,19	0,7676	-0,44	0,5845	-0,04	NA	-0,16	0,9192	-0,25	0,6873
Gm6623	1,05	-0,02	NA	-0,18	NA	-0,07	NA	-0,09	NA	-0,26	NA	-0,16	NA	-0,18	NA	-0,12	NA	-0,24	NA
Gm6654	1,39	-0,26	NA	-0,22	0,7668	-0,06	NA	-0,15	NA	-0,08	0,9222	0,34	NA	-0,02	NA	-0,10	NA	0,01	NA
Gm6682	2,06	0,99	NA	-0,03	NA	0,01	NA	0,04	NA	0,32	NA	-0,45	0,6277	-0,53	NA	-0,30	NA	-0,82	0,2514
Gm7120	9,79	0,33	0,6271	-0,77	0,1790	0,02	NA	0,00	0,9990	-0,27	0,7051	-1,17	0,0614	-0,54	NA	-0,09	0,9636	-0,56	0,3893
Gm7694	13,08	-0,02	0,9851	0,33	0,6669	0,07	NA	0,19	0,9211	1,22	0,0031	-0,34	0,7380	-0,17	NA	0,12	0,9526	1,26	0,0110
Gm7854	1,60	0,24	NA	-0,12	NA	-0,05	NA	-0,08	NA	0,62	0,3188	-0,08	0,9494	-0,06	NA	-0,31	NA	0,06	0,9548
Gm8615	2,63	-0,55	0,3604	-0,32	0,6865	-0,15	NA	-0,20	NA	0,09	0,9163	0,23	NA	-0,05	NA	0,26	NA	0,39	0,6411
Gm867	1,56	0,21	NA	-0,17	NA	-0,06	NA	-0,09	NA	0,13	0,8602	-0,04	NA	-0,20	NA	-0,29	NA	-0,20	0,8159
Gm8801	2,72	-0,09	0,9239	-0,40	0,5256	-0,08	NA	-0,13	NA	-0,37	0,6075	-0,30	NA	-0,29	NA	0,10	NA	0,15	0,8768
Gm9079	3,85	-0,52	0,4196	-0,15	0,8775	-0,18	NA	-0,39	NA	-0,93	0,1220	0,12	0,9210	-0,06	NA	-0,06	NA	-0,23	0,7997
Gm9776	5,44	0,07	0,9386	-0,05	0,9709	0,13	NA	0,06	NA	-0,20	0,8030	0,01	0,9936	0,26	NA	0,01	0,9993	0,11	0,9107
Gm9833	2,24	0,04	NA	-0,23	0,7679	0,02	NA	-0,06	NA	-0,10	0,9080	-0,03	0,9820	0,09	NA	-0,22	NA	-0,60	NA
Gm9899	8,87	-0,26	0,7190	-0,52	0,4285	0,25	NA	-0,27	0,8363	-0,53	0,3983	0,22	0,8430	0,10	NA	-0,34	0,7891	-0,16	0,8585
Gm9958	3,84	-0,26	0,7470	-0,35	0,6444	-0,21	NA	-0,08	NA	-0,62	0,3460	-0,25	0,8140	-0,14	NA	-0,23	NA	-0,50	0,5296
Gm996	1,02	-0,18	NA	0,55	0,3426	-0,01	NA	-0,04	NA	-0,35	NA	0,44	NA	0,12	NA	0,13	NA	-0,04	NA
Gm9962	1,13	-0,06	NA	0,13	0,8703	-0,10	NA	-0,12	NA	-0,33	NA	0,02	NA	-0,10	NA	-0,18	NA	-0,26	NA
Gmcl1	25,18	-0,18	0,7527	0,09	0,9010	0,08	NA	0,47	0,4453	0,59	0,0703	0,19	0,8411	0,44	0,4963	0,41	0,6256	0,38	0,4573
Gmcls	5,14	0,24	0,7632	0,71	0,2361	-0,02	NA	0,08	NA	0,06	0,9423	0,36	0,7245	-0,25	NA	0,17	0,9242	-0,02	0,9827

GeneID	CTL	ET-1 vs CTL		SAHA vs CTL		JS28 vs CTL		BSP vs CTL		JQ1 vs CTL		ET-1+SAHA vs ET1		ET-1+JS28 vs ET1		ET-1+BSP vs ET1		ET-1+JQ1 vs ET1	
	mean	log2(FC)	P-adj	log2(FC)	P-adj	log2(FC)	P-adj	log2(FC)	P-adj	log2(FC)	P-adj	log2(FC)	P-adj	log2(FC)	P-adj	log2(FC)	P-adj	log2(FC)	P-adj
Gmeb1	30,90	-0,03	0,9619	-0,66	0,1198	-0,29	NA	-0,09	0,9674	-0,93	0,0098	-0,45	0,4965	-0,22	0,7780	-0,31	0,7553	-0,98	0,0155
Gmeb2	18,55	0,00	0,9964	-0,05	0,9606	0,11	NA	0,27	0,8318	0,52	0,2342	-0,15	0,8892	-0,47	NA	0,23	0,8562	0,46	0,3325
Gmfb	173,09	0,31	0,2069	-0,26	0,3821	0,08	1,0000	0,12	0,9084	-0,16	0,6287	-0,31	0,4776	-0,06	0,9308	-0,22	0,7158	-0,30	0,4788
Gmip	22,85	-0,46	0,3207	-0,16	0,8288	-0,19	NA	-0,41	0,6129	0,01	0,9805	-0,05	0,9713	0,02	NA	-0,27	0,8340	0,13	0,8416
Gmnn	3,28	0,02	0,9881	0,74	0,2064	0,14	NA	-0,07	NA	0,17	0,8409	0,60	0,4705	0,08	NA	0,05	NA	0,45	0,5811
Gmppa	63,75	-0,22	0,5665	0,05	0,9350	-0,15	1,0000	-0,02	0,9860	0,49	0,1102	0,04	0,9629	-0,33	0,5689	-0,11	0,9264	0,60	0,1303
Gmppb	8,23	0,27	0,7141	-0,19	0,8373	-0,15	NA	-0,05	0,9853	0,13	0,8736	-0,08	0,9527	-0,32	NA	0,12	0,9501	-0,21	0,8073
Gmpr	111,92	0,24	0,5429	-0,03	0,9578	0,14	1,0000	-0,26	0,7219	-0,37	0,1780	-0,02	0,9820	-0,07	0,9360	0,42	0,4149	-0,36	0,3287
Gmpr2	20,85	0,12	0,8419	-0,54	0,3198	0,07	NA	-0,32	0,7630	-0,70	0,1276	-0,55	0,4187	0,01	0,9925	-0,51	0,5243	-0,34	0,5556
Gmps	210,62	0,15	0,5440	0,00	0,9999	-0,11	1,0000	0,11	0,9088	-0,16	0,5002	-0,05	0,9414	0,03	0,9628	-0,11	0,8915	-0,35	0,2693
Gna11	77,03	-0,11	0,7928	0,00	0,9946	-0,15	1,0000	0,03	0,9853	0,41	0,0918	0,17	0,7874	-0,02	0,9777	0,21	0,7939	0,60	0,0353
Gna12	65,25	-0,09	0,8554	0,07	0,9221	0,21	1,0000	0,15	0,9165	0,31	0,3329	-0,16	0,8292	-0,24	0,7100	0,22	0,8106	0,56	0,0630
Gna13	274,39	0,05	0,9122	-0,01	0,9913	0,00	1,0000	0,01	0,9959	-0,08	0,7795	0,05	0,9415	-0,06	0,9313	-0,18	0,8145	-0,17	0,6777
Gnai1	92,07	0,65	0,0016	0,28	0,4343	-0,06	1,0000	0,58	0,0548	0,73	0,0020	0,20	0,7155	0,04	0,9634	0,40	0,3632	0,38	0,4012
Gnai2	151,67	-0,09	0,8219	0,06	0,8906	-0,10	1,0000	-0,26	0,6024	0,35	0,0937	0,09	0,8972	-0,16	0,7981	0,28	0,6605	0,60	0,0650
Gnai3	61,13	0,01	0,9858	0,04	0,9453	-0,01	1,0000	0,40	0,4079	0,35	0,2431	-0,16	0,8354	0,30	0,6185	0,18	0,8577	0,11	0,8301
Gnal	4,56	-0,02	0,9859	1,11	0,0243	-0,02	NA	-0,42	NA	0,03	0,9746	1,11	0,0811	0,20	NA	0,21	NA	0,03	0,9783
Gnao1	360,95	-0,43	0,4241	-0,06	0,9252	-0,25	1,0000	-0,22	0,7893	0,13	0,7105	0,12	0,9186	-0,03	0,9784	0,04	0,9911	0,39	0,4265
Gnaq	176,53	-0,17	0,5246	-0,41	0,0802	-0,16	1,0000	0,03	0,9853	0,30	0,1106	-0,21	0,6738	0,22	0,6418	0,12	0,8847	0,51	0,0274
Gnas	1105,39	0,12	0,7217	-0,79	0,0002	-0,24	1,0000	-0,20	0,7656	-0,05	0,8610	-0,66	0,0069	-0,30	0,3854	-0,01	0,9967	-0,11	0,7136
Gnat2	1,62	0,22	NA	-0,13	NA	-0,04	NA	-0,10	NA	-0,36	NA	0,33	0,7388	-0,21	NA	-0,33	NA	-0,71	NA
Gnb1	271,66	0,29	0,1592	-0,12	0,7306	-0,02	1,0000	-0,04	0,9798	-0,08	0,7620	-0,09	0,8620	-0,21	0,6365	-0,24	0,6308	-0,27	0,3091
Gnb1l	5,13	0,65	0,2669	-0,02	0,9883	0,11	NA	0,23	NA	0,53	0,4258	-0,39	0,7005	-0,42	NA	-0,22	0,8915	0,29	0,6975
Gnb2	53,38	0,04	0,9419	-0,25	0,6081	-0,09	1,0000	0,01	0,9921	0,46	0,1989	-0,16	0,8288	-0,43	0,4296	0,33	0,6180	0,53	0,1642
Gnb2l1	730,20	0,29	0,1749	0,38	0,1198	-0,11	1,0000	0,12	0,9084	0,48	0,0180	0,51	0,0298	-0,45	0,0948	0,19	0,6494	0,26	0,1829
Gnb3	1,18	-0,43	NA	-0,08	0,9337	0,17	NA	-0,06	NA	-0,44	0,4747	0,16	NA	0,18	NA	-0,01	NA	-0,09	NA
Gnb4	3,51	-0,46	0,4885	0,62	0,3292	0,03	NA	-0,08	NA	-0,86	0,1513	0,68	0,3737	0,24	NA	-0,18	NA	-0,46	NA
Gnb5	49,56	0,00	0,9983	0,31	0,4426	-0,13	1,0000	-0,20	0,8660	0,16	0,6870	0,53	0,3170	0,15	0,8537	0,31	0,7186	0,18	0,7469
Gne	59,39	-0,13	0,7696	-0,18	0,7303	-0,16	1,0000	-0,43	0,4326	-0,33	0,3889	-0,15	0,8402	0,05	0,9529	0,00	1,0000	-0,42	0,2556
Gng10	21,82	0,40	0,5095	-0,23	0,7615	0,03	NA	-0,12	0,9601	-0,35	0,5382	-0,21	0,8450	0,00	0,9975	0,05	0,9861	-0,81	0,1634
Gng12	124,74	0,47	0,0220	0,17	0,6607	0,22	1,0000	-0,15	0,8881	0,15	0,6092	-0,09	0,8784	-0,13	0,8275	-0,61	0,0670	-0,07	0,8494
Gng2	24,71	-0,55	0,2492	0,74	0,0637	0,38	0,9896	-0,02	0,9901	0,07	0,9137	1,09	0,0224	0,62	0,3109	0,23	0,8609	0,59	0,2237
Gng5	61,04	0,89	0,0002	-0,07	0,9237	0,16	1,0000	0,17	0,9058	-0,04	0,9333	-0,29	0,5919	-0,79	0,0311	-0,77	0,0383	-0,92	0,0036
Gng7	2,45	-0,08	0,9260	1,33	0,0051	0,05	NA	-0,19	NA	-0,57	0,3539	1,00	0,1363	0,07	NA	-0,21	NA	-0,32	0,6981
Gngt2	1,61	-0,01	NA	0,05	0,9637	-0,04	NA	-0,16	NA	-0,54	NA	0,28	NA	0,26	NA	-0,24	NA	-0,48	NA
Gnl1	43,44	0,33	0,4556	0,32	0,4909	0,21	1,0000	-0,10	0,9626	0,14	0,7690	0,12	0,8905	-0,43	0,4652	-0,05	0,9789	0,05	0,9407
Gnl2	91,30	0,00	0,9939	0,26	0,4478	0,02	1,0000	0,08	0,9626	0,07	0,8497	0,05	0,9463	-0,02	0,9841	0,04	0,9833	0,16	0,6849
Gnl3	66,21	0,84	0,0019	0,10	0,8749	0,21	1,0000	-0,24	0,8211	0,21	0,5522	-0,91	0,0219	-0,57	0,2215	-0,84	0,0362	-0,50	0,1727
Gnl3l	206,50	0,14	0,5928	0,12	0,7426	-0,20	1,0000	0,14	0,8558	0,46	0,0072	0,10	0,8514	-0,22	0,6078	0,03	0,9861	0,47	0,0387
Gnpat	258,34	-0,12	0,7199	-0,09	0,8195	-0,06	1,0000	-0,06	0,9634	-0,04	0,9096	0,22	0,6481	0,00	0,9997	0,12	0,8833	-0,04	0,9201
Gnpda1	17,51	-0,33	0,5566	0,62	0,1946	0,04	NA	0,08	0,9764	-0,03	0,9661	0,51	0,4821	0,01	NA	-0,03	0,9918	0,40	0,4786
Gnpda2	39,00	0,17	0,7075	-0,32	0,5407	0,11	1,0000	0,52	0,2674	0,60	0,0661	-0,29	0,6722	0,08	0,9305	0,31	0,6882	0,24	0,6160
Gnpnat1	18,12	0,67	0,1102	0,28	0,6964	0,02	NA	-0,09	0,9742	-0,25	0,6933	-0,24	0,7928	-0,16	0,8623	-0,53	0,4948	-0,69	0,1899
Gnptab	105,50	-0,49	0,0934	-0,07	0,9072	0,36	0,8594	0,33	0,5913	0,12	0,7607	0,20	0,7363	0,56	0,1343	0,36	0,5156	0,30	0,3548
Gnptg	16,63	-0,24	0,7001	0,28	0,6865	-0,09	NA	0,32	0,7576	0,52	0,2182	0,24	0,8135	0,42	NA	0,37	0,7198	0,90	0,0461

GeneID	CTL	ET-1 vs CTL		SAHA vs CTL		JS28 vs CTL		BSP vs CTL		JQ1 vs CTL		ET-1+SAHA vs ET1		ET-1+JS28 vs ET1		ET-1+BSP vs ET1		ET-1+JQ1 vs ET1	
	mean	log2(FC)	P-adj	log2(FC)	P-adj	log2(FC)	P-adj	log2(FC)	P-adj	log2(FC)	P-adj	log2(FC)	P-adj	log2(FC)	P-adj	log2(FC)	P-adj	log2(FC)	P-adj
Gnrh1	1,55	0,10	NA	-0,10	0,8974	-0,09	NA	-0,04	NA	-0,27	0,6880	-0,31	NA	-0,10	NA	-0,11	NA	-0,22	NA
Gns	168,66	-0,09	0,8002	0,10	0,7980	0,29	0,8728	0,24	0,6244	0,51	0,0028	0,13	0,8243	0,14	0,8109	0,36	0,4097	0,67	0,0017
Golga1	87,28	-0,38	0,1943	-0,47	0,1047	-0,14	1,0000	-0,16	0,8797	-0,96	0,0001	0,19	0,7722	0,34	0,5196	0,03	0,9882	-0,41	0,2582
Golga2	197,92	0,21	0,3396	0,11	0,7679	0,06	1,0000	-0,10	0,9304	0,08	0,8015	-0,24	0,5609	-0,38	0,2570	-0,21	0,6935	0,03	0,9382
Golga3	150,19	0,32	0,1444	0,03	0,9521	0,04	1,0000	-0,04	0,9853	-0,04	0,9021	-0,33	0,4110	-0,17	0,7480	-0,13	0,8619	-0,15	0,7147
Golga4	744,02	-0,05	0,8852	0,10	0,7608	0,08	1,0000	-0,02	0,9853	-0,10	0,6984	-0,26	0,4881	0,03	0,9564	0,07	0,9346	-0,14	0,7012
Golga5	94,87	0,19	0,5857	0,35	0,2608	0,14	1,0000	0,25	0,6952	0,00	0,9914	-0,06	0,9431	0,07	0,9283	0,11	0,9170	0,10	0,8353
Golga7	113,07	0,22	0,4982	-0,31	0,3976	-0,05	1,0000	-0,06	0,9741	0,22	0,4337	-0,31	0,5074	-0,27	0,5872	-0,15	0,8597	0,13	0,7084
Golga7b	4,60	0,09	0,9279	-0,08	0,9422	-0,10	NA	-0,15	NA	-1,08	0,0509	-0,33	0,7574	-0,11	NA	0,01	NA	-1,08	0,1033
Golgb1	450,64	-0,16	0,5288	0,11	0,7353	-0,08	1,0000	-0,12	0,8797	-0,32	0,1256	-0,33	0,3777	-0,10	0,8519	-0,15	0,8100	-0,20	0,5823
Golim4	313,39	0,84	0,0005	-0,06	0,8927	-0,20	1,0000	0,04	0,9853	0,06	0,8619	-0,91	0,0063	-0,73	0,0412	-0,83	0,0138	-0,43	0,2812
Golm1	84,64	0,11	0,7899	0,05	0,9429	-0,32	1,0000	0,23	0,7708	0,07	0,8508	-0,16	0,7928	-0,08	0,9138	0,24	0,7206	0,26	0,5479
Golph3	134,89	0,34	0,1373	0,09	0,8462	0,25	1,0000	0,26	0,6218	0,32	0,1315	0,11	0,8430	0,02	0,9744	-0,07	0,9437	0,04	0,9226
Golph3l	71,81	-0,17	0,6371	0,02	0,9751	0,19	1,0000	0,03	0,9853	-0,19	0,5483	0,36	0,4797	0,17	0,7939	0,25	0,7155	0,09	0,8318
Golt1b	78,26	0,78	0,0002	-0,13	0,8162	-0,13	1,0000	-0,31	0,6648	-0,25	0,4625	-0,39	0,3578	-0,48	0,2280	-0,68	0,0558	-0,55	0,0703
Gon4l	55,17	-0,21	0,5714	-0,40	0,2880	-0,08	1,0000	0,02	0,9901	0,22	0,4965	-0,58	0,2346	0,13	0,8645	-0,03	0,9911	0,21	0,5739
Gopc	69,74	-0,05	0,9239	-0,19	0,6983	0,10	1,0000	0,05	0,9827	0,00	0,9976	-0,05	0,9460	0,33	0,5017	0,07	0,9568	0,08	0,8694
Gorab	15,52	0,11	0,8828	0,10	0,9140	-0,01	NA	0,00	0,9986	-0,56	0,3072	-0,32	0,7359	-0,18	NA	-0,21	0,8833	-0,58	0,3163
Gorasp1	35,29	-0,05	0,9245	-0,23	0,6844	0,05	1,0000	-0,02	0,9910	0,00	0,9948	-0,10	0,9192	-0,12	0,8910	-0,04	0,9854	-0,12	0,8208
Gorasp2	140,29	0,54	0,0037	-0,24	0,4608	0,07	1,0000	-0,26	0,6543	0,19	0,4847	-0,72	0,0139	-0,47	0,1641	-0,48	0,1687	0,00	0,9966
Gosr1	106,42	0,16	0,6598	-0,21	0,6166	0,02	1,0000	0,20	0,8196	-0,16	0,6210	-0,26	0,5943	-0,03	0,9694	-0,03	0,9911	-0,25	0,4269
Gosr2	177,12	0,41	0,0198	0,02	0,9696	-0,13	1,0000	-0,18	0,7948	0,29	0,2068	-0,21	0,6189	-0,51	0,0925	-0,47	0,1331	0,14	0,6951
Got1	257,57	0,81	0,0001	0,34	0,3425	-0,01	1,0000	-0,01	0,9934	0,26	0,3620	0,10	0,8447	-0,28	0,4620	-0,10	0,9023	-0,31	0,2082
Got2	395,29	0,32	0,2587	0,39	0,1419	0,08	1,0000	-0,07	0,9628	-0,14	0,5971	0,43	0,2265	-0,23	0,6352	-0,09	0,9179	-0,32	0,2436
Gp1ba	2,11	-0,02	NA	-0,22	0,7087	-0,09	NA	-0,14	NA	0,45	0,5159	0,14	0,9034	0,07	NA	-0,33	NA	0,63	0,4037
Gpaa1	28,08	0,37	0,3651	0,31	0,5812	0,12	NA	0,38	0,6211	0,38	0,3939	0,00	0,9997	-0,29	0,6949	-0,37	0,6658	0,19	0,7366
Gpalpp1	112,46	-0,04	0,9321	-0,20	0,6251	0,07	1,0000	-0,20	0,8055	-0,41	0,0954	-0,20	0,7228	0,09	0,9009	-0,24	0,6935	-0,51	0,0581
Gpam	74,72	-0,12	0,7844	0,39	0,3094	0,22	1,0000	0,08	0,9634	-0,05	0,9080	0,16	0,8058	-0,03	0,9765	0,02	0,9918	0,07	0,8650
Gpank1	7,10	-0,06	0,9446	-0,22	0,8113	0,05	NA	-0,17	NA	0,36	0,5721	-0,34	0,7471	-0,10	NA	-0,05	0,9909	0,37	0,6051
Gpatch1	27,85	0,17	0,7608	0,45	0,3245	0,22	NA	0,37	0,6430	0,03	0,9544	-0,18	0,8324	-0,15	0,8646	0,14	0,9219	0,15	0,7842
Gpatch11	54,79	-0,13	0,7636	-0,15	0,7698	-0,06	1,0000	0,05	0,9853	-0,03	0,9434	-0,03	0,9794	0,25	0,6786	0,25	0,7608	0,08	0,8787
Gpatch2	46,61	0,10	0,8271	0,28	0,5509	0,31	1,0000	0,15	0,9178	0,25	0,4819	0,15	0,8367	0,09	0,9099	0,20	0,8364	0,15	0,7220
Gpatch2l	42,50	0,36	0,3115	0,39	0,3414	0,18	1,0000	0,34	0,6259	0,21	0,5951	-0,25	0,7209	-0,26	0,6852	-0,46	0,4643	-0,17	0,7373
Gpatch3	6,60	-0,29	0,6969	-0,29	0,7246	-0,21	NA	-0,29	NA	-0,22	0,7713	-0,09	0,9478	-0,37	NA	-0,35	NA	0,05	0,9631
Gpatch4	15,47	0,67	0,1286	-0,01	0,9913	-0,17	NA	-0,32	0,7688	-0,21	0,7543	-0,82	0,1926	-0,63	NA	-0,90	0,1350	-0,82	0,0983
Gpatch8	129,92	-0,34	0,1736	-0,08	0,8725	-0,06	1,0000	0,03	0,9853	0,04	0,9201	-0,17	0,7730	0,14	0,8216	0,19	0,7950	0,36	0,2913
Gbbp1	173,78	-0,11	0,7450	0,07	0,8895	0,14	1,0000	0,27	0,6222	0,27	0,2618	0,29	0,4776	0,51	0,1090	0,46	0,1630	0,35	0,1582
Gbbp11	155,41	-0,23	0,3857	0,04	0,9342	0,10	1,0000	0,20	0,7414	0,21	0,3663	0,22	0,6621	0,30	0,4993	0,32	0,5086	0,38	0,1756
Gpc1	191,18	0,28	0,2669	0,15	0,6888	0,14	1,0000	0,01	0,9915	0,14	0,6950	-0,39	0,3033	-0,48	0,1599	-0,24	0,6671	-0,25	0,5345
Gpc2	9,76	-0,71	0,1621	0,97	0,0203	0,01	NA	-0,18	0,9213	-0,27	0,6692	1,07	0,0837	0,25	NA	0,22	0,8926	0,13	0,8904
Gpc3	172,01	0,02	0,9839	0,25	0,7567	-0,12	1,0000	-0,76	0,0572	-0,81	0,0151	0,44	0,4186	-0,12	0,8910	-0,57	0,2932	-0,47	0,2983
Gpc4	203,56	0,63	0,0003	0,36	0,1799	-0,05	1,0000	-0,29	0,5477	0,02	0,9553	0,12	0,8292	-0,30	0,4502	-0,23	0,6427	0,35	0,2468
Gpc6	1,67	0,22	NA	-0,04	0,9706	-0,09	NA	-0,18	NA	-0,30	NA	-0,15	NA	-0,38	NA	-0,44	NA	-0,63	NA
Gpcpd1	111,49	-0,38	0,3672	0,72	0,0184	0,43	0,6474	0,66	0,0531	-0,33	0,2946	0,60	0,2117	0,34	0,5768	0,41	0,5317	-0,29	0,5726
Gpd1	1,80	0,06	NA	-0,12	0,8843	-0,02	NA	-0,05	NA	-0,18	0,8180	-0,38	NA	-0,14	NA	-0,08	NA	-0,01	0,9959

GeneID	CTL	ET-1 vs CTL		SAHA vs CTL		JS28 vs CTL		BSP vs CTL		JQ1 vs CTL		ET-1+SAHA vs ET1		ET-1+JS28 vs ET1		ET-1+BSP vs ET1		ET-1+JQ1 vs ET1	
	mean	log2(FC)	P-adj	log2(FC)	P-adj	log2(FC)	P-adj	log2(FC)	P-adj	log2(FC)	P-adj	log2(FC)	P-adj	log2(FC)	P-adj	log2(FC)	P-adj	log2(FC)	P-adj
Gpd1l	47,51	-0,39	0,2395	-0,16	0,7681	-0,01	1,0000	-0,11	0,9496	-0,08	0,8574	-0,16	0,8392	0,18	0,8174	-0,25	0,7954	-0,06	0,9237
Gpd2	35,07	0,17	0,7549	-0,07	0,9337	0,09	1,0000	-0,14	0,9430	-1,04	0,0059	0,23	0,7574	0,23	0,7419	-0,55	0,3957	-1,05	0,0062
Gphn	54,37	0,37	0,2672	0,24	0,6445	0,14	1,0000	0,24	0,8294	-0,04	0,9384	-0,14	0,8392	-0,19	0,7694	-0,01	0,9938	-0,30	0,4130
Gpi1	730,55	0,39	0,0543	-0,02	0,9632	-0,02	1,0000	-0,02	0,9853	0,39	0,0106	-0,29	0,4455	-0,35	0,3203	-0,22	0,6688	0,13	0,7144
Gpkow	84,43	0,19	0,5366	0,22	0,5823	0,01	1,0000	0,10	0,9472	0,28	0,2627	-0,16	0,7955	0,02	0,9765	-0,09	0,9372	0,34	0,3413
Gpld1	3,83	0,34	0,6033	-0,28	0,6909	-0,10	NA	-0,18	NA	-0,59	0,3315	-0,04	0,9714	-0,08	NA	-0,14	NA	0,00	0,9988
Gpn1	39,93	0,50	0,1232	-0,68	0,1002	0,10	1,0000	-0,22	0,8643	-0,49	0,2126	-0,91	0,0385	-0,46	0,4121	-0,66	0,1915	-1,06	0,0015
Gpn2	10,12	0,17	0,8204	0,16	0,8630	0,00	NA	-0,03	0,9860	0,75	0,1073	-0,10	0,9394	-0,17	NA	-0,18	0,9144	0,44	0,4570
Gpn3	26,61	-0,31	0,5270	-0,64	0,1498	-0,04	NA	0,23	0,8476	0,23	0,6312	-0,24	0,7955	0,07	0,9454	0,37	0,6935	0,43	0,3701
Gpr107	93,76	0,05	0,9141	0,10	0,8389	-0,05	1,0000	-0,09	0,9600	-0,01	0,9716	0,07	0,9346	-0,04	0,9589	0,08	0,9510	0,18	0,6297
Gpr108	40,38	0,05	0,9277	0,48	0,2050	0,42	0,7284	0,13	0,9387	0,91	0,0025	0,40	0,4693	0,04	0,9666	0,36	0,6114	0,78	0,0247
Gpr124	93,42	-1,12	0,0000	-0,05	0,9290	0,22	1,0000	-0,02	0,9873	-0,90	0,0003	0,54	0,2621	0,20	0,7929	0,26	0,7668	-0,28	0,6052
Gpr125	121,25	-0,30	0,2076	-0,29	0,3206	0,00	1,0000	0,09	0,9469	0,14	0,6451	-0,18	0,7452	0,09	0,8885	0,04	0,9808	0,41	0,1139
Gpr126	5,60	-0,24	0,7632	-0,85	0,1241	-0,14	NA	-0,33	NA	-0,33	0,6434	-0,07	0,9596	-0,20	NA	-0,41	NA	-0,22	0,8159
Gpr137	20,36	0,18	0,7776	1,00	0,0074	0,14	NA	0,01	0,9956	0,32	0,5920	0,50	0,4387	-0,16	0,8731	-0,32	0,7704	0,44	0,4135
Gpr137b	44,28	-0,36	0,3062	-0,68	0,0452	-0,09	1,0000	-0,19	0,8797	-0,41	0,1928	-0,42	0,5045	0,18	0,8174	0,18	0,8660	0,09	0,8723
Gpr137b-ps	2,86	-0,13	0,8825	-0,12	0,8959	-0,02	NA	-0,18	NA	-0,08	0,9282	0,00	0,9983	0,06	NA	-0,01	NA	-0,28	0,7544
Gpr137c	28,72	-0,69	0,0659	-0,01	0,9883	0,06	1,0000	0,34	0,6430	1,19	0,0000	0,63	0,3224	0,45	0,5102	1,04	0,0281	1,84	0,0000
Gpr146	59,30	0,07	0,9184	0,19	0,6913	0,29	1,0000	0,14	0,9213	0,12	0,7434	0,20	0,8292	0,00	0,9978	-0,13	0,9339	0,07	0,9286
Gpr153	85,88	0,65	0,0065	0,79	0,0028	0,31	1,0000	0,73	0,0156	0,16	0,7171	0,46	0,2378	0,84	0,0023	1,66	0,0000	0,37	0,4076
Gpr155	21,92	-0,27	0,6008	0,65	0,0912	0,04	NA	-0,07	0,9798	-0,22	0,6470	1,07	0,0150	0,48	0,4467	0,30	0,7864	-0,04	0,9600
Gpr157	6,29	-0,35	0,6197	0,19	0,8355	0,20	NA	-0,45	NA	-0,86	0,1452	0,56	0,5106	0,38	NA	-0,06	NA	0,10	0,9199
Gpr158	3,49	-0,14	0,8779	-0,35	0,6506	-0,11	NA	-0,42	NA	-1,25	0,0198	-0,11	0,9350	0,06	NA	-0,28	NA	-1,06	NA
Gpr161	2,86	0,29	0,7057	-0,23	0,7679	0,12	NA	-0,20	NA	-0,26	0,7377	-0,40	0,6642	-0,24	NA	-0,50	NA	-0,92	0,1766
Gpr162	3,11	-0,24	0,7602	0,14	0,8830	-0,04	NA	-0,22	NA	-0,79	0,1952	0,09	0,9446	-0,03	NA	-0,16	NA	-0,72	NA
Gpr173	5,59	-0,44	0,5223	0,11	0,9197	-0,10	NA	-0,41	NA	-0,75	0,2217	0,39	0,7027	0,07	NA	0,20	NA	-0,23	0,8011
Gpr180	33,63	-0,21	0,6765	-0,04	0,9666	-0,02	1,0000	0,07	0,9746	0,15	0,7297	0,24	0,7803	0,24	0,7650	0,36	0,6783	0,30	0,5551
Gpr19	7,42	-0,07	0,9412	0,26	0,7547	0,13	NA	0,05	0,9853	-0,04	0,9616	0,54	0,5183	-0,07	NA	-0,32	0,8100	-0,80	0,2308
Gpr21	3,33	-0,21	0,7955	0,12	0,9003	-0,05	NA	-0,02	NA	0,23	0,7742	0,21	0,8557	0,24	NA	0,31	NA	0,26	0,7729
Gpr22	9,55	-0,83	0,0982	-0,17	0,8423	0,38	NA	-0,35	0,7309	-1,29	0,0082	0,46	0,6307	0,64	NA	0,25	0,8597	-1,02	0,1301
Gpr27	2,74	-0,71	0,1936	-0,39	0,5884	-0,23	NA	-0,36	NA	-0,92	0,1178	-0,24	NA	-0,11	NA	-0,13	NA	0,14	NA
Gpr37	2,59	-0,32	0,6559	-0,27	0,7330	-0,24	NA	-0,31	NA	-1,07	0,0467	-0,16	NA	0,22	NA	-0,10	NA	-0,31	NA
Gpr52	5,98	-0,41	0,5537	-0,07	0,9490	-0,38	NA	-0,03	0,9860	-0,78	0,2084	-0,13	0,9201	0,07	NA	-0,13	NA	-0,24	0,7903
Gpr56	31,37	-1,60	0,0000	0,76	0,0333	0,13	1,0000	-0,72	0,1163	-2,10	0,0000	1,57	0,0006	0,39	NA	-0,37	0,7608	-0,46	0,5599
Gpr61	1,31	-0,19	NA	0,41	0,5385	-0,02	NA	0,07	NA	-0,49	0,4029	0,30	NA	0,23	NA	-0,05	NA	-0,25	NA
Gpr63	5,48	0,40	0,5684	-0,18	0,8391	-0,07	NA	0,05	NA	0,55	0,4073	-0,72	0,3570	-0,27	NA	-0,16	0,9313	0,56	0,3746
Gpr75	2,18	0,13	NA	-0,37	0,5105	-0,02	NA	-0,14	NA	-0,23	0,7585	-0,28	NA	0,03	NA	-0,39	NA	-0,26	0,7691
Gpr85	3,29	-0,07	0,9421	0,19	0,8308	-0,07	NA	-0,23	NA	-0,51	0,4431	0,39	0,6902	0,06	NA	-0,27	NA	-0,78	0,2441
Gpr88	1,80	-0,55	NA	-0,43	0,4698	-0,16	NA	-0,19	NA	-0,43	0,5252	0,21	NA	-0,02	NA	0,11	NA	0,46	NA
Gpr89	21,79	-0,03	0,9692	-0,19	0,8004	-0,01	NA	-0,25	0,8514	-0,63	0,1514	0,08	0,9432	0,30	0,6947	-0,29	0,8039	-0,64	0,2013
Gprasp1	157,22	-0,43	0,0520	0,15	0,6463	-0,03	1,0000	-0,05	0,9764	-0,18	0,4702	0,19	0,7388	0,12	0,8504	0,21	0,7630	0,13	0,7229
Gprasp2	28,97	-0,58	0,1698	0,35	0,5040	-0,03	1,0000	-0,21	0,8903	-0,70	0,0769	0,41	0,5938	0,07	0,9505	-0,08	0,9726	-0,43	0,4772
Gprc5b	6,01	-0,90	0,0863	-0,20	0,8325	0,15	NA	-0,17	0,9249	-1,14	0,0435	0,37	0,7103	0,37	NA	0,24	NA	-0,03	0,9826
Gprc5c	22,89	-0,82	0,0284	0,40	0,3810	-0,28	NA	-0,73	0,1061	-1,01	0,0056	0,77	0,2079	0,35	NA	-0,27	0,8401	-0,67	0,2885
Gps1	85,04	0,21	0,5153	0,15	0,7541	0,24	1,0000	0,21	0,8112	0,20	0,5211	-0,04	0,9601	-0,15	0,8175	0,19	0,7971	-0,04	0,9261

GeneID	CTL	ET-1 vs CTL		SAHA vs CTL		JS28 vs CTL		BSP vs CTL		JQ1 vs CTL		ET-1+SAHA vs ET1		ET-1+JS28 vs ET1		ET-1+BSP vs ET1		ET-1+JQ1 vs ET1	
	mean	log2(FC)	P-adj	log2(FC)	P-adj	log2(FC)	P-adj	log2(FC)	P-adj	log2(FC)	P-adj	log2(FC)	P-adj	log2(FC)	P-adj	log2(FC)	P-adj	log2(FC)	P-adj
Gps2	56,41	-0,08	0,8804	-0,21	0,6720	-0,05	1,0000	-0,20	0,8643	-0,21	0,6065	-0,79	0,0971	-0,36	0,5526	-0,27	0,7677	-0,30	0,5482
Gpsm1	63,63	-0,30	0,3755	-0,37	0,3220	0,09	1,0000	0,10	0,9482	-0,14	0,7465	-0,35	0,5678	-0,22	0,7398	0,32	0,6531	0,10	0,8685
Gpsm2	7,03	-0,22	0,7764	0,66	0,2407	0,31	NA	0,17	0,9269	0,59	0,2858	0,40	0,6844	0,06	NA	0,41	0,7112	0,68	0,2789
Gpt2	56,48	1,00	0,0067	0,59	0,1001	0,31	1,0000	0,11	0,9564	-0,14	0,7542	-0,57	0,3696	-0,96	0,0455	-0,95	0,0609	-0,91	0,0612
Gpx1	167,96	-0,01	0,9869	-0,59	0,0090	-0,03	1,0000	-0,16	0,8514	0,02	0,9584	0,03	0,9695	-0,05	0,9432	-0,03	0,9907	0,12	0,7000
Gpx3	1228,17	-0,18	0,6461	-0,09	0,8212	0,00	1,0000	-0,30	0,4665	-0,21	0,4453	0,38	0,3656	0,17	0,7589	-0,02	0,9918	-0,03	0,9643
Gpx4	84,23	0,50	0,0857	-0,04	0,9599	0,07	1,0000	0,11	0,9500	0,64	0,0236	-0,27	0,6224	-0,43	0,3445	-0,32	0,6009	0,17	0,6619
Gpx8	77,01	0,56	0,0333	0,01	0,9894	0,03	1,0000	0,08	0,9674	-0,31	0,3912	0,03	0,9742	-0,05	0,9454	0,02	0,9911	-0,20	0,6016
Gramd1a	29,74	-0,18	0,7454	0,37	0,4583	0,23	1,0000	-0,04	0,9853	0,05	0,9350	0,36	0,6234	0,09	0,9270	0,36	0,6880	0,56	0,2260
Gramd1b	4,49	-0,24	0,7697	0,87	0,1077	0,04	NA	0,00	NA	-0,46	0,5097	0,70	0,3714	0,37	NA	-0,07	NA	-0,51	0,5261
Gramd1c	14,85	-0,57	0,2612	-0,19	0,8019	0,15	NA	-0,28	0,8190	-1,21	0,0057	0,19	0,8681	0,69	NA	-0,06	0,9800	-1,06	0,0828
Gramd3	50,61	0,34	0,3511	-0,13	0,8471	-0,15	1,0000	0,10	0,9606	0,13	0,7686	-0,04	0,9583	-0,36	0,5230	0,01	0,9957	0,02	0,9672
Gramd4	60,39	-0,32	0,3070	-0,19	0,6865	0,12	1,0000	0,22	0,7961	0,03	0,9448	0,12	0,8751	-0,04	0,9666	0,57	0,1811	0,31	0,4740
Grasp	1,82	0,51	NA	0,69	0,1987	0,02	NA	0,05	NA	0,41	0,5593	0,44	0,6467	-0,22	NA	-0,10	NA	-0,27	0,7597
Grb10	95,18	-0,47	0,0882	-0,11	0,8096	-0,06	1,0000	-0,78	0,0029	-1,19	0,0000	0,18	0,7866	-0,04	0,9678	-0,87	0,0343	-0,95	0,0050
Grb14	134,80	-0,88	0,0002	-0,11	0,8139	-0,14	1,0000	0,06	0,9746	-0,40	0,1541	0,40	0,4196	0,40	0,4061	0,65	0,1009	0,19	0,6430
Grb2	174,70	-0,12	0,7534	-0,10	0,8349	-0,14	1,0000	0,08	0,9564	0,37	0,1178	0,12	0,8350	0,05	0,9456	0,31	0,5141	0,59	0,0197
Grcc10	54,66	-0,25	0,6401	-0,87	0,0190	-0,32	1,0000	-0,42	0,5372	-0,23	0,5679	0,02	0,9822	-0,26	0,7225	0,04	0,9875	-0,20	0,7419
Greb1	6,18	-0,74	0,1768	-0,40	0,5839	-0,22	NA	-0,25	0,8610	-1,50	0,0044	0,01	0,9930	-0,03	NA	-0,20	NA	-0,86	0,2103
Greb1l	4,48	-0,48	0,4699	0,03	0,9826	-0,31	NA	-0,24	NA	0,29	0,6962	0,74	0,3294	0,28	NA	0,21	NA	0,66	0,3688
Grhl1	27,65	-0,41	0,3825	1,07	0,0005	0,23	1,0000	0,48	0,4458	-0,06	0,9238	1,22	0,0037	0,61	0,2852	0,63	0,3177	0,08	0,9220
Grhl3	4,56	-0,12	0,8895	1,24	0,0077	0,03	NA	-0,44	NA	-1,03	0,0781	1,24	0,0379	-0,27	NA	-0,50	NA	-1,15	0,0736
Grhpr	24,41	0,77	0,0966	0,57	0,2785	0,20	NA	-0,20	0,9114	-0,15	0,8196	-0,01	0,9955	-0,46	0,5045	-0,52	0,5282	-0,82	0,1192
Gria1	65,15	-0,09	0,9252	-0,68	0,2601	-0,16	1,0000	-0,60	0,2488	-2,12	0,0000	-0,94	0,0728	-0,81	0,1130	-1,86	0,0000	-3,12	0,0000
Gria3	80,63	-0,24	0,5074	-0,62	0,0372	-0,24	1,0000	-0,73	0,0215	-1,56	0,0000	-0,69	0,1223	0,04	0,9611	-0,63	0,1696	-1,67	0,0000
Gria4	1,83	-0,02	NA	-0,01	0,9918	0,04	NA	-0,09	NA	-0,53	0,3449	-0,05	NA	0,14	NA	-0,14	NA	-0,20	NA
Grik3	29,08	-0,39	0,4633	-0,32	0,6506	-0,01	1,0000	-0,80	0,0855	-2,23	0,0000	0,08	0,9374	0,50	0,3948	-0,92	0,1062	-1,55	0,0006
Grik5	43,54	-0,60	0,0982	0,47	0,2149	0,14	1,0000	-0,52	0,3188	-1,08	0,0028	0,82	0,0776	0,10	0,9167	-0,31	0,7753	-0,43	0,4911
Grin3b	1,06	-0,05	NA	0,00	0,9969	-0,02	NA	-0,14	NA	0,08	0,9189	-0,13	NA	-0,04	NA	0,08	NA	0,26	NA
Grina	134,11	-0,67	0,0112	0,48	0,1885	0,04	1,0000	0,04	0,9853	0,78	0,0228	0,73	0,0224	0,16	0,7734	0,38	0,4198	1,14	0,0038
Grip1	20,41	-0,31	0,5792	0,32	0,6018	-0,05	NA	-0,23	0,8747	-0,21	0,6941	0,20	0,8411	0,13	NA	-0,51	0,5598	-0,01	0,9921
Grip2	66,59	0,58	0,0244	-0,08	0,8978	0,18	1,0000	-0,08	0,9742	-1,12	0,0012	-0,28	0,6184	-0,03	0,9694	0,27	0,6750	-1,27	0,0015
Gripap1	41,20	0,08	0,8889	-0,03	0,9730	0,10	1,0000	0,03	0,9860	-0,08	0,8635	-0,12	0,8908	0,20	0,7876	0,02	0,9918	-0,08	0,9001
Grk4	28,81	0,51	0,1912	-0,82	0,0614	-0,36	NA	-0,56	0,3527	-0,70	0,1023	-1,34	0,0039	-0,56	0,3437	-0,58	0,3886	-0,81	0,0546
Grk5	34,52	0,56	0,0866	0,87	0,0074	-0,02	NA	0,16	0,9260	1,09	0,0001	0,03	0,9771	-0,36	0,5560	-0,07	0,9654	0,93	0,0022
Grk6	17,83	-0,10	0,8855	-0,54	0,3491	0,06	NA	-0,20	0,8998	-0,01	0,9946	-0,77	0,2583	-0,14	NA	0,33	0,7668	-0,16	0,8191
Grm1	1,64	-0,30	NA	-0,05	0,9617	-0,12	NA	-0,27	NA	-0,40	0,5566	-0,03	NA	-0,07	NA	-0,02	NA	-0,16	NA
Grn	208,46	-0,55	0,0975	0,69	0,0032	0,35	0,7608	0,37	0,3768	0,89	0,0000	1,05	0,0037	0,40	0,4724	0,66	0,1344	0,98	0,0046
Grpel1	58,61	0,18	0,6509	0,65	0,0219	0,11	1,0000	0,08	0,9674	0,04	0,9332	0,62	0,1040	0,03	0,9765	0,28	0,6935	0,03	0,9530
Grpel2	32,44	0,11	0,8540	0,24	0,7109	0,02	1,0000	0,23	0,8587	0,40	0,2928	0,33	0,6277	0,01	0,9894	0,10	0,9496	0,24	0,6381
Grpp1	2,19	-0,25	NA	-0,03	0,9769	-0,03	NA	-0,24	NA	-0,65	0,2856	0,19	NA	0,04	NA	-0,16	NA	-0,40	NA
Grsf1	216,33	-0,04	0,9191	-0,19	0,5609	-0,03	1,0000	0,11	0,9131	-0,06	0,8358	0,03	0,9578	0,27	0,4989	0,26	0,6114	0,01	0,9890
Grtp1	17,58	-0,60	0,1892	0,19	0,7939	-0,04	NA	0,19	0,9088	0,54	0,1772	0,80	0,1963	0,39	NA	0,45	0,6322	0,69	0,1754
Grwd1	10,90	0,94	0,0361	-0,20	0,8325	0,03	NA	-0,26	NA	-0,24	0,7571	-0,83	0,2089	-0,98	NA	-0,74	0,2925	-1,14	0,0284
Gsap	8,89	-0,41	0,5122	0,05	0,9695	0,15	NA	-0,18	0,9264	-0,98	0,0678	0,05	0,9702	0,37	NA	-0,18	0,9143	-0,72	0,3072

GeneID	CTL	ET-1 vs CTL		SAHA vs CTL		JS28 vs CTL		BSP vs CTL		JQ1 vs CTL		ET-1+SAHA vs ET1		ET-1+JS28 vs ET1		ET-1+BSP vs ET1		ET-1+JQ1 vs ET1	
	mean	log2(FC)	P-adj	log2(FC)	P-adj	log2(FC)	P-adj	log2(FC)	P-adj	log2(FC)	P-adj	log2(FC)	P-adj	log2(FC)	P-adj	log2(FC)	P-adj	log2(FC)	P-adj
Gse1	122,97	-0,33	0,2531	-0,11	0,8082	-0,29	1,0000	-0,20	0,8039	0,03	0,9354	-0,35	0,4716	-0,42	0,3552	-0,26	0,7026	0,34	0,4060
Gsg1l	93,60	-0,17	0,7340	-0,34	0,4534	-0,36	0,9896	-0,30	0,6987	-0,49	0,1800	-0,44	0,4032	-0,59	0,1943	-0,84	0,0448	-1,03	0,0152
Gsk3a	68,84	0,04	0,9299	-0,36	0,3345	-0,23	1,0000	-0,14	0,9110	0,65	0,0694	-0,72	0,0878	-0,56	0,2180	-0,34	0,6122	0,59	0,2288
Gsk3b	503,27	0,13	0,5940	-0,12	0,7337	-0,22	1,0000	0,00	0,9972	0,50	0,0013	-0,19	0,6166	-0,24	0,4906	-0,25	0,5167	0,47	0,0035
Gskip	25,92	0,07	0,9186	-0,31	0,6330	0,15	NA	0,18	0,9211	-0,13	0,8182	0,03	0,9794	0,35	0,6222	-0,01	0,9971	-0,15	0,8159
Gsn	66,15	-0,59	0,0596	0,97	0,0003	0,28	1,0000	0,01	0,9972	-0,42	0,1985	1,46	0,0000	0,27	0,6734	0,28	0,7336	0,25	0,5703
Gspt1	336,19	0,38	0,0224	0,19	0,4602	-0,10	1,0000	-0,07	0,9550	-0,28	0,1646	-0,04	0,9476	-0,11	0,8318	-0,28	0,4989	-0,60	0,0020
Gspt2	13,52	-0,25	0,7063	0,42	0,4838	-0,01	NA	0,14	0,9472	0,11	0,8642	0,24	0,8193	0,14	NA	0,10	0,9608	0,46	0,4483
Gsr	116,53	0,36	0,2300	-0,60	0,0455	-0,01	1,0000	0,07	0,9684	0,25	0,4123	-0,97	0,0029	-0,45	0,2852	-0,24	0,7239	-0,08	0,8398
Gss	22,64	0,34	0,5095	0,42	0,4359	0,00	NA	0,27	0,8318	1,07	0,0013	0,21	0,8134	-0,34	0,6434	-0,03	0,9911	0,59	0,1910
Gsta4	28,98	-0,58	0,1285	1,07	0,0005	0,27	1,0000	-0,16	0,9275	-1,54	0,0000	1,81	0,0000	0,77	0,1103	-0,21	0,8736	-0,68	0,1822
Gstcd	10,60	0,32	0,6177	0,41	0,5430	-0,06	NA	0,06	0,9853	-0,08	0,9147	0,26	0,7960	-0,21	NA	-0,52	0,5795	-0,17	0,8161
Gstk1	4,46	-0,25	0,7591	1,21	0,0096	0,09	NA	-0,20	NA	-0,43	0,5508	1,33	0,0234	0,09	NA	-0,17	NA	0,17	0,8542
Gstm1	51,34	-0,70	0,2026	-0,03	0,9804	-0,05	1,0000	-0,21	0,8825	-0,01	0,9849	0,82	0,0939	0,20	0,8216	-0,39	0,6814	0,70	0,0781
Gstm2	6,15	-0,19	0,8171	0,49	0,4701	0,25	NA	-0,32	NA	-0,24	0,7539	0,27	0,8122	0,11	NA	-0,40	NA	-0,22	0,8078
Gstm4	4,07	0,01	0,9901	0,31	0,7003	0,07	NA	-0,01	NA	-0,23	0,7729	0,10	0,9397	-0,23	NA	0,05	NA	0,32	0,7000
Gstm5	3,34	-0,26	0,7385	0,20	0,8238	0,15	NA	0,17	NA	-0,19	0,8165	0,62	0,4432	0,65	NA	0,42	NA	-0,21	0,8233
Gstm7	4,74	0,21	0,7953	-0,20	0,8217	-0,06	NA	-0,31	NA	-0,59	0,3820	-0,28	0,8026	0,04	NA	-0,37	NA	-1,07	0,1082
Gsto1	13,59	0,67	0,1753	0,62	0,2955	0,11	NA	-0,23	0,8797	-0,13	0,8691	0,30	0,7337	-0,23	NA	-0,70	0,3260	-0,74	0,1537
Gstp1	31,20	-0,16	0,7704	0,26	0,6516	0,13	1,0000	0,06	0,9829	-0,40	0,3624	0,86	0,0507	0,18	0,8336	0,13	0,9311	-0,11	0,8591
Gstt1	1,96	-0,71	NA	0,49	0,4819	-0,10	NA	-0,05	NA	-1,05	0,0491	1,13	0,0539	-0,04	NA	0,03	NA	0,21	NA
Gstz1	28,77	-0,04	0,9513	-0,22	0,7363	0,07	NA	-0,22	0,8722	-0,56	0,2084	0,04	0,9714	-0,09	0,9305	-0,60	0,3872	-0,72	0,1025
Gt(ROSA)26Sor	13,86	-0,15	0,8329	-0,94	0,0594	-0,19	NA	0,13	0,9573	0,17	0,7822	-0,40	0,6699	0,23	NA	0,25	0,8511	0,32	0,6380
Gtdc1	25,57	-0,27	0,6032	0,01	0,9927	0,26	NA	0,66	0,1315	0,40	0,2984	0,50	0,4317	0,53	0,3758	0,97	0,0284	1,14	0,0005
Gtf2a1	165,17	0,15	0,6459	-0,55	0,0527	-0,16	1,0000	0,20	0,8237	0,41	0,1846	-0,45	0,1877	0,02	0,9784	0,08	0,9302	0,36	0,3567
Gtf2a2	45,59	0,22	0,6418	-0,26	0,6189	0,16	1,0000	0,15	0,9272	0,89	0,0027	0,10	0,9120	0,08	0,9269	0,17	0,8800	0,70	0,1497
Gtf2b	66,19	0,00	0,9964	-0,16	0,7597	0,15	1,0000	-0,04	0,9853	0,21	0,5987	-0,04	0,9666	0,17	0,8170	-0,11	0,9313	0,34	0,3609
Gtf2e1	62,68	-0,05	0,9317	-0,03	0,9681	-0,28	1,0000	-0,08	0,9634	-0,09	0,8407	-0,06	0,9444	-0,13	0,8659	-0,01	0,9967	0,07	0,9002
Gtf2e2	40,21	0,08	0,8830	0,23	0,6617	-0,01	1,0000	0,33	0,6521	0,31	0,3931	0,30	0,6343	0,19	0,7929	0,52	0,3416	0,20	0,6937
Gtf2f1	47,11	0,58	0,1051	0,06	0,9444	-0,15	1,0000	0,03	0,9855	0,43	0,2332	-0,27	0,6997	-0,57	0,2654	-0,50	0,4263	0,20	0,6703
Gtf2f2	33,27	0,36	0,3459	0,12	0,8576	0,02	NA	-0,35	0,6883	-0,52	0,2073	-0,15	0,8532	-0,24	0,7284	-0,34	0,6847	-0,78	0,0557
Gtf2h1	75,37	0,18	0,6394	0,11	0,8275	0,23	1,0000	0,03	0,9855	-0,03	0,9317	-0,04	0,9601	-0,11	0,8852	0,14	0,8934	-0,21	0,6272
Gtf2h2	25,85	-0,08	0,9046	0,24	0,7137	0,02	NA	0,02	0,9901	-0,55	0,2027	0,17	0,8443	0,30	0,6678	0,11	0,9412	-0,42	0,3739
Gtf2h3	22,33	0,11	0,8641	-0,34	0,5783	-0,05	NA	-0,03	0,9866	0,51	0,2145	0,00	0,9982	-0,40	NA	0,05	0,9831	0,25	0,6625
Gtf2h4	9,58	0,61	0,2528	0,19	0,8389	-0,05	NA	0,21	0,8966	0,31	0,6421	-0,13	0,9173	-0,38	NA	-0,25	0,8561	-0,77	0,1836
Gtf2h5	36,59	0,30	0,5046	-0,38	0,4656	-0,09	1,0000	-0,04	0,9853	0,20	0,6582	0,15	0,8588	-0,31	0,6556	-0,38	0,6406	-0,15	0,8027
Gtf2i	522,64	-0,26	0,2391	-1,32	0,0000	-0,21	1,0000	-0,30	0,3801	-0,75	0,0003	-1,21	0,0000	-0,10	0,8504	-0,24	0,6114	-0,58	0,0066
Gtf2ird1	37,70	-0,17	0,7478	0,08	0,9253	0,08	1,0000	-0,28	0,7941	-0,31	0,4763	-0,01	0,9939	-0,13	0,8811	-0,18	0,8877	-0,42	0,3836
Gtf2ird2	13,93	-0,09	0,9027	-0,05	0,9605	0,07	NA	-0,13	0,9555	-0,37	0,5084	-0,52	0,5297	-0,05	NA	0,44	0,6356	-0,14	0,8543
Gtf3a	29,10	-0,17	0,7377	-0,94	0,0133	-0,02	NA	-0,31	0,7509	-0,24	0,5814	-0,84	0,1301	-0,17	0,8465	0,01	0,9980	-0,15	0,8005
Gtf3c1	333,74	-0,15	0,5110	0,05	0,9067	-0,08	1,0000	-0,13	0,8671	0,00	0,9872	-0,32	0,3313	-0,28	0,4332	0,04	0,9681	0,16	0,5115
Gtf3c2	124,72	-0,07	0,8712	-0,21	0,5622	-0,12	1,0000	-0,16	0,8674	0,39	0,1544	-0,36	0,4399	0,08	0,9138	0,06	0,9611	0,54	0,1272
Gtf3c3	74,87	-0,28	0,3746	-0,13	0,8004	-0,02	1,0000	-0,20	0,8318	-0,61	0,0398	-0,24	0,7035	0,14	0,8492	-0,08	0,9495	-0,49	0,2439
Gtf3c4	80,05	-0,12	0,7618	0,07	0,8897	-0,18	1,0000	0,16	0,8681	0,02	0,9580	0,19	0,7733	0,05	0,9600	0,07	0,9598	0,34	0,3371
Gtf3c5	31,26	-0,26	0,5898	-0,22	0,7139	0,01	1,0000	-0,41	0,5830	-0,33	0,4249	-0,02	0,9893	0,13	0,8842	0,16	0,9077	0,04	0,9496

GeneID	CTL	ET-1 vs CTL		SAHA vs CTL		JS28 vs CTL		BSP vs CTL		JQ1 vs CTL		ET-1+SAHA vs ET1		ET-1+JS28 vs ET1		ET-1+BSP vs ET1		ET-1+JQ1 vs ET1	
	mean	log2(FC)	P-adj	log2(FC)	P-adj	log2(FC)	P-adj	log2(FC)	P-adj	log2(FC)	P-adj	log2(FC)	P-adj	log2(FC)	P-adj	log2(FC)	P-adj	log2(FC)	P-adj
Gtf3c6	28,57	0,52	0,1710	-1,00	0,0210	-0,06	NA	-0,37	0,6940	-1,75	0,0000	-1,24	0,0066	-0,52	0,3699	-1,31	0,0024	-2,35	0,0000
Gtl3	60,28	0,16	0,6713	0,02	0,9818	-0,17	1,0000	-0,27	0,7248	-0,45	0,1351	0,03	0,9762	0,09	0,9131	0,05	0,9751	-0,12	0,7872
Gtpbp1	55,05	0,04	0,9350	-0,36	0,4136	-0,31	1,0000	-0,08	0,9681	0,78	0,0012	-0,22	0,7471	-0,42	0,4242	0,05	0,9789	0,62	0,0333
Gtpbp10	31,03	0,19	0,7067	-0,02	0,9845	-0,07	NA	-0,18	0,9158	-0,67	0,0912	0,12	0,8959	0,05	0,9642	-0,35	0,6935	-0,35	0,4997
Gtpbp2	57,10	-0,10	0,8153	0,12	0,8208	0,13	1,0000	0,02	0,9901	0,03	0,9363	0,03	0,9707	0,12	0,8732	0,08	0,9544	-0,09	0,8531
Gtpbp3	31,15	0,00	0,9943	0,53	0,2108	0,02	NA	0,19	0,9014	0,47	0,2045	0,51	0,3577	-0,09	0,9305	0,12	0,9338	0,60	0,0883
Gtpbp4	91,10	0,65	0,0017	0,45	0,1241	0,43	0,4885	-0,03	0,9853	0,12	0,7342	-0,19	0,7413	-0,32	0,4853	-0,64	0,0723	-0,58	0,0478
Gtpbp6	9,94	-0,12	0,8810	-0,19	0,8332	-0,04	NA	-0,15	0,9437	-0,07	0,9250	-0,30	0,7814	-0,23	NA	0,27	0,8429	0,15	0,8573
Gtpbp8	15,33	0,04	0,9602	-0,54	0,3523	0,13	NA	0,09	0,9727	-0,75	0,1414	0,09	0,9400	-0,24	NA	-0,40	0,7026	-0,70	0,2288
Gtse1	9,46	-0,51	0,3697	0,15	0,8585	-0,04	NA	-0,30	0,8121	-0,43	0,4712	0,30	0,7762	0,32	NA	0,03	0,9931	-0,43	0,5678
Guccd1	40,80	0,29	0,5312	0,23	0,7089	0,27	1,0000	0,20	0,8903	0,17	0,7156	0,00	0,9976	-0,14	0,8719	-0,03	0,9915	-0,09	0,8797
Gucy1a2	31,29	-0,74	0,0418	0,25	0,6590	-0,04	1,0000	-0,29	0,7688	-1,54	0,0000	0,73	0,1831	0,80	0,0983	0,02	0,9933	-0,65	0,2572
Gucy1a3	106,85	-0,69	0,0044	-0,24	0,5593	-0,22	1,0000	0,20	0,8279	-0,39	0,1711	0,41	0,3697	0,27	0,6276	0,35	0,5501	-0,01	0,9928
Gucy1b3	156,23	0,36	0,1320	0,48	0,0986	-0,06	1,0000	0,25	0,6980	0,12	0,7032	0,49	0,1040	-0,18	0,6956	0,01	0,9947	-0,09	0,8048
Guf1	43,41	0,44	0,1732	-0,02	0,9848	-0,01	1,0000	0,02	0,9901	-0,39	0,3172	-0,50	0,3314	0,11	0,8932	-0,13	0,9077	-0,68	0,0500
Guk1	39,99	0,38	0,4026	-0,09	0,9166	-0,08	1,0000	0,08	0,9746	0,26	0,5822	0,10	0,9157	-0,23	0,7568	0,25	0,7932	-0,22	0,6525
Gulp1	9,72	-0,54	0,3413	0,68	0,1923	0,34	NA	-0,15	0,9448	-1,50	0,0032	1,32	0,0149	0,99	NA	-0,30	0,8309	-1,13	0,0793
Gusb	34,49	0,41	0,3006	-0,73	0,0950	0,29	1,0000	-0,02	0,9925	-0,56	0,1731	-0,63	0,2303	-0,06	0,9454	-0,70	0,1768	-0,92	0,0157
Gxyt1	55,95	-0,21	0,6520	-0,18	0,7680	-0,22	1,0000	0,18	0,8998	0,42	0,1857	-0,21	0,7761	0,10	0,9064	0,38	0,5505	0,59	0,0956
Gyg	644,96	0,48	0,0123	0,01	0,9885	-0,09	1,0000	-0,24	0,6110	0,19	0,4198	-0,22	0,5843	-0,51	0,0676	-0,50	0,0693	-0,08	0,8122
Gyk	127,74	1,13	0,0000	-0,20	0,6106	-0,34	0,9018	-0,77	0,0081	-0,53	0,0399	-0,84	0,0056	-0,74	0,0136	-1,17	0,0000	-1,66	0,0000
Gypc	2,64	-0,25	0,7534	0,10	0,9268	0,11	NA	-0,08	NA	-0,76	0,2134	0,03	NA	0,49	NA	-0,03	NA	-0,48	NA
Gys1	187,14	0,93	0,0003	-0,11	0,8355	0,02	1,0000	-0,51	0,2242	-0,91	0,0004	-0,81	0,0255	-0,70	0,0526	-0,96	0,0025	-1,78	0,0000
Gzfl	58,33	0,17	0,6691	0,34	0,3596	0,25	1,0000	0,18	0,8797	0,12	0,7555	0,35	0,4737	0,15	0,8344	-0,03	0,9911	0,04	0,9416
Gzmm	2,97	-0,35	0,6291	0,29	0,7352	-0,22	NA	-0,14	NA	-0,24	0,7647	0,63	0,4214	0,07	NA	0,24	NA	0,31	0,7209
H13	42,38	-0,17	0,7444	0,01	0,9903	-0,07	1,0000	-0,29	0,7521	-0,06	0,8996	-0,11	0,9109	0,04	0,9726	0,05	0,9800	0,08	0,8936
H19	411,68	-0,18	0,8287	-0,72	0,2250	-0,22	1,0000	-0,52	0,4240	-1,48	0,0015	-0,59	0,4482	-0,92	0,0133	-0,80	0,0484	-0,79	0,2039
H1f0	103,76	0,43	0,0570	1,62	0,0000	0,30	1,0000	0,68	0,0081	1,57	0,0000	1,25	0,0000	0,00	0,9963	0,61	0,0436	1,27	0,0000
H1fx	6,51	0,05	0,9592	0,95	0,0671	0,16	NA	0,34	0,7294	1,75	0,0001	0,81	0,2445	-0,20	NA	0,29	0,8369	1,63	0,0036
H2afj	24,19	0,49	0,2838	0,48	0,3630	-0,15	NA	0,11	0,9634	0,57	0,1642	0,06	0,9528	-0,78	0,1427	-0,18	0,8934	-0,02	0,9778
H2afv	51,77	-1,06	0,0000	-0,03	0,9718	-0,08	1,0000	0,08	0,9649	0,08	0,8538	1,32	0,0001	0,65	0,1638	1,14	0,0013	1,25	0,0000
H2afx	18,10	-0,13	0,8527	-0,20	0,7985	-0,02	NA	0,10	0,9674	1,71	0,0000	-0,13	0,9072	-0,34	NA	0,39	0,6900	2,01	0,0000
H2afy	50,66	-0,04	0,9467	0,28	0,5626	-0,07	1,0000	0,16	0,9211	0,25	0,5212	0,23	0,7375	0,02	0,9830	0,05	0,9784	0,22	0,6227
H2afy2	18,77	0,06	0,9350	-0,59	0,2737	-0,02	NA	-0,33	0,7492	-0,67	0,1724	-0,86	0,1716	-0,05	NA	-0,18	0,9025	-0,30	0,6352
H2afz	54,16	0,22	0,5886	-0,01	0,9932	0,01	1,0000	0,31	0,6689	0,50	0,1014	-0,08	0,9256	-0,47	0,3462	-0,19	0,8469	0,18	0,7359
H2-DMa	2,77	-0,09	0,9245	0,49	0,4656	-0,07	NA	0,01	NA	0,20	0,8039	0,66	0,4102	0,16	NA	0,37	NA	0,92	0,1591
H2-K1	11,07	0,30	0,6640	0,84	0,0855	0,05	NA	-0,10	0,9674	0,68	0,1610	0,02	0,9893	-0,98	NA	-0,57	0,5272	0,16	0,8344
H2-Ke2	20,20	0,04	0,9630	0,05	0,9553	-0,11	NA	-0,20	0,9088	-0,06	0,9287	0,17	0,8678	-0,23	NA	-0,03	0,9918	0,16	0,8047
H2-Ke6	18,54	-0,09	0,9007	0,15	0,8614	-0,05	NA	0,16	0,9372	0,33	0,5554	0,18	0,8538	-0,20	NA	0,39	0,6671	0,23	0,7557
H2-Q4	1,64	-0,39	NA	-0,14	0,8628	-0,08	NA	-0,14	NA	-0,52	0,4070	-0,12	NA	0,05	NA	-0,17	NA	-0,17	NA
H3f3a	82,63	-0,45	0,1663	-0,48	0,2206	-0,15	1,0000	0,22	0,8364	0,19	0,6569	0,35	0,4816	0,42	0,3552	0,70	0,0521	0,64	0,0411
H3f3b	224,55	0,76	0,0000	0,59	0,0070	-0,03	1,0000	0,61	0,0081	1,12	0,0000	0,21	0,6289	-0,44	0,1847	-0,03	0,9789	0,35	0,2726
H6pd	45,17	0,36	0,3153	-0,51	0,2239	0,32	1,0000	-0,22	0,8581	0,18	0,6439	-0,74	0,1191	-0,29	0,6489	-0,19	0,8577	-0,18	0,6791
Habp4	182,40	0,33	0,1188	0,14	0,6906	-0,21	1,0000	0,19	0,7687	1,12	0,0000	-0,01	0,9889	-0,17	0,7100	0,43	0,1899	1,03	0,0000
Hace1	37,02	-0,23	0,6279	0,24	0,6669	0,03	1,0000	0,23	0,8402	0,15	0,7235	0,56	0,2831	0,03	0,9762	0,25	0,8056	0,29	0,5391

GeneID	CTL	ET-1 vs CTL		SAHA vs CTL		JS28 vs CTL		BSP vs CTL		JQ1 vs CTL		ET-1+SAHA vs ET1		ET-1+JS28 vs ET1		ET-1+BSP vs ET1		ET-1+JQ1 vs ET1	
	mean	log2(FC)	P-adj	log2(FC)	P-adj	log2(FC)	P-adj	log2(FC)	P-adj	log2(FC)	P-adj	log2(FC)	P-adj	log2(FC)	P-adj	log2(FC)	P-adj	log2(FC)	P-adj
Hacl1	24,24	-0,81	0,0173	0,12	0,8492	-0,31	NA	-0,17	0,9165	-1,02	0,0171	0,97	0,0530	0,46	NA	0,04	0,9914	-0,01	0,9906
Hadh	107,03	-0,32	0,2122	0,42	0,0780	0,13	1,0000	0,17	0,8264	-0,02	0,9580	0,90	0,0027	0,39	0,3899	0,50	0,2280	0,11	0,7870
Hadha	443,27	-0,11	0,6968	0,13	0,6255	-0,17	1,0000	-0,12	0,8713	-0,22	0,2081	0,10	0,8655	-0,03	0,9654	0,13	0,8511	-0,03	0,9436
Hadhb	214,11	0,08	0,8225	-0,10	0,8100	-0,17	1,0000	-0,13	0,9060	-0,22	0,4819	0,34	0,3869	0,04	0,9564	0,12	0,8877	-0,24	0,5442
Hagh	22,61	0,30	0,5680	0,43	0,4163	0,16	NA	0,05	0,9853	0,54	0,1632	0,09	0,9358	-0,56	0,3741	-0,03	0,9911	0,12	0,8588
Haghl	10,04	-0,32	0,6322	-0,05	0,9595	0,03	NA	0,24	0,8722	0,14	0,8281	0,33	0,7501	-0,04	NA	0,34	0,7850	0,34	0,6486
Hand1	3,95	-0,21	0,7931	-0,46	0,4596	-0,06	NA	-0,25	NA	-0,79	0,1776	-0,24	0,8239	0,02	NA	-0,15	NA	-0,74	0,2946
Hand2	158,19	-0,57	0,0033	-0,32	0,2581	-0,05	1,0000	0,26	0,6053	0,49	0,0134	-0,17	0,7617	0,06	0,9267	0,77	0,0046	0,83	0,0005
Hap1	7,54	-0,54	0,3613	1,76	0,0000	0,12	NA	0,19	0,9158	0,18	0,7925	1,47	0,0059	0,09	NA	0,48	0,6354	0,55	0,4171
Harb1	20,18	-0,28	0,6247	0,10	0,9019	-0,01	NA	-0,31	0,7688	-0,45	0,3706	0,34	0,6960	-0,33	NA	-0,21	0,8833	0,00	0,9975
Hars	62,10	0,28	0,4155	-0,29	0,5352	0,00	1,0000	0,05	0,9853	0,19	0,6065	-0,48	0,2916	-0,50	0,2816	-0,27	0,7106	-0,21	0,6133
Hars2	33,44	-0,23	0,6035	0,10	0,8748	-0,03	1,0000	-0,06	0,9809	-0,28	0,4821	0,43	0,4769	0,37	0,5399	0,02	0,9939	-0,11	0,8494
Has3	2,58	-0,31	0,6702	-0,01	0,9940	0,06	NA	0,01	NA	0,41	0,5706	0,58	0,4703	0,33	NA	0,23	NA	0,23	0,8020
Hat1	67,72	-0,27	0,3895	-0,18	0,6881	-0,28	1,0000	0,09	0,9533	-0,29	0,3745	0,12	0,8684	0,06	0,9454	0,42	0,4325	0,07	0,9130
Haus1	22,05	0,03	0,9631	0,39	0,4669	0,18	NA	0,20	0,9050	-0,24	0,6361	0,54	0,3851	0,11	0,9121	0,04	0,9911	0,00	0,9997
Haus2	61,16	0,28	0,4177	0,12	0,8424	-0,02	1,0000	-0,20	0,8719	-0,15	0,7258	-0,11	0,8784	-0,19	0,7789	-0,34	0,6035	-0,46	0,1460
Haus3	15,82	-0,19	0,7789	0,79	0,0575	0,00	NA	0,04	0,9853	0,33	0,5090	0,64	0,3374	0,51	NA	0,23	0,8630	0,69	0,1802
Haus4	3,71	-0,17	0,8464	0,34	0,6701	-0,03	NA	-0,19	NA	-0,39	0,6031	0,27	0,8074	-0,01	NA	-0,12	NA	-0,61	0,4257
Haus5	5,00	0,16	0,8532	-0,03	0,9799	-0,12	NA	-0,06	NA	-0,25	0,7548	-0,43	0,6624	-0,34	NA	-0,10	NA	-0,43	0,5937
Haus6	21,67	-0,20	0,7517	0,35	0,5765	0,00	NA	0,10	0,9681	0,11	0,8492	0,35	0,6563	0,44	0,5018	0,25	0,8375	0,18	0,7819
Haus7	13,10	0,09	0,9141	0,08	0,9377	-0,16	NA	-0,47	0,5478	-0,81	0,1319	0,29	0,7691	-0,13	NA	-0,65	0,4236	-0,48	0,4645
Haus8	22,54	0,50	0,2489	-0,04	0,9665	-0,04	NA	-0,04	0,9853	-0,19	0,7596	-0,43	0,5501	-0,76	0,1536	-0,64	0,3406	-0,33	0,5605
Hax1	37,25	1,07	0,0014	-0,19	0,8105	0,00	NA	-0,10	0,9634	0,18	0,7380	-0,75	0,1396	-1,12	0,0067	-1,13	0,0088	-0,90	0,0363
Hbegf	65,56	1,37	0,0000	0,23	0,7333	0,29	1,0000	0,32	0,7455	0,19	0,7302	-0,67	0,1785	-0,83	0,0543	-1,25	0,0013	-0,49	0,3957
Hbp1	259,06	-0,60	0,0005	-0,35	0,1617	0,10	1,0000	0,10	0,9156	-0,20	0,4227	0,38	0,2860	0,63	0,0250	0,47	0,1504	0,10	0,8362
Hbs1l	106,16	0,06	0,8887	0,08	0,8726	0,06	1,0000	0,23	0,7414	0,34	0,2367	-0,03	0,9726	0,08	0,9118	0,15	0,8511	0,11	0,8223
Hccs	86,52	0,67	0,0079	0,27	0,5329	-0,15	1,0000	-0,10	0,9600	-0,33	0,3305	0,21	0,7013	0,10	0,8865	-0,17	0,8357	-0,69	0,0409
Hcfc1	250,02	0,23	0,4120	-0,63	0,0039	-0,12	1,0000	-0,11	0,9213	0,32	0,2055	-1,11	0,0001	-0,41	0,2623	-0,11	0,8979	0,34	0,3214
Hcfc1r1	120,54	0,39	0,3115	-0,24	0,5839	-0,23	1,0000	-0,58	0,1136	-0,29	0,4377	-0,16	0,8379	-0,34	0,5609	-0,23	0,7971	0,00	0,9988
Hcfc2	69,97	-0,16	0,6542	-0,05	0,9253	-0,10	1,0000	0,14	0,9081	-0,23	0,5362	0,20	0,7574	0,12	0,8732	0,12	0,9106	0,15	0,7378
Hck	1,63	0,15	NA	-0,14	0,8585	-0,02	NA	-0,15	NA	-0,33	NA	-0,37	NA	-0,09	NA	-0,11	NA	-0,66	NA
Hcn1	327,50	-0,56	0,0331	-0,07	0,8978	0,11	1,0000	0,29	0,6211	-0,57	0,0144	0,45	0,2215	0,37	0,3608	0,31	0,5458	-0,54	0,0560
Hcn2	7,78	0,47	0,4575	1,42	0,0009	0,44	NA	0,64	0,2597	0,62	0,2854	0,81	0,2100	0,02	NA	-0,05	0,9909	0,09	0,9169
Hcn3	1,46	-0,08	NA	0,09	0,9138	0,00	NA	-0,12	NA	-0,26	0,7119	0,11	NA	-0,03	NA	0,09	NA	-0,02	NA
Hcn4	513,43	-0,22	0,7361	-0,52	0,3913	0,00	1,0000	0,02	0,9901	0,23	0,6875	-1,18	0,0001	-0,20	0,7274	0,03	0,9911	0,44	0,2752
Hdac1	24,09	-0,05	0,9450	0,27	0,6838	-0,14	NA	-0,11	0,9629	-0,29	0,5961	-0,13	0,9034	-0,01	0,9914	-0,34	0,7454	-0,79	0,1134
Hdac10	12,21	-0,17	0,8191	-0,21	0,8113	0,04	NA	0,11	0,9634	0,12	0,8622	-0,08	0,9478	0,13	NA	0,02	0,9936	0,06	0,9445
Hdac11	42,97	-0,73	0,0271	0,14	0,8332	-0,04	1,0000	-0,57	0,2852	-0,17	0,7814	0,46	0,4222	0,06	0,9505	-0,42	0,6061	0,17	0,8309
Hdac2	150,35	-0,09	0,8312	0,03	0,9549	0,03	1,0000	0,16	0,8486	-0,26	0,3309	0,14	0,8196	0,38	0,3994	0,38	0,4372	-0,07	0,8851
Hdac3	58,02	-0,32	0,3632	0,15	0,7534	0,15	1,0000	0,26	0,7076	-0,03	0,9557	-0,43	0,4277	0,09	0,9173	0,45	0,4424	0,21	0,6570
Hdac4	79,20	-0,51	0,0577	0,11	0,8295	0,14	1,0000	0,22	0,7796	0,10	0,7949	-0,04	0,9619	0,28	0,6113	0,29	0,6713	0,24	0,5567
Hdac5	210,23	-0,23	0,4590	-0,06	0,9230	0,10	1,0000	0,24	0,7363	0,46	0,1117	0,05	0,9378	0,23	0,6078	0,84	0,0008	0,69	0,0568
Hdac6	61,24	-0,04	0,9365	0,46	0,1579	0,00	1,0000	-0,14	0,9251	0,05	0,9068	0,21	0,7463	-0,30	0,6132	-0,26	0,7375	0,12	0,7864
Hdac7	28,73	-0,40	0,4295	0,05	0,9658	0,10	1,0000	0,18	0,9167	0,38	0,4896	-0,23	0,8127	0,07	0,9527	0,55	0,4325	0,69	0,2298
Hdac8	5,44	-0,30	0,6861	0,47	0,4869	-0,12	NA	0,04	NA	0,21	0,7775	0,09	0,9494	0,30	NA	-0,09	NA	0,44	0,5597

GeneID	CTL	ET-1 vs CTL		SAHA vs CTL		JS28 vs CTL		BSP vs CTL		JQ1 vs CTL		ET-1+SAHA vs ET1		ET-1+JS28 vs ET1		ET-1+BSP vs ET1		ET-1+JQ1 vs ET1	
	mean	log2(FC)	P-adj	log2(FC)	P-adj	log2(FC)	P-adj	log2(FC)	P-adj	log2(FC)	P-adj	log2(FC)	P-adj	log2(FC)	P-adj	log2(FC)	P-adj	log2(FC)	P-adj
Hdac9	156,08	0,01	0,9867	-0,25	0,4880	-0,08	1,0000	-0,07	0,9634	-0,96	0,0000	0,03	0,9685	0,42	0,2295	0,26	0,6268	-0,64	0,0071
Hddc2	7,36	0,08	0,9278	0,53	0,4075	0,04	NA	-0,17	NA	-0,10	0,9008	0,63	0,4063	0,31	NA	-0,51	0,6013	-1,08	0,0920
Hddc3	18,95	0,40	0,4315	-0,22	0,7762	0,04	NA	-0,09	0,9746	-0,65	0,2124	-0,29	0,7400	-0,17	0,8571	-0,37	0,7106	-0,68	0,1587
Hdgf	154,68	0,23	0,4762	-0,68	0,0041	-0,32	0,8594	-0,71	0,0043	-0,13	0,7298	-0,81	0,0193	-0,66	0,0687	-0,90	0,0051	0,00	0,9975
Hdgfrp2	54,47	0,15	0,7275	0,35	0,4088	0,02	1,0000	0,04	0,9853	0,47	0,1239	0,16	0,8220	-0,41	0,4332	0,01	0,9986	0,07	0,8929
Hdgfrp3	166,50	0,05	0,9027	-0,33	0,1972	-0,35	0,5717	0,07	0,9563	-0,14	0,5876	-0,26	0,6266	0,03	0,9713	-0,12	0,9058	-0,14	0,7441
Hdhd2	42,98	0,34	0,3650	-0,41	0,3708	-0,12	1,0000	0,01	0,9925	0,28	0,4558	-0,27	0,6928	0,02	0,9791	-0,02	0,9933	0,21	0,6451
Hdhd3	1,39	-0,43	NA	0,22	0,7892	-0,03	NA	-0,06	NA	0,48	0,4865	0,84	NA	0,26	NA	0,41	NA	1,08	0,0985
Hdlbp	952,76	0,13	0,6055	-0,11	0,6693	0,07	1,0000	0,16	0,7007	0,51	0,0001	-0,42	0,1449	-0,13	0,7760	0,20	0,6579	0,42	0,0324
Hdx	6,61	0,15	0,8527	0,63	0,2998	-0,05	NA	-0,12	NA	-0,11	0,8982	0,00	0,9986	-0,06	NA	0,28	0,8446	-0,22	0,7980
Heatr1	69,64	0,79	0,0007	0,48	0,1544	-0,14	1,0000	-0,20	0,8610	-0,02	0,9614	0,02	0,9789	-0,66	0,0797	-0,71	0,0731	-0,72	0,0209
Heatr2	25,66	0,09	0,8903	0,31	0,6108	-0,01	NA	0,08	0,9764	0,23	0,6381	0,41	0,5415	-0,46	0,4836	-0,11	0,9438	-0,17	0,7690
Heatr3	97,14	0,37	0,1762	-0,24	0,6040	-0,23	1,0000	-0,12	0,9370	-0,18	0,5967	-0,51	0,1787	-0,55	0,1245	-0,63	0,0772	-0,65	0,0605
Heatr5a	87,56	-0,15	0,7040	0,02	0,9799	-0,12	1,0000	-0,23	0,7666	-0,36	0,1932	0,18	0,7717	-0,14	0,8435	-0,32	0,6395	-0,05	0,9198
Heatr5b	144,64	-0,04	0,9068	-0,26	0,3588	-0,05	1,0000	-0,10	0,9264	0,03	0,9352	-0,54	0,1314	-0,07	0,9152	-0,05	0,9692	0,10	0,7838
Heatr6	83,55	-0,06	0,9064	-0,24	0,5626	-0,09	1,0000	0,02	0,9871	0,16	0,6082	-0,22	0,7255	-0,01	0,9938	-0,08	0,9528	0,14	0,7259
Hebp1	9,61	0,15	0,8498	0,16	0,8628	0,00	NA	-0,23	0,8794	-0,91	0,1276	-0,31	0,7699	-0,01	NA	-0,39	0,7236	-2,12	0,0002
Heca	134,51	-0,42	0,1895	-0,07	0,9061	0,17	1,0000	0,25	0,7439	0,34	0,2272	0,28	0,6121	0,43	0,3409	0,38	0,4773	0,63	0,0504
Hectd1	643,70	-0,05	0,8306	-0,21	0,3086	0,01	1,0000	0,12	0,8420	-0,04	0,8460	-0,30	0,3148	0,03	0,9505	0,13	0,8122	0,02	0,9717
Hectd2	117,33	1,42	0,0000	0,78	0,0040	0,19	1,0000	0,61	0,0794	0,36	0,2441	-0,05	0,9398	-0,95	0,0003	-0,94	0,0003	-1,02	0,0005
Hectd3	28,23	-0,07	0,9032	0,07	0,9251	0,30	1,0000	0,06	0,9853	0,41	0,2826	0,19	0,8320	0,00	0,9997	-0,05	0,9818	0,04	0,9506
Hecw2	74,65	0,10	0,8394	-0,48	0,2070	-0,57	0,2671	-0,12	0,9452	0,07	0,8759	-0,63	0,1253	-0,29	0,5903	-0,24	0,7608	-0,18	0,6509
Heg1	148,72	-0,02	0,9754	-0,12	0,8482	-0,01	1,0000	-0,26	0,7850	-0,16	0,7105	-0,22	0,6978	-0,05	0,9432	-0,21	0,7717	-0,23	0,5599
Helb	23,91	-0,56	0,1483	0,14	0,8421	-0,01	NA	0,20	0,8794	-0,26	0,5764	0,56	0,3834	0,66	0,2330	0,33	0,7526	0,17	0,7844
Hells	5,53	-0,16	0,8497	0,47	0,4947	0,13	NA	-0,08	NA	-0,06	0,9460	0,54	0,5368	0,17	NA	-0,06	NA	0,10	0,9201
Helq	12,59	0,30	0,6297	0,10	0,9217	0,01	NA	0,21	0,8987	0,40	0,4684	-0,38	0,6722	-0,16	NA	-0,13	0,9397	-0,29	0,6568
Helz	231,86	-0,36	0,0830	0,01	0,9906	-0,12	1,0000	0,10	0,9250	0,19	0,5001	-0,07	0,9171	0,15	0,7837	0,28	0,5640	0,57	0,0209
Helz2	2,16	0,03	NA	0,28	0,7167	0,04	NA	-0,10	NA	0,25	0,7495	-0,08	NA	-0,18	NA	-0,28	NA	-0,26	0,7680
Hemk1	19,52	0,21	0,7141	0,73	0,0916	0,08	NA	-0,04	0,9853	0,12	0,8379	0,42	0,5446	-0,46	NA	-0,01	0,9967	-0,25	0,6690
Herc1	280,96	-0,23	0,2313	0,23	0,3553	-0,10	1,0000	0,24	0,5478	0,32	0,0658	-0,01	0,9903	0,16	0,7169	0,31	0,3937	0,36	0,0772
Herc2	317,42	-0,15	0,4598	-0,04	0,9274	0,06	1,0000	0,25	0,4602	0,29	0,1018	-0,23	0,5319	0,04	0,9454	0,13	0,8285	0,37	0,1464
Herc3	113,36	0,14	0,7200	-0,15	0,7498	-0,37	0,8016	-0,24	0,7499	-0,02	0,9557	-0,29	0,5488	-0,01	0,9873	-0,08	0,9437	-0,08	0,8396
Herc4	52,81	-0,10	0,8328	-0,22	0,6532	0,02	1,0000	0,16	0,9058	0,25	0,4784	-0,11	0,8922	0,16	0,8336	0,42	0,4889	0,64	0,0336
Herc6	1,01	-0,20	NA	0,48	0,4345	0,05	NA	-0,05	NA	-0,19	0,7887	0,24	NA	0,27	NA	0,07	NA	0,01	NA
Herpud1	375,25	0,23	0,6296	-0,81	0,0002	-0,15	1,0000	-0,25	0,6398	0,07	0,8180	-0,87	0,1636	-0,59	0,3757	-0,59	0,4714	-0,20	0,6982
Herpud2	99,64	0,17	0,5941	0,13	0,7618	0,20	1,0000	0,37	0,3529	0,65	0,0011	-0,08	0,9087	0,10	0,8812	0,23	0,7288	0,65	0,0074
Hes1	23,17	0,56	0,2479	0,42	0,4850	0,12	NA	0,09	0,9746	-0,55	0,2913	-0,01	0,9949	-0,05	0,9678	-0,42	0,6374	-0,58	0,2465
Hes6	16,01	-0,30	0,6060	-0,43	0,4800	-0,26	NA	-0,14	0,9472	-0,52	0,3001	-0,32	0,7425	0,01	NA	-0,35	0,7608	-0,01	0,9973
Hexa	46,23	0,40	0,2572	0,49	0,2206	0,08	1,0000	-0,06	0,9798	-0,15	0,7334	0,27	0,6566	-0,21	0,7578	-0,07	0,9633	-0,41	0,2775
Hexb	26,14	-0,23	0,6987	0,01	0,9899	0,19	NA	0,17	0,9269	0,57	0,1583	0,26	0,7631	0,23	0,7833	0,41	0,6218	0,54	0,2128
Hexdc	13,71	-0,31	0,6129	0,06	0,9550	-0,07	NA	0,29	0,8147	0,44	0,3504	0,48	0,5464	-0,11	NA	0,17	0,9168	0,58	0,2618
Hexim1	44,10	-0,59	0,0743	-0,43	0,2817	0,11	1,0000	1,06	0,0000	2,20	0,0000	-0,38	0,6108	0,12	0,8974	1,45	0,0000	2,83	0,0000
Hexim2	2,80	-0,28	0,7115	-0,09	0,9349	-0,03	NA	-0,30	NA	-0,73	0,2428	0,08	0,9502	0,11	NA	-0,13	NA	-0,51	NA
Hey1	5,88	-0,45	0,5020	0,68	0,2397	-0,09	NA	-0,29	NA	-0,87	0,1427	0,57	0,5041	-0,14	NA	-0,16	NA	-0,42	0,6125
Hfe2	45,71	-0,52	0,2579	0,20	0,7801	-0,36	1,0000	-0,60	0,2909	-1,88	0,0000	0,87	0,0535	0,31	0,6633	0,06	0,9789	-0,63	0,3489

GeneID	CTL	ET-1 vs CTL		SAHA vs CTL		JS28 vs CTL		BSP vs CTL		JQ1 vs CTL		ET-1+SAHA vs ET1		ET-1+JS28 vs ET1		ET-1+BSP vs ET1		ET-1+JQ1 vs ET1	
	mean	log2(FC)	P-adj	log2(FC)	P-adj	log2(FC)	P-adj	log2(FC)	P-adj	log2(FC)	P-adj	log2(FC)	P-adj	log2(FC)	P-adj	log2(FC)	P-adj	log2(FC)	P-adj
Hgfac	8,72	-1,54	0,0002	-0,03	0,9768	-0,24	NA	0,11	0,9628	-0,36	0,5584	0,53	0,5423	0,49	NA	0,62	NA	-0,13	0,9006
Hgs	141,68	-0,23	0,6052	-0,49	0,1496	0,06	1,0000	0,22	0,8113	0,74	0,0084	-0,86	0,0326	-0,37	0,4921	0,16	0,8707	0,79	0,0279
Hgsnat	48,07	-0,07	0,9027	-0,20	0,7015	0,17	1,0000	0,46	0,3276	0,50	0,0839	0,05	0,9624	0,35	0,5706	0,21	0,8400	0,49	0,1825
Hhat1	35,24	-0,61	0,1586	-1,11	0,0056	-0,15	1,0000	-0,49	0,4738	-2,36	0,0000	-0,48	0,5251	0,01	0,9914	-0,48	0,5761	-1,71	0,0008
Hhex	2,04	0,03	NA	0,02	0,9845	-0,08	NA	-0,20	NA	-0,13	0,8760	0,02	NA	-0,10	NA	-0,18	NA	-0,68	NA
Hhipl1	1,04	0,46	NA	-0,08	NA	0,01	NA	-0,01	NA	0,08	NA	-0,37	NA	-0,14	NA	-0,37	NA	-0,52	NA
Hhipl2	2,28	0,02	0,9871	-0,01	0,9895	0,00	NA	-0,01	NA	0,12	0,8845	-0,33	NA	-0,11	NA	-0,15	NA	-0,10	0,9226
Hiat1	66,32	0,31	0,3741	-0,32	0,4772	-0,05	1,0000	0,22	0,8279	0,30	0,3504	-0,33	0,5553	-0,02	0,9791	0,02	0,9918	0,02	0,9717
Hiat1	61,02	0,17	0,6522	0,08	0,8775	0,07	1,0000	0,30	0,6285	0,19	0,6108	0,23	0,7123	-0,07	0,9288	0,16	0,8784	-0,07	0,8935
Hibadh	122,51	-0,09	0,8493	-0,17	0,6607	0,06	1,0000	0,05	0,9794	-0,33	0,2173	0,12	0,8669	0,19	0,7589	0,15	0,8816	-0,19	0,6399
Hibch	43,77	-0,17	0,6940	0,34	0,3916	-0,08	1,0000	0,24	0,7810	-0,57	0,0710	0,59	0,2032	0,30	0,6185	0,28	0,7375	-0,02	0,9805
Hic2	19,35	-0,38	0,4474	0,22	0,7429	-0,26	NA	0,06	0,9853	0,72	0,0310	0,06	0,9573	-0,11	NA	0,42	0,6583	0,89	0,0428
Hid1	2,98	-0,11	0,9013	2,31	0,0000	-0,08	NA	0,13	NA	-0,27	0,7277	2,12	0,0000	0,20	NA	0,20	NA	0,21	0,8241
Hif1a	602,57	0,52	0,0440	0,68	0,0035	0,46	0,2924	0,05	0,9805	-0,37	0,1536	0,62	0,0465	0,59	0,0713	-0,19	0,7827	-0,72	0,0230
Hif1an	253,63	-0,13	0,7450	-0,51	0,0604	-0,16	1,0000	-0,19	0,8212	0,32	0,1944	-0,44	0,2916	-0,42	0,3106	-0,04	0,9766	0,49	0,0719
Hif3a	4,73	-0,35	0,6292	0,06	0,9560	0,33	NA	-0,51	NA	-1,46	0,0066	-0,24	0,8270	0,05	NA	-0,32	NA	-0,89	0,1656
Higd1a	35,20	0,93	0,0191	0,51	0,3456	-0,02	NA	0,10	0,9654	-0,14	0,8203	0,29	0,7016	-0,26	0,7283	-0,49	0,5086	-0,99	0,0203
Higd2a	65,95	0,02	0,9668	-0,43	0,2591	0,05	1,0000	0,02	0,9901	0,47	0,0714	-0,18	0,8085	-0,19	0,7939	0,26	0,7454	0,17	0,7095
Hiipda	3,63	0,38	0,5952	-0,13	0,8895	-0,02	NA	-0,04	NA	-0,61	0,3297	-0,23	0,8382	-0,47	NA	-0,46	NA	-1,00	0,1381
Hinfp	10,62	-0,01	0,9903	0,07	0,9476	-0,03	NA	0,01	0,9940	0,63	0,1843	-0,20	0,8557	-0,20	NA	0,13	0,9416	0,22	0,7550
Hint1	173,75	-0,06	0,9091	-0,30	0,5149	-0,32	1,0000	-0,27	0,7443	-0,16	0,6728	0,39	0,2760	-0,15	0,7929	-0,03	0,9816	-0,33	0,2088
Hint2	31,34	0,18	0,7618	0,27	0,6741	0,08	NA	0,40	0,6070	0,09	0,8707	0,23	0,7721	-0,43	0,4925	-0,02	0,9938	-0,23	0,6649
Hint3	29,59	-0,08	0,8869	-0,16	0,8105	0,03	NA	-0,05	0,9853	-0,26	0,5684	0,26	0,7388	0,13	0,8828	-0,03	0,9915	-0,30	0,5839
Hip1	376,32	0,32	0,0872	-0,31	0,1705	0,11	1,0000	-0,11	0,9058	-0,25	0,2943	-0,46	0,1181	0,03	0,9654	0,02	0,9867	-0,21	0,5016
Hip1r	36,27	0,37	0,3829	0,20	0,7536	0,01	1,0000	0,29	0,7601	0,30	0,4697	-0,14	0,8705	-0,51	0,3723	-0,16	0,9023	0,06	0,9211
Hipk1	371,92	-0,08	0,7699	-0,32	0,1105	-0,08	1,0000	-0,09	0,9220	0,23	0,1558	-0,35	0,2935	-0,06	0,9243	-0,08	0,9181	0,31	0,1817
Hipk2	308,48	0,13	0,7844	-0,31	0,2751	-0,26	1,0000	-0,22	0,7118	-0,16	0,6158	-0,78	0,0514	-0,46	0,3437	-0,39	0,5271	-0,16	0,7671
Hipk3	1976,15	0,19	0,2427	-0,63	0,0000	-0,07	1,0000	0,07	0,9387	0,29	0,1124	-0,37	0,1373	0,09	0,8392	0,16	0,7013	0,19	0,5096
Hira	40,46	-0,06	0,9132	0,67	0,0295	0,10	1,0000	0,32	0,6430	0,00	0,9992	0,69	0,1119	0,34	0,5630	0,24	0,8020	0,19	0,6833
Hirip3	15,64	0,22	0,7507	-0,58	0,3398	0,03	NA	-0,23	0,8797	-0,36	0,5484	-0,66	0,3664	-0,41	NA	-0,37	0,7360	-0,36	0,5794
Hist1h1a	3,04	-0,40	0,5632	1,31	0,0056	-0,03	NA	0,01	NA	-0,50	0,4744	1,23	0,0461	0,28	NA	0,22	NA	-0,03	0,9773
Hist1h1b	1,13	-0,26	NA	1,21	0,0117	0,22	NA	0,15	NA	0,40	0,5793	1,67	0,0023	0,08	NA	0,10	NA	0,25	NA
Hist1h1c	219,06	-0,27	0,4185	0,66	0,0090	0,13	1,0000	0,05	0,9817	0,94	0,0000	0,66	0,0349	-0,02	0,9796	0,26	0,6693	1,27	0,0000
Hist1h1d	38,14	-0,86	0,0134	1,16	0,0002	0,28	1,0000	-0,23	0,8628	-0,62	0,1262	2,03	0,0000	0,61	0,2594	0,49	0,5036	0,12	0,8535
Hist1h1e	136,01	0,00	0,9968	1,12	0,0000	0,50	0,3547	0,06	0,9764	-0,26	0,4703	0,88	0,0051	0,23	0,6748	0,25	0,7186	-0,22	0,6927
Hist1h2ab	3,20	-0,83	0,1049	0,12	0,9019	0,14	NA	-0,36	NA	-0,94	0,1080	0,49	NA	0,17	NA	0,19	NA	0,05	NA
Hist1h2ac	5,85	-0,66	0,2551	0,64	0,2953	0,31	NA	0,19	0,9113	0,16	0,8367	1,28	0,0331	1,02	NA	0,48	NA	0,79	0,2495
Hist1h2ad	2,33	-0,27	0,7052	0,22	0,8066	0,10	NA	0,38	NA	1,47	0,0030	0,48	0,5525	0,04	NA	0,70	NA	1,93	0,0006
Hist1h2ae	1,40	-0,19	NA	0,25	0,7429	0,25	NA	0,08	NA	-0,30	0,6579	0,42	NA	0,27	NA	0,26	NA	-0,01	NA
Hist1h2af	1,33	-0,22	NA	-0,16	0,8195	0,09	NA	-0,01	NA	0,63	0,3301	-0,07	NA	0,06	NA	0,11	NA	0,37	NA
Hist1h2ai	3,18	-0,64	0,2651	0,56	0,3962	0,13	NA	-0,13	NA	0,05	0,9590	1,30	0,0299	0,51	NA	0,85	NA	0,67	0,3652
Hist1h2ak	2,74	-0,17	0,8409	0,81	0,1528	0,24	NA	0,17	NA	-0,50	0,4665	1,20	0,0546	0,41	NA	0,25	NA	-0,29	0,7276
Hist1h2bb	10,08	-1,05	0,0176	0,23	0,7588	0,36	NA	-0,11	0,9634	-1,31	0,0072	0,87	0,2117	0,76	NA	-0,01	NA	-0,56	0,4701
Hist1h2bc	38,00	-0,02	0,9726	-0,39	0,3962	0,40	0,8273	0,82	0,0081	1,74	0,0000	-0,61	0,2689	0,00	0,9975	1,02	0,0041	1,61	0,0000
Hist1h2be	13,61	-0,64	0,1974	0,41	0,4929	0,13	NA	-0,37	0,7006	-0,02	0,9779	0,83	0,2060	0,72	NA	0,22	0,8908	0,85	0,1261

GeneID	CTL	ET-1 vs CTL		SAHA vs CTL		JS28 vs CTL		BSP vs CTL		JQ1 vs CTL		ET-1+SAHA vs ET1		ET-1+JS28 vs ET1		ET-1+BSP vs ET1		ET-1+JQ1 vs ET1	
	mean	log2(FC)	P-adj	log2(FC)	P-adj	log2(FC)	P-adj	log2(FC)	P-adj	log2(FC)	P-adj	log2(FC)	P-adj	log2(FC)	P-adj	log2(FC)	P-adj	log2(FC)	P-adj
Hist1h2bg	21,49	-0,10	0,9027	0,11	0,8912	0,19	NA	0,17	0,9293	0,78	0,0517	-0,07	0,9561	0,39	0,6013	-0,14	0,9372	1,00	0,0402
Hist1h2bh	1,82	-0,14	NA	0,07	0,9505	-0,10	NA	0,08	NA	-0,05	0,9580	0,20	NA	0,10	NA	-0,15	NA	0,36	0,6676
Hist1h2bj	2,40	-0,19	0,8204	0,25	0,7686	0,06	NA	0,02	NA	0,30	0,6956	0,23	0,8295	0,03	NA	-0,03	NA	0,55	0,4814
Hist1h2bl	2,64	-0,11	0,9036	0,77	0,1720	0,13	NA	0,21	NA	0,35	0,6368	0,56	0,5019	-0,06	NA	-0,07	NA	0,21	0,8247
Hist1h2bn	1,69	-0,25	NA	0,66	0,2687	0,03	NA	0,15	NA	0,94	0,1140	0,39	NA	0,35	NA	0,23	NA	0,96	0,1587
Hist1h3a	4,44	-0,52	0,4152	0,67	0,2668	0,00	NA	0,28	0,8147	0,12	0,8845	1,81	0,0005	0,67	NA	0,36	NA	0,80	0,2452
Hist1h3b	1,02	-0,43	NA	0,50	0,4257	0,16	NA	0,09	NA	0,65	0,3212	0,56	NA	0,31	NA	0,15	NA	0,47	NA
Hist1h3c	2,70	-0,38	0,5580	0,21	0,8101	0,10	NA	0,12	NA	0,17	0,8340	-0,01	NA	0,18	NA	0,11	NA	0,18	0,8396
Hist1h3d	2,97	-0,60	0,3127	1,04	0,0428	0,31	NA	0,35	NA	1,41	0,0032	1,46	0,0117	0,40	NA	0,76	NA	2,33	0,0000
Hist1h3e	33,46	-1,10	0,0017	0,71	0,0652	0,49	0,5413	0,07	0,9798	0,06	0,9284	1,09	0,0267	0,88	0,0733	0,69	0,2714	1,05	0,0270
Hist1h3f	16,07	-0,52	0,3397	1,26	0,0007	0,35	NA	0,33	0,7543	0,12	0,8657	1,83	0,0000	1,00	NA	0,42	0,6743	0,48	0,4740
Hist1h3h	1,55	0,06	NA	0,99	0,0524	0,10	NA	0,21	NA	0,76	0,2235	1,38	0,0199	0,17	NA	0,45	NA	0,39	0,6425
Hist1h3i	11,97	-1,43	0,0007	1,02	0,0199	0,17	NA	0,01	0,9968	-0,38	0,5433	2,47	0,0000	1,32	NA	1,03	0,0898	1,44	0,0073
Hist1h4a	8,25	-0,20	0,7994	0,48	0,4575	0,00	NA	0,59	0,3473	0,82	0,0763	0,96	0,1416	0,47	NA	0,56	0,5423	1,02	0,0739
Hist1h4b	8,11	-0,62	0,2671	0,59	0,3004	0,28	NA	0,59	0,3351	-0,11	0,8906	1,65	0,0010	0,96	NA	0,37	0,7601	0,61	0,3653
Hist1h4c	15,18	-0,19	0,7849	0,60	0,2536	0,56	NA	0,50	0,4738	0,38	0,5115	0,90	0,1041	0,63	NA	1,02	0,0417	0,12	0,8821
Hist1h4d	57,35	-0,63	0,0842	0,56	0,1998	0,36	1,0000	0,30	0,7521	-0,15	0,7643	0,99	0,0053	0,66	0,1177	0,67	0,1185	0,07	0,9138
Hist1h4f	8,71	-0,35	0,6148	1,74	0,0000	0,48	NA	0,42	0,6195	-0,33	0,6233	1,54	0,0025	0,51	NA	0,51	0,6027	0,04	0,9682
Hist1h4h	43,92	-0,44	0,3432	0,33	0,5407	0,51	0,5167	0,48	0,4355	0,48	0,1718	0,76	0,1298	0,84	0,0611	1,03	0,0143	0,67	0,1401
Hist1h4i	12,14	-0,46	0,4661	0,85	0,0834	0,38	NA	1,03	0,0081	1,82	0,0000	0,76	0,2831	0,13	NA	0,97	0,1101	1,96	0,0000
Hist1h4j	2,08	-0,50	NA	0,83	0,1400	0,15	NA	0,13	NA	-0,43	0,5460	0,81	0,2081	0,10	NA	0,54	NA	0,01	NA
Hist1h4k	2,36	-0,33	0,6384	1,44	0,0017	0,24	NA	0,41	NA	0,50	0,4642	1,21	0,0486	0,58	NA	0,76	NA	0,01	0,9923
Hist1h4n	22,23	-0,95	0,0279	0,37	0,5655	0,29	1,0000	0,58	0,3312	0,16	0,8033	1,03	0,0559	0,71	NA	0,80	0,2070	0,75	0,1497
Hist2h2ab	1,98	0,03	NA	-0,18	0,8295	-0,12	NA	-0,12	NA	-0,28	0,7114	0,23	0,8316	-0,04	NA	-0,26	NA	0,13	0,9002
Hist2h2ac	7,26	0,40	0,5481	0,86	0,1097	0,33	NA	0,10	NA	0,09	0,9160	0,77	0,2493	0,46	NA	0,12	0,9510	-0,25	0,7424
Hist2h2bb	41,29	-0,06	0,9260	0,84	0,0087	0,27	1,0000	1,13	0,0001	1,62	0,0000	1,30	0,0001	0,79	0,0428	1,33	0,0000	1,59	0,0000
Hist2h2be	7,43	0,32	0,6662	0,03	0,9813	0,11	NA	0,17	0,9269	0,36	0,5943	-0,14	0,9136	-0,09	NA	-0,27	0,8492	0,08	0,9391
Hist2h3b	4,79	-0,35	0,6266	0,69	0,2525	0,14	NA	0,22	NA	0,81	0,1656	1,85	0,0004	1,06	NA	0,98	0,1165	1,19	0,0487
Hist2h4	10,24	-0,10	0,9107	0,89	0,0805	0,22	NA	0,61	0,3014	1,16	0,0070	0,65	0,3657	-0,15	NA	0,51	0,5788	1,04	0,0522
Hist3h2a	83,18	-0,36	0,2531	0,15	0,7616	-0,05	1,0000	-0,03	0,9853	0,22	0,5033	0,75	0,0385	0,20	0,7493	0,22	0,7993	0,47	0,1593
Hist3h2ba	4,24	-0,22	0,7899	1,23	0,0106	-0,08	NA	0,15	NA	0,32	0,6649	1,35	0,0208	-0,23	NA	-0,01	NA	-0,02	0,9906
Hist4h4	20,98	-0,40	0,4720	0,70	0,0864	0,51	NA	0,52	0,3801	-0,29	0,5706	1,04	0,0539	0,44	NA	0,38	0,7189	-0,06	0,9512
Hivep1	118,74	0,70	0,0004	0,33	0,2859	0,01	1,0000	0,00	0,9988	0,99	0,0000	-0,34	0,4206	-0,62	0,0611	-0,31	0,5422	0,50	0,0462
Hivep2	193,82	0,01	0,9839	-0,37	0,1183	-0,21	1,0000	0,05	0,9713	0,15	0,5631	-0,46	0,1956	-0,21	0,6649	-0,07	0,9494	0,24	0,4335
Hivep3	5,92	-0,51	0,4248	0,65	0,2676	-0,05	NA	0,09	0,9746	0,52	0,4183	1,22	0,0431	0,28	NA	0,72	0,3528	1,27	0,0275
Hjurp	3,01	-0,78	0,1498	-0,50	0,4543	-0,15	NA	-0,41	NA	-0,25	0,7530	-0,21	NA	0,17	NA	0,33	NA	0,02	NA
Hk1	103,25	0,35	0,2782	0,55	0,0539	-0,07	1,0000	0,01	0,9918	0,25	0,4627	0,27	0,6166	-0,33	0,5206	0,13	0,9017	0,15	0,7833
Hk2	255,93	1,47	0,0000	-0,55	0,1080	0,07	1,0000	-0,43	0,4122	-0,92	0,0005	-1,51	0,0000	-1,22	0,0000	-1,66	0,0000	-1,62	0,0000
Hlcs	37,37	-0,04	0,9425	-0,02	0,9822	0,04	1,0000	0,23	0,8420	0,39	0,2654	0,24	0,7471	0,05	0,9632	0,19	0,8601	0,36	0,3934
Hlf	141,66	-1,25	0,0000	0,55	0,0510	0,41	0,5912	0,63	0,0344	1,23	0,0000	1,15	0,0037	0,98	0,0131	1,36	0,0001	2,15	0,0000
Hlff	114,14	-0,46	0,0435	0,05	0,9324	0,17	1,0000	0,11	0,9364	-0,48	0,0432	0,38	0,3461	0,72	0,0178	0,32	0,5345	-0,07	0,8716
Hmbox1	64,84	-0,35	0,2273	-0,10	0,8524	-0,06	1,0000	-0,17	0,8814	-0,97	0,0002	-0,16	0,8198	0,20	0,7530	0,07	0,9608	-0,42	0,2312
Hmbs	32,82	0,24	0,6047	-0,68	0,1183	0,17	1,0000	-0,13	0,9472	0,02	0,9673	-0,74	0,1698	-0,53	0,3516	-0,12	0,9334	-0,32	0,5388
Hmces	8,62	-0,12	0,8868	0,27	0,7412	0,12	NA	-0,09	0,9746	0,37	0,5481	-0,19	0,8781	0,08	NA	0,22	0,8915	0,18	0,8318
Hmcn1	206,61	-0,68	0,0172	-0,47	0,1007	-0,48	0,3210	-0,18	0,8369	-0,49	0,0890	-0,44	0,4018	-0,02	0,9784	0,00	0,9993	-0,30	0,4974

GeneID	CTL	ET-1 vs CTL		SAHA vs CTL		JS28 vs CTL		BSP vs CTL		JQ1 vs CTL		ET-1+SAHA vs ET1		ET-1+JS28 vs ET1		ET-1+BSP vs ET1		ET-1+JQ1 vs ET1	
	mean	log2(FC)	P-adj	log2(FC)	P-adj	log2(FC)	P-adj	log2(FC)	P-adj	log2(FC)	P-adj	log2(FC)	P-adj	log2(FC)	P-adj	log2(FC)	P-adj	log2(FC)	P-adj
Hmg20a	128,13	0,00	0,9933	-0,24	0,4710	-0,13	1,0000	-0,03	0,9853	0,51	0,0083	-0,28	0,5667	0,09	0,9009	0,19	0,7876	0,61	0,0162
Hmg20b	59,22	0,11	0,8072	0,20	0,7045	-0,08	1,0000	-0,17	0,9060	-0,08	0,8691	0,24	0,6881	-0,02	0,9843	0,14	0,8960	-0,01	0,9826
Hmga2	1,37	0,29	NA	0,31	0,6086	-0,06	NA	-0,02	NA	-0,07	NA	0,52	0,5329	-0,34	NA	-0,38	NA	-0,38	NA
Hmga2-ps1	2,20	-0,35	NA	0,03	0,9819	-0,05	NA	-0,11	NA	-0,20	0,8039	0,36	NA	0,13	NA	-0,14	NA	-0,27	NA
Hmgb1	92,56	0,02	0,9636	-1,25	0,0000	-0,38	0,8445	-0,21	0,8406	0,09	0,8166	-0,79	0,0341	-0,20	0,7337	-0,31	0,6200	-0,79	0,7694
Hmgb2	12,25	0,08	0,9251	-0,01	0,9910	0,18	NA	0,45	0,5731	0,01	0,9858	-0,18	0,8725	0,03	NA	0,39	0,6999	-0,25	0,7391
Hmgb3	51,50	0,36	0,2642	-0,90	0,0080	-0,26	1,0000	0,03	0,9860	0,04	0,9317	-1,12	0,0029	0,07	0,9305	0,03	0,9911	0,03	0,9525
Hmgcl	25,70	0,61	0,0984	0,37	0,5101	0,26	NA	0,35	0,6939	0,59	0,1211	-0,07	0,9425	-0,30	0,6794	0,05	0,9792	-0,05	0,9382
Hmgcll1	2,69	-0,28	0,7040	-0,10	0,9251	0,03	NA	0,08	NA	-0,47	0,4969	0,19	0,8646	0,19	NA	-0,15	NA	-0,45	NA
Hmgcr	56,78	0,63	0,1320	-0,26	0,6189	-0,08	1,0000	0,01	0,9972	-0,32	0,4094	-0,62	0,3160	-0,47	0,4711	-0,47	0,5586	-0,61	0,2677
Hmgcs1	10,99	0,59	0,2876	-0,40	0,5881	-0,08	NA	0,10	0,9674	-0,34	0,6320	-0,59	0,4482	0,05	NA	-0,33	0,7906	-0,73	0,2404
Hmgcs2	1,22	-0,13	NA	-0,05	0,8983	-0,01	NA	-0,03	NA	-0,18	0,6282	NA	NA	NA	NA	NA	NA	0,06	NA
Hmgn1	93,95	0,41	0,1032	0,16	0,7047	-0,15	1,0000	0,05	0,9809	0,24	0,4066	-0,07	0,9243	-0,34	0,4836	-0,31	0,6098	-0,10	0,8152
Hmgn2	24,56	-0,04	0,9592	-0,37	0,5475	0,24	NA	0,56	0,3288	0,70	0,0756	-0,59	0,3790	-0,07	0,9488	0,48	0,5081	0,82	0,0292
Hmgn3	2,48	0,07	0,9427	0,73	0,2147	0,24	NA	0,40	NA	-0,08	0,9238	0,59	0,4768	0,52	NA	0,16	NA	0,02	0,9845
Hmgn5	34,46	-0,12	0,8230	0,54	0,1404	0,22	1,0000	0,00	0,9988	-0,56	0,1339	0,42	0,5247	0,54	0,3292	0,10	0,9464	-0,03	0,9668
Hmgxb3	52,34	-0,05	0,9245	0,31	0,4436	0,34	0,9654	0,03	0,9853	0,28	0,4368	0,14	0,8500	0,22	0,7182	0,12	0,9185	0,43	0,2384
Hmgxb4	35,96	-0,03	0,9663	0,31	0,4950	-0,01	1,0000	0,06	0,9798	0,45	0,1484	0,40	0,5115	0,11	0,9089	-0,13	0,9297	0,42	0,2812
Hmmr	10,48	-0,41	0,5059	-0,07	0,9507	0,05	NA	0,22	0,8925	0,07	0,9256	-0,55	0,5239	0,18	NA	0,11	0,9563	0,20	0,8090
Hmox1	168,72	1,07	0,0300	-0,26	0,7679	-0,47	0,6734	-0,28	0,8232	0,68	0,2461	-0,94	0,1597	-0,78	0,1450	-0,88	0,1510	-0,42	0,6160
Hmox2	46,21	-0,28	0,5193	-0,01	0,9856	0,03	1,0000	0,00	0,9982	0,11	0,8058	0,32	0,6277	-0,12	0,8962	0,20	0,8525	0,28	0,5347
Hn1	141,36	0,85	0,0004	0,15	0,7549	-0,20	1,0000	-0,14	0,9088	0,72	0,0023	-0,19	0,7672	-0,72	0,0455	-0,50	0,2624	0,25	0,5703
Hn1l	44,14	0,49	0,1283	-0,64	0,1060	-0,41	0,8557	-0,58	0,2353	-0,16	0,7161	-0,82	0,0659	-0,84	0,0455	-0,88	0,0408	-0,41	0,3478
Hnrnpa0	107,18	0,26	0,4007	-0,28	0,4850	0,10	1,0000	0,27	0,6921	0,29	0,2955	-0,11	0,8557	-0,17	0,7505	0,28	0,5992	0,29	0,3182
Hnrnpa1	5,41	-0,16	0,8527	0,30	0,7218	-0,12	NA	0,05	NA	-0,55	0,4111	0,44	0,6475	0,23	NA	0,07	NA	-0,50	0,5403
Hnrnpa2b1	456,44	0,24	0,2729	-0,41	0,0942	-0,11	1,0000	0,09	0,9430	0,03	0,9332	-0,56	0,0237	0,10	0,8418	-0,14	0,7954	-0,19	0,5261
Hnrnpa3	31,43	-0,13	0,8078	-0,07	0,9308	-0,27	NA	0,15	0,9269	-0,34	0,4318	0,14	0,8689	-0,04	0,9726	-0,10	0,9502	-0,12	0,8319
Hnrnpab	331,25	0,60	0,0001	-0,75	0,0000	-0,10	1,0000	-0,06	0,9634	0,27	0,2126	-0,81	0,0011	-0,24	0,5096	-0,27	0,4889	-0,13	0,6491
Hnrnpc	154,30	0,13	0,7061	-0,41	0,1735	-0,20	1,0000	0,03	0,9853	0,14	0,6789	-0,14	0,7965	0,00	0,9963	-0,15	0,8389	0,08	0,8271
Hnrnpd	109,65	0,48	0,0392	0,57	0,0390	-0,18	1,0000	-0,27	0,6944	-1,17	0,0000	0,10	0,8689	-0,09	0,8885	-0,57	0,1009	-1,36	0,0000
Hnrnpdl	94,06	0,16	0,6268	0,32	0,3058	-0,02	1,0000	-0,02	0,9860	-0,05	0,8924	-0,16	0,7809	0,03	0,9728	0,00	1,0000	-0,39	0,1851
Hnrnpf	62,16	0,57	0,0341	-0,11	0,8474	-0,04	1,0000	0,00	0,9997	0,14	0,7570	-0,38	0,4555	-0,29	0,5964	-0,78	0,0456	-0,43	0,2756
Hnrnp1	228,64	0,27	0,3304	-0,73	0,0016	-0,18	1,0000	-0,03	0,9853	-0,29	0,2272	-0,57	0,1029	0,24	0,6262	-0,07	0,9443	-0,39	0,2864
Hnrnp2	119,36	0,20	0,4896	-0,37	0,1923	-0,07	1,0000	0,06	0,9746	0,04	0,9091	-0,35	0,4006	0,01	0,9843	-0,11	0,9065	-0,20	0,6842
Hnrnp3	23,97	0,35	0,4707	-0,18	0,8194	-0,16	NA	0,04	0,9853	-0,16	0,7956	-0,19	0,8291	0,02	0,9835	-0,27	0,8107	-0,44	0,3569
Hnrnpk	432,83	0,24	0,2548	-0,26	0,1799	-0,05	1,0000	0,05	0,9640	0,10	0,6672	-0,28	0,4583	-0,13	0,7953	-0,07	0,9347	-0,12	0,7367
Hnrnpl	274,63	-0,29	0,3620	-0,24	0,5407	-0,05	1,0000	0,07	0,9713	0,54	0,0474	-0,28	0,5239	-0,26	0,5871	0,22	0,7186	0,76	0,0143
Hnrnpll	66,07	0,08	0,8513	-0,60	0,0634	-0,02	1,0000	0,12	0,9399	-0,55	0,0559	-0,27	0,6466	-0,05	0,9564	-0,49	0,3542	-0,41	0,2909
Hnrnplm	191,28	0,29	0,1602	-0,42	0,0723	-0,15	1,0000	0,18	0,7814	0,19	0,4560	-0,69	0,0139	-0,35	0,3405	-0,25	0,6288	-0,12	0,7748
Hnrnpr	126,87	0,02	0,9691	-0,40	0,2050	-0,15	1,0000	0,00	0,9988	-0,27	0,3309	-0,35	0,4154	0,06	0,9288	0,09	0,9297	-0,37	0,2676
Hnrnpu	740,56	0,06	0,8617	-0,17	0,4462	0,00	1,0000	0,26	0,3665	0,29	0,0701	-0,24	0,5472	0,25	0,5231	0,00	1,0000	0,12	0,7784
Hnrnpul1	168,47	-0,08	0,8208	-0,12	0,7544	0,09	1,0000	-0,05	0,9764	0,44	0,0884	-0,23	0,6462	-0,06	0,9288	0,18	0,7986	0,52	0,1214
Hnrnpul2	219,61	-0,12	0,6665	-0,24	0,3485	-0,02	1,0000	0,28	0,4509	0,31	0,0829	-0,28	0,4945	0,10	0,8658	0,21	0,7155	0,40	0,0940
Homer1	97,67	0,22	0,4834	-0,07	0,8897	-0,14	1,0000	0,24	0,7328	0,61	0,0176	0,02	0,9771	-0,01	0,9939	0,12	0,8990	0,68	0,0377
Homer2	83,39	-0,18	0,6454	0,57	0,0387	-0,10	1,0000	0,28	0,6786	-0,46	0,0922	0,77	0,0222	0,16	0,8126	0,29	0,6576	-0,32	0,3749

GeneID	CTL	ET-1 vs CTL		SAHA vs CTL		JS28 vs CTL		BSP vs CTL		JQ1 vs CTL		ET-1+SAHA vs ET1		ET-1+JS28 vs ET1		ET-1+BSP vs ET1		ET-1+JQ1 vs ET1	
	mean	log2(FC)	P-adj	log2(FC)	P-adj	log2(FC)	P-adj	log2(FC)	P-adj	log2(FC)	P-adj	log2(FC)	P-adj	log2(FC)	P-adj	log2(FC)	P-adj	log2(FC)	P-adj
Homer3	25,54	-0,37	0,4140	-0,73	0,0827	-0,38	NA	-0,70	0,1443	-0,81	0,0333	-0,05	0,9639	-0,24	NA	-0,62	0,4245	-0,37	0,5552
Homez	22,17	-0,32	0,5137	0,32	0,5727	0,01	NA	0,16	0,9269	-0,02	0,9726	0,59	0,3285	0,10	NA	0,27	0,8185	0,72	0,0811
Hook1	70,07	-0,34	0,2773	0,54	0,0556	0,01	1,0000	0,03	0,9853	-0,55	0,0542	0,48	0,2972	0,27	0,6439	-0,05	0,9792	-0,61	0,0830
Hook2	13,48	-0,91	0,0327	0,20	0,7849	0,00	NA	-0,14	0,9449	-0,19	0,7328	0,68	0,3563	0,45	NA	0,35	0,7786	0,77	0,1967
Hook3	362,29	0,03	0,9370	-0,42	0,0598	-0,13	1,0000	0,11	0,9090	-0,03	0,9284	-0,43	0,1363	0,24	0,5284	0,01	0,9967	0,00	0,9997
Hopx	89,86	-0,88	0,0036	0,02	0,9826	-0,12	1,0000	-0,11	0,9469	-0,61	0,0549	1,35	0,0001	0,66	0,1285	1,16	0,0006	0,11	0,8507
Hoxa1	2,19	0,42	NA	0,05	0,9543	0,07	NA	-0,04	NA	0,31	0,6795	0,10	0,9371	-0,28	NA	-0,24	NA	0,07	0,9449
Hoxa5	2,67	-0,36	0,6112	-0,05	0,9642	-0,16	NA	-0,24	NA	-0,70	0,2589	0,44	0,6313	0,03	NA	0,17	NA	0,17	0,8591
Hoxb3	1,65	-0,16	NA	-0,22	0,7567	-0,10	NA	-0,10	NA	-0,41	0,5239	-0,21	NA	0,03	NA	0,08	NA	-0,33	NA
Hoxb4	2,25	-0,39	0,5674	-0,24	0,7679	-0,13	NA	-0,11	NA	-0,62	0,3308	-0,06	NA	-0,11	NA	0,04	NA	-0,47	NA
Hoxd8	5,88	0,03	0,9747	-0,26	0,7679	-0,05	NA	-0,27	NA	-0,90	0,1368	0,13	0,9252	0,08	NA	-0,14	0,9400	-0,57	0,4595
Hoxd9	3,15	0,48	0,4552	-0,29	0,6433	0,03	NA	-0,07	NA	-0,07	0,9315	-0,62	0,4275	-0,14	NA	-0,64	NA	-0,89	0,2030
Hp1bp3	213,07	-0,28	0,1460	-0,74	0,0000	-0,02	1,0000	-0,05	0,9654	0,17	0,4153	-0,65	0,0270	0,22	0,6089	0,19	0,7320	0,33	0,1726
Hpcal1	2,78	-0,18	0,8321	0,44	0,5353	0,05	NA	-0,16	NA	0,28	0,7198	0,51	0,5553	0,05	NA	0,03	NA	-0,01	0,9944
Hprt	119,05	0,48	0,0162	-0,07	0,8972	-0,26	1,0000	0,30	0,5477	0,10	0,7702	0,10	0,8678	-0,45	0,2308	-0,05	0,9672	-0,05	0,9248
Hps1	2,26	-0,38	0,5656	-0,04	0,9706	-0,08	NA	-0,06	NA	-0,51	0,4540	0,11	NA	0,08	NA	-0,20	NA	-0,01	NA
Hps3	40,08	0,18	0,7094	0,19	0,7505	0,15	1,0000	0,37	0,6129	0,86	0,0027	-0,01	0,9898	-0,09	0,9206	0,15	0,8990	0,43	0,2505
Hps4	21,35	-0,39	0,4146	0,39	0,4364	0,08	NA	-0,04	0,9853	0,07	0,8984	0,36	0,6531	0,02	NA	0,12	0,9423	0,43	0,3864
Hps5	32,71	-0,19	0,7289	-0,51	0,2895	-0,21	1,0000	0,27	0,8063	0,29	0,4972	-0,28	0,7245	-0,15	0,8646	0,11	0,9393	0,53	0,2072
Hps6	10,53	0,19	0,7969	-0,42	0,5553	-0,02	NA	-0,08	0,9769	0,24	0,7060	-0,68	0,3752	-0,83	NA	-0,17	0,9201	-0,07	0,9378
Hr	24,32	0,40	0,5417	1,13	0,0165	0,59	NA	0,84	0,0644	-1,20	0,0261	0,07	0,9586	-0,06	0,9532	0,02	0,9931	-1,07	0,1059
Hras	28,54	0,17	0,7876	-0,16	0,8309	0,15	NA	-0,16	0,9301	0,01	0,9838	-0,27	0,7612	-0,30	0,6949	0,20	0,8767	0,25	0,6657
Hrasls5	1,04	0,30	NA	0,10	NA	-0,01	NA	-0,02	NA	0,05	NA	-0,38	NA	-0,20	NA	-0,30	NA	-0,54	NA
Hrc	141,55	-0,68	0,0169	0,30	0,3631	0,11	1,0000	-0,49	0,1618	-2,02	0,0000	0,73	0,0659	1,01	0,0020	0,16	0,8830	-1,48	0,0000
Hrk	2,08	0,52	NA	0,35	0,4951	-0,04	NA	0,01	NA	-0,01	NA	-0,07	0,9201	-0,11	NA	-0,08	NA	-0,43	0,5734
Hrsp12	9,58	-0,62	0,2516	0,24	0,7500	0,03	NA	-0,39	0,6716	-0,82	0,1245	1,22	0,0358	0,74	NA	-0,15	0,9346	-1,08	0,1041
Hs1bp3	46,41	-0,27	0,4783	-0,04	0,9606	-0,07	1,0000	0,04	0,9853	0,60	0,0462	0,22	0,7717	0,02	0,9843	0,13	0,9192	0,89	0,0040
Hs2st1	46,13	-0,02	0,9716	0,23	0,6342	0,08	1,0000	0,63	0,0713	0,65	0,0150	0,43	0,4278	0,32	0,5850	0,56	0,2663	0,74	0,0261
Hs3st1	2,34	0,02	0,9858	-0,07	0,9429	0,08	NA	-0,17	NA	-0,57	0,3658	-0,01	0,9976	-0,16	NA	-0,24	NA	-0,47	NA
Hs3st3b1	1,72	0,26	NA	0,56	0,3317	0,01	NA	0,00	NA	0,21	0,7800	0,89	0,2081	-0,14	NA	0,38	NA	0,39	0,6475
Hs3st4	1,29	0,18	NA	-0,22	NA	-0,07	NA	-0,11	NA	-0,23	NA	-0,39	NA	-0,21	NA	-0,31	NA	-0,35	NA
Hs6st1	148,83	1,07	0,0000	0,72	0,0014	0,32	0,8985	0,29	0,5973	0,84	0,0025	-0,41	0,2509	-0,65	0,0249	-0,51	0,1174	0,05	0,9383
Hs6st2	37,84	0,17	0,7706	-0,19	0,7733	-0,25	1,0000	-0,25	0,8429	-1,37	0,0002	-0,26	0,7494	-0,33	0,6368	-0,78	0,1516	-1,47	0,0003
Hsbp1	174,71	-0,15	0,5945	-0,05	0,8947	-0,06	1,0000	-0,02	0,9860	-0,17	0,5090	0,22	0,6429	0,25	0,5719	0,35	0,4328	0,08	0,8285
Hscb	10,62	-0,47	0,4227	0,54	0,3682	-0,08	NA	0,04	0,9853	-0,21	0,7611	0,54	0,5115	0,23	NA	0,16	0,9259	0,10	0,9126
Hsd17b10	50,27	-0,07	0,9129	-0,14	0,8369	-0,17	1,0000	-0,23	0,8494	-0,50	0,2134	0,05	0,9527	0,02	0,9834	0,00	1,0000	-0,51	0,1774
Hsd17b11	34,10	-0,57	0,1262	-0,78	0,0540	0,06	1,0000	-0,30	0,7688	-0,18	0,7043	-0,44	0,5457	0,47	0,4379	-0,08	0,9633	-0,09	0,9037
Hsd17b12	53,68	1,23	0,0000	0,71	0,1065	0,17	1,0000	-0,06	0,9853	-0,03	0,9716	0,06	0,9368	-0,33	0,5446	-0,82	0,0369	-0,64	0,1177
Hsd17b4	94,59	0,01	0,9835	-0,02	0,9751	0,25	1,0000	-0,05	0,9769	-0,47	0,0528	-0,08	0,9206	0,12	0,8618	0,04	0,9844	-0,54	0,1011
Hsd17b7	21,36	0,42	0,4178	-0,02	0,9874	-0,17	NA	-0,27	0,8420	-0,21	0,7079	-0,15	0,8877	-0,26	0,7530	-0,61	0,4172	-0,39	0,4964
Hsd3b6	5,98	-0,23	0,7649	-0,25	0,7644	-0,24	NA	-0,45	NA	-1,31	0,0131	0,20	0,8596	-0,58	NA	-0,47	NA	-0,80	0,2342
Hsd3b7	7,37	-1,01	0,0324	-1,20	0,0128	-0,36	NA	-0,69	0,1812	-1,23	0,0185	-0,26	0,8095	0,06	NA	0,12	NA	-0,29	0,7475
Hsd1	42,37	-0,56	0,1851	-0,34	0,4800	-0,17	1,0000	0,16	0,9178	0,74	0,0052	0,10	0,9281	0,19	0,8363	0,46	0,5606	1,20	0,0008
Hsd12	236,79	-0,37	0,0905	-0,22	0,4570	-0,39	0,4800	-0,26	0,6070	-0,45	0,0139	0,29	0,4584	0,06	0,9289	0,13	0,8619	-0,09	0,7845
Hsf1	35,75	0,32	0,4623	0,12	0,8634	-0,01	NA	0,01	0,9970	0,74	0,0186	-0,36	0,5919	-0,33	0,6265	-0,26	0,7993	-0,01	0,9867

GeneID	CTL	ET-1 vs CTL		SAHA vs CTL		JS28 vs CTL		BSP vs CTL		JQ1 vs CTL		ET-1+SAHA vs ET1		ET-1+JS28 vs ET1		ET-1+BSP vs ET1		ET-1+JQ1 vs ET1	
	mean	log2(FC)	P-adj	log2(FC)	P-adj	log2(FC)	P-adj	log2(FC)	P-adj	log2(FC)	P-adj	log2(FC)	P-adj	log2(FC)	P-adj	log2(FC)	P-adj	log2(FC)	P-adj
Hsf2	43,01	-0,07	0,9057	-0,10	0,8830	0,00	1,0000	0,09	0,9634	0,11	0,8033	0,38	0,5401	0,04	0,9726	0,29	0,7608	0,31	0,5365
Hsp90aa1	570,47	0,66	0,0000	-0,35	0,0917	-0,04	1,0000	0,12	0,8684	0,33	0,1391	-0,77	0,0030	-0,43	0,1927	-0,10	0,8960	-0,05	0,9254
Hsp90ab1	2325,19	-0,12	0,6155	-0,11	0,7198	-0,13	1,0000	0,15	0,7734	0,16	0,3634	-0,27	0,4053	-0,22	0,5189	0,08	0,9143	0,28	0,1441
Hsp90b1	808,88	0,01	0,9895	-0,40	0,0714	-0,10	1,0000	0,32	0,3244	0,01	0,9615	-0,57	0,0760	-0,15	0,7705	0,17	0,7903	-0,04	0,9261
Hspa12a	19,22	0,00	0,9993	1,28	0,0002	0,30	NA	0,05	0,9853	-0,64	0,1796	1,28	0,0017	0,58	0,3175	0,06	0,9800	-0,93	0,0604
Hspa12b	1,08	-0,31	NA	-0,24	0,7139	-0,11	NA	-0,16	NA	-0,34	0,6008	0,28	NA	-0,02	NA	-0,07	NA	0,09	NA
Hspa13	110,04	0,41	0,0624	0,21	0,5609	-0,01	1,0000	0,25	0,6934	0,03	0,9492	-0,05	0,9404	-0,03	0,9634	-0,21	0,7398	-0,16	0,7147
Hspa14	43,85	0,12	0,7984	0,33	0,4196	-0,11	1,0000	0,14	0,9293	-0,12	0,7719	0,15	0,8448	0,32	0,5682	0,11	0,9328	0,01	0,9837
Hspa1a	8,18	0,47	0,4780	0,06	0,9550	-0,13	NA	-0,05	NA	-0,09	0,9214	-0,34	0,7384	-0,69	NA	-0,53	0,5747	0,14	0,8709
Hspa1b	9,01	0,59	0,3336	0,05	0,9706	-0,13	NA	0,00	NA	0,52	0,4202	-0,59	0,4763	-0,89	NA	-0,47	0,6427	0,31	0,6988
Hspa1l	9,58	0,49	0,4425	-0,07	0,9549	-0,27	NA	-0,51	NA	-0,76	0,2207	-0,48	0,5787	-0,82	NA	-1,35	0,0113	-2,43	0,0000
Hspa2	31,13	-0,08	0,8957	0,03	0,9750	-0,15	NA	0,07	0,9805	0,48	0,2392	0,41	0,5045	-0,34	0,6223	0,15	0,9074	0,81	0,0126
Hspa4	840,09	0,63	0,0000	0,48	0,0027	-0,08	1,0000	0,08	0,9264	-0,02	0,9327	-0,04	0,9407	-0,34	0,2838	-0,24	0,5306	-0,38	0,2483
Hspa4l	129,73	0,02	0,9691	0,53	0,0527	0,21	1,0000	0,43	0,2667	0,19	0,5200	0,15	0,8049	0,13	0,8300	0,28	0,5761	0,24	0,4601
Hspa5	929,04	0,14	0,7217	-0,53	0,0171	-0,23	1,0000	0,37	0,2674	0,20	0,4032	-0,57	0,1005	-0,35	0,4116	-0,02	0,9918	0,06	0,9149
Hspa8	1157,96	0,27	0,3374	-0,22	0,4931	-0,21	1,0000	0,14	0,8731	0,26	0,2103	-0,56	0,0706	-0,38	0,2924	-0,01	0,9931	0,26	0,3836
Hspa9	691,46	0,94	0,0000	0,09	0,8112	-0,04	1,0000	-0,16	0,8257	-0,40	0,0521	-0,66	0,0195	-0,72	0,0082	-0,84	0,0008	-1,22	0,0000
Hspb1	133,45	0,79	0,0274	-0,47	0,3893	-0,50	0,5660	-0,18	0,9141	0,64	0,2144	0,12	0,8681	-0,88	0,0079	-0,33	0,5416	0,52	0,2175
Hspb11	20,83	0,07	0,9221	0,47	0,3646	-0,01	NA	0,14	0,9464	0,13	0,8180	0,25	0,7731	-0,13	NA	0,07	0,9730	0,10	0,8808
Hspb2	55,99	0,79	0,0078	-0,75	0,0586	-0,19	1,0000	-0,70	0,1163	-1,80	0,0000	-0,68	0,1368	-0,71	0,1075	-0,96	0,0137	-1,78	0,0000
Hspb3	12,63	0,30	0,6520	-0,78	0,1711	-0,27	NA	-0,51	0,4545	-1,78	0,0005	-0,55	0,4858	-0,39	NA	-0,96	0,1226	-2,33	0,0000
Hspb6	82,64	0,78	0,0018	-1,90	0,0000	-0,58	0,2511	-0,59	0,1772	0,09	0,8285	-1,78	0,0000	-0,81	0,0250	-1,05	0,0021	-0,46	0,1614
Hspb7	2307,65	0,37	0,2278	0,17	0,6959	-0,16	1,0000	0,33	0,5239	0,97	0,0010	-0,45	0,1850	-0,36	0,3367	0,54	0,0825	1,17	0,0003
Hspb8	94,67	0,18	0,6516	-0,33	0,3739	-0,12	1,0000	-0,56	0,1318	-0,62	0,0188	-0,19	0,7717	-0,66	0,0899	-1,21	0,0002	-0,62	0,0606
Hspbap1	11,50	-0,04	0,9640	0,42	0,5075	0,02	NA	0,28	0,8334	0,24	0,6902	0,35	0,7131	-0,07	NA	0,16	0,9251	-0,04	0,9717
Hspbpb1	16,42	0,43	0,4019	-0,21	0,7952	-0,12	NA	0,00	0,9998	-0,58	0,2889	-0,09	0,9374	-0,55	NA	-0,39	0,6935	-1,83	0,0002
Hspd1	286,80	0,55	0,0003	0,00	0,9929	-0,03	1,0000	0,11	0,9058	-0,03	0,9336	-0,52	0,0519	-0,34	0,3264	-0,29	0,4431	-0,54	0,0095
Hspe1	60,47	0,89	0,0002	0,40	0,3091	0,24	1,0000	0,58	0,1541	0,08	0,8739	-0,04	0,9650	-0,38	0,4398	-0,25	0,7265	-0,48	0,1907
Hspg2	1228,00	0,06	0,8816	-0,16	0,5766	-0,01	1,0000	-0,06	0,9606	-0,12	0,7609	-0,77	0,0170	-0,37	0,3198	-0,06	0,9492	-0,07	0,9129
Hsph1	105,27	0,26	0,4794	-0,34	0,3825	-0,37	0,8594	-0,15	0,9033	-0,13	0,7513	-0,43	0,3630	-0,54	0,1976	-0,50	0,2892	-0,32	0,4390
Htatip2	1,15	0,08	NA	0,57	0,3145	0,08	NA	0,30	NA	0,08	0,9131	0,69	0,3403	0,18	NA	0,09	NA	0,06	NA
Htatsf1	140,49	-0,11	0,7528	-0,13	0,7534	-0,01	1,0000	0,27	0,6330	-0,04	0,8947	-0,09	0,8973	0,36	0,3675	0,48	0,1696	-0,01	0,9951
Htr1b	1,96	-0,09	NA	-0,46	0,4028	-0,13	NA	-0,29	NA	-0,77	0,1460	-0,36	NA	-0,26	NA	-0,38	NA	-0,49	NA
Htra1	183,95	0,45	0,2832	0,58	0,0287	0,66	0,0181	0,63	0,0241	0,28	0,2935	0,27	0,7966	0,05	0,9676	0,28	0,8367	-0,19	0,7305
Htra2	31,86	0,32	0,4639	0,05	0,9526	0,02	NA	-0,22	0,8781	0,22	0,6330	-0,16	0,8544	-0,33	0,6266	-0,38	0,6250	-0,06	0,9263
Htt	133,36	0,35	0,1373	0,50	0,0488	-0,05	1,0000	0,25	0,6921	0,50	0,0194	-0,13	0,8146	-0,47	0,1823	-0,11	0,9025	0,13	0,6753
Hunk	40,97	-0,34	0,5638	-0,20	0,7641	-0,15	1,0000	-0,45	0,5380	-0,42	0,3620	0,09	0,9371	-0,27	0,7449	-0,64	0,3969	-0,37	0,5847
Hus1	58,62	0,08	0,8623	0,11	0,8355	0,12	1,0000	-0,02	0,9901	-0,35	0,2938	0,29	0,6086	0,13	0,8581	0,19	0,8389	-0,25	0,5167
Huwe1	1117,49	-0,11	0,6285	-0,28	0,1788	-0,18	1,0000	0,05	0,9628	0,24	0,1840	-0,52	0,0369	-0,08	0,8732	0,20	0,6251	0,36	0,0526
Hyal1	2,07	-0,07	NA	0,70	0,2250	-0,03	NA	-0,13	NA	-0,44	0,4821	0,66	0,3948	0,19	NA	-0,16	NA	-0,69	NA
Hyal2	21,71	0,21	0,6999	-0,37	0,5531	0,14	NA	-0,06	0,9853	0,28	0,5567	-0,34	0,6733	-0,27	0,7335	-0,05	0,9853	-0,11	0,8651
Hyal3	2,43	0,37	0,5791	0,10	0,9075	0,04	NA	0,10	NA	-0,19	0,7921	-0,28	0,7849	-0,39	NA	0,02	NA	-0,48	0,5567
Hydin	1,79	0,20	NA	0,25	0,6928	0,03	NA	-0,09	NA	-0,32	NA	-0,16	NA	0,14	NA	-0,21	NA	-0,68	NA
Hyi	9,76	0,16	0,8380	-0,38	0,6129	-0,05	NA	-0,11	0,9631	0,38	0,5407	-0,32	0,7631	-0,13	NA	-0,52	0,5911	0,27	0,7095
Hykk	27,38	-0,43	0,2962	-0,16	0,8162	-0,10	NA	-0,41	0,5926	-0,82	0,0276	0,27	0,7471	0,52	0,3789	-0,59	0,4277	-0,43	0,3951

GeneID	CTL	ET-1 vs CTL		SAHA vs CTL		JS28 vs CTL		BSP vs CTL		JQ1 vs CTL		ET-1+SAHA vs ET1		ET-1+JS28 vs ET1		ET-1+BSP vs ET1		ET-1+JQ1 vs ET1	
	mean	log2(FC)	P-adj	log2(FC)	P-adj	log2(FC)	P-adj	log2(FC)	P-adj	log2(FC)	P-adj	log2(FC)	P-adj	log2(FC)	P-adj	log2(FC)	P-adj	log2(FC)	P-adj
Hyls1	8,22	-0,33	0,6346	0,13	0,8951	0,10	NA	0,21	0,8987	0,35	0,5779	0,01	0,9968	0,15	NA	0,09	0,9683	0,90	0,1079
Hyou1	100,87	0,08	0,8554	-0,55	0,0996	-0,31	1,0000	0,11	0,9435	0,43	0,0943	-0,86	0,0141	-0,59	0,1231	-0,04	0,9789	0,39	0,1619
Hypk	67,22	0,49	0,0914	-0,11	0,8611	0,01	1,0000	0,05	0,9853	-0,25	0,5241	-0,50	0,2321	-0,40	0,3889	-0,46	0,3487	-0,66	0,0266
I830012O16Rik	1,53	-0,48	NA	-0,09	0,9231	-0,01	NA	-0,10	NA	-0,70	0,1792	-0,09	NA	-0,06	NA	0,06	NA	-0,05	NA
Iah1	17,97	0,48	0,2905	0,16	0,8391	-0,05	NA	-0,35	0,7338	-0,27	0,6360	-0,32	0,7155	-0,49	NA	-0,53	0,5104	-0,80	0,0981
Iars	312,80	0,88	0,0007	-0,34	0,1846	-0,27	0,9896	-0,30	0,4602	0,36	0,0624	-1,18	0,0006	-1,06	0,0015	-1,12	0,0008	-0,35	0,4455
Iars2	184,59	-0,20	0,5552	0,22	0,5812	0,21	1,0000	0,35	0,4496	0,38	0,1098	0,16	0,7717	0,16	0,7759	0,16	0,8400	0,39	0,1665
Iba57	14,41	0,17	0,7969	-0,37	0,5974	-0,03	NA	-0,08	0,9791	0,23	0,6969	-0,57	0,4534	-0,37	NA	0,11	0,9547	0,04	0,9652
Ibtk	119,37	0,21	0,4259	-0,30	0,3378	-0,11	1,0000	-0,12	0,9220	-0,57	0,0121	-0,35	0,4032	-0,09	0,8932	-0,33	0,5036	-0,50	0,0393
Ica1	23,02	-0,02	0,9754	0,14	0,8524	-0,05	NA	-0,14	0,9454	-0,51	0,2865	0,26	0,7612	-0,21	0,8128	-0,25	0,8432	-0,32	0,6525
Icam1	1,14	0,03	NA	0,81	0,1158	-0,14	NA	-0,11	NA	-0,31	NA	0,35	NA	-0,16	NA	-0,17	NA	-0,26	NA
Ick	40,59	-0,45	0,2173	-0,26	0,6403	-0,06	1,0000	-0,15	0,9295	-0,69	0,0574	0,07	0,9450	0,48	0,3838	0,02	0,9918	-0,15	0,7910
Icmt	65,07	-0,23	0,6232	0,00	0,9946	0,22	1,0000	0,41	0,3671	0,85	0,0001	0,21	0,7925	0,25	0,7226	0,60	0,2539	1,12	0,0002
Ict1	24,94	0,28	0,5733	-0,19	0,7947	-0,19	NA	0,08	0,9764	-0,34	0,4835	-0,37	0,6191	-0,31	0,6734	-0,11	0,9437	-0,40	0,3947
Id1	2,54	0,24	0,7528	0,67	0,2600	-0,01	NA	0,11	NA	0,19	0,8123	0,44	0,6415	-0,08	NA	-0,21	NA	-0,14	0,8909
Id2	17,70	-0,07	0,9359	0,17	0,8335	0,38	NA	0,51	0,4548	-0,60	0,2649	0,24	0,8094	0,90	0,0758	0,46	0,6091	-0,49	0,4305
Id3	10,31	0,20	0,7900	0,64	0,2420	0,32	NA	0,72	0,1542	0,50	0,3837	0,43	0,6234	0,26	NA	0,35	0,7668	0,30	0,6665
Id4	1,35	0,32	NA	0,08	NA	0,05	NA	0,14	NA	0,41	0,5467	0,04	NA	0,03	NA	0,04	NA	0,40	0,6331
Ide	272,13	-0,09	0,7844	-0,32	0,2219	-0,10	1,0000	-0,10	0,9269	-0,07	0,7841	-0,08	0,8781	0,18	0,6801	-0,01	0,9967	0,02	0,9631
I dh1	51,83	-0,26	0,5518	-0,28	0,4926	0,22	1,0000	-0,04	0,9853	-0,36	0,2353	-0,03	0,9794	0,57	0,2579	0,06	0,9753	-0,11	0,8511
I dh2	244,28	-0,21	0,6517	-0,26	0,5662	-0,19	1,0000	-0,09	0,9602	-0,62	0,0212	0,07	0,9320	-0,17	0,7965	0,12	0,9106	-0,49	0,1762
I dh3a	310,95	0,65	0,0064	0,17	0,7096	-0,14	1,0000	0,05	0,9851	-0,49	0,0422	0,12	0,8338	-0,13	0,8232	0,08	0,9311	-0,77	0,0012
I dh3b	166,05	0,21	0,5343	-0,40	0,1233	-0,08	1,0000	-0,17	0,8381	-0,46	0,0707	-0,33	0,4757	-0,23	0,6790	-0,16	0,8492	-0,83	0,0030
I dh3g	210,34	-0,17	0,6393	-0,25	0,5181	-0,02	1,0000	-0,02	0,9856	-0,29	0,2815	0,10	0,8620	0,22	0,6388	0,27	0,6070	-0,05	0,9071
I di1	14,92	0,52	0,3961	-0,25	0,7720	-0,17	NA	-0,09	0,9746	-0,76	0,2056	-0,35	0,7224	-0,14	NA	-0,68	0,3917	-0,72	0,2361
I dnk	12,69	-0,17	0,8047	0,23	0,7668	0,05	NA	0,43	0,5961	0,10	0,8864	0,80	0,1963	0,28	NA	0,30	0,8130	0,52	0,3375
I ds	76,05	-0,34	0,3750	-0,23	0,6400	-0,04	1,0000	0,12	0,9430	0,52	0,0543	-0,22	0,7534	0,47	0,3300	0,22	0,8018	0,80	0,0077
I dua	18,10	-0,26	0,6716	0,09	0,9179	0,24	NA	-0,47	0,5512	-0,70	0,1584	0,09	0,9402	0,28	NA	0,04	0,9911	-0,67	0,2205
I er2	13,81	1,11	0,0055	1,03	0,0273	0,53	NA	1,37	0,0001	2,12	0,0000	-0,24	0,8025	-0,70	NA	-0,03	0,9918	1,22	0,0039
I er3	55,65	0,62	0,0242	-0,71	0,0637	-0,41	0,8250	-0,54	0,3145	-0,18	0,6750	-0,71	0,1072	-1,02	0,0055	-1,00	0,0054	0,02	0,9773
I er3ip1	27,07	0,53	0,1664	-0,74	0,1179	-0,20	NA	-0,11	0,9628	-0,35	0,5002	-0,34	0,6369	-0,16	0,8548	-0,22	0,8432	-0,39	0,4314
I er5	72,78	0,53	0,0397	0,15	0,7694	-0,27	1,0000	0,12	0,9437	0,28	0,4039	-0,05	0,9448	-0,58	0,1599	-0,44	0,3744	-0,08	0,8620
I er5l	5,06	-0,16	0,8525	-0,28	0,7310	0,07	NA	0,07	NA	-0,03	0,9744	-0,43	0,6423	-0,22	NA	0,14	NA	-0,49	0,5482
I ffo1	28,43	-0,60	0,0985	0,11	0,8722	-0,08	1,0000	-0,24	0,8420	0,47	0,1562	0,36	0,6526	0,25	0,7650	0,45	0,5882	1,01	0,0180
I ffo2	12,28	0,62	0,2233	0,27	0,7429	0,31	NA	-0,02	0,9918	0,64	0,2159	-0,46	0,5709	-0,59	NA	-0,34	0,7601	0,46	0,3901
I fi27l2b	1,28	0,64	NA	NA	NA	NA	NA	NA	NA	NA	NA	-0,10	0,9343	-0,41	NA	-0,42	NA	-0,70	0,2950
I fi30	18,55	0,17	0,7865	0,52	0,2948	0,07	NA	-0,20	0,9004	-0,06	0,9326	0,33	0,6955	-0,10	NA	-0,79	0,2234	0,07	0,9283
I fi35	2,42	-0,57	0,3392	-0,21	0,8144	-0,04	NA	-0,24	NA	-0,48	0,4931	0,44	NA	0,10	NA	-0,14	NA	-0,09	NA
I fi44	14,70	-0,61	0,2539	-1,23	0,0069	-0,22	NA	-0,56	0,3857	-2,51	0,0000	-0,27	0,8038	0,41	NA	-0,77	0,2940	-1,99	0,0006
I fih1	4,41	-0,14	0,8683	0,12	0,9019	0,23	NA	-0,08	NA	-1,24	0,0230	0,70	0,3730	0,35	NA	-0,37	NA	-0,51	0,5282
I fit2	28,16	0,16	0,8391	-0,08	0,9376	0,12	NA	-0,52	0,4602	-1,08	0,0402	-0,20	0,8430	0,11	0,9133	-0,77	0,2382	-1,44	0,0029
I fitm10	6,10	0,27	0,7263	0,25	0,7703	0,15	NA	-0,08	NA	-0,76	0,2245	0,06	0,9627	-0,30	NA	-0,15	0,9372	-0,87	0,1906
I fitm2	27,13	-0,09	0,8875	0,38	0,4800	0,24	NA	-0,11	0,9614	-0,42	0,3745	0,14	0,8811	-0,22	0,7907	-0,74	0,2307	-0,84	0,0696
I fity1	76,57	-1,45	0,0000	0,03	0,9747	0,01	1,0000	0,84	0,0128	-0,34	0,5815	1,16	0,0051	1,34	0,0003	2,01	0,0000	0,61	0,3236
I fnar1	92,17	-0,32	0,2263	-0,23	0,5022	0,10	1,0000	0,30	0,5216	0,35	0,1001	-0,04	0,9629	0,14	0,8386	0,38	0,4692	0,70	0,0049

GeneID	CTL	ET-1 vs CTL		SAHA vs CTL		JS28 vs CTL		BSP vs CTL		JQ1 vs CTL		ET-1+SAHA vs ET1		ET-1+JS28 vs ET1		ET-1+BSP vs ET1		ET-1+JQ1 vs ET1	
	mean	log2(FC)	P-adj	log2(FC)	P-adj	log2(FC)	P-adj	log2(FC)	P-adj	log2(FC)	P-adj	log2(FC)	P-adj	log2(FC)	P-adj	log2(FC)	P-adj	log2(FC)	P-adj
lfnar2	30,47	-0,13	0,8137	-0,60	0,1904	-0,18	NA	-0,17	0,9118	-0,50	0,2171	-0,24	0,7803	0,20	0,7965	0,07	0,9706	-0,28	0,5620
lfng1	26,62	0,07	0,9151	0,26	0,6701	0,12	NA	0,30	0,7688	0,06	0,9152	0,14	0,8772	0,12	0,8988	0,22	0,8464	0,20	0,7083
lfng2	213,87	0,24	0,4051	-0,38	0,1397	-0,01	1,0000	0,11	0,9167	-0,15	0,5985	-0,12	0,8417	0,20	0,6866	0,34	0,4591	-0,08	0,8337
lfnl1	2,01	-0,15	NA	0,28	0,7075	0,13	NA	-0,11	NA	-0,45	0,4972	0,15	NA	0,24	NA	-0,12	NA	-0,24	NA
lfrd1	115,61	1,25	0,0000	-0,10	0,8857	0,03	1,0000	0,18	0,8978	0,37	0,2705	-0,60	0,0861	-0,70	0,0340	-0,85	0,0056	-0,67	0,0326
lfrd2	16,86	0,26	0,6501	0,03	0,9752	-0,11	NA	0,15	0,9430	0,51	0,2361	-0,22	0,8287	-0,13	NA	0,12	0,9457	0,29	0,6156
lft122	46,29	-1,16	0,0000	-0,29	0,5235	-0,07	1,0000	-0,07	0,9742	-0,66	0,0353	0,59	0,3071	0,71	0,1381	0,43	0,5753	0,39	0,3837
lft140	35,89	-0,44	0,2113	0,22	0,6669	0,09	1,0000	0,27	0,7560	0,05	0,9235	0,26	0,7385	-0,11	0,9089	0,42	0,5640	0,15	0,7671
lft172	62,84	-0,24	0,4872	-0,40	0,2601	0,24	1,0000	-0,07	0,9742	-0,54	0,0471	-0,42	0,4254	-0,04	0,9689	0,01	0,9946	-0,37	0,3619
lft20	45,46	-0,47	0,1539	-0,55	0,1624	-0,17	1,0000	0,09	0,9658	0,00	0,9966	0,22	0,7717	0,48	0,3541	0,66	0,1508	0,34	0,3985
lft22	7,89	-0,52	0,3717	0,20	0,8195	-0,01	NA	0,08	0,9769	-0,67	0,2639	0,47	0,6166	0,10	NA	0,36	0,7694	-0,12	0,9008
lft27	8,49	-0,55	0,3557	0,32	0,6682	0,05	NA	-0,24	0,8761	-0,06	0,9399	0,59	0,4776	0,38	NA	0,16	0,9264	0,20	0,8265
lft43	49,26	0,92	0,0014	-0,47	0,3367	-0,25	NA	-0,41	0,5913	-0,42	0,3016	-0,28	0,6621	-0,81	0,0490	-0,86	0,0402	-0,81	0,0218
lft46	49,67	-0,56	0,0576	-0,05	0,9353	-0,01	1,0000	0,02	0,9901	0,17	0,6119	0,05	0,9586	0,43	0,4442	0,14	0,9119	0,65	0,0596
lft52	58,83	-0,24	0,4958	-0,05	0,9360	0,06	1,0000	-0,26	0,7444	-1,07	0,0001	0,17	0,8135	0,28	0,6235	-0,19	0,8521	-0,91	0,0060
lft57	44,37	-0,27	0,5127	0,62	0,0503	0,12	1,0000	0,20	0,8619	-0,22	0,5948	0,75	0,0781	0,32	0,6090	0,38	0,5911	-0,13	0,8161
lft74	45,91	-0,66	0,0258	0,65	0,0295	0,34	0,9896	0,05	0,9853	-0,95	0,0059	0,75	0,1272	0,82	0,0526	0,36	0,6427	-0,28	0,5802
lft80	21,13	-0,44	0,3742	0,45	0,3993	0,03	NA	0,25	0,8512	-0,02	0,9790	0,55	0,4072	0,52	NA	0,19	0,8982	0,48	0,3306
lft81	81,18	-0,36	0,2369	0,49	0,0568	0,09	1,0000	0,16	0,8643	-0,55	0,0397	0,78	0,0325	0,47	0,3123	0,38	0,5180	-0,25	0,6071
lft88	19,21	-0,23	0,6861	0,47	0,3388	0,01	NA	0,20	0,9004	-0,08	0,8994	0,48	0,5019	0,20	NA	0,21	0,8778	0,24	0,6936
lgbp1	66,99	-0,55	0,0320	0,11	0,8241	0,16	1,0000	0,47	0,2078	-0,10	0,7961	0,45	0,3399	0,41	0,3877	0,68	0,0813	0,47	0,1158
lgdccc4	35,68	-0,48	0,3174	0,36	0,5475	-0,12	1,0000	-0,44	0,5732	-1,59	0,0001	0,45	0,5019	0,17	0,8504	-0,87	0,1329	-1,78	0,0001
lgf1	5,44	-0,30	0,6810	0,37	0,6234	-0,04	NA	-0,20	NA	-0,94	0,1078	0,87	0,2191	0,61	NA	-0,20	NA	-0,73	0,3173
lgf1r	358,66	0,51	0,0071	-0,52	0,0086	0,09	1,0000	0,01	0,9901	0,60	0,0001	-0,82	0,0017	-0,55	0,0676	-0,42	0,2257	0,24	0,4191
lgf2	2258,11	-0,05	0,9517	-0,64	0,2114	-0,20	1,0000	-0,67	0,1942	-0,32	0,5752	-0,39	0,6761	-0,22	0,8307	-0,60	0,4707	-0,05	0,9564
lgf2bp1	131,78	0,30	0,2832	0,00	0,9992	-0,04	1,0000	-1,02	0,0001	-1,56	0,0000	-0,23	0,6548	-0,32	0,4698	-1,48	0,0000	-1,47	0,0000
lgf2bp2	137,47	0,29	0,3746	-0,12	0,7948	-0,14	1,0000	-0,31	0,6103	-0,24	0,4819	-0,81	0,0217	-0,63	0,0972	-0,73	0,0465	-0,33	0,4710
lgf2bp3	64,31	0,08	0,8501	0,13	0,7998	0,12	1,0000	-0,66	0,0800	-0,91	0,0011	-0,16	0,8224	-0,08	0,9152	-1,08	0,0031	-1,07	0,0006
lgf2os	6,36	-0,44	0,5161	-0,60	0,3473	-0,09	NA	-0,35	0,7162	-0,95	0,0983	-0,19	0,8686	-0,29	NA	-0,45	NA	-0,61	0,4293
lgf2r	860,90	-0,55	0,0184	-0,43	0,1541	-0,06	1,0000	-0,34	0,4953	0,37	0,1322	-0,32	0,3538	-0,08	0,8779	-0,06	0,9483	0,65	0,0005
lgfbp3	4,40	0,33	0,6560	-0,50	0,4088	0,19	NA	-0,08	NA	0,20	0,8036	-0,61	0,4511	0,20	NA	-0,60	NA	0,11	0,9129
lgfbp4	3,56	0,13	0,8824	0,28	0,7362	0,16	NA	-0,30	NA	-0,66	0,2671	0,01	0,9957	-0,09	NA	-0,41	NA	-0,85	0,2257
lgfbp5	1188,83	-0,63	0,2832	0,02	0,9775	-0,01	1,0000	-0,50	0,2025	-1,80	0,0000	0,10	0,9414	0,15	0,8806	-0,13	0,9442	-0,88	NA
lgfbp7	24,92	2,55	0,0000	0,32	0,6938	0,65	NA	0,03	NA	0,12	0,8840	-1,30	0,0013	-0,39	0,4954	-0,67	0,1814	-1,15	0,0049
lgfbpl1	11,16	-0,46	0,4520	-0,04	0,9752	-0,07	NA	-0,28	0,8262	-1,13	0,0293	0,15	0,9051	-0,16	NA	0,07	0,9789	-1,17	0,0636
lgflr1	2,68	-0,14	0,8677	-0,06	0,9593	-0,11	NA	-0,03	NA	-0,05	0,9586	0,11	0,9312	0,04	NA	-0,28	NA	-0,16	0,8667
lghmbp2	12,38	-0,48	0,3561	-0,20	0,8004	-0,04	NA	-0,42	0,6249	-0,91	0,0587	-0,20	0,8593	0,08	NA	0,10	0,9616	-0,60	0,3842
lgip	29,33	-0,15	0,7891	-0,18	0,8105	0,00	NA	0,26	0,8214	0,21	0,6868	-0,32	0,6909	0,31	0,6449	0,29	0,7608	0,52	0,2437
lgion5	1,18	-0,10	NA	1,29	0,0061	0,23	NA	-0,09	NA	-0,49	NA	1,72	0,0017	0,41	NA	0,17	NA	-0,25	NA
lgsf1	2,51	0,01	0,9948	0,83	0,1401	0,17	NA	0,11	NA	0,10	0,9127	0,84	0,2438	-0,06	NA	0,19	NA	-0,10	0,9230
lgsf10	21,67	-1,40	0,0000	0,04	0,9649	-0,05	NA	0,00	0,9995	-0,31	0,4926	0,82	0,2167	0,61	NA	-0,04	0,9911	-0,46	0,5439
lgsf11	1,96	0,29	NA	0,11	0,8917	0,00	NA	-0,05	NA	0,39	0,5902	-0,44	NA	-0,38	NA	-0,05	NA	0,04	0,9767
lgsf3	60,06	-0,59	0,0432	0,49	0,1260	0,07	1,0000	0,30	0,6648	0,26	0,4316	0,69	0,1102	0,18	0,8171	0,51	0,3640	0,35	0,3943
lgsf8	8,58	-0,15	0,8554	1,48	0,0003	0,00	NA	0,18	0,9213	0,29	0,6875	1,36	0,0105	-0,23	NA	0,09	0,9659	0,16	0,8498
lgsf9b	101,96	0,23	0,4802	0,53	0,0566	-0,23	1,0000	-0,09	0,9574	0,25	0,4701	0,05	0,9512	-0,24	0,6581	0,07	0,9494	-0,05	0,9047

GeneID	CTL	ET-1 vs CTL		SAHA vs CTL		JS28 vs CTL		BSP vs CTL		JQ1 vs CTL		ET-1+SAHA vs ET1		ET-1+JS28 vs ET1		ET-1+BSP vs ET1		ET-1+JQ1 vs ET1	
	mean	log2(FC)	P-adj	log2(FC)	P-adj	log2(FC)	P-adj	log2(FC)	P-adj	log2(FC)	P-adj	log2(FC)	P-adj	log2(FC)	P-adj	log2(FC)	P-adj	log2(FC)	P-adj
Igtp	2,82	-0,75	0,1590	0,35	0,6565	-0,05	NA	-0,21	NA	-1,07	0,0554	0,75	0,2614	0,09	NA	-0,03	NA	-0,25	NA
Igtp1	14,22	-1,52	0,0001	-1,67	0,0001	-0,43	NA	-1,05	0,0077	-2,93	0,0000	-0,76	0,2833	-0,13	NA	-0,52	NA	-1,42	0,0210
Ik	223,81	0,28	0,3334	-0,25	0,3849	0,00	1,0000	-0,08	0,9473	-0,08	0,7579	-0,50	0,2127	-0,28	0,5501	-0,41	0,3693	-0,28	0,4529
Ikbip	43,22	-0,19	0,6737	0,64	0,0564	0,19	1,0000	-0,21	0,8670	-0,63	0,0621	0,96	0,0128	0,36	0,5321	-0,14	0,9086	-0,25	0,6039
Ikbkap	125,01	0,22	0,4653	-0,09	0,8563	0,00	1,0000	0,03	0,9853	-0,18	0,5732	-0,29	0,5086	-0,13	0,8334	-0,12	0,8963	-0,47	0,0725
Ikbkb	97,65	-0,28	0,3477	-0,24	0,5343	-0,05	1,0000	-0,22	0,7737	-0,03	0,9534	0,10	0,8905	0,08	0,9161	0,11	0,9118	-0,02	0,9776
Ikbkg	96,79	-0,13	0,7255	-0,02	0,9775	-0,06	1,0000	-0,04	0,9853	0,15	0,6072	0,36	0,4252	0,14	0,8336	0,03	0,9862	0,27	0,4006
Ikzf2	32,19	-0,47	0,2414	0,55	0,1684	0,27	1,0000	-0,04	0,9853	-0,83	0,0324	0,76	0,1228	0,65	0,1943	-0,01	0,9973	-0,81	0,0884
Ikzf4	12,42	-0,44	0,4251	-0,03	0,9769	-0,08	NA	-0,55	0,4145	-1,26	0,0083	-0,05	0,9714	0,24	NA	-0,65	0,4308	-1,16	0,0577
Ikzf5	52,03	0,10	0,8227	0,02	0,9826	-0,08	1,0000	0,27	0,7421	0,21	0,5755	-0,04	0,9684	0,19	0,7801	0,03	0,9909	0,05	0,9206
Il10rb	53,29	-0,30	0,4146	-0,79	0,0120	0,01	1,0000	-0,03	0,9853	-0,48	0,1212	-0,31	0,6528	0,27	0,6709	0,45	0,4446	0,13	0,8051
Il11ra1	28,66	-0,17	0,7655	0,04	0,9658	-0,21	NA	-0,17	0,9211	-0,03	0,9552	0,21	0,8291	-0,06	0,9598	0,07	0,9730	-0,11	0,8620
Il13ra1	86,94	0,01	0,9896	-0,34	0,3464	0,00	1,0000	0,44	0,2962	-0,60	0,0162	0,04	0,9671	-0,03	0,9728	0,30	0,6811	-0,53	0,1605
Il15ra	17,14	-0,26	0,6372	-0,59	0,2532	-0,06	NA	-0,20	0,9004	-0,24	0,6579	-0,37	0,6859	0,06	NA	0,19	0,8990	-0,40	0,5265
Il17ra	37,50	0,54	0,1203	0,04	0,9622	0,03	NA	-0,10	0,9634	0,65	0,0305	-0,54	0,3405	-0,70	0,1641	-0,73	0,1593	0,32	0,4711
Il17rd	14,96	-0,41	0,4767	0,43	0,4616	0,12	NA	0,06	0,9853	0,65	0,1173	0,65	0,3477	0,53	NA	0,24	0,8609	1,32	0,0012
Il18bp	2,92	0,26	0,7450	0,23	0,7720	-0,03	NA	0,04	NA	0,34	0,6559	-0,12	0,9257	-0,25	NA	-0,18	NA	-0,38	0,6562
Il1r1	31,70	0,17	0,7266	-0,09	0,9017	0,19	1,0000	0,40	0,5548	-0,03	0,9593	-0,12	0,9009	0,03	0,9763	0,21	0,8472	-0,05	0,9314
Il1rap	18,98	0,08	0,9129	1,17	0,0006	0,19	NA	0,24	0,8569	0,38	0,3990	1,28	0,0016	0,11	NA	-0,29	0,8030	0,22	0,7198
Il33	2,81	0,94	0,0596	0,12	NA	0,19	NA	-0,02	NA	-0,15	NA	-0,47	0,6148	-0,03	NA	-0,49	NA	-1,51	0,0135
Il6st	394,34	0,30	0,1466	-0,38	0,0481	-0,04	1,0000	0,25	0,4419	0,59	0,0010	-0,62	0,0287	-0,48	0,1293	-0,23	0,6406	0,25	0,3945
Illdr2	60,32	2,06	0,0000	0,13	0,8691	-0,10	NA	-1,04	0,0082	-0,34	0,5077	-0,63	0,1089	-0,91	0,0113	-1,04	0,0014	-0,95	0,0019
Ilf2	46,77	-0,19	0,6936	0,03	0,9706	0,05	1,0000	0,17	0,8923	0,33	0,2795	0,03	0,9752	0,10	0,9173	0,12	0,9300	0,59	0,1001
Ilf3	103,69	0,02	0,9716	-0,19	0,6237	-0,09	1,0000	0,08	0,9626	0,35	0,1563	-0,28	0,5885	-0,17	0,7899	0,22	0,7608	0,41	0,1587
Ilk	214,78	0,69	0,0000	-0,17	0,6403	-0,18	1,0000	-0,34	0,4264	0,02	0,9661	-0,61	0,0212	-0,90	0,0001	-0,49	0,0852	-0,56	0,0140
Ilkap	29,00	-0,20	0,6943	0,06	0,9396	0,21	1,0000	0,25	0,8294	0,21	0,6255	0,45	0,4760	0,35	0,6093	0,40	0,6212	0,28	0,5662
Ilvbl	43,91	0,18	0,7151	-0,11	0,8749	0,01	1,0000	-0,24	0,8464	-0,43	0,2825	-0,41	0,4893	-0,31	0,6222	-0,50	0,4155	-0,58	0,1192
Immmp11	34,83	0,12	0,8265	-0,06	0,9444	0,20	1,0000	0,26	0,8044	-0,22	0,6405	-0,19	0,8269	0,17	0,8406	0,15	0,9086	-0,57	0,2015
Immt	396,93	0,51	0,0061	0,03	0,9561	0,06	1,0000	0,18	0,8095	-0,12	0,6680	-0,20	0,6009	-0,26	0,4789	-0,27	0,4889	-0,51	0,0576
Imp3	25,92	-0,04	0,9580	0,29	0,6128	0,02	NA	0,02	0,9901	0,39	0,3452	0,23	0,7953	-0,23	0,7800	0,27	0,8064	0,22	0,6810
Imp4	35,00	0,47	0,1697	0,19	0,7535	0,20	1,0000	0,17	0,9158	0,67	0,0267	-0,19	0,8025	-0,37	0,5600	-0,19	0,8647	0,32	0,4153
Impa1	60,57	0,21	0,5923	0,00	0,9947	0,00	1,0000	0,21	0,8581	0,13	0,7795	-0,06	0,9360	0,02	0,9834	0,16	0,8638	-0,10	0,8362
Impa2	11,57	-0,08	0,9221	0,61	0,2545	-0,05	NA	0,07	0,9798	-0,53	0,3449	0,39	0,6621	-0,05	NA	0,15	0,9334	-0,95	0,1126
Impact	271,36	0,35	0,1611	-0,74	0,0001	-0,14	1,0000	-0,28	0,5115	0,16	0,6332	-0,74	0,0194	0,11	0,8558	-0,19	0,7790	0,00	0,9967
Impad1	306,47	0,03	0,9446	-0,14	0,6884	-0,19	1,0000	0,09	0,9440	-0,20	0,4444	0,27	0,4487	0,28	0,4392	0,09	0,9080	-0,09	0,8240
Impdh1	23,65	0,18	0,7516	0,38	0,4661	0,09	NA	-0,02	0,9901	0,56	0,1401	0,08	0,9371	-0,47	0,4836	-0,05	0,9812	0,47	0,3884
Impdh2	52,96	0,08	0,8905	-0,36	0,4581	-0,18	1,0000	0,07	0,9794	0,89	0,0008	-0,93	0,0246	-0,49	0,3373	0,13	0,9080	0,53	0,0726
Impg2	1,05	-0,44	NA	-0,35	0,5379	0,01	NA	0,04	NA	0,21	0,7965	0,17	NA	0,20	NA	0,21	NA	0,52	NA
Ina	1,06	0,25	NA	0,00	NA	0,04	NA	0,01	NA	0,34	0,5950	-0,09	NA	-0,13	NA	0,00	NA	-0,02	NA
Inadl	102,23	-0,04	0,9412	-1,50	0,0000	-0,10	1,0000	-0,45	0,2960	-1,20	0,0000	-1,59	0,0000	-0,29	0,5771	-0,62	0,1236	-1,25	0,0000
Inca1	5,17	-0,20	0,8048	0,53	0,4223	-0,02	NA	-0,03	NA	-0,02	0,9790	0,62	0,4453	0,06	NA	-0,25	NA	0,04	0,9683
Incenp	12,37	0,18	0,8078	0,35	0,6255	0,24	NA	0,17	0,9306	0,32	0,6050	-0,39	0,6806	0,07	NA	-0,37	0,7393	-0,32	0,6470
Inf2	34,55	0,18	0,7185	1,20	0,0000	0,49	0,5409	0,21	0,8695	-0,11	0,8439	0,67	0,1383	-0,18	0,8255	0,07	0,9686	0,02	0,9861
Ing1	62,14	0,12	0,7745	-0,21	0,6463	-0,17	1,0000	0,10	0,9510	0,23	0,4587	-0,18	0,7985	-0,29	0,6185	0,04	0,9800	0,28	0,4371
Ing2	16,56	0,11	0,8856	0,46	0,4328	0,21	NA	0,46	0,5427	0,49	0,2943	0,24	0,8117	0,12	NA	0,40	0,6906	0,40	0,4906

GeneID	CTL	ET-1 vs CTL		SAHA vs CTL		JS28 vs CTL		BSP vs CTL		JQ1 vs CTL		ET-1+SAHA vs ET1		ET-1+JS28 vs ET1		ET-1+BSP vs ET1		ET-1+JQ1 vs ET1	
	mean	log2(FC)	P-adj	log2(FC)	P-adj	log2(FC)	P-adj	log2(FC)	P-adj	log2(FC)	P-adj	log2(FC)	P-adj	log2(FC)	P-adj	log2(FC)	P-adj	log2(FC)	P-adj
Ing3	39,33	-0,08	0,8938	-0,13	0,8365	-0,04	1,0000	0,07	0,9778	-0,36	0,3522	-0,30	0,6916	0,16	0,8465	-0,05	0,9792	-0,15	0,7753
Ing4	56,68	-0,42	0,1458	-0,34	0,3985	0,00	1,0000	-0,15	0,9159	-0,36	0,2984	-0,04	0,9668	0,31	0,5851	0,22	0,8053	0,18	0,7331
Ing5	32,94	0,40	0,3013	-0,90	0,0281	-0,26	NA	-0,05	0,9853	-0,30	0,5106	-1,27	0,0041	-0,27	0,6975	-0,54	0,4016	-0,72	0,0602
Inha	3,72	-0,28	0,7155	0,26	0,7594	0,10	NA	0,31	NA	-0,03	0,9774	0,42	0,6718	0,11	NA	0,47	NA	0,85	0,1968
Inhba	12,63	1,28	0,0030	-0,71	0,2149	-0,34	NA	-0,48	NA	-1,19	0,0351	-1,72	0,0011	-1,59	NA	-2,11	0,0000	-2,05	0,0002
Inhbb	4,96	0,03	0,9733	0,43	0,5583	-0,10	NA	-0,36	NA	-0,74	0,2385	0,31	0,7733	-0,26	NA	-0,30	NA	-1,36	0,0293
Inip	36,26	0,61	0,0833	0,45	0,3542	-0,08	NA	0,16	0,9263	-0,05	0,9293	0,17	0,8170	-0,20	0,7920	-0,12	0,9300	-0,46	0,2393
Ino80	78,30	0,04	0,9370	-0,22	0,5818	-0,23	1,0000	0,05	0,9817	-0,19	0,5372	-0,29	0,5982	0,01	0,9944	0,08	0,9483	-0,12	0,7970
Ino80b	15,11	-0,18	0,7875	-0,01	0,9899	-0,17	NA	-0,22	0,8903	0,07	0,9100	0,29	0,7608	0,16	NA	-0,24	0,8597	0,00	0,9988
Ino80c	31,37	0,13	0,8329	-0,72	0,1416	0,00	NA	-0,04	0,9853	-0,55	0,2263	-0,34	0,6405	-0,07	0,9444	-0,33	0,7075	-0,42	0,3833
Ino80d	241,71	-0,65	0,0001	-0,35	0,1857	-0,07	1,0000	0,09	0,9340	-0,46	0,0154	-0,07	0,9144	0,38	0,2861	0,14	0,8405	-0,07	0,8464
Ino80dos	6,00	0,10	0,9129	-0,39	0,6014	-0,12	NA	0,10	NA	0,07	0,9315	-0,51	0,5722	-0,10	NA	-0,45	NA	-0,42	0,5863
Ino80e	20,40	-0,31	0,5710	-0,25	0,7099	0,01	NA	-0,21	0,8853	-0,42	0,4819	-0,61	0,4089	0,16	NA	-0,15	0,9300	-0,18	0,8254
Inpp1	9,10	-0,18	0,8201	-0,25	0,7679	-0,14	NA	-0,24	0,8731	-0,79	0,1671	0,22	0,8425	-0,35	NA	-0,31	0,8161	-0,64	0,3639
Inpp4a	77,56	-0,65	0,0079	0,29	0,4248	0,09	1,0000	0,50	0,1510	0,82	0,0002	0,57	0,1610	0,56	0,1641	0,89	0,0059	1,27	0,0000
Inpp4b	13,22	-0,04	0,9650	-0,59	0,3286	-0,27	NA	-0,65	0,2400	-1,75	0,0005	-0,03	0,9863	0,02	NA	-0,77	0,2890	-1,25	0,0287
Inpp5a	275,09	0,46	0,0564	0,57	0,0011	0,15	1,0000	0,21	0,6467	0,11	0,6484	0,58	0,0957	-0,06	0,9360	-0,01	0,9967	-0,22	0,5510
Inpp5b	24,77	0,11	0,8552	0,48	0,3113	0,16	NA	0,01	0,9972	-0,11	0,8498	0,15	0,8709	-0,09	0,9269	-0,16	0,9086	-0,66	0,1325
Inpp5e	38,03	0,06	0,9122	-0,02	0,9836	0,35	0,9896	0,27	0,7688	0,31	0,3694	0,05	0,9601	0,05	0,9629	0,01	0,9973	0,32	0,4816
Inpp5f	42,51	-0,09	0,8527	0,36	0,3958	0,11	1,0000	-0,07	0,9742	-0,56	0,0986	0,12	0,8834	0,08	0,9288	-0,22	0,8285	-0,66	0,0901
Inpp5j	52,58	0,25	0,5720	0,39	0,3079	-0,14	1,0000	-0,27	0,7689	-1,67	0,0000	-0,20	0,8023	-0,51	0,3469	-1,12	0,0070	-1,78	0,0002
Inpp5k	51,66	-0,65	0,0557	0,09	0,8758	-0,13	1,0000	0,21	0,8318	0,43	0,1332	0,20	0,8179	0,24	0,7481	0,74	0,1503	0,74	0,0862
Inpp1	497,49	-0,15	0,4894	-0,33	0,1016	-0,04	1,0000	-0,05	0,9694	0,16	0,4612	-0,43	0,1301	-0,57	0,0324	-0,40	0,1730	-0,07	0,8464
Insig1	32,24	0,28	0,7217	-0,65	0,1789	-0,18	NA	-0,22	0,8797	-0,11	0,8360	-0,05	0,9678	0,03	0,9808	-0,03	0,9918	-0,27	0,7645
Insig2	89,31	0,06	0,9135	0,09	0,8720	-0,07	1,0000	0,03	0,9853	-0,49	0,0817	0,36	0,5289	0,00	0,9998	0,02	0,9931	-0,57	0,2110
Insr	635,40	-0,14	0,5544	-0,22	0,3073	0,07	1,0000	0,05	0,9628	0,21	0,2559	-0,21	0,6121	0,04	0,9432	-0,01	0,9918	0,11	0,7280
Ints1	85,57	0,20	0,5440	-0,15	0,7388	-0,08	1,0000	-0,02	0,9901	0,63	0,0101	-0,67	0,1167	-0,77	0,0364	-0,01	0,9971	0,41	0,2652
Ints10	44,66	-0,24	0,6402	-0,03	0,9666	-0,01	1,0000	-0,11	0,9516	-0,59	0,0973	0,37	0,6108	0,14	0,8853	0,04	0,9907	-0,44	0,4142
Ints12	33,91	-0,04	0,9573	-0,27	0,6311	0,03	1,0000	-0,11	0,9574	-0,15	0,7518	-0,33	0,6684	-0,05	0,9622	-0,20	0,8751	-0,07	0,9226
Ints2	55,64	0,40	0,2215	0,06	0,9337	-0,05	1,0000	-0,05	0,9853	-0,12	0,7801	-0,30	0,6059	-0,21	0,7392	-0,43	0,4410	-0,22	0,6203
Ints3	66,74	0,03	0,9521	0,24	0,5765	0,03	1,0000	-0,17	0,8797	-0,14	0,6951	0,04	0,9638	0,01	0,9878	0,11	0,9214	-0,15	0,7281
Ints4	97,34	-0,22	0,5010	-0,01	0,9919	-0,11	1,0000	-0,21	0,8039	0,09	0,7965	0,23	0,6761	0,01	0,9855	-0,17	0,8472	0,28	0,4125
Ints5	20,50	-0,26	0,6447	-0,15	0,8472	0,03	NA	0,09	0,9684	0,62	0,1027	0,23	0,8065	-0,03	NA	0,16	0,9191	1,03	0,0131
Ints6	51,72	-0,29	0,4302	-0,44	0,2716	0,12	1,0000	0,10	0,9594	-0,38	0,2913	-0,47	0,4036	0,38	0,4908	0,39	0,5439	0,07	0,9105
Ints7	46,51	-0,39	0,2667	-0,50	0,1976	-0,13	1,0000	0,03	0,9855	0,42	0,1459	0,10	0,9095	0,00	0,9963	0,45	0,4724	0,68	0,0285
Ints8	61,65	-0,08	0,8661	0,08	0,8952	-0,03	1,0000	0,18	0,8730	-0,10	0,8061	0,18	0,7824	0,31	0,5595	0,30	0,6579	-0,16	0,7517
Ints9	29,62	0,10	0,8657	0,96	0,0040	0,38	0,9654	0,20	0,8947	1,22	0,0000	0,81	0,0638	0,26	0,7157	0,29	0,7608	0,93	0,0084
Intu	20,75	-0,75	0,0788	0,64	0,1551	-0,24	NA	-0,27	0,8334	-0,31	0,5433	1,37	0,0023	0,37	NA	0,20	0,9006	0,36	0,5454
Invs	16,64	-0,22	0,7616	0,26	0,7246	0,01	NA	0,14	0,9469	0,23	0,7045	0,26	0,8058	0,35	NA	0,17	0,9202	0,28	0,6935
Ip6k1	98,64	-0,55	0,0402	-0,03	0,9696	0,13	1,0000	0,36	0,4547	0,36	0,1596	0,39	0,4201	0,25	0,6719	0,39	0,4707	0,61	0,0430
Ip6k2	27,65	-0,30	0,5161	-0,09	0,9129	-0,05	NA	-0,02	0,9901	-0,14	0,7846	0,22	0,8046	0,58	0,2875	0,44	0,5586	0,15	0,7956
Ipmk	11,95	0,38	0,5288	-0,21	0,8121	-0,08	NA	0,36	0,7205	0,48	0,3919	0,06	0,9607	-0,03	NA	-0,31	0,8035	-0,14	0,8542
Ipo11	120,82	0,36	0,1272	0,34	0,2322	0,08	1,0000	-0,07	0,9634	-0,95	0,0000	0,21	0,6722	-0,16	0,7833	-0,30	0,5858	-1,00	0,0006
Ipo13	63,22	-0,20	0,6088	0,00	0,9965	-0,30	1,0000	0,05	0,9827	0,54	0,0339	0,13	0,8641	-0,10	0,9039	0,39	0,5105	0,72	0,0575
Ipo4	96,21	0,08	0,8506	-0,38	0,3145	0,13	1,0000	-0,09	0,9614	-0,06	0,8899	-0,41	0,3338	-0,48	0,2550	-0,48	0,2714	-0,20	0,6108

GeneID	CTL	ET-1 vs CTL		SAHA vs CTL		JS28 vs CTL		BSP vs CTL		JQ1 vs CTL		ET-1+SAHA vs ET1		ET-1+JS28 vs ET1		ET-1+BSP vs ET1		ET-1+JQ1 vs ET1	
	mean	log2(FC)	P-adj	log2(FC)	P-adj	log2(FC)	P-adj	log2(FC)	P-adj	log2(FC)	P-adj	log2(FC)	P-adj	log2(FC)	P-adj	log2(FC)	P-adj	log2(FC)	P-adj
lpo5	481,72	0,51	0,0115	0,00	0,9960	-0,25	1,0000	-0,31	0,4053	-0,35	0,0647	-0,43	0,2033	-0,77	0,0031	-0,82	0,0012	-0,78	0,0023
lpo7	539,93	0,00	0,9879	0,41	0,0046	-0,01	1,0000	0,25	0,3325	0,17	0,3983	0,31	0,2964	0,02	0,9768	0,23	0,5325	0,17	0,6241
lpo8	120,87	-0,06	0,8738	-0,08	0,8634	0,08	1,0000	0,02	0,9901	-0,62	0,0036	0,04	0,9604	0,21	0,6757	-0,04	0,9815	-0,76	0,0126
lpo9	176,02	-0,07	0,8485	0,15	0,6382	0,09	1,0000	0,09	0,9430	0,12	0,6174	0,15	0,7930	-0,04	0,9624	-0,02	0,9921	0,08	0,8104
lpp	37,63	-0,42	0,2897	0,10	0,8828	0,08	1,0000	0,32	0,7022	0,48	0,1746	0,42	0,4945	0,49	0,3735	0,67	0,1832	0,74	0,0533
lppk	23,56	0,48	0,2532	0,49	0,3415	-0,03	NA	0,07	0,9827	0,15	0,7869	-0,42	0,5446	-0,48	0,4503	-0,74	0,2384	0,09	0,8709
lqcb1	37,96	-0,26	0,5994	0,30	0,5658	0,08	1,0000	0,24	0,8363	-0,02	0,9778	0,22	0,7866	0,24	0,7419	0,13	0,9214	-0,02	0,9753
lqcc	17,12	0,25	0,6916	0,02	0,9848	0,01	NA	0,32	0,7560	0,56	0,1936	-0,23	0,8262	-0,20	NA	0,02	0,9931	-0,03	0,9746
lqce	14,79	-0,25	0,6829	0,47	0,3850	0,20	NA	0,01	0,9968	-0,18	0,7769	0,22	0,8297	-0,09	NA	-0,44	0,6618	-0,51	0,4016
lqcg	3,28	-0,47	0,4762	0,44	0,5501	-0,11	NA	-0,41	NA	-0,63	0,3329	0,82	0,2602	0,47	NA	-0,36	NA	0,02	0,9861
lqgap1	72,66	-0,04	0,9453	-0,05	0,9342	0,02	1,0000	0,08	0,9700	0,10	0,8033	0,23	0,7366	0,44	0,3789	0,41	0,4931	0,15	0,7676
lqgap3	3,21	0,17	0,8440	0,05	0,9666	0,15	NA	0,07	NA	-0,27	0,7219	0,38	0,7160	0,06	NA	-0,20	NA	-0,39	0,6411
lqsec1	401,09	-0,03	0,9452	0,01	0,9870	-0,07	1,0000	-0,39	0,3599	0,08	0,8561	-0,22	0,6257	-0,21	0,6089	-0,20	0,7091	0,29	0,4281
lqsec2	42,16	-0,39	0,2818	0,12	0,8524	-0,15	1,0000	0,07	0,9769	1,35	0,0000	0,20	0,8021	0,06	0,9505	0,66	0,1628	1,78	0,0000
lrak1	82,67	0,34	0,2224	-0,27	0,5382	-0,17	1,0000	-0,37	0,5443	0,09	0,8281	-0,50	0,2117	-0,48	0,2478	-0,36	0,4933	-0,32	0,3890
lrak1bp1	12,11	-0,35	0,5700	0,19	0,8169	-0,08	NA	-0,31	0,7778	-1,69	0,0005	0,53	0,5002	0,29	NA	0,17	0,9170	-1,38	0,0212
lrak2	10,16	-0,60	0,2551	-0,01	0,9895	0,03	NA	-0,53	0,4526	-1,27	0,0133	0,50	0,5725	0,30	NA	-0,23	0,8860	-0,82	0,2234
lrak4	4,78	0,09	0,9263	0,08	0,9453	-0,06	NA	-0,25	NA	-0,61	0,3633	-0,41	0,6763	-0,17	NA	-0,31	NA	-1,08	0,1060
lreb2	340,93	-0,07	0,8112	-0,05	0,9044	0,03	1,0000	0,20	0,7006	0,20	0,4009	0,02	0,9666	0,23	0,5235	0,23	0,5841	0,33	0,1904
lrf1	14,69	-0,97	0,0150	-0,08	0,9288	0,16	NA	0,13	0,9472	0,01	0,9826	0,33	0,7431	0,51	NA	0,70	0,3510	0,70	0,2263
lrf2	42,63	-0,07	0,8898	0,01	0,9924	0,07	1,0000	-0,09	0,9653	0,21	0,6328	-0,19	0,8135	0,24	0,7226	0,10	0,9400	0,44	0,2677
lrf2bp1	25,99	-0,01	0,9916	-0,57	0,2483	0,01	NA	0,02	0,9902	0,99	0,0014	-0,10	0,9290	-0,28	0,7158	-0,05	0,9816	1,03	0,0251
lrf2bp2	331,95	-0,45	0,0438	-0,11	0,8066	-0,02	1,0000	0,37	0,3484	0,54	0,0058	0,19	0,6722	0,28	0,4610	0,31	0,4423	0,66	0,0003
lrf2bpl	71,76	0,03	0,9543	-0,32	0,4284	-0,14	1,0000	-0,04	0,9853	0,48	0,1214	-0,48	0,3126	-0,64	0,1245	-0,38	0,5332	0,51	0,1978
lrf3	22,13	0,22	0,7048	0,06	0,9505	-0,03	NA	0,24	0,8643	0,85	0,0206	-0,23	0,8029	-0,45	0,5032	0,00	0,9998	0,66	0,1384
lrf5	3,27	0,06	0,9509	0,03	0,9772	0,22	NA	-0,23	NA	-0,39	0,5786	0,71	0,3620	-0,01	NA	-0,31	NA	-0,71	0,3306
lrf9	12,79	-0,82	0,0784	-0,27	0,7246	0,25	NA	-0,05	0,9853	-0,67	0,1949	-0,03	0,9868	0,10	NA	0,28	0,8385	-0,06	0,9566
lrgm1	17,38	-1,53	0,0000	-1,02	0,0173	-0,21	NA	-0,91	0,0296	-2,63	0,0000	0,35	0,7360	0,75	NA	-0,20	0,9018	-1,03	0,1189
lrgm2	20,57	-1,32	0,0001	-0,36	0,4848	0,08	NA	-0,32	0,7414	-1,73	0,0000	0,49	0,5468	0,50	NA	0,06	0,9792	-0,62	0,3754
lrgq	91,21	-0,12	0,7629	-0,11	0,8338	-0,09	1,0000	-0,23	0,7796	0,34	0,2226	-0,08	0,9201	0,08	0,9138	0,07	0,9514	0,52	0,0852
lrs1	176,65	-0,04	0,9391	-0,05	0,9388	0,20	1,0000	0,39	0,3871	0,39	0,1150	0,11	0,8430	0,56	0,0483	0,70	0,0046	0,73	0,0002
lrs2	86,41	0,54	0,1110	-0,39	0,4224	-0,18	1,0000	-0,19	0,8863	0,85	0,0062	-0,87	0,0387	-1,45	0,0000	-1,07	0,0015	0,32	0,4099
lrx1	2,21	-0,26	NA	-0,10	0,9202	0,09	NA	0,15	NA	0,40	0,5823	0,83	0,2280	0,26	NA	0,51	NA	0,37	0,6568
lrx2	5,39	0,43	0,5324	0,41	0,5809	0,17	NA	0,10	NA	0,55	0,4104	0,08	0,9510	-0,03	NA	0,01	0,9990	-0,13	0,8914
lrx3	9,62	0,33	0,6111	0,42	0,5348	0,11	NA	0,23	0,8781	-0,31	0,6484	0,26	0,8095	0,57	NA	0,55	0,5141	-0,02	0,9894
lrx4	11,63	-0,43	0,5030	0,33	0,6532	0,17	NA	0,17	0,9275	-0,70	0,2172	0,22	0,8484	0,19	NA	0,58	0,5036	-0,38	0,6160
lrx5	13,01	0,42	0,4865	0,17	0,8585	0,07	NA	0,28	0,8332	0,35	0,5971	0,19	0,8557	0,70	NA	0,30	0,7950	0,23	0,7624
lsca1	101,66	0,43	0,2058	0,13	0,8158	-0,01	1,0000	0,25	0,7605	0,45	0,2373	0,41	0,3856	0,07	0,9305	0,26	0,7183	0,17	0,7186
lsca2	34,22	0,07	0,9141	-0,32	0,6031	-0,11	1,0000	-0,08	0,9746	-0,37	0,4214	0,05	0,9586	-0,05	0,9622	-0,22	0,8432	-0,33	0,5162
lscu	52,59	0,25	0,5434	0,19	0,7352	-0,03	1,0000	-0,22	0,8587	-0,46	0,1944	0,58	0,1635	0,08	0,9246	-0,09	0,9425	-0,57	0,1010
lsg20	1,74	-0,18	NA	-0,23	0,7540	-0,17	NA	-0,26	NA	-0,28	0,7021	-0,13	NA	-0,16	NA	-0,04	NA	0,05	NA
lsg20l2	41,59	0,23	0,5889	-0,22	0,7078	-0,22	1,0000	0,08	0,9719	-0,11	0,8096	-0,14	0,8509	0,11	0,8910	-0,08	0,9570	0,15	0,7518
lsl1	4,12	0,29	0,7115	0,29	0,7239	0,17	NA	0,35	NA	0,23	0,7779	0,07	0,9615	0,34	NA	0,15	NA	-0,01	0,9919
lsm1	4,51	-0,10	0,9175	0,02	0,9894	-0,20	NA	-0,16	NA	-0,07	0,9391	0,29	0,7958	-0,21	NA	-0,24	NA	0,54	0,4703
lsoc1	91,12	-0,18	0,5961	0,10	0,8377	-0,08	1,0000	0,03	0,9853	-0,47	0,0827	0,57	0,1005	0,21	0,6965	0,01	0,9936	-0,29	0,3547

GeneID	CTL	ET-1 vs CTL		SAHA vs CTL		JS28 vs CTL		BSP vs CTL		JQ1 vs CTL		ET-1+SAHA vs ET1		ET-1+JS28 vs ET1		ET-1+BSP vs ET1		ET-1+JQ1 vs ET1	
	mean	log2(FC)	P-adj	log2(FC)	P-adj	log2(FC)	P-adj	log2(FC)	P-adj	log2(FC)	P-adj	log2(FC)	P-adj	log2(FC)	P-adj	log2(FC)	P-adj	log2(FC)	P-adj
Isoc2a	1,44	-0,26	NA	0,81	0,1446	0,50	NA	0,01	NA	0,61	0,3615	0,57	NA	0,25	NA	0,26	NA	0,72	0,3242
lspd	6,65	0,19	0,8078	-0,67	0,2687	0,12	NA	0,23	0,8786	0,02	0,9797	-0,45	0,6365	0,09	NA	-0,29	0,8369	-0,41	0,6093
lst1	142,93	0,00	0,9935	-0,48	0,0612	-0,15	1,0000	-0,27	0,6117	0,04	0,8926	-0,42	0,2532	-0,12	0,8355	0,00	1,0000	0,30	0,2359
lsy1	18,65	0,20	0,7478	-0,41	0,5114	-0,10	NA	0,00	0,9988	-0,28	0,6159	-0,61	0,3860	0,15	0,8779	-0,48	0,5839	-0,62	0,2544
lsyna1	48,50	-1,02	0,0006	0,08	0,9057	0,13	1,0000	0,32	0,6925	0,46	0,1746	0,81	0,0747	0,25	0,7385	0,73	0,1465	1,02	0,0020
ltch	221,89	-0,16	0,5449	-0,45	0,0475	0,00	1,0000	0,03	0,9853	-0,02	0,9396	-0,40	0,2383	0,22	0,6148	0,04	0,9752	0,22	0,4216
ltfg1	298,97	0,01	0,9871	-0,17	0,5755	0,14	1,0000	0,27	0,4844	-0,10	0,7131	0,22	0,5985	0,38	0,2473	0,41	0,2071	-0,10	0,7982
ltfg2	21,51	0,25	0,6372	-0,22	0,7608	-0,05	NA	0,03	0,9884	0,30	0,5226	-0,19	0,8320	-0,49	NA	-0,26	0,8253	-0,11	0,8507
ltfg3	111,14	-0,14	0,6492	0,32	0,2361	0,24	1,0000	-0,19	0,8150	-0,10	0,7233	0,44	0,2403	-0,15	0,8128	-0,04	0,9818	-0,06	0,8886
ltga1	93,62	1,65	0,0000	-0,47	0,2785	-0,49	0,5409	-0,83	0,0252	-0,53	0,2013	-1,35	0,0000	-1,55	0,0000	-1,23	0,0000	-0,75	0,0580
ltga10	3,91	-0,74	0,1891	-0,68	0,2538	-0,07	NA	-0,16	NA	-0,63	0,3346	-0,03	NA	0,23	NA	0,16	NA	0,02	0,9877
ltga2b	3,90	-0,64	0,2651	0,33	0,6825	-0,04	NA	-0,02	NA	0,26	0,7328	0,59	0,4511	-0,10	NA	0,39	NA	0,72	0,3283
ltga3	76,24	-0,39	0,1628	0,03	0,9560	-0,06	1,0000	-0,10	0,9472	0,19	0,5274	0,09	0,9176	0,08	0,9191	0,22	0,7916	0,34	0,3413
ltga4	2,44	-0,47	0,4582	-0,39	0,5791	-0,16	NA	-0,20	NA	-0,45	0,5227	0,28	NA	-0,18	NA	0,14	NA	-0,13	NA
ltga5	162,09	0,85	0,0000	0,00	0,9953	-0,31	0,9896	-0,40	0,3606	-0,08	0,8283	-0,36	0,3040	-1,11	0,0000	-0,60	0,0317	-0,62	0,0036
ltga6	177,51	0,81	0,0000	1,08	0,0000	0,00	1,0000	0,00	0,9989	-0,05	0,8627	0,65	0,0232	-0,08	0,8988	-0,22	0,6935	-0,17	0,5835
ltga7	128,51	0,90	0,0003	-0,01	0,9894	-0,08	1,0000	-0,09	0,9563	0,08	0,8487	-0,51	0,2591	-0,82	0,0227	-0,41	0,4435	-0,62	0,0659
ltga8	15,26	-0,43	0,4868	-0,76	0,1501	-0,07	NA	-1,09	0,0051	-2,05	0,0000	-0,34	0,7471	0,01	NA	-0,65	0,4409	-1,41	0,0205
ltga9	68,16	0,82	0,0345	0,19	0,7851	0,35	1,0000	-0,23	0,8681	-1,14	0,0025	-0,26	0,7304	-0,36	0,5739	-0,86	0,0677	-2,02	0,0000
ltgav	349,57	0,45	0,0294	-0,15	0,6425	-0,15	1,0000	0,00	0,9968	0,26	0,2939	-0,35	0,3552	-0,37	0,3214	-0,35	0,4019	-0,07	0,9006
ltgb1	1918,26	0,63	0,0032	-0,27	0,2573	-0,17	1,0000	-0,21	0,6244	-0,18	0,4691	-0,21	0,6953	-0,24	0,6232	-0,50	0,1571	-0,57	0,0722
ltgb1bp1	18,94	0,07	0,9195	0,18	0,8112	0,16	NA	0,22	0,8780	0,09	0,8815	0,07	0,9530	0,05	NA	-0,02	0,9931	-0,31	0,6212
ltgb1bp2	71,27	0,17	0,7988	-0,98	0,0199	-0,31	1,0000	-0,63	0,2353	-1,62	0,0000	-0,61	0,2621	-0,27	0,7016	-0,48	0,4765	-1,34	0,0008
ltgb3	8,48	-0,35	0,6068	1,11	0,0082	-0,04	NA	0,22	0,8923	-0,17	0,8072	1,05	0,0856	-0,09	NA	0,30	0,8285	0,78	0,1711
ltgb3bp	24,08	-0,23	0,6975	0,44	0,4058	0,06	NA	-0,03	0,9860	-1,57	0,0001	0,66	0,2593	0,49	0,4372	-0,05	0,9861	-1,54	0,0022
ltgb5	58,67	0,18	0,6797	0,09	0,8752	0,36	0,9123	0,30	0,6716	0,43	0,1712	-0,06	0,9444	-0,08	0,9243	-0,04	0,9875	0,23	0,5820
ltgb6	1,67	0,13	NA	0,32	0,6031	0,12	NA	0,01	NA	-0,37	NA	0,28	0,7856	0,09	NA	-0,19	NA	-0,36	0,6609
ltgb8	127,84	-1,82	0,0000	-0,21	0,6040	-0,11	1,0000	0,30	0,5926	-1,16	0,0000	0,52	0,3779	0,72	0,1300	1,20	0,0015	0,29	0,5872
ltih4	1,01	-0,09	NA	-0,05	0,9530	-0,07	NA	-0,06	NA	-0,20	NA	-0,12	NA	-0,08	NA	-0,02	NA	-0,14	NA
ltm2a	45,09	-0,20	0,6829	0,75	0,0133	0,29	1,0000	0,10	0,9600	-0,31	0,4129	1,15	0,0012	0,32	0,6092	-0,07	0,9696	-0,16	0,7828
ltm2b	259,50	-0,35	0,1235	0,01	0,9845	0,14	1,0000	0,24	0,6656	-0,05	0,8792	0,54	0,0543	0,45	0,1450	0,61	0,0181	0,21	0,4481
ltm2c	117,04	-0,43	0,1180	0,22	0,5577	0,03	1,0000	0,36	0,4238	0,56	0,0181	0,85	0,0082	0,04	0,9632	0,59	0,1294	0,90	0,0112
ltpa	28,75	0,57	0,1261	-0,09	0,9252	-0,05	NA	0,06	0,9853	0,34	0,4448	-0,36	0,6133	-0,38	0,5408	-0,15	0,9082	-0,05	0,9399
ltpk1	7,85	-0,03	0,9706	0,63	0,2668	0,20	NA	0,02	0,9901	0,07	0,9238	0,12	0,9251	-0,32	NA	0,02	0,9938	0,34	0,6451
ltpka	1,13	0,10	NA	0,69	0,1884	0,11	NA	0,05	NA	0,39	0,5641	0,18	NA	0,02	NA	0,08	NA	0,35	0,6810
ltpkb	2,34	-0,08	0,9312	-0,02	0,9871	0,04	NA	-0,16	NA	-0,10	0,9080	-0,21	NA	-0,10	NA	-0,30	NA	-0,04	0,9714
ltpkc	9,81	-0,13	0,8726	-0,06	0,9546	0,04	NA	-0,31	0,7887	0,08	0,9162	-0,10	0,9414	-0,17	NA	0,08	0,9730	-0,30	0,7012
ltpr1	109,83	-0,72	0,0002	0,40	0,1211	0,07	1,0000	0,03	0,9853	-0,14	0,6029	0,67	0,0501	0,50	0,1949	0,56	0,1420	0,40	0,2275
ltpr2	31,94	-1,02	0,0007	0,21	0,7096	0,11	1,0000	0,23	0,8331	-0,40	0,3329	0,63	0,3037	0,59	0,3109	0,59	0,3852	-0,45	0,4189
ltpr3	1,98	0,17	NA	0,37	0,5796	0,04	NA	0,11	NA	-0,13	0,8707	0,09	0,9438	-0,09	NA	-0,30	NA	-0,31	0,7136
ltprp	47,54	-0,31	0,4719	-0,12	0,8516	-0,04	1,0000	0,12	0,9469	0,27	0,4989	-0,02	0,9816	-0,05	0,9604	0,30	0,7227	0,51	0,1603
ltprp1	2,99	-0,14	0,8677	0,15	0,8787	-0,06	NA	-0,29	NA	-0,23	0,7713	0,17	0,8825	-0,14	NA	-0,46	NA	-0,28	0,7548
ltprp2	14,07	0,21	0,7697	-0,96	0,0605	0,25	NA	-0,45	0,5813	-0,77	0,1449	-1,04	0,0970	-0,68	NA	-0,69	0,3657	-1,61	0,0034
ltsn1	104,65	-0,46	0,0450	-0,08	0,8622	0,03	1,0000	0,28	0,6057	0,56	0,0055	0,04	0,9556	0,33	0,4814	0,40	0,4096	0,88	0,0003
ltsn2	188,19	-0,16	0,5675	-0,72	0,0005	0,06	1,0000	-0,05	0,9742	-0,24	0,2589	-0,78	0,0078	0,16	0,7734	0,05	0,9606	-0,03	0,9562

GeneID	CTL	ET-1 vs CTL		SAHA vs CTL		JS28 vs CTL		BSP vs CTL		JQ1 vs CTL		ET-1+SAHA vs ET1		ET-1+JS28 vs ET1		ET-1+BSP vs ET1		ET-1+JQ1 vs ET1	
	mean	log2(FC)	P-adj	log2(FC)	P-adj	log2(FC)	P-adj	log2(FC)	P-adj	log2(FC)	P-adj	log2(FC)	P-adj	log2(FC)	P-adj	log2(FC)	P-adj	log2(FC)	P-adj
Ivd	58,54	-0,16	0,8011	0,23	0,6797	0,21	1,0000	-0,04	0,9853	-0,63	0,0684	0,55	0,3608	0,26	0,7274	0,04	0,9874	-0,44	0,4143
Ivns1abp	997,62	-0,50	0,0464	-0,07	0,9070	0,23	1,0000	-0,32	0,6070	-0,96	0,0001	0,26	0,4232	0,76	0,0001	0,17	0,7215	-0,66	0,0001
Iws1	124,33	-0,01	0,9777	-0,07	0,8775	-0,08	1,0000	-0,05	0,9764	-0,24	0,3939	-0,18	0,7516	0,08	0,9118	0,02	0,9911	-0,12	0,7388
Iyd	1,75	-0,04	NA	0,17	0,8363	0,00	NA	-0,01	NA	0,33	0,6530	0,11	NA	0,19	NA	0,05	NA	0,53	0,5079
Izumo4	1,94	0,05	NA	-0,04	0,9733	-0,01	NA	-0,03	NA	0,20	0,8084	-0,13	NA	0,10	NA	0,08	NA	0,52	0,5196
Jade1	89,89	0,37	0,1622	-0,60	0,0646	-0,23	1,0000	-0,18	0,8722	-0,63	0,0244	-0,72	0,0395	-0,29	0,5501	-0,50	0,2330	-0,67	0,0108
Jade2	40,05	-0,70	0,0340	-0,67	0,0889	0,14	1,0000	-0,38	0,6021	-0,84	0,0177	-0,09	0,9289	0,07	0,9444	-0,09	0,9590	-0,88	0,0808
Jade3	16,01	-0,07	0,9276	-0,19	0,8127	-0,02	NA	0,18	0,9250	0,67	0,1031	0,01	0,9967	-0,06	NA	0,16	0,9214	0,68	0,1256
Jag1	20,05	-0,48	0,3425	-0,17	0,8354	-0,19	NA	-0,22	0,8826	0,50	0,2526	0,09	0,9398	-0,05	NA	-0,19	0,9018	1,05	0,0051
Jag2	8,96	0,09	0,9206	1,24	0,0033	0,26	NA	-0,12	0,9600	-0,03	0,9698	0,69	0,3364	0,22	NA	0,33	0,7954	-0,46	0,5254
Jagn1	31,19	0,13	0,8080	-0,16	0,8227	-0,08	NA	-0,39	0,6249	-0,48	0,2671	-0,05	0,9624	-0,08	0,9360	-0,28	0,7827	-0,63	0,1217
Jak1	433,49	-0,38	0,0655	0,32	0,2688	0,53	0,0762	0,54	0,0354	0,44	0,0568	0,43	0,1392	0,32	0,3362	0,28	0,4607	0,44	0,0311
Jak2	113,49	-0,37	0,1551	-0,26	0,4364	0,08	1,0000	0,29	0,5427	0,50	0,0089	-0,05	0,9500	0,28	0,5909	0,44	0,3198	0,57	0,0609
Jak3	42,24	-0,72	0,0652	0,05	0,9429	-0,07	1,0000	-0,27	0,7586	-0,05	0,9077	0,30	0,7399	-0,04	0,9710	-0,36	0,7377	0,16	0,8181
Jam2	67,35	-0,23	0,5387	0,42	0,2108	0,02	1,0000	-0,04	0,9853	-0,46	0,1646	0,78	0,0337	0,39	0,4377	-0,22	0,8095	0,06	0,9226
Jam3	32,86	-0,40	0,3072	-0,21	0,7120	-0,03	1,0000	0,20	0,8758	-0,26	0,5546	0,35	0,6180	0,28	0,6947	0,52	0,4160	0,44	0,2902
Jarid2	132,18	-0,23	0,5459	0,55	0,0703	0,15	1,0000	0,52	0,1722	0,20	0,5613	0,86	0,0041	0,51	0,1702	0,65	0,0570	0,32	0,3138
Jazf1	43,21	0,17	0,7421	-0,15	0,8128	-0,01	1,0000	-0,15	0,9260	-0,84	0,0106	-0,33	0,6442	-0,13	0,8872	-0,42	0,5831	-0,50	0,2806
Jdp2	17,51	0,72	0,1232	-0,46	0,4851	-0,38	NA	-0,43	0,6153	0,32	0,5635	-1,70	0,0011	-0,85	NA	-1,22	0,0227	0,19	0,7858
Jkamp	42,40	-0,04	0,9407	-0,17	0,7606	-0,07	1,0000	0,09	0,9634	-0,01	0,9786	-0,07	0,9442	0,29	0,6352	0,19	0,8511	0,00	0,9958
Jmjd1c	213,62	-0,28	0,2273	-0,04	0,9360	-0,03	1,0000	-0,08	0,9472	-0,17	0,4884	-0,11	0,8417	0,36	0,3617	0,03	0,9862	-0,01	0,9827
Jmjd4	47,21	-0,03	0,9592	-0,53	0,1892	-0,40	0,8445	-0,07	0,9746	-0,05	0,9167	-0,54	0,3319	-0,12	0,8923	0,03	0,9909	-0,04	0,9529
Jmjd6	38,11	0,37	0,3573	-0,41	0,4535	-0,25	NA	-0,24	0,8504	-0,16	0,7711	-0,32	0,6284	-0,62	0,2158	-0,60	0,2663	-0,66	0,0659
Jmjd8	22,47	0,45	0,3895	-0,03	0,9799	-0,09	NA	-0,04	0,9853	0,64	0,1534	-0,30	0,7131	-0,36	0,6103	-0,36	0,7010	0,07	0,9290
Jmy	281,00	-0,33	0,0851	-0,11	0,7376	0,05	1,0000	0,19	0,7120	0,09	0,7047	0,19	0,6982	0,39	0,2478	0,27	0,5545	0,27	0,3528
Josd1	38,48	0,23	0,5994	-0,03	0,9730	-0,07	1,0000	-0,06	0,9805	0,44	0,1817	-0,26	0,7231	-0,15	0,8492	-0,03	0,9911	-0,08	0,8753
Josd2	21,96	-0,01	0,9930	0,23	0,7170	0,04	NA	0,49	0,4467	0,89	0,0072	0,17	0,8610	-0,28	NA	0,78	0,1353	0,73	0,0857
Jph1	69,64	-0,07	0,8912	-0,42	0,2668	0,03	1,0000	0,25	0,7601	0,35	0,2178	-0,38	0,4837	-0,16	0,8303	0,17	0,8583	0,50	0,1174
Jph2	454,11	0,58	0,0033	-0,23	0,4903	0,01	1,0000	0,02	0,9866	0,69	0,0016	-0,54	0,0576	-0,64	0,0141	-0,03	0,9790	0,53	0,1205
Jph4	2,22	0,12	NA	0,27	0,7282	-0,17	NA	-0,22	NA	-0,59	0,3084	-0,20	NA	-0,20	NA	-0,44	NA	-0,67	NA
Jpx	7,05	-0,31	0,6661	-0,60	0,3448	0,04	NA	-0,13	0,9574	-0,46	0,4969	-0,14	0,9128	0,32	NA	0,26	0,8543	0,36	0,6502
Jrk	16,46	0,25	0,6856	0,13	0,8836	-0,03	NA	-0,02	0,9925	0,33	0,5392	-0,04	0,9732	-0,89	NA	-0,25	0,8472	-0,36	0,5486
Jrkl	47,24	0,01	0,9895	-0,05	0,9462	-0,09	1,0000	0,19	0,8623	0,08	0,8388	-0,15	0,8432	0,20	0,7780	0,16	0,8833	0,11	0,8507
Jtb	44,93	0,14	0,7760	-0,40	0,3764	0,18	1,0000	0,26	0,7668	0,30	0,4135	-0,14	0,8641	0,02	0,9780	0,15	0,9023	0,15	0,7590
Jun	160,85	-0,34	0,1957	-0,56	0,0061	-0,41	0,3210	0,04	0,9805	0,82	0,0000	-0,70	0,0553	-0,73	0,0528	-0,33	0,5785	1,04	0,0000
Junb	15,47	-0,18	0,7894	0,61	0,1994	0,03	NA	0,40	0,6211	1,50	0,0000	0,03	0,9854	-0,38	NA	0,31	0,7916	1,39	0,0004
Jund	115,13	0,02	0,9753	-0,58	0,1421	-0,22	1,0000	-0,05	0,9853	1,28	0,0022	-1,01	0,0102	-0,96	0,0118	0,13	0,9074	1,15	0,0386
Jup	456,00	-0,36	0,0572	-0,35	0,1586	-0,08	1,0000	-0,17	0,8156	0,32	0,1452	-0,31	0,4012	-0,27	0,4311	0,23	0,5934	0,63	0,0055
Kalrn	61,91	0,31	0,3634	0,36	0,3869	-0,16	1,0000	-0,24	0,8294	-0,84	0,0056	0,02	0,9837	-0,52	0,2514	-0,61	0,1740	-1,01	0,0031
Kank1	232,56	0,23	0,4753	-0,42	0,1449	0,01	1,0000	0,01	0,9921	0,28	0,2801	-0,39	0,3270	-0,20	0,6959	0,00	0,9980	0,05	0,9100
Kank2	250,74	-0,35	0,1333	-0,56	0,0075	0,02	1,0000	-0,12	0,8929	0,27	0,3183	-0,22	0,6466	0,10	0,8779	0,17	0,8020	0,74	0,0185
Kank3	24,02	0,47	0,3106	0,44	0,4418	-0,03	NA	0,38	0,6770	0,41	0,3937	-0,12	0,9044	-0,29	0,7036	0,54	0,3976	0,54	0,2333
Kansl1	242,87	-0,19	0,3934	-0,46	0,0206	-0,10	1,0000	-0,22	0,6237	-0,21	0,3899	-0,42	0,2110	-0,02	0,9765	-0,10	0,9054	0,03	0,9462
Kansl1l	71,21	-0,56	0,0665	-0,44	0,2479	-0,06	1,0000	0,77	0,0081	0,87	0,0005	-0,11	0,8999	0,72	0,0552	1,30	0,0000	1,28	0,0002
Kansl2	42,78	0,25	0,5235	-0,40	0,3694	-0,11	1,0000	0,21	0,8476	0,29	0,4045	-0,66	0,2192	-0,17	0,8344	-0,35	0,6443	0,10	0,8693

GeneID	CTL	ET-1 vs CTL		SAHA vs CTL		JS28 vs CTL		BSP vs CTL		JQ1 vs CTL		ET-1+SAHA vs ET1		ET-1+JS28 vs ET1		ET-1+BSP vs ET1		ET-1+JQ1 vs ET1	
	mean	log2(FC)	P-adj	log2(FC)	P-adj	log2(FC)	P-adj	log2(FC)	P-adj	log2(FC)	P-adj	log2(FC)	P-adj	log2(FC)	P-adj	log2(FC)	P-adj	log2(FC)	P-adj
Kansl3	134,00	-0,18	0,5540	-0,66	0,0074	-0,18	1,0000	-0,20	0,7841	-0,12	0,6888	-0,49	0,1931	-0,03	0,9634	0,22	0,7168	0,18	0,6028
Kars	178,86	0,37	0,0397	0,53	0,0087	0,16	1,0000	0,28	0,4896	0,59	0,0002	0,01	0,9952	-0,44	0,1641	-0,02	0,9911	0,19	0,4500
Kat2a	57,75	0,18	0,6449	0,39	0,2913	0,12	1,0000	0,02	0,9860	-0,21	0,5926	-0,12	0,8781	-0,49	0,3155	-0,43	0,4723	-0,47	0,2369
Kat2b	362,90	0,07	0,7896	-1,30	0,0000	-0,06	1,0000	-0,12	0,8819	-0,37	0,0467	-1,23	0,0000	-0,30	0,3584	-0,26	0,5130	-0,32	0,1733
Kat5	52,44	0,04	0,9485	-0,76	0,0247	-0,10	1,0000	-0,28	0,7308	-0,23	0,5329	-0,59	0,2790	-0,12	0,8987	-0,34	0,6900	-0,65	0,1061
Kat6a	282,54	-0,32	0,0555	-0,45	0,0222	-0,17	1,0000	0,30	0,3473	0,51	0,0017	-0,57	0,0369	0,31	0,3729	0,43	0,1350	0,67	0,0005
Kat6b	116,23	-0,51	0,0110	-0,93	0,0000	0,02	1,0000	-0,09	0,9440	-0,23	0,4515	-0,59	0,1179	0,38	0,3459	0,18	0,8103	-0,15	0,6761
Kat7	151,61	-0,01	0,9851	0,12	0,8003	0,11	1,0000	0,18	0,8486	0,31	0,2084	0,04	0,9478	0,05	0,9361	0,11	0,9023	0,26	0,3414
Kat8	28,69	-0,49	0,2036	-0,52	0,2515	-0,12	1,0000	0,09	0,9634	0,28	0,4712	-0,21	0,8224	0,35	0,6185	0,46	0,5392	0,60	0,1476
Katna1	34,65	-0,01	0,9858	0,14	0,8391	-0,05	1,0000	0,00	0,9986	-0,21	0,6479	-0,10	0,9201	0,22	0,7512	-0,27	0,7903	-0,46	0,3507
Katnal1	53,20	0,25	0,5174	0,05	0,9444	-0,08	1,0000	-0,20	0,8681	-0,06	0,8984	-0,07	0,9359	-0,13	0,8607	-0,22	0,8152	-0,40	0,2924
Katnal2	1,90	-0,21	NA	0,10	0,9247	-0,16	NA	-0,15	NA	0,43	0,5572	0,16	NA	-0,18	NA	0,00	NA	0,72	0,3294
Katnb1	21,43	0,14	0,8243	0,45	0,3893	0,05	NA	0,13	0,9482	0,05	0,9408	0,27	0,7561	0,23	0,7899	0,10	0,9551	-0,07	0,9285
Katnb1	24,85	0,11	0,8628	0,02	0,9832	-0,07	NA	-0,04	0,9853	-0,09	0,8816	0,22	0,7988	0,51	0,3675	0,29	0,7668	0,08	0,9039
Kazald1	1,45	-0,10	NA	0,16	0,8474	-0,06	NA	-0,17	NA	-0,20	0,7810	0,53	NA	0,10	NA	-0,04	NA	-0,44	NA
Kazn	41,86	-0,09	0,8733	0,32	0,4800	0,21	1,0000	-0,11	0,9574	0,44	0,2129	0,14	0,8686	0,27	0,6891	0,16	0,8970	0,64	0,1634
Kbtbd11	10,69	-0,29	0,7036	-0,90	0,0975	0,02	NA	-0,23	0,8758	-0,45	0,4952	-0,82	0,2607	-0,23	NA	-0,39	0,7354	-0,36	0,6692
Kbtbd12	6,99	0,22	0,7790	0,23	0,7980	-0,11	NA	0,17	0,9266	-1,08	0,0616	0,03	0,9840	0,29	NA	0,07	0,9789	-1,01	0,1217
Kbtbd2	97,24	-0,13	0,6868	0,00	0,9975	0,19	1,0000	0,04	0,9853	-0,05	0,8928	0,13	0,8355	0,36	0,4020	0,17	0,8369	0,05	0,9134
Kbtbd3	22,97	-0,03	0,9661	0,51	0,2702	-0,13	NA	0,05	0,9853	-0,36	0,4631	0,66	0,2266	0,30	0,6949	-0,04	0,9875	-0,22	0,7046
Kbtbd4	20,71	-0,37	0,4714	-0,03	0,9745	-0,05	NA	0,05	0,9853	-0,68	0,1253	-0,08	0,9500	0,03	NA	0,31	0,7876	-0,05	0,9566
Kbtbd7	52,04	-0,08	0,8759	-0,19	0,7376	0,16	1,0000	0,27	0,7524	-0,22	0,5728	0,11	0,8912	0,43	0,3789	0,04	0,9862	-0,08	0,8757
Kbtbd8	14,83	0,64	0,1725	0,25	0,7467	-0,02	NA	0,47	0,5507	0,08	0,9057	-0,40	0,6369	-0,26	NA	-0,44	0,6413	0,10	0,8917
Kcmf1	121,76	0,14	0,6718	-0,02	0,9712	0,07	1,0000	-0,06	0,9708	0,05	0,9057	-0,13	0,8382	-0,22	0,6719	-0,29	0,6212	-0,03	0,9544
Kcna1	23,27	-0,12	0,8789	0,37	0,6232	0,19	1,0000	0,43	0,5163	-1,30	0,0118	0,20	0,8215	0,09	0,9058	0,18	0,8638	-0,40	0,6100
Kcna4	49,54	0,19	0,7315	0,19	0,7792	-0,30	1,0000	-0,17	0,9213	-0,70	0,0615	0,20	0,7928	-0,14	0,8600	0,04	0,9909	-0,68	0,0733
Kcna5	1,29	-0,04	NA	-0,04	0,9730	-0,09	NA	-0,18	NA	-0,48	NA	-0,18	NA	-0,07	NA	-0,15	NA	-0,26	NA
Kcna7	3,08	-0,10	0,9129	0,15	0,8749	0,10	NA	-0,33	NA	-0,47	0,5052	-0,17	0,8711	-0,18	NA	-0,35	NA	-0,40	0,6160
Kcnab2	4,73	-0,11	0,9003	1,54	0,0004	0,07	NA	-0,11	NA	-0,56	0,4100	1,48	0,0059	-0,39	NA	-0,09	NA	-0,50	0,5362
Kcnb1	114,09	-0,53	0,0374	-0,14	0,7801	0,23	1,0000	0,10	0,9437	-0,47	0,0630	0,05	0,9512	0,54	0,1628	0,35	0,5321	-0,11	0,8019
Kcnb2	9,88	-0,98	0,0392	-0,37	0,6086	-0,29	NA	-0,08	0,9764	-0,29	0,6546	-0,29	0,7955	0,04	NA	0,34	0,7844	0,49	0,5221
Kcnc1	1,17	0,06	NA	0,49	0,4001	0,12	NA	0,18	NA	1,02	0,0786	0,24	NA	0,09	NA	0,08	NA	0,81	0,2543
Kcnc3	5,40	0,06	0,9500	0,94	0,0683	0,22	NA	0,14	NA	1,87	0,0000	0,45	0,6313	-0,19	NA	0,30	0,8270	2,05	0,0000
Kcnd1	1,53	-0,35	NA	0,28	0,7134	-0,06	NA	-0,11	NA	-0,19	0,8022	0,09	NA	0,18	NA	-0,06	NA	0,02	NA
Kcnd2	15,30	-0,18	0,8032	-0,64	0,2821	-0,04	NA	0,08	0,9764	-0,76	0,1491	-0,38	0,6791	0,57	NA	0,94	0,0723	0,17	0,8107
Kcnd3	6,62	0,00	0,9974	0,87	0,0970	0,36	NA	0,39	0,6716	-0,19	0,8093	0,74	0,3169	0,14	NA	0,10	0,9616	-0,30	0,7210
Kcne1	1,73	-0,53	NA	0,17	0,8449	0,10	NA	-0,10	NA	-0,67	0,2235	0,72	NA	0,34	NA	0,05	NA	0,13	NA
Kcnf1	28,58	1,77	0,0000	0,30	0,6934	0,41	NA	0,20	0,9060	0,04	0,9577	-0,65	0,1923	-0,80	0,0676	-0,16	0,8902	-0,43	0,3373
Kcng2	120,61	0,10	0,8095	0,06	0,9274	-0,06	1,0000	0,15	0,9084	0,39	0,2084	0,28	0,5935	-0,02	0,9837	0,67	0,0302	0,34	0,3337
Kcnh2	205,15	-0,24	0,4639	0,29	0,3297	0,31	0,8594	0,31	0,4756	-0,78	0,0055	0,49	0,2048	0,34	0,4386	0,72	0,0195	-0,43	0,3958
Kcnh7	41,60	0,03	0,9643	0,65	0,0635	-0,13	1,0000	0,14	0,9340	0,22	0,6158	0,63	0,1364	0,07	0,9406	0,36	0,5957	0,61	0,1013
Kcnip2	3,57	0,08	0,9372	-0,29	0,7121	0,20	NA	-0,18	NA	-0,57	0,3844	-0,62	0,4110	0,49	NA	-0,36	NA	-0,75	0,3016
Kcnip3	2,58	0,25	0,7516	0,62	0,3086	0,03	NA	-0,05	NA	-0,21	0,7960	0,06	0,9629	-0,10	NA	-0,37	NA	-1,01	0,1170
Kcnj11	62,75	-0,28	0,5622	-0,68	0,0939	0,11	1,0000	-0,47	0,4453	-1,53	0,0000	-0,51	0,3402	0,33	0,5600	0,12	0,9202	-1,22	0,0025
Kcnj12	56,74	-0,74	0,0141	-0,31	0,5518	0,02	1,0000	0,06	0,9825	-0,67	0,0480	0,38	0,5150	0,62	0,1645	0,68	0,1274	-0,04	0,9525

GeneID	CTL	ET-1 vs CTL		SAHA vs CTL		JS28 vs CTL		BSP vs CTL		JQ1 vs CTL		ET-1+SAHA vs ET1		ET-1+JS28 vs ET1		ET-1+BSP vs ET1		ET-1+JQ1 vs ET1	
	mean	log2(FC)	P-adj	log2(FC)	P-adj	log2(FC)	P-adj	log2(FC)	P-adj	log2(FC)	P-adj	log2(FC)	P-adj	log2(FC)	P-adj	log2(FC)	P-adj	log2(FC)	P-adj
Kcnj2	16,33	-0,56	0,2965	-0,32	0,6693	-0,01	NA	-0,39	0,6725	0,01	0,9913	-0,08	0,9514	0,31	NA	0,45	0,6283	0,78	0,1098
Kcnj3	108,94	-0,52	0,0627	0,35	0,3821	-0,02	1,0000	0,22	0,8149	0,37	0,2418	0,69	0,0312	0,52	0,1641	0,91	0,0010	0,96	0,0001
Kcnj5	665,81	-0,87	0,0000	-0,43	0,0475	-0,20	1,0000	0,17	0,7729	-0,07	0,7836	0,10	0,8292	0,41	0,1151	0,79	0,0000	0,38	0,0847
Kcnj6	6,55	0,61	0,1892	-0,21	0,6974	-0,08	NA	-0,12	NA	0,24	0,7481	-0,46	0,6271	-0,84	NA	-1,23	0,0227	-0,07	0,9479
Kcnk3	56,00	-0,07	0,9252	-0,10	0,9075	-0,06	1,0000	-0,34	0,7424	0,08	0,9022	0,22	0,7585	-0,29	0,6551	-0,06	0,9681	0,27	0,6399
Kcnmb1	1,66	0,02	NA	-0,32	0,5656	-0,06	NA	-0,20	NA	-0,57	NA	-0,21	NA	-0,28	NA	-0,32	NA	-0,59	NA
Kcnn1	2,77	-0,22	0,7750	0,66	0,2794	-0,05	NA	-0,19	NA	-0,66	0,2851	0,79	0,2731	-0,09	NA	-0,24	NA	-0,37	0,6377
Kcnn2	17,61	-0,16	0,8040	0,21	0,7698	0,17	NA	-0,01	0,9972	-0,73	0,1190	0,39	0,6361	0,40	NA	0,19	0,9022	-0,63	0,3333
Kcnq1	12,34	-0,64	0,2012	0,14	0,8662	0,12	NA	-0,55	0,4111	-1,24	0,0104	0,55	0,4890	0,13	NA	-0,31	0,8161	-0,51	0,4809
Kcnq1ot1	559,06	-0,16	0,8148	-0,07	0,8836	-0,62	0,0186	0,38	0,3051	-0,07	0,9131	-0,41	0,6666	0,06	0,9629	0,29	0,8285	-0,24	0,7494
Kcnq3	3,04	-0,11	0,9000	-0,18	0,8309	-0,15	NA	-0,26	NA	-0,43	0,5372	-0,08	0,9494	-0,01	NA	0,12	NA	-0,31	0,7178
Kcnq5	27,67	0,73	0,0833	0,57	0,2799	-0,06	NA	-0,43	0,6103	-0,57	0,2797	0,11	0,9093	-0,57	0,3340	-0,72	0,2273	-0,96	0,0278
Kcns3	5,12	0,36	0,6140	-0,31	0,6988	-0,15	NA	-0,35	NA	-0,56	0,4104	-0,35	0,7366	0,00	NA	-0,34	NA	-1,13	0,0837
Kcnu1	1,09	-0,19	NA	-0,10	0,8929	-0,07	NA	-0,12	NA	0,05	0,9522	0,03	NA	-0,02	NA	-0,08	NA	0,01	NA
Kctd1	26,14	0,02	0,9754	-0,01	0,9907	-0,24	NA	-0,24	0,8532	-0,28	0,5636	-0,30	0,7176	-0,17	0,8525	-0,55	0,4650	-0,13	0,8396
Kctd10	91,31	0,35	0,2565	0,02	0,9818	0,01	1,0000	-0,14	0,9251	0,28	0,3509	-0,05	0,9529	-0,22	0,6949	-0,35	0,5471	0,02	0,9747
Kctd11	2,71	-0,12	0,8887	0,02	0,9867	-0,05	NA	-0,17	NA	-0,23	0,7731	0,27	0,7960	-0,02	NA	-0,40	NA	0,45	0,5819
Kctd12	42,65	-0,61	0,0816	-0,84	0,0192	-0,14	1,0000	0,75	0,0233	1,22	0,0000	-0,49	0,4497	0,41	0,5017	1,01	0,0115	2,01	0,0000
Kctd12b	6,60	-0,80	0,1350	-0,62	0,3145	-0,12	NA	-0,27	0,8366	-1,72	0,0009	0,22	0,8445	0,62	NA	0,28	NA	-0,70	0,3370
Kctd13	11,40	0,19	0,8040	-0,13	0,8940	0,07	NA	0,01	0,9981	0,51	0,3789	-0,63	0,4168	-0,11	NA	-0,07	0,9789	0,62	0,3142
Kctd15	3,18	0,05	0,9584	-0,11	0,9140	-0,14	NA	-0,22	NA	-0,99	0,0637	-0,17	0,8751	-0,25	NA	-0,43	NA	-0,84	0,2121
Kctd16	4,33	0,25	0,7540	0,37	0,6243	-0,08	NA	-0,29	NA	-0,30	0,6982	-0,48	0,6020	-0,24	NA	-0,60	NA	-1,23	0,0552
Kctd17	11,45	0,31	0,6353	0,89	0,0648	0,29	NA	0,20	0,9118	0,63	0,2654	0,58	0,4154	-0,77	NA	0,14	0,9392	0,39	0,5715
Kctd18	11,79	-0,20	0,7845	-0,34	0,6563	-0,01	NA	-0,02	0,9916	0,13	0,8536	0,12	0,9207	0,45	NA	-0,10	0,9617	0,04	0,9636
Kctd2	41,37	-0,15	0,7898	-0,18	0,7849	0,03	1,0000	0,08	0,9742	-0,02	0,9726	-0,79	0,1301	-0,11	0,9009	0,46	0,4714	0,10	0,8591
Kctd20	56,98	-0,28	0,4274	-0,47	0,2124	-0,16	1,0000	-0,04	0,9853	0,14	0,7072	0,05	0,9566	0,14	0,8492	0,14	0,9018	0,42	0,2010
Kctd21	17,89	0,02	0,9767	0,28	0,6716	0,15	NA	0,00	0,9998	0,76	0,0434	0,24	0,7989	0,14	NA	0,26	0,8364	0,78	0,1012
Kctd3	73,64	0,25	0,4374	-0,47	0,1683	-0,13	1,0000	0,03	0,9853	0,07	0,8648	-0,72	0,0588	-0,15	0,8216	-0,15	0,8720	-0,31	0,3370
Kctd5	42,81	0,98	0,0002	-0,01	0,9895	0,01	NA	-0,27	0,8062	-0,56	0,1610	-0,60	0,2207	-0,64	0,1488	-0,85	0,0436	-0,70	0,0468
Kctd6	16,32	0,11	0,8867	-0,45	0,5005	0,05	NA	-0,23	0,8797	0,23	0,7048	-0,43	0,6117	-0,44	NA	-0,14	0,9345	0,22	0,7430
Kctd7	13,54	0,08	0,9216	0,04	0,9696	-0,08	NA	0,27	0,8363	0,02	0,9766	0,21	0,8419	0,26	NA	0,13	0,9425	0,28	0,6473
Kctd8	6,07	0,05	0,9602	-0,25	0,7783	-0,22	NA	-0,24	NA	-0,38	0,6057	-0,60	0,4684	-0,57	NA	-0,27	0,8465	-0,81	0,2568
Kctd9	100,10	0,85	0,0003	-0,44	0,2625	0,08	1,0000	0,09	0,9634	-0,06	0,8865	-1,08	0,0005	-0,60	0,0948	-0,72	0,0334	-0,31	0,4344
Kdelc1	46,42	0,11	0,8280	0,34	0,4149	0,12	1,0000	0,41	0,4734	-0,08	0,8695	0,25	0,7291	0,22	0,7434	0,22	0,8262	0,00	0,9975
Kdelc2	46,03	-0,10	0,8289	-1,93	0,0000	-0,08	1,0000	-0,52	0,3246	-2,01	0,0000	-1,69	0,0000	-0,15	0,8504	-0,63	0,2394	-1,68	0,0000
Kdelr1	75,80	-0,16	0,6945	-0,28	0,5008	0,10	1,0000	0,00	0,9988	0,01	0,9914	-0,08	0,9265	0,14	0,8468	-0,05	0,9753	0,18	0,7302
Kdelr2	91,10	0,38	0,1316	-0,66	0,0198	-0,05	1,0000	0,25	0,7107	0,27	0,3514	-0,61	0,0933	-0,37	0,4117	-0,35	0,5007	0,14	0,7012
Kdelr3	13,80	0,55	0,2856	0,02	0,9845	0,13	NA	0,01	0,9968	0,03	0,9673	-0,26	0,7866	-0,28	NA	-0,31	0,7939	-0,05	0,9479
Kdm1a	135,12	-0,17	0,5148	0,34	0,1448	0,03	1,0000	0,20	0,7120	0,19	0,4547	0,40	0,2883	0,41	0,2514	0,57	0,0575	0,38	0,1238
Kdm1b	39,24	-0,46	0,1709	-0,16	0,7948	-0,26	1,0000	0,18	0,8903	0,82	0,0011	-0,05	0,9627	0,31	0,6345	0,61	0,2411	0,90	0,0118
Kdm2a	198,66	-0,09	0,7528	-0,40	0,0912	-0,15	1,0000	-0,17	0,8250	0,11	0,6622	-0,46	0,1698	-0,07	0,9042	-0,09	0,9143	0,22	0,4382
Kdm2b	45,01	-0,43	0,1989	-0,31	0,4817	-0,12	1,0000	-0,17	0,8977	-0,30	0,4158	-0,35	0,6242	0,09	0,9223	-0,03	0,9911	-0,20	0,6908
Kdm3a	170,97	-0,11	0,7900	-0,27	0,5178	0,05	1,0000	0,20	0,8369	0,33	0,2215	-0,60	0,0501	0,11	0,8430	0,11	0,8960	0,30	0,2682
Kdm3b	186,89	-0,18	0,4457	-0,60	0,0020	-0,13	1,0000	-0,08	0,9469	0,01	0,9692	-0,68	0,0237	-0,14	0,7909	-0,14	0,8507	0,14	0,6557
Kdm4a	175,05	-0,16	0,6296	-0,83	0,0000	-0,15	1,0000	-0,27	0,5477	0,22	0,2762	-0,80	0,0193	-0,10	0,8830	-0,24	0,7155	0,41	0,1622

GeneID	CTL	ET-1 vs CTL		SAHA vs CTL		JS28 vs CTL		BSP vs CTL		JQ1 vs CTL		ET-1+SAHA vs ET1		ET-1+JS28 vs ET1		ET-1+BSP vs ET1		ET-1+JQ1 vs ET1	
	mean	log2(FC)	P-adj	log2(FC)	P-adj	log2(FC)	P-adj	log2(FC)	P-adj	log2(FC)	P-adj	log2(FC)	P-adj	log2(FC)	P-adj	log2(FC)	P-adj	log2(FC)	P-adj
Kdm4b	74,82	0,06	0,8923	0,24	0,5322	0,29	1,0000	0,38	0,4033	0,53	0,0190	-0,06	0,9401	-0,17	0,7925	0,36	0,4950	0,30	0,3292
Kdm4c	71,78	-0,05	0,9252	0,05	0,9393	0,02	1,0000	0,05	0,9805	-0,13	0,7079	-0,10	0,9057	0,01	0,9963	0,13	0,9077	0,08	0,8691
Kdm5a	300,01	-0,41	0,0151	0,31	0,1710	-0,09	1,0000	-0,02	0,9853	-0,17	0,4712	0,36	0,2703	0,54	0,0481	0,28	0,4926	0,15	0,6830
Kdm5b	299,80	-0,47	0,0024	0,22	0,3930	0,12	1,0000	0,09	0,9364	0,25	0,1809	0,35	0,2637	0,47	0,0925	0,32	0,3706	0,64	0,0001
Kdm5c	200,14	0,17	0,5065	-0,32	0,1940	-0,22	1,0000	-0,16	0,8294	0,11	0,6807	-0,39	0,2621	-0,27	0,5018	-0,31	0,4835	0,02	0,9636
Kdm6a	103,92	-0,23	0,4326	-0,18	0,6455	0,15	1,0000	0,23	0,7107	0,23	0,3629	0,05	0,9475	0,33	0,4981	0,45	0,2848	0,31	0,3930
Kdm6b	277,03	-0,53	0,0334	0,02	0,9700	0,08	1,0000	-0,07	0,9500	-0,18	0,7690	-0,25	0,6543	-0,06	0,9403	0,00	1,0000	0,07	0,9303
Kdm7a	215,41	-0,21	0,4986	-0,49	0,0570	-0,05	1,0000	0,18	0,7825	-0,01	0,9779	-0,45	0,2395	0,36	0,3789	0,18	0,7939	0,26	0,5197
Kdm8	2,94	-0,58	0,3452	-0,75	0,1701	-0,18	NA	-0,41	NA	-0,63	0,3427	-0,19	NA	0,13	NA	-0,03	NA	-0,09	NA
Kdr	8,67	0,17	0,8419	0,37	0,6330	0,18	NA	0,66	0,2308	0,05	0,9516	-0,07	0,9572	0,43	NA	0,56	0,5301	0,01	0,9959
Kdsr	32,14	-0,35	0,4762	0,03	0,9730	-0,01	1,0000	0,19	0,9028	0,12	0,8177	0,17	0,8572	0,45	0,4594	0,11	0,9440	0,16	0,7820
Keap1	51,11	0,07	0,8910	-0,50	0,2311	0,03	1,0000	0,06	0,9794	0,28	0,4137	-0,78	0,0844	-0,14	0,8581	0,20	0,8408	0,30	0,4487
Khdrbs1	157,40	0,19	0,4910	-0,36	0,1868	-0,46	0,2671	-0,16	0,8512	0,13	0,6518	-0,39	0,3127	-0,17	0,7705	-0,17	0,8044	-0,14	0,6636
Khdrbs3	19,10	0,05	0,9412	0,36	0,5603	0,08	NA	0,15	0,9437	0,79	0,0446	0,31	0,7154	0,21	NA	0,23	0,8511	0,79	0,0624
Khk	2,40	-0,27	0,7218	0,64	0,3043	0,16	NA	0,22	NA	0,53	0,4362	0,64	0,4036	0,21	NA	0,22	NA	0,36	0,6715
Khynyn	23,58	-0,69	0,0822	0,08	0,9198	0,09	NA	-0,03	0,9873	-0,08	0,8782	0,40	0,6221	0,18	NA	0,28	0,8227	0,11	0,8784
Khsrp	169,18	-0,03	0,9632	-0,18	0,6376	-0,22	1,0000	-0,09	0,9452	0,66	0,0434	-0,58	0,1787	-0,29	0,6068	-0,06	0,9616	0,82	0,0748
Kidins220	382,15	-0,34	0,0571	0,13	0,6489	0,01	1,0000	0,19	0,6891	0,21	0,2361	0,15	0,7451	0,32	0,3467	0,29	0,4582	0,36	0,0926
Kif11	6,40	-0,48	0,4595	-0,23	0,8004	-0,07	NA	-0,14	0,9472	-0,20	0,7939	-0,27	0,8058	0,30	NA	0,04	NA	-0,11	0,9206
Kif13a	341,38	-0,56	0,0002	-0,68	0,0000	0,01	1,0000	0,24	0,4681	0,16	0,3672	-0,26	0,5074	0,06	0,9213	0,41	0,2113	0,42	0,0431
Kif13b	36,15	-0,48	0,1525	0,05	0,9511	0,03	1,0000	-0,02	0,9901	-0,06	0,9008	-0,06	0,9516	0,33	0,6165	0,37	0,6449	0,34	0,4440
Kif14	3,43	-0,04	0,9681	-0,56	0,3564	0,09	NA	-0,05	NA	0,26	0,7433	-0,31	0,7425	-0,14	NA	-0,12	NA	-0,39	0,6378
Kif15	2,74	-0,86	0,0905	-0,28	0,7376	-0,03	NA	0,03	NA	-0,30	0,6984	0,10	NA	0,29	NA	0,30	NA	0,67	0,3547
Kif16b	103,73	-0,34	0,1980	0,07	0,8834	0,01	1,0000	-0,11	0,9304	-1,40	0,0000	0,07	0,9254	0,36	0,4257	-0,06	0,9672	-1,11	0,0000
Kif18a	3,69	0,61	0,3133	0,21	0,8031	0,05	NA	0,01	NA	-0,46	0,4740	-0,55	0,5170	-0,27	NA	-0,35	NA	-0,90	0,1907
Kif18b	2,72	-0,58	0,3275	0,36	0,6422	0,05	NA	0,24	NA	1,00	0,0667	-0,06	NA	0,33	NA	0,51	NA	0,60	0,4309
Kif1a	160,11	-0,56	0,0497	1,08	0,0000	0,23	1,0000	-0,01	0,9918	-0,09	0,8057	1,13	0,0001	0,50	0,2058	0,45	0,3136	0,30	0,4279
Kif1b	927,33	-0,20	0,2017	-0,14	0,5475	-0,18	1,0000	0,12	0,8147	0,52	0,0000	-0,09	0,8297	0,07	0,8842	0,18	0,6757	0,60	0,0003
Kif1c	519,53	0,31	0,1584	-0,33	0,1964	-0,05	1,0000	-0,25	0,5864	-0,16	0,6287	-0,58	0,0317	-0,41	0,1874	-0,19	0,7075	-0,18	0,7003
Kif20a	6,69	-0,02	0,9851	-0,06	0,9587	0,04	NA	-0,05	NA	0,14	0,8635	-0,71	0,3501	0,11	NA	0,00	1,0000	0,37	0,6486
Kif20b	12,83	0,16	0,8217	0,84	0,0725	0,29	NA	0,23	0,8797	0,41	0,4453	-0,41	0,6658	0,18	NA	0,09	0,9659	-0,19	0,7864
Kif21a	59,24	0,13	0,7790	0,24	0,6334	-0,11	1,0000	-0,01	0,9968	0,28	0,4377	-0,59	0,2025	-0,16	0,8390	-0,01	0,9936	0,30	0,4528
Kif21b	3,39	0,52	0,4123	2,25	0,0000	0,09	NA	-0,02	NA	-0,20	0,8056	0,89	0,2078	-0,19	NA	-0,36	NA	-0,72	0,3264
Kif22	1,73	-0,07	NA	0,28	0,7082	0,09	NA	-0,06	NA	-0,34	0,6099	0,28	NA	-0,22	NA	0,02	NA	-0,23	NA
Kif23	3,38	-0,36	0,6150	0,70	0,2435	0,12	NA	0,53	NA	0,76	0,1936	0,87	0,2177	0,40	NA	0,37	NA	0,66	0,3822
Kif24	2,41	-0,26	0,7384	0,56	0,3893	-0,13	NA	-0,10	NA	0,23	0,7712	0,49	0,5658	-0,12	NA	-0,23	NA	-0,16	NA
Kif26a	3,07	-0,26	0,7275	0,66	0,2794	0,09	NA	0,04	NA	-0,54	0,4135	0,23	0,8292	0,00	NA	-0,25	NA	-0,50	NA
Kif26b	182,70	-0,62	0,0033	-0,17	0,5824	-0,10	1,0000	-0,68	0,0009	-0,75	0,0186	0,00	0,9976	0,11	0,8785	-0,06	0,9608	-0,20	0,7416
Kif2a	137,77	-0,05	0,8945	-0,05	0,9288	-0,06	1,0000	0,23	0,7414	0,38	0,1144	-0,09	0,8816	0,26	0,5600	0,08	0,9345	0,45	0,0631
Kif3a	108,71	-0,75	0,0000	0,20	0,5198	-0,04	1,0000	0,23	0,6859	0,39	0,0494	0,57	0,1181	0,39	0,3640	0,44	0,3380	0,99	0,0000
Kif3b	62,71	0,08	0,8634	0,30	0,4523	0,11	1,0000	-0,11	0,9454	0,07	0,8507	0,21	0,7501	0,09	0,9119	0,15	0,8756	0,02	0,9696
Kif3c	37,11	0,06	0,9223	0,11	0,8638	0,05	1,0000	-0,67	0,1420	-0,71	0,0533	0,22	0,7848	-0,21	0,7903	-0,97	0,0470	-0,55	0,2076
Kif4	3,32	-0,17	0,8455	0,32	0,6947	0,10	NA	0,10	NA	0,24	0,7620	-0,46	NA	0,19	NA	0,14	NA	-0,33	0,7019
Kif5a	13,18	0,27	0,6994	-0,04	0,9730	-0,21	NA	-0,42	0,6175	0,12	0,8692	-0,66	0,3860	0,03	NA	-0,37	0,7556	-0,72	0,2482
Kif5b	1194,07	0,69	0,0000	-0,24	0,3145	-0,07	1,0000	0,00	0,9968	0,15	0,5559	-0,69	0,0032	-0,31	0,3859	-0,40	0,1741	-0,31	0,4618

GeneID	CTL	ET-1 vs CTL		SAHA vs CTL		JS28 vs CTL		BSP vs CTL		JQ1 vs CTL		ET-1+SAHA vs ET1		ET-1+JS28 vs ET1		ET-1+BSP vs ET1		ET-1+JQ1 vs ET1	
	mean	log2(FC)	P-adj	log2(FC)	P-adj	log2(FC)	P-adj	log2(FC)	P-adj	log2(FC)	P-adj	log2(FC)	P-adj	log2(FC)	P-adj	log2(FC)	P-adj	log2(FC)	P-adj
Kif5c	10,56	1,10	0,0102	2,70	0,0000	0,11	NA	0,66	0,2309	1,18	0,0200	1,69	0,0000	-0,34	NA	-0,02	0,9931	0,75	0,0862
Kif6	1,79	-0,15	NA	0,75	0,1883	0,15	NA	0,00	NA	-0,27	0,7171	0,59	0,4363	-0,16	NA	0,02	NA	0,01	NA
Kif7	14,86	-0,26	0,6905	0,10	0,9119	0,03	NA	0,06	0,9853	-0,06	0,9372	-0,33	0,7420	0,15	NA	-0,26	0,8521	0,00	0,9982
Kif9	1,25	-0,29	NA	1,02	0,0442	0,15	NA	-0,16	NA	-0,22	0,7671	1,03	0,0906	0,33	NA	0,08	NA	0,45	NA
Kifap3	102,32	-0,20	0,5447	-0,08	0,8595	-0,01	1,0000	-0,26	0,6648	-0,97	0,0000	0,15	0,8135	0,21	0,6966	-0,31	0,6114	-0,63	0,0435
Kifc1	4,28	-0,41	0,5548	0,26	0,7679	-0,05	NA	-0,16	NA	-0,22	0,7811	-0,11	0,9353	-0,13	NA	-0,21	NA	0,06	0,9592
Kifc2	5,00	0,11	0,9054	1,65	0,0002	0,27	NA	0,22	NA	1,11	0,0394	0,67	0,3966	0,00	NA	-0,25	NA	0,66	0,3472
Kifc3	32,93	1,10	0,0007	0,22	0,7433	0,31	NA	-0,51	0,4638	-1,01	0,0243	-0,51	0,3863	-0,50	0,3845	-1,19	0,0062	-2,32	0,0000
Kifc5b	4,35	-0,73	0,2004	-0,14	0,8895	-0,16	NA	-0,19	NA	-0,30	0,6808	0,19	0,8669	0,20	NA	0,11	NA	0,42	0,6199
Kin	13,32	0,05	0,9540	0,19	0,8189	0,25	NA	0,20	0,9088	0,45	0,3722	0,34	0,7148	0,50	NA	0,37	0,7235	0,73	0,1057
Kirrel	68,30	0,23	0,6052	-0,39	0,3245	-0,31	1,0000	-0,46	0,3573	-0,24	0,4813	-0,43	0,4519	-0,40	0,4872	-0,55	0,3390	-0,49	0,2104
Kirrel3	3,15	0,08	0,9345	0,05	0,9678	-0,04	NA	0,11	NA	-0,08	0,9284	0,05	0,9719	-0,17	NA	0,26	NA	0,42	0,6065
Kiss1r	2,44	-0,51	0,4128	-0,08	0,9435	-0,12	NA	-0,04	NA	0,43	0,5407	0,31	NA	0,02	NA	0,31	NA	0,69	0,3536
Kitl	47,08	-0,47	0,1109	-0,53	0,1235	-0,19	1,0000	0,27	0,7108	0,07	0,8759	-0,14	0,8686	0,30	0,6355	0,14	0,9130	0,26	0,6735
Kiz	49,90	-0,76	0,0079	0,23	0,6426	0,02	1,0000	0,02	0,9901	-0,46	0,1657	0,52	0,3267	0,60	0,2116	0,36	0,6246	-0,19	0,7281
Klc1	205,07	-0,11	0,7534	0,26	0,3086	0,06	1,0000	-0,07	0,9614	0,28	0,2433	0,26	0,5667	0,03	0,9728	0,13	0,8760	0,40	0,2664
Klc2	63,97	0,60	0,0426	-0,05	0,9469	-0,15	1,0000	-0,12	0,9500	0,39	0,2317	-0,43	0,3664	-0,96	0,0060	-0,58	0,1974	-0,35	0,3111
Klc4	27,83	-0,78	0,0320	-0,24	0,6865	-0,10	1,0000	-0,45	0,5124	-0,23	0,6133	0,56	0,3930	0,20	NA	0,13	0,9345	0,21	0,7321
Klf10	20,62	-0,26	0,6848	0,40	0,5194	0,23	NA	0,04	0,9853	-0,21	0,7363	0,44	0,5534	0,09	NA	-0,24	0,8567	-0,07	0,9426
Klf11	74,58	-0,67	0,0475	-0,66	0,0624	-0,24	1,0000	-0,18	0,8875	-0,09	0,8294	-0,47	0,4390	0,28	0,6774	0,20	0,8571	0,44	0,2903
Klf12	17,59	-0,91	0,0155	0,57	0,1958	-0,06	NA	-0,51	0,4496	-0,88	0,0347	1,10	0,0376	0,55	NA	-0,64	0,4514	-0,26	0,7397
Klf13	74,81	0,31	0,3697	0,47	0,1904	0,35	0,9702	0,21	0,8369	0,40	0,1709	-0,23	0,7035	-0,12	0,8665	0,05	0,9699	0,10	0,8143
Klf15	15,29	-0,71	0,1149	-0,17	0,8333	0,25	NA	-0,06	0,9853	-0,17	0,7965	0,32	0,7402	0,55	NA	0,68	0,3487	0,80	0,1717
Klf16	10,11	0,11	0,8916	0,34	0,6565	0,02	NA	-0,07	0,9805	0,56	0,2924	-0,01	0,9957	-0,41	NA	-0,21	0,8960	0,44	0,4976
Klf2	5,89	-0,27	0,7275	0,38	0,6021	-0,15	NA	0,00	0,9998	0,35	0,5920	0,58	0,4856	0,10	NA	0,34	0,7935	0,96	0,1093
Klf3	65,20	0,23	0,5698	0,04	0,9550	0,17	1,0000	0,28	0,7345	0,76	0,0123	-0,14	0,8460	0,12	0,8779	0,01	0,9971	0,43	0,1948
Klf4	4,56	0,44	0,5112	0,17	0,8491	0,12	NA	0,15	NA	1,31	0,0123	-0,24	0,8318	-0,24	NA	0,01	0,9967	0,89	0,1187
Klf5	17,80	0,92	0,0486	-0,48	0,4869	-0,03	NA	0,02	0,9925	1,27	0,0038	-1,12	0,0497	-1,00	NA	-0,73	0,2925	0,87	0,0628
Klf6	153,39	0,23	0,6008	-0,85	0,0047	-0,12	1,0000	-0,26	0,7630	0,06	0,8796	-0,76	0,0417	-0,51	0,2427	-0,88	0,0133	0,03	0,9566
Klf7	10,21	0,46	0,4380	0,18	0,8421	-0,09	NA	0,12	0,9626	-0,02	0,9783	-0,53	0,5192	-0,64	NA	-0,67	0,4020	0,03	0,9754
Klf8	9,91	0,04	0,9649	-0,42	0,5626	-0,12	NA	-0,31	0,7796	-0,37	0,5682	-0,44	0,6392	-0,37	NA	-0,69	0,3872	-0,74	0,2308
Klf9	56,66	0,13	0,8304	0,27	0,6810	0,38	0,9896	0,36	0,6902	-0,21	0,6940	0,41	0,4376	0,49	0,3109	0,51	0,3303	-0,47	0,2448
Klhdc1	27,01	-0,43	0,2932	-0,72	0,0950	0,04	1,0000	-0,17	0,9220	-0,48	0,2471	-0,50	0,4806	0,30	0,6852	0,02	0,9936	-0,21	0,7229
Klhdc10	106,22	-0,01	0,9927	0,45	0,1857	-0,02	1,0000	-0,11	0,9449	0,05	0,8983	0,65	0,0758	0,21	0,7226	-0,01	0,9931	0,12	0,7985
Klhdc2	129,32	0,03	0,9406	-0,46	0,0836	-0,12	1,0000	0,00	0,9998	-0,23	0,4642	-0,19	0,7236	-0,17	0,7445	0,00	1,0000	-0,42	0,1605
Klhdc3	87,66	-0,23	0,5376	0,00	0,9981	-0,10	1,0000	-0,26	0,7449	0,33	0,2281	0,05	0,9500	-0,17	0,7939	0,25	0,7099	0,40	0,2391
Klhdc4	14,64	0,06	0,9398	0,08	0,9337	-0,15	NA	0,09	0,9742	0,20	0,7465	-0,01	0,9957	0,03	NA	-0,16	0,9228	-0,10	0,8978
Klhdc7a	4,24	-0,30	0,6861	-0,43	0,5174	-0,03	NA	-0,25	NA	-1,15	0,0303	-0,62	0,3856	0,25	NA	-0,36	NA	-0,97	0,1340
Klhdc8b	92,72	-1,15	0,0000	-0,52	0,0670	-0,24	1,0000	0,02	0,9853	-0,47	0,0883	0,29	0,6822	0,19	0,8070	0,39	0,5858	0,27	0,6540
Klhl10	2,59	-0,44	0,5046	0,15	0,8722	-0,06	NA	0,21	NA	0,27	0,7303	0,46	0,5876	0,10	NA	0,58	NA	0,57	0,4596
Klhl11	22,05	-0,41	0,3956	0,30	0,6330	0,21	NA	0,59	0,2720	0,09	0,8778	0,22	0,8198	0,44	NA	0,66	0,2852	0,42	0,4186
Klhl12	42,67	0,19	0,6615	0,03	0,9730	0,12	1,0000	0,41	0,4925	0,27	0,5044	-0,32	0,6080	0,00	0,9976	-0,01	0,9946	0,32	0,3660
Klhl13	182,36	0,07	0,8749	-0,38	0,1603	-0,29	0,9654	-0,26	0,6295	-0,15	0,5898	-0,13	0,8392	-0,14	0,8232	0,07	0,9496	0,19	0,5953
Klhl15	19,05	-0,52	0,2820	-0,05	0,9590	-0,29	NA	0,02	0,9901	-0,15	0,7871	0,34	0,7110	0,02	NA	0,06	0,9833	-0,09	0,9168
Klhl17	21,68	-0,18	0,7792	-0,14	0,8492	0,21	NA	0,01	0,9968	-0,80	0,0575	-0,14	0,9026	0,02	NA	0,24	0,8511	-0,42	0,5511

GeneID	CTL	ET-1 vs CTL		SAHA vs CTL		JS28 vs CTL		BSP vs CTL		JQ1 vs CTL		ET-1+SAHA vs ET1		ET-1+JS28 vs ET1		ET-1+BSP vs ET1		ET-1+JQ1 vs ET1	
	mean	log2(FC)	P-adj	log2(FC)	P-adj	log2(FC)	P-adj	log2(FC)	P-adj	log2(FC)	P-adj	log2(FC)	P-adj	log2(FC)	P-adj	log2(FC)	P-adj	log2(FC)	P-adj
Klhl18	32,97	0,23	0,6454	0,19	0,7519	0,04	NA	0,00	0,9997	0,45	0,1923	-0,20	0,8146	-0,27	0,7080	-0,24	0,8261	0,38	0,3790
Klhl2	76,98	0,28	0,3751	-0,37	0,2891	0,14	1,0000	0,18	0,8610	-0,13	0,7331	-0,52	0,2383	-0,13	0,8618	-0,09	0,9416	-0,06	0,9286
Klhl20	50,65	-0,16	0,7422	0,13	0,8224	0,07	1,0000	0,25	0,7627	-0,05	0,9162	0,10	0,9171	0,21	0,7736	0,23	0,8203	0,32	0,4568
Klhl21	73,56	-0,31	0,3320	-0,73	0,0120	-0,05	1,0000	-0,17	0,8782	0,32	0,2677	-0,27	0,6699	-0,09	0,9131	0,41	0,4409	0,53	0,0522
Klhl22	29,28	-0,07	0,9300	0,32	0,6189	0,31	1,0000	0,05	0,9853	-0,04	0,9460	0,19	0,8292	0,07	0,9432	-0,07	0,9721	-0,03	0,9665
Klhl23	100,96	0,23	0,4958	-0,39	0,3131	-0,04	1,0000	0,12	0,9430	-0,23	0,5903	-0,30	0,5192	0,11	0,8646	-0,14	0,8722	-0,24	0,5264
Klhl24	882,45	-0,73	0,0000	-0,60	0,0004	-0,08	1,0000	0,04	0,9764	-0,01	0,9796	0,21	0,5488	0,71	0,0005	0,67	0,0009	0,49	0,0805
Klhl25	11,26	0,33	0,6041	0,57	0,3271	-0,05	NA	0,00	0,9998	0,31	0,6158	0,13	0,9156	-0,27	NA	-0,13	0,9414	-0,54	0,3750
Klhl26	48,69	-0,35	0,3688	0,17	0,7598	0,08	1,0000	-0,18	0,8987	-0,03	0,9590	0,52	0,3155	0,09	0,9243	0,11	0,9328	0,27	0,5278
Klhl28	62,35	-0,07	0,8910	0,25	0,5457	-0,04	1,0000	0,25	0,7458	0,27	0,4151	0,31	0,6100	0,28	0,6413	0,33	0,6585	0,48	0,2973
Klhl29	5,42	0,20	0,8044	0,68	0,2639	0,09	NA	0,04	NA	0,88	0,1122	0,49	0,5838	-0,46	NA	-0,01	0,9967	1,00	0,0626
Klhl3	4,51	-0,43	0,5326	-0,12	0,9057	0,08	NA	-0,19	NA	-0,85	0,1601	0,33	0,7598	0,13	NA	-0,13	NA	-0,65	0,3911
Klhl30	92,02	-0,12	0,8148	-0,30	0,4668	0,02	1,0000	-0,52	0,2125	-1,84	0,0000	-0,16	0,8292	-0,13	0,8707	-0,16	0,8772	-1,36	0,0002
Klhl31	226,79	0,39	0,1768	-1,06	0,0002	-0,18	1,0000	-0,96	0,0009	-1,83	0,0000	-0,88	0,0006	-0,07	0,9073	-0,89	0,0003	-1,51	0,0000
Klhl32	1,07	0,05	NA	0,71	0,1787	0,14	NA	0,20	NA	0,33	0,6324	0,27	NA	0,04	NA	0,21	NA	0,05	NA
Klhl36	3,75	-0,35	0,6360	0,58	0,3638	0,10	NA	-0,23	NA	-0,57	0,3992	0,54	0,5318	-0,07	NA	-0,14	NA	-0,15	0,8811
Klhl38	60,79	-0,81	0,0095	0,10	0,8466	-0,02	1,0000	-0,52	0,2253	-0,92	0,0010	0,78	0,1015	0,47	0,4336	0,07	0,9686	-0,22	0,7223
Klhl4	2,43	-0,32	0,6552	-0,11	0,9070	-0,08	NA	-0,11	NA	-0,54	0,4104	0,26	NA	0,16	NA	-0,18	NA	-0,45	NA
Klhl40	7,63	-0,30	0,6750	-1,23	0,0113	-0,36	NA	-0,46	0,5507	-1,34	0,0123	-0,28	0,7987	-0,10	NA	-0,26	0,8524	-0,78	0,2742
Klhl41	16,69	-1,06	0,0229	-1,67	0,0001	-0,65	NA	-1,04	0,0084	-2,61	0,0000	-0,73	0,3358	-0,38	NA	-0,64	0,4266	-1,09	0,1001
Klhl42	36,35	-0,12	0,8409	-0,51	0,2978	-0,04	1,0000	-0,01	0,9944	-0,06	0,9124	-0,69	0,2073	-0,39	0,5316	-0,21	0,8536	-0,27	0,5727
Klhl5	18,19	-0,22	0,7272	0,79	0,0528	0,19	NA	-0,56	0,3857	-1,34	0,0030	0,62	0,3428	0,18	NA	-0,21	0,8849	-0,67	0,2542
Klhl6	6,19	-0,29	0,7082	0,31	0,7015	-0,02	NA	-0,38	NA	-1,43	0,0076	0,85	0,2341	0,27	NA	-0,45	NA	-0,81	0,2569
Klhl7	199,75	-0,19	0,4527	0,06	0,8895	0,04	1,0000	0,22	0,6921	-0,11	0,7198	0,54	0,0599	0,58	0,0322	0,33	0,4281	0,01	0,9951
Klhl8	21,35	-0,19	0,7454	0,14	0,8532	0,15	NA	0,07	0,9794	0,17	0,7416	0,38	0,6250	0,14	NA	0,16	0,9170	0,48	0,3231
Klhl9	143,80	-0,07	0,8850	-0,37	0,2794	-0,20	1,0000	-0,08	0,9634	0,03	0,9370	-0,11	0,8689	0,02	0,9834	-0,06	0,9617	-0,04	0,9512
Klk1b22	1,42	-0,71	NA	-0,42	0,4848	-0,04	NA	-0,07	NA	1,06	0,0604	0,10	NA	0,38	NA	0,28	NA	1,48	0,0126
Klrg2	7,92	-0,30	0,6968	-0,04	0,9781	-0,29	NA	-0,49	0,4563	-0,19	0,8086	0,18	0,8805	-0,34	NA	-0,14	0,9388	0,47	0,5143
Kmt2a	289,87	-0,53	0,0140	0,07	0,8721	-0,23	1,0000	-0,02	0,9853	0,31	0,2470	-0,22	0,6448	0,07	0,9089	0,26	0,6069	0,63	0,0335
Kmt2b	94,71	-0,25	0,4743	-0,39	0,3073	-0,07	1,0000	-0,12	0,9380	0,50	0,3728	-0,87	0,0124	-0,21	0,7169	0,16	0,8496	0,78	0,0733
Kmt2c	378,95	-0,56	0,0015	-0,08	0,8323	-0,18	1,0000	0,11	0,8937	0,21	0,3439	-0,14	0,7803	0,21	0,6355	0,42	0,2151	0,64	0,0038
Kmt2d	460,16	-0,20	0,6010	-0,28	0,3586	-0,31	0,8985	-0,36	0,3719	0,07	0,8867	-0,76	0,0289	-0,26	0,6251	-0,03	0,9911	0,41	0,3893
Kmt2e	269,04	-0,36	0,1137	0,07	0,8547	-0,08	1,0000	0,03	0,9853	-0,09	0,8086	0,15	0,7746	0,40	0,2832	0,33	0,4637	0,15	0,7281
Knop1	92,78	0,06	0,9032	-0,20	0,6836	0,04	1,0000	-0,01	0,9948	0,38	0,1921	-0,27	0,6224	0,02	0,9837	-0,25	0,7189	0,20	0,6221
Knstrn	7,04	-0,34	0,6377	0,22	0,7998	0,34	NA	0,16	0,9417	0,57	0,3034	-0,03	0,9840	0,09	NA	-0,07	NA	0,42	0,5962
Kntc1	4,43	0,22	0,7831	0,14	0,8836	0,19	NA	0,12	NA	0,04	0,9632	-0,52	0,5551	-0,30	NA	-0,01	NA	-0,17	0,8584
Kpna1	256,05	0,47	0,0155	-0,17	0,6440	-0,05	1,0000	0,20	0,7688	0,34	0,1775	-0,13	0,7890	-0,15	0,7480	-0,14	0,8285	0,17	0,6619
Kpna2	39,62	0,67	0,0291	0,47	0,2556	0,09	1,0000	-0,12	0,9505	0,20	0,6661	0,07	0,9374	-0,20	0,7856	0,01	0,9980	-0,11	0,8478
Kpna3	209,45	0,24	0,2832	0,44	0,0333	0,16	1,0000	0,46	0,0599	0,52	0,0052	0,32	0,4078	0,10	0,8600	0,30	0,4811	0,47	0,0749
Kpna4	271,21	0,28	0,3068	-0,49	0,0137	-0,36	0,4885	0,05	0,9746	0,17	0,4952	-0,71	0,0257	-0,22	0,6780	-0,14	0,8592	0,10	0,8159
Kpna6	251,33	-0,02	0,9498	0,05	0,9039	0,07	1,0000	-0,11	0,8966	0,01	0,9858	0,14	0,7603	0,00	0,9963	-0,01	0,9931	-0,05	0,8894
Kpnb1	543,76	0,20	0,3362	0,05	0,8895	0,05	1,0000	0,15	0,8064	0,16	0,4043	-0,21	0,5667	-0,09	0,8539	0,11	0,8494	0,07	0,8143
Kptn	18,26	0,17	0,8051	-0,46	0,4694	-0,15	NA	-0,78	0,1068	-0,27	0,6558	-0,01	0,9927	-0,17	NA	-0,27	0,8285	-0,88	0,0769
Kras	59,04	0,37	0,2515	0,52	0,1329	0,05	1,0000	0,25	0,7887	0,59	0,0360	0,22	0,7155	0,12	0,8732	0,04	0,9824	0,30	0,4113
Krba1	57,32	-0,33	0,3213	-0,31	0,4602	0,19	1,0000	-0,15	0,9125	-0,96	0,0008	-0,04	0,9648	0,13	0,8620	0,11	0,9308	-0,90	0,0285

GeneID	CTL	ET-1 vs CTL		SAHA vs CTL		JS28 vs CTL		BSP vs CTL		JQ1 vs CTL		ET-1+SAHA vs ET1		ET-1+JS28 vs ET1		ET-1+BSP vs ET1		ET-1+JQ1 vs ET1	
	mean	log2(FC)	P-adj	log2(FC)	P-adj	log2(FC)	P-adj	log2(FC)	P-adj	log2(FC)	P-adj	log2(FC)	P-adj	log2(FC)	P-adj	log2(FC)	P-adj	log2(FC)	P-adj
Krcc1	194,28	0,26	0,1808	-0,27	0,3325	0,08	1,0000	0,19	0,7553	0,23	0,3076	-0,34	0,3330	0,19	0,6719	0,15	0,7992	0,01	0,9894
Kremen1	130,98	0,36	0,1421	0,41	0,1367	0,03	1,0000	0,12	0,9300	-0,09	0,8033	-0,09	0,8970	-0,42	0,2963	-0,07	0,9457	-0,28	0,5004
Kri1	28,91	0,18	0,7209	0,13	0,8543	0,09	NA	0,01	0,9956	-0,08	0,8799	-0,34	0,6412	-0,38	0,5639	-0,25	0,8224	-0,09	0,9006
Krit1	193,12	-0,04	0,9123	-0,24	0,3666	-0,10	1,0000	-0,36	0,2900	-0,34	0,0841	-0,08	0,8878	0,18	0,7158	0,01	0,9931	-0,16	0,6378
Krr1	71,41	0,32	0,3735	0,02	0,9804	0,10	1,0000	0,14	0,9293	-0,08	0,8570	-0,21	0,7483	0,00	0,9969	-0,14	0,8934	-0,15	0,7351
Krt10	3,72	0,33	0,6497	-0,32	0,6485	0,00	NA	0,00	NA	0,24	0,7664	-0,49	0,5872	-0,10	NA	-0,16	NA	-0,60	0,4327
Krt18	1,34	0,13	NA	0,37	0,5527	0,19	NA	0,35	NA	0,04	0,9580	0,06	NA	-0,01	NA	-0,22	NA	-0,24	NA
Krt19	1,10	0,69	NA	0,02	NA	0,02	NA	NA	NA	NA	NA	-0,59	NA	-0,42	NA	-0,48	NA	-0,76	NA
Krt222	6,47	0,50	0,4272	0,59	0,3623	0,20	NA	0,00	NA	-0,81	0,1893	0,36	0,7183	0,47	NA	0,13	0,9483	-0,94	0,1497
Krt80	3,93	0,25	0,7511	-0,27	0,7228	-0,07	NA	-0,36	NA	-0,82	0,1699	-0,22	0,8514	-0,52	NA	-0,72	NA	-0,99	0,1383
Krtcap2	24,64	0,36	0,4452	0,04	0,9699	-0,17	NA	-0,28	0,8264	-0,01	0,9943	-0,02	0,9869	-0,54	0,3758	-0,41	0,6297	-0,13	0,8254
Ksr1	19,41	-0,91	0,0234	0,28	0,6402	0,23	NA	-0,26	0,8381	-0,18	0,7530	0,65	0,3691	0,28	NA	0,17	0,9202	-0,07	0,9430
Ksr2	1,65	-0,39	NA	0,90	0,0931	-0,05	NA	0,13	NA	0,91	0,1251	0,55	NA	0,10	NA	0,39	NA	0,89	0,1937
Kti12	27,20	0,09	0,8938	-0,12	0,8731	-0,02	NA	-0,08	0,9764	0,26	0,5662	0,22	0,7966	-0,26	0,7382	-0,18	0,8990	0,14	0,8159
Ktn1	831,11	-0,08	0,7591	-0,33	0,0604	0,03	1,0000	0,08	0,9269	-0,16	0,4987	-0,50	0,0839	0,15	0,7263	0,18	0,7222	-0,10	0,8276
Kxd1	82,85	-0,27	0,3878	-0,36	0,2869	-0,10	1,0000	-0,36	0,5115	-0,19	0,6031	-0,33	0,5348	-0,03	0,9756	0,04	0,9790	-0,14	0,7902
Ky	1,60	-0,13	NA	0,14	0,8722	0,16	NA	-0,14	NA	-0,32	0,6446	0,35	NA	0,01	NA	-0,18	NA	-0,23	NA
L1cam	1,25	0,03	NA	-0,16	NA	-0,08	NA	-0,03	NA	-0,13	0,8643	-0,23	NA	-0,23	NA	0,00	NA	-0,15	NA
L2hgdh	44,18	-0,24	0,5897	0,16	0,7793	0,15	1,0000	0,09	0,9634	-0,07	0,8841	0,72	0,0959	0,34	0,5719	0,06	0,9730	0,09	0,8914
L3hypdh	3,91	-0,83	0,1234	0,39	0,6052	0,04	NA	-0,10	NA	-0,81	0,1906	0,83	0,2346	0,22	NA	0,37	NA	0,16	0,8653
L3mbtl2	31,12	0,20	0,6772	-0,01	0,9946	-0,11	NA	-0,32	0,7443	-1,13	0,0026	-0,42	0,5093	-0,68	0,1835	-0,64	0,2778	-1,20	0,0020
L3mbtl3	38,83	-0,10	0,8824	-0,06	0,9349	-0,04	1,0000	-0,38	0,6096	-0,82	0,0161	0,08	0,9394	-0,05	0,9622	-0,13	0,9300	-0,70	0,1242
I7Rn6	34,71	0,08	0,8846	-0,03	0,9759	-0,19	1,0000	-0,25	0,8355	0,09	0,8576	0,45	0,4036	0,04	0,9644	-0,13	0,9203	0,22	0,6248
Lacc1	8,76	0,01	0,9912	-0,03	0,9818	0,29	NA	-0,06	0,9853	0,27	0,6785	-0,14	0,9137	0,17	NA	-0,01	0,9991	0,09	0,9271
Lace1	26,71	0,34	0,4387	-0,39	0,4873	-0,17	NA	-0,49	0,4735	-1,50	0,0003	-0,91	0,0949	-0,46	0,4652	-0,84	0,1134	-1,56	0,0002
Lactb	18,48	0,23	0,7157	0,64	0,2070	0,19	NA	0,24	0,8731	0,14	0,8340	0,27	0,7607	-0,12	NA	0,28	0,8018	0,39	0,4365
Lactb2	39,71	0,46	0,2305	0,26	0,6330	0,34	1,0000	-0,04	0,9853	-0,23	0,6087	0,01	0,9952	0,31	0,6185	-0,02	0,9936	-0,68	0,0863
Lad1	1,18	-0,04	NA	0,26	0,7244	0,00	NA	0,02	NA	-0,24	NA	0,61	NA	-0,13	NA	0,07	NA	0,29	0,7302
Lage3	21,64	0,15	0,8139	-0,27	0,6990	-0,04	NA	-0,11	0,9634	-0,28	0,5971	-0,26	0,7776	-0,26	0,7481	-0,47	0,5858	0,00	0,9988
Lama2	343,13	-0,53	0,0555	0,01	0,9906	0,09	1,0000	0,50	0,1131	-0,51	0,0173	0,07	0,9247	0,63	0,0710	0,95	0,0009	-0,13	0,7541
Lama3	2,57	-0,88	0,0856	1,47	0,0009	0,14	NA	0,23	NA	-0,79	0,2027	0,67	NA	0,26	NA	0,16	NA	-0,14	NA
Lama4	71,68	-0,35	0,2389	0,28	0,4390	-0,01	1,0000	-0,10	0,9469	-1,88	0,0000	0,42	0,3616	0,55	0,1752	0,12	0,9119	-1,43	0,0000
Lama5	239,04	-0,28	0,3000	0,90	0,0000	0,31	0,9488	0,32	0,5028	0,17	0,5682	0,32	0,4054	-0,17	0,7100	0,29	0,4868	0,30	0,3619
Lamb1	263,52	-0,15	0,7527	-0,27	0,5548	-0,34	0,9896	-0,18	0,8797	-0,01	0,9779	-0,26	0,6250	-0,11	0,8618	0,14	0,8665	0,23	0,5156
Lamb2	334,91	-0,15	0,5235	0,28	0,1826	0,13	1,0000	0,09	0,9287	-0,01	0,9767	0,02	0,9714	-0,10	0,8504	0,19	0,7174	-0,02	0,9530
Lamb3	1,24	0,44	NA	0,39	0,4452	0,09	NA	0,01	NA	-0,09	NA	0,13	0,9201	-0,06	NA	-0,04	NA	-0,42	NA
Lamc1	618,42	0,18	0,4039	0,02	0,9695	0,25	0,9488	0,40	0,1061	0,24	0,1803	-0,25	0,4706	-0,06	0,9138	0,05	0,9526	0,04	0,9006
Lamc2	17,33	0,39	0,4322	0,00	0,9992	0,28	NA	-0,55	0,4164	-1,53	0,0011	0,41	0,5603	-0,15	NA	-1,11	0,0362	-2,30	0,0000
Lamp1	587,88	-0,01	0,9833	0,43	0,0376	0,06	1,0000	0,19	0,7308	0,72	0,0000	0,74	0,0130	0,27	0,5440	0,39	0,3595	0,62	0,0121
Lamp2	524,19	-0,14	0,6520	0,19	0,5509	-0,03	1,0000	0,25	0,6028	0,45	0,0410	0,43	0,1664	0,18	0,6733	0,22	0,6577	0,33	0,2562
Lamtor1	42,57	0,03	0,9559	-0,31	0,5509	-0,22	1,0000	-0,29	0,7495	0,28	0,4587	-0,14	0,8730	-0,48	0,3821	-0,21	0,8418	0,15	0,7494
Lamtor2	17,79	0,00	0,9994	-0,14	0,8622	-0,05	NA	0,04	0,9853	-0,15	0,8178	0,27	0,7734	-0,03	NA	0,08	0,9726	0,00	0,9988
Lamtor3	66,55	0,20	0,6237	0,09	0,8737	0,02	1,0000	-0,16	0,9040	-0,15	0,6889	0,12	0,8745	-0,19	0,7833	-0,26	0,7410	-0,28	0,5445
Lamtor4	19,44	-0,18	0,7882	-0,23	0,7712	-0,06	NA	-0,06	0,9853	0,12	0,8444	0,01	0,9957	-0,22	NA	0,39	0,6863	0,12	0,8597
Lamtor5	32,02	-0,18	0,7314	0,18	0,7674	0,26	1,0000	0,00	0,9988	-0,71	0,0592	0,55	0,3262	0,38	0,5384	0,07	0,9686	-0,33	0,5067

GeneID	CTL	ET-1 vs CTL		SAHA vs CTL		JS28 vs CTL		BSP vs CTL		JQ1 vs CTL		ET-1+SAHA vs ET1		ET-1+JS28 vs ET1		ET-1+BSP vs ET1		ET-1+JQ1 vs ET1	
	mean	log2(FC)	P-adj	log2(FC)	P-adj	log2(FC)	P-adj	log2(FC)	P-adj	log2(FC)	P-adj	log2(FC)	P-adj	log2(FC)	P-adj	log2(FC)	P-adj	log2(FC)	P-adj
Lanc1	66,61	0,01	0,9867	0,28	0,4535	0,08	1,0000	0,01	0,9972	0,22	0,4643	0,31	0,5488	-0,23	0,7036	-0,05	0,9745	0,01	0,9906
Lanc2	28,30	-0,38	0,3550	-0,33	0,5253	-0,34	NA	0,08	0,9746	-0,72	0,0511	0,00	0,9993	0,34	0,6185	-0,01	0,9989	-0,47	0,3769
Lanc3	26,45	0,37	0,3864	0,35	0,5230	0,07	NA	0,07	0,9798	-0,47	0,2851	0,31	0,6734	0,18	0,8320	0,12	0,9334	-0,35	0,4933
Lap3	46,87	0,37	0,3685	0,35	0,5114	0,04	1,0000	-0,14	0,9437	-0,27	0,5806	-0,19	0,7873	-0,39	0,4836	-0,80	0,0655	-0,72	0,0352
Laptm4a	326,44	-0,11	0,7057	-0,19	0,5599	-0,03	1,0000	-0,03	0,9853	0,01	0,9673	0,02	0,9699	0,03	0,9628	0,28	0,4823	0,02	0,9486
Laptm4b	119,41	0,10	0,7699	-0,24	0,4668	-0,03	1,0000	-0,10	0,9437	-0,26	0,3461	-0,14	0,8299	-0,01	0,9888	-0,27	0,6384	-0,30	0,3068
Large	201,93	0,34	0,0980	0,22	0,4226	0,12	1,0000	0,37	0,2044	0,37	0,0384	-0,03	0,9586	-0,38	0,3199	-0,01	0,9938	0,32	0,2031
Larp1	485,79	0,44	0,0677	-0,11	0,7170	-0,14	1,0000	-0,23	0,5216	0,31	0,1253	-0,69	0,0381	-0,64	0,0531	-0,67	0,0396	0,00	0,9982
Larp1b	37,34	0,84	0,0026	0,61	0,1294	0,01	NA	0,45	0,4817	0,82	0,0066	0,11	0,8921	0,05	0,9540	0,18	0,8525	0,44	0,2610
Larp4	237,05	0,35	0,0891	-0,14	0,7320	-0,05	1,0000	0,02	0,9855	0,20	0,4339	-0,37	0,2372	-0,03	0,9559	-0,13	0,8472	0,01	0,9877
Larp4b	252,56	-0,09	0,7534	-0,14	0,6635	-0,19	1,0000	-0,32	0,3527	-0,06	0,8215	0,00	0,9981	0,00	0,9963	-0,26	0,5610	0,10	0,7586
Larp7	45,79	0,05	0,9370	-0,32	0,4740	-0,03	1,0000	0,03	0,9853	-0,25	0,5082	-0,26	0,7259	0,21	0,7844	0,04	0,9867	-0,55	0,1899
Lars	247,21	0,87	0,0004	0,12	0,7485	0,03	1,0000	-0,14	0,8670	-0,18	0,4279	-0,95	0,0066	-1,01	0,0020	-1,13	0,0004	-0,86	0,0154
Lars2	1352,69	-0,11	0,9032	-0,44	0,5297	-0,21	1,0000	-0,31	0,7308	-0,42	0,5641	-0,46	0,3616	-1,00	0,0020	-0,49	0,2925	-0,07	0,9440
Las1l	113,49	0,10	0,8048	0,31	0,3680	0,13	1,0000	0,11	0,9399	0,15	0,6319	-0,07	0,9281	-0,04	0,9634	0,11	0,9074	0,14	0,7108
Lasp1	32,95	-0,93	0,0103	-0,10	0,9075	0,12	1,0000	0,28	0,7948	0,56	0,1921	0,16	0,8718	0,41	0,5428	0,55	0,4300	1,21	0,0019
Lat2	4,56	-0,60	0,3187	-0,58	0,3625	-0,09	NA	-0,18	NA	0,13	0,8695	-0,30	0,7483	0,14	NA	0,16	NA	0,67	0,3608
Lats1	56,48	-0,11	0,8113	0,11	0,8470	0,13	1,0000	0,11	0,9472	0,03	0,9548	-0,14	0,8632	0,36	0,5045	0,08	0,9548	0,10	0,8641
Lats2	154,84	0,52	0,0103	-0,46	0,0709	-0,06	1,0000	-0,22	0,7553	0,25	0,3593	-0,52	0,1288	-0,08	0,9085	-0,02	0,9918	0,19	0,5703
Lbh	1554,42	0,40	0,0862	-0,23	0,4832	-0,03	1,0000	-0,33	0,4360	0,18	0,4712	-0,15	0,7579	-0,38	0,2427	-0,55	0,0356	0,11	0,7411
Lbr	55,33	0,37	0,3119	-0,13	0,8391	-0,08	1,0000	0,15	0,9250	0,24	0,5107	-0,45	0,4160	-0,30	0,6309	-0,16	0,8915	-0,16	0,7592
Lca5	12,51	0,42	0,4431	0,88	0,0545	-0,08	NA	-0,01	0,9932	-0,46	0,4581	0,18	0,8620	-0,24	NA	-0,73	0,3251	-0,78	0,1616
Lca5l	2,05	-0,40	NA	0,17	0,8532	-0,15	NA	-0,01	NA	0,05	0,9596	-0,04	NA	0,20	NA	-0,02	NA	0,95	0,1650
Lcat	3,18	0,11	0,8973	0,03	0,9804	-0,10	NA	0,03	NA	0,11	0,9008	-0,01	0,9976	0,04	NA	0,00	NA	-0,08	0,9431
Lclat1	435,28	0,42	0,0067	0,01	0,9818	-0,11	1,0000	-0,53	0,0099	-0,89	0,0000	-0,05	0,9239	-0,40	0,1636	-0,54	0,0338	-0,89	0,0000
Lcmt1	33,80	-0,22	0,6555	0,10	0,8873	0,00	1,0000	-0,07	0,9769	0,51	0,1149	0,68	0,1507	0,21	0,7798	0,33	0,7050	0,74	0,0373
Lcmt2	10,92	-0,02	0,9810	-0,09	0,9319	-0,08	NA	0,32	0,7690	0,57	0,2815	0,04	0,9789	-0,14	NA	0,16	0,9240	0,62	0,2798
Lcor	39,00	0,19	0,6520	-0,20	0,7261	-0,05	1,0000	-0,11	0,9556	0,35	0,2895	-0,55	0,3073	-0,23	0,7465	-0,09	0,9483	0,10	0,8301
Lcorl	57,03	-0,27	0,4446	0,07	0,9063	-0,02	1,0000	0,38	0,4665	0,43	0,1300	0,01	0,9962	0,57	0,2008	0,66	0,1052	0,62	0,1053
Ldb1	147,78	-0,50	0,0341	-0,23	0,4575	0,00	1,0000	-0,19	0,7778	0,26	0,5275	-0,09	0,9049	0,06	0,9320	0,25	0,7070	0,55	0,1709
Ldb3	2967,12	0,47	0,0415	-0,22	0,5823	-0,18	1,0000	0,01	0,9968	0,63	0,0097	-0,37	0,2150	-0,28	0,3823	0,18	0,6811	0,68	0,0028
Ldha	570,22	0,97	0,0120	-0,43	0,1898	-0,07	1,0000	0,08	0,9614	0,09	0,7826	-0,56	0,4684	-0,42	0,5746	-0,32	0,7916	-0,93	0,0074
Ldhb	351,50	0,03	0,9515	-0,06	0,9169	-0,05	1,0000	0,09	0,9472	-0,16	0,5997	0,27	0,5239	0,14	0,8070	0,30	0,5324	-0,11	0,7737
Ldlr	36,30	0,76	0,1602	-0,20	0,7983	-0,08	NA	-0,15	0,9084	-0,49	0,4631	-0,60	0,4769	-0,40	0,6144	-0,64	0,4424	-1,12	0,0388
Ldlrad3	21,18	0,12	0,8616	0,11	0,8953	-0,04	NA	0,27	0,8264	0,64	0,0875	-0,31	0,7270	-0,05	0,9634	0,10	0,9584	0,85	0,0331
Ldlrad4	18,83	-0,39	0,4205	0,44	0,3719	-0,01	NA	0,30	0,7688	-0,18	0,7729	0,16	0,8903	0,26	NA	0,12	0,9475	-0,03	0,9704
Ldlrap1	15,69	0,00	0,9977	0,41	0,5310	0,19	NA	0,16	0,9399	0,38	0,5106	0,42	0,6188	0,00	NA	0,44	0,6452	0,19	0,7905
Ldoc1l	5,19	0,28	0,7196	0,20	0,8309	0,11	NA	0,25	NA	0,16	0,8433	-0,05	0,9725	-0,12	NA	0,01	0,9967	-0,33	0,6872
Lef1	1,48	0,08	NA	0,31	0,6546	0,08	NA	0,00	NA	-0,16	0,8265	0,65	0,3935	0,43	NA	0,53	NA	0,23	0,8048
Lekr1	2,72	-0,72	0,2002	0,29	0,7279	-0,01	NA	-0,12	NA	-0,52	0,4587	1,01	0,1123	0,25	NA	0,00	NA	-0,22	NA
Lemd2	29,48	0,25	0,5826	0,06	0,9424	0,08	NA	0,16	0,9269	0,35	0,3656	-0,08	0,9371	-0,38	0,5676	-0,38	0,6427	-0,07	0,9130
Lemd3	66,28	0,03	0,9521	-0,37	0,3445	-0,07	1,0000	0,07	0,9742	-0,40	0,2219	-0,37	0,5170	-0,07	0,9394	-0,30	0,6999	-0,20	0,6876
Lenep	3,04	0,33	0,6520	0,10	0,9251	0,11	NA	0,03	NA	-0,59	0,3402	-0,40	0,6783	-0,25	NA	-0,42	NA	-0,86	0,2186
Leng1	15,59	0,38	0,4772	-0,25	0,7485	-0,19	NA	0,05	0,9853	0,48	0,3610	-0,63	0,3624	-0,56	NA	0,01	0,9971	0,31	0,5556
Leng8	182,43	-0,08	0,8500	0,17	0,7251	0,03	1,0000	0,04	0,9853	0,72	0,1500	-0,10	0,8888	0,13	0,8352	0,27	0,6213	0,84	0,0402

GeneID	CTL	ET-1 vs CTL		SAHA vs CTL		JS28 vs CTL		BSP vs CTL		JQ1 vs CTL		ET-1+SAHA vs ET1		ET-1+JS28 vs ET1		ET-1+BSP vs ET1		ET-1+JQ1 vs ET1	
	mean	log2(FC)	P-adj	log2(FC)	P-adj	log2(FC)	P-adj	log2(FC)	P-adj	log2(FC)	P-adj	log2(FC)	P-adj	log2(FC)	P-adj	log2(FC)	P-adj	log2(FC)	P-adj
Leng9	4,53	0,26	0,7507	-0,30	0,7037	-0,07	NA	-0,35	NA	-0,25	0,7571	-0,78	0,2831	-0,16	NA	-0,19	NA	-0,44	0,5861
Leo1	48,93	0,56	0,1137	-0,40	0,4444	-0,04	1,0000	0,11	0,9563	-0,05	0,9167	-1,24	0,0022	-0,50	0,3437	-0,52	0,3846	-0,56	0,1342
Lepre1	65,21	0,18	0,6377	0,09	0,8628	-0,04	1,0000	0,00	0,9972	0,29	0,3303	-0,14	0,8451	-0,11	0,8837	0,02	0,9921	0,40	0,2955
Leprel1	30,30	0,06	0,9239	-0,58	0,2625	0,04	NA	-0,51	0,4481	-0,65	0,1284	0,07	0,9432	-0,32	0,6418	-0,83	0,1176	-0,45	0,3057
Leprel2	1,62	-0,06	NA	-0,32	0,5727	-0,06	NA	-0,11	NA	-0,38	0,5489	-0,17	NA	-0,12	NA	-0,14	NA	-0,45	NA
Leprel4	31,40	0,29	0,5674	0,29	0,6313	0,11	NA	0,00	0,9988	-0,33	0,5045	0,50	0,3596	0,14	0,8687	-0,14	0,9238	-0,73	0,1044
Leprot	95,61	-0,13	0,7374	-0,55	0,0507	-0,19	1,0000	-0,07	0,9672	0,08	0,8215	-0,07	0,9307	0,15	0,8174	0,16	0,8583	0,15	0,7060
Leprotl1	111,86	0,31	0,2273	-0,16	0,7179	-0,04	1,0000	0,24	0,7107	0,29	0,2529	-0,12	0,8452	-0,12	0,8453	-0,10	0,9171	0,25	0,3762
Letm1	60,33	0,31	0,3641	0,15	0,7792	0,17	1,0000	0,12	0,9440	-0,19	0,6199	-0,02	0,9830	0,10	0,8988	0,16	0,8713	-0,34	0,3491
Letm2	20,49	-0,25	0,6822	0,20	0,7807	-0,02	NA	0,22	0,8797	0,13	0,8105	0,28	0,7598	0,37	NA	0,34	0,7445	0,04	0,9567
Letmd1	10,23	-0,59	0,2780	-0,45	0,4869	0,12	NA	0,07	0,9798	0,23	0,6928	0,47	0,6093	0,38	NA	0,27	0,8511	0,42	0,5592
Lgals1	17,67	0,78	0,0614	0,94	0,0298	0,41	NA	-0,36	0,7114	-0,78	0,1423	0,23	0,7937	-0,63	NA	-0,73	0,2633	-1,42	0,0023
Lgals3	2,86	0,94	0,0590	0,07	NA	-0,02	NA	-0,10	NA	0,12	NA	-0,67	0,3889	-0,71	NA	-0,73	NA	-0,78	0,2773
Lgals3bp	3,05	-0,34	0,6418	0,43	0,5547	0,11	NA	-0,17	NA	-0,27	0,7336	0,49	0,5760	0,12	NA	-0,35	NA	-0,44	NA
Lgals8	60,44	-0,05	0,9189	0,16	0,7517	0,06	1,0000	0,15	0,9086	-0,04	0,9222	-0,05	0,9583	0,00	0,9963	-0,48	0,4123	0,03	0,9639
Lgalsl	133,19	0,75	0,0008	-0,13	0,7923	0,15	1,0000	-0,12	0,9260	-1,57	0,0000	-0,41	0,3274	-0,21	0,7016	-0,56	0,1350	-1,94	0,0000
Lgmn	118,26	-0,20	0,5721	0,17	0,6593	0,15	1,0000	0,17	0,8381	0,71	0,0001	0,34	0,4757	0,02	0,9834	0,57	0,1289	0,73	0,0049
Lgr4	479,85	-0,04	0,9237	-0,42	0,1404	0,02	1,0000	-0,32	0,5135	-0,14	0,6455	-0,21	0,5911	-0,13	0,7649	-0,43	0,1338	-0,29	0,3506
Lhfp	101,66	0,25	0,5127	-0,10	0,8691	-0,26	1,0000	-0,23	0,8149	-0,14	0,7079	-0,06	0,9401	0,03	0,9689	0,14	0,8778	-0,22	0,5351
Lhfpd2	5,28	0,61	0,3085	0,93	0,0824	0,00	NA	0,09	NA	-0,51	0,4613	-0,14	0,9108	-0,76	NA	-0,36	0,7739	-1,40	0,0233
Lhpp	20,90	-0,17	0,7888	0,28	0,6593	-0,17	NA	-0,39	0,6695	-0,24	0,6470	0,24	0,8065	-0,15	NA	-0,08	0,9654	-0,16	0,8094
Lias	50,34	0,18	0,6861	0,17	0,7723	-0,24	1,0000	-0,34	0,6648	-0,67	0,0547	0,05	0,9573	-0,07	0,9361	-0,24	0,7915	-1,03	0,0126
Lif	5,63	0,43	0,5159	0,27	0,7485	0,07	NA	-0,30	NA	-0,63	0,3364	-0,38	0,7147	-0,07	NA	-0,83	NA	-0,90	0,1893
Lifr	96,91	-0,24	0,4373	-0,06	0,9180	0,14	1,0000	0,40	0,3402	0,90	0,0000	-0,05	0,9431	0,27	0,5834	0,96	0,0004	1,32	0,0000
Lig1	16,52	-0,64	0,1931	0,09	0,9272	-0,16	NA	-0,75	0,1352	-0,33	0,5719	0,10	0,9350	0,12	NA	-0,56	0,5374	0,10	0,9006
Lig3	154,61	-0,29	0,2288	-0,49	0,0599	0,05	1,0000	-0,18	0,8246	-0,24	0,3314	-0,32	0,4363	-0,02	0,9726	-0,08	0,9308	-0,19	0,5494
Lig4	62,77	0,10	0,8262	0,28	0,4853	-0,08	1,0000	-0,01	0,9968	-0,02	0,9588	0,31	0,5553	0,25	0,6674	0,01	0,9936	0,26	0,4997
Lima1	2,78	-0,73	0,1892	-0,20	0,8261	0,16	NA	-0,20	NA	-1,01	0,0799	0,49	NA	0,54	NA	-0,16	NA	0,29	NA
Limch1	52,68	0,30	0,5454	0,18	0,7947	-0,16	1,0000	-0,39	0,6430	-0,31	0,5036	-0,11	0,9009	-0,46	0,3947	-0,47	0,4724	-0,74	0,0883
Limd1	80,39	-0,01	0,9882	0,04	0,9369	0,04	1,0000	0,28	0,6285	0,41	0,0742	-0,08	0,9260	0,12	0,8779	0,10	0,9379	0,17	0,7084
Limd2	18,41	-0,46	0,3432	-0,28	0,6777	-0,11	NA	-0,43	0,6024	-0,24	0,6735	-0,07	0,9512	-0,08	NA	-0,37	0,7393	0,14	0,8556
Lime1	14,10	-0,22	0,7470	0,46	0,4251	-0,01	NA	0,16	0,9399	0,29	0,6077	0,12	0,9207	0,15	NA	0,38	0,7210	0,38	0,5692
Limk1	11,22	0,45	0,4295	1,31	0,0009	0,17	NA	0,37	0,7094	0,94	0,0301	0,47	0,5501	-0,20	NA	-0,03	0,9931	0,78	0,1309
Limk2	122,00	0,11	0,7660	0,49	0,0546	0,15	1,0000	-0,02	0,9901	0,06	0,8691	0,00	0,9986	-0,37	0,3823	-0,21	0,7644	-0,07	0,8754
Lims1	81,46	-0,10	0,8312	-0,11	0,8217	0,02	1,0000	0,07	0,9640	-0,26	0,3799	0,36	0,4824	0,31	0,5595	0,20	0,8257	-0,17	0,7411
Lims2	13,45	1,31	0,0010	-0,50	0,4602	0,21	NA	-0,06	NA	0,77	0,1455	-0,39	0,6277	-0,47	NA	-0,61	0,4114	0,07	0,9198
Lin28b	14,03	-0,20	0,7653	-0,27	0,7096	-0,13	NA	-0,07	0,9805	-1,79	0,0001	-0,24	0,8176	0,37	NA	-0,16	0,9264	-1,67	0,0021
Lin37	18,54	-0,31	0,5680	0,01	0,9943	-0,10	NA	-0,36	0,6982	-0,12	0,8454	0,17	0,8670	-0,21	NA	-0,32	0,7864	0,34	0,5532
Lin52	15,92	-0,19	0,7647	-0,16	0,8355	-0,06	NA	0,05	0,9853	0,02	0,9770	0,38	0,6531	0,38	NA	0,30	0,8004	0,19	0,7709
Lin54	42,24	0,11	0,8440	-0,07	0,9299	0,03	1,0000	0,28	0,7576	0,10	0,8323	-0,15	0,8610	0,30	0,6386	0,25	0,7975	0,28	0,5439
Lin7a	1,03	0,34	NA	0,45	0,3384	-0,03	NA	0,10	NA	0,15	NA	0,24	NA	-0,24	NA	-0,04	NA	0,38	0,6479
Lin7c	183,85	0,28	0,2549	-0,37	0,1553	-0,14	1,0000	0,09	0,9404	-0,15	0,6258	-0,46	0,1949	-0,06	0,9288	-0,25	0,6421	-0,32	0,4250
Lin9	12,66	-0,76	0,1130	-0,38	0,5727	-0,22	NA	-0,34	0,7454	-0,95	0,0473	0,24	0,8303	0,57	NA	0,00	1,0000	-0,50	0,5010
Lingo1	15,20	-1,10	0,0148	-0,11	0,9087	0,06	NA	0,33	0,7559	-0,50	0,3946	0,44	0,6401	0,49	NA	1,07	0,0642	0,21	0,8141
Lins	16,50	-0,01	0,9943	-0,41	0,5112	-0,35	NA	-0,37	0,6921	-0,16	0,8041	-0,03	0,9805	-0,24	NA	-0,55	0,5286	-0,06	0,9405

GeneID	CTL	ET-1 vs CTL		SAHA vs CTL		JS28 vs CTL		BSP vs CTL		JQ1 vs CTL		ET-1+SAHA vs ET1		ET-1+JS28 vs ET1		ET-1+BSP vs ET1		ET-1+JQ1 vs ET1	
	mean	log2(FC)	P-adj	log2(FC)	P-adj	log2(FC)	P-adj	log2(FC)	P-adj	log2(FC)	P-adj	log2(FC)	P-adj	log2(FC)	P-adj	log2(FC)	P-adj	log2(FC)	P-adj
Lipa	22,91	-0,38	0,4869	0,75	0,0624	0,30	NA	-0,01	0,9944	-0,48	0,2843	1,12	0,0199	0,59	0,3367	0,09	0,9628	0,09	0,9083
Lipe	42,57	-1,11	0,0020	-0,60	0,2250	-0,26	1,0000	-0,47	0,5074	-1,23	0,0010	-0,31	0,7382	-0,10	0,9227	-0,08	0,9656	-0,71	0,2165
Lipt1	7,35	-0,06	0,9431	0,62	0,3047	0,22	NA	-0,23	0,8780	-0,55	0,3990	0,50	0,5667	0,07	NA	0,18	0,9178	0,13	0,8792
Lipt2	3,33	0,16	0,8532	-0,40	0,5209	-0,06	NA	0,11	NA	0,40	0,5793	-0,26	0,8135	-0,20	NA	-0,02	NA	-0,11	0,9225
Litaf	11,76	0,47	0,3850	0,75	0,1422	-0,06	NA	-0,38	0,6896	0,22	0,7385	0,85	0,1227	-0,32	NA	0,02	0,9935	0,36	0,5308
Lix1	1,43	-0,23	NA	-0,30	0,6487	-0,02	NA	-0,14	NA	-0,32	0,6484	0,19	NA	0,24	NA	-0,11	NA	-0,31	NA
Lix1l	48,93	-0,17	0,7217	-0,45	0,2427	-0,17	1,0000	0,05	0,9827	0,07	0,8565	0,08	0,9312	0,13	0,8732	0,07	0,9630	0,06	0,9226
Llgl1	73,02	0,01	0,9851	0,00	0,9995	0,29	1,0000	0,13	0,9209	0,34	0,2219	-0,41	0,4168	-0,31	0,5600	0,08	0,9494	0,22	0,5564
Llgl2	69,46	-0,13	0,7549	-0,22	0,6237	0,20	1,0000	0,00	0,9988	0,42	0,0903	-0,43	0,4277	-0,39	0,4711	0,24	0,7668	0,39	0,2789
Llph	6,23	-0,21	0,7896	0,53	0,4108	0,05	NA	0,07	0,9798	0,16	0,8343	0,52	0,5529	0,36	NA	0,11	0,9558	0,34	0,6723
Lman1	182,94	0,59	0,0015	-0,04	0,9366	-0,11	1,0000	0,10	0,9349	-0,10	0,7647	-0,31	0,4496	-0,13	0,8171	-0,38	0,3591	-0,50	0,0912
Lman2	180,20	0,08	0,8219	-0,16	0,6418	-0,21	1,0000	-0,08	0,9472	-0,11	0,7073	-0,02	0,9788	-0,11	0,8548	-0,02	0,9911	-0,13	0,7065
Lman2l	69,79	-0,12	0,7549	-0,04	0,9482	-0,09	1,0000	0,15	0,8937	0,37	0,1267	-0,18	0,7789	-0,41	0,4121	0,20	0,8122	0,32	0,2950
Lmbr1	67,66	0,04	0,9416	0,70	0,0197	0,13	1,0000	0,12	0,9430	0,23	0,5251	0,77	0,0543	0,22	0,7356	0,11	0,9300	0,10	0,8673
Lmbr1l	15,98	-0,65	0,1842	-0,40	0,5324	-0,13	NA	0,03	0,9884	0,47	0,2938	0,51	0,5283	0,06	NA	0,28	0,8400	0,80	0,1193
Lmbrd1	92,26	-0,14	0,7367	0,28	0,4364	0,15	1,0000	0,10	0,9469	-0,38	0,2161	0,69	0,0394	0,54	0,1504	0,12	0,9074	-0,07	0,8904
Lmbrd2	132,25	-0,18	0,5179	0,13	0,7474	-0,20	1,0000	0,03	0,9853	0,01	0,9889	0,40	0,2941	0,17	0,7545	0,02	0,9918	0,04	0,9572
Lmcd1	10,22	1,50	0,0002	0,75	0,2017	0,16	NA	-0,07	NA	0,71	0,2542	0,08	0,9425	-0,51	NA	-0,48	0,5940	0,03	0,9752
Lmf1	19,31	-0,17	0,8030	-0,44	0,4850	-0,07	NA	-0,30	0,8039	-0,65	0,1954	-0,41	0,6312	-0,06	NA	-0,11	0,9501	-0,65	0,2447
Lmf2	36,48	0,05	0,9419	-0,55	0,1881	-0,18	1,0000	-0,28	0,7632	-0,60	0,0875	-0,73	0,2033	-0,48	0,4392	-0,57	0,3892	-0,54	0,2482
Lmln	10,55	0,12	0,8772	0,13	0,8903	-0,26	NA	-0,03	0,9901	-0,09	0,8978	-0,32	0,7608	-0,44	NA	-0,20	0,9017	-0,55	0,4390
Lmna	123,46	0,33	0,2777	-0,47	0,1793	-0,22	1,0000	-0,39	0,4925	-0,10	0,8033	-0,64	0,0530	-0,87	0,0027	-0,64	0,0539	-0,25	0,4305
Lmnb1	37,59	0,34	0,4541	-0,73	0,1064	-0,41	NA	-0,12	0,9600	-0,48	0,2755	-0,55	0,3267	-0,42	0,4730	-0,74	0,1478	-0,73	0,0505
Lmnb2	9,13	1,11	0,0133	0,22	0,8121	-0,09	NA	-0,05	NA	0,09	0,9126	-0,45	0,5930	-0,55	NA	-0,72	0,3343	-0,71	0,2430
Lmo4	46,37	0,49	0,2071	-0,17	0,7763	-0,04	1,0000	-0,02	0,9901	0,69	0,0235	-0,26	0,7323	-0,35	0,5890	-0,11	0,9392	0,45	0,3354
Lmo7	262,44	-0,21	0,4399	-0,68	0,0002	-0,28	0,8582	-0,21	0,6982	-1,29	0,0000	-0,47	0,2105	0,09	0,8865	0,18	0,7975	-1,05	0,0000
Lmod2	606,67	0,12	0,7906	-0,12	0,7332	-0,30	0,8078	-0,30	0,4246	0,24	0,4222	-0,45	0,3518	-0,44	0,3675	-0,31	0,6427	0,26	0,5506
Lmod3	127,87	0,76	0,0009	-0,11	0,8152	0,11	1,0000	-1,06	0,0001	-2,04	0,0000	-0,42	0,3264	-0,08	0,9219	-0,77	0,0277	-2,19	0,0000
Lmtk2	142,09	0,05	0,8883	0,32	0,2479	0,10	1,0000	0,49	0,0875	1,19	0,0000	0,10	0,8658	-0,19	0,6959	0,42	0,2257	1,10	0,0000
Lmtk3	1,93	-0,45	NA	1,53	0,0007	0,09	NA	-0,05	NA	-0,48	0,4812	1,05	0,0824	0,12	NA	0,08	NA	0,11	NA
Lnp	127,90	0,11	0,7389	0,12	0,7733	0,07	1,0000	0,11	0,9266	-0,07	0,8421	0,19	0,7110	0,35	0,4165	0,17	0,8017	-0,17	0,6690
Lnppep	712,75	0,14	0,5552	-0,42	0,0062	-0,17	1,0000	0,12	0,8246	0,16	0,4726	-0,23	0,5593	-0,02	0,9695	0,08	0,9192	0,10	0,8112
Lnx1	9,36	0,36	0,6023	1,38	0,0007	0,67	NA	0,09	0,9737	-0,23	0,7574	1,02	0,0844	0,42	NA	-0,03	0,9918	-0,45	0,5391
Lnx2	56,47	0,12	0,7956	-0,48	0,1966	-0,07	1,0000	-0,25	0,7884	-0,04	0,9261	-0,57	0,2752	-0,23	0,7263	-0,25	0,7844	-0,34	0,4654
LOC100503496	2,49	-0,12	0,8905	-0,26	0,7474	-0,12	NA	-0,04	NA	-0,22	0,7833	0,25	0,8085	0,16	NA	-0,08	NA	-0,12	0,9124
LOC100503676	23,08	-0,44	0,3413	0,07	0,9298	0,15	NA	0,06	0,9835	-0,22	0,6661	0,23	0,8094	0,54	0,3774	0,36	0,7121	0,26	0,6559
LOC100504703	4,00	0,19	0,8219	0,20	0,8306	0,00	NA	-0,11	NA	-0,25	0,7508	0,47	0,6234	0,58	NA	-0,13	NA	-0,22	0,8130
LOC100861615	1,17	0,20	NA	-0,21	NA	-0,04	NA	-0,07	NA	-0,25	NA	-0,28	NA	-0,20	NA	-0,22	NA	-0,38	NA
LOC101056043	10,67	0,00	0,9993	0,28	0,7174	-0,12	NA	0,07	0,9828	0,31	0,6057	-0,28	0,7953	-0,12	NA	-0,17	0,9181	0,20	0,7955
LOC101669761	1,17	0,26	NA	0,04	NA	-0,05	NA	0,04	NA	0,10	NA	-0,32	NA	-0,15	NA	-0,34	NA	-0,47	NA
LOC102636514	85,14	-0,64	0,0132	0,23	0,5954	0,08	1,0000	0,27	0,6939	-0,21	0,5077	0,79	0,0268	0,46	0,3109	0,65	0,0880	0,13	0,7659
LOC106740	53,25	0,86	0,0044	-0,43	0,3810	-0,01	1,0000	0,01	0,9938	0,66	0,0343	-0,89	0,0446	-0,58	0,2242	-1,05	0,0078	-0,25	0,5886
Loh12cr1	14,15	0,45	0,3968	0,62	0,2466	0,11	NA	-0,19	0,9140	0,15	0,8210	0,30	0,7300	-0,30	NA	-0,19	0,9007	-0,21	0,7541
Lonp1	125,12	0,46	0,0233	0,49	0,0420	0,21	1,0000	0,26	0,6249	0,17	0,5584	0,24	0,5948	-0,46	0,1991	-0,25	0,6658	-0,30	0,2678
Lonp2	180,57	0,06	0,8513	0,18	0,5791	-0,10	1,0000	0,13	0,8903	0,02	0,9664	0,14	0,7836	-0,31	0,4173	-0,02	0,9918	0,09	0,8208

GeneID	CTL	ET-1 vs CTL		SAHA vs CTL		JS28 vs CTL		BSP vs CTL		JQ1 vs CTL		ET-1+SAHA vs ET1		ET-1+JS28 vs ET1		ET-1+BSP vs ET1		ET-1+JQ1 vs ET1	
	mean	log2(FC)	P-adj	log2(FC)	P-adj	log2(FC)	P-adj	log2(FC)	P-adj	log2(FC)	P-adj	log2(FC)	P-adj	log2(FC)	P-adj	log2(FC)	P-adj	log2(FC)	P-adj
Lonrf1	64,69	-0,50	0,1072	-0,81	0,0056	-0,15	1,0000	-0,19	0,8571	0,21	0,5096	-0,53	0,3294	-0,02	0,9784	0,06	0,9730	0,39	0,3813
Lonrf2	27,32	-0,04	0,9517	-1,30	0,0012	0,03	NA	-0,04	0,9853	-1,22	0,0026	-1,39	0,0059	-0,13	0,8988	-0,37	0,6935	-1,25	0,0044
Lonrf3	18,72	0,14	0,8489	0,48	0,3821	0,04	NA	0,29	0,8147	0,81	0,0325	0,46	0,5603	-0,59	NA	-0,07	0,9789	0,60	0,2706
Lox	4,49	0,94	0,0624	-0,31	0,5799	0,09	NA	0,13	NA	-0,35	0,5851	-1,12	0,0684	-0,46	NA	-0,80	0,2225	-1,59	0,0082
Lox12	139,84	0,89	0,0717	0,23	0,7870	0,34	1,0000	-0,54	0,3784	0,24	0,6433	-0,74	0,3151	-0,46	0,5451	-1,10	0,0530	-0,81	0,0646
Lox13	1,60	0,38	NA	0,04	NA	-0,01	NA	-0,12	NA	-0,06	NA	-0,22	NA	-0,11	NA	-0,46	NA	-0,42	0,6100
Lpar1	22,59	0,12	0,8442	-0,96	0,0288	-0,29	NA	-0,32	0,7624	-0,55	0,2613	-0,65	0,3071	-0,07	0,9448	-0,44	0,6165	-0,55	0,2548
Lpar2	2,75	-0,11	0,9031	0,11	0,9075	-0,01	NA	0,08	NA	0,46	0,5137	0,16	0,8970	0,30	NA	-0,25	NA	-0,33	0,7025
Lpar3	21,12	-0,99	0,0087	-0,42	0,4452	-0,11	NA	-0,07	0,9805	-0,80	0,0548	0,85	0,1684	0,61	NA	0,93	0,0969	-0,23	0,7594
Lpar4	1,35	-0,16	NA	0,16	0,8422	0,03	NA	-0,15	NA	-0,43	0,4542	0,28	NA	0,06	NA	-0,13	NA	-0,19	NA
Lpar6	11,32	-0,02	0,9867	-0,99	0,0523	-0,27	NA	-0,14	0,9500	-0,47	0,4278	-0,73	0,3285	0,11	NA	-0,29	0,8305	-0,32	0,6752
Lpcat1	13,85	-0,02	0,9862	0,26	0,7260	0,07	NA	0,34	0,7392	0,24	0,6747	0,26	0,8054	0,12	NA	0,52	0,5640	0,28	0,6855
Lpcat3	49,39	-0,24	0,5927	-0,40	0,3165	-0,22	1,0000	-0,36	0,5973	0,17	0,6723	-0,32	0,6592	-0,12	0,8968	-0,38	0,6467	0,35	0,4625
Lpcat4	11,75	-0,02	0,9833	1,05	0,0122	-0,07	NA	-0,54	0,4307	-0,38	0,5395	0,89	0,1274	-0,31	NA	-0,28	0,8401	0,02	0,9906
Lpgat1	266,40	0,34	0,1773	-0,20	0,5396	-0,22	1,0000	-0,15	0,8619	-0,71	0,0014	-0,24	0,5895	0,00	0,9963	-0,27	0,5977	-0,81	0,0028
Lphn1	146,74	-0,45	0,0453	1,03	0,0000	0,08	1,0000	0,18	0,8147	0,16	0,6415	1,02	0,0001	0,35	0,4311	0,82	0,0039	0,71	0,0365
Lphn2	282,21	0,03	0,9390	-0,75	0,0000	-0,23	1,0000	0,06	0,9634	0,31	0,0741	-0,84	0,0010	-0,15	0,7496	0,03	0,9859	0,09	0,7709
Lphn3	12,07	-0,37	0,5714	-0,38	0,6073	-0,23	NA	0,27	0,8364	0,13	0,8512	-0,39	0,6942	-0,18	NA	0,13	0,9433	0,65	0,2499
Lpin1	150,07	-0,55	0,0065	0,53	0,0204	0,25	1,0000	0,40	0,2303	0,19	0,4778	0,88	0,0009	0,54	0,0969	0,63	0,0396	0,41	0,1611
Lpin2	38,39	0,15	0,7528	0,32	0,5224	0,12	1,0000	0,38	0,5913	0,89	0,0011	0,21	0,7691	-0,32	0,6089	-0,01	0,9971	0,65	0,0456
Lpl	1367,29	0,02	0,9725	-0,55	0,0000	-0,17	1,0000	-0,30	0,1170	-0,29	0,0618	-0,49	0,1857	-0,28	0,5394	-0,44	0,2633	-0,36	0,2538
Lpp	816,29	0,32	0,1449	-0,21	0,4937	0,06	1,0000	-0,03	0,9853	-0,30	0,1862	-0,13	0,7819	-0,08	0,8756	-0,21	0,6531	-0,59	0,0081
Lrba	97,50	-0,24	0,4082	0,24	0,4874	-0,06	1,0000	0,15	0,8758	-0,14	0,6764	0,17	0,7663	0,20	0,7169	0,55	0,1199	0,23	0,5178
Lrch1	66,41	0,00	0,9993	0,14	0,8121	0,06	1,0000	0,06	0,9798	0,04	0,9287	-0,05	0,9456	0,16	0,8002	-0,01	0,9971	-0,06	0,8874
Lrch2	52,38	-0,16	0,7709	0,16	0,8003	0,07	1,0000	0,05	0,9853	-0,02	0,9746	-0,08	0,9325	-0,01	0,9894	-0,14	0,9077	0,19	0,6500
Lrch3	104,93	-0,33	0,1811	0,27	0,3538	0,03	1,0000	0,39	0,2400	0,48	0,0260	0,22	0,6933	0,50	0,1760	0,39	0,4172	0,79	0,0022
Lrfn1	2,48	-0,50	0,4070	0,58	0,3596	-0,04	NA	-0,17	NA	-0,78	0,1896	1,17	0,0539	0,11	NA	-0,02	NA	-0,29	NA
Lrfn3	6,64	0,01	0,9896	0,72	0,2184	0,27	NA	-0,29	NA	-1,01	0,0856	0,39	0,7026	0,10	NA	-0,54	NA	-0,49	0,5397
Lrfn4	15,60	-0,09	0,9084	-0,61	0,2780	0,15	NA	-0,26	0,8462	-0,33	0,5682	-0,30	0,7629	0,00	NA	0,20	0,8960	-0,96	0,0786
Lrguk	1,39	-0,22	NA	1,03	0,0447	0,04	NA	-0,05	NA	-0,41	0,5226	0,88	0,1857	0,18	NA	-0,13	NA	-0,32	NA
Lrif1	57,04	-0,16	0,7454	-0,45	0,3086	-0,07	1,0000	0,16	0,9178	0,09	0,8227	-0,19	0,8095	0,53	0,2535	0,41	0,4931	0,26	0,5510
Lrig1	84,80	-0,17	0,7381	0,84	0,0122	0,88	0,0066	1,42	0,0000	0,31	0,4039	0,73	0,0375	0,95	0,0019	1,48	0,0000	0,42	0,1717
Lrig2	73,24	0,16	0,6636	0,20	0,6258	0,10	1,0000	0,26	0,7017	0,30	0,3036	0,30	0,5488	0,06	0,9403	0,15	0,8745	0,13	0,7488
Lrig3	2,68	0,16	0,8470	0,19	0,8270	0,07	NA	-0,14	NA	-0,04	0,9671	-0,17	0,8834	0,11	NA	-0,27	NA	-0,17	0,8578
Lrp1	248,45	-1,26	0,0000	0,36	0,2745	0,20	1,0000	-0,18	0,8521	-1,00	0,0004	0,66	0,0387	0,50	0,1641	0,39	0,3719	-0,52	0,2549
Lrp10	153,06	0,14	0,6475	-0,08	0,8477	0,21	1,0000	-0,06	0,9727	0,02	0,9593	-0,08	0,9132	-0,36	0,3882	0,18	0,7950	0,24	0,5530
Lrp11	21,17	0,46	0,3205	1,56	0,0000	0,30	NA	0,34	0,7338	0,81	0,0201	1,20	0,0044	-0,08	0,9361	0,24	0,8364	0,37	0,4675
Lrp12	28,37	0,23	0,6546	0,18	0,7849	0,16	NA	0,13	0,9472	0,05	0,9302	0,01	0,9930	0,26	0,7198	-0,03	0,9918	0,05	0,9362
Lrp1b	2,67	-0,70	0,2001	-0,37	0,6166	-0,09	NA	-0,05	NA	-0,62	0,3435	0,04	NA	0,35	NA	0,17	NA	-0,03	NA
Lrp2	1,45	0,40	NA	0,52	0,3023	-0,03	NA	-0,04	NA	0,47	0,4631	-0,16	NA	-0,25	NA	-0,45	NA	-0,28	0,7479
Lrp2bp	1,37	-0,16	NA	-0,15	0,8332	-0,07	NA	-0,17	NA	-0,31	0,6362	0,17	NA	-0,12	NA	-0,20	NA	-0,30	NA
Lrp3	13,09	-0,35	0,5726	0,92	0,0310	0,68	NA	0,42	0,6103	-0,75	0,1372	0,72	0,2869	0,47	NA	0,65	0,4003	-0,79	0,2192
Lrp4	26,45	-0,33	0,5423	0,46	0,3170	0,20	1,0000	-0,03	0,9860	-0,28	0,5797	0,37	0,6536	0,32	0,6778	-0,05	0,9867	-0,28	0,6791
Lrp5	22,17	-0,13	0,8489	0,52	0,3497	0,22	NA	-0,45	0,5771	-0,72	0,1586	0,03	0,9789	0,01	NA	-0,52	0,5285	-0,80	0,0996
Lrp6	328,21	-0,21	0,3620	0,14	0,6763	0,14	1,0000	0,39	0,1547	0,38	0,0597	0,37	0,2459	0,48	0,0917	0,55	0,0383	0,61	0,0070

GeneID	CTL	ET-1 vs CTL		SAHA vs CTL		JS28 vs CTL		BSP vs CTL		JQ1 vs CTL		ET-1+SAHA vs ET1		ET-1+JS28 vs ET1		ET-1+BSP vs ET1		ET-1+JQ1 vs ET1	
	mean	log2(FC)	P-adj	log2(FC)	P-adj	log2(FC)	P-adj	log2(FC)	P-adj	log2(FC)	P-adj	log2(FC)	P-adj	log2(FC)	P-adj	log2(FC)	P-adj	log2(FC)	P-adj
Lrp8	93,51	1,67	0,0001	1,10	0,0069	0,03	NA	0,36	0,7114	1,22	0,0014	-0,33	0,7607	-0,66	0,3115	-1,00	0,1085	-0,95	0,1223
Lrpap1	113,31	0,11	0,7622	0,47	0,0543	0,22	1,0000	0,23	0,7277	0,48	0,0160	0,41	0,2661	0,22	0,6748	0,28	0,6111	0,47	0,0576
Lrprrc	182,11	0,16	0,6612	0,31	0,2947	-0,01	1,0000	0,18	0,8214	-0,44	0,0473	0,35	0,4070	0,09	0,8927	0,06	0,9608	-0,53	0,1090
Lrrc1	25,20	-0,01	0,9930	0,20	0,7679	-0,24	NA	0,25	0,8318	0,24	0,6362	0,08	0,9412	-0,19	0,8375	0,35	0,7013	0,19	0,7459
Lrrc10	123,74	0,31	0,2175	-0,08	0,8638	0,17	1,0000	-0,67	0,0144	-0,25	0,4423	0,07	0,9340	-0,16	0,7860	-0,53	0,1675	-0,27	0,6222
Lrrc14	16,97	-0,10	0,8875	0,06	0,9559	-0,09	NA	0,05	0,9853	0,25	0,6365	0,07	0,9519	-0,21	NA	-0,22	0,8768	0,00	0,9975
Lrrc14b	69,47	-0,44	0,1074	-0,36	0,2921	-0,05	1,0000	-0,09	0,9559	-1,15	0,0000	0,07	0,9337	0,50	0,2594	0,56	0,2082	-0,65	0,0983
Lrrc16a	15,44	-0,69	0,1533	0,11	0,9044	0,20	NA	0,18	0,9252	-0,01	0,9931	0,36	0,7107	0,01	NA	0,10	0,9603	0,40	0,5389
Lrrc16b	2,72	-0,06	0,9517	1,09	0,0315	0,15	NA	0,21	NA	0,08	0,9254	0,78	0,2941	0,00	NA	-0,02	NA	0,11	0,9162
Lrrc2	137,86	-0,11	0,7605	-2,26	0,0000	-0,43	0,5356	-1,06	0,0001	-1,46	0,0000	-1,70	0,0000	-0,55	0,1039	-0,94	0,0011	-1,69	0,0000
Lrrc20	26,63	0,13	0,8106	0,27	0,6440	0,05	NA	0,10	0,9634	0,24	0,6312	0,13	0,8877	-0,45	0,4789	0,28	0,7790	0,46	0,2730
Lrrc27	8,35	0,33	0,6339	0,60	0,3332	0,17	NA	0,04	0,9853	0,58	0,3294	0,35	0,7176	-0,22	NA	-0,47	0,6418	-0,26	0,7302
Lrrc28	50,10	-0,75	0,0046	0,06	0,9196	-0,11	1,0000	-0,59	0,1399	-0,59	0,0422	0,52	0,3246	0,40	0,4925	-0,05	0,9789	0,14	0,7952
Lrrc29	7,08	-0,88	0,0836	0,18	0,8332	-0,12	NA	-0,24	0,8671	0,06	0,9408	0,51	0,5678	0,35	NA	0,41	NA	0,66	0,3573
Lrrc3	5,74	-0,70	0,2147	0,07	0,9494	0,21	NA	0,04	0,9853	-0,41	0,5449	0,18	0,8829	0,01	NA	0,39	NA	-0,26	0,7744
Lrrc39	161,48	-0,23	0,4451	-1,17	0,0000	-0,29	0,9896	-0,28	0,5913	-1,54	0,0000	-0,88	0,0068	0,44	0,2570	0,24	0,6994	-1,36	0,0000
Lrrc3b	33,13	0,20	0,6756	0,13	0,8482	0,15	1,0000	0,18	0,9084	0,20	0,7170	0,35	0,5725	0,31	0,6277	0,35	0,6619	-0,04	0,9582
Lrrc4	2,66	-0,49	0,4293	-0,32	0,6718	-0,23	NA	-0,30	NA	-0,98	0,0847	-0,23	NA	-0,22	NA	-0,19	NA	-0,29	NA
Lrrc40	39,84	0,00	0,9937	0,25	0,6330	-0,14	1,0000	-0,03	0,9860	-0,22	0,5975	0,47	0,3802	0,16	0,8394	0,04	0,9861	-0,20	0,7075
Lrrc41	59,43	-0,19	0,6033	-0,26	0,5457	-0,07	1,0000	-0,27	0,7308	-0,42	0,1363	-0,22	0,7504	0,00	0,9975	-0,11	0,9273	-0,13	0,8005
Lrrc42	39,89	-0,13	0,8103	0,50	0,1923	0,14	1,0000	-0,08	0,9746	-0,54	0,1317	0,41	0,4945	-0,05	0,9624	-0,21	0,8567	-0,46	0,3370
Lrrc45	12,43	-0,54	0,3104	0,29	0,6977	0,28	NA	-0,14	0,9501	-0,96	0,0548	0,64	0,3887	0,50	NA	-0,16	0,9300	-0,74	0,2509
Lrrc47	71,17	0,09	0,8289	0,37	0,2792	0,23	1,0000	0,10	0,9516	0,38	0,2005	0,35	0,4589	0,01	0,9963	-0,16	0,8619	0,11	0,7647
Lrrc48	6,80	0,18	0,8217	0,08	0,9441	-0,04	NA	-0,40	NA	-0,36	0,6141	-0,91	0,1988	-0,45	NA	-0,34	0,7869	-1,03	0,1096
Lrrc49	8,09	-1,05	0,0230	-0,10	0,9203	-0,28	NA	-0,44	0,6021	-1,92	0,0001	0,63	0,4453	0,24	NA	0,02	NA	-0,93	0,1785
Lrrc4b	54,13	-0,61	0,1409	-1,21	0,0016	-0,09	1,0000	-0,51	0,4278	-2,52	0,0000	-0,15	0,8834	0,20	0,7969	-0,29	0,7766	-2,41	0,0000
Lrrc51	6,91	0,35	0,6214	0,26	0,7593	0,24	NA	0,19	NA	0,71	0,1988	-0,11	0,9320	0,00	NA	-0,04	0,9918	0,21	0,7825
Lrrc56	5,23	-0,07	0,9407	-0,26	0,7685	0,14	NA	0,08	NA	1,12	0,0232	-0,42	0,6677	-0,02	NA	0,25	0,8638	0,97	0,0943
Lrrc57	32,99	0,14	0,7876	0,11	0,8726	-0,05	NA	-0,06	0,9853	0,37	0,3267	0,05	0,9601	-0,29	0,6735	0,03	0,9911	0,31	0,4816
Lrrc58	469,42	0,02	0,9632	-0,08	0,8388	0,00	1,0000	0,18	0,7521	0,47	0,0020	-0,09	0,8649	0,08	0,8922	0,04	0,9659	0,48	0,0292
Lrrc59	206,42	0,66	0,0000	-0,36	0,1534	-0,05	1,0000	0,04	0,9798	0,47	0,0085	-0,77	0,0026	-0,60	0,0312	-0,62	0,0197	0,03	0,9309
Lrrc61	20,99	0,01	0,9924	-0,64	0,2110	-0,05	NA	0,08	0,9764	0,32	0,4972	-0,66	0,3288	-0,32	NA	-0,47	0,6098	0,16	0,8008
Lrrc75a	23,96	-0,20	0,7442	0,55	0,2344	0,00	NA	0,11	0,9626	-0,21	0,6844	0,33	0,6763	-0,17	NA	0,57	0,3984	0,06	0,9283
Lrrc75b	5,48	0,25	0,7549	0,34	0,6734	0,20	NA	0,01	NA	-0,05	0,9572	-0,02	0,9918	0,17	NA	-0,52	NA	0,24	0,7642
Lrrc8a	108,33	-0,09	0,8227	0,25	0,4028	0,31	0,8594	0,44	0,1552	0,88	0,0000	0,03	0,9758	-0,09	0,9085	0,51	0,1968	0,85	0,0004
Lrrc8b	15,95	0,35	0,5288	-0,03	0,9783	-0,04	NA	-0,15	0,9435	-0,48	0,4153	-1,05	0,0693	-0,40	NA	-0,43	0,6538	-0,70	0,1769
Lrrc8c	52,25	-0,11	0,8334	-0,09	0,8880	-0,34	1,0000	-0,26	0,7688	0,15	0,6833	0,01	0,9930	-0,17	0,8291	-0,15	0,9065	0,55	0,1187
Lrrc8d	34,82	0,16	0,7755	-0,05	0,9505	-0,08	1,0000	0,02	0,9901	-0,22	0,6526	-0,50	0,4222	-0,29	0,6898	-0,30	0,7610	-0,41	0,4194
Lrrc9	7,51	-0,22	0,7775	1,02	0,0303	0,06	NA	-0,34	0,7365	-0,59	0,3511	0,89	0,1901	0,36	NA	-0,44	NA	-0,57	0,4496
Lrrcc1	46,50	-0,62	0,0699	-0,29	0,5357	0,08	1,0000	-0,03	0,9860	-0,39	0,3332	0,19	0,8292	0,87	0,0428	0,21	0,8532	0,04	0,9604
Lrrfip1	298,65	0,25	0,2069	-0,05	0,9057	-0,08	1,0000	-0,19	0,7338	-0,37	0,0748	-0,33	0,3160	-0,06	0,9121	-0,25	0,5760	-0,57	0,0058
Lrrfip2	194,60	-0,09	0,8219	-0,31	0,3084	-0,29	1,0000	-0,03	0,9853	-0,29	0,2986	-0,59	0,0906	-0,17	0,7480	-0,28	0,6212	-0,30	0,3782
Lrriq3	2,17	-0,04	NA	-0,16	0,8413	-0,05	NA	0,20	NA	-0,02	0,9784	0,58	0,4788	0,43	NA	0,01	NA	0,11	0,9206
Lrrk1	11,53	-0,32	0,6150	-0,69	0,2198	0,12	NA	-0,57	0,3694	-1,51	0,0024	-0,40	0,6850	0,33	NA	-0,46	0,6579	-1,08	0,0839
Lrrk2	92,20	-0,32	0,2861	-0,83	0,0021	-0,25	1,0000	-0,35	0,5333	-0,79	0,0011	-0,56	0,2056	-0,08	0,9228	-0,33	0,5975	-0,45	0,1904

GeneID	CTL	ET-1 vs CTL		SAHA vs CTL		JS28 vs CTL		BSP vs CTL		JQ1 vs CTL		ET-1+SAHA vs ET1		ET-1+JS28 vs ET1		ET-1+BSP vs ET1		ET-1+JQ1 vs ET1	
	mean	log2(FC)	P-adj	log2(FC)	P-adj	log2(FC)	P-adj	log2(FC)	P-adj	log2(FC)	P-adj	log2(FC)	P-adj	log2(FC)	P-adj	log2(FC)	P-adj	log2(FC)	P-adj
Lrrm2	33,81	-0,18	0,8071	0,57	0,2679	0,12	1,0000	0,50	0,4647	-0,46	0,3869	0,58	0,3550	0,27	0,7274	0,62	0,3462	-0,09	0,9226
Lrrm4cl	1,01	-0,36	NA	0,10	0,9075	0,04	NA	-0,11	NA	-0,47	NA	0,16	NA	0,27	NA	-0,01	NA	0,21	NA
Lrsam1	37,64	-0,40	0,3486	0,09	0,9015	-0,04	1,0000	-0,14	0,9364	0,29	0,4819	0,43	0,4985	-0,11	0,9138	0,32	0,7236	0,33	0,4863
Lrwd1	9,70	-0,16	0,8262	0,24	0,7686	0,01	NA	-0,15	0,9430	-0,68	0,2385	-0,11	0,9328	-0,18	NA	-0,33	0,7975	-0,25	0,7479
Lsg1	49,00	0,32	0,4251	0,40	0,3073	0,26	1,0000	-0,01	0,9925	0,06	0,8900	-0,07	0,9433	-0,04	0,9666	-0,27	0,7608	-0,07	0,8993
Lsm1	25,84	0,01	0,9901	0,05	0,9550	-0,14	NA	0,08	0,9746	0,03	0,9641	0,32	0,6699	-0,09	0,9305	-0,04	0,9866	-0,12	0,8476
Lsm10	17,08	-0,03	0,9711	-0,18	0,8294	-0,29	NA	-0,20	0,9050	-0,32	0,5884	-0,24	0,8122	-0,17	NA	-0,37	0,7289	-0,20	0,7820
Lsm11	34,34	0,33	0,4382	0,48	0,2526	-0,31	NA	0,02	0,9925	0,01	0,9872	0,29	0,6808	-0,22	0,7708	-0,22	0,8412	-0,33	0,4906
Lsm12	91,74	0,58	0,0150	-0,52	0,1183	-0,35	0,9367	-0,17	0,8797	0,64	0,0037	-0,49	0,2192	-0,16	0,7981	-0,58	0,1351	0,04	0,9351
Lsm14a	164,75	0,06	0,8609	-0,73	0,0007	-0,08	1,0000	0,08	0,9516	0,04	0,9171	-0,49	0,1460	-0,07	0,9089	-0,10	0,9064	-0,04	0,9306
Lsm14b	124,53	-0,10	0,7889	-0,12	0,7769	-0,31	0,9475	-0,18	0,8334	0,10	0,7453	-0,21	0,7053	-0,11	0,8618	-0,06	0,9602	0,32	0,2383
Lsm2	9,36	-0,08	0,9230	-0,32	0,6805	-0,14	NA	-0,33	0,7601	-0,30	0,6614	-0,18	0,8816	-0,22	NA	-0,21	0,9006	0,30	0,7068
Lsm3	10,40	0,54	0,3381	0,06	0,9551	-0,16	NA	-0,20	0,9029	-0,44	0,5105	0,11	0,9290	-0,37	NA	-0,79	0,2701	-0,85	0,1537
Lsm4	20,65	0,54	0,2176	-0,34	0,6445	-0,13	NA	-0,04	0,9855	-0,22	0,7109	-0,32	0,7031	-0,84	NA	-1,07	0,0390	-0,61	0,2134
Lsm5	8,45	0,01	0,9923	0,17	0,8532	-0,03	NA	0,11	0,9634	-0,23	0,7497	-0,35	0,7354	0,41	NA	0,01	0,9989	-0,50	0,5019
Lsm6	14,44	0,19	0,7798	-0,18	0,8369	-0,09	NA	-0,19	0,9183	-0,23	0,7219	0,08	0,9476	-0,13	NA	-0,35	0,7530	-0,48	0,3984
Lsm7	7,32	-0,22	0,7835	0,01	0,9946	-0,08	NA	0,02	0,9901	-0,67	0,2743	0,54	0,5319	0,05	NA	0,04	0,9911	-0,43	0,5862
Lsm8	15,93	0,00	0,9964	-0,40	0,5657	0,07	NA	0,04	0,9853	0,16	0,8112	0,17	0,8689	0,13	NA	-0,10	0,9570	-0,01	0,9919
Lsmem1	29,08	0,04	0,9462	-1,30	0,0009	-0,42	NA	-0,54	0,3630	-1,35	0,0005	-0,21	0,8096	0,50	0,3752	0,04	0,9861	-1,21	0,0041
Lsp1	26,77	-0,51	0,3435	-0,48	0,3890	0,17	1,0000	-0,97	0,0154	-2,59	0,0000	-0,12	0,9257	0,23	0,8140	-0,85	0,2065	-2,39	0,0000
Lsr	1,25	-0,27	NA	-0,03	0,9803	-0,14	NA	-0,11	NA	-0,27	0,7042	0,48	NA	0,00	NA	-0,06	NA	0,08	NA
Lss	11,79	-0,13	0,8708	0,07	0,9523	0,03	NA	0,19	0,9129	0,32	0,5673	0,01	0,9967	0,08	NA	-0,04	0,9911	0,22	0,7671
Lta4h	129,97	-0,32	0,4540	-0,90	0,0028	-0,30	1,0000	-0,50	0,2471	0,48	0,0863	-0,64	0,1753	-0,61	0,1862	-0,18	0,8614	0,67	0,0581
Ltbp1	103,80	1,10	0,0000	-0,32	0,4537	-0,06	1,0000	-0,24	0,8004	-0,63	0,0429	-0,85	0,0151	-0,78	0,0176	-0,71	0,0380	-1,10	0,0001
Ltbp2	5,77	0,25	0,7500	-0,28	0,7298	-0,17	NA	-0,04	NA	-0,39	0,5961	-0,66	0,3966	-0,07	NA	0,84	0,2234	-0,06	0,9530
Ltbp3	112,73	-0,66	0,0004	-0,65	0,0042	0,11	1,0000	-0,06	0,9708	-0,36	0,3054	-0,57	0,1497	-0,06	0,9432	-0,07	0,9512	0,04	0,9555
Ltbp4	2,75	-0,31	0,6720	0,87	0,1113	0,14	NA	0,01	NA	-0,36	0,6266	0,95	0,1610	0,30	NA	-0,02	NA	-0,25	0,7707
Ltbr	6,92	-0,10	0,9118	-0,59	0,3619	-0,01	NA	-0,37	NA	-0,58	0,3696	-0,52	0,5553	-0,02	NA	-0,30	0,8256	-1,22	0,0593
Ltn1	168,29	-0,05	0,8994	0,22	0,4497	0,00	1,0000	0,24	0,6070	-0,04	0,9008	0,15	0,7849	0,16	0,7505	0,12	0,8915	-0,06	0,9196
Ltv1	55,49	0,92	0,0006	-0,08	0,9063	-0,20	1,0000	-0,42	0,5477	-0,66	0,0601	-0,69	0,1214	-0,79	0,0499	-1,14	0,0017	-1,56	0,0000
Luc7l	59,46	0,15	0,7141	0,38	0,3157	0,15	1,0000	0,24	0,7916	-0,05	0,9091	0,22	0,7106	0,24	0,6729	0,15	0,8822	-0,24	0,5209
Luc7l2	312,20	-0,11	0,6036	-0,14	0,6031	-0,05	1,0000	0,15	0,7961	-0,06	0,7774	0,02	0,9695	0,33	0,3048	0,23	0,5927	-0,03	0,9474
Luc7l3	243,08	-0,46	0,0705	0,37	0,2088	0,15	1,0000	0,28	0,6201	-0,30	0,2981	0,46	0,2368	0,81	0,0052	0,68	0,0233	-0,06	0,8999
Lurap1	4,53	0,03	0,9743	0,24	0,7914	-0,13	NA	-0,31	NA	0,02	0,9824	0,41	0,6801	-0,14	NA	-0,09	NA	-0,10	0,9259
Lurap1l	2,48	0,52	0,4017	-0,06	0,9499	-0,08	NA	-0,11	NA	-0,56	NA	-0,34	0,7326	-0,45	NA	-0,66	NA	-0,97	0,1439
Luzp1	227,67	0,36	0,0441	0,00	0,9975	-0,11	1,0000	-0,05	0,9763	0,37	0,0430	-0,29	0,4223	-0,07	0,8994	0,04	0,9761	0,22	0,3790
Luzp2	2,21	-0,71	NA	-0,53	0,3553	-0,18	NA	-0,19	NA	-0,89	0,1166	0,22	NA	0,16	NA	0,18	NA	-0,10	NA
Lxn	15,84	-0,91	0,0440	-0,67	0,1742	0,14	NA	-0,04	0,9853	0,22	0,6729	0,14	0,9095	0,48	NA	0,14	0,9423	1,01	0,0673
Ly75	5,37	-0,31	0,6758	1,41	0,0009	0,09	NA	-0,06	NA	-0,80	0,1897	1,45	0,0090	0,34	NA	-0,29	NA	-0,37	0,6615
Ly96	6,82	0,21	0,7881	-0,36	0,6504	0,12	NA	-0,26	NA	-0,49	0,4773	-0,19	0,8741	0,05	NA	-0,40	0,7252	-0,64	0,3714
Lyar	17,71	0,88	0,0232	0,19	0,8221	0,08	NA	0,69	0,1747	0,45	0,3999	-0,39	0,6283	-0,26	0,7473	0,05	0,9852	-0,59	0,2454
Lyn	52,91	0,03	0,9580	-0,67	0,0577	-0,21	1,0000	0,01	0,9932	-0,01	0,9797	-0,64	0,1712	0,09	0,9118	-0,04	0,9834	0,28	0,4150
Lynx1	2,74	0,43	0,5270	1,36	0,0038	0,42	NA	0,00	NA	-0,02	0,9797	0,59	0,4783	0,15	NA	-0,12	NA	-0,18	0,8489
Lypd1	1,35	0,10	NA	-0,24	NA	-0,08	NA	0,02	NA	-0,04	0,9655	-0,01	NA	-0,22	NA	-0,32	NA	-0,15	NA
Lypd6	4,87	-0,02	0,9864	0,81	0,1478	0,04	NA	0,14	NA	0,69	0,2554	0,84	0,2394	0,25	NA	0,25	NA	0,67	0,3459

GeneID	CTL	ET-1 vs CTL		SAHA vs CTL		JS28 vs CTL		BSP vs CTL		JQ1 vs CTL		ET-1+SAHA vs ET1		ET-1+JS28 vs ET1		ET-1+BSP vs ET1		ET-1+JQ1 vs ET1	
	mean	log2(FC)	P-adj	log2(FC)	P-adj	log2(FC)	P-adj	log2(FC)	P-adj	log2(FC)	P-adj	log2(FC)	P-adj	log2(FC)	P-adj	log2(FC)	P-adj	log2(FC)	P-adj
Lypd6b	2,86	-0,52	0,3827	-0,05	0,9706	0,02	NA	-0,10	NA	-0,95	0,0871	0,04	NA	0,38	NA	0,17	NA	-0,43	NA
Lypla1	182,94	0,03	0,9504	-0,46	0,1030	-0,07	1,0000	0,21	0,7632	-0,15	0,6594	-0,17	0,8018	0,23	0,6898	0,34	0,5640	-0,03	0,9679
Lypla2	23,63	0,01	0,9901	-0,06	0,9445	-0,01	NA	-0,09	0,9727	0,45	0,2737	-0,12	0,9155	-0,61	NA	0,38	0,6540	0,59	0,1874
Lyplal1	14,16	0,32	0,5896	0,12	0,8932	-0,06	NA	-0,15	0,9440	0,31	0,5689	0,22	0,8135	-0,19	NA	-0,56	0,4975	-0,02	0,9836
Lymr1	6,67	0,37	0,5882	0,22	0,8121	-0,01	NA	0,30	NA	0,42	0,5308	-0,18	0,8829	-0,15	NA	0,12	0,9494	-0,07	0,9405
Lymr2	61,37	-0,27	0,4547	-0,59	0,0793	-0,31	1,0000	-0,14	0,9269	-0,59	0,0432	-0,07	0,9346	0,38	0,4379	0,19	0,8432	-0,21	0,6510
Lymr4	18,43	-0,26	0,6551	-0,11	0,8970	-0,02	NA	-0,14	0,9449	-0,23	0,6739	0,80	0,1412	0,01	NA	0,41	0,6579	-0,13	0,8535
Lymr5	113,87	0,24	0,4512	-0,20	0,6521	-0,10	1,0000	0,16	0,8794	-0,56	0,0379	0,14	0,8074	0,21	0,6757	0,08	0,9373	-0,60	0,0386
Lymr7	19,91	0,45	0,3124	0,27	0,6937	-0,20	NA	-0,01	0,9943	-0,40	0,4542	0,16	0,8596	0,05	0,9665	-0,41	0,6506	-0,81	0,0642
Lymr9	63,46	0,39	0,2069	0,61	0,0565	0,05	1,0000	0,11	0,9513	0,40	0,1857	0,49	0,2180	-0,02	0,9777	0,27	0,6728	0,33	0,2621
Lysmd1	3,56	-0,17	0,8447	-0,50	0,4291	-0,05	NA	-0,19	NA	-1,06	0,0581	0,06	0,9649	-0,11	NA	0,00	NA	-1,08	NA
Lysmd2	21,30	0,37	0,4551	-0,57	0,3132	-0,08	NA	0,12	0,9606	-0,92	0,0538	-1,12	0,0332	-0,57	0,3629	-0,33	0,7456	-1,14	0,0104
Lysmd3	51,86	-0,08	0,8858	-0,17	0,7670	0,26	1,0000	0,04	0,9853	-0,27	0,5026	0,02	0,9805	0,50	0,2799	0,11	0,9300	0,05	0,9323
Lysmd4	28,88	-0,22	0,6522	0,07	0,9274	-0,08	NA	0,08	0,9746	-0,38	0,3534	0,30	0,7041	-0,14	0,8779	0,01	0,9966	-0,32	0,5445
Lyst	44,14	-0,65	0,0954	0,24	0,6956	-0,20	1,0000	-0,01	0,9972	-0,40	0,3485	0,57	0,2991	0,24	0,7500	0,31	0,7313	0,05	0,9431
Lzic	47,01	0,15	0,7218	0,36	0,3522	-0,04	1,0000	-0,37	0,5973	-0,56	0,0868	-0,13	0,8684	-0,23	0,7254	-0,54	0,3264	-0,88	0,0163
Lztf1	41,90	0,24	0,6020	-0,03	0,9730	0,17	1,0000	0,24	0,8318	0,09	0,8626	0,15	0,8521	0,14	0,8618	0,25	0,7864	-0,43	0,4333
Lztr1	63,60	-0,23	0,4947	-0,14	0,7823	0,08	1,0000	0,13	0,9215	-0,66	0,0218	0,00	0,9976	0,10	0,8988	0,27	0,7245	-0,41	0,3142
Lzts2	40,50	-0,12	0,8374	-0,36	0,4538	-0,06	1,0000	-0,38	0,6109	-0,06	0,9008	-0,53	0,4061	-0,14	0,8833	0,05	0,9829	-0,06	0,9375
Lzts3	10,60	-0,51	0,3672	0,64	0,2191	-0,07	NA	-0,01	0,9941	1,24	0,0005	1,00	0,0970	0,26	NA	0,56	0,5276	1,54	0,0006
M6pr	114,50	0,28	0,3000	0,22	0,5657	-0,08	1,0000	-0,13	0,9250	0,18	0,5449	0,12	0,8292	-0,36	0,3948	-0,47	0,2191	-0,03	0,9327
Mab21i2	15,67	-0,53	0,2650	-0,71	0,1624	0,08	NA	0,05	0,9853	-0,24	0,6671	0,12	0,9257	-0,10	NA	-0,26	0,8511	0,24	0,7296
Mab21i3	1,05	-0,25	NA	-0,13	0,8686	-0,04	NA	-0,18	NA	-0,51	NA	0,28	NA	0,03	NA	-0,05	NA	-0,13	NA
Macf1	2502,86	-0,33	0,0742	-0,73	0,0000	-0,49	0,0083	-0,20	0,6000	-0,51	0,0005	-0,74	0,0019	-0,04	0,9487	0,10	0,8913	-0,05	0,9001
Macrocl1	24,51	0,16	0,8011	0,25	0,7167	0,27	NA	0,03	0,9901	-0,26	0,6326	0,10	0,9305	-0,11	0,9161	0,07	0,9726	-0,64	0,2004
Macrocl2	5,36	-0,18	0,8298	0,06	0,9583	0,14	NA	0,45	0,5550	0,69	0,2355	-0,27	0,8030	0,23	NA	0,35	0,7790	1,10	0,0558
Mad1i1	23,77	-0,22	0,6831	0,02	0,9836	-0,10	NA	0,16	0,9249	0,30	0,4744	-0,18	0,8532	-0,07	NA	0,46	0,5668	0,64	0,1497
Mad2i1	11,80	0,22	0,7530	0,09	0,9337	0,15	NA	0,11	0,9634	-0,37	0,5566	0,20	0,8472	0,26	NA	-0,41	0,7011	-0,47	0,4597
Mad2i1bp	8,01	0,59	0,3141	0,05	0,9666	0,00	NA	0,05	NA	0,06	0,9499	-0,22	0,8417	-0,43	NA	-0,47	0,6460	-0,06	0,9431
Mad2i2	15,34	0,10	0,8910	0,12	0,8897	-0,15	NA	-0,02	0,9925	0,24	0,6605	0,23	0,8065	-0,36	NA	-0,21	0,8860	0,48	0,3573
Madd	9,33	-0,46	0,4626	0,23	0,7725	-0,09	NA	0,23	0,8797	0,53	0,3092	0,38	0,7110	0,23	NA	0,45	0,6723	0,76	0,2186
Maea	133,09	0,33	0,1467	0,46	0,0458	-0,03	1,0000	-0,12	0,9213	-0,07	0,8193	0,30	0,4684	-0,20	0,6947	-0,09	0,9240	0,01	0,9763
Maf	49,15	0,67	0,0277	-0,49	0,2817	-0,18	1,0000	-0,26	0,8196	0,33	0,3987	-0,95	0,0208	0,24	0,7068	-0,03	0,9915	0,38	0,2977
Maf1	78,16	-0,57	0,0175	-0,49	0,1097	0,12	1,0000	0,12	0,9318	-0,12	0,6984	-0,10	0,9024	0,14	0,8442	0,35	0,5640	0,46	0,1413
Mafb	21,03	-0,51	0,2724	-0,51	0,3617	-0,02	NA	-0,02	0,9925	-0,41	0,4040	-0,13	0,9121	0,46	NA	0,41	0,6617	0,40	0,4654
Maff	5,02	0,82	0,1298	0,02	0,9872	-0,03	NA	-0,27	NA	0,22	0,7810	-0,82	0,2614	-0,62	NA	-0,65	0,4133	-0,81	0,2585
Mafg	41,22	0,47	0,2278	-0,57	0,2174	-0,13	1,0000	-0,19	0,8939	0,39	0,3404	-1,18	0,0068	-0,62	0,2427	-0,89	0,0601	-0,10	0,8699
Mafk	43,99	1,24	0,0000	-0,32	0,6041	0,07	NA	0,15	0,9426	0,34	0,4373	-1,10	0,0026	-1,13	0,0011	-1,34	0,0001	-0,91	0,0048
Maged1	617,50	-0,04	0,9333	-0,70	0,0010	-0,17	1,0000	-0,19	0,7729	0,17	0,4677	-0,78	0,0032	-0,26	0,5110	-0,13	0,8525	0,33	0,1779
Maged2	118,06	-0,50	0,0508	-0,05	0,9398	-0,21	1,0000	-0,65	0,0406	-0,58	0,0378	0,15	0,8094	-0,08	0,9121	-0,46	0,3355	-0,44	0,1487
Magee1	60,14	-0,20	0,6221	-0,12	0,8264	-0,41	0,7571	-0,20	0,8786	-0,18	0,6282	0,12	0,8805	-0,10	0,8995	-0,08	0,9570	0,34	0,3367
Mageh1	17,03	0,14	0,8382	-0,34	0,6215	-0,11	NA	0,12	0,9594	-0,39	0,4712	-0,59	0,4146	-0,21	NA	-0,09	0,9615	-0,44	0,4404
Magi1	198,68	0,11	0,7404	-0,07	0,8728	0,03	1,0000	-0,10	0,9396	0,25	0,3429	-0,27	0,5351	-0,12	0,8390	0,12	0,8750	0,23	0,4750
Magi2	15,92	-0,20	0,7608	-0,14	0,8713	0,11	NA	-0,10	0,9649	-0,73	0,1442	-0,22	0,8388	0,13	NA	-0,15	0,9329	-0,47	0,4811
Magi3	543,01	0,19	0,5612	0,23	0,4827	0,04	1,0000	-0,24	0,6921	-0,29	0,2513	0,43	0,2014	0,13	0,7981	0,03	0,9789	-0,10	0,7850

GeneID	CTL	ET-1 vs CTL		SAHA vs CTL		JS28 vs CTL		BSP vs CTL		JQ1 vs CTL		ET-1+SAHA vs ET1		ET-1+JS28 vs ET1		ET-1+BSP vs ET1		ET-1+JQ1 vs ET1	
	mean	log2(FC)	P-adj	log2(FC)	P-adj	log2(FC)	P-adj	log2(FC)	P-adj	log2(FC)	P-adj	log2(FC)	P-adj	log2(FC)	P-adj	log2(FC)	P-adj	log2(FC)	P-adj
Magoh	46,66	0,28	0,4711	0,03	0,9693	0,22	1,0000	0,16	0,9211	-0,13	0,7832	0,12	0,8781	0,23	0,7100	0,19	0,8446	-0,37	0,3739
Magohb	2,87	0,03	0,9760	-0,05	0,9701	-0,01	NA	-0,10	NA	-0,51	0,4614	0,31	0,7691	0,24	NA	0,28	NA	-0,40	0,6284
Magt1	144,70	0,07	0,8461	-0,11	0,8213	-0,45	0,4315	0,02	0,9853	-0,16	0,6082	-0,07	0,9155	0,04	0,9622	-0,25	0,6540	-0,05	0,9335
Mak16	87,96	0,48	0,0472	0,30	0,3827	-0,21	1,0000	-0,22	0,7994	-0,20	0,5689	-0,14	0,8292	-0,16	0,7981	-0,54	0,1915	-0,42	0,2430
Malat1	32850,06	-0,24	0,6907	0,38	0,5138	0,10	1,0000	0,32	0,7454	0,39	0,2847	0,51	0,2265	0,62	0,3101	0,46	0,5919	0,35	0,4433
Malsu1	15,16	0,11	0,8867	0,19	0,8195	0,02	NA	0,22	0,8887	0,23	0,6923	0,38	0,6466	-0,20	NA	-0,17	0,9143	-0,24	0,7077
Malt1	44,39	-0,37	0,2873	0,35	0,3765	-0,03	1,0000	0,33	0,6103	0,59	0,0891	0,29	0,6738	0,37	0,5309	0,29	0,7235	0,28	0,5442
Mamdc2	1,06	0,03	NA	0,10	0,8895	0,00	NA	-0,10	NA	-0,25	NA	0,16	NA	0,00	NA	-0,07	NA	-0,37	NA
Mamdc4	5,67	-0,29	0,7040	-0,38	0,6178	-0,09	NA	-0,05	NA	0,52	0,4158	-0,02	0,9927	0,03	NA	0,19	NA	0,48	0,5477
Maml1	75,40	0,19	0,6113	-0,09	0,8782	0,03	1,0000	0,17	0,8853	0,45	0,0921	-0,34	0,4985	-0,29	0,5893	0,03	0,9854	0,18	0,6483
Maml2	31,42	-0,28	0,5725	0,50	0,2329	0,10	1,0000	-0,09	0,9681	-1,34	0,0003	0,73	0,1491	0,35	0,6048	-0,15	0,9202	-0,55	0,2740
Maml3	29,74	0,27	0,6041	0,44	0,3596	0,22	NA	0,26	0,8352	0,49	0,1784	0,21	0,7990	-0,13	0,8962	0,32	0,7186	0,39	0,4390
Maml1d1	35,71	0,33	0,5231	-0,07	0,9251	0,22	1,0000	-0,36	0,6702	0,13	0,8218	-0,58	0,3656	-0,29	0,6997	-0,21	0,8723	0,18	0,7686
Man1a	37,43	0,18	0,6975	-0,24	0,6844	0,12	1,0000	0,18	0,8934	0,40	0,2498	-0,23	0,7574	-0,36	0,5592	-0,27	0,7668	0,01	0,9953
Man1a2	102,78	-0,12	0,7859	-0,29	0,4714	0,07	1,0000	0,19	0,8540	0,12	0,7611	-0,09	0,9004	0,50	0,2061	0,50	0,2330	0,40	0,3103
Man1b1	42,63	-0,03	0,9598	-0,29	0,5708	-0,09	1,0000	0,31	0,6716	0,66	0,0135	-0,17	0,8402	-0,02	0,9829	0,34	0,6671	0,69	0,0490
Man1c1	116,55	0,24	0,5577	0,02	0,9836	0,43	0,7048	0,59	0,1456	0,21	0,5756	-0,23	0,6687	-0,08	0,9115	-0,06	0,9633	0,12	0,7744
Man2a1	14,88	-0,34	0,5898	-0,26	0,7298	0,21	NA	-0,17	0,9285	0,26	0,6415	-0,07	0,9560	0,18	NA	0,47	0,6200	0,30	0,6491
Man2a2	154,99	-0,03	0,9350	-0,03	0,9462	0,24	1,0000	0,29	0,4647	0,07	0,8180	-0,06	0,9325	0,04	0,9546	0,30	0,5317	-0,19	0,5995
Man2b1	122,52	-0,50	0,0319	-0,07	0,8735	0,33	0,7608	0,06	0,9742	0,67	0,0003	-0,03	0,9755	0,16	0,7972	0,41	0,3851	0,93	0,0001
Man2b2	51,13	-0,45	0,1691	0,16	0,7689	0,51	0,3547	-0,39	0,5477	-0,94	0,0034	-0,17	0,8297	0,54	0,2565	-0,13	0,9192	-0,26	0,5587
Man2c1	34,89	-0,14	0,7790	0,00	0,9992	0,18	1,0000	0,24	0,8121	0,30	0,4551	0,14	0,8781	0,04	0,9713	0,21	0,8511	0,46	0,3285
Man2c1os	1,12	-0,03	NA	-0,21	NA	0,00	NA	0,16	NA	0,22	0,7728	0,21	NA	-0,01	NA	0,00	NA	-0,04	NA
Manba	38,06	-0,44	0,2807	0,02	0,9826	-0,06	1,0000	-0,16	0,9264	-0,18	0,6789	-0,05	0,9581	0,18	0,8355	-0,01	0,9967	-0,29	0,5806
Manbal	19,94	0,61	0,1313	-0,07	0,9462	0,11	NA	0,10	0,9681	0,03	0,9711	-0,65	0,2831	-0,43	0,5101	-0,05	0,9800	-0,72	0,1238
Manea	111,30	-0,15	0,6372	-0,14	0,7320	0,11	1,0000	-0,06	0,9681	-0,46	0,0586	0,29	0,5183	0,54	0,0985	0,19	0,7948	-0,11	0,8377
Maneal	1,51	0,25	NA	0,02	0,9805	0,10	NA	-0,06	NA	-0,19	NA	-0,29	NA	-0,03	NA	-0,24	NA	-0,45	NA
Manf	47,80	0,40	0,2169	0,01	0,9859	-0,20	1,0000	0,17	0,9006	0,32	0,3524	0,00	0,9976	-0,63	0,1641	-0,44	0,4707	-0,06	0,9176
Mansc1	7,93	-0,15	0,8525	0,02	0,9857	0,31	NA	-0,05	0,9853	0,01	0,9912	-0,23	0,8392	0,26	NA	0,28	0,8446	0,41	0,5511
Maoa	81,70	-0,24	0,4691	0,05	0,9292	0,09	1,0000	-0,59	0,0986	-0,88	0,0002	0,31	0,5578	-0,10	0,9019	-0,66	0,1295	-0,86	0,0212
Maob	1,92	-0,66	NA	0,29	0,7164	-0,04	NA	-0,14	NA	-0,43	0,5178	0,53	NA	0,28	NA	0,29	NA	0,28	NA
Map10	7,62	-0,48	0,4413	0,60	0,3047	0,12	NA	0,25	0,8597	0,69	0,1657	0,91	0,1787	0,31	NA	0,75	0,3128	1,19	0,0242
Map1a	251,30	0,39	0,2454	0,66	0,0039	0,02	1,0000	-0,08	0,9626	-0,09	0,8193	-0,27	0,6425	-0,40	0,4117	-0,25	0,7336	-0,11	0,8389
Map1b	767,65	-0,53	0,0105	0,28	0,2834	0,10	1,0000	0,12	0,8966	-0,18	0,5079	-0,04	0,9552	0,03	0,9611	-0,28	0,5624	-0,24	0,4301
Map1c3a	107,53	-0,06	0,9151	-0,24	0,6525	-0,08	1,0000	-0,18	0,8998	0,09	0,8649	-0,26	0,6975	-0,13	0,8779	0,46	0,3846	0,32	0,5367
Map1c3b	167,78	-0,46	0,0279	0,31	0,2549	0,21	1,0000	0,41	0,1923	0,60	0,0023	0,65	0,0287	0,20	0,7037	0,62	0,0436	0,87	0,0000
Map1s	85,66	0,27	0,4864	-0,01	0,9926	0,10	1,0000	-0,09	0,9606	0,39	0,1633	-0,53	0,2796	-0,95	0,0118	-0,55	0,2705	0,29	0,4706
Map2	1,40	-0,25	NA	1,85	0,0000	0,17	NA	0,77	NA	0,94	0,1123	1,53	0,0066	0,20	NA	0,79	NA	0,67	0,3523
Map2k1	79,76	0,90	0,0004	0,17	0,7679	-0,05	1,0000	0,07	0,9741	0,44	0,2391	-0,20	0,7567	-0,54	0,2008	-0,70	0,0724	-0,39	0,2956
Map2k2	65,82	0,01	0,9851	-0,50	0,1855	0,12	1,0000	0,04	0,9853	0,56	0,0586	-0,49	0,3509	-0,21	0,7549	0,42	0,4405	0,45	0,2100
Map2k3	46,67	0,41	0,1951	-0,02	0,9845	-0,05	1,0000	0,17	0,9000	0,77	0,0075	-0,45	0,3900	-0,42	0,4363	-0,12	0,9181	0,52	0,1192
Map2k3os	4,53	0,51	0,4253	0,84	0,1300	0,08	NA	-0,01	NA	-0,21	0,7934	0,12	0,9281	-0,08	NA	-0,49	NA	-0,74	0,2977
Map2k4	381,87	0,11	0,6585	-0,15	0,6032	-0,11	1,0000	0,02	0,9866	0,36	0,0168	0,09	0,8456	-0,04	0,9403	0,03	0,9789	0,50	0,0152
Map2k5	51,92	-0,83	0,0008	-0,12	0,8287	0,00	1,0000	0,06	0,9764	-0,10	0,8329	0,10	0,9149	0,28	0,6695	0,45	0,4862	0,18	0,7321
Map2k6	17,42	-0,66	0,1663	0,34	0,5666	0,18	NA	0,00	0,9998	-0,29	0,6014	0,61	0,3983	1,05	NA	0,92	0,1102	0,16	0,8291

GeneID	CTL	ET-1 vs CTL		SAHA vs CTL		JS28 vs CTL		BSP vs CTL		JQ1 vs CTL		ET-1+SAHA vs ET1		ET-1+JS28 vs ET1		ET-1+BSP vs ET1		ET-1+JQ1 vs ET1	
	mean	log2(FC)	P-adj	log2(FC)	P-adj	log2(FC)	P-adj	log2(FC)	P-adj	log2(FC)	P-adj	log2(FC)	P-adj	log2(FC)	P-adj	log2(FC)	P-adj	log2(FC)	P-adj
Map2k7	97,86	-0,30	0,2772	-0,73	0,0047	-0,04	1,0000	0,08	0,9606	0,53	0,0387	-0,65	0,1014	-0,05	0,9552	0,14	0,8787	0,67	0,0542
Map3k1	52,75	-0,24	0,5309	0,28	0,5149	0,21	1,0000	0,51	0,2196	0,74	0,0020	0,00	0,9976	0,09	0,9121	0,25	0,7766	0,67	0,0189
Map3k10	24,40	0,08	0,9054	0,07	0,9353	0,09	NA	-0,17	0,9220	0,19	0,7070	-0,28	0,7515	-0,34	0,6449	-0,08	0,9646	-0,01	0,9921
Map3k11	24,70	-0,09	0,8824	-0,03	0,9799	0,00	NA	-0,04	0,9853	0,13	0,8182	-0,20	0,8288	-0,38	NA	-0,03	0,9918	0,20	0,7157
Map3k12	32,88	-0,47	0,2364	0,39	0,4128	-0,29	1,0000	-0,54	0,3484	-0,16	0,7497	0,64	0,2177	0,27	0,7016	-0,21	0,8597	0,25	0,6129
Map3k13	14,96	-0,53	0,2724	0,48	0,3553	0,02	NA	0,33	0,7338	0,26	0,6158	0,69	0,2955	0,94	NA	0,98	0,0697	1,09	0,0079
Map3k14	7,97	0,21	0,7873	0,54	0,3981	0,05	NA	0,23	0,8797	1,09	0,0166	-0,13	0,9229	-0,14	NA	0,13	0,9457	0,82	0,1634
Map3k15	8,64	0,28	0,7141	-0,24	0,7842	0,02	NA	-0,41	NA	0,25	0,7432	-0,20	0,8649	-0,05	NA	-0,55	0,5545	-0,10	0,9226
Map3k2	96,47	-0,21	0,5951	-0,03	0,9696	0,00	1,0000	0,31	0,6020	0,10	0,8102	-0,02	0,9837	0,54	0,1729	0,26	0,7193	0,18	0,6871
Map3k3	95,02	0,00	0,9927	0,33	0,2953	0,24	1,0000	0,32	0,5253	0,52	0,0190	0,13	0,8297	-0,07	0,9268	0,39	0,4019	0,57	0,0147
Map3k4	87,43	-0,24	0,4026	0,18	0,6620	-0,05	1,0000	0,20	0,8044	0,32	0,1644	0,13	0,8384	0,13	0,8465	0,40	0,4212	0,45	0,0980
Map3k5	38,62	0,59	0,2209	0,53	0,2889	0,33	1,0000	0,30	0,7688	0,14	0,8033	0,26	0,7678	-0,12	0,9080	0,04	0,9911	-0,60	0,2556
Map3k7	316,75	-0,12	0,6090	0,32	0,1210	-0,22	1,0000	-0,08	0,9430	-0,25	0,2289	0,46	0,1012	0,08	0,8790	0,00	1,0000	-0,14	0,7253
Map3k8	22,17	-0,77	0,0338	0,31	0,5377	-0,25	NA	0,16	0,9211	-0,28	0,5527	0,63	0,3307	0,41	NA	0,31	0,7891	0,30	0,6090
Map3k9	1,24	-0,35	NA	1,15	0,0184	-0,06	NA	-0,01	NA	0,17	0,8345	0,56	NA	0,10	NA	0,05	NA	0,81	0,2290
Map4	755,20	0,19	0,4048	-0,46	0,0047	-0,16	1,0000	-0,12	0,8619	0,60	0,0002	-0,78	0,0012	-0,42	0,1615	-0,35	0,3103	0,48	0,0246
Map4k1	3,23	-0,47	0,4754	-0,48	0,4825	0,00	NA	-0,21	NA	-0,22	0,7877	0,15	0,9008	0,12	NA	-0,19	NA	0,11	0,9192
Map4k2	15,88	-0,96	0,0132	-0,17	0,8182	-0,29	NA	-0,31	0,7688	-0,62	0,1805	0,33	0,7406	0,29	NA	0,17	0,9192	0,42	0,5256
Map4k3	140,02	-0,35	0,1361	-0,69	0,0041	-0,06	1,0000	0,00	0,9998	-0,48	0,0469	-0,19	0,7221	0,35	0,3801	0,17	0,8256	-0,02	0,9753
Map4k4	388,09	-0,17	0,3891	-0,06	0,8365	0,11	1,0000	0,07	0,9417	0,21	0,2663	-0,36	0,2627	0,09	0,8654	0,20	0,6814	0,20	0,4306
Map4k5	139,37	-0,10	0,7745	-0,25	0,4320	0,11	1,0000	-0,04	0,9853	0,00	0,9933	-0,23	0,6446	0,30	0,4836	-0,01	0,9980	0,07	0,8914
Map6	5,59	0,26	0,7389	0,79	0,1617	0,02	NA	0,04	NA	0,38	0,5915	0,03	0,9869	-0,02	NA	-0,29	0,8339	0,15	0,8687
Map6d1	1,67	0,29	NA	0,10	0,8868	-0,04	NA	-0,03	NA	0,58	0,3575	-0,25	NA	-0,36	NA	0,03	NA	-0,17	0,8611
Map7	37,56	-0,15	0,7928	0,71	0,0295	0,24	1,0000	0,05	0,9853	-0,24	0,5728	0,21	0,8028	0,22	0,7789	-0,14	0,9192	-0,26	0,6462
Map7d1	217,64	0,13	0,7582	0,01	0,9818	-0,06	1,0000	-0,09	0,9472	0,54	0,0608	-0,57	0,1463	-0,41	0,3519	-0,16	0,8567	0,58	0,1605
Map7d2	12,49	-0,09	0,9068	1,18	0,0025	-0,10	NA	0,52	0,4481	0,92	0,0185	0,76	0,2360	0,02	NA	0,62	0,4281	1,04	0,0267
Map9	48,12	0,28	0,5034	0,38	0,4395	-0,17	1,0000	-0,07	0,9769	-0,74	0,0461	0,19	0,7789	-0,11	0,8953	-0,63	0,1888	-0,73	0,0215
Mapk1	365,45	0,14	0,5161	0,06	0,8630	0,02	1,0000	0,25	0,4814	0,38	0,0259	0,18	0,6565	-0,02	0,9726	0,09	0,8991	0,22	0,4668
Mapk10	14,44	0,21	0,7845	-0,21	0,8121	-0,12	NA	-0,70	0,1576	-1,84	0,0003	-0,64	0,4187	0,04	NA	-0,35	0,7779	-1,91	0,0006
Mapk11	1,16	-0,04	NA	-0,18	NA	0,00	NA	-0,02	NA	0,03	0,9697	0,15	NA	-0,11	NA	-0,13	NA	0,06	NA
Mapk12	22,92	-0,04	0,9630	0,31	0,5941	-0,18	NA	-0,58	0,3360	-1,75	0,0001	0,54	0,3967	-0,44	NA	-0,92	0,1168	-2,04	0,0000
Mapk14	52,36	0,41	0,2239	0,52	0,1179	0,09	1,0000	0,34	0,6103	0,66	0,0093	-0,04	0,9601	-0,35	0,5530	-0,27	0,7445	0,17	0,6966
Mapk1ip1	26,59	-0,46	0,3091	-0,03	0,9709	0,21	1,0000	0,50	0,3626	0,82	0,0126	0,00	0,9976	0,61	0,2924	0,38	0,6902	0,93	0,0402
Mapk1ip11	135,51	0,16	0,6121	0,00	0,9934	-0,17	1,0000	-0,21	0,7560	0,36	0,0897	-0,08	0,9018	-0,11	0,8568	-0,30	0,5608	0,16	0,6127
Mapk3	56,42	-0,74	0,0152	-0,29	0,5760	-0,12	1,0000	-0,34	0,6589	-1,01	0,0024	0,22	0,7672	0,20	0,7856	0,07	0,9680	-0,47	0,3618
Mapk4	6,76	0,05	0,9560	0,52	0,4275	0,15	NA	-0,38	NA	0,11	0,8844	0,37	0,7131	0,17	NA	-0,67	NA	-0,03	0,9777
Mapk6	176,47	0,59	0,0017	-0,09	0,8456	0,13	1,0000	0,07	0,9683	0,29	0,2172	-0,53	0,0839	-0,23	0,5915	-0,42	0,2279	-0,11	0,7289
Mapk7	19,37	-0,24	0,6718	0,26	0,6865	0,03	NA	-0,05	0,9853	-0,33	0,5284	0,01	0,9937	-0,21	NA	-0,31	0,7939	-0,16	0,8152
Mapk8	89,07	0,02	0,9650	-0,34	0,3413	-0,03	1,0000	0,29	0,6222	0,14	0,7170	-0,31	0,5243	0,39	0,3629	0,09	0,9300	0,27	0,5441
Mapk8ip1	12,48	-0,74	0,1076	1,14	0,0019	-0,01	NA	-0,35	0,7330	-0,54	0,3386	1,57	0,0010	0,38	NA	0,21	0,8937	-0,13	0,8843
Mapk8ip2	2,54	-0,29	0,6966	2,77	0,0000	0,04	NA	-0,13	NA	-0,71	0,2437	2,78	0,0000	0,25	NA	-0,17	NA	-0,18	NA
Mapk8ip3	153,24	0,04	0,9243	0,34	0,1745	0,12	1,0000	0,06	0,9634	0,48	0,0162	0,00	0,9986	-0,05	0,9525	0,37	0,4213	0,43	0,1227
Mapk9	176,65	0,27	0,2091	0,35	0,1745	0,06	1,0000	0,24	0,6614	0,38	0,0615	0,10	0,8443	0,00	0,9953	-0,08	0,9242	0,07	0,8660
Mapkap1	105,49	0,16	0,6339	0,03	0,9587	-0,02	1,0000	0,11	0,9430	-0,08	0,8105	-0,17	0,7955	-0,14	0,8354	-0,05	0,9730	-0,25	0,4650
Mapkapk2	346,06	0,63	0,0006	0,11	0,7486	-0,19	1,0000	-0,07	0,9602	0,47	0,0056	-0,19	0,6955	-0,63	0,0280	-0,42	0,2360	0,32	0,2327

GeneID	CTL	ET-1 vs CTL		SAHA vs CTL		JS28 vs CTL		BSP vs CTL		JQ1 vs CTL		ET-1+SAHA vs ET1		ET-1+JS28 vs ET1		ET-1+BSP vs ET1		ET-1+JQ1 vs ET1	
	mean	log2(FC)	P-adj	log2(FC)	P-adj	log2(FC)	P-adj	log2(FC)	P-adj	log2(FC)	P-adj	log2(FC)	P-adj	log2(FC)	P-adj	log2(FC)	P-adj	log2(FC)	P-adj
Mapkapk3	18,19	-0,41	0,4146	0,67	0,1264	0,06	NA	-0,27	0,8318	-0,81	0,0651	0,55	0,4241	0,02	NA	0,04	0,9911	-0,49	0,4274
Mapkapk5	45,62	0,01	0,9871	0,09	0,8896	0,16	1,0000	-0,09	0,9628	0,14	0,7251	-0,20	0,7966	-0,15	0,8529	0,16	0,8915	0,31	0,4368
Mapkbp1	50,84	-0,09	0,8461	0,30	0,4575	0,13	1,0000	-0,02	0,9901	0,49	0,0685	0,25	0,7027	0,11	0,8922	0,36	0,5705	0,45	0,1634
Mapre1	288,18	0,35	0,0718	0,12	0,7239	-0,16	1,0000	0,03	0,9853	0,33	0,0488	0,05	0,9375	-0,05	0,9309	-0,11	0,8759	0,00	0,9999
Mapre2	369,46	-0,16	0,4618	-0,14	0,6524	-0,13	1,0000	0,03	0,9853	0,51	0,0038	0,06	0,9095	0,02	0,9722	0,23	0,5858	0,72	0,0045
Mapre3	73,98	0,04	0,9340	0,92	0,0000	0,09	1,0000	0,23	0,7688	0,42	0,2116	0,41	0,3707	0,04	0,9654	0,08	0,9531	0,52	0,2333
Mapt	4,91	0,30	0,6939	2,06	0,0000	-0,02	NA	0,08	NA	0,98	0,0829	0,92	0,1894	-0,28	NA	-0,23	NA	0,19	0,8430
Marc2	32,92	0,07	0,9007	0,33	0,4848	0,16	1,0000	0,02	0,9901	-0,11	0,8153	0,13	0,8877	-0,08	0,9360	0,11	0,9379	0,01	0,9924
March11	1,17	0,03	NA	-0,05	NA	0,01	NA	0,03	NA	-0,09	NA	-0,30	NA	0,15	NA	0,16	NA	0,18	0,8427
March2	55,66	-0,19	0,6297	0,40	0,2625	0,18	1,0000	0,00	0,9988	-0,08	0,8574	0,79	0,0270	0,21	0,7336	0,07	0,9602	0,05	0,9252
March3	7,49	0,51	0,4205	0,00	0,9975	-0,22	NA	0,12	NA	0,08	0,9216	-0,61	0,4589	-0,33	NA	-0,67	0,4141	-0,01	0,9923
March5	145,96	0,00	0,9946	0,29	0,2577	0,15	1,0000	0,25	0,6018	-0,02	0,9481	0,44	0,2081	0,18	0,7195	0,21	0,7445	-0,05	0,9143
March6	445,78	0,11	0,6552	-0,03	0,9390	-0,08	1,0000	0,17	0,7488	0,05	0,8691	-0,07	0,8851	-0,04	0,9386	-0,04	0,9606	0,02	0,9652
March7	117,21	-0,14	0,6860	-0,02	0,9804	-0,05	1,0000	0,05	0,9805	0,08	0,8064	0,19	0,7255	0,13	0,8390	0,07	0,9483	0,01	0,9900
March8	107,27	-0,26	0,3761	-0,24	0,4794	-0,02	1,0000	-0,08	0,9600	-0,06	0,8538	-0,19	0,7571	0,03	0,9713	-0,15	0,8655	0,13	0,7389
March9	6,71	0,03	0,9762	0,61	0,3144	0,06	NA	-0,08	NA	-0,20	0,7994	0,19	0,8689	-0,22	NA	-0,31	0,8161	-0,69	0,3466
Marcks	96,10	-0,48	0,1169	-0,72	0,0104	-0,25	1,0000	-0,44	0,3242	-0,69	0,0046	-0,37	0,5106	0,35	0,5200	-0,46	0,4476	-0,23	0,5948
Marcksl1	40,91	-0,54	0,2783	-1,55	0,0000	-0,16	1,0000	-0,98	0,0052	-0,81	0,0451	-1,40	0,0107	0,10	0,9262	-0,67	0,3751	0,05	0,9557
Marf1	281,14	-0,59	0,0020	-0,36	0,1411	-0,20	1,0000	-0,01	0,9932	0,28	0,1621	0,14	0,8043	0,22	0,6265	0,38	0,3333	0,75	0,0006
Mark1	26,18	0,67	0,0597	0,04	0,9729	-0,19	NA	-0,36	0,7107	-1,31	0,0025	-0,63	0,2786	-0,50	0,3979	-1,30	0,0035	-1,64	0,0000
Mark2	111,29	-0,05	0,8991	0,11	0,8066	0,05	1,0000	0,19	0,7737	0,84	0,0002	-0,05	0,9446	-0,17	0,7500	0,16	0,8412	0,96	0,0009
Mark3	136,10	0,17	0,5070	0,33	0,2122	0,15	1,0000	0,30	0,4833	0,17	0,5059	0,02	0,9742	0,14	0,7992	0,27	0,5858	0,00	0,9959
Mark4	53,72	-0,09	0,8730	0,28	0,5981	0,03	1,0000	-0,06	0,9827	0,49	0,3005	-0,12	0,8867	-0,13	0,8771	0,17	0,8832	0,64	0,1813
Mars	117,24	0,81	0,0081	-0,03	0,9706	-0,07	1,0000	-0,30	0,7160	0,11	0,7977	-0,94	0,0109	-1,16	0,0005	-1,20	0,0003	-0,50	0,1650
Mars2	16,75	0,41	0,4210	0,57	0,2813	0,03	NA	0,13	0,9563	0,36	0,4780	0,52	0,4223	-0,27	NA	-0,25	0,8412	0,06	0,9298
Marveld1	90,47	0,48	0,1037	0,03	0,9728	0,14	1,0000	-0,25	0,8039	-0,29	0,4755	-0,15	0,8206	-0,37	0,4116	-0,03	0,9874	-0,42	0,2680
Marveld2	1,74	-0,07	NA	-0,07	0,9357	0,06	NA	0,05	NA	0,20	0,8022	-0,30	NA	0,03	NA	-0,03	NA	0,09	0,9325
Mas1	1,31	-0,37	NA	0,23	0,7720	-0,08	NA	-0,15	NA	-0,59	0,3060	0,73	NA	0,01	NA	-0,07	NA	-0,14	NA
Masp1	29,80	-0,27	0,6549	-0,02	0,9818	0,16	1,0000	-0,43	0,5914	0,00	0,9953	0,00	0,9982	0,34	0,6315	-0,54	0,4889	0,01	0,9935
Masp2	3,54	0,62	0,2844	0,32	0,6521	0,00	NA	0,12	NA	0,15	0,8526	-0,21	0,8534	-0,26	NA	-0,35	NA	-1,04	0,1192
Mast1	3,63	-0,29	0,7046	-0,46	0,4929	-0,16	NA	-0,20	NA	0,01	0,9945	0,25	0,8196	0,16	NA	-0,12	NA	0,28	0,7518
Mast2	338,46	0,11	0,7706	0,17	0,6759	-0,14	1,0000	-0,25	0,7007	0,32	0,2162	-0,11	0,8342	-0,61	0,0302	-0,27	0,5606	0,30	0,2748
Mast3	21,42	-0,21	0,7366	0,67	0,1400	-0,09	NA	-0,13	0,9510	0,20	0,7251	0,22	0,8135	-0,60	NA	-0,15	0,9264	0,30	0,6142
Mast4	274,07	0,42	0,0695	-0,42	0,1568	-0,29	1,0000	-0,17	0,8662	-0,09	0,7971	-0,68	0,0122	-0,55	0,0543	-0,45	0,1603	-0,07	0,8494
Mastl	5,84	-0,42	0,5328	0,14	0,8801	0,14	NA	0,24	0,8643	0,28	0,6875	0,51	0,5760	0,22	NA	0,06	NA	0,62	0,3884
Mat2a	134,18	0,56	0,0156	-0,18	0,6519	0,04	1,0000	0,35	0,4033	0,23	0,3941	-0,50	0,2079	-0,13	0,8492	-0,20	0,7948	-0,18	0,6897
Mat2b	185,86	0,03	0,9413	-0,09	0,8152	0,02	1,0000	0,20	0,7048	-0,16	0,4927	0,16	0,7370	0,27	0,5107	0,23	0,6663	-0,01	0,9766
Matk	5,86	-0,40	0,5607	0,05	0,9652	-0,01	NA	0,02	0,9925	0,47	0,4584	-0,18	0,8810	0,12	NA	0,33	NA	0,01	0,9923
Matr2	10,02	-0,59	0,3143	-0,99	0,0575	-0,45	NA	-0,69	0,1720	-0,67	0,2452	-1,04	0,1072	-0,33	NA	-0,20	0,9065	-0,52	0,5040
Matr3	548,86	-0,30	0,0432	-0,05	0,8738	-0,02	1,0000	0,18	0,6754	-0,08	0,7331	0,33	0,2761	0,42	0,1426	0,47	0,0563	0,15	0,6127
Mau2	198,04	-0,35	0,0576	-0,31	0,2025	0,08	1,0000	0,12	0,8968	0,11	0,7060	-0,12	0,8290	0,19	0,6809	0,34	0,4290	0,31	0,2730
Mavs	51,20	-0,14	0,7534	0,41	0,2673	0,11	1,0000	-0,25	0,7854	-0,37	0,3303	0,37	0,4876	-0,01	0,9946	0,03	0,9878	-0,29	0,4848
Max	34,88	-0,04	0,9485	0,35	0,4596	0,13	1,0000	0,07	0,9770	0,28	0,4636	0,18	0,8263	-0,05	0,9628	-0,05	0,9792	0,00	0,9982
Maz	63,67	0,01	0,9905	-0,02	0,9822	0,39	0,7608	0,07	0,9717	0,00	0,9977	-0,75	0,0837	-0,11	0,8910	0,15	0,8843	0,17	0,7978
Mb	173,47	0,17	0,6380	0,07	0,8765	0,84	0,0002	-0,51	0,1056	-1,47	0,0000	0,12	0,8557	0,92	0,0012	0,07	0,9494	-0,83	0,0442

GeneID	CTL	ET-1 vs CTL		SAHA vs CTL		JS28 vs CTL		BSP vs CTL		JQ1 vs CTL		ET-1+SAHA vs ET1		ET-1+JS28 vs ET1		ET-1+BSP vs ET1		ET-1+JQ1 vs ET1	
	mean	log2(FC)	P-adj	log2(FC)	P-adj	log2(FC)	P-adj	log2(FC)	P-adj	log2(FC)	P-adj	log2(FC)	P-adj	log2(FC)	P-adj	log2(FC)	P-adj	log2(FC)	P-adj
Mb21d2	34,99	0,20	0,6731	-0,55	0,2182	0,08	1,0000	0,23	0,8465	-0,18	0,6951	-0,55	0,3200	-0,56	0,2991	-0,20	0,8577	-0,32	0,4634
Mbd1	12,79	-0,09	0,9084	0,08	0,9342	0,06	NA	-0,16	0,9399	0,20	0,7454	0,24	0,8095	0,03	NA	0,05	0,9870	0,35	0,5650
Mbd2	100,87	0,08	0,8554	-0,09	0,8520	0,00	1,0000	0,08	0,9634	-0,07	0,8417	-0,14	0,8297	0,13	0,8504	0,02	0,9918	-0,26	0,4497
Mbd3	52,56	0,36	0,2737	-0,47	0,2668	-0,06	1,0000	-0,13	0,9399	-0,02	0,9675	-0,62	0,1626	-0,67	0,1067	-0,32	0,6492	-0,28	0,4964
Mbd4	7,25	-0,14	0,8621	0,44	0,5209	0,00	NA	0,03	0,9858	-0,02	0,9805	0,74	0,3169	0,01	NA	0,02	0,9947	0,11	0,9138
Mbd5	75,00	-0,58	0,0186	0,22	0,5981	0,17	1,0000	0,17	0,8643	-0,17	0,6373	0,44	0,3269	0,55	0,1799	0,45	0,3804	0,12	0,8055
Mbd6	55,85	-0,08	0,9032	-0,47	0,2817	-0,11	1,0000	-0,11	0,9527	0,84	0,1265	-1,20	0,0089	-0,47	0,4336	-0,24	0,8339	0,78	0,2430
Mbip	30,74	-0,02	0,9698	0,19	0,7550	0,16	1,0000	-0,29	0,7630	-0,78	0,0459	0,28	0,7143	0,37	0,5530	0,01	0,9967	-1,09	0,0116
Mblac2	34,34	-0,45	0,2450	0,18	0,7592	-0,07	1,0000	-0,12	0,9497	0,03	0,9599	0,60	0,2726	0,80	0,0743	0,21	0,8583	0,18	0,8004
Mbn1	348,06	-0,19	0,5622	-0,55	0,0161	-0,09	1,0000	0,13	0,8903	-0,06	0,8238	-0,11	0,8596	0,30	0,4940	-0,05	0,9712	-0,09	0,8265
Mbn2	967,35	0,96	0,0000	-0,37	0,0429	-0,18	1,0000	0,05	0,9626	0,11	0,5774	-0,57	0,0270	-0,43	0,1404	-0,63	0,0126	-0,42	0,1187
Mbn3	10,51	-0,01	0,9943	0,39	0,5755	-0,03	NA	0,21	0,8998	0,06	0,9391	0,43	0,6320	0,29	NA	0,21	0,8972	-0,16	0,8510
Mboat2	81,93	0,30	0,3188	0,48	0,1157	0,09	1,0000	0,23	0,7688	0,51	0,0319	0,53	0,1485	0,13	0,8390	0,41	0,3755	0,35	0,2430
Mboat7	56,40	0,28	0,4083	0,18	0,7298	-0,10	1,0000	-0,27	0,7620	0,32	0,2984	-0,06	0,9401	-0,85	0,0267	-0,58	0,2422	0,29	0,4234
Mbtd1	192,97	-0,60	0,0005	-0,32	0,2174	0,05	1,0000	0,01	0,9938	-0,43	0,0286	0,12	0,8292	0,55	0,0637	0,41	0,2637	0,00	0,9993
Mbtps1	189,74	-0,08	0,8312	-0,03	0,9551	0,09	1,0000	0,28	0,4665	0,54	0,0007	0,06	0,9318	-0,01	0,9877	0,39	0,3865	0,60	0,0152
Mbtps2	91,52	0,13	0,7347	0,26	0,5044	0,01	1,0000	0,08	0,9634	-0,13	0,6869	0,30	0,5019	0,27	0,5736	-0,29	0,6395	-0,25	0,4513
Mcam	258,09	-0,28	0,3435	-1,00	0,0000	-0,40	0,5932	-0,31	0,5630	-0,03	0,9308	-0,91	0,0012	-0,55	0,0915	-0,11	0,9025	-0,08	0,8495
Mcat	15,42	-0,01	0,9901	0,02	0,9818	0,11	NA	0,17	0,9269	0,73	0,0943	0,38	0,6535	-0,23	NA	0,21	0,8793	0,44	0,3961
Mcc	122,85	0,06	0,9252	-0,27	0,5845	-0,23	1,0000	-0,26	0,7708	-0,43	0,1730	-0,38	0,4487	-0,73	0,0550	-0,67	0,1069	-0,44	0,2015
Mccc1	21,37	-0,27	0,6159	0,54	0,2101	0,12	NA	-0,08	0,9746	-1,01	0,0136	0,21	0,8270	0,32	NA	-0,14	0,9315	-0,88	0,1055
Mccc2	20,90	-0,10	0,8804	0,20	0,7791	0,26	NA	0,18	0,9140	-0,13	0,8169	0,26	0,7672	0,09	NA	0,19	0,8926	-0,45	0,4365
Mcee	18,39	0,14	0,8470	0,28	0,6920	0,06	NA	0,20	0,9004	-0,20	0,7566	0,55	0,4271	-0,03	NA	0,01	0,9971	-0,32	0,6236
Mcf2l	4,23	-0,18	0,8295	0,96	0,0651	-0,02	NA	-0,06	NA	-1,17	0,0355	0,43	0,6583	-0,04	NA	-0,62	NA	-0,99	0,1238
Mcfd2	48,04	0,01	0,9810	-0,22	0,6573	-0,09	1,0000	0,12	0,9399	0,06	0,8873	0,19	0,7972	0,10	0,9038	0,18	0,8618	0,10	0,8569
Mcl1	191,95	0,02	0,9605	-0,10	0,7809	0,10	1,0000	0,01	0,9956	0,43	0,0407	0,08	0,8867	0,12	0,8376	0,00	1,0000	0,64	0,0129
Mcm10	1,25	0,00	NA	0,15	0,8511	0,10	NA	-0,04	NA	-0,18	NA	0,03	NA	0,20	NA	0,07	NA	0,43	0,5957
Mcm2	17,31	-0,44	0,4418	0,25	0,7494	-0,22	NA	-0,65	0,2463	-0,87	0,0775	0,64	0,3520	-0,39	NA	-0,73	0,3303	-0,73	0,2237
Mcm3	19,77	0,11	0,8803	-0,27	0,7297	-0,05	NA	-0,64	0,2509	-0,97	0,0456	-0,81	0,1912	-0,28	NA	-0,98	0,0796	-1,78	0,0001
Mcm3ap	109,38	-0,28	0,2822	-0,68	0,0061	-0,07	1,0000	-0,13	0,9058	-0,72	0,0013	-0,71	0,0417	-0,13	0,8445	-0,09	0,9334	-0,54	0,0830
Mcm4	35,04	-0,14	0,7900	-0,33	0,5314	-0,20	1,0000	-0,44	0,5298	-0,81	0,0271	-0,77	0,1535	-0,10	0,9121	-0,70	0,2275	-0,57	0,2017
Mcm5	12,27	-0,35	0,5656	-0,98	0,0488	-0,21	NA	-0,38	0,6921	-0,87	0,0827	-0,75	0,3148	0,08	NA	-0,29	0,8364	-0,82	0,1930
Mcm6	12,57	-0,06	0,9462	-0,31	0,6882	-0,17	NA	-0,28	0,8337	-1,10	0,0306	-0,60	0,4487	0,14	NA	-0,59	0,4875	-0,67	0,2616
Mcm7	29,11	-0,53	0,1504	-0,36	0,4750	-0,21	1,0000	0,08	0,9746	0,01	0,9833	-0,09	0,9340	0,41	0,5274	0,27	0,8020	0,48	0,2812
Mcm8	6,43	0,28	0,7125	-0,48	0,4910	0,26	NA	0,15	NA	-0,01	0,9878	-0,82	0,2592	-0,17	NA	0,10	0,9630	-0,11	0,9168
Mcm9	10,45	0,11	0,8878	-0,02	0,9851	-0,09	NA	-0,04	0,9853	0,00	0,9961	-0,35	0,7290	0,10	NA	-0,07	0,9792	0,36	0,5660
Mcmbp	93,40	0,20	0,5375	0,00	0,9943	-0,02	1,0000	0,06	0,9753	0,33	0,1949	-0,20	0,7406	-0,26	0,6232	0,02	0,9927	0,18	0,6127
Mcoln1	55,25	-0,31	0,3631	0,13	0,8112	0,11	1,0000	0,35	0,5632	0,76	0,0012	0,51	0,2662	0,19	0,7883	0,60	0,1715	0,98	0,0013
Mcph1	46,30	-0,24	0,5297	0,46	0,1721	-0,12	1,0000	0,08	0,9681	-0,13	0,7558	0,13	0,8689	0,14	0,8615	-0,19	0,8597	-0,16	0,7480
Mcpt4	2,46	-0,08	0,9298	-0,46	0,3477	-0,06	NA	-0,09	NA	-0,46	0,4542	-0,45	NA	-0,14	NA	-0,14	NA	-0,45	NA
Mcrs1	54,35	0,12	0,8051	-0,69	0,0455	-0,14	1,0000	0,00	0,9990	-0,14	0,7130	-0,38	0,5319	-0,16	0,8318	-0,02	0,9918	-0,08	0,8716
Mctp1	1,22	-0,45	NA	-0,46	0,3448	-0,03	NA	-0,15	NA	0,03	0,9718	-0,09	NA	0,29	NA	0,13	NA	0,22	NA
Mcts1	23,81	0,06	0,9355	0,60	0,1742	0,10	NA	0,07	0,9798	-0,44	0,3535	0,55	0,3475	0,15	0,8658	0,07	0,9708	-0,29	0,6127
Mcts2	23,63	0,40	0,3545	0,32	0,5864	0,07	NA	-0,12	0,9601	-0,25	0,6404	0,48	0,4325	-0,19	0,8244	-0,34	0,7198	0,13	0,8389
Mcu	16,69	0,28	0,6239	0,00	0,9981	-0,19	NA	0,17	0,9269	1,09	0,0024	-0,61	0,3930	-0,27	NA	0,14	0,9300	0,68	0,1498

GeneID	CTL	ET-1 vs CTL		SAHA vs CTL		JS28 vs CTL		BSP vs CTL		JQ1 vs CTL		ET-1+SAHA vs ET1		ET-1+JS28 vs ET1		ET-1+BSP vs ET1		ET-1+JQ1 vs ET1	
	mean	log2(FC)	P-adj	log2(FC)	P-adj	log2(FC)	P-adj	log2(FC)	P-adj	log2(FC)	P-adj	log2(FC)	P-adj	log2(FC)	P-adj	log2(FC)	P-adj	log2(FC)	P-adj
Mcur1	49,92	0,12	0,8095	-0,48	0,2435	-0,12	1,0000	0,17	0,9004	0,34	0,3091	-0,69	0,1357	0,01	0,9946	0,19	0,8401	0,27	0,4655
Mdc1	123,97	0,06	0,8953	0,12	0,8349	-0,17	1,0000	0,00	0,9998	0,68	0,0110	-0,45	0,2833	-0,39	0,3948	-0,17	0,8429	0,55	0,0840
Mdfi	2,03	-0,30	NA	1,00	0,0556	0,10	NA	0,01	NA	-0,39	0,5902	0,89	0,1882	0,16	NA	-0,04	NA	-0,44	NA
Mdfic	9,35	0,45	0,4698	-0,02	0,9857	0,12	NA	-0,07	0,9809	0,01	0,9872	-0,41	0,6600	-0,13	NA	-0,51	0,5938	-0,33	0,6525
Mdga1	89,87	-0,90	0,0004	-0,39	0,2361	-0,07	1,0000	-0,30	0,6388	-0,58	0,0741	0,13	0,8781	0,15	0,8536	0,48	0,4019	0,34	0,5770
Mdga2	14,12	1,05	0,0155	0,81	0,1411	-0,10	NA	0,02	0,9910	0,26	0,7160	-0,13	0,9018	-0,67	NA	-0,23	0,8511	-0,28	0,6374
Mdh1	1145,38	0,64	0,0078	0,31	0,3222	-0,02	1,0000	0,06	0,9741	-0,43	0,0618	0,24	0,6125	0,08	0,9034	0,14	0,8507	-0,69	0,0066
Mdh2	376,44	0,43	0,0303	0,04	0,9359	-0,03	1,0000	0,01	0,9967	0,30	0,2119	-0,08	0,8735	-0,30	0,4038	-0,01	0,9971	0,16	0,6090
Mdk	5,41	-0,09	0,9207	0,00	0,9964	0,08	NA	-0,14	NA	-0,92	0,1240	0,11	0,9351	0,30	NA	-0,77	NA	-0,78	0,2761
Mdm1	8,96	-0,17	0,8329	0,45	0,4938	0,04	NA	0,39	0,6835	0,91	0,0394	0,40	0,6738	0,49	NA	0,31	0,8100	1,17	0,0142
Mdm2	213,74	0,01	0,9810	-0,08	0,8427	-0,06	1,0000	-0,25	0,6129	-0,30	0,1809	0,11	0,8295	0,22	0,6024	-0,22	0,6978	-0,27	0,4125
Mdm4	81,74	-0,51	0,0342	0,11	0,8277	-0,25	1,0000	0,39	0,3748	-0,13	0,6854	0,27	0,6257	0,51	0,1936	0,34	0,5448	-0,06	0,9186
Mdn1	129,54	0,37	0,2048	0,19	0,6068	-0,31	0,9896	-0,32	0,5477	-0,78	0,0004	-0,68	0,0731	-0,59	0,1368	-0,66	0,0825	-0,94	0,0019
Mdp1	57,82	0,34	0,3992	-0,37	0,4045	-0,17	1,0000	-0,13	0,9417	-0,81	0,0160	-0,27	0,6978	-0,18	0,8126	-0,26	0,7747	-0,84	0,0286
Me1	187,13	-0,17	0,6446	-0,25	0,4697	-0,18	1,0000	0,15	0,8731	-0,14	0,6363	-0,21	0,7035	-0,27	0,5851	-0,43	0,3627	-0,30	0,4194
Me2	19,16	0,22	0,7197	0,35	0,5626	-0,09	NA	0,26	0,8420	0,10	0,8776	0,02	0,9902	-0,14	NA	-0,34	0,7442	-0,05	0,9506
Me3	18,74	0,48	0,3474	-0,26	0,7526	0,33	NA	0,05	0,9853	-0,57	0,3124	-0,52	0,4699	0,11	0,9102	0,00	1,0000	-1,36	0,0027
Mea1	16,36	0,03	0,9648	-0,53	0,3667	-0,06	NA	-0,19	0,9156	0,35	0,4819	-0,65	0,3575	-0,68	NA	-0,31	0,7969	0,23	0,7208
Meaf6	24,13	-0,20	0,7134	-1,05	0,0077	-0,12	NA	0,11	0,9600	0,76	0,0209	-1,17	0,0312	0,21	0,8137	0,12	0,9400	0,92	0,0366
Mecom	1,36	-0,17	NA	0,35	0,6236	0,01	NA	0,04	NA	-0,65	NA	0,52	NA	0,25	NA	0,12	NA	-0,24	NA
Mecp2	184,11	-0,14	0,6182	-0,26	0,3774	-0,27	0,9896	0,20	0,7334	0,44	0,0208	-0,10	0,8678	0,09	0,8719	0,26	0,5975	0,62	0,0203
Mecr	10,10	0,62	0,2324	0,53	0,4075	-0,01	NA	-0,09	0,9713	-0,13	0,8693	-0,06	0,9627	-0,52	NA	-0,61	0,4724	-0,73	0,2051
Med1	220,99	-0,02	0,9528	-0,05	0,9044	-0,04	1,0000	-0,07	0,9601	0,28	0,1506	-0,14	0,7809	0,02	0,9765	-0,01	0,9967	0,45	0,0347
Med10	16,28	0,03	0,9743	0,21	0,7842	0,04	NA	-0,16	0,9399	0,23	0,6802	0,44	0,5727	0,20	NA	0,10	0,9572	0,15	0,8298
Med11	11,79	0,13	0,8616	-0,64	0,2871	-0,08	NA	-0,11	0,9634	-0,62	0,2756	-0,83	0,2383	-0,09	NA	-0,13	0,9470	-0,10	0,9062
Med12	133,03	-0,35	0,1441	-1,02	0,0000	-0,13	1,0000	-0,23	0,7008	-0,64	0,0512	-1,01	0,0013	-0,10	0,8817	-0,30	0,6112	-0,61	0,1226
Med12l	101,80	-0,30	0,2773	0,19	0,6230	-0,17	1,0000	0,16	0,8706	0,35	0,1126	0,28	0,5699	0,15	0,8040	0,35	0,4948	0,48	0,0957
Med13	649,99	-0,20	0,2732	-0,28	0,1789	-0,17	1,0000	0,02	0,9853	0,06	0,8057	-0,14	0,7308	0,29	0,3426	0,14	0,7915	0,35	0,0834
Med13l	193,11	-0,28	0,2391	-0,28	0,3353	-0,07	1,0000	0,10	0,9340	0,41	0,0293	-0,43	0,2317	-0,06	0,9305	0,22	0,6994	0,80	0,0001
Med14	137,71	0,05	0,8916	-0,06	0,8916	-0,15	1,0000	0,21	0,7443	0,42	0,0338	0,05	0,9398	0,03	0,9634	0,00	1,0000	0,50	0,0306
Med15	84,16	-0,17	0,7107	0,11	0,8471	0,16	1,0000	0,05	0,9853	0,30	0,4028	-0,06	0,9450	0,05	0,9505	0,19	0,8309	0,45	0,2251
Med16	43,54	-0,37	0,3036	-0,84	0,0144	-0,04	1,0000	-0,27	0,7652	0,52	0,0664	-0,85	0,0939	-0,50	0,3824	0,13	0,9181	0,57	0,1129
Med17	38,13	-0,13	0,8201	-0,40	0,4373	0,05	1,0000	-0,03	0,9860	0,00	0,9981	0,04	0,9726	0,17	0,8445	0,17	0,8915	0,25	0,6016
Med18	5,75	0,00	0,9993	0,61	0,3267	-0,07	NA	0,17	NA	0,25	0,7328	0,30	0,7819	0,16	NA	0,03	0,9918	0,36	0,6377
Med19	67,61	0,41	0,1734	-0,03	0,9666	-0,17	1,0000	0,00	0,9988	0,07	0,8674	-0,30	0,6184	-0,15	0,8291	-0,28	0,6906	0,07	0,8762
Med20	23,40	-0,15	0,8165	-0,08	0,9315	-0,01	NA	-0,19	0,9084	-0,17	0,7694	-0,10	0,9302	-0,07	NA	0,08	0,9616	-0,43	0,4258
Med21	60,19	0,20	0,6062	0,18	0,7183	-0,09	1,0000	-0,18	0,8797	-0,67	0,0462	0,43	0,3586	-0,01	0,9864	-0,10	0,9372	-0,41	0,3515
Med22	23,70	0,05	0,9413	-0,17	0,8213	0,10	NA	0,21	0,8814	0,42	0,3410	-0,19	0,8424	-0,08	0,9399	0,09	0,9594	0,39	0,4087
Med23	87,42	-0,25	0,4754	-0,07	0,8947	-0,11	1,0000	-0,09	0,9559	-0,20	0,5177	0,05	0,9566	0,01	0,9898	-0,05	0,9734	0,07	0,8763
Med24	108,08	-0,04	0,9402	-0,31	0,3575	-0,09	1,0000	-0,38	0,4144	-0,66	0,0040	-0,06	0,9398	-0,24	0,6719	-0,20	0,8018	-0,73	0,0066
Med25	95,93	-0,35	0,2360	0,08	0,8873	-0,06	1,0000	-0,18	0,8494	0,25	0,4675	-0,19	0,7599	-0,42	0,3789	0,04	0,9831	0,28	0,5095
Med26	17,54	-0,17	0,7954	0,34	0,5836	0,24	NA	0,26	0,8420	0,79	0,0258	0,43	0,5755	-0,10	NA	0,44	0,6114	0,87	0,0346
Med27	18,42	0,46	0,3392	-0,08	0,9390	-0,18	NA	-0,16	0,9399	-0,39	0,5106	-0,42	0,5865	-0,66	NA	-0,54	0,4938	-0,54	0,2956
Med28	28,18	0,00	0,9995	0,08	0,9132	-0,04	NA	0,05	0,9853	0,06	0,9091	0,43	0,4788	-0,06	0,9555	0,07	0,9730	-0,16	0,7964
Med29	19,97	0,31	0,5798	0,30	0,6564	0,08	NA	0,24	0,8671	0,21	0,7229	0,34	0,6642	0,01	0,9928	0,25	0,8343	0,19	0,7411

GeneID	CTL	ET-1 vs CTL		SAHA vs CTL		JS28 vs CTL		BSP vs CTL		JQ1 vs CTL		ET-1+SAHA vs ET1		ET-1+JS28 vs ET1		ET-1+BSP vs ET1		ET-1+JQ1 vs ET1	
	mean	log2(FC)	P-adj	log2(FC)	P-adj	log2(FC)	P-adj	log2(FC)	P-adj	log2(FC)	P-adj	log2(FC)	P-adj	log2(FC)	P-adj	log2(FC)	P-adj	log2(FC)	P-adj
Med30	21,72	-0,03	0,9627	-0,63	0,2146	-0,05	NA	-0,25	0,8504	-1,34	0,0014	0,14	0,8872	0,31	0,6786	-0,23	0,8567	-0,78	0,1091
Med31	14,09	0,13	0,8493	-0,04	0,9752	-0,14	NA	0,16	0,9399	0,34	0,5242	0,11	0,9281	-0,11	NA	0,23	0,8655	-0,09	0,9138
Med4	26,83	0,08	0,9020	0,24	0,7113	0,11	NA	0,22	0,8699	-0,14	0,7844	-0,19	0,8374	-0,19	0,8355	0,02	0,9946	0,03	0,9643
Med6	27,15	-0,28	0,5270	-0,38	0,4534	-0,23	NA	-0,36	0,6551	-0,72	0,0546	0,09	0,9307	0,32	0,6449	-0,08	0,9688	-0,30	0,5937
Med7	65,17	0,16	0,6684	-0,09	0,8722	0,10	1,0000	0,23	0,7688	0,19	0,6360	0,01	0,9892	0,38	0,4307	0,10	0,9292	-0,07	0,9129
Med8	26,06	0,14	0,8078	-0,22	0,7500	-0,03	NA	-0,22	0,8797	-0,64	0,1283	0,00	0,9982	-0,17	0,8492	-0,28	0,7915	-0,41	0,4231
Med9	70,80	-0,10	0,8280	-0,03	0,9658	-0,19	1,0000	-0,20	0,8569	-0,26	0,4508	0,15	0,8291	-0,19	0,7737	-0,05	0,9789	-0,04	0,9395
Med9os	1,13	-0,08	NA	-0,14	0,8323	-0,05	NA	0,05	NA	-0,17	0,8004	0,34	NA	-0,04	NA	-0,04	NA	-0,31	NA
Mef2a	1025,13	-0,15	0,5900	-0,13	0,7075	-0,11	1,0000	0,21	0,6770	0,15	0,4895	0,18	0,6763	0,31	0,3340	0,30	0,3984	0,27	0,2289
Mef2b	8,40	0,72	0,2078	0,73	0,2114	-0,09	NA	0,08	NA	0,63	0,2895	-0,44	0,6517	-0,60	NA	-0,50	0,6153	-0,51	0,5004
Mef2c	302,04	0,25	0,2119	-0,37	0,0844	-0,30	0,7284	0,04	0,9762	-0,19	0,4464	0,09	0,8588	0,30	0,3789	0,09	0,9023	0,19	0,4130
Mef2d	173,50	-0,23	0,4870	0,02	0,9747	-0,28	1,0000	-0,26	0,6892	0,05	0,9178	-0,09	0,8910	-0,01	0,9878	0,21	0,7592	0,51	0,2317
Meg3	81,51	0,55	0,0205	0,92	0,0001	0,12	1,0000	-1,08	0,0001	0,12	0,8352	0,17	0,7688	-0,25	0,6372	-0,85	0,0144	-0,01	0,9921
Megf8	174,46	-0,43	0,0134	-0,52	0,0099	0,03	1,0000	-0,17	0,7850	0,14	0,6326	-0,36	0,4042	-0,26	0,5580	0,07	0,9507	0,39	0,2903
Megf9	17,06	0,26	0,6980	0,62	0,2760	0,22	NA	0,24	0,8768	0,60	0,2101	0,29	0,7305	0,18	NA	0,29	0,7880	0,87	0,0181
Meis1	189,20	0,33	0,3159	-0,34	0,2426	-0,33	0,7886	-0,14	0,8917	0,21	0,4449	-0,62	0,1357	-0,57	0,1599	-0,61	0,1370	-0,27	0,5073
Meis2	62,90	-0,15	0,7275	-0,58	0,0723	-0,15	1,0000	0,23	0,7690	0,62	0,0197	-0,48	0,3590	-0,09	0,9150	0,32	0,6401	0,74	0,0226
Meis3	15,37	-0,48	0,3930	0,02	0,9848	0,17	NA	-0,11	0,9634	-0,27	0,6649	0,19	0,8669	0,15	NA	0,12	0,9494	-0,15	0,8779
Memo1	52,35	0,19	0,6813	-0,17	0,7686	-0,03	1,0000	0,25	0,7886	0,37	0,2580	-0,20	0,7826	-0,02	0,9828	0,18	0,8583	0,29	0,4740
Men1	19,27	0,25	0,6642	0,51	0,3408	0,20	NA	-0,04	0,9854	-0,02	0,9796	0,25	0,7709	-0,04	0,9728	-0,02	0,9936	-0,12	0,8436
Mepce	32,99	-0,05	0,9327	-1,01	0,0074	0,04	1,0000	0,07	0,9764	0,87	0,0022	-0,70	0,2117	0,29	0,6750	0,41	0,5744	1,01	0,0066
Mertk	5,86	-0,44	0,5059	0,60	0,3295	-0,02	NA	-0,02	0,9901	-0,20	0,7977	0,67	0,3966	0,23	NA	0,49	0,6262	0,17	0,8542
Mesdc1	21,44	0,35	0,5083	-0,46	0,4575	-0,33	NA	-0,12	0,9626	0,22	0,6928	-0,62	0,3345	-0,81	NA	-0,56	0,4460	0,18	0,7557
Mesdc2	79,27	0,26	0,5120	-0,17	0,7702	0,05	1,0000	-0,02	0,9901	-0,24	0,5338	-0,07	0,9242	0,04	0,9603	-0,08	0,9461	-0,26	0,5393
Mest	406,72	1,76	0,0000	0,24	0,5671	0,46	0,4885	-0,23	0,7932	0,16	0,6520	0,23	0,6610	-0,57	0,1068	-1,50	0,0000	-0,73	0,0333
Met	9,37	-0,07	0,9329	-0,36	0,6246	-0,23	NA	-0,69	0,1814	-0,31	0,6365	-0,53	0,5525	-0,39	NA	-0,65	0,4329	-0,96	0,1330
Metap1	111,42	0,39	0,0891	-0,16	0,7134	0,03	1,0000	0,14	0,8937	0,40	0,0694	-0,07	0,9192	-0,25	0,5989	-0,33	0,5375	0,32	0,2457
Metap1d	32,13	-0,32	0,5068	-0,42	0,3943	0,01	1,0000	-0,29	0,7737	-1,68	0,0000	-0,26	0,7663	0,49	0,4116	-0,22	0,8590	-1,22	0,0070
Metap2	293,54	0,17	0,4083	0,30	0,1380	0,10	1,0000	0,10	0,9125	-0,05	0,8523	0,11	0,8287	0,01	0,9915	0,01	0,9918	-0,28	0,2715
Metrn	8,96	0,29	0,6775	0,43	0,5390	0,04	NA	-0,32	0,7521	0,12	0,8707	0,58	0,4368	-0,64	NA	-0,83	0,2384	-0,04	0,9631
Metrn1	4,49	0,13	0,8890	-0,25	0,7698	0,03	NA	-0,07	NA	-0,24	0,7650	0,08	0,9510	-0,36	NA	-0,33	NA	0,21	0,8142
Mettl1	13,83	1,21	0,0033	-0,03	0,9804	0,02	NA	-0,26	NA	0,01	0,9938	-1,06	0,0736	-0,90	NA	-1,17	0,0302	-1,56	0,0016
Mettl10	12,60	-0,18	0,8044	-0,16	0,8606	-0,16	NA	-0,12	0,9626	-0,90	0,0889	0,16	0,8874	0,22	NA	-0,17	0,9202	-0,80	0,2057
Mettl13	13,98	-0,03	0,9754	-0,06	0,9549	-0,07	NA	0,16	0,9404	0,22	0,7186	-0,11	0,9323	-0,09	NA	-0,19	0,9025	0,14	0,8493
Mettl14	34,35	0,36	0,3958	0,04	0,9611	-0,18	NA	0,24	0,8420	-0,03	0,9565	-0,17	0,8389	-0,08	0,9329	-0,02	0,9927	-0,39	0,3850
Mettl15	9,08	-0,32	0,6434	0,07	0,9444	-0,10	NA	-0,14	0,9472	-0,72	0,2088	0,36	0,7228	0,19	NA	0,26	0,8567	-0,24	0,7741
Mettl16	52,22	0,29	0,4115	0,28	0,5414	-0,15	1,0000	0,06	0,9798	-0,31	0,4043	0,10	0,8908	-0,07	0,9288	-0,31	0,6695	-0,49	0,2563
Mettl17	23,15	0,08	0,8993	-0,02	0,9826	-0,04	NA	-0,06	0,9853	-0,15	0,8020	-0,03	0,9767	-0,32	0,6898	-0,41	0,6531	-0,22	0,7051
Mettl18	7,23	-0,07	0,9421	0,19	0,8355	0,04	NA	-0,22	NA	-1,20	0,0319	-0,01	0,9955	0,22	NA	-0,42	0,6935	-0,36	0,6492
Mettl2	34,56	0,31	0,4280	0,15	0,8099	-0,08	NA	-0,19	0,8917	0,18	0,6754	-0,07	0,9398	-0,15	0,8504	-0,34	0,6822	-0,35	0,4171
Mettl20	9,66	-0,97	0,0402	0,27	0,7164	0,26	NA	0,21	0,8987	-1,61	0,0010	0,58	0,4948	0,82	NA	0,38	0,7401	-0,22	0,8119
Mettl21a	14,50	-0,05	0,9531	-0,14	0,8716	0,12	NA	0,04	0,9853	-0,20	0,7518	0,43	0,6032	0,19	NA	-0,25	0,8592	-0,43	0,5209
Mettl22	22,67	0,26	0,6302	-0,74	0,1238	-0,14	NA	-0,22	0,8794	-0,89	0,0416	-1,10	0,0372	-0,34	0,6487	-0,71	0,2651	-1,23	0,0086
Mettl23	26,04	-0,07	0,9123	-0,69	0,1288	-0,05	NA	0,19	0,8998	0,09	0,8691	0,05	0,9629	0,06	0,9552	0,03	0,9918	0,06	0,9325
Mettl25	10,19	-0,30	0,6564	-0,33	0,6572	-0,13	NA	-0,21	0,8977	-0,60	0,3041	-0,06	0,9650	0,22	NA	-0,18	0,9179	0,01	0,9907

GeneID	CTL	ET-1 vs CTL		SAHA vs CTL		JS28 vs CTL		BSP vs CTL		JQ1 vs CTL		ET-1+SAHA vs ET1		ET-1+JS28 vs ET1		ET-1+BSP vs ET1		ET-1+JQ1 vs ET1	
	mean	log2(FC)	P-adj	log2(FC)	P-adj	log2(FC)	P-adj	log2(FC)	P-adj	log2(FC)	P-adj	log2(FC)	P-adj	log2(FC)	P-adj	log2(FC)	P-adj	log2(FC)	P-adj
Mettl3	25,08	0,36	0,5065	0,08	0,9298	-0,07	NA	0,29	0,8010	0,33	0,4914	-0,14	0,8903	-0,26	0,7481	-0,38	0,6935	-0,25	0,6823
Mettl4	32,42	-0,21	0,6635	-0,36	0,4909	-0,05	1,0000	-0,20	0,8906	-0,82	0,0286	-0,02	0,9837	0,26	0,7226	-0,44	0,5895	-0,71	0,1166
Mettl5	18,39	-0,07	0,9263	0,65	0,1449	0,06	NA	0,21	0,8966	-0,17	0,7699	0,47	0,5222	0,23	NA	0,20	0,8919	0,03	0,9747
Mettl6	24,85	0,21	0,6790	0,10	0,8953	0,02	NA	-0,31	0,7560	-0,21	0,6934	0,12	0,9049	-0,08	0,9386	-0,52	0,4773	-0,56	0,2149
Mettl7a1	12,29	-0,19	0,7888	-0,17	0,8421	-0,17	NA	-0,12	0,9619	-0,89	0,0764	-0,22	0,8396	-0,29	NA	-0,04	0,9911	-0,35	0,6176
Mettl8	8,01	0,08	0,9249	0,66	0,2513	0,05	NA	0,15	0,9430	-0,39	0,5663	0,55	0,5002	-0,16	NA	-0,26	0,8590	-0,49	0,4964
Mettl9	94,70	0,57	0,0119	0,09	0,8638	0,29	1,0000	0,21	0,8213	-0,53	0,0588	-0,52	0,1546	-0,37	0,3789	-0,19	0,7863	-0,95	0,0001
Mex3a	17,06	-0,38	0,5536	-0,02	0,9845	-0,18	NA	-0,87	0,0493	-0,78	0,1308	0,18	0,8781	0,30	NA	-0,86	0,2073	-0,14	0,8810
Mex3b	19,17	-0,17	0,8011	-0,46	0,4470	-0,02	NA	0,17	0,9306	0,56	0,2045	-0,52	0,5019	0,07	NA	0,41	0,6577	0,51	0,3206
Mex3c	110,50	0,21	0,4547	-0,19	0,6463	0,09	1,0000	0,26	0,6648	-0,16	0,6028	-0,11	0,8493	0,04	0,9550	0,01	0,9966	0,01	0,9754
Mex3d	13,89	0,22	0,7459	0,40	0,5425	0,15	NA	0,05	0,9853	0,60	0,2226	-0,29	0,7598	-0,10	NA	-0,02	0,9947	0,63	0,2249
Mfap1a	75,49	0,09	0,8554	-0,37	0,4168	-0,23	1,0000	-0,04	0,9853	-0,01	0,9923	-0,37	0,4465	-0,07	0,9314	-0,09	0,9416	0,14	0,7906
Mfap1b	18,96	0,09	0,9200	-0,21	0,8112	-0,08	NA	-0,17	0,9295	0,30	0,6605	0,18	0,8534	0,03	NA	-0,60	0,4432	0,40	0,5709
Mfap3	128,39	0,17	0,5823	0,29	0,3320	0,17	1,0000	0,19	0,8147	0,21	0,4094	0,24	0,6203	0,11	0,8618	0,08	0,9393	0,01	0,9836
Mfap3l	78,59	0,25	0,6268	1,21	0,0001	0,57	0,3210	0,54	0,3088	0,47	0,1952	1,35	0,0000	0,87	0,0089	0,62	0,1274	0,81	0,0157
Mff	231,02	0,05	0,8830	-0,15	0,6246	-0,01	1,0000	0,07	0,9472	-0,40	0,0175	0,10	0,8542	0,19	0,6927	0,18	0,7644	-0,15	0,6323
Mfge8	156,66	0,76	0,0043	0,48	0,1631	0,23	1,0000	0,12	0,9417	0,83	0,0002	-0,16	0,8005	-0,38	0,3858	-0,11	0,9143	0,29	0,3562
Mfhas1	258,55	0,25	0,3331	0,00	0,9965	0,15	1,0000	0,19	0,7413	0,74	0,0000	-0,12	0,8382	-0,19	0,7068	0,30	0,5257	0,59	0,0106
Mfn1	176,98	-0,27	0,2941	-0,09	0,8217	0,13	1,0000	0,12	0,8966	-0,17	0,4350	0,24	0,6234	0,23	0,6365	0,32	0,5166	-0,03	0,9547
Mfn2	520,55	0,56	0,0032	-0,47	0,0292	-0,12	1,0000	-0,45	0,0855	-0,69	0,0001	-0,64	0,0274	-0,46	0,1380	-0,45	0,1608	-0,89	0,0003
Mfsd1	67,97	-0,09	0,8440	0,31	0,3978	0,15	1,0000	0,23	0,7688	0,34	0,3212	0,27	0,6507	0,18	0,7833	0,04	0,9847	0,18	0,7548
Mfsd10	3,40	-0,03	0,9754	-0,14	0,8847	-0,01	NA	0,17	NA	-0,36	0,6281	0,05	0,9714	-0,11	NA	-0,17	NA	-0,35	0,6855
Mfsd11	54,81	0,10	0,8442	0,28	0,5472	0,01	1,0000	0,10	0,9592	0,47	0,1463	0,24	0,7224	0,15	0,8465	0,10	0,9416	0,19	0,7413
Mfsd12	8,98	-0,51	0,3896	0,26	0,7463	-0,18	NA	-0,26	0,8476	-0,07	0,9301	0,58	0,4776	0,02	NA	0,07	0,9784	0,50	0,4693
Mfsd2b	2,98	-0,34	0,6346	-0,40	0,5863	-0,15	NA	-0,25	NA	-0,26	0,7387	-0,20	NA	0,19	NA	-0,23	NA	-0,20	NA
Mfsd3	3,58	0,27	0,7261	0,55	0,3993	0,14	NA	-0,12	NA	0,87	0,1421	0,38	0,7131	-0,05	NA	0,20	NA	0,02	0,9918
Mfsd4	1,08	0,03	NA	-0,04	NA	-0,03	NA	-0,06	NA	0,00	0,9981	-0,23	NA	-0,10	NA	-0,03	NA	0,19	NA
Mfsd5	25,36	0,11	0,8611	-0,27	0,6809	-0,11	NA	-0,21	0,8903	0,29	0,4941	-0,33	0,6815	-0,59	0,3237	-0,29	0,7913	0,00	0,9988
Mfsd6	196,41	-0,18	0,4360	-0,42	0,0600	0,15	1,0000	0,01	0,9925	-0,15	0,5652	-0,44	0,1895	0,09	0,8719	-0,13	0,8532	-0,09	0,7639
Mfsd7b	10,72	0,48	0,3956	0,40	0,5735	0,16	NA	0,23	0,8797	0,30	0,6524	-0,10	0,9350	-0,32	NA	-0,14	0,9345	-0,20	0,7671
Mfsd7c	5,28	-0,31	0,6750	-0,15	0,8765	-0,17	NA	-0,17	NA	-0,55	0,4051	-0,27	0,7965	-0,21	NA	-0,19	NA	-0,24	0,7970
Mfsd8	18,10	0,28	0,6296	-0,29	0,6875	0,07	NA	0,06	0,9853	-0,26	0,6434	-0,27	0,7714	0,07	NA	0,12	0,9438	-0,65	0,2372
Mfsd9	4,80	-0,39	0,5768	0,19	0,8363	-0,21	NA	-0,18	NA	-0,41	0,5702	0,35	0,7375	0,21	NA	-0,41	NA	-0,13	0,9002
Mga	293,99	-0,01	0,9871	-0,11	0,7207	-0,12	1,0000	-0,03	0,9834	0,04	0,8899	-0,39	0,2643	-0,10	0,8638	0,06	0,9570	-0,04	0,9375
Mgarp	1,90	0,17	NA	0,02	NA	0,01	NA	NA	NA	NA	NA	-0,48	0,5529	-0,35	NA	-0,14	NA	-0,31	0,5449
Mgat1	53,13	0,26	0,4834	-0,11	0,8551	0,05	1,0000	0,12	0,9454	0,05	0,9153	-0,43	0,4319	-0,47	0,3425	0,07	0,9570	-0,15	0,7653
Mgat2	42,95	0,45	0,2434	-0,25	0,7003	-0,17	1,0000	0,18	0,9118	0,30	0,4908	-0,42	0,4583	-0,15	0,8434	-0,32	0,6695	0,06	0,9190
Mgat3	10,78	-0,58	0,3037	0,42	0,5142	-0,13	NA	-0,42	0,6195	-0,98	0,0710	0,65	0,4032	-0,57	NA	-0,27	0,8511	-0,22	0,8067
Mgat4a	17,05	-0,75	0,0941	-0,27	0,7158	-0,06	NA	0,01	0,9938	0,42	0,3332	0,48	0,5658	0,60	NA	0,28	0,8383	0,78	0,1827
Mgat4b	90,93	-0,01	0,9869	0,00	0,9981	0,06	1,0000	0,14	0,9213	0,06	0,8895	0,26	0,6035	-0,19	0,7677	0,27	0,6499	0,00	0,9942
Mgat5	71,63	0,49	0,0813	-0,32	0,4817	-0,07	1,0000	-0,05	0,9853	-0,32	0,3924	-0,40	0,3932	-0,31	0,5321	-0,21	0,7969	-0,27	0,4171
Mgat5b	3,28	-0,10	0,9090	-0,29	0,7096	-0,12	NA	-0,41	NA	-1,06	0,0467	-0,30	0,7383	-0,18	NA	-0,40	NA	-0,81	NA
Mgea5	502,52	-0,16	0,4867	0,03	0,9549	0,19	1,0000	0,44	0,0572	0,48	0,0061	-0,05	0,9347	0,24	0,4724	0,35	0,2249	0,52	0,0223
Mgll	10,89	-0,28	0,6791	0,16	0,8562	0,30	NA	0,39	0,6753	-0,07	0,9223	0,40	0,6759	0,33	NA	0,20	0,9023	0,54	0,3984
Mgme1	9,91	-0,35	0,5997	-0,52	0,4149	-0,19	NA	-0,24	0,8684	-0,86	0,1142	-0,75	0,3203	0,28	NA	0,10	0,9616	-0,56	0,4599

GeneID	CTL	ET-1 vs CTL		SAHA vs CTL		JS28 vs CTL		BSP vs CTL		JQ1 vs CTL		ET-1+SAHA vs ET1		ET-1+JS28 vs ET1		ET-1+BSP vs ET1		ET-1+JQ1 vs ET1	
	mean	log2(FC)	P-adj	log2(FC)	P-adj	log2(FC)	P-adj	log2(FC)	P-adj	log2(FC)	P-adj	log2(FC)	P-adj	log2(FC)	P-adj	log2(FC)	P-adj	log2(FC)	P-adj
Mgmt	1,23	-0,02	NA	0,14	0,8543	0,04	NA	-0,04	NA	-0,41	NA	0,20	NA	-0,15	NA	-0,24	NA	-0,34	NA
Mgrn1	241,09	-0,29	0,1770	-0,32	0,1883	0,20	1,0000	0,09	0,9326	0,19	0,3518	0,05	0,9414	0,04	0,9463	0,19	0,7375	0,37	0,1785
Mgst1	13,20	-1,18	0,0037	-0,08	0,9359	0,34	NA	-0,14	0,9472	-0,89	0,0568	0,92	0,1663	1,06	NA	0,17	0,9192	-0,68	0,3489
Mgst3	63,85	-0,45	0,1489	-0,01	0,9909	-0,11	1,0000	0,09	0,9614	-0,46	0,1378	0,88	0,0222	0,30	0,6365	0,23	0,8088	-0,46	0,2668
Mia3	303,13	-0,12	0,6493	-0,40	0,0522	0,01	1,0000	0,22	0,6195	0,17	0,4222	-0,63	0,0296	0,18	0,6836	0,47	0,0975	0,36	0,2618
Mib1	166,65	-0,46	0,0643	0,10	0,8039	0,05	1,0000	0,44	0,1268	0,36	0,0725	-0,08	0,9202	0,12	0,8536	0,42	0,3656	0,44	0,2037
Mib2	48,72	0,33	0,4626	0,35	0,4422	0,11	1,0000	-0,16	0,9208	-0,61	0,0936	-0,28	0,7106	-0,69	0,1641	-0,57	0,3578	-1,18	0,0078
Mical1	71,52	-0,17	0,6483	-0,04	0,9566	0,23	1,0000	0,11	0,9449	-0,41	0,1924	-0,29	0,6224	-0,19	0,7685	-0,11	0,9238	-0,37	0,3951
Mical2	1082,87	0,50	0,0002	-0,03	0,9272	-0,12	1,0000	-0,19	0,5926	-0,17	0,3205	-0,37	0,2225	-0,79	0,0002	-0,76	0,0002	-0,58	0,0028
Mical3	680,55	-0,32	0,0295	-0,41	0,0046	-0,26	0,5413	-0,24	0,3748	0,07	0,8193	-0,62	0,0119	-0,49	0,0727	-0,34	0,2812	0,08	0,8414
Micalcl	7,68	0,14	0,8700	-0,61	0,3389	-0,23	NA	-0,15	NA	-0,76	0,2136	-0,15	0,9075	-0,73	NA	-0,80	0,2633	-0,79	0,2304
Micall1	214,30	0,21	0,4803	-0,94	0,0000	-0,28	0,9896	-0,69	0,0055	-0,53	0,0264	-1,34	0,0000	-0,85	0,0027	-1,02	0,0002	-0,63	0,0784
Micu1	10,43	-0,04	0,9661	0,39	0,5635	0,08	NA	-0,07	0,9805	0,60	0,2203	0,57	0,4567	-0,02	NA	0,27	0,8401	0,84	0,0738
Micu2	142,85	0,09	0,8016	-0,46	0,0635	-0,11	1,0000	-0,21	0,7536	-0,76	0,0002	-0,39	0,3325	0,03	0,9661	-0,11	0,9106	-0,72	0,0430
Micu3	43,03	0,04	0,9446	0,07	0,9257	-0,17	1,0000	0,17	0,9096	-0,54	0,1433	0,20	0,7866	0,14	0,8687	-0,10	0,9479	-0,20	0,6974
Mid1	30,02	0,39	0,3432	-0,53	0,3017	-0,25	NA	-0,20	0,9000	0,31	0,5339	-0,53	0,3947	-0,48	0,4181	-0,43	0,5831	0,71	0,1587
Mid1p1	32,97	-0,25	0,6636	-0,38	0,5040	-0,29	1,0000	-0,24	0,8581	0,05	0,9332	-0,18	0,8473	-0,63	0,2992	-0,44	0,6114	0,30	0,5727
Mid2	133,07	0,14	0,7153	0,07	0,9017	0,08	1,0000	0,28	0,6751	-0,29	0,3938	0,12	0,8291	0,23	0,6092	0,08	0,9292	-0,08	0,8376
Midn	157,64	0,18	0,7072	-1,01	0,0002	-0,44	0,5413	-0,78	0,0081	0,44	0,2851	-1,17	0,0019	-0,79	0,0507	-0,69	0,1236	0,45	0,5328
Mief1	82,13	0,09	0,8608	0,26	0,5441	-0,13	1,0000	0,02	0,9907	0,22	0,4925	0,30	0,5737	0,02	0,9806	0,03	0,9911	0,09	0,8458
Mief2	23,38	0,65	0,0847	0,47	0,3870	0,08	NA	0,07	0,9805	0,32	0,5728	-0,65	0,2811	-0,71	0,1774	-0,55	0,4234	0,00	0,9988
Mien1	28,13	-0,06	0,9321	-0,15	0,8427	-0,07	NA	-0,01	0,9953	0,30	0,5012	0,13	0,8912	-0,02	0,9837	-0,03	0,9915	0,43	0,3077
Mier1	174,81	-0,47	0,0293	-0,19	0,5994	-0,04	1,0000	0,14	0,8797	-0,27	0,2564	0,23	0,6344	0,61	0,0428	0,44	0,2304	0,15	0,7136
Mier2	27,45	-0,20	0,7197	0,06	0,9494	-0,08	NA	-0,04	0,9853	-0,20	0,6982	-0,02	0,9885	-0,40	0,5656	0,20	0,8707	-0,03	0,9718
Mier3	122,51	-0,04	0,9064	-0,35	0,1945	-0,05	1,0000	0,16	0,8571	-0,02	0,9673	-0,32	0,4788	0,19	0,7138	-0,06	0,9606	-0,01	0,9864
Mif	58,61	1,41	0,0000	0,39	0,4108	0,23	1,0000	-0,34	0,7021	0,19	0,6604	-0,27	0,7383	-0,75	0,1080	-1,10	0,0133	-1,34	0,0003
Mif4gd	18,01	0,05	0,9467	-0,34	0,5969	0,26	NA	-0,05	0,9853	0,37	0,4515	-0,52	0,4916	0,06	NA	0,13	0,9406	0,25	0,7019
Miip	4,33	0,07	0,9427	0,19	0,8391	0,00	NA	0,08	NA	0,66	0,2698	-0,09	0,9452	0,05	NA	-0,26	NA	0,28	0,7371
Mina	18,86	0,96	0,0135	0,02	0,9836	0,11	NA	0,02	0,9925	-0,05	0,9523	-1,16	0,0270	-0,64	0,2821	-0,96	0,0760	-1,34	0,0031
Mink1	94,43	-0,16	0,6183	0,48	0,0578	0,22	1,0000	0,15	0,8798	0,54	0,0475	-0,01	0,9903	0,03	0,9754	0,44	0,3413	0,60	0,0844
Minos1	65,80	0,33	0,4196	0,29	0,4892	-0,04	1,0000	0,03	0,9860	0,01	0,9926	0,58	0,2149	-0,04	0,9689	0,04	0,9854	-0,45	0,3077
Minpp1	57,66	0,29	0,4178	0,15	0,7735	0,19	1,0000	0,33	0,6109	0,63	0,0184	0,04	0,9645	-0,19	0,7870	0,33	0,6114	0,13	0,7692
Mios	44,33	-0,29	0,4374	-0,83	0,0211	-0,13	1,0000	0,03	0,9860	-0,73	0,0175	-0,43	0,4835	0,15	0,8504	0,12	0,9250	-0,34	0,5499
Mipep	32,49	-0,26	0,6263	-0,10	0,9010	0,14	1,0000	0,21	0,8814	0,07	0,8951	0,60	0,2614	0,34	0,6063	0,51	0,4277	0,32	0,5216
Mipol1	19,83	-0,16	0,7954	-0,36	0,5583	0,32	NA	0,35	0,6955	0,15	0,8001	-0,40	0,6507	0,31	NA	0,42	0,6301	0,36	0,4997
Mir125b-1	1,03	0,14	NA	0,07	NA	0,03	NA	0,02	NA	-0,25	NA	0,02	NA	0,07	NA	-0,12	NA	-0,38	NA
Mir133a-1	8,07	-0,43	0,4913	-0,62	0,3121	-0,13	NA	0,10	0,9700	-0,26	0,7076	0,68	0,3744	0,89	NA	1,17	0,0309	0,46	0,5372
Mir143	1,85	0,07	NA	0,01	0,9948	0,29	NA	0,00	NA	-0,35	0,5826	0,09	0,9394	-0,09	NA	-0,11	NA	-0,78	NA
Mir143hg	14,75	-0,47	0,4202	-0,27	0,7218	-0,33	NA	-0,33	0,7627	-0,82	0,1149	0,10	0,9368	0,34	NA	-0,03	0,9918	-0,97	0,1505
Mir145	2,22	-0,32	NA	-0,26	0,7282	-0,01	NA	-0,26	NA	-0,77	0,1776	0,05	NA	-0,02	NA	-0,11	NA	-0,64	NA
Mir15a	1,22	0,04	NA	-0,20	NA	-0,07	NA	0,02	NA	0,09	0,9065	-0,23	NA	-0,10	NA	0,03	NA	-0,15	NA
Mir16-1	1,33	-0,68	NA	-0,29	0,6718	-0,03	NA	-0,07	NA	-0,69	0,2228	NA	NA	0,43	NA	0,03	NA	0,25	NA
Mir17hg	4,80	0,09	0,9263	-0,48	0,4537	0,05	NA	-0,18	NA	-0,13	0,8791	-0,32	0,7501	-0,07	NA	-0,27	NA	-0,60	0,4307
Mir1839	2,25	-0,39	0,5006	0,00	0,9960	-0,07	NA	-0,19	NA	-0,03	0,9778	0,23	NA	0,25	NA	0,02	NA	0,34	0,6709
Mir186	1,43	0,13	NA	0,05	0,9571	0,00	NA	-0,10	NA	0,19	0,8046	0,08	NA	0,07	NA	-0,29	NA	-0,29	NA

GeneID	CTL	ET-1 vs CTL		SAHA vs CTL		JS28 vs CTL		BSP vs CTL		JQ1 vs CTL		ET-1+SAHA vs ET1		ET-1+JS28 vs ET1		ET-1+BSP vs ET1		ET-1+JQ1 vs ET1	
	mean	log2(FC)	P-adj	log2(FC)	P-adj	log2(FC)	P-adj	log2(FC)	P-adj	log2(FC)	P-adj	log2(FC)	P-adj	log2(FC)	P-adj	log2(FC)	P-adj	log2(FC)	P-adj
Mir1894	3,23	-0,32	0,6636	-0,14	0,8782	0,22	NA	0,25	NA	0,22	0,7832	0,59	0,4714	0,17	NA	0,66	NA	0,28	0,7567
Mir1949	10,98	-0,07	0,9412	0,31	0,7087	-0,06	NA	0,12	0,9564	0,56	0,4053	0,30	0,7762	0,30	NA	0,56	0,5293	0,79	0,2649
Mir1a-2	2,92	0,16	0,8540	0,60	0,3346	0,11	NA	0,17	NA	0,42	0,5662	0,81	0,2718	0,04	NA	0,48	NA	-0,28	0,7518
Mir208a	1,14	-0,30	NA	0,74	0,1834	0,09	NA	0,13	NA	-0,30	0,6470	1,03	0,0829	0,54	NA	0,51	NA	0,03	NA
Mir22hg	19,02	1,11	0,0020	-0,04	0,9721	0,13	NA	-0,12	0,9627	0,20	0,7610	-0,66	0,2682	-0,50	0,4291	-0,68	0,2701	-0,34	0,5073
Mir298	1,55	0,07	NA	0,24	0,7579	0,05	NA	-0,11	NA	-0,29	0,6589	0,28	0,7772	-0,16	NA	-0,13	NA	-0,57	NA
Mir301	3,31	-0,25	0,7528	-0,22	0,8038	-0,18	NA	-0,35	NA	0,20	0,8041	-0,04	0,9783	0,41	NA	-0,05	NA	-0,14	0,8913
Mir3064	12,93	-0,93	0,0448	-1,11	0,0213	-0,20	NA	-0,03	0,9901	0,36	0,5241	-0,19	0,8705	0,65	NA	0,32	0,8078	1,36	0,0042
Mir3068	5,00	0,08	0,9007	0,11	0,9119	0,02	NA	0,00	NA	0,35	0,5808	-0,10	0,9155	-0,06	NA	0,03	0,9911	0,23	0,7416
Mir30a	1,70	-0,30	NA	0,15	0,8703	-0,07	NA	-0,11	NA	-0,06	0,9479	0,28	NA	0,26	NA	0,40	NA	0,23	NA
Mir30b	1,94	0,17	NA	0,05	0,9549	0,06	NA	-0,05	NA	-0,16	0,8182	0,04	0,9754	-0,06	NA	-0,03	NA	-0,29	0,7259
Mir30c-2	1,50	-0,14	NA	-0,34	0,5460	-0,01	NA	-0,13	NA	-0,03	0,9767	-0,01	NA	0,05	NA	-0,15	NA	0,08	NA
Mir30d	1,08	-0,14	NA	0,27	0,7052	0,19	NA	-0,04	NA	-0,08	0,9203	0,50	NA	0,69	NA	0,41	NA	0,65	0,3739
Mir30e	1,36	0,04	NA	-0,16	NA	-0,06	NA	0,00	NA	-0,04	0,9572	0,07	NA	0,20	NA	-0,28	NA	-0,41	NA
Mir328	1,06	-0,12	NA	0,11	0,8929	0,02	NA	-0,07	NA	0,16	0,8323	0,30	NA	-0,01	NA	0,05	NA	0,30	NA
Mir3535	2,19	0,10	NA	-0,03	0,9804	-0,03	NA	-0,10	NA	0,54	0,4226	-0,57	NA	-0,08	NA	-0,08	NA	-0,26	0,7639
Mir568	24,87	-0,54	0,1955	-0,96	0,0201	-0,47	NA	0,07	0,9805	-0,76	0,0717	-0,26	0,7826	0,18	NA	-0,32	0,7771	-0,46	0,4974
Mir6236	365,09	-0,04	0,9699	-0,52	0,4091	-0,22	1,0000	-0,36	0,6070	-0,36	0,6314	-1,00	0,1239	-0,85	0,1458	-0,59	0,5050	-0,19	0,8410
Mir6516	45,91	0,05	0,9627	0,24	0,7857	0,10	1,0000	0,18	0,9095	0,14	0,8668	-0,04	0,9742	-0,16	0,8609	0,23	0,8656	0,16	0,8704
Mir677	1,84	0,03	NA	-0,19	0,7972	0,01	NA	-0,09	NA	0,44	0,5340	-0,23	NA	-0,11	NA	-0,06	NA	0,29	0,7278
Mir682	15,46	0,42	0,5161	-0,57	0,3782	-0,23	NA	-0,35	0,7195	-0,06	0,9453	-0,85	0,2061	-0,80	NA	0,06	0,9815	-0,80	0,1817
Mir684-1	3,97	-0,11	0,8997	-0,32	0,6833	-0,08	NA	-0,19	NA	0,14	0,8691	-0,21	0,8493	-0,16	NA	0,34	NA	0,22	0,8112
Mir6935	2,86	0,16	0,8489	-0,03	0,9822	0,02	NA	0,26	NA	0,35	0,6424	-0,19	0,8641	-0,29	NA	-0,05	NA	-0,04	0,9713
Mir703	13,56	-0,10	0,8991	-0,29	0,7072	-0,47	NA	-0,42	0,6229	-0,11	0,8823	-0,55	0,5019	-0,16	NA	0,56	0,4992	-0,11	0,8993
Mir8091	2,25	0,21	0,7902	-0,01	0,9935	0,03	NA	0,18	NA	0,32	0,6677	-0,24	0,8107	0,12	NA	-0,15	NA	0,54	0,4939
Mir98	1,02	0,15	NA	-0,13	NA	0,00	NA	-0,03	NA	-0,09	NA	-0,25	NA	-0,14	NA	-0,20	NA	-0,24	NA
Mir99a	2,36	-0,01	0,9879	-0,49	0,3763	-0,11	NA	-0,26	NA	-0,59	0,3310	-0,32	NA	-0,06	NA	-0,40	NA	-0,69	NA
Mirg	1,72	0,51	NA	0,69	0,1818	0,00	NA	0,18	NA	0,25	0,7171	0,10	0,9371	-0,11	NA	-0,39	NA	-0,42	0,6127
Mirlet7a-1	2,45	-0,08	0,9361	0,02	0,9845	-0,05	NA	0,17	NA	0,78	0,2069	0,06	0,9595	0,72	NA	0,73	NA	0,95	0,1594
Mirlet7d	3,14	0,11	0,9000	0,08	0,9354	0,06	NA	0,09	NA	0,35	0,6433	0,48	0,6035	0,17	NA	0,18	NA	0,35	0,6778
Mirlet7e	2,39	-0,06	0,9516	-0,22	0,7861	-0,16	NA	-0,02	NA	0,72	0,2597	-0,25	NA	-0,07	NA	-0,30	NA	0,85	0,2273
Mirlet7f-1	2,87	0,12	0,8916	0,03	0,9804	0,05	NA	-0,07	NA	-0,13	0,8782	0,15	0,9047	0,08	NA	0,20	NA	-0,20	0,8356
Mis12	53,57	0,05	0,9295	0,32	0,4259	0,20	1,0000	0,10	0,9594	-0,18	0,6569	0,19	0,7827	0,15	0,8388	0,31	0,6577	-0,05	0,9311
Mis18a	2,23	0,18	NA	-0,21	0,7776	-0,02	NA	0,09	NA	0,30	0,6941	-0,49	NA	0,09	NA	0,19	NA	-0,41	0,6121
Mis18bp1	2,46	-0,68	0,2239	0,73	0,2160	-0,01	NA	-0,16	NA	-0,25	0,7549	0,62	NA	0,27	NA	0,31	NA	0,19	NA
Mitd1	3,62	-0,09	0,9195	-0,48	0,4697	-0,01	NA	0,32	NA	0,19	0,8150	0,24	0,8292	0,08	NA	0,06	NA	0,00	0,9992
Mitf	203,82	0,40	0,0743	0,16	0,7055	0,08	1,0000	0,21	0,7737	-0,38	0,1791	0,34	0,2935	0,05	0,9315	-0,25	0,5913	-0,58	0,0902
Mki67	23,24	-0,53	0,3719	0,54	0,3222	0,44	0,8053	0,40	0,6299	0,39	0,4701	-0,22	0,8417	0,65	0,3203	0,45	0,6605	0,37	0,6151
Mkks	72,42	-0,05	0,9177	-0,43	0,1844	-0,06	1,0000	0,07	0,9713	-0,16	0,6883	-0,07	0,9325	0,17	0,8002	0,19	0,8366	-0,19	0,6558
Mkl1	28,83	-0,23	0,6568	0,01	0,9919	-0,13	NA	0,20	0,8797	0,81	0,0131	-0,18	0,8514	-0,12	0,9042	0,27	0,7986	0,98	0,0097
Mkl2	395,45	-0,20	0,5123	-0,25	0,4101	-0,15	1,0000	0,25	0,6103	0,38	0,0673	-0,46	0,1856	-0,15	0,7798	0,06	0,9582	0,49	0,0574
Mklin1	146,80	-0,10	0,7646	0,16	0,6988	0,12	1,0000	0,33	0,4240	0,19	0,4414	0,31	0,4338	0,27	0,5176	0,44	0,2028	0,25	0,4153
Mknk1	37,89	-0,14	0,7876	0,59	0,1209	-0,07	1,0000	-0,09	0,9684	0,16	0,7079	0,34	0,6026	0,01	0,9898	-0,27	0,7882	0,27	0,5414
Mknk2	73,97	-0,73	0,0031	0,39	0,2202	-0,02	1,0000	0,98	0,0000	1,87	0,0000	0,36	0,5146	0,21	0,7481	1,70	0,0000	2,55	0,0000
Mkrn1	69,92	0,20	0,5607	-0,04	0,9564	0,23	1,0000	0,21	0,8121	0,25	0,4581	-0,27	0,6322	-0,15	0,8336	-0,47	0,3627	0,05	0,9189

GeneID	CTL	ET-1 vs CTL		SAHA vs CTL		JS28 vs CTL		BSP vs CTL		JQ1 vs CTL		ET-1+SAHA vs ET1		ET-1+JS28 vs ET1		ET-1+BSP vs ET1		ET-1+JQ1 vs ET1	
	mean	log2(FC)	P-adj	log2(FC)	P-adj	log2(FC)	P-adj	log2(FC)	P-adj	log2(FC)	P-adj	log2(FC)	P-adj	log2(FC)	P-adj	log2(FC)	P-adj	log2(FC)	P-adj
Mkrn2	55,65	0,11	0,8051	0,26	0,5461	0,25	1,0000	0,14	0,9269	0,00	0,9920	0,15	0,8292	0,15	0,8363	-0,05	0,9789	-0,05	0,9366
Mkrn3	14,48	-0,19	0,7697	0,12	0,8828	-0,19	NA	0,29	0,8102	0,09	0,8840	0,50	0,5040	0,13	NA	-0,26	0,8496	0,40	0,4862
Mks1	4,27	0,38	0,5898	0,49	0,4725	0,19	NA	0,13	NA	-0,07	0,9411	-0,35	0,7360	-0,28	NA	-0,16	NA	-0,15	0,8765
Mkx	5,52	-0,07	0,9378	0,63	0,3058	-0,24	NA	-0,58	NA	-1,07	0,0645	0,78	0,2899	-0,18	NA	-0,58	NA	-0,85	0,2261
Mlana	15,48	-0,27	0,6926	-1,16	0,0154	0,28	NA	-0,70	0,1812	-1,73	0,0003	-0,68	0,3714	0,60	NA	-0,34	0,7878	-0,91	0,1238
Mlec	393,85	-0,01	0,9754	-0,09	0,8301	-0,07	1,0000	-0,24	0,6361	-0,23	0,3042	0,00	0,9986	-0,28	0,5112	-0,28	0,5888	-0,27	0,3656
Mlf1	311,45	-0,31	0,1857	0,18	0,5697	-0,02	1,0000	0,06	0,9634	-0,83	0,0000	0,70	0,0071	0,25	0,5399	0,43	0,1978	-0,56	0,0691
Mlf2	137,83	0,27	0,2897	-0,26	0,4228	-0,12	1,0000	-0,13	0,9058	1,00	0,0000	-0,46	0,2353	-0,67	0,0407	-0,02	0,9911	0,90	0,0073
Mlh1	22,88	0,04	0,9624	0,52	0,2854	0,02	NA	0,30	0,7729	0,02	0,9760	0,30	0,7162	0,04	0,9726	0,16	0,9143	0,15	0,8076
Mlh3	24,60	-0,49	0,3068	-0,27	0,6841	-0,09	NA	0,24	0,8420	-0,31	0,5077	0,06	0,9629	0,43	0,5354	0,65	0,3410	0,33	0,6071
Mlip	245,42	-0,37	0,0891	-0,46	0,0519	-0,20	1,0000	-0,18	0,7734	-0,63	0,0004	-0,08	0,8970	0,06	0,9306	0,18	0,7828	-0,46	0,1060
Mlit1	93,72	-0,21	0,4910	0,30	0,3529	0,01	1,0000	-0,04	0,9853	0,19	0,5956	-0,13	0,8423	-0,23	0,6786	0,09	0,9347	0,14	0,7371
Mlit10	81,96	-0,12	0,7474	-0,15	0,7412	0,28	1,0000	0,17	0,8606	0,04	0,9147	-0,06	0,9393	0,35	0,4480	0,33	0,5734	0,14	0,7157
Mlit11	39,17	2,00	0,0000	0,60	0,2619	-0,02	NA	-0,10	0,9676	0,56	0,2288	-0,31	0,6024	-1,19	0,0008	-1,90	0,0000	-0,80	0,0213
Mlit3	148,75	0,32	0,3428	0,35	0,1579	-0,08	1,0000	0,19	0,7688	0,40	0,0435	0,07	0,9394	-0,21	0,7274	-0,15	0,8833	0,14	0,7788
Mlit4	431,48	0,18	0,2970	0,25	0,2064	0,07	1,0000	-0,01	0,9901	-0,24	0,1472	0,09	0,8464	-0,07	0,8988	-0,41	0,1233	-0,29	0,1773
Mlit6	227,14	-0,49	0,0256	-0,28	0,3320	-0,23	1,0000	-0,12	0,9060	0,18	0,6003	0,00	0,9989	0,08	0,9038	0,27	0,6271	0,65	0,1287
Mlst8	17,59	0,07	0,9252	0,20	0,7891	0,10	NA	0,10	0,9681	0,25	0,6541	-0,03	0,9829	-0,42	NA	-0,21	0,8890	0,34	0,5570
Mlx	52,18	0,42	0,1832	0,06	0,9274	-0,08	1,0000	0,09	0,9634	0,24	0,4872	0,15	0,8306	-0,09	0,9138	0,01	0,9967	-0,02	0,9763
Mlxip	115,25	-0,20	0,5236	0,15	0,7214	-0,02	1,0000	0,07	0,9634	0,11	0,7539	0,12	0,8411	0,07	0,9191	0,26	0,6718	0,48	0,0876
Mlycd	33,82	-0,13	0,8329	0,20	0,7594	0,00	1,0000	0,03	0,9896	-0,06	0,9121	-0,21	0,8179	-0,15	0,8732	0,11	0,9476	0,14	0,8318
Mmaa	20,87	0,01	0,9921	-0,02	0,9805	0,03	NA	0,15	0,9387	0,26	0,5872	-0,05	0,9627	0,18	0,8442	-0,02	0,9928	0,32	0,5276
Mmab	24,05	0,07	0,9151	-0,67	0,1705	0,02	NA	-0,61	0,2909	-0,68	0,1155	-0,52	0,4453	-0,15	0,8779	-0,25	0,8376	-0,77	0,0844
Mmachc	62,67	0,78	0,0013	-0,06	0,9270	-0,06	1,0000	-0,47	0,3913	-1,41	0,0000	-0,32	0,5592	-0,56	0,1799	-0,92	0,0106	-2,07	0,0000
Mmadhc	69,55	0,11	0,7984	0,09	0,8716	0,15	1,0000	0,17	0,8797	-0,06	0,8831	0,07	0,9359	0,12	0,8770	0,13	0,9037	0,04	0,9431
Mmd	418,38	0,19	0,4481	-0,82	0,0000	-0,19	1,0000	0,08	0,9472	0,04	0,9008	-0,49	0,1040	0,13	0,7992	-0,01	0,9931	-0,06	0,8762
Mme	4,02	-0,69	0,2326	0,02	0,9895	0,02	NA	-0,49	NA	-1,16	0,0404	0,20	0,8588	0,29	NA	-0,13	NA	-0,22	0,8142
Mmgt1	103,95	0,59	0,0040	0,19	0,6369	-0,17	1,0000	-0,01	0,9972	0,09	0,8293	-0,01	0,9893	-0,04	0,9558	-0,31	0,5644	-0,15	0,6901
Mmgt2	25,84	0,12	0,8392	-0,06	0,9462	0,28	NA	-0,22	0,8814	-1,72	0,0000	0,31	0,6822	0,29	0,6949	-0,31	0,7608	-1,33	0,0025
Mmp11	29,31	-0,37	0,3851	-0,24	0,6865	-0,18	NA	-0,38	0,6409	-1,55	0,0000	0,00	0,9982	-0,17	0,8558	-0,19	0,8933	-0,56	0,3110
Mmp14	18,98	-0,11	0,8688	-1,25	0,0047	0,25	NA	-0,58	0,3487	-1,63	0,0002	-0,75	0,2694	0,33	NA	-0,56	0,5048	-1,30	0,0150
Mmp15	301,88	0,15	0,7697	-0,77	0,0039	-0,12	1,0000	-0,43	0,3136	-0,49	0,1099	-0,73	0,0697	-0,17	0,8125	0,00	1,0000	-0,02	0,9836
Mmp16	22,72	-0,63	0,2144	-0,35	0,6225	0,00	NA	0,10	0,9674	-1,01	0,0267	0,43	0,5876	0,52	NA	0,13	0,9400	-0,33	0,6285
Mmp19	1,68	0,08	NA	-0,33	0,5628	0,02	NA	-0,11	NA	-0,14	0,8610	-0,47	NA	0,30	NA	-0,29	NA	-0,41	NA
Mmp23	7,22	0,50	0,4011	-0,22	0,8127	-0,02	NA	-0,42	NA	-0,56	0,4036	-0,89	0,2062	-0,48	NA	-0,91	0,1633	-1,14	0,0589
Mms19	79,38	-0,32	0,2700	0,61	0,0258	0,14	1,0000	0,18	0,8610	0,35	0,1936	0,79	0,0213	-0,13	0,8536	0,12	0,9065	0,61	0,0178
Mms22l	11,36	-0,27	0,7032	0,46	0,4651	0,15	NA	-0,22	0,8903	-0,73	0,1840	0,38	0,6887	0,46	NA	0,07	0,9789	-0,26	0,7386
Mn1	22,90	-0,38	0,5641	-0,22	0,8019	0,04	NA	0,00	0,9986	0,35	0,5521	0,08	0,9473	0,41	NA	0,56	0,4785	0,91	0,1023
Mnat1	45,17	0,20	0,6555	0,15	0,8123	0,14	1,0000	-0,11	0,9573	-0,65	0,0574	0,28	0,6643	0,05	0,9546	-0,14	0,9057	-0,54	0,1919
Mns1	1,13	-0,12	NA	0,42	0,4938	-0,03	NA	0,00	NA	-0,06	0,9437	0,12	NA	-0,08	NA	0,03	NA	-0,17	NA
Mnt	50,98	-0,11	0,8470	-0,10	0,8713	0,00	1,0000	-0,08	0,9658	0,26	0,6074	-0,48	0,4479	-0,36	0,5936	0,06	0,9784	0,46	0,5535
Mob1a	46,95	0,16	0,7764	-0,41	0,3962	-0,12	1,0000	-0,06	0,9845	0,21	0,6463	-0,54	0,3376	0,07	0,9443	-0,02	0,9931	0,11	0,8450
Mob1b	264,25	0,02	0,9650	0,23	0,3437	-0,05	1,0000	0,35	0,2055	0,13	0,6003	0,41	0,2117	0,10	0,8586	0,17	0,7939	0,02	0,9718
Mob2	21,77	-0,15	0,8040	0,09	0,9103	-0,08	NA	0,18	0,9124	0,35	0,4372	0,36	0,6392	0,18	NA	0,53	0,4643	0,50	0,2800
Mob3a	8,79	0,26	0,7258	0,08	0,9444	0,04	NA	-0,21	0,8917	0,83	0,0908	0,18	0,8790	-0,36	NA	-0,61	0,4807	0,46	0,4637

GeneID	CTL	ET-1 vs CTL		SAHA vs CTL		JS28 vs CTL		BSP vs CTL		JQ1 vs CTL		ET-1+SAHA vs ET1		ET-1+JS28 vs ET1		ET-1+BSP vs ET1		ET-1+JQ1 vs ET1	
	mean	log2(FC)	P-adj	log2(FC)	P-adj	log2(FC)	P-adj	log2(FC)	P-adj	log2(FC)	P-adj	log2(FC)	P-adj	log2(FC)	P-adj	log2(FC)	P-adj	log2(FC)	P-adj
Mob3b	4,07	0,11	0,9007	0,74	0,2088	0,01	NA	-0,09	NA	-0,32	0,6736	0,94	0,1665	0,27	NA	-0,55	NA	-0,38	0,6473
Mob3c	9,51	0,06	0,9504	-0,01	0,9899	0,13	NA	-0,12	0,9606	-0,18	0,8033	-0,18	0,8805	0,00	NA	-0,22	0,8890	-0,72	0,2928
Mob4	123,05	0,21	0,4556	0,25	0,3959	0,05	1,0000	0,16	0,8580	-0,07	0,8283	0,40	0,2838	0,21	0,6802	0,26	0,6321	-0,27	0,5411
Mocs1	15,39	-0,26	0,6750	-0,47	0,4248	0,24	NA	-0,29	0,8121	-1,49	0,0010	-0,14	0,9081	-0,17	NA	-0,15	0,9300	-0,60	0,3728
Mocs2	35,69	0,04	0,9425	0,19	0,7505	0,19	1,0000	0,02	0,9910	-0,57	0,1243	0,24	0,7501	0,24	0,7299	0,34	0,6657	-0,75	0,0605
Mocs3	4,03	0,22	0,7896	0,06	0,9579	0,12	NA	0,09	NA	0,13	0,8814	0,06	0,9666	-0,17	NA	0,04	NA	0,08	0,9351
Mogs	14,45	0,56	0,2652	0,15	0,8670	0,02	NA	0,41	0,6299	1,14	0,0062	-0,18	0,8649	-0,67	NA	-0,05	0,9859	0,72	0,0945
Mok	2,30	-0,43	0,5059	0,62	0,3229	-0,02	NA	-0,11	NA	-0,65	0,3059	0,61	0,4154	0,03	NA	0,17	NA	0,04	NA
Mon1a	14,76	-0,05	0,9431	-0,16	0,8476	-0,26	NA	-0,25	0,8610	-0,37	0,5002	-0,25	0,8021	-0,41	NA	-0,18	0,9118	-0,30	0,6479
Mon1b	37,57	0,05	0,9421	0,27	0,6140	-0,10	1,0000	-0,17	0,9211	-0,20	0,6790	-0,23	0,7691	-0,14	0,8732	-0,10	0,9483	-0,39	0,4016
Mon2	239,73	-0,34	0,0854	0,13	0,7102	0,02	1,0000	0,12	0,9015	0,12	0,6548	0,16	0,7375	0,20	0,6439	0,07	0,9384	0,19	0,5847
Morc2a	167,23	0,09	0,7792	0,16	0,6496	0,03	1,0000	-0,09	0,9417	0,11	0,6808	-0,30	0,4506	-0,14	0,7890	-0,19	0,7668	-0,11	0,7327
Morc3	90,19	0,03	0,9442	-0,08	0,8719	-0,11	1,0000	0,02	0,9860	0,04	0,9141	-0,20	0,7248	0,10	0,8842	0,20	0,7772	0,18	0,6506
Morc4	61,47	0,45	0,2411	-0,11	0,8476	-0,05	1,0000	-0,01	0,9925	0,04	0,9294	-0,64	0,2229	-0,77	0,0972	-0,55	0,3693	-0,29	0,5709
Morf4l1	261,68	-0,17	0,5953	-0,27	0,4503	-0,16	1,0000	-0,02	0,9855	-0,33	0,1414	-0,29	0,4684	0,03	0,9678	0,08	0,9332	-0,18	0,6037
Morf4l2	238,05	0,58	0,0001	-0,11	0,7649	-0,18	1,0000	-0,09	0,9308	-0,09	0,7303	-0,31	0,3841	-0,49	0,0974	-0,65	0,0137	-0,34	0,3077
Morn1	1,76	-0,32	NA	0,44	0,5181	0,11	NA	-0,17	NA	0,11	0,8986	0,57	0,4487	0,26	NA	-0,09	NA	0,44	0,5951
Morn2	2,82	-0,49	0,4288	0,32	0,6895	-0,06	NA	-0,17	NA	-0,83	0,1642	0,91	0,1742	0,16	NA	0,26	NA	0,18	NA
Morn4	14,16	0,35	0,5619	0,47	0,4581	0,24	NA	0,01	0,9977	-1,07	0,0422	0,39	0,6334	0,08	NA	-0,29	0,8152	-1,23	0,0191
Mospd1	91,64	-0,17	0,6538	0,38	0,2397	0,07	1,0000	0,00	0,9972	-0,09	0,8304	0,79	0,0137	0,73	0,0227	0,16	0,8511	0,09	0,8507
Mospd2	43,67	-0,09	0,8756	0,23	0,6741	0,15	1,0000	-0,02	0,9901	-0,56	0,1269	0,36	0,5657	0,58	0,2258	-0,10	0,9437	-0,35	0,4703
Mospd3	14,55	-0,37	0,4978	-0,23	0,7638	0,09	NA	-0,13	0,9500	-0,22	0,7188	-0,07	0,9583	-0,14	NA	0,09	0,9621	0,01	0,9922
Mov10	25,56	-0,59	0,1351	-0,92	0,0346	-0,17	NA	-0,48	0,4813	-0,60	0,1729	-0,63	0,3599	0,14	NA	-0,51	0,5435	-0,08	0,9286
Mov10l1	30,18	-0,80	0,0693	-0,80	0,1074	-0,03	1,0000	-0,76	0,1215	-2,34	0,0000	0,07	0,9570	1,02	0,0227	0,39	0,6847	-1,54	0,0022
Mpc1	32,93	0,55	0,2878	0,14	0,8744	0,05	NA	0,16	0,9399	0,30	0,6021	0,38	0,5581	-0,41	0,5308	-0,31	0,7607	0,04	0,9566
Mpc2	43,05	0,39	0,3428	-0,07	0,9290	-0,02	1,0000	0,06	0,9805	-0,21	0,6457	0,09	0,9257	-0,22	0,7736	0,02	0,9936	-0,42	0,3523
Mpdu1	19,82	0,00	0,9969	-1,15	0,0092	-0,12	NA	-0,23	0,8786	-0,05	0,9354	-1,16	0,0387	-0,06	NA	-0,19	0,8991	-0,03	0,9653
Mpdz	280,29	-0,36	0,0271	-0,13	0,6668	-0,16	1,0000	-0,03	0,9853	-0,27	0,1499	0,11	0,8228	0,12	0,8170	0,21	0,6658	0,07	0,8296
Mpg	10,94	-0,20	0,7844	0,56	0,3131	0,21	NA	0,02	0,9925	-0,03	0,9681	0,67	0,3534	-0,17	NA	-0,11	0,9590	0,49	0,4306
Mphosph10	50,55	0,62	0,0608	0,26	0,6073	0,03	1,0000	-0,11	0,9573	-0,31	0,4641	-0,43	0,4776	-0,26	0,6959	-0,44	0,5180	-0,54	0,2057
Mphosph6	12,42	0,45	0,4082	0,02	0,9872	-0,08	NA	-0,12	0,9626	-0,22	0,7475	-0,37	0,6804	0,04	NA	-0,27	0,8401	-0,67	0,2706
Mphosph8	113,97	0,03	0,9520	0,32	0,2564	0,05	1,0000	0,11	0,9269	-0,05	0,8739	-0,01	0,9879	0,30	0,5261	0,42	0,3427	-0,04	0,9486
Mphosph9	48,30	-0,11	0,8363	0,09	0,9044	0,06	1,0000	0,40	0,5374	0,76	0,0078	0,11	0,8874	0,59	0,1618	0,52	0,3092	1,11	0,0000
Mpi	48,27	0,19	0,6960	0,76	0,0177	0,02	1,0000	-0,13	0,9437	-0,25	0,5321	0,54	0,2421	-0,30	0,6432	-0,09	0,9492	-0,56	0,1376
Mplkip	26,05	-0,25	0,6522	-0,29	0,6444	-0,36	NA	-0,20	0,8966	-0,81	0,0462	0,17	0,8509	-0,11	0,9120	-0,03	0,9921	-0,37	0,4850
Mpnd	52,73	0,20	0,6239	-0,14	0,8054	0,07	1,0000	0,26	0,7630	1,08	0,0000	-0,11	0,8905	-0,36	0,5110	0,55	0,2087	0,97	0,0027
Mpp1	27,24	-0,38	0,3920	0,27	0,6127	0,10	1,0000	-0,35	0,6740	-0,78	0,0303	0,41	0,5709	0,23	0,7905	-0,30	0,7903	-0,45	0,4111
Mpp2	41,13	0,48	0,2780	0,42	0,3863	-0,42	NA	-0,49	0,4665	-0,79	0,0503	0,03	0,9767	-0,69	0,1810	-1,32	0,0022	-1,28	0,0045
Mpp5	159,37	0,10	0,7620	0,18	0,6456	-0,01	1,0000	0,14	0,8975	0,19	0,5688	0,30	0,4844	0,16	0,7481	0,12	0,8816	0,26	0,5404
Mpp6	72,54	0,27	0,4007	0,43	0,2435	0,23	1,0000	0,53	0,1531	0,55	0,0265	-0,01	0,9930	-0,02	0,9768	0,25	0,7091	0,29	0,4857
Mpp7	51,16	0,10	0,8392	0,52	0,1178	0,17	1,0000	0,29	0,7107	0,16	0,7219	0,64	0,1040	0,26	0,6589	0,34	0,5985	0,24	0,6491
Mppe1	22,81	0,11	0,8657	-0,58	0,2673	-0,01	NA	0,00	0,9986	-0,81	0,0804	-0,22	0,8193	0,01	0,9949	-0,08	0,9680	-0,80	0,1012
Mpped2	20,18	-0,65	0,1154	-0,06	0,9531	0,58	0,3210	-0,24	0,8616	-0,87	0,0429	0,78	0,1778	1,16	0,0060	0,71	0,2657	-0,04	0,9695
Mprip	416,85	-0,17	0,4464	0,06	0,8661	0,08	1,0000	0,34	0,1963	0,42	0,0053	-0,04	0,9494	-0,07	0,9096	0,20	0,6935	0,48	0,0148
Mpst	17,69	-0,49	0,3126	0,95	0,0067	0,26	NA	0,35	0,7006	0,38	0,4179	0,87	0,1342	-0,14	NA	0,17	0,9138	0,31	0,6374

GeneID	CTL	ET-1 vs CTL		SAHA vs CTL		JS28 vs CTL		BSP vs CTL		JQ1 vs CTL		ET-1+SAHA vs ET1		ET-1+JS28 vs ET1		ET-1+BSP vs ET1		ET-1+JQ1 vs ET1	
	mean	log2(FC)	P-adj	log2(FC)	P-adj	log2(FC)	P-adj	log2(FC)	P-adj	log2(FC)	P-adj	log2(FC)	P-adj	log2(FC)	P-adj	log2(FC)	P-adj	log2(FC)	P-adj
Mpv17	71,41	-0,12	0,7882	-0,20	0,6865	-0,20	1,0000	-0,19	0,8681	0,08	0,8407	0,12	0,8655	-0,30	0,5946	0,36	0,5429	0,08	0,8716
Mpv17I	18,47	-0,04	0,9575	-0,48	0,4417	-0,29	NA	-0,08	0,9746	0,83	0,0276	-0,39	0,6405	0,06	NA	0,22	0,8660	0,79	0,0614
Mpv17I2	29,04	0,34	0,4281	0,03	0,9752	-0,07	NA	0,01	0,9975	0,46	0,2072	-0,06	0,9476	-0,48	0,4242	0,06	0,9784	0,54	0,2006
Mpz1	28,53	-0,16	0,7676	0,65	0,0656	0,15	1,0000	0,59	0,1804	0,84	0,0029	0,76	0,1123	0,29	0,6832	0,64	0,2651	1,02	0,0009
Mpz13	2,32	0,33	0,6442	-0,12	0,8884	-0,04	NA	0,00	NA	0,75	0,2299	-0,25	0,8164	-0,47	NA	-0,45	NA	-0,03	0,9798
Mr1	11,54	-0,40	0,4866	1,26	0,0006	0,20	NA	0,12	0,9600	-1,46	0,0028	1,98	0,0000	0,62	NA	0,25	0,8582	-1,11	0,0741
Mras	10,58	0,06	0,9453	0,18	0,8364	0,34	NA	0,18	0,9269	0,37	0,5211	-0,12	0,9221	0,04	NA	-0,01	0,9967	0,02	0,9852
Mrc2	19,87	-0,31	0,6313	0,98	0,0222	0,33	NA	0,02	0,9910	-0,28	0,6480	0,91	0,0928	0,23	NA	-0,48	0,6122	-0,41	0,5219
Mre11a	32,33	-0,10	0,8597	0,32	0,5509	-0,22	NA	-0,54	0,3425	-0,50	0,2163	-0,05	0,9575	-0,05	0,9620	-0,35	0,6935	-0,03	0,9572
Mreg	15,91	-0,54	0,2869	0,40	0,4838	-0,12	NA	-0,14	0,9472	-0,08	0,8949	0,56	0,4621	0,30	NA	0,35	0,7694	0,12	0,8808
Mrfap1	189,45	0,09	0,8312	-0,37	0,2515	-0,11	1,0000	0,28	0,6343	0,48	0,0371	0,03	0,9714	-0,09	0,8962	0,18	0,7880	0,61	0,0086
Mrgbp	7,51	0,07	0,9359	0,21	0,8182	0,11	NA	0,18	0,9250	0,14	0,8621	0,01	0,9976	0,10	NA	0,00	1,0000	-0,01	0,9959
Mrgpre	10,39	-0,23	0,7573	0,27	0,7350	0,17	NA	-0,19	0,9141	-0,36	0,5602	0,54	0,5035	-0,03	NA	0,46	0,6531	-0,30	0,7086
Mrgprh	1,11	-0,07	NA	0,10	0,8952	0,00	NA	-0,11	NA	-0,39	NA	0,39	NA	0,25	NA	0,02	NA	-0,25	NA
Mri1	8,54	-0,13	0,8789	0,13	0,8916	-0,02	NA	0,11	0,9638	0,39	0,5281	0,33	0,7451	-0,01	NA	0,18	0,9119	-0,36	0,6338
Mrm1	29,87	-0,39	0,3662	-0,60	0,2171	-0,05	1,0000	0,09	0,9727	0,31	0,4337	-0,49	0,4775	0,21	0,8064	0,46	0,5324	0,59	0,1568
Mroh1	99,10	-0,15	0,7200	0,50	0,0658	0,28	1,0000	0,01	0,9941	0,27	0,3098	0,46	0,3138	0,11	0,8856	0,14	0,9025	0,07	0,8829
Mroh7	3,24	-0,40	0,5624	0,80	0,1609	-0,05	NA	0,10	NA	-0,46	0,5115	0,94	0,1741	0,39	NA	0,17	NA	-0,41	NA
Mrpl1	46,44	0,00	0,9968	0,46	0,2072	0,04	1,0000	0,26	0,7553	-0,18	0,6867	0,57	0,2266	0,27	0,6674	0,32	0,6695	-0,13	0,7815
Mrpl10	98,31	0,13	0,7338	0,34	0,2619	0,02	1,0000	0,02	0,9891	0,62	0,0016	0,48	0,2388	-0,17	0,7925	0,18	0,8285	0,54	0,0562
Mrpl11	37,51	-0,03	0,9622	-0,44	0,3652	-0,05	1,0000	-0,60	0,2353	-1,39	0,0003	0,18	0,8220	0,02	0,9784	-0,27	0,7779	-0,75	0,0818
Mrpl12	100,74	0,72	0,0037	-0,30	0,5461	-0,13	1,0000	-0,27	0,7708	0,17	0,6945	-0,45	0,2191	-0,37	0,3714	-0,19	0,7876	-0,15	0,6825
Mrpl13	54,80	0,03	0,9584	0,36	0,3632	-0,07	1,0000	-0,38	0,5731	-0,54	0,1200	0,48	0,3151	-0,04	0,9628	0,09	0,9494	-0,28	0,5383
Mrpl14	6,85	0,12	0,8925	0,26	0,7571	0,03	NA	0,02	0,9901	0,00	0,9965	0,08	0,9533	-0,23	NA	0,26	0,8562	0,10	0,9138
Mrpl15	62,55	0,54	0,0620	-0,18	0,7570	-0,18	1,0000	-0,05	0,9853	-0,14	0,7513	-0,19	0,7782	-0,59	0,1641	-0,28	0,6935	-0,45	0,1982
Mrpl16	42,62	0,20	0,6786	0,05	0,9523	-0,03	1,0000	0,03	0,9853	-0,16	0,7392	0,19	0,7990	-0,04	0,9710	-0,09	0,9483	-0,09	0,8536
Mrpl17	37,85	0,38	0,2786	-0,08	0,9075	0,10	1,0000	0,40	0,5216	0,50	0,1090	-0,25	0,7248	-0,42	0,4698	0,00	1,0000	0,27	0,5339
Mrpl18	69,13	0,25	0,5552	-0,17	0,7485	-0,15	1,0000	0,06	0,9805	-0,62	0,0402	-0,02	0,9792	0,31	0,5719	0,26	0,7288	-0,50	0,1742
Mrpl19	41,54	0,38	0,2655	-0,28	0,5987	-0,22	1,0000	-0,36	0,6440	-1,12	0,0019	-0,47	0,3860	-0,20	0,7798	-0,36	0,6168	-1,62	0,0000
Mrpl2	36,89	0,12	0,8243	0,24	0,6897	0,12	1,0000	0,10	0,9634	0,55	0,0890	0,59	0,2078	-0,14	0,8731	-0,37	0,6386	0,38	0,2773
Mrpl20	19,52	0,55	0,2133	0,38	0,5428	-0,13	NA	-0,17	0,9269	-0,05	0,9479	0,10	0,9286	-0,53	NA	-0,20	0,8784	-0,41	0,4401
Mrpl21	24,04	0,12	0,8461	0,00	0,9987	-0,11	NA	-0,15	0,9399	-0,66	0,1153	0,42	0,5375	-0,09	0,9313	-0,28	0,8018	-0,50	0,3320
Mrpl22	34,70	0,29	0,5236	-0,16	0,8275	-0,19	NA	-0,28	0,8147	0,02	0,9698	-0,12	0,8913	-0,26	0,6967	-0,47	0,4931	-0,44	0,2927
Mrpl23	11,61	0,17	0,8137	-0,74	0,1945	-0,02	NA	-0,02	0,9901	-0,28	0,6701	-0,33	0,7443	-0,28	NA	-0,32	0,8044	-0,82	0,1777
Mrpl24	79,86	-0,09	0,8262	0,49	0,0648	-0,13	1,0000	0,08	0,9601	0,46	0,0396	0,55	0,1518	-0,06	0,9391	0,02	0,9918	0,48	0,1054
Mrpl27	28,43	0,45	0,2784	-0,31	0,6411	-0,05	NA	-0,31	0,7737	-0,16	0,7779	-0,66	0,2338	-0,61	0,2719	-0,61	0,3326	-0,71	0,0834
Mrpl28	31,60	0,03	0,9699	0,11	0,8782	-0,12	NA	0,06	0,9828	0,21	0,6427	0,46	0,4487	-0,23	0,7701	0,15	0,9119	-0,05	0,9345
Mrpl3	51,64	0,11	0,8078	-0,20	0,6994	-0,05	1,0000	-0,04	0,9853	-0,70	0,0197	-0,17	0,8117	-0,06	0,9505	-0,20	0,8383	-1,24	0,0002
Mrpl30	56,88	0,33	0,3474	0,48	0,2088	0,05	1,0000	0,05	0,9853	-0,11	0,8110	-0,09	0,9125	-0,18	0,7796	0,28	0,6667	-0,18	0,6411
Mrpl32	54,67	0,02	0,9691	0,01	0,9940	-0,05	1,0000	0,13	0,9378	-0,05	0,9068	0,20	0,7733	0,22	0,7226	0,18	0,8489	-0,05	0,9283
Mrpl33	51,07	0,31	0,5752	0,05	0,9593	-0,08	1,0000	-0,09	0,9741	-0,26	0,6050	0,37	0,5791	0,10	0,9138	0,11	0,9373	-0,42	0,4080
Mrpl34	27,12	-0,04	0,9559	0,32	0,5623	0,01	NA	-0,08	0,9758	0,03	0,9565	0,77	0,1755	-0,04	0,9755	-0,09	0,9600	-0,04	0,9634
Mrpl35	59,16	0,48	0,0851	0,17	0,7426	0,07	1,0000	-0,02	0,9901	-0,33	0,3568	-0,08	0,9226	-0,35	0,4976	-0,38	0,5180	-0,79	0,0131
Mrpl36	22,48	0,35	0,4545	0,14	0,8481	0,05	NA	-0,22	0,8797	-0,53	0,2592	-0,08	0,9394	-0,56	0,3541	-0,11	0,9483	-0,83	0,0576
Mrpl37	62,21	0,32	0,3273	0,17	0,7405	-0,06	1,0000	-0,03	0,9853	-0,02	0,9584	0,11	0,8888	-0,44	0,3774	-0,32	0,6406	-0,27	0,5755

GeneID	CTL	ET-1 vs CTL		SAHA vs CTL		JS28 vs CTL		BSP vs CTL		JQ1 vs CTL		ET-1+SAHA vs ET1		ET-1+JS28 vs ET1		ET-1+BSP vs ET1		ET-1+JQ1 vs ET1	
	mean	log2(FC)	P-adj	log2(FC)	P-adj	log2(FC)	P-adj	log2(FC)	P-adj	log2(FC)	P-adj	log2(FC)	P-adj	log2(FC)	P-adj	log2(FC)	P-adj	log2(FC)	P-adj
Mrpl38	46,01	0,08	0,8945	0,46	0,2550	0,06	1,0000	-0,19	0,8966	0,20	0,6307	0,42	0,4392	-0,30	0,6502	-0,05	0,9794	0,21	0,6909
Mrpl39	54,31	0,14	0,7603	-0,09	0,8895	0,15	1,0000	0,02	0,9901	-0,26	0,4768	0,22	0,7355	-0,15	0,8451	-0,06	0,9674	-0,30	0,4455
Mrpl4	45,85	0,34	0,3495	-0,09	0,8945	0,03	1,0000	0,06	0,9829	0,41	0,2727	-0,25	0,7067	-0,27	0,6575	0,02	0,9918	0,13	0,7864
Mrpl40	32,82	0,35	0,4041	-0,05	0,9550	0,07	NA	0,01	0,9940	0,00	0,9973	-0,24	0,7599	-0,03	0,9768	-0,33	0,7007	-0,23	0,6354
Mrpl41	14,64	0,17	0,8072	-0,47	0,4677	-0,12	NA	0,09	0,9746	0,34	0,5340	0,10	0,9325	0,17	NA	0,16	0,9170	-0,23	0,7368
Mrpl42	128,15	0,30	0,2800	0,08	0,8775	0,03	1,0000	0,01	0,9901	-0,34	0,1925	0,19	0,7031	0,35	0,3644	0,06	0,9590	-0,45	0,0775
Mrpl43	34,97	0,32	0,4295	0,70	0,0447	0,26	1,0000	0,12	0,9484	0,39	0,3404	0,41	0,4684	-0,21	0,7810	0,13	0,9178	0,01	0,9953
Mrpl44	16,48	0,07	0,9232	0,11	0,8982	-0,01	NA	-0,23	0,8797	-0,22	0,7105	0,31	0,7239	-0,18	NA	-0,08	0,9726	0,07	0,9220
Mrpl45	77,69	0,13	0,7865	-0,06	0,9302	-0,09	1,0000	0,03	0,9853	-0,45	0,1312	-0,16	0,8292	-0,14	0,8558	0,01	0,9989	-0,45	0,2317
Mrpl46	18,58	0,04	0,9586	-0,16	0,8492	-0,10	NA	-0,04	0,9855	-0,43	0,4182	0,54	0,4111	0,19	NA	-0,12	0,9438	-0,02	0,9784
Mrpl47	28,36	0,59	0,1145	-0,04	0,9718	-0,05	NA	0,08	0,9746	-0,32	0,5496	-0,27	0,7239	-0,34	0,6114	-0,05	0,9789	-0,74	0,0890
Mrpl48	18,90	0,21	0,7178	-0,30	0,6595	0,07	NA	0,06	0,9829	-0,40	0,4354	-0,09	0,9350	-0,16	NA	-0,38	0,7070	-0,48	0,4135
Mrpl49	35,10	0,12	0,8259	-0,12	0,8671	0,05	1,0000	0,37	0,6309	0,77	0,0158	0,02	0,9842	0,04	0,9661	0,68	0,1436	0,93	0,0019
Mrpl50	65,22	0,07	0,8795	-0,20	0,6906	-0,14	1,0000	-0,23	0,8237	-0,48	0,1192	-0,09	0,9057	0,09	0,9038	-0,16	0,8784	-0,09	0,8584
Mrpl51	43,40	0,48	0,1671	-0,51	0,2521	0,02	1,0000	-0,12	0,9500	-0,24	0,5915	-0,54	0,3037	-0,51	0,3426	0,01	0,9986	-0,67	0,0711
Mrpl52	32,78	0,23	0,6861	-0,08	0,9288	-0,29	NA	-0,38	0,6692	-0,10	0,8635	0,32	0,6390	-0,24	0,7485	0,15	0,9033	-0,42	0,3742
Mrpl53	19,06	0,33	0,5604	-0,20	0,8056	-0,17	NA	0,05	0,9853	-1,06	0,0230	-0,41	0,6188	-0,19	NA	-0,10	0,9551	-0,63	0,2612
Mrpl54	23,37	0,56	0,2516	-0,78	0,1352	0,00	NA	-0,35	0,7365	-0,13	0,8319	-0,48	0,5019	-0,29	0,7123	-0,77	0,2223	-0,42	0,4487
Mrpl55	28,80	0,26	0,6008	-0,20	0,7762	-0,04	NA	-0,15	0,9389	-0,05	0,9336	0,13	0,8892	-0,36	0,5958	-0,03	0,9911	-0,21	0,6842
Mrpl57	23,57	0,42	0,3211	-0,20	0,7887	-0,08	NA	-0,08	0,9770	-0,03	0,9674	-0,54	0,4027	-0,30	0,6843	-0,17	0,9023	-0,46	0,3569
Mrpl9	25,48	0,02	0,9760	0,16	0,8112	0,33	NA	0,42	0,5478	-0,06	0,9119	0,11	0,9155	0,20	0,8121	0,29	0,7668	-0,09	0,8864
Mrps10	24,15	0,00	0,9999	0,03	0,9761	0,09	NA	0,26	0,8279	-0,03	0,9580	0,54	0,3791	0,24	0,7759	0,10	0,9551	0,03	0,9691
Mrps11	13,34	0,21	0,7562	0,45	0,4617	-0,01	NA	0,01	0,9968	0,31	0,5912	0,12	0,9201	-0,09	NA	-0,05	0,9862	-0,44	0,4570
Mrps12	9,52	-0,01	0,9895	0,11	0,9091	-0,05	NA	-0,18	0,9251	-0,37	0,5649	-0,01	0,9955	-0,19	NA	0,07	0,9789	-0,39	0,6227
Mrps14	37,35	0,21	0,7063	-0,19	0,7630	-0,32	1,0000	0,20	0,8786	-0,17	0,7514	0,08	0,9394	0,03	0,9765	0,06	0,9789	-0,44	0,4114
Mrps15	48,59	0,00	0,9933	-0,14	0,8217	0,10	1,0000	-0,34	0,6633	-0,72	0,0226	0,00	0,9972	0,00	0,9963	-0,25	0,7864	-0,63	0,0651
Mrps16	17,55	0,67	0,1132	0,13	0,8795	-0,02	NA	-0,14	0,9469	-0,41	0,4969	-0,31	0,7163	-0,78	NA	-0,76	0,2307	-1,32	0,0033
Mrps17	43,41	0,22	0,6338	-0,01	0,9871	-0,08	1,0000	0,04	0,9853	0,00	0,9948	0,06	0,9478	-0,19	0,8024	-0,02	0,9936	0,10	0,8498
Mrps18a	42,28	0,34	0,3219	0,13	0,8300	0,14	1,0000	0,15	0,9220	0,07	0,8770	0,08	0,9285	-0,22	0,7481	0,19	0,8416	0,09	0,8532
Mrps18b	26,92	0,57	0,1138	-0,11	0,8884	-0,11	NA	-0,30	0,7766	0,37	0,4135	-0,34	0,6290	-0,44	0,4750	-0,83	0,1138	-0,18	0,7373
Mrps18c	25,99	-0,08	0,8946	0,43	0,3580	0,21	NA	0,35	0,6740	-0,17	0,7380	0,92	0,0339	0,50	0,3824	0,09	0,9570	0,14	0,8170
Mrps2	53,90	0,33	0,4456	-0,17	0,7713	0,02	1,0000	-0,10	0,9627	0,02	0,9658	-0,18	0,8258	-0,17	0,8313	-0,28	0,7553	-0,42	0,3460
Mrps21	30,26	0,10	0,8733	-0,69	0,1302	-0,08	NA	-0,10	0,9647	0,21	0,6563	-0,05	0,9610	0,01	0,9888	0,02	0,9931	-0,06	0,9226
Mrps22	30,55	0,50	0,2240	0,48	0,3719	-0,04	NA	0,34	0,7308	-0,13	0,8429	0,22	0,7681	0,08	0,9305	-0,02	0,9918	-0,28	0,6151
Mrps23	90,30	0,32	0,3276	0,43	0,2246	0,04	1,0000	0,08	0,9676	0,15	0,6979	0,47	0,2050	-0,21	0,6975	0,03	0,9874	-0,16	0,6559
Mrps24	16,63	0,36	0,5170	-0,28	0,7170	-0,08	NA	-0,05	0,9853	0,14	0,8360	0,14	0,8920	-0,14	NA	0,16	0,9178	-0,01	0,9900
Mrps25	20,20	0,02	0,9822	0,22	0,7509	-0,13	NA	0,10	0,9672	0,11	0,8391	0,77	0,1966	-0,05	NA	-0,01	0,9967	0,18	0,7978
Mrps26	18,37	-0,08	0,9175	-0,02	0,9836	0,04	NA	0,05	0,9853	0,35	0,5031	0,24	0,8036	0,07	NA	0,42	0,6354	0,32	0,6013
Mrps27	41,14	0,11	0,8525	0,40	0,4364	-0,01	1,0000	-0,11	0,9601	-0,44	0,2977	0,56	0,2614	0,03	0,9768	-0,11	0,9400	-0,49	0,2482
Mrps28	11,60	0,74	0,1264	-0,05	0,9665	-0,08	NA	-0,11	0,9634	0,33	0,6061	-0,45	0,5904	-0,79	NA	-0,33	0,7864	-0,37	0,5602
Mrps30	55,88	0,07	0,8889	0,14	0,8127	0,17	1,0000	0,17	0,8972	-0,25	0,5281	0,02	0,9853	0,13	0,8658	0,06	0,9681	-0,24	0,5171
Mrps31	68,34	0,50	0,0497	0,19	0,6983	-0,15	1,0000	-0,11	0,9496	-0,19	0,5971	-0,15	0,8290	-0,34	0,4836	-0,49	0,3063	-0,66	0,0356
Mrps33	17,67	0,33	0,5604	-0,04	0,9730	-0,04	NA	0,04	0,9855	-0,12	0,8538	-0,09	0,9364	-0,24	NA	0,01	0,9987	-0,48	0,3916
Mrps34	26,18	0,51	0,2273	-0,06	0,9507	0,09	NA	0,36	0,6925	0,08	0,8947	0,12	0,9052	-0,45	0,4921	-0,38	0,6579	-0,30	0,5556
Mrps35	54,17	0,14	0,7831	-0,31	0,5518	-0,04	1,0000	-0,09	0,9634	-0,79	0,0228	-0,49	0,3265	-0,32	0,5876	-0,47	0,4040	-1,27	0,0001

GeneID	CTL	ET-1 vs CTL		SAHA vs CTL		JS28 vs CTL		BSP vs CTL		JQ1 vs CTL		ET-1+SAHA vs ET1		ET-1+JS28 vs ET1		ET-1+BSP vs ET1		ET-1+JQ1 vs ET1	
	mean	log2(FC)	P-adj	log2(FC)	P-adj	log2(FC)	P-adj	log2(FC)	P-adj	log2(FC)	P-adj	log2(FC)	P-adj	log2(FC)	P-adj	log2(FC)	P-adj	log2(FC)	P-adj
Mrps36	20,16	0,15	0,8051	-0,02	0,9836	-0,17	NA	-0,19	0,9113	-0,50	0,3136	-0,06	0,9572	-0,37	NA	-0,10	0,9556	-0,38	0,4770
Mrps5	23,60	0,13	0,8392	0,58	0,1873	0,12	NA	-0,25	0,8550	-0,57	0,2003	0,47	0,4626	0,09	0,9337	-0,03	0,9918	-0,72	0,1518
Mrps6	19,02	0,35	0,5030	-0,52	0,3765	-0,11	NA	-0,26	0,8528	-0,05	0,9444	-0,45	0,5801	-0,19	NA	-0,03	0,9914	0,05	0,9423
Mrps7	47,06	0,34	0,3959	0,02	0,9851	0,02	1,0000	-0,04	0,9853	-0,01	0,9919	-0,29	0,6659	-0,25	0,7169	0,14	0,9106	-0,24	0,5862
Mrps9	68,05	0,06	0,8946	0,01	0,9845	0,11	1,0000	-0,14	0,9208	-0,79	0,0038	-0,05	0,9476	0,17	0,7949	-0,06	0,9616	-0,63	0,0402
Mrrf	71,23	0,40	0,2001	-0,57	0,0913	-0,33	1,0000	-0,39	0,5082	-0,50	0,1510	-0,90	0,0165	-0,57	0,1862	-0,44	0,4180	-0,62	0,0605
Mrs2	63,61	0,40	0,1633	-0,23	0,6246	0,01	1,0000	0,10	0,9600	0,00	0,9961	-0,60	0,1585	0,12	0,8559	-0,01	0,9936	-0,22	0,5618
Mrto4	19,92	0,47	0,3080	-0,26	0,7305	-0,10	NA	0,03	0,9860	-0,52	0,3121	-0,68	0,2760	-0,38	0,6087	-0,55	0,4707	-0,82	0,0908
Mrvi1	62,73	-0,81	0,0014	-1,46	0,0000	0,35	0,7942	-0,69	0,0307	-2,49	0,0000	-0,45	0,4554	0,34	0,5850	-0,44	0,5416	-2,78	0,0000
Msantd2	15,29	0,27	0,6508	0,06	0,9550	0,06	NA	0,07	0,9812	-0,43	0,4693	-0,22	0,8292	0,13	NA	-0,16	0,9170	-0,73	0,1611
Msantd3	43,42	0,40	0,2426	-0,07	0,9315	-0,14	1,0000	0,11	0,9527	0,01	0,9871	-0,43	0,4290	-0,18	0,7992	-0,12	0,9192	-0,27	0,5684
Msantd4	118,46	0,36	0,1189	0,21	0,5836	0,04	1,0000	0,07	0,9708	-0,30	0,2782	0,03	0,9610	-0,03	0,9699	-0,21	0,7235	-0,33	0,3320
Msh2	69,70	-0,42	0,1175	-0,05	0,9424	-0,06	1,0000	0,07	0,9723	-0,15	0,6789	0,06	0,9387	0,38	0,4453	0,19	0,8418	0,18	0,6624
Msh3	21,96	0,09	0,8989	-0,05	0,9551	0,22	NA	0,80	0,0446	1,06	0,0004	-0,03	0,9789	0,23	0,7798	0,53	0,4411	0,70	0,1270
Msh5	2,96	0,18	0,8312	1,02	0,0503	0,03	NA	0,17	NA	0,64	0,3200	0,32	0,7617	-0,14	NA	0,32	NA	0,37	0,6548
Msh6	72,50	-0,52	0,0465	0,15	0,7370	-0,19	1,0000	0,12	0,9293	0,39	0,1054	0,18	0,7965	0,10	0,8987	0,28	0,7198	0,70	0,0159
Msi1	4,14	-0,13	0,8828	0,89	0,0986	0,07	NA	-0,19	NA	-0,78	0,2101	0,23	0,8400	-0,01	NA	-0,47	NA	-0,44	0,5872
Msi2	819,20	-0,02	0,9580	-0,39	0,1020	-0,20	1,0000	-0,01	0,9901	0,10	0,7181	-0,24	0,5689	0,05	0,9361	0,03	0,9789	0,16	0,6156
Msl1	201,49	-0,29	0,2179	-0,64	0,0061	-0,19	1,0000	-0,12	0,9178	-0,16	0,5759	-0,48	0,1396	0,12	0,8318	0,00	0,9991	-0,08	0,8294
Msl2	92,78	0,21	0,4646	-0,08	0,8714	0,06	1,0000	0,34	0,4548	0,45	0,0370	0,03	0,9658	0,03	0,9663	0,02	0,9911	0,20	0,5296
Msl3	90,69	-0,03	0,9372	-0,48	0,0842	-0,19	1,0000	-0,12	0,9211	-0,42	0,0828	-0,19	0,7483	-0,07	0,9263	-0,05	0,9708	-0,36	0,2568
Msl3l2	1,94	0,03	NA	-0,21	0,7618	-0,01	NA	-0,07	NA	-0,17	0,8180	-0,48	NA	-0,16	NA	-0,13	NA	-0,09	0,9277
Msmo1	83,60	1,01	0,0322	-0,05	0,9611	0,07	1,0000	0,02	0,9901	-0,14	0,7985	-0,12	0,9268	-0,27	0,7687	-0,52	0,5873	-1,02	0,0282
Msmmp	1,30	0,27	NA	-0,11	NA	-0,05	NA	-0,05	NA	0,56	0,3699	0,13	0,9075	-0,24	NA	-0,07	NA	-0,10	0,9247
Msn	616,28	1,26	0,0000	-0,33	0,0633	-0,26	0,7747	-0,48	0,0183	-0,11	0,6446	-1,04	0,0000	-1,22	0,0000	-1,49	0,0000	-0,85	0,0000
Msra	32,36	0,18	0,8011	-0,78	0,1481	-0,07	NA	-0,34	0,7446	-0,61	0,2386	-0,73	0,2063	-0,55	0,3587	-0,67	0,2714	-0,94	0,0247
Msrbl	25,18	0,66	0,0828	1,03	0,0032	0,21	NA	-0,11	0,9626	-0,74	0,1052	0,67	0,1861	-0,10	0,9239	-0,68	0,2709	-0,77	0,1037
Msrbl2	21,21	-0,48	0,3269	-1,20	0,0023	0,00	NA	0,04	0,9853	-1,39	0,0003	-0,54	0,5019	-0,02	NA	0,34	0,7688	-0,97	0,0867
Msrbl3	243,52	0,65	0,0039	-0,56	0,0253	-0,16	1,0000	0,00	0,9972	0,25	0,3847	-0,32	0,4776	-0,33	0,4524	-0,21	0,7478	0,12	0,7435
Mss51	1,94	-0,21	NA	0,05	0,9614	-0,04	NA	0,11	NA	0,46	0,5167	-0,08	NA	0,10	NA	0,10	NA	0,65	0,3890
Msto1	23,64	-0,31	0,6033	-0,17	0,8300	-0,02	NA	0,05	0,9853	0,00	0,9963	0,29	0,7598	0,24	0,7810	0,37	0,7070	0,30	0,6336
Msx1	2,24	0,56	NA	0,38	0,5457	-0,01	NA	0,16	NA	0,53	0,4183	-0,58	0,4493	-0,24	NA	-0,27	NA	-0,36	0,6703
Msx2	3,98	0,13	0,8816	0,22	0,8066	-0,07	NA	0,00	NA	0,02	0,9820	-0,02	0,9893	-0,01	NA	0,01	NA	-0,11	0,9137
Mt1	43,93	0,14	0,8421	0,43	0,4328	-0,06	1,0000	0,13	0,9516	1,22	0,0008	0,00	0,9982	-0,10	0,9283	-0,43	0,6130	0,89	0,0693
Mt2	4,45	0,57	0,3454	1,16	0,0184	-0,07	NA	-0,19	NA	2,20	0,0000	-0,08	0,9510	-0,53	NA	-0,73	NA	0,83	0,2311
Mt3	2,30	-0,14	0,8623	1,08	0,0332	0,08	NA	-0,01	NA	-0,20	0,8072	1,36	0,0216	0,50	NA	0,03	NA	0,10	0,9251
Mta1	113,90	-0,15	0,7197	0,46	0,1721	0,17	1,0000	-0,03	0,9853	-0,03	0,9465	0,17	0,7814	-0,37	0,4311	0,00	1,0000	-0,18	0,7092
Mta2	95,54	-0,01	0,9901	-0,18	0,6516	-0,23	1,0000	-0,49	0,1540	0,14	0,6479	-0,36	0,4776	-0,32	0,5467	-0,33	0,6112	0,08	0,8700
Mta3	40,52	-0,29	0,5875	0,06	0,9424	0,06	1,0000	-0,20	0,8814	-0,87	0,0220	-0,04	0,9713	0,24	0,7650	-0,16	0,9106	-0,88	0,0630
Mtap	107,39	0,29	0,2596	0,13	0,7679	0,02	1,0000	-0,08	0,9634	-0,21	0,5219	-0,13	0,8392	-0,10	0,8806	-0,34	0,5180	-0,24	0,5192
Mtap7d3	11,71	-0,45	0,4737	-0,03	0,9819	-0,06	NA	-0,15	0,9464	-0,68	0,2133	-0,16	0,8955	0,18	NA	-0,39	0,7320	-0,34	0,6665
Mtbp	18,35	0,85	0,0548	-0,09	0,9267	-0,17	NA	-0,30	0,8055	-0,21	0,7558	-1,04	0,0660	-0,75	0,1905	-1,15	0,0301	-0,98	0,0455
Mtch1	98,66	-0,29	0,5015	0,16	0,7096	0,11	1,0000	0,36	0,4621	0,09	0,8089	0,40	0,4938	0,00	0,9968	0,51	0,3797	0,29	0,5592
Mtch2	165,88	-0,08	0,8554	-0,07	0,8574	0,02	1,0000	0,16	0,8185	-0,04	0,9091	0,29	0,5964	0,16	0,8066	0,31	0,6212	0,04	0,9449
Mtcl1	17,10	0,16	0,8066	0,26	0,7107	0,49	NA	0,50	0,4651	1,09	0,0009	-0,55	0,4677	0,24	NA	0,19	0,9018	0,70	0,1211

GeneID	CTL	ET-1 vs CTL		SAHA vs CTL		JS28 vs CTL		BSP vs CTL		JQ1 vs CTL		ET-1+SAHA vs ET1		ET-1+JS28 vs ET1		ET-1+BSP vs ET1		ET-1+JQ1 vs ET1	
	mean	log2(FC)	P-adj	log2(FC)	P-adj	log2(FC)	P-adj	log2(FC)	P-adj	log2(FC)	P-adj	log2(FC)	P-adj	log2(FC)	P-adj	log2(FC)	P-adj	log2(FC)	P-adj
Mtcp1	18,62	-0,33	0,5826	-0,36	0,5851	-0,17	NA	0,06	0,9853	-0,57	0,2426	-0,07	0,9530	0,26	NA	-0,07	0,9789	-0,31	0,6746
Mtdh	227,67	0,25	0,1841	0,14	0,6555	0,04	1,0000	0,30	0,3559	0,15	0,4972	-0,21	0,6481	0,03	0,9678	-0,01	0,9931	-0,03	0,9401
Mterf1a	2,79	0,27	0,7283	0,15	0,8714	0,09	NA	0,20	NA	-0,03	0,9711	0,10	0,9394	0,21	NA	0,19	NA	-0,59	0,4448
Mterf1b	1,72	-0,07	NA	-0,03	0,9783	0,02	NA	-0,03	NA	-0,48	0,4377	0,10	NA	-0,02	NA	0,04	NA	-0,18	NA
Mterfd1	34,23	0,53	0,1157	-0,13	0,8554	0,15	NA	0,39	0,6020	0,41	0,2909	-0,11	0,8999	-0,08	0,9289	0,00	1,0000	0,05	0,9270
Mterfd2	18,41	-0,55	0,2368	-0,02	0,9826	-0,01	NA	0,08	0,9769	-0,12	0,8281	0,52	0,4865	-0,08	NA	0,24	0,8588	0,22	0,7488
Mterfd3	18,18	-0,28	0,6041	0,03	0,9783	0,10	NA	-0,54	0,4122	-1,39	0,0011	0,65	0,3053	0,31	NA	-0,16	0,9192	-1,46	0,0072
Mtf1	54,60	0,08	0,8554	0,26	0,5560	0,11	1,0000	0,23	0,8099	0,63	0,0153	-0,24	0,7103	-0,15	0,8318	0,27	0,7067	0,70	0,0105
Mtf2	97,27	-0,18	0,5679	0,14	0,7222	-0,11	1,0000	0,12	0,9124	0,05	0,8744	0,18	0,7672	0,31	0,5299	0,27	0,6579	-0,10	0,8361
Mtfmt	19,90	0,03	0,9692	0,26	0,6815	-0,03	NA	-0,12	0,9606	0,10	0,8526	0,21	0,8198	0,02	NA	0,07	0,9713	-0,07	0,9296
Mtfp1	3,87	0,74	0,1892	1,25	0,0092	0,09	NA	0,14	NA	-0,50	0,4348	0,73	0,3281	0,06	NA	-0,42	NA	-1,37	0,0297
Mtfr1	100,45	0,18	0,5890	-0,18	0,6555	-0,10	1,0000	0,08	0,9628	0,32	0,1911	-0,08	0,9149	-0,07	0,9243	0,07	0,9526	0,48	0,0638
Mtfr1l	148,04	0,44	0,0512	0,05	0,9337	0,06	1,0000	-0,07	0,9674	0,41	0,0715	-0,20	0,7013	-0,44	0,2514	-0,33	0,5131	0,21	0,5764
Mtfr2	1,42	-0,07	NA	-0,14	0,8585	-0,05	NA	0,03	NA	-0,16	0,8267	-0,30	NA	0,09	NA	-0,18	NA	0,00	NA
Mtg1	19,51	0,43	0,3374	-0,16	0,8417	0,33	NA	-0,11	0,9634	-0,21	0,7114	-0,12	0,9046	-0,50	NA	-0,19	0,8925	-0,70	0,1503
Mtg2	21,60	0,03	0,9692	0,07	0,9337	-0,14	NA	0,03	0,9860	-0,02	0,9797	-0,16	0,8688	-0,50	NA	-0,21	0,8736	0,11	0,8797
Mthfd1	40,43	0,52	0,1351	-0,21	0,7412	0,09	1,0000	-0,33	0,7166	-0,56	0,1884	-0,25	0,7248	-0,48	0,3707	-0,68	0,1827	-0,75	0,0363
Mthfd1l	38,12	1,86	0,0000	-0,15	0,8714	0,10	NA	-0,19	0,9211	-0,50	0,3835	-1,32	0,0062	-1,53	0,0002	-2,00	0,0000	-2,21	0,0000
Mthfd2	132,38	1,38	0,0020	-0,98	0,0600	-0,38	NA	-0,35	0,7195	0,25	0,7447	-1,23	0,0407	-0,86	0,1066	-1,10	0,0499	-0,53	0,4998
Mthfd2l	15,16	0,23	0,7057	-0,22	0,7801	0,09	NA	-0,18	0,9269	-0,58	0,2803	0,00	0,9982	0,13	NA	0,06	0,9789	-0,38	0,5455
Mthfr	32,80	0,37	0,4307	-0,31	0,6144	0,06	NA	-0,33	0,7443	-0,09	0,8744	-0,99	0,0455	-0,52	0,3822	-0,47	0,5180	-0,49	0,2849
Mthfs	3,57	-0,72	0,2004	-0,34	0,6685	0,02	NA	-0,10	NA	-0,30	0,6904	0,32	NA	0,03	NA	0,21	NA	-0,14	NA
Mthfsd	16,95	0,05	0,9517	0,02	0,9894	0,07	NA	0,21	0,8977	0,28	0,6376	0,27	0,7612	0,09	NA	-0,05	0,9842	0,04	0,9572
Mtif2	148,07	0,21	0,4450	0,22	0,5115	-0,08	1,0000	-0,22	0,7521	-0,61	0,0039	0,11	0,8663	-0,09	0,8872	-0,10	0,9065	-0,69	0,0303
Mtif3	24,99	-0,23	0,6919	0,25	0,6981	0,04	NA	-0,10	0,9676	-0,38	0,4339	0,23	0,7996	-0,04	0,9725	-0,02	0,9936	-0,26	0,6835
Mti5	4,38	-0,51	0,4215	0,06	0,9622	-0,19	NA	0,11	NA	-0,05	0,9528	0,03	0,9836	0,15	NA	0,69	NA	0,54	0,4921
Mtm1	28,66	-0,24	0,6335	0,03	0,9718	0,01	1,0000	0,33	0,6982	-0,02	0,9782	0,56	0,3376	-0,08	0,9361	0,40	0,6374	0,45	0,3506
Mtmr1	78,50	-0,32	0,3594	-0,16	0,7397	0,13	1,0000	0,17	0,8826	-0,48	0,0756	-0,16	0,8316	0,38	0,4672	0,22	0,7939	-0,09	0,8591
Mtmr10	36,23	0,34	0,4106	0,67	0,0699	0,20	1,0000	0,12	0,9516	-0,10	0,8478	0,14	0,8689	0,24	0,7100	-0,22	0,8309	-0,10	0,8547
Mtmr11	1,39	0,31	NA	0,28	0,6626	0,04	NA	-0,08	NA	-0,08	NA	0,73	0,3346	-0,11	NA	-0,26	NA	-0,13	0,9002
Mtmr12	59,19	0,16	0,6842	-0,18	0,7102	-0,02	1,0000	0,06	0,9746	0,32	0,2768	-0,11	0,8851	-0,11	0,8885	0,10	0,9345	0,43	0,1481
Mtmr14	20,98	-0,22	0,7314	0,71	0,1030	0,10	NA	0,38	0,6518	0,33	0,4990	0,99	0,0467	0,28	NA	0,35	0,7316	0,22	0,7210
Mtmr2	54,53	0,25	0,5382	-0,06	0,9342	0,15	1,0000	0,08	0,9700	-0,22	0,5896	-0,25	0,7209	-0,09	0,9102	-0,30	0,6991	-0,63	0,0946
Mtmr3	273,81	-0,30	0,0705	-0,18	0,4749	0,01	1,0000	-0,01	0,9895	0,25	0,1246	-0,08	0,8804	-0,04	0,9458	0,13	0,8441	0,42	0,0395
Mtmr4	91,48	-0,01	0,9904	0,52	0,0655	0,34	0,8961	0,27	0,6846	0,15	0,6470	0,48	0,2343	0,14	0,8334	0,08	0,9416	0,12	0,7514
Mtmr6	128,46	-0,08	0,8561	0,25	0,4328	0,05	1,0000	0,16	0,8670	0,09	0,7871	0,41	0,3654	0,30	0,5592	0,03	0,9881	0,10	0,8455
Mtmr7	17,40	-0,70	0,0905	0,64	0,1246	-0,35	NA	0,20	0,8903	0,08	0,8899	1,07	0,0400	0,57	NA	0,90	0,1143	0,47	0,4031
Mtmr9	78,72	0,06	0,8910	0,18	0,6572	0,14	1,0000	-0,02	0,9860	-0,12	0,7145	-0,07	0,9328	-0,22	0,7063	-0,02	0,9918	-0,22	0,5872
Mto1	23,63	-0,02	0,9843	-0,30	0,6251	-0,20	NA	-0,21	0,8903	-0,72	0,0831	0,15	0,8790	-0,08	0,9432	-0,36	0,7215	-0,62	0,1955
Mtor	178,71	-0,19	0,4360	0,35	0,1157	0,12	1,0000	0,14	0,8643	0,14	0,5749	0,19	0,6900	0,03	0,9628	0,28	0,5543	0,19	0,4930
Mtpap	52,37	0,20	0,5994	0,35	0,3726	0,11	1,0000	0,05	0,9853	0,12	0,7742	0,11	0,8874	0,31	0,5607	-0,13	0,9074	-0,25	0,5438
Mtpn	353,56	0,69	0,0000	-0,01	0,9822	-0,08	1,0000	-0,05	0,9746	0,08	0,8117	-0,20	0,6203	-0,41	0,1630	-0,64	0,0062	-0,53	0,0196
Mtr	101,04	0,15	0,7154	-0,10	0,8491	-0,03	1,0000	-0,07	0,9742	0,18	0,5768	-0,30	0,5525	-0,02	0,9834	-0,16	0,8458	-0,04	0,9283
Mtrf1	13,37	-0,32	0,6036	0,14	0,8721	0,14	NA	-0,20	0,9096	-1,56	0,0011	0,40	0,6507	0,59	NA	0,01	0,9993	-0,99	0,0900
Mtrf1l	9,08	-0,01	0,9946	0,43	0,5282	0,06	NA	0,22	0,8901	0,13	0,8538	0,30	0,7715	0,24	NA	0,42	0,6935	-0,05	0,9559

GeneID	CTL	ET-1 vs CTL		SAHA vs CTL		JS28 vs CTL		BSP vs CTL		JQ1 vs CTL		ET-1+SAHA vs ET1		ET-1+JS28 vs ET1		ET-1+BSP vs ET1		ET-1+JQ1 vs ET1	
	mean	log2(FC)	P-adj	log2(FC)	P-adj	log2(FC)	P-adj	log2(FC)	P-adj	log2(FC)	P-adj	log2(FC)	P-adj	log2(FC)	P-adj	log2(FC)	P-adj	log2(FC)	P-adj
Mtrr	38,76	0,66	0,0392	-0,60	0,2019	0,08	NA	0,00	0,9986	0,03	0,9580	-0,84	0,0641	-0,55	0,2838	-0,84	0,0638	-0,37	0,3412
Mtss1	275,70	-0,55	0,0063	0,05	0,8981	-0,14	1,0000	0,08	0,9440	-0,25	0,2118	0,40	0,2799	0,24	0,6185	0,31	0,5077	0,33	0,2677
Mtss1l	120,24	-0,53	0,3374	-0,50	0,4259	-0,10	1,0000	-0,39	0,6754	-0,19	0,7837	-0,77	0,1251	-0,40	0,5247	-0,61	0,2867	0,04	0,9652
Mttp	41,81	-0,32	0,4933	0,25	0,6964	-0,26	1,0000	0,08	0,9746	-0,55	0,1775	0,67	0,1312	0,24	0,7187	0,18	0,8772	-0,32	0,4952
Mturn	59,68	-1,46	0,0000	-0,25	0,5112	-0,12	1,0000	0,10	0,9440	0,05	0,8986	1,04	0,0094	0,36	0,5746	0,91	0,0297	1,07	0,0006
Mtus1	730,50	-0,31	0,1634	0,19	0,5033	-0,03	1,0000	0,12	0,8937	0,24	0,3150	0,24	0,5452	0,20	0,6315	0,17	0,7767	0,29	0,3910
Mtus2	448,50	-0,03	0,9279	-0,83	0,0000	0,08	1,0000	-0,22	0,6211	-0,09	0,6940	-0,26	0,4513	0,22	0,5394	0,33	0,2911	-0,09	0,7522
Mtx1	16,29	0,64	0,1539	-0,03	0,9818	0,04	NA	-0,21	0,8968	-0,29	0,6438	-0,49	0,5019	-0,33	NA	-0,37	0,7055	-0,54	0,3368
Mtx2	83,24	0,38	0,2257	-0,15	0,7770	0,03	1,0000	0,03	0,9853	-0,60	0,0392	-0,21	0,7425	0,11	0,8732	-0,05	0,9714	-0,90	0,0022
Mtx3	23,10	-0,21	0,7120	0,17	0,8110	-0,07	NA	-0,57	0,3368	-0,84	0,0413	0,57	0,3630	0,79	0,1051	0,23	0,8550	-0,65	0,2453
Muc15	5,06	1,12	0,0206	0,16	0,8576	0,09	NA	-0,01	NA	-0,68	0,1949	-0,84	0,2402	-0,54	NA	-1,29	0,0160	-2,05	0,0003
Mul1	50,91	0,45	0,1608	0,05	0,9526	-0,12	1,0000	0,20	0,8587	0,17	0,6757	-0,69	0,1312	-0,34	0,5527	-0,24	0,7880	0,16	0,7507
Mum1	15,01	-0,29	0,6222	0,31	0,6327	-0,09	NA	-0,08	0,9746	0,11	0,8603	0,19	0,8596	0,08	NA	-0,16	0,9273	0,16	0,8181
Mum1l1	287,70	0,73	0,0000	-0,51	0,0084	-0,46	0,1275	-0,57	0,0081	-0,24	0,3719	-0,85	0,0022	-0,95	0,0003	-0,96	0,0001	-0,55	0,2104
Murc	15,44	1,66	0,0000	-0,30	0,7102	-0,08	NA	-0,15	NA	-0,33	0,6671	-0,86	0,1448	-0,92	0,0758	-1,08	0,0415	-1,70	0,0007
Mus81	14,26	0,33	0,5596	-0,01	0,9926	0,15	NA	0,63	0,2538	0,77	0,0723	-0,24	0,8106	-0,36	NA	0,13	0,9388	-0,05	0,9496
Mustn1	8,44	1,62	0,0001	-0,50	0,3068	-0,09	NA	-0,18	NA	0,25	0,7558	-2,06	0,0001	-1,03	NA	-1,57	0,0016	-1,56	0,0029
Mut	120,63	0,12	0,7528	-0,12	0,8016	-0,11	1,0000	-0,08	0,9619	-0,61	0,0086	-0,08	0,9166	0,01	0,9921	0,05	0,9758	-0,48	0,1114
Mutyh	2,33	0,00	0,9980	-0,11	0,9044	-0,04	NA	-0,03	NA	-0,10	0,9091	-0,27	NA	-0,34	NA	-0,17	NA	-0,72	NA
Mvb12a	13,31	-0,15	0,8409	0,23	0,7582	0,09	NA	-0,38	0,6921	-0,02	0,9820	0,14	0,9049	-0,29	NA	-0,25	0,8597	-0,33	0,6568
Mvb12b	62,00	0,12	0,7882	-0,53	0,1657	0,04	1,0000	-0,27	0,7544	-0,84	0,0055	-0,89	0,0248	-0,43	0,3986	-0,55	0,2884	-0,82	0,0319
Mvd	8,95	0,53	0,3722	0,82	0,1178	0,13	NA	-0,11	NA	0,00	0,9972	0,40	0,6699	0,14	NA	0,99	0,0797	0,39	0,5755
Mvk	6,99	0,19	0,8078	0,10	0,9251	0,05	NA	0,01	NA	-0,22	0,7753	0,35	0,7338	-0,16	NA	0,00	1,0000	-0,27	0,7389
Mvp	47,13	0,14	0,7809	-0,08	0,9050	-0,17	1,0000	-0,65	0,1496	-0,21	0,6061	0,00	0,9982	-0,60	0,2478	-0,87	0,0666	-0,36	0,4835
Mx2	1,37	-0,14	NA	0,26	0,7349	-0,03	NA	-0,07	NA	-0,48	NA	-0,19	NA	-0,14	NA	0,05	NA	-0,39	NA
Mxd1	38,91	-0,64	0,0550	-0,09	0,9016	0,14	1,0000	0,33	0,6648	0,51	0,0981	0,76	0,1045	0,50	0,3516	0,68	0,1687	1,24	0,0000
Mxd4	25,66	-0,58	0,1128	-0,19	0,7681	0,03	NA	0,09	0,9707	0,26	0,5497	-0,05	0,9642	0,19	NA	0,64	0,3076	0,81	0,0356
Mxi1	73,11	-0,82	0,0017	-0,21	0,6608	-0,07	1,0000	0,20	0,8427	0,74	0,0014	0,23	0,7465	0,53	0,2615	0,59	0,2050	1,01	0,0006
Mxra7	4,31	0,00	0,9964	0,54	0,4213	0,05	NA	-0,14	NA	-0,46	0,5173	0,50	0,5845	-0,18	NA	-0,10	NA	-0,26	0,7748
Mxra8	24,11	-0,41	0,3869	0,86	0,0272	0,41	0,8933	-0,04	0,9853	-1,04	0,0186	1,40	0,0003	0,73	0,1504	0,22	0,8638	-0,47	0,4771
Myadm	348,51	0,46	0,0794	-0,14	0,7845	-0,25	1,0000	-0,55	0,1178	-0,99	0,0003	-0,11	0,8542	-0,58	0,0522	-0,95	0,0001	-0,99	0,0027
Myadm2	10,71	0,51	0,3615	-1,03	0,0455	-0,30	NA	-0,31	0,7704	-1,11	0,0457	-1,46	0,0110	-0,78	NA	-0,89	0,1766	-1,71	0,0017
Mybbp1a	233,85	0,44	0,0969	0,10	0,8332	0,23	1,0000	0,10	0,9372	0,20	0,4347	-0,73	0,0248	-0,71	0,0310	-0,53	0,1571	-0,31	0,3388
Mybl1	19,52	-0,34	0,5127	0,12	0,8782	-0,08	NA	-0,18	0,9209	0,25	0,5981	0,26	0,7842	0,26	NA	-0,01	0,9966	0,48	0,4064
Mybpc2	7,37	0,64	0,2613	-0,31	0,7047	-0,15	NA	-0,22	NA	-0,42	0,5600	-0,12	0,9257	-0,63	NA	-1,06	0,0775	-1,35	0,0208
Mybpc3	3033,89	0,13	0,7209	-0,78	0,0005	-0,23	1,0000	-0,08	0,9600	-0,05	0,8866	-0,66	0,0108	-0,22	0,5974	0,32	0,3946	0,25	0,4233
Mybph	1,71	-0,28	NA	-0,39	0,5269	-0,12	NA	-0,24	NA	-0,64	0,2643	-0,03	NA	0,10	NA	-0,16	NA	-0,27	NA
Mybphl	170,75	0,60	0,0854	-0,08	0,9221	0,00	1,0000	-0,21	0,8782	-1,10	0,0346	-0,07	0,9291	0,08	0,9063	0,30	0,5764	-0,59	0,2430
Myc	22,93	1,18	0,0134	-0,31	0,7070	-0,14	NA	-0,28	NA	-0,16	0,8487	-2,27	0,0000	-1,56	0,0003	-2,13	0,0000	-0,89	0,1369
Mycbp	29,49	0,15	0,7865	0,51	0,2183	-0,16	NA	0,18	0,9096	-0,20	0,6878	1,02	0,0097	-0,31	0,6748	0,22	0,8465	0,05	0,9389
Mycbp2	298,42	-0,35	0,0364	0,14	0,6014	0,05	1,0000	0,47	0,0161	0,63	0,0000	-0,02	0,9801	0,25	0,5083	0,55	0,0356	0,83	0,0003
Mycbpap	1,07	-0,04	NA	0,55	0,3202	0,01	NA	-0,05	NA	-0,35	NA	0,63	NA	-0,04	NA	-0,06	NA	-0,19	NA
Mycn	1,16	0,25	NA	0,53	0,2956	0,06	NA	-0,04	NA	0,05	NA	0,04	NA	-0,09	NA	-0,02	NA	-0,16	NA
Myd88	7,71	-0,48	0,4308	-0,50	0,4535	0,18	NA	-0,09	0,9746	-0,10	0,8928	0,34	0,7451	0,28	NA	0,14	0,9416	0,24	0,7811
Myef2	76,09	0,36	0,2119	-0,22	0,6343	-0,01	1,0000	-0,07	0,9717	-0,47	0,1139	-0,22	0,7082	0,08	0,9138	-0,59	0,1608	-0,84	0,0063

GeneID	CTL	ET-1 vs CTL		SAHA vs CTL		JS28 vs CTL		BSP vs CTL		JQ1 vs CTL		ET-1+SAHA vs ET1		ET-1+JS28 vs ET1		ET-1+BSP vs ET1		ET-1+JQ1 vs ET1	
	mean	log2(FC)	P-adj	log2(FC)	P-adj	log2(FC)	P-adj	log2(FC)	P-adj	log2(FC)	P-adj	log2(FC)	P-adj	log2(FC)	P-adj	log2(FC)	P-adj	log2(FC)	P-adj
Myeov2	52,44	0,19	0,7209	-0,15	0,8125	-0,06	1,0000	-0,02	0,9873	-0,10	0,8376	0,64	0,1610	0,19	0,8105	0,14	0,9084	-0,24	0,6070
Myg1	21,50	0,01	0,9867	-0,03	0,9822	-0,10	NA	0,09	0,9741	0,23	0,6665	0,17	0,8595	-0,16	NA	-0,04	0,9911	0,09	0,8842
Myh1	1,57	0,16	NA	-0,11	0,8563	-0,07	NA	-0,11	NA	-0,30	NA	-0,44	NA	-0,26	NA	-0,28	NA	-0,64	NA
Myh10	902,00	-0,23	0,3774	-0,15	0,6669	-0,11	1,0000	-0,01	0,9925	-0,38	0,0509	-0,16	0,7267	0,12	0,7963	0,16	0,7790	-0,06	0,8802
Myh14	6,27	0,01	0,9927	1,18	0,0101	0,40	NA	-0,11	NA	-0,31	0,6749	0,56	0,4976	-0,09	NA	-0,59	NA	-1,02	0,1225
Myh2	2,72	0,04	0,9636	-0,31	0,6070	-0,13	NA	-0,23	NA	-0,42	0,5080	-0,52	NA	-0,38	NA	-0,28	NA	-0,06	0,9566
Myh6	13352,74	0,31	0,3172	1,01	0,0000	0,52	0,1859	0,49	0,1358	-0,85	0,0965	0,68	0,0213	0,47	0,1572	0,73	0,0068	-0,66	0,2621
Myh7	4966,10	0,68	0,1539	0,37	0,6013	-0,24	1,0000	-0,63	0,2730	-1,69	0,0002	-0,11	0,8519	-0,71	0,0141	-1,02	0,0000	-1,86	0,0000
Myh7b	38,92	-0,14	0,7896	0,30	0,5351	-0,19	1,0000	-0,30	0,7412	-0,94	0,0188	0,52	0,3284	0,38	0,5264	0,61	0,2526	-0,74	0,1968
Myh8	101,75	0,17	0,8392	-0,96	0,0624	-0,25	1,0000	-0,43	0,5124	-0,29	0,7006	-0,86	0,2025	-0,35	0,6329	-0,21	0,8820	0,49	0,5442
Myh9	82,25	0,60	0,1125	0,43	0,2673	0,02	1,0000	0,04	0,9853	0,41	0,2373	-0,31	0,6583	-0,55	0,3016	-0,38	0,6091	-0,05	0,9396
Myl1	37,50	0,81	0,1320	-0,17	0,8389	-0,16	NA	-0,29	0,6648	-1,13	0,0449	0,74	0,0829	-1,32	0,0008	-1,30	0,0011	-0,70	0,1502
Myl12a	348,90	1,20	0,0000	-0,31	0,2603	-0,09	1,0000	-0,04	0,9798	0,48	0,0210	-0,53	0,0448	-0,97	0,0000	-0,64	0,0054	-0,39	0,0982
Myl12b	63,61	-0,33	0,3413	0,40	0,2331	-0,11	1,0000	0,12	0,9364	0,62	0,0075	1,00	0,0037	0,25	0,6967	0,36	0,5862	0,99	0,0006
Myl2	1527,10	0,32	0,3298	0,21	0,6127	0,08	1,0000	0,05	0,9794	-0,74	0,0004	0,43	0,2303	0,26	0,5560	0,47	0,1972	-0,77	0,0078
Myl3	317,99	0,39	0,4711	-0,09	0,9044	0,01	1,0000	-0,03	0,9853	-1,08	0,0005	0,25	0,7031	0,05	0,9592	0,16	0,8567	-0,47	0,5501
Myl4	7032,39	0,71	0,0151	-0,17	0,8347	-0,17	1,0000	-0,06	0,9853	-0,06	0,8970	-0,24	0,5593	-0,40	0,2470	0,00	1,0000	0,04	0,9479
Myl6	180,72	0,73	0,0006	-0,52	0,0471	-0,06	1,0000	-0,38	0,3315	0,09	0,7993	-0,44	0,2614	-0,23	0,6512	-0,37	0,4325	-0,12	0,7411
Myl7	1786,64	0,18	0,7900	-0,14	0,8760	-0,06	1,0000	-0,10	0,9700	-0,74	0,1620	0,12	0,8260	0,03	0,9694	0,41	0,2261	-0,32	0,6499
Myl9	820,77	1,08	0,0045	0,01	0,9923	-0,06	1,0000	-0,49	0,5135	-0,53	0,2962	-0,28	0,5115	-0,52	0,1253	-0,34	0,4614	-0,37	0,4125
Mylip	9,92	-0,68	0,1888	0,39	0,5626	-0,20	NA	-0,19	0,9208	-0,17	0,8168	0,87	0,2063	0,40	NA	0,81	0,2458	0,72	0,2474
Mylk	5,43	-0,30	0,6951	0,19	0,8333	0,32	NA	-0,29	NA	0,16	0,8407	0,31	0,7698	0,29	NA	0,10	NA	0,72	0,3032
Mylk3	807,84	-0,32	0,1478	-0,46	0,0134	0,31	0,5413	-0,07	0,9440	0,13	0,6166	0,09	0,8676	0,49	0,1044	0,55	0,0501	0,64	0,0206
Mylk4	153,17	1,59	0,0000	-0,64	0,0358	0,08	1,0000	-1,83	0,0000	-1,89	0,0000	-1,04	0,0004	-0,32	0,5261	-1,91	0,0000	-1,17	0,0001
Mynn	69,17	0,07	0,8905	0,20	0,6668	0,07	1,0000	0,23	0,7887	0,05	0,9071	0,13	0,8493	0,30	0,5636	0,03	0,9862	-0,20	0,6988
Myo10	10,94	0,20	0,8010	0,70	0,2198	0,06	NA	-0,03	0,9860	0,37	0,5567	0,44	0,6227	-0,08	NA	-0,13	0,9481	0,36	0,6151
Myo15	1,68	0,06	NA	0,31	0,6661	0,02	NA	0,01	NA	0,52	0,4447	0,36	0,7035	-0,19	NA	-0,21	NA	0,58	0,4522
Myo18a	803,43	0,20	0,2579	-0,61	0,0002	-0,20	1,0000	-0,22	0,5913	-0,18	0,3943	-0,69	0,0016	-0,21	0,5299	0,01	0,9957	-0,02	0,9539
Myo18b	663,44	0,00	0,9927	-0,38	0,0988	-0,18	1,0000	-0,05	0,9742	-0,10	0,7303	-0,45	0,0703	-0,28	0,3759	0,19	0,6695	0,06	0,8648
Myo19	18,83	-0,35	0,4910	-0,07	0,9429	-0,15	NA	-0,40	0,6433	-0,34	0,5122	0,37	0,6586	0,57	NA	0,02	0,9931	-0,11	0,8753
Myo1b	16,47	0,11	0,8795	0,81	0,0774	0,19	NA	-0,06	0,9853	0,24	0,6661	0,64	0,3148	0,08	NA	-0,08	0,9705	0,44	0,3768
Myo1c	435,40	0,81	0,0000	-0,34	0,2363	-0,07	1,0000	-0,30	0,5427	-0,05	0,8770	-0,77	0,0028	-0,80	0,0008	-0,54	0,0481	-0,40	0,1194
Myo1d	18,22	0,01	0,9883	0,31	0,6376	0,24	NA	0,23	0,8695	0,84	0,0283	0,14	0,9002	-0,18	NA	0,12	0,9454	1,01	0,0161
Myo1e	42,63	-0,05	0,9412	0,18	0,7846	0,39	0,9212	0,08	0,9746	0,60	0,0663	0,22	0,7579	0,29	0,6365	0,39	0,5598	0,65	0,0283
Myo1h	2,16	0,08	NA	-0,17	0,7681	-0,02	NA	-0,12	NA	-0,13	0,8444	0,12	0,9202	-0,25	NA	-0,32	NA	-0,05	0,9652
Myo5a	111,90	-0,27	0,3223	0,55	0,0201	0,02	1,0000	-0,04	0,9853	-0,20	0,5126	0,42	0,3082	-0,02	0,9765	-0,17	0,8389	-0,19	0,5669
Myo5b	7,53	0,07	0,9401	0,82	0,1226	-0,19	NA	-0,39	NA	-1,10	0,0533	0,59	0,4661	-0,32	NA	-0,41	0,7177	-1,06	0,1101
Myo6	35,30	-0,36	0,4298	0,11	0,8634	-0,15	1,0000	0,07	0,9746	0,14	0,7548	0,21	0,8161	0,30	0,6844	0,34	0,7215	0,29	0,6125
Myo9a	204,28	-0,18	0,4360	0,32	0,1253	-0,03	1,0000	0,29	0,3854	0,39	0,0658	0,33	0,3763	0,17	0,7461	0,30	0,5140	0,57	0,0630
Myo9b	239,94	0,33	0,0873	-0,02	0,9747	-0,19	1,0000	-0,19	0,7413	0,16	0,5106	-0,43	0,1966	-0,51	0,0940	-0,34	0,4019	-0,17	0,6377
Myocd	692,78	-0,11	0,6799	-0,33	0,1894	0,24	1,0000	0,02	0,9860	0,08	0,8345	-0,17	0,6685	0,19	0,6078	0,08	0,9170	-0,11	0,8141
Myof	1,52	0,51	NA	0,14	NA	0,09	NA	0,05	NA	0,02	NA	0,05	0,9713	-0,11	NA	-0,17	NA	0,03	0,9790
Myom1	1618,83	0,40	0,1041	-0,60	0,0295	-0,10	1,0000	-0,33	0,5124	-1,04	0,0000	-0,73	0,0009	-0,41	0,1300	-0,42	0,1199	-1,21	0,0000
Myom2	2657,78	-0,13	0,7727	-0,91	0,0008	0,01	1,0000	-0,67	0,0302	-1,57	0,0004	-0,69	0,0173	-0,16	0,7308	-0,47	0,1335	-1,29	0,0116
Myot	1,21	-0,24	NA	0,22	0,7797	0,00	NA	-0,12	NA	-0,48	NA	0,36	NA	0,12	NA	0,07	NA	-0,19	NA

GeneID	CTL	ET-1 vs CTL		SAHA vs CTL		JS28 vs CTL		BSP vs CTL		JQ1 vs CTL		ET-1+SAHA vs ET1		ET-1+JS28 vs ET1		ET-1+BSP vs ET1		ET-1+JQ1 vs ET1	
	mean	log2(FC)	P-adj	log2(FC)	P-adj	log2(FC)	P-adj	log2(FC)	P-adj	log2(FC)	P-adj	log2(FC)	P-adj	log2(FC)	P-adj	log2(FC)	P-adj	log2(FC)	P-adj
Myoz2	248,98	1,13	0,0000	0,38	0,1737	0,12	1,0000	0,05	0,9763	-0,87	0,0095	-0,55	0,1156	-0,56	0,1005	-0,55	0,1123	-1,18	0,0032
Mypn	16,53	-0,61	0,2004	0,23	0,7485	0,20	NA	-0,09	0,9741	-0,79	0,1087	0,65	0,3330	0,47	NA	0,40	0,6935	-0,20	0,7864
Mypop	5,49	-0,07	0,9403	0,38	0,6123	0,01	NA	-0,02	NA	0,75	0,2013	0,22	0,8491	0,10	NA	0,40	0,7235	0,86	0,1829
Myrf	1,02	0,03	NA	0,79	0,1171	0,04	NA	-0,11	NA	0,17	0,8110	0,43	NA	0,18	NA	-0,14	NA	-0,31	NA
Myrf1	2,43	0,62	0,2567	0,24	0,7047	-0,03	NA	-0,04	NA	1,39	0,0106	-0,54	0,4952	-0,55	NA	-0,19	NA	0,57	0,4322
Mysm1	156,23	-0,15	0,6969	-0,26	0,4676	-0,11	1,0000	0,15	0,8797	-0,15	0,6367	-0,11	0,8678	0,26	0,6089	0,01	0,9967	-0,20	0,6561
Myzap	216,06	0,19	0,5616	-0,17	0,6981	-0,02	1,0000	-0,12	0,9349	-0,40	0,1542	0,12	0,8292	0,03	0,9678	-0,06	0,9565	-0,26	0,4154
Mzb1	1,41	0,15	NA	-0,12	NA	-0,01	NA	0,07	NA	0,04	0,9560	-0,13	NA	-0,17	NA	-0,10	NA	-0,49	NA
Mzf1	1,72	-0,75	NA	-0,40	0,5407	-0,18	NA	-0,17	NA	-0,13	0,8776	0,02	NA	0,14	NA	-0,03	NA	0,60	NA
Mzt1	125,29	0,13	0,6666	-0,10	0,8236	-0,10	1,0000	0,14	0,8744	-0,42	0,0933	0,31	0,4436	0,67	0,0178	0,25	0,6809	-0,48	0,1237
Mzt2	9,65	-0,06	0,9480	0,26	0,7474	-0,01	NA	-0,14	0,9472	-0,06	0,9396	-0,02	0,9882	-0,18	NA	0,15	0,9347	-0,20	0,8124
N4bp1	140,07	0,04	0,9221	0,12	0,7791	0,01	1,0000	-0,11	0,9264	0,24	0,3509	0,05	0,9468	-0,04	0,9542	-0,11	0,9023	0,23	0,4135
N4bp2	72,73	-0,55	0,0341	-1,56	0,0000	-0,31	0,9896	-0,25	0,7266	-0,36	0,1924	-1,55	0,0001	0,17	0,8170	0,01	0,9971	0,12	0,8078
N4bp21	7,69	-0,15	0,8597	-0,16	0,8661	0,00	NA	0,09	0,9742	0,05	0,9505	-0,33	0,7603	0,11	NA	0,04	0,9911	-0,02	0,9890
N4bp212	149,08	0,00	0,9964	0,29	0,2680	-0,06	1,0000	0,26	0,5937	-0,15	0,5941	0,38	0,3009	0,22	0,6386	0,09	0,9170	-0,18	0,6248
N6amt1	53,06	0,56	0,1262	-0,64	0,0980	-0,10	1,0000	-0,30	0,7310	-0,64	0,0589	-0,83	0,0939	-0,27	0,6959	-0,55	0,3781	-1,09	0,0094
N6amt2	10,08	0,47	0,4123	0,46	0,4838	0,05	NA	0,23	0,8826	0,12	0,8772	0,19	0,8566	-0,23	NA	-0,15	0,9347	0,08	0,9230
Naa10	14,34	0,33	0,5683	-0,05	0,9642	0,10	NA	-0,05	0,9853	-0,34	0,5874	0,00	0,9982	-0,27	NA	-0,81	0,2261	-0,22	0,7413
Naa15	324,68	0,48	0,0018	-0,03	0,9505	-0,13	1,0000	0,04	0,9809	-0,15	0,5819	-0,26	0,4707	-0,18	0,6959	-0,27	0,4811	-0,36	0,2991
Naa16	33,22	-0,29	0,5617	-0,68	0,0909	-0,22	1,0000	-0,41	0,5755	-0,33	0,4158	-0,46	0,5284	0,05	0,9622	-0,07	0,9722	-0,40	0,4784
Naa20	54,98	0,70	0,0108	0,24	0,6466	0,01	1,0000	0,03	0,9860	-0,05	0,9269	0,38	0,4271	-0,15	0,8390	-0,28	0,7046	-0,85	0,0213
Naa25	67,07	0,33	0,3785	0,13	0,8389	-0,07	1,0000	0,14	0,9306	0,14	0,7620	-0,15	0,8292	-0,14	0,8389	-0,12	0,9144	0,00	0,9988
Naa30	93,86	0,32	0,2124	0,22	0,5732	0,04	1,0000	0,53	0,0889	0,11	0,7585	-0,01	0,9934	0,25	0,6089	0,18	0,8059	0,09	0,8728
Naa35	113,50	-0,26	0,3226	-0,06	0,9062	-0,16	1,0000	-0,07	0,9634	0,00	0,9997	0,26	0,6080	0,16	0,7856	0,03	0,9831	0,28	0,3466
Naa38	30,55	0,43	0,3364	-0,24	0,7298	-0,18	NA	-0,29	0,8062	0,18	0,7442	-0,28	0,7346	-0,48	0,4311	-0,28	0,7812	0,04	0,9582
Naa40	39,34	-0,24	0,5638	0,25	0,6021	0,09	1,0000	-0,15	0,9208	-0,24	0,5385	0,28	0,7025	0,02	0,9828	0,18	0,8816	0,03	0,9644
Naa50	233,93	0,34	0,1295	0,17	0,6565	-0,02	1,0000	0,25	0,6343	0,17	0,5964	0,09	0,8593	-0,03	0,9725	-0,07	0,9433	-0,03	0,9668
Naa60	75,69	-0,20	0,5577	0,05	0,9253	0,07	1,0000	-0,03	0,9853	-0,29	0,2962	0,20	0,7516	0,17	0,7981	0,20	0,8203	-0,15	0,7072
Naaa	5,05	0,13	0,8843	-0,11	0,9131	0,10	NA	-0,11	NA	0,17	0,8285	-0,45	0,6358	0,21	NA	0,10	0,9612	0,32	0,6905
Nab1	108,53	-0,08	0,8338	0,02	0,9750	0,15	1,0000	0,24	0,7006	-0,20	0,5318	-0,14	0,8243	0,32	0,4420	0,27	0,6401	-0,30	0,3890
Nab2	48,12	0,77	0,0055	0,13	0,8391	0,20	1,0000	0,55	0,2570	0,82	0,0076	-0,65	0,1413	-0,49	0,3047	0,26	0,7125	0,82	0,0090
Nabp1	109,18	0,51	0,2102	-0,07	0,9337	0,29	1,0000	0,23	0,8587	0,32	0,4877	-0,14	0,8452	0,47	0,3155	0,19	0,8401	0,25	0,6203
Nabp2	29,15	0,16	0,7781	-0,29	0,6440	0,01	NA	-0,14	0,9440	-0,16	0,7965	-0,65	0,2739	-0,63	0,2708	-0,33	0,7313	-0,27	0,7012
Naca	1149,85	-0,01	0,9871	0,15	0,7144	-0,27	1,0000	-0,48	0,1134	0,56	0,0652	-0,47	0,3343	-0,37	0,4822	-0,35	0,7336	0,49	0,3224
Nacc1	138,15	0,44	0,0230	0,52	0,0310	0,18	1,0000	0,07	0,9628	0,08	0,8180	0,02	0,9743	-0,23	0,6162	-0,27	0,6112	-0,19	0,6151
Nacc2	62,39	-0,33	0,3240	-0,69	0,0358	-0,08	1,0000	-0,39	0,5133	-0,71	0,0130	-0,41	0,4511	-0,23	0,7226	-0,60	0,2301	-0,81	0,0126
Nadk	53,71	0,17	0,6813	-0,26	0,5697	0,06	1,0000	0,13	0,9349	0,44	0,1198	-0,24	0,7290	-0,32	0,5925	-0,15	0,9003	0,26	0,4788
Nadk2	122,65	-0,13	0,7450	-0,52	0,0797	-0,30	1,0000	0,04	0,9853	-0,56	0,0269	-0,40	0,3692	-0,07	0,9263	-0,19	0,8088	-0,15	0,7301
Nadsyn1	9,19	0,44	0,4582	0,55	0,3868	0,22	NA	0,09	0,9746	0,37	0,5604	0,28	0,7827	0,01	NA	-0,09	0,9646	-0,11	0,8950
Nae1	157,30	-0,17	0,5440	-0,24	0,4291	-0,01	1,0000	0,03	0,9853	-0,22	0,4772	0,18	0,7256	0,44	0,1886	0,31	0,4849	-0,02	0,9754
Naf1	54,60	0,43	0,2151	0,02	0,9819	-0,02	1,0000	-0,16	0,9158	-0,28	0,4655	-0,23	0,7483	-0,18	0,8174	-0,66	0,1911	-0,57	0,1634
Naga	22,78	-0,21	0,7030	0,45	0,3250	0,32	NA	0,05	0,9853	-0,12	0,8115	0,03	0,9843	0,10	NA	0,21	0,8730	-0,15	0,8231
Nagk	26,71	0,02	0,9773	0,22	0,7608	-0,14	NA	-0,02	0,9925	-0,04	0,9487	0,28	0,7155	-0,31	0,6735	0,19	0,8833	-0,10	0,8661
Naglu	15,02	0,13	0,8518	0,49	0,3717	0,31	NA	0,22	0,8797	0,73	0,0854	0,52	0,4512	-0,20	NA	0,22	0,8641	0,93	0,0320
Nagpa	7,03	-0,36	0,5994	-0,01	0,9947	0,03	NA	-0,27	0,8318	0,10	0,8953	0,46	0,6211	0,06	NA	0,22	0,8915	0,04	0,9699

GeneID	CTL	ET-1 vs CTL		SAHA vs CTL		JS28 vs CTL		BSP vs CTL		JQ1 vs CTL		ET-1+SAHA vs ET1		ET-1+JS28 vs ET1		ET-1+BSP vs ET1		ET-1+JQ1 vs ET1	
	mean	log2(FC)	P-adj	log2(FC)	P-adj	log2(FC)	P-adj	log2(FC)	P-adj	log2(FC)	P-adj	log2(FC)	P-adj	log2(FC)	P-adj	log2(FC)	P-adj	log2(FC)	P-adj
Naif1	5,70	0,75	0,1733	0,27	0,7418	0,18	NA	0,11	NA	0,13	0,8751	-0,51	0,5709	-0,46	NA	-0,22	0,8926	-0,28	0,7331
Nampt	59,33	0,14	0,7528	0,31	0,4102	0,17	1,0000	0,46	0,2730	0,73	0,0025	-0,14	0,8484	-0,11	0,8932	0,07	0,9616	0,52	0,1248
Nanog	3,39	-0,35	0,6292	-0,47	0,4776	0,08	NA	-0,21	NA	-1,11	0,0458	0,44	0,6366	0,03	NA	-0,23	NA	-0,71	NA
Nanos1	8,46	0,01	0,9921	-0,25	0,7720	-0,09	NA	0,26	0,8559	0,93	0,0624	-0,06	0,9666	-0,38	NA	0,23	0,8842	1,65	0,0001
Nans	23,81	-0,29	0,6263	0,28	0,6679	-0,24	NA	-0,34	0,7367	0,16	0,7642	0,15	0,8874	-0,01	NA	0,32	0,7614	0,38	0,5172
Nap111	397,42	-0,01	0,9867	0,04	0,9210	-0,13	1,0000	0,14	0,7928	0,06	0,8124	0,10	0,8316	-0,02	0,9708	0,19	0,6935	0,12	0,6709
Nap112	8,27	0,08	0,9278	-0,34	0,6716	-0,02	NA	0,08	0,9764	0,15	0,8417	-0,03	0,9849	0,00	NA	0,11	0,9590	0,19	0,7982
Nap113	16,66	0,13	0,8372	0,26	0,7139	0,04	NA	0,22	0,8797	0,00	0,9993	0,15	0,8816	0,11	NA	0,16	0,9138	-0,08	0,9153
Nap114	217,83	0,14	0,6253	-0,10	0,8121	-0,15	1,0000	0,02	0,9853	0,17	0,5138	-0,10	0,8588	0,08	0,8795	0,23	0,6266	0,17	0,5164
Nap115	2,18	0,08	NA	0,34	0,6402	0,03	NA	0,10	NA	-0,15	0,8506	0,22	0,8423	-0,08	NA	0,33	NA	-0,26	0,7702
Napa	93,80	0,19	0,5330	0,35	0,2619	0,03	1,0000	0,01	0,9939	0,19	0,5137	0,14	0,8081	-0,26	0,6089	-0,04	0,9790	-0,12	0,7587
Napb	16,68	0,43	0,3786	0,46	0,4255	-0,03	NA	0,06	0,9853	0,31	0,5682	-0,23	0,8044	-0,30	NA	-0,28	0,8122	-0,26	0,6798
Napepld	34,27	0,12	0,8527	0,62	0,1938	-0,23	NA	0,08	0,9746	0,67	0,0782	0,78	0,0624	0,04	0,9678	0,32	0,6900	0,90	0,0033
Napg	69,62	0,19	0,5724	0,00	0,9996	-0,28	1,0000	-0,04	0,9853	0,01	0,9796	0,04	0,9565	-0,17	0,7839	-0,43	0,4088	0,07	0,8914
Naprt1	3,07	0,09	0,9230	-0,03	0,9826	-0,05	NA	-0,36	NA	-0,36	0,6275	-0,28	0,7933	-0,34	NA	-0,46	NA	-0,51	0,5301
Narf	286,16	0,13	0,7528	-0,07	0,8933	-0,06	1,0000	-0,10	0,9417	0,04	0,8968	0,19	0,7366	0,10	0,8732	-0,02	0,9911	-0,01	0,9939
Narfl	36,88	0,36	0,3920	-0,58	0,2102	-0,18	NA	-0,15	0,9370	-0,66	0,0899	-0,38	0,5484	-0,40	0,5065	-0,35	0,6673	-0,78	0,0324
Narg2	28,86	-0,13	0,8428	-0,15	0,8419	-0,08	NA	0,15	0,9378	-1,37	0,0005	-0,13	0,8999	0,44	0,5021	0,03	0,9918	-0,97	0,0388
Nars	212,76	0,85	0,0016	-0,30	0,3975	-0,23	1,0000	-0,22	0,7652	0,00	0,9945	-1,18	0,0006	-0,96	0,0052	-1,10	0,0011	-0,67	0,0900
Nars2	16,26	-0,01	0,9867	0,18	0,8354	-0,25	NA	-0,12	0,9601	-0,09	0,8980	0,24	0,8040	0,10	NA	0,09	0,9617	0,50	0,3370
Nasp	113,73	-0,01	0,9778	-0,39	0,2785	-0,11	1,0000	0,31	0,6218	0,22	0,4913	-0,75	0,0222	0,28	0,5595	0,45	0,2388	0,19	0,6725
Nat10	49,18	0,31	0,4293	0,34	0,4516	0,14	1,0000	0,00	0,9988	0,35	0,3314	-0,01	0,9886	-0,20	0,7757	-0,34	0,6577	-0,13	0,7867
Nat14	4,04	-0,29	0,7027	0,09	0,9337	-0,03	NA	-0,03	NA	-0,25	0,7513	0,76	0,3127	0,20	NA	0,31	NA	0,61	0,4130
Nat2	2,30	-0,52	0,3816	0,00	0,9965	0,17	NA	-0,14	NA	-0,71	0,2562	0,16	NA	0,51	NA	0,06	NA	-0,22	NA
Nat6	18,45	-0,56	0,2547	-0,11	0,8929	-0,07	NA	-0,29	0,8102	-0,07	0,9224	0,06	0,9638	0,32	NA	0,17	0,9167	0,03	0,9746
Nat8l	10,24	0,07	0,9403	0,52	0,4028	-0,08	NA	0,03	0,9872	-0,29	0,6627	-0,16	0,8923	-0,24	NA	-0,12	0,9492	-0,12	0,8953
Nat9	22,71	-0,16	0,7951	-0,29	0,6664	-0,21	NA	-0,11	0,9634	-0,52	0,2895	-0,16	0,8722	-0,14	NA	-0,01	0,9966	-0,33	0,5668
Nav1	92,29	-0,11	0,8247	0,37	0,3320	0,20	1,0000	-0,30	0,6925	-0,01	0,9836	-0,25	0,6853	0,14	0,8363	0,17	0,8456	0,34	0,3765
Nav2	248,19	0,06	0,8722	0,43	0,0775	0,01	1,0000	-0,14	0,8903	-0,37	0,3042	-0,05	0,9412	-0,19	0,6759	-0,14	0,8463	-0,13	0,7930
Nav3	12,22	-1,28	0,0036	-0,90	0,0574	-0,20	NA	-0,63	0,2813	-0,50	0,3124	-0,24	0,8292	0,18	NA	0,13	NA	0,60	0,4259
Nbas	93,33	-0,06	0,9043	0,07	0,8895	-0,04	1,0000	-0,15	0,8797	-0,72	0,0013	-0,07	0,9401	-0,14	0,8586	-0,15	0,9023	-0,57	0,1463
Nbea	552,57	-0,15	0,3935	0,11	0,6851	-0,03	1,0000	0,20	0,5913	0,20	0,2990	0,08	0,8684	0,06	0,9088	0,29	0,3625	0,33	0,2052
Nbeal1	376,04	-0,20	0,3731	-0,39	0,0519	-0,22	1,0000	0,10	0,9158	-0,14	0,5874	-0,31	0,3667	0,27	0,4594	0,28	0,4992	0,04	0,9320
Nbeal2	20,76	-0,12	0,8554	0,42	0,4199	0,21	NA	-0,01	0,9944	0,27	0,5951	0,04	0,9754	-0,11	NA	0,14	0,9300	0,30	0,5992
Nbl1	1,63	0,40	NA	0,66	0,2101	0,09	NA	0,13	NA	0,28	0,6893	-0,05	0,9668	-0,28	NA	0,20	NA	-0,04	0,9757
Nbn	67,10	0,29	0,3392	-1,24	0,0000	0,06	1,0000	-0,06	0,9746	0,14	0,6795	-1,70	0,0000	-0,01	0,9857	-0,33	0,6034	-0,50	0,1525
Nbr1	521,11	-0,08	0,7528	-0,15	0,6068	0,03	1,0000	0,14	0,8283	0,13	0,5411	-0,17	0,6768	-0,04	0,9360	0,15	0,7668	0,20	0,4349
Ncald	9,70	0,06	0,9421	-0,13	0,8940	-0,16	NA	0,31	0,7812	-0,29	0,6740	0,23	0,8292	0,21	NA	0,65	0,4114	0,06	0,9506
Ncam1	220,87	0,39	0,0800	1,30	0,0000	0,26	1,0000	0,19	0,8294	0,49	0,0474	0,59	0,0197	-0,15	0,7274	-0,17	0,7732	0,20	0,5027
Ncan	61,13	-0,14	0,8312	2,18	0,0000	0,33	1,0000	-0,09	0,9700	-0,59	0,1730	1,79	0,0000	0,61	0,2251	0,10	0,9458	-0,26	0,7709
Ncapd2	48,19	-0,24	0,6068	0,12	0,8477	-0,20	1,0000	-0,07	0,9770	-0,14	0,7331	0,19	0,8062	-0,11	0,8994	0,24	0,8004	-0,04	0,9557
Ncapd3	53,09	-0,04	0,9467	-0,27	0,5461	0,21	1,0000	0,34	0,5919	0,32	0,3104	-0,46	0,3966	0,15	0,8423	0,42	0,4698	0,06	0,9083
Ncapg	2,99	-0,41	0,5081	0,12	0,8976	0,16	NA	0,11	NA	0,48	0,4948	0,42	0,6184	0,65	NA	0,34	NA	0,47	0,5460
Ncapg2	13,16	-0,20	0,7840	0,08	0,9409	0,02	NA	0,27	0,8364	0,25	0,6661	-0,21	0,8484	0,07	NA	0,03	0,9931	0,11	0,9002
Ncaph	4,78	-0,11	0,9084	0,68	0,2625	0,19	NA	-0,16	NA	0,59	0,3384	0,20	0,8630	-0,13	NA	0,05	NA	0,31	0,7240

GeneID	CTL	ET-1 vs CTL		SAHA vs CTL		JS28 vs CTL		BSP vs CTL		JQ1 vs CTL		ET-1+SAHA vs ET1		ET-1+JS28 vs ET1		ET-1+BSP vs ET1		ET-1+JQ1 vs ET1	
	mean	log2(FC)	P-adj	log2(FC)	P-adj	log2(FC)	P-adj	log2(FC)	P-adj	log2(FC)	P-adj	log2(FC)	P-adj	log2(FC)	P-adj	log2(FC)	P-adj	log2(FC)	P-adj
Ncaph2	92,21	-0,05	0,9186	0,57	0,0194	0,07	1,0000	0,21	0,7875	0,28	0,2899	0,71	0,0360	-0,12	0,8618	0,33	0,5729	0,20	0,6108
Ncbp1	68,60	0,09	0,8440	0,36	0,3023	0,00	1,0000	-0,24	0,7875	0,08	0,8428	0,42	0,3649	0,13	0,8527	0,04	0,9861	0,08	0,9009
Ncbp2	35,23	-0,04	0,9543	-0,26	0,6600	-0,07	1,0000	0,05	0,9853	-0,19	0,6893	0,25	0,7501	0,03	0,9755	0,02	0,9938	-0,24	0,6430
Ncdn	80,40	-0,43	0,1208	-0,06	0,9075	-0,08	1,0000	-0,01	0,9948	0,18	0,6273	0,16	0,8246	0,07	0,9304	0,32	0,6352	0,41	0,2812
Nceh1	130,30	-0,48	0,2004	0,03	0,9747	0,24	1,0000	-0,21	0,8782	-0,14	0,7808	0,12	0,8534	0,43	0,2667	0,17	0,8279	0,02	0,9604
Nck1	48,32	0,11	0,8128	0,32	0,4357	0,26	1,0000	0,22	0,8334	0,35	0,3035	0,20	0,7716	0,39	0,4291	0,16	0,8723	0,01	0,9950
Nck2	33,93	-0,27	0,5710	0,20	0,7526	-0,06	1,0000	0,18	0,9058	-0,08	0,8690	0,49	0,4061	0,30	0,6649	0,15	0,9081	0,49	0,2715
Nckap1	408,11	0,06	0,8423	-0,25	0,3038	0,04	1,0000	0,28	0,4240	0,17	0,5000	-0,21	0,6271	-0,06	0,9262	-0,06	0,9425	-0,04	0,9479
Nckap11	5,29	0,77	0,1655	-0,43	0,4880	-0,17	NA	-0,26	NA	-0,54	0,4128	-0,88	0,2149	-0,44	NA	-0,85	0,2124	-1,39	0,0250
Nckap5	2,97	-0,30	0,6919	-0,09	0,9317	0,05	NA	-0,25	NA	-0,98	0,0832	-0,07	0,9554	0,43	NA	-0,06	NA	0,23	0,8051
Nckap5l	41,42	-0,05	0,9365	0,23	0,6498	0,00	1,0000	-0,24	0,8211	0,36	0,3924	-0,49	0,4357	-0,45	0,4711	0,03	0,9918	0,36	0,5772
Nckipsd	8,75	-0,09	0,9117	0,51	0,4097	0,10	NA	0,29	0,8196	0,36	0,5538	-0,14	0,9151	-0,49	NA	0,14	0,9372	0,62	0,2843
Ncl	837,12	0,10	0,6887	-0,10	0,7164	0,26	0,7105	0,55	0,0003	0,22	0,2767	-0,61	0,0385	0,27	0,4977	0,27	0,4961	0,07	0,8887
Ncln	71,23	0,17	0,6313	0,13	0,8066	-0,05	1,0000	-0,15	0,9060	0,08	0,8561	-0,23	0,7359	-0,46	0,3199	-0,39	0,4773	0,15	0,7360
Ncoa1	216,66	-0,08	0,7858	-0,35	0,1663	-0,07	1,0000	0,03	0,9853	0,10	0,6999	-0,40	0,2637	0,08	0,8953	0,13	0,8525	0,25	0,3561
Ncoa2	355,65	-0,14	0,6926	-0,54	0,0143	-0,02	1,0000	0,06	0,9708	0,26	0,3016	-0,60	0,0559	-0,06	0,9237	0,09	0,9206	0,41	0,1232
Ncoa3	59,66	-0,04	0,9375	0,08	0,8895	0,19	1,0000	0,23	0,7712	0,68	0,0045	-0,07	0,9378	0,11	0,8910	0,04	0,9807	0,66	0,0148
Ncoa4	43,82	-0,26	0,5059	-0,02	0,9837	0,09	1,0000	0,00	0,9986	0,08	0,8550	0,23	0,7495	0,19	0,7979	0,30	0,7198	0,03	0,9699
Ncoa5	46,77	-0,04	0,9395	-0,64	0,0841	-0,22	1,0000	-0,09	0,9672	0,15	0,7224	-0,67	0,1912	-0,36	0,5440	-0,10	0,9438	0,00	0,9988
Ncoa6	175,07	-0,06	0,8953	-0,27	0,4010	0,00	1,0000	-0,08	0,9563	-0,26	0,4090	-0,51	0,1807	-0,03	0,9668	-0,14	0,8675	-0,34	0,3064
Ncoa7	21,47	0,01	0,9867	0,10	0,9008	0,00	NA	0,16	0,9304	0,39	0,3757	-0,04	0,9743	0,10	0,9223	0,09	0,9570	0,42	0,3606
Ncor1	818,60	-0,07	0,8219	-0,05	0,8688	-0,06	1,0000	-0,01	0,9956	0,00	0,9986	-0,28	0,4693	-0,01	0,9828	0,02	0,9918	0,03	0,9355
Ncor2	228,48	-0,31	0,3036	0,37	0,1735	0,01	1,0000	0,07	0,9634	0,84	0,0038	-0,22	0,6824	-0,35	0,4311	0,22	0,7312	1,02	0,0022
Ncs1	48,05	0,30	0,5539	-0,14	0,8440	-0,01	1,0000	-0,36	0,6846	-0,67	0,0835	-0,05	0,9586	-0,07	0,9394	-0,19	0,8577	-0,49	0,2779
Ncstn	115,73	-0,13	0,7129	-0,63	0,0145	0,00	1,0000	-0,25	0,7019	-0,26	0,4281	-0,53	0,1837	-0,09	0,9026	-0,10	0,9214	0,08	0,8880
Ndc1	55,72	0,17	0,6742	0,25	0,5854	0,04	1,0000	0,06	0,9773	-0,01	0,9835	0,21	0,7406	-0,24	0,7009	-0,11	0,9300	-0,22	0,6015
Ndc80	2,23	-0,70	NA	-0,15	0,8747	-0,05	NA	-0,19	NA	-0,17	0,8340	-0,12	NA	0,26	NA	0,73	NA	0,34	NA
Nde1	37,57	0,08	0,8899	-0,16	0,7947	0,16	1,0000	-0,25	0,8211	-1,02	0,0023	-0,16	0,8514	0,01	0,9963	-0,13	0,9273	-0,66	0,1292
Ndel1	122,18	0,06	0,8971	-0,09	0,8749	0,12	1,0000	0,09	0,9564	0,33	0,2118	-0,30	0,5332	0,01	0,9904	0,18	0,7989	0,27	0,3471
Ndfip1	124,93	0,25	0,3382	0,01	0,9914	0,05	1,0000	0,18	0,8352	0,51	0,0181	0,05	0,9393	-0,15	0,7897	0,01	0,9936	0,28	0,3364
Ndfip2	63,56	0,34	0,2806	-0,13	0,8201	-0,14	1,0000	0,01	0,9956	-0,11	0,8027	0,00	0,9986	-0,29	0,5968	-0,25	0,7398	-0,08	0,8886
Ndn	184,79	-0,13	0,7398	-0,57	0,0487	-0,25	1,0000	-0,14	0,9060	-0,10	0,7676	0,00	0,9976	-0,20	0,6956	-0,22	0,7189	-0,03	0,9506
Ndnf	49,39	-0,93	0,0157	-0,59	0,1677	-0,29	1,0000	-0,32	0,7148	-0,39	0,3453	-0,03	0,9816	-0,45	0,5266	-0,29	0,8089	-0,15	0,8309
Ndnl2	12,16	0,29	0,6384	0,44	0,4824	0,26	NA	0,36	0,7167	0,74	0,1046	0,08	0,9468	-0,25	NA	0,37	0,7189	0,50	0,3893
Ndor1	25,94	-0,12	0,8330	0,25	0,6906	0,06	NA	0,18	0,9129	0,52	0,1445	0,04	0,9725	0,01	0,9921	0,15	0,9181	0,63	0,1091
Ndr1	8,54	0,09	0,9194	0,90	0,0836	0,17	NA	-0,23	0,8658	-0,01	0,9946	0,15	0,9057	-0,19	NA	-0,49	0,6212	-0,26	0,7592
Ndr2	497,42	-0,52	0,0007	-0,99	0,0000	-0,21	1,0000	-0,37	0,1448	-0,60	0,0004	-0,41	0,1728	0,11	0,8344	-0,07	0,9311	-0,36	0,3287
Ndr3	42,64	0,14	0,7865	1,00	0,0006	0,19	1,0000	0,03	0,9860	0,04	0,9441	0,91	0,0123	0,20	0,7759	0,06	0,9745	0,45	0,1971
Ndr4	290,93	0,34	0,4185	0,47	0,2050	-0,33	1,0000	-0,58	0,1541	-1,14	0,0000	0,55	0,2158	-0,13	0,8548	-0,24	0,7711	-1,22	0,0001
Ndst1	170,09	-0,10	0,7844	-0,44	0,0844	-0,09	1,0000	-0,10	0,9437	-0,18	0,4825	-0,35	0,4054	-0,11	0,8618	-0,17	0,8161	-0,04	0,9201
Ndst2	20,85	0,12	0,8640	-0,15	0,8621	-0,12	NA	-0,11	0,9628	0,24	0,6789	-0,23	0,8134	-0,30	NA	-0,53	0,5237	-0,12	0,8592
Ndufa1	51,77	0,46	0,2062	-0,11	0,8749	0,00	1,0000	-0,12	0,9555	-0,56	0,1811	-0,16	0,8291	-0,32	0,5988	0,23	0,7971	-0,69	0,0484
Ndufa10	243,62	0,38	0,1243	-0,01	0,9910	-0,10	1,0000	0,05	0,9787	-0,08	0,8062	-0,11	0,8452	-0,08	0,8994	0,06	0,9526	-0,35	0,2057
Ndufa11	96,18	0,52	0,1307	-0,01	0,9935	-0,30	1,0000	-0,20	0,8853	-0,25	0,5652	0,36	0,4693	-0,44	0,3398	-0,24	0,7313	-0,48	0,1124
Ndufa12	109,48	0,12	0,7266	0,11	0,8110	-0,21	1,0000	-0,19	0,8264	0,02	0,9544	0,61	0,0475	0,24	0,6266	0,00	1,0000	-0,15	0,6907

GeneID	CTL	ET-1 vs CTL		SAHA vs CTL		JS28 vs CTL		BSP vs CTL		JQ1 vs CTL		ET-1+SAHA vs ET1		ET-1+JS28 vs ET1		ET-1+BSP vs ET1		ET-1+JQ1 vs ET1	
	mean	log2(FC)	P-adj	log2(FC)	P-adj	log2(FC)	P-adj	log2(FC)	P-adj	log2(FC)	P-adj	log2(FC)	P-adj	log2(FC)	P-adj	log2(FC)	P-adj	log2(FC)	P-adj
Ndufa13	65,66	0,12	0,8329	-0,51	0,3096	-0,24	1,0000	-0,31	0,7586	-0,40	0,3883	0,09	0,9079	-0,21	0,7480	-0,14	0,9023	-0,60	0,1531
Ndufa2	87,38	0,29	0,3865	-0,47	0,1941	-0,20	1,0000	-0,14	0,9249	0,04	0,9339	0,07	0,9337	-0,12	0,8659	-0,14	0,8837	-0,34	0,4247
Ndufa3	85,38	0,09	0,8695	-0,29	0,5819	-0,35	1,0000	-0,44	0,4742	-0,39	0,2746	0,07	0,9344	-0,31	0,6049	-0,23	0,7812	-0,26	0,5020
Ndufa4	193,03	0,08	0,8392	0,23	0,4848	-0,03	1,0000	0,30	0,5135	-0,29	0,3683	0,54	0,1156	0,23	0,6411	0,45	0,2422	-0,35	0,3386
Ndufa5	118,84	0,21	0,6288	-0,17	0,7783	-0,26	1,0000	0,02	0,9901	-0,71	0,0229	0,00	0,9989	-0,03	0,9740	0,30	0,5524	-0,70	0,0134
Ndufa6	96,68	0,08	0,8531	0,11	0,8295	-0,26	1,0000	-0,01	0,9967	-0,32	0,2756	0,11	0,8781	-0,29	0,5974	0,08	0,9492	-0,23	0,5806
Ndufa7	68,05	-0,03	0,9605	0,06	0,9393	-0,03	1,0000	0,24	0,8064	0,06	0,9038	0,35	0,4987	-0,21	0,7549	0,37	0,5180	0,11	0,7864
Ndufa8	70,00	0,54	0,0804	0,00	0,9991	-0,10	1,0000	0,04	0,9853	-0,20	0,6172	-0,24	0,7159	-0,44	0,3849	-0,17	0,8575	-0,69	0,0605
Ndufa9	111,09	0,13	0,7964	-0,24	0,6149	-0,04	1,0000	-0,09	0,9628	-0,32	0,3939	-0,13	0,8781	-0,17	0,8216	-0,03	0,9911	-0,50	0,1927
Ndufab1	81,40	0,39	0,2056	-0,18	0,7467	-0,10	1,0000	0,08	0,9681	-0,34	0,3509	0,22	0,7035	-0,12	0,8638	-0,21	0,7900	-0,46	0,2290
Ndufaf1	25,34	0,13	0,8295	0,17	0,8119	0,04	NA	-0,10	0,9634	-0,82	0,0466	0,01	0,9967	0,11	0,9103	-0,05	0,9831	-0,79	0,0896
Ndufaf2	14,14	0,01	0,9939	0,34	0,6230	-0,01	NA	0,22	0,8881	-0,28	0,6564	-0,08	0,9460	0,14	NA	0,47	0,5981	-0,13	0,8648
Ndufaf3	17,77	0,51	0,2782	0,25	0,7392	-0,02	NA	-0,16	0,9399	0,05	0,9434	0,24	0,7874	-0,33	NA	-0,18	0,9052	-0,40	0,4448
Ndufaf4	59,82	0,69	0,0072	0,14	0,8105	-0,22	1,0000	-0,24	0,8156	-0,54	0,1052	-0,05	0,9510	-0,22	0,7158	-0,18	0,8465	-0,81	0,0134
Ndufaf5	20,78	-0,24	0,7303	0,00	0,9964	-0,10	NA	-0,03	0,9860	-0,57	0,2289	0,32	0,7326	0,22	NA	0,19	0,9025	-0,27	0,7125
Ndufaf6	12,30	0,06	0,9378	0,01	0,9895	-0,19	NA	-0,28	0,8318	-0,81	0,1225	0,29	0,7672	0,20	NA	-0,02	0,9931	-0,78	0,1911
Ndufaf7	22,44	0,33	0,5059	0,35	0,5610	0,00	NA	-0,02	0,9901	-0,01	0,9869	0,34	0,6420	-0,30	0,6947	-0,22	0,8579	-0,27	0,6178
Ndufb10	91,27	0,50	0,0274	0,08	0,8779	-0,13	1,0000	-0,05	0,9794	0,03	0,9453	0,02	0,9822	-0,08	0,9102	-0,15	0,8525	-0,22	0,5091
Ndufb11	129,70	0,13	0,7580	-0,17	0,7636	-0,23	1,0000	-0,09	0,9634	-0,14	0,7324	0,05	0,9377	-0,24	0,6166	-0,04	0,9766	-0,08	0,8762
Ndufb2	50,00	0,25	0,6401	-0,72	0,0902	-0,16	1,0000	-0,40	0,6070	-0,55	0,2005	-0,22	0,7891	-0,31	0,6653	-0,37	0,6511	-0,66	0,1399
Ndufb3	48,52	0,17	0,7419	0,15	0,7823	0,06	1,0000	0,09	0,9634	-0,54	0,1452	0,31	0,6602	-0,17	0,8375	-0,17	0,8915	-0,44	0,3573
Ndufb4	26,16	0,04	0,9584	-0,31	0,6673	-0,11	NA	-0,17	0,9340	-0,51	0,3098	-0,05	0,9665	-0,28	0,7259	0,37	0,6882	-0,34	0,6016
Ndufb5	146,37	0,27	0,6891	-0,29	0,7096	-0,17	1,0000	-0,17	0,9293	-0,43	0,3302	-0,09	0,9130	-0,55	0,2335	-0,39	0,5089	-0,63	0,0855
Ndufb6	74,30	0,72	0,0171	0,15	0,8060	0,06	1,0000	0,04	0,9853	-0,30	0,4337	-0,01	0,9894	-0,49	0,3014	-0,24	0,7701	-0,86	0,0112
Ndufb7	109,49	0,61	0,0151	0,25	0,5623	-0,05	1,0000	-0,21	0,8369	-0,42	0,1691	-0,04	0,9572	-0,32	0,4836	-0,25	0,6750	-0,87	0,0005
Ndufb8	173,81	0,39	0,1316	-0,63	0,0188	-0,22	1,0000	-0,33	0,5568	0,28	0,3126	-0,29	0,5019	-0,17	0,7578	-0,17	0,8100	-0,05	0,9183
Ndufb9	177,96	0,14	0,7582	-0,10	0,8628	-0,15	1,0000	-0,06	0,9764	-0,26	0,4318	0,20	0,7131	-0,19	0,7226	0,10	0,9179	0,00	0,9982
Ndufc1	106,99	0,41	0,2549	-0,40	0,3275	-0,19	1,0000	0,04	0,9853	-0,47	0,1792	-0,05	0,9476	-0,06	0,9399	-0,04	0,9818	-0,63	0,1242
Ndufc2	47,68	0,57	0,0652	0,03	0,9752	-0,07	1,0000	0,32	0,6740	-0,50	0,1766	0,07	0,9394	0,23	0,7052	0,27	0,7227	-0,68	0,0473
Ndufs1	340,22	0,25	0,4699	-0,34	0,2959	-0,15	1,0000	-0,26	0,6826	-0,86	0,0000	-0,20	0,7155	0,07	0,9246	-0,16	0,8285	-0,75	0,0023
Ndufs2	245,33	0,13	0,7834	-0,30	0,4188	-0,11	1,0000	-0,15	0,9004	-0,38	0,1298	-0,16	0,8043	-0,12	0,8722	-0,02	0,9928	-0,40	0,2477
Ndufs3	119,71	0,13	0,7356	-0,38	0,2908	-0,05	1,0000	-0,29	0,6740	-0,34	0,2843	-0,16	0,7891	-0,17	0,7685	-0,09	0,9334	-0,39	0,1687
Ndufs4	104,12	0,08	0,8749	0,02	0,9775	0,00	1,0000	0,17	0,8903	-0,44	0,2271	0,35	0,4141	0,22	0,6686	0,43	0,2955	-0,54	0,1508
Ndufs6	59,21	0,27	0,4885	0,07	0,9137	-0,15	1,0000	-0,19	0,8797	-0,28	0,4675	0,01	0,9936	-0,27	0,6709	0,17	0,8707	-0,58	0,1426
Ndufs7	98,68	0,03	0,9485	-0,42	0,2195	-0,10	1,0000	-0,24	0,7632	-0,43	0,1150	-0,10	0,8823	-0,22	0,6965	-0,11	0,9143	-0,23	0,5024
Ndufs8	75,35	0,19	0,6909	-0,66	0,0983	-0,03	1,0000	-0,16	0,9213	-1,08	0,0011	-0,42	0,3869	-0,18	0,7844	-0,08	0,9492	-0,91	0,0053
Ndufv1	257,98	0,26	0,4338	0,09	0,8573	0,01	1,0000	0,07	0,9674	-0,11	0,7676	0,04	0,9544	-0,29	0,5017	0,12	0,8793	-0,28	0,3474
Ndufv2	213,34	0,47	0,0419	-0,11	0,8212	-0,04	1,0000	0,09	0,9548	-0,29	0,2770	-0,13	0,8100	-0,19	0,6956	-0,02	0,9918	-0,55	0,0289
Ndufv3	87,07	0,07	0,9084	0,24	0,7005	-0,19	1,0000	-0,15	0,9364	-0,37	0,3658	0,51	0,2391	-0,46	0,3426	-0,21	0,8164	-0,61	0,0825
Neat1	43,21	0,44	0,5228	2,21	0,0000	0,77	0,0416	0,47	0,5372	1,02	0,0115	1,08	0,0961	0,14	0,8953	-0,22	0,8877	-0,09	0,9230
Neb	8,09	0,20	0,7964	0,14	0,8797	-0,17	NA	-0,37	NA	-0,66	0,2812	0,55	0,5028	0,01	NA	-0,43	0,6900	-0,76	0,2909
Nebi	425,62	-0,38	0,1126	-0,31	0,1523	-0,26	0,8904	-0,02	0,9853	-1,55	0,0000	0,44	0,2509	0,44	0,2427	0,31	0,5276	-1,28	0,0000
Necap1	85,86	0,54	0,0274	-0,23	0,5881	-0,29	1,0000	-0,02	0,9872	0,41	0,1046	-0,36	0,4493	-0,61	0,1092	-0,39	0,4614	-0,08	0,8561
Necap2	12,51	0,30	0,6454	0,43	0,4914	-0,01	NA	0,04	0,9853	0,26	0,6746	-0,10	0,9359	-0,21	NA	-0,25	0,8577	0,05	0,9545
Nedd1	53,53	0,21	0,5552	-0,08	0,8956	-0,10	1,0000	-0,07	0,9742	-0,09	0,8215	-0,39	0,4580	-0,04	0,9624	-0,30	0,6811	-0,18	0,6791

GeneID	CTL	ET-1 vs CTL		SAHA vs CTL		JS28 vs CTL		BSP vs CTL		JQ1 vs CTL		ET-1+SAHA vs ET1		ET-1+JS28 vs ET1		ET-1+BSP vs ET1		ET-1+JQ1 vs ET1	
	mean	log2(FC)	P-adj	log2(FC)	P-adj	log2(FC)	P-adj	log2(FC)	P-adj	log2(FC)	P-adj	log2(FC)	P-adj	log2(FC)	P-adj	log2(FC)	P-adj	log2(FC)	P-adj
Nedd4	2304,54	-0,44	0,0001	-0,47	0,0002	-0,10	1,0000	-0,09	0,8786	-0,22	0,1164	-0,11	0,7869	0,22	0,4824	0,06	0,9280	0,06	0,8361
Nedd4l	157,71	-0,26	0,4371	-0,25	0,5322	-0,28	1,0000	-0,27	0,6846	-0,13	0,6984	0,07	0,9302	0,05	0,9432	0,33	0,5368	0,34	0,3524
Nedd8	76,72	-0,04	0,9343	-0,09	0,8631	-0,16	1,0000	-0,27	0,7006	0,31	0,2648	0,48	0,2849	-0,09	0,9094	0,16	0,8791	0,41	0,2514
Nedd9	16,56	0,63	0,1725	0,36	0,6086	0,09	NA	0,43	0,6115	0,71	0,1408	0,17	0,8521	-0,54	NA	-0,46	0,5899	0,42	0,4115
Nefh	1,86	0,01	NA	0,41	0,5430	0,03	NA	0,26	NA	0,62	0,3439	-0,15	NA	-0,11	NA	0,25	NA	0,75	0,3044
Nefl	2,32	0,48	0,4430	0,45	0,4843	-0,12	NA	-0,11	NA	-0,04	0,9652	0,24	0,8297	-0,13	NA	-0,34	NA	-0,70	0,3414
Negr1	8,88	-0,99	0,0306	0,05	0,9607	0,24	NA	-0,93	0,0255	-0,92	0,0739	-0,14	0,9136	0,53	NA	-0,22	NA	-0,38	0,6570
Neil1	2,36	-0,14	0,8640	0,21	0,8099	0,10	NA	-0,09	NA	-0,29	0,7052	0,07	0,9572	-0,11	NA	-0,36	NA	-0,20	0,8329
Neil2	3,39	-0,42	0,5308	0,32	0,6906	-0,15	NA	-0,31	NA	-0,26	0,7370	0,31	0,7579	0,55	NA	0,11	NA	0,21	0,8200
Nek1	62,67	0,07	0,8875	0,81	0,0014	0,16	1,0000	0,51	0,1759	0,11	0,7640	0,42	0,4027	0,33	0,5187	0,20	0,8197	0,24	0,5551
Nek2	2,15	-0,22	NA	0,08	0,9422	0,14	NA	0,01	NA	0,26	0,7341	-0,30	NA	0,03	NA	0,25	NA	-0,07	NA
Nek3	14,10	-0,03	0,9692	-0,20	0,8127	0,22	NA	0,08	0,9794	0,52	0,2909	-0,58	0,4506	0,12	NA	0,19	0,9025	0,58	0,2333
Nek4	15,76	-0,18	0,7821	0,08	0,9256	-0,10	NA	-0,41	0,6344	-0,84	0,0765	0,11	0,9286	0,01	NA	-0,17	0,9181	-1,22	0,0314
Nek6	21,59	-0,30	0,5744	-0,54	0,2811	0,05	NA	-0,13	0,9500	-1,03	0,0126	-0,62	0,3856	0,01	NA	-0,40	0,6961	-0,51	0,3619
Nek7	277,67	-0,07	0,8010	-0,49	0,0211	-0,08	1,0000	0,16	0,8277	0,13	0,5912	-0,25	0,5086	0,21	0,5988	0,14	0,8059	0,30	0,2436
Nek8	15,55	-0,42	0,4283	0,05	0,9632	-0,07	NA	0,07	0,9805	0,74	0,0467	0,60	0,3985	0,12	NA	0,50	0,5780	0,86	0,0680
Nek9	286,74	-0,03	0,9472	-0,37	0,0624	-0,07	1,0000	-0,14	0,8237	0,03	0,9114	-0,12	0,8514	-0,06	0,9368	0,09	0,9306	0,17	0,6365
Nelfa	19,30	0,01	0,9901	-0,30	0,6829	0,10	NA	0,02	0,9916	0,03	0,9654	-0,28	0,7592	-0,19	NA	0,07	0,9784	0,18	0,7615
Nelfb	52,82	-0,13	0,7792	-0,51	0,1531	-0,28	1,0000	-0,10	0,9600	-0,04	0,9192	-0,53	0,3307	-0,27	0,6947	-0,18	0,8745	0,23	0,5894
Nelfcd	48,73	-0,32	0,4177	-0,35	0,4543	-0,10	1,0000	-0,38	0,5864	-1,11	0,0003	0,19	0,8043	0,18	0,8125	0,19	0,8577	-0,57	0,1722
Nelfe	37,74	0,36	0,3392	0,10	0,8779	-0,02	1,0000	-0,01	0,9968	-0,04	0,9332	-0,37	0,5713	-0,54	0,3146	-0,20	0,8567	-0,04	0,9479
Nemf	119,88	-0,11	0,7699	0,06	0,9011	-0,01	1,0000	-0,03	0,9853	-0,09	0,7765	0,06	0,9407	0,21	0,6967	0,13	0,8913	-0,18	0,6723
Nenf	7,11	-0,12	0,8899	-0,28	0,7395	0,03	NA	-0,13	0,9516	-0,85	0,1510	-0,11	0,9359	0,19	NA	0,25	0,8605	-0,93	0,1687
Neo1	362,51	-0,68	0,0001	-0,19	0,5149	0,20	1,0000	0,00	0,9988	-0,10	0,7046	0,11	0,8320	0,52	0,0740	0,50	0,0919	0,51	0,0224
Nes	249,51	1,94	0,0000	0,71	0,0724	-0,10	1,0000	-0,87	0,0224	-0,91	0,0890	-0,74	0,0011	-1,37	0,0000	-2,01	0,0000	-1,63	0,0000
Nespas	8,38	0,31	0,6520	0,65	0,2747	0,08	NA	-0,41	NA	-0,06	0,9460	0,53	0,5002	0,25	NA	-0,41	0,7132	-0,85	0,1586
Net1	59,41	0,44	0,2400	0,32	0,5291	0,14	1,0000	0,02	0,9901	0,44	0,1813	-0,02	0,9805	-0,21	0,7503	-0,43	0,4949	0,14	0,7795
Neto2	45,92	1,81	0,0000	-0,44	0,4735	0,07	NA	0,35	0,7008	0,84	0,0155	-1,32	0,0002	0,32	0,5394	0,39	0,4733	0,17	0,7084
Neu1	27,71	0,28	0,5914	-0,11	0,8921	0,03	NA	0,18	0,9213	0,49	0,2613	-0,18	0,8362	-0,33	0,6364	-0,03	0,9915	0,60	0,1060
Neu3	7,20	0,42	0,5161	0,35	0,6517	-0,02	NA	-0,04	NA	0,11	0,8916	0,23	0,8327	-0,13	NA	0,25	0,8597	-0,27	0,7437
Neur1a	1,67	-0,08	NA	0,06	0,9547	0,05	NA	-0,11	NA	-0,42	0,5228	0,26	NA	-0,01	NA	-0,15	NA	-0,41	NA
Neur1b	4,64	-0,68	0,2437	0,54	0,4150	0,03	NA	-0,04	NA	0,00	0,9992	1,02	0,1236	0,01	NA	-0,16	NA	0,10	0,9226
Neur12	15,35	-0,16	0,8151	-0,32	0,6709	-0,08	NA	0,11	0,9634	-0,54	0,3088	-0,19	0,8593	-0,19	NA	0,01	0,9989	-0,63	0,3176
Neur14	90,45	0,38	0,1576	-0,27	0,4907	0,05	1,0000	-0,15	0,9082	-0,18	0,5920	-0,80	0,0213	-0,51	0,2143	-0,30	0,6272	-0,55	0,0514
Nexn	1651,23	0,59	0,0186	-0,78	0,0005	-0,04	1,0000	-0,09	0,9449	-0,41	0,0794	-1,07	0,0003	0,13	0,8536	0,20	0,7608	-0,51	0,1415
Nf1	355,84	-0,10	0,7862	0,18	0,6607	0,01	1,0000	0,12	0,9269	-0,07	0,8341	-0,05	0,9359	0,17	0,7043	-0,02	0,9918	0,02	0,9721
Nf2	230,30	0,19	0,5000	-0,26	0,4317	0,09	1,0000	-0,03	0,9853	-0,24	0,3632	-0,52	0,0856	-0,05	0,9302	-0,11	0,8833	-0,28	0,2902
Nfasc	22,69	-0,60	0,2491	1,73	0,0000	0,05	NA	0,55	0,3473	-1,01	0,0194	1,51	0,0016	0,54	NA	0,67	0,3834	-0,27	0,7407
Nfat5	672,11	-0,54	0,0002	-0,27	0,2580	-0,21	1,0000	-0,19	0,6940	0,08	0,7846	0,11	0,7999	0,42	0,1054	0,16	0,7608	0,47	0,0387
Nfatc1	23,69	0,10	0,8714	0,19	0,7972	-0,07	NA	-0,05	0,9853	0,38	0,4632	-0,44	0,5364	-0,08	0,9408	0,16	0,9065	0,61	0,1044
Nfatc2	14,87	-0,52	0,2963	1,19	0,0010	0,00	NA	0,17	0,9266	0,04	0,9599	1,37	0,0033	0,43	NA	0,58	0,4733	0,52	0,4733
Nfatc2ip	15,42	-0,35	0,5440	-0,28	0,6884	0,02	NA	-0,15	0,9430	0,12	0,8443	0,20	0,8472	0,16	NA	0,15	0,9292	0,93	0,0374
Nfatc3	182,03	-0,43	0,0508	0,05	0,9274	0,00	1,0000	-0,04	0,9853	0,25	0,3312	0,23	0,6202	0,32	0,4116	0,10	0,9074	0,52	0,0807
Nfatc4	6,18	-0,01	0,9891	0,61	0,3256	0,45	NA	-0,24	NA	-1,49	0,0053	0,31	0,7717	0,16	NA	-0,98	NA	-1,86	0,0015
Nfe2l1	637,31	0,39	0,0731	-0,54	0,0003	-0,14	1,0000	-0,20	0,6030	0,26	0,1002	-0,83	0,0030	-0,64	0,0367	-0,52	0,1185	-0,06	0,8894

GeneID	CTL	ET-1 vs CTL		SAHA vs CTL		JS28 vs CTL		BSP vs CTL		JQ1 vs CTL		ET-1+SAHA vs ET1		ET-1+JS28 vs ET1		ET-1+BSP vs ET1		ET-1+JQ1 vs ET1	
	mean	log2(FC)	P-adj	log2(FC)	P-adj	log2(FC)	P-adj	log2(FC)	P-adj	log2(FC)	P-adj	log2(FC)	P-adj	log2(FC)	P-adj	log2(FC)	P-adj	log2(FC)	P-adj
Nfe2l2	93,09	0,14	0,7470	-0,14	0,7849	0,13	1,0000	0,11	0,9417	0,15	0,6378	-0,28	0,6033	0,02	0,9784	-0,13	0,9025	0,12	0,7769
Nfe2l3	3,96	-0,41	0,5423	0,40	0,5994	-0,24	NA	-0,22	NA	-0,41	0,5738	0,53	0,5231	0,33	NA	0,02	NA	0,02	0,9916
Nfia	912,02	-0,27	0,3390	-0,70	0,0000	-0,44	0,0607	-0,34	0,1730	-0,17	0,5447	-0,47	0,2060	0,01	0,9843	-0,06	0,9580	0,28	0,4874
Nfib	419,76	-0,15	0,6221	-0,45	0,0318	-0,10	1,0000	0,16	0,8112	-0,10	0,6940	-0,28	0,4693	0,14	0,7967	0,16	0,8058	0,14	0,6609
Nfic	199,97	-0,03	0,9419	-0,25	0,4251	-0,11	1,0000	0,00	0,9986	-0,04	0,9312	-0,39	0,3682	-0,31	0,4942	-0,03	0,9862	-0,08	0,8916
Nfil3	36,13	1,02	0,0014	-0,05	0,9602	-0,10	NA	0,07	0,9798	0,65	0,1020	-0,51	0,3577	-0,43	0,4558	-0,37	0,6212	-0,18	0,7418
Nfix	142,92	0,04	0,9517	-0,85	0,0008	-0,28	1,0000	-0,17	0,8671	0,64	0,0334	-1,16	0,0026	-0,58	0,2143	-0,28	0,7298	0,60	0,2004
Nfkb1	62,88	-0,23	0,5112	-0,64	0,0378	-0,05	1,0000	-0,01	0,9940	-0,48	0,1061	-0,66	0,1374	0,00	0,9997	0,19	0,8309	-0,57	0,1033
Nfkb2	39,58	0,00	0,9983	-0,34	0,5167	-0,03	1,0000	-0,10	0,9634	0,43	0,2631	-0,63	0,2558	-0,70	0,1683	0,02	0,9931	0,44	0,3596
Nfkbia	21,57	-0,14	0,8298	-0,45	0,4481	-0,08	NA	0,00	0,9986	0,75	0,0389	-0,89	0,1513	-0,14	NA	0,38	0,6796	0,93	0,0119
Nfkbib	10,92	0,41	0,4828	0,37	0,6058	-0,05	NA	0,09	0,9746	0,31	0,6382	0,02	0,9875	-0,03	NA	-0,38	0,7316	-0,05	0,9565
Nfkbie	3,63	-0,25	0,7580	0,32	0,7005	-0,14	NA	-0,36	NA	0,28	0,7079	0,18	0,8805	0,27	NA	-0,07	NA	0,60	0,4247
Nfkbil1	7,12	-0,05	0,9605	0,05	0,9709	0,07	NA	-0,40	NA	-0,05	0,9513	-0,18	0,8858	-0,67	NA	-0,11	0,9558	0,17	0,8571
Nfkbiz	7,23	0,63	0,2587	0,12	0,9057	0,20	NA	-0,06	NA	0,78	0,1584	-0,33	0,7508	-0,02	NA	0,00	1,0000	0,58	0,3350
Nfrkb	40,56	-0,03	0,9632	0,09	0,8895	-0,09	1,0000	0,09	0,9634	0,47	0,1535	-0,10	0,9170	0,13	0,8786	0,34	0,6581	-0,03	0,9649
Nfs1	63,52	-0,11	0,7935	0,27	0,4714	-0,09	1,0000	0,11	0,9440	0,41	0,0981	0,40	0,4175	-0,41	0,4291	0,12	0,9179	0,15	0,7210
Nfu1	57,97	0,18	0,6716	-0,38	0,3609	-0,07	1,0000	-0,09	0,9674	0,10	0,8058	-0,54	0,2602	-0,63	0,1516	-0,35	0,6114	-0,11	0,8159
Nfx1	139,51	-0,24	0,3532	0,23	0,4791	0,10	1,0000	0,30	0,5253	0,37	0,1371	0,26	0,5789	0,32	0,4291	0,42	0,2663	0,41	0,1115
Nfxl1	55,89	-0,49	0,1226	-0,37	0,3136	-0,16	1,0000	-0,23	0,8125	-0,26	0,5090	0,01	0,9969	0,08	0,9292	-0,15	0,9118	-0,22	0,6753
Nfya	50,66	-0,17	0,7297	0,10	0,8840	-0,09	1,0000	0,80	0,0087	0,79	0,0020	-0,08	0,9320	0,06	0,9454	0,77	0,0658	0,99	0,0005
Nfyb	22,14	0,30	0,5521	-0,30	0,6663	-0,02	NA	0,03	0,9858	-0,16	0,7954	-0,33	0,6823	-0,10	0,9173	-0,16	0,9138	-0,49	0,3084
Nfyc	60,25	0,05	0,9312	-0,43	0,2787	-0,15	1,0000	-0,16	0,9088	-0,23	0,5727	-0,21	0,7579	0,01	0,9914	0,17	0,8577	-0,10	0,8411
Ngdn	26,99	0,41	0,3402	0,21	0,7589	0,05	NA	0,20	0,8998	0,09	0,8815	-0,12	0,9003	-0,42	0,5081	-0,10	0,9526	-0,26	0,6262
Ngfrap1	101,38	0,14	0,7709	0,13	0,8040	-0,46	0,5224	-0,31	0,6334	0,24	0,4635	0,19	0,7849	-0,42	0,4015	-0,34	0,5955	0,17	0,7012
Ngly1	65,14	-0,09	0,8344	-0,62	0,0349	0,05	1,0000	0,05	0,9805	0,01	0,9748	-0,20	0,7801	0,02	0,9791	0,24	0,7711	0,13	0,7955
Ngrn	55,65	0,06	0,9098	0,15	0,7801	-0,26	1,0000	-0,13	0,9372	-0,28	0,5106	0,35	0,5019	-0,22	0,7418	-0,32	0,6579	-0,01	0,9815
Nhej1	2,16	-0,42	NA	-0,63	0,2039	-0,12	NA	-0,13	NA	-0,71	0,2343	-0,23	NA	-0,05	NA	0,40	NA	0,10	NA
Nhlrc1	3,67	0,02	0,9810	0,28	0,7371	-0,02	NA	-0,06	NA	0,20	0,8061	0,37	0,7242	-0,18	NA	0,13	NA	-0,10	0,9290
Nhlrc2	75,72	-0,17	0,6232	-0,74	0,0058	-0,07	1,0000	-0,37	0,4621	-1,20	0,0000	-0,29	0,6203	0,09	0,9063	-0,24	0,7660	-0,97	0,0021
Nhlrc3	9,28	0,52	0,3543	0,35	0,6403	0,07	NA	-0,05	0,9853	0,19	0,8001	-0,47	0,5980	-0,32	NA	-0,38	0,7393	-0,23	0,7556
Nhp2	27,42	0,58	0,1348	-0,79	0,1058	-0,10	NA	0,01	0,9972	-0,30	0,5849	-0,40	0,5332	-0,68	0,1847	-0,34	0,6900	-0,53	0,2057
Nhp2l1	47,91	0,16	0,7217	0,02	0,9818	0,01	1,0000	0,28	0,7219	-0,11	0,8138	0,18	0,8021	-0,19	0,7856	-0,24	0,7912	-0,16	0,7340
Nhs	2,97	-0,12	0,8946	0,41	0,5727	-0,20	NA	0,00	NA	-0,19	0,8180	0,00	0,9982	-0,11	NA	-0,08	NA	-0,14	0,8950
Nhs1	118,02	-0,58	0,0442	0,08	0,8895	0,04	1,0000	-0,02	0,9860	-0,64	0,0204	0,52	0,2071	0,54	0,1636	0,36	0,5301	-0,14	0,8104
Nhs2	111,13	-1,36	0,0000	-0,85	0,0041	-0,22	1,0000	-0,17	0,8881	-1,34	0,0000	0,17	0,8455	0,74	0,1272	0,32	0,7387	-0,49	0,3879
Nicn1	52,34	-0,41	0,1907	0,12	0,8332	0,11	1,0000	-0,33	0,6309	-0,78	0,0067	1,03	0,0023	0,32	0,5909	0,05	0,9766	-0,46	0,2664
Nid1	7,49	-0,12	0,8910	2,11	0,0000	0,22	NA	-0,48	NA	-0,76	0,2013	1,70	0,0004	0,15	NA	-0,46	0,6579	-0,60	0,4118
Nid2	258,11	0,65	0,0011	-0,28	0,4364	-0,21	1,0000	-0,40	0,3496	-0,52	0,0265	-0,71	0,0043	-0,24	0,5101	-0,17	0,7412	-0,34	0,1452
Nif3l1	23,59	0,17	0,7635	-0,27	0,6857	-0,01	NA	-0,01	0,9972	0,38	0,3585	-0,19	0,8374	-0,20	0,8175	0,08	0,9630	-0,02	0,9818
Nifk	35,47	0,92	0,0018	0,60	0,1661	0,14	NA	0,31	0,7520	0,02	0,9716	-0,24	0,7331	-0,64	0,1701	-0,63	0,2328	-0,64	0,1041
Nin	55,65	0,29	0,3555	-0,37	0,3601	0,22	1,0000	0,08	0,9681	0,42	0,1379	-1,03	0,0056	-0,11	0,8910	-0,07	0,9608	0,39	0,2275
Ninj1	34,30	0,16	0,7275	0,27	0,5998	0,23	1,0000	0,57	0,1923	0,61	0,0357	0,04	0,9707	0,00	0,9963	0,52	0,3495	0,43	0,2486
Ninl	15,88	-0,63	0,1547	0,30	0,6411	-0,02	NA	-0,19	0,9158	-0,27	0,6282	0,43	0,6227	0,46	NA	0,15	0,9331	0,37	0,5732
Nip7	43,23	0,08	0,8863	-0,03	0,9701	-0,04	1,0000	0,09	0,9634	-0,14	0,7596	0,18	0,8100	0,04	0,9689	0,02	0,9918	0,22	0,6211
Nipa1	17,17	-0,05	0,9463	0,11	0,8978	-0,10	NA	-0,50	0,4756	-0,82	0,0850	0,06	0,9583	0,30	NA	-0,48	0,6125	-0,65	0,2514

GeneID	CTL	ET-1 vs CTL		SAHA vs CTL		JS28 vs CTL		BSP vs CTL		JQ1 vs CTL		ET-1+SAHA vs ET1		ET-1+JS28 vs ET1		ET-1+BSP vs ET1		ET-1+JQ1 vs ET1	
	mean	log2(FC)	P-adj	log2(FC)	P-adj	log2(FC)	P-adj	log2(FC)	P-adj	log2(FC)	P-adj	log2(FC)	P-adj	log2(FC)	P-adj	log2(FC)	P-adj	log2(FC)	P-adj
Nipa2	88,19	0,18	0,6720	-0,25	0,5560	-0,15	1,0000	-0,07	0,9718	0,07	0,8845	0,28	0,6184	0,10	0,8932	0,22	0,7828	-0,05	0,9381
Nipal2	1,39	0,21	NA	-0,32	NA	-0,10	NA	-0,16	NA	-0,42	NA	0,00	NA	-0,17	NA	-0,33	NA	-0,60	NA
Nipal3	31,52	-0,31	0,5172	0,07	0,9288	0,11	1,0000	-0,03	0,9853	-0,14	0,8033	0,39	0,5732	0,31	0,6674	0,02	0,9933	-0,38	0,4517
Nipbl	468,02	-0,30	0,2424	-0,31	0,1942	-0,10	1,0000	0,02	0,9872	-0,17	0,5218	-0,28	0,5388	0,30	0,4908	0,27	0,6056	0,04	0,9365
Nipsnap1	21,79	-0,07	0,9141	0,75	0,0508	0,22	NA	-0,42	0,6019	-1,26	0,0026	0,85	0,0894	0,13	0,8988	-0,66	0,3643	-1,05	0,0287
Nipsnap3b	27,98	-0,17	0,7642	-0,36	0,4874	0,03	NA	0,03	0,9872	0,12	0,7921	-0,09	0,9387	-0,06	0,9605	-0,02	0,9936	0,34	0,5129
Nisch	741,05	-0,14	0,4420	-0,22	0,2026	0,08	1,0000	0,09	0,8917	0,11	0,4841	-0,15	0,7354	-0,16	0,6947	0,00	0,9989	0,08	0,7479
Nit1	28,12	-0,07	0,9175	0,54	0,2198	-0,08	NA	-0,04	0,9853	0,56	0,1102	0,23	0,7874	-0,11	0,9074	0,38	0,6401	0,33	0,4654
Nit2	24,51	-0,20	0,7367	-0,12	0,8723	0,16	NA	0,07	0,9798	0,07	0,8949	0,11	0,9180	0,21	0,8126	0,19	0,8960	0,02	0,9766
Nkain1	11,61	0,53	0,3226	0,32	0,6805	0,06	NA	-0,19	0,9158	-0,34	0,6182	0,23	0,8143	0,09	NA	-0,68	0,3853	-0,49	0,4194
Nkap	57,14	-0,03	0,9509	-0,28	0,5517	-0,09	1,0000	-0,13	0,9396	-0,33	0,3655	-0,11	0,8905	0,16	0,8232	-0,05	0,9790	-0,45	0,2758
Nkapl	1,76	-0,18	NA	0,01	0,9912	-0,04	NA	0,08	NA	0,34	0,6559	0,01	NA	0,01	NA	0,34	NA	0,59	0,4427
Nkd1	11,30	-0,13	0,8893	0,62	0,3047	-0,03	NA	-0,46	0,5351	-0,58	0,3554	0,58	0,4843	0,17	NA	-0,58	0,5092	-0,14	0,8808
Nkiras1	31,18	0,50	0,2970	0,96	0,0156	0,16	NA	0,33	0,7468	0,28	0,5738	0,79	0,0879	0,13	0,8853	0,02	0,9931	-0,06	0,9283
Nkiras2	79,67	0,15	0,6555	0,13	0,7686	-0,11	1,0000	-0,23	0,7620	0,51	0,0200	0,18	0,7617	-0,31	0,5264	0,16	0,8446	0,50	0,1166
Nkpd1	1,49	0,06	NA	0,40	0,5326	0,06	NA	0,04	NA	0,15	0,8498	-0,11	NA	-0,15	NA	-0,02	NA	-0,01	NA
Nkrf	15,90	0,20	0,7593	0,15	0,8590	-0,15	NA	-0,12	0,9606	-0,18	0,8015	-0,09	0,9401	-0,05	NA	0,02	0,9951	0,33	0,5989
Nktr	159,08	0,00	0,9961	0,11	0,8162	-0,01	1,0000	0,33	0,4734	0,66	0,0018	-0,20	0,7248	0,12	0,8492	0,20	0,7810	0,55	0,0307
Nkx2-5	75,60	-0,33	0,3958	-0,28	0,5437	0,05	1,0000	-0,18	0,8758	0,30	0,6359	0,11	0,9044	-0,30	0,6426	0,44	0,4651	0,87	0,0783
Nkx2-9	1,10	-0,36	NA	-0,21	0,7433	-0,12	NA	-0,15	NA	-0,47	0,4103	-0,08	NA	-0,01	NA	-0,01	NA	-0,08	NA
Nkx6-2	1,84	0,31	NA	-0,14	NA	-0,04	NA	-0,12	NA	-0,03	0,9666	0,02	0,9868	-0,20	NA	-0,45	NA	-0,18	0,8492
Nle1	11,89	0,17	0,8142	0,22	0,7985	0,00	NA	0,10	0,9672	0,57	0,2433	0,00	0,9981	-0,54	NA	-0,13	0,9433	0,20	0,7741
Nlgn2	20,19	-0,87	0,0255	0,10	0,9044	0,04	NA	-0,26	0,8336	0,89	0,0210	0,37	0,6792	0,14	NA	0,45	0,6358	1,58	0,0008
Nlk	112,69	-0,09	0,8095	-0,37	0,2337	-0,28	1,0000	-0,17	0,8610	0,25	0,3443	0,01	0,9882	0,19	0,7254	-0,25	0,6935	0,51	0,0676
Nln	54,09	-0,41	0,1943	-0,47	0,1787	-0,05	1,0000	-0,07	0,9741	-0,12	0,7808	0,00	0,9976	0,35	0,5540	0,12	0,9219	0,23	0,6368
Nlrc3	3,19	-0,08	0,9350	-0,31	0,6882	-0,09	NA	-0,16	NA	-0,37	0,6124	0,17	0,8859	0,04	NA	-0,01	NA	-0,43	0,6100
Nlrp10	57,59	0,10	0,8230	-0,14	0,7938	0,05	1,0000	-0,19	0,8671	-1,84	0,0000	-0,04	0,9666	0,15	0,8313	-0,14	0,8960	-1,55	0,0000
Nlrp5-ps	8,78	-0,34	0,6090	0,32	0,6741	0,14	NA	0,72	0,1513	-0,08	0,9104	0,73	0,3053	0,86	NA	0,83	0,2097	0,18	0,8294
Nmd3	57,82	0,67	0,0085	0,12	0,8413	0,07	1,0000	0,05	0,9853	-0,10	0,8138	-0,36	0,4843	-0,28	0,6315	-0,50	0,3280	-0,60	0,1199
Nme1	29,71	0,91	0,0215	-0,06	0,9550	-0,30	NA	-0,21	0,8939	-0,58	0,2718	0,01	0,9952	-0,94	0,0526	-0,85	0,1176	-0,75	0,1065
Nme2	138,95	0,37	0,2639	-0,70	0,0333	-0,28	1,0000	-0,45	0,3857	-0,52	0,0783	-0,86	0,0071	-0,47	0,2576	-0,65	0,0610	-0,72	0,0061
Nme3	18,02	0,33	0,5683	-0,37	0,5919	-0,08	NA	-0,31	0,7778	-1,33	0,0056	-0,25	0,7985	-0,42	NA	-1,00	0,0816	-1,66	0,0007
Nme4	4,50	0,30	0,6968	0,19	0,8363	0,01	NA	-0,12	NA	-0,52	0,4494	-0,17	0,8923	-0,14	NA	-0,79	NA	-1,07	0,1060
Nme6	9,00	0,27	0,6969	0,06	0,9605	0,16	NA	-0,13	0,9482	-0,81	0,1777	-0,29	0,7774	-0,25	NA	-0,33	0,7940	-0,97	0,1203
Nme7	22,47	-0,32	0,5480	0,22	0,7397	-0,05	NA	-0,44	0,5892	-1,25	0,0049	0,65	0,3154	0,29	NA	-0,40	0,6886	-0,58	0,2812
Nmi	1,37	0,02	NA	-0,20	NA	0,12	NA	0,09	NA	-0,34	NA	-0,22	NA	0,11	NA	-0,19	NA	-0,38	NA
Nmnat1	9,47	0,31	0,6461	-0,39	0,6001	0,23	NA	-0,22	0,8814	-0,81	0,1636	-0,31	0,7608	0,34	NA	-0,33	0,7950	-1,31	0,0235
Nmnat2	1,71	0,32	NA	0,79	0,1358	-0,07	NA	-0,14	NA	-0,38	NA	0,77	0,2974	-0,11	NA	-0,32	NA	-0,60	NA
Nmnat3	1,25	0,39	NA	0,16	NA	0,08	NA	-0,05	NA	0,27	NA	0,09	0,9394	-0,20	NA	-0,31	NA	-0,25	0,7702
Nmral1	1,23	0,25	NA	0,19	0,7735	0,02	NA	-0,03	NA	-0,25	NA	0,00	NA	-0,10	NA	-0,33	NA	-0,57	NA
Nmrk1	4,65	-0,16	0,8461	0,51	0,4535	-0,06	NA	-0,27	NA	-1,19	0,0355	0,61	0,4616	0,06	NA	-0,55	NA	-0,77	0,2864
Nmrk2	22,45	1,42	0,0009	-0,54	0,4116	0,07	NA	-0,42	0,5750	0,18	0,8180	-0,53	0,4945	-0,29	0,7274	-1,41	0,0049	-1,40	0,0078
Nmt1	170,47	0,08	0,8011	0,17	0,5981	0,15	1,0000	0,03	0,9853	0,28	0,1527	0,05	0,9401	0,02	0,9768	0,05	0,9643	0,33	0,1827
Nmt2	103,71	-0,37	0,1377	0,15	0,7326	-0,04	1,0000	0,08	0,9563	0,19	0,5051	0,21	0,7035	0,13	0,8441	0,14	0,8784	0,28	0,4101
Nnat	3,00	-0,56	0,3666	-0,17	0,8520	-0,16	NA	-0,37	NA	0,47	0,4937	0,16	NA	0,18	NA	-0,30	NA	0,57	0,4675

GeneID	CTL	ET-1 vs CTL		SAHA vs CTL		JS28 vs CTL		BSP vs CTL		JQ1 vs CTL		ET-1+SAHA vs ET1		ET-1+JS28 vs ET1		ET-1+BSP vs ET1		ET-1+JQ1 vs ET1	
	mean	log2(FC)	P-adj	log2(FC)	P-adj	log2(FC)	P-adj	log2(FC)	P-adj	log2(FC)	P-adj	log2(FC)	P-adj	log2(FC)	P-adj	log2(FC)	P-adj	log2(FC)	P-adj
Nnt	340,34	0,16	0,6041	-0,15	0,7174	-0,08	1,0000	-0,07	0,9634	-0,13	0,6325	-0,14	0,7579	-0,14	0,7481	0,02	0,9917	-0,19	0,4125
Noa1	18,10	-0,15	0,8095	-0,19	0,7952	-0,33	NA	0,12	0,9600	0,82	0,0173	-0,51	0,5180	-0,23	NA	0,42	0,6427	1,00	0,0085
Nob1	29,25	0,42	0,2962	0,09	0,9110	-0,03	NA	-0,34	0,7162	0,08	0,8900	-0,18	0,8371	-0,46	0,4518	-0,55	0,4180	-0,07	0,9104
Noc3l	45,86	0,48	0,1342	-0,16	0,7883	-0,12	1,0000	-0,17	0,9060	-0,30	0,4377	-0,74	0,1022	-0,28	0,6653	-0,40	0,5625	-0,48	0,2141
Noc4l	23,59	0,06	0,9340	-0,20	0,7720	-0,13	NA	-0,02	0,9925	0,35	0,3945	-0,17	0,8583	-0,39	0,5863	-0,45	0,6048	0,36	0,4914
Nod1	9,53	-0,61	0,2726	0,27	0,7231	0,06	NA	0,11	0,9634	-0,69	0,2094	0,99	0,1225	-0,21	NA	0,52	0,5884	0,65	0,3279
Nog	3,02	0,30	0,6874	0,16	0,8597	0,01	NA	0,01	NA	0,17	0,8301	-0,09	0,9414	-0,23	NA	-0,45	NA	-0,10	0,9248
Nol10	34,44	0,30	0,4910	0,25	0,6678	-0,11	NA	0,06	0,9853	-0,04	0,9405	0,24	0,7366	0,18	0,8105	-0,21	0,8469	0,04	0,9506
Nol11	143,02	0,35	0,1012	-0,04	0,9411	-0,04	1,0000	-0,04	0,9853	0,09	0,8180	-0,11	0,8378	-0,21	0,6445	-0,11	0,8915	-0,17	0,6438
Nol12	15,46	0,53	0,2938	0,43	0,5031	-0,04	NA	-0,04	0,9853	0,05	0,9517	-0,23	0,8087	-0,28	NA	-0,49	0,5717	-0,16	0,8051
Nol3	7,83	0,26	0,7330	0,14	0,8873	-0,02	NA	-0,23	NA	-0,28	0,7154	-0,72	0,3496	-0,32	NA	-0,43	0,6902	-0,79	0,2283
Nol6	74,31	0,01	0,9867	-0,17	0,7167	-0,14	1,0000	0,03	0,9853	0,17	0,6328	-0,35	0,4851	-0,40	0,4131	0,00	1,0000	0,51	0,1158
Nol7	72,70	0,29	0,3253	-0,27	0,5022	-0,07	1,0000	-0,01	0,9959	-0,45	0,1179	-0,19	0,7762	0,21	0,7123	-0,20	0,8035	-0,56	0,1215
Nol8	70,48	0,23	0,5946	0,16	0,7679	0,08	1,0000	-0,05	0,9853	-0,31	0,3663	-0,13	0,8781	0,05	0,9554	-0,05	0,9789	-0,45	0,2699
Nol9	42,42	0,32	0,3813	0,12	0,8456	0,14	1,0000	0,34	0,6361	0,76	0,0048	-0,50	0,3330	-0,30	0,6250	0,00	1,0000	0,52	0,1737
Nolc1	77,16	0,59	0,0392	0,14	0,7845	0,02	1,0000	0,03	0,9853	0,25	0,4205	-0,53	0,2687	-0,27	0,6649	-0,35	0,6027	-0,31	0,4403
Nom1	41,07	-0,13	0,7872	0,20	0,6990	0,06	1,0000	0,06	0,9798	-0,31	0,3957	-0,05	0,9573	0,37	0,5153	-0,06	0,9713	0,03	0,9647
Nomo1	183,11	0,21	0,4802	0,23	0,4259	0,06	1,0000	0,21	0,7007	0,95	0,0000	-0,06	0,9320	-0,22	0,6761	0,08	0,9339	0,95	0,0001
Nono	298,75	-0,28	0,2369	-0,10	0,7699	-0,12	1,0000	-0,24	0,5599	0,12	0,5949	-0,07	0,9149	0,10	0,8618	0,07	0,9443	0,39	0,1330
Nop10	41,37	0,33	0,3592	0,26	0,6189	-0,06	1,0000	-0,03	0,9853	0,51	0,1744	0,58	0,1761	-0,19	0,7856	-0,21	0,8285	0,28	0,4642
Nop14	74,62	0,44	0,1898	0,43	0,2080	0,24	1,0000	0,30	0,6630	0,61	0,0124	-0,49	0,3204	-0,10	0,9085	-0,26	0,7414	-0,04	0,9543
Nop16	15,07	0,60	0,2453	0,33	0,6506	0,04	NA	0,18	0,9213	-0,14	0,8475	-0,28	0,7706	-0,65	NA	-0,53	0,5401	-0,77	0,1709
Nop2	41,64	0,79	0,0156	-0,29	0,6226	-0,12	NA	-0,41	0,6070	0,41	0,2937	-1,07	0,0135	-0,84	0,0578	-0,91	0,0402	-0,61	0,1170
Nop56	46,61	0,96	0,0004	-0,22	0,7467	0,05	1,0000	0,30	0,7521	0,87	0,0055	-0,95	0,0113	-0,50	0,2723	-0,37	0,5544	0,14	0,7371
Nop58	111,83	0,82	0,0014	-0,08	0,8749	-0,30	1,0000	-0,16	0,8903	-0,17	0,6323	-0,71	0,0778	-0,73	0,0644	-0,84	0,0245	-0,64	0,0774
Nop9	25,15	-0,28	0,5609	-0,18	0,7911	-0,14	NA	-0,31	0,7524	-0,02	0,9760	0,30	0,7159	-0,33	NA	-0,11	0,9476	0,12	0,8505
Nos1ap	18,33	-0,47	0,4040	-0,23	0,7584	-0,01	NA	-0,22	0,8903	0,16	0,7663	0,09	0,9450	-0,11	NA	0,12	0,9526	0,48	0,4589
Nosip	40,55	0,05	0,9326	-0,42	0,3617	-0,18	1,0000	-0,26	0,7954	0,49	0,2063	-0,43	0,5030	-0,40	0,5303	-0,22	0,8496	0,67	0,1189
Notch1	3,46	-0,64	0,2643	0,71	0,2337	-0,13	NA	-0,21	NA	-0,30	0,6975	0,47	0,5762	0,06	NA	0,16	NA	0,30	0,7281
Notch2	129,24	-0,35	0,2110	-0,40	0,1676	0,10	1,0000	0,16	0,8579	0,75	0,0001	-0,40	0,3905	-0,03	0,9666	0,13	0,8915	0,86	0,0005
Notch3	8,94	-0,24	0,7530	0,76	0,1397	-0,03	NA	-0,61	0,2922	-0,76	0,2134	-0,11	0,9360	-0,43	NA	-0,79	0,2483	-0,52	0,5081
Nova1	6,56	0,58	0,3253	0,52	0,4398	-0,03	NA	0,18	NA	0,35	0,6276	0,32	0,7495	-0,19	NA	-0,07	0,9792	0,18	0,8159
Nova2	1,64	-0,58	NA	1,21	0,0130	-0,08	NA	-0,19	NA	-0,20	0,8017	1,52	0,0058	0,19	NA	0,11	NA	0,09	NA
Noxo1	1,56	0,16	NA	0,33	0,6233	-0,01	NA	-0,04	NA	0,77	0,2162	0,09	NA	-0,21	NA	-0,17	NA	0,45	0,5853
Noxred1	2,85	-0,15	0,8548	-0,41	0,5114	-0,15	NA	-0,18	NA	-0,02	0,9864	-0,45	NA	-0,02	NA	0,08	NA	0,11	0,9169
Npas2	32,94	-0,02	0,9839	-0,80	0,0612	0,03	1,0000	-0,29	0,7688	-0,52	0,1952	-0,65	0,2833	-0,60	0,3090	-0,56	0,4274	-0,60	0,2112
Npas3	3,62	-0,22	0,7882	-0,72	0,1907	-0,05	NA	-0,37	NA	-0,98	0,0936	-0,30	0,7613	-0,23	NA	-0,48	NA	-0,61	0,4186
Npas4	1,04	0,36	NA	-0,04	NA	-0,01	NA	-0,05	NA	-0,04	NA	0,47	0,5904	0,35	NA	0,26	NA	-0,45	NA
Npat	125,70	0,05	0,8990	0,21	0,4916	-0,03	1,0000	0,11	0,9260	-0,01	0,9685	0,08	0,9004	0,32	0,4645	0,13	0,8833	-0,09	0,8068
Npc1	114,95	-0,51	0,0278	0,50	0,0332	0,18	1,0000	0,40	0,2400	0,30	0,1721	0,48	0,2263	0,48	0,2330	0,61	0,0919	0,62	0,0216
Npc111	1,28	-0,23	NA	0,28	0,7048	0,00	NA	-0,07	NA	0,35	0,6362	0,07	NA	-0,01	NA	0,06	NA	0,27	NA
Npc2	66,07	-0,25	0,5127	0,19	0,6628	0,01	1,0000	-0,12	0,9404	0,14	0,6812	0,24	0,7243	0,00	0,9975	0,01	0,9980	0,44	0,2125
Npdc1	25,09	0,06	0,9260	0,47	0,3182	-0,05	NA	-0,16	0,9361	-0,06	0,9256	0,26	0,7471	-0,34	0,6418	-0,43	0,6051	0,35	0,5172
Npepl1	3,00	0,31	0,6750	0,07	0,9500	0,15	NA	0,08	NA	-0,10	0,9035	0,03	0,9836	-0,02	NA	-0,09	NA	-0,65	0,3910
Npepps	467,33	-0,16	0,5270	-0,27	0,2261	-0,13	1,0000	-0,13	0,8420	-0,07	0,7836	-0,17	0,7106	-0,11	0,8379	-0,08	0,9238	0,14	0,6193

GeneID	CTL	ET-1 vs CTL		SAHA vs CTL		JS28 vs CTL		BSP vs CTL		JQ1 vs CTL		ET-1+SAHA vs ET1		ET-1+JS28 vs ET1		ET-1+BSP vs ET1		ET-1+JQ1 vs ET1	
	mean	log2(FC)	P-adj	log2(FC)	P-adj	log2(FC)	P-adj	log2(FC)	P-adj	log2(FC)	P-adj	log2(FC)	P-adj	log2(FC)	P-adj	log2(FC)	P-adj	log2(FC)	P-adj
Npff	3,10	-0,11	0,9068	-0,05	0,9670	-0,03	NA	-0,18	NA	-0,27	0,7267	-0,27	0,7905	-0,18	NA	0,11	NA	-0,59	0,4256
Nphp1	20,50	-0,36	0,4696	-0,11	0,8873	0,04	NA	-0,11	0,9626	-1,29	0,0019	0,31	0,7289	0,11	NA	-0,18	0,9067	-1,24	0,0135
Nphp3	32,64	-0,45	0,2585	0,23	0,6887	0,17	1,0000	-0,08	0,9727	-0,11	0,8375	0,47	0,4493	0,53	0,3411	-0,02	0,9928	0,00	0,9988
Nphp4	8,51	-0,54	0,3428	1,25	0,0017	0,00	NA	0,37	0,6955	0,63	0,2175	1,73	0,0003	0,27	NA	0,65	0,4286	1,09	0,0461
Nploc4	278,90	-0,07	0,8392	0,15	0,6555	0,14	1,0000	0,15	0,8504	0,48	0,0033	0,15	0,7715	-0,02	0,9756	0,09	0,9119	0,46	0,0326
Npm1	652,08	0,02	0,9692	-0,09	0,8003	-0,02	1,0000	0,15	0,8217	0,06	0,8142	-0,26	0,6271	0,00	0,9975	0,16	0,8366	0,02	0,9747
Npm2	1,02	0,04	NA	-0,17	NA	0,02	NA	0,05	NA	-0,12	NA	-0,30	NA	-0,14	NA	-0,09	NA	-0,28	NA
Npm3	9,27	0,52	0,3592	-0,53	0,4311	-0,13	NA	-0,10	0,9700	0,08	0,9223	-0,46	0,6184	-0,57	NA	-0,81	0,2539	-0,50	0,4696
Npm3-ps1	2,26	0,17	0,8309	-0,08	0,9251	-0,05	NA	-0,17	NA	-0,20	0,7779	-0,18	0,8684	-0,26	NA	-0,22	NA	-0,34	0,6929
Npnt	31,54	0,13	0,8380	-0,38	0,4848	0,04	NA	-0,26	0,8320	0,28	0,4945	-0,95	0,0977	-0,69	0,2478	-0,51	0,5276	0,62	0,2017
Nppa	1742,26	2,10	0,0000	-0,89	0,0938	-0,17	1,0000	-0,79	0,0992	0,12	0,8710	-0,94	0,0000	-1,03	0,0000	-1,10	0,0000	-0,08	0,8223
Nppb	167,61	3,33	0,0000	0,65	0,2474	-0,08	NA	-0,07	0,9829	1,19	0,0168	-1,20	0,0385	-1,73	0,0001	-1,82	0,0001	-0,68	0,2910
Npr2	52,96	-0,56	0,0583	-1,01	0,0015	0,20	1,0000	-0,30	0,7006	-0,47	0,2017	-0,78	0,1040	0,15	0,8536	-0,25	0,7891	-0,49	0,2737
Npr3	13,84	0,33	0,6520	-0,36	0,6485	-0,04	NA	-0,32	0,7338	-1,38	0,0115	-0,43	0,6466	0,18	NA	-0,47	0,6395	-1,65	0,0041
Npri2	23,30	0,00	0,9948	0,09	0,9057	0,35	NA	0,19	0,9081	0,62	0,0653	0,29	0,7155	0,09	0,9313	0,16	0,9074	0,22	0,6969
Npri3	67,80	0,23	0,5059	-0,09	0,8748	0,02	1,0000	-0,01	0,9910	0,27	0,3505	-0,12	0,8682	-0,05	0,9527	-0,04	0,9789	-0,01	0,9923
Nptn	286,45	-0,23	0,3650	0,40	0,0295	0,08	1,0000	0,34	0,1843	0,57	0,0005	0,77	0,0080	0,34	0,3948	0,49	0,1473	0,68	0,0066
Nptx1	2,61	-0,91	0,0652	-0,37	0,6282	0,03	NA	0,09	NA	0,10	0,9113	0,05	NA	-0,08	NA	0,05	NA	0,68	NA
Nqo1	2,52	-0,16	0,8461	0,03	0,9814	0,11	NA	-0,04	NA	0,09	0,9188	0,37	0,7028	0,20	NA	-0,24	NA	0,48	0,5596
Nqo2	36,35	-0,57	0,0901	-0,12	0,8585	-0,10	1,0000	-0,55	0,2750	-1,06	0,0011	0,35	0,6151	0,45	0,4412	-0,08	0,9612	-0,67	0,1248
Nr0b2	1,59	0,00	NA	0,42	0,5314	0,03	NA	-0,17	NA	-0,47	0,4198	0,10	NA	0,18	NA	0,06	NA	-0,64	NA
Nr1d1	70,71	0,51	0,1419	0,53	0,0844	-0,04	1,0000	-0,05	0,9853	0,69	0,0160	-0,29	0,6763	-0,56	0,2728	-0,82	0,0708	0,44	0,2705
Nr1d2	206,08	-0,37	0,1035	-0,34	0,1820	0,11	1,0000	0,15	0,8426	-0,01	0,9625	0,18	0,7289	0,62	0,0391	0,50	0,1407	0,32	0,2992
Nr1h2	79,84	-0,48	0,0750	0,27	0,4685	0,21	1,0000	0,01	0,9947	0,66	0,0102	0,23	0,7228	-0,08	0,9263	0,46	0,3645	0,81	0,0236
Nr1h3	3,29	-0,02	0,9867	0,00	0,9972	-0,09	NA	-0,18	NA	-0,76	0,2056	-0,20	0,8647	-0,04	NA	-0,39	NA	-0,67	0,3606
Nr2c1	26,14	-0,41	0,3641	-0,21	0,7517	0,09	NA	-0,23	0,8731	-0,61	0,1579	0,31	0,7155	0,15	0,8732	0,14	0,9250	-0,27	0,6411
Nr2c2	137,06	0,05	0,8934	-0,43	0,1271	0,08	1,0000	0,29	0,5813	0,11	0,6864	-0,27	0,5533	0,19	0,6946	0,30	0,5148	0,17	0,5521
Nr2c2ap	34,92	-0,44	0,3176	0,09	0,9010	-0,13	1,0000	-0,41	0,5731	-0,58	0,1390	0,64	0,2564	0,02	0,9828	-0,39	0,6906	-0,30	0,6190
Nr2f1	17,13	-0,23	0,7025	-0,34	0,6098	0,15	NA	0,26	0,8380	0,25	0,6359	-0,22	0,8303	-0,14	NA	0,24	0,8572	-0,24	0,7084
Nr2f2	75,48	-0,25	0,4134	-0,54	0,0714	-0,27	1,0000	-0,10	0,9447	0,24	0,4819	-0,41	0,4051	0,11	0,8929	0,02	0,9931	0,81	0,0144
Nr2f6	21,50	0,26	0,6613	-0,02	0,9889	-0,13	NA	-0,04	0,9853	0,07	0,9222	-0,11	0,9192	-0,62	NA	-0,12	0,9404	-0,14	0,8504
Nr3c1	252,68	-0,18	0,4650	-0,57	0,0055	-0,11	1,0000	-0,05	0,9727	-0,03	0,9165	-0,31	0,4030	-0,02	0,9811	0,05	0,9579	0,10	0,8174
Nr3c2	74,12	-0,94	0,0004	0,08	0,8987	-0,18	1,0000	0,15	0,9158	-0,65	0,0244	0,66	0,1301	0,48	0,3516	0,51	0,3656	-0,05	0,9322
Nr4a1	21,01	0,49	0,3334	-0,13	0,8847	0,00	NA	0,12	0,9614	0,68	0,1643	-0,89	0,1236	-0,61	0,3156	-0,43	0,6308	1,02	0,0212
Nr4a2	3,55	-0,30	0,6985	0,48	0,4865	0,02	NA	0,02	NA	0,81	0,1527	0,32	0,7617	0,07	NA	0,61	NA	1,28	0,0275
Nr4a3	2,41	0,69	0,2180	0,38	0,5452	-0,04	NA	0,39	NA	0,86	0,1568	-0,12	0,9316	-0,14	NA	0,02	NA	0,44	0,5837
Nr6a1	10,02	-0,02	0,9810	0,69	0,1885	0,28	NA	0,10	0,9699	0,48	0,3736	0,48	0,5713	0,51	NA	0,21	0,8982	-0,27	0,7147
Nradd	2,32	-0,35	0,6155	-0,46	0,4364	-0,07	NA	-0,30	NA	-0,09	0,9192	-0,07	NA	0,07	NA	0,08	NA	-0,25	NA
Nrap	318,85	1,13	0,0000	0,25	0,4357	-0,40	0,5448	-0,78	0,0010	-0,63	0,0027	-0,39	0,1626	-0,68	0,0022	-0,62	0,0048	-1,15	0,0000
Nras	252,20	0,12	0,6592	-0,87	0,0000	-0,23	1,0000	-0,25	0,5813	-0,29	0,1820	-0,69	0,0112	-0,33	0,3675	-0,50	0,0898	-0,33	0,2361
Nrbf2	7,15	-0,02	0,9810	0,19	0,8363	-0,03	NA	-0,04	0,9853	0,32	0,6383	0,13	0,9201	0,08	NA	0,25	0,8643	0,40	0,5802
Nrbp1	120,55	0,01	0,9870	-0,46	0,0808	0,21	1,0000	0,23	0,6939	0,29	0,1870	-0,27	0,5876	-0,09	0,8910	0,33	0,4969	0,47	0,0811
Nrbp2	59,10	0,08	0,8913	-0,37	0,3974	-0,02	1,0000	-0,62	0,1542	-0,20	0,6370	-0,08	0,9316	-0,11	0,8965	-0,43	0,5388	-0,14	0,8262
Nrcam	2,66	0,70	0,1980	0,36	0,5665	0,06	NA	-0,05	NA	0,33	0,6358	-0,37	0,7105	-0,53	NA	-0,47	NA	0,03	0,9818
Nrd1	686,00	-0,01	0,9858	0,17	0,4790	0,05	1,0000	0,28	0,3510	0,31	0,0703	0,07	0,8932	0,11	0,8232	0,26	0,4773	0,23	0,4287

GeneID	CTL	ET-1 vs CTL		SAHA vs CTL		JS28 vs CTL		BSP vs CTL		JQ1 vs CTL		ET-1+SAHA vs ET1		ET-1+JS28 vs ET1		ET-1+BSP vs ET1		ET-1+JQ1 vs ET1	
	mean	log2(FC)	P-adj	log2(FC)	P-adj	log2(FC)	P-adj	log2(FC)	P-adj	log2(FC)	P-adj	log2(FC)	P-adj	log2(FC)	P-adj	log2(FC)	P-adj	log2(FC)	P-adj
Nrde2	18,81	-0,12	0,8466	-0,14	0,8590	-0,16	NA	-0,27	0,8381	-0,75	0,1012	-0,25	0,7953	-0,25	NA	-0,44	0,6374	-0,92	0,0666
Nrep	187,45	-0,87	0,0065	-1,07	0,0001	0,01	1,0000	-0,02	0,9860	-1,43	0,0000	-0,16	0,8472	0,66	0,1447	0,09	0,9526	-0,72	0,0976
Nrf1	25,01	0,02	0,9813	-0,40	0,4843	0,05	NA	-0,14	0,9437	0,33	0,4226	-0,52	0,4545	-0,24	0,7810	-0,21	0,8724	0,47	0,2676
Nrg1	9,77	1,30	0,0031	0,01	0,9906	0,00	NA	-0,19	NA	-0,35	0,6378	-1,33	0,0213	-1,14	NA	-1,46	0,0045	-1,13	0,0362
Nrg2	2,85	-0,05	0,9580	0,04	0,9730	0,05	NA	-0,20	NA	-0,36	0,6264	-0,04	0,9782	0,02	NA	-0,05	NA	-0,27	0,7548
Nrip1	54,28	-0,38	0,2196	-0,27	0,5164	0,05	1,0000	0,38	0,4453	0,24	0,4264	0,05	0,9572	0,36	0,5208	0,42	0,4948	0,48	0,1487
Nrip3	2,37	0,53	0,3895	0,50	0,4190	-0,02	NA	0,03	NA	0,59	0,3780	0,44	0,6475	-0,44	NA	-0,36	NA	0,24	0,7916
Nrk	93,88	-0,91	0,0001	-0,37	0,2673	-0,28	1,0000	-0,78	0,0051	-1,28	0,0000	-0,01	0,9892	0,25	0,6809	-0,25	0,7661	-0,68	0,0611
Nrm	4,25	-0,54	0,3888	0,24	0,7849	-0,16	NA	-0,03	NA	0,44	0,4925	1,13	0,0782	0,13	NA	0,24	NA	1,20	0,0514
Nrp	1,36	0,12	NA	-0,15	NA	0,00	NA	0,02	NA	-0,03	0,9685	-0,04	NA	0,17	NA	0,02	NA	-0,32	NA
Nrp1	758,81	0,30	0,1857	-0,61	0,0006	-0,10	1,0000	-0,11	0,8905	0,19	0,4040	-0,62	0,0275	-0,44	0,1738	-0,40	0,2476	-0,12	0,7692
Nrp2	11,18	-0,76	0,1361	-1,04	0,0396	-0,31	NA	-0,38	0,6934	-0,71	0,1924	-0,10	0,9427	-0,07	NA	0,23	0,8796	0,63	0,3188
Nrtn	33,26	0,04	0,9486	-0,27	0,6988	-0,30	NA	-0,33	0,7468	-0,13	0,8391	0,35	0,6638	0,00	0,9975	0,68	0,1411	0,14	0,8333
Nrxn3	3,19	0,25	0,7568	0,31	0,6974	-0,08	NA	-0,11	NA	-0,72	0,2159	0,12	0,9302	-0,31	NA	-0,54	NA	-1,12	0,0855
Nsa2	140,60	-0,06	0,9012	-0,16	0,6859	0,08	1,0000	0,10	0,9330	-0,26	0,2762	-0,30	0,5900	0,21	0,7063	0,34	0,5276	0,07	0,8740
Nsd1	464,85	-0,13	0,5912	-0,77	0,0000	-0,10	1,0000	-0,04	0,9769	-0,52	0,0004	-0,89	0,0001	-0,04	0,9454	0,04	0,9616	-0,35	0,1240
Nsdhl	20,23	0,37	0,5343	0,40	0,4897	0,05	NA	-0,26	0,8528	-0,66	0,1743	0,31	0,7366	-0,11	0,9206	-0,57	0,4931	-1,00	0,0611
Nsf	70,77	0,35	0,2840	-0,08	0,9075	0,12	1,0000	-0,01	0,9939	0,40	0,1919	-0,41	0,3912	-0,26	0,6486	-0,35	0,5541	0,22	0,5477
Nsf1c	47,79	0,12	0,8175	-0,18	0,7710	-0,16	1,0000	0,02	0,9916	0,38	0,2418	-0,37	0,5485	-0,29	0,6589	-0,04	0,9849	0,34	0,3838
Nsmaf	190,95	-0,78	0,0001	-0,17	0,6739	0,06	1,0000	-0,15	0,8786	-0,63	0,0055	0,02	0,9767	0,54	0,1087	0,15	0,8472	-0,14	0,7467
Nsmce1	29,86	-0,27	0,5641	-0,25	0,6767	0,20	1,0000	-0,01	0,9940	-0,63	0,1140	0,57	0,3151	0,09	0,9307	0,40	0,6212	-0,63	0,1682
Nsmce2	56,58	-0,24	0,5068	-0,18	0,7106	-0,04	1,0000	-0,26	0,7593	-0,62	0,0301	0,35	0,5289	0,45	0,3499	0,15	0,8947	-0,15	0,7671
Nsmce4a	47,88	-0,32	0,3654	-0,31	0,4910	0,05	1,0000	0,19	0,8643	-0,29	0,5094	0,13	0,8730	0,26	0,6947	0,56	0,2735	-0,19	0,7083
Nsmf	37,31	0,11	0,8382	-0,03	0,9776	-0,06	1,0000	0,23	0,8420	0,47	0,2199	-0,42	0,5031	-0,29	0,6719	0,65	0,1711	0,61	0,1501
Nsun2	72,54	0,05	0,9228	0,07	0,9131	0,19	1,0000	0,39	0,4291	0,04	0,9276	-0,08	0,9247	-0,08	0,9223	0,07	0,9608	0,07	0,8956
Nsun3	13,78	-0,01	0,9870	-0,19	0,8146	-0,01	NA	-0,25	0,8610	0,20	0,7324	0,02	0,9873	-0,02	NA	0,21	0,8904	0,25	0,7007
Nsun4	46,71	0,04	0,9412	-0,86	0,0084	-0,05	1,0000	-0,18	0,8853	-0,07	0,8799	-0,70	0,1362	-0,03	0,9714	-0,15	0,9017	-0,01	0,9837
Nsun5	7,13	0,05	0,9605	-0,20	0,8275	-0,16	NA	-0,27	NA	0,00	0,9977	-0,05	0,9732	-0,07	NA	-0,16	0,9300	-1,08	0,0980
Nsun6	13,84	-0,17	0,8024	0,04	0,9751	-0,19	NA	0,18	0,9165	0,18	0,7471	0,02	0,9894	0,53	NA	0,24	0,8583	0,32	0,6425
Nt5c	14,94	0,19	0,7862	-0,30	0,6914	0,30	NA	-0,01	0,9965	0,11	0,8601	0,03	0,9797	-0,12	NA	-0,10	0,9582	0,02	0,9876
Nt5c1a	4,05	-0,49	0,4363	-0,24	0,7700	-0,05	NA	-0,27	NA	-1,03	0,0658	0,07	0,9525	0,15	NA	-0,16	NA	-0,65	NA
Nt5c2	138,64	0,13	0,7141	0,27	0,4602	-0,39	0,7394	-0,19	0,8387	-0,03	0,9436	0,25	0,5762	-0,34	0,4131	-0,24	0,6812	-0,30	0,2956
Nt5c3	46,48	-0,12	0,8024	-0,16	0,7698	-0,17	1,0000	-0,08	0,9684	-0,29	0,4240	0,18	0,8076	0,12	0,8822	-0,02	0,9931	-0,05	0,9236
Nt5c3b	40,66	-0,18	0,7344	-0,05	0,9554	0,07	1,0000	0,34	0,6770	0,25	0,5566	0,02	0,9885	0,13	0,8867	0,39	0,5913	0,02	0,9800
Nt5dc1	28,64	-0,01	0,9927	-0,23	0,7205	-0,03	NA	-0,08	0,9746	-0,45	0,2979	-0,23	0,8031	0,11	0,9126	-0,34	0,7266	-0,61	0,2175
Nt5dc2	45,65	0,40	0,2491	1,06	0,0001	0,21	1,0000	0,43	0,4665	1,10	0,0000	0,63	0,1237	-0,35	0,5337	-0,05	0,9790	0,58	0,0620
Nt5dc3	79,02	0,52	0,0583	-0,10	0,8590	0,13	1,0000	0,45	0,2753	0,88	0,0001	-0,31	0,5752	-0,50	0,2766	-0,14	0,8960	0,43	0,2053
Nt5e	43,69	0,73	0,0528	0,97	0,0083	0,34	1,0000	0,09	0,9745	-1,45	0,0003	0,73	0,0998	0,13	0,8732	-0,17	0,8857	-1,61	0,0001
Nt5m	19,54	0,35	0,5022	-0,44	0,5039	-0,03	NA	0,00	0,9998	-0,20	0,7454	-0,64	0,3151	-0,45	NA	-0,63	0,3821	-0,74	0,1032
Ntan1	32,77	0,00	0,9983	-0,19	0,7679	-0,10	1,0000	-0,39	0,6207	-0,36	0,3835	-0,22	0,7873	-0,18	0,8354	-0,23	0,8373	-0,16	0,7541
Nth1	2,41	-0,05	0,9584	0,35	0,6402	0,03	NA	-0,03	NA	-0,20	0,8059	0,26	0,8085	-0,03	NA	0,02	NA	-0,20	0,8301
Ntm	100,25	-0,75	0,0091	-0,59	0,1139	-0,03	1,0000	-0,03	0,9860	-0,49	0,1408	0,06	0,9371	0,49	0,2504	0,54	0,2145	0,07	0,8904
Ntmt1	9,32	0,57	0,3172	0,36	0,6417	-0,11	NA	-0,02	0,9920	0,21	0,7830	0,10	0,9359	-0,87	NA	-0,38	0,7320	-0,54	0,3930
Ntn1	20,19	-0,43	0,3631	0,24	0,7154	0,09	NA	0,12	0,9600	0,18	0,7255	0,46	0,5332	0,26	NA	0,38	0,6935	0,79	0,0505
Ntn3	6,00	-1,02	0,0365	-0,93	0,0834	0,13	NA	-0,34	0,7443	-1,23	0,0236	-0,41	NA	0,16	NA	0,13	NA	-0,14	0,8904

GeneID	CTL	ET-1 vs CTL		SAHA vs CTL		JS28 vs CTL		BSP vs CTL		JQ1 vs CTL		ET-1+SAHA vs ET1		ET-1+JS28 vs ET1		ET-1+BSP vs ET1		ET-1+JQ1 vs ET1	
	mean	log2(FC)	P-adj	log2(FC)	P-adj	log2(FC)	P-adj	log2(FC)	P-adj	log2(FC)	P-adj	log2(FC)	P-adj	log2(FC)	P-adj	log2(FC)	P-adj	log2(FC)	P-adj
Ntn4	19,64	-0,08	0,9239	-0,92	0,0521	0,20	NA	0,37	0,6891	0,33	0,5228	-0,37	0,6978	0,28	0,7386	0,83	0,1510	0,72	0,1478
Ntng2	3,94	-0,13	0,8895	0,96	0,0664	-0,15	NA	-0,35	NA	-0,81	0,1867	1,23	0,0424	0,06	NA	-0,06	NA	-0,52	0,5183
Ntpr	12,59	0,06	0,9446	0,44	0,4994	0,06	NA	0,18	0,9222	-0,86	0,1191	0,33	0,7219	-0,49	NA	-0,27	0,8432	-1,05	0,0604
Nuak1	127,20	1,75	0,0000	-0,01	0,9867	0,07	1,0000	-0,07	0,9742	0,82	0,0049	-1,18	0,0001	-1,37	0,0000	-1,40	0,0000	-0,22	0,5095
Nub1	120,65	-0,29	0,2748	0,33	0,2397	0,00	1,0000	0,21	0,7551	0,30	0,1787	0,34	0,4604	0,02	0,9784	0,21	0,7677	0,31	0,3261
Nubp1	20,95	0,17	0,7918	-0,41	0,5122	-0,26	NA	-0,12	0,9626	0,60	0,1450	-0,60	0,3700	-0,64	NA	-0,12	0,9425	0,65	0,1135
Nubp2	17,04	0,52	0,2533	0,22	0,7739	0,16	NA	0,40	0,6440	0,55	0,2134	-0,29	0,7501	-0,44	NA	-0,07	0,9726	0,41	0,4016
Nubpl	15,61	-0,37	0,4815	0,25	0,7214	0,01	NA	-0,06	0,9834	-1,17	0,0093	0,54	0,4580	0,29	NA	-0,09	0,9616	-0,53	0,3928
Nucb1	134,40	-0,14	0,6520	0,01	0,9804	0,17	1,0000	-0,17	0,8334	-0,16	0,5242	0,31	0,4554	-0,09	0,8932	-0,23	0,7033	0,06	0,8746
Nucb2	7,46	-0,23	0,7676	0,38	0,5916	-0,15	NA	-0,22	0,8903	-1,11	0,0458	0,48	0,6019	-0,44	NA	-0,27	0,8511	-0,28	0,7305
Nucks1	379,03	0,35	0,0291	-0,48	0,0091	-0,34	0,5167	-0,26	0,4802	-0,52	0,0013	-0,53	0,0348	-0,24	0,5236	-0,72	0,0009	-0,65	0,0044
Nudc	64,89	0,04	0,9405	0,47	0,1929	0,14	1,0000	0,06	0,9798	0,09	0,8507	0,04	0,9637	-0,13	0,8646	0,15	0,8790	-0,10	0,8374
Nudcd1	24,42	0,95	0,0037	1,25	0,0004	0,38	NA	0,11	0,9628	-0,20	0,7555	0,58	0,2263	-0,43	0,4801	-0,64	0,2828	-0,53	0,2727
Nudcd2	57,62	0,63	0,0105	0,48	0,1848	0,13	1,0000	0,03	0,9855	-0,55	0,1040	0,22	0,7139	0,04	0,9605	-0,30	0,6550	-0,76	0,0325
Nudcd3	235,46	-0,01	0,9824	-0,15	0,6558	0,05	1,0000	0,10	0,9199	0,13	0,5874	-0,03	0,9685	0,05	0,9466	0,05	0,9753	0,17	0,6692
Nudt1	4,88	-0,32	0,6640	-0,24	0,7842	-0,08	NA	-0,17	NA	-0,71	0,2594	-0,04	0,9789	0,06	NA	-0,32	NA	-0,50	0,5398
Nudt10	5,28	0,04	0,9681	0,05	0,9706	0,07	NA	-0,09	NA	0,25	0,7306	0,04	0,9805	0,24	NA	0,45	0,6658	0,44	0,5482
Nudt11	9,27	0,16	0,8409	0,54	0,3849	0,36	NA	0,54	0,4264	0,41	0,4832	0,30	0,7672	0,38	NA	0,24	0,8659	0,46	0,4517
Nudt12	13,71	0,07	0,9366	-0,11	0,9062	-0,02	NA	-0,54	0,4283	-1,21	0,0182	-0,09	0,9404	-0,06	NA	-0,76	0,2967	-1,63	0,0028
Nudt13	14,71	0,30	0,6158	-0,09	0,9237	-0,10	NA	0,17	0,9264	-0,02	0,9757	0,08	0,9426	0,02	NA	0,05	0,9882	-0,66	0,2361
Nudt14	2,96	-0,07	0,9412	0,12	0,9044	-0,08	NA	-0,25	NA	-0,06	0,9513	0,23	0,8400	0,18	NA	-0,11	NA	-0,50	0,5317
Nudt16	8,23	-0,18	0,8128	-0,11	0,9119	0,02	NA	0,01	0,9972	0,00	0,9972	0,25	0,8269	-0,04	NA	0,07	0,9784	0,63	0,2837
Nudt16l1	19,69	-0,24	0,6673	0,20	0,7737	-0,12	NA	-0,33	0,7468	0,17	0,7664	0,11	0,9231	-0,09	NA	0,18	0,9023	0,26	0,6390
Nudt18	14,57	0,78	0,1017	0,39	0,5662	0,29	NA	0,50	0,4992	0,61	0,2151	-0,34	0,7155	-0,51	NA	-0,09	0,9630	-0,13	0,8635
Nudt19	58,40	0,32	0,4314	-0,35	0,3936	-0,08	1,0000	-0,35	0,6070	-0,83	0,0036	-0,15	0,8481	0,04	0,9664	0,02	0,9936	-0,80	0,0319
Nudt2	11,24	0,21	0,7657	0,63	0,2668	0,05	NA	0,06	0,9853	0,27	0,6794	0,73	0,2525	-0,24	NA	0,22	0,8830	-0,17	0,8174
Nudt21	32,35	-0,14	0,7894	0,04	0,9626	0,03	1,0000	0,03	0,9860	-0,07	0,8951	0,03	0,9757	0,14	0,8813	0,40	0,6064	0,03	0,9674
Nudt22	6,45	0,61	0,2952	0,29	0,7352	0,11	NA	0,10	NA	0,59	0,3401	-0,03	0,9869	-0,12	NA	-0,10	0,9608	-0,33	0,6579
Nudt3	133,11	-0,42	0,0533	-0,23	0,4709	0,24	1,0000	0,18	0,7987	-0,23	0,4272	0,26	0,5858	0,28	0,5303	0,45	0,2639	0,21	0,6692
Nudt4	214,58	-0,86	0,0000	-0,54	0,0258	0,04	1,0000	0,25	0,6218	0,38	0,0539	0,24	0,6277	0,61	0,0543	0,98	0,0000	1,00	0,0000
Nudt5	26,37	0,49	0,2467	0,77	0,0483	0,38	NA	0,28	0,7987	0,35	0,4135	0,33	0,6563	-0,45	0,4936	-0,50	0,5081	-0,18	0,7507
Nudt6	6,65	-0,04	0,9678	0,15	0,8782	0,07	NA	-0,02	0,9925	0,52	0,3869	0,29	0,7893	-0,04	NA	-0,08	0,9734	-0,25	0,7692
Nudt7	34,01	-0,58	0,1110	0,18	0,7579	-0,09	1,0000	-0,20	0,8797	-0,74	0,0391	0,70	0,1896	0,44	0,4872	0,05	0,9852	-0,64	0,2241
Nudt8	13,25	0,44	0,4183	0,75	0,1276	0,28	NA	0,03	0,9860	0,62	0,1952	0,21	0,8384	-0,27	NA	0,30	0,7986	0,02	0,9884
Nudt9	28,92	-0,40	0,4048	-0,14	0,8544	-0,12	1,0000	-0,31	0,7688	-0,11	0,8403	0,23	0,7927	-0,09	0,9354	0,00	1,0000	0,31	0,5414
Nuf2	3,00	-0,42	0,5323	-0,40	0,5794	-0,06	NA	-0,26	NA	-0,98	0,0911	-0,34	NA	0,04	NA	0,01	NA	-0,40	NA
Nufip1	18,47	-0,06	0,9324	0,22	0,7541	-0,11	NA	0,10	0,9656	-0,11	0,8552	0,40	0,6224	-0,09	NA	0,29	0,7989	0,27	0,6374
Nufip2	554,26	0,06	0,8449	0,12	0,7429	-0,02	1,0000	0,26	0,5555	0,20	0,3574	0,17	0,6710	0,30	0,3437	0,13	0,8179	0,20	0,5709
Numa1	336,02	-0,52	0,0294	-0,83	0,0000	-0,10	1,0000	0,00	0,9988	-0,21	0,3870	-0,86	0,0059	0,10	0,8865	0,20	0,7790	0,18	0,6703
Numb	53,21	-0,02	0,9783	0,14	0,7803	-0,24	1,0000	-0,08	0,9634	0,32	0,3136	0,00	0,9993	0,00	0,9975	-0,10	0,9487	0,46	0,2750
Numb1	19,19	0,03	0,9742	-0,05	0,9566	0,23	NA	-0,03	0,9895	0,31	0,5567	-0,34	0,7116	-0,18	NA	-0,43	0,6740	0,15	0,8319
Nup107	32,44	0,14	0,8096	-0,21	0,7474	0,00	NA	-0,16	0,9305	0,02	0,9721	-0,18	0,8292	-0,10	0,9102	-0,13	0,9215	-0,06	0,9280
Nup133	69,72	-0,10	0,8089	0,31	0,3869	0,03	1,0000	0,14	0,9084	-0,14	0,6953	0,18	0,7856	-0,09	0,9089	0,10	0,9300	-0,15	0,7084
Nup153	159,08	0,28	0,2220	-0,04	0,9369	0,02	1,0000	0,08	0,9516	0,31	0,1496	-0,24	0,5892	-0,25	0,5602	-0,24	0,6506	0,09	0,8288
Nup155	142,97	-0,20	0,4697	-0,10	0,8201	0,11	1,0000	-0,12	0,9211	-0,70	0,0007	-0,10	0,8772	0,22	0,6445	-0,05	0,9712	-0,26	0,3623

GeneID	CTL	ET-1 vs CTL		SAHA vs CTL		JS28 vs CTL		BSP vs CTL		JQ1 vs CTL		ET-1+SAHA vs ET1		ET-1+JS28 vs ET1		ET-1+BSP vs ET1		ET-1+JQ1 vs ET1	
	mean	log2(FC)	P-adj	log2(FC)	P-adj	log2(FC)	P-adj	log2(FC)	P-adj	log2(FC)	P-adj	log2(FC)	P-adj	log2(FC)	P-adj	log2(FC)	P-adj	log2(FC)	P-adj
Nup160	52,01	0,11	0,8024	0,23	0,6189	-0,01	1,0000	0,42	0,4092	0,34	0,2704	-0,02	0,9826	0,08	0,9263	0,23	0,7865	0,22	0,5673
Nup188	92,90	0,46	0,0467	-0,24	0,5719	-0,03	1,0000	-0,01	0,9932	0,28	0,3771	-0,80	0,0129	-0,85	0,0064	-0,50	0,2103	-0,19	0,5556
Nup205	73,61	0,14	0,7133	-0,04	0,9497	-0,07	1,0000	-0,13	0,9306	0,02	0,9716	0,07	0,9325	-0,28	0,6185	-0,19	0,8262	-0,21	0,5945
Nup210	8,71	-0,56	0,3596	0,40	0,5892	-0,10	NA	0,04	0,9853	-0,46	0,4986	1,03	0,0998	0,34	NA	0,21	0,9017	-0,17	0,8464
Nup210l	1,80	0,10	NA	-0,13	0,8821	-0,10	NA	-0,09	NA	0,45	0,5222	-0,30	NA	-0,23	NA	-0,18	NA	-0,05	0,9636
Nup214	112,01	-0,27	0,3187	-0,08	0,8631	-0,04	1,0000	-0,12	0,9213	0,30	0,1828	0,05	0,9459	-0,06	0,9358	-0,13	0,8915	0,63	0,0195
Nup35	6,40	0,07	0,9386	0,01	0,9958	-0,02	NA	0,03	NA	0,15	0,8504	-0,20	0,8668	-0,02	NA	0,17	0,9251	0,34	0,6619
Nup37	10,39	0,02	0,9858	-0,24	0,7729	-0,12	NA	-0,64	0,2407	-1,38	0,0079	-0,35	0,7285	0,12	NA	-0,57	0,5222	-1,54	0,0069
Nup43	15,08	0,20	0,7734	0,51	0,3821	0,03	NA	0,04	0,9853	0,39	0,4496	0,52	0,4661	-0,12	NA	-0,04	0,9911	0,11	0,8884
Nup50	52,00	0,42	0,1701	0,19	0,7310	-0,06	1,0000	0,08	0,9701	0,38	0,2256	0,00	0,9989	-0,39	0,4567	-0,14	0,9023	0,34	0,3368
Nup54	36,60	0,54	0,1785	0,21	0,7687	0,00	NA	0,08	0,9746	-0,16	0,7779	-0,51	0,3886	-0,32	0,6232	-0,03	0,9918	-0,43	0,3031
Nup62	30,79	0,67	0,0982	0,03	0,9804	0,04	NA	-0,04	0,9853	-0,09	0,8899	-0,57	0,3528	-0,73	0,1653	-0,72	0,2211	-0,55	0,3221
Nup85	45,43	-0,13	0,7899	-0,89	0,0098	-0,07	1,0000	-0,11	0,9498	-0,21	0,6168	-0,41	0,4906	-0,26	0,7036	0,00	0,9993	-0,31	0,4761
Nup88	166,00	0,07	0,8219	0,05	0,9194	-0,02	1,0000	0,03	0,9853	-0,05	0,8579	-0,08	0,9046	0,00	0,9963	-0,03	0,9854	0,03	0,9348
Nup93	85,78	0,27	0,3397	0,51	0,0575	-0,01	1,0000	-0,09	0,9574	0,06	0,8811	0,33	0,4567	-0,26	0,6103	-0,15	0,8567	-0,04	0,9470
Nup98	216,38	0,14	0,6387	0,15	0,6675	-0,12	1,0000	0,02	0,9860	0,30	0,1066	-0,01	0,9832	-0,18	0,7128	-0,11	0,8857	0,43	0,0564
Nupl1	64,72	0,38	0,1617	-0,14	0,7976	-0,17	1,0000	0,00	0,9997	0,26	0,4182	-0,40	0,4110	-0,16	0,8123	-0,26	0,7075	-0,15	0,7441
Nupl2	23,86	-0,01	0,9935	-0,02	0,9836	-0,26	NA	-0,10	0,9650	-0,46	0,3522	0,12	0,9072	0,00	0,9969	-0,32	0,7578	-0,37	0,5277
Nupr1	3,58	0,72	0,1974	-0,37	0,5075	-0,01	NA	-0,14	NA	-0,03	0,9723	-0,72	0,3204	-0,46	NA	-0,77	NA	-1,43	0,0189
Nus1	68,94	0,26	0,4591	0,30	0,4785	0,10	1,0000	0,05	0,9817	0,23	0,5719	0,34	0,4662	0,09	0,9038	-0,04	0,9854	-0,01	0,9884
Nusap1	4,09	-0,49	0,4496	0,18	0,8510	0,00	NA	-0,13	NA	-0,15	0,8536	0,32	0,7567	0,37	NA	0,05	NA	0,00	0,9988
Nutf2	15,86	-0,20	0,7504	0,04	0,9730	-0,28	NA	0,13	0,9498	0,87	0,0249	0,74	0,2161	0,40	NA	0,25	0,8466	1,12	0,0076
Nvl	78,26	0,26	0,4149	0,35	0,3142	0,19	1,0000	0,37	0,4681	0,23	0,5033	-0,31	0,5548	-0,14	0,8392	-0,09	0,9416	-0,02	0,9746
Nwd1	2,01	-0,55	NA	-0,15	0,8611	0,12	NA	-0,18	NA	-0,82	0,1440	0,13	NA	0,17	NA	-0,09	NA	0,16	NA
Nxf1	137,85	-0,24	0,3830	-0,50	0,0554	0,15	1,0000	0,14	0,8917	0,64	0,0015	-0,20	0,7031	0,30	0,4921	0,16	0,8309	0,79	0,0003
Nxf3	15,58	-0,43	0,4422	0,70	0,1397	0,34	NA	0,49	0,4968	-0,71	0,1535	1,24	0,0116	0,92	NA	0,74	0,2646	-0,33	0,6491
Nxn	27,35	0,16	0,7727	0,17	0,7976	0,10	NA	0,10	0,9657	0,71	0,0326	0,13	0,8874	-0,34	0,6335	0,12	0,9328	0,67	0,1060
Nxpe3	13,49	0,37	0,5598	0,78	0,1292	0,12	NA	0,14	0,9498	0,42	0,4461	0,53	0,4661	0,00	NA	-0,15	0,9313	0,46	0,4237
Nxpe4	9,19	0,12	0,8903	0,41	0,5560	0,21	NA	-0,21	0,8947	-0,74	0,2196	0,35	0,7183	-0,08	NA	-0,39	0,7253	-0,40	0,5709
Nxph3	1,31	-0,03	NA	0,21	0,7802	-0,08	NA	-0,12	NA	-0,28	NA	0,28	NA	-0,09	NA	-0,19	NA	-0,48	NA
Nxt1	9,27	0,30	0,6579	0,34	0,6565	0,15	NA	-0,11	0,9634	0,53	0,3730	0,18	0,8772	-0,19	NA	0,10	0,9616	0,03	0,9765
Nxt2	18,28	-0,09	0,8993	-0,27	0,7003	-0,01	NA	0,09	0,9717	0,01	0,9944	0,09	0,9375	0,33	NA	0,09	0,9646	0,09	0,9138
Nyap1	5,98	-0,64	0,2683	0,79	0,1324	0,20	NA	-0,43	NA	-0,58	0,3554	1,05	0,1076	0,27	NA	-0,13	NA	-0,68	0,3615
Nynrin	151,23	-0,69	0,0060	-0,46	0,1529	-0,21	1,0000	-0,55	0,1293	-1,77	0,0000	-0,15	0,8255	-0,03	0,9726	-0,10	0,9242	-1,50	0,0002
Oard1	22,76	-0,67	0,0873	-0,15	0,8311	-0,13	NA	-0,05	0,9853	-0,21	0,6671	0,51	0,4705	0,41	NA	0,57	0,4705	0,51	0,3458
Oat	184,20	0,26	0,3850	-0,79	0,0001	0,05	1,0000	-0,05	0,9753	-0,07	0,8077	-0,56	0,1387	-0,04	0,9629	-0,02	0,9918	-0,31	0,4658
Oaz2	99,07	0,09	0,8380	0,30	0,4406	0,02	1,0000	0,11	0,9430	0,50	0,0572	0,31	0,5109	-0,44	0,3199	0,21	0,7839	0,48	0,1013
Obfc1	15,70	-0,47	0,3904	-0,35	0,6229	-0,01	NA	-0,06	0,9853	-0,08	0,9020	0,14	0,9048	-0,02	NA	-0,09	0,9633	0,18	0,7958
Obscn	1574,06	-0,40	0,0956	-0,60	0,0091	-0,55	0,0762	-0,61	0,0135	-1,30	0,0013	-0,48	0,1390	-0,41	0,2151	-0,28	0,5115	-1,14	0,0040
Obsl1	184,66	-0,33	0,2447	-0,60	0,0309	0,05	1,0000	-0,21	0,7889	-0,75	0,0072	-0,66	0,0551	-0,15	0,7939	0,10	0,9098	-0,43	0,2308
Ocel1	20,27	0,12	0,8411	-1,32	0,0023	-0,27	NA	0,07	0,9805	0,96	0,0070	-1,41	0,0068	-0,29	NA	0,30	0,7790	1,00	0,0045
Ociad1	291,94	0,32	0,0878	-0,08	0,8179	-0,20	1,0000	-0,03	0,9853	0,16	0,4315	-0,18	0,7002	-0,17	0,7015	-0,09	0,9144	-0,01	0,9773
Ociad2	7,35	-0,82	0,1046	-0,27	0,7412	0,25	NA	-0,28	0,8318	-1,06	0,0474	0,38	0,7155	0,48	NA	0,08	NA	-0,29	0,7391
Ocrl	70,85	-0,09	0,8349	0,04	0,9538	-0,10	1,0000	-0,01	0,9925	0,32	0,2442	0,10	0,8981	-0,03	0,9765	0,02	0,9931	0,05	0,9230
Odc1	57,33	1,80	0,0000	0,02	0,9822	-0,26	NA	0,42	0,5917	0,92	0,0078	-1,19	0,0005	-1,53	0,0000	-1,00	0,0059	-0,24	0,6340

GeneID	CTL	ET-1 vs CTL		SAHA vs CTL		JS28 vs CTL		BSP vs CTL		JQ1 vs CTL		ET-1+SAHA vs ET1		ET-1+JS28 vs ET1		ET-1+BSP vs ET1		ET-1+JQ1 vs ET1	
	mean	log2(FC)	P-adj	log2(FC)	P-adj	log2(FC)	P-adj	log2(FC)	P-adj	log2(FC)	P-adj	log2(FC)	P-adj	log2(FC)	P-adj	log2(FC)	P-adj	log2(FC)	P-adj
Odf2	90,62	-0,33	0,2317	0,44	0,1173	0,14	1,0000	0,03	0,9853	0,10	0,7764	0,19	0,7592	0,12	0,8558	0,22	0,7779	0,08	0,8598
Odf2l	24,70	-0,02	0,9758	0,62	0,1147	0,21	NA	0,02	0,9901	-0,55	0,2144	0,12	0,9046	0,41	0,5240	-0,07	0,9730	-0,46	0,3457
Odf1	51,90	0,10	0,8602	-0,19	0,7298	-0,08	1,0000	0,02	0,9901	-0,36	0,3020	-0,30	0,6736	0,09	0,9243	-0,24	0,8095	-0,06	0,9261
Ogdh	776,59	0,37	0,1890	0,02	0,9799	-0,06	1,0000	0,09	0,9437	0,34	0,1122	-0,09	0,8805	-0,10	0,8788	0,16	0,8307	0,12	0,7271
Ogdhl	32,96	-0,47	0,2912	1,16	0,0004	0,24	1,0000	-0,55	0,3507	-1,32	0,0005	1,16	0,0042	0,41	0,5212	-0,30	0,7834	-0,99	0,0406
Ogfod1	135,50	0,35	0,2004	0,10	0,8563	-0,11	1,0000	-0,08	0,9634	0,04	0,9221	-0,05	0,9440	-0,22	0,6588	-0,53	0,1508	-0,31	0,3278
Ogfod2	11,58	-0,41	0,4934	-0,36	0,6262	-0,43	NA	-0,35	0,7421	-0,07	0,9203	0,03	0,9805	-0,05	NA	0,13	0,9480	0,36	0,6013
Ogfod3	12,04	0,29	0,6723	0,04	0,9730	0,01	NA	0,18	0,9213	0,15	0,8212	0,24	0,8135	0,10	NA	-0,16	0,9234	-0,21	0,7744
Ogfr	70,71	0,18	0,6346	-0,30	0,4737	0,03	1,0000	-0,06	0,9798	0,68	0,0040	-0,80	0,0350	-0,37	0,4626	0,10	0,9300	0,39	0,2052
Ogfrl1	83,83	-0,94	0,0000	-0,15	0,7218	-0,37	0,7849	0,62	0,0175	0,56	0,0056	0,59	0,1826	0,31	0,5958	0,70	0,0869	1,05	0,0009
Ogg1	8,78	-0,09	0,9141	0,35	0,6221	-0,05	NA	0,05	0,9853	-0,08	0,9152	0,31	0,7647	-0,08	NA	0,05	0,9892	0,45	0,5258
Ogn	6,30	0,14	0,8788	0,13	0,8974	0,22	NA	-0,48	NA	-1,10	0,0539	0,13	0,9226	-0,06	NA	-0,89	NA	-1,82	0,0019
Ogt	321,20	-0,18	0,5831	-0,29	0,4052	0,05	1,0000	0,23	0,7444	0,12	0,7097	-0,09	0,8705	0,41	0,1846	0,11	0,8739	-0,02	0,9720
Oip5	1,88	0,13	NA	0,39	0,5606	0,01	NA	0,07	NA	-0,28	0,6956	-0,17	NA	0,17	NA	-0,20	NA	-0,35	NA
Ola1	76,50	0,63	0,0065	0,39	0,2431	-0,15	1,0000	0,03	0,9853	-0,04	0,9363	-0,26	0,6340	-0,36	0,4503	-0,32	0,5884	-0,33	0,3439
Olfm1	16,54	-0,48	0,4069	0,25	0,7429	0,09	NA	0,04	0,9853	-0,29	0,6332	0,16	0,8921	0,37	NA	0,51	0,5831	-0,06	0,9514
Olfml2b	29,91	0,19	0,7331	0,04	0,9665	-0,15	NA	-0,99	0,0099	-2,63	0,0000	0,26	0,7435	0,17	0,8416	-0,51	0,4967	-2,63	0,0000
Olfml3	2,60	-0,57	0,3256	-0,42	0,5149	-0,22	NA	-0,32	NA	-0,11	0,8928	0,09	NA	0,07	NA	0,32	NA	-0,07	NA
Olfm608	1,25	-0,54	NA	-0,27	0,6988	0,01	NA	-0,18	NA	-0,72	0,1746	-0,04	NA	0,07	NA	0,09	NA	0,01	NA
Olfm920	1,59	-0,20	NA	-0,12	0,8933	-0,07	NA	-0,26	NA	-0,18	0,8193	-0,24	NA	-0,01	NA	0,11	NA	-0,17	NA
Olr1	2,24	0,17	NA	-0,33	0,6014	-0,06	NA	-0,12	NA	0,78	0,2126	0,15	0,8988	-0,33	NA	-0,14	NA	0,93	0,1776
Oma1	37,07	0,02	0,9754	-0,33	0,5335	0,01	1,0000	0,46	0,3898	0,60	0,0587	-0,31	0,6689	0,12	0,8876	0,56	0,2807	0,74	0,0161
Onecut2	5,55	0,44	0,5118	1,42	0,0015	-0,25	NA	-0,26	NA	0,06	0,9444	0,87	0,1963	-0,38	NA	-0,54	0,5606	-0,12	0,8951
Opa1	309,98	0,14	0,5898	-0,14	0,6668	-0,05	1,0000	-0,18	0,7687	-0,70	0,0000	-0,08	0,8745	0,05	0,9390	-0,25	0,5841	-0,62	0,0167
Opa3	35,88	0,07	0,9084	-0,43	0,4028	-0,25	1,0000	-0,24	0,8507	0,37	0,4381	-0,34	0,6364	-0,05	0,9593	-0,01	0,9980	0,55	0,2422
Opcml	6,03	-0,57	0,3418	0,61	0,2979	-0,09	NA	-0,75	NA	-1,50	0,0047	1,23	0,0397	0,04	NA	-0,29	NA	-0,18	0,8509
Ophn1	42,41	-0,61	0,0386	0,12	0,8300	0,00	1,0000	-0,07	0,9769	-0,02	0,9717	0,62	0,2032	0,61	0,1973	0,31	0,7125	0,10	0,8495
Oplah	7,79	-0,04	0,9702	-0,40	0,5929	0,23	NA	0,63	0,2674	1,09	0,0116	-0,43	0,6583	0,14	NA	0,57	0,5180	0,79	0,1537
Opn3	8,64	0,22	0,7697	-0,21	0,8121	-0,10	NA	-0,10	0,9654	-0,60	0,3303	-0,67	0,3939	0,02	NA	-0,25	0,8609	-0,34	0,6382
Opn4	2,97	0,16	0,8452	0,86	0,1143	0,13	NA	-0,29	NA	-0,60	0,3313	1,04	0,1166	0,31	NA	-0,38	NA	-0,27	0,7671
Oprd1	3,41	-1,21	0,0085	-0,67	0,2577	-0,18	NA	-0,27	NA	-1,46	0,0056	0,02	NA	0,35	NA	0,01	NA	0,01	NA
Optn	56,56	0,14	0,7392	-0,09	0,8881	0,35	0,9896	0,18	0,8797	0,19	0,5913	-0,53	0,2726	0,12	0,8788	0,00	0,9990	0,02	0,9773
Orai1	18,17	-0,07	0,9315	0,26	0,6988	0,06	NA	0,57	0,3088	0,96	0,0036	0,14	0,9049	0,11	NA	0,55	0,4821	1,15	0,0046
Orai2	4,43	-0,02	0,9851	0,96	0,0648	-0,04	NA	-0,19	NA	-0,62	0,3503	0,81	0,2619	-0,16	NA	-0,31	NA	-0,87	0,2115
Orai3	18,69	-0,34	0,5612	0,13	0,8695	0,21	NA	0,32	0,7392	0,06	0,9204	0,06	0,9627	-0,01	NA	0,28	0,8274	0,65	0,2261
Oraov1	18,99	0,34	0,5326	0,05	0,9626	0,10	NA	0,15	0,9422	-0,03	0,9673	-0,17	0,8660	-0,31	NA	-0,03	0,9918	-0,09	0,8956
Orc1	1,59	0,10	NA	0,24	0,7397	-0,02	NA	0,05	NA	-0,18	0,8003	0,04	NA	0,04	NA	-0,16	NA	-0,21	NA
Orc2	54,64	0,60	0,0224	0,25	0,5988	0,16	1,0000	0,26	0,7560	0,05	0,9163	-0,22	0,7285	-0,09	0,9052	-0,36	0,5761	-0,52	0,2371
Orc3	77,87	0,11	0,7839	0,12	0,8162	0,01	1,0000	0,20	0,8353	-0,39	0,1735	0,23	0,6763	0,36	0,4286	-0,06	0,9612	-0,46	0,1249
Orc4	109,28	0,13	0,6750	0,02	0,9776	-0,07	1,0000	0,36	0,3573	0,11	0,7779	0,19	0,7138	0,29	0,4981	0,20	0,7601	-0,05	0,9226
Orc5	55,76	0,27	0,4363	-0,24	0,6232	-0,19	1,0000	-0,04	0,9853	-0,14	0,7471	-0,46	0,3696	-0,20	0,7705	-0,30	0,6831	-0,08	0,8914
Orc6	16,44	0,01	0,9927	0,17	0,8275	-0,09	NA	0,24	0,8662	0,19	0,7387	0,50	0,5083	0,51	NA	0,20	0,8927	0,33	0,6037
Ormdl1	32,82	0,44	0,2395	0,08	0,9161	0,27	NA	0,29	0,7605	-0,04	0,9391	-0,07	0,9398	0,00	0,9989	0,09	0,9494	-0,39	0,3940
Ormdl2	13,34	0,30	0,6352	-0,15	0,8638	-0,09	NA	0,11	0,9634	0,28	0,6398	-0,22	0,8382	-0,21	NA	-0,32	0,7912	0,14	0,8522
Ormdl3	87,28	0,13	0,7266	0,21	0,6108	-0,16	1,0000	-0,10	0,9500	0,40	0,1537	0,12	0,8442	-0,36	0,4640	0,09	0,9300	0,33	0,2708

GeneID	CTL	ET-1 vs CTL		SAHA vs CTL		JS28 vs CTL		BSP vs CTL		JQ1 vs CTL		ET-1+SAHA vs ET1		ET-1+JS28 vs ET1		ET-1+BSP vs ET1		ET-1+JQ1 vs ET1	
	mean	log2(FC)	P-adj	log2(FC)	P-adj	log2(FC)	P-adj	log2(FC)	P-adj	log2(FC)	P-adj	log2(FC)	P-adj	log2(FC)	P-adj	log2(FC)	P-adj	log2(FC)	P-adj
Os9	75,55	-0,28	0,3360	0,53	0,0445	0,19	1,0000	0,29	0,6234	1,00	0,0000	0,31	0,5545	0,28	0,5958	0,36	0,5440	0,99	0,0001
Osbp	221,57	-0,03	0,9485	-0,39	0,1283	-0,16	1,0000	-0,09	0,9426	-0,13	0,6127	-0,14	0,8018	-0,01	0,9869	0,17	0,7971	0,11	0,7319
Osbp2	5,03	-0,44	0,5178	0,73	0,2101	0,39	NA	0,21	0,8903	0,39	0,5601	0,74	0,3294	0,46	NA	0,47	NA	0,75	0,2897
Osbpl10	8,62	-0,51	0,3888	0,15	0,8697	0,13	NA	0,39	0,6765	0,34	0,5773	0,04	0,9771	0,25	NA	0,20	0,9023	0,69	0,2583
Osbpl11	48,62	0,18	0,6969	-0,17	0,7649	0,01	1,0000	0,03	0,9853	0,33	0,2766	-0,16	0,8392	0,05	0,9552	0,15	0,9023	0,11	0,8356
Osbpl1a	104,07	-0,38	0,2080	-0,38	0,2156	-0,24	1,0000	-0,28	0,6299	-0,71	0,0014	-0,14	0,8465	0,15	0,8268	0,07	0,9606	-0,64	0,0771
Osbpl2	120,06	-0,05	0,8899	0,17	0,6668	0,06	1,0000	0,00	0,9988	0,42	0,0394	0,27	0,5412	-0,14	0,8163	0,24	0,6741	0,48	0,0242
Osbpl3	63,19	-0,03	0,9592	0,27	0,5337	-0,08	1,0000	-0,09	0,9626	-0,30	0,4105	0,51	0,2687	0,24	0,7036	0,22	0,8151	-0,15	0,7709
Osbpl5	77,55	-0,42	0,1437	-0,46	0,1733	0,12	1,0000	0,01	0,9928	-0,27	0,3820	-0,32	0,5718	-0,05	0,9535	0,48	0,3128	0,01	0,9821
Osbpl6	41,34	-0,07	0,9096	0,39	0,3477	0,03	1,0000	0,53	0,2253	0,95	0,0003	0,17	0,8402	-0,13	0,8885	0,79	0,0819	0,97	0,0029
Osbpl7	15,42	0,17	0,7953	0,42	0,4790	0,16	NA	0,10	0,4713	0,37	0,4772	0,04	0,9738	-0,23	NA	0,08	0,9681	0,09	0,9107
Osbpl8	591,45	-0,52	0,0221	-0,34	0,1487	-0,02	1,0000	-0,06	0,9634	-0,35	0,0799	0,20	0,7139	0,50	0,1542	0,27	0,6262	0,03	0,9604
Osbpl9	278,46	0,42	0,0293	0,11	0,7681	-0,06	1,0000	0,09	0,9399	-0,32	0,1201	0,05	0,9281	-0,18	0,6786	-0,26	0,5761	-0,61	0,0161
Oscp1	2,40	0,04	0,9632	0,34	0,6617	-0,01	NA	-0,03	NA	-0,60	0,3282	-0,06	0,9658	0,07	NA	0,07	NA	-0,81	NA
Oser1	9,73	0,01	0,9884	0,17	0,8506	-0,12	NA	-0,11	0,9634	0,46	0,4216	0,27	0,8005	-0,03	NA	0,16	0,9292	0,23	0,7671
Osgep	15,47	-0,35	0,5360	-0,29	0,6881	0,05	NA	0,03	0,9855	-0,11	0,8523	-0,21	0,8431	0,19	NA	0,33	0,7806	0,37	0,5172
Osgep1	48,33	-0,10	0,8794	0,01	0,9946	-0,05	1,0000	0,08	0,9681	-0,80	0,0114	0,38	0,5845	0,38	0,5479	0,44	0,5540	-0,26	0,6542
Osgin1	2,41	-0,48	0,4319	-0,28	0,7216	0,06	NA	-0,31	NA	0,22	0,7860	-0,20	NA	0,14	NA	-0,09	NA	-0,18	NA
Osgin2	19,41	0,57	0,2133	0,13	0,8895	0,25	NA	0,27	0,8351	0,62	0,1803	-0,78	0,1970	-0,09	0,9337	0,09	0,9572	0,45	0,3249
Osmr	41,76	1,59	0,0000	-0,38	0,5658	0,02	NA	-0,51	0,4738	0,61	0,2333	-1,61	0,0000	-1,41	0,0001	-2,08	0,0000	-0,53	0,1594
Osr1	14,62	-0,02	0,9874	-0,83	0,1301	-0,35	NA	-0,61	0,2969	-0,63	0,2620	-1,01	0,1232	-0,57	NA	-0,70	0,3796	-0,86	0,1695
Ost4	64,99	0,33	0,3141	-0,33	0,4455	0,00	1,0000	-0,07	0,9746	0,23	0,5044	0,21	0,7375	-0,17	0,8103	-0,23	0,7839	0,03	0,9528
Ostc	69,12	0,70	0,0065	-0,59	0,0964	-0,26	1,0000	-0,02	0,9901	0,18	0,6355	-0,57	0,1849	-0,38	0,4532	-0,37	0,5483	-0,26	0,5362
Ostf1	30,83	-0,01	0,9851	-0,02	0,9804	0,06	1,0000	-0,26	0,8318	0,34	0,3899	0,12	0,8954	0,19	0,8175	-0,42	0,6012	0,28	0,5217
Ostm1	85,39	0,02	0,9700	0,17	0,7349	0,24	1,0000	0,32	0,6159	0,02	0,9593	0,38	0,4493	0,45	0,3216	0,07	0,9590	0,18	0,7136
Otub1	103,92	0,31	0,2610	-0,25	0,4817	0,07	1,0000	-0,01	0,9972	0,36	0,1417	-0,24	0,6619	-0,11	0,8828	-0,01	0,9966	0,14	0,7057
Otub2	29,79	0,89	0,0104	0,70	0,1068	0,07	NA	-0,61	0,3025	-0,99	0,0265	-0,01	0,9955	-0,65	0,2207	-1,11	0,0149	-1,43	0,0003
Otud1	46,96	0,73	0,0548	0,27	0,6874	-0,01	1,0000	0,21	0,8937	0,90	0,0095	-0,46	0,3966	-0,50	0,3381	-0,29	0,7336	0,70	0,0393
Otud3	11,17	-0,09	0,9141	-0,18	0,8332	0,02	NA	0,28	0,8294	0,77	0,0706	-0,42	0,6470	-0,04	NA	0,81	0,1878	0,95	0,0293
Otud4	571,64	-0,14	0,4651	-0,35	0,0534	-0,06	1,0000	0,05	0,9701	-0,08	0,7142	-0,15	0,7080	0,21	0,5448	-0,03	0,9753	0,03	0,9293
Otud5	104,99	-0,02	0,9635	-0,05	0,9213	-0,04	1,0000	0,03	0,9853	0,45	0,1003	0,05	0,9402	-0,13	0,8430	0,06	0,9563	0,61	0,0609
Otud6b	97,56	0,30	0,3014	0,06	0,9075	-0,06	1,0000	-0,07	0,9684	-0,04	0,9158	0,06	0,9401	0,03	0,9728	-0,19	0,8107	-0,33	0,4624
Otud7b	170,01	-0,38	0,0526	-0,21	0,4910	-0,06	1,0000	0,10	0,9295	0,04	0,9068	0,20	0,6788	0,28	0,4981	0,18	0,7668	0,36	0,1090
Otulin	31,86	0,23	0,6598	-0,58	0,2362	-0,53	NA	-0,17	0,9251	-0,06	0,9130	-0,36	0,6277	-0,39	0,5442	-0,27	0,7939	-0,19	0,7088
Ovca2	25,53	0,25	0,6338	0,15	0,8464	-0,05	NA	0,17	0,9269	0,42	0,3166	0,32	0,6624	0,13	0,8852	0,04	0,9862	-0,10	0,8695
Ovgp1	13,57	-0,67	0,1765	0,22	0,7817	0,00	NA	0,07	0,9827	0,32	0,5728	0,27	0,8025	0,20	NA	0,43	0,6814	-0,01	0,9924
Oxa1l	157,46	-0,30	0,2979	-0,42	0,1411	-0,07	1,0000	-0,20	0,8095	-0,20	0,5058	-0,23	0,6736	-0,06	0,9368	0,07	0,9545	0,09	0,8383
Oxct1	306,03	0,84	0,0016	0,06	0,9337	0,07	1,0000	-0,15	0,9129	-0,37	0,2454	-0,35	0,4061	-0,03	0,9654	-0,32	0,5141	-0,78	0,0100
Oxid1	4,57	0,41	0,5577	0,39	0,6125	0,01	NA	0,21	NA	0,43	0,5372	-0,21	0,8542	-0,22	NA	-0,14	NA	-0,36	0,6497
Oxnad1	29,62	0,44	0,2792	-0,22	0,7605	0,02	NA	-0,25	0,8460	-1,08	0,0078	-0,40	0,5412	-0,08	0,9320	-0,87	0,0812	-1,16	0,0018
Oxr1	134,60	-0,15	0,6041	-0,18	0,5950	0,12	1,0000	0,14	0,8671	-0,25	0,4015	0,31	0,4436	0,26	0,5600	0,10	0,9178	-0,08	0,8450
Oxsm	25,34	-0,20	0,7197	0,54	0,2052	0,15	NA	0,09	0,9700	-0,80	0,0498	0,88	0,0545	0,71	0,1393	0,15	0,9179	-0,21	0,7160
Oxsr1	121,70	0,10	0,7782	-0,16	0,6559	-0,05	1,0000	0,05	0,9770	-0,06	0,8424	-0,28	0,5727	-0,11	0,8722	-0,11	0,9119	-0,12	0,7441
P2rx3	6,24	0,39	0,5832	0,83	0,1307	0,08	NA	0,17	NA	0,13	0,8751	0,26	0,8110	-0,25	NA	-0,84	0,2114	-0,15	0,8709
P2rx4	14,88	0,16	0,8123	-0,47	0,4506	0,10	NA	-0,42	0,6237	-0,33	0,5826	-0,48	0,5533	-0,33	NA	-0,31	0,7954	-0,48	0,4125

GeneID	CTL	ET-1 vs CTL		SAHA vs CTL		JS28 vs CTL		BSP vs CTL		JQ1 vs CTL		ET-1+SAHA vs ET1		ET-1+JS28 vs ET1		ET-1+BSP vs ET1		ET-1+JQ1 vs ET1	
	mean	log2(FC)	P-adj	log2(FC)	P-adj	log2(FC)	P-adj	log2(FC)	P-adj	log2(FC)	P-adj	log2(FC)	P-adj	log2(FC)	P-adj	log2(FC)	P-adj	log2(FC)	P-adj
P2rx5	30,30	0,43	0,2864	-1,44	0,0002	-0,16	NA	-0,97	0,0144	-1,63	0,0000	-1,56	0,0005	-0,62	0,2542	-0,91	0,0689	-1,48	0,0002
P2ry1	7,40	-0,34	0,6338	-0,99	0,0583	-0,26	NA	-0,27	0,8399	-0,52	0,4164	-0,52	0,5553	0,10	NA	-0,11	NA	0,37	0,6299
P4ha1	87,46	1,03	0,0000	-0,31	0,4691	-0,23	1,0000	0,12	0,9437	0,38	0,2172	-0,47	0,2305	-0,50	0,1943	-0,30	0,5809	0,02	0,9763
P4ha2	30,20	0,51	0,2748	0,36	0,4968	-0,15	NA	-0,48	0,4992	0,24	0,6060	0,05	0,9666	-0,33	0,6575	-0,87	0,1236	-0,47	0,3634
P4ha3	3,93	0,01	0,9901	-0,26	0,7549	0,00	NA	-0,15	NA	-0,81	0,1664	-0,33	0,7494	0,16	NA	-0,41	NA	-0,49	0,5453
P4hb	565,61	0,14	0,6882	-0,40	0,0334	-0,10	1,0000	0,11	0,8797	0,30	0,1237	-0,46	0,2231	-0,31	0,4867	-0,11	0,9016	0,27	0,4382
P4htm	10,22	-0,28	0,6752	-0,14	0,8765	-0,01	NA	-0,15	0,9430	-0,58	0,3034	0,15	0,9069	0,07	NA	-0,09	0,9706	-0,39	0,6227
Pa2g4	147,82	0,28	0,3513	-0,06	0,9070	-0,15	1,0000	0,05	0,9769	0,00	0,9926	-0,29	0,5629	-0,54	0,1641	-0,51	0,2163	-0,26	0,4848
Pabpc1	711,47	-0,20	0,4265	0,32	0,2325	0,13	1,0000	0,58	0,0125	0,81	0,0000	-0,01	0,9837	0,25	0,4537	0,63	0,0038	0,83	0,0000
Pabpc4	282,09	0,10	0,8256	0,03	0,9666	-0,26	1,0000	-0,02	0,9860	0,22	0,4712	-0,28	0,5233	-0,40	0,3049	0,06	0,9581	0,15	0,6766
Pabpc4l	14,67	-0,91	0,0322	-0,21	0,7807	-0,01	NA	-0,10	0,9684	-1,08	0,0141	0,59	0,4473	0,74	NA	0,11	0,9548	-0,38	0,6151
Pabpc5	3,83	0,11	0,9000	0,11	0,9174	0,26	NA	0,09	NA	-0,33	0,6617	0,47	0,6149	0,27	NA	0,07	NA	-0,45	0,5863
Pabpn1	86,22	-0,17	0,6143	-0,35	0,2978	-0,34	0,8985	-0,21	0,8121	0,34	0,3811	-0,13	0,8452	-0,04	0,9557	-0,06	0,9641	0,27	0,4499
Pacrg	1,35	-0,44	NA	0,33	0,6506	-0,12	NA	-0,22	NA	-0,29	0,6620	1,00	NA	-0,05	NA	-0,06	NA	0,19	NA
Pacrgl	10,18	-0,28	0,6748	-0,41	0,5533	0,01	NA	0,12	0,9614	-0,04	0,9584	-0,44	0,6467	0,28	NA	0,17	0,9192	-0,20	0,8116
Pacs1	76,54	-0,45	0,1018	0,05	0,9396	-0,01	1,0000	-0,35	0,5507	0,03	0,9505	0,41	0,3935	0,10	0,8978	-0,01	0,9938	0,42	0,1827
Pacs2	120,81	-0,22	0,4069	0,12	0,7686	0,07	1,0000	-0,17	0,8527	0,09	0,7609	-0,01	0,9942	-0,20	0,7034	-0,08	0,9416	0,29	0,2538
Pacsin1	1,44	-0,38	NA	1,06	0,0381	-0,15	NA	0,10	NA	-0,59	0,3172	1,02	0,0940	0,00	NA	0,01	NA	0,49	NA
Pacsin2	156,50	0,80	0,0008	0,24	0,4472	0,07	1,0000	0,16	0,8670	0,43	0,0528	-0,60	0,1357	-0,65	0,0929	-0,68	0,0754	-0,43	0,2385
Pacsin3	44,04	0,68	0,0863	0,25	0,7174	0,05	1,0000	-0,37	0,6921	-0,63	0,1779	-0,54	0,3073	-0,61	0,2049	-0,91	0,0362	-1,11	0,0056
Padi2	1,13	-0,24	NA	0,30	0,6489	-0,04	NA	-0,12	NA	-0,39	0,4754	0,21	NA	0,15	NA	0,05	NA	0,03	NA
Paf1	83,59	0,11	0,7676	0,10	0,8472	-0,10	1,0000	0,21	0,8145	0,59	0,0065	-0,10	0,8851	-0,17	0,7849	0,23	0,7301	0,64	0,0054
Pafah1b1	979,56	0,01	0,9748	0,04	0,8895	0,02	1,0000	0,12	0,8420	-0,15	0,4656	0,12	0,7672	0,13	0,7600	0,09	0,9007	-0,12	0,7012
Pafah1b2	132,31	0,40	0,1123	-0,06	0,9172	0,09	1,0000	0,07	0,9741	0,12	0,7417	-0,14	0,7953	-0,32	0,4681	-0,40	0,3321	-0,12	0,7215
Pafah1b3	10,68	0,55	0,3097	-0,25	0,7711	0,08	NA	-0,25	0,8528	-0,32	0,6436	-1,00	0,1214	-0,71	NA	-0,73	0,3310	-0,89	0,1248
Pafah2	17,29	-0,07	0,9345	0,27	0,7078	-0,17	NA	-0,22	0,8841	-0,83	0,0832	0,59	0,3893	0,01	NA	-0,01	0,9989	-0,74	0,2085
Pag1	18,23	-0,12	0,8628	0,37	0,5338	0,04	NA	0,44	0,5608	1,22	0,0002	0,22	0,8135	0,11	NA	0,73	0,2028	1,56	0,0000
Pagr1a	22,59	0,21	0,7253	-0,37	0,5878	-0,04	NA	-0,27	0,8355	-0,32	0,5766	-0,41	0,5843	-0,36	0,6210	0,02	0,9933	-0,14	0,8364
Paics	209,64	-0,03	0,9350	-0,01	0,9804	-0,13	1,0000	-0,10	0,9211	-0,17	0,4289	0,46	0,1634	0,00	0,9963	0,13	0,8597	-0,20	0,4959
Paip1	150,55	-0,10	0,7365	-0,33	0,2152	0,03	1,0000	0,02	0,9853	0,42	0,0450	0,01	0,9923	0,22	0,6232	0,40	0,2807	0,50	0,0282
Paip2	170,36	-0,25	0,3253	-0,01	0,9872	-0,08	1,0000	0,04	0,9805	0,13	0,5699	0,65	0,0382	0,44	0,2330	0,56	0,0997	0,61	0,0155
Paip2b	54,23	-0,22	0,5709	0,36	0,3284	0,08	1,0000	0,29	0,6695	0,42	0,1274	0,46	0,3520	0,17	0,8216	0,63	0,1510	0,74	0,0198
Pak1	8,55	-0,31	0,6542	1,30	0,0013	0,31	NA	-0,42	0,6184	-0,50	0,4111	0,99	0,1148	-0,05	NA	-0,21	0,8981	0,25	0,7522
Pak1ip1	55,09	0,35	0,2895	0,32	0,4535	-0,08	1,0000	-0,04	0,9853	-0,32	0,3876	0,23	0,7178	-0,25	0,6949	-0,41	0,4965	-0,22	0,6269
Pak2	172,38	0,24	0,2944	-0,40	0,1241	-0,05	1,0000	0,05	0,9764	0,26	0,2134	-0,40	0,2424	-0,02	0,9754	-0,06	0,9476	0,08	0,8061
Pak3	41,38	0,78	0,0049	0,39	0,3791	-0,36	NA	-1,16	0,0009	-0,47	0,2362	-0,26	0,7103	-0,94	0,0175	-1,61	0,0000	-0,91	0,0133
Pak4	26,74	-0,16	0,7690	0,09	0,8972	0,24	NA	0,10	0,9634	0,32	0,4566	0,19	0,8292	-0,02	0,9837	0,49	0,4823	0,49	0,2528
Pak6	2,84	-0,08	0,9343	0,46	0,5028	0,05	NA	-0,28	NA	-0,48	0,4832	0,41	0,6736	0,05	NA	-0,31	NA	-0,80	NA
Pak7	1,55	-0,43	NA	0,81	0,1505	0,00	NA	-0,04	NA	-0,47	0,4816	0,43	NA	0,22	NA	0,04	NA	0,49	NA
Palb2	4,22	-0,33	0,6606	0,41	0,5767	0,17	NA	0,08	NA	0,33	0,6383	0,38	0,7131	0,18	NA	0,34	NA	0,60	0,4241
Pald1	14,49	-1,05	0,0111	-0,32	0,6506	-0,19	NA	0,09	0,9746	-0,27	0,6235	0,47	0,5915	0,20	NA	0,98	0,0961	0,30	0,6954
Palld	1645,59	-0,32	0,1944	-0,30	0,2649	-0,32	0,7608	-0,38	0,2299	-0,10	0,7729	0,04	0,9523	0,02	0,9728	0,19	0,7186	0,20	0,5905
Palm	10,04	-0,66	0,2093	1,24	0,0014	0,30	NA	-0,39	0,6740	-0,41	0,5329	1,20	0,0340	0,61	NA	-0,03	0,9921	-0,04	0,9754
Palm2	209,59	0,42	0,0428	-0,19	0,6128	-0,47	0,2671	-0,45	0,1690	-0,74	0,0004	-0,22	0,6055	-0,61	0,0339	-0,80	0,0022	-0,80	0,0002
Palmd	90,43	-0,15	0,7891	-0,99	0,0003	-0,11	1,0000	0,10	0,9472	-1,65	0,0000	-1,02	0,0233	-0,21	0,7919	-0,55	0,3845	-1,91	0,0000

GeneID	CTL	ET-1 vs CTL		SAHA vs CTL		JS28 vs CTL		BSP vs CTL		JQ1 vs CTL		ET-1+SAHA vs ET1		ET-1+JS28 vs ET1		ET-1+BSP vs ET1		ET-1+JQ1 vs ET1	
	mean	log2(FC)	P-adj	log2(FC)	P-adj	log2(FC)	P-adj	log2(FC)	P-adj	log2(FC)	P-adj	log2(FC)	P-adj	log2(FC)	P-adj	log2(FC)	P-adj	log2(FC)	P-adj
Pam	4013,55	0,09	0,8108	-1,02	0,0000	-0,20	1,0000	-0,67	0,0081	-0,47	0,0216	-0,54	0,0377	-0,23	0,5394	-0,28	0,4724	-0,46	0,0236
Pam16	14,80	0,19	0,7834	0,10	0,9083	-0,07	NA	-0,19	0,9211	-0,03	0,9716	0,15	0,8892	-0,19	NA	0,02	0,9957	-0,25	0,7175
Pan2	40,13	-0,18	0,6813	-0,13	0,8309	0,26	1,0000	0,15	0,9213	-0,04	0,9423	-0,19	0,8075	0,43	0,4392	0,19	0,8589	0,06	0,9226
Pan3	67,99	-0,23	0,5111	0,13	0,8139	0,13	1,0000	0,21	0,8318	0,15	0,6893	0,19	0,7655	0,39	0,4062	0,26	0,7046	0,33	0,3836
Pank1	102,28	-0,33	0,3187	-0,33	0,2998	0,15	1,0000	-0,32	0,5481	-0,47	0,1750	0,27	0,6542	0,70	0,0611	0,35	0,5682	0,14	0,8064
Pank2	50,81	-0,14	0,7844	0,37	0,3974	0,21	1,0000	0,24	0,8213	0,05	0,9242	0,54	0,2424	0,37	0,4960	0,51	0,3198	0,40	0,2419
Pank3	257,87	0,21	0,4883	-0,34	0,2607	-0,04	1,0000	0,10	0,9430	0,13	0,6807	-0,17	0,7286	0,20	0,6880	-0,18	0,7791	0,07	0,8896
Pank4	28,34	-0,18	0,7511	-0,59	0,2060	-0,16	NA	-0,25	0,8355	-0,20	0,6832	-0,15	0,8856	-0,27	0,7274	0,17	0,9034	-0,29	0,6100
Panx1	18,79	0,22	0,7146	-0,55	0,3363	0,00	NA	-0,49	0,5124	0,15	0,7995	-0,66	0,3218	-0,59	NA	-0,41	0,6658	-0,26	0,6644
Panx2	26,57	-0,72	0,0965	-0,87	0,0464	0,10	1,0000	0,03	0,9872	-0,87	0,0467	-0,61	0,4160	0,03	NA	0,62	0,4097	-0,73	0,2159
Paox	1,92	0,35	NA	0,83	0,1008	1,11	NA	0,14	NA	0,15	0,8460	0,01	0,9976	-0,20	NA	-0,09	NA	-0,63	0,3930
Papd4	47,10	0,05	0,9401	0,33	0,4584	0,06	1,0000	-0,08	0,9688	0,30	0,4905	0,27	0,7107	0,31	0,6257	-0,02	0,9918	0,22	0,7176
Papd5	95,22	0,03	0,9462	0,24	0,5599	0,05	1,0000	0,37	0,4734	0,81	0,0001	0,15	0,8048	0,19	0,7226	0,22	0,7316	0,85	0,0001
Papd7	33,15	0,26	0,6140	0,14	0,8463	0,19	1,0000	0,19	0,9084	0,13	0,7980	-0,07	0,9447	0,06	0,9535	-0,21	0,8511	0,04	0,9430
Papola	449,40	0,07	0,7871	0,05	0,9038	-0,10	1,0000	0,05	0,9727	0,03	0,9057	0,05	0,9357	0,17	0,6575	-0,03	0,9800	0,08	0,7859
Papolb	1,09	-0,53	NA	-0,14	0,8638	-0,12	NA	0,02	NA	-0,62	0,2288	0,17	NA	0,03	NA	0,03	NA	0,06	NA
Papolg	89,64	0,15	0,7082	0,30	0,4078	0,04	1,0000	0,18	0,8643	-0,07	0,8565	0,25	0,6550	0,28	0,5636	0,17	0,8429	-0,16	0,7321
Pappa	6,22	-0,15	0,8561	-0,67	0,2690	0,04	NA	-0,61	NA	-1,42	0,0084	-0,20	0,8615	0,10	NA	-0,63	NA	-0,99	0,1426
Papss1	24,25	-0,36	0,4651	-0,29	0,6296	-0,23	NA	-0,08	0,9764	-0,10	0,8588	-0,07	0,9525	-0,27	NA	0,11	0,9510	0,27	0,6220
Papss2	15,04	0,40	0,4575	-0,82	0,1367	-0,25	NA	-0,66	0,2282	-1,38	0,0061	-1,26	0,0230	-0,59	NA	-1,18	0,0281	-1,30	0,0095
Paqr3	5,89	0,49	0,4387	0,48	0,4916	0,05	NA	0,24	NA	0,88	0,1140	0,13	0,9201	-0,16	NA	0,01	0,9967	0,44	0,5234
Paqr4	6,60	0,72	0,1823	0,65	0,2934	-0,23	NA	0,10	NA	-0,13	0,8806	0,19	0,8678	-0,44	NA	-0,23	0,8780	0,24	0,7347
Paqr7	35,84	-0,19	0,7528	0,14	0,8128	0,15	1,0000	0,04	0,9853	-0,40	0,2909	0,32	0,7027	0,23	0,7921	0,03	0,9918	0,17	0,7900
Paqr8	33,56	0,36	0,4639	0,19	0,7899	0,23	1,0000	0,32	0,7424	0,64	0,0874	-0,10	0,9240	-0,17	0,8414	0,08	0,9580	0,38	0,4099
Paqr9	20,13	-0,05	0,9421	0,39	0,4695	0,21	NA	0,46	0,4944	-0,15	0,7965	0,46	0,5149	0,22	0,8119	0,50	0,5276	-0,13	0,8592
Pard3	199,29	0,10	0,7657	-0,23	0,4456	0,07	1,0000	0,02	0,9892	0,04	0,8986	-0,56	0,0827	-0,28	0,5017	-0,18	0,7792	-0,15	0,6107
Pard3b	91,33	0,06	0,9079	-1,20	0,0000	-0,25	1,0000	-0,71	0,0298	-1,35	0,0000	-0,88	0,0239	-0,21	0,7500	-0,69	0,1176	-0,94	0,0045
Pard6a	9,25	-0,04	0,9691	-0,32	0,6850	-0,01	NA	0,03	0,9895	0,33	0,5964	-0,37	0,7159	-0,23	NA	-0,26	0,8551	0,42	0,5202
Pard6b	12,62	0,71	0,1448	0,26	0,7485	0,11	NA	-0,05	0,9853	0,22	0,7495	-0,19	0,8557	-0,47	NA	-0,54	0,5324	-0,58	0,2997
Pard6g	11,04	-0,48	0,4048	0,14	0,8731	-0,08	NA	-0,34	0,7443	-0,57	0,3247	0,23	0,8308	0,02	NA	-0,27	0,8511	-0,47	0,5313
Parg	84,29	0,06	0,8699	0,24	0,4989	0,02	1,0000	0,00	0,9988	0,11	0,7471	0,15	0,8135	0,06	0,9391	0,02	0,9931	-0,05	0,9236
Park2	16,49	-0,20	0,7789	0,40	0,5430	0,11	NA	0,06	0,9853	-0,38	0,5105	0,37	0,6621	0,23	NA	0,13	0,9402	0,33	0,5841
Park7	64,54	0,26	0,4347	0,05	0,9436	0,19	1,0000	0,17	0,8807	0,09	0,8128	0,21	0,7286	-0,31	0,5636	0,05	0,9730	-0,15	0,7561
Parl	48,38	0,54	0,0590	0,14	0,8127	0,16	1,0000	0,24	0,8196	-0,31	0,4201	0,03	0,9714	-0,32	0,5642	-0,44	0,4420	-0,58	0,0913
Parm1	272,20	0,14	0,6579	0,01	0,9836	0,00	1,0000	-0,32	0,4512	-0,28	0,2118	-0,28	0,5130	-0,24	0,5946	-0,47	0,1603	-0,16	0,6136
Parn	56,04	-0,09	0,8489	-0,54	0,1374	0,04	1,0000	0,14	0,9269	0,19	0,6021	-0,55	0,2622	0,16	0,8216	-0,04	0,9822	0,00	0,9975
Parp1	124,23	-0,23	0,4256	0,10	0,8056	0,13	1,0000	0,06	0,9717	-0,24	0,2938	0,16	0,8008	0,02	0,9768	0,26	0,6683	-0,06	0,8783
Parp10	12,14	-0,82	0,0723	-0,49	0,4168	-0,12	NA	-0,52	0,4548	-1,03	0,0329	-0,05	0,9745	0,19	NA	-0,33	0,7954	-0,37	0,6502
Parp11	22,11	0,09	0,9013	-0,17	0,8309	0,00	NA	0,04	0,9855	-0,60	0,1944	-0,55	0,4434	-0,09	0,9315	0,14	0,9238	-0,16	0,7886
Parp12	24,17	-0,54	0,1641	-0,48	0,3292	0,21	NA	-0,19	0,9004	-1,17	0,0032	-0,15	0,8892	0,06	NA	-0,54	0,5180	-1,12	0,0183
Parp14	10,45	-0,95	0,0450	-1,55	0,0004	-0,01	NA	-0,47	0,5541	-1,49	0,0018	-0,29	0,7956	0,24	NA	-0,38	NA	-1,08	0,1029
Parp16	6,10	0,11	0,9032	-0,02	0,9885	-0,08	NA	-0,16	NA	-0,28	0,7106	-0,24	0,8297	0,12	NA	-0,28	0,8429	-0,37	0,6436
Parp2	30,85	-0,01	0,9867	0,04	0,9602	-0,03	NA	0,01	0,9932	-0,31	0,4751	-0,36	0,6192	-0,03	0,9784	0,10	0,9483	-0,52	0,2817
Parp3	17,24	0,00	0,9946	-0,19	0,8038	0,04	NA	-0,51	0,4710	-1,41	0,0016	0,11	0,9257	-0,14	NA	-0,76	0,2747	-1,15	0,0258
Parp4	81,21	-0,46	0,0685	-0,72	0,0184	-0,20	1,0000	-0,10	0,9469	-0,20	0,5204	-0,70	0,0971	0,32	0,5328	0,17	0,8592	0,03	0,9512

GeneID	CTL	ET-1 vs CTL		SAHA vs CTL		JS28 vs CTL		BSP vs CTL		JQ1 vs CTL		ET-1+SAHA vs ET1		ET-1+JS28 vs ET1		ET-1+BSP vs ET1		ET-1+JQ1 vs ET1	
	mean	log2(FC)	P-adj	log2(FC)	P-adj	log2(FC)	P-adj	log2(FC)	P-adj	log2(FC)	P-adj	log2(FC)	P-adj	log2(FC)	P-adj	log2(FC)	P-adj	log2(FC)	P-adj
Parp6	39,16	-0,11	0,8481	-0,02	0,9826	0,08	1,0000	-0,13	0,9437	-0,13	0,7779	-0,47	0,4586	0,17	0,8406	-0,20	0,8577	-0,20	0,7253
Parp8	95,42	0,22	0,5499	0,32	0,3763	0,26	1,0000	0,27	0,6883	0,25	0,3940	0,11	0,8758	0,44	0,3032	0,20	0,8090	0,50	0,1059
Parp9	11,63	-0,35	0,5552	-0,61	0,2961	-0,03	NA	-0,35	0,7386	-1,53	0,0017	-0,09	0,9456	0,35	NA	-0,84	0,2257	-1,81	0,0015
Parpbp	4,29	-0,16	0,8473	-0,57	0,3682	0,02	NA	-0,03	NA	-0,87	0,1550	-0,63	0,4006	-0,07	NA	-0,20	NA	-0,42	0,6215
Pars2	19,13	0,15	0,8259	0,19	0,8021	-0,04	NA	-0,11	0,9634	0,04	0,9542	0,27	0,7607	-0,29	NA	-0,53	0,5244	-0,26	0,6662
Parva	178,85	0,37	0,2124	-0,75	0,0090	0,02	1,0000	-0,20	0,8363	0,02	0,9697	-0,64	0,0467	-0,31	0,4751	0,06	0,9527	0,27	0,3984
Parvb	181,50	-0,32	0,3871	-0,29	0,4877	-0,30	1,0000	-0,04	0,9853	0,08	0,8845	-0,08	0,9192	-0,19	0,7405	0,38	0,4463	0,44	0,4280
Parvg	3,14	-0,25	0,7516	0,45	0,5114	-0,07	NA	-0,02	NA	0,13	0,8816	0,17	0,8781	0,08	NA	0,29	NA	0,40	0,6378
Pask	1,72	-0,46	NA	-0,15	0,8654	-0,01	NA	0,02	NA	-0,14	0,8707	0,29	NA	0,17	NA	0,13	NA	0,22	NA
Patl1	68,48	0,34	0,2303	0,14	0,7729	-0,03	1,0000	0,09	0,9600	0,31	0,3086	-0,44	0,3458	-0,10	0,8912	-0,19	0,8320	0,12	0,7640
Patz1	67,49	-0,26	0,4496	-0,45	0,1564	-0,08	1,0000	-0,05	0,9805	0,42	0,1510	-0,46	0,3930	0,04	0,9634	0,27	0,7289	0,66	0,0866
Pawr	55,14	0,66	0,0638	0,15	0,8099	0,11	1,0000	-0,19	0,8841	-0,08	0,8754	-0,61	0,2590	-0,60	0,2502	-0,65	0,2457	-0,70	0,0900
Paxbp1	83,68	-0,34	0,3360	-0,03	0,9664	-0,05	1,0000	0,07	0,9708	0,10	0,7657	0,11	0,8860	0,56	0,1990	0,45	0,4133	0,03	0,9612
Paxip1	32,51	-0,24	0,6103	0,21	0,7087	0,02	1,0000	0,16	0,9158	0,56	0,0743	0,19	0,8266	0,26	0,7138	0,54	0,3693	0,57	0,1206
Pbdc1	27,25	0,40	0,3731	0,12	0,8766	-0,27	NA	-0,15	0,9430	0,05	0,9363	-0,24	0,7762	-0,11	0,9089	-0,17	0,9018	-0,11	0,8476
Pblid2	3,06	-0,34	0,6322	-0,09	0,9288	-0,01	NA	0,02	NA	0,31	0,6899	0,41	0,6583	0,28	NA	0,22	NA	0,53	0,5099
Pbrm1	426,09	-0,36	0,0303	-1,08	0,0000	-0,21	1,0000	-0,05	0,9686	0,10	0,6221	-0,65	0,0170	0,35	0,2966	0,33	0,3511	0,39	0,1111
Pbx1	286,77	-0,48	0,0075	-0,13	0,6953	-0,33	0,5932	-0,13	0,8713	-0,04	0,8823	0,24	0,5468	0,22	0,6013	0,18	0,7642	0,14	0,6546
Pbx2	43,58	-0,34	0,3834	-0,80	0,0253	0,03	1,0000	-0,42	0,5144	-1,18	0,0004	-0,49	0,4198	-0,03	0,9768	-0,01	0,9971	-0,85	0,0712
Pbx3	107,68	-0,30	0,2639	-0,49	0,0724	-0,05	1,0000	-0,02	0,9860	-0,55	0,0130	-0,18	0,7691	0,16	0,7798	0,32	0,5415	-0,20	0,6256
Pbxip1	323,79	0,01	0,9780	0,06	0,8953	0,05	1,0000	-0,08	0,9580	-0,09	0,7728	-0,16	0,7183	-0,25	0,5083	-0,16	0,7790	-0,22	0,5701
Pcbd2	9,60	0,02	0,9858	-0,64	0,2927	-0,21	NA	-0,48	0,5133	0,44	0,4423	-0,53	0,5446	0,13	NA	0,05	0,9854	-0,08	0,9320
Pcbp1	134,48	0,33	0,2858	-0,07	0,9076	0,11	1,0000	0,00	0,9972	0,38	0,1840	-0,61	0,0823	-0,55	0,1216	-0,15	0,8511	0,09	0,8167
Pcbp2	424,85	-0,15	0,6180	-0,08	0,8492	0,14	1,0000	0,26	0,5981	0,95	0,0000	-0,14	0,7620	0,11	0,8366	0,33	0,3710	1,07	0,0003
Pcbp3	12,18	0,06	0,9446	0,73	0,1294	0,15	NA	-0,02	0,9901	-0,31	0,6264	-0,08	0,9485	0,03	NA	-0,45	0,6610	-0,04	0,9682
Pcbp4	39,03	0,35	0,3961	0,56	0,1404	-0,01	1,0000	-0,25	0,8334	0,45	0,3035	0,08	0,9325	-0,77	0,1070	-0,50	0,4597	0,30	0,6136
Pcca	38,21	0,08	0,8783	0,60	0,1089	0,04	1,0000	-0,04	0,9853	-0,48	0,2081	0,62	0,1684	0,20	0,7791	0,05	0,9784	-0,44	0,2622
Pccb	64,55	-0,34	0,3348	-0,95	0,0024	0,04	1,0000	-0,03	0,9853	-0,19	0,6082	-0,27	0,6662	0,04	0,9639	0,46	0,3651	-0,05	0,9272
Pcdh1	3,19	0,42	0,5326	1,53	0,0008	0,03	NA	-0,04	NA	-0,23	0,7604	0,97	0,1463	-0,12	NA	-0,39	NA	-0,38	0,6547
Pcdh11x	31,63	0,21	0,6810	-0,19	0,7737	-0,13	NA	0,10	0,9634	-0,06	0,9080	-0,34	0,6466	-0,11	0,9080	0,18	0,8842	-0,15	0,8033
Pcdh17	98,92	-0,76	0,0020	-0,53	0,1301	-0,39	0,7942	0,23	0,7735	-0,10	0,7910	-0,17	0,7960	0,17	0,7963	0,63	0,0838	0,47	0,1526
Pcdh18	39,97	-0,58	0,0845	-0,31	0,5445	-0,52	0,4881	-0,06	0,9794	-0,36	0,3415	0,17	0,8424	0,53	0,3197	0,67	0,1844	0,46	0,3415
Pcdh7	782,79	0,06	0,8863	-0,70	0,0006	-0,09	1,0000	-0,08	0,9482	0,26	0,3491	-0,44	0,2060	0,19	0,6950	0,28	0,5785	0,44	0,1296
Pcdh9	12,25	-0,78	0,1171	0,08	0,9342	-0,09	NA	0,08	0,9764	0,83	0,0307	0,21	0,8534	0,09	NA	0,28	0,8429	1,39	0,0064
Pcdha2	1,97	-0,18	NA	-0,36	0,5565	0,15	NA	-0,10	NA	-0,17	0,8372	0,07	NA	-0,01	NA	-0,01	NA	0,03	NA
Pcdha5	1,39	-0,39	NA	-0,29	0,6463	-0,10	NA	-0,19	NA	-0,39	0,5281	-0,04	NA	0,10	NA	0,05	NA	0,09	NA
Pcdhac2	8,76	0,00	0,9983	0,34	0,6521	0,27	NA	0,74	0,1415	0,31	0,6287	0,93	0,1304	-0,09	NA	0,22	0,8880	0,19	0,8090
Pcdhb11	10,28	-0,47	0,4525	-0,65	0,2687	0,01	NA	-0,39	0,6740	-1,04	0,0469	-0,55	0,5283	0,24	NA	-0,06	0,9812	-0,87	0,2148
Pcdhb12	2,15	-0,82	NA	-0,55	0,3288	-0,01	NA	-0,17	NA	-0,71	0,2386	0,11	NA	0,26	NA	0,16	NA	0,26	NA
Pcdhb13	2,49	-0,59	0,3219	-0,47	0,4651	-0,08	NA	-0,17	NA	-0,77	0,2106	-0,27	NA	0,40	NA	0,11	NA	-0,35	NA
Pcdhb14	21,43	-0,38	0,4251	-1,18	0,0039	-0,35	NA	-0,30	0,7737	-1,24	0,0033	0,83	0,1966	0,01	NA	-0,35	0,7502	-1,20	0,0143
Pcdhb15	5,14	-0,82	0,1236	-0,78	0,1730	-0,23	NA	-0,47	NA	-0,84	0,1572	-0,22	NA	0,35	NA	-0,13	NA	-0,32	0,7065
Pcdhb16	24,47	-0,70	0,0545	-0,78	0,0583	-0,28	NA	-0,19	0,8998	-1,26	0,0007	0,00	0,9983	0,56	NA	0,11	0,9495	-0,60	0,3361
Pcdhb17	32,82	-1,08	0,0001	-1,45	0,0000	0,08	1,0000	-0,57	0,2211	-2,18	0,0000	-0,55	0,4493	0,56	0,3333	-0,13	0,9396	-1,18	0,0142
Pcdhb18	41,54	-0,67	0,0387	-0,59	0,1081	-0,04	1,0000	-0,10	0,9606	-1,01	0,0022	-0,06	0,9527	0,68	0,1628	-0,01	0,9967	-0,74	0,1794

GeneID	CTL	ET-1 vs CTL		SAHA vs CTL		JS28 vs CTL		BSP vs CTL		JQ1 vs CTL		ET-1+SAHA vs ET1		ET-1+JS28 vs ET1		ET-1+BSP vs ET1		ET-1+JQ1 vs ET1	
	mean	log2(FC)	P-adj	log2(FC)	P-adj	log2(FC)	P-adj	log2(FC)	P-adj	log2(FC)	P-adj	log2(FC)	P-adj	log2(FC)	P-adj	log2(FC)	P-adj	log2(FC)	P-adj
Pcdhb19	22,13	-1,23	0,0001	-1,30	0,0004	-0,40	NA	-0,67	0,1532	-1,46	0,0001	-0,17	0,8837	0,76	NA	0,13	0,9461	-0,46	0,5040
Pcdhb2	1,11	-0,22	NA	-0,37	NA	0,01	NA	-0,15	NA	-0,44	NA	0,00	NA	0,10	NA	-0,06	NA	-0,05	NA
Pcdhb20	38,72	-0,36	0,3376	-1,08	0,0016	-0,20	1,0000	-0,37	0,6111	-1,35	0,0000	-0,33	0,6466	0,12	0,8912	-0,19	0,8776	-1,07	0,0063
Pcdhb21	12,15	-0,65	0,1857	-0,55	0,3509	-0,01	NA	-0,13	0,9574	-1,19	0,0156	-0,33	0,7507	0,38	NA	-0,14	0,9397	-0,66	0,3381
Pcdhb22	22,62	-0,45	0,3565	-1,09	0,0120	-0,12	NA	-0,47	0,5216	-0,88	0,0428	-0,34	0,7157	-0,02	NA	0,01	0,9971	-0,77	0,1511
Pcdhb3	2,89	-0,40	0,5561	-0,73	0,1676	-0,23	NA	-0,30	NA	-0,89	0,1291	-0,25	NA	-0,11	NA	-0,36	NA	-0,62	NA
Pcdhb5	3,77	0,08	0,9325	-0,82	0,0944	0,15	NA	-0,21	NA	-1,02	0,0685	-0,65	0,3795	0,15	NA	-0,39	NA	-1,21	0,0528
Pcdhb7	2,01	0,04	NA	-0,39	0,4800	-0,01	NA	0,05	NA	-0,29	0,6847	-0,46	NA	-0,20	NA	-0,32	NA	-0,64	NA
Pcdhga1	14,48	-0,54	0,2676	-0,67	0,1987	0,01	NA	-0,33	0,7551	-0,25	0,6506	0,04	0,9758	0,26	NA	0,01	0,9967	-0,58	0,3835
Pcdhga10	17,74	-0,48	0,3126	-0,88	0,0505	-0,48	NA	-0,25	0,8476	-0,49	0,3518	-0,41	0,6563	-0,13	NA	0,23	0,8630	0,14	0,8494
Pcdhga11	11,32	-0,27	0,7040	-0,83	0,1379	-0,07	NA	-0,05	0,9853	-0,42	0,5153	-0,67	0,3932	-0,02	NA	0,00	1,0000	-0,51	0,4617
Pcdhga12	8,16	0,17	0,8347	-0,52	0,4366	-0,29	NA	-0,04	0,9853	-0,40	0,5802	-1,08	0,0969	-0,39	NA	-0,25	0,8618	-0,77	0,2562
Pcdhga2	19,28	-0,20	0,7507	-0,05	0,9578	0,21	NA	0,12	0,9604	0,36	0,4183	-0,33	0,7209	0,20	NA	0,23	0,8614	0,66	0,1244
Pcdhga3	14,21	-0,24	0,7197	-0,45	0,4880	0,02	NA	0,08	0,9764	-0,18	0,7774	-1,10	0,0813	0,12	NA	-0,22	0,8857	-0,03	0,9800
Pcdhga4	9,63	-0,38	0,5513	-0,70	0,2198	-0,20	NA	-0,28	0,8334	-0,61	0,3012	-0,47	0,6163	0,12	NA	-0,09	0,9693	-0,70	0,3126
Pcdhga5	22,39	-0,51	0,2765	-1,02	0,0114	-0,31	NA	-0,01	0,9941	-0,35	0,4631	-0,35	0,7163	0,07	NA	-0,35	0,7717	0,24	0,7210
Pcdhga6	9,55	-0,50	0,3825	-0,72	0,2059	-0,15	NA	-0,10	0,9668	-0,70	0,2020	-0,47	0,6152	0,02	NA	0,20	0,9054	-0,56	0,4430
Pcdhga7	27,34	-0,34	0,4618	-1,15	0,0017	-0,26	NA	-0,23	0,8500	-0,46	0,2609	-0,68	0,3003	-0,23	0,7899	0,01	0,9966	0,08	0,9129
Pcdhga8	17,66	0,16	0,8392	-0,92	0,0834	-0,41	NA	-0,24	0,8684	-0,82	0,1214	-1,00	0,1110	-0,57	NA	-0,85	0,2015	-0,84	0,1653
Pcdhga9	13,04	-0,63	0,2214	-0,96	0,0523	-0,34	NA	0,02	0,9901	-0,25	0,6915	-0,95	0,1698	-0,24	NA	-0,04	0,9911	0,10	0,9115
Pcdhgb1	10,43	-0,70	0,1759	-0,53	0,3893	-0,06	NA	-0,24	0,8758	-0,37	0,5443	-0,70	0,3717	0,45	NA	-0,03	0,9931	0,07	0,9406
Pcdhgb2	15,38	-0,24	0,7107	-0,48	0,4402	-0,02	NA	-0,06	0,9853	-0,71	0,1587	-0,76	0,2897	0,07	NA	-0,15	0,9300	-0,59	0,3567
Pcdhgb4	10,85	-0,80	0,1049	-0,40	0,5560	-0,17	NA	-0,28	0,8279	-0,49	0,4036	-0,32	0,7612	0,19	NA	0,47	0,6494	0,43	0,5574
Pcdhgb5	21,86	-0,21	0,7602	-0,57	0,2809	-0,15	NA	-0,03	0,9897	0,12	0,8382	-0,32	0,7388	-0,13	NA	-0,13	0,9425	-0,02	0,9807
Pcdhgb6	15,26	-0,74	0,0965	-1,39	0,0011	0,00	NA	-0,02	0,9901	-0,36	0,4819	-0,73	0,3330	0,30	NA	0,35	0,7668	0,01	0,9937
Pcdhgb7	11,67	-0,32	0,6313	-0,99	0,0524	-0,26	NA	-0,07	0,9851	-0,31	0,6312	-0,81	0,2644	0,08	NA	0,09	0,9705	-0,02	0,9903
Pcdhgb8	8,19	-0,17	0,8366	-0,77	0,1868	-0,18	NA	-0,04	0,9853	-0,12	0,8776	-0,62	0,4513	-0,26	NA	-0,75	NA	-1,09	0,0945
Pcdhgc3	91,89	0,00	0,9924	-0,28	0,4432	-0,04	1,0000	-0,46	0,2328	0,10	0,7539	-0,14	0,8245	-0,26	0,6235	-0,37	0,4889	0,33	0,2583
Pcdhgc4	3,71	-0,26	0,7389	-0,28	0,7260	-0,17	NA	-0,07	NA	0,00	0,9996	-0,09	0,9394	0,21	NA	-0,04	NA	-0,20	0,8287
Pcdhgc5	4,44	0,09	0,9251	-0,09	0,9349	-0,11	NA	0,00	NA	0,31	0,6817	0,00	0,9998	-0,46	NA	-0,18	NA	-0,14	0,8935
Pced1a	16,43	-0,26	0,6515	-0,21	0,7737	0,07	NA	0,02	0,9907	-0,63	0,1792	0,13	0,9069	0,30	NA	0,28	0,8285	-0,40	0,5701
Pced1b	1,10	-0,26	NA	0,06	0,9490	0,07	NA	-0,06	NA	-0,01	0,9938	0,19	NA	0,18	NA	0,10	NA	0,57	0,4014
Pcf11	98,20	-0,10	0,8554	-0,14	0,8000	-0,10	1,0000	-0,08	0,9634	-0,16	0,6806	-0,19	0,7960	0,36	0,4925	0,09	0,9492	-0,09	0,8779
Pcgf1	7,00	0,03	0,9793	-0,05	0,9665	0,06	NA	-0,02	0,9925	-0,30	0,6789	0,21	0,8538	0,12	NA	-0,21	0,9002	-0,41	0,6015
Pcgf2	61,13	-0,09	0,8789	-0,39	0,3503	0,12	1,0000	-0,65	0,1061	-0,33	0,6479	-0,80	0,1191	-0,30	0,6663	-0,50	0,4712	-0,32	0,6628
Pcgf3	132,35	-0,05	0,9040	0,09	0,8501	0,23	1,0000	0,02	0,9860	-0,02	0,9485	0,36	0,3485	0,41	0,2616	0,11	0,9006	0,13	0,6674
Pcgf5	305,70	1,43	0,0000	-0,39	0,1232	-0,14	1,0000	-0,24	0,6695	-0,05	0,9078	-0,92	0,0002	-0,74	0,0033	-0,97	0,0000	-0,82	0,0106
Pcgf6	21,80	0,12	0,8683	0,11	0,8978	-0,13	NA	-0,18	0,9243	0,09	0,8928	-0,32	0,7131	-0,16	0,8709	-0,16	0,9143	-0,64	0,2053
Pcid2	30,18	-0,02	0,9710	0,27	0,6146	0,11	1,0000	0,15	0,9308	0,06	0,9138	0,11	0,9114	0,12	0,8994	0,34	0,6871	-0,29	0,5599
Pcif1	29,93	-0,16	0,7734	-0,09	0,9075	-0,06	NA	-0,51	0,4422	-0,04	0,9475	0,49	0,3909	-0,33	0,6434	-0,36	0,6935	0,11	0,8589
Pck2	97,82	0,85	0,0985	-0,26	0,6032	-0,27	1,0000	-0,33	0,6430	-0,29	0,4476	-0,91	0,1918	-0,71	0,2344	-0,83	0,2171	-1,11	0,0715
Pclo	21,30	0,13	0,8500	0,81	0,0396	-0,15	NA	0,99	0,0043	1,99	0,0000	-0,18	0,8653	-0,08	0,9454	0,95	0,0525	1,68	0,0000
Pcm1	847,91	-0,24	0,2152	-0,49	0,0061	-0,26	0,8412	-0,09	0,9220	-0,41	0,0359	-0,33	0,3071	0,28	0,4311	0,19	0,6885	-0,13	0,7811
Pcmt1	116,58	0,30	0,2401	0,48	0,0422	-0,08	1,0000	0,26	0,6249	0,28	0,2106	0,40	0,2986	-0,04	0,9557	0,13	0,8768	0,12	0,7819
Pcmt1d1	155,17	-0,23	0,3011	0,10	0,7748	0,12	1,0000	0,40	0,1543	0,18	0,5538	0,19	0,7155	0,55	0,0741	0,45	0,1834	0,48	0,1114

GeneID	CTL	ET-1 vs CTL		SAHA vs CTL		JS28 vs CTL		BSP vs CTL		JQ1 vs CTL		ET-1+SAHA vs ET1		ET-1+JS28 vs ET1		ET-1+BSP vs ET1		ET-1+JQ1 vs ET1	
	mean	log2(FC)	P-adj	log2(FC)	P-adj	log2(FC)	P-adj	log2(FC)	P-adj	log2(FC)	P-adj	log2(FC)	P-adj	log2(FC)	P-adj	log2(FC)	P-adj	log2(FC)	P-adj
Pcmdt2	169,10	-0,80	0,0000	-0,34	0,2250	0,10	1,0000	0,27	0,5770	0,08	0,8077	0,36	0,3928	0,95	0,0003	0,73	0,0140	0,48	0,1431
Pcna	37,04	-0,01	0,9858	-0,81	0,0374	-0,04	1,0000	0,48	0,3496	0,58	0,0585	-0,69	0,1856	0,02	0,9846	0,55	0,2925	0,70	0,0601
Pcnp	58,33	-0,14	0,7361	0,11	0,8477	-0,03	1,0000	0,21	0,8352	-0,28	0,4361	0,70	0,0591	0,52	0,2249	0,15	0,8857	-0,35	0,3836
Pcnt	116,47	-0,70	0,0001	-0,53	0,0231	-0,17	1,0000	-0,03	0,9853	0,03	0,9162	-0,47	0,2799	0,32	0,5021	0,65	0,0545	0,62	0,0212
Pcnx	272,44	-0,10	0,7765	0,02	0,9752	0,11	1,0000	0,22	0,6217	-0,01	0,9778	0,05	0,9374	0,27	0,5354	0,26	0,6225	0,08	0,8427
Pcnx13	101,43	-0,27	0,3374	-0,21	0,6034	0,02	1,0000	-0,13	0,9220	0,50	0,1000	-0,41	0,4105	-0,06	0,9432	0,05	0,9671	0,77	0,0135
Pcnx14	21,37	0,16	0,7892	0,64	0,1400	-0,21	NA	0,02	0,9925	0,31	0,5035	0,80	0,1118	-0,08	0,9386	-0,37	0,7046	-0,02	0,9842
Pcolce	94,20	0,35	0,3360	-1,10	0,0001	-0,14	1,0000	-0,73	0,0296	-1,23	0,0000	-0,74	0,0813	-0,02	0,9837	-0,56	0,2347	-1,04	0,0107
Pcolce2	3,10	0,29	0,6928	0,10	0,9129	0,10	NA	0,37	NA	-0,05	0,9513	-0,29	0,7849	-0,08	NA	0,22	NA	-0,67	0,3651
Pcp411	111,40	-0,09	0,8733	0,28	0,5820	0,09	1,0000	0,22	0,8420	-0,22	0,6057	0,62	0,1141	0,35	0,4932	0,56	0,1827	0,07	0,9062
Pcsk4	1,62	-0,20	NA	0,23	0,7686	0,02	NA	-0,19	NA	-0,52	0,3792	-0,01	NA	0,16	NA	-0,01	NA	-0,21	NA
Pcsk5	19,54	1,26	0,0008	0,50	0,4198	-0,16	NA	-0,08	0,9764	0,73	0,1294	-0,61	0,3402	-0,29	0,7080	-0,38	0,6847	0,11	0,8547
Pcsk6	2,28	-0,18	0,8248	-0,47	0,4285	0,09	NA	0,14	NA	0,39	0,5934	-0,20	NA	0,15	NA	0,36	NA	0,61	0,4258
Pcsk7	26,66	-0,45	0,2970	-0,06	0,9396	0,10	1,0000	0,22	0,8643	0,37	0,3309	0,15	0,8794	-0,14	NA	0,75	0,1665	0,81	0,0324
Pctp	14,72	0,15	0,8394	0,01	0,9913	0,11	NA	-0,30	0,8044	-0,53	0,3736	-0,03	0,9836	-0,25	NA	-0,51	0,5739	-1,31	0,0121
Pcx	23,81	0,20	0,7295	0,76	0,0560	0,10	NA	0,30	0,7688	1,35	0,0000	0,51	0,4061	-0,49	0,4662	0,14	0,9228	1,00	0,0042
Pcyox1	122,14	-0,36	0,2549	-0,03	0,9559	0,01	1,0000	0,32	0,5478	0,75	0,0008	0,32	0,5464	0,37	0,4379	0,63	0,1009	1,08	0,0000
Pcyox11	8,12	0,89	0,0642	-0,01	0,9910	-0,10	NA	0,14	NA	0,38	0,5844	-0,17	0,8832	-0,48	NA	-0,23	0,8768	-0,41	0,5333
Pcyt1a	164,07	-0,17	0,5990	-0,10	0,8278	0,10	1,0000	0,05	0,9746	0,20	0,4234	0,07	0,9201	0,08	0,9051	0,20	0,7694	0,37	0,2470
Pcyt1b	2,15	-0,45	NA	0,19	0,8306	0,10	NA	-0,08	NA	-0,54	0,4121	0,79	0,2529	0,31	NA	-0,17	NA	-0,18	NA
Pcyt2	31,93	0,10	0,8597	0,25	0,6456	0,12	1,0000	-0,08	0,9746	0,15	0,7317	0,06	0,9506	0,02	0,9837	0,16	0,9065	-0,24	0,6619
Pdap1	107,20	0,34	0,2027	0,25	0,4523	0,04	1,0000	0,15	0,8786	-0,10	0,7571	-0,30	0,6234	-0,03	0,9728	-0,01	0,9971	-0,21	0,5405
Pdcd10	34,77	0,25	0,5641	0,19	0,7576	-0,01	1,0000	0,02	0,9901	-0,27	0,5317	0,18	0,8193	0,25	0,7034	0,03	0,9915	-0,54	0,3142
Pdcd11	69,80	0,15	0,7266	-0,31	0,4945	-0,13	1,0000	-0,24	0,8217	0,15	0,6934	-0,32	0,5465	-0,33	0,5140	-0,21	0,7969	-0,12	0,7729
Pdcd2	17,06	0,08	0,9118	-0,05	0,9649	0,09	NA	0,14	0,9454	0,64	0,1560	0,13	0,9049	0,05	NA	0,23	0,8590	0,28	0,6321
Pdcd2l	11,42	0,12	0,8795	-0,04	0,9740	0,06	NA	0,23	0,8797	0,13	0,8497	0,38	0,6736	-0,07	NA	-0,17	0,9178	0,20	0,7709
Pdcd4	95,90	-1,54	0,0000	0,26	0,4652	0,33	0,9022	0,57	0,0599	0,38	0,1541	1,21	0,0003	1,41	0,0000	1,56	0,0000	1,41	0,0000
Pdcd5	63,45	0,24	0,5414	-0,10	0,8703	0,16	1,0000	0,25	0,7862	-0,44	0,2152	-0,08	0,9209	0,22	0,7068	0,18	0,8369	-0,57	0,1199
Pdcd6	40,87	0,07	0,8889	0,14	0,8139	0,31	1,0000	0,20	0,8621	0,06	0,8960	0,25	0,7245	-0,13	0,8812	0,09	0,9511	-0,21	0,6684
Pdcd6ip	420,54	0,21	0,2929	-0,25	0,2978	-0,06	1,0000	0,12	0,8797	0,19	0,3353	-0,29	0,3795	-0,26	0,4698	-0,20	0,6756	0,17	0,6203
Pdcd7	17,32	-0,05	0,9446	0,15	0,8449	0,18	NA	0,29	0,7889	-0,47	0,3746	0,41	0,5938	0,19	NA	0,08	0,9654	-0,25	0,6975
Pdcl	71,96	-0,19	0,6025	-0,06	0,9203	-0,02	1,0000	-0,09	0,9604	-0,28	0,3527	0,48	0,2476	0,59	0,1130	0,20	0,8129	0,15	0,7035
Pdcl3	47,84	0,35	0,2996	0,12	0,8506	0,05	1,0000	0,08	0,9741	0,17	0,6935	0,23	0,7147	0,00	0,9963	-0,08	0,9543	-0,24	0,5896
Pddc1	15,02	-0,19	0,7832	0,02	0,9872	0,18	NA	0,04	0,9853	0,56	0,2079	0,40	0,6466	0,25	NA	0,66	0,3576	0,55	0,3077
Pde10a	26,43	0,25	0,6547	-0,07	0,9444	-0,11	NA	-0,26	0,8448	-0,41	0,4362	-0,35	0,6507	-0,71	0,2026	-0,79	0,1764	-0,43	0,3759
Pde12	29,88	0,80	0,0181	0,67	0,1315	0,11	NA	-0,05	0,9853	0,11	0,8530	-0,07	0,9404	-0,28	0,6774	-0,33	0,6906	-0,71	0,1275
Pde1b	1,57	0,44	NA	0,49	0,3763	0,01	NA	-0,02	NA	-0,28	NA	0,17	0,8878	-0,08	NA	-0,39	NA	-0,74	NA
Pde1c	7,83	-0,89	0,0853	0,27	0,7412	-0,06	NA	-0,36	0,7107	-1,24	0,0230	0,30	0,7762	0,38	NA	-0,15	NA	-0,64	0,3793
Pde2a	37,26	0,39	0,4565	-0,19	0,8095	-0,20	NA	-0,41	0,6249	-0,96	0,0243	-0,09	0,9277	-0,64	0,2554	-0,67	0,2515	-0,92	0,0361
Pde3a	107,56	-0,11	0,8051	-0,42	0,1745	-0,14	1,0000	-0,05	0,9769	-0,11	0,7387	-0,53	0,2494	-0,07	0,9325	-0,10	0,9372	-0,02	0,9701
Pde3b	42,65	-0,34	0,3688	-0,19	0,7325	-0,48	0,5448	-0,47	0,4033	-0,22	0,5727	-0,12	0,9014	-0,45	0,4508	-0,55	0,4003	-0,27	0,5675
Pde4a	25,35	-0,23	0,7221	-0,02	0,9856	0,11	NA	-0,28	0,8156	-1,16	0,0036	-0,13	0,9155	0,16	0,8757	-0,20	0,8990	-1,47	0,0058
Pde4b	151,11	-0,33	0,1957	-0,67	0,0065	-0,41	0,5409	-0,29	0,6053	-0,34	0,2099	-0,44	0,2602	0,07	0,9133	0,05	0,9745	-0,01	0,9921
Pde4d	35,33	-0,34	0,4077	-0,19	0,7602	0,08	1,0000	-0,63	0,1890	-0,99	0,0031	0,19	0,8198	0,45	0,4372	-0,59	0,3854	-0,76	0,0940
Pde4dip	1908,03	0,51	0,0006	-0,72	0,0000	-0,26	0,8983	-0,48	0,0183	-0,45	0,0419	-1,03	0,0000	-0,49	0,0341	-0,28	0,3806	-0,39	0,0856

GeneID	CTL	ET-1 vs CTL		SAHA vs CTL		JS28 vs CTL		BSP vs CTL		JQ1 vs CTL		ET-1+SAHA vs ET1		ET-1+JS28 vs ET1		ET-1+BSP vs ET1		ET-1+JQ1 vs ET1	
	mean	log2(FC)	P-adj	log2(FC)	P-adj	log2(FC)	P-adj	log2(FC)	P-adj	log2(FC)	P-adj	log2(FC)	P-adj	log2(FC)	P-adj	log2(FC)	P-adj	log2(FC)	P-adj
Pde5a	10,51	0,07	0,9346	0,17	0,8456	0,23	NA	-0,51	0,4725	-1,69	0,0010	0,55	0,4583	-0,31	NA	-0,89	0,1790	-1,55	0,0076
Pde6d	33,59	0,15	0,7789	0,07	0,9334	0,08	1,0000	0,09	0,9718	-0,09	0,8643	-0,05	0,9574	0,15	0,8504	-0,21	0,8532	-0,09	0,8598
Pde7a	28,59	-0,29	0,5375	-0,32	0,5563	-0,04	NA	-0,13	0,9448	0,05	0,9325	-0,12	0,9079	0,30	0,6870	0,07	0,9712	0,23	0,6770
Pde7b	4,73	1,59	0,0003	0,25	NA	0,14	NA	0,05	NA	0,21	NA	-0,95	0,1698	-0,95	NA	-1,07	0,0710	-2,07	0,0003
Pde8a	2,98	0,23	0,7668	0,51	0,4371	0,10	NA	-0,22	NA	-0,46	0,4908	0,38	0,7067	0,21	NA	-0,28	NA	-0,37	0,6577
Pde9a	4,61	-0,49	0,4452	0,01	0,9910	-0,25	NA	-0,45	NA	-0,20	0,7964	0,47	0,6208	-0,01	NA	-0,09	NA	-0,21	0,8217
Pdf	50,26	0,27	0,4910	0,05	0,9404	0,02	1,0000	0,15	0,9129	-0,07	0,8706	-0,18	0,8122	-0,20	0,7734	0,12	0,9179	-0,36	0,4262
Pdgfa	42,07	0,40	0,2639	-0,08	0,9137	-0,17	1,0000	-0,06	0,9827	0,39	0,3182	-0,42	0,4493	-0,30	0,6304	-0,23	0,7963	0,52	0,1367
Pdggc	75,32	1,31	0,0000	0,11	0,8674	0,11	1,0000	-0,23	0,8369	-0,82	0,0115	-0,47	0,3288	-0,51	0,2838	-0,54	0,2768	-1,07	0,0006
Pdggfra	17,61	-0,71	0,1439	0,11	0,9081	0,35	NA	-0,78	0,1119	-1,78	0,0002	0,73	0,2584	0,95	NA	-0,04	0,9911	-1,57	0,0051
Pdha1	535,40	0,38	0,1333	-0,45	0,0547	-0,16	1,0000	-0,06	0,9634	-0,30	0,1733	-0,52	0,1107	-0,12	0,8390	-0,19	0,7668	-0,44	0,1057
Pdha2	201,05	0,45	0,1316	-0,19	0,7298	-0,10	1,0000	0,01	0,9951	-0,18	0,6328	-0,27	0,5086	-0,05	0,9432	-0,15	0,8262	-0,49	0,0625
Pdha3	64,42	0,44	0,1604	-0,12	0,8456	0,09	1,0000	-0,04	0,9853	-0,28	0,4642	-0,08	0,9210	-0,10	0,8995	-0,26	0,7289	-0,53	0,1020
Pdia3	343,89	-0,11	0,7093	-0,15	0,6918	0,00	1,0000	0,26	0,5830	0,08	0,7650	-0,11	0,8179	0,14	0,7531	0,23	0,5934	0,10	0,7415
Pdia4	116,49	-0,12	0,7141	-0,39	0,1787	-0,09	1,0000	0,29	0,5427	0,52	0,0143	-0,12	0,8400	-0,11	0,8618	0,16	0,8429	0,78	0,0035
Pdia5	5,78	-0,07	0,9446	0,13	0,8984	-0,02	NA	0,03	NA	-0,19	0,8106	-0,02	0,9903	-0,01	NA	-0,25	NA	-0,03	0,9797
Pdia6	122,18	0,23	0,4802	-0,09	0,8440	-0,19	1,0000	0,34	0,3719	-0,20	0,4416	-0,07	0,9312	-0,37	0,4347	-0,15	0,8739	-0,09	0,8611
Pdik11	29,10	-0,12	0,8289	-0,42	0,3875	-0,02	NA	0,20	0,8767	-0,33	0,4231	-0,05	0,9613	0,26	0,7273	0,18	0,8915	-0,22	0,6966
Pdk1	174,56	0,61	0,0590	0,12	0,7823	0,27	1,0000	0,10	0,9364	0,06	0,8606	-0,29	0,6583	-0,15	0,8548	-0,52	0,3625	-0,76	0,0414
Pdk2	361,76	-0,82	0,0000	-0,81	0,0000	-0,07	1,0000	-0,30	0,4122	-0,60	0,0129	-0,28	0,4856	0,30	0,4311	0,35	0,3925	0,02	0,9826
Pdk3	95,58	0,13	0,7616	0,06	0,9256	-0,15	1,0000	-0,28	0,7079	-0,26	0,3998	0,41	0,3402	-0,11	0,8757	-0,14	0,8825	-0,14	0,7136
Pdk4	169,06	-0,29	0,6787	-0,17	0,8449	-0,09	1,0000	-0,03	0,9866	-0,71	0,0454	-0,28	0,7925	-0,20	0,8466	0,01	0,9993	-0,45	0,3742
Pdlim1	5,89	-0,19	0,8117	0,19	0,8332	-0,11	NA	-0,16	NA	0,10	0,9055	0,28	0,7987	-0,26	NA	-0,30	NA	0,28	0,7223
Pdlim3	100,10	0,30	0,3399	0,87	0,0007	-0,20	1,0000	-0,26	0,7444	-0,34	0,3247	0,61	0,0778	-0,39	0,3782	-0,28	0,6473	-1,03	0,0014
Pdlim4	18,62	0,23	0,7540	0,47	0,4407	0,15	NA	-0,35	0,7392	-1,47	0,0033	0,06	0,9581	-0,66	NA	-0,48	0,6122	-1,39	0,0090
Pdlim5	754,39	0,78	0,0000	-0,08	0,7725	-0,16	1,0000	-0,10	0,8756	0,12	0,5813	-0,20	0,6221	-0,32	0,3484	-0,43	0,1628	-0,22	0,4634
Pdlim7	68,89	1,16	0,0000	-0,92	0,0122	-0,53	0,4654	-0,59	0,2303	0,46	0,1952	-0,78	0,0341	-1,84	0,0000	-1,30	0,0000	-0,35	0,3239
Pdp1	56,49	0,05	0,9286	-0,02	0,9845	-0,08	1,0000	0,17	0,9096	0,16	0,7409	0,44	0,3493	-0,04	0,9628	0,21	0,8122	0,23	0,6340
Pdp2	22,73	-0,08	0,9175	0,60	0,2592	0,18	NA	-0,07	0,9808	0,09	0,8928	0,66	0,2137	0,56	0,3292	0,57	0,3805	0,09	0,8904
Pdpk1	337,31	0,50	0,0034	0,13	0,6563	-0,05	1,0000	0,22	0,6103	0,46	0,0314	-0,04	0,9456	-0,43	0,1775	-0,34	0,3845	0,04	0,9401
Pdpr	6,53	-0,17	0,8334	0,32	0,6928	0,17	NA	-0,18	NA	-0,28	0,6984	0,79	0,2637	0,27	NA	-0,01	0,9989	-0,54	0,4840
Pdpr	113,19	-0,23	0,5050	-0,31	0,2914	-0,15	1,0000	-0,12	0,9158	-0,10	0,7204	-0,18	0,7876	0,06	0,9412	0,22	0,7850	0,23	0,5511
Pdrg1	94,42	-0,16	0,6667	-0,26	0,4874	0,00	1,0000	0,08	0,9600	-0,01	0,9889	-0,03	0,9732	-0,13	0,8465	0,13	0,8878	0,06	0,8896
Pds5a	178,76	0,26	0,2894	0,02	0,9730	0,06	1,0000	0,08	0,9472	0,14	0,6074	-0,26	0,5482	-0,09	0,8885	-0,28	0,5895	-0,13	0,7365
Pds5b	202,23	-0,06	0,8795	-0,35	0,1415	-0,20	1,0000	0,00	0,9998	-0,21	0,3349	-0,36	0,4087	0,04	0,9628	0,13	0,8915	-0,13	0,7708
Pdss1	11,31	1,22	0,0038	-0,08	0,9444	-0,10	NA	-0,13	NA	-0,04	0,9654	-0,70	0,2965	-0,62	NA	-0,92	0,1245	-1,20	0,0158
Pdss2	13,39	-0,08	0,9261	0,46	0,4506	-0,03	NA	0,05	0,9853	-0,62	0,2606	0,29	0,7607	0,24	NA	0,11	0,9547	-0,19	0,8019
Pdxdc1	248,66	0,20	0,3416	0,04	0,9251	0,20	1,0000	0,15	0,8334	0,19	0,3637	-0,20	0,6531	-0,20	0,6365	-0,15	0,8161	0,01	0,9808
Pdxk	20,89	-0,15	0,8153	0,07	0,9337	-0,07	NA	-0,11	0,9627	-0,14	0,8058	0,38	0,6460	0,20	NA	-0,06	0,9792	0,55	0,2961
Pdyp	5,96	0,83	0,1227	0,46	0,5112	0,19	NA	0,17	NA	0,03	0,9751	-0,03	0,9867	-0,28	NA	-0,40	0,7227	-0,95	0,1502
Pdzd11	33,10	0,29	0,5072	-0,15	0,8306	-0,33	NA	-0,04	0,9853	0,11	0,8283	-0,15	0,8538	-0,17	0,8394	-0,10	0,9470	-0,13	0,8159
Pdzd2	149,33	0,12	0,8139	-0,14	0,8275	-0,06	1,0000	-0,03	0,9855	0,42	0,2425	0,06	0,9350	-0,14	0,8397	0,09	0,9378	0,45	0,2096
Pdzd4	3,60	-0,31	0,6861	0,42	0,5626	-0,04	NA	0,05	NA	1,40	0,0026	0,59	0,4827	0,02	NA	0,23	NA	1,45	0,0100
Pdzd7	1,43	0,01	NA	-0,08	0,9253	-0,07	NA	-0,13	NA	0,28	0,7048	-0,18	NA	-0,12	NA	-0,26	NA	0,18	0,8494
Pdzd8	189,09	0,18	0,4466	-0,02	0,9770	0,05	1,0000	0,14	0,8569	-0,04	0,8955	-0,04	0,9431	0,10	0,8658	0,13	0,8492	-0,02	0,9662

GeneID	CTL	ET-1 vs CTL		SAHA vs CTL		JS28 vs CTL		BSP vs CTL		JQ1 vs CTL		ET-1+SAHA vs ET1		ET-1+JS28 vs ET1		ET-1+BSP vs ET1		ET-1+JQ1 vs ET1	
	mean	log2(FC)	P-adj	log2(FC)	P-adj	log2(FC)	P-adj	log2(FC)	P-adj	log2(FC)	P-adj	log2(FC)	P-adj	log2(FC)	P-adj	log2(FC)	P-adj	log2(FC)	P-adj
Pdzk1	1,42	0,04	NA	-0,20	NA	-0,07	NA	-0,12	NA	0,16	0,8267	-0,06	NA	0,00	NA	-0,27	NA	-0,26	NA
Pdzrn3	168,95	0,16	0,6667	-0,01	0,9853	0,16	1,0000	-0,51	0,1923	-0,64	0,0208	-0,14	0,7966	-0,24	0,5881	-0,66	0,0362	-0,80	0,0049
Pdzrn4	2,89	-0,25	0,7555	0,46	0,5044	0,02	NA	-0,03	NA	-0,30	0,6943	0,32	0,7597	0,25	NA	0,04	NA	-0,66	NA
Pea15a	361,22	0,85	0,0010	0,07	0,9108	-0,70	0,0346	-0,27	0,7148	0,44	0,0928	-0,38	0,3664	-0,97	0,0007	-0,83	0,0052	-0,12	0,7533
Peak1	323,74	-0,20	0,4798	0,20	0,4874	-0,06	1,0000	0,21	0,6896	0,47	0,0059	0,07	0,9078	-0,05	0,9400	0,26	0,5977	0,80	0,0001
Pebp1	73,74	0,10	0,8344	0,17	0,7505	-0,04	1,0000	-0,14	0,9226	0,24	0,5073	0,24	0,7110	-0,42	0,4171	0,09	0,9476	0,33	0,5425
Pecr	10,72	-0,40	0,5073	0,37	0,5863	-0,11	NA	-0,15	0,9435	-0,66	0,2254	0,19	0,8681	0,11	NA	-0,19	0,9074	-0,30	0,7040
Pef1	46,77	-0,11	0,8557	-0,20	0,7721	-0,07	1,0000	-0,40	0,6115	-0,24	0,6328	-0,13	0,8824	-0,08	0,9313	-0,10	0,9428	-0,48	0,3107
Peg10	28,71	-0,07	0,9139	1,77	0,0000	0,48	0,5413	1,80	0,0000	4,25	0,0000	1,36	0,0001	0,35	0,5903	1,49	0,0000	4,45	0,0000
Peg12	7,71	0,29	0,6977	-0,36	0,6418	-0,08	NA	-0,39	NA	-0,91	0,1294	-0,38	0,7106	-0,49	NA	-0,81	0,2514	-1,19	0,0522
Peg13	8,09	0,12	0,8910	-0,16	0,8687	-0,01	NA	0,07	0,9817	0,17	0,8193	0,04	0,9771	0,22	NA	0,33	0,7939	-0,03	0,9778
Peg3	616,26	0,37	0,0774	-0,85	0,0000	-0,18	1,0000	-0,01	0,9884	0,63	0,0000	-0,86	0,0009	-0,43	0,1903	-0,08	0,9300	0,60	0,0247
Peg3os	6,22	0,08	0,9039	-0,56	0,2779	-0,19	NA	-0,27	NA	0,32	0,6465	-0,09	0,9431	0,00	NA	-0,21	NA	0,19	0,8130
Peli1	72,57	-0,08	0,8545	-0,19	0,6701	-0,10	1,0000	0,14	0,9015	0,57	0,0068	0,09	0,9044	0,15	0,8336	0,22	0,7864	0,81	0,0011
Peli2	15,17	-1,04	0,0197	0,16	0,8427	0,06	NA	0,07	0,9805	-0,11	0,8565	0,95	0,1509	0,41	NA	0,18	0,9168	0,30	0,7136
Peli3	1,93	-0,59	NA	0,21	0,8112	0,10	NA	-0,22	NA	-0,43	0,5411	1,18	0,0449	0,14	NA	0,46	NA	0,40	NA
Pelo	14,95	0,44	0,4264	-0,02	0,9844	0,08	NA	0,00	0,9994	0,19	0,7836	-0,60	0,3981	-0,18	NA	-0,13	0,9362	-0,22	0,7413
Pelp1	65,12	0,05	0,9064	0,09	0,8823	-0,06	1,0000	0,22	0,8095	0,19	0,5963	-0,19	0,7702	-0,13	0,8548	0,11	0,9259	0,09	0,8450
Pemt	2,75	0,33	0,6522	-0,26	0,7087	-0,04	NA	-0,12	NA	-0,39	0,5695	-0,19	0,8686	-0,57	NA	-0,12	NA	-0,43	0,6041
Peo1	28,97	-0,15	0,7782	0,20	0,7476	0,09	1,0000	0,28	0,7675	0,10	0,8287	-0,09	0,9333	-0,43	0,5018	0,23	0,8405	0,16	0,7573
Pepd	27,27	-0,17	0,7900	0,03	0,9752	0,01	NA	0,00	0,9998	0,24	0,6319	0,05	0,9649	-0,14	0,8825	0,05	0,9800	0,34	0,5242
Per1	38,46	-0,44	0,2299	0,26	0,5820	-0,04	1,0000	-0,27	0,7771	0,30	0,4986	0,25	0,7483	-0,06	0,9527	0,05	0,9856	0,53	0,2621
Per2	21,03	0,85	0,0343	0,18	0,8298	-0,12	NA	-0,62	0,2972	-0,67	0,2103	-0,11	0,9129	-0,47	0,4808	-1,27	0,0080	-0,96	0,0559
Per3	149,75	-0,95	0,0000	0,02	0,9625	-0,06	1,0000	0,29	0,4738	0,44	0,0190	0,63	0,0704	0,78	0,0105	1,09	0,0000	1,24	0,0000
Perm1	6,99	0,40	0,5607	0,59	0,3575	0,35	NA	-0,16	NA	-0,99	0,0923	0,66	0,3827	1,10	NA	0,15	0,9339	-1,32	0,0325
Perp	325,98	-0,23	0,3920	-0,57	0,0125	-0,11	1,0000	-0,26	0,6072	-0,79	0,0000	-0,21	0,6834	0,03	0,9694	0,11	0,8926	-0,41	0,0878
Pes1	127,73	0,23	0,4452	0,11	0,8112	0,16	1,0000	-0,10	0,9416	0,04	0,9008	-0,03	0,9714	-0,13	0,8336	-0,37	0,4643	-0,13	0,7214
Pet100	26,65	-0,28	0,6647	-0,33	0,6226	-0,23	NA	-0,30	0,7883	-0,17	0,7673	0,54	0,4338	0,17	0,8548	0,17	0,9099	0,34	0,5810
Pet112	42,94	-0,32	0,3965	0,14	0,8203	-0,14	1,0000	-0,21	0,8587	-0,75	0,0238	0,72	0,0939	0,36	0,5399	0,18	0,8748	-0,40	0,3523
Pex1	36,54	-0,14	0,7849	-0,44	0,3456	0,00	1,0000	-0,06	0,9798	-0,42	0,2646	0,02	0,9842	0,26	0,6973	0,06	0,9721	-0,31	0,5207
Pex10	7,87	-0,30	0,6797	-0,47	0,4901	-0,32	NA	0,25	0,8587	0,83	0,0912	0,12	0,9281	0,40	NA	0,71	0,3644	0,95	0,0754
Pex11a	5,97	-0,20	0,8051	0,06	0,9571	-0,01	NA	-0,28	NA	-0,85	0,1560	0,44	0,6467	0,06	NA	-0,38	NA	-0,81	0,2471
Pex11b	21,56	0,23	0,6988	-0,04	0,9697	0,00	NA	-0,15	0,9437	-0,28	0,6287	-0,34	0,6801	-0,46	NA	-0,34	0,7349	-0,25	0,6555
Pex11g	6,14	-0,16	0,8447	-0,15	0,8766	-0,06	NA	-0,03	NA	-0,36	0,6119	0,41	0,6760	-0,06	NA	0,09	0,9670	-0,23	0,7935
Pex12	22,90	0,33	0,5379	0,02	0,9824	0,27	NA	0,11	0,9628	0,52	0,2342	-0,11	0,9129	0,06	0,9550	-0,22	0,8572	0,37	0,4407
Pex13	135,91	-0,19	0,4697	0,40	0,0991	0,16	1,0000	0,25	0,6211	0,05	0,8816	0,52	0,1040	0,27	0,5299	0,29	0,5586	0,27	0,3353
Pex14	32,00	0,36	0,4151	0,61	0,1283	0,40	0,8827	0,24	0,8494	0,23	0,6328	-0,02	0,9869	-0,22	0,7833	-0,03	0,9918	-0,14	0,8122
Pex16	8,53	0,31	0,6449	0,10	0,9240	0,03	NA	0,03	0,9873	0,57	0,3105	-0,33	0,7495	-0,41	NA	0,03	0,9918	-0,25	0,7339
Pex19	137,00	0,13	0,7450	-0,20	0,6844	-0,10	1,0000	-0,13	0,9293	-0,26	0,4202	-0,08	0,9007	-0,19	0,7068	-0,18	0,7880	-0,19	0,5439
Pex2	45,36	0,15	0,7558	0,31	0,4901	0,16	1,0000	0,38	0,5524	-0,15	0,7249	0,29	0,6466	0,27	0,6636	0,19	0,8492	-0,17	0,7003
Pex26	22,52	-0,23	0,6752	0,23	0,7144	0,15	NA	0,06	0,9817	-0,20	0,6928	0,24	0,7930	0,05	NA	0,13	0,9388	0,14	0,8427
Pex3	61,00	0,10	0,8366	0,30	0,4676	-0,01	1,0000	0,17	0,8903	-0,23	0,5704	0,38	0,4534	-0,03	0,9728	-0,04	0,9852	0,08	0,8746
Pex5	28,32	-0,28	0,5632	0,30	0,5513	0,12	1,0000	-0,20	0,8826	-0,90	0,0140	0,17	0,8551	-0,12	0,9089	-0,09	0,9608	-0,75	0,1079
Pex6	24,90	-0,29	0,5614	-0,01	0,9919	0,13	NA	0,35	0,6716	0,61	0,0703	0,38	0,6174	-0,26	NA	0,82	0,1055	0,94	0,0203
Pex7	22,61	0,17	0,7865	0,73	0,0785	0,11	NA	0,59	0,2674	0,86	0,0089	1,03	0,0164	0,46	0,4567	0,43	0,5870	0,51	0,3299

GeneID	CTL	ET-1 vs CTL		SAHA vs CTL		JS28 vs CTL		BSP vs CTL		JQ1 vs CTL		ET-1+SAHA vs ET1		ET-1+JS28 vs ET1		ET-1+BSP vs ET1		ET-1+JQ1 vs ET1	
	mean	log2(FC)	P-adj	log2(FC)	P-adj	log2(FC)	P-adj	log2(FC)	P-adj	log2(FC)	P-adj	log2(FC)	P-adj	log2(FC)	P-adj	log2(FC)	P-adj	log2(FC)	P-adj
Pfas	108,00	-0,40	0,0776	-0,47	0,0624	0,23	1,0000	0,45	0,1197	-0,02	0,9661	-0,30	0,5678	0,15	0,8269	0,55	0,1478	-0,05	0,9283
Pfdn1	78,21	0,12	0,7534	0,48	0,1030	0,35	0,8475	0,39	0,3768	-0,25	0,4315	0,50	0,2628	0,44	0,3050	0,50	0,2234	-0,27	0,4427
Pfdn2	26,11	0,03	0,9727	0,39	0,4887	0,07	NA	0,24	0,8581	-0,03	0,9679	0,28	0,7338	-0,02	0,9885	0,00	1,0000	-0,34	0,5479
Pfdn4	21,43	0,41	0,3888	0,25	0,7087	-0,28	NA	0,04	0,9853	-0,47	0,3607	0,05	0,9679	-0,12	0,9042	-0,09	0,9606	-0,50	0,4016
Pfdn5	82,90	-0,13	0,7523	-0,07	0,9009	-0,05	1,0000	0,05	0,9805	-0,21	0,5364	0,31	0,5415	0,00	0,9963	0,40	0,4409	0,11	0,8142
Pfkfb1	2,16	-0,59	NA	-0,21	0,7966	0,04	NA	-0,16	NA	-0,23	0,7743	0,30	NA	0,43	NA	0,20	NA	0,85	0,2259
Pfkfb2	72,84	-0,77	0,0150	0,68	0,0406	0,34	1,0000	0,59	0,1510	0,13	0,7522	0,60	0,2044	0,79	0,0434	0,64	0,1764	0,47	0,2022
Pfkfb3	12,04	1,09	0,0144	0,24	0,7793	0,17	NA	0,03	NA	0,27	0,7043	-0,35	0,7106	-0,42	NA	-0,89	0,1591	-0,47	0,4566
Pfkfb4	1,29	-0,03	NA	0,01	0,9946	0,01	NA	-0,06	NA	-0,32	0,6286	0,10	NA	0,08	NA	-0,17	NA	-0,34	NA
Pfkl	64,08	1,03	0,0061	-0,20	0,7485	0,19	1,0000	0,61	0,1553	0,56	0,0722	-0,81	0,2674	-0,38	0,6472	-0,03	0,9918	-0,63	0,2075
Pfkm	261,35	-0,42	0,0693	0,06	0,8970	-0,08	1,0000	-0,19	0,7757	-0,27	0,2281	0,17	0,7359	-0,03	0,9629	0,18	0,7939	-0,08	0,8573
Pfkp	165,06	0,67	0,0013	-0,08	0,8721	-0,18	1,0000	0,05	0,9805	-0,29	0,2795	-0,58	0,0785	-0,72	0,0178	-0,59	0,0796	-0,81	0,0006
Pfn1	358,66	0,26	0,3786	-0,52	0,0183	-0,23	1,0000	-0,24	0,6484	0,35	0,1747	-0,63	0,0513	-0,73	0,0143	-0,24	0,6822	0,43	0,3141
Pfn2	55,80	0,06	0,9098	0,34	0,3838	-0,07	1,0000	0,47	0,2764	0,63	0,0097	0,60	0,1323	0,12	0,8732	0,13	0,9074	0,21	0,6070
Pfn4	1,51	0,07	NA	-0,03	0,9730	-0,06	NA	0,00	NA	-0,43	NA	-0,33	NA	-0,09	NA	-0,03	NA	-0,66	NA
Pgam1	31,53	0,87	0,0255	-0,03	0,9750	-0,27	NA	-0,19	0,9140	0,20	0,7206	-0,04	0,9739	-0,57	0,3409	-0,86	0,1134	-0,64	0,1719
Pgam2	298,66	0,11	0,8923	0,41	0,5662	-0,16	1,0000	-0,24	0,8670	-0,67	0,1913	0,51	0,2742	-0,14	0,8430	0,13	0,9025	-0,50	0,2811
Pgam5	50,93	0,39	0,1876	0,31	0,4652	0,00	1,0000	0,21	0,8546	0,22	0,5599	-0,10	0,9034	-0,05	0,9535	-0,03	0,9882	0,05	0,9222
Pgap1	39,73	-0,44	0,3180	0,54	0,1631	0,02	1,0000	0,29	0,7454	0,59	0,0768	0,73	0,1570	0,47	0,4460	0,64	0,2705	0,94	0,0251
Pgap2	18,99	-0,10	0,8830	0,54	0,2717	0,12	NA	-0,29	0,8149	-0,58	0,2181	0,31	0,7183	0,10	NA	-0,27	0,8339	-0,73	0,1622
Pgap3	31,57	-0,36	0,3751	-0,44	0,3416	-0,19	1,0000	-0,34	0,6819	0,28	0,5951	-0,43	0,5446	-0,10	0,9223	0,14	0,9192	0,79	0,0971
Pgbd1	2,95	-0,35	0,6346	-0,09	0,9337	0,03	NA	-0,04	NA	-0,13	0,8831	0,19	0,8649	0,20	NA	-0,14	NA	0,09	0,9371
Pgbd5	4,50	0,71	0,2157	1,73	0,0001	0,26	NA	0,58	NA	1,18	0,0301	0,69	0,3659	-0,23	NA	0,03	0,9918	0,66	0,2952
Pgd	48,53	0,13	0,8204	0,06	0,9294	0,01	1,0000	-0,12	0,9482	0,29	0,4067	-0,25	0,7400	-0,24	0,7330	-0,18	0,8833	-0,05	0,9375
Pggt1b	40,78	0,13	0,7900	-0,01	0,9946	-0,05	1,0000	0,03	0,9855	-0,11	0,8180	-0,08	0,9343	0,15	0,8538	0,09	0,9494	0,00	0,9988
Pgk1	192,92	1,10	0,0003	0,15	0,8041	-0,04	1,0000	-0,24	0,8149	-0,66	0,0305	-0,16	0,8904	-0,66	0,1363	-0,93	0,0177	-1,31	0,0001
Pgls	19,18	0,53	0,2599	-0,51	0,4156	-0,03	NA	-0,06	0,9853	0,36	0,5190	0,14	0,8971	-0,47	NA	-0,55	0,4659	-0,37	0,4921
Pgm1	4,53	-0,07	0,9398	0,47	0,4933	-0,07	NA	-0,22	NA	0,60	0,3359	-0,06	0,9685	-0,31	NA	-0,35	NA	-0,17	0,8558
Pgm2	278,29	0,69	0,0109	-0,20	0,5818	0,07	1,0000	-0,05	0,9746	-0,03	0,9282	-0,67	0,0837	-0,36	0,4694	-0,43	0,4133	-0,47	0,1696
Pgm2l1	34,84	-0,95	0,0048	-0,04	0,9627	-0,19	1,0000	0,03	0,9873	0,71	0,0274	0,40	0,5845	0,61	0,2861	0,95	0,0428	1,62	0,0000
Pgm3	33,31	0,67	0,0553	-0,27	0,6717	-0,20	NA	0,43	0,5435	0,55	0,1347	-1,04	0,0246	-0,54	0,3267	-0,46	0,5219	-0,05	0,9391
Pgm5	259,25	-0,33	0,2894	-0,25	0,5344	-0,51	0,2671	-0,64	0,0446	-1,70	0,0000	-0,03	0,9656	-0,21	0,6775	-0,38	0,3959	-1,44	0,0000
Pgp	27,38	0,24	0,6449	-0,08	0,9251	-0,03	NA	0,20	0,8903	0,03	0,9580	0,14	0,8814	-0,22	0,7791	0,03	0,9915	-0,08	0,9107
Pgpep1	60,38	-0,55	0,0467	0,07	0,9150	-0,12	1,0000	-0,38	0,5124	-0,06	0,8768	0,41	0,4392	0,17	0,8216	0,03	0,9918	0,30	0,4522
Pgrmc1	112,64	0,67	0,0397	-0,69	0,0507	-0,30	1,0000	-0,30	0,6826	0,30	0,3534	-1,17	0,0022	-0,50	0,3221	-0,74	0,0988	0,05	0,9391
Pgrmc2	114,18	0,34	0,2191	0,08	0,8846	-0,11	1,0000	-0,07	0,9735	0,19	0,6424	-0,19	0,7209	-0,35	0,4101	-0,23	0,7234	-0,09	0,8217
Pgs1	42,86	0,21	0,6390	0,41	0,3628	0,01	1,0000	-0,20	0,8894	0,19	0,6892	0,12	0,8812	-0,51	0,3300	-0,11	0,9300	-0,13	0,8045
Phactr1	7,42	-1,01	0,0382	0,65	0,2347	0,24	NA	-0,53	0,4360	-1,57	0,0022	1,20	0,0500	0,84	NA	0,13	NA	-0,54	0,4942
Phactr2	269,60	-0,61	0,0002	-0,45	0,0468	0,10	1,0000	0,09	0,9371	0,04	0,9077	0,03	0,9645	0,52	0,0553	0,68	0,0049	0,60	0,0102
Phactr4	79,95	0,11	0,7789	-0,24	0,5390	-0,17	1,0000	-0,22	0,7690	0,47	0,0704	-0,30	0,5688	-0,03	0,9713	-0,12	0,9064	0,67	0,0502
Phax	35,29	0,03	0,9616	0,13	0,8317	0,19	1,0000	0,16	0,9196	-0,04	0,9486	-0,23	0,7759	0,15	0,8583	0,37	0,6212	0,08	0,9039
Phb	123,78	0,43	0,0477	-0,09	0,8363	-0,20	1,0000	-0,24	0,7114	-0,01	0,9799	0,02	0,9759	-0,25	0,5964	-0,46	0,2604	-0,15	0,6425
Phb2	102,07	0,24	0,4754	0,17	0,6883	-0,10	1,0000	-0,21	0,7954	0,08	0,8238	-0,09	0,9033	-0,43	0,3383	-0,33	0,5806	0,01	0,9805
Phc1	51,39	-0,26	0,6129	0,19	0,7418	-0,23	1,0000	-0,24	0,8292	-0,52	0,1687	0,04	0,9666	-0,24	0,7505	-0,08	0,9609	-0,51	0,2954
Phc2	40,89	0,06	0,9277	-0,11	0,8703	0,08	1,0000	0,21	0,8619	0,89	0,0064	-0,42	0,5030	-0,57	0,3014	0,28	0,7531	0,85	0,0505

GeneID	CTL	ET-1 vs CTL		SAHA vs CTL		JS28 vs CTL		BSP vs CTL		JQ1 vs CTL		ET-1+SAHA vs ET1		ET-1+JS28 vs ET1		ET-1+BSP vs ET1		ET-1+JQ1 vs ET1	
	mean	log2(FC)	P-adj	log2(FC)	P-adj	log2(FC)	P-adj	log2(FC)	P-adj	log2(FC)	P-adj	log2(FC)	P-adj	log2(FC)	P-adj	log2(FC)	P-adj	log2(FC)	P-adj
Phc3	224,83	-0,10	0,7771	0,35	0,1264	0,04	1,0000	0,23	0,6395	0,20	0,3596	0,05	0,9407	0,06	0,9236	0,04	0,9730	0,17	0,6246
Phf1	26,49	-0,43	0,3243	-0,51	0,3144	-0,25	NA	-0,46	0,5135	0,12	0,8335	-0,61	0,3674	-0,18	NA	-0,32	0,7668	-0,12	0,8703
Phf10	119,37	0,86	0,0032	-0,27	0,4485	0,02	1,0000	0,22	0,7520	0,09	0,7964	-1,14	0,0041	-0,80	0,0583	-0,80	0,0689	-0,65	0,1001
Phf11c	1,73	-0,02	NA	0,57	0,3478	-0,09	NA	0,00	NA	0,21	0,7896	0,03	NA	0,02	NA	0,20	NA	0,07	0,9479
Phf12	116,73	-0,09	0,8204	0,40	0,1615	0,11	1,0000	-0,12	0,9269	0,68	0,0139	0,25	0,5915	0,09	0,8953	0,14	0,8697	0,67	0,0402
Phf13	28,87	-0,27	0,5760	0,31	0,5603	0,02	1,0000	-0,04	0,9853	0,19	0,6740	0,30	0,6997	-0,19	0,8305	-0,08	0,9616	0,54	0,2556
Phf14	111,49	-0,18	0,6033	-0,23	0,5189	0,04	1,0000	0,01	0,9918	-0,92	0,0000	-0,24	0,6621	0,42	0,3199	0,11	0,9179	-0,46	0,2115
Phf2	95,32	0,05	0,9258	-0,44	0,1646	-0,03	1,0000	-0,08	0,9606	-0,26	0,4827	-0,53	0,2253	-0,35	0,4858	-0,23	0,7668	-0,16	0,7769
Phf20	103,53	-0,07	0,8358	0,30	0,2919	-0,14	1,0000	0,17	0,8318	0,37	0,0899	0,27	0,5689	0,25	0,6185	0,08	0,9404	0,42	0,0800
Phf2011	240,15	-0,04	0,9000	-0,26	0,3009	-0,18	1,0000	0,12	0,8756	0,05	0,8417	-0,33	0,3704	0,28	0,4711	0,15	0,8122	0,10	0,7592
Phf21a	119,42	-0,88	0,0000	0,04	0,9342	0,11	1,0000	-0,12	0,9084	-0,07	0,8568	0,33	0,4837	0,71	0,0248	0,51	0,1911	0,59	0,0622
Phf21b	2,59	-0,12	0,8953	0,59	0,3473	0,25	NA	0,05	NA	-0,30	0,6795	0,28	0,7928	0,08	NA	-0,05	NA	-0,11	0,9134
Phf23	50,99	0,06	0,9003	-0,08	0,9001	-0,04	1,0000	-0,18	0,8814	0,45	0,1339	-0,38	0,5099	-0,39	0,4798	-0,19	0,8521	0,61	0,1124
Phf3	265,45	-0,31	0,1303	-0,21	0,4455	-0,08	1,0000	0,03	0,9853	0,16	0,5816	-0,41	0,2375	0,30	0,4311	0,20	0,7127	0,37	0,2282
Phf5a	35,10	0,46	0,2397	0,00	0,9960	-0,04	NA	0,01	0,9972	0,22	0,6255	-0,21	0,7873	-0,56	0,2992	-0,61	0,2982	-0,09	0,8699
Phf6	35,91	0,50	0,1621	0,00	0,9960	-0,08	NA	0,16	0,9306	-0,10	0,8487	-0,35	0,5954	0,00	0,9969	-0,59	0,2863	-0,50	0,2404
Phf7	9,09	-0,81	0,1060	0,49	0,4108	0,00	NA	0,06	0,9853	-0,11	0,8803	1,21	0,0385	0,49	NA	0,45	0,6663	0,71	0,2661
Phf8	59,16	-0,05	0,9370	-0,21	0,6865	-0,05	1,0000	-0,10	0,9626	0,30	0,3628	-0,58	0,2394	-0,09	0,9184	-0,15	0,8990	0,28	0,4716
Phgdh	57,74	1,36	0,0029	0,09	0,9337	-0,15	NA	-0,45	0,5813	-0,11	0,8818	-0,95	0,1636	-0,83	0,1248	-1,12	0,0442	-1,17	0,0693
Phip	289,15	-0,31	0,1056	-0,19	0,4691	-0,20	1,0000	0,26	0,4781	-0,04	0,8928	-0,12	0,8164	0,43	0,1799	0,41	0,1990	0,30	0,4390
Phka1	64,46	-0,40	0,1839	-0,25	0,5558	-0,04	1,0000	0,02	0,9901	-0,48	0,0863	-0,12	0,8745	-0,05	0,9557	0,14	0,9025	-0,18	0,6914
Phka2	61,68	-0,37	0,2329	0,11	0,8476	-0,04	1,0000	-0,08	0,9681	-0,21	0,6360	0,49	0,2639	0,19	0,7780	0,11	0,9300	0,30	0,3803
Phkb	274,99	-0,16	0,5262	-0,15	0,6568	0,05	1,0000	0,19	0,7492	-0,60	0,0011	0,11	0,8250	0,31	0,3765	0,21	0,6684	-0,33	0,1773
Phkg1	10,98	-1,34	0,0011	-0,01	0,9895	0,09	NA	-0,66	0,2299	-2,12	0,0000	1,04	0,1105	0,51	NA	-0,39	NA	-0,93	0,1750
Phkg2	26,79	-0,23	0,6581	0,24	0,6875	0,02	NA	0,18	0,9084	0,24	0,5773	0,47	0,4708	0,04	0,9689	0,00	1,0000	0,19	0,7240
Phlda1	30,25	2,04	0,0000	0,91	0,0765	0,08	NA	-0,12	0,9573	0,61	0,2804	0,02	0,9863	-0,75	0,0813	-1,60	0,0000	-0,35	0,4964
Phlda3	65,17	0,20	0,6559	-0,18	0,7616	-0,24	1,0000	-0,53	0,3145	0,16	0,7211	-0,13	0,8562	-0,68	0,1066	-0,76	0,0629	0,02	0,9787
Phldb1	87,49	-0,24	0,4547	-0,34	0,3101	-0,14	1,0000	-0,25	0,7219	0,08	0,8403	-0,49	0,2699	-0,42	0,3675	-0,15	0,8823	0,19	0,7242
Phldb2	477,55	0,38	0,1188	-0,30	0,4259	-0,15	1,0000	-0,37	0,4651	-0,48	0,0704	-0,72	0,0012	-0,24	0,4993	-0,56	0,0169	-0,66	0,0010
Phlpp1	87,79	-0,63	0,0016	-0,17	0,6615	0,04	1,0000	0,27	0,5986	0,15	0,6312	0,17	0,7965	0,44	0,3312	0,89	0,0041	0,90	0,0001
Phlpp2	44,23	-0,41	0,2602	-0,45	0,2886	-0,34	1,0000	-0,23	0,8420	0,22	0,5467	-0,18	0,8321	-0,06	0,9555	0,02	0,9921	0,47	0,2149
Phospho1	145,16	0,27	0,3864	0,05	0,9231	0,13	1,0000	0,23	0,7246	0,48	0,1162	-0,03	0,9742	-0,46	0,2843	0,28	0,6358	0,37	0,3523
Phospho2	42,50	0,27	0,5326	0,15	0,8167	0,07	1,0000	0,00	0,9988	0,17	0,7235	-0,26	0,7106	0,10	0,9089	0,19	0,8511	-0,26	0,6184
Phpt1	20,32	0,39	0,4573	0,15	0,8631	0,26	NA	0,47	0,5351	0,19	0,7510	-0,24	0,7956	-0,27	0,7274	-0,02	0,9938	-0,41	0,4290
Phrf1	83,31	0,04	0,9318	0,23	0,5566	0,02	1,0000	-0,05	0,9805	0,34	0,1780	-0,24	0,6788	-0,29	0,5946	-0,12	0,9122	0,29	0,3619
Phf1	18,58	-0,31	0,5683	0,42	0,4139	-0,08	NA	-0,02	0,9901	0,18	0,7278	0,30	0,7400	0,05	NA	0,18	0,9037	0,43	0,4003
Phf1os	7,48	-0,42	0,5169	-1,02	0,0502	-0,33	NA	-0,22	0,8819	-0,35	0,6050	-0,49	0,5950	0,35	NA	-0,28	NA	-0,08	0,9346
Phf2	180,48	-0,10	0,8189	-0,11	0,8238	-0,26	1,0000	0,56	0,0386	0,90	0,0001	0,20	0,7239	0,19	0,7255	0,81	0,0062	1,05	0,0008
Phxr4	2,91	-0,54	0,3717	-0,63	0,2823	-0,26	NA	-0,13	NA	-0,87	0,1490	0,08	NA	0,01	NA	-0,18	NA	-0,35	NA
Phyh	188,26	-0,05	0,9140	-0,95	0,0002	-0,16	1,0000	-0,36	0,4734	-0,50	0,0749	-0,69	0,0542	-0,08	0,9131	-0,43	0,3487	-0,58	0,1128
Phyhd1	5,94	-0,41	0,5508	0,36	0,6459	-0,09	NA	-0,14	0,9430	0,24	0,7446	0,54	0,5419	-0,04	NA	-0,02	NA	-0,14	0,8896
Phyhip	9,20	-1,10	0,0152	-0,38	0,6013	-0,13	NA	-0,29	0,8191	-0,15	0,8466	0,30	0,7814	0,36	NA	0,16	NA	0,53	0,4740
Phykpl	13,98	0,20	0,7726	-0,03	0,9776	-0,08	NA	-0,13	0,9574	0,09	0,9001	-0,33	0,7290	-0,59	NA	-0,23	0,8619	-0,50	0,3798
Pi15	2,31	0,28	0,6978	0,07	0,9469	-0,02	NA	-0,18	NA	-0,30	0,6654	-0,36	0,6808	-0,27	NA	-0,42	NA	-0,76	0,2405
Pi4k2a	48,82	0,13	0,7808	0,29	0,5114	-0,01	1,0000	0,05	0,9853	0,31	0,3630	0,00	0,9986	-0,19	0,7802	-0,04	0,9835	0,39	0,2478

GeneID	CTL	ET-1 vs CTL		SAHA vs CTL		JS28 vs CTL		BSP vs CTL		JQ1 vs CTL		ET-1+SAHA vs ET1		ET-1+JS28 vs ET1		ET-1+BSP vs ET1		ET-1+JQ1 vs ET1	
	mean	log2(FC)	P-adj	log2(FC)	P-adj	log2(FC)	P-adj	log2(FC)	P-adj	log2(FC)	P-adj	log2(FC)	P-adj	log2(FC)	P-adj	log2(FC)	P-adj	log2(FC)	P-adj
Pi4k2b	7,96	-0,34	0,6189	0,26	0,7429	-0,03	NA	0,08	0,9764	-0,03	0,9718	0,37	0,7176	0,34	NA	0,39	0,7360	-0,18	0,8396
Pi4ka	272,93	-0,05	0,8867	0,08	0,8217	0,16	1,0000	0,18	0,7415	0,27	0,1083	-0,15	0,7691	-0,04	0,9517	0,30	0,4908	0,28	0,2439
Pi4kb	55,99	-0,13	0,7553	-0,15	0,7812	-0,02	1,0000	0,03	0,9860	0,01	0,9878	-0,16	0,8292	-0,02	0,9819	0,15	0,8833	0,12	0,8068
Pias1	96,40	-0,44	0,0667	0,15	0,7164	-0,04	1,0000	0,21	0,7814	0,46	0,0242	0,57	0,1235	0,38	0,3913	0,49	0,2483	0,86	0,0002
Pias2	134,72	-0,38	0,1197	-0,02	0,9712	-0,02	1,0000	-0,05	0,9817	-0,26	0,3706	0,44	0,2400	0,46	0,2022	0,16	0,8472	0,10	0,8072
Pias3	42,05	-0,64	0,0590	-0,74	0,0418	-0,26	1,0000	0,07	0,9746	0,66	0,0184	-0,41	0,5667	0,03	0,9764	0,45	0,5276	1,17	0,0008
Pias4	26,53	0,09	0,8853	-0,04	0,9711	0,09	NA	0,09	0,9681	0,36	0,3547	-0,15	0,8709	-0,24	0,7732	-0,22	0,8521	0,35	0,4424
Pibf1	53,53	-0,10	0,8433	-0,35	0,4045	-0,32	1,0000	-0,03	0,9860	-0,59	0,0878	-0,54	0,3273	0,22	0,7577	0,07	0,9680	-0,63	0,1749
Picalm	488,90	1,03	0,0000	0,21	0,4259	0,00	1,0000	0,17	0,7652	0,25	0,2503	-0,53	0,0425	-0,56	0,0269	-0,63	0,0064	-0,48	0,0889
Pick1	27,24	0,18	0,7450	0,24	0,7070	-0,02	NA	-0,49	0,4647	-1,29	0,0012	-0,53	0,4214	-0,04	0,9678	-0,57	0,4133	-1,74	0,0000
Pid1	2,53	-0,69	0,2121	-0,01	0,9930	-0,14	NA	-0,37	NA	-0,05	0,9557	0,55	NA	0,32	NA	0,33	NA	0,46	NA
Pidd1	23,45	-0,43	0,3596	-0,46	0,3881	-0,16	NA	-0,96	0,0162	-1,38	0,0006	-0,29	0,7641	-0,33	NA	-0,60	0,4576	-0,95	0,0767
Piezo1	74,32	0,38	0,3176	-0,04	0,9666	0,07	1,0000	-0,74	0,0731	-0,24	0,5783	-0,56	0,2265	-0,54	0,2251	-0,57	0,2105	-0,27	0,5069
Piga	6,82	0,14	0,8708	0,46	0,4950	0,12	NA	0,34	0,7392	0,31	0,6579	0,26	0,8143	0,06	NA	0,04	0,9911	0,24	0,7536
Pigb	9,73	-0,20	0,7888	0,16	0,8596	0,12	NA	-0,15	0,9430	-0,85	0,1253	0,26	0,8065	0,18	NA	0,02	0,9931	-0,45	0,5486
Pigc	25,72	-0,12	0,8413	-0,48	0,3358	-0,09	NA	-0,20	0,8939	-0,41	0,3416	-0,07	0,9512	-0,02	0,9834	-0,09	0,9590	-0,23	0,6777
Pigf	13,60	0,40	0,5326	0,19	0,8325	0,02	NA	0,16	0,9399	0,64	0,2419	0,50	0,5066	-0,07	NA	-0,50	0,5924	0,11	0,9035
Pigg	37,31	-0,46	0,1709	0,04	0,9587	-0,04	1,0000	0,00	0,9988	-0,35	0,3554	0,74	0,1003	0,09	0,9239	0,39	0,6075	0,22	0,6522
Pigh	3,43	-0,03	0,9784	-0,26	0,7541	-0,03	NA	-0,01	NA	0,07	0,9429	-0,14	0,9080	0,33	NA	0,10	NA	0,09	0,9296
Pigk	96,60	0,35	0,2610	-0,16	0,7371	0,08	1,0000	0,08	0,9628	-0,26	0,4348	-0,19	0,7645	0,05	0,9458	-0,07	0,9590	-0,64	0,0657
Pigl	10,93	0,22	0,7753	0,39	0,5980	0,07	NA	0,20	0,9058	1,16	0,0058	-0,07	0,9585	-0,04	NA	0,00	1,0000	1,12	0,0087
Pigm	77,00	-0,17	0,6232	0,19	0,6282	-0,06	1,0000	0,10	0,9469	0,17	0,5674	0,33	0,5142	0,23	0,6938	-0,02	0,9918	0,21	0,5990
Pign	81,91	-0,05	0,9173	0,30	0,3930	-0,06	1,0000	0,16	0,8797	0,16	0,6104	0,14	0,8292	0,02	0,9784	-0,23	0,7592	-0,01	0,9902
Pigo	23,13	-0,03	0,9710	-0,29	0,6602	-0,01	NA	-0,11	0,9628	0,34	0,4234	-0,03	0,9789	-0,13	0,8951	0,04	0,9911	0,09	0,8904
Pigp	44,97	-0,32	0,3881	-0,47	0,2337	0,00	1,0000	-0,01	0,9941	-0,34	0,3452	0,02	0,9893	0,31	0,6235	0,40	0,5760	-0,25	0,6109
Pigq	112,27	0,06	0,8976	-0,11	0,7951	-0,07	1,0000	-0,17	0,8420	0,13	0,6365	-0,08	0,9265	0,06	0,9432	0,02	0,9918	0,11	0,8112
Pigs	74,28	0,14	0,7055	0,21	0,6189	0,03	1,0000	-0,09	0,9606	0,44	0,0764	0,09	0,9018	-0,59	0,1505	-0,27	0,6999	0,29	0,3884
Pigt	118,72	-0,01	0,9896	0,10	0,8363	0,03	1,0000	-0,09	0,9563	0,20	0,4980	-0,04	0,9534	-0,17	0,7881	0,20	0,7864	0,23	0,5492
Pigu	45,43	0,07	0,9012	-0,06	0,9404	-0,13	1,0000	-0,39	0,6249	0,09	0,8633	0,24	0,7290	0,09	0,9206	-0,40	0,5637	0,24	0,6411
Pigv	15,02	-0,27	0,6706	0,17	0,8332	0,04	NA	0,12	0,9600	0,19	0,7441	0,48	0,5446	0,07	NA	0,09	0,9681	0,73	0,1442
Pigw	23,19	0,29	0,5617	-0,12	0,8808	-0,01	NA	-0,36	0,7092	-0,92	0,0411	-0,06	0,9542	-0,58	0,3437	-0,63	0,3548	-1,00	0,0199
Pigx	25,10	-0,30	0,5459	-0,38	0,4825	0,09	NA	0,08	0,9742	0,06	0,9186	0,61	0,3040	0,65	0,2344	0,29	0,7916	0,31	0,5835
Pigy1	5,72	0,07	0,9419	-0,22	0,8139	-0,16	NA	-0,08	NA	0,14	0,8578	0,02	0,9881	-0,43	NA	-0,25	NA	0,43	0,5445
Pih1d1	21,80	-0,33	0,5240	-0,55	0,2877	-0,09	NA	-0,11	0,9626	0,26	0,5819	-0,26	0,7930	0,06	NA	0,33	0,7533	0,65	0,1548
Pih1d2	1,05	-0,10	NA	0,00	0,9965	0,00	NA	-0,02	NA	-0,33	NA	0,04	NA	-0,02	NA	0,08	NA	0,25	NA
Pik3c2a	177,91	-0,22	0,4083	-0,08	0,8609	-0,08	1,0000	0,11	0,9306	-0,10	0,7707	0,30	0,4222	0,27	0,5021	0,20	0,7121	0,07	0,8607
Pik3c2b	28,30	-0,68	0,0496	-0,01	0,9947	-0,31	1,0000	-0,41	0,5831	-0,96	0,0088	0,13	0,8999	0,57	0,3199	0,07	0,9730	-0,56	0,3096
Pik3c3	47,95	-0,37	0,2783	-0,16	0,7807	0,20	1,0000	0,14	0,9276	0,03	0,9460	-0,07	0,9406	0,35	0,5354	0,29	0,7186	0,18	0,6954
Pik3ca	225,88	-0,10	0,7511	0,14	0,6719	0,06	1,0000	0,36	0,2367	0,30	0,1389	0,26	0,5282	0,35	0,3183	0,38	0,2701	0,34	0,1975
Pik3cb	50,52	0,97	0,0007	0,33	0,5114	-0,06	1,0000	-0,12	0,9563	0,68	0,0378	-0,46	0,3799	-0,59	0,1963	-0,78	0,0718	0,21	0,6113
Pik3ip1	164,34	-1,34	0,0000	-1,15	0,0000	0,10	1,0000	-0,06	0,9628	-0,28	0,3349	-0,64	0,0949	0,90	0,0012	0,66	0,0459	0,25	0,6135
Pik3r1	218,83	-0,52	0,0155	-0,14	0,7047	-0,30	0,8412	0,27	0,5427	0,13	0,6239	0,45	0,2546	0,53	0,1161	0,76	0,0069	0,60	0,0486
Pik3r2	91,27	-0,27	0,3835	0,07	0,8895	0,07	1,0000	0,34	0,4879	0,52	0,0184	-0,20	0,7471	0,04	0,9629	0,44	0,3276	0,77	0,0027
Pik3r3	60,84	-1,00	0,0002	-0,21	0,6645	-0,68	0,0526	-0,44	0,3646	-0,76	0,0057	0,70	0,1473	0,44	0,4453	0,45	0,5209	0,62	0,1462
Pik3r4	97,31	-0,56	0,0086	0,01	0,9885	-0,05	1,0000	-0,07	0,9634	-0,03	0,9228	0,20	0,7478	0,43	0,3197	0,49	0,2597	0,37	0,2699

GeneID	CTL	ET-1 vs CTL		SAHA vs CTL		JS28 vs CTL		BSP vs CTL		JQ1 vs CTL		ET-1+SAHA vs ET1		ET-1+JS28 vs ET1		ET-1+BSP vs ET1		ET-1+JQ1 vs ET1	
	mean	log2(FC)	P-adj	log2(FC)	P-adj	log2(FC)	P-adj	log2(FC)	P-adj	log2(FC)	P-adj	log2(FC)	P-adj	log2(FC)	P-adj	log2(FC)	P-adj	log2(FC)	P-adj
Pik3r5	8,34	-0,50	0,3933	0,28	0,7125	-0,01	NA	0,03	0,9860	-0,15	0,8304	0,15	0,9072	0,23	NA	0,53	0,5771	0,68	0,2662
Pikfyve	124,05	-0,15	0,6706	0,23	0,5791	0,09	1,0000	0,28	0,6551	0,22	0,4754	0,27	0,5453	0,36	0,3721	0,38	0,3651	0,31	0,4368
Pim1	17,92	0,02	0,9764	0,22	0,7691	0,32	NA	0,56	0,3487	0,84	0,0249	0,03	0,9822	-0,13	NA	0,97	0,0477	0,70	0,1239
Pim2	8,17	-0,42	0,5042	0,02	0,9885	-0,26	NA	0,29	0,8147	0,98	0,0213	0,44	0,6365	-0,07	NA	0,52	0,5913	1,77	0,0000
Pim3	23,17	-0,15	0,7928	0,21	0,7470	0,06	NA	0,31	0,7444	0,91	0,0072	0,38	0,6080	-0,08	NA	0,92	0,0426	0,77	0,0372
Pin1	34,90	0,22	0,6674	-0,16	0,8323	-0,08	NA	-0,15	0,9406	0,25	0,5808	-0,08	0,9290	-0,54	0,3426	-0,40	0,6017	0,01	0,9945
Pin4	4,26	0,22	0,7849	0,31	0,7100	0,06	NA	-0,11	NA	0,12	0,8864	0,11	0,9343	-0,21	NA	-0,14	NA	-0,52	0,5100
Pink1	168,27	-0,89	0,0000	-0,86	0,0002	0,26	1,0000	0,22	0,7414	0,33	0,1366	-0,33	0,4432	0,49	0,1641	1,00	0,0000	0,92	0,0000
Pinx1	17,05	1,00	0,0099	-0,09	0,9267	-0,09	NA	-0,32	0,7734	-0,10	0,8928	-0,70	0,2869	-0,64	NA	-0,72	0,2771	-0,76	0,1060
Pip4k2a	33,88	0,06	0,9221	0,28	0,6031	0,06	1,0000	0,53	0,2732	1,05	0,0001	0,18	0,8220	0,27	0,6949	0,41	0,5734	0,89	0,0117
Pip4k2b	68,12	0,20	0,6002	-0,14	0,8000	0,12	1,0000	-0,26	0,7652	0,24	0,5484	-0,49	0,2875	-0,48	0,2966	-0,58	0,1972	0,18	0,7320
Pip4k2c	125,54	-0,24	0,3476	-0,36	0,2362	-0,22	1,0000	0,02	0,9860	0,16	0,5584	0,01	0,9868	0,17	0,7517	0,33	0,4835	0,47	0,1114
Pip5k1a	72,59	0,00	0,9927	0,12	0,8139	-0,01	1,0000	-0,18	0,8670	-0,23	0,4754	0,24	0,6763	-0,05	0,9527	-0,11	0,9214	0,09	0,8305
Pip5k1b	53,51	0,06	0,9137	-0,01	0,9885	0,05	1,0000	-0,19	0,8814	-0,55	0,1084	-0,17	0,8245	0,24	0,6938	-0,24	0,7880	-0,60	0,0860
Pip5k1c	140,88	-0,10	0,7834	-0,30	0,2622	0,17	1,0000	0,27	0,5221	0,88	0,0000	-0,46	0,2681	-0,31	0,5266	0,31	0,5640	0,73	0,0027
Pir	8,20	-0,74	0,1575	-0,57	0,3762	0,01	NA	-0,34	0,7492	-1,28	0,0158	-0,01	0,9933	0,46	NA	-0,40	NA	-0,77	0,2837
Pirt	18,60	-0,60	0,2732	-0,56	0,3312	-0,13	NA	-0,15	0,9422	-1,45	0,0023	-0,36	0,7231	-0,01	NA	-0,09	0,9659	-1,83	0,0015
Pisd	37,71	-0,06	0,9254	0,60	0,0844	0,16	1,0000	0,17	0,9060	0,44	0,1979	0,10	0,9097	0,11	0,9009	0,28	0,7533	0,48	0,3276
Pisd-ps2	25,19	-0,43	0,3392	0,85	0,0081	0,50	0,4948	0,20	0,8881	0,34	0,3941	0,54	0,4346	0,62	0,2843	0,43	0,6260	0,65	0,2057
Pithd1	17,55	0,31	0,5957	-0,04	0,9730	-0,05	NA	0,38	0,6921	0,63	0,1617	-0,14	0,8975	-0,04	NA	0,24	0,8446	0,48	0,2947
Pitpna	214,35	0,01	0,9809	0,05	0,9209	-0,03	1,0000	0,13	0,8731	0,09	0,7046	0,07	0,9069	-0,22	0,6056	0,13	0,8469	0,16	0,5567
Pitpnb	111,49	0,19	0,5032	0,11	0,8021	0,14	1,0000	0,17	0,8369	0,41	0,0704	-0,14	0,8117	0,02	0,9768	0,09	0,9238	0,10	0,7842
Pitpnc1	49,48	-0,44	0,2887	-0,15	0,8071	-0,13	1,0000	-0,33	0,6648	0,18	0,6546	0,20	0,8085	0,16	0,8538	0,01	0,9967	0,54	0,2439
Pitpnm1	34,49	0,03	0,9650	0,87	0,0055	0,34	1,0000	0,08	0,9727	-0,34	0,4281	0,42	0,5115	0,10	0,9152	0,02	0,9931	-0,39	0,4776
Pitpnm2	173,52	-0,33	0,1272	-0,29	0,3253	0,14	1,0000	0,17	0,8367	0,21	0,4605	-0,46	0,1939	-0,05	0,9432	0,39	0,2998	0,36	0,3111
Pitpnm3	5,81	-0,40	0,5628	0,38	0,6139	0,03	NA	-0,30	NA	-1,20	0,0324	0,34	0,7507	0,01	NA	0,05	NA	-0,45	0,5872
Pitrm1	124,95	0,07	0,8525	0,06	0,9015	0,25	1,0000	0,35	0,3832	0,59	0,0037	-0,26	0,5988	0,00	0,9963	0,18	0,7973	0,54	0,0147
Pitx2	17,41	-0,35	0,5951	-0,54	0,3608	-0,23	NA	-0,87	0,0487	-0,25	0,6695	-0,45	0,6283	-0,08	NA	-0,95	0,1350	-0,23	0,7700
Pja1	68,40	-0,05	0,9238	0,27	0,5122	-0,12	1,0000	-0,11	0,9473	0,30	0,3098	0,25	0,6748	-0,07	0,9279	0,10	0,9346	0,08	0,8542
Pja2	628,12	0,19	0,3026	0,08	0,7983	-0,11	1,0000	0,06	0,9600	0,14	0,5791	0,21	0,5682	0,01	0,9784	-0,17	0,7288	-0,02	0,9782
Pkd1	128,71	0,10	0,7984	-0,44	0,1103	-0,13	1,0000	0,08	0,9574	0,28	0,3267	-0,68	0,0858	-0,34	0,4741	0,14	0,8756	0,30	0,3333
Pkd1l2	4,96	0,18	0,8271	-0,53	0,4168	-0,27	NA	-0,49	NA	-1,23	0,0269	-0,85	0,2317	-0,39	NA	-0,57	NA	-1,46	0,0181
Pkd1l3	1,64	0,09	NA	-0,24	NA	-0,08	NA	-0,05	NA	0,18	0,8110	0,10	0,9325	0,12	NA	-0,32	NA	0,19	0,8396
Pkd2	76,79	-0,10	0,8030	-0,99	0,0002	-0,01	1,0000	0,17	0,8747	-0,50	0,0707	-0,56	0,2010	0,13	0,8504	-0,01	0,9939	-0,85	0,0037
Pkd2l2	8,10	-0,63	0,2539	0,13	0,8895	-0,17	NA	0,30	0,8125	0,34	0,5674	0,80	0,2703	0,37	NA	0,58	0,5141	0,68	0,3053
Pkdcc	56,99	0,33	0,3180	-0,04	0,9549	-0,03	1,0000	-0,03	0,9860	-0,11	0,7963	-0,06	0,9468	-0,58	0,1862	0,02	0,9931	-0,16	0,7462
Pkia	353,07	-0,07	0,8191	-0,70	0,0000	-0,35	0,6222	0,12	0,8797	-0,09	0,8072	-0,20	0,6563	-0,13	0,7856	-0,21	0,6978	-0,21	0,5769
Pkig	98,78	-0,15	0,6718	-0,77	0,0041	-0,13	1,0000	-0,18	0,8581	-0,24	0,4489	-0,11	0,8738	0,07	0,9184	-0,06	0,9633	0,23	0,6548
Pkm	676,43	0,59	0,0472	0,28	0,2873	-0,03	1,0000	0,16	0,8264	0,30	0,1182	-0,02	0,9840	-0,45	0,3469	-0,01	0,9938	-0,15	0,7513
Pkn1	57,72	-0,18	0,7470	-0,20	0,7341	0,07	1,0000	-0,12	0,9473	0,02	0,9746	-0,56	0,3107	-0,21	0,7759	0,09	0,9528	0,18	0,7084
Pkn2	290,24	-0,06	0,8683	-0,06	0,9140	0,04	1,0000	0,10	0,9437	-0,07	0,8406	0,04	0,9472	0,30	0,4183	0,08	0,9170	-0,05	0,9277
Pknox1	25,13	0,27	0,6454	-0,39	0,5164	-0,23	NA	0,54	0,3473	0,82	0,0137	-0,87	0,1388	-0,50	0,4601	0,06	0,9789	0,15	0,8283
Pknox2	22,25	-0,11	0,8620	0,29	0,6221	-0,13	NA	0,09	0,9742	0,68	0,0847	0,46	0,5041	-0,02	NA	0,15	0,9192	1,11	0,0082
Pkp2	557,81	0,20	0,2572	-0,30	0,1589	-0,12	1,0000	-0,13	0,8363	0,24	0,1299	-0,37	0,1804	-0,48	0,0553	-0,33	0,2880	-0,06	0,8157
Pkp4	327,26	0,41	0,0565	-0,37	0,2074	0,06	1,0000	0,13	0,9060	0,54	0,0082	-0,16	0,7258	0,22	0,5676	0,52	0,0402	0,64	0,0004

GeneID	CTL	ET-1 vs CTL		SAHA vs CTL		JS28 vs CTL		BSP vs CTL		JQ1 vs CTL		ET-1+SAHA vs ET1		ET-1+JS28 vs ET1		ET-1+BSP vs ET1		ET-1+JQ1 vs ET1	
	mean	log2(FC)	P-adj	log2(FC)	P-adj	log2(FC)	P-adj	log2(FC)	P-adj	log2(FC)	P-adj	log2(FC)	P-adj	log2(FC)	P-adj	log2(FC)	P-adj	log2(FC)	P-adj
Pla2g12a	26,97	0,47	0,2166	0,42	0,4028	-0,04	NA	-0,04	0,9853	0,16	0,7686	0,16	0,8424	-0,28	0,6949	-0,45	0,5443	-0,23	0,6585
Pla2g15	10,44	0,07	0,9398	0,56	0,3444	0,01	NA	-0,30	0,8121	-0,54	0,3853	0,57	0,4478	-0,21	NA	-0,33	0,7926	-0,81	0,1889
Pla2g16	49,69	-0,03	0,9632	0,09	0,8905	0,13	1,0000	-0,24	0,8318	-0,65	0,0898	0,38	0,4945	-0,01	0,9963	0,04	0,9822	-0,57	0,1373
Pla2g4a	5,18	0,68	0,2402	0,69	0,2583	0,05	NA	-0,10	NA	-0,70	0,2589	0,28	0,7985	-0,29	NA	-0,60	0,4950	-1,00	0,1251
Pla2g4e	4,71	0,10	0,9091	-0,50	0,4168	-0,19	NA	-0,33	NA	-1,10	0,0391	-0,84	0,2050	-0,45	NA	-0,56	NA	-0,98	0,1447
Pla2g5	5,54	-0,70	0,2196	-0,08	0,9390	0,55	NA	-0,56	NA	-1,50	0,0051	0,38	0,7025	0,48	NA	-0,08	NA	-0,55	0,4290
Pla2g6	15,39	-0,42	0,4202	0,18	0,8105	-0,05	NA	-0,19	0,9118	-0,10	0,8690	0,15	0,8990	-0,21	NA	0,29	0,8185	0,02	0,9840
Pla2g7	3,82	-0,62	0,2941	-0,18	0,8476	0,14	NA	-0,34	NA	-1,41	0,0075	0,47	0,5915	0,15	NA	-0,38	NA	-0,66	NA
Plaa	229,42	-0,05	0,8845	0,23	0,3886	0,21	1,0000	0,20	0,6940	0,03	0,9091	0,19	0,6924	0,24	0,5970	0,22	0,6935	0,01	0,9822
Plag1	52,46	-0,37	0,2515	0,11	0,8426	-0,04	1,0000	0,20	0,8443	-0,42	0,1616	0,33	0,5791	0,14	0,8658	0,14	0,9086	-0,32	0,5206
Plagl1	152,62	-1,04	0,0000	-0,28	0,3811	0,01	1,0000	0,44	0,1699	0,70	0,0008	0,64	0,1392	0,64	0,1300	0,88	0,0187	1,63	0,0000
Plagl2	51,32	-0,18	0,6508	-0,13	0,8241	-0,17	1,0000	0,03	0,9853	0,23	0,5631	0,16	0,8292	0,18	0,7953	0,28	0,7092	0,37	0,4093
Plat	4,43	-0,31	0,6771	1,45	0,0008	-0,17	NA	0,20	NA	1,02	0,0501	2,08	0,0000	-0,02	NA	1,24	0,0243	1,26	0,0290
Plb1	2,83	-0,03	0,9802	0,19	0,8306	0,05	NA	0,03	NA	-0,70	0,2335	0,27	0,8040	-0,09	NA	-0,43	NA	-0,58	0,4277
Plbd2	47,19	-0,16	0,7518	0,36	0,4166	0,32	1,0000	0,31	0,6921	0,76	0,0038	0,30	0,6583	0,22	0,7480	0,15	0,9025	0,71	0,0223
Plcb1	29,59	0,16	0,7984	0,49	0,2785	0,05	NA	0,25	0,8334	0,40	0,3220	0,27	0,7507	0,11	0,9138	0,07	0,9730	0,29	0,6481
Plcb2	2,46	-0,30	0,6801	-0,27	0,7158	0,10	NA	-0,20	NA	-0,76	0,2045	-0,23	NA	0,16	NA	-0,01	NA	-0,38	NA
Plcb3	19,00	-0,62	0,1477	0,40	0,4577	0,04	NA	-0,17	0,9269	-0,32	0,5542	0,32	0,7310	0,23	NA	-0,17	0,9179	-0,28	0,7034
Plcb4	252,32	-0,56	0,0013	-0,24	0,3739	-0,28	0,9123	0,04	0,9805	-0,24	0,3736	0,16	0,7422	0,31	0,4116	0,29	0,5141	0,08	0,8349
Plcd1	9,74	0,05	0,9559	0,37	0,5941	0,03	NA	0,25	0,8624	-0,20	0,7753	-0,14	0,9149	-0,34	NA	0,44	0,6695	0,00	0,9988
Plcd3	46,58	-0,37	0,3396	0,34	0,4676	0,33	1,0000	-0,20	0,8797	-0,43	0,2955	0,28	0,6878	0,08	0,9307	0,09	0,9545	-0,21	0,7225
Plce1	123,58	0,13	0,7778	-0,30	0,4689	-0,28	1,0000	-0,13	0,9275	0,03	0,9488	-0,31	0,5631	-0,34	0,5031	0,30	0,6296	0,23	0,5692
Plcg1	78,35	-0,46	0,0705	0,05	0,9172	0,03	1,0000	-0,04	0,9853	0,02	0,9514	0,03	0,9757	0,10	0,9034	0,36	0,5559	0,03	0,9638
Plcg2	6,96	0,22	0,7788	1,05	0,0270	-0,21	NA	0,07	NA	0,28	0,6984	0,00	0,9982	-0,29	NA	-0,33	0,7993	-0,26	0,7570
Plcl1	161,84	-0,78	0,0007	-0,44	0,1495	-0,46	0,4315	0,14	0,9050	0,08	0,8033	0,23	0,6808	-0,05	0,9454	0,64	0,0612	0,47	0,1114
Plcl2	36,66	0,03	0,9592	0,24	0,6607	0,24	1,0000	0,15	0,9269	-0,64	0,0715	0,19	0,8094	-0,09	0,9239	-0,03	0,9918	-0,35	0,4645
Plcx1	1,05	0,33	NA	-0,12	NA	-0,04	NA	-0,03	NA	0,16	NA	-0,16	NA	-0,06	NA	-0,34	NA	-0,21	NA
Plcx2	21,98	0,86	0,0319	0,72	0,1707	0,03	NA	-0,48	0,5354	0,03	0,9665	0,27	0,7209	-0,69	0,1924	-1,41	0,0015	-0,46	0,3528
Plid1	22,35	-0,34	0,4805	0,38	0,4464	0,22	NA	-0,12	0,9523	-0,60	0,1412	0,55	0,3966	0,12	NA	-0,15	0,9272	-0,40	0,4861
Plid2	11,24	-0,14	0,8500	-0,82	0,1320	0,25	NA	-0,32	0,7688	-0,96	0,0649	-0,50	0,5713	0,05	NA	-0,47	0,6467	-1,04	0,0883
Plid3	52,77	-0,13	0,7699	1,07	0,0000	0,37	0,8486	-0,04	0,9853	0,18	0,6065	0,80	0,0283	0,17	0,8216	0,18	0,8578	0,27	0,4602
Plid5	2,04	0,74	NA	-0,10	NA	-0,05	NA	-0,08	NA	0,16	NA	-0,46	0,6141	-0,41	NA	-0,63	NA	-0,85	0,2304
Pllec	734,86	0,22	0,5440	-0,66	0,0222	-0,53	0,2649	-0,43	0,3496	-0,64	0,0078	-1,07	0,0000	-0,89	0,0001	-0,72	0,0022	-0,83	0,0001
Plekha1	119,45	0,10	0,8113	0,24	0,4737	0,32	0,8412	0,32	0,5133	0,11	0,7017	0,30	0,5220	0,03	0,9713	-0,01	0,9946	-0,11	0,8178
Plekha2	141,99	0,31	0,4077	-0,51	0,0658	-0,02	1,0000	-0,33	0,5293	-0,78	0,0005	-0,59	0,1951	-0,14	0,8445	-0,62	0,1705	-0,82	0,0142
Plekha3	67,42	0,34	0,3632	0,05	0,9462	0,07	1,0000	0,16	0,9096	0,41	0,1747	0,21	0,7431	-0,09	0,9142	0,08	0,9551	0,10	0,8408
Plekha4	1,38	-0,49	NA	-0,03	0,9804	0,04	NA	0,06	NA	0,21	0,7977	0,36	NA	0,10	NA	0,10	NA	0,50	NA
Plekha5	53,16	-0,62	0,0720	-0,44	0,2914	0,01	1,0000	0,08	0,9700	-0,43	0,2116	0,17	0,8384	0,38	0,5303	0,43	0,5378	-0,15	0,8159
Plekha6	203,28	0,32	0,3358	0,40	0,1860	0,42	0,5240	0,22	0,7551	0,05	0,8832	-0,12	0,8596	-0,36	0,4379	-0,66	0,0710	-0,36	0,4488
Plekha7	144,00	-0,15	0,6360	-0,01	0,9867	-0,08	1,0000	-0,09	0,9473	-0,11	0,7718	-0,06	0,9313	-0,06	0,9285	0,14	0,8577	0,00	0,9992
Plekha8	47,73	-0,28	0,4374	-0,41	0,2817	-0,24	1,0000	-0,11	0,9469	-0,27	0,4677	-0,12	0,8918	0,06	0,9432	-0,11	0,9372	0,08	0,8781
Plekha2	60,84	-0,23	0,5509	-0,13	0,8040	0,14	1,0000	-0,34	0,5646	-1,17	0,0000	0,35	0,5458	0,11	0,8912	-0,42	0,5388	-0,88	0,0129
Plekha1	27,76	-0,63	0,1055	0,01	0,9889	0,14	1,0000	0,24	0,8420	0,48	0,2555	0,10	0,9316	0,32	0,6733	0,86	0,0778	0,99	0,0066
Plekha2	21,14	0,02	0,9766	-0,03	0,9804	0,12	NA	0,32	0,7560	0,24	0,6522	0,01	0,9927	0,23	0,7860	0,15	0,9192	0,16	0,7902
Plekha1	4,41	-0,38	0,5957	-0,03	0,9822	0,22	NA	-0,20	NA	-0,38	0,6020	0,36	0,7285	0,40	NA	-0,16	NA	-0,02	0,9861

GeneID	CTL	ET-1 vs CTL		SAHA vs CTL		JS28 vs CTL		BSP vs CTL		JQ1 vs CTL		ET-1+SAHA vs ET1		ET-1+JS28 vs ET1		ET-1+BSP vs ET1		ET-1+JQ1 vs ET1	
	mean	log2(FC)	P-adj	log2(FC)	P-adj	log2(FC)	P-adj	log2(FC)	P-adj	log2(FC)	P-adj	log2(FC)	P-adj	log2(FC)	P-adj	log2(FC)	P-adj	log2(FC)	P-adj
Plekhg2	40,55	-0,32	0,4030	0,23	0,6281	0,04	1,0000	-0,21	0,8571	0,02	0,9721	0,24	0,7574	0,06	0,9542	0,04	0,9873	0,49	0,1789
Plekhg3	5,49	0,45	0,4960	0,66	0,2781	0,08	NA	-0,30	NA	-0,07	0,9370	-0,17	0,8936	-0,29	NA	-0,44	0,6814	-0,14	0,8746
Plekhg5	12,15	-0,53	0,3313	0,59	0,2749	0,11	NA	-0,34	0,7443	0,22	0,7262	0,55	0,4897	-0,14	NA	0,50	0,6051	0,49	0,4671
Plekhh1	2,45	-0,05	0,9563	-0,47	0,4295	0,02	NA	-0,04	NA	-0,25	0,7416	-0,12	NA	-0,15	NA	-0,30	NA	0,17	0,8638
Plekhh2	3,57	0,39	0,5792	1,64	0,0002	0,22	NA	0,07	NA	0,76	0,2189	1,21	0,0395	0,48	NA	0,34	0,7865	0,56	0,4194
Plekhh3	20,67	0,21	0,7330	-0,19	0,7960	-0,25	NA	-0,39	0,6589	0,63	0,1524	-0,31	0,7286	-0,46	NA	-0,02	0,9936	0,39	0,5613
Plekhj1	22,72	-0,24	0,6722	-0,19	0,7968	-0,19	NA	-0,34	0,7365	-0,23	0,6657	0,33	0,6873	-0,34	NA	-0,21	0,8784	-0,07	0,9221
Plekhn1	89,50	-0,20	0,5673	0,27	0,4107	0,24	1,0000	0,09	0,9472	0,71	0,0015	0,15	0,8284	-0,04	0,9678	0,26	0,7220	0,69	0,0166
Plekhn2	106,22	-0,32	0,2515	-0,01	0,9885	0,27	1,0000	-0,12	0,9249	0,23	0,4044	-0,13	0,8380	-0,07	0,9307	0,07	0,9570	0,46	0,1446
Plekhn3	60,28	-0,49	0,1422	0,19	0,7298	0,05	1,0000	0,12	0,9472	-0,01	0,9904	0,52	0,2637	0,32	0,5801	0,04	0,9854	0,55	0,1319
Plekhn1	4,89	-0,68	0,2369	0,01	0,9914	0,4	NA	-0,13	NA	-0,57	0,3842	0,00	0,9986	0,32	NA	0,83	NA	-0,12	0,9057
Plekho1	59,66	0,26	0,5082	-0,45	0,3110	0,17	1,0000	-0,14	0,9306	-0,40	0,2717	-0,62	0,1413	-0,47	0,3247	-0,13	0,9065	-0,66	0,0812
Plekho2	27,43	-0,59	0,1358	0,21	0,7240	0,01	1,0000	-0,12	0,9533	-0,04	0,9464	0,55	0,3869	-0,07	NA	-0,18	0,9067	0,50	0,3026
Plgrkt	22,02	-0,33	0,5503	-0,58	0,2645	0,03	NA	-0,26	0,8390	-0,88	0,0439	0,52	0,4453	0,52	0,4121	0,11	0,9494	-0,33	0,5861
Plin2	29,45	-0,58	0,1279	-0,15	0,8276	0,21	1,0000	-0,69	0,1510	-1,17	0,0026	0,10	0,9208	0,21	0,8098	-0,27	0,8218	-0,52	0,3420
Plin3	70,28	-0,62	0,0231	0,06	0,9227	-0,08	1,0000	-0,50	0,2912	-0,37	0,3135	0,70	0,0600	0,19	0,7784	-0,23	0,7926	-0,29	0,5246
Plin4	47,71	-0,17	0,7734	-1,51	0,0000	0,33	1,0000	-1,44	0,0000	-2,74	0,0000	-1,78	0,0001	-0,37	0,5526	-1,72	0,0000	-3,13	0,0000
Plk1	2,50	0,03	0,9761	-0,45	0,4535	-0,05	NA	-0,01	NA	0,62	0,3501	-0,44	NA	-0,10	NA	-0,01	NA	-0,29	0,7319
Plk2	107,70	1,05	0,0003	0,19	0,7412	-0,01	1,0000	-0,05	0,9853	-0,31	0,4178	-0,90	0,0213	-1,06	0,0031	-1,30	0,0001	-0,99	0,0061
Plk4	11,58	0,05	0,9491	0,14	0,8782	0,07	NA	-0,30	0,8121	-1,07	0,0438	-0,10	0,9355	0,11	NA	-0,20	0,9033	-1,13	0,0600
Pln	1312,36	-0,19	0,5616	-0,46	0,0504	-0,16	1,0000	-0,17	0,8095	-0,39	0,0626	0,24	0,5914	0,35	0,3698	0,33	0,4483	-0,25	0,4051
Plod1	99,75	0,83	0,0017	0,72	0,0048	0,23	1,0000	0,32	0,5973	0,64	0,0031	0,31	0,5667	-0,33	0,5354	-0,06	0,9680	0,04	0,9428
Plod2	149,21	0,55	0,0534	0,08	0,9015	0,12	1,0000	-0,16	0,8999	0,56	0,0707	-0,46	0,2520	-0,20	0,7138	-0,61	0,0898	0,66	0,0283
Plod3	43,47	0,15	0,7385	-0,18	0,7462	-0,06	1,0000	-0,41	0,5296	-0,39	0,2776	-0,31	0,6531	-0,44	0,4379	-0,45	0,4931	-0,48	0,2117
Plp1	6,28	-0,48	0,4628	-0,82	0,1495	-0,19	NA	0,20	0,9081	-0,07	0,9376	-0,23	0,8382	0,21	NA	0,49	0,6164	-0,20	0,8320
Plp2	22,07	0,02	0,9797	-0,07	0,9404	-0,16	NA	-0,50	0,4734	-0,18	0,7574	0,19	0,8414	-0,52	NA	-0,30	0,8020	-0,46	0,4592
Plrg1	52,96	0,25	0,4952	0,21	0,6741	0,00	1,0000	0,26	0,7624	-0,07	0,8738	-0,03	0,9739	-0,06	0,9432	0,15	0,8795	0,01	0,9884
Pls3	72,16	-0,37	0,1972	-0,51	0,0794	-0,01	1,0000	-0,38	0,4289	-0,42	0,1023	-0,19	0,7819	0,02	0,9796	-0,19	0,8492	-0,23	0,6462
Plscr1	15,67	-0,59	0,1980	-0,80	0,0871	-0,22	NA	-0,08	0,9769	0,35	0,4318	-0,19	0,8705	0,14	NA	0,25	0,8535	0,75	0,1407
Plscr2	15,15	-0,62	0,2155	-1,18	0,0099	-0,27	NA	-0,67	0,2279	-2,32	0,0000	-0,50	0,5653	0,24	NA	-0,20	0,9018	-1,16	0,0511
Plscr3	39,35	-0,36	0,3606	-0,50	0,2361	-0,04	1,0000	-1,06	0,0021	-1,53	0,0000	-0,17	0,8456	-0,22	0,7848	-1,02	0,0356	-1,23	0,0119
Pltp	7,91	-0,32	0,6509	0,64	0,2527	-0,09	NA	-0,52	0,4453	0,02	0,9805	0,37	0,7209	-0,10	NA	-0,29	NA	0,06	0,9559
Plxdc2	79,13	-0,78	0,0020	-0,04	0,9545	0,44	0,5167	0,41	0,4092	-0,92	0,0005	0,63	0,1396	0,84	0,0143	0,63	0,1374	-0,26	0,5847
Plxna1	228,74	0,62	0,0012	0,36	0,2183	0,02	1,0000	0,01	0,9932	0,25	0,3267	-0,57	0,0660	-0,91	0,0001	-0,75	0,0025	-0,26	0,4107
Plxna2	120,15	0,12	0,7289	0,47	0,0545	0,22	1,0000	0,43	0,1734	0,59	0,0011	0,00	0,9982	-0,21	0,6905	-0,01	0,9971	0,34	0,2134
Plxna3	17,90	-0,66	0,1488	0,44	0,4366	-0,07	NA	0,10	0,9701	0,88	0,0232	0,83	0,1712	0,43	NA	0,87	0,1272	1,25	0,0022
Plxna4	427,31	-0,14	0,5624	-0,08	0,8295	-0,02	1,0000	0,16	0,7920	0,45	0,0040	0,00	0,9976	0,00	0,9997	0,17	0,7234	0,48	0,0224
Plxnb1	69,27	-0,60	0,0428	-0,61	0,0785	-0,20	1,0000	-0,84	0,0106	-1,25	0,0002	-0,41	0,4752	0,07	0,9360	-0,42	0,5284	-0,65	0,2207
Plxnb2	429,12	-0,20	0,3989	-0,37	0,0770	-0,09	1,0000	-0,02	0,9853	0,12	0,5854	-0,34	0,3256	-0,27	0,4925	0,23	0,6114	0,32	0,1635
Plxnb3	3,99	-0,94	0,0624	-0,24	0,7807	-0,14	NA	-0,41	NA	-1,16	0,0399	0,52	NA	-0,06	NA	0,11	NA	-0,37	NA
Plxnc1	1,66	-0,21	NA	-0,09	0,9195	-0,03	NA	-0,08	NA	-0,36	0,6085	-0,33	NA	-0,03	NA	-0,19	NA	-0,37	NA
Plxnd1	5,39	0,27	0,7272	1,22	0,0108	0,21	NA	0,40	NA	0,65	0,2863	0,56	0,5115	0,10	NA	0,34	0,7891	0,10	0,9262
Pm20d2	57,25	0,22	0,6246	-1,61	0,0000	-0,37	0,9896	-0,37	0,6361	-0,79	0,0269	-2,23	0,0000	-0,27	0,6396	-0,61	0,1915	-0,79	0,0248
Pmaip1	4,97	0,60	0,3152	0,65	0,2934	0,30	NA	0,26	NA	0,13	0,8777	0,15	0,9061	-0,08	NA	-0,38	0,7393	-0,45	0,5722
Pmepa1	54,04	0,47	0,1891	-0,16	0,8232	0,05	1,0000	-0,06	0,9853	0,32	0,4457	-0,98	0,0086	-0,21	0,7419	-0,38	0,5282	0,04	0,9355

GeneID	CTL	ET-1 vs CTL		SAHA vs CTL		JS28 vs CTL		BSP vs CTL		JQ1 vs CTL		ET-1+SAHA vs ET1		ET-1+JS28 vs ET1		ET-1+BSP vs ET1		ET-1+JQ1 vs ET1	
	mean	log2(FC)	P-adj	log2(FC)	P-adj	log2(FC)	P-adj	log2(FC)	P-adj	log2(FC)	P-adj	log2(FC)	P-adj	log2(FC)	P-adj	log2(FC)	P-adj	log2(FC)	P-adj
Pmf1	10,46	0,09	0,9190	-1,01	0,0538	-0,35	NA	-0,44	0,5813	-0,41	0,5566	-1,09	0,0878	-0,42	NA	-0,29	0,8343	-0,82	0,1745
Pml	44,07	-0,52	0,1621	0,27	0,6171	0,00	1,0000	-0,26	0,8246	0,17	0,7091	0,53	0,3162	0,13	0,8779	0,03	0,9911	0,43	0,3547
Pmm1	16,69	-0,47	0,3641	0,38	0,5479	-0,17	NA	-0,47	0,5470	-0,66	0,1809	0,96	0,0732	0,06	NA	-0,04	0,9911	-0,19	0,7870
Pmm2	25,80	0,30	0,5115	-0,48	0,3726	0,14	NA	0,08	0,9745	-0,28	0,5788	-0,67	0,2424	0,00	0,9963	-0,41	0,6212	-0,38	0,4651
Pmp22	37,62	-0,40	0,3172	-0,12	0,8484	0,47	0,5409	-0,27	0,7734	-1,51	0,0000	0,45	0,4497	0,20	0,8039	-1,19	0,0111	-1,26	0,0106
Pmpca	183,95	0,36	0,2427	0,44	0,2122	0,02	1,0000	0,01	0,9918	0,43	0,1132	0,37	0,2941	-0,21	0,6486	-0,17	0,8020	0,11	0,7382
Pmpcb	123,37	0,23	0,5641	-0,09	0,8755	0,03	1,0000	-0,07	0,9741	-0,44	0,1607	-0,17	0,7966	-0,05	0,9489	-0,24	0,7375	-0,65	0,0335
Pms1	22,33	-0,02	0,9851	0,28	0,6352	0,02	NA	0,17	0,9249	0,08	0,8827	0,34	0,6594	0,17	0,8504	0,26	0,8197	-0,10	0,8910
Pms2	19,90	0,02	0,9851	0,17	0,8228	-0,04	NA	-0,17	0,9293	-0,26	0,6463	0,13	0,9034	0,18	0,8426	-0,25	0,8472	-0,22	0,7366
Pmvk	10,03	0,01	0,9930	0,07	0,9531	0,08	NA	-0,07	0,9817	-0,54	0,3784	0,32	0,7551	-0,27	NA	0,01	0,9966	-0,78	0,2094
Pnizr	181,66	-0,32	0,3211	-0,15	0,7174	0,10	1,0000	0,05	0,9746	-0,24	0,5098	-0,33	0,5239	0,44	0,3341	0,26	0,7112	-0,12	0,8153
Pnkd	75,52	-0,05	0,9278	-0,15	0,7739	-0,09	1,0000	0,02	0,9901	0,65	0,0148	-0,04	0,9601	-0,13	0,8618	0,39	0,4929	0,99	0,0018
Pnkp	21,43	0,48	0,2526	0,08	0,9290	0,20	NA	0,05	0,9853	0,59	0,1427	-0,31	0,7053	-0,28	0,7138	-0,03	0,9911	-0,03	0,9679
Pnlcd1	1,23	-0,05	NA	0,16	0,8381	-0,06	NA	-0,09	NA	-0,22	0,7472	0,07	NA	-0,01	NA	0,04	NA	-0,17	NA
Pnma2	4,77	0,21	0,7994	1,82	0,0000	0,06	NA	-0,06	NA	-0,11	0,8960	1,62	0,0012	-0,02	NA	-0,30	NA	-0,29	0,7319
Pnmal2	24,63	-0,30	0,5303	-0,15	0,8363	-0,13	NA	-0,48	0,4779	-0,18	0,7237	0,04	0,9732	-0,12	NA	-0,63	0,3877	-0,44	0,4142
Pnmt	3,38	1,38	0,0019	0,48	NA	0,02	NA	0,20	NA	0,11	NA	-0,40	0,6955	-0,04	NA	0,44	0,6750	-0,35	0,6731
Pnn	147,71	-0,12	0,7587	-0,10	0,8363	-0,06	1,0000	-0,03	0,9853	-0,29	0,3895	-0,46	0,3087	0,38	0,3967	0,22	0,7660	-0,13	0,7575
Pno1	70,38	0,85	0,0001	0,06	0,9366	-0,13	1,0000	0,01	0,9972	-0,10	0,8033	-0,16	0,7980	-0,45	0,2843	-0,78	0,0225	-0,98	0,0070
Pnp	4,26	-0,53	0,4082	-0,21	0,8162	-0,09	NA	-0,12	NA	-0,32	0,6640	0,06	0,9635	0,55	NA	-0,09	NA	0,45	0,5863
Pnpla2	97,23	0,04	0,9251	-0,07	0,8921	0,03	1,0000	-0,12	0,9275	-0,13	0,7152	-0,19	0,7641	-0,21	0,7080	-0,19	0,8166	0,11	0,8003
Pnpla3	3,07	0,32	0,6520	1,24	0,0106	0,08	NA	0,06	NA	0,05	0,9590	0,36	0,7242	-0,16	NA	0,15	NA	-0,61	0,4204
Pnpla6	55,70	-0,61	0,0373	-0,63	0,0821	-0,05	1,0000	-0,34	0,6309	-0,12	0,7650	-0,21	0,7797	0,18	0,8170	-0,12	0,9264	0,24	0,6282
Pnpla7	39,87	-1,21	0,0001	-0,24	0,6838	-0,01	1,0000	-0,49	0,4164	-1,02	0,0036	0,53	0,3966	0,19	0,8388	0,00	1,0000	-0,38	0,5331
Pnpla8	253,35	0,05	0,8714	0,02	0,9718	0,10	1,0000	0,50	0,0367	0,43	0,0432	0,06	0,9252	0,44	0,1565	0,54	0,0393	0,39	0,2317
Pnpo	26,61	-0,69	0,0487	0,17	0,7737	0,02	1,0000	-0,64	0,1759	-1,56	0,0000	0,64	0,2925	-0,02	NA	-0,55	0,5013	-0,46	0,4865
Pnpt1	75,46	0,43	0,1226	0,11	0,8391	-0,01	1,0000	-0,03	0,9853	-0,79	0,0074	-0,03	0,9695	0,05	0,9466	-0,25	0,7067	-0,99	0,0010
Pnrc1	254,54	-0,40	0,0602	-0,85	0,0000	0,15	1,0000	0,13	0,8797	0,39	0,0652	-0,25	0,5915	0,67	0,0154	0,48	0,1408	0,89	0,0004
Pnrc2	59,82	-0,37	0,2122	-0,08	0,8933	0,10	1,0000	0,34	0,5400	-0,09	0,8084	0,48	0,2972	0,89	0,0063	0,55	0,2240	0,38	0,3414
Poc1a	2,72	0,11	0,9043	0,41	0,5729	-0,08	NA	0,05	NA	0,11	0,8962	-0,61	NA	-0,12	NA	0,00	NA	-0,49	0,5431
Poc1b	11,88	-0,15	0,8362	0,14	0,8726	-0,02	NA	-0,29	0,8216	0,32	0,5840	0,18	0,8689	0,10	NA	-0,17	0,9192	0,56	0,3621
Poc5	20,57	-0,10	0,8889	-0,03	0,9776	-0,02	NA	-0,02	0,9901	-0,28	0,5911	0,09	0,9355	0,09	NA	-0,43	0,6579	-0,24	0,7037
Podn	184,07	-0,14	0,7711	0,43	0,2170	0,26	1,0000	-0,66	0,0536	-1,12	0,0000	0,12	0,8649	0,14	0,8375	-0,46	0,3756	-0,77	0,0148
Podxl	33,91	-0,17	0,7984	0,55	0,2071	0,05	1,0000	0,06	0,9827	-0,09	0,8809	0,05	0,9650	-0,25	0,7798	-0,30	0,8056	-0,17	0,8159
Podxl2	41,16	-0,35	0,3453	-0,11	0,8634	0,05	1,0000	0,00	0,9984	-0,11	0,8199	0,02	0,9863	0,02	0,9862	0,37	0,6260	0,11	0,8585
Pofut1	37,88	-0,08	0,8854	-0,30	0,5476	-0,05	1,0000	-0,07	0,9794	-0,47	0,1780	0,01	0,9940	-0,05	0,9604	-0,14	0,9165	-0,43	0,3507
Pofut2	67,83	0,51	0,0553	-0,38	0,3601	-0,11	1,0000	0,18	0,8763	0,37	0,2349	-0,67	0,0846	-0,23	0,6898	0,22	0,7531	0,22	0,5564
Pogk	79,14	-0,05	0,8994	-0,43	0,1705	0,07	1,0000	-0,11	0,9440	-0,58	0,0334	-0,35	0,4778	-0,12	0,8650	-0,18	0,8335	-0,66	0,0263
Poglut1	52,73	0,10	0,8467	0,19	0,7085	0,04	1,0000	0,02	0,9895	-0,11	0,8110	0,30	0,6250	0,03	0,9768	-0,18	0,8660	-0,19	0,7120
Pogz	110,97	-0,25	0,4450	-0,41	0,1884	-0,01	1,0000	-0,13	0,9102	0,31	0,1968	-0,54	0,1931	0,19	0,7383	0,05	0,9706	0,67	0,0209
Pola1	21,69	-0,30	0,5679	-0,33	0,5809	-0,10	NA	-0,63	0,2334	-0,80	0,0530	-0,25	0,7987	0,17	NA	0,38	0,6822	-0,32	0,5858
Pola2	8,66	-0,16	0,8394	-0,39	0,5876	-0,02	NA	0,06	0,9853	0,23	0,7171	0,05	0,9727	0,04	NA	-0,24	0,8782	-0,10	0,9202
Polb	87,79	0,07	0,8803	0,04	0,9532	0,17	1,0000	0,32	0,5891	-0,06	0,8647	0,00	0,9967	0,10	0,8922	0,39	0,4114	-0,16	0,7165
Pold1	11,85	-0,30	0,6367	0,29	0,6897	0,02	NA	-0,03	0,9860	0,28	0,6268	0,16	0,8953	-0,02	NA	0,02	0,9931	0,29	0,7028
Pold2	48,26	0,21	0,6222	0,36	0,4254	-0,04	1,0000	-0,01	0,9932	0,21	0,6060	0,20	0,7658	-0,32	0,5801	-0,14	0,9054	-0,20	0,6323

GeneID	CTL	ET-1 vs CTL		SAHA vs CTL		JS28 vs CTL		BSP vs CTL		JQ1 vs CTL		ET-1+SAHA vs ET1		ET-1+JS28 vs ET1		ET-1+BSP vs ET1		ET-1+JQ1 vs ET1	
	mean	log2(FC)	P-adj	log2(FC)	P-adj	log2(FC)	P-adj	log2(FC)	P-adj	log2(FC)	P-adj	log2(FC)	P-adj	log2(FC)	P-adj	log2(FC)	P-adj	log2(FC)	P-adj
Pold3	24,33	-0,45	0,2782	-0,17	0,8199	-0,06	NA	-0,14	0,9430	-0,32	0,4663	0,20	0,8292	0,31	0,6743	0,00	1,0000	0,00	0,9992
Pold4	13,06	-0,11	0,8867	0,20	0,8005	0,05	NA	-0,06	0,9853	0,28	0,6231	-0,30	0,7667	0,02	NA	0,09	0,9648	0,35	0,5660
Poldip2	118,19	0,15	0,6821	-0,06	0,9229	0,09	1,0000	0,03	0,9853	0,34	0,1777	-0,03	0,9702	-0,13	0,8465	-0,04	0,9765	-0,17	0,6238
Poldip3	68,80	-0,09	0,8519	-0,06	0,9291	-0,03	1,0000	-0,03	0,9860	0,39	0,2005	-0,02	0,9836	-0,15	0,8317	-0,08	0,9483	0,46	0,1090
Pole	9,40	-0,31	0,6598	-0,72	0,2201	0,04	NA	-0,47	0,5459	0,05	0,9495	-0,76	0,3177	-0,03	NA	-0,01	0,9967	0,11	0,9050
Pole2	2,86	-0,05	0,9630	0,00	0,9992	-0,09	NA	-0,07	NA	-0,08	0,9287	0,31	0,7691	-0,13	NA	0,05	NA	0,58	0,4499
Pole3	16,55	0,47	0,3694	0,12	0,8981	0,23	NA	0,37	0,7006	-0,23	0,7224	-0,60	0,4006	-0,04	NA	-0,01	0,9980	-0,16	0,8112
Pole4	42,08	0,63	0,0464	-0,71	0,0992	-0,30	NA	-0,06	0,9812	0,41	0,3312	-1,05	0,0108	-0,41	0,4528	-0,04	0,9859	0,14	0,7741
Polg	72,46	-0,03	0,9605	-0,13	0,8316	0,12	1,0000	0,29	0,7114	0,66	0,0158	0,06	0,9494	0,01	0,9898	0,36	0,5910	0,57	0,0927
Polg2	7,63	-0,31	0,6615	0,12	0,9044	-0,19	NA	0,09	0,9727	0,30	0,6282	0,22	0,8512	0,18	NA	0,06	0,9837	0,26	0,7472
Polh	9,44	-0,21	0,7831	0,08	0,9395	0,00	NA	0,19	0,9178	0,54	0,3183	0,25	0,8250	0,07	NA	0,13	0,9437	1,08	0,0420
Poli	28,32	-0,17	0,7872	0,36	0,5414	0,17	1,0000	0,04	0,9853	-0,60	0,2084	0,34	0,6320	0,32	0,6372	-0,31	0,7608	-0,44	0,3619
Polk	67,04	0,06	0,9043	0,53	0,0671	-0,13	1,0000	-0,43	0,3871	-0,38	0,2327	0,31	0,5762	-0,18	0,7881	-0,52	0,3339	-0,55	0,1037
Poll	15,91	-0,23	0,7115	-0,23	0,7637	-0,25	NA	-0,18	0,9213	-0,49	0,3803	0,27	0,7733	-0,22	NA	-0,13	0,9440	-0,30	0,6891
Polm	26,12	-0,16	0,7780	0,25	0,6868	-0,04	NA	-0,30	0,7729	-0,20	0,7171	0,13	0,8911	-0,11	0,9102	-0,02	0,9931	-0,09	0,9104
Polq	6,77	0,11	0,8945	-0,09	0,9324	-0,10	NA	-0,32	NA	-0,27	0,7171	-0,22	0,8461	0,07	NA	-0,41	0,7075	-1,12	0,0807
Polr1a	114,23	0,33	0,2391	0,21	0,5676	-0,08	1,0000	-0,23	0,7424	0,09	0,7774	-0,51	0,2135	-0,56	0,1441	-0,85	0,0093	-0,48	0,1128
Polr1b	25,58	0,54	0,1490	-0,13	0,8628	-0,33	NA	-0,19	0,9110	-0,48	0,3320	-0,64	0,2699	-0,70	0,1874	-0,95	0,0587	-0,67	0,1650
Polr1c	14,47	-0,40	0,4660	0,06	0,9523	-0,02	NA	0,24	0,8643	0,17	0,7644	-0,05	0,9723	-0,18	NA	0,32	0,7903	0,44	0,4848
Polr1d	38,95	-0,01	0,9837	0,18	0,7494	0,08	1,0000	0,06	0,9798	0,06	0,9055	0,18	0,8196	-0,15	0,8600	0,12	0,9300	-0,19	0,7075
Polr1e	44,59	1,28	0,0000	0,29	0,6108	-0,07	NA	0,12	0,9500	0,18	0,7037	-0,20	0,7607	-0,75	0,0543	-0,47	0,3946	-0,72	0,0172
Polr2a	274,18	0,10	0,8334	-0,54	0,0186	-0,42	0,3547	-0,13	0,8966	1,42	0,0000	-0,98	0,0048	-0,45	0,3426	-0,18	0,8485	1,36	0,0000
Polr2b	149,01	-0,08	0,8016	0,24	0,4208	-0,03	1,0000	0,28	0,5538	0,23	0,3599	0,17	0,7322	0,04	0,9488	0,18	0,7936	0,37	0,1709
Polr2c	63,01	0,44	0,1103	0,25	0,5936	0,13	1,0000	-0,07	0,9742	0,13	0,7204	-0,06	0,9398	-0,35	0,4875	-0,33	0,5911	-0,29	0,3822
Polr2d	25,26	0,28	0,6449	0,00	0,9975	-0,11	NA	0,09	0,9746	0,29	0,6285	0,22	0,8033	-0,14	0,8815	-0,27	0,8227	-0,08	0,9176
Polr2e	28,95	0,02	0,9799	0,20	0,7544	0,14	NA	0,32	0,7167	0,66	0,0661	-0,27	0,7530	-0,06	0,9552	0,13	0,9264	0,63	0,0880
Polr2f	14,55	-0,07	0,9336	-0,32	0,6564	-0,17	NA	-0,33	0,7563	-0,29	0,6479	0,00	0,9986	-0,28	NA	0,07	0,9775	0,03	0,9782
Polr2g	38,72	0,17	0,7093	0,09	0,8929	-0,04	1,0000	-0,39	0,6021	-0,12	0,8275	0,29	0,6621	-0,18	0,8244	-0,16	0,8940	-0,33	0,4459
Polr2h	7,83	-0,05	0,9545	0,21	0,8139	0,00	NA	-0,07	0,9805	0,21	0,7750	0,04	0,9776	-0,05	NA	-0,18	0,9143	-0,05	0,9656
Polr2i	12,59	0,01	0,9895	-0,36	0,6166	-0,14	NA	-0,28	0,8294	-0,43	0,4642	-0,22	0,8384	0,19	NA	0,30	0,8107	-0,32	0,6548
Polr2j	20,44	-0,12	0,8554	-0,02	0,9820	0,01	NA	-0,03	0,9858	0,52	0,1912	0,24	0,7985	0,05	NA	0,26	0,8339	0,15	0,8011
Polr2k	8,48	0,24	0,7511	-0,07	0,9505	-0,07	NA	0,12	0,9600	-0,27	0,7150	0,26	0,8068	0,12	NA	-0,55	0,5522	-0,81	0,2403
Polr2l	5,00	0,18	0,8268	0,29	0,7298	-0,13	NA	-0,13	NA	0,20	0,7994	0,53	0,5491	-0,40	NA	0,27	0,8492	0,31	0,6993
Polr2m	296,33	0,38	0,0489	-0,56	0,0026	-0,13	1,0000	-0,32	0,2958	-0,24	0,2640	-0,63	0,0302	-0,11	0,8537	-0,25	0,6212	-0,42	0,0977
Polr3a	44,67	0,27	0,4881	0,50	0,1560	0,16	1,0000	0,08	0,9681	-0,07	0,8706	0,22	0,7571	-0,06	0,9444	-0,21	0,8412	-0,37	0,3980
Polr3b	43,99	-0,15	0,7389	-0,05	0,9390	-0,06	1,0000	0,05	0,9853	0,47	0,1049	0,18	0,8143	0,22	0,7469	0,21	0,8285	0,71	0,0142
Polr3c	57,45	-0,05	0,9237	0,37	0,3667	0,04	1,0000	0,12	0,9472	-0,21	0,5874	0,24	0,7044	-0,10	0,9023	0,12	0,9170	-0,06	0,9043
Polr3d	28,44	-0,01	0,9872	-0,61	0,2017	-0,12	NA	-0,38	0,6524	-0,36	0,4280	-0,72	0,2192	-0,51	0,4117	-0,24	0,8387	-0,17	0,7548
Polr3e	23,41	0,01	0,9898	-0,11	0,8895	0,03	NA	-0,07	0,9823	0,16	0,7846	-0,05	0,9647	-0,12	0,9089	-0,09	0,9590	0,09	0,8810
Polr3f	51,18	0,26	0,4780	0,06	0,9393	-0,08	1,0000	0,01	0,9932	0,11	0,7846	-0,15	0,8411	0,14	0,8414	-0,23	0,7953	0,03	0,9567
Polr3g	28,79	0,34	0,4294	0,59	0,1685	0,25	NA	-0,09	0,9737	-0,03	0,9557	0,32	0,6246	-0,13	0,8885	-0,17	0,8982	-0,39	0,4189
Polr3gl	29,18	-0,53	0,2125	0,28	0,5957	0,09	1,0000	0,31	0,7230	0,35	0,4235	0,33	0,6963	0,25	0,7578	0,61	0,3693	0,78	0,0833
Polr3h	12,36	0,06	0,9391	-0,04	0,9712	-0,06	NA	-0,24	0,8671	-0,19	0,7783	0,28	0,7701	-0,12	NA	-0,34	0,7790	-0,54	0,3930
Polr3k	48,15	0,03	0,9710	0,05	0,9568	-0,21	1,0000	-0,29	0,7584	-0,13	0,7896	0,20	0,7965	0,04	0,9656	-0,12	0,9328	0,11	0,8507
Polrmt	30,54	-0,05	0,9309	0,19	0,7536	0,19	1,0000	0,07	0,9764	-0,12	0,8036	0,03	0,9793	-0,19	0,8307	0,04	0,9861	0,06	0,9284

GeneID	CTL	ET-1 vs CTL		SAHA vs CTL		JS28 vs CTL		BSP vs CTL		JQ1 vs CTL		ET-1+SAHA vs ET1		ET-1+JS28 vs ET1		ET-1+BSP vs ET1		ET-1+JQ1 vs ET1	
	mean	log2(FC)	P-adj	log2(FC)	P-adj	log2(FC)	P-adj	log2(FC)	P-adj	log2(FC)	P-adj	log2(FC)	P-adj	log2(FC)	P-adj	log2(FC)	P-adj	log2(FC)	P-adj
Pom121	121,44	0,01	0,9769	0,04	0,9523	-0,16	1,0000	-0,20	0,8291	0,11	0,7801	-0,45	0,2812	-0,51	0,1701	-0,37	0,4403	0,19	0,6459
Pomgnt1	82,35	0,26	0,4138	-0,35	0,3893	-0,15	1,0000	-0,13	0,9330	0,12	0,7572	-0,29	0,5814	-0,64	0,0891	-0,08	0,9416	0,09	0,8532
Pomgnt2	12,96	-0,64	0,1781	0,14	0,8596	-0,22	NA	-0,28	0,8232	-0,08	0,8990	0,95	0,1072	0,00	NA	0,30	0,8262	0,48	0,4296
Pomk	47,63	-0,28	0,4841	-0,40	0,3575	-0,20	1,0000	-0,38	0,5731	-0,52	0,1300	-0,03	0,9743	0,08	0,9304	0,02	0,9931	-0,19	0,7025
Pomp	46,91	0,21	0,6555	0,23	0,6489	-0,07	1,0000	-0,15	0,9306	0,21	0,6457	0,63	0,1635	0,24	0,7138	0,26	0,7683	0,16	0,7610
Pomt1	21,43	-0,17	0,7790	-0,59	0,2316	0,01	NA	-0,18	0,9158	-0,74	0,0847	-0,53	0,4797	-0,24	NA	-0,04	0,9911	-0,53	0,3456
Pomt2	42,65	0,15	0,7537	0,04	0,9627	-0,06	1,0000	-0,06	0,9823	0,41	0,2173	-0,26	0,7140	-0,33	0,5865	-0,21	0,8376	0,20	0,6340
Pon2	99,01	0,46	0,0645	-1,21	0,0000	-0,06	1,0000	-0,10	0,9472	-0,41	0,2235	-1,07	0,0008	-0,13	0,8397	-0,46	0,2886	-0,69	0,0151
Pon3	4,93	-0,33	0,6542	-0,37	0,6251	-0,02	NA	-0,26	NA	-0,32	0,6672	-0,39	0,6926	-0,36	NA	-0,09	NA	-0,46	0,5754
Pop1	8,14	0,55	0,3238	0,52	0,4281	0,11	NA	0,09	NA	0,30	0,6631	-0,40	0,6771	-0,58	NA	-0,34	0,7864	-0,76	0,2152
Pop4	13,36	0,67	0,1418	0,31	0,6859	0,13	NA	0,06	0,9853	0,09	0,9013	-0,09	0,9404	0,10	NA	-0,16	0,9192	-0,43	0,4511
Pop5	9,26	0,15	0,8472	0,17	0,8532	-0,02	NA	0,08	0,9764	0,18	0,7957	0,18	0,8765	-0,28	NA	0,14	0,9388	0,04	0,9631
Pop7	6,11	0,50	0,4155	0,07	0,9505	0,00	NA	0,02	NA	-0,14	0,8643	-0,56	0,5086	-0,44	NA	-0,05	0,9867	-0,02	0,9837
Popdc2	719,57	0,30	0,2581	-0,45	0,0278	0,14	1,0000	-0,11	0,9084	0,32	0,1235	-0,21	0,6735	-0,40	0,3160	-0,29	0,5522	0,17	0,6188
Popdc3	22,26	0,34	0,4739	0,27	0,6809	0,18	NA	-0,21	0,8939	-0,42	0,3899	0,31	0,6924	0,12	0,9021	0,04	0,9862	-0,44	0,3618
Por	43,42	0,40	0,2190	0,26	0,5981	0,25	1,0000	0,24	0,8246	0,88	0,0005	-0,23	0,7388	-0,57	0,2496	0,04	0,9861	0,50	0,1244
Porcn	10,70	-0,33	0,6268	-0,22	0,8003	-0,22	NA	-0,43	0,6097	-1,13	0,0305	0,20	0,8574	-0,16	NA	-0,82	0,2375	-0,59	0,4171
Pot1a	35,42	-0,04	0,9425	-0,01	0,9894	-0,09	1,0000	0,10	0,9634	-0,03	0,9623	-0,16	0,8532	0,03	0,9765	-0,24	0,8156	-0,49	0,3077
Pot1b	10,65	-0,03	0,9791	0,33	0,6504	-0,18	NA	0,04	0,9853	-0,39	0,5392	0,24	0,8288	0,07	NA	-0,28	0,8412	-0,42	0,5852
Pou2f1	124,88	-0,41	0,0890	0,10	0,8213	-0,02	1,0000	0,01	0,9953	-0,15	0,6231	0,22	0,6955	0,23	0,6649	0,33	0,5392	0,01	0,9894
Pou3f2	27,72	-0,53	0,2557	-0,23	0,7517	-0,13	1,0000	-0,06	0,9853	-0,23	0,7001	0,28	0,7534	0,29	0,7118	0,09	0,9602	0,08	0,9241
Pou3f3	2,37	0,06	0,9533	0,45	0,5189	-0,12	NA	-0,17	NA	-0,13	0,8726	0,19	0,8659	-0,37	NA	-0,34	NA	-0,09	0,9349
Pou3f4	3,21	0,27	0,7254	0,12	0,8924	-0,03	NA	-0,09	NA	-0,57	0,3542	-0,16	0,8988	-0,44	NA	-0,44	NA	-1,00	0,1357
Pou4f1	7,17	0,16	0,8496	0,28	0,7340	-0,18	NA	-0,16	NA	0,23	0,7510	0,22	0,8420	-0,22	NA	-0,18	0,9178	0,22	0,7842
Pou5f2	1,13	-0,42	NA	-0,27	0,6741	-0,04	NA	-0,24	NA	-0,42	0,5135	-0,08	NA	0,12	NA	0,15	NA	-0,08	NA
Pou6f1	22,49	-0,31	0,5701	-0,89	0,0479	-0,05	NA	-0,58	0,3244	-0,88	0,0355	-0,73	0,2874	-0,29	NA	-0,47	0,6164	-0,92	0,0883
Pou6f2	3,16	-0,37	0,6075	-0,66	0,2326	-0,26	NA	-0,24	NA	-0,82	0,1711	-0,31	NA	-0,05	NA	-0,26	NA	-0,61	NA
Ppa1	12,15	0,68	0,1671	-0,25	0,7668	0,00	NA	-0,02	0,9901	0,13	0,8557	-0,41	0,6365	-0,28	NA	-0,19	0,9006	0,26	0,7136
Ppa2	77,68	-0,14	0,7418	-1,03	0,0007	-0,36	0,9320	-0,22	0,8264	-1,33	0,0000	-0,66	0,0949	0,04	0,9623	-0,08	0,9471	-1,17	0,0001
Ppan	9,48	0,28	0,6912	-0,13	0,8932	-0,09	NA	-0,41	0,6129	-0,15	0,8487	-0,27	0,8065	-0,71	NA	-0,69	0,3946	-0,60	0,3707
Ppap2a	14,20	0,72	0,1179	-0,35	0,6485	-0,10	NA	-0,32	0,7599	0,43	0,4607	-0,66	0,3491	-0,28	NA	-0,70	0,3410	-0,24	0,7129
Ppap2b	155,59	0,31	0,4205	-0,15	0,7536	0,30	1,0000	0,02	0,9873	-0,48	0,0540	-0,14	0,8536	0,44	0,3759	-0,01	0,9980	-0,56	0,1263
Ppap2c	1,80	-0,40	NA	0,69	0,2508	0,20	NA	-0,18	NA	-0,43	0,5241	0,64	NA	0,14	NA	-0,03	NA	0,31	0,7057
Ppapdc1b	29,52	-0,19	0,7236	-1,28	0,0007	-0,03	1,0000	-0,39	0,6211	-1,03	0,0066	-1,34	0,0075	-0,01	0,9915	-0,40	0,6673	-0,79	0,0862
Ppapdc2	21,29	-0,35	0,5129	-0,34	0,5860	-0,09	NA	-0,06	0,9835	0,07	0,9080	0,20	0,8421	0,51	0,4291	0,52	0,5099	0,30	0,6074
Ppapdc3	14,56	-0,01	0,9933	0,35	0,6081	-0,14	NA	-0,21	0,8966	-1,14	0,0200	0,19	0,8505	-0,15	NA	-0,06	0,9815	-0,74	0,1992
Ppara	31,61	-0,54	0,1226	-0,43	0,3503	-0,04	1,0000	-0,22	0,8709	-0,53	0,1438	0,19	0,8299	0,41	0,5142	0,48	0,4908	0,02	0,9766
Ppard	30,25	-0,07	0,9085	-0,02	0,9865	0,06	1,0000	-0,41	0,6070	0,38	0,4539	-0,02	0,9883	-0,29	0,6956	0,02	0,9931	0,70	0,1412
Pparg	2,60	0,46	0,4711	-0,09	0,9237	0,15	NA	-0,20	NA	-0,44	0,4642	-0,42	0,6466	-0,26	NA	-0,35	NA	-0,72	0,3176
Ppargc1a	321,21	0,05	0,9133	-0,12	0,7679	-0,24	1,0000	-0,12	0,9121	-0,23	0,4088	0,12	0,8158	0,38	0,2946	0,13	0,8543	-0,13	0,7321
Ppargc1b	57,97	0,30	0,4639	-0,09	0,8939	-0,12	1,0000	-0,56	0,2471	-0,57	0,1020	-0,39	0,4959	0,09	0,9150	-0,25	0,7797	-0,43	0,2829
Ppat	46,80	0,50	0,1065	0,27	0,6095	-0,05	1,0000	0,18	0,9898	0,06	0,9046	0,21	0,7411	0,14	0,8445	-0,17	0,8619	0,03	0,9566
Ppcdc	14,39	-0,09	0,9000	0,03	0,9818	0,25	NA	-0,05	0,9853	0,02	0,9751	-0,03	0,9840	-0,30	NA	0,03	0,9918	0,11	0,8904
Ppcs	16,21	0,01	0,9895	-0,77	0,1390	-0,15	NA	-0,21	0,8939	-0,02	0,9779	0,10	0,9368	0,18	NA	-0,05	0,9866	-0,17	0,8130
Ppdf	9,71	-0,36	0,5857	0,18	0,8297	0,06	NA	-0,19	0,9129	-0,91	0,0936	0,84	0,2077	0,06	NA	0,30	0,8237	-0,45	0,5632

GeneID	CTL	ET-1 vs CTL		SAHA vs CTL		JS28 vs CTL		BSP vs CTL		JQ1 vs CTL		ET-1+SAHA vs ET1		ET-1+JS28 vs ET1		ET-1+BSP vs ET1		ET-1+JQ1 vs ET1	
	mean	log2(FC)	P-adj	log2(FC)	P-adj	log2(FC)	P-adj	log2(FC)	P-adj	log2(FC)	P-adj	log2(FC)	P-adj	log2(FC)	P-adj	log2(FC)	P-adj	log2(FC)	P-adj
Ppfia1	161,35	0,23	0,4650	-0,31	0,3284	-0,11	1,0000	-0,46	0,1812	-0,34	0,1620	-0,47	0,2253	-0,02	0,9780	-0,53	0,1643	-0,46	0,1072
Ppfia3	1,03	-0,10	NA	0,55	0,3290	0,06	NA	-0,06	NA	-0,39	NA	0,31	NA	-0,01	NA	-0,10	NA	-0,21	NA
Ppfia4	106,88	0,28	0,3598	0,19	0,6555	-0,19	1,0000	0,01	0,9921	-0,71	0,0055	-0,37	0,4128	-0,58	0,1230	-0,31	0,6100	-0,49	0,1706
Ppfbp1	197,50	0,14	0,6718	0,06	0,8825	0,13	1,0000	-0,22	0,7079	-0,41	0,0397	-0,21	0,6642	-0,21	0,6760	-0,46	0,2171	-0,50	0,0622
Ppfbp2	48,84	-1,21	0,0003	-0,61	0,1946	0,07	1,0000	-0,37	0,6740	-2,22	0,0000	-0,33	0,6966	0,56	0,3285	-0,33	0,7424	-2,33	0,0000
Pphin1	105,91	0,28	0,2782	0,05	0,9366	-0,07	1,0000	-0,02	0,9866	0,15	0,6065	0,14	0,8094	-0,18	0,7383	-0,37	0,4159	-0,10	0,7820
Ppia	275,43	0,56	0,0342	-0,11	0,8005	0,28	0,9654	0,18	0,8030	-0,19	0,4771	-0,30	0,5703	-0,41	0,3637	-0,35	0,5276	-0,52	0,0928
Ppib	56,23	0,47	0,1032	-0,28	0,5518	0,17	1,0000	0,17	0,9021	-0,27	0,4765	-0,08	0,9254	-0,37	0,4874	-0,21	0,8203	-0,44	0,2141
Ppic	68,56	0,01	0,9867	0,19	0,6524	0,23	1,0000	0,21	0,8044	-0,33	0,2635	0,34	0,5340	0,38	0,4532	0,22	0,7953	-0,42	0,2525
Ppid	97,55	0,47	0,0497	0,16	0,6988	-0,04	1,0000	0,09	0,9500	0,06	0,8900	0,03	0,9737	-0,17	0,7963	-0,42	0,3864	-0,45	0,1770
Ppie	11,53	0,15	0,8373	0,27	0,7402	0,00	NA	0,18	0,9264	0,26	0,6928	0,59	0,4060	-0,13	NA	0,55	0,5029	0,40	0,4891
Ppif	61,90	0,29	0,4697	0,02	0,9799	0,16	1,0000	-0,21	0,8610	-0,32	0,3586	-0,03	0,9713	0,11	0,8965	-0,08	0,9526	-0,92	0,0055
Ppifos	1,66	0,05	NA	-0,17	NA	-0,05	NA	0,02	NA	-0,14	0,8294	-0,05	0,9666	-0,12	NA	-0,08	NA	-0,23	0,7769
Ppig	230,23	-0,02	0,9639	0,12	0,7349	0,05	1,0000	0,16	0,8147	-0,37	0,1040	-0,12	0,8417	0,29	0,5017	0,13	0,8665	-0,43	0,1540
Ppih	5,95	0,12	0,8869	0,05	0,9666	0,14	NA	-0,08	NA	-0,02	0,9856	-0,28	0,8040	-0,22	NA	-0,29	0,8343	-0,63	0,3877
Ppil1	18,32	-0,66	0,1306	-0,61	0,2521	-0,46	NA	-0,08	0,9746	-0,41	0,4087	0,23	0,8179	0,32	NA	0,38	0,7075	0,18	0,8078
Ppil2	89,91	-0,43	0,0593	-0,11	0,8176	0,02	1,0000	0,06	0,9700	0,25	0,3086	0,30	0,5476	0,30	0,5394	0,45	0,3157	0,34	0,2551
Ppil3	19,79	-0,60	0,1977	-0,17	0,8105	0,04	NA	-0,19	0,9028	-0,77	0,0706	0,44	0,6108	0,48	NA	0,19	0,9065	-0,17	0,8356
Ppil4	105,03	0,29	0,3882	-0,02	0,9799	-0,05	1,0000	0,21	0,8245	-0,20	0,5752	-0,40	0,3966	0,11	0,8818	0,08	0,9425	-0,20	0,6558
Ppil6	1,53	-0,47	NA	1,06	0,0392	-0,03	NA	-0,11	NA	-0,53	0,3995	1,06	0,0748	0,19	NA	-0,06	NA	0,15	NA
Ppip5k1	48,71	0,25	0,5792	0,62	0,0884	0,13	1,0000	-0,03	0,9853	0,49	0,1289	0,37	0,5082	-0,14	0,8618	0,10	0,9400	0,29	0,4867
Ppip5k2	45,07	-0,65	0,0155	0,71	0,0066	0,10	1,0000	0,57	0,0990	0,25	0,4414	0,88	0,0266	0,88	0,0225	0,83	0,0416	0,82	0,0079
Ppm1a	189,31	-0,01	0,9867	-0,20	0,4850	0,11	1,0000	0,18	0,7595	0,21	0,3746	-0,14	0,7959	-0,01	0,9843	0,14	0,8472	0,21	0,4573
Ppm1b	120,37	0,32	0,1795	0,10	0,8363	0,13	1,0000	0,26	0,6430	0,21	0,4726	-0,05	0,9425	-0,08	0,8987	-0,17	0,8152	-0,01	0,9921
Ppm1d	51,05	-0,21	0,6281	-0,07	0,9081	0,06	1,0000	0,21	0,8521	0,28	0,3983	0,04	0,9629	0,24	0,7136	0,33	0,6550	0,27	0,5353
Ppm1e	236,00	0,51	0,0319	0,05	0,9203	-0,24	1,0000	-0,11	0,9306	0,63	0,0030	-0,16	0,7617	-0,40	0,3054	-0,11	0,9067	0,12	0,7810
Ppm1f	59,24	-0,38	0,2435	0,06	0,9250	0,09	1,0000	0,09	0,9614	-0,22	0,5111	0,08	0,9272	0,03	0,9730	-0,16	0,8879	0,11	0,8285
Ppm1g	78,25	0,32	0,2811	0,66	0,0195	0,02	1,0000	0,11	0,9473	0,11	0,7745	0,27	0,5924	-0,29	0,5890	0,18	0,8137	0,23	0,4842
Ppm1h	25,25	-0,19	0,7310	-0,21	0,7426	-0,27	NA	-0,36	0,6753	0,34	0,4135	-0,21	0,8210	-0,27	0,7383	-0,02	0,9931	0,37	0,4721
Ppm1j	11,58	-0,11	0,8889	0,61	0,2455	0,01	NA	-0,05	0,9853	-0,49	0,4249	0,56	0,4583	0,38	NA	0,21	0,8974	-0,22	0,7864
Ppm1k	136,97	-0,99	0,0000	0,21	0,4984	0,00	1,0000	0,17	0,8232	-0,24	0,2962	0,92	0,0026	0,70	0,0423	0,80	0,0126	0,18	0,6680
Ppm1l	33,57	-0,03	0,9582	0,32	0,5310	-0,04	1,0000	0,27	0,7734	0,75	0,0099	0,12	0,8934	0,05	0,9629	0,22	0,8432	0,77	0,0300
Ppm1m	4,75	0,25	0,7530	0,39	0,6039	0,16	NA	-0,26	NA	-0,75	0,2349	0,22	0,8465	-0,17	NA	-0,51	NA	-1,02	0,1260
Ppme1	76,52	0,88	0,0001	0,28	0,5241	0,05	1,0000	0,25	0,7638	0,32	0,2883	-0,31	0,5446	-0,63	0,0974	-0,49	0,2800	-0,27	0,4040
Ppox	12,89	-0,48	0,3935	0,17	0,8434	0,10	NA	-0,17	0,9361	0,31	0,6069	0,37	0,6955	0,19	NA	0,01	0,9971	0,38	0,5990
Ppp1ca	159,09	0,21	0,5899	-0,37	0,2668	-0,11	1,0000	0,02	0,9873	0,03	0,9327	-0,15	0,8076	-0,39	0,3877	-0,10	0,9292	-0,15	0,7347
Ppp1cb	824,41	0,29	0,0367	0,01	0,9703	0,04	1,0000	0,26	0,2781	-0,16	0,4952	0,19	0,5852	0,07	0,8848	0,02	0,9918	-0,36	0,2681
Ppp1cc	95,10	0,30	0,4116	0,21	0,6957	-0,07	1,0000	-0,01	0,9925	-0,44	0,1948	-0,08	0,9049	-0,38	0,3858	-0,34	0,5141	-0,74	0,0174
Ppp1r10	75,75	-0,29	0,3398	-0,07	0,8956	-0,21	1,0000	-0,21	0,8191	0,65	0,0039	-0,14	0,8447	0,06	0,9390	0,29	0,6528	0,98	0,0002
Ppp1r11	24,79	0,20	0,7338	0,29	0,6395	0,00	NA	0,12	0,9599	0,34	0,4607	-0,17	0,8561	-0,18	0,8434	-0,12	0,9397	0,28	0,6127
Ppp1r12a	526,54	0,33	0,1832	-0,22	0,3334	-0,20	1,0000	-0,13	0,8504	-0,16	0,5297	-0,47	0,2135	-0,47	0,1943	-0,47	0,1997	-0,25	0,5096
Ppp1r12b	204,60	-0,20	0,3588	-0,02	0,9606	-0,04	1,0000	0,08	0,9440	-0,22	0,2772	-0,18	0,7209	-0,07	0,9104	0,23	0,6449	-0,02	0,9629
Ppp1r12c	57,17	0,45	0,1780	0,35	0,4136	0,06	1,0000	0,34	0,6344	0,77	0,0028	-0,30	0,6258	-0,56	0,2569	-0,22	0,8170	0,41	0,2158
Ppp1r13b	71,68	-0,60	0,0322	-0,03	0,9666	0,12	1,0000	0,36	0,5291	0,41	0,1623	0,08	0,9316	0,30	0,6045	0,46	0,3925	0,81	0,0053
Ppp1r13l	48,75	0,36	0,4552	0,19	0,7835	-0,18	1,0000	-0,43	0,5813	0,19	0,7219	-0,57	0,3037	-0,76	0,0985	-0,39	0,5901	0,02	0,9783

GeneID	CTL	ET-1 vs CTL		SAHA vs CTL		JS28 vs CTL		BSP vs CTL		JQ1 vs CTL		ET-1+SAHA vs ET1		ET-1+JS28 vs ET1		ET-1+BSP vs ET1		ET-1+JQ1 vs ET1	
	mean	log2(FC)	P-adj	log2(FC)	P-adj	log2(FC)	P-adj	log2(FC)	P-adj	log2(FC)	P-adj	log2(FC)	P-adj	log2(FC)	P-adj	log2(FC)	P-adj	log2(FC)	P-adj
Ppp1r14b	17,38	0,59	0,1834	0,27	0,7196	-0,11	NA	-0,32	0,7687	-0,25	0,6928	-0,52	0,4567	-0,25	NA	-0,65	0,3674	-0,87	0,0835
Ppp1r14c	502,49	0,14	0,6416	-0,20	0,4315	-0,15	1,0000	0,13	0,8638	0,04	0,8946	0,05	0,9312	0,06	0,9176	-0,04	0,9730	-0,16	0,5894
Ppp1r15a	49,15	1,35	0,0002	-0,04	0,9693	0,02	NA	-0,36	0,6939	0,63	0,0890	-1,43	0,0021	-1,30	0,0024	-1,14	0,0172	-0,40	0,4848
Ppp1r15b	121,14	0,31	0,2329	-0,16	0,7106	-0,08	1,0000	-0,03	0,9853	0,28	0,2847	-0,47	0,2218	-0,44	0,2659	-0,41	0,3548	0,22	0,5374
Ppp1r16a	16,51	-0,16	0,8095	0,54	0,2957	0,13	NA	-0,02	0,9901	-0,22	0,7160	0,10	0,9360	-0,32	NA	0,03	0,9918	-0,03	0,9792
Ppp1r16b	3,36	1,47	0,0008	0,26	NA	0,00	NA	0,00	NA	0,24	NA	-1,24	0,0399	-0,86	NA	-1,07	NA	-1,87	0,0015
Ppp1r17	38,27	-1,14	0,0174	-0,73	0,0956	-0,37	0,9947	-0,59	0,2987	-1,81	0,0000	0,24	0,8316	0,25	NA	-0,34	0,7844	-0,87	0,2106
Ppp1r18	17,83	0,23	0,6859	0,70	0,1107	0,00	NA	-0,21	0,8981	-0,39	0,4663	0,25	0,7734	-0,40	NA	-0,90	0,1286	-0,75	0,2439
Ppp1r1a	14,88	0,02	0,9867	0,37	0,6058	-0,11	NA	-0,06	0,9853	-0,19	0,7960	0,35	0,7240	-0,33	NA	0,01	0,9967	-0,56	0,4402
Ppp1r1b	4,96	0,08	0,9366	1,28	0,0055	-0,04	NA	0,08	NA	-0,74	0,2376	0,98	0,1383	-0,10	NA	-0,20	NA	-0,69	0,3495
Ppp1r2	150,28	0,52	0,0109	-0,11	0,8119	-0,03	1,0000	0,04	0,9853	0,04	0,8865	-0,34	0,4014	-0,27	0,5665	-0,19	0,7668	-0,12	0,7494
Ppp1r21	62,34	-0,44	0,1147	-0,18	0,6865	-0,04	1,0000	0,33	0,5416	0,14	0,6470	0,28	0,6530	0,29	0,6352	0,49	0,3650	0,34	0,4668
Ppp1r26	37,59	-0,13	0,8049	0,07	0,9237	-0,13	1,0000	-0,38	0,6039	-0,20	0,6419	-0,31	0,6853	0,00	0,9975	-0,28	0,7779	-0,72	0,0883
Ppp1r32	1,17	-0,08	NA	-0,32	NA	-0,08	NA	-0,08	NA	-0,45	NA	-0,22	NA	-0,03	NA	-0,05	NA	0,08	NA
Ppp1r35	3,95	-0,17	0,8440	0,19	0,8363	-0,04	NA	-0,02	NA	0,27	0,7250	0,83	0,2558	0,07	NA	0,07	NA	0,21	0,8188
Ppp1r37	75,70	-0,06	0,8912	0,37	0,2317	0,17	1,0000	0,13	0,9220	0,45	0,0824	0,15	0,8291	-0,37	0,4750	0,34	0,5598	0,41	0,2203
Ppp1r3a	356,40	-0,60	0,0005	-0,52	0,0084	-0,49	0,0916	-0,29	0,4145	-1,50	0,0000	0,16	0,7369	0,75	0,0022	0,56	0,0432	-0,82	0,0026
Ppp1r3b	159,52	0,17	0,5886	0,59	0,0042	-0,26	1,0000	0,11	0,9220	-0,09	0,7753	0,34	0,4186	-0,44	0,2765	-0,52	0,1814	-0,61	0,0218
Ppp1r3c	192,74	0,15	0,7259	0,12	0,8274	-0,07	1,0000	-0,25	0,7521	-0,24	0,4948	0,28	0,5689	-0,05	0,9489	-0,57	0,1350	-0,52	0,1062
Ppp1r3d	118,55	-0,38	0,1858	-0,60	0,0122	-0,38	0,6015	-0,12	0,9212	-0,50	0,0211	-0,12	0,8668	-0,22	0,7225	0,14	0,8892	-0,33	0,3785
Ppp1r3e	1,47	0,30	NA	0,26	0,6714	0,00	NA	-0,03	NA	1,38	0,0117	-0,22	NA	-0,29	NA	0,05	NA	0,47	0,5618
Ppp1r3f	4,49	0,16	0,8554	-0,09	0,9298	-0,10	NA	-0,07	NA	0,46	0,5051	-0,03	0,9818	0,06	NA	0,10	NA	0,31	0,7012
Ppp1r3g	2,98	0,29	0,7019	0,06	0,9595	-0,10	NA	0,00	NA	-0,44	0,5210	-0,52	0,5253	-0,26	NA	-0,19	NA	-0,27	0,7671
Ppp1r7	82,42	0,15	0,6919	-0,18	0,6964	-0,01	1,0000	-0,01	0,9941	-0,33	0,2555	-0,18	0,7730	-0,04	0,9603	0,00	1,0000	-0,54	0,1443
Ppp1r8	28,79	0,50	0,2547	-0,18	0,8003	-0,11	NA	-0,10	0,9674	0,45	0,2423	-0,56	0,3860	-0,56	0,3612	-0,25	0,8285	-0,23	0,7037
Ppp1r9a	191,70	-0,64	0,0015	-0,66	0,0007	0,07	1,0000	0,01	0,9932	-0,73	0,0002	-0,47	0,2619	0,47	0,2295	0,13	0,8960	-0,40	0,2419
Ppp1r9b	113,81	-0,10	0,7653	0,27	0,3641	0,12	1,0000	0,16	0,8504	0,72	0,0119	-0,20	0,7228	-0,18	0,7512	-0,11	0,9086	0,94	0,0090
Ppp2ca	471,19	0,40	0,0285	-0,07	0,8449	-0,10	1,0000	0,01	0,9925	0,02	0,9392	-0,22	0,5948	-0,19	0,6365	-0,11	0,8791	-0,19	0,5372
Ppp2cb	129,69	0,22	0,5023	-0,41	0,2248	-0,05	1,0000	-0,02	0,9901	0,22	0,4923	-0,43	0,2626	-0,25	0,6057	-0,11	0,9118	-0,17	0,6649
Ppp2r1a	225,84	0,40	0,0890	-0,27	0,4028	-0,25	1,0000	-0,01	0,9967	0,24	0,3016	-0,25	0,5858	-0,25	0,5824	-0,22	0,7034	0,02	0,9604
Ppp2r1b	39,19	-0,58	0,0751	-0,55	0,1935	-0,07	1,0000	0,03	0,9860	-0,17	0,6789	0,00	0,9994	0,53	0,3183	0,29	0,7602	0,41	0,3010
Ppp2r2a	133,41	0,34	0,1217	0,29	0,2794	0,01	1,0000	0,25	0,6205	0,20	0,4350	0,02	0,9812	-0,04	0,9556	0,04	0,9780	0,05	0,8999
Ppp2r2b	2,51	-0,10	0,9050	0,21	0,8073	-0,08	NA	-0,06	NA	-0,55	0,3803	0,56	0,4951	-0,17	NA	-0,28	NA	0,70	0,3370
Ppp2r2c	2,75	-0,60	0,3026	0,81	0,1528	0,03	NA	-0,22	NA	-0,53	0,4411	0,79	0,2384	0,03	NA	0,08	NA	0,07	NA
Ppp2r2d	51,04	0,20	0,6033	-0,24	0,6466	0,02	1,0000	0,14	0,9269	-0,33	0,3568	0,04	0,9649	0,09	0,9134	-0,05	0,9792	-0,41	0,2448
Ppp2r3a	938,62	0,02	0,9622	-0,44	0,0090	-0,31	0,4885	-0,14	0,8147	-0,31	0,0621	-0,04	0,9452	0,21	0,6140	0,12	0,8666	-0,17	0,5709
Ppp2r3c	43,13	0,01	0,9901	-0,46	0,2622	0,08	1,0000	-0,24	0,8351	-0,73	0,0181	-0,31	0,6499	0,30	0,6291	-0,06	0,9784	-0,89	0,0575
Ppp2r3d	32,85	-0,48	0,2792	-0,73	0,1002	-0,19	1,0000	-0,50	0,4467	-0,18	0,7340	-0,23	0,8028	0,11	0,9089	-0,03	0,9920	0,22	0,7084
Ppp2r4	59,78	-0,01	0,9895	-0,65	0,0603	0,00	1,0000	-0,13	0,9406	-0,25	0,5106	-0,29	0,7005	-0,05	0,9629	0,03	0,9911	-0,19	0,7251
Ppp2r5a	305,88	0,51	0,0030	0,18	0,5397	-0,17	1,0000	0,07	0,9521	0,21	0,4655	0,13	0,7987	-0,50	0,0985	-0,18	0,7614	0,18	0,6548
Ppp2r5b	36,17	0,26	0,5856	0,15	0,8275	-0,10	1,0000	-0,30	0,7601	0,13	0,8029	-0,07	0,9387	-0,50	0,3789	-0,09	0,9528	0,25	0,6005
Ppp2r5c	257,53	-0,29	0,0855	-0,19	0,4334	-0,10	1,0000	-0,19	0,6826	-0,37	0,0574	0,13	0,7891	0,13	0,7986	0,03	0,9861	-0,10	0,7436
Ppp2r5d	74,28	-0,07	0,8821	-0,08	0,8895	-0,21	1,0000	-0,25	0,7539	0,52	0,0879	-0,29	0,6365	-0,29	0,6063	-0,01	0,9986	0,77	0,0441
Ppp2r5e	153,10	-0,30	0,1902	-0,04	0,9314	0,03	1,0000	0,23	0,6661	0,02	0,9593	0,25	0,5995	0,31	0,4626	0,35	0,4325	0,20	0,5140
Ppp3ca	127,51	-0,23	0,4120	-0,10	0,8195	0,00	1,0000	0,04	0,9853	0,40	0,0704	-0,02	0,9836	0,12	0,8489	0,11	0,9045	0,57	0,0455

GeneID	CTL	ET-1 vs CTL		SAHA vs CTL		JS28 vs CTL		BSP vs CTL		JQ1 vs CTL		ET-1+SAHA vs ET1		ET-1+JS28 vs ET1		ET-1+BSP vs ET1		ET-1+JQ1 vs ET1	
	mean	log2(FC)	P-adj	log2(FC)	P-adj	log2(FC)	P-adj	log2(FC)	P-adj	log2(FC)	P-adj	log2(FC)	P-adj	log2(FC)	P-adj	log2(FC)	P-adj	log2(FC)	P-adj
Ppp3cb	154,05	-0,06	0,8815	-0,38	0,1682	-0,09	1,0000	0,15	0,8587	0,35	0,1149	-0,19	0,7388	0,35	0,4165	0,30	0,5785	0,65	0,0116
Ppp3cc	19,41	0,54	0,2160	0,20	0,7928	0,12	NA	0,34	0,7310	0,64	0,1339	-0,35	0,6621	-0,35	0,6309	-0,26	0,8285	0,34	0,4645
Ppp3r1	327,86	0,40	0,0229	0,30	0,2114	0,15	1,0000	0,18	0,7492	0,28	0,2289	0,44	0,1158	0,10	0,8515	-0,05	0,9528	0,00	0,9982
Ppp4c	36,22	0,00	0,9940	0,19	0,7494	0,18	1,0000	0,10	0,9634	-0,09	0,8578	0,08	0,9320	-0,34	0,6063	0,05	0,9824	-0,07	0,9168
Ppp4r1	86,26	0,16	0,6091	-0,57	0,0538	0,09	1,0000	-0,26	0,7120	-0,34	0,2334	-0,49	0,2471	-0,20	0,7128	-0,20	0,7948	-0,33	0,2942
Ppp4r1l-ps	12,79	-0,31	0,6454	0,48	0,4231	0,20	NA	0,07	0,9805	-0,23	0,7273	0,67	0,3507	0,53	NA	0,30	0,8203	-0,11	0,9062
Ppp4r2	122,02	0,05	0,8875	-0,12	0,7690	0,11	1,0000	0,41	0,2211	0,21	0,4448	-0,20	0,7044	0,21	0,6605	0,20	0,7592	0,15	0,7504
Ppp5c	71,25	0,04	0,9378	0,00	0,9975	-0,07	1,0000	0,13	0,9208	0,11	0,7577	-0,01	0,9893	-0,29	0,5946	0,06	0,9685	0,08	0,8699
Ppp6c	103,20	0,28	0,2737	0,33	0,2747	0,18	1,0000	0,16	0,8731	0,19	0,5361	0,28	0,5142	0,14	0,8210	-0,26	0,6579	-0,04	0,9436
Ppp6r1	166,43	-0,03	0,9419	0,06	0,8921	0,04	1,0000	-0,06	0,9669	0,24	0,3081	-0,20	0,6722	-0,39	0,3155	0,00	1,0000	0,37	0,2251
Ppp6r2	81,46	-0,07	0,9027	0,16	0,7208	0,32	0,9475	0,13	0,9213	-0,09	0,7809	0,03	0,9794	0,32	0,5876	0,38	0,5809	0,18	0,6988
Ppp6r3	333,50	0,09	0,7338	0,09	0,7797	-0,01	1,0000	0,21	0,6259	0,19	0,3083	-0,04	0,9506	-0,09	0,8741	0,12	0,8614	0,21	0,5006
Pprc1	61,41	0,47	0,0899	-0,30	0,4916	-0,01	1,0000	-0,08	0,9681	0,32	0,3891	-0,99	0,0066	-0,90	0,0125	-0,59	0,1966	-0,02	0,9718
Ppt1	94,82	-0,42	0,1529	0,00	0,9946	0,05	1,0000	-0,01	0,9947	-0,33	0,2088	0,60	0,1486	0,41	0,4003	0,39	0,5089	0,38	0,3370
Ppt2	23,05	-0,27	0,6172	0,06	0,9444	0,01	NA	-0,04	0,9853	0,65	0,0697	0,46	0,5019	-0,06	NA	0,30	0,7846	0,96	0,0164
Pptc7	103,46	0,35	0,1732	0,18	0,6403	-0,13	1,0000	0,13	0,9093	0,09	0,7963	0,04	0,9564	-0,09	0,8926	0,03	0,9862	0,19	0,5872
Ppwd1	41,41	0,07	0,9040	0,41	0,3412	0,16	1,0000	0,42	0,5044	0,29	0,4642	0,17	0,8388	0,18	0,8291	0,15	0,9018	-0,06	0,9246
Pqbp1	41,04	0,19	0,6861	-0,16	0,7952	-0,10	1,0000	-0,04	0,9853	0,25	0,5201	-0,42	0,4925	-0,11	0,8985	-0,19	0,8576	0,20	0,6473
Pqlc1	24,16	-0,25	0,7087	-0,11	0,8919	-0,34	NA	-0,21	0,8929	0,19	0,7151	0,53	0,4580	0,27	0,7469	0,20	0,8915	0,29	0,6577
Pqlc2	4,75	0,00	0,9975	0,32	0,6988	0,13	NA	-0,12	NA	0,15	0,8523	-0,24	0,8297	-0,13	NA	-0,08	NA	0,20	0,8223
Pqlc3	25,66	0,33	0,5042	0,57	0,2174	0,09	NA	-0,16	0,9378	0,09	0,8853	0,47	0,4402	-0,22	0,7890	-0,67	0,2863	-0,54	0,2385
Pradc1	4,85	0,12	0,8899	0,23	0,7998	-0,10	NA	-0,14	NA	0,00	0,9977	0,24	0,8343	0,35	NA	0,11	0,9570	-0,12	0,9062
Praf2	13,40	0,22	0,7424	0,52	0,3575	-0,13	NA	-0,19	0,9158	-0,27	0,6912	0,38	0,6467	-0,22	NA	-0,47	0,6212	-0,49	0,4196
Pram1	1,32	0,48	NA	0,08	NA	-0,03	NA	-0,08	NA	0,34	NA	-0,45	NA	-0,18	NA	-0,38	NA	-0,64	NA
Pramef8	43,23	0,10	0,8372	0,03	0,9750	0,07	1,0000	-0,28	0,7606	-0,97	0,0026	-0,18	0,8246	-0,14	0,8618	-0,43	0,5115	-1,21	0,0005
Prc1	5,96	-0,08	0,9312	-0,27	0,7506	0,09	NA	-0,12	NA	-0,04	0,9685	-0,30	0,7850	0,19	NA	-0,17	NA	0,25	0,7784
Prcc	57,06	-0,18	0,6360	0,04	0,9520	-0,05	1,0000	-0,01	0,9915	0,55	0,0496	0,11	0,8908	-0,03	0,9726	0,26	0,7343	0,58	0,1047
Prccp	20,39	-0,62	0,1208	0,73	0,0547	-0,02	NA	-0,06	0,9853	-0,59	0,1642	1,15	0,0137	0,42	NA	0,07	0,9734	-0,52	0,3790
Prdm10	19,42	-0,65	0,1451	-0,53	0,3028	-0,24	NA	-0,53	0,4170	-0,76	0,0768	-0,28	0,7953	0,32	NA	-0,11	0,9552	-0,53	0,4171
Prdm11	9,61	-0,25	0,7340	-0,86	0,1184	-0,13	NA	-0,18	0,9213	-0,43	0,5017	-0,87	0,2207	-0,40	NA	-0,11	0,9570	-0,73	0,3046
Prdm15	19,88	-0,18	0,7642	-0,15	0,8421	-0,12	NA	-0,06	0,9853	-0,22	0,6760	-0,06	0,9586	0,00	NA	0,21	0,8760	-0,19	0,7828
Prdm16	34,25	0,72	0,0497	-0,20	0,7968	-0,02	NA	-0,41	0,6295	-0,65	0,1948	-0,97	0,0343	-0,62	0,2280	-0,59	0,3144	-1,34	0,0027
Prdm2	185,55	-0,10	0,7591	-0,06	0,8743	-0,22	1,0000	0,06	0,9634	0,66	0,0001	-0,25	0,6108	-0,10	0,8705	0,17	0,8122	0,79	0,0009
Prdm4	60,32	-0,02	0,9655	-0,22	0,6524	-0,18	1,0000	-0,40	0,4934	-0,54	0,0651	-0,02	0,9789	-0,32	0,5600	-0,13	0,9034	-0,40	0,2623
Prdm5	22,85	-0,31	0,5565	-0,01	0,9929	0,17	NA	0,08	0,9769	-0,39	0,3887	0,37	0,6470	0,39	0,5851	0,05	0,9862	-0,36	0,5722
Prdm6	27,63	-0,49	0,2395	-0,43	0,3870	-0,03	1,0000	0,09	0,9701	-0,30	0,5793	-0,55	0,4432	0,15	0,8788	0,34	0,7235	-0,16	0,8211
Prdm8	4,51	-0,02	0,9867	-0,14	0,8841	0,17	NA	-0,01	NA	0,70	0,2368	-0,24	0,8292	0,09	NA	-0,10	NA	0,58	0,4099
Prdm9	5,64	0,08	0,9279	0,75	0,1892	0,20	NA	-0,03	NA	0,18	0,8193	0,58	0,4837	0,61	NA	-0,16	0,9297	-0,17	0,8573
Prdx1	377,50	-0,21	0,4604	0,00	0,9973	-0,06	1,0000	0,27	0,5298	0,34	0,1507	0,39	0,2620	0,15	0,7599	0,42	0,2163	0,54	0,0447
Prdx2	252,37	-0,13	0,7365	-0,79	0,0000	-0,16	1,0000	-0,30	0,3510	-0,62	0,0005	-0,11	0,8705	-0,07	0,9305	-0,40	0,4263	-0,43	0,3228
Prdx3	200,46	0,17	0,5479	0,09	0,8192	-0,02	1,0000	-0,07	0,9634	-0,66	0,0006	0,29	0,4469	-0,07	0,9050	-0,31	0,4724	-0,62	0,0055
Prdx4	29,71	0,17	0,7535	0,12	0,8628	-0,04	NA	0,09	0,9717	-0,11	0,8350	0,08	0,9394	-0,17	0,8492	-0,09	0,9547	-0,40	0,4557
Prdx5	73,40	0,74	0,0129	0,33	0,4714	-0,08	1,0000	-0,02	0,9901	-0,23	0,5728	-0,09	0,9044	-0,66	0,1085	-0,63	0,1516	-0,55	0,1108
Prdx6	187,28	0,47	0,0095	-0,58	0,0201	-0,15	1,0000	-0,25	0,6430	0,16	0,5920	-0,69	0,0173	-0,63	0,0260	-0,54	0,0665	-0,02	0,9585
Preb	46,82	-0,09	0,8392	-0,04	0,9532	-0,21	1,0000	0,05	0,9853	0,17	0,6652	0,03	0,9754	-0,05	0,9594	0,11	0,9272	0,14	0,7581

GeneID	CTL	ET-1 vs CTL		SAHA vs CTL		JS28 vs CTL		BSP vs CTL		JQ1 vs CTL		ET-1+SAHA vs ET1		ET-1+JS28 vs ET1		ET-1+BSP vs ET1		ET-1+JQ1 vs ET1	
	mean	log2(FC)	P-adj	log2(FC)	P-adj	log2(FC)	P-adj	log2(FC)	P-adj	log2(FC)	P-adj	log2(FC)	P-adj	log2(FC)	P-adj	log2(FC)	P-adj	log2(FC)	P-adj
Prelid1	73,19	0,41	0,1851	-0,33	0,4071	-0,13	1,0000	-0,34	0,6060	0,18	0,5834	-0,27	0,6928	-0,40	0,4311	-0,34	0,5946	-0,02	0,9704
Prelid2	1,45	0,55	NA	0,67	0,1685	0,29	NA	0,41	NA	0,76	0,1981	-0,04	0,9771	0,07	NA	0,22	NA	0,10	0,9233
Prelp	1,21	-0,35	NA	0,08	0,9360	0,19	NA	0,04	NA	-0,55	0,3372	-0,10	NA	0,14	NA	-0,03	NA	-0,06	NA
Prep	107,61	0,29	0,3634	0,13	0,7792	-0,04	1,0000	-0,28	0,6902	0,33	0,2101	-0,13	0,8430	-0,37	0,4330	-0,39	0,4637	0,16	0,7211
Prepl	163,99	0,28	0,3794	0,25	0,4903	-0,23	1,0000	-0,37	0,4619	-0,37	0,1402	0,08	0,9049	-0,24	0,6315	-0,61	0,0771	-0,67	0,0112
Prex1	2,13	0,22	NA	0,94	0,0701	0,21	NA	0,30	NA	1,11	0,0529	0,39	0,6902	-0,24	NA	0,03	NA	0,59	0,4365
Prex2	6,84	-0,31	0,6706	-1,03	0,0475	0,09	NA	-0,72	NA	-1,35	0,0132	-0,82	0,2344	0,07	NA	-0,48	NA	-0,64	0,3999
Prg4	1,03	0,34	NA	-0,04	NA	-0,02	NA	-0,04	NA	0,01	NA	-0,26	NA	-0,12	NA	-0,38	NA	-0,35	NA
Prickle1	139,17	0,30	0,2242	0,10	0,8195	0,09	1,0000	-0,05	0,9769	-0,25	0,3603	0,15	0,7717	0,20	0,6644	0,11	0,8991	-0,15	0,6125
Prickle2	34,67	-0,70	0,0184	0,38	0,3145	0,08	1,0000	-0,03	0,9855	0,03	0,9489	0,90	0,0395	0,72	0,1245	0,73	0,1502	1,18	0,0001
Prickle3	8,29	-0,86	0,0802	-0,09	0,9314	-0,18	NA	-0,04	0,9855	-0,90	0,1182	0,12	0,9288	0,22	NA	0,24	NA	-0,11	0,9201
Prickle4	1,26	0,17	NA	0,42	0,4685	-0,01	NA	-0,08	NA	-0,02	NA	0,05	NA	0,09	NA	-0,31	NA	-0,34	NA
Prim1	5,08	-0,64	0,2754	0,11	0,9203	-0,19	NA	-0,34	NA	-0,88	0,1347	0,58	0,4889	0,13	NA	-0,30	NA	0,46	0,5770
Prim2	8,39	-0,28	0,6912	0,22	0,7983	-0,08	NA	0,05	0,9853	0,17	0,8083	0,41	0,6648	0,09	NA	0,20	0,9037	0,50	0,4724
Primpol	20,42	-0,16	0,7885	-0,05	0,9568	-0,09	NA	-0,17	0,9269	-0,56	0,2173	0,13	0,9049	0,01	NA	-0,23	0,8577	-0,54	0,3786
Prkaa1	143,95	0,11	0,7620	-0,31	0,3348	-0,10	1,0000	0,04	0,9825	0,30	0,1988	-0,34	0,4201	-0,01	0,9925	-0,17	0,8243	0,16	0,6425
Prkaa2	1665,81	0,39	0,0155	-0,57	0,0005	-0,20	1,0000	-0,32	0,2471	-0,59	0,0000	-0,41	0,1363	-0,17	0,6682	-0,40	0,1508	-0,88	0,0000
Prkab1	47,05	-0,33	0,4374	0,17	0,7870	0,03	1,0000	0,22	0,8546	0,52	0,1010	0,30	0,6398	-0,01	0,9914	0,43	0,4944	0,74	0,0172
Prkab2	106,83	0,33	0,1818	0,06	0,9075	-0,23	1,0000	-0,01	0,9967	0,34	0,1472	0,04	0,9500	-0,44	0,2861	-0,46	0,2746	-0,12	0,7594
Prkaca	358,54	-0,20	0,5521	0,19	0,5556	-0,22	1,0000	-0,08	0,9563	0,24	0,3890	0,48	0,1785	-0,16	0,7812	0,30	0,5435	0,59	0,1085
Prkacb	247,50	0,07	0,8162	-0,15	0,6682	-0,10	1,0000	-0,14	0,8783	-0,06	0,8396	0,10	0,8446	0,13	0,7798	0,00	1,0000	-0,05	0,8716
Prkag1	62,13	-0,11	0,8328	-0,36	0,3367	-0,06	1,0000	-0,09	0,9600	0,12	0,7620	-0,07	0,9404	0,15	0,8514	0,28	0,7488	0,38	0,3840
Prkag2	230,38	0,09	0,8211	0,10	0,8375	0,09	1,0000	-0,53	0,1068	-0,92	0,0000	0,16	0,7563	-0,04	0,9557	-0,40	0,3321	-0,91	0,0004
Prkag3	5,49	0,27	0,7303	-0,15	0,8775	-0,13	NA	-0,21	NA	-0,34	0,6543	-0,59	0,4778	-0,54	NA	-0,28	0,8408	-0,63	0,4091
Prkar1a	2565,28	0,51	0,0037	0,06	0,8563	0,11	1,0000	-0,27	0,4053	-0,34	0,0470	-0,03	0,9642	-0,06	0,9217	-0,78	0,0005	-0,84	0,0000
Prkar1b	6,57	-0,17	0,8409	-0,14	0,8917	0,23	NA	-0,20	NA	-0,30	0,6771	-0,11	0,9368	0,08	NA	-0,42	NA	-0,21	0,8112
Prkar2a	157,58	0,51	0,0195	-0,55	0,0375	-0,15	1,0000	0,03	0,9853	0,29	0,2134	-0,77	0,0089	-0,47	0,1981	-0,36	0,4095	-0,10	0,7903
Prkar2b	1,41	-0,18	NA	0,65	0,2702	0,10	NA	0,59	NA	1,83	0,0002	0,71	0,2964	0,15	NA	0,66	NA	2,08	0,0002
Prkca	251,03	0,19	0,5619	-0,38	0,1860	-0,31	0,9475	-0,01	0,9943	0,22	0,4195	-0,44	0,2128	-0,08	0,9030	0,06	0,9570	0,20	0,5155
Prkcd	49,10	-0,24	0,5417	0,59	0,0545	0,05	1,0000	-0,36	0,5919	-0,62	0,0808	0,43	0,4078	0,05	0,9620	-0,09	0,9495	-0,33	0,5251
Prkce	100,06	-0,48	0,0398	-0,13	0,7797	0,08	1,0000	0,19	0,8147	0,44	0,0480	0,16	0,8040	0,13	0,8394	0,60	0,0867	0,66	0,0078
Prkcg	3,04	0,24	0,7657	0,40	0,5892	0,12	NA	-0,03	NA	-0,01	0,9953	-0,52	0,5238	-0,39	NA	-0,14	NA	-0,39	0,6445
Prkch	2,20	0,05	NA	0,31	0,6858	0,04	NA	-0,26	NA	-0,44	0,5080	0,09	0,9460	0,21	NA	-0,19	NA	-0,53	NA
Prkci	77,80	0,46	0,1102	0,35	0,3073	0,20	1,0000	0,25	0,7493	0,31	0,2966	-0,17	0,8043	-0,14	0,8435	-0,47	0,3673	0,12	0,8145
Prkcsh	104,93	0,53	0,0173	0,61	0,0195	0,16	1,0000	0,02	0,9860	0,64	0,0024	0,10	0,8689	-0,39	0,3437	-0,46	0,2514	0,20	0,4645
Prkcz	13,85	-0,10	0,8953	0,25	0,7339	0,12	NA	-0,01	0,9932	0,08	0,9096	0,04	0,9732	-0,01	NA	0,10	0,9608	0,13	0,8700
Prkd1	31,95	-0,53	0,1333	0,79	0,0090	0,09	1,0000	0,56	0,1923	0,11	0,8072	0,90	0,0440	0,28	0,7068	0,80	0,1003	0,68	0,0855
Prkd2	4,79	0,02	0,9867	0,41	0,5856	0,01	NA	-0,30	NA	-0,60	0,3641	-0,31	0,7706	-0,15	NA	-0,21	NA	-0,33	0,6954
Prkd3	109,84	-0,24	0,4478	-0,33	0,3611	-0,05	1,0000	-0,11	0,9406	-0,40	0,1265	-0,47	0,2400	0,13	0,8390	0,02	0,9911	-0,08	0,8467
Prkdc	165,69	-0,47	0,0096	0,15	0,6507	-0,04	1,0000	0,30	0,4145	-0,04	0,9026	0,27	0,5239	0,32	0,4311	0,28	0,5543	0,19	0,5827
Prkg1	80,77	-0,27	0,4180	-0,57	0,0685	-0,36	0,8594	-0,75	0,0162	-1,55	0,0000	-0,22	0,7347	0,15	0,8260	-0,78	0,0496	-1,33	0,0000
Prkra	24,30	0,10	0,8762	0,17	0,8238	0,18	NA	0,04	0,9853	-0,49	0,2876	-0,14	0,8856	0,04	0,9726	-0,43	0,6296	-0,87	0,0540
Prkrip1	16,33	-0,07	0,9295	0,02	0,9848	-0,12	NA	-0,03	0,9860	0,05	0,9392	-0,02	0,9901	0,24	NA	0,14	0,9346	0,03	0,9763
Prkrir	166,41	0,26	0,2402	-0,28	0,3278	-0,12	1,0000	0,18	0,7790	-0,08	0,7837	-0,38	0,3026	-0,27	0,5143	0,00	1,0000	-0,23	0,4798
Prkx	44,38	0,27	0,4772	-0,02	0,9793	0,02	1,0000	0,17	0,9084	0,43	0,1574	-0,04	0,9698	-0,36	0,5422	0,10	0,9425	0,11	0,8120

GeneID	CTL	ET-1 vs CTL		SAHA vs CTL		JS28 vs CTL		BSP vs CTL		JQ1 vs CTL		ET-1+SAHA vs ET1		ET-1+JS28 vs ET1		ET-1+BSP vs ET1		ET-1+JQ1 vs ET1	
	mean	log2(FC)	P-adj	log2(FC)	P-adj	log2(FC)	P-adj	log2(FC)	P-adj	log2(FC)	P-adj	log2(FC)	P-adj	log2(FC)	P-adj	log2(FC)	P-adj	log2(FC)	P-adj
Prmt1	62,47	0,18	0,7127	0,01	0,9947	0,09	1,0000	-0,17	0,9113	-0,23	0,5812	-0,12	0,8684	-0,41	0,4355	0,05	0,9730	-0,26	0,5473
Prmt10	49,34	-0,10	0,8554	0,25	0,5954	-0,02	1,0000	0,12	0,9435	0,02	0,9697	0,58	0,2201	0,22	0,7460	0,28	0,7468	0,12	0,8288
Prmt2	32,86	-0,37	0,3862	-0,03	0,9766	0,05	1,0000	-0,12	0,9516	0,25	0,5608	0,39	0,5667	0,14	0,8778	0,66	0,2151	0,17	0,7696
Prmt3	44,93	0,32	0,3590	-0,64	0,0983	-0,17	1,0000	-0,13	0,9417	0,02	0,9754	-0,64	0,1842	-0,48	0,3484	-0,42	0,5028	-0,24	0,5713
Prmt5	80,56	0,18	0,6213	-0,10	0,8614	0,12	1,0000	-0,22	0,8247	0,37	0,2030	-0,37	0,4246	-0,21	0,7016	-0,05	0,9667	0,03	0,9530
Prmt6	17,63	0,32	0,5633	-0,33	0,6282	-0,22	NA	0,01	0,9972	-0,51	0,3439	-0,50	0,5019	-0,28	NA	-0,17	0,9074	-0,69	0,1717
Prmt7	52,16	0,71	0,0101	-0,10	0,8897	-0,04	1,0000	0,36	0,6070	0,61	0,0394	-0,43	0,3966	-0,73	0,0897	-0,17	0,8577	0,34	0,3585
Prnp	511,66	0,38	0,0927	-0,49	0,0741	-0,12	1,0000	-0,07	0,9634	0,08	0,8084	-0,82	0,0002	-0,54	0,0287	-0,30	0,4097	-0,10	0,7701
Prob1	51,50	-0,19	0,6616	0,03	0,9751	0,27	1,0000	-0,18	0,8923	0,39	0,2199	-0,14	0,8586	0,17	0,8216	0,42	0,4733	0,49	0,1476
Procr	2,52	0,16	0,8470	0,41	0,5619	0,02	NA	-0,13	NA	-0,12	0,8891	-0,30	0,7608	-0,36	NA	-0,38	NA	-1,06	NA
Prodh	1,74	0,22	NA	0,69	0,1976	0,07	NA	0,04	NA	0,22	0,7683	0,32	0,7526	-0,02	NA	-0,35	NA	-0,19	0,8405
Prorsd1	27,77	0,65	0,0815	-0,11	0,8948	0,05	NA	0,17	0,9269	-0,36	0,4770	-0,50	0,4363	-0,05	0,9622	-0,42	0,6034	-1,01	0,0297
Pros1	6,89	-0,77	0,1437	-0,43	0,5394	0,14	NA	-0,39	0,6653	-1,40	0,0078	0,36	0,7322	0,14	NA	-0,43	NA	-0,98	0,1511
Prosc	109,70	0,29	0,2539	-0,07	0,8980	0,05	1,0000	-0,21	0,7893	-0,28	0,3341	-0,19	0,7360	-0,24	0,6313	-0,18	0,8004	-0,35	0,3071
Proser1	56,23	-0,38	0,2572	0,25	0,5475	0,18	1,0000	-0,09	0,9634	0,32	0,3135	0,02	0,9837	0,09	0,9138	0,09	0,9528	0,59	0,0998
Prox1	204,54	-0,18	0,5831	-0,59	0,0099	-0,26	1,0000	-0,25	0,6614	0,22	0,4315	-0,24	0,6266	0,02	0,9776	-0,03	0,9833	0,60	0,0544
Prox2	3,40	0,21	0,7896	0,30	0,6988	0,03	NA	-0,20	NA	-0,38	0,5914	-0,13	0,9180	-0,34	NA	-0,39	NA	-0,83	0,2290
Prpf18	90,55	-0,12	0,7963	-0,08	0,8917	0,07	1,0000	0,13	0,9305	0,07	0,8754	0,08	0,9081	0,30	0,5422	0,25	0,7070	0,22	0,5648
Prpf19	168,89	0,16	0,5772	0,11	0,7679	-0,10	1,0000	-0,44	0,1759	0,12	0,6782	0,17	0,7300	-0,37	0,3307	-0,30	0,5332	0,14	0,6333
Prpf3	37,39	0,14	0,7912	-0,08	0,9140	-0,28	1,0000	-0,06	0,9805	0,23	0,5882	-0,28	0,7103	-0,51	0,3671	0,00	1,0000	0,20	0,6624
Prpf31	31,50	0,41	0,2727	0,06	0,9444	0,11	NA	0,13	0,9440	-0,25	0,5810	-0,17	0,8297	-0,35	0,5851	-0,33	0,6935	-0,17	0,7268
Prpf38a	71,56	0,22	0,5361	0,02	0,9818	-0,02	1,0000	-0,25	0,7688	-0,51	0,1199	-0,09	0,9081	-0,05	0,9570	-0,31	0,6352	-0,34	0,3288
Prpf38b	86,25	0,32	0,3141	0,32	0,4198	0,14	1,0000	0,17	0,8917	0,23	0,4784	-0,28	0,5971	0,10	0,8912	0,01	0,9967	0,05	0,9046
Prpf39	71,67	-0,42	0,2252	0,19	0,6946	-0,06	1,0000	0,21	0,8337	0,14	0,6822	0,40	0,4567	0,76	0,0561	0,46	0,4195	0,34	0,3980
Prpf4	36,32	0,09	0,8829	0,09	0,8947	0,14	1,0000	0,18	0,9022	0,59	0,0497	-0,08	0,9346	0,10	0,9103	-0,07	0,9633	0,45	0,2743
Prpf40a	234,33	0,17	0,5288	0,02	0,9730	0,07	1,0000	0,16	0,8420	-0,08	0,8006	-0,26	0,5479	0,16	0,7461	-0,04	0,9730	-0,15	0,7507
Prpf40b	39,95	-0,11	0,8317	0,50	0,1792	0,19	1,0000	-0,17	0,9124	-0,31	0,4956	0,45	0,3966	-0,11	0,8994	-0,15	0,9081	-0,08	0,9046
Prpf4b	203,29	-0,21	0,4022	-0,15	0,6643	-0,09	1,0000	0,02	0,9853	-0,10	0,7130	-0,15	0,7629	0,36	0,2999	0,29	0,4973	0,04	0,9161
Prpf6	91,92	-0,32	0,2176	0,60	0,0107	0,14	1,0000	-0,01	0,9968	0,09	0,7753	0,44	0,3003	0,20	0,7274	0,30	0,6165	0,37	0,2154
Prpf8	716,38	-0,08	0,6801	-0,14	0,5322	-0,05	1,0000	-0,09	0,9058	-0,26	0,1073	-0,26	0,3856	-0,17	0,6360	-0,08	0,9074	-0,21	0,3114
Prps1	47,56	0,41	0,2297	0,11	0,8590	-0,13	1,0000	-0,09	0,9684	-0,18	0,6687	0,09	0,9155	-0,54	0,2861	-0,71	0,1236	-0,68	0,0522
Prps113	47,13	0,04	0,9446	-0,34	0,4452	-0,27	1,0000	-0,30	0,7107	-0,67	0,0504	-0,53	0,3244	-0,19	0,8040	-0,47	0,4707	-0,62	0,2403
Prps2	191,18	-0,84	0,0000	-0,32	0,1553	-0,01	1,0000	0,23	0,5685	-0,07	0,8089	0,25	0,6103	0,62	0,0507	0,72	0,0130	0,47	0,2251
Prpsap1	41,75	-0,13	0,7834	0,14	0,8146	0,05	1,0000	0,08	0,9701	0,41	0,2160	0,28	0,6809	0,12	0,8910	0,03	0,9911	0,40	0,4118
Prpsap2	35,79	-0,04	0,9492	-0,18	0,7700	-0,11	1,0000	0,12	0,9472	-0,05	0,9167	-0,57	0,3664	-0,03	0,9738	0,19	0,8736	-0,06	0,9207
Prr11	10,89	-0,22	0,7694	-0,48	0,4779	-0,14	NA	-0,48	0,5291	-0,50	0,4182	-0,07	0,9573	-0,15	NA	-0,28	0,8446	0,03	0,9736
Prr12	112,04	-0,30	0,3478	-0,40	0,2479	-0,25	1,0000	-0,27	0,6921	0,16	0,7665	-0,69	0,0858	-0,26	0,6354	-0,13	0,9053	0,30	0,5921
Prr13	48,56	0,09	0,8779	-0,48	0,2848	-0,40	0,8985	-0,57	0,2991	0,49	0,1826	-0,50	0,3919	-0,56	0,2970	-0,80	0,1023	0,42	0,3702
Prr14	39,89	0,25	0,5555	-0,02	0,9819	-0,22	1,0000	-0,21	0,8674	0,32	0,4348	-0,74	0,1199	-0,14	0,8581	-0,64	0,2384	0,44	0,2742
Prr14l	140,11	0,00	0,9923	0,02	0,9751	0,02	1,0000	0,20	0,7414	0,10	0,7079	-0,15	0,7921	0,06	0,9288	0,15	0,8472	0,23	0,4841
Prr24	9,88	-0,14	0,8616	-0,09	0,9302	-0,07	NA	0,14	0,9498	0,61	0,2565	-0,10	0,9401	-0,11	NA	0,36	0,7583	0,80	0,1441
Prr3	12,74	-0,04	0,9632	0,21	0,8031	-0,04	NA	-0,11	0,9634	0,09	0,8960	0,17	0,8808	-0,03	NA	-0,08	0,9734	0,23	0,7624
Prrc1	64,31	0,10	0,8276	-0,52	0,1556	-0,37	0,9475	-0,14	0,9249	0,34	0,2719	-0,32	0,5784	-0,50	0,2945	-0,20	0,8375	0,23	0,6013
Prrc2a	593,77	0,09	0,8487	-0,23	0,4390	-0,11	1,0000	0,10	0,9249	1,09	0,0000	-0,86	0,0090	-0,68	0,0531	0,17	0,8376	1,08	0,0050
Prrc2b	794,47	0,00	0,9891	-0,32	0,0577	-0,15	1,0000	-0,02	0,9853	0,34	0,0643	-0,67	0,0055	-0,47	0,0913	-0,19	0,6942	0,21	0,5226

GeneID	CTL	ET-1 vs CTL		SAHA vs CTL		JS28 vs CTL		BSP vs CTL		JQ1 vs CTL		ET-1+SAHA vs ET1		ET-1+JS28 vs ET1		ET-1+BSP vs ET1		ET-1+JQ1 vs ET1	
	mean	log2(FC)	P-adj	log2(FC)	P-adj	log2(FC)	P-adj	log2(FC)	P-adj	log2(FC)	P-adj	log2(FC)	P-adj	log2(FC)	P-adj	log2(FC)	P-adj	log2(FC)	P-adj
Prrc2c	805,55	-0,17	0,5703	-0,04	0,9351	-0,06	1,0000	0,12	0,8814	0,52	0,0075	-0,38	0,3121	0,10	0,8732	0,24	0,6494	0,60	0,0147
Prrg1	12,56	-0,11	0,8916	0,37	0,5878	0,29	NA	0,42	0,6195	-0,07	0,9263	0,48	0,5464	0,64	NA	0,19	0,9065	0,06	0,9510
Prrg2	8,64	-0,21	0,7858	-0,99	0,0579	-0,19	NA	-0,69	0,1690	-0,93	0,1063	-0,85	0,2395	-0,04	NA	-0,56	0,5445	-1,33	0,0296
Prrg4	9,01	-0,06	0,9493	0,03	0,9818	0,16	NA	-0,38	0,6739	-1,75	0,0007	-0,13	0,9201	-0,04	NA	-0,44	0,6756	-0,97	0,1422
Prrt2	1,55	-0,48	NA	0,32	0,6882	0,06	NA	-0,12	NA	-0,02	0,9855	0,54	NA	0,19	NA	0,21	NA	-0,02	NA
Prrx1	48,38	0,18	0,6931	-1,35	0,0000	-0,55	0,3622	-0,54	0,3244	-0,84	0,0175	-0,84	0,0610	-0,07	0,9336	-0,66	0,1969	-0,52	0,2017
Prrx2	11,05	-0,44	0,4859	-0,62	0,3124	-0,06	NA	-0,48	0,5235	-1,17	0,0299	-0,44	0,6507	-0,16	NA	-0,62	0,4707	-1,58	0,0077
Prss23	346,03	1,25	0,0000	0,07	0,8658	0,36	0,4608	-0,55	0,0176	-0,92	0,0000	-0,42	0,2215	-0,60	0,0556	-0,71	0,0097	-1,62	0,0000
Prss27	1,17	0,51	NA	0,03	NA	-0,01	NA	0,02	NA	-0,07	NA	-0,10	NA	-0,28	NA	-0,47	NA	-0,84	NA
Prss36	4,16	0,21	0,7961	0,09	0,9319	0,20	NA	-0,06	NA	0,39	0,5894	0,05	0,9742	-0,34	NA	-0,09	NA	0,04	0,9731
Prss53	4,91	-0,05	0,9605	0,28	0,7395	-0,12	NA	-0,25	NA	-0,36	0,6323	-0,02	0,9893	-0,06	NA	-0,18	NA	-0,06	0,9588
Prtg	2,71	0,01	0,9923	0,41	0,5727	0,01	NA	0,08	NA	-0,45	0,5226	0,09	0,9460	-0,13	NA	-0,10	NA	-0,21	0,8175
Prune	64,93	-0,02	0,9676	-0,41	0,3063	-0,07	1,0000	-0,22	0,8364	-0,17	0,6679	-0,35	0,5183	-0,34	0,5266	-0,15	0,8808	-0,07	0,8797
Prune2	198,83	0,52	0,0122	0,34	0,1865	0,09	1,0000	-0,02	0,9853	-0,10	0,6962	-0,19	0,7228	-0,41	0,2819	-0,26	0,6355	0,16	0,6849
Prx	7,12	0,23	0,7745	0,25	0,7748	-0,01	NA	-0,05	NA	-0,06	0,9436	0,02	0,9882	-0,22	NA	-0,43	0,6913	0,20	0,8051
Psap	242,43	-0,51	0,0202	0,19	0,4366	0,15	1,0000	0,07	0,9469	0,72	0,0000	0,50	0,1844	0,30	0,5303	0,49	0,2151	0,87	0,0010
Psat1	71,41	2,55	0,0000	0,06	0,9545	-0,42	NA	-0,41	0,6430	0,41	0,4542	-1,14	0,0714	-1,28	0,0079	-1,30	0,0172	-1,09	0,0223
Psca	2,73	0,65	0,2437	0,18	0,8196	0,07	NA	-0,12	NA	-0,35	NA	-0,24	0,8306	-0,10	NA	-0,20	NA	-0,70	0,3287
Psd	2,48	-0,03	0,9760	0,34	0,6444	-0,06	NA	0,02	NA	0,63	0,3431	0,11	0,9351	-0,07	NA	-0,28	NA	0,61	0,4134
Psd3	155,65	-0,69	0,0003	-0,09	0,8164	-0,14	1,0000	-0,04	0,9798	-0,32	0,1300	0,46	0,2331	0,54	0,1306	0,37	0,4593	0,08	0,8507
Psen1	112,56	0,08	0,8312	0,01	0,9899	0,03	1,0000	0,24	0,7107	0,57	0,0081	-0,27	0,5897	-0,05	0,9458	-0,07	0,9552	0,48	0,0611
Psen2	8,46	-0,55	0,3413	-0,33	0,6741	-0,11	NA	-0,01	0,9932	-0,40	0,5215	0,39	0,7009	0,18	NA	0,18	0,9170	0,61	0,3629
Psenen	17,76	-0,22	0,7398	-0,65	0,2063	-0,09	NA	-0,14	0,9469	-0,85	0,0645	-0,04	0,9754	0,01	NA	-0,30	0,8122	-0,86	0,1194
Psip1	233,66	-0,01	0,9754	-0,14	0,6366	-0,12	1,0000	0,32	0,3206	0,50	0,0053	-0,09	0,9081	0,05	0,9432	0,38	0,4277	0,55	0,1223
Pskh1	75,50	0,10	0,7900	0,20	0,6189	0,21	1,0000	0,29	0,6249	0,58	0,0074	0,04	0,9596	-0,19	0,7617	0,06	0,9606	0,30	0,4033
Psma1	124,94	0,17	0,6279	-0,39	0,1975	-0,05	1,0000	-0,03	0,9853	-0,31	0,3016	0,07	0,9206	-0,08	0,9094	-0,08	0,9442	-0,35	0,3652
Psma2	97,00	0,15	0,7154	0,16	0,7244	0,03	1,0000	0,10	0,9472	-0,02	0,9696	0,33	0,4778	-0,08	0,9121	0,09	0,9346	-0,15	0,7206
Psma3	65,29	0,32	0,3357	-0,14	0,8040	0,05	1,0000	0,33	0,6103	0,05	0,9121	-0,18	0,7990	-0,09	0,9060	-0,01	0,9936	-0,25	0,5573
Psma4	114,38	0,14	0,6684	-0,13	0,7581	0,25	1,0000	0,40	0,2303	0,06	0,8635	-0,24	0,6448	0,26	0,5851	0,39	0,3610	0,01	0,9902
Psma5	69,62	0,09	0,8391	0,11	0,8347	-0,20	1,0000	0,07	0,9727	-0,26	0,3927	0,28	0,6202	-0,13	0,8539	-0,29	0,6820	-0,48	0,1638
Psma6	111,22	0,20	0,4753	0,32	0,2834	0,05	1,0000	0,18	0,8332	-0,08	0,8259	0,31	0,4668	-0,01	0,9898	0,12	0,8990	-0,27	0,4322
Psma7	114,90	0,20	0,4802	0,27	0,3920	-0,02	1,0000	0,07	0,9634	0,17	0,6065	0,07	0,9186	-0,09	0,8818	0,04	0,9792	-0,07	0,8461
Psemb1	119,51	0,02	0,9650	0,01	0,9872	-0,10	1,0000	-0,04	0,9853	0,05	0,8818	0,45	0,2969	-0,10	0,8932	-0,02	0,9918	0,09	0,8348
Psemb10	18,17	0,00	0,9999	-1,32	0,0051	-0,20	NA	-0,54	0,4240	-1,03	0,0454	-1,16	0,0398	-0,39	NA	-0,75	0,2651	-1,18	0,0212
Psemb2	89,93	0,30	0,2832	0,41	0,1976	0,22	1,0000	0,07	0,9681	0,30	0,3334	0,59	0,0815	0,00	0,9963	-0,05	0,9730	0,03	0,9445
Psemb3	79,52	0,52	0,0180	-0,18	0,6966	0,06	1,0000	0,11	0,9417	0,51	0,0301	0,00	0,9966	-0,38	0,3952	-0,34	0,5271	0,04	0,9226
Psemb4	103,05	0,28	0,3187	-0,26	0,4850	0,00	1,0000	0,10	0,9454	0,59	0,0380	0,04	0,9601	-0,29	0,5580	-0,02	0,9931	0,16	0,6878
Psemb5	15,34	0,27	0,6407	-0,21	0,7894	-0,26	NA	-0,27	0,8380	0,04	0,9591	0,04	0,9724	-0,49	NA	-0,26	0,8401	-0,25	0,6927
Psemb6	99,53	0,29	0,3698	-0,01	0,9883	0,01	1,0000	0,22	0,7652	0,49	0,0235	0,06	0,9387	-0,14	0,8390	0,01	0,9957	0,21	0,5709
Psemb7	89,90	0,09	0,8695	0,07	0,9169	-0,18	1,0000	0,02	0,9901	-0,38	0,2816	0,04	0,9601	-0,31	0,5717	-0,04	0,9855	-0,26	0,4883
Psmc1	107,18	0,27	0,3648	0,08	0,8844	0,10	1,0000	-0,08	0,9628	0,08	0,8457	-0,36	0,4198	-0,25	0,6695	0,04	0,9753	-0,19	0,5701
Psmc2	129,39	0,17	0,5703	0,04	0,9396	0,17	1,0000	0,00	0,9986	-0,19	0,5274	-0,12	0,8421	-0,07	0,9104	0,03	0,9878	-0,24	0,4747
Psmc3	180,69	-0,02	0,9602	-0,17	0,6521	-0,12	1,0000	-0,01	0,9901	-0,01	0,9716	-0,06	0,9325	0,01	0,9909	0,25	0,6212	0,25	0,3251
Psmc3ip	2,88	0,08	0,9309	-0,01	0,9947	0,09	NA	0,11	NA	0,04	0,9685	-0,43	0,6266	0,01	NA	0,00	NA	0,08	0,9373
Psmc4	129,32	0,49	0,0205	-0,08	0,8797	0,10	1,0000	-0,13	0,9213	0,15	0,6077	-0,14	0,8036	-0,24	0,6185	-0,33	0,4614	-0,28	0,2972

GeneID	CTL	ET-1 vs CTL		SAHA vs CTL		JS28 vs CTL		BSP vs CTL		JQ1 vs CTL		ET-1+SAHA vs ET1		ET-1+JS28 vs ET1		ET-1+BSP vs ET1		ET-1+JQ1 vs ET1	
	mean	log2(FC)	P-adj	log2(FC)	P-adj	log2(FC)	P-adj	log2(FC)	P-adj	log2(FC)	P-adj	log2(FC)	P-adj	log2(FC)	P-adj	log2(FC)	P-adj	log2(FC)	P-adj
Psmc5	122,96	0,49	0,0347	-0,60	0,0445	-0,18	1,0000	-0,27	0,7007	0,13	0,7062	-0,79	0,0126	-0,44	0,2427	-0,44	0,2481	-0,24	0,4612
Psmc6	253,14	0,27	0,1666	-0,29	0,2149	-0,04	1,0000	0,11	0,8994	-0,12	0,7278	-0,44	0,1664	0,03	0,9666	0,09	0,9143	-0,31	0,3839
Psmc10	253,59	0,02	0,9580	-0,14	0,6821	-0,05	1,0000	-0,20	0,7167	-0,22	0,3320	0,14	0,7704	0,18	0,6946	-0,08	0,9264	0,01	0,9797
Psmc11	20,82	-0,12	0,8515	0,11	0,8830	-0,05	NA	0,11	0,9634	-0,27	0,5912	0,26	0,7642	0,02	NA	-0,08	0,9681	-0,42	0,4930
Psmc12	201,23	0,35	0,0801	0,01	0,9804	0,03	1,0000	0,04	0,9794	0,14	0,5556	-0,26	0,5227	-0,21	0,6313	-0,31	0,4950	-0,02	0,9534
Psmc13	214,19	0,37	0,0507	0,16	0,6125	0,13	1,0000	0,11	0,9058	0,06	0,8529	0,01	0,9927	-0,01	0,9870	-0,15	0,8285	-0,30	0,4669
Psmc14	89,66	0,16	0,7272	0,20	0,6108	0,10	1,0000	0,13	0,9211	0,25	0,5142	0,33	0,5593	-0,03	0,9765	0,19	0,8463	0,20	0,6476
Psmc2	101,70	0,39	0,1261	0,05	0,9212	-0,17	1,0000	-0,07	0,9645	-0,27	0,3439	0,12	0,8451	-0,08	0,9142	-0,35	0,5086	-0,58	0,1576
Psmc3	279,27	0,04	0,9260	-0,09	0,8241	0,07	1,0000	0,26	0,5477	0,32	0,1269	-0,13	0,8025	-0,19	0,6811	0,09	0,9230	0,14	0,6585
Psmc4	222,63	0,25	0,2399	-0,08	0,8454	-0,02	1,0000	0,01	0,9901	0,79	0,0000	-0,16	0,7341	-0,35	0,3050	-0,06	0,9438	0,65	0,0010
Psmc5	132,17	0,09	0,8169	0,11	0,8227	0,20	1,0000	0,26	0,6921	0,34	0,2098	-0,11	0,8493	-0,29	0,5148	-0,17	0,8207	0,32	0,1756
Psmc6	49,05	0,07	0,8843	-0,06	0,9252	-0,17	1,0000	0,25	0,7688	0,30	0,3432	-0,01	0,9927	-0,14	0,8635	0,07	0,9633	0,24	0,5544
Psmc7	97,59	0,47	0,0335	0,29	0,3925	0,39	0,6265	0,17	0,8643	-0,14	0,6913	-0,03	0,9714	-0,06	0,9307	-0,17	0,8161	-0,64	0,0327
Psmc8	158,15	0,32	0,1239	0,02	0,9666	0,25	1,0000	0,30	0,5115	0,22	0,4222	-0,32	0,4218	-0,09	0,8722	0,15	0,8197	0,07	0,8408
Psmc9	94,86	-0,06	0,8940	0,15	0,7376	-0,24	1,0000	0,07	0,9713	0,21	0,4771	0,24	0,6589	-0,02	0,9803	0,40	0,3886	0,44	0,0979
Psmc10	18,47	-0,22	0,7072	-0,29	0,6821	-0,08	NA	-0,10	0,9686	-0,76	0,0962	0,48	0,4945	0,01	NA	-0,23	0,8651	-0,41	0,5246
Psmc11	107,18	-0,71	0,0007	-0,16	0,6906	0,04	1,0000	0,07	0,9656	-0,60	0,0203	0,23	0,7001	0,02	0,9780	0,13	0,8949	-0,09	0,8927
Psmc12	23,90	-0,22	0,6930	-0,08	0,9274	-0,21	NA	0,14	0,9430	0,04	0,9391	-0,28	0,7607	-0,25	NA	0,31	0,7690	0,03	0,9755
Psmc13	1,16	-0,01	NA	-0,12	NA	-0,06	NA	-0,05	NA	-0,04	0,9565	-0,20	NA	-0,14	NA	-0,15	NA	-0,10	NA
Psmc14	192,23	0,31	0,1286	0,03	0,9461	0,05	1,0000	-0,09	0,9437	0,22	0,3095	-0,24	0,5689	-0,21	0,6356	-0,32	0,4507	0,19	0,5610
Psmc15	1009,54	-0,16	0,4045	0,35	0,0506	-0,02	1,0000	0,17	0,6921	0,33	0,0657	0,50	0,0383	0,43	0,0874	0,52	0,0158	0,46	0,0837
Psmc16	57,82	-0,12	0,7871	0,17	0,7352	-0,04	1,0000	-0,07	0,9742	-0,03	0,9453	0,18	0,8026	-0,18	0,8123	0,02	0,9931	0,05	0,9210
Psmc17	22,64	-0,35	0,4988	0,26	0,7001	-0,01	NA	0,08	0,9764	0,20	0,7119	0,65	0,2558	0,31	NA	0,13	0,9387	0,50	0,2880
Psmc18	39,96	0,29	0,5179	-0,10	0,8904	0,04	1,0000	0,01	0,9947	-0,07	0,8936	-0,10	0,9186	-0,22	0,7762	-0,29	0,7468	-0,27	0,5709
Psmc19	8,57	0,14	0,8569	0,02	0,9874	0,06	NA	-0,17	0,9275	-0,09	0,9046	-0,31	0,7642	-0,33	NA	-0,20	0,9023	-0,28	0,7164
Psmc20	5,19	0,32	0,6713	-0,07	0,9549	-0,04	NA	0,08	NA	0,27	0,7161	-0,16	0,8992	-0,30	NA	0,03	0,9931	-0,10	0,9206
Psmc21	35,82	0,12	0,8287	-0,17	0,8027	-0,29	1,0000	0,13	0,9437	-0,57	0,1463	-0,68	0,1966	-0,25	0,7169	-0,22	0,8364	-1,06	0,0105
Psmc22	26,29	1,12	0,0025	-0,30	0,6898	0,06	NA	-0,15	0,9430	-0,16	0,8033	-0,88	0,1046	-0,76	0,1485	-1,46	0,0011	-1,46	0,0019
Psmc23	34,78	-0,36	0,5095	0,54	0,3073	-0,18	1,0000	-0,83	0,0644	-1,38	0,0008	0,82	0,0762	-0,11	0,9089	-0,98	0,0562	-1,25	0,0107
Psmc24	27,64	-0,01	0,9895	-0,45	0,4237	-0,08	NA	0,14	0,9430	0,08	0,8918	0,01	0,9967	0,15	0,8719	0,44	0,5788	0,23	0,6846
Psmc25	1,40	0,11	NA	0,07	0,9274	0,17	NA	-0,09	NA	-0,27	NA	0,10	NA	0,36	NA	-0,14	NA	-0,46	NA
Psmc26	1,67	0,35	NA	0,23	0,7388	0,10	NA	-0,12	NA	0,15	0,8441	0,02	0,9879	0,20	NA	-0,10	NA	-0,57	NA
Psmc27	40,47	0,11	0,8189	-0,18	0,7649	-0,16	1,0000	0,17	0,9084	0,05	0,9287	-0,47	0,4032	0,02	0,9834	-0,06	0,9712	-0,02	0,9800
Psmc28	51,95	0,12	0,7893	0,12	0,8389	-0,20	1,0000	0,30	0,6940	0,40	0,1949	-0,21	0,7607	-0,39	0,4840	-0,17	0,8647	0,41	0,2097
Psmc29	183,80	0,18	0,5886	-0,55	0,0155	-0,10	1,0000	0,03	0,9853	-0,41	0,0805	-0,34	0,4351	0,07	0,9131	-0,09	0,9300	-0,45	0,1253
Psmc30	140,62	-0,07	0,8788	-0,41	0,1249	0,03	1,0000	0,13	0,8917	0,45	0,0381	-0,25	0,6488	0,32	0,4942	-0,04	0,9789	0,38	0,3343
Psmc31	31,30	0,01	0,9859	0,04	0,9630	0,16	1,0000	-0,06	0,9853	0,80	0,0105	-0,22	0,8028	-0,02	0,9852	0,11	0,9400	0,68	0,0784
Psmc32	47,24	0,25	0,4926	0,13	0,8278	-0,14	1,0000	0,07	0,9764	-0,55	0,0943	-0,05	0,9512	0,02	0,9800	-0,07	0,9616	-0,47	0,1762
Psmc33	109,23	0,20	0,5473	0,37	0,2785	0,12	1,0000	0,21	0,8161	-0,25	0,4235	0,47	0,1884	0,14	0,8232	0,20	0,7502	-0,17	0,7174
Psmc34	25,44	-0,36	0,4611	0,44	0,3363	0,03	NA	0,02	0,9901	0,27	0,5383	0,10	0,9281	0,29	0,7034	0,22	0,8619	0,64	0,1376
Psmc35	2,31	0,29	0,7039	-0,36	0,5209	-0,12	NA	-0,05	NA	-0,08	0,9238	-0,32	0,7451	-0,53	NA	-0,52	NA	-0,76	0,2830
Psmc36	66,94	0,19	0,6225	0,28	0,4656	0,00	1,0000	0,14	0,9158	-0,14	0,7241	0,14	0,8366	-0,19	0,7735	-0,04	0,9854	-0,09	0,8596
Psmc37	38,95	-0,55	0,1057	0,07	0,9194	0,06	1,0000	0,16	0,9088	-0,24	0,5106	0,39	0,5603	0,40	0,5256	0,57	0,3460	0,09	0,8757
Psmc38	395,85	-0,16	0,6100	0,10	0,8195	0,01	1,0000	0,21	0,7454	0,23	0,3835	0,28	0,4493	0,36	0,2966	0,26	0,5381	0,45	0,0954
Psmc39	18,41	-0,13	0,8470	0,02	0,9805	0,07	NA	-0,41	0,6234	-2,14	0,0000	0,46	0,5307	0,35	NA	-0,47	0,6225	-1,21	0,0252

GeneID	CTL	ET-1 vs CTL		SAHA vs CTL		JS28 vs CTL		BSP vs CTL		JQ1 vs CTL		ET-1+SAHA vs ET1		ET-1+JS28 vs ET1		ET-1+BSP vs ET1		ET-1+JQ1 vs ET1	
	mean	log2(FC)	P-adj	log2(FC)	P-adj	log2(FC)	P-adj	log2(FC)	P-adj	log2(FC)	P-adj	log2(FC)	P-adj	log2(FC)	P-adj	log2(FC)	P-adj	log2(FC)	P-adj
Ptgds	28,90	-0,65	0,0871	-1,55	0,0000	-0,16	1,0000	-0,85	0,0317	-0,74	0,0501	-0,32	0,7228	-0,17	NA	-0,07	0,9753	0,27	0,6383
Ptger1	6,42	-0,11	0,8978	-0,54	0,3893	-0,26	NA	-0,22	NA	0,17	0,8335	-0,04	0,9767	-0,13	NA	-0,53	NA	0,44	0,5904
Ptger4	1,40	-0,55	NA	-0,23	0,7668	-0,11	NA	0,10	NA	-0,56	0,3714	-0,02	NA	0,11	NA	-0,02	NA	0,07	NA
Ptges2	16,49	0,17	0,8016	0,11	0,9055	-0,16	NA	-0,18	0,9264	-0,37	0,5058	0,10	0,9316	-0,48	NA	-0,22	0,8775	-0,13	0,8509
Ptges3	147,87	0,38	0,0816	-0,44	0,1141	-0,29	0,9896	0,03	0,9853	0,27	0,2444	-0,54	0,1040	-0,32	0,4311	-0,10	0,9159	0,26	0,3663
Ptges3l	23,48	0,68	0,1149	0,03	0,9799	0,18	NA	-0,26	0,8464	-0,85	0,0837	-0,05	0,9654	-0,12	0,9095	-0,31	0,7779	-1,26	0,0150
Ptgfrn	76,82	0,43	0,2965	0,44	0,1844	0,27	1,0000	0,44	0,3244	-0,17	0,6312	0,03	0,9752	-0,11	0,9042	0,45	0,4936	-0,46	0,3506
Ptgis	2,94	0,05	0,9559	-0,15	0,8716	-0,07	NA	-0,26	NA	-0,81	0,1514	-0,16	0,8892	-0,08	NA	-0,43	NA	-0,92	0,1576
Ptgr1	3,67	0,20	0,8066	0,30	0,7087	0,16	NA	0,04	NA	-0,01	0,9874	0,31	0,7725	0,22	NA	0,09	NA	-0,26	0,7676
Ptgr2	207,85	0,25	0,4272	-0,61	0,0195	-0,16	1,0000	-0,29	0,6004	-0,42	0,1166	-0,51	0,1740	0,08	0,9123	-0,18	0,8023	-0,48	0,1094
Ptgs2	25,14	2,04	0,0000	-0,08	NA	-0,01	NA	0,06	NA	0,29	NA	-1,59	0,0046	-2,39	0,0000	-1,45	0,0041	-2,41	0,0000
Pth1r	8,77	0,10	0,9027	0,59	0,3344	0,15	NA	-0,17	0,9267	-1,08	0,0577	0,36	0,7106	-0,17	NA	0,13	0,9442	-1,05	0,1072
Ptk2	78,63	0,56	0,0141	0,17	0,7174	-0,11	1,0000	0,11	0,9472	0,18	0,6319	-0,26	0,6344	-0,55	0,1447	-0,39	0,4585	-0,21	0,6241
Ptk2b	45,21	-0,52	0,1842	0,49	0,2521	-0,32	1,0000	-0,59	0,2309	-0,86	0,0191	0,87	0,0417	-0,09	0,9270	-0,48	0,5273	-0,84	0,0711
Ptk7	36,77	-0,12	0,8265	0,17	0,7972	0,20	1,0000	0,11	0,9606	0,21	0,6490	0,02	0,9841	-0,01	0,9949	-0,18	0,8907	-0,03	0,9668
Ptma	111,74	-0,18	0,7298	-0,18	0,7470	0,04	1,0000	0,03	0,9860	-0,33	0,3049	-0,47	0,3716	0,14	0,8600	0,08	0,9525	0,24	0,5858
Ptms	170,49	-0,65	0,0060	-1,17	0,0000	-0,26	1,0000	-0,11	0,9449	0,35	0,2904	-0,80	0,0164	0,30	0,4808	0,57	0,0764	1,55	0,0000
Ptn	7,13	-0,31	0,6734	-0,25	0,7762	-0,11	NA	-0,27	0,8311	-1,11	0,0467	-0,29	0,7955	-0,06	NA	-0,49	NA	-0,78	0,2769
Ptov1	74,63	-0,45	0,1144	-0,51	0,1550	-0,16	1,0000	-0,16	0,8966	0,19	0,6649	-0,07	0,9359	-0,14	0,8504	0,31	0,6355	0,71	0,1094
Ptp4a1	20,20	0,32	0,5792	-0,32	0,6600	0,18	NA	-0,05	0,9853	0,31	0,5699	-0,46	0,5239	-0,23	0,7833	-0,08	0,9636	0,25	0,6865
Ptp4a2	678,56	0,14	0,5093	0,18	0,4537	-0,15	1,0000	-0,03	0,9853	0,20	0,2303	0,41	0,1120	0,14	0,7263	0,05	0,9476	0,29	0,1634
Ptp4a3	325,95	-0,82	0,0000	-0,57	0,0114	-0,42	0,3547	-0,30	0,5115	-0,15	0,6774	-0,24	0,6329	-0,27	0,5753	0,05	0,9616	0,32	0,5020
Ptpdc1	27,47	-0,35	0,4931	0,37	0,5211	0,10	1,0000	-0,02	0,9901	-0,08	0,8959	0,43	0,5115	0,51	0,3774	0,00	1,0000	0,21	0,7083
Ptpla	76,78	1,23	0,0000	-0,92	0,0108	-0,02	1,0000	-0,23	0,8426	-0,78	0,0216	-0,74	0,0969	-0,51	0,3092	-0,58	0,2594	-1,38	0,0001
Ptplad1	53,94	-0,16	0,7310	0,18	0,7352	-0,11	1,0000	0,04	0,9853	0,12	0,7758	0,19	0,7966	0,32	0,5801	0,13	0,9161	0,41	0,2556
Ptplad2	2,24	-0,33	NA	0,59	0,3550	0,12	NA	-0,28	NA	-0,51	0,4602	0,86	0,2157	0,42	NA	0,15	NA	-0,50	NA
Ptplb	15,88	0,50	0,3334	0,23	0,7679	0,07	NA	0,30	0,7987	0,52	0,2726	0,15	0,8859	-0,26	NA	-0,02	0,9936	0,19	0,7671
Ptpmt1	15,78	0,35	0,5656	-0,38	0,5824	-0,09	NA	-0,13	0,9556	-1,24	0,0130	-0,35	0,7139	-0,13	NA	-0,22	0,8787	-1,24	0,0213
Ptpn1	52,41	0,11	0,8078	0,19	0,6891	0,05	1,0000	0,10	0,9516	0,38	0,1833	-0,04	0,9686	-0,48	0,3360	-0,20	0,8375	0,44	0,2646
Ptpn11	361,31	0,14	0,6511	-0,11	0,7472	0,20	1,0000	0,26	0,5135	0,21	0,2962	-0,23	0,6203	-0,29	0,4836	0,01	0,9936	0,00	0,9988
Ptpn12	89,14	0,45	0,0885	-0,12	0,8215	0,01	1,0000	0,07	0,9727	0,35	0,1683	-0,47	0,2772	-0,13	0,8558	-0,33	0,5688	0,11	0,7995
Ptpn13	61,61	-0,54	0,0893	0,66	0,0412	0,09	1,0000	0,61	0,1068	0,97	0,0001	0,61	0,1536	0,07	0,9313	0,75	0,0490	1,31	0,0000
Ptpn14	31,51	-0,25	0,6035	-0,96	0,0130	-0,47	NA	-0,61	0,2232	-0,17	0,7125	-0,81	0,1383	-0,30	0,6844	-0,64	0,3218	0,33	0,4964
Ptpn2	42,89	0,03	0,9665	-0,04	0,9605	-0,01	1,0000	0,21	0,8616	0,29	0,4754	-0,11	0,9044	0,41	0,4392	0,29	0,7123	0,30	0,4365
Ptpn21	140,75	0,01	0,9851	-0,64	0,0094	-0,10	1,0000	-0,04	0,9837	0,02	0,9562	-0,69	0,0360	-0,30	0,5083	-0,23	0,7179	-0,02	0,9754
Ptpn23	115,43	-0,15	0,6772	0,11	0,8262	-0,02	1,0000	-0,18	0,8662	0,72	0,0130	-0,19	0,7404	-0,25	0,6262	-0,18	0,8262	0,92	0,0047
Ptpn3	23,16	0,21	0,7587	0,84	0,0542	0,29	NA	0,53	0,4092	0,61	0,1474	0,36	0,6523	0,05	0,9678	0,33	0,7511	0,46	0,3856
Ptpn4	104,43	-0,28	0,2806	0,15	0,6884	-0,17	1,0000	0,23	0,6982	0,01	0,9717	0,32	0,5086	0,47	0,2398	0,53	0,1733	0,42	0,2024
Ptpn9	32,84	0,65	0,0791	0,05	0,9579	0,21	NA	0,02	0,9925	-0,55	0,2189	-0,20	0,8036	-0,26	0,7026	-0,73	0,1644	-0,97	0,0117
Ptpra	132,14	0,04	0,9129	0,06	0,9070	0,15	1,0000	0,32	0,4767	0,71	0,0000	-0,12	0,8534	-0,04	0,9554	0,36	0,3892	0,56	0,0540
Ptprd	114,27	-0,42	0,1501	-0,75	0,0010	-0,24	1,0000	-0,52	0,0869	-0,44	0,0530	-0,45	0,3766	-0,02	0,9843	-0,23	0,7939	-0,02	0,9754
Ptpre	2,79	-0,04	0,9638	0,21	0,8184	0,02	NA	-0,15	NA	-0,02	0,9799	-0,05	0,9671	-0,09	NA	-0,01	NA	-0,37	0,6665
Ptprf	116,06	-0,18	0,6193	-0,01	0,9899	0,16	1,0000	-0,24	0,7524	-0,13	0,7296	-0,32	0,4684	-0,51	0,1900	-0,35	0,4801	-0,01	0,9836
Ptprg	82,24	0,12	0,7537	-0,36	0,3121	0,13	1,0000	-0,14	0,9141	-0,28	0,3412	-0,44	0,3330	-0,11	0,8732	-0,43	0,3886	-0,20	0,5701
Ptprj	10,73	0,04	0,9592	-0,30	0,7154	-0,01	NA	0,07	0,9805	0,24	0,7105	-0,16	0,8905	-0,46	NA	-0,34	0,7896	0,34	0,5970

GeneID	CTL	ET-1 vs CTL		SAHA vs CTL		JS28 vs CTL		BSP vs CTL		JQ1 vs CTL		ET-1+SAHA vs ET1		ET-1+JS28 vs ET1		ET-1+BSP vs ET1		ET-1+JQ1 vs ET1	
	mean	log2(FC)	P-adj	log2(FC)	P-adj	log2(FC)	P-adj	log2(FC)	P-adj	log2(FC)	P-adj	log2(FC)	P-adj	log2(FC)	P-adj	log2(FC)	P-adj	log2(FC)	P-adj
Ptprk	238,86	-0,30	0,3835	-0,82	0,0017	-0,21	1,0000	-0,29	0,6299	-0,53	0,0234	-0,44	0,2969	-0,11	0,8650	-0,11	0,9143	-0,02	0,9669
Ptprm	255,09	-0,32	0,1298	-0,39	0,1184	0,06	1,0000	0,14	0,8643	0,00	0,9972	-0,07	0,9078	0,31	0,3821	0,48	0,1041	0,33	0,1585
Ptprn	1,82	0,18	NA	0,39	0,5599	-0,05	NA	0,05	NA	-0,23	0,7408	0,51	0,5667	-0,28	NA	-0,31	NA	-0,28	0,7508
Ptprm2	13,64	-0,80	0,1164	0,25	0,7589	-0,16	NA	0,15	0,9454	-0,90	0,0897	0,72	0,3194	0,26	NA	0,48	0,6297	-0,34	0,6687
Ptpro	6,96	-0,84	0,0986	-0,52	0,4324	-0,27	NA	-0,62	0,2674	-1,55	0,0028	0,00	0,9986	-0,27	NA	-0,50	NA	-1,33	0,0286
Ptprs	309,67	-0,85	0,0000	0,51	0,0171	0,14	1,0000	0,15	0,8608	0,24	0,4281	0,75	0,0019	0,49	0,0915	1,01	0,0000	0,78	0,0091
Ptprt	1,68	-0,32	NA	-0,23	0,7679	-0,11	NA	-0,25	NA	-0,69	0,2235	-0,17	NA	-0,12	NA	0,07	NA	-0,08	NA
Ptprz1	10,87	2,16	0,0000	0,04	0,9669	-0,12	NA	-0,09	NA	-0,24	0,7413	-1,94	0,0001	-1,20	NA	-2,12	0,0000	-2,51	0,0000
Ptrf	825,24	0,63	0,0050	-0,65	0,0121	-0,30	1,0000	-0,20	0,8003	0,31	0,2564	-0,78	0,0022	-0,82	0,0005	-0,50	0,0766	0,15	0,6222
Ptrh1	2,35	0,42	0,5190	0,00	0,9992	0,03	NA	-0,11	NA	0,14	0,8605	-0,14	0,9079	-0,28	NA	-0,31	NA	-0,23	0,7994
Ptrh2	30,26	0,11	0,8415	-0,20	0,7601	0,11	NA	0,14	0,9430	-0,46	0,2819	0,02	0,9832	0,25	0,7263	0,01	0,9989	-0,64	0,1276
Ptrhd1	5,24	-0,22	0,7845	-0,17	0,8587	0,01	NA	-0,15	NA	0,02	0,9849	0,00	1,0000	0,14	NA	0,18	NA	0,20	0,8220
Pts	26,99	-0,68	0,0593	-0,80	0,0378	0,06	1,0000	0,33	0,6826	0,24	0,5725	0,52	0,4363	0,58	0,3292	0,61	0,3755	1,01	0,0119
Pttg1ip	126,38	-0,02	0,9726	0,00	0,9936	0,06	1,0000	0,27	0,6159	0,33	0,1997	0,23	0,7109	0,06	0,9432	0,28	0,6761	0,59	0,0579
Puf60	113,61	0,18	0,5447	-0,31	0,3401	0,06	1,0000	0,08	0,9600	0,57	0,0028	-0,41	0,2949	-0,25	0,5981	0,15	0,8384	0,53	0,0126
Pum1	266,59	-0,05	0,8774	-0,03	0,9342	0,05	1,0000	0,13	0,8597	0,27	0,1251	-0,34	0,3367	-0,14	0,7833	0,03	0,9808	0,44	0,0487
Pum2	538,96	-0,15	0,5155	-0,41	0,0300	-0,11	1,0000	-0,02	0,9853	-0,07	0,8140	-0,24	0,5028	0,27	0,4453	0,12	0,8511	0,03	0,9506
Pura	24,96	0,12	0,8433	0,05	0,9607	0,27	NA	-0,01	0,9968	0,56	0,1329	-0,13	0,9004	0,05	0,9666	0,08	0,9616	0,03	0,9731
Purb	618,89	0,01	0,9810	-0,18	0,4535	-0,23	0,9488	-0,02	0,9853	-0,21	0,3915	0,01	0,9879	0,11	0,8187	0,03	0,9784	-0,16	0,6867
Purg	32,72	-0,49	0,1686	-0,47	0,2731	-0,02	1,0000	0,26	0,7688	0,12	0,7800	0,01	0,9952	0,25	0,7460	0,27	0,7986	0,50	0,2662
Pus1	15,93	0,38	0,4830	-0,60	0,3063	0,07	NA	0,03	0,9899	-0,43	0,4416	-0,79	0,2215	-0,43	NA	-0,27	0,8285	-0,99	0,0663
Pus10	65,16	-0,43	0,1201	-0,21	0,6248	0,02	1,0000	-0,44	0,3276	-1,18	0,0000	0,31	0,5921	0,36	0,4989	0,10	0,9406	-0,58	0,1205
Pus3	26,77	0,31	0,5539	0,15	0,8313	0,14	NA	0,12	0,9560	-0,44	0,3370	0,05	0,9629	-0,04	0,9678	-0,10	0,9568	-0,93	0,0587
Pus7	24,05	0,03	0,9710	0,20	0,7801	-0,04	NA	-0,18	0,9188	-0,32	0,5336	0,22	0,8007	-0,17	0,8581	-0,19	0,8942	-0,19	0,7556
Pus7l	7,54	0,00	0,9969	-0,42	0,5626	-0,14	NA	-0,11	0,9634	-0,24	0,7467	-0,74	0,3334	-0,25	NA	-0,21	0,8982	-0,66	0,3609
Pusl1	5,55	0,14	0,8720	-0,04	0,9756	-0,09	NA	-0,09	NA	-0,32	0,6616	-0,06	0,9691	-0,22	NA	-0,59	NA	-0,01	0,9961
Pvalb	1,42	0,11	NA	-0,08	0,9250	0,03	NA	-0,12	NA	-0,36	NA	-0,04	NA	-0,03	NA	-0,21	NA	-0,43	NA
Pvr	66,02	0,76	0,0024	-0,93	0,0037	0,17	1,0000	-0,12	0,9428	0,46	0,0985	-1,21	0,0006	-0,49	0,2832	-0,85	0,0233	-0,11	0,8159
Pvrl1	14,18	-0,24	0,7275	1,17	0,0027	0,00	NA	0,20	0,9021	0,62	0,1949	0,80	0,2026	-0,68	NA	0,42	0,6882	0,63	0,2599
Pvrl2	20,29	0,43	0,4453	0,75	0,1257	0,07	NA	0,01	0,9967	-0,21	0,7518	0,46	0,5132	-0,27	0,7452	0,10	0,9570	-0,34	0,6305
Pvrl3	55,71	-0,04	0,9370	-0,22	0,6383	-0,19	1,0000	0,35	0,5681	0,23	0,5025	-0,34	0,5727	-0,01	0,9963	0,31	0,6783	0,30	0,5397
Pvt1	4,15	0,04	0,9706	0,38	0,6150	0,06	NA	-0,27	NA	-0,81	0,1689	0,50	0,5876	-0,08	NA	-0,31	NA	-0,95	0,1586
Pwp1	49,80	0,57	0,0428	0,07	0,9199	-0,02	1,0000	0,07	0,9764	0,07	0,8792	-0,54	0,2424	-0,47	0,3346	-0,43	0,4684	-0,58	0,0883
Pwp2	22,32	0,56	0,1770	-0,55	0,3216	0,04	NA	-0,13	0,9563	-0,36	0,5076	-0,64	0,2995	-0,61	0,3014	-0,52	0,4933	-0,73	0,1063
Pwwwp2a	96,00	-0,50	0,0578	-0,68	0,0053	-0,15	1,0000	-0,05	0,9794	0,09	0,7800	-0,44	0,4186	0,35	0,4981	0,45	0,3886	0,58	0,0845
Pwwwp2b	10,47	0,03	0,9773	0,36	0,6032	0,20	NA	0,07	0,9827	0,04	0,9584	-0,27	0,8058	-0,01	NA	0,05	0,9855	-0,28	0,7092
Pxdc1	17,54	0,80	0,0389	0,15	0,8641	0,18	NA	-0,52	0,4702	-0,58	0,2938	-0,76	0,2143	-0,67	NA	-0,99	0,0638	-1,05	0,0195
Pxdn	382,13	-0,63	0,0590	0,28	0,5626	0,32	1,0000	0,46	0,5460	0,01	0,9797	0,33	0,5111	0,63	0,0874	0,84	0,0091	0,14	0,7557
Pxk	56,92	0,13	0,7759	-0,19	0,7282	-0,05	1,0000	-0,15	0,9249	0,34	0,2601	-0,42	0,4111	-0,11	0,8932	-0,06	0,9633	0,04	0,9385
Pxmp2	1,94	0,25	NA	0,76	0,1599	0,09	NA	-0,09	NA	0,59	0,3743	0,14	0,9078	-0,08	NA	-0,08	NA	0,17	0,8618
Pxmp4	18,87	-0,37	0,4657	0,12	0,8714	0,12	NA	-0,14	0,9447	-0,37	0,4502	0,56	0,4050	0,50	NA	0,28	0,8262	0,03	0,9722
Pxn	39,65	0,02	0,9706	0,16	0,7870	0,27	1,0000	0,43	0,4968	1,32	0,0000	-0,11	0,9044	-0,07	0,9370	0,46	0,4348	1,17	0,0007
Pxylp1	31,73	-0,77	0,0171	-0,05	0,9451	0,31	1,0000	0,68	0,0627	-0,27	0,5242	0,59	0,3177	0,50	0,4062	0,98	0,0309	-0,32	0,5798
Pycr1	7,13	1,62	0,0002	0,63	0,2747	0,02	NA	-0,13	NA	0,14	0,8622	-0,53	0,5184	-1,38	NA	-1,17	0,0393	-1,17	0,0363
Pycr2	10,95	0,75	0,1046	0,03	0,9799	0,23	NA	0,53	0,4453	0,20	0,7784	-0,39	0,6563	-0,66	NA	-0,48	0,6112	-0,59	0,3320

GeneID	CTL	ET-1 vs CTL		SAHA vs CTL		JS28 vs CTL		BSP vs CTL		JQ1 vs CTL		ET-1+SAHA vs ET1		ET-1+JS28 vs ET1		ET-1+BSP vs ET1		ET-1+JQ1 vs ET1	
	mean	log2(FC)	P-adj	log2(FC)	P-adj	log2(FC)	P-adj	log2(FC)	P-adj	log2(FC)	P-adj	log2(FC)	P-adj	log2(FC)	P-adj	log2(FC)	P-adj	log2(FC)	P-adj
Pycl	8,65	0,49	0,4205	0,31	0,7071	0,04	NA	0,19	0,9096	0,73	0,1757	-0,10	0,9368	-0,17	NA	-0,17	0,9217	0,24	0,7391
Pygb	740,98	0,06	0,8683	0,17	0,4551	0,01	1,0000	0,03	0,9853	-0,02	0,9287	0,14	0,7929	-0,11	0,8514	0,34	0,4248	0,03	0,9436
Pygm	640,14	-0,24	0,3095	-0,59	0,0008	-0,06	1,0000	-0,35	0,2017	-1,92	0,0000	-0,49	0,1040	0,00	0,9976	-0,18	0,7502	-1,96	0,0000
Pygo1	24,33	-0,27	0,6352	-0,93	0,0247	-0,08	NA	-0,75	0,1163	-1,10	0,0049	-0,71	0,3026	0,10	0,9304	-0,30	0,8093	-1,53	0,0024
Pygo2	33,80	0,27	0,5213	0,19	0,7679	0,07	NA	0,25	0,8226	0,64	0,0805	0,02	0,9883	-0,71	0,1451	-0,22	0,8309	0,68	0,1628
Pyroxd1	21,46	-0,65	0,0988	-0,55	0,2602	-0,19	NA	-0,22	0,8674	-0,59	0,1481	0,13	0,9089	0,63	NA	0,13	0,9384	0,02	0,9836
Pyurf	22,57	0,25	0,6409	-0,12	0,8797	-0,08	NA	-0,07	0,9805	-0,10	0,8708	0,44	0,4858	0,12	0,9009	0,01	0,9966	-0,53	0,2543
Pzp	1,35	0,24	NA	-0,18	NA	-0,03	NA	-0,09	NA	-0,25	NA	0,01	NA	-0,18	NA	-0,30	NA	-0,58	NA
Qars	102,98	-0,54	0,0233	0,15	0,7344	-0,01	1,0000	-0,10	0,9472	0,02	0,9639	0,56	0,1375	0,28	0,5727	0,29	0,6256	0,23	0,4559
Qdpr	33,00	-0,08	0,9050	0,02	0,9845	0,01	1,0000	0,20	0,8903	-0,30	0,5137	0,20	0,8040	0,00	0,9963	-0,31	0,7393	-0,15	0,7815
Qk	2450,69	0,29	0,1007	-0,07	0,8532	-0,08	1,0000	0,08	0,9426	0,20	0,4614	-0,10	0,8095	0,18	0,5985	0,01	0,9947	0,13	0,7032
Qpct	28,77	0,08	0,9120	-0,45	0,4434	0,01	NA	-0,10	0,9701	-0,40	0,4379	-0,47	0,4945	0,29	0,6786	0,05	0,9800	0,00	0,9984
Qpctl	13,63	0,30	0,6154	-0,46	0,4903	-0,16	NA	-0,25	0,8610	0,49	0,3285	-0,56	0,4650	-0,39	NA	-0,34	0,7735	0,37	0,4894
Qrich1	170,24	-0,10	0,7470	-0,09	0,8355	0,10	1,0000	-0,04	0,9809	-0,10	0,7511	0,05	0,9359	0,30	0,4532	0,04	0,9789	-0,03	0,9525
Qrs1	19,33	0,64	0,1171	0,19	0,8144	0,17	NA	-0,08	0,9794	-0,87	0,0805	-0,31	0,7131	-0,05	0,9628	-0,37	0,6935	-1,23	0,0046
Qser1	340,99	-0,24	0,2856	-0,43	0,0554	0,00	1,0000	-0,06	0,9699	-0,56	0,0017	-0,44	0,1400	0,20	0,6365	-0,06	0,9511	-0,42	0,0926
Qsox1	152,91	1,54	0,0000	0,30	0,4842	0,03	1,0000	-0,02	0,9901	0,77	0,0067	-0,75	0,0274	-1,14	0,0000	-0,70	0,0345	-0,26	0,5328
Qsox2	12,57	-0,44	0,4496	0,86	0,0506	-0,11	NA	0,19	0,9141	-0,17	0,7910	1,01	0,0824	0,09	NA	0,36	0,7570	0,10	0,9125
Qtrt1	8,39	-0,08	0,9252	-0,02	0,9848	-0,09	NA	-0,22	0,8903	-0,13	0,8574	-0,01	0,9936	-0,36	NA	-0,20	0,9064	0,16	0,8507
Qtrtd1	18,11	-0,17	0,7984	-0,13	0,8645	-0,06	NA	0,05	0,9853	-0,52	0,2681	0,39	0,6321	0,44	NA	0,07	0,9765	-0,04	0,9654
R3hcc1	47,12	0,12	0,7994	-0,33	0,4825	-0,14	1,0000	-0,31	0,7006	0,02	0,9698	-0,26	0,7103	-0,40	0,4841	-0,40	0,5518	-0,16	0,7198
R3hcc11	39,65	-0,13	0,7963	0,02	0,9824	-0,02	1,0000	-0,01	0,9972	-0,57	0,0935	0,27	0,7126	0,14	0,8715	0,14	0,9192	-0,30	0,5217
R3hdm1	182,58	-0,10	0,8040	0,40	0,1399	0,05	1,0000	0,07	0,9626	0,25	0,4182	0,11	0,8689	0,14	0,8232	0,09	0,9264	0,27	0,3925
R3hdm2	264,40	0,03	0,9592	-0,49	0,0491	-0,05	1,0000	-0,15	0,8660	0,23	0,5527	-0,83	0,0237	-0,13	0,8585	0,04	0,9793	0,46	0,2822
R3hdm4	97,18	-0,31	0,2234	-0,07	0,8873	0,03	1,0000	0,01	0,9953	0,23	0,4423	-0,15	0,8228	-0,36	0,4853	0,37	0,4509	0,61	0,0604
R74862	15,42	0,12	0,8903	-0,53	0,4276	-0,22	NA	-0,50	0,4557	-0,49	0,4542	-0,06	0,9685	-0,39	NA	-1,28	0,0195	-0,67	0,3403
Rab1	470,04	0,27	0,0884	0,15	0,5476	-0,07	1,0000	0,10	0,8947	0,08	0,7529	0,32	0,2558	0,06	0,9199	-0,01	0,9918	0,02	0,9566
Rab10	302,97	0,41	0,0398	0,18	0,5883	0,12	1,0000	0,17	0,8334	0,25	0,2536	0,05	0,9270	-0,10	0,8548	-0,10	0,8985	0,03	0,9422
Rab10os	7,51	-0,06	0,9492	-0,22	0,8127	-0,14	NA	0,10	0,9700	0,26	0,7078	-0,10	0,9374	0,58	NA	0,57	0,5141	0,20	0,7998
Rab11a	132,80	0,04	0,9230	0,28	0,3748	0,00	1,0000	0,20	0,8039	-0,23	0,4050	0,62	0,0417	0,25	0,5962	0,07	0,9526	-0,06	0,8938
Rab11b	184,02	-0,39	0,1214	-0,94	0,0000	-0,25	1,0000	-0,20	0,7488	-0,55	0,0039	-0,32	0,5468	-0,25	0,6262	-0,03	0,9852	-0,10	0,8247
Rab11fip1	48,56	-0,35	0,2765	0,72	0,0092	0,26	1,0000	0,36	0,5372	0,71	0,0030	0,71	0,0823	0,25	0,6950	0,17	0,8720	0,74	0,0104
Rab11fip2	49,66	-0,43	0,3186	-0,77	0,0133	-0,04	1,0000	-0,26	0,7605	0,07	0,8616	-0,27	0,7561	0,41	0,5303	-0,16	0,9080	0,44	0,3621
Rab11fip3	121,61	-0,57	0,0053	-0,10	0,8146	0,04	1,0000	0,13	0,8966	0,31	0,2774	-0,08	0,9049	0,07	0,9270	0,37	0,4509	0,69	0,0064
Rab11fip5	141,71	-0,29	0,3583	0,23	0,6017	0,12	1,0000	0,22	0,8134	0,55	0,0488	0,14	0,7928	-0,20	0,6886	0,32	0,4765	0,72	0,0196
Rab12	129,99	-0,08	0,8392	0,30	0,2875	0,17	1,0000	0,06	0,9681	0,05	0,8809	0,49	0,1845	0,39	0,3462	0,20	0,7827	0,23	0,4669
Rab13	3,19	-0,22	0,7876	0,03	0,9799	-0,02	NA	-0,15	NA	-1,17	0,0284	0,06	0,9650	-0,01	NA	-0,04	NA	-0,50	0,5234
Rab14	270,07	0,07	0,8301	-0,22	0,4327	-0,05	1,0000	0,12	0,8814	0,18	0,4726	-0,15	0,7471	0,03	0,9624	-0,04	0,9630	0,09	0,7671
Rab15	8,05	-0,15	0,8519	-0,22	0,8067	-0,13	NA	-0,05	0,9853	-0,65	0,2723	0,02	0,9883	-0,34	NA	-0,29	0,8329	-0,76	0,2800
Rab18	207,56	0,18	0,4758	0,37	0,1283	0,10	1,0000	0,26	0,5969	0,03	0,9294	0,44	0,1542	0,16	0,7370	0,05	0,9616	-0,09	0,8478
Rab1b	96,06	-0,01	0,9930	-0,65	0,0600	-0,22	1,0000	-0,40	0,5133	0,09	0,8417	-0,41	0,4152	-0,27	0,6365	-0,14	0,8915	0,36	0,4135
Rab20	15,21	0,62	0,1893	-0,02	0,9895	-0,03	NA	-0,08	0,9764	-0,01	0,9869	-0,12	0,9176	-0,16	NA	-0,50	0,5545	-0,78	0,1283
Rab21	143,54	0,21	0,5248	-0,11	0,8024	-0,10	1,0000	0,11	0,9275	0,12	0,6888	0,07	0,9255	0,09	0,9030	0,09	0,9371	0,07	0,8797
Rab22a	50,43	0,11	0,8384	-0,43	0,3748	0,13	1,0000	0,05	0,9853	0,11	0,8163	-0,28	0,6776	-0,04	0,9694	0,07	0,9602	-0,09	0,8716
Rab23	19,65	-0,07	0,9180	-0,15	0,8436	0,16	NA	0,13	0,9527	0,41	0,3771	0,01	0,9957	0,31	NA	0,15	0,9191	0,60	0,1599

GeneID	CTL	ET-1 vs CTL		SAHA vs CTL		JS28 vs CTL		BSP vs CTL		JQ1 vs CTL		ET-1+SAHA vs ET1		ET-1+JS28 vs ET1		ET-1+BSP vs ET1		ET-1+JQ1 vs ET1	
	mean	log2(FC)	P-adj	log2(FC)	P-adj	log2(FC)	P-adj	log2(FC)	P-adj	log2(FC)	P-adj	log2(FC)	P-adj	log2(FC)	P-adj	log2(FC)	P-adj	log2(FC)	P-adj
Rab24	23,22	-0,16	0,8048	-0,23	0,7608	0,18	NA	0,20	0,9004	-0,09	0,8983	0,05	0,9668	0,16	0,8628	0,13	0,9345	-0,56	0,3450
Rab26os	1,25	0,24	NA	0,08	NA	0,16	NA	0,10	NA	0,20	0,7774	-0,14	NA	-0,04	NA	-0,19	NA	-0,18	NA
Rab27a	13,87	0,66	0,2088	0,67	0,2248	-0,05	NA	-0,09	0,9742	-0,06	0,9446	0,37	0,6662	-0,37	NA	-0,21	0,8934	-0,82	0,1504
Rab27b	8,50	0,14	0,8616	-0,96	0,0701	-0,07	NA	-0,39	NA	-0,26	0,7211	-0,94	0,1766	0,08	NA	-0,11	0,9590	-0,10	0,9118
Rab28	50,47	0,20	0,6621	-0,14	0,8275	-0,06	1,0000	0,06	0,9805	-0,10	0,8209	0,03	0,9789	-0,02	0,9818	0,18	0,8577	-0,36	0,4222
Rab2a	288,45	0,02	0,9559	0,01	0,9881	-0,02	1,0000	0,27	0,4688	-0,13	0,6210	0,26	0,5239	0,20	0,6719	0,27	0,5841	-0,10	0,7592
Rab2b	27,19	-0,39	0,4091	-0,63	0,2088	0,16	1,0000	-0,14	0,9440	0,03	0,9580	-0,17	0,8620	0,32	0,6553	-0,08	0,9654	0,25	0,6548
Rab30	8,31	0,14	0,8554	-0,06	0,9584	0,04	NA	-0,16	0,9399	-0,32	0,6376	-0,11	0,9325	0,12	NA	-0,10	0,9608	-0,11	0,9047
Rab31	49,55	0,31	0,4321	0,62	0,0726	0,11	1,0000	0,22	0,8420	0,02	0,9663	0,73	0,0630	0,34	0,5354	0,30	0,6860	0,17	0,6883
Rab32	2,27	-0,10	0,9080	0,04	0,9747	0,02	NA	-0,07	NA	-0,44	0,5176	0,19	0,8649	0,35	NA	-0,12	NA	0,17	0,8560
Rab33a	4,50	0,34	0,6508	-0,04	0,9752	0,07	NA	-0,20	NA	-0,87	0,1414	-0,11	0,9351	-0,43	NA	-0,49	NA	-0,95	0,1635
Rab33b	40,77	0,09	0,8588	-0,30	0,5658	0,02	1,0000	0,32	0,6614	0,48	0,1129	-0,22	0,7820	0,24	0,7210	0,02	0,9918	0,50	0,1786
Rab34	21,96	-0,12	0,8485	-0,52	0,3113	0,13	NA	-0,03	0,9897	-0,57	0,2061	-0,54	0,4460	-0,15	NA	0,11	0,9476	-0,45	0,4654
Rab35	54,35	0,12	0,7825	-0,41	0,3218	0,14	1,0000	0,02	0,9901	0,17	0,6418	-0,72	0,1099	-0,20	0,7592	0,20	0,8253	0,09	0,8396
Rab36	6,55	-0,66	0,2491	0,37	0,6157	0,07	NA	0,19	0,9178	-0,50	0,4300	0,37	0,7245	0,37	NA	-0,12	NA	-0,01	0,9981
Rab38	1,55	-0,33	NA	-0,35	0,5753	0,03	NA	0,10	NA	-0,51	0,4142	-0,23	NA	0,03	NA	0,03	NA	-0,19	NA
Rab39b	1,96	0,67	NA	0,43	0,4311	-0,01	NA	0,18	NA	-0,08	NA	0,04	0,9771	-0,35	NA	-0,40	NA	-1,11	0,0798
Rab3a	42,85	0,33	0,4175	0,61	0,0806	0,17	1,0000	-0,22	0,8591	0,30	0,4449	0,35	0,5617	-0,21	0,7708	0,31	0,6956	0,27	0,6233
Rab3b	1,35	0,31	NA	0,57	0,2853	0,01	NA	0,07	NA	0,28	0,6847	0,16	0,8892	0,20	NA	0,09	NA	0,18	0,8507
Rab3d	7,59	-0,32	0,6511	1,65	0,0000	0,24	NA	-0,37	0,6921	-0,47	0,4821	1,61	0,0015	0,41	NA	-0,32	NA	-0,47	0,5477
Rab3gap1	134,82	0,14	0,6968	-0,13	0,7668	-0,10	1,0000	0,22	0,7446	0,06	0,8706	-0,18	0,7617	-0,09	0,8973	0,05	0,9714	0,11	0,7849
Rab3gap2	125,13	-0,08	0,8249	0,15	0,7001	0,05	1,0000	0,25	0,6542	0,43	0,0271	0,08	0,9057	-0,06	0,9360	0,14	0,8577	0,42	0,1214
Rab3i1	1,41	-0,45	NA	0,48	0,4794	0,06	NA	0,04	NA	0,26	0,7450	0,67	NA	0,07	NA	0,10	NA	0,29	NA
Rab3ip	99,18	0,55	0,0253	0,25	0,4907	0,02	1,0000	0,03	0,9853	0,38	0,1063	0,05	0,9432	-0,45	0,3101	-0,18	0,8285	0,17	0,6378
Rab40b	7,08	-0,07	0,9398	1,16	0,0097	0,03	NA	0,00	0,9986	0,00	0,9996	0,93	0,1518	-0,17	NA	0,33	0,7948	0,29	0,7123
Rab40c	15,07	-0,13	0,8519	0,36	0,5438	-0,12	NA	0,15	0,9437	0,27	0,6006	0,04	0,9735	-0,08	NA	0,24	0,8597	0,22	0,7402
Rab43	18,99	-0,33	0,5146	-0,04	0,9653	0,04	NA	0,00	0,9998	0,14	0,8112	0,05	0,9637	-0,01	NA	0,06	0,9800	0,26	0,6514
Rab4a	39,15	0,00	0,9964	0,07	0,9338	0,30	1,0000	-0,01	0,9967	0,09	0,8635	0,37	0,5388	0,37	0,5266	-0,15	0,9074	0,02	0,9717
Rab4b	15,98	-0,10	0,8923	-0,69	0,1974	-0,30	NA	-0,48	0,5154	-0,43	0,4264	-0,54	0,4821	-0,47	NA	-0,55	0,5222	-0,41	0,5073
Rab5a	146,54	0,21	0,4018	0,03	0,9523	0,02	1,0000	0,09	0,9440	0,07	0,8183	0,21	0,6499	0,31	0,4392	0,01	0,9922	0,05	0,9252
Rab5b	121,06	-0,18	0,5786	-0,26	0,4850	-0,15	1,0000	-0,05	0,9805	0,59	0,0068	-0,17	0,7691	-0,16	0,7685	0,03	0,9840	0,66	0,0333
Rab5c	50,25	-0,19	0,6684	-0,05	0,9499	0,04	1,0000	-0,15	0,9211	-0,19	0,6422	-0,02	0,9825	0,01	0,9914	0,09	0,9494	0,22	0,6742
Rab6a	331,99	0,49	0,0021	0,16	0,5609	-0,05	1,0000	0,07	0,9560	0,46	0,0047	0,10	0,8410	-0,34	0,3309	-0,13	0,8339	0,19	0,4855
Rab6b	5,77	-0,42	0,5414	0,55	0,3913	-0,13	NA	-0,27	NA	0,16	0,8367	0,94	0,1698	0,08	NA	-0,24	NA	0,67	0,3272
Rab7	104,78	0,27	0,3888	0,20	0,6251	0,25	1,0000	0,08	0,9628	0,32	0,2331	0,24	0,6573	0,20	0,7169	0,22	0,7608	0,07	0,8762
Rab7i1	4,82	-0,42	0,5416	0,36	0,6397	0,06	NA	-0,45	NA	-1,10	0,0539	0,68	0,3927	0,62	NA	-0,23	NA	-0,68	0,3576
Rab8a	48,27	0,30	0,4439	0,29	0,5123	0,03	1,0000	0,03	0,9860	0,15	0,7025	0,31	0,6225	-0,26	0,6959	-0,11	0,9311	-0,10	0,8558
Rab8b	46,90	-0,03	0,9632	0,22	0,6884	0,15	1,0000	0,16	0,9113	-0,15	0,7417	0,20	0,7866	0,37	0,4970	0,10	0,9437	-0,06	0,9335
Rab9	38,77	-0,28	0,5295	0,20	0,7106	0,15	1,0000	0,11	0,9574	-0,43	0,2463	0,71	0,1413	0,52	0,3367	0,55	0,3510	0,20	0,6908
Rab9b	2,67	-0,20	0,8018	-0,21	0,8112	0,05	NA	-0,21	NA	-0,27	0,7310	-0,30	NA	0,00	NA	0,17	NA	0,20	0,8301
Rabac1	47,29	-0,08	0,8847	-0,67	0,0658	-0,13	1,0000	-0,07	0,9764	-0,30	0,4862	-0,44	0,4490	-0,24	0,7243	-0,05	0,9784	-0,28	0,5280
Rabep1	272,70	-0,17	0,3920	0,32	0,1080	0,15	1,0000	0,38	0,1160	0,04	0,8831	0,34	0,3155	0,44	0,1222	0,70	0,0016	0,27	0,4645
Rabep2	16,45	-0,27	0,6667	0,11	0,9057	0,01	NA	-0,33	0,7648	0,23	0,6868	-0,21	0,8424	0,07	NA	-0,29	0,8285	0,47	0,3882
Rabepk	6,64	0,24	0,7511	0,49	0,4656	-0,03	NA	-0,11	NA	-0,52	0,4393	0,22	0,8417	0,03	NA	-0,56	0,5357	-0,81	0,2237
Rabgap1	279,47	-0,16	0,5024	-0,15	0,6456	0,00	1,0000	0,17	0,7734	0,20	0,3248	0,02	0,9742	0,23	0,5496	0,10	0,8946	0,27	0,2678

GeneID	CTL	ET-1 vs CTL		SAHA vs CTL		JS28 vs CTL		BSP vs CTL		JQ1 vs CTL		ET-1+SAHA vs ET1		ET-1+JS28 vs ET1		ET-1+BSP vs ET1		ET-1+JQ1 vs ET1	
	mean	log2(FC)	P-adj	log2(FC)	P-adj	log2(FC)	P-adj	log2(FC)	P-adj	log2(FC)	P-adj	log2(FC)	P-adj	log2(FC)	P-adj	log2(FC)	P-adj	log2(FC)	P-adj
Rabgap1l	443,14	-0,61	0,0008	0,47	0,0214	0,21	1,0000	0,33	0,3473	-0,50	0,0083	0,86	0,0006	0,79	0,0011	0,74	0,0026	-0,01	0,9921
Rabgef1	37,15	0,28	0,5382	0,06	0,9505	-0,03	1,0000	-0,09	0,9700	0,56	0,1214	0,02	0,9868	-0,16	0,8375	-0,05	0,9792	0,31	0,4637
Rabggta	17,56	-0,30	0,5952	-0,16	0,8389	0,08	NA	-0,41	0,6281	-0,57	0,2709	-0,18	0,8688	-0,05	NA	-0,20	0,8926	-0,26	0,6947
Rabggtb	84,30	0,07	0,9002	0,11	0,8437	0,03	1,0000	0,33	0,6117	0,33	0,3509	0,24	0,7131	0,07	0,9368	0,20	0,8350	0,41	0,2695
Rabif	31,17	-0,01	0,9879	-0,79	0,0565	0,14	1,0000	0,23	0,8489	0,41	0,2614	-0,49	0,4478	0,23	0,7599	0,20	0,8577	0,51	0,2015
Rabl2	3,66	-0,57	0,3587	0,28	0,7470	-0,10	NA	-0,09	NA	0,24	0,7585	0,50	0,5667	0,31	NA	0,48	NA	0,47	0,5709
Rabl3	15,60	-0,21	0,7516	-0,49	0,4251	-0,12	NA	-0,50	0,4968	-1,37	0,0050	0,16	0,8790	0,18	NA	-0,30	0,8152	-1,18	0,0302
Rabl6	105,17	-0,14	0,6713	0,05	0,9268	0,13	1,0000	0,17	0,8369	0,49	0,0422	-0,05	0,9478	0,20	0,7036	0,45	0,2747	0,62	0,0124
Rac1	229,78	0,06	0,8617	0,12	0,6882	0,25	0,9475	0,38	0,1315	0,31	0,0588	0,42	0,1973	0,27	0,4967	0,27	0,5606	0,44	0,0505
Racgap1	7,53	-0,52	0,4020	0,60	0,3232	-0,07	NA	-0,35	0,7107	0,19	0,7972	0,61	0,4571	0,15	NA	-0,18	NA	0,12	0,9074
Rad1	19,03	0,34	0,5326	-0,02	0,9836	0,07	NA	0,00	0,9998	-0,08	0,9054	-0,09	0,9371	0,09	0,9292	-0,18	0,9018	-0,44	0,4107
Rad17	53,05	0,03	0,9580	0,06	0,9337	0,01	1,0000	-0,11	0,9500	-0,13	0,7549	0,28	0,6610	0,25	0,6947	0,15	0,9017	0,02	0,9798
Rad18	5,81	-0,04	0,9704	0,38	0,6106	-0,11	NA	-0,22	NA	0,07	0,9350	-0,08	0,9500	0,08	NA	-0,26	NA	-0,12	0,9052
Rad21	251,96	-0,04	0,9098	-0,28	0,2412	-0,13	1,0000	0,07	0,9516	0,01	0,9786	-0,15	0,7579	0,11	0,8390	0,25	0,5663	0,23	0,3075
Rad23a	150,23	0,05	0,8994	0,02	0,9790	-0,10	1,0000	0,02	0,9853	0,76	0,0000	0,01	0,9903	-0,31	0,4914	0,04	0,9789	0,76	0,0002
Rad23b	282,64	0,44	0,0154	0,19	0,4535	0,08	1,0000	0,00	0,9998	0,04	0,8884	-0,23	0,5897	-0,34	0,3445	-0,27	0,5753	-0,18	0,5450
Rad50	121,79	-0,38	0,1751	-0,01	0,9906	0,04	1,0000	-0,03	0,9853	-0,17	0,6154	-0,25	0,6741	0,15	0,8123	0,24	0,7186	0,04	0,9514
Rad51	2,89	-0,18	0,8317	-0,25	0,7509	0,07	NA	-0,01	NA	-0,59	0,3617	-0,19	NA	0,07	NA	-0,25	NA	-0,21	0,8170
Rad51ap1	1,71	-0,37	NA	-0,32	0,6266	0,11	NA	-0,27	NA	-0,25	0,7325	0,10	NA	-0,18	NA	0,01	NA	-0,33	NA
Rad51ap2	37,05	-0,73	0,0956	0,13	0,8549	-0,40	0,9475	-0,63	0,2172	-1,04	0,0114	0,83	0,1431	0,45	0,5174	-0,26	0,8432	-0,55	0,3675
Rad51b	1,14	-0,33	NA	0,46	0,4656	0,02	NA	0,02	NA	-0,26	0,7063	0,29	NA	0,04	NA	0,05	NA	-0,10	NA
Rad51c	19,46	0,47	0,3185	0,26	0,7035	-0,21	NA	0,00	0,9998	0,11	0,8552	0,24	0,7873	-0,58	NA	-0,48	0,5839	-0,22	0,7172
Rad51d	59,21	-0,13	0,7604	-0,26	0,5239	-0,19	1,0000	-0,27	0,7365	-0,58	0,0341	-0,30	0,6277	-0,07	0,9305	-0,41	0,5141	-0,54	0,1202
Rad52	17,14	-0,15	0,8204	0,25	0,7170	0,09	NA	-0,01	0,9977	0,31	0,5433	0,01	0,9976	0,30	NA	-0,06	0,9789	0,12	0,8636
Rad54b	2,38	-0,38	0,5703	-0,25	0,7607	-0,02	NA	-0,15	NA	-0,61	0,3427	-0,08	NA	-0,11	NA	-0,01	NA	0,10	NA
Rad54l	2,44	-0,13	0,8780	-0,28	0,7141	-0,08	NA	0,07	NA	-0,14	0,8725	0,05	NA	-0,10	NA	-0,13	NA	-0,25	NA
Rad54l2	82,89	-0,04	0,9350	0,43	0,1321	-0,01	1,0000	0,03	0,9853	0,27	0,2855	0,10	0,8877	-0,17	0,8069	-0,01	0,9936	0,26	0,4637
Rad9a	14,32	0,29	0,6341	-0,31	0,6844	-0,15	NA	-0,48	0,5298	-0,12	0,8599	-0,30	0,7598	-0,14	NA	-0,41	0,6935	-0,24	0,7088
Rad9b	3,98	-0,15	0,8625	0,22	0,8099	0,06	NA	0,23	NA	0,22	0,7814	0,27	0,8080	0,01	NA	0,39	NA	0,67	0,3466
Radil	9,73	-1,47	0,0006	-0,68	0,2355	-0,30	NA	0,05	0,9853	-0,88	0,0973	0,41	0,6763	0,50	NA	0,87	NA	0,69	0,3516
Rae1	45,96	0,34	0,3346	0,61	0,0705	0,14	1,0000	-0,05	0,9853	0,21	0,6057	0,19	0,7814	-0,36	0,5200	-0,07	0,9633	-0,23	0,5753
Raf1	180,92	0,01	0,9744	-0,44	0,0931	-0,01	1,0000	0,06	0,9742	-0,27	0,2478	-0,13	0,8192	0,18	0,7128	0,08	0,9348	-0,34	0,2011
Rai1	138,08	0,09	0,8664	-0,10	0,8596	-0,14	1,0000	-0,37	0,5646	-0,34	0,3230	-0,70	0,0914	-0,37	0,4306	-0,15	0,8619	-0,32	0,4263
Rai14	12,89	0,00	0,9952	-0,31	0,6838	0,10	NA	-0,23	0,8783	-0,42	0,4958	-0,33	0,7397	-0,02	NA	-0,68	0,3886	-0,56	0,3856
Rai2	32,12	-0,50	0,2578	-0,08	0,9240	-0,23	1,0000	-0,09	0,9727	0,61	0,1243	0,06	0,9566	0,08	0,9432	0,23	0,8521	1,22	0,0087
Rala	88,83	0,14	0,6914	-0,09	0,8532	-0,07	1,0000	0,08	0,9619	-0,08	0,8175	-0,03	0,9700	0,14	0,8255	0,19	0,8014	-0,12	0,7749
Ralb	39,31	0,07	0,9051	0,22	0,6865	0,03	1,0000	-0,27	0,7863	-0,22	0,6020	0,44	0,4567	0,20	0,7986	-0,25	0,8161	-0,27	0,5986
Ralbp1	95,66	-0,17	0,6033	-0,20	0,5998	0,15	1,0000	0,00	0,9988	0,09	0,7817	-0,33	0,5275	0,13	0,8479	0,22	0,7634	0,24	0,4758
Ralgapa1	397,02	-0,05	0,8540	-0,23	0,3527	-0,16	1,0000	0,11	0,8894	-0,18	0,4497	-0,18	0,6856	0,10	0,8527	-0,02	0,9911	-0,17	0,6094
Ralgapa2	163,65	-0,30	0,2362	0,69	0,0003	0,27	0,9896	0,07	0,9606	0,10	0,7091	0,76	0,0091	0,48	0,1706	0,34	0,4824	0,24	0,4979
Ralgapb	236,37	0,21	0,2878	0,19	0,5122	0,08	1,0000	0,00	0,9979	0,09	0,6998	0,10	0,8382	-0,05	0,9371	-0,18	0,7398	-0,02	0,9512
Ralgds	38,77	-0,48	0,1834	-0,02	0,9848	0,33	1,0000	0,30	0,7166	-0,10	0,8282	0,15	0,8688	0,17	0,8375	0,32	0,7070	0,02	0,9755
Ralgps1	56,10	-0,53	0,0722	0,06	0,9237	-0,14	1,0000	-0,04	0,9853	-0,04	0,9312	0,44	0,3956	0,23	0,7263	0,28	0,7316	0,44	0,2237
Ralgps2	114,90	-0,26	0,3786	0,02	0,9733	-0,18	1,0000	0,04	0,9853	-0,22	0,4614	0,20	0,7160	0,38	0,3383	0,31	0,5522	0,28	0,5024
Raly	128,34	-0,05	0,8887	0,00	0,9973	0,15	1,0000	0,50	0,0702	0,65	0,0003	0,00	0,9976	0,05	0,9408	0,68	0,0140	0,80	0,0001

GeneID	CTL	ET-1 vs CTL		SAHA vs CTL		JS28 vs CTL		BSP vs CTL		JQ1 vs CTL		ET-1+SAHA vs ET1		ET-1+JS28 vs ET1		ET-1+BSP vs ET1		ET-1+JQ1 vs ET1	
	mean	log2(FC)	P-adj	log2(FC)	P-adj	log2(FC)	P-adj	log2(FC)	P-adj	log2(FC)	P-adj	log2(FC)	P-adj	log2(FC)	P-adj	log2(FC)	P-adj	log2(FC)	P-adj
Ran	165,10	0,80	0,0000	-0,16	0,6918	-0,11	1,0000	0,07	0,9634	0,37	0,2488	-0,39	0,2580	-0,69	0,0148	-0,40	0,2807	-0,24	0,5573
Ranbp1	64,01	0,43	0,2308	-0,17	0,7849	-0,17	1,0000	-0,21	0,8671	-0,19	0,6617	-0,24	0,7124	-0,48	0,3199	-0,35	0,5839	-0,69	0,0360
Ranbp10	127,30	-0,05	0,9155	0,06	0,9044	0,05	1,0000	-0,05	0,9769	0,59	0,0095	-0,10	0,8802	-0,09	0,8993	0,16	0,8492	0,70	0,0077
Ranbp17	20,17	-0,75	0,0670	-0,64	0,2016	-0,18	NA	-0,28	0,8279	-0,53	0,2376	0,17	0,8772	-0,04	NA	0,45	0,6212	0,20	0,7709
Ranbp2	373,88	-0,02	0,9370	0,18	0,4473	-0,12	1,0000	0,10	0,9058	0,06	0,8487	0,01	0,9853	0,17	0,7123	0,19	0,6956	0,11	0,8096
Ranbp3	75,38	0,13	0,7315	0,15	0,7341	0,06	1,0000	0,23	0,7524	0,35	0,1758	0,02	0,9869	-0,11	0,8721	0,23	0,7504	0,09	0,8318
Ranbp6	104,67	0,10	0,7782	0,02	0,9798	0,02	1,0000	0,13	0,9058	0,11	0,7887	0,13	0,8324	0,13	0,8344	0,31	0,5681	-0,08	0,8914
Ranbp9	107,87	-0,14	0,6971	0,16	0,6996	0,22	1,0000	0,30	0,5638	-0,09	0,7946	0,06	0,9355	0,36	0,4299	0,39	0,4229	0,17	0,6684
Rangap1	50,02	0,67	0,0177	0,89	0,0034	-0,02	1,0000	-0,23	0,8540	0,21	0,6044	0,46	0,2991	-0,55	0,2283	-0,23	0,7903	-0,09	0,8354
Rangrf	6,65	0,28	0,7142	0,60	0,3359	0,07	NA	0,06	NA	-0,26	0,7310	0,54	0,5149	0,02	NA	-0,25	0,8660	-0,31	0,6954
Rap1a	49,17	-0,09	0,8411	0,00	0,9967	0,02	1,0000	0,31	0,6580	-0,16	0,7070	0,42	0,4120	0,28	0,6432	0,39	0,5324	0,01	0,9967
Rap1b	159,42	0,21	0,5910	-0,05	0,9054	-0,05	1,0000	0,10	0,9389	-0,40	0,1486	0,02	0,9794	0,35	0,4872	0,18	0,8405	-0,25	0,6136
Rap1gap2	61,39	0,69	0,0229	0,67	0,0643	0,43	0,7608	-0,14	0,9371	-0,21	0,6744	-0,07	0,9346	-0,42	0,3903	-0,60	0,1827	-0,56	0,1298
Rap1gds1	143,06	0,04	0,9032	0,05	0,9240	0,09	1,0000	0,40	0,2143	0,42	0,0683	-0,24	0,5977	-0,01	0,9939	0,21	0,7189	0,56	0,0391
Rap2a	65,52	0,24	0,5034	0,11	0,8550	-0,16	1,0000	0,58	0,1293	1,10	0,0000	-0,10	0,8990	-0,27	0,6432	0,33	0,5785	0,84	0,0004
Rap2b	45,60	-0,40	0,2114	-0,33	0,4383	-0,20	1,0000	0,09	0,9628	0,12	0,7699	0,15	0,8484	0,24	0,7138	0,41	0,5276	0,61	0,0527
Rap2c	78,02	0,20	0,6203	-0,20	0,6613	0,10	1,0000	0,21	0,8276	-0,37	0,2189	-0,08	0,9201	0,15	0,8318	-0,05	0,9784	-0,48	0,1507
Rapgef1	194,46	0,62	0,0007	-0,02	0,9776	-0,02	1,0000	0,05	0,9798	0,09	0,7664	-0,42	0,2279	-0,94	0,0002	-0,59	0,0426	-0,33	0,2369
Rapgef2	66,57	-0,40	0,1808	-0,32	0,3794	-0,11	1,0000	0,03	0,9855	0,05	0,9008	-0,07	0,9360	0,09	0,9102	0,19	0,8405	0,33	0,3600
Rapgef3	1,37	0,11	NA	0,15	0,8391	-0,02	NA	-0,06	NA	-0,07	0,9312	-0,27	NA	-0,19	NA	-0,21	NA	-0,40	NA
Rapgef4	1,40	-0,33	NA	0,51	0,4259	-0,11	NA	-0,21	NA	-0,55	0,3566	0,31	NA	0,06	NA	-0,08	NA	0,03	NA
Rapgef5	2,10	-0,35	NA	0,20	0,8201	0,01	NA	-0,04	NA	-0,36	0,6287	0,74	0,2941	0,14	NA	0,24	NA	0,16	NA
Rapgef6	233,04	-0,03	0,9309	-0,18	0,6031	-0,26	1,0000	0,18	0,7987	0,34	0,1140	-0,17	0,7408	0,09	0,8627	0,25	0,5949	0,57	0,0195
Rapgef11	10,41	-0,26	0,7063	0,22	0,7882	0,17	NA	0,22	0,8894	0,97	0,0281	0,38	0,6873	0,13	NA	0,47	0,6368	1,25	0,0040
Raph1	162,43	-0,01	0,9747	0,11	0,7870	-0,36	0,7417	-0,30	0,5481	0,12	0,7076	0,12	0,8246	-0,27	0,5263	-0,19	0,7668	0,38	0,1983
Rapsn	3,22	-0,51	0,4205	-0,59	0,3497	-0,11	NA	-0,33	NA	-0,86	0,1589	0,23	NA	0,09	NA	-0,01	NA	0,11	0,9138
Rara	73,73	-0,10	0,7983	0,23	0,5603	-0,27	1,0000	-0,26	0,7107	-0,14	0,7186	-0,04	0,9583	-0,35	0,5043	-0,31	0,6413	0,09	0,9137
Rarb	42,46	0,03	0,9548	-0,34	0,4622	0,16	1,0000	0,05	0,9853	-0,02	0,9664	0,26	0,7003	0,52	0,2719	0,35	0,6114	-0,11	0,8319
Rarg	2,61	0,27	0,7217	0,25	0,7481	0,28	NA	-0,17	NA	-0,22	0,7663	0,05	0,9741	-0,11	NA	0,06	NA	-0,83	0,2311
Rarres2	1,26	-0,11	NA	-0,07	0,8354	-0,02	NA	-0,11	NA	-0,02	0,9767	-0,09	NA	0,04	NA	-0,13	NA	-0,03	NA
Rars	190,24	0,72	0,0000	0,28	0,3759	0,07	1,0000	0,12	0,9213	0,11	0,7237	-0,10	0,8623	-0,51	0,0908	-0,68	0,0105	-0,47	0,2261
Rars2	40,04	0,23	0,5904	0,03	0,9701	0,10	1,0000	0,03	0,9860	-0,36	0,3410	-0,19	0,8044	0,03	0,9763	-0,35	0,6390	-0,69	0,0619
Rasa1	239,04	-0,44	0,0322	-0,23	0,4583	0,13	1,0000	0,13	0,8975	-0,08	0,8191	0,17	0,7574	0,80	0,0014	0,55	0,0604	0,36	0,3393
Rasa2	67,26	-0,26	0,5314	-0,31	0,5365	0,09	1,0000	0,23	0,8388	-0,14	0,7572	-0,30	0,6149	0,57	0,1350	0,30	0,6579	-0,13	0,7716
Rasa3	35,00	0,61	0,0871	0,85	0,0283	0,19	NA	-0,10	0,9634	0,07	0,9148	0,48	0,3391	-0,35	0,5736	-0,35	0,6494	-0,19	0,6881
Rasal2	148,24	-0,21	0,4079	-0,20	0,5099	0,10	1,0000	-0,25	0,6217	-0,30	0,1898	0,05	0,9468	0,36	0,3637	0,05	0,9659	0,20	0,5853
Rasd1	13,01	-0,88	0,0638	0,24	0,7376	-0,11	NA	-0,05	0,9853	-1,21	0,0140	0,71	0,3501	0,36	NA	0,06	0,9815	-0,02	0,9895
Rasef	2,26	0,12	0,8872	-0,22	0,7593	-0,16	NA	-0,21	NA	-0,31	0,6650	-0,28	NA	-0,38	NA	-0,36	NA	-0,77	NA
Rasgef1a	1,67	-0,06	NA	0,45	0,4827	0,12	NA	-0,04	NA	-0,52	0,3604	0,72	0,3218	-0,19	NA	0,19	NA	0,12	NA
Rasgef1b	43,83	-0,28	0,5384	-0,08	0,9132	0,00	1,0000	0,14	0,9349	-0,15	0,7637	0,06	0,9510	0,16	0,8414	-0,24	0,8161	-0,14	0,8364
Rasgrp2	2,78	0,17	0,8366	1,01	0,0527	-0,18	NA	-0,23	NA	-0,32	0,6701	1,14	0,0722	-0,11	NA	-0,31	NA	-0,99	0,1283
Rasgrp3	18,88	-0,81	0,0624	-0,93	0,0447	-0,06	NA	-1,16	0,0021	-2,73	0,0000	-0,35	0,7259	0,69	NA	-1,03	0,0905	-1,60	0,0047
Rasl10a	10,55	-1,16	0,0061	-0,55	0,3477	0,13	NA	0,24	0,8671	-0,16	0,8022	-0,08	0,9527	0,07	NA	-0,03	NA	-0,61	0,4257
Rasl10b	31,99	-0,06	0,9350	0,63	0,0770	0,33	1,0000	0,06	0,9853	-0,10	0,8485	0,91	0,0606	0,20	0,8128	0,05	0,9855	0,17	0,8398
Rasl11b	140,97	1,63	0,0000	-0,07	0,9263	-0,34	1,0000	-0,32	0,7365	0,22	0,6336	-0,79	0,0038	-1,05	0,0000	-1,24	0,0000	-0,41	0,1587

GeneID	CTL	ET-1 vs CTL		SAHA vs CTL		JS28 vs CTL		BSP vs CTL		JQ1 vs CTL		ET-1+SAHA vs ET1		ET-1+JS28 vs ET1		ET-1+BSP vs ET1		ET-1+JQ1 vs ET1	
	mean	log2(FC)	P-adj	log2(FC)	P-adj	log2(FC)	P-adj	log2(FC)	P-adj	log2(FC)	P-adj	log2(FC)	P-adj	log2(FC)	P-adj	log2(FC)	P-adj	log2(FC)	P-adj
Rassf1	25,10	0,74	0,0786	0,01	0,9896	-0,26	NA	-0,24	0,8756	0,41	0,4011	-1,04	0,0469	-1,05	0,0282	-0,98	0,0596	-0,21	0,7176
Rassf2	7,65	-0,67	0,2342	1,04	0,0186	-0,01	NA	-0,05	0,9853	-0,90	0,1042	0,91	0,1934	0,25	NA	-0,11	NA	-0,67	0,3623
Rassf3	157,18	0,46	0,0162	0,08	0,8532	0,39	0,4315	0,30	0,4734	-0,16	0,5432	-0,25	0,5785	0,10	0,8732	-0,05	0,9595	-0,40	0,2004
Rassf4	1,02	0,02	NA	1,28	0,0058	0,06	NA	0,19	NA	0,11	0,8830	0,72	0,2891	0,00	NA	-0,05	NA	-0,22	NA
Rassf5	8,59	-0,40	0,5482	1,15	0,0068	0,16	NA	0,19	0,9158	-0,18	0,8062	1,45	0,0072	0,60	NA	0,32	0,8056	0,39	0,6171
Rassf6	3,20	0,97	0,0497	-0,15	NA	-0,03	NA	-0,11	NA	-0,23	NA	-0,65	0,4096	-0,57	NA	-0,66	NA	-0,88	0,2075
Rassf7	7,91	0,04	0,9692	-0,18	0,8470	-0,21	NA	-0,46	NA	-0,70	0,2560	-0,13	0,9216	-0,19	NA	-0,60	0,4868	-0,84	0,1982
Rassf8	83,08	-0,09	0,8148	-0,25	0,5149	-0,15	1,0000	0,01	0,9972	-0,03	0,9448	-0,10	0,8856	0,03	0,9688	-0,22	0,7690	-0,20	0,6506
Raver1	28,79	0,01	0,9867	-0,42	0,4156	-0,10	NA	-0,15	0,9417	0,71	0,0451	-0,61	0,3448	-0,27	0,7263	-0,18	0,9006	0,95	0,0416
Raver2	14,51	-0,15	0,8334	0,22	0,7644	0,13	NA	0,23	0,8780	-0,32	0,5641	0,13	0,9149	0,33	NA	-0,21	0,8904	-0,37	0,5776
Rb1	93,57	-0,02	0,9768	0,74	0,0061	0,05	1,0000	0,32	0,6195	0,72	0,0023	0,72	0,0213	0,20	0,7201	0,22	0,7586	0,79	0,0024
Rb1cc1	370,70	-0,25	0,3095	0,08	0,8582	0,06	1,0000	0,36	0,3694	0,21	0,4771	0,25	0,5280	0,57	0,0251	0,56	0,0195	0,46	0,2308
Rbak	16,98	0,03	0,9691	-0,47	0,4407	0,10	NA	0,12	0,9601	0,21	0,7056	-0,35	0,7106	0,09	NA	-0,01	0,9995	-0,05	0,9479
Rbbp4	248,57	0,01	0,9858	-0,12	0,7282	-0,09	1,0000	0,08	0,9454	0,12	0,6373	-0,14	0,7663	-0,08	0,8903	0,02	0,9918	0,14	0,6340
Rbbp5	44,25	0,20	0,6520	0,19	0,7412	0,15	1,0000	0,24	0,8214	0,06	0,8998	0,25	0,7124	-0,02	0,9818	-0,06	0,9745	-0,08	0,8779
Rbbp6	233,96	0,03	0,9543	-0,20	0,6123	-0,02	1,0000	0,06	0,9761	0,33	0,2452	-0,49	0,2678	0,10	0,8987	0,15	0,8759	0,41	0,2430
Rbbp7	295,27	0,17	0,4115	-0,20	0,3901	0,01	1,0000	0,06	0,9626	-0,15	0,5745	-0,22	0,5845	-0,26	0,4928	-0,26	0,5301	-0,32	0,2304
Rbbp8	20,36	-0,28	0,6029	-0,75	0,1092	-0,03	NA	-0,14	0,9449	-0,45	0,3353	-0,54	0,4684	0,22	NA	0,05	0,9874	0,02	0,9864
Rbbp9	35,15	0,11	0,8392	-0,03	0,9768	0,05	1,0000	0,08	0,9745	-0,82	0,0285	-0,47	0,4455	0,08	0,9267	-0,37	0,6427	-1,14	0,0021
Rbck1	41,19	-0,27	0,5360	-0,24	0,6724	-0,01	1,0000	-0,30	0,7492	-0,09	0,8475	-0,34	0,6211	-0,29	0,6947	0,05	0,9786	-0,05	0,9342
Rbfa	14,65	0,03	0,9677	0,72	0,1154	0,39	NA	0,18	0,9250	0,07	0,9238	0,49	0,4987	0,16	NA	0,43	0,6374	-0,15	0,8365
Rbfox1	18,60	-0,78	0,1074	-0,26	0,7170	0,09	NA	-0,56	0,3768	-1,73	0,0001	0,22	0,8423	0,55	NA	0,06	0,9831	-1,16	0,0620
Rbfox2	459,75	0,29	0,1606	0,07	0,8539	-0,08	1,0000	0,00	0,9988	-0,02	0,9441	0,13	0,7764	-0,10	0,8447	0,06	0,9437	-0,15	0,6005
Rbks	1,80	0,22	NA	0,30	0,6724	0,13	NA	-0,01	NA	0,25	0,7417	0,69	0,3737	0,27	NA	-0,15	NA	0,12	0,9105
Rbl1	17,42	-0,75	0,0689	-0,04	0,9715	-0,41	NA	-0,36	0,6940	-1,16	0,0049	0,39	0,6722	0,43	NA	-0,03	0,9918	-0,08	0,9286
Rbl2	124,57	-0,66	0,0016	0,20	0,5683	0,13	1,0000	0,15	0,8786	-0,13	0,6729	0,54	0,1453	0,69	0,0345	0,45	0,2982	0,35	0,2567
Rbm10	64,09	-0,06	0,8950	-0,32	0,4709	-0,01	1,0000	0,22	0,8190	0,33	0,2755	-0,34	0,5316	-0,19	0,7630	0,11	0,9191	0,23	0,5406
Rbm11	3,16	-0,69	0,2292	0,52	0,4452	0,00	NA	0,19	NA	0,23	0,7698	0,67	0,3649	0,17	NA	0,00	NA	0,20	NA
Rbm12	53,59	-0,03	0,9559	-0,24	0,6657	-0,17	1,0000	0,07	0,9764	0,23	0,5051	-0,17	0,8168	0,12	0,8853	0,01	0,9986	0,13	0,7653
Rbm12b1	7,68	-0,23	0,7580	-0,57	0,3727	-0,24	NA	0,03	0,9860	-0,33	0,6243	-0,43	0,6637	-0,08	NA	-0,07	0,9789	-0,02	0,9906
Rbm12b2	27,70	-0,06	0,9317	-0,20	0,7735	-0,08	NA	0,23	0,8587	0,30	0,5607	0,20	0,8292	0,11	0,9085	0,11	0,9442	0,45	0,3639
Rbm14	25,14	-0,14	0,8040	-0,51	0,3183	-0,31	NA	-0,19	0,9072	-0,01	0,9816	-0,76	0,2366	-0,38	NA	-0,15	0,9192	-0,27	0,6756
Rbm15	54,44	0,15	0,7467	0,10	0,8714	-0,10	1,0000	0,10	0,9625	0,09	0,8335	-0,41	0,4506	-0,18	0,8070	0,01	0,9955	0,00	0,9988
Rbm15b	24,38	-0,15	0,7928	-0,74	0,0934	0,00	NA	0,00	0,9998	0,39	0,3275	-0,80	0,1827	-0,40	NA	0,49	0,4950	0,55	0,1844
Rbm17	80,44	-0,10	0,8327	0,09	0,8727	-0,02	1,0000	-0,15	0,9084	-0,10	0,7756	0,02	0,9825	-0,01	0,9862	-0,11	0,9235	0,02	0,9786
Rbm18	100,75	0,45	0,0416	0,07	0,8924	0,15	1,0000	0,05	0,9798	-0,51	0,0378	-0,14	0,8064	-0,19	0,7138	-0,21	0,7540	-0,56	0,0366
Rbm19	29,29	0,46	0,2391	-0,58	0,2183	0,24	NA	-0,10	0,9634	-0,35	0,4525	-0,73	0,1761	-0,46	0,4527	-0,34	0,7017	-0,54	0,2789
Rbm20	587,42	-0,14	0,6035	0,14	0,6718	0,13	1,0000	0,13	0,8579	-0,02	0,9374	0,01	0,9927	0,20	0,6302	0,18	0,7354	0,11	0,7480
Rbm22	58,68	0,19	0,6508	-0,18	0,7368	-0,05	1,0000	-0,03	0,9853	0,23	0,5496	-0,63	0,1684	-0,23	0,7254	-0,26	0,7608	0,01	0,9876
Rbm24	707,00	-0,09	0,8049	-0,52	0,0253	-0,13	1,0000	0,07	0,9616	0,53	0,0039	-0,38	0,2861	0,13	0,7965	0,11	0,8833	0,54	0,0320
Rbm25	249,79	-0,03	0,9427	0,00	0,9972	0,12	1,0000	0,23	0,6281	0,42	0,0431	-0,20	0,6916	0,31	0,4379	0,42	0,2097	0,37	0,1012
Rbm26	103,63	0,09	0,8112	0,18	0,6598	-0,04	1,0000	0,01	0,9901	-0,03	0,9312	-0,27	0,6068	0,20	0,7226	0,13	0,8943	0,00	0,9988
Rbm27	136,99	0,27	0,4125	-0,04	0,9560	0,01	1,0000	0,26	0,7167	0,39	0,1182	-0,43	0,2969	0,06	0,9269	0,02	0,9911	0,16	0,6715
Rbm28	62,64	0,11	0,8225	0,35	0,3825	-0,11	1,0000	-0,08	0,9708	0,28	0,3812	-0,05	0,9544	0,07	0,9313	0,02	0,9931	0,12	0,7845
Rbm3	79,59	0,36	0,1753	-0,95	0,0007	0,04	1,0000	0,13	0,9269	0,16	0,6141	-0,92	0,0066	-0,43	0,3407	-0,39	0,4733	-0,04	0,9366

GeneID	CTL	ET-1 vs CTL		SAHA vs CTL		JS28 vs CTL		BSP vs CTL		JQ1 vs CTL		ET-1+SAHA vs ET1		ET-1+JS28 vs ET1		ET-1+BSP vs ET1		ET-1+JQ1 vs ET1	
	mean	log2(FC)	P-adj	log2(FC)	P-adj	log2(FC)	P-adj	log2(FC)	P-adj	log2(FC)	P-adj	log2(FC)	P-adj	log2(FC)	P-adj	log2(FC)	P-adj	log2(FC)	P-adj
Rbm33	162,75	-0,37	0,2613	-0,06	0,9091	0,06	1,0000	-0,11	0,9417	0,17	0,6174	0,04	0,9620	0,42	0,3529	0,43	0,3925	0,43	0,2128
Rbm34	27,78	0,26	0,5931	0,20	0,7544	0,08	NA	0,19	0,8973	-0,02	0,9745	-0,15	0,8712	-0,27	0,7226	0,12	0,9328	-0,12	0,8354
Rbm38	80,68	0,04	0,9412	0,16	0,7679	0,12	1,0000	0,15	0,9165	0,46	0,1417	0,20	0,7672	-0,18	0,7811	0,30	0,6352	0,67	0,0494
Rbm39	268,03	0,08	0,7803	-0,03	0,9417	0,12	1,0000	0,19	0,7365	-0,28	0,1969	-0,08	0,8905	0,32	0,3821	0,22	0,6494	-0,45	0,2109
Rbm4	1,61	0,27	NA	-0,15	NA	0,10	NA	0,05	NA	0,25	0,7340	-0,09	NA	-0,17	NA	-0,20	NA	-0,36	NA
Rbm41	50,24	-0,21	0,6052	-0,35	0,4281	-0,01	1,0000	0,13	0,9328	-0,54	0,0951	-0,01	0,9967	0,39	0,4532	-0,08	0,9590	-0,19	0,6952
Rbm42	48,97	0,35	0,3115	-0,01	0,9946	0,08	1,0000	-0,07	0,9746	0,48	0,1506	-0,41	0,4557	-0,84	0,0446	-0,30	0,7046	0,09	0,8639
Rbm43	2,60	-0,84	0,1104	-0,19	0,8347	0,06	NA	-0,24	NA	-1,03	0,0741	0,49	NA	0,61	NA	-0,02	NA	0,02	NA
Rbm45	39,41	-0,12	0,8067	0,01	0,9946	0,02	1,0000	0,02	0,9901	-0,10	0,8421	-0,11	0,9081	-0,06	0,9552	0,01	0,9966	0,07	0,9124
Rbm46	2,01	0,04	NA	0,33	0,6524	0,01	NA	-0,12	NA	-0,67	0,1983	0,40	0,6621	-0,14	NA	-0,24	NA	-0,39	NA
Rbm48	13,99	-0,28	0,6561	-0,16	0,8471	0,01	NA	-0,26	0,8514	0,00	0,9970	0,08	0,9488	0,23	NA	0,03	0,9918	0,29	0,6500
Rbm4b	11,86	-0,66	0,1734	-0,71	0,1922	-0,04	NA	0,33	0,7444	0,42	0,3860	-0,32	0,7650	0,50	NA	0,56	0,5222	0,98	0,0528
Rbm5	212,84	-0,28	0,2097	-0,29	0,2709	0,16	1,0000	0,10	0,9213	0,02	0,9559	-0,33	0,4308	0,24	0,5746	0,21	0,7013	0,19	0,5280
Rbm6	91,31	-0,07	0,8527	0,07	0,8932	-0,11	1,0000	0,24	0,7006	0,18	0,5175	-0,29	0,5836	0,11	0,8756	-0,03	0,9911	0,01	0,9933
Rbm7	49,93	-0,30	0,3740	0,00	0,9996	0,25	1,0000	0,08	0,9681	-0,14	0,7224	0,05	0,9528	0,50	0,2869	0,35	0,6212	0,23	0,6013
Rbm8a	52,92	0,27	0,4754	-0,10	0,8766	-0,17	1,0000	0,12	0,9454	-0,18	0,6880	-0,14	0,8493	-0,41	0,4311	-0,26	0,7502	-0,32	0,3790
Rbms1	176,38	0,13	0,6183	-0,43	0,0567	-0,10	1,0000	-0,08	0,9454	0,06	0,8576	-0,39	0,2496	0,04	0,9546	-0,06	0,9494	0,19	0,5806
Rbms2	206,22	-0,13	0,6360	-0,22	0,4534	-0,19	1,0000	-0,44	0,1244	-0,37	0,2133	-0,01	0,9955	-0,17	0,7204	-0,12	0,8789	0,07	0,8943
Rbms3	70,53	-0,46	0,2572	-0,58	0,0939	0,04	1,0000	-0,01	0,9925	-1,60	0,0000	0,02	0,9868	0,41	0,4921	0,03	0,9918	-1,39	0,0005
Rbmx	47,89	-0,35	0,3604	-0,50	0,2039	0,00	1,0000	0,04	0,9853	0,08	0,8707	-0,37	0,5762	0,77	0,0583	0,32	0,6935	-0,08	0,8956
Rbmx2	13,61	0,19	0,7984	-0,13	0,8836	-0,10	NA	-0,18	0,9263	-0,35	0,5902	-0,34	0,7288	-0,26	NA	-0,09	0,9616	-0,44	0,5057
Rbmx1	31,75	0,35	0,4013	0,11	0,8743	0,14	NA	0,20	0,8899	0,21	0,6470	0,16	0,8472	-0,17	0,8390	-0,05	0,9819	-0,25	0,6481
Rbpj	70,59	0,11	0,7882	0,05	0,9334	0,10	1,0000	0,13	0,9364	0,34	0,2444	0,20	0,7323	0,18	0,7489	-0,19	0,8285	0,26	0,3882
Rbpms	646,62	0,29	0,1591	0,12	0,7370	0,07	1,0000	-0,21	0,6708	0,12	0,6494	0,07	0,9009	-0,01	0,9898	-0,40	0,1945	-0,08	0,7825
Rbpms2	121,32	0,12	0,8148	-0,15	0,7972	-0,24	1,0000	-0,57	0,1923	-0,77	0,0238	-0,20	0,7501	-0,39	0,4264	-0,35	0,5598	-0,54	0,2845
Rbx1	97,22	0,28	0,3524	-0,41	0,2402	-0,13	1,0000	-0,11	0,9437	-0,01	0,9779	-0,06	0,9360	-0,25	0,6432	-0,14	0,8842	-0,36	0,2993
Rc3h1	282,00	-0,50	0,0033	-0,14	0,6846	-0,28	0,8983	-0,12	0,8903	-0,26	0,2058	0,28	0,4510	0,54	0,0537	0,33	0,4042	0,24	0,3567
Rc3h2	565,36	-0,13	0,5031	-0,56	0,0002	-0,16	1,0000	0,00	0,9972	0,14	0,4104	-0,29	0,3573	0,18	0,6315	0,17	0,7090	0,30	0,1659
Rcan1	64,82	0,96	0,0001	0,22	0,6881	0,20	1,0000	-0,18	0,9004	-0,07	0,8736	-0,53	0,2591	-0,93	0,0080	-1,00	0,0045	-0,87	0,0060
Rcan2	671,99	0,09	0,7796	-0,09	0,8067	0,01	1,0000	-0,03	0,9853	0,09	0,7592	0,30	0,4222	0,20	0,6575	0,32	0,4329	0,25	0,4570
Rcan3	14,11	-0,12	0,8709	0,21	0,7762	-0,26	NA	0,04	0,9855	-0,60	0,2335	0,30	0,7470	0,08	NA	-0,05	0,9883	-0,34	0,6114
Rcbt1	44,04	-0,67	0,0152	-0,20	0,6849	-0,18	1,0000	-0,08	0,9634	-0,35	0,2906	0,45	0,4249	0,53	0,3050	0,06	0,9730	-0,08	0,8990
Rcbt2	30,66	-0,83	0,0089	-1,87	0,0000	-0,04	1,0000	-0,74	0,0644	-1,90	0,0000	-1,00	0,0951	0,46	0,4730	-0,37	0,7132	-0,85	0,0846
Rcc1	12,23	-0,14	0,8461	-0,55	0,3593	-0,15	NA	0,05	0,9853	0,97	0,0132	-0,56	0,4987	-0,19	NA	0,16	0,9267	1,05	0,0138
Rcc2	30,02	0,17	0,7621	0,73	0,0351	0,26	NA	0,31	0,7205	0,41	0,2609	0,20	0,8140	0,12	0,8987	-0,15	0,9143	-0,26	0,6454
Rccd1	9,80	0,05	0,9485	-0,32	0,6865	-0,12	NA	-0,44	0,6015	0,02	0,9783	-0,30	0,7699	-0,32	NA	0,09	0,9621	0,17	0,8308
Rce1	8,37	-0,13	0,8709	0,13	0,8895	-0,26	NA	-0,14	0,9469	0,06	0,9392	0,43	0,6395	-0,02	NA	-0,20	0,9025	0,54	0,3900
Rchy1	59,72	-0,27	0,4707	-0,42	0,2709	0,05	1,0000	-0,02	0,9873	-0,41	0,1906	0,04	0,9596	0,20	0,7568	0,15	0,8956	-0,10	0,8396
Rcl1	6,88	0,23	0,7710	-0,01	0,9957	0,03	NA	-0,36	NA	-0,33	0,6489	-0,17	0,8863	-0,77	NA	-0,53	0,5761	-1,18	0,0658
Rcn1	82,13	-0,05	0,9263	-0,50	0,2154	-0,03	1,0000	-0,09	0,9634	-0,44	0,2076	-0,62	0,1166	-0,15	0,8344	0,07	0,9558	-0,51	0,0922
Rcn2	90,49	-0,06	0,8889	-0,39	0,2181	0,18	1,0000	0,17	0,8494	-0,05	0,8782	-0,04	0,9573	0,28	0,5958	0,35	0,5293	0,10	0,8196
Rcn3	28,61	0,58	0,1623	0,17	0,8325	-0,08	NA	-0,73	0,1457	-1,56	0,0004	-0,02	0,9879	-0,80	0,1032	-0,42	0,5831	-1,35	0,0005
Rcor1	58,21	0,16	0,6960	0,14	0,7963	0,09	1,0000	0,24	0,7757	0,07	0,8513	-0,14	0,8521	-0,15	0,8336	-0,14	0,9017	0,15	0,7202
Rcor2	5,12	0,16	0,8508	1,07	0,0320	0,09	NA	-0,31	NA	-0,51	0,4598	0,62	0,4465	0,11	NA	0,04	0,9911	-0,63	0,4017
Rcor3	58,08	0,28	0,3888	-0,22	0,6546	0,04	1,0000	-0,11	0,9482	-0,37	0,2756	-0,47	0,3218	0,04	0,9619	-0,02	0,9931	-0,47	0,1561

GeneID	CTL	ET-1 vs CTL		SAHA vs CTL		JS28 vs CTL		BSP vs CTL		JQ1 vs CTL		ET-1+SAHA vs ET1		ET-1+JS28 vs ET1		ET-1+BSP vs ET1		ET-1+JQ1 vs ET1	
	mean	log2(FC)	P-adj	log2(FC)	P-adj	log2(FC)	P-adj	log2(FC)	P-adj	log2(FC)	P-adj	log2(FC)	P-adj	log2(FC)	P-adj	log2(FC)	P-adj	log2(FC)	P-adj
Rcsd1	177,48	-0,25	0,3869	0,01	0,9818	-0,01	1,0000	0,28	0,5478	-0,30	0,2866	0,12	0,8430	0,13	0,8359	0,40	0,3552	-0,08	0,9006
Rd3	50,93	-0,70	0,2177	-1,35	0,0009	-0,25	1,0000	-0,69	0,1776	-1,79	0,0005	-0,12	0,9176	0,11	0,9198	-0,29	0,8264	-2,15	0,0001
Rdh10	18,21	0,07	0,9263	-0,19	0,8190	-0,01	NA	0,26	0,8476	0,34	0,5382	-0,69	0,3137	-0,49	NA	0,11	0,9483	0,45	0,3930
Rdh11	17,92	0,51	0,2551	0,19	0,8105	0,05	NA	-0,01	0,9932	0,25	0,6562	0,00	0,9976	0,19	0,8300	-0,66	0,3492	-0,29	0,6129
Rdh13	29,75	0,15	0,7961	-0,30	0,6326	0,00	NA	-0,10	0,9649	-0,31	0,5287	-0,12	0,8933	-0,11	0,9102	-0,55	0,4377	-0,14	0,7935
Rdh14	55,22	-0,18	0,7197	-1,17	0,0001	0,08	1,0000	0,14	0,9249	-0,57	0,0510	-0,61	0,2669	0,25	0,7171	0,29	0,7382	-0,19	0,7096
Rdh5	3,09	0,06	0,9527	0,37	0,6266	-0,02	NA	0,13	NA	0,54	0,4226	0,05	0,9732	-0,29	NA	0,10	NA	0,01	0,9961
Rdm1	13,61	-0,37	0,5429	-0,48	0,4557	-0,17	NA	-0,47	0,5519	-1,45	0,0032	0,09	0,9431	-0,13	NA	-0,42	0,6935	-1,22	0,0375
Rdx	415,48	-0,07	0,7745	-0,24	0,2921	-0,05	1,0000	0,06	0,9601	-0,22	0,2966	-0,24	0,5239	-0,01	0,9915	0,01	0,9931	-0,13	0,7492
Reck	11,88	-0,41	0,5004	0,47	0,4255	-0,18	NA	-0,13	0,9594	0,06	0,9344	0,72	0,3088	0,36	NA	0,45	0,6579	-0,40	0,5767
Recql	29,01	0,33	0,4900	0,51	0,2910	0,18	NA	0,14	0,9437	-0,36	0,4511	0,26	0,7278	-0,01	0,9953	-0,31	0,7354	-0,23	0,6615
Recql4	1,18	0,08	NA	0,09	0,8952	0,00	NA	-0,03	NA	0,71	0,2478	-0,32	NA	-0,10	NA	-0,05	NA	0,21	NA
Recql5	35,52	0,15	0,7857	-0,07	0,9253	-0,07	1,0000	-0,24	0,8504	-0,17	0,7114	-0,12	0,8981	-0,42	0,5032	-0,44	0,5444	-0,47	0,2439
Reep1	87,81	0,06	0,8923	-0,31	0,3975	0,15	1,0000	0,50	0,1532	0,52	0,0216	-0,10	0,8885	0,30	0,5319	0,57	0,1113	0,69	0,0029
Reep2	9,08	0,00	0,9983	1,47	0,0003	-0,27	NA	-0,47	0,5133	-0,64	0,2969	1,26	0,0174	-0,34	NA	-0,72	0,3539	-0,81	0,2127
Reep3	71,17	0,07	0,8940	-0,06	0,9288	0,16	1,0000	0,42	0,4453	0,36	0,2375	0,05	0,9448	0,20	0,7226	0,35	0,5324	0,38	0,1773
Reep4	3,42	-0,35	0,6320	0,46	0,5209	0,04	NA	0,19	NA	0,51	0,4431	0,51	0,5667	0,39	NA	0,46	NA	1,01	0,1300
Reep5	270,14	0,07	0,8623	-0,10	0,8214	-0,21	1,0000	-0,16	0,8601	0,11	0,7206	0,24	0,5737	0,01	0,9869	0,04	0,9730	0,14	0,6842
Reep6	4,40	0,28	0,7197	1,63	0,0002	0,07	NA	-0,20	NA	0,00	0,9972	0,74	0,3288	-0,19	NA	-0,44	NA	-0,21	0,8211
Rel	31,89	0,63	0,0865	0,37	0,4848	0,04	NA	0,41	0,5830	0,27	0,5982	-0,01	0,9909	0,06	0,9558	-0,24	0,8256	-0,22	0,6936
Rela	43,23	-0,22	0,6296	-0,77	0,0394	-0,05	1,0000	-0,25	0,8147	0,40	0,2467	-0,65	0,2303	-0,22	0,7705	0,05	0,9792	0,45	0,2750
Relb	9,77	0,15	0,8463	-0,24	0,7736	-0,07	NA	-0,56	0,3748	-0,33	0,6282	-0,55	0,5086	-0,55	NA	-0,27	0,8446	-0,48	0,4952
Reln	1,89	-0,25	NA	-0,13	0,8714	-0,06	NA	0,04	NA	0,92	0,1225	-0,11	NA	-0,01	NA	0,05	NA	1,60	0,0068
Relt	2,27	0,87	0,0868	0,43	0,4276	-0,04	NA	-0,05	NA	0,80	0,1793	0,28	0,8025	-0,54	NA	-0,62	NA	0,59	0,4161
Renbp	18,81	-0,04	0,9665	0,13	0,8895	0,24	NA	-0,34	0,7443	-0,81	0,1289	0,07	0,9512	0,09	NA	-0,17	0,9092	-0,88	0,1037
Repin1	29,40	0,11	0,8532	0,36	0,5073	0,22	NA	0,31	0,7520	0,21	0,7010	0,07	0,9407	-0,13	0,8885	-0,16	0,9065	0,05	0,9416
Reps1	95,87	0,59	0,0206	-0,02	0,9804	0,04	1,0000	0,09	0,9500	0,56	0,0111	-0,72	0,0665	-0,43	0,3563	-0,48	0,3303	-0,02	0,9773
Rer1	84,70	0,29	0,4149	0,03	0,9671	-0,07	1,0000	0,19	0,8514	0,25	0,4144	0,01	0,9930	-0,36	0,4970	-0,20	0,8197	0,12	0,7841
Rere	341,86	-0,37	0,2234	-0,08	0,8355	0,01	1,0000	-0,09	0,9371	0,58	0,0704	-0,40	0,3889	-0,03	0,9754	0,05	0,9753	0,82	0,0453
Rest	161,63	-0,12	0,7367	-0,31	0,3124	0,12	1,0000	0,02	0,9853	0,05	0,8770	-0,42	0,2833	0,03	0,9656	0,11	0,9074	0,23	0,4964
Ret	1,38	0,45	NA	-0,01	NA	-0,05	NA	0,10	NA	1,08	0,0558	-0,54	NA	-0,31	NA	0,01	NA	0,90	0,1875
Retsat	26,76	-0,31	0,5414	-0,37	0,5626	-0,05	NA	-0,35	0,7167	-0,87	0,0399	0,20	0,8292	0,27	0,7215	-0,10	0,9560	-0,98	0,0354
Rev1	66,83	-0,11	0,7772	-0,22	0,6083	-0,04	1,0000	-0,20	0,8318	-0,07	0,8460	-0,29	0,6211	0,02	0,9843	0,02	0,9918	-0,03	0,9525
Rev3l	276,09	-0,19	0,5059	-0,28	0,2206	-0,12	1,0000	0,20	0,6689	-0,01	0,9767	-0,43	0,2557	0,21	0,6918	0,16	0,8285	0,22	0,5477
Rexo1	42,04	0,03	0,9630	0,15	0,7968	-0,01	1,0000	-0,15	0,9250	0,27	0,4765	-0,29	0,6910	-0,15	0,8504	0,08	0,9608	0,25	0,6246
Rexo2	52,05	0,51	0,0714	0,06	0,9297	0,13	1,0000	0,09	0,9634	-0,76	0,0217	-0,30	0,5971	-0,38	0,4822	-0,24	0,7709	-1,23	0,0001
Rexo4	20,51	-0,05	0,9406	0,08	0,9269	-0,03	NA	-0,03	0,9855	-0,27	0,6065	0,13	0,8990	0,24	0,7749	-0,26	0,8376	-0,15	0,8175
Rfc1	150,32	-0,31	0,1346	0,14	0,6703	0,05	1,0000	0,29	0,5124	-0,10	0,7006	0,32	0,4684	0,39	0,2996	0,49	0,1508	0,27	0,3651
Rfc2	19,49	-0,20	0,7571	0,23	0,7397	-0,03	NA	0,02	0,9901	-0,49	0,3442	-0,02	0,9894	0,06	NA	0,15	0,9250	0,11	0,8810
Rfc3	12,42	-0,22	0,7497	-0,37	0,5994	0,21	NA	-0,22	0,8901	-0,39	0,5038	-0,10	0,9404	0,41	NA	0,10	0,9608	-0,24	0,7501
Rfc4	8,04	-0,31	0,6585	0,58	0,3132	0,10	NA	0,16	0,9404	-0,27	0,6971	0,54	0,5243	0,33	NA	0,29	0,8343	-0,34	0,6802
Rfc5	9,72	-0,56	0,3474	-0,32	0,6757	0,10	NA	0,04	0,9853	0,22	0,7380	0,12	0,9307	0,18	NA	0,36	0,7645	0,51	0,4939
Rfesd	15,73	-0,11	0,8903	0,50	0,3966	0,26	NA	0,34	0,7492	0,33	0,5605	0,74	0,2117	0,72	NA	0,80	0,1603	0,30	0,6132
Rffl	4,57	-0,48	0,4626	0,51	0,4474	-0,12	NA	-0,26	NA	-0,69	0,2841	0,66	0,4111	0,08	NA	-0,39	NA	-0,20	0,8349
Rfk	87,85	0,21	0,5127	-0,03	0,9658	-0,01	1,0000	0,32	0,5813	0,59	0,0068	0,17	0,7679	0,32	0,4662	0,11	0,9059	0,52	0,0355

GeneID	CTL	ET-1 vs CTL		SAHA vs CTL		JS28 vs CTL		BSP vs CTL		JQ1 vs CTL		ET-1+SAHA vs ET1		ET-1+JS28 vs ET1		ET-1+BSP vs ET1		ET-1+JQ1 vs ET1	
	mean	log2(FC)	P-adj	log2(FC)	P-adj	log2(FC)	P-adj	log2(FC)	P-adj	log2(FC)	P-adj	log2(FC)	P-adj	log2(FC)	P-adj	log2(FC)	P-adj	log2(FC)	P-adj
Rfng	22,20	0,11	0,8620	-0,37	0,5377	0,01	NA	0,02	0,9925	0,37	0,4158	-0,42	0,5755	-0,42	NA	-0,17	0,9023	0,27	0,6425
Rft1	16,31	-0,18	0,7865	0,22	0,7710	0,09	NA	-0,03	0,9858	-0,39	0,4947	0,37	0,6583	0,22	NA	0,02	0,9936	-0,37	0,5776
Rftn1	32,27	-0,15	0,7931	-0,59	0,2331	0,05	1,0000	-0,21	0,8832	-0,85	0,0439	-0,35	0,6360	-0,29	0,6955	-0,65	0,3179	-0,66	0,1342
Rfwd2	87,35	-0,14	0,7289	0,11	0,8213	0,16	1,0000	0,18	0,8610	-0,30	0,3034	0,24	0,6679	0,44	0,3159	0,48	0,2701	0,20	0,5872
Rfwd3	55,65	0,11	0,8227	0,56	0,0913	0,17	1,0000	0,07	0,9742	0,23	0,5161	0,22	0,7478	-0,11	0,8912	-0,07	0,9630	0,21	0,5936
Rfx1	25,02	-0,03	0,9711	-0,13	0,8650	-0,09	NA	-0,25	0,8507	0,01	0,9848	-0,48	0,5023	-0,32	0,6757	-0,31	0,7779	0,23	0,7329
Rfx2	6,11	-0,80	0,1351	0,06	0,9571	-0,15	NA	-0,18	0,9213	0,03	0,9754	0,24	0,8292	0,15	NA	0,14	NA	0,36	0,6703
Rfx3	58,53	-0,73	0,0017	-0,34	0,3187	-0,17	1,0000	-0,25	0,7424	-0,29	0,3842	0,18	0,8081	0,38	0,4940	0,29	0,7158	0,18	0,6665
Rfx5	15,98	-0,58	0,2186	0,02	0,9818	-0,16	NA	-0,62	0,2687	-1,19	0,0067	0,16	0,8874	0,63	NA	-0,47	0,6374	-0,39	0,5893
Rfx7	193,89	-0,29	0,2105	-0,19	0,5332	-0,12	1,0000	-0,17	0,8060	0,03	0,9284	-0,11	0,8534	0,18	0,7140	-0,01	0,9966	0,11	0,7592
Rfxank	174,59	0,44	0,0229	-0,24	0,4362	-0,03	1,0000	0,14	0,8797	0,45	0,0186	-0,51	0,1386	-0,56	0,0873	-0,29	0,5444	-0,41	0,1542
Rfxap	27,85	0,00	0,9964	0,06	0,9436	0,04	NA	0,14	0,9430	0,12	0,8118	-0,37	0,6271	-0,06	0,9558	0,20	0,8653	-0,03	0,9643
Rgag4	8,21	-0,01	0,9924	-0,65	0,2858	-0,15	NA	0,04	0,9855	0,15	0,8448	-0,98	0,1463	-0,16	NA	-0,14	0,9416	-0,03	0,9753
Rgl1	100,83	-0,31	0,2963	-0,29	0,4101	-0,11	1,0000	0,17	0,8616	0,09	0,7846	-0,33	0,5086	0,06	0,9350	0,21	0,7790	0,45	0,1634
Rgl2	28,44	-0,20	0,7072	-0,07	0,9366	0,12	1,0000	-0,01	0,9940	-0,62	0,1158	-0,06	0,9525	-0,16	0,8627	0,12	0,9400	-0,51	0,3551
Rgl3	10,01	-0,48	0,3961	0,25	0,7429	0,07	NA	-0,18	0,9269	0,19	0,7840	0,09	0,9476	0,20	NA	-0,29	0,8364	0,56	0,3861
Rgma	42,27	-0,22	0,7511	0,29	0,6507	0,45	0,7571	0,75	0,0794	-0,54	0,2696	-0,08	0,9460	0,09	0,9313	0,38	0,6796	-0,60	0,3390
Rgmb	35,82	-0,11	0,8444	-0,04	0,9666	0,22	1,0000	0,11	0,9600	0,88	0,0013	0,38	0,5475	0,05	0,9587	0,46	0,4779	0,89	0,0034
Rgp1	110,51	0,09	0,8072	-0,21	0,5666	0,02	1,0000	-0,32	0,5133	0,54	0,0459	-0,51	0,2033	-0,38	0,3868	-0,10	0,9226	0,60	0,0991
Rgs10	11,06	-0,92	0,0557	0,14	0,8703	-0,25	NA	0,44	0,5926	0,14	0,8346	0,53	0,5412	0,23	NA	0,76	0,2989	0,57	0,4129
Rgs11	1,88	0,14	NA	1,20	0,0135	0,05	NA	0,08	NA	-0,50	0,4009	0,56	0,5002	-0,20	NA	-0,39	NA	-0,82	NA
Rgs12	311,00	-1,36	0,0000	0,04	0,9317	0,06	1,0000	0,23	0,6955	-0,86	0,0001	0,84	0,0095	0,75	0,0195	0,74	0,0304	-0,36	0,3511
Rgs17	1,37	-0,01	NA	1,20	0,0124	-0,03	NA	0,13	NA	0,37	0,6050	1,40	0,0159	-0,16	NA	-0,12	NA	0,19	NA
Rgs19	10,65	0,14	0,8625	-0,18	0,8422	-0,08	NA	-0,26	0,8402	-0,31	0,6446	-0,67	0,3923	0,04	NA	-0,41	0,7070	-0,36	0,6271
Rgs2	1,01	0,01	NA	0,22	0,7426	0,02	NA	-0,04	NA	-0,24	NA	0,17	NA	-0,05	NA	-0,06	NA	-0,25	NA
Rgs3	4,56	-0,26	0,7389	0,21	0,8224	0,06	NA	-0,15	NA	-0,86	0,1571	0,39	0,7067	0,03	NA	0,09	NA	-0,23	0,8068
Rgs4	29,70	-1,06	0,0048	0,43	0,4309	-0,38	0,9896	-0,33	0,7443	-0,74	0,0740	1,05	0,0354	-0,06	NA	-0,09	0,9659	-0,55	0,3619
Rgs6	158,36	-0,21	0,5381	-0,03	0,9579	0,16	1,0000	0,08	0,9564	-0,71	0,0011	-0,19	0,7515	0,17	0,7690	0,18	0,8223	-0,58	0,0422
Rgs7	6,40	0,29	0,6960	0,04	0,9739	0,03	NA	-0,17	NA	-0,70	0,2765	0,33	0,7495	0,36	NA	-0,23	0,8851	-0,41	0,5961
Rgs7bp	27,84	0,26	0,6140	0,15	0,8359	-0,24	NA	-0,23	0,8671	0,22	0,6514	-0,41	0,5485	-0,09	0,9267	-0,12	0,9347	0,31	0,5272
Rgs9	5,44	-0,20	0,8051	0,07	0,9505	-0,09	NA	-0,37	NA	-0,33	0,6584	0,39	0,7023	-0,48	NA	-0,62	NA	-0,32	0,7092
Rgs9bp	2,68	-0,16	0,8483	0,21	0,8144	-0,11	NA	-0,34	NA	-0,27	0,7235	-0,43	NA	0,00	NA	-0,07	NA	-0,47	NA
Rhbdd1	89,69	1,27	0,0000	0,07	0,9196	0,12	1,0000	0,07	0,9727	0,29	0,3987	-0,93	0,0183	-0,80	0,0446	-1,04	0,0055	-0,43	0,3183
Rhbdd2	34,16	0,11	0,8411	-0,92	0,0130	-0,27	NA	-0,31	0,7392	0,32	0,3835	-0,99	0,0480	-0,67	0,2048	0,04	0,9855	0,08	0,8912
Rhbdd3	30,62	-0,32	0,4651	-0,73	0,0706	-0,25	1,0000	-0,45	0,5124	-0,51	0,1989	-0,32	0,6978	-0,42	0,5265	-0,52	0,4910	-0,18	0,7548
Rhbdf1	33,15	0,20	0,6855	0,31	0,5430	0,09	1,0000	-0,07	0,9769	0,36	0,3528	-0,13	0,8811	-0,46	0,4412	-0,09	0,9510	0,41	0,2857
Rhbdf2	24,64	-1,12	0,0008	0,30	0,5696	0,00	1,0000	-0,81	0,0493	-1,53	0,0000	0,90	0,1166	-0,06	NA	-0,45	0,6550	-0,46	0,5455
Rhbdl1	2,65	-0,15	0,8554	0,11	0,9075	-0,02	NA	0,18	NA	0,17	0,8346	0,16	0,8905	-0,03	NA	0,36	NA	0,91	0,1839
Rhbdl3	17,17	-0,96	0,0333	0,48	0,4106	-0,03	NA	0,37	0,6921	0,43	0,3757	0,91	0,1448	0,35	NA	1,21	0,0192	0,96	0,0597
Rheb	102,73	0,59	0,0032	0,11	0,8316	0,01	1,0000	0,33	0,5142	0,09	0,8074	-0,13	0,8279	-0,35	0,4121	-0,15	0,8492	-0,55	0,0715
Rheb1	3,10	-0,12	0,8903	-0,07	0,9540	0,00	NA	-0,07	NA	-0,22	0,7871	0,08	0,9476	-0,25	NA	-0,29	NA	-0,32	0,7130
Rhno1	16,00	-0,27	0,6775	0,39	0,5316	0,01	NA	0,13	0,9500	-0,51	0,3558	0,28	0,7796	0,26	NA	0,15	0,9272	-0,16	0,8381
Rho	1,25	-0,07	NA	-0,18	0,7963	-0,08	NA	-0,04	NA	-0,09	0,9080	0,16	NA	0,00	NA	0,06	NA	0,14	NA
Rhoa	335,51	0,34	0,0427	-0,18	0,4690	-0,19	1,0000	-0,22	0,6004	0,08	0,7508	0,15	0,7295	-0,20	0,6315	-0,42	0,1790	-0,01	0,9901
Rhob	81,30	-0,40	0,3127	-0,31	0,4880	-0,15	1,0000	0,16	0,8998	0,70	0,0073	-0,34	0,6224	-0,18	0,8174	0,36	0,6098	0,78	0,0187

GeneID	CTL	ET-1 vs CTL		SAHA vs CTL		JS28 vs CTL		BSP vs CTL		JQ1 vs CTL		ET-1+SAHA vs ET1		ET-1+JS28 vs ET1		ET-1+BSP vs ET1		ET-1+JQ1 vs ET1	
	mean	log2(FC)	P-adj	log2(FC)	P-adj	log2(FC)	P-adj	log2(FC)	P-adj	log2(FC)	P-adj	log2(FC)	P-adj	log2(FC)	P-adj	log2(FC)	P-adj	log2(FC)	P-adj
Rhobtb1	35,03	0,18	0,7197	-0,27	0,6463	0,05	1,0000	-0,33	0,7049	-0,06	0,9107	-0,62	0,2614	-0,46	0,4398	-0,40	0,6103	-0,03	0,9687
Rhobtb2	40,19	0,00	0,9946	0,87	0,0134	0,33	1,0000	-0,17	0,9220	0,35	0,4183	0,79	0,0417	0,20	0,7856	0,15	0,9052	0,49	0,2909
Rhobtb3	105,55	-0,05	0,9148	-0,33	0,3425	0,00	1,0000	-0,01	0,9925	-0,47	0,0615	-0,48	0,2643	0,20	0,7274	-0,07	0,9526	-0,34	0,3305
Rhoc	51,67	0,47	0,1306	0,36	0,3932	-0,07	1,0000	-0,20	0,8786	0,16	0,7184	-0,01	0,9931	-0,80	0,0436	-0,41	0,5016	-0,03	0,9722
Rhod	13,09	0,07	0,9315	0,32	0,6534	-0,02	NA	-0,69	0,1942	0,07	0,9175	0,69	0,2903	-0,01	NA	0,03	0,9928	0,14	0,8436
Rhof	1,20	-0,32	NA	0,52	0,4028	-0,03	NA	-0,05	NA	-0,31	0,6540	0,54	NA	0,01	NA	0,41	NA	-0,02	NA
Rhog	15,92	-0,29	0,6222	0,25	0,7174	0,06	NA	-0,34	0,7444	0,37	0,4226	0,13	0,9093	-0,09	NA	0,02	0,9931	0,56	0,2699
Rhoq	389,06	-0,32	0,0658	-0,37	0,0541	-0,12	1,0000	-0,01	0,9901	-0,21	0,3491	-0,10	0,8472	0,40	0,1799	0,20	0,6743	-0,05	0,9001
Rhot1	237,58	-0,03	0,9412	0,31	0,1705	0,12	1,0000	0,09	0,9293	0,00	0,9876	0,44	0,1553	0,31	0,3822	0,25	0,5855	0,09	0,7870
Rhot2	63,01	0,00	0,9927	0,20	0,6641	0,05	1,0000	0,33	0,6053	0,81	0,0017	0,06	0,9448	-0,03	0,9726	0,31	0,6518	0,63	0,0242
Rhou	21,63	-0,12	0,8491	-0,18	0,8066	0,15	NA	-0,43	0,6020	-0,24	0,6741	-0,33	0,7138	-0,27	NA	-0,55	0,4929	-0,45	0,4368
Rhpn1	1,23	-0,39	NA	0,86	0,1102	-0,03	NA	0,01	NA	-0,04	0,9590	0,41	NA	-0,02	NA	0,05	NA	0,28	NA
Rhpn2	3,49	-0,20	0,8131	1,18	0,0146	0,10	NA	-0,09	NA	-0,07	0,9421	1,23	0,0429	0,05	NA	0,10	NA	0,27	0,7676
Rian	102,24	0,85	0,0017	0,67	0,0143	0,09	1,0000	-0,59	0,1448	0,26	0,4576	0,09	0,9155	-0,37	0,4940	-0,70	0,0911	-0,20	0,6409
Ribc1	2,84	0,13	0,8863	0,69	0,2443	-0,06	NA	0,30	NA	0,15	0,8565	0,02	0,9892	-0,20	NA	-0,03	NA	-0,22	0,8159
Ric3	8,70	0,44	0,4947	1,16	0,0130	0,17	NA	0,03	0,9855	-0,57	0,3842	0,70	0,3069	0,38	NA	-0,40	0,7215	-1,21	0,0486
Ric8	43,70	0,00	0,9999	-0,72	0,0675	0,10	1,0000	0,14	0,9330	0,42	0,2010	-0,66	0,2369	-0,46	0,4391	-0,24	0,8285	0,29	0,5174
Ric8b	77,48	-0,46	0,0754	0,35	0,2417	0,10	1,0000	0,39	0,3606	0,17	0,5892	0,65	0,0914	0,81	0,0150	0,80	0,0216	0,73	0,0053
Rictor	199,60	-0,43	0,0441	-0,02	0,9768	-0,05	1,0000	0,19	0,7987	0,06	0,8484	0,19	0,6853	0,48	0,1245	0,34	0,4227	0,52	0,0804
Rif1	209,10	0,21	0,4268	0,18	0,5239	0,03	1,0000	0,23	0,6068	-0,02	0,9443	-0,13	0,8132	0,13	0,8175	-0,15	0,8364	-0,34	0,3459
Rilp	3,88	0,23	0,7792	-0,30	0,6988	0,14	NA	0,05	NA	-0,02	0,9833	-0,43	0,6487	0,17	NA	-0,22	NA	0,09	0,9308
Rilpl1	64,22	0,35	0,2261	0,23	0,5875	0,34	0,9326	-0,45	0,3748	-0,86	0,0026	-0,10	0,8910	-0,24	0,6791	-0,38	0,5206	-0,76	0,0140
Rilpl2	5,00	-0,52	0,4087	0,51	0,4418	-0,07	NA	-0,23	NA	-0,73	0,2366	0,78	0,2970	0,08	NA	0,13	NA	-0,44	0,5970
Rimbp2	1,34	0,03	NA	1,21	0,0098	0,29	NA	0,12	NA	-0,30	NA	0,61	0,4228	-0,03	NA	0,30	NA	-0,32	NA
Rimbp3	1,98	-0,26	NA	0,06	0,9586	-0,02	NA	-0,21	NA	-0,24	0,7517	0,10	NA	-0,26	NA	0,02	NA	-0,13	NA
Rimkla	37,00	-0,62	0,0696	0,62	0,0912	0,08	1,0000	0,06	0,9805	0,03	0,9641	0,74	0,1284	0,87	0,0367	0,71	0,1508	0,71	0,0381
Rims1	10,19	-0,96	0,0396	0,49	0,4136	0,07	NA	0,12	0,9626	-0,74	0,1607	0,70	0,3656	0,50	NA	1,04	0,0838	0,30	0,7089
Rims2	41,50	0,18	0,7266	0,61	0,0890	0,19	1,0000	0,03	0,9858	-1,30	0,0003	-0,22	0,7758	0,00	0,9963	-0,48	0,4724	-1,11	0,0023
Rin1	1,89	0,14	NA	0,04	0,9706	-0,03	NA	-0,12	NA	0,78	0,2130	0,15	0,9034	-0,23	NA	0,21	NA	0,00	0,9982
Rin2	66,27	0,20	0,6247	-0,26	0,6164	0,43	0,7226	-0,29	0,7488	-0,94	0,0021	0,09	0,9037	0,63	0,0677	0,08	0,9435	-1,27	0,0001
Ring1	20,33	0,03	0,9650	-0,10	0,9091	-0,07	NA	0,26	0,8420	0,69	0,0494	-0,07	0,9530	-0,13	NA	-0,34	0,7621	0,64	0,1594
Rint1	45,63	-0,24	0,5817	-0,10	0,8685	-0,13	1,0000	-0,17	0,9000	0,06	0,8928	0,25	0,7296	0,23	0,7481	0,13	0,9192	0,44	0,2511
Riok1	31,22	0,52	0,1611	0,36	0,4873	0,09	NA	0,19	0,9060	-0,10	0,8565	-0,08	0,9359	0,06	0,9463	-0,31	0,7223	-0,47	0,3238
Riok2	68,07	0,03	0,9463	-0,29	0,4651	0,06	1,0000	0,05	0,9817	-0,07	0,8581	-0,19	0,7739	0,15	0,8210	0,13	0,9007	0,00	0,9967
Riok3	358,79	0,15	0,4681	-0,01	0,9751	0,07	1,0000	0,08	0,9404	-0,28	0,1305	-0,04	0,9464	-0,11	0,8246	-0,17	0,7235	-0,41	0,0991
Ripk1	12,81	-0,17	0,8189	-0,19	0,8269	-0,05	NA	0,24	0,8758	0,00	0,9966	-0,35	0,7245	0,19	NA	-0,21	0,8981	-0,18	0,8283
Ripk2	12,55	-0,13	0,8664	-0,09	0,9298	-0,12	NA	-0,13	0,9563	0,43	0,4114	0,26	0,8049	0,17	NA	0,26	0,8511	0,40	0,5221
Ripk4	5,55	-0,66	0,2567	0,51	0,4357	0,00	NA	-0,07	0,9829	-0,71	0,2467	1,18	0,0601	0,66	NA	-0,17	NA	-0,04	0,9724
Rit1	42,15	-0,38	0,3141	0,23	0,6326	0,41	0,7284	0,17	0,9004	-0,02	0,9593	0,51	0,3538	0,14	0,8723	0,33	0,6886	0,23	0,6282
Rita1	4,45	-0,26	0,7387	0,50	0,4685	-0,01	NA	0,06	NA	0,33	0,6601	0,37	0,7179	0,16	NA	0,08	NA	0,67	0,3549
Rif	140,75	0,20	0,4137	0,25	0,3949	0,09	1,0000	0,11	0,9158	0,02	0,9553	0,10	0,8686	0,08	0,9114	-0,27	0,5936	-0,15	0,7181
Rlim	331,27	0,04	0,8945	0,22	0,3835	-0,07	1,0000	0,15	0,8334	-0,12	0,6754	0,26	0,4534	0,22	0,5768	-0,04	0,9654	-0,12	0,7741
Rltpr	1,30	-0,17	NA	-0,18	0,8112	-0,12	NA	-0,19	NA	0,00	0,9999	-0,20	NA	0,02	NA	-0,04	NA	-0,16	NA
Rmdn1	27,43	0,14	0,8349	-0,11	0,9044	-0,11	NA	0,14	0,9452	-0,23	0,6806	-0,05	0,9645	0,42	0,4886	0,24	0,8320	-0,43	0,3872
Rmdn2	10,68	-0,11	0,8843	-0,12	0,8961	0,03	NA	-0,02	0,9904	-0,28	0,6517	-0,06	0,9650	0,15	NA	0,08	0,9709	-0,32	0,6554

GeneID	CTL	ET-1 vs CTL		SAHA vs CTL		JS28 vs CTL		BSP vs CTL		JQ1 vs CTL		ET-1+SAHA vs ET1		ET-1+JS28 vs ET1		ET-1+BSP vs ET1		ET-1+JQ1 vs ET1	
	mean	log2(FC)	P-adj	log2(FC)	P-adj	log2(FC)	P-adj	log2(FC)	P-adj	log2(FC)	P-adj	log2(FC)	P-adj	log2(FC)	P-adj	log2(FC)	P-adj	log2(FC)	P-adj
Rmdn3	28,64	0,21	0,6787	0,28	0,6328	-0,18	NA	-0,12	0,9555	0,55	0,1082	0,00	0,9976	-0,08	0,9350	-0,04	0,9875	0,25	0,6221
Rmi1	13,35	-0,27	0,6758	0,00	0,9964	-0,12	NA	0,29	0,8112	0,35	0,4867	-0,17	0,8860	0,58	NA	0,59	0,4585	0,56	0,2983
Rmi2	1,18	0,35	NA	0,48	0,2719	0,10	NA	0,06	NA	0,36	NA	0,34	0,7242	-0,05	NA	-0,02	NA	-0,30	0,7037
Rmnd5a	324,20	-0,28	0,1517	-0,05	0,8992	0,16	1,0000	0,48	0,0296	0,18	0,4663	0,27	0,4436	0,40	0,1823	0,54	0,0378	0,41	0,2095
Rmnd5b	30,85	-0,14	0,8022	-0,38	0,4397	0,05	1,0000	-0,10	0,9626	0,40	0,2397	0,29	0,7176	0,06	0,9570	0,14	0,9230	0,67	0,0985
Rmrp	1180,17	-0,06	0,9491	0,09	0,9337	0,03	1,0000	0,08	0,9764	0,10	0,9005	0,03	0,9805	-0,09	0,9360	0,27	0,8463	0,22	0,8090
Rn45s	69316,12	-0,20	0,6176	-0,57	0,0685	-0,49	0,4037	-0,49	0,2211	-0,02	0,9553	-0,21	0,6343	-0,38	0,2670	-0,25	0,6091	0,35	0,4416
Rnase1	2,94	-0,79	0,0915	-0,24	0,7577	-0,01	NA	-0,22	NA	-0,93	0,0936	0,10	NA	0,25	NA	0,01	NA	0,01	NA
Rnase4	3,38	0,42	0,5481	0,04	0,9764	0,37	NA	-0,12	NA	0,51	0,4636	-0,14	0,9149	-0,15	NA	-0,47	NA	-0,53	0,4997
Rnaseh1	9,91	0,55	0,3510	-0,30	0,7183	-0,02	NA	-0,02	0,9913	-0,15	0,8484	-0,12	0,9233	-0,19	NA	-0,36	0,7642	-0,57	0,3728
Rnaseh2a	33,31	0,03	0,9614	0,29	0,5699	0,36	0,9896	0,22	0,8643	-0,17	0,7298	0,05	0,9645	0,13	0,8853	0,00	1,0000	-0,46	0,2993
Rnaseh2b	20,71	-0,23	0,7207	-0,52	0,3726	-0,06	NA	-0,20	0,9084	-1,16	0,0104	-0,41	0,6234	0,12	NA	0,13	0,9372	-0,43	0,4404
Rnaseh2c	4,63	-0,26	0,7414	0,03	0,9834	0,07	NA	0,00	NA	-0,02	0,9866	0,25	0,8292	0,16	NA	0,03	NA	0,06	0,9539
Rnasek	72,69	0,08	0,8700	0,01	0,9926	-0,11	1,0000	-0,41	0,4738	0,34	0,2701	0,07	0,9425	-0,30	0,5974	-0,29	0,6882	0,51	0,0909
Rnasel	11,47	-1,60	0,0001	-1,37	0,0018	0,09	NA	-0,82	0,0748	-2,20	0,0000	0,21	0,8551	1,14	NA	0,16	NA	-1,05	0,0966
Rnasel2b	1,02	-0,14	NA	0,00	0,9996	0,00	NA	-0,13	NA	-0,22	NA	-0,18	NA	0,11	NA	0,01	NA	-0,05	NA
Rnd1	6,11	1,32	0,0040	0,47	0,4544	-0,01	NA	0,04	NA	0,63	0,3384	-0,48	0,5812	-0,97	NA	-0,92	0,1524	0,16	0,8396
Rnd3	105,47	1,16	0,0000	-1,16	0,0003	-0,28	1,0000	-0,54	0,2687	-0,07	0,8895	-1,10	0,0003	-0,72	0,0369	-1,11	0,0002	-0,35	0,4143
Rnf10	262,88	0,22	0,2720	0,26	0,2834	0,14	1,0000	0,30	0,3702	0,50	0,0117	0,26	0,4656	-0,17	0,6956	0,14	0,8161	0,31	0,2726
Rnf103	96,53	0,17	0,6790	-0,03	0,9750	0,16	1,0000	0,58	0,1553	0,83	0,0009	-0,15	0,8036	0,41	0,3134	0,50	0,1715	0,67	0,0236
Rnf11	332,23	0,01	0,9791	-0,09	0,8101	-0,10	1,0000	0,20	0,7138	-0,02	0,9616	0,19	0,6526	0,09	0,8732	0,02	0,9911	-0,19	0,5166
Rnf111	120,96	0,06	0,8867	0,17	0,6538	0,09	1,0000	0,08	0,9574	0,41	0,0494	-0,03	0,9744	0,03	0,9654	0,00	0,9993	0,30	0,2970
Rnf113a1	2,11	0,14	NA	-0,18	0,8201	0,04	NA	-0,04	NA	-0,12	0,8895	-0,31	NA	-0,23	NA	-0,08	NA	-0,24	0,7855
Rnf113a2	19,22	0,09	0,9012	-0,10	0,9057	-0,16	NA	-0,08	0,9753	0,32	0,5025	0,02	0,9903	-0,23	NA	-0,13	0,9412	0,29	0,6089
Rnf114	64,32	-0,26	0,4565	0,07	0,8980	-0,09	1,0000	0,34	0,5507	0,28	0,3844	0,19	0,7757	0,00	0,9997	0,25	0,7608	0,38	0,2430
Rnf115	50,93	-0,05	0,9350	0,47	0,1966	0,21	1,0000	0,38	0,5187	0,27	0,4412	0,40	0,5032	0,18	0,8123	0,34	0,6374	0,42	0,2864
Rnf121	18,43	0,24	0,7024	-0,01	0,9928	0,05	NA	0,22	0,8826	-0,08	0,8986	0,05	0,9714	-0,16	NA	0,01	0,9966	-0,35	0,5811
Rnf122	29,54	-0,83	0,0093	0,15	0,7980	-0,25	1,0000	-0,37	0,6217	0,19	0,6312	0,88	0,0824	0,46	0,4880	0,69	0,2461	1,25	0,0006
Rnf123	83,71	-0,19	0,5786	-0,04	0,9477	-0,01	1,0000	-0,44	0,2471	-0,23	0,4528	-0,20	0,7579	0,03	0,9718	0,10	0,9311	0,05	0,9251
Rnf126	24,17	0,23	0,7030	0,36	0,5672	0,19	NA	0,12	0,9614	0,53	0,2984	-0,22	0,8107	-0,18	0,8481	0,03	0,9914	0,39	0,4930
Rnf128	44,78	0,16	0,7699	-0,01	0,9895	-0,23	1,0000	-0,06	0,9823	-0,37	0,3947	0,06	0,9472	0,00	0,9989	0,06	0,9761	-0,31	0,5780
Rnf13	142,30	-0,09	0,7860	0,11	0,8066	0,05	1,0000	-0,06	0,9700	-0,38	0,0850	0,45	0,1778	0,50	0,1118	0,27	0,5760	-0,29	0,2901
Rnf130	95,81	-0,29	0,3604	-0,09	0,8713	0,22	1,0000	-0,26	0,6991	-0,57	0,0288	0,20	0,7378	0,23	0,6947	0,04	0,9851	-0,30	0,4055
Rnf135	2,56	-0,30	0,6861	-0,52	0,4029	-0,02	NA	-0,23	NA	-0,58	0,3842	-0,17	NA	-0,01	NA	-0,28	NA	-0,09	0,9345
Rnf138	31,07	-0,01	0,9933	0,09	0,8952	0,22	1,0000	0,40	0,5813	-0,26	0,5579	0,03	0,9819	0,49	0,3782	0,13	0,9238	-0,31	0,5465
Rnf139	89,59	0,01	0,9867	-0,04	0,9452	0,22	1,0000	0,04	0,9853	-0,39	0,1656	0,26	0,6225	0,13	0,8430	0,08	0,9428	-0,34	0,4054
Rnf14	208,45	0,39	0,0567	-0,37	0,1865	-0,13	1,0000	0,05	0,9798	0,33	0,1343	-0,43	0,1864	-0,32	0,3858	-0,22	0,6666	0,14	0,6437
Rnf141	20,27	0,00	0,9993	-0,04	0,9716	-0,01	NA	0,17	0,9211	0,02	0,9711	0,25	0,7953	-0,01	NA	0,13	0,9397	0,08	0,9222
Rnf144b	8,25	-0,63	0,2614	-0,02	0,9844	0,06	NA	-0,12	0,9606	-0,67	0,2494	0,62	0,4402	0,56	NA	0,65	0,4311	0,92	0,1133
Rnf145	130,19	-0,37	0,2224	-0,44	0,0726	-0,36	0,5932	-0,10	0,9364	-0,08	0,7774	-0,24	0,7187	-0,15	0,8427	-0,16	0,8735	0,23	0,5722
Rnf146	117,01	-0,16	0,6403	-0,42	0,1755	0,03	1,0000	0,11	0,9410	0,04	0,9089	-0,02	0,9805	0,41	0,3160	0,06	0,9590	0,25	0,5968
Rnf149	19,82	0,29	0,5838	0,09	0,9195	0,16	NA	0,42	0,5913	0,53	0,2027	0,00	0,9982	0,18	0,8410	0,06	0,9792	0,18	0,7950
Rnf150	38,47	-0,33	0,4120	-0,30	0,5626	-0,23	1,0000	-0,39	0,5921	-0,59	0,0989	0,44	0,4432	0,06	0,9520	0,00	1,0000	0,07	0,9138
Rnf152	4,70	-0,96	0,0590	-0,14	0,8895	0,05	NA	-0,28	NA	-0,58	0,3693	0,26	0,7987	-0,18	NA	-0,01	NA	0,00	0,9999
Rnf157	20,14	0,13	0,8428	0,02	0,9845	0,09	NA	-0,46	0,5537	-0,94	0,0400	0,25	0,7814	-0,17	NA	-0,23	0,8579	-0,76	0,1528

GeneID	CTL	ET-1 vs CTL		SAHA vs CTL		JS28 vs CTL		BSP vs CTL		JQ1 vs CTL		ET-1+SAHA vs ET1		ET-1+JS28 vs ET1		ET-1+BSP vs ET1		ET-1+JQ1 vs ET1	
	mean	log2(FC)	P-adj	log2(FC)	P-adj	log2(FC)	P-adj	log2(FC)	P-adj	log2(FC)	P-adj	log2(FC)	P-adj	log2(FC)	P-adj	log2(FC)	P-adj	log2(FC)	P-adj
Rnf165	2,46	-0,17	0,8317	-0,14	0,8787	-0,12	NA	-0,30	NA	-0,32	0,6650	0,03	NA	-0,02	NA	-0,35	NA	-0,15	0,8765
Rnf166	53,48	0,56	0,0386	0,49	0,1809	0,20	1,0000	0,05	0,9853	0,50	0,1345	0,35	0,4684	0,49	0,2427	0,98	0,0007	0,54	0,1717
Rnf167	71,48	-0,23	0,5082	0,14	0,7807	0,22	1,0000	-0,12	0,9426	0,46	0,1228	0,25	0,6860	0,06	0,9400	0,35	0,5483	0,60	0,0517
Rnf168	57,61	0,13	0,7710	-0,07	0,9044	-0,02	1,0000	0,03	0,9853	0,19	0,6326	-0,35	0,5705	-0,05	0,9583	-0,04	0,9852	0,14	0,7683
Rnf169	119,43	-0,28	0,3293	0,03	0,9505	-0,21	1,0000	-0,27	0,6395	-0,16	0,6154	-0,31	0,5446	-0,24	0,6653	-0,39	0,4512	-0,05	0,9090
Rnf170	48,28	-0,22	0,5953	-0,57	0,1243	-0,03	1,0000	-0,12	0,9435	-0,31	0,4088	-0,46	0,4214	0,31	0,6024	0,30	0,6935	-0,04	0,9449
Rnf180	1,19	-0,42	NA	0,00	0,9996	-0,08	NA	-0,19	NA	-0,53	0,3534	0,17	NA	0,18	NA	-0,01	NA	0,15	NA
Rnf181	100,76	0,30	0,2724	0,23	0,5397	-0,07	1,0000	-0,11	0,9440	0,54	0,0297	0,16	0,7730	-0,49	0,2011	-0,28	0,6309	0,25	0,4093
Rnf185	90,82	-0,12	0,7676	0,16	0,7376	-0,03	1,0000	-0,21	0,8234	0,12	0,7231	0,30	0,5220	-0,17	0,7798	0,06	0,9630	0,35	0,2093
Rnf187	141,23	0,59	0,0035	0,10	0,8517	0,03	1,0000	0,47	0,1882	1,00	0,0000	-0,32	0,4050	-0,50	0,1149	0,22	0,6814	0,59	0,0055
Rnf19a	71,89	0,18	0,6336	-0,11	0,8419	0,12	1,0000	0,36	0,5253	0,34	0,2564	-0,11	0,8802	-0,07	0,9271	0,24	0,7341	0,12	0,8323
Rnf19b	44,24	0,00	0,9967	-0,22	0,7264	0,05	1,0000	0,09	0,9634	0,56	0,0925	-0,63	0,2192	-0,15	0,8504	-0,04	0,9875	0,59	0,0697
Rnf2	144,89	0,11	0,7528	-0,02	0,9751	0,04	1,0000	0,28	0,5731	0,04	0,9159	0,08	0,9041	0,04	0,9535	0,14	0,8638	0,05	0,9230
Rnf20	129,76	-0,03	0,9467	0,37	0,1498	0,32	0,7796	0,21	0,7230	0,19	0,4366	0,16	0,7801	0,15	0,7823	0,36	0,4134	0,23	0,5365
Rnf207	71,87	-0,69	0,0110	-0,76	0,0055	0,00	1,0000	-0,69	0,0241	-2,12	0,0000	0,03	0,9812	0,78	0,0526	0,49	0,4115	-1,22	0,0062
Rnf214	87,84	-0,12	0,7697	-0,15	0,7608	0,05	1,0000	-0,10	0,9472	-0,18	0,5881	-0,03	0,9742	0,05	0,9551	0,21	0,7904	0,10	0,8109
Rnf215	17,05	0,13	0,8617	-0,04	0,9731	-0,01	NA	-0,07	0,9798	0,00	0,9986	-0,35	0,6980	-0,12	NA	0,00	1,0000	-0,30	0,6340
Rnf216	121,71	-0,36	0,1056	-0,01	0,9805	-0,01	1,0000	0,17	0,8353	0,43	0,0250	-0,06	0,9325	0,22	0,6719	0,55	0,1121	0,85	0,0000
Rnf217	42,56	-0,08	0,8913	-0,33	0,5173	0,02	1,0000	-0,09	0,9634	-0,05	0,9190	-0,14	0,8678	0,01	0,9921	0,01	0,9966	-0,13	0,8078
Rnf219	22,18	0,08	0,9129	-0,29	0,6920	-0,17	NA	-0,10	0,9676	-0,34	0,5281	-0,06	0,9572	0,28	0,7016	-0,14	0,9264	-0,13	0,8348
Rnf220	49,50	0,21	0,5773	0,17	0,7396	-0,01	1,0000	-0,01	0,9955	0,75	0,0081	-0,04	0,9666	-0,21	0,7449	-0,07	0,9616	0,64	0,0495
Rnf24	21,05	0,05	0,9504	0,30	0,6248	0,17	NA	-0,43	0,6004	0,02	0,9751	0,22	0,8080	0,13	0,8968	-0,17	0,9118	-0,18	0,7784
Rnf25	28,41	-0,01	0,9895	-0,20	0,7608	0,04	NA	0,15	0,9364	0,50	0,1496	-0,38	0,5980	-0,12	0,8978	-0,21	0,8597	0,22	0,6577
Rnf26	4,51	-0,04	0,9710	0,43	0,5575	0,16	NA	-0,05	NA	-0,05	0,9570	0,05	0,9714	-0,20	NA	0,03	NA	0,03	0,9800
Rnf31	38,15	0,19	0,6791	0,59	0,1097	0,32	1,0000	0,46	0,4033	0,77	0,0074	-0,09	0,9257	-0,64	0,2039	-0,17	0,8809	0,43	0,3232
Rnf34	61,27	0,15	0,7141	-0,13	0,8112	0,15	1,0000	0,12	0,9437	0,19	0,6061	0,06	0,9398	0,22	0,6961	0,07	0,9570	0,06	0,9006
Rnf38	217,09	-0,46	0,0181	-0,59	0,0074	-0,24	1,0000	-0,07	0,9604	0,63	0,0002	-0,24	0,5965	0,41	0,2247	0,36	0,3518	1,05	0,0000
Rnf4	103,31	0,55	0,0090	0,55	0,0301	0,05	1,0000	-0,06	0,9746	0,24	0,3655	0,19	0,7176	-0,15	0,8009	-0,53	0,1598	-0,34	0,2377
Rnf40	103,88	0,04	0,9251	0,02	0,9761	0,04	1,0000	0,08	0,9634	0,39	0,1268	0,08	0,9033	-0,19	0,7255	0,20	0,7772	0,58	0,0900
Rnf41	48,63	-0,26	0,5560	0,24	0,6411	-0,07	1,0000	-0,12	0,9498	0,26	0,4780	0,34	0,5878	0,10	0,9104	0,22	0,8285	0,42	0,3006
Rnf44	128,43	0,03	0,9592	-0,21	0,6215	-0,18	1,0000	-0,32	0,5771	0,54	0,0869	-0,70	0,0574	-0,24	0,6695	-0,37	0,4989	0,67	0,0947
Rnf5	31,63	0,59	0,0901	-0,34	0,5487	-0,21	NA	-0,22	0,8713	0,02	0,9745	-0,52	0,3842	-0,54	0,3437	-0,59	0,3645	-0,53	0,2838
Rnf6	99,78	-0,04	0,9171	-0,01	0,9868	0,06	1,0000	0,33	0,5025	0,24	0,3416	0,00	0,9976	0,08	0,9039	0,30	0,5831	0,39	0,2189
Rnf7	72,86	0,28	0,3774	-0,21	0,6716	-0,04	1,0000	-0,09	0,9613	-0,13	0,7444	0,12	0,8593	-0,04	0,9629	-0,18	0,8343	-0,28	0,3894
Rnf8	24,85	-0,14	0,8022	-0,08	0,9256	0,08	NA	0,01	0,9959	-0,06	0,9065	0,06	0,9530	0,07	0,9505	0,21	0,8618	0,16	0,7810
Rnft1	82,69	0,73	0,0007	-0,55	0,0879	0,05	1,0000	0,10	0,9473	0,36	0,2309	-0,73	0,0398	-0,24	0,6411	-0,37	0,4784	-0,45	0,2553
Rnft2	3,51	0,50	0,4371	0,18	0,8363	0,06	NA	0,12	NA	0,06	0,9528	0,04	0,9789	-0,09	NA	-0,22	NA	-0,13	0,8931
Rngtt	46,35	0,20	0,6441	0,15	0,7966	-0,23	1,0000	-0,04	0,9853	-0,36	0,3209	0,23	0,7451	-0,10	0,9119	-0,27	0,7660	-0,28	0,5459
Rnh1	53,85	-0,06	0,9125	-0,63	0,0736	-0,05	1,0000	-0,35	0,6211	-0,80	0,0084	-0,26	0,7106	-0,18	0,8219	-0,44	0,5086	-0,45	0,2331
Rnls	2,82	-0,46	0,4758	-0,30	0,7075	-0,20	NA	-0,15	NA	-0,59	0,3804	-0,12	NA	0,03	NA	0,05	NA	0,03	0,9757
Rnmt	61,22	0,21	0,6241	0,38	0,2921	-0,04	1,0000	0,06	0,9769	-0,25	0,4819	0,25	0,7025	0,09	0,9120	-0,46	0,4552	-0,25	0,6151
Rnmt1	14,84	0,32	0,5826	0,17	0,8450	-0,21	NA	0,00	0,9990	-0,07	0,9250	-0,28	0,7659	-0,04	NA	-0,45	0,6395	-0,29	0,6368
Rnpc3	66,60	-0,53	0,0534	-0,14	0,7702	-0,05	1,0000	0,43	0,2733	0,23	0,4712	0,23	0,7375	0,84	0,0306	1,08	0,0007	0,69	0,0393
Rnpep	21,77	-0,64	0,1509	-0,76	0,0980	0,03	NA	-0,27	0,8291	-0,08	0,8867	-0,41	0,6583	0,17	NA	0,03	0,9918	0,38	0,5439
Rnpepl1	75,21	0,02	0,9580	-0,59	0,0532	0,11	1,0000	-0,15	0,8998	0,23	0,5002	-0,88	0,0169	-0,88	0,0133	-0,11	0,9181	0,00	0,9970

GeneID	CTL	ET-1 vs CTL		SAHA vs CTL		JS28 vs CTL		BSP vs CTL		JQ1 vs CTL		ET-1+SAHA vs ET1		ET-1+JS28 vs ET1		ET-1+BSP vs ET1		ET-1+JQ1 vs ET1	
	mean	log2(FC)	P-adj	log2(FC)	P-adj	log2(FC)	P-adj	log2(FC)	P-adj	log2(FC)	P-adj	log2(FC)	P-adj	log2(FC)	P-adj	log2(FC)	P-adj	log2(FC)	P-adj
Rnps1	56,01	0,29	0,3831	0,01	0,9913	0,04	1,0000	0,03	0,9859	0,33	0,3408	-0,13	0,8534	-0,46	0,3426	-0,21	0,8161	0,26	0,4557
Rnu11	16,92	0,04	0,9584	0,31	0,6243	0,00	NA	0,05	0,9805	0,36	0,5920	0,12	0,9253	-0,09	NA	0,35	0,7198	0,36	0,6527
Rnu12	45,74	-0,01	0,9930	0,06	0,9550	-0,03	1,0000	-0,08	0,9634	0,40	0,5702	0,05	0,9730	-0,04	0,9726	0,22	0,8833	0,48	0,5414
Rnu73b	5,62	-0,08	0,9350	-0,04	0,9768	-0,19	NA	-0,32	NA	0,11	0,8980	-0,27	0,8095	0,02	NA	0,25	0,8638	0,40	0,6399
Robo1	70,96	-0,08	0,8804	1,03	0,0000	0,11	1,0000	-0,03	0,9860	-0,71	0,0209	1,06	0,0008	0,53	0,2151	0,07	0,9608	-0,66	0,0837
Robo2	2,40	-0,18	0,8239	0,55	0,3962	0,06	NA	-0,04	NA	-0,51	0,4357	0,81	0,2637	0,09	NA	0,20	NA	-0,37	NA
Robo3	1,68	-0,21	NA	-0,10	0,9157	-0,03	NA	-0,22	NA	-0,72	0,1758	-0,12	NA	-0,09	NA	-0,19	NA	-0,37	NA
Rock1	483,64	-0,11	0,7143	-0,21	0,3931	-0,10	1,0000	0,17	0,7443	-0,04	0,8883	-0,32	0,4372	0,35	0,3903	0,44	0,1648	0,23	0,5953
Rock2	838,72	0,06	0,8512	-0,51	0,0042	-0,19	1,0000	-0,02	0,9853	0,27	0,1480	-0,60	0,0295	-0,01	0,9837	0,03	0,9790	0,30	0,3353
Rogdi	23,51	0,03	0,9706	0,53	0,2464	0,06	NA	0,22	0,8814	1,17	0,0002	0,50	0,4154	-0,14	0,8812	-0,14	0,9256	0,83	0,0274
Rom1	1,70	-0,17	NA	-0,15	0,8582	0,06	NA	-0,24	NA	0,05	0,9544	0,01	NA	0,06	NA	-0,11	NA	0,06	NA
Romo1	26,27	-0,03	0,9731	0,31	0,6389	-0,13	NA	0,00	0,9986	0,18	0,7517	0,38	0,6166	-0,33	0,6760	0,22	0,8633	0,03	0,9668
Ropn11	2,86	-0,49	0,4422	0,01	0,9916	-0,17	NA	-0,28	NA	0,15	0,8603	0,43	0,6215	-0,20	NA	-0,03	NA	0,80	0,2667
Ror1	66,87	0,35	0,2369	0,03	0,9706	0,12	1,0000	-0,22	0,8334	-0,45	0,1309	-0,32	0,5548	-0,05	0,9458	-0,35	0,5831	-0,43	0,2064
Ror2	23,86	-0,37	0,4691	0,47	0,3486	0,23	NA	-0,16	0,9364	-0,36	0,4867	0,35	0,6583	-0,27	NA	-0,17	0,9084	-0,06	0,9323
Rora	176,58	-0,34	0,3580	0,08	0,8873	0,12	1,0000	0,05	0,9853	0,21	0,5435	0,25	0,6621	0,48	0,2728	0,11	0,9179	0,28	0,4752
Rorb	12,23	-0,34	0,6251	0,17	0,8505	-0,01	NA	-0,34	0,7413	-0,74	0,1983	0,55	0,4771	0,78	NA	-0,11	0,9551	-0,45	0,5171
Rorc	36,90	-1,19	0,0003	0,00	0,9973	0,16	1,0000	-0,14	0,9430	-1,34	0,0004	0,49	0,4661	0,81	0,0948	0,01	0,9993	-0,77	0,2404
Rp2h	66,83	-0,19	0,6008	0,40	0,1884	0,19	1,0000	0,15	0,9004	-0,11	0,8033	0,70	0,0606	0,58	0,1578	0,10	0,9372	-0,12	0,8410
Rp9	37,46	-0,20	0,6748	-0,56	0,2397	-0,29	1,0000	-0,08	0,9712	-0,53	0,1462	-0,60	0,3162	-0,07	0,9400	0,07	0,9647	-0,04	0,9506
Rpa1	108,69	-0,10	0,7792	0,17	0,6435	-0,05	1,0000	0,17	0,8369	-0,14	0,6479	0,23	0,6802	-0,04	0,9624	0,15	0,8532	0,08	0,8301
Rpa2	15,10	-0,22	0,7196	-0,23	0,7698	-0,08	NA	-0,30	0,8030	-0,74	0,1322	0,01	0,9933	0,11	NA	0,23	0,8660	-0,40	0,5328
Rpa3	6,96	0,02	0,9822	0,09	0,9366	0,06	NA	0,06	0,9834	-0,21	0,7826	0,18	0,8856	0,12	NA	-0,01	0,9989	-0,43	0,5990
Rpain	26,28	-0,80	0,0480	-0,01	0,9948	0,02	1,0000	-0,04	0,9853	-0,47	0,2368	0,76	0,2201	0,54	NA	0,17	0,9168	-0,02	0,9868
Rpap1	57,39	0,09	0,8500	0,08	0,8956	-0,01	1,0000	0,06	0,9787	0,53	0,0588	-0,32	0,5793	-0,36	0,4993	-0,13	0,9074	0,39	0,2730
Rpap2	32,42	-0,30	0,4902	-0,13	0,8417	0,09	1,0000	0,28	0,7586	-0,01	0,9778	0,15	0,8684	0,11	0,9089	0,31	0,7274	0,11	0,8579
Rpap3	33,02	-0,25	0,5714	-0,13	0,8458	-0,12	1,0000	-0,14	0,9430	0,00	0,9973	-0,13	0,8962	0,05	0,9644	-0,07	0,9706	0,16	0,7819
Rpe	45,95	0,15	0,7340	-0,14	0,8262	-0,10	1,0000	0,12	0,9472	-0,50	0,1583	-0,10	0,9069	0,14	0,8536	0,02	0,9918	-0,21	0,6761
Rpf1	53,81	0,02	0,9725	-0,43	0,2884	-0,12	1,0000	-0,06	0,9779	0,18	0,6691	0,07	0,9371	0,13	0,8736	0,02	0,9918	0,12	0,7989
Rpf2	34,03	0,40	0,3094	-0,40	0,4422	-0,21	NA	-0,28	0,8044	-0,78	0,0391	-0,17	0,8417	-0,16	0,8434	-0,48	0,4868	-0,66	0,1101
Rpgr	14,97	-0,58	0,2150	0,08	0,9356	-0,08	NA	-0,15	0,9437	-0,93	0,0530	0,64	0,3570	0,36	NA	-0,20	0,9023	-0,55	0,3901
Rpgrip1	1,03	0,17	NA	-0,06	NA	-0,02	NA	0,02	NA	0,10	NA	-0,03	NA	-0,07	NA	-0,12	NA	-0,21	NA
Rpgrip11	50,53	-0,36	0,2679	0,46	0,1781	-0,19	1,0000	0,07	0,9713	-0,53	0,1113	0,69	0,0877	0,28	0,6365	0,20	0,8369	-0,01	0,9951
Rph3al	9,17	-0,38	0,5809	0,39	0,5670	0,55	NA	-0,07	0,9829	-0,42	0,5090	0,11	0,9368	-0,14	NA	-0,38	0,7393	-0,63	0,3945
Rpia	5,17	0,22	0,7834	0,25	0,7735	0,02	NA	0,02	NA	-0,26	0,7433	-0,18	0,8840	-0,03	NA	-0,08	0,9734	-0,19	0,8363
Rpl10	430,06	0,29	0,1123	-0,13	0,6136	-0,39	0,1527	0,04	0,9742	0,40	0,0337	0,13	0,7981	-0,39	0,2631	-0,19	0,7215	0,27	0,3232
Rpl10a	109,38	0,38	0,2422	-0,11	0,8628	-0,18	1,0000	0,14	0,9266	0,39	0,2089	-0,15	0,7989	-0,55	0,1332	0,09	0,9238	-0,05	0,9001
Rpl11	83,63	0,47	0,2196	0,08	0,9083	-0,27	1,0000	0,06	0,9853	0,46	0,3095	-0,16	0,8168	-0,56	0,1938	0,21	0,7939	0,20	0,7472
Rpl12	179,46	0,70	0,0000	-0,07	0,8858	-0,33	0,8445	0,34	0,4118	0,57	0,0201	-0,12	0,8094	-0,57	0,0490	0,17	0,7738	0,02	0,9512
Rpl13	287,50	0,40	0,0945	0,05	0,9393	-0,17	1,0000	0,05	0,9805	0,49	0,0378	-0,09	0,8547	-0,64	0,0201	-0,01	0,9931	0,21	0,5227
Rpl13a	182,57	0,14	0,6183	-0,01	0,9865	-0,16	1,0000	-0,05	0,9764	0,26	0,2013	0,02	0,9742	-0,30	0,4684	-0,04	0,9712	0,24	0,3386
Rpl14	254,32	0,22	0,5138	-0,09	0,8757	-0,17	1,0000	0,11	0,9411	0,06	0,8692	0,07	0,9129	-0,15	0,7548	0,23	0,6494	-0,15	0,6225
Rpl14-ps1	14,49	0,13	0,8738	-0,59	0,3591	-0,14	NA	-0,11	0,9628	-0,07	0,9328	-0,12	0,9226	-0,58	NA	-0,06	0,9792	-0,25	0,7225
Rpl15	168,70	0,54	0,0096	0,46	0,0639	-0,15	1,0000	0,34	0,4422	0,28	0,3097	0,21	0,6583	-0,47	0,1641	-0,09	0,9192	-0,27	0,3619
Rpl17	241,68	0,21	0,4364	0,29	0,3400	-0,20	1,0000	0,06	0,9700	0,48	0,0378	0,55	0,0606	0,11	0,8414	0,28	0,4929	0,63	0,0442

GeneID	CTL	ET-1 vs CTL		SAHA vs CTL		JS28 vs CTL		BSP vs CTL		JQ1 vs CTL		ET-1+SAHA vs ET1		ET-1+JS28 vs ET1		ET-1+BSP vs ET1		ET-1+JQ1 vs ET1	
	mean	log2(FC)	P-adj	log2(FC)	P-adj	log2(FC)	P-adj	log2(FC)	P-adj	log2(FC)	P-adj	log2(FC)	P-adj	log2(FC)	P-adj	log2(FC)	P-adj	log2(FC)	P-adj
Rpl18	107,55	0,40	0,1735	-0,15	0,7851	-0,34	0,9896	-0,01	0,9925	0,52	0,0736	-0,24	0,6267	-0,66	0,0484	-0,25	0,6935	0,15	0,6298
Rpl18a	293,14	0,18	0,6499	-0,06	0,9257	-0,10	1,0000	-0,03	0,9853	0,26	0,3601	0,20	0,6991	-0,30	0,5085	0,04	0,9784	0,23	0,5302
Rpl19	380,63	0,33	0,3000	0,27	0,5224	-0,18	1,0000	-0,05	0,9853	0,12	0,7258	0,32	0,3914	-0,40	0,3074	-0,15	0,8252	-0,10	0,7687
Rpl21	237,14	0,57	0,0061	0,05	0,9292	-0,14	1,0000	0,11	0,9371	-0,13	0,6707	-0,24	0,5629	-0,34	0,3384	-0,24	0,6122	-0,39	0,0947
Rpl22	143,06	-0,11	0,7896	0,20	0,6568	-0,24	1,0000	-0,14	0,9213	-0,32	0,2801	0,49	0,1440	0,06	0,9243	-0,19	0,7817	-0,18	0,6176
Rpl2211	48,63	0,56	0,1568	-0,09	0,9221	0,07	1,0000	0,62	0,1933	0,37	0,3852	-0,27	0,7029	-0,10	0,9095	0,20	0,8405	-0,04	0,9537
Rpl23	265,56	0,50	0,0104	0,15	0,7047	-0,22	1,0000	0,17	0,8257	0,36	0,3098	-0,01	0,9883	-0,59	0,0377	-0,11	0,8784	-0,08	0,8301
Rpl23a	287,55	0,45	0,0258	0,29	0,3256	-0,21	1,0000	0,02	0,9860	-0,04	0,9135	0,20	0,6283	-0,21	0,6119	0,01	0,9931	-0,28	0,3036
Rpl24	197,15	0,48	0,0535	0,10	0,8537	-0,08	1,0000	0,04	0,9853	0,46	0,1300	-0,03	0,9601	-0,43	0,1738	-0,06	0,9494	0,36	0,4015
Rpl27	66,50	0,58	0,0667	0,24	0,6606	-0,07	1,0000	0,01	0,9972	0,16	0,7119	-0,01	0,9955	-0,95	0,0120	-0,34	0,6064	-0,24	0,5479
Rpl27a	171,46	0,39	0,2572	-0,06	0,9337	-0,29	1,0000	-0,14	0,9308	0,17	0,6373	-0,04	0,9501	-0,58	0,0950	-0,37	0,4355	0,10	0,8507
Rpl28	134,77	0,27	0,4272	0,07	0,9091	-0,19	1,0000	0,00	0,9976	0,45	0,1721	-0,08	0,9042	-0,50	0,1648	-0,21	0,7508	0,56	0,1438
Rpl29	6,26	0,34	0,6239	0,23	0,7941	-0,09	NA	-0,02	NA	0,91	0,0863	-0,32	0,7607	-0,55	NA	0,10	0,9602	0,25	0,7587
Rpl3	282,09	0,49	0,0036	0,64	0,0011	0,01	1,0000	0,43	0,0935	0,16	0,4675	0,17	0,7106	-0,36	0,2667	0,12	0,8582	-0,11	0,7051
Rpl31	116,09	0,84	0,0000	0,32	0,3981	0,01	1,0000	0,29	0,6592	0,54	0,0450	-0,05	0,9398	-0,61	0,0572	-0,08	0,9346	-0,15	0,6568
Rpl32	327,25	0,36	0,1801	0,28	0,3792	-0,23	1,0000	0,12	0,9250	0,50	0,0194	0,20	0,6960	-0,45	0,2008	0,07	0,9425	0,23	0,4676
Rpl35	89,18	0,46	0,0583	-0,12	0,8182	-0,20	1,0000	-0,21	0,8264	-0,03	0,9391	0,08	0,9049	-0,45	0,2927	-0,29	0,6427	-0,38	0,2888
Rpl35a	70,92	0,19	0,6829	0,23	0,6851	-0,13	1,0000	0,10	0,9628	-0,23	0,5780	0,31	0,5151	-0,15	0,8232	0,09	0,9347	-0,25	0,5221
Rpl36	129,35	0,55	0,0410	0,16	0,7485	-0,12	1,0000	0,07	0,9718	0,26	0,4657	-0,08	0,9044	-0,54	0,1653	-0,02	0,9911	-0,13	0,7729
Rpl36a	117,49	0,50	0,1245	0,21	0,7282	-0,22	1,0000	0,01	0,9939	0,13	0,7574	-0,03	0,9666	-0,43	0,2849	0,08	0,9386	-0,16	0,6377
Rpl36al	79,62	0,53	0,1063	-0,11	0,8548	-0,48	0,5413	-0,22	0,8507	-0,22	0,5683	-0,20	0,7579	-0,71	0,0922	-0,65	0,1467	-0,32	0,4018
Rpl37	117,61	0,40	0,2093	0,29	0,5425	-0,05	1,0000	0,07	0,9742	0,06	0,8999	0,30	0,4615	-0,41	0,3155	-0,09	0,9259	-0,22	0,5153
Rpl37a	133,35	0,16	0,6574	0,07	0,8895	-0,15	1,0000	0,14	0,9084	0,03	0,9396	0,48	0,1635	-0,12	0,8390	0,27	0,6240	-0,01	0,9803
Rpl38	235,21	0,51	0,0054	0,09	0,8449	-0,34	0,8398	-0,06	0,9696	0,12	0,7444	0,36	0,2398	-0,48	0,1070	-0,24	0,5884	-0,23	0,3523
Rpl39	148,32	0,42	0,1264	-0,26	0,5603	-0,43	0,6015	-0,07	0,9746	0,25	0,4791	-0,45	0,2135	-0,83	0,0042	-0,27	0,6098	0,05	0,9261
Rpl3l	1,23	0,00	NA	-0,28	NA	-0,04	NA	-0,14	NA	-0,39	NA	-0,26	NA	-0,07	NA	-0,15	NA	-0,22	NA
Rpl4	965,32	0,51	0,0257	0,11	0,7983	-0,35	0,7218	-0,17	0,8381	0,07	0,8180	-0,12	0,8316	-0,52	0,0848	-0,39	0,2770	-0,19	0,5517
Rpl41	217,08	0,24	0,5489	0,25	0,3971	-0,01	1,0000	0,47	0,0855	0,58	0,0398	0,47	0,3194	0,08	0,9223	0,57	0,1969	0,49	0,1727
Rpl5	256,67	0,28	0,4387	0,11	0,8483	-0,30	1,0000	-0,03	0,9853	0,20	0,5819	0,18	0,7106	-0,43	0,2032	0,15	0,8256	0,09	0,8012
Rpl6	266,23	0,34	0,1217	0,10	0,8217	-0,27	1,0000	-0,11	0,9269	0,22	0,4339	-0,02	0,9752	-0,60	0,0206	0,06	0,9402	-0,07	0,8063
Rpl7	424,72	0,21	0,5682	0,04	0,9550	0,00	1,0000	0,19	0,8623	0,02	0,9716	0,13	0,7691	-0,25	0,4652	0,29	0,3872	-0,06	0,8409
Rpl7a	213,67	0,22	0,3972	0,45	0,0525	0,14	1,0000	0,69	0,0013	0,81	0,0000	0,39	0,2388	-0,08	0,8994	0,76	0,0009	0,74	0,0001
Rpl711	64,74	0,53	0,0347	0,12	0,8201	0,24	1,0000	0,44	0,3359	0,25	0,4281	0,14	0,8355	-0,24	0,6801	-0,11	0,9199	-0,16	0,6818
Rpl8	231,80	0,48	0,0244	0,17	0,6669	-0,09	1,0000	0,13	0,9088	0,58	0,0105	0,14	0,7694	-0,49	0,1087	0,01	0,9967	0,20	0,4452
Rpl9	151,85	0,76	0,0014	0,28	0,4558	-0,13	1,0000	0,35	0,5124	0,49	0,0911	-0,01	0,9918	-0,50	0,1862	-0,06	0,9595	-0,31	0,3745
Rplp0	289,41	0,39	0,0873	-0,29	0,3966	-0,28	1,0000	0,10	0,9399	0,50	0,0185	-0,21	0,6365	-0,61	0,0227	0,10	0,8946	0,28	0,3398
Rplp1	226,00	0,42	0,0930	-0,41	0,1998	-0,25	1,0000	-0,22	0,7737	0,22	0,5703	-0,29	0,5533	-0,72	0,0133	-0,32	0,4614	-0,19	0,5074
Rplp2	126,05	0,38	0,2528	0,13	0,8119	-0,37	0,9212	-0,16	0,9058	0,44	0,1521	0,14	0,8292	-0,77	0,0250	-0,11	0,9119	0,03	0,9562
Rpn1	104,72	0,25	0,4489	0,11	0,8391	-0,12	1,0000	0,13	0,9272	0,25	0,4322	-0,10	0,8686	-0,47	0,2321	-0,18	0,8122	0,08	0,8371
Rpn2	163,13	0,27	0,2549	-0,30	0,3537	-0,17	1,0000	-0,21	0,7668	0,13	0,6748	-0,49	0,1372	-0,46	0,1590	-0,44	0,1997	-0,06	0,8699
Rpp14	28,89	0,20	0,6988	0,02	0,9845	0,07	NA	0,24	0,8369	-0,28	0,5373	0,42	0,4945	0,20	0,8128	0,15	0,9075	-0,25	0,6333
Rpp21	11,51	-0,12	0,8829	-0,96	0,0637	-0,38	NA	-0,48	0,5254	-0,71	0,2088	-0,25	0,8179	-0,53	NA	-0,25	0,8609	-0,12	0,8784
Rpp25	1,36	0,10	NA	0,24	0,7417	0,00	NA	-0,14	NA	-0,21	NA	0,13	NA	-0,20	NA	-0,16	NA	-0,54	NA
Rpp25l	8,65	0,32	0,6479	-0,52	0,4427	-0,13	NA	-0,02	0,9901	-0,32	0,6517	-0,60	0,4609	-0,45	NA	-0,44	0,6812	-0,53	0,4388
Rpp30	15,27	0,39	0,4780	0,47	0,4477	0,20	NA	0,36	0,7167	0,18	0,7756	0,33	0,7014	0,04	NA	0,12	0,9471	-0,58	0,3076

GeneID	CTL	ET-1 vs CTL		SAHA vs CTL		JS28 vs CTL		BSP vs CTL		JQ1 vs CTL		ET-1+SAHA vs ET1		ET-1+JS28 vs ET1		ET-1+BSP vs ET1		ET-1+JQ1 vs ET1	
	mean	log2(FC)	P-adj	log2(FC)	P-adj	log2(FC)	P-adj	log2(FC)	P-adj	log2(FC)	P-adj	log2(FC)	P-adj	log2(FC)	P-adj	log2(FC)	P-adj	log2(FC)	P-adj
Rpp38	6,00	-0,14	0,8726	-0,13	0,8978	-0,14	NA	0,01	NA	-0,48	0,4763	0,05	0,9713	-0,04	NA	-0,03	NA	-0,46	0,5664
Rpp40	12,15	0,12	0,8772	1,02	0,0143	-0,16	NA	-0,09	0,9742	-0,11	0,8831	0,67	0,3088	-0,03	NA	-0,42	0,6935	-0,50	0,4894
Rpph1	1106,42	-0,23	0,7636	0,08	0,9363	0,02	1,0000	0,09	0,9746	0,26	0,6685	0,30	0,7842	-0,01	0,9963	0,43	0,6935	0,50	0,5261
Rprd1a	67,53	0,04	0,9378	0,13	0,7891	0,28	1,0000	0,27	0,6940	0,42	0,1166	0,28	0,6149	0,43	0,3360	0,29	0,6427	0,41	0,3251
Rprd1b	74,69	0,21	0,5596	-0,13	0,8139	-0,06	1,0000	-0,26	0,7518	-0,28	0,3982	-0,15	0,8201	-0,30	0,5727	-0,55	0,2151	-0,37	0,2308
Rprd2	204,52	-0,11	0,6750	-0,50	0,0117	0,00	1,0000	-0,04	0,9829	0,18	0,5069	-0,81	0,0029	-0,07	0,9114	-0,08	0,9334	0,25	0,3606
Rprl1	1,15	-0,28	NA	-0,21	0,7511	0,00	NA	-0,02	NA	-0,12	0,8723	0,04	NA	-0,04	NA	0,07	NA	0,18	NA
Rprl2	6,42	-0,21	0,7984	0,04	0,9761	0,05	NA	0,05	0,9853	0,42	0,5584	0,81	0,2661	0,39	NA	0,58	0,5141	0,54	0,4876
Rprl3	47,02	-0,24	0,7699	0,09	0,9274	-0,10	1,0000	0,12	0,9618	0,21	0,7167	0,26	0,8179	0,09	0,9400	0,42	0,6576	0,43	0,6031
Rprm	1,89	0,14	NA	-0,39	0,4223	0,00	NA	-0,20	NA	-0,24	0,7364	-0,53	NA	-0,24	NA	-0,20	NA	-0,66	NA
Rps10	168,37	0,35	0,1529	0,46	0,0816	-0,15	1,0000	0,21	0,7688	0,52	0,0143	0,56	0,0559	-0,34	0,3863	0,08	0,9331	0,36	0,2262
Rps11	169,76	0,49	0,0305	-0,27	0,4853	-0,32	0,9896	-0,16	0,8797	0,02	0,9553	-0,41	0,2215	-0,68	0,0133	-0,21	0,7067	-0,31	0,2153
Rps12	162,45	0,58	0,0242	0,01	0,9910	-0,24	1,0000	0,00	0,9988	0,40	0,1166	0,10	0,8779	-0,44	0,2843	-0,27	0,6579	-0,10	0,8012
Rps13	107,26	0,51	0,0116	0,17	0,6906	-0,19	1,0000	0,22	0,7521	0,44	0,0652	0,19	0,7406	-0,66	0,0499	-0,41	0,3338	-0,05	0,8904
Rps14	126,79	-0,02	0,9793	0,21	0,7494	-0,12	1,0000	-0,01	0,9954	-0,21	0,6709	0,42	0,2897	-0,56	0,1455	0,20	0,7903	-0,18	0,6156
Rps15	313,86	0,42	0,1384	0,17	0,7320	-0,19	1,0000	-0,15	0,9121	0,38	0,1596	0,23	0,5858	-0,35	0,3552	-0,36	0,3224	0,16	0,5863
Rps15a	155,22	0,27	0,2970	0,28	0,4001	-0,22	1,0000	0,13	0,9102	0,25	0,4115	0,20	0,6526	-0,43	0,2427	0,00	0,9993	0,15	0,5858
Rps15a-ps4	3,49	0,33	0,6508	0,06	0,9585	-0,01	NA	0,08	NA	-0,03	0,9760	-0,31	0,7672	-0,32	NA	-0,34	NA	-0,40	0,6325
Rps15a-ps6	16,24	0,35	0,5414	0,13	0,8782	-0,42	NA	-0,02	0,9901	0,22	0,7079	-0,07	0,9500	-0,42	NA	-0,28	0,8290	0,04	0,9629
Rps16	116,69	0,35	0,2811	0,32	0,3524	-0,19	1,0000	0,07	0,9717	0,34	0,3901	0,46	0,2844	-0,49	0,2752	0,10	0,9292	0,04	0,9426
Rps17	183,67	0,43	0,1333	0,19	0,7113	-0,18	1,0000	0,09	0,9606	0,18	0,6255	0,20	0,6604	-0,44	0,2086	-0,04	0,9708	-0,19	0,5398
Rps18	111,46	0,40	0,1418	0,22	0,5884	-0,08	1,0000	0,16	0,8799	0,10	0,7609	0,47	0,1936	-0,21	0,7026	-0,10	0,9143	-0,05	0,9156
Rps19	113,18	0,15	0,7591	-0,20	0,7316	-0,33	1,0000	-0,19	0,8881	0,45	0,2188	-0,15	0,8021	-0,62	0,0919	-0,02	0,9918	0,49	0,2614
Rps19bp1	10,09	0,01	0,9927	0,06	0,9560	-0,08	NA	-0,05	0,9853	0,13	0,8538	0,08	0,9478	-0,05	NA	0,06	0,9792	0,19	0,8041
Rps19-ps3	4,12	-0,22	0,7831	0,12	0,9044	-0,03	NA	-0,07	NA	0,03	0,9760	0,18	0,8790	-0,34	NA	-0,19	NA	-0,29	0,7458
Rps2	216,94	0,39	0,0816	-0,17	0,6327	-0,43	0,3547	0,24	0,6702	0,83	0,0000	0,11	0,8451	-0,57	0,0634	0,22	0,7033	0,59	0,0188
Rps20	296,09	0,34	0,1112	0,10	0,8112	0,04	1,0000	0,34	0,3960	0,43	0,0674	0,04	0,9456	-0,26	0,5014	0,21	0,6540	0,31	0,1484
Rps21	82,54	0,21	0,6895	-0,03	0,9785	-0,27	1,0000	0,02	0,9901	0,18	0,7052	0,18	0,7856	-0,52	0,2719	-0,02	0,9918	-0,27	0,5054
Rps23	131,53	0,25	0,5288	-0,02	0,9833	-0,26	1,0000	-0,01	0,9972	-0,04	0,9316	0,05	0,9431	-0,57	0,0948	-0,09	0,9300	-0,18	0,5804
Rps24	398,08	0,24	0,4020	0,29	0,3727	-0,06	1,0000	0,28	0,5973	0,21	0,4116	0,33	0,3591	0,04	0,9458	0,24	0,5919	0,22	0,4235
Rps25	230,85	0,42	0,0210	-0,05	0,9166	-0,26	1,0000	-0,04	0,9817	0,27	0,1919	0,15	0,7642	-0,09	0,8719	-0,01	0,9938	-0,11	0,7083
Rps26	212,21	0,26	0,3125	0,30	0,1972	0,07	1,0000	0,22	0,6521	0,63	0,0049	0,67	0,0217	0,13	0,8305	0,02	0,9911	0,47	0,1114
Rps27a	314,46	0,28	0,3627	0,31	0,3583	-0,21	1,0000	0,18	0,8500	-0,01	0,9904	0,29	0,4684	-0,19	0,6949	0,17	0,7999	-0,12	0,7091
Rps27l	105,32	0,26	0,4392	-0,26	0,4357	-0,20	1,0000	-0,31	0,5926	-0,30	0,3832	0,24	0,6834	-0,23	0,6967	-0,40	0,4674	-0,36	0,3577
Rps28	48,08	0,01	0,9872	0,05	0,9549	-0,34	1,0000	-0,08	0,9742	-0,09	0,8815	0,16	0,8312	-0,77	0,0912	0,07	0,9616	-0,11	0,8449
Rps29	76,16	0,25	0,7320	-0,15	0,8737	-0,13	1,0000	-0,15	0,9416	-0,08	0,9138	-0,40	0,4357	-0,47	0,3199	0,03	0,9911	-0,17	0,7707
Rps3	238,95	0,34	0,1785	-0,15	0,6874	-0,20	1,0000	-0,20	0,7551	0,21	0,5786	0,07	0,9200	-0,58	0,0811	-0,32	0,4963	-0,03	0,9401
Rps3a1	98,88	0,45	0,1614	-0,11	0,8715	-0,25	1,0000	-0,15	0,9269	0,12	0,8033	-0,08	0,9156	-0,48	0,2143	-0,18	0,8163	-0,44	0,1971
Rps4l	11,83	0,58	0,2605	-0,06	0,9549	-0,09	NA	-0,35	0,7230	0,11	0,8817	-0,59	0,4290	-0,74	NA	-0,48	0,6052	-0,74	0,2139
Rps4x	304,88	0,40	0,0534	0,06	0,8921	-0,08	1,0000	0,23	0,6295	0,02	0,9531	0,05	0,9363	-0,36	0,3398	0,15	0,8311	-0,27	0,4191
Rps5	194,20	0,34	0,1770	-0,06	0,9016	-0,17	1,0000	0,10	0,9424	0,24	0,4617	0,21	0,6266	-0,42	0,2258	0,13	0,8513	-0,03	0,9307
Rps6	222,03	0,26	0,2867	0,02	0,9799	-0,15	1,0000	0,17	0,8451	0,20	0,5411	0,10	0,8417	-0,53	0,0790	-0,06	0,9428	0,02	0,9643
Rps6ka1	17,09	-0,33	0,5363	1,02	0,0042	0,03	NA	0,15	0,9430	0,12	0,8469	0,96	0,0639	0,16	NA	0,39	0,6935	0,31	0,5994
Rps6ka2	77,34	-0,15	0,7844	0,62	0,0255	0,30	1,0000	0,26	0,7167	-0,24	0,5608	0,21	0,7873	-0,28	0,6965	0,13	0,9217	-0,57	0,1963
Rps6ka3	248,56	0,15	0,5343	-0,23	0,3825	-0,11	1,0000	0,08	0,9448	-0,07	0,7774	-0,21	0,6108	-0,14	0,7685	-0,08	0,9289	-0,19	0,6107

GeneID	CTL	ET-1 vs CTL		SAHA vs CTL		JS28 vs CTL		BSP vs CTL		JQ1 vs CTL		ET-1+SAHA vs ET1		ET-1+JS28 vs ET1		ET-1+BSP vs ET1		ET-1+JQ1 vs ET1	
	mean	log2(FC)	P-adj	log2(FC)	P-adj	log2(FC)	P-adj	log2(FC)	P-adj	log2(FC)	P-adj	log2(FC)	P-adj	log2(FC)	P-adj	log2(FC)	P-adj	log2(FC)	P-adj
Rps6ka4	21,20	0,31	0,5382	-0,61	0,2601	0,01	NA	-0,20	0,9021	-0,20	0,7261	-0,63	0,3285	-0,68	NA	-0,46	0,5906	-0,75	0,0998
Rps6ka5	45,58	-0,76	0,0123	0,24	0,6546	-0,02	1,0000	0,50	0,2972	0,35	0,2750	1,00	0,0093	0,74	0,0845	0,84	0,0470	0,86	0,0185
Rps6ka6	65,39	-0,35	0,3407	0,07	0,9075	-0,12	1,0000	0,39	0,3866	-0,29	0,3325	0,87	0,0255	0,33	0,5863	0,40	0,5544	-0,06	0,9277
Rps6kb1	178,94	-0,08	0,8204	-0,17	0,6577	-0,07	1,0000	-0,07	0,9634	0,09	0,7517	0,07	0,9171	0,35	0,3437	0,20	0,7265	0,04	0,9292
Rps6kb2	24,84	0,03	0,9691	0,16	0,8119	-0,16	NA	-0,17	0,9178	0,22	0,6604	-0,19	0,8354	-0,12	0,9050	0,03	0,9922	0,18	0,7391
Rps6kc1	34,25	-0,01	0,9859	0,09	0,9035	-0,18	1,0000	-0,07	0,9746	0,03	0,9543	-0,29	0,7044	-0,21	0,7897	0,14	0,9170	0,08	0,8950
Rps7	190,09	0,41	0,1147	0,19	0,6756	-0,12	1,0000	0,06	0,9769	0,42	0,2096	0,49	0,1119	-0,04	0,9605	-0,05	0,9608	0,01	0,9846
Rps8	276,20	0,44	0,1063	-0,17	0,7174	-0,33	0,9702	0,07	0,9685	0,14	0,6868	-0,32	0,4661	-0,50	0,1597	0,15	0,8335	-0,12	0,7441
Rps9	260,83	-0,05	0,9029	-0,29	0,4535	-0,16	1,0000	0,01	0,9910	0,26	0,4040	-0,05	0,9351	-0,39	0,2931	0,04	0,9730	0,23	0,5447
Rpsa	273,54	0,62	0,0095	-0,19	0,7070	-0,42	0,6517	-0,16	0,8903	0,00	0,9999	-0,23	0,5769	-0,85	0,0005	-0,50	0,0947	-0,48	0,0374
Rptor	209,60	-0,08	0,8230	0,16	0,6189	0,07	1,0000	0,05	0,9764	0,05	0,8419	0,18	0,7375	-0,10	0,8853	0,06	0,9558	0,00	0,9988
Rpusd1	12,74	-0,10	0,9020	-0,53	0,3922	0,00	NA	-0,43	0,6195	-0,23	0,7123	-0,38	0,6923	-0,23	NA	-0,17	0,9178	-0,06	0,9423
Rpusd2	18,51	0,05	0,9463	0,14	0,8697	0,06	NA	-0,02	0,9901	-0,15	0,8102	0,19	0,8452	0,22	NA	-0,29	0,8100	0,39	0,5147
Rpusd3	4,27	-0,15	0,8634	0,04	0,9730	0,03	NA	-0,26	NA	-0,01	0,9900	0,22	0,8464	0,01	NA	0,15	NA	-0,06	0,9562
Rpusd4	12,37	0,10	0,8903	-0,09	0,9261	0,18	NA	-0,18	0,9266	-0,17	0,8016	-0,46	0,6047	-0,13	NA	-0,28	0,8369	-0,69	0,2414
Rqcd1	37,90	0,23	0,6036	-0,30	0,5753	-0,11	1,0000	0,16	0,9213	-0,10	0,8512	-0,47	0,4191	-0,05	0,9574	-0,13	0,9192	-0,03	0,9652
Rrad	304,44	0,19	0,5617	-0,58	0,0159	-0,09	1,0000	-0,10	0,9430	-0,40	0,1842	0,02	0,9789	0,46	0,1893	0,86	0,0004	0,06	0,9281
Rraga	122,59	0,19	0,4794	-0,13	0,7618	0,03	1,0000	0,18	0,8369	0,12	0,7722	0,00	0,9957	-0,50	0,1526	-0,20	0,7790	0,12	0,7846
Rragb	17,89	-0,03	0,9742	-0,29	0,6668	-0,08	NA	-0,17	0,9264	-0,39	0,4587	-0,10	0,9320	-0,07	NA	-0,41	0,6885	-0,54	0,3370
Rragc	113,78	-0,14	0,7063	-0,50	0,0699	-0,01	1,0000	-0,01	0,9901	-0,05	0,9011	-0,01	0,9882	0,22	0,6959	0,06	0,9606	-0,02	0,9785
Rragd	446,42	-0,69	0,0000	-0,39	0,0285	-0,16	1,0000	0,09	0,9211	0,27	0,0621	0,27	0,4369	0,28	0,4198	0,32	0,3596	0,63	0,0006
Rras	52,17	0,43	0,3033	0,37	0,3619	-0,12	1,0000	-0,41	0,5135	-0,04	0,9370	0,27	0,7155	-0,27	0,7068	-0,16	0,9023	-0,33	0,5406
Rras2	179,83	0,25	0,3364	-0,14	0,7429	-0,10	1,0000	0,08	0,9617	0,26	0,3333	-0,13	0,8118	-0,33	0,3861	-0,17	0,7939	0,06	0,9114
Rrbp1	219,32	-0,01	0,9793	0,49	0,0168	0,06	1,0000	0,17	0,7814	-0,04	0,9091	-0,18	0,7433	-0,06	0,9236	-0,05	0,9686	-0,24	0,3928
Rreb1	204,83	-0,40	0,0982	0,10	0,8228	0,16	1,0000	-0,27	0,6247	-0,06	0,8928	-0,13	0,8292	0,36	0,3502	0,02	0,9911	0,10	0,8515
Rrm1	53,45	-0,18	0,6742	-0,06	0,9298	0,02	1,0000	-0,19	0,8643	-1,05	0,0003	0,10	0,9125	0,38	0,5008	-0,07	0,9680	-1,10	0,0049
Rrm2	6,68	-0,71	0,2147	-0,52	0,4371	-0,03	NA	-0,03	0,9860	-0,22	0,7685	0,32	0,7644	0,15	NA	0,01	NA	0,02	0,9916
Rrm2b	111,23	0,00	0,9935	-0,40	0,2040	-0,07	1,0000	0,16	0,8797	0,08	0,8073	-0,24	0,6809	0,19	0,7386	-0,05	0,9753	-0,11	0,8427
Rrn3	187,91	0,50	0,0159	0,00	0,9953	-0,14	1,0000	0,05	0,9769	0,09	0,8350	-0,24	0,5725	-0,30	0,4363	-0,49	0,1143	-0,16	0,7012
Rrnad1	14,46	-0,03	0,9725	-0,26	0,7485	-0,32	NA	-0,06	0,9853	-0,11	0,8725	0,19	0,8593	-0,11	NA	-0,27	0,8446	-0,42	0,5300
Rrp1	202,04	0,14	0,6556	0,36	0,1572	0,18	1,0000	0,10	0,9371	0,00	0,9920	0,19	0,7183	-0,03	0,9694	0,02	0,9911	-0,09	0,7798
Rrp12	56,36	1,52	0,0000	0,49	0,2690	-0,05	NA	0,05	0,9853	0,34	0,4265	-0,84	0,0133	-1,35	0,0000	-1,46	0,0000	-0,84	0,0033
Rrp15	8,39	0,61	0,2715	-0,18	0,8519	-0,03	NA	0,30	0,8039	0,00	0,9973	-0,53	0,5419	-0,05	NA	-0,27	0,8492	-0,79	0,2112
Rrp1b	26,14	0,55	0,1361	0,30	0,6189	0,18	NA	0,23	0,8670	0,36	0,4000	0,17	0,8423	-0,32	0,6406	-0,19	0,8787	-0,41	0,3760
Rrp36	24,22	0,22	0,6726	-0,41	0,4584	-0,17	NA	-0,31	0,7652	0,20	0,6687	-0,28	0,7383	-0,32	0,6657	-0,28	0,7971	0,00	0,9981
Rrp7a	33,82	0,18	0,7371	0,08	0,9119	-0,09	NA	-0,11	0,9573	0,26	0,5318	-0,53	0,3869	-0,51	0,3821	-0,42	0,5910	0,09	0,8754
Rrp8	20,96	0,45	0,3213	-0,14	0,8622	0,15	NA	-0,10	0,9658	-0,76	0,1106	-0,09	0,9350	-0,34	0,6365	-0,33	0,7442	-0,95	0,0332
Rrp9	8,47	0,76	0,1284	0,23	0,7927	0,10	NA	0,07	NA	0,51	0,4235	-0,53	0,5121	-0,42	NA	-0,43	0,6847	-0,78	0,1956
Rrs1	17,99	0,65	0,1477	0,27	0,7106	-0,03	NA	-0,32	0,7688	-0,86	0,0934	-0,17	0,8588	-0,53	NA	-0,72	0,2867	-1,06	0,0642
Rsad1	13,80	0,27	0,6666	0,23	0,7724	0,10	NA	-0,09	0,9746	-0,64	0,2633	0,10	0,9316	0,12	NA	-0,59	0,4698	-1,29	0,0106
Rsbn1	74,87	-0,18	0,6048	0,10	0,8478	-0,09	1,0000	0,26	0,7006	-0,22	0,4648	0,35	0,4661	0,38	0,4131	0,14	0,8915	0,09	0,8544
Rsbn1l	103,09	-0,43	0,0682	-0,07	0,8928	-0,03	1,0000	0,10	0,9372	-0,39	0,1117	0,47	0,2337	0,56	0,1245	0,54	0,1510	-0,07	0,8779
Rsf1	210,30	-0,35	0,1049	-0,21	0,4690	-0,01	1,0000	0,05	0,9746	-0,32	0,1549	-0,32	0,4432	0,49	0,1245	0,21	0,7235	0,04	0,9251
Rsl1	6,66	-0,05	0,9580	0,62	0,2942	0,14	NA	0,18	0,9249	-0,02	0,9784	0,34	0,7412	0,29	NA	0,28	0,8446	0,01	0,9981
Rsl1d1	133,01	0,29	0,2215	0,19	0,5816	0,03	1,0000	0,09	0,9452	0,01	0,9805	-0,11	0,8534	0,02	0,9768	0,06	0,9547	-0,18	0,6256

GeneID	CTL	ET-1 vs CTL		SAHA vs CTL		JS28 vs CTL		BSP vs CTL		JQ1 vs CTL		ET-1+SAHA vs ET1		ET-1+JS28 vs ET1		ET-1+BSP vs ET1		ET-1+JQ1 vs ET1	
	mean	log2(FC)	P-adj	log2(FC)	P-adj	log2(FC)	P-adj	log2(FC)	P-adj	log2(FC)	P-adj	log2(FC)	P-adj	log2(FC)	P-adj	log2(FC)	P-adj	log2(FC)	P-adj
Rsl24d1	74,25	0,62	0,0335	0,10	0,8749	-0,20	1,0000	-0,20	0,8684	0,15	0,7021	-0,41	0,3988	-0,52	0,2341	-0,59	0,1787	0,07	0,9062
Rslcan18	9,01	-0,22	0,7688	-0,07	0,9524	-0,13	NA	0,16	0,9389	-0,17	0,8055	-0,40	0,6909	0,04	NA	0,09	0,9695	0,43	0,5301
Rsph3a	9,24	-0,29	0,6895	0,41	0,5605	0,09	NA	0,14	0,9469	-0,55	0,3799	0,42	0,6566	0,04	NA	0,30	0,8285	-0,41	0,5863
Rsph3b	17,23	-0,40	0,4364	-0,33	0,6189	-0,01	NA	0,11	0,9611	-0,08	0,8908	-0,25	0,8051	0,10	NA	0,28	0,8285	0,61	0,2072
Rspo3	28,15	-0,57	0,1860	-0,02	0,9836	0,10	1,0000	-0,35	0,7069	-1,48	0,0002	0,14	0,8913	0,40	0,5445	-0,56	0,4765	-1,17	0,0143
Rspry1	80,48	-0,08	0,8545	0,22	0,5559	0,11	1,0000	0,06	0,9742	-0,01	0,9827	0,12	0,8670	0,11	0,8779	0,29	0,6432	-0,01	0,9950
Rsrc1	82,70	-0,15	0,7205	-0,06	0,9213	-0,28	1,0000	-0,24	0,7338	-0,64	0,0065	0,01	0,9909	0,15	0,8388	-0,10	0,9334	-0,63	0,0827
Rsrc2	128,36	0,19	0,5616	0,21	0,5341	0,01	1,0000	0,40	0,2471	-0,09	0,7814	-0,39	0,3860	0,12	0,8558	0,28	0,6212	-0,16	0,7040
Rsrp1	155,78	-0,46	0,0428	-0,26	0,4537	0,24	1,0000	0,24	0,7082	0,21	0,4420	0,00	0,9982	0,59	0,0512	0,69	0,0136	0,46	0,1454
Rsu1	97,41	0,19	0,5725	0,01	0,9865	0,06	1,0000	0,03	0,9853	0,32	0,1919	0,02	0,9827	0,05	0,9505	-0,14	0,8823	0,18	0,6164
Rtca	29,04	-0,11	0,8599	0,00	0,9981	0,11	1,0000	0,14	0,9371	-0,18	0,7062	0,63	0,2559	0,09	0,9307	0,37	0,6666	0,05	0,9528
Rtcb	87,81	-0,12	0,7528	0,31	0,3550	0,15	1,0000	0,13	0,9110	0,49	0,0627	0,37	0,3932	0,01	0,9944	0,00	1,0000	0,29	0,4322
Rtel1	15,99	-0,17	0,7980	0,03	0,9799	-0,07	NA	-0,35	0,7205	-0,44	0,3932	0,08	0,9506	0,02	NA	0,03	0,9918	-0,40	0,5574
Rtf1	92,14	-0,41	0,0804	-0,06	0,9108	-0,01	1,0000	0,27	0,6285	0,35	0,1146	0,18	0,7681	0,45	0,2816	0,63	0,0679	0,76	0,0042
Rtfdc1	57,53	0,16	0,7093	-0,07	0,9174	-0,06	1,0000	-0,10	0,9606	-0,33	0,3361	-0,18	0,7986	-0,19	0,7921	-0,33	0,6301	-0,59	0,0834
Rtkn	12,65	-0,19	0,7928	-0,10	0,9119	-0,01	NA	-0,23	0,8841	-1,60	0,0011	-0,54	0,5239	-0,18	NA	0,04	0,9911	-0,56	0,4423
Rtn1	4,52	-0,37	0,6059	-0,65	0,2921	-0,30	NA	-0,51	NA	-0,52	0,4512	-0,30	0,7709	0,04	NA	0,10	NA	0,52	0,5033
Rtn2	32,99	-1,03	0,0008	0,40	0,3309	0,25	1,0000	0,06	0,9798	0,16	0,7125	1,23	0,0035	0,69	0,1943	0,87	0,0813	0,89	0,0486
Rtn3	283,88	-0,28	0,1810	0,13	0,6506	-0,17	1,0000	-0,09	0,9295	0,36	0,0274	0,36	0,2975	0,14	0,7791	0,10	0,9023	0,57	0,0078
Rtn4	2710,06	0,21	0,1936	-0,32	0,0624	-0,29	0,5025	0,07	0,9361	0,40	0,0188	-0,50	0,0349	-0,33	0,2237	-0,14	0,7739	0,30	0,4085
Rtn4ip1	39,32	0,73	0,0194	0,15	0,8213	-0,27	NA	-0,07	0,9798	-1,66	0,0000	0,22	0,7599	-0,35	0,5630	-0,25	0,7827	-1,82	0,0000
Rtn4r1	29,87	-0,74	0,0667	0,09	0,9155	-0,12	1,0000	-0,18	0,9183	-1,61	0,0001	1,20	0,0042	0,26	0,7480	0,20	0,8792	-1,57	0,0014
Rtnn	39,77	-0,52	0,1498	-0,09	0,8895	0,09	1,0000	-0,38	0,5921	-0,76	0,0203	0,00	0,9993	0,30	0,6733	-0,24	0,8405	-0,39	0,4424
Rufy1	85,28	-0,39	0,1622	-0,55	0,0692	0,09	1,0000	-0,46	0,2852	-0,99	0,0000	-0,38	0,4487	0,27	0,6140	-0,08	0,9479	-0,51	0,1487
Rufy2	19,90	0,00	0,9968	0,59	0,2149	0,28	NA	0,24	0,8643	0,25	0,6343	0,45	0,5086	0,55	0,3502	0,28	0,8018	0,08	0,9129
Rufy3	53,13	-0,72	0,0081	0,01	0,9895	-0,14	1,0000	0,04	0,9853	-0,10	0,7964	0,97	0,0110	0,42	0,4528	0,57	0,2886	0,46	0,2225
Rufy4	2,84	-0,33	0,6498	0,12	0,9044	-0,07	NA	-0,12	NA	-0,86	0,1461	0,30	0,7672	-0,08	NA	-0,02	NA	-0,34	NA
Rundc1	54,60	-0,07	0,8910	-0,28	0,5314	-0,18	1,0000	-0,17	0,9021	0,04	0,9284	-0,09	0,9091	-0,24	0,7195	-0,12	0,9255	0,16	0,7236
Rundc3a	6,26	-0,33	0,6537	2,23	0,0000	0,44	NA	-0,04	0,9853	-0,60	0,3645	1,67	0,0012	0,14	NA	-0,28	NA	-0,48	0,5566
Rundc3b	1,85	0,39	NA	0,69	0,1945	-0,06	NA	0,03	NA	0,17	0,8140	0,30	0,7759	-0,25	NA	-0,42	NA	-0,08	0,9412
Runx1	1,90	0,67	NA	0,16	NA	0,01	NA	-0,07	NA	0,53	0,3851	-0,49	0,5603	-0,44	NA	-0,64	NA	-0,63	0,4099
Runx1t1	142,79	-0,43	0,1891	-0,90	0,0002	-0,16	1,0000	-0,36	0,4391	-0,26	0,4704	-0,55	0,2511	0,05	0,9535	-0,35	0,6081	-0,14	0,7833
Runx3	1,65	0,24	NA	0,05	0,9533	0,00	NA	-0,15	NA	-0,20	NA	-0,42	NA	-0,06	NA	-0,05	NA	-0,75	NA
Rusc1	1,81	0,33	NA	0,86	0,0950	0,16	NA	0,06	NA	0,13	0,8766	0,12	0,9219	0,01	NA	-0,30	NA	-0,50	0,5281
Rusc2	28,80	0,80	0,0155	-0,04	0,9730	0,35	NA	-0,32	0,7630	-0,57	0,2189	-1,05	0,0257	-0,64	0,2181	-0,94	0,0501	-1,11	0,0077
Ruvbl1	19,17	0,22	0,6997	0,04	0,9666	-0,10	NA	-0,33	0,7471	-0,40	0,4347	-0,56	0,4182	-0,29	NA	-0,58	0,4659	-0,82	0,1145
Ruvbl2	22,00	0,30	0,5951	0,09	0,9217	0,02	NA	-0,14	0,9472	-0,32	0,5629	-0,13	0,9009	-0,70	NA	-0,29	0,7884	-0,25	0,6504
Rwdd1	68,39	0,18	0,6434	0,21	0,6251	0,00	1,0000	0,18	0,8758	-0,31	0,3349	0,11	0,8856	0,20	0,7477	-0,07	0,9600	-0,63	0,1292
Rwdd2b	9,13	0,05	0,9540	-0,73	0,2148	-0,07	NA	-0,34	0,7250	-0,28	0,7015	-0,19	0,8689	-0,19	NA	-0,27	0,8472	-0,05	0,9539
Rwdd3	5,15	-0,09	0,9221	-0,05	0,9666	-0,14	NA	-0,35	NA	-0,13	0,8710	0,45	0,6343	0,10	NA	-0,13	NA	-0,69	0,3489
Rwdd4a	70,82	0,61	0,0153	0,16	0,7694	0,14	1,0000	0,29	0,7021	0,09	0,8478	-0,30	0,5453	-0,07	0,9304	-0,13	0,8972	-0,06	0,9006
Rxrp1	16,10	0,80	0,0682	1,23	0,0024	0,09	NA	0,46	0,5551	-1,17	0,0267	1,06	0,0217	1,22	0,0018	0,64	0,3212	-1,64	0,0007
Rxra	66,35	-0,30	0,3641	-0,46	0,1825	0,22	1,0000	-0,20	0,8500	0,04	0,9255	-0,72	0,1062	0,30	0,5946	0,49	0,3338	0,29	0,5592
Rxrb	29,32	-0,14	0,7969	-0,36	0,5044	0,09	1,0000	0,19	0,8903	0,71	0,0459	-0,23	0,7912	-0,41	0,5428	0,36	0,6716	1,05	0,0352
Rxrg	2,28	-0,57	0,3374	-0,50	0,4226	0,08	NA	-0,23	NA	-0,84	0,1562	-0,17	NA	0,01	NA	-0,07	NA	-0,32	NA

GeneID	CTL	ET-1 vs CTL		SAHA vs CTL		JS28 vs CTL		BSP vs CTL		JQ1 vs CTL		ET-1+SAHA vs ET1		ET-1+JS28 vs ET1		ET-1+BSP vs ET1		ET-1+JQ1 vs ET1	
	mean	log2(FC)	P-adj	log2(FC)	P-adj	log2(FC)	P-adj	log2(FC)	P-adj	log2(FC)	P-adj	log2(FC)	P-adj	log2(FC)	P-adj	log2(FC)	P-adj	log2(FC)	P-adj
Rybp	43,97	0,23	0,6088	0,40	0,3610	0,14	1,0000	0,30	0,7412	0,75	0,0066	0,14	0,8588	-0,32	0,6117	0,16	0,8926	0,78	0,0077
Ryk	115,71	0,24	0,3926	-0,09	0,8456	-0,14	1,0000	0,15	0,8899	-0,08	0,8018	-0,16	0,7739	-0,23	0,6451	-0,08	0,9343	-0,16	0,6195
Ryr2	3571,28	-0,05	0,8945	0,11	0,7638	0,02	1,0000	0,07	0,9556	-0,05	0,8426	-0,15	0,7339	0,20	0,5851	0,51	0,0312	0,16	0,5234
Ryr3	43,73	0,99	0,0002	-0,31	0,6067	-0,08	NA	-0,34	0,7107	-0,29	0,5391	-0,74	0,0799	-0,29	0,6089	-0,91	0,0219	-0,84	0,0066
S100a1	58,76	0,10	0,8597	-0,85	0,0202	0,03	1,0000	-0,40	0,5813	-0,94	0,0056	-0,06	0,9432	0,01	0,9963	-0,12	0,9202	-0,92	0,0080
S100a10	5,55	1,01	0,0427	0,34	0,6577	0,15	NA	-0,03	NA	0,23	0,7731	-0,11	0,9353	-0,58	NA	-0,67	0,4160	-0,84	0,1975
S100a11	52,88	1,02	0,0003	-0,04	0,9649	0,15	1,0000	-0,50	0,4665	0,51	0,2164	-0,39	0,4586	-0,61	0,1635	-0,67	0,1339	-0,22	0,6564
S100a13	19,17	-0,11	0,8842	-0,27	0,7246	-0,22	NA	-0,43	0,6129	-0,90	0,0578	0,55	0,3951	0,26	NA	0,03	0,9918	-1,25	0,0158
S100a3	1,19	0,52	NA	-0,06	NA	0,01	NA	-0,03	NA	-0,07	NA	-0,38	NA	-0,08	NA	-0,40	NA	-0,68	NA
S100a4	14,76	0,85	0,0600	-1,07	0,0346	0,16	NA	-0,72	0,1443	-1,70	0,0010	-0,98	0,1064	-0,59	NA	-1,29	0,0136	-2,26	0,0000
S100a6	29,65	1,48	0,0000	-0,97	0,0656	0,01	NA	-0,63	0,2309	-0,55	0,3800	-1,71	0,0000	-0,98	0,0192	-1,67	0,0000	-1,70	0,0003
S100pbp	33,55	0,04	0,9485	0,23	0,6862	-0,16	1,0000	0,26	0,7854	0,07	0,8796	0,03	0,9792	0,02	0,9864	-0,04	0,9854	-0,10	0,8693
S1pr1	39,87	1,02	0,0047	0,20	0,7802	-0,02	NA	-0,66	0,2111	-0,25	0,6451	0,03	0,9825	-0,44	0,4981	-0,72	0,1992	-0,32	0,5639
S1pr2	24,65	0,47	0,2773	-0,64	0,2117	-0,05	NA	-0,40	0,6463	-0,20	0,7184	-0,72	0,2279	-0,30	0,6786	-0,23	0,8412	-0,54	0,2399
S1pr3	17,03	-0,27	0,6614	-0,52	0,3781	0,52	NA	-0,52	0,4557	-1,79	0,0001	-0,39	0,6763	0,04	NA	-0,79	0,2593	-1,81	0,0007
Saal1	14,65	-0,23	0,7418	0,25	0,7305	-0,06	NA	-0,17	0,9337	-0,68	0,2089	0,12	0,9201	-0,26	NA	-0,03	0,9931	-0,45	0,5115
Sac3d1	9,62	0,06	0,9431	0,24	0,7701	-0,04	NA	-0,26	0,8514	-0,01	0,9945	0,20	0,8588	-0,07	NA	-0,19	0,9065	0,04	0,9720
Sacm1l	97,98	0,17	0,6312	0,42	0,1481	0,07	1,0000	0,06	0,9763	0,08	0,8506	0,38	0,3716	0,27	0,5915	0,01	0,9967	-0,08	0,8716
Sacs	33,37	0,36	0,3864	-0,10	0,8978	-0,04	NA	0,28	0,7757	0,61	0,0774	-0,53	0,3581	-0,04	0,9644	0,13	0,9192	0,35	0,4329
Sae1	92,50	0,17	0,6214	-0,10	0,8422	-0,24	1,0000	-0,18	0,8554	0,28	0,2995	0,16	0,7933	-0,26	0,6257	-0,22	0,7701	0,02	0,9721
Safb	115,74	-0,06	0,8854	-0,18	0,6417	-0,13	1,0000	-0,24	0,7076	-0,16	0,5677	-0,59	0,1366	-0,09	0,9073	-0,29	0,6406	-0,17	0,6547
Safb2	64,01	-0,19	0,6579	0,38	0,2747	0,15	1,0000	0,09	0,9626	0,24	0,5372	-0,15	0,8509	0,26	0,6871	0,19	0,8492	0,36	0,3573
Sall1	42,90	0,13	0,8148	0,21	0,7216	0,14	1,0000	-0,16	0,9288	-0,25	0,5780	-0,24	0,7538	-0,13	0,8779	-0,32	0,7198	-0,52	0,2226
Sall2	22,46	-0,32	0,6035	0,02	0,9836	0,04	NA	-0,20	0,8998	-0,13	0,8487	0,21	0,8411	-0,16	NA	-0,33	0,7903	-0,03	0,9784
Sall3	7,62	-0,74	0,1529	-0,22	0,7968	-0,11	NA	-0,12	0,9626	0,44	0,4460	0,52	0,5570	0,62	NA	0,69	0,3872	1,34	0,0089
Samd1	17,88	0,17	0,7994	-0,51	0,3939	-0,13	NA	0,17	0,9269	0,82	0,0450	-1,06	0,0706	-0,12	NA	0,45	0,5888	0,92	0,0924
Samd10	5,89	0,14	0,8741	-0,48	0,4855	0,12	NA	-0,31	NA	-0,75	0,2307	-0,27	0,8068	-0,48	NA	-0,40	NA	-1,02	0,1187
Samd12	1,29	-0,38	NA	-0,09	0,9264	-0,14	NA	-0,19	NA	-0,52	0,3835	-0,03	NA	0,03	NA	0,03	NA	0,04	NA
Samd14	18,02	-0,59	0,2324	1,05	0,0014	-0,02	NA	-0,43	0,6024	-0,39	0,5241	0,90	0,1418	0,01	NA	-0,43	0,6902	0,01	0,9944
Samd4	346,78	0,70	0,0000	-0,39	0,0546	-0,18	1,0000	-0,02	0,9853	0,36	0,0545	-0,70	0,0051	-0,30	0,3957	-0,29	0,4707	0,04	0,9209
Samd4b	128,17	0,24	0,5275	-0,09	0,8741	-0,23	1,0000	0,01	0,9968	0,85	0,0052	-0,08	0,9044	-0,26	0,6185	0,23	0,7186	1,05	0,0032
Samd5	9,48	0,56	0,3155	-0,41	0,5824	-0,28	NA	-0,11	NA	-0,74	0,2172	-0,61	0,4386	-0,31	NA	-0,49	0,6165	-0,68	0,3006
Samd8	181,18	0,21	0,4227	0,31	0,2617	0,08	1,0000	0,51	0,0644	0,85	0,0000	0,09	0,8790	0,15	0,7616	0,19	0,7481	0,67	0,0134
Samd9l	1,64	-0,79	NA	-0,44	0,4863	-0,06	NA	-0,33	NA	-0,97	0,0694	-0,04	NA	0,17	NA	0,07	NA	-0,04	NA
Samhd1	19,23	0,08	0,9141	0,09	0,9168	-0,10	NA	-0,39	0,6648	-0,64	0,1789	0,05	0,9654	-0,05	NA	-0,55	0,4975	-0,66	0,2065
Samm50	109,38	0,39	0,2551	-0,47	0,1176	0,00	1,0000	-0,17	0,8743	-0,34	0,2093	-0,35	0,5402	-0,25	0,6947	-0,27	0,7260	-0,57	0,1108
Sap130	95,67	-0,33	0,2832	0,32	0,3029	0,05	1,0000	0,14	0,9058	0,51	0,0563	0,24	0,6942	0,24	0,6745	0,23	0,7735	0,65	0,0399
Sap18	11,36	-0,03	0,9727	0,40	0,5377	-0,15	NA	0,21	0,9004	0,37	0,4980	0,42	0,6350	0,05	NA	0,14	0,9374	0,03	0,9740
Sap30	28,37	0,61	0,1307	0,28	0,6790	0,13	NA	0,02	0,9910	-0,37	0,4675	-0,12	0,9046	-0,05	0,9654	-0,37	0,6760	-0,64	0,1387
Sap30bp	57,12	0,19	0,6416	-0,05	0,9462	0,03	1,0000	-0,04	0,9853	-0,02	0,9756	-0,27	0,6928	-0,16	0,8210	-0,21	0,8185	-0,22	0,5695
Sap30l	48,21	0,02	0,9744	-0,47	0,2718	-0,03	1,0000	0,14	0,9293	0,49	0,1054	-0,39	0,5648	-0,09	0,9243	0,14	0,9170	0,52	0,1774
Sar1a	84,26	0,20	0,5612	0,02	0,9818	-0,14	1,0000	0,21	0,8011	0,05	0,9105	0,10	0,8816	-0,08	0,9173	-0,16	0,8656	0,10	0,8181
Sar1b	199,31	0,46	0,0253	0,32	0,1929	0,23	1,0000	0,22	0,6921	0,04	0,9008	0,51	0,1116	0,04	0,9473	0,10	0,9161	-0,13	0,7054
Sardh	16,27	-0,13	0,8527	0,33	0,6189	0,07	NA	-0,49	0,5124	-1,65	0,0003	0,42	0,5858	0,30	NA	-0,10	0,9590	-2,02	0,0001
Sarm1	1,22	-0,20	NA	-0,07	0,9436	-0,04	NA	-0,10	NA	-0,05	0,9580	-0,18	NA	-0,07	NA	-0,09	NA	-0,16	NA

GeneID	CTL	ET-1 vs CTL		SAHA vs CTL		JS28 vs CTL		BSP vs CTL		JQ1 vs CTL		ET-1+SAHA vs ET1		ET-1+JS28 vs ET1		ET-1+BSP vs ET1		ET-1+JQ1 vs ET1	
	mean	log2(FC)	P-adj	log2(FC)	P-adj	log2(FC)	P-adj	log2(FC)	P-adj	log2(FC)	P-adj	log2(FC)	P-adj	log2(FC)	P-adj	log2(FC)	P-adj	log2(FC)	P-adj
Sarp	58,01	0,41	0,1912	0,23	0,6469	0,12	1,0000	0,30	0,6939	-0,19	0,6307	0,02	0,9869	-0,21	0,7383	-0,10	0,9345	-0,50	0,1647
Sars	167,81	1,07	0,0000	0,18	0,6215	-0,03	1,0000	-0,10	0,9430	0,37	0,1147	-0,94	0,0061	-1,14	0,0002	-1,23	0,0000	-0,50	0,1647
Sars2	9,29	-0,23	0,7478	-0,55	0,3849	-0,21	NA	-0,26	0,8541	0,18	0,7925	-0,13	0,9201	-0,11	NA	0,03	0,9918	-0,01	0,9937
Sart1	58,07	0,18	0,6520	-0,02	0,9841	0,02	1,0000	-0,09	0,9627	0,18	0,6469	-0,24	0,7119	-0,36	0,5017	-0,17	0,8619	-0,21	0,6090
Sart3	47,22	-0,19	0,6658	-0,11	0,8631	-0,14	1,0000	-0,24	0,8237	-0,15	0,7236	-0,04	0,9714	-0,06	0,9432	-0,07	0,9611	0,04	0,9503
Sash1	61,44	-0,69	0,0150	-0,18	0,7282	0,16	1,0000	0,13	0,9269	0,22	0,5319	0,14	0,8668	0,43	0,4242	0,30	0,7026	0,73	0,0263
Sass6	13,21	-0,07	0,9359	0,23	0,7748	-0,19	NA	-0,65	0,2380	-0,53	0,3679	0,03	0,9822	-0,04	NA	-0,45	0,6658	-0,81	0,1704
Sat1	16,01	-0,08	0,9254	0,30	0,6937	0,08	NA	0,04	0,9853	0,05	0,9465	0,72	0,2207	0,27	NA	-0,46	0,6374	0,36	0,5372
Sat2	7,09	-0,24	0,7534	-0,06	0,9622	0,02	NA	-0,26	0,8464	-0,90	0,1183	0,69	0,3630	0,23	NA	-0,29	0,8311	-0,37	0,6374
Satb1	167,39	-0,25	0,4739	-0,59	0,0030	0,01	1,0000	-0,07	0,9556	0,16	0,6649	-0,51	0,2742	-0,09	0,9099	-0,02	0,9931	0,08	0,8914
Satb2	1,39	-0,28	NA	0,35	0,6251	-0,07	NA	-0,24	NA	-0,44	0,4937	0,36	NA	-0,08	NA	-0,02	NA	0,08	NA
Sav1	51,79	0,24	0,5330	-0,33	0,4646	0,10	1,0000	0,09	0,9634	0,25	0,4791	-0,43	0,4175	0,16	0,8232	0,32	0,6358	0,15	0,7318
Saysd1	4,01	-0,24	0,7696	-0,11	0,9115	0,10	NA	-0,12	NA	0,47	0,4793	-0,10	0,9378	0,09	NA	0,45	NA	0,79	0,2599
Sbds	80,91	0,08	0,8626	-0,43	0,2198	0,22	1,0000	-0,08	0,9676	-0,08	0,8228	-0,40	0,4063	0,09	0,9039	-0,36	0,5483	-0,09	0,8311
Sbf1	131,39	0,01	0,9839	-0,09	0,8354	0,01	1,0000	0,01	0,9925	0,53	0,0038	-0,33	0,4938	-0,54	0,1683	0,18	0,8205	0,43	0,1567
Sbf2	217,85	-0,27	0,1409	0,10	0,7703	0,08	1,0000	0,21	0,6222	0,06	0,7999	0,00	0,9976	0,20	0,6411	0,37	0,2889	0,12	0,6842
Sbk1	26,28	-0,20	0,7318	0,28	0,6489	-0,23	NA	0,06	0,9852	0,29	0,5241	0,39	0,5952	-0,28	0,7195	-0,19	0,8940	0,27	0,6300
Sbk2	27,50	-0,56	0,2669	0,68	0,0902	0,36	0,9896	-0,28	0,8113	-1,82	0,0000	1,12	0,0317	0,47	0,5017	-0,23	0,8759	-1,39	0,0164
Sbk3	19,01	-0,13	0,8855	0,06	0,9499	0,02	NA	-0,45	0,5926	-1,08	0,0389	0,19	0,8566	0,01	NA	-0,54	0,5640	-0,21	0,7997
Sbno1	311,84	-0,03	0,9329	0,33	0,1568	0,00	1,0000	0,30	0,3898	0,55	0,0009	0,12	0,7960	0,22	0,5526	0,19	0,6803	0,61	0,0034
Sbno2	60,67	0,25	0,5806	-0,43	0,3517	-0,07	1,0000	-0,53	0,3145	-0,42	0,2635	-1,00	0,0185	-1,12	0,0027	-1,07	0,0059	-1,26	0,0001
Sbsn	3,57	-0,17	0,8413	-0,19	0,8352	-0,12	NA	-0,18	NA	-0,26	0,7441	-0,32	0,7518	-0,37	NA	-0,15	NA	0,23	0,8016
Sc5d	48,35	0,45	0,2555	0,09	0,8920	0,18	1,0000	0,06	0,9805	-0,03	0,9586	-0,10	0,9120	0,26	0,7026	-0,09	0,9531	-0,32	0,5253
Scaf1	94,93	-0,14	0,6936	-0,41	0,1818	-0,04	1,0000	-0,04	0,9853	0,45	0,1329	-0,63	0,1485	-0,62	0,1044	0,03	0,9848	0,59	0,1586
Scaf11	286,91	-0,01	0,9752	-0,18	0,5353	0,04	1,0000	0,24	0,6070	0,15	0,5533	-0,31	0,3651	0,11	0,8390	0,06	0,9425	0,14	0,6896
Scaf4	83,84	0,14	0,7381	-0,01	0,9871	0,05	1,0000	0,04	0,9853	0,70	0,0020	-0,46	0,3465	-0,12	0,8812	-0,24	0,7790	0,64	0,0536
Scaf8	142,19	0,09	0,8137	0,00	0,9965	-0,24	1,0000	0,09	0,9426	0,20	0,4682	-0,26	0,6066	-0,14	0,8219	-0,09	0,9338	0,23	0,5592
Scai	109,17	-0,34	0,2133	0,15	0,7513	0,00	1,0000	0,16	0,8819	0,27	0,3422	0,44	0,2331	0,59	0,0740	0,31	0,5586	0,57	0,0659
Scamp1	100,19	0,13	0,7236	-0,05	0,9337	-0,07	1,0000	0,18	0,8420	0,33	0,2017	-0,10	0,8874	0,17	0,7791	0,03	0,9862	0,20	0,5872
Scamp2	55,32	0,23	0,5619	-0,37	0,4477	-0,05	1,0000	0,18	0,8901	0,67	0,0126	-0,46	0,4006	-0,09	0,9099	-0,02	0,9931	0,59	0,0410
Scamp3	58,96	0,11	0,8481	-0,24	0,6773	-0,03	1,0000	-0,30	0,7521	0,16	0,7237	-0,26	0,7035	-0,40	0,4750	-0,48	0,4224	0,31	0,4906
Scamp4	27,76	0,20	0,7389	-0,17	0,8322	-0,17	NA	-0,13	0,9555	0,37	0,4328	-0,03	0,9789	-0,88	0,0845	-0,22	0,8525	0,40	0,4118
Scamp5	43,59	-0,23	0,5873	-0,07	0,9237	-0,04	1,0000	-0,33	0,6404	0,17	0,7175	0,29	0,6694	0,00	0,9999	-0,13	0,9238	0,36	0,5391
Scand1	10,27	-0,08	0,9290	-0,38	0,6158	-0,12	NA	-0,17	0,9270	0,90	0,0835	0,82	0,2135	0,58	NA	0,93	0,1144	1,18	0,0416
Scap	47,57	-0,26	0,5534	0,25	0,6168	0,07	1,0000	0,10	0,9606	0,77	0,0021	0,14	0,8646	0,03	0,9780	0,55	0,3092	0,88	0,0048
Scaper	95,08	-0,33	0,2273	-0,11	0,8326	0,17	1,0000	0,08	0,9634	-1,03	0,0001	-0,21	0,7255	0,73	0,0213	0,33	0,5324	-0,83	0,0051
Scarb1	28,98	-0,02	0,9744	0,28	0,5886	0,25	1,0000	-0,20	0,8903	-0,61	0,1251	0,04	0,9666	-0,14	0,8779	-0,16	0,9065	-0,46	0,4288
Scarb2	121,59	-0,28	0,2952	-0,37	0,2001	-0,13	1,0000	0,04	0,9817	-0,12	0,7139	-0,16	0,7965	0,12	0,8503	-0,03	0,9862	-0,12	0,7561
Scarf2	2,87	0,45	0,4882	0,01	0,9929	0,03	NA	-0,17	NA	-0,19	0,8033	-0,55	0,4916	-0,19	NA	-0,32	NA	-0,77	0,2866
Scarletlr	1,21	-0,31	NA	-0,12	0,8895	0,01	NA	-0,09	NA	-0,60	NA	0,33	NA	0,14	NA	0,03	NA	-0,04	NA
Scarna10	42,48	-0,19	0,7906	0,59	0,2399	0,44	0,7895	0,57	0,3246	0,09	0,8818	0,74	0,1937	0,72	0,1738	0,60	0,3874	0,40	0,5534
Scarna13	37,38	-0,11	0,8923	-0,01	0,9924	-0,03	1,0000	0,13	0,9472	0,47	0,2183	0,16	0,9032	0,02	0,9843	0,12	0,9442	0,09	0,9211
Scarna17	11,07	0,22	0,7790	0,24	0,7638	0,23	NA	-0,04	0,9853	0,53	0,3325	-0,14	0,9128	-0,56	NA	-0,13	0,9438	0,43	0,5776
Scarna2	37,43	-0,70	0,0840	0,47	0,3419	0,38	0,9702	0,52	0,3800	0,74	0,0467	0,41	0,5858	-0,03	0,9780	1,24	0,0015	1,16	0,0180
Scarna3a	1,85	0,19	NA	-0,20	NA	-0,07	NA	-0,02	NA	0,18	0,8052	-0,27	NA	-0,25	NA	-0,12	NA	-0,24	0,7671

GeneID	CTL	ET-1 vs CTL		SAHA vs CTL		JS28 vs CTL		BSP vs CTL		JQ1 vs CTL		ET-1+SAHA vs ET1		ET-1+JS28 vs ET1		ET-1+BSP vs ET1		ET-1+JQ1 vs ET1	
	mean	log2(FC)	P-adj	log2(FC)	P-adj	log2(FC)	P-adj	log2(FC)	P-adj	log2(FC)	P-adj	log2(FC)	P-adj	log2(FC)	P-adj	log2(FC)	P-adj	log2(FC)	P-adj
Scarna6	11,45	0,04	0,9631	0,48	0,4877	0,20	NA	0,42	0,6195	0,20	0,7925	-0,05	0,9671	-0,06	NA	0,05	0,9854	-0,16	0,8741
Scarna8	1,46	-0,28	NA	0,15	0,8477	-0,11	NA	-0,05	NA	0,05	0,9511	0,01	NA	-0,11	NA	0,15	NA	0,88	0,1773
Scarna9	8,05	-0,01	0,9916	0,68	0,2642	0,35	NA	0,34	0,7333	0,00	0,9996	0,38	0,7139	0,37	NA	0,31	0,8185	0,09	0,9296
Sccpdh	78,38	0,08	0,8554	-0,21	0,6251	-0,06	1,0000	-0,03	0,9853	-0,33	0,2751	-0,27	0,6586	0,02	0,9832	0,07	0,9584	-0,60	0,0741
Scd1	7,40	0,35	0,6271	1,37	0,0034	0,10	NA	-0,08	NA	-0,80	0,2003	0,87	0,1978	0,15	NA	-0,07	0,9792	-0,73	0,3176
Scd2	539,99	-0,17	0,8057	-0,28	0,3045	-0,10	1,0000	-0,11	0,9178	0,12	0,6362	0,12	0,9267	0,18	0,8627	0,03	0,9922	0,31	0,5238
Scd4	35,32	-1,27	0,0005	-2,03	0,0000	-0,01	1,0000	-0,92	0,0128	-2,87	0,0000	-0,67	0,3795	0,46	NA	0,11	0,9570	-1,95	0,0004
Scfd1	100,32	-0,09	0,8086	-0,75	0,0035	-0,17	1,0000	-0,30	0,6068	-0,86	0,0004	-0,60	0,1130	0,00	0,9963	-0,16	0,8492	-0,60	0,0454
Scfd2	18,62	-0,38	0,4560	-0,17	0,8165	-0,24	NA	-0,24	0,8671	-0,73	0,1036	-0,37	0,6953	-0,23	NA	-0,24	0,8597	-0,79	0,1483
Schip1	1,14	-0,05	NA	-0,03	0,9712	0,01	NA	0,14	NA	0,02	0,9771	0,28	NA	0,05	NA	-0,09	NA	0,27	NA
Scin	7,29	0,59	0,3080	-0,87	0,0983	-0,06	NA	-0,33	NA	-1,20	0,0315	-1,02	0,1228	-0,40	NA	-0,58	0,5141	-1,63	0,0049
Scilt1	15,94	-0,04	0,9621	0,47	0,3893	-0,16	NA	0,20	0,9060	-0,32	0,5825	0,09	0,9413	0,42	NA	0,36	0,7289	0,02	0,9806
Scly	19,40	0,39	0,4418	0,52	0,3121	-0,09	NA	-0,43	0,6068	-0,19	0,7513	0,21	0,8228	-0,37	NA	-0,30	0,7926	-0,20	0,7719
Scmh1	116,21	-0,55	0,0447	0,24	0,5149	0,30	0,9896	0,28	0,6249	-0,29	0,2569	0,65	0,0829	0,49	0,2535	0,45	0,3856	-0,06	0,9182
Scml2	7,72	-0,62	0,2700	0,39	0,5824	0,02	NA	0,05	0,9853	-0,62	0,3079	0,14	0,9125	0,70	NA	0,25	0,8638	-0,22	0,8096
Scn10a	12,14	0,03	0,9699	0,63	0,2483	0,28	NA	-0,92	0,0241	-1,05	0,0502	0,86	0,1486	0,28	NA	-0,18	0,9119	-0,48	0,4848
Scn1b	4,61	-0,07	0,9421	0,52	0,4422	0,03	NA	0,17	NA	-0,44	0,5332	0,62	0,4516	-0,13	NA	-0,20	NA	-0,11	0,9167
Scn2a1	3,86	-0,25	0,7580	-0,50	0,4447	0,14	NA	-0,44	NA	-1,17	0,0357	0,26	0,8120	0,28	NA	-0,05	NA	-0,67	0,3567
Scn2b	1,50	0,00	NA	0,16	0,8389	0,07	NA	-0,15	NA	-0,53	NA	0,07	NA	-0,07	NA	-0,15	NA	-0,50	NA
Scn3b	2,35	0,11	0,8913	0,98	0,0560	0,13	NA	-0,20	NA	-0,54	0,3527	0,52	0,5502	-0,15	NA	-0,19	NA	-0,33	0,6992
Scn5a	375,09	0,18	0,6809	0,07	0,9189	0,13	1,0000	-0,84	0,0052	-0,83	0,0870	-0,20	0,7267	-0,27	0,5771	-0,85	0,0052	-1,23	0,0004
Scn7a	135,23	-2,35	0,0000	-1,16	0,0000	-0,28	1,0000	0,06	0,9701	-2,33	0,0000	0,82	0,0779	1,14	0,0020	1,39	0,0001	-0,16	0,7766
Scn8a	3,16	-0,09	0,9195	-0,18	0,8413	-0,02	NA	-0,03	NA	-0,34	0,6433	-0,47	0,5629	-0,05	NA	-0,19	NA	0,14	0,8886
Scnm1	17,45	0,02	0,9769	-0,02	0,9864	0,15	NA	0,08	0,9746	-0,08	0,9092	0,12	0,9186	-0,04	NA	-0,12	0,9437	-0,28	0,6698
Sco1	45,92	0,38	0,2832	0,07	0,9251	-0,34	1,0000	-0,01	0,9925	-0,20	0,6359	-0,58	0,2495	0,03	0,9765	-0,41	0,5324	-0,39	0,3481
Sco2	4,01	0,26	0,7470	-0,59	0,2673	-0,01	NA	-0,27	NA	-0,14	0,8662	-0,43	0,6465	-0,32	NA	-0,44	NA	-0,58	0,4508
Scoc	60,95	0,20	0,6176	-0,28	0,5665	-0,17	1,0000	-0,16	0,9084	0,85	0,0005	0,04	0,9653	-0,16	0,8158	-0,28	0,6935	0,74	0,0036
Scp2	217,43	-0,29	0,4363	-0,11	0,8309	0,03	1,0000	-0,01	0,9928	-0,59	0,0216	0,39	0,4157	0,11	0,8822	-0,03	0,9911	-0,48	0,2350
Scpep1	82,62	0,36	0,1841	0,15	0,7647	-0,12	1,0000	-0,26	0,7234	0,30	0,3939	-0,08	0,9069	-0,43	0,3325	-0,20	0,7973	-0,08	0,9043
Scpep1os	1,49	0,00	NA	-0,05	0,8848	-0,06	NA	-0,07	NA	0,21	0,7753	0,09	NA	0,02	NA	-0,32	NA	0,09	0,9322
Scrib	84,27	0,01	0,9916	-0,15	0,7577	-0,11	1,0000	-0,05	0,9817	0,76	0,0018	-0,49	0,2412	-0,51	0,2180	0,13	0,8960	0,61	0,0342
Scrn1	71,93	-0,35	0,5035	0,41	0,4236	0,27	1,0000	0,27	0,8147	-0,65	0,0893	0,87	0,0402	0,67	0,1471	0,61	0,2594	-0,16	0,7784
Scrn2	7,28	-0,27	0,7115	-0,51	0,4453	-0,03	NA	-0,43	0,5969	-1,38	0,0095	-0,30	0,7859	-0,11	NA	-0,55	NA	-1,27	0,0471
Scrn3	33,93	0,29	0,5161	-0,09	0,9075	-0,04	NA	0,37	0,6361	-0,15	0,7855	-0,15	0,8641	-0,17	0,8313	-0,31	0,7198	-0,18	0,7594
Scube1	3,25	-1,02	0,0397	0,74	0,1998	0,20	NA	0,89	0,0406	1,32	0,0038	0,82	0,2088	0,21	NA	1,17	NA	2,13	0,0001
Scube2	6,25	0,30	0,6829	0,28	0,7371	-0,05	NA	-0,16	NA	-0,43	0,5527	0,36	0,7241	0,04	NA	-0,41	0,7158	-1,12	0,0862
Scx	3,17	-0,25	0,7549	-0,13	0,8895	0,12	NA	-0,07	NA	-0,49	0,4793	-0,29	NA	0,05	NA	-0,12	NA	-0,58	NA
Scyl1	101,02	-0,02	0,9650	-0,50	0,0726	0,02	1,0000	-0,19	0,8147	0,50	0,0294	-0,52	0,1723	-0,22	0,6861	0,20	0,7815	0,67	0,0075
Scyl2	80,41	0,17	0,6725	0,25	0,5652	-0,05	1,0000	0,18	0,8731	0,24	0,4401	0,06	0,9394	-0,09	0,9099	-0,10	0,9345	0,18	0,6333
Scyl3	39,58	-0,12	0,8132	-0,14	0,8266	-0,03	1,0000	-0,22	0,8514	-0,38	0,3045	-0,16	0,8546	0,20	0,7885	0,13	0,9191	-0,33	0,4655
Sdad1	51,22	0,28	0,4545	0,10	0,8609	-0,22	1,0000	-0,03	0,9853	-0,52	0,1252	-0,33	0,5864	-0,32	0,5931	-0,60	0,2633	-0,51	0,1817
Sdc1	5,16	0,04	0,9699	0,44	0,5445	0,07	NA	-0,13	NA	0,56	0,3663	0,33	0,7574	-0,11	NA	-0,46	NA	0,30	0,7166
Sdc2	89,73	0,17	0,6836	0,05	0,9434	0,09	1,0000	-0,38	0,4992	-0,43	0,1317	0,10	0,8856	0,12	0,8628	-0,43	0,4261	-0,15	0,7417
Sdc3	56,73	0,21	0,6522	-0,43	0,2761	-0,25	1,0000	-0,65	0,1054	-0,79	0,0105	-0,84	0,0716	-0,53	0,3292	-0,76	0,1194	-1,02	0,0107
Sdc4	67,36	0,15	0,7680	0,54	0,1504	0,27	1,0000	0,04	0,9853	0,39	0,2664	0,54	0,1939	-0,08	0,9256	-0,27	0,7265	0,13	0,7811

GeneID	CTL	ET-1 vs CTL		SAHA vs CTL		JS28 vs CTL		BSP vs CTL		JQ1 vs CTL		ET-1+SAHA vs ET1		ET-1+JS28 vs ET1		ET-1+BSP vs ET1		ET-1+JQ1 vs ET1	
	mean	log2(FC)	P-adj	log2(FC)	P-adj	log2(FC)	P-adj	log2(FC)	P-adj	log2(FC)	P-adj	log2(FC)	P-adj	log2(FC)	P-adj	log2(FC)	P-adj	log2(FC)	P-adj
Sdcbp	274,20	0,23	0,2127	0,11	0,7216	0,16	1,0000	0,40	0,0955	0,40	0,0704	0,16	0,7155	-0,10	0,8530	0,35	0,3063	0,41	0,1835
Sdccag3	64,71	0,24	0,5710	-0,13	0,8297	0,08	1,0000	0,16	0,9124	0,43	0,1620	-0,48	0,3496	-0,28	0,6451	0,08	0,9570	-0,01	0,9918
Sdccag8	18,50	0,09	0,9023	0,87	0,0371	0,16	NA	0,30	0,7940	-0,06	0,9275	0,72	0,1912	0,16	NA	0,02	0,9931	-0,06	0,9412
Sde2	40,59	0,02	0,9733	0,03	0,9731	-0,07	1,0000	0,00	0,9988	-0,13	0,7945	0,08	0,9351	0,02	0,9842	-0,43	0,5583	0,05	0,9382
Sdf2	65,98	-0,44	0,1647	0,08	0,8921	0,13	1,0000	0,33	0,6109	0,41	0,2116	0,41	0,4070	0,41	0,4183	0,57	0,1997	0,50	0,1116
Sdf2l1	7,50	-0,17	0,8312	0,16	0,8596	-0,22	NA	-0,08	0,9754	0,46	0,4347	0,06	0,9629	-0,34	NA	0,56	0,5421	0,27	0,7360
Sdf4	102,49	-0,01	0,9916	-0,21	0,5937	0,14	1,0000	-0,07	0,9727	-0,25	0,4069	0,11	0,8702	0,09	0,9009	0,11	0,9144	-0,38	0,2142
Sdha	358,87	0,07	0,8623	-0,10	0,8227	0,15	1,0000	0,15	0,8671	-0,25	0,2871	-0,08	0,8981	0,04	0,9540	0,26	0,6212	-0,33	0,2288
Sdhaf1	18,75	0,24	0,6661	-0,27	0,7080	-0,09	NA	-0,01	0,9968	0,51	0,2313	0,36	0,6340	-0,13	NA	0,18	0,9018	0,38	0,4390
Sdhaf2	48,69	0,32	0,3362	0,11	0,8585	0,11	1,0000	0,28	0,7414	-0,11	0,7974	0,26	0,6604	0,20	0,7480	-0,01	0,9983	0,07	0,8843
Sdhb	160,08	0,42	0,0899	-0,16	0,7395	-0,13	1,0000	-0,03	0,9853	-0,49	0,0467	-0,48	0,1535	-0,28	0,4963	-0,03	0,9822	-0,80	0,0002
Sdhc	189,45	0,29	0,4140	-0,22	0,6005	0,03	1,0000	-0,03	0,9855	-0,46	0,0624	-0,17	0,8008	-0,22	0,7016	0,00	1,0000	-0,56	0,0878
Sdhd	117,81	0,21	0,6430	0,02	0,9799	0,02	1,0000	0,06	0,9788	-0,20	0,6050	0,32	0,5718	-0,03	0,9756	0,29	0,6750	-0,52	0,1336
Sdk1	21,34	-0,45	0,3835	0,29	0,6608	-0,06	NA	0,18	0,9158	0,21	0,7030	0,07	0,9528	-0,21	NA	0,12	0,9483	0,77	0,1071
Sdk2	21,60	-0,89	0,0329	1,16	0,0008	0,31	1,0000	0,79	0,0548	0,48	0,2444	0,66	0,3307	0,31	NA	0,42	0,6783	0,72	0,1535
Sdpr	76,39	0,35	0,3126	-1,23	0,0000	-0,78	0,0131	-1,82	0,0000	-2,78	0,0000	-1,28	0,0004	-0,60	0,1900	-1,93	0,0000	-1,86	0,0000
Sdr39u1	1,02	0,00	NA	-0,07	NA	-0,01	NA	0,02	NA	0,14	0,7541	-0,10	NA	-0,15	NA	-0,23	NA	0,51	0,5209
Sdsi	5,04	0,08	0,9363	-0,38	0,6189	-0,05	NA	-0,22	NA	-0,70	0,2756	-0,56	0,5076	-0,13	NA	-0,47	NA	-1,42	0,0227
Sec11a	40,37	0,15	0,7717	0,18	0,7658	-0,01	1,0000	0,20	0,8687	-0,08	0,8793	0,10	0,9121	-0,03	0,9765	-0,07	0,9696	-0,01	0,9946
Sec11c	13,02	0,05	0,9465	0,48	0,4150	0,19	NA	-0,02	0,9901	-0,72	0,1809	0,61	0,3751	0,10	NA	-0,25	0,8605	-0,79	0,1897
Sec13	60,59	0,46	0,1013	-0,10	0,8782	0,03	1,0000	-0,16	0,9066	-0,11	0,8033	0,00	0,9976	-0,42	0,3913	-0,27	0,7067	-0,30	0,4052
Sec14l1	162,44	-0,72	0,0002	-0,02	0,9730	0,08	1,0000	-0,16	0,8279	0,12	0,5911	0,32	0,5002	0,21	0,6959	0,28	0,6422	0,72	0,0055
Sec14l2	3,30	0,07	0,9401	1,06	0,0375	0,18	NA	0,06	NA	-0,53	0,4397	0,89	0,2100	0,32	NA	0,06	NA	-0,46	0,5770
Sec14l5	1,21	-0,08	NA	0,49	0,4266	-0,06	NA	-0,19	NA	-0,11	0,8866	-0,17	NA	0,01	NA	-0,15	NA	-0,35	NA
Sec16a	246,68	0,07	0,7803	0,05	0,8851	-0,01	1,0000	0,28	0,3898	0,65	0,0000	-0,36	0,2869	-0,27	0,4625	0,02	0,9911	0,60	0,0006
Sec22a	27,78	0,28	0,5856	-0,07	0,9366	0,14	NA	0,14	0,9440	0,10	0,8645	-0,19	0,8292	-0,11	0,9111	0,05	0,9792	-0,24	0,6642
Sec22b	62,79	0,27	0,4691	0,26	0,5876	0,10	1,0000	0,28	0,7338	0,44	0,1294	0,28	0,6227	-0,15	0,8344	0,02	0,9918	0,30	0,3606
Sec22c	18,74	0,00	0,9993	0,37	0,5282	0,06	NA	0,01	0,9947	0,15	0,8023	0,56	0,3869	0,20	NA	-0,45	0,6367	0,53	0,2472
Sec23a	240,62	0,03	0,9239	-0,47	0,0399	0,08	1,0000	-0,01	0,9967	0,02	0,9606	-0,10	0,8411	0,11	0,8307	0,06	0,9459	-0,07	0,8652
Sec23b	45,28	0,11	0,8349	-0,06	0,9312	0,02	1,0000	-0,04	0,9853	-0,28	0,4987	-0,08	0,9351	0,03	0,9758	-0,35	0,6579	-0,10	0,8739
Sec23ip	126,03	0,15	0,6297	0,29	0,3668	0,00	1,0000	-0,01	0,9925	0,27	0,2586	0,10	0,8538	-0,04	0,9532	0,09	0,9178	0,29	0,2430
Sec24a	164,46	0,07	0,8554	0,11	0,8112	0,18	1,0000	0,12	0,9269	0,24	0,3310	-0,16	0,7607	0,09	0,8771	-0,11	0,9018	0,16	0,6428
Sec24b	163,24	-0,23	0,4661	-0,08	0,8661	-0,05	1,0000	0,09	0,9500	0,19	0,4772	-0,08	0,9018	0,17	0,7685	0,01	0,9936	0,42	0,1233
Sec24c	233,91	-0,10	0,7279	0,31	0,1716	0,01	1,0000	0,06	0,9662	0,52	0,0025	0,31	0,3730	-0,31	0,4014	0,22	0,6673	0,71	0,0001
Sec24d	111,46	0,26	0,3999	-0,27	0,4910	-0,28	1,0000	-0,18	0,8610	-0,10	0,7779	-0,27	0,5982	-0,42	0,3237	-0,39	0,4261	-0,03	0,9533
Sec31a	347,02	0,03	0,9347	-0,31	0,2536	-0,02	1,0000	-0,16	0,8369	0,34	0,1919	-0,39	0,2116	-0,25	0,5102	-0,21	0,6665	0,41	0,0555
Sec61a1	85,95	0,21	0,5425	0,32	0,3682	0,18	1,0000	0,19	0,8420	0,62	0,0066	0,22	0,6928	-0,30	0,5526	0,03	0,9911	0,38	0,1523
Sec61a2	22,47	-0,61	0,1340	-0,23	0,7426	-0,13	NA	-0,07	0,9805	0,08	0,8960	0,20	0,8417	0,22	NA	0,14	0,9300	0,15	0,8192
Sec61b	5,25	-0,13	0,8855	0,00	0,9975	-0,13	NA	0,04	NA	0,37	0,6075	0,04	0,9755	-0,16	NA	0,09	NA	0,27	0,7591
Sec61g	35,72	0,53	0,1624	0,25	0,6954	-0,06	NA	0,25	0,8451	-0,13	0,8057	0,34	0,5725	-0,10	0,9102	-0,15	0,9075	-0,16	0,7368
Sec62	283,05	0,04	0,9149	0,09	0,8167	0,15	1,0000	0,17	0,7941	0,22	0,2845	0,07	0,9081	0,30	0,4194	0,31	0,4195	0,24	0,3208
Sec63	211,42	-0,31	0,1265	-0,09	0,8288	0,02	1,0000	0,17	0,8121	0,22	0,3648	-0,02	0,9714	0,36	0,3072	0,47	0,1158	0,45	0,1468
Secisbp2	33,08	-0,03	0,9650	-0,11	0,8664	0,01	1,0000	0,15	0,9275	0,41	0,2342	-0,13	0,8862	0,06	0,9474	0,26	0,7903	0,29	0,5272
Secisbp2l	220,44	0,03	0,9321	-0,38	0,1685	-0,16	1,0000	-0,05	0,9794	0,20	0,4281	-0,47	0,1508	0,01	0,9952	-0,07	0,9422	0,34	0,1622
Seh1l	69,73	0,41	0,1774	-0,27	0,5785	0,16	1,0000	0,22	0,8264	0,62	0,0533	-0,57	0,2083	-0,24	0,6719	-0,33	0,5925	0,27	0,3918

GeneID	CTL	ET-1 vs CTL		SAHA vs CTL		JS28 vs CTL		BSP vs CTL		JQ1 vs CTL		ET-1+SAHA vs ET1		ET-1+JS28 vs ET1		ET-1+BSP vs ET1		ET-1+JQ1 vs ET1	
	mean	log2(FC)	P-adj	log2(FC)	P-adj	log2(FC)	P-adj	log2(FC)	P-adj	log2(FC)	P-adj	log2(FC)	P-adj	log2(FC)	P-adj	log2(FC)	P-adj	log2(FC)	P-adj
Sel1l	264,08	0,05	0,8878	-0,21	0,4543	0,06	1,0000	0,18	0,7688	0,30	0,1510	-0,36	0,2800	0,01	0,9905	-0,02	0,9911	0,14	0,6716
Sel1l3	6,03	0,46	0,4689	1,38	0,0021	0,25	NA	0,46	NA	-0,22	0,7860	0,97	0,1045	0,16	NA	0,38	0,7393	-0,63	0,3502
Selenbp1	3,84	-0,03	0,9738	0,12	0,9075	0,12	NA	-0,09	NA	-0,66	0,3083	-0,20	0,8445	-0,04	NA	-0,22	NA	-0,40	0,6125
Selk	67,21	0,15	0,7422	-0,34	0,3726	-0,05	1,0000	0,16	0,8903	-0,30	0,4419	-0,01	0,9908	-0,15	0,8414	0,12	0,9214	-0,07	0,9090
Selm	37,15	-0,36	0,4834	0,18	0,8024	0,01	1,0000	-0,21	0,8939	-1,37	0,0004	0,73	0,1330	0,20	0,8099	-0,41	0,6256	-0,97	0,0351
Selo	15,21	-0,05	0,9527	0,28	0,6865	0,12	NA	0,08	0,9797	0,28	0,5997	0,38	0,6592	0,25	NA	0,12	0,9480	0,27	0,6521
Selt	310,93	0,23	0,3559	-0,49	0,0323	-0,04	1,0000	0,25	0,6207	0,15	0,6285	-0,11	0,8292	0,27	0,4848	0,11	0,8784	0,21	0,6093
Sema3a	5,68	-0,16	0,8525	-0,07	0,9520	0,07	NA	-0,27	NA	-0,78	0,2052	0,22	0,8493	0,57	NA	-0,12	NA	-0,77	0,2862
Sema3c	84,67	1,04	0,0000	-0,08	0,9013	0,03	1,0000	-0,05	0,9853	-0,18	0,6728	-0,70	0,0358	-0,51	0,1666	-0,92	0,0027	-0,44	0,2841
Sema3d	7,38	-0,22	0,7745	0,23	0,7841	-0,39	NA	-0,69	NA	-1,53	0,0038	0,35	0,7350	-0,23	NA	-0,60	NA	-1,01	0,1298
Sema3e	3,70	0,74	0,1887	0,53	0,3838	0,15	NA	-0,12	NA	0,37	0,6095	-0,33	0,7579	-0,60	NA	-0,50	NA	-0,31	0,7188
Sema4b	34,28	-0,39	0,3418	-0,06	0,9337	-0,21	1,0000	-0,08	0,9727	-0,06	0,9024	-0,06	0,9566	-0,33	0,6678	0,24	0,8309	0,34	0,5319
Sema4c	12,17	-0,53	0,3126	-0,03	0,9752	0,03	NA	-0,09	0,9746	-0,19	0,7497	0,39	0,6791	-0,03	NA	0,00	1,0000	0,31	0,6723
Sema4d	17,98	-0,01	0,9901	1,54	0,0000	0,26	NA	0,39	0,6392	-0,81	0,0808	0,78	0,1902	-0,23	NA	-0,17	0,9189	-0,73	0,2177
Sema4g	1,03	-0,01	NA	2,16	0,0000	0,01	NA	-0,10	NA	-0,06	0,9396	1,00	0,1142	0,00	NA	-0,12	NA	0,16	NA
Sema5a	125,79	-0,37	0,2215	-0,14	0,8023	-0,06	1,0000	-0,42	0,4154	-0,23	0,5200	0,17	0,7630	0,40	0,3109	-0,36	0,4676	-0,02	0,9669
Sema6a	4,79	-0,43	0,5355	1,30	0,0039	-0,02	NA	-0,25	NA	0,43	0,5058	1,65	0,0022	-0,03	NA	0,13	NA	0,63	0,3790
Sema6c	13,76	-0,73	0,1002	0,54	0,2764	0,09	NA	0,02	0,9925	0,30	0,6147	0,88	0,1566	-0,07	NA	0,64	0,4101	0,83	0,1562
Sema6d	269,60	-0,89	0,0000	-0,42	0,0396	-0,25	0,9754	-0,09	0,9364	0,09	0,7621	0,37	0,3730	0,49	0,1635	0,67	0,0252	0,99	0,0001
Sema7a	1,25	0,62	NA	0,26	NA	0,00	NA	0,04	NA	0,19	NA	-0,12	0,9253	-0,42	NA	-0,21	NA	-0,37	0,6559
Senp1	46,11	-0,27	0,4887	0,16	0,7700	-0,02	1,0000	-0,19	0,8695	-0,72	0,0150	0,41	0,4517	0,13	0,8713	0,06	0,9705	-0,28	0,5692
Senp2	84,71	0,21	0,5330	0,39	0,2434	0,16	1,0000	0,28	0,6770	0,25	0,4747	0,19	0,7612	0,10	0,8846	0,04	0,9792	-0,01	0,9923
Senp3	86,58	-0,07	0,8836	0,20	0,6741	-0,08	1,0000	-0,10	0,9529	0,09	0,8145	0,06	0,9432	-0,15	0,8375	-0,02	0,9931	0,14	0,7754
Senp5	148,32	0,12	0,6989	0,02	0,9752	-0,13	1,0000	0,04	0,9853	0,08	0,7973	-0,11	0,8465	-0,07	0,9138	-0,12	0,8915	0,04	0,9226
Senp6	294,42	0,01	0,9858	-0,23	0,3916	0,06	1,0000	0,10	0,9220	-0,19	0,3518	-0,35	0,4006	0,15	0,7881	-0,02	0,9918	-0,11	0,7671
Senp7	78,47	-0,60	0,0092	-0,23	0,5607	-0,06	1,0000	0,06	0,9764	-0,52	0,0442	0,31	0,5784	0,62	0,0918	0,23	0,7660	-0,16	0,6927
Senp8	33,94	0,19	0,7238	-0,15	0,8391	-0,05	NA	0,48	0,4566	0,40	0,3313	-0,03	0,9789	-0,02	0,9876	0,13	0,9179	0,16	0,7966
Sep15	125,56	0,49	0,0397	0,07	0,8895	0,01	1,0000	0,16	0,8579	-0,06	0,8665	0,08	0,9026	-0,10	0,8852	0,11	0,9144	-0,29	0,4476
Sephs1	50,75	-0,24	0,5522	-1,00	0,0010	-0,21	1,0000	-0,14	0,9250	-0,48	0,1196	-0,60	0,2558	0,06	0,9530	-0,02	0,9936	-0,55	0,1644
Sephs2	40,84	0,43	0,2369	-0,10	0,8912	-0,11	1,0000	-0,10	0,9633	-0,17	0,7184	-0,06	0,9431	-0,12	0,8818	-0,27	0,7678	-0,48	0,2201
Sepn1	110,45	0,20	0,5856	-0,51	0,1027	-0,02	1,0000	-0,13	0,9250	0,02	0,9580	-0,74	0,0360	-0,36	0,4392	-0,31	0,5911	-0,19	0,6739
Sepp1	103,30	-0,91	0,0026	0,03	0,9750	0,13	1,0000	-0,50	0,3043	-1,82	0,0000	0,89	0,0193	0,70	0,0922	-0,37	0,6212	-1,03	0,0044
Sepsecs	25,24	-0,02	0,9742	0,35	0,5489	-0,15	NA	-0,02	0,9901	0,05	0,9444	0,34	0,6542	-0,11	0,9118	0,16	0,9065	-0,21	0,7253
Sept10	25,00	-0,05	0,9450	0,06	0,9511	0,17	NA	-0,09	0,9701	-0,39	0,4111	-0,11	0,9195	0,36	0,6067	-0,27	0,8122	-0,36	0,4848
Sept11	84,38	0,51	0,2001	0,07	0,9109	-0,23	1,0000	-0,10	0,9563	0,59	0,0277	-0,96	0,0327	-0,81	0,0759	-0,74	0,1418	0,29	0,5635
Sept2	606,00	0,30	0,0730	-0,08	0,7858	-0,02	1,0000	-0,02	0,9860	-0,17	0,2922	0,01	0,9816	-0,04	0,9488	-0,21	0,6406	-0,21	0,3793
Sept3	9,46	-0,10	0,9085	1,49	0,0002	-0,06	NA	-0,17	0,9272	-0,18	0,8130	0,86	0,1857	0,04	NA	-0,63	0,4659	-0,28	0,7301
Sept4	25,90	-1,53	0,0000	0,21	0,7535	0,28	1,0000	0,04	0,9853	-1,24	0,0033	1,40	0,0051	0,83	NA	0,34	0,7864	-1,12	0,0774
Sept5	7,27	-0,24	0,7653	1,30	0,0041	0,14	NA	0,51	0,4647	-0,09	0,9171	1,17	0,0535	0,20	NA	1,19	0,0312	0,46	0,5302
Sept6	30,53	0,12	0,8266	-0,28	0,6440	-0,16	NA	-0,09	0,9727	-0,38	0,4011	-0,39	0,6043	-0,34	0,6288	-0,33	0,7198	-0,25	0,6570
Sept7	420,67	0,28	0,0735	0,10	0,7197	0,01	1,0000	0,19	0,6748	-0,12	0,6210	0,13	0,7691	0,13	0,7920	0,04	0,9608	-0,19	0,6665
Sept8	115,93	0,10	0,8040	-0,09	0,8507	-0,05	1,0000	-0,48	0,1923	-1,10	0,0000	-0,12	0,8476	0,03	0,9726	-0,77	0,0229	-1,28	0,0000
Sept9	15,27	-0,15	0,8344	1,13	0,0037	0,30	NA	-0,52	0,4671	-1,49	0,0018	0,73	0,2331	0,07	NA	-1,11	0,0539	-2,10	0,0001
Sepw1	70,48	-0,24	0,6247	0,10	0,8631	0,14	1,0000	0,17	0,8923	0,14	0,7078	0,34	0,6114	-0,14	0,8757	0,10	0,9442	0,32	0,6039
Serac1	27,89	-0,20	0,7392	0,08	0,9290	0,01	NA	0,02	0,9901	0,27	0,5887	0,13	0,8987	0,51	0,3675	0,35	0,6995	0,21	0,6842

GeneID	CTL	ET-1 vs CTL		SAHA vs CTL		JS28 vs CTL		BSP vs CTL		JQ1 vs CTL		ET-1+SAHA vs ET1		ET-1+JS28 vs ET1		ET-1+BSP vs ET1		ET-1+JQ1 vs ET1	
	mean	log2(FC)	P-adj	log2(FC)	P-adj	log2(FC)	P-adj	log2(FC)	P-adj	log2(FC)	P-adj	log2(FC)	P-adj	log2(FC)	P-adj	log2(FC)	P-adj	log2(FC)	P-adj
Serbp1	633,59	0,25	0,2703	-0,03	0,9551	-0,17	1,0000	0,18	0,7489	0,03	0,8986	-0,17	0,6955	-0,11	0,8399	0,10	0,8915	-0,08	0,8027
Serf1	16,61	-0,43	0,4205	-0,49	0,4084	-0,09	NA	-0,19	0,9110	-0,56	0,2524	0,07	0,9525	0,19	NA	0,25	0,8525	-0,16	0,8294
Serf2	171,58	0,47	0,0277	-0,18	0,6060	-0,24	1,0000	-0,27	0,6103	0,11	0,6769	-0,19	0,7131	-0,22	0,6413	-0,37	0,3908	-0,10	0,7798
Sergef	7,03	-0,02	0,9862	-0,28	0,7412	-0,14	NA	-0,25	NA	-0,52	0,4240	0,15	0,9081	0,02	NA	-0,11	0,9552	-0,11	0,9106
Serhl	25,93	-0,18	0,7869	-0,41	0,4737	-0,14	NA	-0,36	0,7021	0,13	0,8084	-0,01	0,9976	-0,06	0,9559	-0,11	0,9528	0,03	0,9785
Serinc1	420,57	0,16	0,4343	-0,25	0,2809	0,00	1,0000	0,11	0,8917	-0,06	0,8450	-0,01	0,9900	0,02	0,9784	-0,01	0,9947	0,00	0,9982
Serinc2	2,20	0,45	NA	0,87	0,0982	0,06	NA	-0,09	NA	-0,19	0,7978	0,73	0,3443	-0,06	NA	-0,06	NA	-0,76	0,2881
Serinc3	898,03	-0,15	0,6549	0,37	0,2420	0,21	1,0000	0,30	0,5981	0,27	0,3260	0,57	0,0185	0,33	0,2861	0,36	0,2356	0,51	0,0284
Serinc4	6,58	0,38	0,5924	-0,27	0,7352	-0,26	NA	-0,40	NA	0,20	0,8081	-0,24	0,8373	-0,03	NA	-0,96	0,1121	0,01	0,9956
Serinc5	81,24	-0,48	0,0768	0,30	0,4122	0,22	1,0000	0,54	0,1175	0,39	0,1317	0,60	0,1237	0,57	0,1357	1,03	0,0002	0,99	0,0000
Serp1	130,74	0,38	0,1834	-0,31	0,4477	0,09	1,0000	0,22	0,7993	0,22	0,5308	-0,56	0,1022	-0,09	0,8869	-0,19	0,7903	-0,05	0,9388
Serpina3i	9,61	-0,54	0,3907	-0,18	0,8474	-0,42	NA	-0,41	0,6298	-0,96	0,0818	0,26	0,8135	-0,45	NA	-0,57	NA	-0,69	0,3511
Serpina3n	2,37	-0,26	0,7184	-0,46	0,4602	-0,14	NA	-0,34	NA	-0,47	0,4952	-0,11	NA	-0,18	NA	-0,25	NA	-0,41	NA
Serpinb1a	2,66	0,27	0,7255	0,83	0,1400	0,05	NA	-0,26	NA	-0,44	0,5107	1,17	0,0605	-0,49	NA	-0,38	NA	-0,71	0,3320
Serpinb1b	1,56	-0,16	NA	-0,29	0,5968	-0,11	NA	-0,15	NA	-0,52	0,2983	-0,27	NA	-0,19	NA	-0,21	NA	-0,36	NA
Serpinb1c	6,60	0,76	0,1606	0,34	0,6737	-0,06	NA	-0,42	NA	-1,02	0,0776	0,12	0,9257	-0,64	NA	-1,01	0,1009	-2,05	0,0003
Serpinb6a	117,29	-0,25	0,4635	-0,47	0,0884	0,13	1,0000	-0,32	0,5142	-0,98	0,0000	-0,12	0,8620	0,24	0,6742	-0,31	0,6427	-0,66	0,0345
Serpinb6b	20,31	-0,29	0,6075	-0,52	0,3358	-0,02	NA	-0,73	0,1399	-2,05	0,0000	0,48	0,5086	0,47	NA	-0,95	0,1176	-1,41	0,0046
Serpinb8	11,84	0,10	0,8958	0,12	0,9011	0,17	NA	-0,47	0,5531	-0,73	0,1837	0,59	0,4027	0,07	NA	-0,11	0,9548	-0,24	0,7288
Serpinb9	125,11	-0,47	0,0662	-1,52	0,0000	-0,13	1,0000	-1,23	0,0000	-2,65	0,0000	-0,39	0,4392	0,31	0,5435	-1,02	0,0042	-2,26	0,0000
Serpinb9b	12,93	1,62	0,0001	-0,10	0,9203	-0,10	NA	-0,39	NA	-0,96	0,0967	-1,22	0,0339	-1,35	NA	-1,99	0,0000	-2,99	0,0000
Serpine1	75,34	1,69	0,0001	0,25	0,7481	-0,17	NA	-0,59	0,3466	-0,75	0,1595	-0,99	0,1442	-0,94	0,0874	-1,22	0,0266	-1,35	0,0257
Serpine2	78,80	-0,06	0,9191	0,21	0,7154	-0,39	0,9326	-0,72	0,0792	-0,63	0,0540	0,63	0,1143	-0,02	0,9818	-0,19	0,8446	-0,24	0,5782
Serpinh1	488,80	0,65	0,0030	-0,46	0,0966	-0,16	1,0000	-0,05	0,9798	0,04	0,9119	-1,23	0,0000	-1,18	0,0000	-0,73	0,0054	-0,41	0,1708
Sertad1	15,50	-0,10	0,8867	-0,74	0,1520	-0,25	NA	0,17	0,9304	0,95	0,0067	-0,29	0,7715	-0,35	NA	0,35	0,7438	1,12	0,0085
Sertad2	206,08	0,32	0,1781	-0,02	0,9688	0,09	1,0000	-0,22	0,7573	0,14	0,6113	-0,06	0,9180	-0,19	0,6785	-0,27	0,5435	0,07	0,8281
Sertad3	5,63	-0,08	0,9297	0,16	0,8697	-0,11	NA	-0,02	NA	-0,26	0,7298	0,47	0,6203	-0,25	NA	-0,18	NA	0,01	0,9951
Sertad4	23,42	-0,66	0,1217	-0,63	0,1904	0,08	NA	0,22	0,8671	-0,27	0,5887	-0,13	0,9079	0,65	0,2766	-0,05	0,9865	-0,84	0,1650
Sesn1	71,41	-0,55	0,0330	-0,11	0,8295	0,39	0,6790	0,18	0,8587	-0,61	0,0173	0,50	0,2520	0,87	0,0064	0,80	0,0188	-0,05	0,9351
Sesn2	55,50	0,83	0,0217	-0,14	0,8360	-0,14	1,0000	-0,38	0,6330	0,19	0,6959	-1,20	0,0066	-1,33	0,0007	-1,14	0,0090	-0,46	0,3345
Sesn3	58,24	-0,52	0,1006	0,55	0,1167	0,11	1,0000	0,52	0,2309	1,02	0,0001	0,86	0,0165	0,46	0,3383	0,88	0,0118	1,30	0,0001
Sestd1	109,93	-0,29	0,3362	0,23	0,5566	-0,10	1,0000	0,18	0,8579	-0,19	0,5313	0,17	0,7827	0,13	0,8504	0,03	0,9909	0,11	0,7916
Set	251,16	0,30	0,2686	-0,50	0,0331	-0,13	1,0000	-0,07	0,9604	-0,40	0,0507	-0,82	0,0050	-0,09	0,8885	-0,12	0,8847	-0,36	0,2249
Setbp1	106,35	-0,16	0,6360	-0,45	0,1074	0,16	1,0000	0,15	0,8736	-0,57	0,0389	-0,48	0,2614	-0,06	0,9408	0,08	0,9392	-0,38	0,3232
Setd1a	81,94	0,02	0,9635	-0,12	0,8214	0,12	1,0000	0,15	0,9015	0,60	0,0450	-0,55	0,2100	-0,30	0,5824	-0,03	0,9911	0,55	0,1562
Setd1b	116,33	-0,35	0,2491	-0,90	0,0005	-0,16	1,0000	0,06	0,9764	0,62	0,0841	-1,06	0,0019	-0,31	0,5582	0,48	0,2683	0,81	0,0454
Setd2	327,57	-0,34	0,0667	-0,22	0,3833	-0,02	1,0000	0,18	0,7219	0,47	0,0085	-0,22	0,6186	0,19	0,6729	0,39	0,2274	0,70	0,0001
Setd3	105,62	0,23	0,4178	0,21	0,5701	0,05	1,0000	0,05	0,9815	-0,25	0,3527	0,12	0,8417	-0,09	0,8988	-0,22	0,7488	-0,41	0,1780
Setd4	5,15	-0,55	0,3717	-0,51	0,4537	0,07	NA	0,15	0,9422	0,17	0,8180	-0,15	0,9034	0,32	NA	0,43	NA	0,22	0,8051
Setd5	269,08	-0,05	0,8714	0,28	0,2329	0,10	1,0000	0,03	0,9853	0,15	0,4929	0,10	0,8344	0,06	0,9223	-0,03	0,9852	0,18	0,4652
Setd6	23,42	0,57	0,1985	0,36	0,5603	0,17	NA	0,14	0,9469	0,35	0,5048	-0,13	0,8958	-0,12	0,9052	-0,22	0,8567	-0,46	0,3713
Setd7	484,54	0,05	0,8670	-0,67	0,0001	-0,09	1,0000	0,02	0,9860	0,56	0,0000	-0,57	0,0332	-0,08	0,8732	-0,04	0,9616	0,61	0,0002
Setd8	101,67	0,43	0,0840	-0,10	0,8266	-0,19	1,0000	-0,41	0,3290	0,06	0,8706	-0,43	0,3288	-0,46	0,2805	-0,73	0,0428	-0,04	0,9348
Setdb1	62,82	-0,16	0,6765	-0,16	0,7412	0,14	1,0000	-0,10	0,9500	0,18	0,5964	-0,08	0,9257	0,01	0,9946	0,00	1,0000	0,50	0,0899
Setdb2	13,46	-0,13	0,8619	0,73	0,1141	0,08	NA	-0,03	0,9866	-0,45	0,4235	0,73	0,2468	0,44	NA	0,05	0,9853	0,03	0,9782

GeneID	CTL	ET-1 vs CTL		SAHA vs CTL		JS28 vs CTL		BSP vs CTL		JQ1 vs CTL		ET-1+SAHA vs ET1		ET-1+JS28 vs ET1		ET-1+BSP vs ET1		ET-1+JQ1 vs ET1	
	mean	log2(FC)	P-adj	log2(FC)	P-adj	log2(FC)	P-adj	log2(FC)	P-adj	log2(FC)	P-adj	log2(FC)	P-adj	log2(FC)	P-adj	log2(FC)	P-adj	log2(FC)	P-adj
Setmar	3,78	-0,20	0,8118	-0,22	0,8112	0,36	NA	0,08	NA	-0,16	0,8441	-0,13	0,9216	0,32	NA	-0,11	NA	-0,36	0,6732
Setx	268,97	-0,17	0,4399	-0,37	0,0766	-0,07	1,0000	0,08	0,9430	0,14	0,6095	-0,22	0,6077	0,19	0,6719	0,29	0,4705	0,26	0,4754
Sez6l2	1,35	0,31	NA	-0,20	NA	-0,04	NA	-0,06	NA	0,50	0,4381	0,13	0,9176	-0,28	NA	-0,01	NA	-0,01	0,9929
Sf1	165,00	0,12	0,7156	-0,17	0,6232	-0,11	1,0000	-0,06	0,9674	0,67	0,0021	-0,49	0,1864	-0,31	0,4836	-0,25	0,6731	0,43	0,2095
Sf3a1	151,73	0,02	0,9580	-0,48	0,0368	-0,15	1,0000	-0,11	0,9183	0,26	0,3603	-0,62	0,0465	-0,27	0,5215	-0,08	0,9347	0,34	0,1875
Sf3a2	28,13	0,36	0,5328	0,13	0,8714	0,04	NA	-0,25	0,8504	0,65	0,1835	-0,61	0,3788	-0,52	0,4418	-0,52	0,5324	0,28	0,7093
Sf3a3	39,98	0,26	0,5161	0,11	0,8587	0,21	1,0000	0,06	0,9798	-0,20	0,6498	-0,10	0,9089	0,00	0,9963	-0,21	0,8364	-0,21	0,6531
Sf3b1	469,66	0,06	0,8500	0,00	0,9960	-0,05	1,0000	0,00	0,9978	0,09	0,7138	0,00	0,9976	0,22	0,5746	0,01	0,9966	0,16	0,5823
Sf3b2	236,18	-0,16	0,6271	-0,23	0,4929	-0,17	1,0000	-0,09	0,9440	0,07	0,8202	-0,22	0,6416	-0,30	0,4788	0,03	0,9818	0,32	0,3707
Sf3b3	212,39	0,22	0,4061	-0,23	0,3632	-0,24	1,0000	-0,12	0,8832	0,21	0,3385	-0,32	0,4455	-0,37	0,3629	-0,39	0,3648	0,14	0,7046
Sf3b4	20,50	0,43	0,3354	0,08	0,9288	0,15	NA	-0,08	0,9769	0,71	0,0986	-0,37	0,6397	-0,72	NA	-0,51	0,5141	0,34	0,5946
Sf3b5	33,94	0,11	0,8382	0,01	0,9919	-0,05	1,0000	-0,07	0,9770	0,04	0,9411	0,04	0,9727	-0,30	0,6649	-0,04	0,9854	0,24	0,6285
Sf3b6	55,50	0,09	0,8628	0,04	0,9550	-0,37	0,9651	0,10	0,9628	-0,37	0,3603	0,37	0,4684	-0,02	0,9794	-0,03	0,9918	-0,21	0,6331
Sf1	172,11	-0,60	0,0408	-0,26	0,4774	-0,22	1,0000	-0,19	0,8353	0,02	0,9590	0,06	0,9407	0,23	0,7068	0,09	0,9483	0,33	0,4403
Sfmbt1	84,19	0,20	0,5698	0,07	0,8953	0,07	1,0000	-0,14	0,9251	0,02	0,9681	-0,02	0,9822	0,05	0,9517	-0,18	0,8320	-0,06	0,9029
Sfmbt2	18,14	0,24	0,7276	0,62	0,2166	0,17	NA	0,03	0,9860	-0,05	0,9539	0,10	0,9343	-0,23	NA	-0,44	0,6494	-0,46	0,4484
Sfpq	272,89	-0,07	0,8391	-0,11	0,7693	0,04	1,0000	0,15	0,8504	-0,43	0,0276	-0,14	0,7960	0,32	0,3904	0,02	0,9911	-0,60	0,0153
Sfr1	101,03	-0,37	0,2089	0,02	0,9750	-0,21	1,0000	0,08	0,9610	-0,23	0,4393	0,21	0,7574	0,38	0,4379	0,40	0,4306	0,21	0,5882
Sfrp1	165,21	-0,78	0,0077	-0,41	0,1553	-0,05	1,0000	-0,91	0,0001	-0,19	0,4906	0,25	0,7173	0,36	0,5303	-0,18	0,8655	0,19	0,7092
Sfrp2	1,21	-0,09	NA	0,04	0,9703	-0,05	NA	-0,15	NA	-0,33	NA	-0,06	NA	0,24	NA	-0,06	NA	0,10	NA
Sfrp5	45,03	-2,54	0,0000	-1,95	0,0000	-0,34	1,0000	0,23	0,8671	0,31	0,6376	-0,25	0,8291	0,82	NA	1,91	0,0000	2,12	0,0000
Sfswap	76,80	-0,23	0,6008	-0,01	0,9894	-0,13	1,0000	-0,13	0,9264	0,03	0,9441	-0,26	0,7124	0,23	0,7226	-0,02	0,9927	0,25	0,5753
Sft2d1	6,69	0,05	0,9616	0,46	0,5040	0,03	NA	0,02	NA	0,20	0,7935	0,09	0,9470	0,23	NA	0,33	0,7954	-0,21	0,8078
Sft2d2	80,84	-0,08	0,8554	0,09	0,8644	0,07	1,0000	0,08	0,9634	-0,25	0,3990	-0,05	0,9522	0,01	0,9963	-0,25	0,7463	-0,32	0,3900
Sft2d3	5,88	-0,21	0,7928	0,00	0,9996	-0,14	NA	-0,07	NA	0,46	0,4561	-0,06	0,9681	0,30	NA	0,28	0,8432	0,32	0,6864
Sfxn1	21,18	0,25	0,6454	0,13	0,8703	0,04	NA	-0,04	0,9853	-0,42	0,3987	-0,24	0,7960	-0,36	0,6320	-0,70	0,2867	-0,85	0,0723
Sfxn2	1,43	0,16	NA	0,47	0,4255	-0,07	NA	0,19	NA	0,61	0,3414	-0,05	NA	-0,09	NA	0,07	NA	0,19	0,8365
Sfxn3	31,65	0,06	0,9186	0,12	0,8644	0,06	1,0000	-0,30	0,7648	0,28	0,5447	-0,11	0,9112	-0,30	0,6759	-0,24	0,8285	0,47	0,4041
Sfxn4	8,52	-0,57	0,3168	0,20	0,8159	-0,23	NA	-0,26	0,8554	-1,27	0,0183	0,35	0,7388	0,30	NA	-0,32	NA	-0,20	0,8262
Sfxn5	3,15	0,26	0,7358	-0,10	0,9241	-0,01	NA	-0,10	NA	0,56	0,4071	-0,16	0,8923	0,00	NA	-0,19	NA	-0,18	0,8481
Sgca	29,14	-0,73	0,1143	0,14	0,8570	0,13	1,0000	-0,67	0,2032	-1,96	0,0000	0,67	0,2969	0,66	0,2667	-0,49	0,6034	-1,24	0,0439
Sgcb	149,29	0,12	0,7528	-0,38	0,1830	0,01	1,0000	0,37	0,3246	0,32	0,1710	-0,30	0,5133	0,15	0,7981	0,51	0,1365	0,23	0,5300
Sgcd	110,85	0,65	0,0055	-0,67	0,0301	-0,21	1,0000	-0,67	0,0532	-2,00	0,0000	-1,11	0,0004	-0,57	0,1054	-0,97	0,0014	-1,89	0,0000
Sgce	135,87	-0,53	0,0056	-0,78	0,0001	-0,17	1,0000	-0,46	0,1234	-2,23	0,0000	-0,16	0,8019	0,23	0,6588	-0,04	0,9789	-1,67	0,0000
Sgcg	126,25	-0,90	0,0004	-1,11	0,0000	-0,42	0,6015	-0,18	0,8643	-2,48	0,0000	-0,08	0,9219	0,39	0,4453	-0,20	0,8360	-2,07	0,0000
Sgk1	11,61	0,27	0,7142	0,54	0,4018	0,28	NA	0,16	0,9371	-0,03	0,9698	-0,26	0,8015	0,30	NA	-0,46	0,6494	-0,04	0,9612
Sgk3	32,89	-0,22	0,6452	-0,01	0,9910	0,01	1,0000	0,02	0,9901	-0,79	0,0283	0,26	0,7385	0,59	0,2530	0,17	0,8933	-0,38	0,4522
Sgms1	135,89	-0,33	0,2516	-0,09	0,8562	0,05	1,0000	0,32	0,5298	0,46	0,0478	0,16	0,7891	0,12	0,8536	-0,03	0,9862	0,56	0,0274
Sgms2	3,61	0,85	0,1064	-0,09	0,9174	0,09	NA	0,13	NA	1,02	0,0815	-0,62	0,4466	-0,55	NA	-0,60	NA	0,76	0,2562
Sgol1	2,04	-0,37	NA	-0,25	0,7512	0,02	NA	-0,08	NA	-0,19	0,8118	-0,16	NA	0,33	NA	0,12	NA	-0,09	NA
Sgol2	3,97	-0,22	0,7872	0,56	0,3893	0,17	NA	0,17	NA	0,06	0,9505	0,50	0,5778	0,11	NA	-0,03	NA	-0,03	0,9808
Sgpl1	47,88	-0,07	0,8903	-0,34	0,4177	0,15	1,0000	-0,05	0,9853	0,38	0,1753	-0,39	0,5316	0,09	0,9173	-0,31	0,7186	0,45	0,2333
Sgpp1	43,15	0,16	0,7141	-0,42	0,3132	0,11	1,0000	0,21	0,8500	0,71	0,0140	-0,06	0,9478	0,03	0,9726	0,14	0,9074	0,24	0,5696
Sgsh	64,70	-0,17	0,6819	-0,18	0,7512	0,08	1,0000	0,06	0,9798	0,70	0,0059	-0,07	0,9340	-0,03	0,9726	0,52	0,2328	0,83	0,0054
Sgsm1	2,36	0,26	0,7307	0,84	0,1256	0,18	NA	0,01	NA	-0,13	0,8732	0,27	0,7985	0,00	NA	-0,31	NA	-0,30	0,7346

GeneID	CTL	ET-1 vs CTL		SAHA vs CTL		JS28 vs CTL		BSP vs CTL		JQ1 vs CTL		ET-1+SAHA vs ET1		ET-1+JS28 vs ET1		ET-1+BSP vs ET1		ET-1+JQ1 vs ET1	
	mean	log2(FC)	P-adj	log2(FC)	P-adj	log2(FC)	P-adj	log2(FC)	P-adj	log2(FC)	P-adj	log2(FC)	P-adj	log2(FC)	P-adj	log2(FC)	P-adj	log2(FC)	P-adj
Sgsm2	113,14	-0,27	0,4802	-0,01	0,9895	-0,39	0,8412	-0,13	0,9430	-0,05	0,9080	0,11	0,8709	-0,41	0,3646	0,23	0,7271	0,21	0,5921
Sgsm3	15,52	0,33	0,5832	0,81	0,0778	0,24	NA	0,09	0,9746	0,25	0,6790	0,08	0,9435	-0,63	NA	-0,18	0,9074	-0,05	0,9550
Sgt	104,67	0,10	0,7668	0,29	0,3145	0,10	1,0000	0,01	0,9952	0,33	0,1724	0,04	0,9534	-0,40	0,3675	-0,25	0,6885	0,18	0,6548
Sgtb	9,90	-0,41	0,5179	0,71	0,1907	0,24	NA	0,38	0,6892	0,84	0,0621	0,78	0,2581	0,27	NA	0,44	0,6783	1,15	0,0195
Sh2b1	78,07	0,00	0,9933	-0,08	0,9047	0,00	1,0000	-0,11	0,9472	0,43	0,2088	-0,66	0,1294	-0,48	0,3082	0,03	0,9875	0,40	0,4095
Sh2b3	10,48	-0,04	0,9650	0,27	0,7364	-0,04	NA	0,05	0,9853	0,64	0,2254	-0,25	0,8291	-0,03	NA	0,25	0,8590	0,39	0,6182
Sh2d4a	4,51	-0,13	0,8846	-0,21	0,8194	-0,18	NA	-0,40	NA	-1,40	0,0082	-0,42	0,6548	-0,38	NA	-0,51	NA	-1,06	0,1060
Sh2d5	1,40	-0,13	NA	0,46	0,4496	0,00	NA	-0,06	NA	0,27	0,7125	0,39	NA	0,00	NA	0,06	NA	-0,14	NA
Sh3bgr	319,59	0,43	0,1815	-0,06	0,9250	-0,16	1,0000	0,11	0,9372	-0,81	0,0001	0,17	0,7985	-0,03	0,9678	0,21	0,7926	-0,71	0,0210
Sh3bgrl	208,11	-0,45	0,0562	-0,38	0,1846	0,11	1,0000	0,20	0,7737	-0,08	0,8029	0,42	0,2621	0,67	0,0220	0,49	0,1559	0,31	0,4427
Sh3bgrl3	5,50	-0,14	0,8733	0,13	0,8947	0,00	NA	-0,07	NA	-0,12	0,8867	-0,03	0,9836	-0,29	NA	-0,35	NA	0,12	0,9070
Sh3bp1	7,28	-0,50	0,4410	1,07	0,0211	0,13	NA	-0,22	0,8894	-0,07	0,9332	1,18	0,0549	0,34	NA	0,17	NA	0,67	0,3459
Sh3bp2	2,28	-0,03	0,9778	0,33	0,6469	0,15	NA	-0,13	NA	-0,42	0,5222	-0,14	NA	0,22	NA	-0,10	NA	-0,37	0,6514
Sh3bp4	19,98	0,70	0,0905	0,57	0,2919	0,32	NA	0,00	0,9989	0,38	0,5227	0,20	0,8240	-0,17	0,8536	-0,69	0,2808	-0,13	0,8464
Sh3bp5	15,66	0,24	0,7251	0,27	0,7087	0,08	NA	-0,43	0,6132	-0,68	0,1992	0,53	0,4628	-0,19	NA	-0,48	0,6122	-0,92	0,1111
Sh3bp5l	71,66	0,54	0,0544	-0,42	0,3358	-0,21	1,0000	-0,28	0,7560	0,03	0,9492	-0,65	0,0873	-0,97	0,0028	-0,74	0,0399	-0,28	0,3953
Sh3d19	51,42	-0,33	0,3433	0,24	0,6111	0,04	1,0000	-0,03	0,9853	0,63	0,0284	0,15	0,8383	0,09	0,9173	-0,17	0,8745	1,00	0,0003
Sh3gl1	35,89	0,56	0,0830	-0,07	0,9264	-0,25	NA	-0,37	0,6648	0,30	0,4608	-0,47	0,3983	-0,81	0,0649	-0,52	0,3952	-0,09	0,8618
Sh3gl3	7,78	-1,02	0,0375	0,53	0,3782	0,04	NA	0,09	0,9753	-1,06	0,0494	1,11	0,0831	0,16	NA	0,48	NA	0,47	0,5602
Sh3glb1	396,54	0,13	0,6178	0,12	0,6904	0,12	1,0000	0,20	0,6648	-0,02	0,9275	0,00	0,9976	0,09	0,8732	0,02	0,9918	-0,23	0,3895
Sh3glb2	41,92	-0,29	0,5059	0,61	0,0748	0,32	1,0000	0,32	0,6770	0,12	0,8255	0,67	0,1571	0,17	0,8354	0,42	0,5524	0,27	0,5946
Sh3kbp1	155,45	0,54	0,1501	0,18	0,7446	-0,12	1,0000	-0,55	0,2051	-0,88	0,0024	0,18	0,8025	-0,09	0,9118	-0,71	0,1176	-1,23	0,0002
Sh3pxd2a	176,43	-0,55	0,0183	-0,03	0,9539	0,09	1,0000	-0,11	0,9264	-0,68	0,0006	0,10	0,8906	0,30	0,5236	0,00	1,0000	-0,33	0,3493
Sh3pxd2b	19,30	0,29	0,6351	1,50	0,0000	0,28	NA	-0,24	0,8643	-0,61	0,2177	0,93	0,0778	0,19	0,8451	-0,12	0,9492	-0,90	0,1018
Sh3rf1	8,46	-0,14	0,8619	0,02	0,9859	0,03	NA	0,20	0,9088	0,41	0,5046	-0,17	0,8906	-0,31	NA	0,11	0,9570	0,70	0,2369
Sh3rf2	13,46	-1,00	0,0277	-0,21	0,7996	0,13	NA	-0,53	0,4481	-2,11	0,0000	0,81	0,2588	0,59	NA	0,05	0,9909	-0,71	0,3325
Sh3rf3	16,58	0,34	0,5673	0,01	0,9943	-0,05	NA	0,35	0,7246	0,40	0,4675	-0,09	0,9394	0,19	NA	0,59	0,3952	0,29	0,6062
Sh3tc2	3,39	0,48	0,4697	-0,16	0,8456	0,09	NA	-0,15	NA	-0,75	0,1541	-0,11	0,9359	0,00	NA	-0,21	NA	-0,83	0,2439
Sh3yl1	2,63	0,07	0,9427	0,35	0,6461	-0,05	NA	-0,02	NA	-0,03	0,9760	0,48	0,5935	-0,13	NA	-0,13	NA	-0,47	0,5576
Shank1	22,01	0,05	0,9446	0,68	0,1560	-0,11	NA	-0,18	0,9250	-0,09	0,8984	0,28	0,7527	0,13	0,8988	-0,34	0,7445	0,16	0,8301
Shank3	5,92	-0,31	0,6775	0,54	0,4060	0,04	NA	-0,27	NA	-0,61	0,3488	0,52	0,5656	-0,07	NA	-0,36	NA	-0,85	0,2308
Sharpin	28,37	0,26	0,6033	0,46	0,3568	0,01	NA	0,23	0,8658	0,57	0,1070	0,37	0,5727	-0,01	0,9946	-0,31	0,7454	0,21	0,6558
Shb	88,69	0,48	0,0556	0,11	0,8359	-0,03	1,0000	-0,10	0,9555	0,17	0,6319	-0,36	0,4089	-0,69	0,0419	-0,48	0,2384	-0,33	0,2544
Shc1	45,66	0,23	0,5628	0,81	0,0049	-0,05	1,0000	-0,32	0,6921	-0,08	0,8665	0,32	0,5808	-0,32	0,6066	-0,53	0,3570	-0,39	0,3131
Shc2	8,69	-0,39	0,5607	-0,16	0,8650	-0,07	NA	0,12	0,9614	-0,15	0,8307	0,09	0,9431	-0,02	NA	0,36	0,7668	0,05	0,9566
Shc4	2,39	0,03	0,9761	-0,27	0,6865	-0,06	NA	-0,03	NA	-0,38	0,5788	-0,06	0,9629	0,06	NA	-0,11	NA	-0,62	NA
Shcbp1	3,80	0,16	0,8527	-0,44	0,5099	0,26	NA	-0,03	NA	-0,17	0,8345	-0,44	0,6317	0,13	NA	-0,10	NA	-0,42	0,6178
Shd	1,91	0,49	NA	0,07	NA	0,10	NA	0,21	NA	-0,11	NA	-0,46	0,5680	-0,35	NA	-0,39	NA	-0,65	0,3724
She	1,04	0,16	NA	-0,15	NA	-0,03	NA	-0,04	NA	-0,17	NA	-0,06	NA	0,02	NA	-0,26	NA	-0,46	NA
Shf	3,47	-0,01	0,9901	0,26	0,7593	0,09	NA	0,23	NA	0,82	0,1671	0,03	0,9825	-0,07	NA	0,42	NA	1,04	0,0916
Shfm1	112,71	0,05	0,9297	0,18	0,6881	0,10	1,0000	0,13	0,9250	-0,09	0,8110	0,72	0,0375	0,13	0,8536	0,04	0,9800	0,20	0,6405
Shisa2	12,97	-0,58	0,2424	0,02	0,9888	0,21	NA	0,27	0,8355	0,32	0,5530	-0,27	0,8081	0,10	NA	0,62	0,4409	0,61	0,2812
Shisa3	1,91	0,72	NA	-0,01	NA	0,02	NA	0,01	NA	-0,16	NA	-0,57	0,4534	-0,01	NA	-0,57	NA	-0,77	0,2801
Shisa4	22,63	0,53	0,2473	-0,12	0,8895	-0,09	NA	-0,13	0,9574	-0,09	0,8820	-0,16	0,8689	-0,69	0,2295	-0,67	0,3198	-0,43	0,4430
Shisa5	9,45	0,08	0,9263	0,44	0,5105	0,01	NA	-0,33	0,7551	-0,65	0,2797	0,23	0,8292	-0,02	NA	-1,02	0,0969	-0,81	0,1994

GeneID	CTL	ET-1 vs CTL		SAHA vs CTL		JS28 vs CTL		BSP vs CTL		JQ1 vs CTL		ET-1+SAHA vs ET1		ET-1+JS28 vs ET1		ET-1+BSP vs ET1		ET-1+JQ1 vs ET1	
	mean	log2(FC)	P-adj	log2(FC)	P-adj	log2(FC)	P-adj	log2(FC)	P-adj	log2(FC)	P-adj	log2(FC)	P-adj	log2(FC)	P-adj	log2(FC)	P-adj	log2(FC)	P-adj
Shisa6	128,61	-0,54	0,0894	-0,55	0,0741	-0,13	1,0000	-0,70	0,0247	0,42	0,0919	-0,42	0,4300	-0,04	0,9678	-0,15	0,8974	1,02	0,0016
Shisa9	10,35	-1,37	0,0014	0,56	0,2881	-0,13	NA	0,14	0,9472	-0,24	0,6928	1,18	0,0603	0,78	NA	0,37	NA	0,47	0,5637
Shkbp1	17,66	-0,05	0,9427	0,05	0,9589	-0,19	NA	-0,72	0,1547	-1,69	0,0002	0,00	0,9979	-0,34	NA	-0,54	0,5306	-1,70	0,0011
Shmt1	6,97	0,36	0,6052	0,59	0,3509	0,00	NA	-0,38	NA	-0,68	0,2909	0,14	0,9087	-0,56	NA	-0,75	0,3224	-1,13	0,0739
Shmt2	71,80	1,44	0,0000	-0,68	0,1112	-0,24	1,0000	-0,37	0,6402	0,09	0,8506	-1,47	0,0098	-1,04	0,0505	-1,13	0,0527	-1,38	0,0015
Shoc2	157,08	0,13	0,6758	0,07	0,8867	-0,06	1,0000	0,17	0,8318	0,20	0,4024	0,09	0,8790	0,06	0,9321	-0,08	0,9327	0,39	0,0693
Shox2	39,06	0,13	0,8527	-0,54	0,3050	-0,09	1,0000	-0,37	0,6858	-0,25	0,6341	-0,76	0,2083	-0,23	0,7883	-0,55	0,4585	0,01	0,9945
Shpk	1,88	0,14	NA	0,91	0,0848	0,15	NA	-0,10	NA	0,48	0,4908	0,32	0,7592	-0,26	NA	0,21	NA	0,02	0,9863
Shprh	145,07	-0,31	0,1477	-0,25	0,3726	-0,20	1,0000	0,06	0,9674	-0,05	0,8679	-0,05	0,9371	0,21	0,6678	0,07	0,9437	0,11	0,7837
Shq1	4,52	-0,11	0,9043	0,43	0,5555	0,13	NA	0,10	NA	0,04	0,9634	0,86	0,2279	0,23	NA	-0,09	NA	-0,04	0,9753
Shroom2	51,16	0,20	0,6615	0,38	0,3868	-0,09	1,0000	-0,15	0,9269	0,02	0,9744	-0,14	0,8493	-0,40	0,4622	-0,57	0,2807	-0,30	0,4388
Shroom3	372,83	0,42	0,0152	-0,09	0,7698	-0,56	0,0083	-0,57	0,0026	0,11	0,6436	-0,48	0,1522	-1,26	0,0000	-0,98	0,0000	-0,37	0,2304
Shroom4	2,45	0,07	0,9366	0,86	0,1183	0,06	NA	-0,11	NA	0,22	0,7845	0,51	0,5568	-0,17	NA	-0,06	NA	-0,27	0,7557
Siae	33,79	-1,01	0,0007	-0,10	0,8856	-0,05	1,0000	-0,61	0,1884	-2,05	0,0000	0,77	0,1320	0,39	0,5610	-0,28	0,8179	-1,34	0,0035
Siah1a	42,02	-0,03	0,9635	-0,22	0,7071	0,28	1,0000	0,17	0,9141	-0,13	0,7795	-0,18	0,8292	0,51	0,3141	0,27	0,7608	-0,27	0,5635
Siah1b	4,14	-0,45	0,5038	-1,00	0,0452	-0,14	NA	-0,13	NA	-0,02	0,9805	-0,35	0,7092	0,34	NA	0,14	NA	0,24	0,7931
Siah2	15,99	0,50	0,3119	0,15	0,8679	0,07	NA	0,36	0,7167	0,56	0,2553	0,00	0,9986	-0,22	NA	0,03	0,9915	0,61	0,1721
Sidt2	129,49	-0,09	0,7984	-0,08	0,8654	0,20	1,0000	0,32	0,4665	0,90	0,0000	-0,21	0,7106	-0,15	0,8196	0,41	0,3390	0,81	0,0003
Sigmar1	22,68	0,78	0,0387	0,06	0,9537	0,15	NA	0,12	0,9594	-0,05	0,9390	-0,64	0,2912	-0,68	0,2180	-0,56	0,4305	-0,39	0,4322
Sik1	91,81	0,46	0,2069	0,49	0,1541	0,35	0,9430	0,09	0,9634	-0,11	0,7980	-0,25	0,7025	-0,63	0,1541	-0,79	0,0573	-0,38	0,3442
Sik2	71,16	-0,08	0,8374	0,02	0,9810	0,07	1,0000	0,53	0,1096	0,76	0,0001	-0,15	0,8228	0,07	0,9288	0,54	0,1750	0,70	0,0042
Sik3	109,78	-0,43	0,1501	-0,08	0,8867	0,12	1,0000	-0,01	0,9925	0,38	0,1906	0,02	0,9869	0,16	0,8103	0,32	0,6034	0,89	0,0117
Sike1	176,56	0,10	0,8180	-0,22	0,5235	0,00	1,0000	-0,04	0,9853	0,05	0,8772	-0,01	0,9882	0,23	0,6801	0,15	0,8723	-0,01	0,9933
Sil1	17,43	0,02	0,9773	-0,20	0,7941	0,01	NA	0,19	0,9124	0,44	0,3082	0,09	0,9407	-0,28	NA	0,36	0,7174	0,24	0,6947
Simc1	16,95	0,24	0,7045	-0,03	0,9766	0,12	NA	-0,10	0,9681	-0,04	0,9528	-0,28	0,7761	-0,26	NA	-0,46	0,6212	-0,78	0,1511
Sin3a	134,85	-0,15	0,6034	0,31	0,2149	-0,08	1,0000	0,14	0,8731	0,21	0,3818	0,13	0,8291	0,12	0,8492	0,17	0,8262	0,44	0,0830
Sin3b	107,63	-0,21	0,5273	-0,55	0,0765	0,03	1,0000	-0,04	0,9853	0,30	0,2597	-0,21	0,7224	-0,08	0,9102	0,22	0,7235	0,29	0,3006
Sipa1	3,48	-0,36	0,6150	0,05	0,9642	-0,05	NA	-0,35	NA	0,10	0,9072	0,07	0,9566	-0,05	NA	0,11	NA	0,66	0,3707
Sipa111	196,72	-0,13	0,6129	0,38	0,0891	0,01	1,0000	0,15	0,8465	0,56	0,0049	0,18	0,6828	0,05	0,9288	0,33	0,3865	0,58	0,0069
Sipa112	437,12	0,29	0,2672	0,73	0,0001	0,41	0,2681	0,37	0,2053	0,34	0,0888	0,40	0,2674	0,11	0,8465	0,14	0,8472	0,23	0,4759
Sipa113	11,57	-0,30	0,6666	0,03	0,9775	-0,08	NA	-0,02	0,9901	0,95	0,0232	-0,40	0,6911	-0,22	NA	0,00	1,0000	0,90	0,0976
Sirpa	42,14	-0,59	0,1725	-0,20	0,7694	0,22	1,0000	0,27	0,8039	-0,40	0,3205	-0,17	0,8640	0,35	0,6185	0,07	0,9751	-0,20	0,7441
Sirt1	24,31	-0,03	0,9627	-0,74	0,0909	0,00	NA	0,28	0,7841	0,78	0,0113	-0,51	0,4586	0,03	0,9780	0,51	0,4582	0,80	0,0247
Sirt2	69,27	-0,45	0,1551	0,01	0,9936	0,19	1,0000	0,06	0,9794	-0,08	0,8285	0,25	0,7162	0,13	0,8760	0,35	0,6103	0,30	0,6065
Sirt3	21,86	0,04	0,9604	0,05	0,9567	-0,07	NA	-0,26	0,8403	-0,35	0,4793	-0,09	0,9368	-0,25	NA	-0,10	0,9570	-1,00	0,0323
Sirt4	9,55	0,14	0,8561	0,37	0,6077	0,00	NA	-0,03	0,9866	0,33	0,6166	0,16	0,8905	0,31	NA	-0,31	0,8161	-0,08	0,9288
Sirt5	12,65	-0,14	0,8554	-0,10	0,9221	0,03	NA	-0,23	0,8797	-1,02	0,0449	-0,27	0,7989	-0,01	NA	-0,34	0,7813	-1,59	0,0059
Sirt6	10,40	0,10	0,9032	0,10	0,9221	-0,11	NA	-0,01	0,9943	0,40	0,4987	0,01	0,9967	0,03	NA	-0,05	0,9861	0,29	0,7066
Sirt7	23,61	0,08	0,9032	0,55	0,2171	0,09	NA	0,39	0,6195	0,94	0,0027	0,46	0,4778	0,25	0,7452	0,45	0,5469	0,45	0,3239
Siva1	11,62	0,03	0,9777	-0,25	0,7602	-0,14	NA	-0,14	0,9473	0,13	0,8390	0,16	0,8903	-0,08	NA	0,01	0,9998	0,26	0,7135
Six1	13,26	-0,63	0,1981	-0,19	0,8182	-0,26	NA	-0,37	0,7006	-0,57	0,2995	0,16	0,8911	0,05	NA	-0,14	0,9372	0,25	0,7391
Six4	39,06	-0,04	0,9438	0,29	0,5457	0,04	1,0000	0,20	0,8675	-0,04	0,9489	0,27	0,7169	0,02	0,9837	-0,17	0,8927	0,01	0,9945
Six5	22,29	-0,55	0,1774	-0,78	0,0748	-0,04	NA	-0,31	0,7605	-0,75	0,0982	-0,66	0,3461	0,00	NA	0,45	0,6027	0,03	0,9790
Ska2	77,83	0,56	0,0235	-0,71	0,0222	-0,30	1,0000	0,03	0,9853	-0,02	0,9593	-0,35	0,4735	0,10	0,8910	-0,19	0,8193	-0,17	0,7437
Ska3	1,09	-0,17	NA	-0,04	0,9673	-0,01	NA	0,00	NA	0,79	0,2015	0,07	NA	0,16	NA	-0,02	NA	0,08	NA

GeneID	CTL	ET-1 vs CTL		SAHA vs CTL		JS28 vs CTL		BSP vs CTL		JQ1 vs CTL		ET-1+SAHA vs ET1		ET-1+JS28 vs ET1		ET-1+BSP vs ET1		ET-1+JQ1 vs ET1	
	mean	log2(FC)	P-adj	log2(FC)	P-adj	log2(FC)	P-adj	log2(FC)	P-adj	log2(FC)	P-adj	log2(FC)	P-adj	log2(FC)	P-adj	log2(FC)	P-adj	log2(FC)	P-adj
Skap2	39,11	-0,56	0,1006	-0,27	0,5940	-0,17	1,0000	-0,12	0,9472	0,19	0,6240	0,44	0,4778	0,11	0,9050	0,08	0,9621	0,40	0,4111
Ski	226,50	-0,04	0,9141	-0,38	0,1157	0,14	1,0000	0,21	0,6900	0,89	0,0000	-0,54	0,1301	-0,22	0,6545	0,23	0,6935	0,94	0,0000
Skida1	12,55	-0,44	0,4208	0,38	0,5291	-0,08	NA	-0,09	0,9718	-0,06	0,9250	0,61	0,4070	0,45	NA	0,51	0,5809	0,40	0,5722
Skil	142,57	0,08	0,8626	0,12	0,8309	0,21	1,0000	0,40	0,4092	-0,29	0,4183	-0,13	0,8186	0,25	0,5851	-0,16	0,8309	-0,48	0,2404
Skiv2l	46,85	-0,28	0,4691	-0,02	0,9803	0,14	1,0000	0,18	0,8832	0,60	0,0224	-0,03	0,9754	0,02	0,9843	0,44	0,4733	0,97	0,0045
Skiv2l2	89,99	0,14	0,6995	0,15	0,7314	-0,07	1,0000	0,11	0,9330	-0,31	0,2769	0,05	0,9431	0,09	0,8994	0,02	0,9931	-0,36	0,2537
Skp1a	321,74	-0,11	0,7591	-0,21	0,3977	0,08	1,0000	0,12	0,8662	-0,03	0,9310	0,39	0,3112	0,26	0,5736	0,32	0,5141	-0,08	0,8638
Skp2	3,88	0,24	0,7646	0,27	0,7487	-0,02	NA	0,07	NA	-0,11	0,8980	0,08	0,9516	-0,14	NA	-0,07	NA	-0,20	0,8301
Sla2	4,27	0,23	0,6735	-0,17	0,8212	-0,11	NA	-0,20	NA	0,18	0,8205	0,08	0,9506	0,09	NA	-0,67	NA	-0,07	0,9479
Slain1	10,37	-0,09	0,9151	0,63	0,2459	0,05	NA	0,20	0,9118	0,15	0,8210	0,60	0,4324	-0,08	NA	-0,02	0,9957	0,18	0,8301
Slain2	347,87	0,25	0,2076	-0,03	0,9411	0,13	1,0000	0,10	0,9249	-0,12	0,6172	0,13	0,7690	0,10	0,8434	0,09	0,8974	-0,09	0,7630
Slbp	24,01	0,22	0,7029	0,07	0,9392	0,08	NA	0,27	0,8156	0,38	0,4282	-0,39	0,6261	0,15	0,8722	-0,24	0,8472	0,09	0,9046
Slc10a3	7,61	0,34	0,6234	0,24	0,7857	-0,02	NA	-0,20	NA	0,53	0,3947	-0,28	0,7928	-0,20	NA	-0,13	0,9425	0,24	0,7517
Slc10a7	23,14	-0,02	0,9837	0,57	0,2206	0,03	NA	-0,06	0,9853	-0,63	0,1646	0,13	0,8906	-0,22	NA	-0,20	0,8837	-0,64	0,1624
Slc11a2	39,45	-0,08	0,8955	0,47	0,2519	0,04	1,0000	0,08	0,9742	-0,08	0,8818	0,86	0,0316	0,07	0,9368	0,15	0,9074	0,14	0,7798
Slc12a2	65,78	0,21	0,5831	0,23	0,6400	-0,35	0,9896	0,34	0,5973	0,75	0,0038	0,06	0,9401	-0,09	0,9102	-0,01	0,9967	0,95	0,0008
Slc12a4	133,89	0,26	0,4852	-0,13	0,7638	-0,01	1,0000	0,18	0,8320	0,23	0,3816	-0,37	0,4627	-0,47	0,3110	-0,11	0,9181	0,03	0,9566
Slc12a5	1,11	0,01	NA	1,05	0,0344	0,29	NA	0,06	NA	0,45	0,5126	0,37	NA	0,04	NA	0,11	NA	0,14	NA
Slc12a6	141,77	-0,36	0,0705	-0,44	0,0565	-0,32	0,7608	-0,06	0,9649	0,39	0,0336	-0,27	0,5689	-0,03	0,9696	0,19	0,7865	0,73	0,0022
Slc12a7	80,32	0,52	0,0589	0,39	0,2434	0,10	1,0000	-0,28	0,7118	-0,26	0,4315	-0,25	0,6666	-0,40	0,4183	-0,47	0,3578	-0,61	0,0725
Slc12a9	11,73	-0,21	0,7604	0,26	0,7282	0,05	NA	-0,04	0,9853	-0,46	0,4284	0,66	0,3466	0,16	NA	-0,23	0,8816	0,29	0,6577
Slc15a2	16,27	-1,14	0,0071	-0,98	0,0426	-0,13	NA	-0,07	0,9805	0,03	0,9667	-0,21	0,8557	0,61	NA	0,62	0,4659	0,84	0,1532
Slc15a4	24,36	-0,40	0,3666	0,09	0,9011	-0,16	NA	0,01	0,9941	0,06	0,9068	0,42	0,5756	-0,04	NA	0,37	0,6900	0,33	0,5720
Slc16a1	240,52	1,44	0,0000	0,24	0,5259	0,25	1,0000	-0,10	0,9473	0,17	0,6233	-0,39	0,3652	-0,63	0,0694	-1,22	0,0000	-0,78	0,0168
Slc16a10	30,76	0,22	0,6492	-0,10	0,8895	0,02	NA	-0,01	0,9932	0,07	0,8864	-0,20	0,8176	-0,10	0,9177	0,15	0,9086	0,13	0,8209
Slc16a12	16,06	-0,62	0,2697	-0,53	0,4083	0,20	NA	-0,65	0,2353	-1,03	0,0502	0,55	0,4810	0,65	NA	-0,15	0,9321	-0,11	0,9130
Slc16a13	12,47	-0,52	0,3364	-0,78	0,1428	0,01	NA	-0,58	0,3630	-1,67	0,0005	-0,20	0,8678	0,38	NA	-0,62	0,4745	-0,53	0,4483
Slc16a2	42,17	-0,42	0,2516	-0,53	0,1626	0,14	1,0000	-0,53	0,2674	0,19	0,6517	0,05	0,9629	-0,01	0,9963	-0,13	0,9264	0,36	0,5454
Slc16a3	21,92	1,56	0,0004	1,74	0,0001	0,12	NA	-0,13	NA	0,06	0,9453	-0,03	0,9853	-0,47	0,4822	-0,66	0,3821	-1,28	0,0455
Slc16a6	29,64	1,57	0,0000	1,08	0,0107	0,10	NA	0,06	0,9853	-0,15	0,8229	-0,44	0,4271	-1,21	0,0022	-1,52	0,0000	-1,88	0,0000
Slc16a7	7,50	0,37	0,5951	-0,11	0,9140	-0,08	NA	-0,30	NA	-1,16	0,0402	0,12	0,9305	0,08	NA	-0,45	0,6671	-0,95	0,1437
Slc16a9	2,43	-0,56	0,3486	0,14	0,8869	0,05	NA	-0,09	NA	0,20	0,8027	0,20	NA	0,04	NA	-0,06	NA	0,28	NA
Slc17a5	25,99	-0,45	0,2763	-0,16	0,8127	0,23	1,0000	0,00	0,9988	-0,01	0,9878	0,50	0,4511	0,78	0,0985	0,51	0,4841	0,53	0,2529
Slc17a7	19,10	0,40	0,4957	1,06	0,0199	0,02	NA	0,39	0,6709	-0,37	0,5604	0,81	0,1111	-0,21	NA	0,57	0,4007	-0,68	0,2502
Slc17a9	1,25	0,07	NA	0,16	0,8340	-0,07	NA	0,04	NA	0,27	0,7052	0,03	NA	-0,16	NA	-0,06	NA	-0,04	NA
Slc18a1	3,22	-0,06	0,9474	-0,16	0,8547	-0,07	NA	-0,22	NA	-0,45	0,5115	-0,17	0,8815	-0,35	NA	-0,56	NA	-0,09	0,9296
Slc18b1	3,66	0,15	0,8616	-0,11	0,9132	0,18	NA	-0,22	NA	-0,79	0,1812	0,09	0,9444	-0,06	NA	-0,31	NA	-0,90	0,1912
Slc19a1	11,00	0,30	0,6684	-0,18	0,8427	-0,10	NA	-0,28	0,8196	-0,58	0,3619	-0,44	0,6271	-0,43	NA	-0,69	0,3884	-1,21	0,0304
Slc19a2	70,89	0,16	0,7331	-0,28	0,5795	-0,13	1,0000	-0,27	0,7772	-0,14	0,7518	-0,22	0,7406	-0,33	0,5580	-0,90	0,0172	-0,44	0,2089
Slc19a3	10,05	-0,24	0,7367	-0,61	0,3164	-0,04	NA	-0,19	0,9159	-0,28	0,6692	-0,45	0,6278	0,11	NA	-0,42	0,6996	-0,41	0,5678
Slc1a1	2,86	0,78	0,1485	0,53	0,3594	0,04	NA	-0,07	NA	-0,16	NA	-0,18	0,8834	-0,40	NA	-0,39	NA	-0,69	0,3531
Slc1a2	7,31	0,33	0,6522	0,18	0,8520	-0,28	NA	-0,04	NA	-0,03	0,9716	-0,12	0,9257	-0,35	NA	-0,63	0,4653	-0,32	0,6791
Slc1a3	15,80	-0,75	0,1171	-0,76	0,1613	-0,19	NA	-0,51	0,4767	-0,29	0,6287	0,19	0,8628	0,12	NA	-0,06	0,9807	0,23	0,7561
Slc1a4	51,64	1,55	0,0000	-0,88	0,0564	-0,46	NA	-0,32	0,7563	1,12	0,0014	-1,95	0,0000	-1,60	0,0000	-1,67	0,0000	-0,32	0,5871
Slc1a5	1,27	0,22	NA	0,28	0,6466	-0,04	NA	-0,02	NA	0,43	0,5165	-0,15	NA	-0,17	NA	-0,34	NA	0,16	0,8716

GeneID	CTL	ET-1 vs CTL		SAHA vs CTL		JS28 vs CTL		BSP vs CTL		JQ1 vs CTL		ET-1+SAHA vs ET1		ET-1+JS28 vs ET1		ET-1+BSP vs ET1		ET-1+JQ1 vs ET1	
	mean	log2(FC)	P-adj	log2(FC)	P-adj	log2(FC)	P-adj	log2(FC)	P-adj	log2(FC)	P-adj	log2(FC)	P-adj	log2(FC)	P-adj	log2(FC)	P-adj	log2(FC)	P-adj
Slc20a1	39,63	0,13	0,8380	-0,52	0,3096	-0,08	1,0000	-0,40	0,6234	-0,63	0,1627	-0,84	0,1059	-0,10	0,9118	-0,65	0,2695	-1,17	0,0066
Slc20a2	236,98	-0,09	0,7737	-0,21	0,4910	0,00	1,0000	0,04	0,9798	-0,15	0,5426	-0,20	0,6583	-0,03	0,9678	0,04	0,9745	0,07	0,8362
Slc22a15	8,66	-0,23	0,7550	0,12	0,8981	0,22	NA	0,40	0,6511	0,07	0,9284	0,24	0,8301	0,36	NA	0,29	0,8386	0,24	0,7591
Slc22a17	71,25	-0,65	0,0089	0,44	0,1348	0,00	1,0000	0,44	0,2655	0,99	0,0000	0,99	0,0034	0,24	0,7016	0,92	0,0054	1,49	0,0000
Slc22a21	4,57	0,00	0,9962	0,48	0,4850	0,12	NA	-0,06	NA	-0,80	0,1949	0,28	0,8008	0,09	NA	-0,20	NA	-0,36	0,6779
Slc22a23	32,04	0,48	0,1765	-0,06	0,9488	-0,25	NA	0,15	0,9340	0,01	0,9836	-0,16	0,8455	-0,61	0,2491	-0,52	0,4277	-0,22	0,6548
Slc22a5	25,72	-0,21	0,7124	-0,21	0,7576	0,06	NA	0,19	0,8998	-0,58	0,1621	-0,45	0,5525	0,08	0,9386	-0,06	0,9789	-0,51	0,3371
Slc23a2	63,34	0,04	0,9431	0,13	0,8195	0,10	1,0000	0,09	0,9634	0,34	0,2613	-0,08	0,9201	0,11	0,8818	-0,12	0,9143	0,16	0,6904
Slc24a2	229,35	-0,73	0,0168	-0,17	0,7474	-0,36	0,9488	0,16	0,8998	-0,77	0,0025	0,26	0,6604	0,17	0,8040	0,25	0,7393	-0,68	0,0523
Slc24a3	22,03	-0,36	0,5392	-1,17	0,0114	0,09	NA	-0,22	0,8929	-0,66	0,2296	-0,88	0,1665	-0,34	NA	-0,42	0,6880	-0,16	0,8244
Slc24a4	5,96	-0,68	0,2305	0,36	0,6291	0,14	NA	0,08	0,9769	-0,39	0,5624	0,65	0,4187	0,24	NA	0,25	NA	0,09	0,9351
Slc25a1	13,31	-0,22	0,7675	0,45	0,4187	-0,04	NA	-0,08	0,9769	0,60	0,1518	0,71	0,3137	0,08	NA	0,24	0,8697	0,29	0,6999
Slc25a10	12,92	0,14	0,8428	0,80	0,0885	0,09	NA	0,19	0,9129	1,24	0,0009	0,29	0,7561	-0,46	NA	0,37	0,7230	1,05	0,0277
Slc25a11	166,48	0,35	0,2549	-0,60	0,0390	-0,07	1,0000	-0,23	0,7630	0,38	0,1729	-0,55	0,1569	-0,30	0,5317	-0,16	0,8472	0,03	0,9545
Slc25a12	189,93	-0,02	0,9522	0,02	0,9730	-0,12	1,0000	0,02	0,9866	-0,17	0,4856	0,25	0,5930	0,01	0,9885	0,15	0,8348	-0,34	0,2273
Slc25a13	60,55	0,03	0,9681	0,46	0,2036	0,67	0,0526	0,26	0,7492	-0,99	0,0005	0,70	0,1357	0,72	0,0985	-0,06	0,9734	-0,71	0,1114
Slc25a14	8,15	-0,37	0,5792	0,36	0,6179	0,15	NA	0,04	0,9853	0,29	0,6603	0,72	0,3443	0,28	NA	0,07	0,9790	0,63	0,3343
Slc25a15	17,02	0,17	0,8020	0,64	0,1699	0,25	NA	0,22	0,8814	0,43	0,3603	0,48	0,5253	-0,16	NA	0,17	0,9170	0,27	0,6753
Slc25a16	30,13	0,43	0,3115	0,19	0,7824	0,01	NA	0,05	0,9853	0,00	0,9986	-0,35	0,6291	-0,14	0,8721	-0,44	0,5576	-0,47	0,3061
Slc25a17	25,04	0,08	0,9032	0,03	0,9730	-0,04	NA	-0,16	0,9306	-0,19	0,7114	-0,01	0,9930	-0,09	0,9307	-0,08	0,9630	-0,29	0,6090
Slc25a19	39,57	-0,30	0,4288	0,31	0,4877	0,18	1,0000	-0,19	0,8881	-0,20	0,6228	0,41	0,4666	0,27	0,6786	0,33	0,6695	0,08	0,8966
Slc25a20	72,29	-0,29	0,3961	-0,17	0,7072	-0,15	1,0000	-0,20	0,8216	-0,42	0,1445	0,29	0,6250	-0,10	0,9025	0,12	0,9192	-0,19	0,6786
Slc25a22	6,34	-0,19	0,8128	0,30	0,7167	0,04	NA	-0,29	NA	0,20	0,7963	0,05	0,9752	0,00	NA	-0,13	NA	0,50	0,4962
Slc25a23	170,10	-0,26	0,5022	0,40	0,1017	0,13	1,0000	-0,43	0,1855	-0,02	0,9746	0,05	0,9494	-0,05	0,9523	-0,44	0,4651	0,03	0,9704
Slc25a24	34,72	0,34	0,4295	-0,24	0,7087	-0,04	NA	-0,47	0,4896	-0,92	0,0185	-0,52	0,3715	-0,15	0,8548	-0,74	0,1575	-0,91	0,0148
Slc25a25	11,21	0,37	0,5321	0,07	0,9469	-0,13	NA	-0,22	0,8903	0,50	0,3509	-0,22	0,8382	-0,18	NA	-0,40	0,7112	0,05	0,9566
Slc25a26	14,62	-0,41	0,4582	-0,28	0,6962	-0,37	NA	-0,48	0,5316	-1,39	0,0024	-0,14	0,9080	0,18	NA	0,12	0,9492	-0,95	0,1115
Slc25a27	15,54	-0,93	0,0233	0,24	0,7231	0,07	NA	-0,03	0,9897	-0,31	0,5874	0,63	0,3979	0,77	NA	0,48	0,6189	0,26	0,7397
Slc25a28	14,15	0,02	0,9841	0,27	0,7205	0,12	NA	0,18	0,9260	0,78	0,0619	-0,05	0,9665	0,12	NA	0,06	0,9831	0,68	0,1469
Slc25a29	1,94	-0,17	NA	0,02	0,9836	0,00	NA	-0,15	NA	0,35	0,6356	0,15	NA	0,12	NA	0,19	NA	0,45	0,5823
Slc25a3	815,37	0,16	0,5622	-0,33	0,0826	-0,15	1,0000	-0,08	0,9371	-0,19	0,3385	-0,26	0,5094	-0,16	0,7250	-0,12	0,8660	-0,22	0,4324
Slc25a30	17,60	-0,61	0,1821	0,60	0,2218	-0,01	NA	0,39	0,6409	0,72	0,0613	0,29	0,7612	0,04	NA	0,67	0,3298	1,35	0,0004
Slc25a32	19,95	0,20	0,7450	0,05	0,9632	0,04	NA	-0,11	0,9634	0,10	0,8737	-0,41	0,6124	-0,05	0,9634	-0,30	0,7971	0,15	0,8198
Slc25a33	8,17	0,58	0,3093	-0,05	0,9701	0,02	NA	0,00	NA	0,10	0,9080	0,01	0,9955	-0,29	NA	-0,18	0,9119	0,16	0,8416
Slc25a35	5,50	0,57	0,3607	0,75	0,1922	0,15	NA	-0,14	NA	-0,18	0,8228	0,45	0,6203	0,03	NA	-0,66	0,4258	-0,13	0,8865
Slc25a36	103,44	0,36	0,2369	0,31	0,4668	0,16	1,0000	-0,03	0,9860	0,05	0,9165	0,05	0,9448	0,14	0,8216	-0,44	0,2771	-0,29	0,4099
Slc25a37	27,16	0,31	0,5475	0,59	0,1789	0,20	NA	0,03	0,9855	0,33	0,4674	0,11	0,9176	-0,12	0,9073	-0,16	0,9099	0,07	0,9200
Slc25a38	9,70	-0,38	0,5433	-0,29	0,7087	0,05	NA	0,03	0,9860	0,23	0,7043	0,31	0,7661	0,35	NA	0,39	0,7267	0,50	0,4480
Slc25a39	153,34	0,44	0,0828	-0,02	0,9730	-0,24	1,0000	-0,09	0,9559	0,26	0,4175	-0,47	0,2972	-0,74	0,0276	-0,46	0,2496	-0,09	0,8732
Slc25a4	1003,48	0,76	0,0023	0,27	0,4577	-0,04	1,0000	0,16	0,8797	0,06	0,8759	0,09	0,8872	-0,27	0,5801	0,17	0,8243	-0,49	0,1192
Slc25a40	42,94	-0,04	0,9452	-0,23	0,6766	0,18	1,0000	0,18	0,8939	-0,13	0,7729	-0,13	0,8721	0,47	0,3913	0,22	0,8262	0,06	0,9287
Slc25a41	1,66	-0,32	NA	-0,03	0,9815	-0,11	NA	-0,15	NA	-0,16	0,8367	0,16	NA	0,13	NA	0,09	NA	-0,19	NA
Slc25a42	144,71	-1,42	0,0000	-0,37	0,3047	-0,29	1,0000	0,01	0,9940	0,05	0,9091	0,14	0,8443	0,41	0,3675	0,72	0,0499	1,02	0,0066
Slc25a44	43,54	0,23	0,5951	0,60	0,0931	-0,01	1,0000	-0,08	0,9746	0,45	0,1895	0,35	0,5149	-0,48	0,3552	0,04	0,9862	0,10	0,8288
Slc25a46	163,35	0,11	0,7288	-0,42	0,0705	-0,19	1,0000	0,09	0,9308	0,07	0,8169	0,00	0,9957	0,25	0,6063	0,08	0,9338	-0,05	0,9237

GeneID	CTL	ET-1 vs CTL		SAHA vs CTL		JS28 vs CTL		BSP vs CTL		JQ1 vs CTL		ET-1+SAHA vs ET1		ET-1+JS28 vs ET1		ET-1+BSP vs ET1		ET-1+JQ1 vs ET1	
	mean	log2(FC)	P-adj	log2(FC)	P-adj	log2(FC)	P-adj	log2(FC)	P-adj	log2(FC)	P-adj	log2(FC)	P-adj	log2(FC)	P-adj	log2(FC)	P-adj	log2(FC)	P-adj
Slc25a47	1,59	0,29	NA	-0,05	0,9503	-0,04	NA	-0,05	NA	-0,30	NA	-0,25	NA	-0,18	NA	-0,29	NA	-0,54	NA
Slc25a5	313,20	0,94	0,0000	-0,84	0,0002	0,08	1,0000	0,11	0,9293	-0,07	0,8478	-1,04	0,0005	-0,40	0,2756	-0,46	0,1696	-0,64	0,0062
Slc25a51	122,66	-0,15	0,6574	0,24	0,4311	0,22	1,0000	0,26	0,6115	0,36	0,0621	0,19	0,7310	0,21	0,6949	0,40	0,3872	0,43	0,1114
Slc25a53	3,17	-0,44	0,5096	-0,28	0,7314	-0,07	NA	-0,29	NA	-0,38	0,6070	0,53	0,5345	0,37	NA	0,06	NA	0,25	0,7847
Slc26a11	27,11	-0,39	0,3792	0,11	0,8895	-0,16	NA	-0,25	0,8420	0,17	0,7395	0,12	0,9030	-0,07	0,9454	-0,03	0,9918	0,64	0,1142
Slc26a2	23,11	0,10	0,8845	0,11	0,8867	-0,05	NA	0,04	0,9853	0,02	0,9804	0,18	0,8423	-0,05	0,9634	-0,29	0,8020	0,06	0,9419
Slc26a6	4,42	-0,29	0,7047	0,56	0,3932	0,02	NA	0,28	NA	0,40	0,5608	0,58	0,4973	0,15	NA	0,05	NA	0,50	0,5261
Slc26a8	1,07	-0,43	NA	0,01	0,9894	-0,01	NA	-0,09	NA	-0,04	0,9673	0,25	NA	0,24	NA	0,15	NA	0,12	NA
Slc27a1	57,50	-1,07	0,0000	0,06	0,9338	0,33	0,9896	-0,08	0,9681	-0,68	0,0249	0,86	0,0430	0,32	0,6257	0,21	0,8454	-0,24	0,6479
Slc27a3	2,41	-0,04	0,9683	-0,07	0,9454	-0,05	NA	-0,18	NA	-0,14	0,8656	-0,11	NA	-0,13	NA	-0,16	NA	-0,40	0,6224
Slc27a4	47,72	0,18	0,6967	-0,47	0,2410	-0,09	1,0000	0,09	0,9634	1,04	0,0000	-0,31	0,6395	-0,38	0,5081	-0,03	0,9911	0,99	0,0019
Slc27a5	1,31	-0,63	NA	-0,44	0,4201	-0,15	NA	-0,07	NA	-0,55	0,3608	NA	NA	NA	NA	0,09	NA	NA	NA
Slc28a1	1,29	0,13	NA	-0,01	NA	-0,02	NA	-0,07	NA	-0,08	NA	-0,17	NA	-0,06	NA	-0,22	NA	-0,46	NA
Slc29a1	18,63	-1,03	0,0075	0,51	0,2984	0,31	NA	-0,24	0,8643	-2,02	0,0000	1,10	0,0387	0,83	NA	-0,05	0,9867	-0,94	0,1509
Slc29a2	11,65	0,70	0,1437	-0,40	0,5851	-0,15	NA	-0,34	0,7365	-0,58	0,3515	-0,24	0,8168	-0,47	NA	-0,42	0,6741	-1,21	0,0220
Slc29a3	5,92	-0,44	0,5059	-0,03	0,9783	0,10	NA	-0,04	0,9853	-0,39	0,5697	0,28	0,8049	0,47	NA	-0,18	NA	0,22	0,8048
Slc2a1	108,88	0,60	0,0201	0,95	0,0000	0,72	0,0126	0,35	0,5154	-0,07	0,8552	0,10	0,8824	-0,27	0,6113	-0,77	0,0305	-0,43	0,1967
Slc2a12	6,01	-0,66	0,2516	-0,58	0,3670	-0,11	NA	-0,39	0,6507	-1,42	0,0083	0,30	0,7866	0,49	NA	0,26	NA	-0,39	0,6350
Slc2a13	5,90	0,06	0,9497	-0,43	0,5558	0,05	NA	0,68	0,1963	1,41	0,0011	-0,49	0,5948	0,03	NA	0,63	0,4633	1,74	0,0000
Slc2a3	1,67	0,44	NA	0,65	0,2279	-0,03	NA	0,04	NA	0,21	0,7774	0,25	0,8206	0,00	NA	-0,27	NA	-0,28	0,7533
Slc2a4	111,50	0,03	0,9559	-0,65	0,0290	0,05	1,0000	-0,35	0,5721	-0,57	0,0468	-0,32	0,6031	0,30	0,6050	0,18	0,8536	-0,13	0,8178
Slc2a4rg-ps	5,14	-0,60	0,3223	-0,03	0,9818	-0,04	NA	-0,17	NA	-0,03	0,9698	0,55	0,5220	0,30	NA	0,78	0,2714	-0,16	0,8676
Slc2a8	15,88	-0,38	0,5007	0,57	0,2479	0,25	NA	-0,11	0,9627	0,53	0,2189	0,55	0,4583	0,05	NA	0,29	0,8203	0,96	0,0335
Slc30a1	105,60	0,66	0,0166	0,46	0,2362	0,07	1,0000	0,51	0,2732	0,65	0,0399	-0,42	0,3151	-0,56	0,1306	-0,46	0,2771	0,14	0,8078
Slc30a4	91,29	0,09	0,8328	-0,19	0,6571	0,11	1,0000	0,33	0,5135	0,20	0,5626	-0,32	0,5713	0,16	0,8170	-0,09	0,9437	0,13	0,8165
Slc30a5	64,41	0,20	0,6279	-0,10	0,8503	0,04	1,0000	0,21	0,8264	0,23	0,4568	-0,13	0,8596	0,19	0,7848	0,06	0,9630	0,02	0,9778
Slc30a6	21,60	0,40	0,3755	0,16	0,8382	0,04	NA	-0,11	0,9627	0,07	0,9117	0,10	0,9237	0,02	0,9843	-0,26	0,8293	-0,13	0,8159
Slc30a7	71,42	0,08	0,8611	0,22	0,6077	0,34	0,9193	0,26	0,7175	0,00	0,9981	0,20	0,7477	0,33	0,5090	0,28	0,6860	0,10	0,8130
Slc30a9	220,88	0,46	0,0264	0,15	0,6905	0,25	1,0000	0,21	0,7443	0,31	0,2288	0,03	0,9627	0,04	0,9535	0,02	0,9918	-0,07	0,8569
Slc31a1	64,11	0,09	0,8803	0,42	0,2556	0,08	1,0000	0,07	0,9746	0,02	0,9685	0,60	0,2033	0,29	0,6524	0,24	0,7993	-0,08	0,9006
Slc31a2	14,05	0,01	0,9904	0,23	0,7681	0,11	NA	-0,12	0,9601	0,02	0,9797	0,63	0,3616	0,23	NA	0,05	0,9858	-0,31	0,6544
Slc33a1	39,33	0,13	0,8080	0,21	0,7317	0,13	1,0000	0,11	0,9606	0,22	0,5931	0,21	0,7866	0,25	0,7036	0,01	0,9989	-0,11	0,8383
Slc35a1	47,78	-0,27	0,5134	-0,54	0,1731	-0,14	1,0000	0,12	0,9469	-0,17	0,6998	0,19	0,7999	0,60	0,1805	0,21	0,8360	0,10	0,8645
Slc35a2	14,67	0,28	0,6522	0,17	0,8363	0,19	NA	-0,14	0,9462	0,68	0,1284	0,00	0,9982	-0,49	NA	-0,03	0,9918	0,10	0,9009
Slc35a3	50,78	0,01	0,9839	-0,14	0,8275	-0,12	1,0000	0,11	0,9516	0,23	0,6170	0,25	0,7294	0,31	0,6288	0,07	0,9671	0,23	0,6896
Slc35a4	37,26	0,61	0,0682	-0,39	0,4851	-0,20	NA	0,06	0,9853	0,20	0,6759	-0,67	0,1663	-0,74	0,1016	-0,36	0,6239	-0,29	0,5153
Slc35a5	27,57	-0,30	0,5191	-0,09	0,9015	0,22	1,0000	0,02	0,9908	-0,06	0,9114	0,21	0,8118	0,34	0,6274	-0,01	0,9971	-0,02	0,9798
Slc35b1	60,78	0,54	0,1579	-0,42	0,3579	-0,09	1,0000	-0,39	0,5926	-0,51	0,1783	0,01	0,9934	-0,68	0,1552	-0,75	0,1199	-0,87	0,0193
Slc35b2	24,17	-0,15	0,8110	0,29	0,6097	-0,10	NA	-0,02	0,9901	0,76	0,0148	0,37	0,6257	-0,09	0,9305	0,21	0,8660	0,85	0,0331
Slc35b3	14,63	0,03	0,9725	0,15	0,8726	0,11	NA	0,08	0,9764	-0,13	0,8508	0,10	0,9360	-0,16	NA	-0,07	0,9789	-0,43	0,5063
Slc35b4	81,97	0,63	0,0151	-0,10	0,8608	-0,12	1,0000	-0,06	0,9769	0,17	0,6826	-0,34	0,4976	-0,38	0,4330	-0,58	0,1710	-0,25	0,4855
Slc35c1	11,83	-0,33	0,5965	-0,11	0,9050	-0,06	NA	-0,43	0,6195	-0,21	0,7528	0,01	0,9939	-0,32	NA	-0,08	0,9753	0,32	0,6506
Slc35c2	26,82	-0,11	0,8616	-0,05	0,9550	-0,18	NA	-0,17	0,9220	0,21	0,6479	-0,22	0,8118	-0,59	0,3355	-0,36	0,7109	0,41	0,4273
Slc35d1	49,78	0,45	0,1514	-1,06	0,0018	-0,36	0,9896	-0,61	0,1767	-0,22	0,6255	-0,89	0,0417	-0,40	0,4537	-0,59	0,2377	-0,62	0,1193
Slc35d2	1,12	0,14	NA	-0,02	NA	0,02	NA	-0,09	NA	-0,27	NA	-0,17	NA	0,01	NA	-0,22	NA	-0,30	NA

GeneID	CTL	ET-1 vs CTL		SAHA vs CTL		JS28 vs CTL		BSP vs CTL		JQ1 vs CTL		ET-1+SAHA vs ET1		ET-1+JS28 vs ET1		ET-1+BSP vs ET1		ET-1+JQ1 vs ET1	
	mean	log2(FC)	P-adj	log2(FC)	P-adj	log2(FC)	P-adj	log2(FC)	P-adj	log2(FC)	P-adj	log2(FC)	P-adj	log2(FC)	P-adj	log2(FC)	P-adj	log2(FC)	P-adj
Slc35e1	115,40	0,40	0,0898	0,10	0,8423	-0,17	1,0000	0,17	0,8581	0,61	0,0030	-0,30	0,4821	-0,25	0,5946	-0,09	0,9289	0,27	0,3253
Slc35e2	52,10	0,01	0,9901	-0,03	0,9628	-0,28	1,0000	0,01	0,9925	0,42	0,1535	0,21	0,7672	0,30	0,6283	0,18	0,8638	0,45	0,2030
Slc35e3	23,34	0,17	0,7719	0,07	0,9354	-0,03	NA	0,25	0,8490	0,76	0,0331	0,11	0,9129	-0,47	0,4921	0,35	0,7050	0,69	0,0741
Slc35e4	9,99	-0,13	0,8683	0,74	0,1369	-0,02	NA	0,10	0,9700	0,72	0,1061	0,83	0,2022	0,09	NA	0,35	0,7770	0,93	0,0578
Slc35f1	5,49	-0,55	0,3738	-0,32	0,6902	-0,10	NA	-0,10	NA	-1,28	0,0206	0,37	0,7163	0,42	NA	0,18	NA	-0,34	0,6988
Slc35f5	227,91	0,29	0,2268	-0,02	0,9785	-0,27	1,0000	-0,15	0,8671	-0,24	0,3174	0,05	0,9371	-0,25	0,5448	-0,41	0,2639	-0,84	0,0008
Slc35f6	41,35	0,17	0,7084	0,53	0,1404	0,09	1,0000	0,19	0,8814	0,38	0,2696	0,49	0,3088	0,06	0,9515	0,34	0,6178	0,29	0,4639
Slc35g1	5,79	0,07	0,9427	-0,13	0,8935	0,11	NA	0,26	NA	-0,30	0,6932	-0,05	0,9714	-0,30	NA	-0,49	NA	-0,12	0,9062
Slc35g2	7,96	0,25	0,7527	0,28	0,7352	0,09	NA	-0,13	NA	-0,73	0,2370	0,36	0,7245	0,03	NA	-0,39	0,7320	-1,07	0,1023
Slc36a1	59,45	-0,62	0,0416	0,49	0,0913	-0,02	1,0000	-0,02	0,9866	-0,34	0,2913	0,79	0,0736	0,26	0,7017	0,27	0,7782	-0,01	0,9917
Slc36a4	21,97	0,02	0,9842	0,13	0,8580	-0,03	NA	-0,10	0,9634	-0,27	0,6051	0,25	0,7717	0,09	0,9315	0,12	0,9421	0,12	0,8533
Slc37a1	22,92	-0,40	0,4196	-0,03	0,9766	-0,33	NA	-0,56	0,3484	-0,81	0,0474	0,13	0,9081	0,32	NA	-0,12	0,9437	-0,36	0,5796
Slc37a2	3,52	0,03	0,9738	0,99	0,0580	0,06	NA	0,33	NA	0,08	0,9312	0,79	0,2925	-0,25	NA	0,22	NA	0,35	0,6853
Slc37a3	63,74	-0,21	0,5570	0,17	0,7170	0,09	1,0000	0,24	0,7688	0,19	0,5732	0,24	0,6878	-0,08	0,9231	0,28	0,6928	0,19	0,6675
Slc37a4	12,74	0,48	0,3786	0,06	0,9545	0,24	NA	0,39	0,6740	0,76	0,0865	-0,41	0,6466	-0,13	NA	0,26	0,8432	0,16	0,8078
Slc38a1	429,03	0,75	0,0001	-0,69	0,0000	-0,32	0,5633	-0,49	0,0156	-0,29	0,1101	-1,32	0,0000	-0,93	0,0005	-1,07	0,0000	-0,77	0,0041
Slc38a10	198,19	-0,33	0,0961	0,36	0,0905	0,12	1,0000	0,29	0,4422	0,54	0,0007	0,40	0,2557	-0,07	0,9150	0,44	0,1940	0,83	0,0003
Slc38a2	1505,99	1,34	0,0000	-0,45	0,1179	0,10	1,0000	-0,14	0,8953	0,34	0,2715	-0,79	0,0079	-0,99	0,0001	-1,41	0,0000	-0,67	0,0800
Slc38a4	375,64	-0,08	0,8105	-0,19	0,5112	0,02	1,0000	0,03	0,9853	-0,04	0,8908	-0,03	0,9627	-0,20	0,6624	-0,08	0,9264	-0,28	0,4752
Slc38a6	7,84	-0,84	0,1008	0,13	0,8916	0,04	NA	-0,22	0,8903	-0,32	0,6312	0,84	0,2398	0,53	NA	0,25	NA	0,36	0,6665
Slc38a7	36,99	-0,02	0,9822	0,00	0,9996	-0,10	1,0000	-0,04	0,9853	0,07	0,8807	-0,25	0,7451	-0,08	0,9341	-0,36	0,6728	-0,24	0,6725
Slc38a9	43,90	-0,35	0,4597	0,47	0,3119	-0,03	1,0000	0,06	0,9827	-0,09	0,8576	0,52	0,3328	0,24	0,7442	0,17	0,8907	0,17	0,7371
Slc39a1	96,33	0,00	0,9948	-0,64	0,0315	-0,23	1,0000	-0,16	0,8853	-0,25	0,4056	-0,24	0,7209	-0,27	0,6790	-0,32	0,6636	-0,38	0,3261
Slc39a10	37,90	-0,19	0,6964	-0,54	0,2049	-0,07	1,0000	0,14	0,9364	-0,32	0,4277	0,18	0,8245	0,51	0,3291	0,39	0,5977	-0,07	0,9175
Slc39a11	16,77	0,22	0,7141	-0,89	0,0726	-0,27	NA	-0,36	0,7107	-0,36	0,5167	-0,61	0,3785	-0,35	NA	-0,78	0,2411	-0,64	0,2254
Slc39a13	97,30	0,54	0,0327	-0,24	0,6073	-0,18	1,0000	-0,28	0,7106	0,16	0,6648	-0,29	0,5841	-0,50	0,2008	-0,23	0,7259	0,20	0,6395
Slc39a14	32,48	0,04	0,9522	0,48	0,2361	0,11	1,0000	0,01	0,9968	0,19	0,6709	0,09	0,9319	0,03	0,9777	0,00	1,0000	-0,10	0,8779
Slc39a3	13,55	-0,08	0,9237	-0,47	0,4661	0,22	NA	0,23	0,8803	0,18	0,7743	-0,62	0,4232	-0,07	NA	0,19	0,9053	0,24	0,7260
Slc39a6	73,99	0,58	0,0738	0,04	0,9701	-0,18	1,0000	-0,23	0,8587	0,39	0,2943	-0,24	0,6788	-0,68	0,0740	-0,87	0,0140	0,04	0,9283
Slc39a7	81,60	0,44	0,0591	0,21	0,6095	0,05	1,0000	0,12	0,9361	0,51	0,0222	-0,66	0,0693	-0,44	0,2996	0,00	1,0000	0,10	0,7622
Slc39a9	66,43	-0,52	0,1551	-0,23	0,5876	0,02	1,0000	0,03	0,9853	-0,29	0,3329	0,40	0,5399	0,51	0,3667	0,53	0,3984	0,35	0,4645
Slc3a1	1,45	-0,01	NA	-0,12	0,8632	-0,09	NA	-0,02	NA	0,45	0,5228	0,38	0,6802	-0,14	NA	-0,22	NA	0,17	NA
Slc3a2	183,97	1,14	0,0082	-0,44	0,2834	-0,18	1,0000	-0,08	0,9681	0,36	0,2586	-1,14	0,0713	-0,94	0,0933	-0,85	0,2142	-0,76	0,1111
Slc40a1	52,46	-0,71	0,0556	-0,04	0,9622	0,10	1,0000	0,29	0,7424	0,32	0,4280	0,73	0,1494	0,60	0,2616	0,63	0,2667	0,87	0,0323
Slc41a1	29,05	-0,13	0,8168	0,02	0,9822	0,12	1,0000	0,05	0,9853	-0,44	0,3183	0,18	0,8379	-0,15	0,8715	-0,22	0,8511	-0,08	0,9002
Slc41a2	8,68	0,56	0,3331	-0,70	0,2429	-0,20	NA	0,09	0,9741	1,30	0,0049	-1,36	0,0219	-0,75	NA	0,21	0,8974	1,52	0,0004
Slc41a3	7,37	-0,18	0,8317	1,07	0,0234	0,08	NA	0,00	0,9986	-0,36	0,6052	0,91	0,1665	-0,01	NA	-0,14	0,9392	0,05	0,9665
Slc43a2	10,52	0,22	0,7831	0,01	0,9947	0,01	NA	-0,12	0,9587	-0,44	0,5336	-0,31	0,7579	-0,17	NA	-0,79	0,2746	-0,83	0,1595
Slc44a1	38,02	0,22	0,6418	0,62	0,1141	0,46	0,6790	0,66	0,1172	1,05	0,0003	0,72	0,0814	0,21	0,7578	0,87	0,0191	1,08	0,0003
Slc44a2	175,89	-0,33	0,2639	0,15	0,7474	0,10	1,0000	0,30	0,6039	0,27	0,2904	0,33	0,4499	0,12	0,8434	0,12	0,9017	0,42	0,1158
Slc45a4	27,01	0,07	0,9192	0,46	0,3142	0,22	NA	0,25	0,8353	0,34	0,4043	0,24	0,7717	0,07	0,9432	-0,14	0,9238	0,02	0,9741
Slc46a1	4,00	0,31	0,6813	0,13	0,8970	0,34	NA	0,34	NA	0,91	0,1108	-0,05	0,9732	0,09	NA	-0,21	NA	-0,04	0,9718
Slc46a3	8,91	-0,44	0,4834	0,47	0,4651	0,30	NA	0,23	0,8797	0,08	0,9189	0,89	0,1745	0,96	NA	0,69	0,3874	0,79	0,1647
Slc47a1	92,70	-0,61	0,0201	-0,66	0,0223	-0,38	0,7747	-0,86	0,0023	-2,10	0,0000	-0,15	0,8392	0,16	0,8286	-0,42	0,4811	-1,42	0,0000
Slc48a1	57,99	-0,23	0,5760	0,26	0,5626	0,14	1,0000	-0,10	0,9559	0,02	0,9711	0,31	0,6211	-0,12	0,8813	0,14	0,9080	0,26	0,5426

GeneID	CTL	ET-1 vs CTL		SAHA vs CTL		JS28 vs CTL		BSP vs CTL		JQ1 vs CTL		ET-1+SAHA vs ET1		ET-1+JS28 vs ET1		ET-1+BSP vs ET1		ET-1+JQ1 vs ET1	
	mean	log2(FC)	P-adj	log2(FC)	P-adj	log2(FC)	P-adj	log2(FC)	P-adj	log2(FC)	P-adj	log2(FC)	P-adj	log2(FC)	P-adj	log2(FC)	P-adj	log2(FC)	P-adj
Slc4a1ap	59,44	0,16	0,7197	0,27	0,4968	0,21	1,0000	0,12	0,9399	-0,06	0,8816	-0,08	0,9257	-0,16	0,8307	-0,19	0,8511	-0,21	0,6333
Slc4a2	56,38	0,21	0,6393	0,57	0,0624	0,25	1,0000	0,30	0,6770	0,81	0,0037	0,33	0,5678	-0,31	0,6313	0,22	0,8152	0,77	0,0489
Slc4a3	87,50	-0,13	0,7389	-0,23	0,5149	0,09	1,0000	-0,35	0,5124	-0,36	0,2995	-0,31	0,5858	-0,14	0,8465	-0,11	0,9290	-0,22	0,7091
Slc4a4	98,41	-0,38	0,1802	-0,66	0,0130	-0,32	0,9488	-0,28	0,6324	-0,45	0,1186	-0,72	0,0844	-0,18	0,7749	-0,40	0,4900	-0,17	0,6766
Slc4a7	109,40	-0,15	0,6545	-0,60	0,0318	-0,06	1,0000	0,26	0,6716	0,14	0,6475	-0,44	0,2774	0,27	0,5706	0,27	0,6353	0,32	0,2415
Slc4a8	15,33	0,27	0,6829	1,35	0,0008	-0,08	NA	0,20	0,9058	0,03	0,9721	1,03	0,0292	-0,15	NA	0,25	0,8431	0,04	0,9555
Slc50a1	7,61	0,17	0,8299	0,22	0,7996	0,15	NA	0,20	0,9060	0,64	0,2394	0,02	0,9926	-0,18	NA	-0,06	0,9818	0,30	0,6791
Slc52a2	12,90	0,50	0,3486	-0,02	0,9856	0,15	NA	0,45	0,5892	1,06	0,0094	-0,23	0,8220	-0,09	NA	-0,36	0,7425	0,72	0,0882
Slc5a3	53,14	-0,25	0,6666	-0,73	0,0924	-0,05	1,0000	0,24	0,8514	0,30	0,4710	-0,83	0,1321	0,06	0,9527	0,08	0,9622	0,41	0,4074
Slc5a5	1,15	0,74	NA	0,12	NA	0,01	NA	0,11	NA	0,26	NA	-0,52	NA	-0,17	NA	-0,28	NA	-0,38	0,6499
Slc5a6	17,08	0,02	0,9810	-0,31	0,6678	-0,05	NA	-0,23	0,8756	-0,41	0,4521	-0,07	0,9549	-0,35	NA	-0,60	0,4714	-0,57	0,3176
Slc6a15	1,83	0,13	NA	1,64	0,0002	-0,02	NA	0,03	NA	-0,19	0,8003	1,16	0,0641	0,01	NA	-0,23	NA	-0,37	NA
Slc6a17	2,28	-0,31	0,6509	-0,06	0,9550	-0,09	NA	-0,03	NA	-0,68	0,2244	0,25	NA	-0,11	NA	-0,22	NA	0,08	0,9373
Slc6a6	60,65	0,71	0,2121	0,42	0,5582	0,02	1,0000	-0,23	0,8420	-0,59	0,3736	0,11	0,9049	-0,36	0,5470	-1,89	0,0000	-1,19	0,0075
Slc6a8	157,46	0,11	0,7580	0,20	0,5275	0,05	1,0000	-0,03	0,9853	0,57	0,0068	0,04	0,9571	-0,26	0,5876	0,12	0,8926	0,51	0,1091
Slc6a9	37,32	0,94	0,0687	-0,60	0,3211	-0,32	NA	-0,58	0,3505	-0,99	0,0500	-1,16	0,0628	-0,93	0,0785	-1,09	0,0558	-1,04	0,1185
Slc7a1	135,33	1,75	0,0000	-0,42	0,4869	-0,35	NA	-0,57	0,3527	0,32	0,5299	-1,48	0,0100	-1,09	0,0369	-1,32	0,0140	-1,01	0,1190
Slc7a11	1,19	0,40	NA	0,00	NA	0,05	NA	0,01	NA	-0,10	NA	-0,29	NA	-0,14	NA	-0,39	NA	-0,74	NA
Slc7a2	10,13	-0,71	0,1606	0,13	0,8794	-0,26	NA	-0,08	0,9769	-0,67	0,2140	0,62	0,4363	0,63	NA	0,55	0,5524	-0,24	0,7819
Slc7a3	11,28	1,88	0,0000	-0,35	0,4675	-0,04	NA	-0,11	NA	-0,32	0,6065	-1,83	0,0005	-1,28	NA	-1,85	0,0001	-2,04	0,0002
Slc7a4	1,49	-0,38	NA	-0,01	0,9954	0,16	NA	0,03	NA	0,52	0,4497	-0,02	NA	0,28	NA	0,00	NA	0,86	0,2152
Slc7a5	270,54	1,36	0,0013	-0,90	0,0056	-0,49	0,5409	-0,16	0,9093	0,59	0,0893	-1,56	0,0053	-1,20	0,0170	-1,20	0,0343	-0,52	0,4598
Slc7a6	51,23	0,25	0,5221	0,39	0,3121	0,15	1,0000	0,03	0,9859	0,05	0,9091	-0,05	0,9581	0,17	0,8121	-0,26	0,7519	-0,24	0,6160
Slc7a6os	29,12	-0,15	0,7765	-0,11	0,8749	-0,17	NA	-0,06	0,9805	0,49	0,1440	-0,05	0,9629	0,07	0,9444	0,12	0,9339	0,67	0,0685
Slc7a7	7,07	0,52	0,4026	-0,10	0,9288	0,05	NA	-0,33	NA	-0,28	0,7171	0,19	0,8681	-0,35	NA	-0,80	0,2641	-0,99	0,1343
Slc7a8	2,53	-0,34	0,6246	0,34	0,6668	0,20	NA	0,26	NA	0,64	0,3163	0,63	0,4088	0,22	NA	-0,03	NA	0,73	0,3185
Slc8a1	5308,84	0,78	0,0000	0,24	0,4150	-0,15	1,0000	0,05	0,9770	-0,05	0,8622	-0,12	0,7691	-0,28	0,3307	-0,09	0,8784	-0,18	0,5052
Slc8a2	14,73	-0,25	0,7088	0,78	0,0870	0,01	NA	-0,46	0,5582	-0,47	0,4262	0,72	0,2661	-0,09	NA	-0,65	0,4263	-0,59	0,3525
Slc8b1	2,40	-0,39	0,5632	0,10	0,9221	-0,05	NA	-0,32	NA	-0,19	0,8118	0,40	0,6530	0,16	NA	-0,24	NA	-0,38	NA
Slc9a1	46,98	-0,52	0,1633	-0,15	0,8213	-0,06	1,0000	-0,07	0,9764	-0,05	0,9300	0,03	0,9789	-0,05	0,9634	-0,07	0,9708	0,35	0,4728
Slc9a3r1	2,56	0,09	0,9199	1,06	0,0389	-0,06	NA	0,01	NA	0,75	0,2291	0,71	0,3534	-0,31	NA	0,03	NA	1,00	0,1357
Slc9a5	2,04	-0,12	NA	1,24	0,0104	0,23	NA	-0,25	NA	-0,29	0,6917	0,78	0,2831	0,30	NA	-0,01	NA	0,22	0,8080
Slc9a6	56,54	-0,13	0,7620	0,00	0,9952	-0,14	1,0000	0,08	0,9634	0,43	0,0995	-0,16	0,8292	0,19	0,7772	0,18	0,8507	0,35	0,2991
Slc9a7	71,90	-0,02	0,9630	-0,17	0,7091	-0,01	1,0000	0,31	0,5826	-0,12	0,7416	-0,19	0,7672	-0,16	0,8171	0,05	0,9770	-0,17	0,6881
Slc9a8	39,20	0,38	0,2932	-0,37	0,4607	-0,01	1,0000	0,33	0,6846	0,23	0,6057	-1,05	0,0135	-0,55	0,2819	-0,35	0,6443	-0,04	0,9600
Slc9a9	21,13	-0,28	0,6346	0,06	0,9444	-0,15	NA	-0,26	0,8451	-1,42	0,0013	0,27	0,7704	-0,22	NA	-0,15	0,9300	-1,05	0,0499
Slco1c1	1,21	0,17	NA	0,07	NA	-0,07	NA	-0,02	NA	-0,10	NA	-0,27	NA	-0,13	NA	-0,29	NA	-0,30	NA
Slco2a1	1,05	0,22	NA	-0,02	NA	0,05	NA	-0,01	NA	0,18	NA	-0,29	NA	-0,08	NA	-0,24	NA	-0,47	NA
Slco3a1	152,81	0,26	0,5127	0,41	0,2196	0,14	1,0000	0,15	0,9084	-0,17	0,6166	0,01	0,9952	-0,21	0,7226	-0,02	0,9918	-0,24	0,5830
Slco5a1	6,97	0,93	0,0545	0,30	0,7174	-0,12	NA	-0,03	NA	-0,50	0,4736	-0,11	0,9325	-0,55	NA	-0,27	0,8492	-0,50	0,4425
Slnf10-ps	6,42	-0,48	0,4660	0,11	0,9205	0,03	NA	-0,03	0,9855	-0,98	0,0932	0,50	0,5841	0,18	NA	0,00	NA	-0,79	0,2693
Slnf5	7,95	-0,48	0,4607	0,81	0,1397	0,27	NA	-0,14	0,9454	-0,45	0,4986	1,32	0,0165	0,68	NA	0,36	0,7656	-0,26	0,7639
Slnf5os	4,99	-0,02	0,9799	-0,46	0,4150	-0,06	NA	-0,21	NA	0,23	0,7497	0,25	0,8255	0,18	NA	-0,55	NA	0,50	0,5330
Slnf8	1,31	-0,13	NA	0,03	0,9764	-0,08	NA	-0,03	NA	-0,36	NA	-0,14	NA	-0,10	NA	0,00	NA	-0,24	NA
Slnf9	1,67	-0,12	NA	-0,08	0,9366	-0,07	NA	0,06	NA	-0,64	0,2189	-0,14	NA	-0,05	NA	0,25	NA	-0,39	NA

GeneID	CTL	ET-1 vs CTL		SAHA vs CTL		JS28 vs CTL		BSP vs CTL		JQ1 vs CTL		ET-1+SAHA vs ET1		ET-1+JS28 vs ET1		ET-1+BSP vs ET1		ET-1+JQ1 vs ET1	
	mean	log2(FC)	P-adj	log2(FC)	P-adj	log2(FC)	P-adj	log2(FC)	P-adj	log2(FC)	P-adj	log2(FC)	P-adj	log2(FC)	P-adj	log2(FC)	P-adj	log2(FC)	P-adj
Sifn1	1,47	-0,33	NA	-0,22	0,7469	-0,06	NA	-0,10	NA	-0,36	0,5971	0,08	NA	-0,06	NA	0,05	NA	0,12	NA
Slirp	20,04	0,43	0,3926	0,25	0,7352	0,08	NA	0,25	0,8579	-0,39	0,4663	0,67	0,2509	0,00	0,9963	-0,04	0,9875	-1,11	0,0233
Slit2	13,64	-0,23	0,7511	1,14	0,0073	0,49	NA	0,09	0,9732	-0,18	0,7889	0,74	0,2573	0,95	NA	0,31	0,8039	-0,35	0,6233
Slit3	370,83	-0,60	0,0155	-0,32	0,3671	0,04	1,0000	-0,17	0,8671	0,13	0,7080	-0,19	0,7231	0,04	0,9557	0,19	0,7668	0,44	0,1525
Slitrk2	1,51	-0,10	NA	0,09	0,9193	-0,10	NA	-0,01	NA	-0,37	0,5283	0,35	NA	0,27	NA	0,18	NA	-0,12	NA
Slitrk4	31,17	1,04	0,0015	-0,05	0,9666	-0,21	NA	-0,28	0,8334	-0,80	0,0983	-0,41	0,4927	-0,84	0,0515	-1,00	0,0218	-1,37	0,0001
Slitrk5	25,35	-0,79	0,0363	-0,10	0,8895	-0,22	NA	-0,05	0,9853	-0,80	0,0470	0,64	0,3040	-0,01	NA	-0,01	0,9980	-0,61	0,2738
Slitrk6	1,80	-0,75	NA	-0,41	0,5525	0,00	NA	0,23	NA	-0,89	0,1199	0,32	NA	0,11	NA	0,11	NA	-0,08	NA
Slk	319,53	0,11	0,6804	0,16	0,5441	0,06	1,0000	0,09	0,9213	0,11	0,6433	-0,14	0,8007	0,24	0,5946	0,09	0,9074	0,04	0,9393
Smap	634,56	0,94	0,0000	-0,86	0,0000	-0,24	1,0000	-0,55	0,0156	-1,00	0,0000	-1,59	0,0000	-0,70	0,0143	-1,09	0,0000	-1,67	0,0000
Slmo2	62,95	0,39	0,2110	-0,33	0,4750	-0,08	1,0000	-0,42	0,4940	-0,74	0,0275	-0,33	0,5368	-0,15	0,8244	-0,29	0,6750	-1,06	0,0008
Sln	256,94	0,15	0,7822	-0,33	0,6551	-0,32	1,0000	-0,34	0,7454	0,01	0,9913	0,26	0,5587	-0,29	0,5170	0,17	0,8020	0,07	0,8843
Sltm	98,00	-0,04	0,9315	-0,53	0,0419	-0,08	1,0000	-0,24	0,7114	-0,77	0,0013	-0,87	0,0289	0,24	0,6973	-0,22	0,8020	-0,75	0,0279
Slu7	144,73	0,17	0,6645	0,04	0,9382	0,04	1,0000	0,01	0,9925	-0,13	0,6377	-0,31	0,5810	-0,07	0,9313	-0,14	0,8870	-0,25	0,5847
Slx1b	7,39	0,03	0,9744	0,09	0,9290	0,31	NA	0,00	0,9990	0,56	0,3152	0,26	0,8095	0,31	NA	0,45	0,6658	0,56	0,4101
Slx4	27,23	0,29	0,5253	0,02	0,9867	0,10	NA	0,20	0,8903	0,90	0,0038	-0,22	0,7866	-0,16	0,8504	-0,01	0,9980	0,43	0,2556
Slx4ip	11,07	0,29	0,6585	-0,07	0,9462	-0,22	NA	0,02	0,9925	-0,53	0,3777	-0,11	0,9320	-0,29	NA	-0,29	0,8285	-0,66	0,2676
Smad1	76,67	0,60	0,0127	-0,11	0,8420	0,15	1,0000	0,02	0,9901	0,47	0,0863	-0,51	0,2215	-0,58	0,1458	-0,53	0,2183	0,13	0,7371
Smad2	150,02	0,08	0,8011	-0,08	0,8492	-0,10	1,0000	-0,18	0,8237	-0,42	0,0548	0,04	0,9525	-0,03	0,9634	-0,36	0,4172	-0,36	0,1982
Smad3	62,69	-0,45	0,0862	0,01	0,9848	0,08	1,0000	0,06	0,9742	-0,22	0,4779	0,31	0,5834	0,32	0,5753	0,24	0,7815	0,43	0,2584
Smad4	150,58	-0,10	0,7616	-0,15	0,6931	0,23	1,0000	0,29	0,5133	0,33	0,0964	0,04	0,9512	0,09	0,8790	0,17	0,8056	0,32	0,1959
Smad5	157,42	-0,20	0,5293	-0,31	0,4108	-0,06	1,0000	0,01	0,9932	0,22	0,4315	-0,17	0,7520	0,07	0,9094	0,11	0,8937	0,31	0,2180
Smad6	52,97	-0,11	0,8609	0,47	0,1590	0,47	0,4948	0,69	0,0296	0,10	0,8406	0,25	0,7608	0,29	0,6949	0,22	0,8511	-0,05	0,9566
Smad7	42,49	0,22	0,6960	0,53	0,1308	0,12	1,0000	0,26	0,7757	0,10	0,8263	0,11	0,9195	-0,01	0,9946	-0,40	0,6557	-0,09	0,9138
Smad9	48,92	-0,51	0,1244	0,02	0,9776	0,32	1,0000	0,64	0,0792	-0,71	0,0261	0,30	0,6582	0,66	0,1350	0,86	0,0302	-0,43	0,3742
Smap1	38,31	-0,05	0,9350	0,05	0,9483	-0,36	0,9990	-0,11	0,9606	0,22	0,6065	-0,02	0,9849	0,02	0,9818	-0,01	0,9967	0,48	0,2518
Smap2	51,28	-0,06	0,9043	0,13	0,8113	0,07	1,0000	0,28	0,6921	0,29	0,3288	0,17	0,8117	-0,07	0,9428	0,08	0,9527	0,43	0,1926
Smarca1	140,71	-0,77	0,0000	-0,61	0,0041	-0,17	1,0000	-0,03	0,9853	-0,84	0,0000	0,02	0,9761	0,35	0,4391	0,19	0,8059	-0,30	0,4152
Smarca2	276,58	-0,60	0,0120	-0,24	0,3564	-0,09	1,0000	-0,08	0,9406	0,02	0,9397	-0,08	0,9156	0,00	0,9968	0,09	0,9412	0,46	0,1588
Smarca4	323,18	0,19	0,4225	-0,25	0,2886	0,00	1,0000	-0,08	0,9437	0,04	0,9075	-0,60	0,0305	-0,35	0,3292	-0,25	0,6013	-0,09	0,8004
Smarca5	261,07	0,08	0,7745	-0,20	0,4865	0,01	1,0000	0,42	0,0990	0,18	0,4991	-0,37	0,2495	0,26	0,4886	0,46	0,0939	0,29	0,4143
Smarca5-ps	1,09	-0,02	NA	0,10	0,8952	0,06	NA	0,01	NA	0,17	0,8180	0,33	NA	0,10	NA	0,04	NA	0,49	0,5365
Smarcad1	147,57	0,08	0,8011	-0,60	0,0060	-0,25	1,0000	-0,17	0,8257	-0,49	0,0361	-0,55	0,1143	0,19	0,7082	-0,27	0,6256	-0,42	0,2052
Smarcal1	74,18	-0,15	0,7263	-0,34	0,3773	-0,15	1,0000	-0,09	0,9601	-0,33	0,3041	-0,44	0,3966	-0,14	0,8536	-0,16	0,8904	-0,22	0,6364
Smarcb1	25,48	0,56	0,1463	0,08	0,9342	0,23	NA	0,32	0,7495	0,18	0,7409	-0,79	0,1415	-0,16	0,8581	-0,01	0,9990	-0,31	0,5414
Smarcc1	370,43	-0,23	0,4020	-0,57	0,0007	-0,01	1,0000	0,01	0,9901	0,34	0,0466	-0,70	0,0409	0,02	0,9819	0,15	0,8485	0,55	0,0336
Smarcc2	278,31	-0,40	0,1147	-0,57	0,0021	-0,05	1,0000	-0,20	0,7006	0,01	0,9891	-0,70	0,0574	-0,01	0,9866	0,01	0,9938	0,26	0,5845
Smarcd1	43,77	-0,40	0,3241	-0,09	0,8966	-0,20	1,0000	-0,10	0,9632	0,07	0,8817	-0,15	0,8686	0,20	0,7971	0,21	0,8535	0,34	0,4867
Smarcd2	15,94	0,11	0,8770	0,49	0,3675	0,21	NA	0,04	0,9853	0,22	0,6937	-0,21	0,8417	0,15	NA	-0,17	0,9165	-0,01	0,9919
Smarcd3	99,99	0,16	0,7344	0,35	0,3763	0,01	1,0000	-0,13	0,9306	-0,81	0,0040	-0,21	0,7471	-0,34	0,5322	-0,28	0,6935	-1,19	0,0004
Smarce1	204,96	0,00	0,9905	-0,31	0,2420	0,10	1,0000	0,11	0,9088	-0,25	0,2909	-0,20	0,7067	0,40	0,2852	0,44	0,2225	-0,13	0,7095
Smc1a	149,28	-0,05	0,9013	-0,19	0,6071	0,04	1,0000	0,09	0,9482	-0,01	0,9741	-0,49	0,2167	0,18	0,7477	0,17	0,8253	0,09	0,8229
Smc2	34,46	-0,67	0,0408	-0,73	0,0547	-0,12	1,0000	-0,48	0,3801	-0,80	0,0180	-1,04	0,0567	0,52	0,3771	0,03	0,9921	-0,38	0,4967
Smc3	202,82	-0,23	0,3574	0,15	0,6330	0,02	1,0000	0,21	0,6648	0,22	0,3504	0,07	0,9289	0,42	0,2466	0,59	0,0484	0,37	0,3572
Smc4	132,12	0,02	0,9677	-0,06	0,9080	-0,11	1,0000	0,11	0,9260	-0,20	0,5115	-0,53	0,2614	-0,07	0,9334	0,00	1,0000	-0,32	0,4586

GeneID	CTL	ET-1 vs CTL		SAHA vs CTL		JS28 vs CTL		BSP vs CTL		JQ1 vs CTL		ET-1+SAHA vs ET1		ET-1+JS28 vs ET1		ET-1+BSP vs ET1		ET-1+JQ1 vs ET1	
	mean	log2(FC)	P-adj	log2(FC)	P-adj	log2(FC)	P-adj	log2(FC)	P-adj	log2(FC)	P-adj	log2(FC)	P-adj	log2(FC)	P-adj	log2(FC)	P-adj	log2(FC)	P-adj
Smc5	190,37	-0,41	0,0691	0,00	0,9935	0,04	1,0000	0,18	0,8121	-0,19	0,4954	0,15	0,7909	0,53	0,0949	0,38	0,3345	0,28	0,3613
Smc6	219,54	0,17	0,4861	0,18	0,5585	0,10	1,0000	0,34	0,3059	0,21	0,3956	-0,23	0,6344	0,24	0,5491	0,37	0,2857	0,17	0,7003
Smchd1	151,74	-0,07	0,8419	-0,09	0,8434	0,02	1,0000	0,27	0,6211	0,21	0,4015	-0,18	0,7294	0,28	0,5043	0,23	0,6729	-0,03	0,9535
Smco4	2,13	0,13	NA	-0,14	0,8631	-0,09	NA	-0,18	NA	-0,30	0,6710	-0,28	NA	0,28	NA	0,03	NA	-0,22	0,8148
Smcr8	174,59	0,02	0,9559	0,02	0,9730	-0,03	1,0000	0,01	0,9901	0,23	0,3228	-0,21	0,7083	-0,21	0,6735	-0,04	0,9753	0,31	0,2540
Smdt1	33,36	0,53	0,1787	-0,08	0,9223	-0,09	NA	0,07	0,9798	0,06	0,9117	-0,02	0,9840	-0,46	0,4542	0,07	0,9664	0,03	0,9705
Smek1	159,42	-0,28	0,2572	-0,22	0,5239	-0,15	1,0000	-0,02	0,9872	-0,21	0,3983	0,15	0,7780	0,43	0,2189	0,31	0,5028	0,21	0,4771
Smek2	173,29	-0,35	0,1514	-0,37	0,2318	-0,02	1,0000	0,02	0,9853	-0,23	0,4065	0,01	0,9918	0,50	0,1177	0,42	0,2514	-0,04	0,9298
Smg1	371,69	-0,20	0,2729	0,04	0,9156	-0,22	0,9990	0,19	0,6498	0,33	0,0376	0,02	0,9732	0,28	0,3807	0,30	0,3806	0,52	0,0277
Smg5	154,22	0,15	0,5923	-0,48	0,0432	-0,17	1,0000	-0,03	0,9853	0,53	0,0021	-0,77	0,0111	-0,50	0,1349	0,07	0,9396	0,42	0,0673
Smg6	164,28	-0,55	0,0049	0,09	0,8361	0,09	1,0000	0,37	0,2350	0,34	0,0915	0,29	0,5239	0,43	0,2535	0,66	0,0262	0,71	0,0015
Smg7	278,29	0,22	0,3341	-0,08	0,8308	-0,07	1,0000	0,03	0,9853	0,29	0,1343	-0,10	0,8557	-0,16	0,7226	-0,02	0,9918	0,33	0,1897
Smg8	52,12	0,21	0,5871	-0,25	0,6052	0,06	1,0000	0,01	0,9972	0,34	0,2766	-0,44	0,4148	-0,08	0,9268	-0,15	0,8990	-0,17	0,7438
Smg9	11,24	0,42	0,4881	-0,40	0,5770	0,15	NA	0,01	0,9972	0,43	0,4613	-0,73	0,3203	-0,42	NA	-0,26	0,8501	0,32	0,6666
Smim1	12,90	-0,52	0,3058	1,02	0,0076	0,22	NA	-0,40	0,6430	-1,29	0,0060	1,43	0,0028	0,39	NA	-0,21	0,8960	-0,53	0,4422
Smim11	12,14	0,08	0,9263	0,29	0,6969	0,08	NA	0,07	0,9829	-0,62	0,2776	0,75	0,2438	0,35	NA	0,38	0,7227	-0,67	0,2993
Smim12	12,78	0,28	0,6712	0,18	0,8332	-0,23	NA	-0,09	0,9746	-0,06	0,9387	0,25	0,8064	-0,04	NA	-0,17	0,9143	-0,22	0,7491
Smim13	89,75	0,14	0,7229	0,07	0,8912	0,09	1,0000	0,29	0,6195	0,26	0,3844	0,14	0,8318	0,23	0,6862	0,34	0,5444	0,24	0,6005
Smim14	84,37	-0,02	0,9682	0,38	0,1907	0,14	1,0000	0,45	0,1923	0,15	0,6174	0,44	0,2829	0,12	0,8548	0,33	0,5524	0,11	0,7741
Smim15	38,67	0,31	0,4573	0,02	0,9845	0,04	1,0000	0,07	0,9764	-0,14	0,7777	-0,04	0,9666	0,19	0,8013	-0,14	0,9088	-0,27	0,5847
Smim19	66,93	-0,02	0,9635	-0,03	0,9607	-0,15	1,0000	-0,02	0,9860	-0,11	0,7744	0,09	0,9108	0,27	0,6360	0,27	0,7042	-0,34	0,3524
Smim20	21,51	0,34	0,5235	-0,50	0,4177	-0,17	NA	-0,41	0,6430	-1,73	0,0002	-0,15	0,8781	-0,41	0,5592	-0,81	0,1647	-1,50	0,0008
Smim4	7,87	0,43	0,4818	-0,48	0,4901	-0,19	NA	-0,30	NA	-0,45	0,5090	-0,91	0,1921	-0,65	NA	-0,70	0,3846	-0,95	0,1199
Smim5	10,12	0,12	0,8889	-0,88	0,1066	-0,24	NA	-0,55	0,3496	-1,69	0,0013	-1,11	0,0829	-0,11	NA	-0,81	0,2566	-2,03	0,0003
Smim7	103,48	0,46	0,0540	0,04	0,9444	0,01	1,0000	0,21	0,8055	0,63	0,0022	0,14	0,8170	-0,09	0,8988	0,00	1,0000	0,40	0,1426
Smim8	32,49	0,30	0,5276	0,31	0,5770	0,18	NA	0,32	0,7392	-0,08	0,8848	0,07	0,9413	-0,03	0,9768	0,20	0,8577	-0,32	0,5172
Smn1	24,86	0,12	0,8449	0,28	0,6548	0,08	NA	-0,05	0,9853	0,19	0,7103	0,07	0,9476	0,08	0,9361	-0,09	0,9570	0,37	0,5365
Smndc1	53,17	0,30	0,3678	-0,02	0,9799	-0,13	1,0000	0,05	0,9837	0,12	0,7714	-0,09	0,9173	-0,24	0,7016	-0,08	0,9494	0,12	0,7762
Smo	37,01	-0,16	0,7762	-0,71	0,0658	0,08	1,0000	0,26	0,7708	0,09	0,8591	-0,58	0,3586	0,21	0,8040	0,05	0,9822	0,12	0,8685
Smoc1	5,86	-1,00	0,0432	0,46	0,4790	0,51	NA	0,02	0,9901	-0,43	0,5025	0,39	0,6866	0,40	NA	0,08	NA	0,09	0,9292
Smoc2	37,25	-0,62	0,0816	-0,20	0,7638	0,50	0,5136	0,07	0,9764	0,35	0,4183	0,07	0,9436	0,75	0,0949	0,44	0,5560	0,68	0,1137
Smox	20,03	0,07	0,9129	-0,16	0,8313	0,11	NA	0,07	0,9794	0,23	0,6390	-0,11	0,9272	-0,14	NA	0,22	0,8614	0,24	0,7051
Smpd1	75,43	0,04	0,9472	0,23	0,5954	0,28	1,0000	0,03	0,9855	-0,07	0,8550	0,06	0,9506	0,09	0,9138	0,28	0,7253	0,01	0,9921
Smpd2	24,84	-0,11	0,8621	-0,11	0,8880	0,17	NA	0,08	0,9746	0,02	0,9766	-0,11	0,9195	0,10	0,9173	0,36	0,6812	0,35	0,4850
Smpd4	53,73	-0,18	0,6715	-0,11	0,8507	0,00	1,0000	-0,36	0,5973	-0,51	0,0903	0,01	0,9894	0,03	0,9726	0,04	0,9855	-0,20	0,6369
Smpx	273,99	1,54	0,0000	-0,53	0,1102	-0,16	1,0000	-0,63	0,0741	-0,60	0,0380	-0,53	0,1778	-0,58	0,1094	-0,49	0,2261	-0,84	0,0112
Sms	68,00	0,17	0,6520	-0,04	0,9464	-0,25	1,0000	0,08	0,9668	0,63	0,0111	0,35	0,4661	-0,32	0,5440	-0,13	0,9074	0,66	0,0251
Smtn	39,91	-0,42	0,3560	0,19	0,7679	0,36	0,9896	0,03	0,9860	0,14	0,7924	0,23	0,7925	0,17	0,8447	0,28	0,7891	0,64	0,2055
Smtnl2	196,97	-1,17	0,0035	-0,43	0,2154	-0,01	1,0000	0,01	0,9947	-0,27	0,4445	0,41	0,6637	0,36	0,5851	0,48	0,6212	0,46	0,3798
Smu1	73,46	0,17	0,6786	0,06	0,9360	0,00	1,0000	0,06	0,9794	-0,18	0,6579	0,09	0,8999	-0,01	0,9893	-0,17	0,8489	-0,53	0,0983
Smug1	34,72	0,21	0,6476	0,21	0,7133	0,01	1,0000	0,01	0,9932	-0,31	0,4545	-0,15	0,8604	-0,29	0,6760	-0,42	0,5807	-0,47	0,3123
Smurf1	75,92	0,25	0,4149	0,08	0,8919	0,18	1,0000	-0,01	0,9968	0,37	0,2154	-0,50	0,2356	-0,03	0,9726	-0,01	0,9936	0,32	0,4016
Smurf2	258,24	0,18	0,5059	-0,35	0,1907	-0,03	1,0000	0,31	0,4410	0,52	0,0077	-0,29	0,4363	0,04	0,9548	0,19	0,7189	0,38	0,1593
Smyd1	516,26	0,00	0,9968	-0,62	0,0368	-0,28	1,0000	-0,11	0,9447	-1,32	0,0000	-0,30	0,4815	0,02	0,9818	0,11	0,9065	-1,20	0,0001
Smyd2	28,15	0,52	0,2535	-0,16	0,8474	0,01	NA	-0,07	0,9798	-0,59	0,2097	-0,48	0,4880	-0,25	0,7517	-0,29	0,7865	-1,22	0,0071

GeneID	CTL	ET-1 vs CTL		SAHA vs CTL		JS28 vs CTL		BSP vs CTL		JQ1 vs CTL		ET-1+SAHA vs ET1		ET-1+JS28 vs ET1		ET-1+BSP vs ET1		ET-1+JQ1 vs ET1	
	mean	log2(FC)	P-adj	log2(FC)	P-adj	log2(FC)	P-adj	log2(FC)	P-adj	log2(FC)	P-adj	log2(FC)	P-adj	log2(FC)	P-adj	log2(FC)	P-adj	log2(FC)	P-adj
Smyd3	16,66	-0,62	0,2124	0,78	0,0913	0,20	NA	0,00	0,9986	0,14	0,8283	1,22	0,0139	0,64	NA	0,68	0,3484	0,56	0,3111
Smyd4	23,92	-0,37	0,4512	-0,67	0,1498	-0,04	NA	-0,24	0,8514	-1,04	0,0111	-0,02	0,9903	-0,09	NA	-0,36	0,7354	-0,75	0,1469
Smyd5	15,18	0,06	0,9446	0,17	0,8347	0,06	NA	-0,73	0,1543	-1,41	0,0036	0,04	0,9771	-0,17	NA	-1,12	0,0539	-1,99	0,0002
Snai3	1,89	0,96	NA	0,30	NA	-0,01	NA	0,00	NA	0,02	NA	1,39	0,0141	0,84	NA	1,61	0,0008	-0,55	0,4822
Snap23	93,08	0,13	0,7029	-0,32	0,3529	-0,16	1,0000	-0,04	0,9853	-0,05	0,8893	0,13	0,8292	0,03	0,9726	0,13	0,8880	0,16	0,6564
Snap29	75,95	-0,02	0,9584	-0,10	0,8524	-0,20	1,0000	-0,15	0,9058	-0,10	0,7745	-0,32	0,5529	-0,05	0,9535	-0,20	0,8161	0,04	0,9386
Snap47	122,38	0,11	0,8168	0,60	0,0111	0,02	1,0000	0,11	0,9330	0,58	0,0112	0,72	0,0449	-0,16	0,8126	-0,08	0,9483	0,39	0,2384
Snap91	127,44	-0,03	0,9692	-0,39	0,4503	-0,62	0,2433	-0,29	0,7688	0,10	0,8421	0,29	0,5019	-0,34	0,4379	-0,08	0,9397	0,39	0,1413
Snapc1	17,91	0,18	0,7760	0,39	0,5115	0,04	NA	0,40	0,6334	0,52	0,2524	0,57	0,3518	0,12	NA	0,00	1,0000	0,35	0,5177
Snapc2	43,19	-0,12	0,8248	-0,24	0,6757	0,16	1,0000	-0,24	0,8399	0,25	0,5248	0,03	0,9771	-0,48	0,4166	-0,18	0,8816	0,39	0,3884
Snapc3	40,35	-0,08	0,8874	-0,19	0,7474	-0,09	1,0000	-0,05	0,9853	-0,85	0,0168	0,23	0,7598	0,30	0,6345	-0,13	0,9178	-0,95	0,0119
Snapc4	33,80	0,20	0,7257	0,71	0,0781	0,24	1,0000	0,13	0,9469	0,24	0,6422	-0,05	0,9627	-0,19	0,8302	-0,18	0,8915	0,17	0,7709
Snapc5	24,10	-0,10	0,8627	-0,22	0,7429	0,01	NA	0,13	0,9472	0,28	0,5226	-0,11	0,9192	-0,15	0,8732	0,30	0,7738	0,38	0,4015
Snapi	98,49	-0,06	0,8974	-0,39	0,2699	-0,15	1,0000	0,05	0,9805	0,58	0,0217	0,05	0,9476	0,23	0,6695	0,06	0,9606	0,76	0,0041
Snca	1,61	-0,08	NA	0,11	0,9044	-0,09	NA	-0,23	NA	-0,29	0,6830	0,05	NA	-0,01	NA	-0,22	NA	-0,35	NA
Sncaip	16,48	0,24	0,7422	0,28	0,7170	0,26	NA	0,25	0,8643	-0,55	0,3484	-0,32	0,7431	-0,01	NA	-0,07	0,9791	-1,36	0,0155
Snd1	168,82	-0,07	0,8634	0,23	0,5242	-0,09	1,0000	0,19	0,8190	0,31	0,1735	0,08	0,9018	-0,30	0,4921	0,12	0,8866	0,35	0,1624
Sned1	7,10	-0,48	0,4523	0,05	0,9665	0,48	NA	0,56	0,3748	0,19	0,8055	-0,04	0,9782	0,17	NA	0,23	0,7919	0,86	0,2160
Snf8	36,67	0,34	0,4410	0,32	0,5114	0,02	1,0000	0,15	0,9264	0,15	0,7478	0,39	0,5258	-0,29	0,6778	0,02	0,9938	0,25	0,5959
Snhg1	24,07	0,16	0,7981	-0,14	0,8677	-0,12	NA	-0,19	0,9129	0,11	0,8526	-0,25	0,7706	-0,50	0,4311	-0,18	0,9018	-0,41	0,4455
Snhg12	6,80	0,35	0,6221	0,13	0,8956	0,04	NA	-0,01	NA	0,31	0,6594	-0,38	0,7142	-0,31	NA	-0,04	0,9918	-0,14	0,8723
Snhg3	6,36	-0,49	0,4447	0,39	0,5954	0,09	NA	-0,04	0,9853	0,34	0,5971	0,40	0,6968	-0,19	NA	0,24	NA	0,37	0,6548
Snhg4	5,45	0,24	0,7620	0,65	0,2857	-0,11	NA	-0,04	NA	0,22	0,7781	0,65	0,4067	-0,43	NA	0,11	0,9595	-0,23	0,7864
Snhg5	17,64	0,18	0,7849	-0,18	0,8287	0,01	NA	0,05	0,9853	-0,08	0,9057	-0,39	0,6405	-0,37	NA	-0,11	0,9501	-0,31	0,6201
Snhg6	7,62	0,10	0,9075	0,08	0,9435	-0,05	NA	-0,23	NA	-0,16	0,8435	-0,37	0,7224	0,16	NA	0,08	0,9752	-0,71	0,3054
Snhg7	5,40	-0,08	0,9312	0,30	0,7170	0,00	NA	0,01	NA	0,13	0,8738	0,11	0,9350	-0,12	NA	0,20	0,9065	-0,02	0,9890
Snhg8	8,63	0,33	0,6222	-0,20	0,8294	-0,20	NA	0,24	0,8684	0,66	0,2029	-0,37	0,7088	-0,39	NA	-0,19	0,9082	0,29	0,6559
Snip1	16,13	-0,22	0,7190	0,26	0,7122	0,00	NA	0,17	0,9266	0,20	0,7046	0,18	0,8701	0,28	NA	0,51	0,5308	0,69	0,1370
Snn	96,67	-0,72	0,0097	-0,81	0,0096	0,01	1,0000	0,19	0,8619	-0,27	0,4158	-0,30	0,6152	0,46	0,3160	0,81	0,0164	0,34	0,3378
Snora15	14,71	0,06	0,9407	0,16	0,8365	0,02	NA	0,05	0,9798	0,14	0,8582	-0,08	0,9459	0,07	NA	0,13	0,9311	0,08	0,9345
Snora16a	13,14	0,16	0,8452	0,55	0,4071	0,07	NA	0,24	0,8671	0,39	0,5788	-0,55	0,5239	-0,10	NA	0,11	0,9471	0,25	0,7762
Snora17	20,01	0,11	0,8913	0,76	0,1578	0,25	NA	0,38	0,6955	0,19	0,8033	-0,13	0,9018	-0,11	NA	0,11	0,9366	0,15	0,8694
Snora20	12,05	-0,04	0,9559	0,10	0,8970	0,01	NA	0,02	0,9853	0,30	0,6446	0,07	0,9558	0,04	NA	0,18	0,8926	0,44	0,5261
Snora21	7,72	0,26	0,7421	0,63	0,3086	0,20	NA	0,30	0,7778	0,45	0,5077	0,01	0,9934	-0,09	NA	0,11	0,9570	0,48	0,5477
Snora23	40,09	0,06	0,9202	0,03	0,9716	0,00	1,0000	0,02	0,9853	0,20	0,7609	-0,10	0,9284	-0,05	0,9482	0,02	0,9935	0,12	0,8923
Snora28	7,53	-0,05	0,9559	-0,09	0,9350	0,04	NA	-0,04	0,9853	0,69	0,2524	-0,02	0,9885	0,27	NA	0,52	0,5886	0,66	0,3619
Snora2b	4,08	0,35	0,5832	-0,01	0,9947	-0,11	NA	-0,01	NA	0,59	0,3824	-0,14	0,8292	-0,44	NA	-0,11	NA	0,01	0,9975
Snora3	12,20	0,15	0,8034	0,12	0,8562	0,03	NA	0,02	0,9853	0,29	0,6343	-0,29	0,7366	-0,20	NA	0,03	0,9911	0,18	0,8181
Snora30	6,79	0,40	0,5726	0,10	0,9288	-0,12	NA	-0,11	NA	0,46	0,5084	-0,72	0,3528	-0,47	NA	0,09	0,9664	0,08	0,9378
Snora31	3,18	0,21	0,7844	0,43	0,5461	0,04	NA	0,15	NA	0,80	0,1936	-0,19	0,8629	-0,11	NA	0,42	0,6900	0,48	0,5546
Snora33	3,02	0,19	0,8048	0,08	0,9366	0,04	NA	0,09	NA	0,40	0,5821	-0,16	0,8888	-0,08	NA	-0,02	NA	0,14	0,8904
Snora41	2,46	-0,01	0,9916	0,60	0,3351	0,18	NA	0,35	NA	0,34	0,6522	0,11	0,9213	0,01	NA	0,37	NA	0,29	0,6544
Snora43	2,96	-0,20	0,8086	0,10	0,9232	-0,04	NA	0,02	NA	-0,02	0,9784	-0,11	0,9281	-0,08	NA	0,23	NA	0,37	0,6647
Snora44	6,27	0,39	0,5745	0,26	0,7550	0,08	NA	0,32	NA	0,59	0,3848	-0,36	0,7258	-0,45	NA	0,28	0,8416	0,06	0,9546
Snora52	7,14	0,28	0,7129	-0,02	0,9844	-0,14	NA	0,01	NA	0,16	0,8484	-0,60	0,4568	-0,30	NA	-0,03	0,9921	-0,28	0,7575

GeneID	CTL	ET-1 vs CTL		SAHA vs CTL		JS28 vs CTL		BSP vs CTL		JQ1 vs CTL		ET-1+SAHA vs ET1		ET-1+JS28 vs ET1		ET-1+BSP vs ET1		ET-1+JQ1 vs ET1	
	mean	log2(FC)	P-adj	log2(FC)	P-adj	log2(FC)	P-adj	log2(FC)	P-adj	log2(FC)	P-adj	log2(FC)	P-adj	log2(FC)	P-adj	log2(FC)	P-adj	log2(FC)	P-adj
Snora5c	12,07	0,17	0,8416	0,20	0,8276	-0,04	NA	0,09	0,9746	0,54	0,3904	-0,48	0,6032	-0,29	NA	0,41	0,7014	0,44	0,5806
Snora61	16,09	0,34	0,6298	0,51	0,4535	0,15	NA	0,25	0,8436	0,20	0,7955	-0,62	0,4372	-0,62	NA	0,02	0,9938	-0,30	0,7130
Snora62	5,04	0,09	0,9199	-0,09	0,9221	-0,09	NA	0,02	NA	0,33	0,6324	-0,37	0,7066	-0,38	NA	-0,12	NA	0,20	0,8294
Snora64	16,69	0,05	0,9559	0,18	0,8242	0,06	NA	0,13	0,9295	0,19	0,8021	-0,07	0,9500	-0,08	NA	0,25	0,8161	0,12	0,9002
Snora65	6,09	0,18	0,8223	-0,17	0,8501	-0,13	NA	-0,25	NA	0,87	0,1447	-0,45	0,6271	-0,16	NA	-0,25	0,8551	0,32	0,6801
Snora68	7,22	0,08	0,9315	-0,13	0,8920	-0,16	NA	-0,24	NA	0,45	0,5031	-0,50	0,5836	-0,35	NA	-0,07	0,9766	0,39	0,6037
Snora69	2,18	0,10	NA	0,09	0,9161	0,06	NA	0,05	NA	0,29	0,6938	-0,24	NA	-0,07	NA	0,19	NA	0,35	0,6731
Snora70	21,32	0,09	0,9138	0,12	0,8815	0,02	NA	0,03	0,9853	0,26	0,7143	0,01	0,9927	-0,10	0,9134	0,01	0,9966	0,18	0,8472
Snora74a	10,02	0,01	0,9916	0,19	0,8361	0,05	NA	0,02	0,9909	0,01	0,9912	-0,13	0,9201	-0,28	NA	0,07	0,9784	0,14	0,8800
Snora75	4,09	0,14	0,7808	-0,17	0,8306	-0,04	NA	0,08	NA	0,72	0,2589	-0,14	0,8417	-0,10	NA	-0,12	NA	-0,06	0,9527
Snora78	17,11	0,20	0,8011	0,33	0,6747	0,07	NA	0,07	0,9809	0,31	0,6729	-0,23	0,8308	-0,53	NA	0,24	0,8656	0,28	0,7533
Snora7a	11,51	0,52	0,4102	0,03	0,9804	-0,02	NA	0,00	0,9986	0,64	0,3147	-0,53	0,5419	-0,62	NA	-0,08	0,9730	0,15	0,8808
Snora81	49,63	0,19	0,7803	-0,02	0,9878	-0,02	1,0000	-0,02	0,9855	0,30	0,6864	-0,26	0,7571	-0,15	0,8317	-0,10	NA	0,00	0,9988
Snord100	20,00	0,05	0,9580	-0,31	0,7075	-0,21	NA	-0,26	0,8366	0,28	0,7119	-0,66	0,4030	-0,37	NA	-0,10	0,9617	0,34	0,6838
Snord104	54,93	0,13	0,8851	0,03	0,9823	-0,07	1,0000	-0,16	0,9371	0,61	0,3624	-0,33	0,6763	-0,33	0,6637	-0,01	0,9967	0,59	0,4429
Snord11	4,17	-0,12	0,8910	-0,10	0,9174	-0,03	NA	-0,23	NA	0,28	0,6411	-0,15	0,9032	-0,11	NA	0,50	NA	0,40	0,5300
Snord110	5,09	0,35	0,6282	0,00	0,9972	-0,01	NA	-0,17	NA	0,42	0,5091	0,03	0,9822	0,21	NA	0,19	0,9074	0,36	0,6487
Snord111	13,04	-0,07	0,9407	0,01	0,9944	-0,18	NA	-0,13	0,9519	0,38	0,6009	-0,16	0,8992	-0,08	NA	0,27	0,8474	0,57	0,4461
Snord12	12,95	0,03	0,9740	-0,07	0,9545	-0,16	NA	-0,16	0,9372	0,44	0,5369	0,17	0,8877	0,23	NA	0,12	0,9502	0,55	0,4795
Snord15a	25,44	0,02	0,9879	0,50	0,4661	0,22	1,0000	0,38	0,6331	0,24	0,7649	0,51	0,5184	0,29	0,7346	0,70	0,3693	0,33	0,7012
Snord15b	126,30	-0,21	0,7893	0,03	0,9824	-0,04	1,0000	0,04	0,9853	0,02	0,9796	0,04	0,9666	-0,12	0,8994	0,52	0,4066	0,38	0,6489
Snord16a	19,48	-0,03	0,9778	0,28	0,7319	-0,05	NA	0,04	0,9853	0,21	0,7871	-0,12	0,9270	-0,27	NA	0,54	0,5332	0,34	0,6985
Snord17	107,70	-0,03	0,9750	0,21	0,8024	0,11	1,0000	0,20	0,8681	0,13	0,8796	0,09	0,9494	-0,03	0,9794	0,34	0,7839	0,34	0,6901
Snord1b	2,59	-0,01	0,9927	0,02	0,9834	-0,12	NA	-0,16	NA	0,27	0,7178	0,37	0,7140	-0,10	NA	0,11	NA	0,44	0,5853
Snord22	36,91	-0,06	0,9479	0,14	0,8644	0,01	1,0000	0,01	0,9930	0,43	0,4858	-0,03	0,9854	0,19	0,8392	0,58	0,4849	0,66	0,3306
Snord23	3,10	-0,18	0,8247	0,27	0,7501	0,13	NA	-0,01	NA	0,50	0,4754	0,06	0,9661	-0,18	NA	0,29	NA	1,03	0,1231
Snord32a	29,64	0,20	0,7789	-0,38	0,5688	-0,22	NA	-0,21	0,8966	0,28	0,6522	-0,24	0,7965	-0,20	0,8355	-0,03	0,9918	0,20	0,8039
Snord34	6,70	0,24	0,7717	-0,33	0,6709	-0,15	NA	-0,23	NA	0,13	0,8758	-0,77	0,3057	-0,51	NA	-0,41	0,7075	-0,02	0,9898
Snord35a	19,62	-0,05	0,9545	0,16	0,8560	-0,22	NA	-0,42	0,6249	0,28	0,7178	-0,63	0,4148	-0,38	NA	0,36	0,7531	0,44	0,5862
Snord35b	4,76	-0,06	0,9485	-0,17	0,8563	-0,10	NA	-0,06	NA	0,09	0,9190	-0,38	0,6910	-0,18	NA	0,24	NA	0,49	0,5505
Snord42a	3,11	-0,12	0,8903	-0,10	0,9174	-0,07	NA	-0,23	NA	0,36	0,6287	0,04	0,9778	0,03	NA	0,30	NA	0,53	0,4969
Snord47	16,51	0,13	0,8755	-0,42	0,5615	-0,19	NA	-0,37	0,6917	0,28	0,7235	-0,16	0,8910	-0,08	NA	0,15	0,9300	0,35	0,6892
Snord49a	18,12	0,18	0,8163	-0,16	0,8676	-0,20	NA	-0,25	0,8643	0,49	0,4867	-0,56	0,4753	-0,34	NA	0,04	0,9911	0,43	0,5892
Snord49b	87,02	0,17	0,8455	-0,39	0,5937	-0,20	1,0000	-0,30	0,7457	0,45	0,5210	-0,66	0,4121	-0,39	0,6185	-0,07	0,9789	0,41	0,6230
Snord4a	1,39	-0,05	NA	-0,17	0,7892	-0,04	NA	0,03	NA	0,29	0,6869	0,05	NA	0,39	NA	0,42	NA	0,83	0,2308
Snord55	3,70	0,23	0,7717	0,05	0,9701	-0,05	NA	-0,13	NA	0,46	0,5052	-0,45	0,6277	-0,61	NA	0,28	NA	0,58	0,4564
Snord57	7,24	0,10	0,9085	-0,01	0,9914	-0,24	NA	-0,18	NA	0,27	0,7178	-0,39	0,7031	-0,20	NA	0,06	0,9818	0,45	0,5845
Snord58b	2,70	0,00	0,9983	-0,09	0,9304	-0,17	NA	-0,30	NA	0,88	0,1496	-0,21	0,8321	-0,06	NA	0,11	NA	0,70	0,3386
Snord61	4,16	-0,22	0,7790	-0,24	0,7763	-0,04	NA	-0,10	NA	0,42	0,5679	-0,23	0,8292	0,01	NA	0,13	NA	0,47	0,5602
Snord64	11,35	0,36	0,5669	0,16	0,8549	0,10	NA	0,04	0,9853	-0,05	0,9511	0,18	0,8646	0,33	NA	-0,03	0,9931	-0,29	0,6930
Snord65	12,33	0,27	0,7367	-0,01	0,9924	-0,13	NA	-0,11	0,9626	0,46	0,4865	-0,77	0,3003	-0,32	NA	0,33	0,7969	0,36	0,6411
Snord66	7,98	-0,03	0,9803	-0,32	0,6927	-0,16	NA	-0,23	0,8404	0,42	0,5608	-0,51	0,5655	-0,26	NA	-0,07	0,9784	0,50	0,5331
Snord67	3,10	0,72	0,1834	0,16	0,8358	0,02	NA	0,08	NA	1,14	0,0441	-0,27	0,8085	-0,30	NA	0,14	0,9397	0,25	0,7868
Snord68	11,81	0,25	0,7450	-0,36	0,6438	-0,34	NA	-0,42	0,6129	0,20	0,8022	-0,40	0,6818	-0,37	NA	-0,25	0,8608	0,10	0,9226
Snord69	2,52	-0,14	0,8508	-0,17	0,8306	-0,04	NA	-0,27	NA	0,01	0,9913	0,04	NA	0,02	NA	0,55	NA	0,15	0,8729

GeneID	CTL	ET-1 vs CTL		SAHA vs CTL		JS28 vs CTL		BSP vs CTL		JQ1 vs CTL		ET-1+SAHA vs ET1		ET-1+JS28 vs ET1		ET-1+BSP vs ET1		ET-1+JQ1 vs ET1	
	mean	log2(FC)	P-adj	log2(FC)	P-adj	log2(FC)	P-adj	log2(FC)	P-adj	log2(FC)	P-adj	log2(FC)	P-adj	log2(FC)	P-adj	log2(FC)	P-adj	log2(FC)	P-adj
Snord70	5,64	-0,39	0,5818	-0,05	0,9658	-0,07	NA	-0,28	NA	0,41	0,5600	0,41	0,6871	0,37	NA	0,66	0,4186	0,86	0,2229
Snord71	4,34	0,26	0,7495	0,01	0,9932	-0,05	NA	0,02	NA	0,80	0,1936	-0,20	0,8640	-0,48	NA	0,20	0,9023	0,68	0,3647
Snord72	2,98	-0,05	0,9540	-0,05	0,9595	-0,08	NA	-0,09	NA	0,52	0,3610	-0,44	NA	0,11	NA	0,31	NA	0,84	0,2057
Snord73a	1,33	0,34	NA	-0,11	NA	-0,01	NA	-0,05	NA	0,38	0,5580	-0,18	NA	-0,34	NA	-0,16	NA	0,09	0,9319
Snord8	13,05	-0,03	0,9777	0,37	0,5994	0,05	NA	0,09	0,9746	0,70	0,2756	-0,04	0,9771	-0,04	NA	0,79	0,2091	0,77	0,2837
Snord82	5,75	0,01	0,9901	-0,52	0,3765	-0,18	NA	-0,37	NA	0,14	0,8468	-0,56	0,4810	-0,49	NA	-0,35	NA	0,24	0,7326
Snord83b	27,03	0,22	0,7611	0,32	0,6593	-0,09	NA	-0,05	0,9853	0,48	0,4948	-0,23	0,8127	-0,37	0,6426	0,09	0,9616	0,40	0,6399
Snord85	1,71	-0,03	NA	-0,09	0,9072	-0,05	NA	-0,17	NA	-0,13	0,8662	-0,24	NA	-0,11	NA	-0,07	NA	0,46	0,5524
Snord87	6,46	-0,26	0,7366	-0,28	0,7349	-0,24	NA	-0,36	NA	0,27	0,7160	-0,28	0,7987	-0,20	NA	0,11	NA	0,70	0,3440
Snord88c	1,31	0,16	NA	0,10	0,8933	-0,02	NA	-0,07	NA	0,51	0,3086	-0,39	NA	-0,22	NA	0,10	NA	0,63	0,3144
Snord89	13,68	-0,07	0,9431	0,13	0,8928	-0,07	NA	0,04	0,9853	0,25	0,7579	-0,02	0,9926	-0,08	NA	0,66	0,4128	0,29	0,7210
Snord92	1,27	-0,27	NA	-0,16	0,8238	-0,11	NA	-0,07	NA	-0,28	0,6569	-0,06	NA	0,08	NA	-0,06	NA	0,54	NA
Snord93	2,16	0,03	NA	0,12	0,8953	-0,04	NA	0,04	NA	0,46	0,5085	0,14	0,9034	-0,17	NA	0,24	NA	0,32	0,7078
Snord95	1,65	-0,13	NA	-0,37	0,5044	-0,13	NA	-0,20	NA	0,55	0,4125	-0,05	NA	0,02	NA	0,14	NA	0,84	0,2308
Snord96a	4,26	-0,13	0,8846	0,21	0,8199	-0,04	NA	-0,03	NA	1,23	0,0220	0,12	0,9316	0,26	NA	0,71	0,3684	1,00	0,1315
Snord99	17,05	0,63	0,2681	-0,23	0,8023	-0,16	NA	-0,32	0,7665	0,74	0,2386	-0,25	0,8159	-0,42	NA	-0,33	0,7839	0,42	0,6170
Snrk	39,51	-0,62	0,0431	0,30	0,4668	0,16	1,0000	0,33	0,6103	-0,04	0,9322	0,74	0,1178	0,50	0,3720	0,48	0,4773	0,44	0,3047
Snrnp200	305,99	-0,22	0,2434	0,07	0,8119	0,12	1,0000	-0,01	0,9860	-0,35	0,0194	-0,11	0,8262	0,03	0,9624	0,02	0,9911	-0,19	0,4490
Snrnp25	5,12	0,01	0,9901	0,25	0,7720	-0,13	NA	-0,18	NA	-0,28	0,7062	0,26	0,8158	-0,25	NA	-0,20	NA	-0,07	0,9456
Snrnp27	39,92	0,14	0,7605	0,04	0,9550	0,10	1,0000	-0,02	0,9901	0,24	0,5226	0,10	0,9090	0,24	0,7187	0,04	0,9867	0,23	0,5863
Snrnp35	10,71	-0,26	0,7022	-0,27	0,7312	0,02	NA	0,03	0,9860	-0,91	0,0877	-0,02	0,9892	0,05	NA	-0,04	0,9911	-0,18	0,8181
Snrnp40	19,74	0,00	0,9969	-0,51	0,3513	-0,14	NA	0,10	0,9634	-0,25	0,6667	-0,37	0,6685	-0,04	NA	0,13	0,9387	-0,32	0,5912
Snrnp48	26,00	-0,43	0,3143	0,51	0,2221	0,00	NA	0,26	0,8147	0,07	0,8917	0,31	0,7083	0,31	0,6947	0,43	0,6122	-0,05	0,9493
Snrnp70	157,88	-0,24	0,4884	0,35	0,2749	0,10	1,0000	0,08	0,9581	0,30	0,2756	0,37	0,4027	0,23	0,6786	-0,03	0,9852	0,60	0,0324
Snrpa	23,35	0,21	0,7240	-0,07	0,9414	-0,02	NA	-0,13	0,9563	0,47	0,3036	-0,21	0,8141	-0,49	0,4532	-0,24	0,8412	0,20	0,7215
Snrpa1	20,30	0,09	0,8993	0,20	0,7793	0,10	NA	0,17	0,9249	-0,32	0,5578	0,07	0,9476	0,02	NA	-0,07	0,9784	-0,63	0,2311
Snrpb	46,30	0,05	0,9398	-0,36	0,4819	-0,17	1,0000	0,01	0,9928	0,12	0,8102	0,12	0,8844	-0,31	0,6352	0,02	0,9936	-0,11	0,8391
Snrpb2	32,76	0,04	0,9419	0,09	0,8929	0,05	1,0000	-0,06	0,9805	-0,46	0,2247	0,16	0,8443	0,17	0,8390	0,24	0,8161	-0,54	0,2140
Snrpc	12,76	0,02	0,9859	0,27	0,7154	-0,09	NA	0,07	0,9805	0,54	0,3302	0,07	0,9530	-0,20	NA	0,12	0,9458	0,37	0,5921
Snrpd1	18,77	0,37	0,4620	0,43	0,4410	-0,03	NA	0,24	0,8671	-0,18	0,7864	0,43	0,5453	0,23	0,7760	0,00	1,0000	-0,14	0,8210
Snrpd2	38,15	0,10	0,8640	0,07	0,9241	-0,01	1,0000	0,14	0,9364	0,17	0,7170	0,24	0,7702	-0,07	0,9432	0,31	0,7189	0,26	0,5701
Snrpd3	22,28	0,31	0,5806	0,37	0,5609	0,00	NA	-0,07	0,9805	0,10	0,8782	0,46	0,4567	0,03	0,9806	-0,03	0,9911	-0,23	0,7012
Snrpe	40,07	0,28	0,5162	0,31	0,5112	0,13	1,0000	0,46	0,4033	0,24	0,5682	0,23	0,7510	0,07	0,9428	0,20	0,8446	-0,22	0,6665
Snrpf	4,90	0,89	0,0902	0,18	0,8422	0,04	NA	0,32	NA	0,35	0,6363	-0,33	0,7577	-0,07	NA	-0,69	0,3889	-1,01	0,1211
Snrpg	12,18	-0,17	0,8112	-0,25	0,7595	0,10	NA	0,16	0,9364	-0,16	0,8106	0,29	0,7672	0,17	NA	0,39	0,7183	0,31	0,6364
Snta1	35,04	0,40	0,3415	0,34	0,5114	0,10	NA	0,06	0,9853	0,42	0,2804	-0,32	0,6566	-0,51	0,3858	-0,05	0,9818	0,33	0,5796
Sntb1	75,45	0,72	0,0152	-0,40	0,3798	-0,28	1,0000	-0,87	0,0162	-1,15	0,0007	-0,57	0,2024	-0,59	0,1609	-0,81	0,0326	-1,42	0,0000
Sntb2	32,10	-0,39	0,3751	-0,19	0,7845	0,12	1,0000	0,08	0,9757	0,02	0,9658	0,09	0,9344	0,08	0,9432	0,19	0,8833	0,59	0,1827
Snupn	14,87	0,06	0,9404	0,18	0,8287	-0,03	NA	0,10	0,9701	0,25	0,6449	0,27	0,7688	-0,21	NA	0,26	0,8386	0,21	0,7769
Snw1	156,34	-0,06	0,8828	-0,15	0,6642	0,03	1,0000	0,13	0,8797	-0,15	0,5382	-0,25	0,6601	0,08	0,9173	0,14	0,8816	0,04	0,9401
Snx1	38,74	-0,14	0,7781	0,16	0,7807	0,11	1,0000	-0,18	0,9060	0,35	0,3086	0,04	0,9666	-0,16	0,8525	-0,14	0,9179	0,51	0,1532
Snx10	41,47	-0,01	0,9901	-0,67	0,0887	-0,06	1,0000	-0,35	0,6551	-0,20	0,6366	-0,41	0,5041	-0,10	0,9104	-0,50	0,4411	-0,30	0,5328
Snx11	18,49	0,15	0,8148	-0,05	0,9664	0,16	NA	0,20	0,8998	0,08	0,8982	-0,15	0,8897	0,17	NA	-0,23	0,8609	-0,06	0,9385
Snx12	73,28	0,20	0,6279	-0,47	0,1787	-0,05	1,0000	-0,15	0,9093	0,19	0,5723	-0,06	0,9387	-0,01	0,9898	-0,17	0,8597	0,24	0,6076
Snx13	233,69	-0,03	0,9378	-0,07	0,8620	0,06	1,0000	0,14	0,8512	-0,30	0,2058	0,19	0,6556	0,33	0,3646	0,17	0,7738	-0,15	0,7281

GeneID	CTL	ET-1 vs CTL		SAHA vs CTL		JS28 vs CTL		BSP vs CTL		JQ1 vs CTL		ET-1+SAHA vs ET1		ET-1+JS28 vs ET1		ET-1+BSP vs ET1		ET-1+JQ1 vs ET1	
	mean	log2(FC)	P-adj	log2(FC)	P-adj	log2(FC)	P-adj	log2(FC)	P-adj	log2(FC)	P-adj	log2(FC)	P-adj	log2(FC)	P-adj	log2(FC)	P-adj	log2(FC)	P-adj
Snx14	105,95	-0,06	0,8912	0,54	0,0454	0,20	1,0000	0,55	0,0845	0,71	0,0025	0,56	0,1041	0,23	0,6449	0,48	0,2160	0,79	0,0033
Snx15	11,18	-0,25	0,7142	-0,66	0,2574	-0,05	NA	-0,17	0,9280	0,57	0,2290	-0,67	0,3966	0,28	NA	0,14	0,9400	0,90	0,0660
Snx16	17,99	-0,19	0,7535	0,04	0,9730	0,05	NA	-0,16	0,9370	-0,37	0,4704	0,06	0,9601	-0,01	NA	-0,04	0,9911	-0,18	0,7864
Snx17	69,10	0,05	0,9138	-0,56	0,0836	0,03	1,0000	0,10	0,9563	0,50	0,0471	-0,20	0,7655	-0,20	0,7671	0,07	0,9616	0,40	0,2405
Snx18	47,24	0,03	0,9635	-0,13	0,8290	-0,19	1,0000	0,40	0,4813	0,28	0,4116	-0,25	0,7304	0,17	0,8275	0,13	0,9138	0,30	0,4779
Snx19	118,60	0,03	0,9403	-0,32	0,2998	-0,14	1,0000	-0,11	0,9364	-0,11	0,7513	-0,21	0,6955	-0,26	0,5996	0,04	0,9792	-0,11	0,7549
Snx2	87,88	-0,23	0,4759	0,11	0,8360	0,23	1,0000	0,25	0,7392	-0,01	0,9718	0,26	0,6225	0,33	0,4760	0,34	0,5231	0,15	0,6969
Snx21	23,12	-0,11	0,8802	-0,22	0,7679	-0,13	NA	-0,03	0,9873	-0,30	0,6196	-0,40	0,6353	-0,24	NA	0,11	0,9494	-0,68	0,2907
Snx22	5,32	0,19	0,8048	-0,46	0,4534	-0,15	NA	-0,22	NA	0,19	0,8130	-0,05	0,9726	-0,23	NA	-0,85	NA	0,07	0,9506
Snx24	21,22	0,11	0,8525	0,35	0,5406	0,44	NA	0,08	0,9746	-0,39	0,4335	0,43	0,5153	0,09	0,9320	0,19	0,8865	-0,64	0,1771
Snx25	31,58	0,49	0,2072	0,34	0,5335	0,17	NA	0,35	0,6925	0,51	0,1979	0,05	0,9566	-0,61	0,2496	0,06	0,9753	0,12	0,8408
Snx27	157,53	-0,04	0,9254	-0,22	0,4938	-0,09	1,0000	-0,06	0,9681	-0,16	0,5448	-0,22	0,6439	0,14	0,7920	-0,18	0,7864	-0,12	0,7092
Snx29	15,39	-0,26	0,6614	0,54	0,2658	0,00	NA	0,45	0,5477	0,77	0,0403	0,15	0,8934	0,09	NA	0,57	0,4714	0,69	0,1445
Snx3	173,49	0,15	0,6577	-0,24	0,4929	-0,19	1,0000	-0,01	0,9925	0,28	0,2233	-0,18	0,7400	-0,28	0,5440	-0,11	0,9065	0,23	0,4645
Snx30	58,68	0,40	0,2475	0,16	0,7845	0,13	1,0000	0,14	0,9287	0,31	0,3706	-0,18	0,7918	-0,54	0,2486	-0,54	0,2892	-0,06	0,9080
Snx32	24,62	-0,12	0,8487	0,47	0,3341	0,15	NA	-0,03	0,9860	-0,16	0,7635	0,31	0,7031	0,05	0,9629	0,39	0,6511	0,13	0,8532
Snx33	46,20	-0,48	0,1583	-0,86	0,0154	0,01	1,0000	-0,32	0,7006	-0,54	0,1222	-0,39	0,5414	0,26	0,6959	0,08	0,9570	-0,20	0,7046
Snx4	140,92	0,20	0,4547	-0,34	0,2625	0,01	1,0000	0,04	0,9853	-0,15	0,6649	-0,07	0,9049	-0,13	0,8232	-0,33	0,4607	-0,24	0,5001
Snx5	169,72	0,21	0,4069	0,15	0,6747	0,22	1,0000	0,40	0,2344	0,62	0,0029	0,02	0,9819	-0,03	0,9622	0,36	0,3649	0,56	0,0454
Snx6	84,90	-0,05	0,9032	-0,49	0,1060	0,10	1,0000	0,09	0,9516	-0,11	0,7548	-0,21	0,7340	0,16	0,7939	0,21	0,7891	0,09	0,8518
Snx7	21,51	0,46	0,3130	-0,04	0,9695	-0,22	NA	-0,08	0,9753	-0,46	0,3847	-0,01	0,9930	-0,16	0,8558	-0,67	0,3227	-0,65	0,1681
Snx8	25,13	0,24	0,6490	-0,14	0,8543	-0,08	NA	-0,19	0,9111	-0,31	0,5279	0,05	0,9639	-0,26	0,7418	-0,22	0,8551	-0,41	0,4191
Snx9	31,60	0,33	0,4752	-0,42	0,4477	0,30	NA	0,19	0,9015	-0,10	0,8610	-0,47	0,4435	-0,01	0,9948	-0,03	0,9918	-0,55	0,2017
Soat1	46,86	0,12	0,8052	0,90	0,0037	0,06	1,0000	0,06	0,9836	-0,01	0,9906	0,74	0,0453	0,15	0,8397	-0,03	0,9911	0,00	0,9988
Soat2	1,55	0,65	NA	-0,04	NA	-0,01	NA	-0,05	NA	-0,08	NA	-0,57	NA	-0,34	NA	-0,48	NA	-1,06	NA
Sobp	37,72	-0,32	0,4876	0,09	0,9044	-0,22	1,0000	0,18	0,9058	-0,28	0,5395	0,21	0,7960	0,10	0,9128	0,41	0,5858	-0,12	0,8350
Socs1	1,02	-0,16	NA	0,31	0,6555	0,07	NA	0,13	NA	0,36	0,6230	0,55	NA	0,05	NA	0,07	NA	1,16	0,0764
Socs2	33,66	-0,46	0,3589	-0,01	0,9886	-0,14	1,0000	-0,28	0,7668	-1,04	0,0023	0,07	0,9506	0,06	0,9628	0,35	0,7396	-0,77	0,1875
Socs3	7,86	-0,32	0,6639	0,11	0,9098	-0,33	NA	-0,15	0,9437	0,19	0,7846	0,33	0,7580	-0,21	NA	-0,38	NA	0,28	0,7473
Socs4	65,27	-0,01	0,9904	-0,53	0,1681	-0,11	1,0000	-0,13	0,9364	-0,15	0,7298	-0,25	0,6774	0,16	0,8140	-0,03	0,9892	0,03	0,9536
Socs5	50,35	0,06	0,8976	-0,23	0,6356	0,00	1,0000	0,13	0,9372	-0,14	0,7171	-0,15	0,8465	0,17	0,8171	-0,10	0,9416	-0,41	0,3351
Socs6	88,62	-0,06	0,8795	-0,07	0,9063	0,19	1,0000	0,24	0,7489	0,04	0,9353	-0,10	0,8897	0,29	0,5448	0,09	0,9379	-0,03	0,9562
Socs7	67,89	0,19	0,6035	0,12	0,8088	-0,30	1,0000	0,03	0,9853	0,64	0,0049	-0,19	0,7762	-0,26	0,6590	-0,30	0,6538	0,47	0,1041
Sod1	160,19	-0,17	0,6287	-0,03	0,9666	0,01	1,0000	0,37	0,3748	0,29	0,3835	0,05	0,9378	-0,24	0,6266	0,44	0,2526	0,41	0,1455
Sod2	209,67	0,22	0,5210	-0,24	0,5412	-0,28	1,0000	-0,23	0,7632	-0,34	0,1784	0,14	0,8040	-0,08	0,9085	-0,17	0,8161	-0,43	0,1189
Soga1	125,39	-0,28	0,2655	-0,53	0,0521	-0,22	1,0000	-0,26	0,6541	0,33	0,2254	-0,62	0,0778	-0,24	0,6277	-0,37	0,4460	0,32	0,2816
Soga3	1,26	-0,10	NA	1,05	0,0317	0,04	NA	-0,04	NA	-0,16	0,8283	0,68	0,3208	0,02	NA	-0,21	NA	-0,05	NA
Son	997,39	-0,23	0,2832	-0,40	0,0515	-0,08	1,0000	0,10	0,9141	0,15	0,5071	-0,24	0,4938	0,28	0,3895	0,34	0,2758	0,41	0,0845
Sorbs1	424,95	0,20	0,5607	-0,30	0,3387	-0,17	1,0000	-0,10	0,9417	0,69	0,0004	-0,47	0,1805	-0,29	0,5017	-0,29	0,5737	0,72	0,0018
Sorbs2	5415,89	0,93	0,0000	-0,17	0,5028	-0,41	0,1305	-0,20	0,6430	0,19	0,4180	-0,55	0,0224	-0,63	0,0054	-0,52	0,0298	-0,31	0,1635
Sorbs2os	11,78	0,24	NA	-0,22	NA	-0,07	NA	-0,13	NA	0,07	0,9138	0,04	NA	0,01	NA	-0,30	0,6783	-0,12	0,8806
Sorbs3	1,94	-0,21	NA	0,30	0,6906	-0,01	NA	-0,08	NA	-0,39	0,5584	0,11	NA	0,02	NA	0,08	NA	-0,23	NA
Sorcs2	26,88	0,23	0,6663	1,15	0,0002	0,16	NA	-0,03	0,9860	-1,36	0,0007	0,86	0,0641	0,70	0,1536	0,58	0,3345	-1,32	0,0038
Sord	82,55	-0,88	0,0001	0,03	0,9558	-0,03	1,0000	-0,22	0,7796	0,00	0,9944	0,69	0,0970	0,41	0,4087	0,28	0,6999	0,57	0,0826
Sorl1	122,12	0,06	0,9032	0,31	0,2668	0,42	0,3547	0,18	0,8121	-0,42	0,1020	0,15	0,8292	0,26	0,6532	0,31	0,6212	-0,84	0,0090

GeneID	CTL	ET-1 vs CTL		SAHA vs CTL		JS28 vs CTL		BSP vs CTL		JQ1 vs CTL		ET-1+SAHA vs ET1		ET-1+JS28 vs ET1		ET-1+BSP vs ET1		ET-1+JQ1 vs ET1	
	mean	log2(FC)	P-adj	log2(FC)	P-adj	log2(FC)	P-adj	log2(FC)	P-adj	log2(FC)	P-adj	log2(FC)	P-adj	log2(FC)	P-adj	log2(FC)	P-adj	log2(FC)	P-adj
Sort1	470,14	0,09	0,7511	-0,08	0,8056	-0,02	1,0000	0,20	0,6070	0,46	0,0027	0,10	0,8412	-0,17	0,7034	0,22	0,6518	0,53	0,0077
Sos1	212,56	0,03	0,9419	-0,11	0,7698	-0,05	1,0000	-0,04	0,9817	0,38	0,0354	-0,33	0,3717	0,12	0,8172	-0,03	0,9792	0,49	0,0423
Sos2	157,28	0,06	0,8846	-0,29	0,4482	0,07	1,0000	0,02	0,9860	0,25	0,3506	-0,49	0,1606	0,10	0,8586	-0,05	0,9616	0,40	0,1019
Sowahc	3,06	0,26	0,7389	0,18	0,8391	-0,01	NA	0,06	NA	0,37	0,6253	0,03	0,9853	-0,35	NA	-0,20	NA	0,12	0,9083
Sox11	51,34	0,72	0,0105	0,65	0,0802	-0,03	1,0000	0,64	0,1297	1,81	0,0000	0,01	0,9933	-0,20	0,7445	0,53	0,1992	1,47	0,0000
Sox12	62,44	-0,19	0,7196	-0,35	0,4543	-0,50	0,5189	-0,54	0,2630	0,19	0,7324	-0,60	0,2920	-0,36	0,5724	-0,20	0,8608	0,36	0,6579
Sox13	2,26	0,13	0,8763	0,24	0,7679	0,03	NA	-0,03	NA	0,42	0,5679	-0,31	NA	0,01	NA	-0,27	NA	0,63	0,4003
Sox4	230,63	-0,69	0,0091	-0,60	0,0111	-0,21	1,0000	-0,66	0,0081	-0,12	0,7965	-0,24	0,7027	0,40	0,4082	0,37	0,5273	0,35	0,4906
Sox5	42,60	-0,28	0,5042	-0,63	0,1119	-0,26	1,0000	-0,32	0,7107	-0,13	0,7696	-0,47	0,4267	-0,12	0,8953	-0,21	0,8446	-0,05	0,9440
Sox6	87,05	-0,57	0,0180	-0,61	0,0319	-0,12	1,0000	-0,12	0,9318	-0,33	0,3748	-0,25	0,6793	0,22	0,7068	0,40	0,4432	0,23	0,5429
Sox9	2,23	0,07	NA	0,38	0,6006	0,01	NA	0,19	NA	0,80	0,1949	0,34	0,7406	0,03	NA	-0,01	NA	1,00	0,1320
Sp1	167,00	-0,09	0,8219	-0,74	0,0006	-0,10	1,0000	-0,20	0,7624	-0,44	0,0377	-0,66	0,0542	-0,32	0,4965	-0,36	0,4724	-0,24	0,4857
Sp140	1,37	0,20	NA	-0,14	NA	-0,04	NA	-0,07	NA	0,12	0,7925	-0,15	NA	-0,06	NA	-0,36	NA	-0,53	NA
Sp2	45,58	-0,01	0,9867	-0,97	0,0092	-0,28	1,0000	-0,49	0,4246	0,00	0,9970	-0,89	0,1014	-0,26	0,7350	-0,24	0,8389	0,25	0,7210
Sp3	184,57	-0,06	0,8487	0,18	0,5506	-0,01	1,0000	0,22	0,6651	0,00	0,9980	0,13	0,8091	0,17	0,7418	0,25	0,6427	-0,12	0,7676
Sp3os	11,73	0,06	0,9467	0,03	0,9799	-0,25	NA	0,07	0,9805	0,26	0,6908	0,32	0,7406	-0,35	NA	-0,19	0,9074	0,37	0,5726
Sp4	70,23	-0,11	0,8132	0,08	0,8972	0,11	1,0000	0,61	0,0677	0,71	0,0048	0,06	0,9450	0,45	0,3398	0,71	0,0583	0,69	0,0448
Sp6	2,02	-0,41	NA	-0,19	0,8213	-0,15	NA	-0,31	NA	-0,55	0,4024	0,02	NA	0,13	NA	-0,12	NA	-0,03	NA
Spa17	3,30	-0,46	0,4794	-0,11	0,9138	-0,09	NA	-0,13	NA	-1,15	0,0395	0,27	0,7866	0,30	NA	-0,16	NA	-0,49	NA
Spaca6	19,84	-0,74	0,0568	-0,64	0,1731	-0,46	NA	-0,49	0,4768	-0,39	0,4231	-0,20	0,8509	0,21	NA	-0,04	0,9909	-0,45	0,5071
Spag1	2,55	-0,20	0,8051	0,37	0,6330	-0,18	NA	0,17	NA	0,24	0,7664	0,09	0,9444	0,07	NA	0,06	NA	0,44	0,6005
Spag5	4,76	-0,45	0,5030	0,22	0,8060	0,07	NA	0,05	NA	0,35	0,6170	-0,16	0,8863	-0,12	NA	0,11	NA	0,36	0,6762
Spag7	101,52	0,32	0,3755	-0,62	0,0600	-0,10	1,0000	0,10	0,9559	0,27	0,4426	-0,50	0,2621	-0,23	0,6947	0,05	0,9730	-0,05	0,9323
Spag9	480,83	-0,20	0,2737	0,12	0,6905	0,08	1,0000	0,08	0,9269	-0,01	0,9748	0,11	0,8258	0,29	0,3921	0,33	0,2989	0,17	0,6195
Sparc	1620,57	0,09	0,8128	-0,79	0,0000	-0,25	0,9654	-0,51	0,0183	-0,49	0,0049	-0,48	0,1440	0,01	0,9938	-0,18	0,7608	-0,29	0,3781
Sparcl1	67,44	-0,89	0,0041	-1,17	0,0002	0,35	0,9702	-0,65	0,1273	-2,70	0,0000	-0,63	0,2828	0,87	0,0360	-0,39	0,6427	-1,56	0,0004
Spast	126,89	0,00	0,9995	-0,45	0,0848	0,10	1,0000	0,14	0,8891	0,13	0,6363	-0,27	0,5553	0,11	0,8586	0,18	0,7880	0,25	0,4365
Spata1	7,42	0,21	0,7909	-0,07	0,9549	-0,10	NA	0,25	0,8597	0,41	0,5512	0,09	0,9444	-0,08	NA	-0,09	0,9659	-0,30	0,7247
Spata13	168,55	0,76	0,0032	-1,18	0,0001	-0,29	1,0000	-0,38	0,5544	-0,69	0,0454	-1,29	0,0000	-0,99	0,0002	-1,17	0,0000	-0,97	0,0015
Spata2	41,93	0,15	0,7792	0,05	0,9444	-0,22	1,0000	-0,10	0,9634	0,05	0,9141	-0,10	0,9108	-0,45	0,4453	-0,14	0,9181	0,21	0,6761
Spata24	9,67	-0,58	0,2782	0,26	0,7242	-0,10	NA	-0,31	0,7941	-0,77	0,1574	0,56	0,5002	0,33	NA	-0,04	0,9911	0,11	0,9083
Spata21	6,51	-0,44	0,4951	0,27	0,7414	0,00	NA	0,12	0,9602	0,25	0,7010	0,24	0,8322	0,36	NA	0,44	0,6847	0,43	0,5743
Spata33	3,25	0,14	0,8768	0,28	0,7412	0,13	NA	0,05	NA	-0,36	0,6287	0,11	0,9343	-0,16	NA	0,00	NA	-0,32	0,7092
Spata5	38,35	0,50	0,1151	0,26	0,6356	-0,21	NA	-0,06	0,9805	-0,28	0,5167	-0,28	0,6791	-0,25	0,7036	-0,41	0,5522	-0,51	0,2276
Spata511	2,25	0,44	0,4936	0,04	0,9706	-0,01	NA	0,08	NA	0,31	0,6741	-0,52	0,5048	-0,46	NA	-0,30	NA	-0,46	0,5772
Spata6	20,59	-0,82	0,0627	1,15	0,0022	0,23	NA	-0,03	0,9860	-0,69	0,1378	1,65	0,0001	0,97	NA	0,13	0,9406	0,21	0,7694
Spata7	17,73	-0,75	0,0681	0,45	0,3550	-0,04	NA	-0,12	0,9604	-0,96	0,0242	0,61	0,3927	0,45	NA	0,54	0,5216	-0,30	0,6853
Spats1	1,71	0,02	NA	0,08	0,9251	-0,06	NA	0,04	NA	-0,25	0,7101	0,22	NA	-0,28	NA	-0,19	NA	-0,47	NA
Spats2	31,46	0,16	0,7710	0,02	0,9818	0,06	NA	0,11	0,9602	0,08	0,8813	0,07	0,9398	0,27	0,6956	-0,07	0,9688	-0,27	0,6124
Spats21	80,52	0,04	0,9567	-1,58	0,0000	-0,14	1,0000	-0,57	0,2303	-0,75	0,0146	-1,37	0,0021	-0,33	0,6377	-0,55	0,4133	-0,55	0,2673
Spc25	4,91	0,08	0,9312	0,22	0,8112	0,15	NA	0,26	NA	0,35	0,6287	-0,08	0,9512	-0,03	NA	-0,02	NA	0,30	0,7253
Spcs1	50,92	0,49	0,1505	0,33	0,4516	0,21	1,0000	0,13	0,9378	-0,01	0,9815	0,03	0,9732	-0,38	0,5017	-0,21	0,8386	-0,43	0,2676
Spcs2	64,58	-0,06	0,9043	-0,28	0,4931	0,12	1,0000	0,08	0,9628	-0,25	0,5258	0,18	0,7914	0,06	0,9403	0,25	0,7314	-0,18	0,6548
Spcs3	432,72	1,59	0,0000	0,01	0,9822	-0,23	1,0000	0,01	0,9901	-0,13	0,6984	-0,62	0,0129	-1,07	0,0000	-1,39	0,0000	-1,31	0,0000
Spdl1	3,23	0,28	0,7088	0,43	0,5382	0,10	NA	0,04	NA	0,33	0,6664	0,16	0,9004	-0,20	NA	-0,41	NA	-0,10	0,9251

GeneID	CTL	ET-1 vs CTL		SAHA vs CTL		JS28 vs CTL		BSP vs CTL		JQ1 vs CTL		ET-1+SAHA vs ET1		ET-1+JS28 vs ET1		ET-1+BSP vs ET1		ET-1+JQ1 vs ET1	
	mean	log2(FC)	P-adj	log2(FC)	P-adj	log2(FC)	P-adj	log2(FC)	P-adj	log2(FC)	P-adj	log2(FC)	P-adj	log2(FC)	P-adj	log2(FC)	P-adj	log2(FC)	P-adj
Susd2	25,18	-0,02	0,9780	0,11	0,8873	0,00	NA	-0,75	0,1229	-1,32	0,0038	-0,02	0,9903	0,05	0,9654	-0,14	0,9393	-1,12	0,0477
Susd4	5,12	-0,55	0,3751	0,61	0,3144	0,21	NA	0,04	NA	-0,42	0,5370	0,72	0,3489	0,12	NA	-0,22	NA	-0,48	0,5526
Suv39h1	15,91	-0,16	0,8142	-0,38	0,5576	0,03	NA	0,02	0,9901	-0,15	0,8022	-0,15	0,9018	0,00	NA	-0,06	0,9818	-0,03	0,9693
Suv39h2	1,76	0,33	NA	-0,08	0,9256	0,00	NA	0,13	NA	0,33	0,6511	-0,14	0,9045	-0,05	NA	-0,25	NA	-0,35	0,6798
Suv420h1	151,97	-0,16	0,6203	-1,42	0,0000	0,01	1,0000	-0,06	0,9634	-0,81	0,0001	-1,29	0,0000	0,14	0,8166	-0,09	0,9264	-0,55	0,0733
Suv420h2	21,01	-0,55	0,2445	0,65	0,1679	0,09	NA	0,09	0,9727	0,68	0,0854	0,86	0,1111	0,38	NA	0,68	0,2887	0,65	0,1387
Suz12	261,06	-0,10	0,7339	-0,20	0,4553	-0,05	1,0000	0,25	0,5537	0,01	0,9754	-0,12	0,8304	0,19	0,6733	0,27	0,5243	0,14	0,6954
Sv2a	42,23	-0,37	0,4175	0,31	0,5149	-0,26	1,0000	-0,52	0,3388	-0,78	0,0498	0,54	0,3538	-0,08	0,9361	-0,20	0,8769	-0,43	0,4811
Sv2b	12,20	1,64	0,0000	-0,35	0,6506	-0,07	NA	-0,49	NA	-1,14	0,0393	-0,91	0,1223	-0,53	NA	-1,51	0,0015	-3,07	0,0000
Sv2c	2,58	0,02	0,9867	0,07	0,9436	-0,14	NA	-0,09	NA	0,43	0,5544	-0,15	0,8923	-0,16	NA	-0,08	NA	0,06	0,9562
Svep1	1,93	-0,60	NA	-0,60	0,2269	0,04	NA	-0,21	NA	-0,65	0,2863	-0,11	NA	0,16	NA	-0,09	NA	-0,02	NA
Svil	1094,35	0,48	0,0044	-0,37	0,0600	-0,11	1,0000	-0,24	0,5404	-0,46	0,0505	-0,67	0,0046	-0,31	0,3565	-0,19	0,7049	-0,66	0,0024
Svip	19,10	-0,31	0,5748	0,87	0,0326	0,28	NA	-0,09	0,9727	-1,14	0,0109	0,97	0,0491	0,41	NA	-0,15	0,9297	-1,07	0,0328
Svop	4,49	-0,19	0,8150	0,12	0,9094	-0,13	NA	-0,36	NA	-0,99	0,0919	-0,19	0,8688	-0,26	NA	-0,16	NA	-0,98	0,1408
Swap70	18,14	0,07	0,9253	0,52	0,3229	0,37	NA	0,39	0,6551	0,67	0,0841	-0,15	0,8892	0,07	NA	0,31	0,7770	0,25	0,6746
Swi5	52,14	0,08	0,8846	0,26	0,6021	-0,07	1,0000	0,13	0,9399	0,50	0,1057	0,41	0,4338	0,11	0,8909	0,41	0,4931	0,38	0,3197
Swsap1	10,67	-0,10	0,9024	-0,50	0,4466	-0,10	NA	-0,14	0,9500	-0,22	0,7458	0,16	0,8897	0,12	NA	0,08	0,9761	0,14	0,8589
Swt1	41,73	-0,21	0,6454	0,41	0,3218	0,15	1,0000	0,18	0,8923	0,03	0,9564	0,53	0,3053	0,43	0,4311	0,27	0,7602	0,15	0,7784
Syap1	79,83	-0,03	0,9565	0,19	0,6897	0,02	1,0000	0,20	0,8363	0,15	0,7070	0,21	0,7357	0,38	0,4131	0,38	0,4707	0,25	0,5385
Sybu	2,57	-0,72	0,1760	-0,43	0,5324	-0,16	NA	-0,35	NA	-0,37	0,6211	0,08	NA	0,06	NA	-0,07	NA	0,04	NA
Sypc2	19,55	-1,20	0,0007	-0,66	0,1508	-0,45	NA	-0,22	0,8684	-0,38	0,4426	0,35	0,7224	0,60	NA	0,55	0,5264	-0,33	0,6671
Syde1	33,16	0,50	0,1851	-1,15	0,0040	-0,08	NA	-0,22	0,8695	-0,41	0,4741	-1,45	0,0009	-0,36	0,5801	-0,75	0,1503	-0,30	0,5592
Syde2	190,24	-0,29	0,3306	-0,46	0,1556	-0,26	1,0000	-0,22	0,8055	-0,44	0,8080	0,17	0,7388	0,53	0,0790	0,62	0,0243	0,07	0,8396
Syf2	81,51	-0,06	0,8991	-0,03	0,9671	0,14	1,0000	0,03	0,9853	0,11	0,7851	0,04	0,9666	0,16	0,8040	0,05	0,9711	0,16	0,7037
Syk	68,59	-0,25	0,4630	0,14	0,7594	0,08	1,0000	0,07	0,9676	-1,09	0,0001	0,02	0,9829	0,14	0,8504	-0,30	0,6882	-0,94	0,0277
Sympk	139,67	-0,10	0,7676	0,29	0,3232	0,12	1,0000	0,25	0,6751	0,48	0,0228	0,07	0,9219	-0,38	0,3675	0,06	0,9579	0,41	0,1897
Syn1	3,10	-0,36	0,6183	1,34	0,0037	0,03	NA	0,30	NA	0,95	0,0874	1,33	0,0257	0,20	NA	-0,03	NA	2,08	0,0001
Syn2	21,30	-0,02	0,9851	0,69	0,0868	-0,03	NA	-0,15	0,9371	0,05	0,9388	0,63	0,2716	-0,11	NA	-0,22	0,8618	0,19	0,7819
Syn3	3,82	0,17	0,8372	0,30	0,7171	0,21	NA	0,07	NA	0,85	0,1524	0,01	0,9967	0,20	NA	0,13	NA	0,54	0,4653
Sync	8,74	0,33	0,6320	-0,44	0,5462	-0,06	NA	-0,45	NA	-1,31	0,0174	-0,47	0,6100	-0,34	NA	-1,02	0,0959	-1,77	0,0023
Syncrip	317,11	0,34	0,0578	-0,55	0,0104	-0,15	1,0000	0,16	0,8214	0,09	0,7287	-0,82	0,0003	-0,07	0,8968	-0,26	0,5172	-0,30	0,3009
Syndig1	26,40	1,94	0,0000	0,24	0,7762	0,10	NA	-0,22	0,8909	0,08	0,9247	-0,53	0,3157	-1,20	0,0020	-0,91	0,0375	-1,06	0,0063
Syne1	259,18	-0,21	0,4206	-1,08	0,0000	-0,23	1,0000	-0,38	0,2057	-1,16	0,0000	-1,07	0,0001	0,10	0,8719	0,00	1,0000	-1,07	0,0000
Syne2	378,59	-0,72	0,0058	-0,41	0,0851	-0,20	1,0000	0,15	0,8451	0,37	0,0701	-0,28	0,6358	0,34	0,5017	0,64	0,1085	0,96	0,0025
Syne3	1,21	-0,06	NA	0,38	0,5644	0,20	NA	-0,04	NA	0,32	0,6607	0,15	NA	0,11	NA	0,30	NA	0,02	NA
Syne4	3,66	-0,36	0,6183	0,03	0,9818	-0,23	NA	-0,27	NA	-0,50	0,4754	-0,17	0,8811	-0,24	NA	-0,22	NA	-0,19	0,8455
Syngap1	28,63	-0,28	0,5680	0,93	0,0039	0,00	1,0000	-0,47	0,4890	-0,60	0,1484	0,56	0,3328	0,06	0,9555	-0,18	0,9018	-0,53	0,3264
Syngri1	18,96	-0,42	0,4175	0,47	0,3726	0,27	NA	-0,23	0,8797	-0,25	0,6434	0,58	0,3979	0,23	NA	0,04	0,9915	-0,37	0,5872
Syngri2	172,31	-0,05	0,9032	-0,66	0,0055	-0,35	0,7571	-0,65	0,0125	0,21	0,5059	-0,48	0,2626	-0,45	0,2861	-0,52	0,2013	0,38	0,4096
Synj1	108,59	0,08	0,8330	0,04	0,9383	-0,12	1,0000	0,22	0,7411	0,59	0,0013	-0,15	0,8081	-0,11	0,8721	-0,20	0,7884	0,47	0,0900
Synj2	76,50	-0,50	0,0472	-0,36	0,2794	0,12	1,0000	-0,32	0,5973	-1,27	0,0000	-0,27	0,6847	0,14	0,8466	-0,09	0,9437	-1,39	0,0001
Synj2bp	98,97	-0,02	0,9681	0,21	0,6215	-0,10	1,0000	0,00	0,9988	0,01	0,9912	0,32	0,4906	0,29	0,5636	0,00	1,0000	0,05	0,9222
Synm	141,57	1,22	0,0000	-0,33	0,4168	-0,68	0,0466	-0,51	0,2155	0,91	0,0000	-0,46	0,3367	-1,27	0,0001	-0,39	0,5115	0,53	0,1825
Synpo	98,60	-0,29	0,3879	0,36	0,1987	-0,52	0,2183	-0,45	0,2189	-0,69	0,0125	0,20	0,7574	-0,54	0,2559	-0,41	0,5141	-0,46	0,2997
Synpo2	122,39	0,06	0,9321	0,00	0,9973	-0,10	1,0000	-0,21	0,8671	-0,97	0,0038	-0,48	0,3966	-0,46	0,4173	-0,61	0,2705	-0,85	0,0455

GeneID	CTL	ET-1 vs CTL		SAHA vs CTL		JS28 vs CTL		BSP vs CTL		JQ1 vs CTL		ET-1+SAHA vs ET1		ET-1+JS28 vs ET1		ET-1+BSP vs ET1		ET-1+JQ1 vs ET1	
	mean	log2(FC)	P-adj	log2(FC)	P-adj	log2(FC)	P-adj	log2(FC)	P-adj	log2(FC)	P-adj	log2(FC)	P-adj	log2(FC)	P-adj	log2(FC)	P-adj	log2(FC)	P-adj
Taf7	42,14	0,29	0,5856	-0,13	0,8389	-0,03	1,0000	0,32	0,7006	0,35	0,3310	-0,03	0,9771	-0,03	0,9755	0,11	0,9423	0,28	0,6401
Taf8	24,91	-0,35	0,4584	-0,12	0,8645	0,10	NA	-0,11	0,9626	-0,21	0,6666	0,17	0,8646	0,27	0,7226	0,07	0,9721	0,43	0,3785
Taf9	71,01	-0,02	0,9710	0,24	0,5149	0,07	1,0000	0,11	0,9426	0,00	0,9930	0,30	0,5688	0,34	0,4874	0,38	0,4745	0,21	0,5592
Taf9b	42,45	0,42	0,2962	-1,25	0,0022	-0,20	1,0000	-0,09	0,9681	-0,88	0,0210	-1,40	0,0006	-0,59	0,2367	-0,65	0,2023	-1,07	0,0025
Tagap1	6,38	0,21	0,7892	0,16	0,8676	0,10	NA	-0,10	NA	-0,27	0,7186	0,15	0,9033	-0,08	NA	-0,10	0,9616	-0,75	0,2773
Tagln	208,67	2,88	0,0000	-0,96	0,0375	-0,45	NA	-0,57	0,3630	0,10	0,8697	-2,78	0,0000	-1,43	0,0000	-1,04	0,0014	-0,50	0,1875
Tagln2	1,67	0,02	NA	0,30	0,6844	0,04	NA	-0,03	NA	0,25	0,7446	0,22	NA	-0,03	NA	-0,15	NA	0,43	0,6024
Taldo1	60,22	0,28	0,4795	-0,02	0,9820	-0,14	1,0000	0,03	0,9860	0,41	0,1808	-0,02	0,9837	-0,54	0,2744	-0,03	0,9892	0,28	0,4604
Tamm41	9,13	0,18	0,8137	0,56	0,3542	0,23	NA	0,19	0,9211	0,38	0,5412	0,43	0,6369	0,18	NA	0,11	0,9589	0,36	0,6007
Tanc1	253,10	-0,37	0,0427	-0,16	0,5575	0,04	1,0000	0,20	0,6249	0,52	0,0008	-0,12	0,8288	0,13	0,8174	0,21	0,7186	0,59	0,0148
Tanc2	363,13	-0,14	0,6932	0,07	0,8261	-0,34	0,4654	0,01	0,9872	0,14	0,4574	-0,15	0,8028	-0,21	0,6948	0,04	0,9789	0,29	0,3913
Tango2	28,87	-0,48	0,1980	0,58	0,1030	-0,02	1,0000	0,17	0,9060	0,50	0,1140	0,96	0,0289	0,38	0,5639	0,36	0,6863	0,66	0,0983
Tango6	31,89	-0,45	0,2512	-0,59	0,1401	-0,17	1,0000	-0,01	0,9967	-0,47	0,2513	-0,32	0,7067	0,07	0,9432	0,41	0,6203	0,17	0,7811
Tank	36,54	0,07	0,9032	0,54	0,1605	0,12	1,0000	0,54	0,2520	0,33	0,3990	0,43	0,4447	0,62	0,1738	0,50	0,3930	0,56	0,1093
Taok1	1282,25	-0,07	0,7392	-0,45	0,0011	-0,17	1,0000	-0,02	0,9853	-0,23	0,1616	-0,37	0,1363	0,17	0,6525	-0,01	0,9931	-0,15	0,6454
Taok2	95,71	-0,17	0,6091	-0,01	0,9883	0,16	1,0000	0,19	0,8420	0,27	0,3319	-0,38	0,3966	-0,05	0,9527	0,29	0,6098	0,40	0,1710
Taok3	22,17	-0,28	0,5934	0,64	0,1171	-0,41	NA	-0,04	0,9853	0,90	0,0167	0,51	0,4327	-0,17	NA	0,56	0,4133	1,27	0,0003
Tap1	9,65	-0,11	0,8972	-0,01	0,9942	0,04	NA	-0,05	0,9853	0,07	0,9272	-0,05	0,9730	-0,32	NA	-0,55	0,5483	-0,49	0,4822
Tap2	6,68	-0,18	0,8189	0,07	0,9505	-0,04	NA	-0,38	NA	-0,84	0,1550	0,35	0,7375	-0,23	NA	-0,55	NA	-0,85	0,2308
Tapbp	109,25	-0,60	0,0032	-0,64	0,0039	-0,33	0,7615	-0,19	0,7862	-0,21	0,3861	-0,02	0,9819	-0,33	0,5266	-0,09	0,9372	0,22	0,6234
Tapbpl	6,24	-0,34	0,6297	-1,23	0,0110	-0,22	NA	-0,50	NA	-0,73	0,2394	-0,70	0,3463	-0,12	NA	-0,47	NA	-0,66	0,3743
Tap1t	84,97	0,01	0,9879	-0,27	0,4537	-0,03	1,0000	0,33	0,5074	-0,04	0,9284	-0,24	0,6834	-0,08	0,9211	0,04	0,9800	0,15	0,7270
Tarbp2	10,83	0,13	0,8712	-0,57	0,3635	0,12	NA	-0,07	0,9830	-0,01	0,9925	-0,39	0,6823	-0,27	NA	-0,10	0,9612	0,10	0,9118
Tardbp	178,27	-0,16	0,6401	-0,13	0,7474	-0,06	1,0000	-0,09	0,9448	-0,14	0,6216	0,14	0,8044	0,33	0,4326	-0,12	0,8915	0,02	0,9662
Tars	104,06	0,94	0,0006	-0,36	0,3283	-0,03	1,0000	0,03	0,9853	0,33	0,2063	-0,96	0,0151	-1,14	0,0014	-0,83	0,0442	-0,50	0,2441
Tars2	32,49	0,10	0,8500	0,24	0,6580	0,11	1,0000	-0,15	0,9364	-0,48	0,2293	0,44	0,4348	-0,12	0,8952	-0,25	0,8179	-0,58	0,1595
Tarsl2	50,74	-0,25	0,5151	-0,74	0,0213	-0,11	1,0000	0,30	0,6746	0,44	0,1273	-0,82	0,0824	0,02	0,9843	0,53	0,3137	0,55	0,0979
Tas1r3	1,10	0,26	NA	0,11	NA	0,02	NA	0,00	NA	0,44	0,4972	0,22	NA	-0,15	NA	-0,23	NA	-0,36	NA
Tas2r108	1,10	-0,28	NA	-0,32	0,5782	-0,13	NA	-0,01	NA	-0,15	0,8498	-0,03	NA	-0,02	NA	0,21	NA	0,06	NA
Tasp1	22,40	0,00	0,9952	0,07	0,9353	-0,27	NA	-0,11	0,9626	-0,13	0,8180	0,23	0,8026	-0,02	0,9842	0,06	0,9789	-0,03	0,9687
Tatdn1	21,34	0,23	0,6746	0,41	0,4389	-0,17	NA	0,06	0,9853	-0,17	0,7643	0,49	0,4346	0,14	0,8848	-0,13	0,9372	-0,33	0,5433
Tatdn2	28,60	0,02	0,9710	0,13	0,8403	0,16	NA	-0,13	0,9440	0,02	0,9716	0,06	0,9533	-0,25	0,7439	-0,21	0,8618	-0,10	0,8830
Tatdn3	21,28	-0,27	0,6239	-0,67	0,1781	-0,01	NA	-0,20	0,8969	-1,30	0,0020	-0,12	0,9182	0,04	NA	0,04	0,9911	-1,20	0,0152
Tax1bp1	402,36	-0,21	0,3955	0,22	0,4700	0,10	1,0000	0,18	0,7854	0,02	0,9557	0,39	0,2416	0,54	0,0413	0,42	0,1338	0,28	0,4778
Tax1bp3	48,59	0,16	0,7622	-0,78	0,0536	0,19	1,0000	0,04	0,9853	0,09	0,8574	-0,75	0,1106	-0,16	0,8430	0,36	0,6000	0,16	0,7114
Taz	38,58	-0,17	0,7426	-0,36	0,4794	0,03	1,0000	-0,07	0,9764	0,23	0,5668	0,19	0,8146	-0,02	0,9826	0,21	0,8492	0,28	0,5221
Tbc1d1	287,69	-0,12	0,7871	0,00	0,9960	0,51	0,2335	0,22	0,7595	-0,65	0,0054	-0,01	0,9876	0,03	0,9726	-0,09	0,9297	-0,68	0,0260
Tbc1d10a	7,87	0,30	0,6750	0,26	0,7661	0,10	NA	0,03	0,9858	0,24	0,7392	0,21	0,8538	-0,28	NA	-0,14	0,9416	0,09	0,9257
Tbc1d10b	35,29	-0,16	0,7438	0,06	0,9353	-0,08	1,0000	0,04	0,9853	0,05	0,9259	0,25	0,7471	-0,26	0,7187	0,09	0,9570	0,35	0,3850
Tbc1d10c	1,10	-0,30	NA	-0,10	0,9093	-0,11	NA	-0,16	NA	-0,56	NA	0,03	NA	0,09	NA	0,15	NA	0,06	NA
Tbc1d12	28,67	-0,08	0,8899	0,13	0,8470	0,03	NA	0,01	0,9972	-0,20	0,6792	-0,18	0,8441	0,19	0,8232	-0,10	0,9536	0,29	0,5660
Tbc1d13	31,12	-0,26	0,5946	-0,56	0,2079	-0,13	1,0000	0,07	0,9764	0,31	0,4180	-0,23	0,7960	0,08	0,9360	0,22	0,8511	0,49	0,2139
Tbc1d14	47,35	-0,11	0,8182	0,25	0,5839	0,01	1,0000	0,15	0,9211	0,02	0,9725	-0,14	0,8572	-0,24	0,7190	0,01	0,9966	-0,18	0,6786
Tbc1d15	78,19	-0,43	0,1056	0,23	0,5263	0,16	1,0000	0,14	0,8947	0,01	0,9697	0,37	0,4684	0,72	0,0526	0,56	0,2041	0,26	0,5986
Tbc1d16	69,13	-0,51	0,0525	0,16	0,7216	0,13	1,0000	-0,08	0,9634	0,03	0,9450	0,64	0,1156	0,05	0,9559	0,05	0,9766	-0,15	0,7958

GeneID	CTL	ET-1 vs CTL		SAHA vs CTL		JS28 vs CTL		BSP vs CTL		JQ1 vs CTL		ET-1+SAHA vs ET1		ET-1+JS28 vs ET1		ET-1+BSP vs ET1		ET-1+JQ1 vs ET1	
	mean	log2(FC)	P-adj	log2(FC)	P-adj	log2(FC)	P-adj	log2(FC)	P-adj	log2(FC)	P-adj	log2(FC)	P-adj	log2(FC)	P-adj	log2(FC)	P-adj	log2(FC)	P-adj
Tbc1d17	39,09	-0,66	0,0828	-0,76	0,0696	0,07	1,0000	-0,12	0,9564	0,19	0,6962	-0,16	0,8658	-0,26	0,7425	0,25	0,8285	0,68	0,1229
Tbc1d19	52,37	-0,22	0,6156	0,54	0,1196	0,06	1,0000	0,07	0,9769	-0,63	0,0511	0,85	0,0224	0,42	0,4242	0,12	0,9238	-0,43	0,2705
Tbc1d2	1,06	-0,02	NA	0,01	0,9885	-0,05	NA	-0,08	NA	-0,05	0,9500	-0,23	NA	-0,10	NA	-0,13	NA	-0,11	NA
Tbc1d20	66,31	0,03	0,9431	-0,31	0,4412	-0,06	1,0000	-0,04	0,9853	0,71	0,0009	-0,12	0,8701	-0,29	0,6024	0,02	0,9918	0,66	0,0070
Tbc1d22a	44,56	-0,21	0,6297	0,24	0,6031	0,06	1,0000	-0,06	0,9798	-0,18	0,6644	-0,11	0,9034	-0,25	0,7292	-0,20	0,8553	-0,37	0,4274
Tbc1d22b	38,93	-0,10	0,8380	0,33	0,4259	0,07	1,0000	-0,19	0,8854	0,15	0,7211	0,19	0,8179	0,13	0,8815	0,21	0,8386	0,05	0,9351
Tbc1d23	106,90	-0,08	0,8326	0,08	0,8546	-0,13	1,0000	-0,02	0,9901	-0,22	0,4809	-0,10	0,8804	0,06	0,9399	-0,13	0,8935	-0,09	0,8478
Tbc1d24	54,72	-0,15	0,7558	0,38	0,3317	0,03	1,0000	0,21	0,8528	0,65	0,0088	0,47	0,3225	0,20	0,7642	0,10	0,9388	0,64	0,0242
Tbc1d25	11,20	-0,57	0,2699	-0,37	0,5843	-0,05	NA	-0,17	0,9287	-0,08	0,9080	-0,01	0,9976	0,10	NA	0,23	0,8784	0,59	0,3235
Tbc1d2b	6,55	-0,76	0,1590	0,31	0,6897	0,10	NA	0,05	0,9853	-0,35	0,6082	0,89	0,2117	0,35	NA	0,09	NA	0,34	0,6825
Tbc1d30	1,52	-0,25	NA	0,17	0,8415	-0,07	NA	0,00	NA	0,13	0,8831	0,15	NA	-0,05	NA	-0,17	NA	0,28	NA
Tbc1d31	33,18	-0,09	0,8896	-0,06	0,9389	-0,01	1,0000	-0,27	0,8062	-0,13	0,7822	-0,17	0,8557	0,07	0,9444	-0,04	0,9873	-0,23	0,7012
Tbc1d32	28,24	-0,42	0,3620	0,28	0,6032	-0,11	1,0000	0,03	0,9872	-0,53	0,1655	0,44	0,5423	0,46	0,4811	0,23	0,8511	-0,32	0,5962
Tbc1d4	152,53	-0,38	0,0843	-0,28	0,3297	-0,23	1,0000	-0,13	0,8875	0,07	0,8244	-0,19	0,7326	0,17	0,7442	0,08	0,9400	0,20	0,5153
Tbc1d5	89,75	-0,12	0,7215	-0,40	0,1721	0,06	1,0000	0,15	0,8797	-0,02	0,9628	-0,45	0,3292	0,13	0,8412	0,10	0,9300	0,23	0,5056
Tbc1d7	34,19	-0,13	0,8380	0,06	0,9417	0,22	1,0000	-0,08	0,9746	-0,52	0,1546	0,55	0,3771	0,29	0,6967	0,11	0,9494	-0,72	0,1655
Tbc1d8	57,40	-0,67	0,0142	-0,59	0,0706	-0,18	1,0000	0,02	0,9860	0,14	0,7025	0,16	0,8348	0,28	0,6653	0,80	0,0490	0,81	0,0062
Tbc1d8b	73,04	0,04	0,9427	-0,42	0,3068	-0,15	1,0000	-0,17	0,9058	-1,02	0,0016	-0,46	0,3403	-0,19	0,7644	-0,43	0,4435	-0,49	0,1384
Tbc1d9	63,45	-0,46	0,3150	-0,65	0,1240	-0,16	1,0000	-0,53	0,3496	-0,55	0,1243	-0,34	0,6466	-0,40	0,5297	-0,42	0,5957	-0,17	0,7709
Tbc1d9b	141,98	-0,13	0,6750	-0,76	0,0003	0,15	1,0000	0,07	0,9614	0,10	0,7072	-0,66	0,0429	-0,05	0,9458	-0,17	0,8192	0,16	0,7040
Tbca	97,58	0,06	0,9032	0,13	0,8263	-0,31	1,0000	-0,03	0,9853	-0,36	0,3059	0,16	0,7908	0,02	0,9763	-0,05	0,9726	-0,34	0,4709
Tbcb	48,82	0,36	0,2897	-0,26	0,6189	-0,20	1,0000	-0,15	0,9249	-0,16	0,7096	-0,34	0,5725	-0,44	0,3969	-0,40	0,5357	-0,42	0,2385
Tbcc	13,56	-0,16	0,8314	-0,16	0,8520	0,04	NA	0,12	0,9626	0,42	0,4268	-0,09	0,9400	-0,20	NA	-0,05	0,9878	0,59	0,2635
Tbccd1	32,32	-0,18	0,7134	-0,28	0,6189	0,00	1,0000	-0,11	0,9563	0,04	0,9444	-0,15	0,8641	0,03	0,9756	0,02	0,9931	0,19	0,7236
Tbcd	70,68	0,01	0,9867	0,27	0,5167	0,11	1,0000	0,08	0,9634	0,23	0,4998	0,33	0,5919	-0,07	0,9432	-0,07	0,9633	0,38	0,3507
Tbce	51,20	-0,05	0,9252	-0,32	0,4827	-0,30	1,0000	-0,14	0,9269	-0,32	0,3844	-0,46	0,4143	-0,04	0,9661	-0,41	0,5381	-0,13	0,7819
Tbcel	118,35	-0,29	0,3454	0,18	0,6886	0,17	1,0000	0,14	0,9060	0,29	0,2546	0,39	0,3586	0,25	0,6185	0,09	0,9372	0,52	0,0558
Tbck	60,26	-0,22	0,5948	-0,29	0,5190	0,14	1,0000	0,00	0,9986	-0,10	0,8180	-0,06	0,9407	0,26	0,6605	0,08	0,9494	-0,06	0,9069
Tbk1	59,05	0,02	0,9706	-0,30	0,4776	0,06	1,0000	0,12	0,9404	0,23	0,4954	-0,59	0,2004	0,05	0,9605	-0,03	0,9911	-0,06	0,9132
Tbkbp1	8,01	-0,53	0,3920	1,12	0,0153	0,07	NA	-0,35	0,7114	-1,53	0,0039	1,18	0,0444	0,02	NA	-0,36	NA	-0,78	0,2705
Tbl1x	206,97	0,34	0,2754	-0,29	0,3644	-0,14	1,0000	-0,20	0,7987	-0,30	0,2331	-0,22	0,7016	-0,23	0,6678	-0,25	0,6906	-0,61	0,0479
Tbl1xr1	127,57	-0,46	0,0382	0,68	0,0002	0,07	1,0000	0,21	0,7024	-0,52	0,0106	1,16	0,0000	0,40	0,3502	0,21	0,7790	-0,30	0,3663
Tbl2	21,89	0,47	0,2832	0,33	0,5884	0,05	NA	0,30	0,7889	0,71	0,0913	-0,51	0,4530	-0,44	0,5017	-0,05	0,9824	0,40	0,3592
Tbl3	24,66	0,45	0,2962	0,62	0,1459	0,07	NA	-0,05	0,9853	0,26	0,5923	-0,02	0,9836	-0,42	0,5264	-0,18	0,8960	-0,23	0,6838
Tbp	27,83	-0,04	0,9568	0,38	0,4276	0,15	NA	0,19	0,8977	0,28	0,4987	0,51	0,3790	0,36	0,5974	0,21	0,8577	0,38	0,3785
Tbpl1	40,25	0,23	0,6032	0,34	0,4601	0,24	1,0000	0,24	0,8331	0,02	0,9743	-0,02	0,9870	0,14	0,8657	0,02	0,9931	0,04	0,9535
Tbrg1	75,89	0,18	0,6393	0,12	0,8313	-0,12	1,0000	-0,04	0,9853	0,02	0,9714	-0,10	0,8923	-0,15	0,8232	-0,12	0,9057	0,16	0,6659
Tbrg3	18,26	-0,61	0,2147	0,08	0,9338	-0,23	NA	-0,32	0,7656	-0,54	0,2815	0,30	0,7574	0,13	NA	0,14	0,9388	-0,01	0,9923
Tbrg4	80,94	0,56	0,0161	-0,24	0,5626	-0,05	1,0000	-0,28	0,7037	0,12	0,7219	-0,48	0,2630	-0,75	0,0376	-0,62	0,1111	-0,25	0,5252
Tbx15	28,24	0,44	0,3615	-0,68	0,1780	-0,43	NA	-0,57	0,3540	-1,16	0,0057	-0,86	0,1150	-0,51	0,4242	-1,05	0,0393	-1,15	0,0105
Tbx18	1,79	0,19	NA	-0,17	0,7972	-0,06	NA	-0,15	NA	-0,34	NA	-0,41	NA	-0,23	NA	-0,41	NA	-0,33	0,6938
Tbx2	100,52	-0,76	0,0055	0,30	0,3430	0,23	1,0000	0,24	0,6982	0,09	0,8389	0,22	0,7659	0,20	0,7743	0,82	0,0354	0,58	0,2316
Tbx20	2189,52	0,03	0,9365	-0,15	0,6865	-0,20	1,0000	-0,01	0,9960	0,03	0,9244	-0,03	0,9614	-0,03	0,9589	-0,20	0,6906	-0,16	0,6411
Tbx3	55,96	-0,76	0,0068	-0,03	0,9637	-0,05	1,0000	0,11	0,9472	0,04	0,9247	0,32	0,6369	0,25	0,7138	0,70	0,1350	0,55	0,1470
Tbx5	394,00	-0,70	0,0000	0,11	0,7467	0,07	1,0000	0,27	0,4647	0,50	0,0038	0,47	0,1437	0,53	0,0774	0,63	0,0233	0,97	0,0001

GeneID	CTL	ET-1 vs CTL		SAHA vs CTL		JS28 vs CTL		BSP vs CTL		JQ1 vs CTL		ET-1+SAHA vs ET1		ET-1+JS28 vs ET1		ET-1+BSP vs ET1		ET-1+JQ1 vs ET1	
	mean	log2(FC)	P-adj	log2(FC)	P-adj	log2(FC)	P-adj	log2(FC)	P-adj	log2(FC)	P-adj	log2(FC)	P-adj	log2(FC)	P-adj	log2(FC)	P-adj	log2(FC)	P-adj
Tbx6	1,85	-0,22	NA	0,51	0,4343	0,24	NA	0,15	NA	1,07	0,0592	0,00	NA	-0,18	NA	0,36	NA	0,53	0,4997
Tcaim	29,46	0,25	0,5994	0,12	0,8644	0,01	NA	-0,02	0,9901	-0,77	0,0516	0,33	0,6149	0,18	0,8269	-0,40	0,6206	-0,83	0,0375
Tcap	98,92	-0,46	0,2994	-0,61	0,1608	-0,29	1,0000	-0,44	0,5134	-0,73	0,0548	0,00	0,9982	0,03	0,9726	-0,03	0,9911	-0,41	0,4371
Tcea1	83,88	-0,01	0,9851	0,06	0,9140	0,18	1,0000	0,25	0,7006	0,01	0,9878	0,22	0,7245	0,42	0,3291	0,29	0,6395	-0,01	0,9817
Tcea2	4,13	-0,51	0,4259	0,37	0,6299	0,12	NA	-0,19	NA	-1,18	0,0360	0,30	0,7815	0,33	NA	0,09	NA	-0,33	0,7066
Tcea3	31,15	-1,29	0,0001	-0,39	0,4668	-0,43	0,8273	-0,23	0,8619	-0,73	0,0893	0,22	0,8292	0,50	NA	0,88	0,0997	0,31	0,6222
Tceal1	24,05	-0,13	0,8329	-0,60	0,2088	0,02	NA	-0,13	0,9472	-1,04	0,0084	-0,37	0,6487	0,27	0,7226	-0,06	0,9792	-1,21	0,0078
Tceal5	2,02	0,21	NA	0,98	0,0538	0,02	NA	-0,15	NA	-0,20	0,7820	0,90	0,1977	-0,21	NA	0,02	NA	-0,54	NA
Tceal7	4,00	0,22	0,7860	0,02	0,9895	-0,14	NA	-0,27	NA	-0,99	0,0622	0,00	0,9986	-0,29	NA	-0,44	NA	-1,07	0,0917
Tceal8	132,63	0,39	0,1851	-0,55	0,1113	-0,26	1,0000	-0,31	0,6669	-0,60	0,0402	-0,39	0,3246	-0,21	0,6760	-0,39	0,3885	-0,64	0,0242
Tceanc	16,74	-0,58	0,2140	0,43	0,4387	0,22	NA	0,64	0,2033	0,56	0,1674	1,14	0,0214	0,70	NA	1,31	0,0030	1,03	0,0135
Tceanc2	55,32	-0,13	0,7737	-0,43	0,2959	-0,18	1,0000	-0,19	0,8684	-0,39	0,2512	-0,05	0,9564	-0,12	0,8871	0,17	0,8666	-0,19	0,6619
Tceb1	72,47	0,12	0,7652	0,45	0,1400	0,02	1,0000	0,19	0,8587	-0,21	0,5241	0,60	0,1090	0,18	0,7798	0,06	0,9622	-0,41	0,2580
Tceb2	111,88	0,42	0,0938	-0,14	0,7720	-0,15	1,0000	0,05	0,9805	0,22	0,4871	0,00	0,9975	-0,48	0,2076	-0,16	0,8375	-0,05	0,9001
Tceb3	150,09	0,14	0,6075	0,08	0,8426	-0,05	1,0000	-0,03	0,9853	0,11	0,6664	-0,08	0,8885	-0,18	0,7087	-0,13	0,8588	0,10	0,7615
Tcerg1	134,39	0,06	0,8895	-0,07	0,9019	-0,06	1,0000	-0,25	0,7230	-0,20	0,5327	-0,34	0,4254	-0,03	0,9664	-0,04	0,9730	-0,12	0,7328
Tcf12	141,65	0,15	0,6480	-0,33	0,2230	0,01	1,0000	0,08	0,9563	-0,29	0,2088	-0,42	0,2859	-0,32	0,4699	-0,31	0,5541	-0,33	0,2757
Tcf19	4,17	-0,20	0,8034	0,76	0,1922	0,03	NA	0,08	NA	0,22	0,7804	0,81	0,2699	-0,10	NA	0,54	NA	0,17	0,8573
Tcf20	411,85	-0,04	0,9118	0,34	0,1579	0,13	1,0000	0,00	0,9998	0,25	0,2178	0,25	0,4661	0,07	0,8912	0,19	0,6788	0,30	0,1169
Tcf24	3,93	0,04	0,9713	0,41	0,5708	-0,02	NA	-0,33	NA	-0,85	0,1511	0,07	0,9601	0,10	NA	-0,42	NA	-0,98	0,1446
Tcf25	475,87	0,09	0,6640	-0,41	0,0112	-0,03	1,0000	-0,01	0,9860	0,37	0,0049	-0,49	0,0486	-0,30	0,3398	-0,05	0,9458	0,30	0,0802
Tcf3	30,45	-0,03	0,9682	-0,02	0,9821	0,10	1,0000	0,03	0,9855	0,37	0,3891	-0,22	0,8075	-0,30	0,6844	-0,27	0,8145	-0,02	0,9800
Tcf4	94,66	-0,31	0,2959	-0,69	0,0138	-0,13	1,0000	-0,14	0,9102	-0,61	0,0206	-0,16	0,8036	0,33	0,4872	-0,21	0,7903	-0,25	0,4628
Tcf7	2,22	0,13	NA	0,81	0,1401	0,01	NA	-0,10	NA	-0,23	0,7621	0,45	0,6277	-0,16	NA	-0,41	NA	-0,62	NA
Tcf711	27,86	-0,24	0,7063	-0,13	0,8714	-0,30	NA	-0,72	0,1462	-0,03	0,9606	-0,37	0,6788	-0,30	0,7157	-0,55	0,5049	0,44	0,5028
Tcf712	79,44	-0,12	0,8137	0,08	0,9057	-0,27	1,0000	-0,05	0,9823	0,50	0,1898	0,09	0,9200	0,15	0,8389	-0,05	0,9789	0,67	0,0767
Tchh	10,36	0,19	0,7976	-0,29	0,7207	-0,18	NA	-0,56	0,3748	-0,67	0,2605	-1,26	0,0387	-0,30	NA	-0,44	0,6810	-0,84	0,1868
Tchp	20,00	-0,54	0,2140	0,07	0,9366	-0,01	NA	0,04	0,9853	0,20	0,7015	0,31	0,7308	0,16	NA	0,23	0,8596	0,35	0,5333
Tcn2	104,21	-0,53	0,0529	0,08	0,8895	0,30	1,0000	-0,12	0,9430	-0,47	0,0987	0,48	0,2361	0,32	0,5160	0,32	0,5839	-0,34	0,3261
Tcof1	54,62	0,11	0,8317	-0,62	0,0887	0,00	1,0000	-0,38	0,5919	-0,15	0,7548	-0,95	0,0289	-0,67	0,1363	-0,54	0,3255	-0,42	0,3162
Tcp1	499,52	0,35	0,0293	0,18	0,4255	-0,05	1,0000	0,15	0,7495	-0,10	0,6969	0,02	0,9742	-0,14	0,7573	-0,09	0,9023	-0,24	0,4932
Tcp1111	23,93	-0,26	0,6099	0,01	0,9894	-0,08	NA	-0,15	0,9399	-0,13	0,8064	-0,19	0,8465	0,15	0,8758	-0,48	0,5747	-0,29	0,6095
Tcp1112	83,25	-0,59	0,0276	0,40	0,2088	0,29	1,0000	0,41	0,3290	0,68	0,0055	0,73	0,0500	0,51	0,2446	0,86	0,0117	1,35	0,0001
Tcta	35,90	-0,09	0,8905	-0,16	0,8282	-0,31	1,0000	-0,15	0,9404	0,02	0,9728	0,26	0,7285	-0,14	0,8757	-0,28	0,7864	0,06	0,9292
Tcte2	2,90	-0,28	0,7141	-0,06	0,9608	0,09	NA	-0,24	NA	0,00	0,9990	0,34	0,7355	0,03	NA	-0,13	NA	0,37	0,6578
Tctex1d2	11,08	0,10	0,8998	0,06	0,9579	-0,01	NA	-0,11	0,9643	-0,19	0,7887	-0,04	0,9794	-0,05	NA	0,14	0,9346	-0,31	0,6777
Tctn1	15,23	-0,61	0,1749	0,16	0,8355	0,09	NA	0,03	0,9860	-0,28	0,6082	0,39	0,6604	0,51	NA	0,34	0,7738	0,00	0,9982
Tctn2	10,08	-0,47	0,4180	0,43	0,4849	0,01	NA	0,27	0,8386	0,42	0,4116	0,68	0,3590	0,29	NA	0,58	0,4992	0,78	0,1778
Tctn3	12,61	0,01	0,9891	0,11	0,9044	-0,16	NA	0,15	0,9452	-0,06	0,9325	0,12	0,9236	0,03	NA	-0,13	0,9423	-0,19	0,8044
Tdp1	12,74	-0,03	0,9754	0,18	0,8347	-0,13	NA	0,09	0,9746	0,55	0,2592	0,07	0,9585	0,09	NA	-0,04	0,9918	0,34	0,6078
Tdp2	24,11	0,08	0,9027	0,43	0,4276	0,17	NA	0,35	0,6939	0,34	0,4476	0,41	0,5525	0,47	0,4311	0,30	0,7650	0,29	0,5524
Tdrd3	73,19	-0,19	0,6140	-0,23	0,5708	0,12	1,0000	0,29	0,6129	-0,11	0,7552	0,07	0,9360	0,56	0,1800	0,09	0,9412	0,04	0,9479
Tdrd7	32,07	-0,07	0,9118	0,03	0,9747	-0,06	1,0000	0,12	0,9516	0,35	0,3227	-0,01	0,9903	0,04	0,9664	0,21	0,8521	0,35	0,4102
Tdrd9	4,76	-0,53	0,3987	-0,67	0,2706	0,05	NA	-0,04	NA	-1,17	0,0387	-0,02	0,9903	0,42	NA	0,12	NA	0,14	0,8904
Tdrkh	36,67	-0,32	0,4664	0,26	0,5867	0,00	1,0000	-0,42	0,5154	-0,43	0,2309	0,18	0,8347	-0,23	0,7798	-0,42	0,6200	-0,13	0,8446

GeneID	CTL	ET-1 vs CTL		SAHA vs CTL		JS28 vs CTL		BSP vs CTL		JQ1 vs CTL		ET-1+SAHA vs ET1		ET-1+JS28 vs ET1		ET-1+BSP vs ET1		ET-1+JQ1 vs ET1	
	mean	log2(FC)	P-adj	log2(FC)	P-adj	log2(FC)	P-adj	log2(FC)	P-adj	log2(FC)	P-adj	log2(FC)	P-adj	log2(FC)	P-adj	log2(FC)	P-adj	log2(FC)	P-adj
Tdrp	16,87	0,09	0,9036	0,65	0,1842	0,12	NA	0,23	0,8786	-0,04	0,9582	0,48	0,5019	0,22	NA	-0,20	0,8915	0,35	0,5543
Tead1	1223,19	0,27	0,1125	-0,40	0,0375	-0,26	0,8582	-0,34	0,2108	0,09	0,6911	-0,36	0,1708	-0,33	0,2117	-0,57	0,0060	0,06	0,8310
Tead2	127,38	-0,67	0,0397	-0,86	0,0133	-0,10	1,0000	-0,30	0,7308	-0,65	0,2409	-0,53	0,2637	-0,13	0,8579	0,30	0,6617	-0,27	0,6777
Tead3	40,18	-0,14	0,8010	0,03	0,9747	-0,02	1,0000	-0,28	0,7630	-0,06	0,9294	0,02	0,9897	-0,26	0,7226	-0,26	0,8218	0,06	0,9416
Tead4	7,14	0,81	0,1371	-0,19	0,8325	0,05	NA	-0,11	NA	0,10	0,9127	-1,41	0,0165	-0,34	NA	-0,46	0,6579	0,01	0,9916
Tec	38,74	0,13	0,8142	0,70	0,0379	0,25	1,0000	0,33	0,6648	0,27	0,4910	0,57	0,2654	0,30	0,6432	0,17	0,8833	0,08	0,8904
Tecpr1	31,74	0,04	0,9486	0,08	0,9198	0,33	1,0000	0,11	0,9611	0,37	0,3043	-0,02	0,9879	0,09	0,9262	0,26	0,7954	0,33	0,4722
Tecpr2	23,63	0,00	0,9956	0,11	0,8869	-0,07	NA	0,16	0,9269	0,79	0,0125	0,06	0,9533	-0,15	0,8815	0,30	0,7790	0,81	0,0400
Tecr	151,27	0,02	0,9506	0,32	0,2427	0,19	1,0000	0,13	0,9021	0,65	0,0043	0,42	0,2063	-0,08	0,9009	-0,10	0,9074	0,65	0,0279
Tecrl	137,32	0,29	0,5112	-0,19	0,7517	0,01	1,0000	-0,50	0,3748	-2,02	0,0000	0,61	0,1005	0,21	0,7143	-0,52	0,2523	-1,92	0,0000
Tef	180,79	-0,44	0,0086	-0,03	0,9516	-0,19	1,0000	-0,04	0,9805	0,48	0,0034	0,45	0,1657	0,12	0,8355	0,34	0,4172	0,83	0,0000
Tefm	29,95	0,40	0,3320	-0,01	0,9947	-0,04	NA	0,21	0,8786	0,07	0,9001	0,02	0,9857	0,08	0,9315	-0,29	0,7668	-0,41	0,3613
Tek	1,23	-0,34	NA	-0,36	0,5258	-0,04	NA	-0,23	NA	-0,54	0,3521	-0,10	NA	-0,02	NA	-0,08	NA	-0,08	NA
Tekt2	1,21	0,09	NA	0,15	0,8337	0,04	NA	0,11	NA	0,94	0,1132	0,10	NA	0,19	NA	-0,01	NA	-0,04	NA
Tekt4	1,04	-0,35	NA	-0,08	0,9257	-0,09	NA	-0,17	NA	-0,48	NA	0,09	NA	0,07	NA	-0,03	NA	0,01	NA
Telo2	13,55	0,36	0,5621	0,19	0,8242	-0,03	NA	-0,24	0,8765	-0,38	0,5584	-0,68	0,3480	-0,26	NA	-0,45	0,6540	-0,61	0,3163
Ten1	16,99	-0,08	0,9119	-0,82	0,0903	-0,37	NA	-0,19	0,9125	-0,18	0,7708	-0,82	0,2226	-0,73	NA	0,23	0,8630	-0,04	0,9607
Tenc1	44,77	-0,98	0,0007	-0,07	0,9247	0,23	1,0000	-0,01	0,9925	-1,41	0,0000	0,59	0,2796	0,30	0,6757	0,14	0,9192	-0,77	0,2216
Tenm2	4,16	-1,01	0,0402	-0,12	0,9031	-0,18	NA	0,34	0,7414	-1,33	0,0151	0,30	NA	0,31	NA	0,42	NA	-0,10	NA
Tenm3	81,37	-0,44	0,1155	0,25	0,5110	0,08	1,0000	0,09	0,9602	-0,55	0,0339	0,45	0,3108	0,62	0,0928	0,26	0,7163	-0,04	0,9385
Tenm4	56,83	-0,97	0,0111	-0,43	0,3601	0,06	1,0000	-0,08	0,9727	-1,67	0,0000	0,26	0,7698	0,29	0,7158	0,08	0,9646	-1,20	0,0174
Tep1	33,89	-0,74	0,0192	-0,39	0,3620	0,21	1,0000	-0,46	0,4319	-0,58	0,0917	-0,67	0,2941	0,35	0,6222	0,19	0,8874	-0,61	0,2406
Terf1	28,57	-0,48	0,2424	-0,01	0,9895	0,05	1,0000	0,03	0,9853	-0,65	0,1171	0,12	0,9057	0,26	0,7382	0,23	0,8465	-0,19	0,7687
Terf2	61,57	-0,04	0,9370	0,06	0,9331	-0,14	1,0000	-0,11	0,9473	0,48	0,0888	-0,24	0,7163	0,03	0,9699	-0,08	0,9570	0,41	0,2618
Terf2ip	71,43	-0,06	0,8898	-0,09	0,8688	-0,03	1,0000	0,19	0,8350	0,47	0,0624	-0,06	0,9389	0,12	0,8581	0,32	0,5858	0,66	0,0157
Tesc	1,41	0,19	NA	1,92	0,0000	0,33	NA	0,14	NA	-0,17	NA	2,32	0,0000	0,43	NA	0,38	NA	-0,23	NA
Tesk1	74,34	0,18	0,6670	-0,79	0,0199	-0,18	1,0000	-0,09	0,9634	0,29	0,4765	-0,94	0,0118	-0,60	0,1358	0,00	0,9989	0,45	0,2390
Tesk2	6,44	-0,58	0,3232	0,05	0,9630	0,01	NA	0,01	0,9967	0,24	0,7119	0,77	0,2989	0,33	NA	0,40	NA	0,94	0,1217
Tet1	95,18	-0,61	0,0173	-0,56	0,0902	-0,11	1,0000	-0,23	0,7980	-0,98	0,0002	-0,01	0,9930	0,77	0,0153	0,31	0,6098	-0,55	0,1061
Tet2	272,54	-0,37	0,1049	0,10	0,7804	0,10	1,0000	0,23	0,6268	-0,02	0,9664	0,02	0,9732	0,38	0,3134	0,21	0,7235	0,03	0,9435
Tet3	334,93	0,00	0,9967	-0,18	0,5563	-0,04	1,0000	-0,03	0,9853	0,45	0,0260	-0,70	0,0429	-0,41	0,3524	-0,35	0,5221	0,37	0,2812
Tex10	67,17	0,03	0,9540	-0,12	0,8300	-0,06	1,0000	0,06	0,9770	-0,06	0,8816	-0,19	0,7890	0,09	0,9089	-0,18	0,8511	-0,24	0,6525
Tex14	1,11	-0,21	NA	0,24	0,7593	0,00	NA	0,03	NA	0,37	0,6096	0,22	NA	0,10	NA	0,48	NA	0,98	0,1469
Tex15	7,67	-0,51	0,4177	0,13	0,8912	-0,01	NA	-0,41	0,6259	-1,14	0,0378	0,21	0,8557	0,29	NA	-0,11	NA	-0,69	0,3536
Tex2	159,73	0,29	0,2792	0,46	0,0829	0,33	0,8549	0,44	0,2072	0,73	0,0001	0,07	0,9081	0,01	0,9888	0,12	0,8750	0,49	0,0441
Tex261	44,21	-0,18	0,6861	0,39	0,3056	0,14	1,0000	0,35	0,5945	0,37	0,2254	0,70	0,1037	0,19	0,8040	0,57	0,2807	0,25	0,5929
Tex264	38,86	0,39	0,3104	-0,32	0,5609	0,02	1,0000	-0,16	0,9243	0,54	0,1273	-0,45	0,4487	-0,38	0,5282	-0,35	0,6658	0,18	0,7260
Tex29	2,80	-0,24	0,7587	-0,18	0,8389	-0,14	NA	-0,19	NA	-0,15	0,8619	-0,09	0,9414	-0,20	NA	-0,04	NA	-0,33	0,6948
Tex30	11,53	0,28	0,6677	-0,01	0,9960	0,09	NA	0,19	0,9125	0,19	0,7884	0,38	0,6583	0,27	NA	0,09	0,9619	0,56	0,2792
Tex9	9,01	-0,11	0,8945	0,86	0,0736	0,07	NA	-0,01	0,9959	-0,37	0,5662	0,72	0,3124	0,27	NA	0,23	0,8784	-0,08	0,9334
Tfam	35,04	0,31	0,5095	-0,05	0,9568	0,09	1,0000	-0,04	0,9853	-0,08	0,8900	-0,15	0,8579	-0,29	0,6786	-0,13	0,9192	-0,49	0,2695
Tfap4	4,72	-0,29	0,7029	0,04	0,9775	0,03	NA	0,23	NA	-0,24	0,7607	-0,16	0,9018	-0,02	NA	-0,01	NA	0,02	0,9836
Tfb1m	17,38	0,41	0,4138	-0,07	0,9505	-0,11	NA	-0,06	0,9853	0,38	0,4770	-0,27	0,7612	-0,29	NA	-0,32	0,7660	-0,18	0,7630
Tfb2m	30,22	-0,10	0,8640	0,04	0,9666	-0,16	NA	-0,18	0,9060	0,18	0,6868	0,07	0,9407	0,19	0,8183	0,29	0,7630	-0,01	0,9937
Tfcp2	33,48	0,30	0,4950	0,16	0,8004	0,07	NA	0,28	0,7688	0,28	0,4751	-0,30	0,7003	-0,07	0,9432	0,05	0,9792	-0,02	0,9819

GeneID	CTL	ET-1 vs CTL		SAHA vs CTL		JS28 vs CTL		BSP vs CTL		JQ1 vs CTL		ET-1+SAHA vs ET1		ET-1+JS28 vs ET1		ET-1+BSP vs ET1		ET-1+JQ1 vs ET1	
	mean	log2(FC)	P-adj	log2(FC)	P-adj	log2(FC)	P-adj	log2(FC)	P-adj	log2(FC)	P-adj	log2(FC)	P-adj	log2(FC)	P-adj	log2(FC)	P-adj	log2(FC)	P-adj
Tfcp2l1	13,25	1,20	0,0111	-0,16	0,8703	-0,08	NA	-0,42	NA	-0,43	0,5500	-1,04	0,1123	-1,34	NA	-1,69	0,0005	-1,97	0,0005
Tfdp1	76,68	0,18	0,6081	0,06	0,9097	0,12	1,0000	0,28	0,6299	-0,39	0,1843	-0,11	0,8710	-0,03	0,9755	0,06	0,9633	-0,38	0,2544
Tfdp2	139,32	-0,44	0,0565	0,34	0,2444	0,10	1,0000	-0,22	0,7605	-0,39	0,0879	0,84	0,0027	0,76	0,0079	0,24	0,6995	-0,11	0,7660
Tfe3	32,42	-0,09	0,8730	0,48	0,2657	0,15	1,0000	0,22	0,8646	0,51	0,1419	0,14	0,8790	0,08	0,9305	-0,03	0,9918	0,68	0,0818
Tfeb	26,76	-0,39	0,4711	-0,24	0,7251	-0,03	NA	-0,02	0,9925	-0,39	0,4108	-0,29	0,7598	0,00	0,9963	0,43	0,6297	0,12	0,8659
Tfg	156,25	0,41	0,0861	-0,16	0,6544	-0,08	1,0000	-0,12	0,9158	0,21	0,4213	-0,37	0,3887	-0,15	0,8062	-0,33	0,5276	-0,16	0,6800
Tfip11	37,28	0,11	0,8271	-0,05	0,9446	0,08	1,0000	-0,02	0,9925	-0,25	0,5517	-0,15	0,8526	-0,05	0,9557	0,01	0,9967	-0,22	0,6582
Tfpi	68,64	-0,66	0,0279	0,26	0,4877	0,12	1,0000	0,35	0,5144	-0,70	0,0105	1,06	0,0039	0,97	0,0079	0,61	0,2295	-0,28	0,5958
Tfpt	12,20	-0,02	0,9867	0,29	0,6946	0,11	NA	-0,05	0,9853	-0,09	0,9008	0,19	0,8660	0,02	NA	-0,35	0,7779	-0,12	0,8779
Tfrc	659,84	0,33	0,6148	-0,02	0,9843	0,10	1,0000	-0,34	0,7444	-1,47	0,0009	0,19	0,7613	0,15	0,8300	-0,40	0,4405	-1,48	0,0000
Tg	8,92	-0,89	0,0720	1,00	0,0165	0,07	NA	-0,64	0,2553	-0,71	0,1865	1,07	0,0955	0,25	NA	-0,10	NA	-0,20	0,8294
Tgds	24,90	0,04	0,9580	-0,03	0,9761	0,01	NA	0,14	0,9440	-0,06	0,9117	-0,19	0,8411	0,37	0,5905	0,26	0,8261	-0,09	0,9046
Tgfa	21,82	0,06	0,9398	0,60	0,1922	0,41	NA	0,22	0,8776	0,39	0,3603	0,26	0,7613	0,08	0,9368	-0,06	0,9807	0,42	0,3882
Tgfb1	15,48	0,19	0,7699	0,78	0,0828	0,36	NA	-0,09	0,9746	0,39	0,4644	0,57	0,3881	-0,01	NA	0,03	0,9921	0,31	0,6340
Tgfb111	104,71	0,32	0,2587	-0,88	0,0021	-0,10	1,0000	-0,52	0,2161	-0,46	0,2256	-1,10	0,0003	-0,81	0,0082	-0,73	0,0246	-0,64	0,0933
Tgfb2	275,43	1,00	0,0000	-0,82	0,0002	-0,38	0,5413	-0,76	0,0012	-0,98	0,0000	-1,38	0,0000	-1,04	0,0000	-1,48	0,0000	-1,45	0,0000
Tgfb3	36,42	2,01	0,0000	0,07	0,9505	0,04	NA	-0,10	NA	-0,49	0,4805	-0,96	0,1585	-0,79	0,1757	-1,17	0,0402	-2,05	0,0000
Tgibr1	183,68	-0,13	0,6750	-0,78	0,0009	-0,23	1,0000	0,11	0,9334	0,47	0,0573	-0,92	0,0006	-0,23	0,6185	-0,10	0,9065	0,19	0,6725
Tgibr2	56,14	-0,92	0,0001	-1,17	0,0000	0,19	1,0000	-0,35	0,5477	-0,71	0,0061	-0,83	0,0998	0,33	0,5909	0,25	0,7953	0,13	0,8186
Tgibr3	45,93	-1,06	0,0001	-0,94	0,0044	-0,18	1,0000	-0,06	0,9817	-0,08	0,8746	0,21	0,8036	0,73	0,1058	0,92	0,0266	0,76	0,0494
Tgibrap1	65,23	-0,26	0,4452	-0,15	0,7481	-0,04	1,0000	0,02	0,9901	0,05	0,9057	-0,30	0,6340	-0,05	0,9557	0,19	0,8432	0,24	0,5524
Tgif1	25,52	-0,08	0,9178	-0,09	0,9140	0,14	NA	-0,04	0,9853	0,59	0,1549	-0,60	0,4206	0,03	0,9768	-0,40	0,6935	0,38	0,5615
Tgif2	11,31	-0,33	0,6129	0,08	0,9360	0,05	NA	-0,31	0,7809	-0,39	0,5480	0,44	0,6249	0,31	NA	-0,03	0,9931	-0,15	0,8542
Tgm2	288,31	1,84	0,0000	0,22	0,6189	-0,05	1,0000	-1,28	0,0000	-1,76	0,0000	-1,32	0,0000	-1,95	0,0000	-2,68	0,0000	-2,99	0,0000
Tgm4	1,11	-0,01	NA	-0,18	NA	-0,02	NA	0,00	NA	-0,14	NA	-0,10	NA	0,02	NA	-0,03	NA	0,22	NA
Tgoln1	86,48	-0,08	0,8677	0,10	0,8597	-0,12	1,0000	0,10	0,9482	0,64	0,0036	0,19	0,7595	0,28	0,6092	0,00	1,0000	0,85	0,0008
Tgs1	79,52	-0,08	0,8477	0,29	0,3920	-0,01	1,0000	0,04	0,9853	0,12	0,7145	0,22	0,7051	0,18	0,7549	0,31	0,5810	0,22	0,6089
Tha1	3,50	-0,15	0,8623	-0,08	0,9422	-0,21	NA	-0,07	NA	-0,89	0,1348	0,16	0,9004	-0,12	NA	-0,57	NA	-0,60	0,4289
Thada	71,41	-0,07	0,8803	-0,57	0,0791	-0,19	1,0000	0,00	0,9986	0,02	0,9614	-0,81	0,0385	-0,11	0,8837	-0,02	0,9931	0,18	0,6248
Thap1	17,34	-0,07	0,9251	0,00	0,9981	-0,06	NA	-0,07	0,9809	0,20	0,7262	-0,35	0,7028	0,25	NA	0,38	0,6935	0,35	0,5369
Thap11	43,68	-0,40	0,2780	-0,04	0,9545	-0,04	1,0000	-0,23	0,8318	-0,57	0,0940	0,00	0,9982	-0,02	0,9843	0,03	0,9911	0,02	0,9867
Thap2	42,12	-0,09	0,8525	-0,71	0,0506	-0,20	1,0000	-0,10	0,9600	-0,60	0,0923	-0,45	0,4365	0,07	0,9361	0,00	1,0000	-0,32	0,4368
Thap3	10,19	-0,57	0,3143	-0,26	0,7509	0,05	NA	-0,18	0,9266	-0,18	0,8078	0,17	0,8906	0,26	NA	-0,08	0,9752	-0,24	0,7702
Thap4	35,26	-0,47	0,2346	0,02	0,9845	0,11	1,0000	-0,20	0,8905	-0,46	0,3422	0,08	0,9359	0,16	0,8548	-0,24	0,8367	0,12	0,8544
Thap6	28,43	-0,20	0,7072	0,19	0,7583	-0,08	NA	0,32	0,7125	0,51	0,1599	0,25	0,7691	0,15	0,8771	0,31	0,7444	0,50	0,2595
Thap7	13,11	0,07	0,9325	-0,21	0,8024	-0,06	NA	-0,25	0,8662	0,50	0,3031	-0,71	0,3269	-0,14	NA	-0,11	0,9548	0,49	0,3609
Thbs1	283,68	1,85	0,0000	-0,71	0,1789	-0,13	1,0000	-1,08	0,0051	-0,51	0,3020	-1,90	0,0003	-1,50	0,0010	-2,03	0,0000	-1,80	0,0009
Them4	17,02	0,36	0,4959	-0,07	0,9445	-0,18	NA	-0,04	0,9853	0,26	0,6449	0,21	0,8292	0,02	NA	0,14	0,9264	0,01	0,9961
Thg1l	14,12	-0,30	0,6183	-0,12	0,8906	0,04	NA	-0,35	0,7246	0,18	0,7517	0,06	0,9607	0,44	NA	0,15	0,9311	0,70	0,1635
Thnsl1	71,31	-0,51	0,0528	0,63	0,0187	-0,12	1,0000	0,17	0,8789	0,22	0,5141	1,17	0,0001	0,36	0,4763	0,53	0,2434	0,67	0,0525
Thnsl2	5,73	-0,75	0,1753	-0,53	0,4309	0,07	NA	-0,17	0,9275	-0,44	0,5173	0,03	0,9822	0,29	NA	0,19	NA	0,30	0,7229
Thoc1	57,16	0,33	0,3627	-0,13	0,8287	0,04	1,0000	-0,07	0,9769	-0,26	0,4884	-0,28	0,6578	-0,06	0,9432	-0,38	0,5911	-0,69	0,0882
Thoc2	223,03	-0,23	0,3475	-0,03	0,9431	-0,05	1,0000	0,23	0,6281	0,11	0,6759	0,00	0,9967	0,50	0,1234	0,38	0,3025	0,17	0,5820
Thoc3	27,51	0,09	0,8804	-0,08	0,9268	0,05	NA	-0,16	0,9304	-0,32	0,4772	-0,16	0,8653	-0,28	0,7016	-0,11	0,9419	-0,52	0,2592
Thoc5	71,47	0,14	0,7419	0,27	0,4776	-0,04	1,0000	-0,07	0,9742	0,19	0,5788	-0,39	0,4493	-0,24	0,6801	-0,27	0,7186	0,11	0,7973

GeneID	CTL	ET-1 vs CTL		SAHA vs CTL		JS28 vs CTL		BSP vs CTL		JQ1 vs CTL		ET-1+SAHA vs ET1		ET-1+JS28 vs ET1		ET-1+BSP vs ET1		ET-1+JQ1 vs ET1	
	mean	log2(FC)	P-adj	log2(FC)	P-adj	log2(FC)	P-adj	log2(FC)	P-adj	log2(FC)	P-adj	log2(FC)	P-adj	log2(FC)	P-adj	log2(FC)	P-adj	log2(FC)	P-adj
Thoc6	8,79	0,71	0,1621	0,09	0,9349	0,06	NA	0,21	NA	0,76	0,1635	-0,23	0,8342	-0,39	NA	-0,23	0,8793	0,35	0,5814
Thoc7	95,54	0,13	0,7027	-0,54	0,0521	-0,04	1,0000	-0,17	0,8643	-0,82	0,0006	-0,31	0,5019	0,11	0,8713	0,19	0,7903	-0,81	0,0032
Thop1	20,91	0,18	0,7803	-0,23	0,7582	-0,11	NA	-0,16	0,9378	0,63	0,1189	-0,36	0,6572	-0,72	NA	-0,24	0,8511	0,61	0,1739
Thra	129,72	-0,45	0,1307	-0,22	0,6456	-0,20	1,0000	0,09	0,9600	-0,75	0,0155	-0,01	0,9893	-0,17	0,7874	0,31	0,5858	-0,54	0,1537
Thrap3	139,11	-0,17	0,5680	0,00	0,9946	0,05	1,0000	0,17	0,8587	0,50	0,0123	0,04	0,9552	0,04	0,9535	0,17	0,8044	0,73	0,0002
Thrb	26,04	-0,06	0,9279	0,08	0,9231	0,27	NA	0,32	0,7444	-0,66	0,1291	-0,05	0,9621	0,29	0,6949	-0,01	0,9967	-0,41	0,4273
Thrsp	1,38	-0,22	NA	0,36	0,6189	0,01	NA	-0,07	NA	-0,34	0,6212	0,16	NA	0,07	NA	0,01	NA	-0,18	NA
Thsd1	1,38	-0,02	NA	-0,10	0,8947	0,04	NA	0,12	NA	0,49	0,4712	-0,13	NA	0,14	NA	-0,05	NA	-0,15	NA
Thsd4	60,74	0,75	0,0111	1,13	0,0001	0,32	1,0000	-0,01	0,9972	-0,63	0,1245	0,61	0,1059	0,22	0,7090	0,22	0,7903	-0,57	0,2045
Thsd7a	110,38	-0,81	0,0055	-0,90	0,0019	0,05	1,0000	-0,02	0,9901	-0,26	0,4821	-0,31	0,6460	0,61	0,1636	0,50	0,3645	0,54	0,1994
Thtpa	23,29	0,06	0,9350	0,10	0,8944	0,21	NA	-0,17	0,9263	-0,48	0,2909	0,01	0,9930	-0,09	0,9315	0,03	0,9918	-0,66	0,1638
Thumpd1	69,15	0,20	0,5382	-0,05	0,9321	-0,09	1,0000	-0,07	0,9746	-0,50	0,0836	-0,31	0,5416	-0,05	0,9557	-0,52	0,2495	-0,62	0,0353
Thumpd2	6,62	-0,23	0,7697	0,28	0,7433	0,00	NA	-0,11	0,9627	-0,90	0,1371	-0,25	0,8262	-0,03	NA	-0,14	NA	-0,90	0,1897
Thumpd3	39,86	0,39	0,2869	0,30	0,5696	0,13	1,0000	0,16	0,9264	-0,18	0,7006	-0,17	0,8216	-0,16	0,8355	-0,16	0,8937	-0,35	0,3836
Thyn1	28,34	0,74	0,0344	-0,05	0,9571	-0,04	NA	-0,30	0,7849	-0,84	0,0667	-0,17	0,8423	-0,78	0,1075	-0,83	0,1062	-1,41	0,0003
Tia1	102,36	-0,17	0,6338	-0,39	0,2174	-0,08	1,0000	-0,05	0,9805	-0,33	0,2504	-0,24	0,6722	0,42	0,3309	0,18	0,8274	-0,47	0,2066
Tial1	144,34	0,03	0,9309	0,04	0,9274	0,07	1,0000	0,23	0,6689	0,07	0,8407	-0,03	0,9707	0,40	0,2921	0,22	0,7091	0,16	0,6525
Tiam1	22,37	-0,21	0,7519	0,21	0,7737	0,01	NA	-0,21	0,8918	-0,40	0,4135	0,35	0,6823	0,04	NA	0,02	0,9931	-0,25	0,7051
Tiam2	2,63	-0,09	0,9239	-0,36	0,6016	-0,15	NA	-0,32	NA	-0,16	0,8441	-0,14	0,9051	-0,10	NA	-0,12	NA	-0,19	0,8408
Ticam1	34,12	-0,01	0,9901	-0,05	0,9444	0,08	1,0000	-0,21	0,8671	0,45	0,2990	-0,21	0,8023	0,10	0,9120	0,14	0,9178	0,85	0,0717
Ticrr	2,44	-0,27	0,7196	0,18	0,8420	0,07	NA	-0,14	NA	-0,01	0,9925	-0,39	NA	-0,04	NA	0,08	NA	-0,33	NA
Tifa	5,44	-0,54	0,3892	0,54	0,4001	0,42	NA	0,09	0,9745	-0,70	0,2723	0,81	0,2681	0,86	NA	-0,11	NA	-0,66	0,3766
Tigd2	51,79	-0,35	0,3332	-0,12	0,8429	-0,01	1,0000	-0,02	0,9901	-0,56	0,0941	0,22	0,7598	0,35	0,5266	0,09	0,9526	-0,01	0,9928
Tigd5	2,46	0,02	0,9870	0,21	0,8066	0,08	NA	0,02	NA	0,38	0,6119	0,00	0,9982	0,00	NA	0,43	NA	0,00	0,9984
Timeless	2,84	-0,22	0,7792	0,27	0,7467	-0,02	NA	-0,10	NA	-0,18	0,8298	-0,16	NA	0,15	NA	0,15	NA	0,18	0,8518
Timm10	26,61	0,72	0,0418	-0,14	0,8590	-0,36	NA	-0,39	0,6611	-1,22	0,0048	-0,21	0,8008	-0,89	0,0611	-0,70	0,2163	-1,23	0,0022
Timm10b	24,19	0,07	0,9117	0,12	0,8749	-0,06	NA	0,19	0,8996	0,30	0,5271	0,59	0,2849	-0,08	0,9360	-0,01	0,9989	0,11	0,8629
Timm13	17,28	0,43	0,4019	-0,10	0,9156	-0,23	NA	0,01	0,9932	0,23	0,6945	-0,56	0,4363	-0,24	NA	-0,17	0,9144	0,01	0,9900
Timm17a	78,83	0,82	0,0036	-0,01	0,9899	0,02	1,0000	-0,10	0,9598	0,00	0,9992	-0,34	0,5617	-0,56	0,2335	-0,42	0,4835	-0,97	0,0047
Timm17b	37,90	0,00	0,9968	-1,01	0,0079	-0,48	0,6163	-0,56	0,3148	-0,20	0,6715	-0,28	0,7093	-0,42	0,4925	-0,55	0,3920	-0,19	0,7099
Timm21	37,76	0,08	0,8760	-0,70	0,0695	0,12	1,0000	-0,22	0,8610	-1,26	0,0002	-0,47	0,4157	-0,06	0,9527	-0,11	0,9350	-1,18	0,0010
Timm22	24,41	0,23	0,7155	-0,16	0,8355	-0,05	NA	-0,18	0,9211	-0,13	0,8193	-0,14	0,8988	-0,32	0,6841	-0,28	0,8161	-0,85	0,0853
Timm23	37,62	0,63	0,0367	0,34	0,4860	-0,13	NA	-0,07	0,9764	-0,46	0,2717	-0,08	0,9310	-0,48	0,3565	-0,36	0,6212	-0,78	0,0300
Timm44	73,84	0,21	0,5318	-0,26	0,5349	-0,12	1,0000	-0,17	0,8826	-0,18	0,6081	-0,50	0,2607	-0,18	0,7732	0,04	0,9789	-0,17	0,6715
Timm50	28,72	0,44	0,2736	0,46	0,3222	-0,07	NA	-0,02	0,9918	0,32	0,4419	-0,03	0,9822	-0,30	0,6919	0,18	0,8892	-0,01	0,9906
Timm8a1	1,76	0,11	NA	-0,09	0,9157	0,02	NA	-0,21	NA	-0,23	0,7542	0,50	0,5653	0,12	NA	-0,05	NA	-0,34	NA
Timm8b	56,99	0,16	0,7330	-0,11	0,8476	-0,13	1,0000	0,07	0,9742	0,15	0,7127	0,39	0,4532	0,14	0,8533	0,23	0,7863	0,04	0,9525
Timm9	29,05	0,53	0,1603	0,35	0,5374	-0,01	NA	0,17	0,9251	-0,14	0,8008	0,05	0,9581	-0,15	0,8607	-0,14	0,9179	-0,43	0,3577
Timmdc1	100,67	0,59	0,0166	-0,03	0,9701	-0,40	0,7895	-0,29	0,7166	-0,06	0,8906	-0,36	0,3799	-0,82	0,0074	-0,64	0,0544	-0,29	0,3505
Timp1	13,67	1,46	0,0001	-0,12	0,9063	0,18	NA	-0,24	NA	-0,22	0,7775	-0,63	0,3256	-1,05	NA	-1,41	0,0034	-1,77	0,0001
Timp2	330,32	0,25	0,4019	-1,73	0,0000	-0,32	0,7608	-0,72	0,0007	-0,62	0,0017	-1,26	0,0000	0,00	0,9963	-0,28	0,6157	-0,28	0,3810
Timp3	378,50	-0,19	0,5288	-0,46	0,0656	0,15	1,0000	0,06	0,9742	0,00	0,9952	-0,29	0,4392	0,17	0,7138	-0,26	0,5761	0,03	0,9261
Tinagl1	5,61	0,56	0,3543	0,01	0,9962	0,11	NA	-0,31	NA	-0,91	0,1284	-0,68	0,3959	-0,32	NA	-1,03	NA	-1,41	0,0227
Tinf2	10,46	0,06	0,9459	-0,32	0,6700	-0,01	NA	0,16	0,9426	-0,06	0,9312	-0,49	0,5895	-0,21	NA	-0,03	0,9931	0,06	0,9525
Tiparp	180,42	-0,32	0,1590	-0,14	0,7251	-0,36	0,6474	-0,06	0,9745	0,05	0,8844	0,30	0,4530	-0,05	0,9337	-0,03	0,9808	0,20	0,6769

GeneID	CTL	ET-1 vs CTL		SAHA vs CTL		JS28 vs CTL		BSP vs CTL		JQ1 vs CTL		ET-1+SAHA vs ET1		ET-1+JS28 vs ET1		ET-1+BSP vs ET1		ET-1+JQ1 vs ET1	
	mean	log2(FC)	P-adj	log2(FC)	P-adj	log2(FC)	P-adj	log2(FC)	P-adj	log2(FC)	P-adj	log2(FC)	P-adj	log2(FC)	P-adj	log2(FC)	P-adj	log2(FC)	P-adj
Tipin	23,76	0,28	0,5784	0,14	0,8474	-0,15	NA	-0,14	0,9440	-0,11	0,8466	0,12	0,8995	-0,12	0,9009	-0,12	0,9388	-0,45	0,3618
Tiprl	39,81	0,34	0,4251	0,20	0,7601	0,22	1,0000	0,42	0,5507	0,26	0,5496	0,36	0,5273	0,17	0,8199	0,10	0,9414	-0,20	0,6548
Tirap	28,01	0,07	0,9091	-0,11	0,8921	-0,09	NA	-0,27	0,8147	-0,54	0,2559	0,12	0,9034	-0,15	0,8640	-0,56	0,4114	-0,38	0,4390
Tjap1	51,72	0,01	0,9867	0,07	0,9237	0,10	1,0000	0,04	0,9853	0,43	0,2524	-0,39	0,4945	-0,31	0,6089	-0,01	0,9989	0,41	0,3608
Tjp1	556,54	-0,01	0,9876	-0,30	0,1890	-0,17	1,0000	0,02	0,9853	0,05	0,8538	-0,44	0,2292	-0,22	0,6439	-0,16	0,8343	-0,02	0,9691
Tjp2	88,76	0,30	0,2642	-0,32	0,3739	0,09	1,0000	-0,22	0,7987	-0,28	0,3251	-0,58	0,1165	-0,09	0,8912	-0,37	0,4724	-0,50	0,0654
Tk1	5,10	-0,13	0,8856	-0,47	0,4910	-0,08	NA	-0,54	NA	-1,00	0,0879	-0,42	0,6621	-0,32	NA	-0,42	NA	-0,71	0,3379
Tk2	32,22	-0,26	0,5739	-0,40	0,4015	0,01	1,0000	-0,25	0,8214	0,18	0,6561	0,01	0,9957	0,09	0,9263	0,11	0,9425	0,43	0,3209
Tkt	36,79	-0,69	0,0484	-0,14	0,8287	0,25	1,0000	-0,16	0,9251	-0,20	0,6928	0,09	0,9320	0,06	0,9546	-0,18	0,8972	0,01	0,9961
Tlcd1	7,61	-0,33	0,6271	0,11	0,9072	-0,10	NA	-0,30	0,7940	0,12	0,8776	0,10	0,9426	0,08	NA	-0,32	NA	-0,08	0,9391
Tlcd2	2,08	0,35	NA	0,08	0,9238	-0,01	NA	0,04	NA	0,47	0,4832	-0,02	0,9894	-0,17	NA	-0,20	NA	0,39	0,6459
Tldc1	29,14	-0,15	0,8030	-0,33	0,5626	0,07	1,0000	-0,09	0,9713	0,00	0,9953	-0,15	0,8808	-0,19	0,8360	0,00	1,0000	-0,28	0,6090
Tle1	18,93	-0,07	0,9251	-0,31	0,6446	0,02	NA	0,26	0,8334	0,67	0,0757	-0,09	0,9378	-0,28	NA	0,20	0,8950	0,49	0,3386
Tle2	17,66	-0,77	0,0574	0,78	0,0458	0,32	NA	0,03	0,9896	0,00	0,9993	0,93	0,1031	0,23	NA	0,54	0,5273	0,53	0,4529
Tle3	30,14	-0,39	0,4314	0,15	0,8295	0,09	1,0000	-0,32	0,7308	-1,24	0,0006	0,00	0,9982	-0,23	0,7993	-0,50	0,5762	-1,50	0,0034
Tle4	53,03	-0,22	0,5911	0,25	0,5936	0,17	1,0000	0,40	0,4410	0,59	0,0471	0,25	0,7163	0,31	0,6024	0,56	0,2639	0,96	0,0004
Tle6	3,14	-0,36	0,6203	0,43	0,5527	0,14	NA	-0,21	NA	-1,07	0,0574	0,57	0,4868	0,25	NA	-0,18	NA	-0,80	NA
Tlk1	184,09	0,26	0,2765	-0,15	0,7014	0,26	1,0000	0,07	0,9626	-0,16	0,6081	-0,34	0,3475	0,16	0,7169	0,09	0,9065	-0,31	0,3232
Tlk2	222,94	0,20	0,4390	0,10	0,7619	0,18	1,0000	0,06	0,9601	-0,22	0,2922	-0,31	0,4806	0,06	0,9368	-0,04	0,9792	-0,41	0,1235
Tln1	682,73	0,68	0,0002	-0,56	0,0135	-0,28	0,9896	-0,32	0,4496	0,00	0,9948	-0,82	0,0004	-0,85	0,0001	-0,38	0,2142	-0,21	0,3746
Tln2	327,14	-0,26	0,3334	-0,43	0,1126	-0,11	1,0000	0,21	0,7443	-0,08	0,7774	-0,37	0,2941	-0,21	0,6296	0,21	0,6906	-0,04	0,9106
Tlr2	2,46	-0,01	0,9901	0,03	0,9799	0,22	NA	-0,11	NA	-0,47	0,4572	0,33	0,7481	0,07	NA	-0,16	NA	-0,31	0,7162
Tlr3	1,17	0,17	NA	0,28	0,6469	0,07	NA	0,00	NA	-0,03	NA	0,48	0,5777	0,02	NA	-0,12	NA	-0,67	NA
Tlr4	9,03	0,47	0,4601	-0,25	0,7687	-0,06	NA	-0,23	NA	-0,96	0,1040	-0,17	0,8856	-0,32	NA	-0,66	0,4186	-1,37	0,0213
Tlr5	1,62	-0,24	NA	-0,25	0,7237	-0,10	NA	-0,24	NA	-0,67	0,1986	0,35	NA	0,05	NA	-0,16	NA	-0,28	NA
Tlr6	1,04	0,14	NA	0,20	0,7565	-0,06	NA	-0,06	NA	-0,18	NA	-0,05	NA	-0,09	NA	-0,25	NA	-0,13	NA
Tm2d1	54,31	0,32	0,4053	-0,06	0,9288	0,23	1,0000	0,23	0,8279	-0,51	0,1373	-0,08	0,9328	0,21	0,7623	0,28	0,7189	-0,70	0,1003
Tm2d2	69,24	0,47	0,0745	-0,05	0,9312	-0,06	1,0000	-0,06	0,9798	0,55	0,0217	-0,19	0,7672	-0,52	0,2496	-0,41	0,4707	0,18	0,6509
Tm2d3	20,50	-0,29	0,5794	-0,52	0,2998	-0,14	NA	-0,26	0,8369	-0,35	0,4819	0,03	0,9840	0,16	NA	-0,12	0,9443	0,08	0,9125
Tm6sf1	6,90	-0,37	0,5933	0,56	0,3591	0,06	NA	-0,22	0,8833	-0,60	0,3302	1,47	0,0066	0,24	NA	0,23	0,8857	-0,30	0,7209
Tm6sf2	4,10	0,00	0,9983	0,34	0,6701	0,06	NA	0,13	NA	0,30	0,6938	-0,17	0,8874	0,14	NA	-0,28	NA	-0,23	0,8078
Tm7sf2	4,01	0,01	0,9939	0,16	0,8654	-0,01	NA	-0,36	NA	-0,09	0,9141	0,44	0,6526	0,06	NA	-0,36	NA	-0,37	0,6681
Tm7sf3	31,89	0,31	0,4554	0,23	0,6961	0,22	NA	0,05	0,9853	-0,31	0,4727	0,03	0,9771	-0,11	0,9042	-0,67	0,2359	-1,19	0,0023
Tm9sf1	52,18	-0,03	0,9566	-0,30	0,5084	0,04	1,0000	-0,16	0,9046	-0,25	0,4642	-0,20	0,8107	-0,01	0,9925	-0,09	0,9570	-0,08	0,8914
Tm9sf2	208,20	0,17	0,4556	0,15	0,6234	0,09	1,0000	0,19	0,7166	-0,04	0,8845	-0,10	0,8464	-0,04	0,9582	0,00	0,9983	-0,31	0,2673
Tm9sf3	380,69	0,10	0,7398	-0,27	0,2809	0,03	1,0000	0,15	0,8334	0,04	0,8706	-0,01	0,9860	0,15	0,7578	0,13	0,8489	0,01	0,9798
Tm9sf4	98,20	0,13	0,7062	-0,16	0,6951	0,03	1,0000	-0,06	0,9737	0,22	0,4379	-0,23	0,6844	-0,29	0,5746	0,00	1,0000	0,10	0,7702
Tma16	25,17	0,30	0,5607	-0,31	0,6403	-0,04	NA	-0,25	0,8619	-0,28	0,6172	-0,36	0,6340	-0,05	0,9629	-0,94	0,0796	-0,40	0,4064
Tma7	26,67	0,16	0,7872	-0,10	0,9070	-0,08	NA	0,06	0,9829	-0,10	0,8754	-0,09	0,9307	0,00	0,9973	0,26	0,8028	-0,66	0,1526
Tmbim1	64,64	0,56	0,0583	-0,03	0,9730	0,18	1,0000	-0,49	0,3835	-0,56	0,1014	-0,47	0,3443	-1,12	0,0007	-1,14	0,0007	-0,83	0,0093
Tmbim4	56,72	-0,07	0,8854	0,07	0,9055	-0,03	1,0000	-0,16	0,9058	-0,45	0,1437	0,50	0,2583	-0,11	0,8910	-0,21	0,8145	-0,38	0,4115
Tmbim6	201,59	-0,22	0,4598	-0,15	0,6291	-0,06	1,0000	0,02	0,9853	0,43	0,0098	0,30	0,5140	0,10	0,8910	0,19	0,7950	0,66	0,0099
Tmc4	3,56	-0,14	0,8683	0,07	0,9503	-0,09	NA	-0,02	NA	-0,06	0,9502	0,03	0,9869	-0,13	NA	0,24	NA	0,00	0,9988
Tmc6	1,19	-0,32	NA	0,43	0,4965	-0,06	NA	-0,16	NA	-0,37	0,5620	0,47	NA	-0,02	NA	0,05	NA	0,23	NA
Tmc7	12,30	-0,65	0,2032	0,65	0,1908	0,10	NA	-0,14	0,9472	-1,05	0,0370	0,72	0,3151	0,55	NA	-0,19	0,9074	-0,75	0,2733

GeneID	CTL	ET-1 vs CTL		SAHA vs CTL		JS28 vs CTL		BSP vs CTL		JQ1 vs CTL		ET-1+SAHA vs ET1		ET-1+JS28 vs ET1		ET-1+BSP vs ET1		ET-1+JQ1 vs ET1	
	mean	log2(FC)	P-adj	log2(FC)	P-adj	log2(FC)	P-adj	log2(FC)	P-adj	log2(FC)	P-adj	log2(FC)	P-adj	log2(FC)	P-adj	log2(FC)	P-adj	log2(FC)	P-adj
Tmcc1	123,92	0,13	0,7134	-0,02	0,9799	0,03	1,0000	-0,24	0,7444	-0,05	0,8831	-0,50	0,1660	-0,14	0,8158	-0,20	0,7621	0,03	0,9407
Tmcc2	25,51	0,44	0,2965	0,38	0,4649	0,09	NA	-0,15	0,9404	-0,10	0,8654	-0,29	0,7286	-0,21	0,7965	-0,36	0,6973	-0,44	0,4398
Tmcc3	31,67	0,28	0,5361	0,52	0,2504	0,29	1,0000	0,37	0,6424	0,24	0,5863	0,18	0,8167	0,28	0,6719	0,33	0,6655	0,12	0,8170
Tmco1	100,80	0,12	0,7554	0,07	0,8970	-0,11	1,0000	0,08	0,9626	-0,23	0,5407	0,40	0,3294	0,20	0,7068	0,13	0,8925	-0,20	0,6267
Tmco3	62,20	-0,09	0,8522	0,26	0,5662	-0,03	1,0000	-0,05	0,9853	-0,50	0,1055	0,43	0,3596	0,19	0,7655	0,04	0,9824	-0,33	0,4099
Tmco6	16,05	-0,05	0,9521	-0,54	0,3542	-0,25	NA	-0,23	0,8822	-0,26	0,6604	-0,30	0,7579	-0,10	NA	-0,25	0,8521	-0,42	0,4694
Tmed1	16,27	0,05	0,9477	-0,85	0,0964	-0,08	NA	-0,32	0,7688	0,12	0,8508	-0,96	0,1357	-0,02	NA	0,10	0,9590	0,02	0,9845
Tmed10	254,12	0,16	0,5896	-0,30	0,2668	-0,09	1,0000	-0,04	0,9805	-0,23	0,2879	0,18	0,7103	-0,03	0,9644	-0,10	0,9094	-0,27	0,3095
Tmed2	58,06	0,13	0,7789	-0,57	0,1244	-0,38	0,9125	-0,07	0,9746	0,00	0,9938	-0,21	0,7607	0,09	0,9064	0,16	0,8665	-0,22	0,6405
Tmed3	38,23	0,03	0,9612	-1,04	0,0033	0,05	1,0000	-0,08	0,9741	-0,30	0,4540	-0,65	0,2536	-0,23	0,7589	-0,15	0,9080	-0,51	0,2657
Tmed4	110,81	0,22	0,4019	0,11	0,7879	0,34	0,7553	0,16	0,8587	0,48	0,0159	0,10	0,8670	0,04	0,9520	-0,01	0,9931	0,27	0,3028
Tmed5	145,04	0,42	0,0624	-0,13	0,7686	-0,11	1,0000	-0,13	0,9247	0,06	0,8891	0,00	0,9986	0,02	0,9728	-0,30	0,5141	-0,21	0,6548
Tmed7	253,82	0,32	0,2587	0,26	0,4422	0,05	1,0000	0,27	0,6297	-0,14	0,7161	0,30	0,4684	0,17	0,7442	-0,03	0,9824	-0,28	0,5209
Tmed8	62,67	-0,10	0,8317	0,46	0,1922	-0,15	1,0000	-0,15	0,9211	0,03	0,9499	0,69	0,0747	0,24	0,6949	-0,18	0,8597	0,10	0,8434
Tmed9	56,29	0,64	0,0303	0,06	0,9407	0,02	1,0000	0,44	0,4307	0,38	0,2766	-0,08	0,9260	-0,60	0,1736	-0,16	0,8756	-0,11	0,8090
Tmeff1	37,35	0,39	0,3133	-0,05	0,9523	0,08	1,0000	-0,26	0,8232	-1,03	0,0050	-0,19	0,8095	0,00	0,9968	-0,39	0,5927	-0,81	0,0382
Tmeff2	3,83	-0,13	0,8798	0,20	0,8293	-0,13	NA	-0,20	NA	-0,05	0,9580	0,34	0,7439	-0,19	NA	0,11	NA	0,82	0,2204
Tmem101	20,01	0,05	0,9427	-0,05	0,9589	-0,18	NA	-0,30	0,7961	-0,54	0,2597	0,08	0,9444	-0,40	NA	-0,24	0,8514	-0,20	0,7561
Tmem102	1,87	-0,42	NA	0,42	0,5533	0,16	NA	-0,18	NA	-0,62	0,3161	0,37	NA	0,33	NA	0,00	NA	-0,24	NA
Tmem104	14,63	0,41	0,4338	0,54	0,3477	0,08	NA	0,37	0,7022	0,74	0,0998	-0,18	0,8601	-0,45	NA	0,05	0,9824	-0,03	0,9754
Tmem106a	2,80	-0,59	0,3240	-0,18	0,8481	-0,12	NA	-0,15	NA	-0,19	0,8165	0,28	NA	0,52	NA	0,22	NA	0,55	0,4803
Tmem106b	282,09	-0,14	0,5707	-0,38	0,0790	0,07	1,0000	0,16	0,7688	-0,13	0,6586	-0,06	0,9219	0,49	0,0985	0,29	0,5050	0,06	0,9169
Tmem106c	18,53	-0,29	0,5971	0,27	0,6651	0,09	NA	0,16	0,9297	0,33	0,4691	0,49	0,4843	0,04	NA	0,39	0,6837	0,77	0,0868
Tmem107	4,23	-0,38	0,5994	-0,07	0,9545	-0,13	NA	-0,12	NA	-0,31	0,6764	0,38	0,7028	-0,06	NA	-0,02	NA	-0,32	0,7160
Tmem108	19,61	-0,29	0,6520	0,90	0,0169	0,24	NA	0,18	0,9182	0,94	0,0236	1,15	0,0262	0,68	0,2714	0,67	0,3510	0,90	0,1113
Tmem109	75,38	0,75	0,0014	-0,45	0,2509	-0,19	1,0000	-0,14	0,9251	-0,28	0,4721	-0,77	0,0328	-0,65	0,0862	-0,61	0,1195	-0,43	0,2410
Tmem11	28,92	0,29	0,5624	0,31	0,6128	0,13	NA	0,00	0,9998	0,18	0,7317	0,32	0,6415	0,05	0,9634	-0,21	0,8511	0,03	0,9668
Tmem110	5,57	-0,10	0,9141	0,32	0,6959	0,04	NA	0,08	NA	-0,10	0,9046	0,45	0,6305	0,04	NA	-0,06	NA	0,18	0,8400
Tmem115	38,65	0,08	0,8843	-0,08	0,9103	-0,15	1,0000	-0,28	0,7862	0,22	0,5920	-0,61	0,2688	-0,29	0,6774	-0,07	0,9630	0,26	0,5853
Tmem116	24,86	-0,07	0,9207	-0,01	0,9895	-0,13	NA	-0,19	0,9066	0,27	0,5608	0,01	0,9957	-0,27	0,7280	0,31	0,7487	0,27	0,5933
Tmem117	17,45	0,49	0,3334	-0,45	0,5022	0,32	NA	0,00	0,9986	-0,58	0,3322	-0,71	0,2667	0,35	0,6103	-0,12	0,9397	-1,38	0,0029
Tmem120a	9,35	-0,01	0,9927	0,18	0,8347	0,16	NA	-0,15	0,9430	-0,49	0,4339	-0,12	0,9255	-0,17	NA	-0,06	0,9829	0,04	0,9678
Tmem120b	3,01	0,08	0,9278	0,56	0,3773	0,19	NA	0,15	NA	0,90	0,1244	0,65	0,4192	0,29	NA	0,41	NA	0,69	0,3436
Tmem123	136,43	0,63	0,0006	0,22	0,4937	-0,06	1,0000	-0,09	0,9510	0,18	0,4833	-0,16	0,7680	-0,45	0,2060	-0,55	0,1124	-0,25	0,3884
Tmem126a	40,84	0,44	0,2434	-0,18	0,7941	-0,10	1,0000	-0,18	0,9129	-0,15	0,7665	-0,29	0,6866	-0,39	0,5248	-0,07	0,9633	-0,89	0,0098
Tmem126b	37,68	-0,27	0,5509	-0,52	0,2277	-0,43	0,7608	-0,25	0,8334	-1,19	0,0003	0,00	0,9976	0,04	0,9678	-0,10	0,9526	-0,70	0,0980
Tmem127	123,02	-0,13	0,7516	-0,22	0,5722	-0,24	1,0000	-0,10	0,9472	0,40	0,0946	0,09	0,8973	0,03	0,9713	0,03	0,9909	0,64	0,0185
Tmem128	12,99	0,14	0,8614	-0,44	0,5258	-0,01	NA	0,02	0,9916	-0,19	0,7758	-0,08	0,9509	0,25	NA	-0,17	0,9175	-0,07	0,9353
Tmem129	29,43	0,18	0,7528	-0,09	0,9156	0,06	NA	0,17	0,9158	0,32	0,4541	-0,17	0,8448	-0,01	0,9963	0,09	0,9548	-0,10	0,8685
Tmem130	1,12	0,05	NA	-0,02	NA	-0,06	NA	-0,10	NA	-0,10	NA	0,05	NA	-0,07	NA	-0,15	NA	-0,10	NA
Tmem131	237,19	-0,13	0,7115	0,20	0,5326	0,01	1,0000	0,25	0,6211	0,56	0,0034	-0,12	0,8417	-0,14	0,8175	0,06	0,9531	0,53	0,0347
Tmem132a	52,21	0,20	0,6647	0,26	0,5783	-0,03	1,0000	-0,21	0,8554	-0,12	0,7740	-0,12	0,8923	-0,62	0,1973	-0,22	0,8257	-0,05	0,9305
Tmem134	29,21	-0,15	0,7976	-0,27	0,6858	-0,28	NA	-0,25	0,8426	-0,19	0,7161	0,31	0,6898	-0,27	0,7255	0,22	0,8511	0,18	0,7833
Tmem135	90,66	-0,12	0,7706	0,02	0,9813	-0,07	1,0000	0,07	0,9700	-0,25	0,3696	0,28	0,6100	0,29	0,5719	0,19	0,8203	-0,05	0,9201
Tmem136	43,23	-0,03	0,9605	-0,32	0,4893	-0,08	1,0000	-0,09	0,9634	0,21	0,6098	-0,51	0,3584	-0,05	0,9629	0,05	0,9789	0,27	0,5820

GeneID	CTL	ET-1 vs CTL		SAHA vs CTL		JS28 vs CTL		BSP vs CTL		JQ1 vs CTL		ET-1+SAHA vs ET1		ET-1+JS28 vs ET1		ET-1+BSP vs ET1		ET-1+JQ1 vs ET1	
	mean	log2(FC)	P-adj	log2(FC)	P-adj	log2(FC)	P-adj	log2(FC)	P-adj	log2(FC)	P-adj	log2(FC)	P-adj	log2(FC)	P-adj	log2(FC)	P-adj	log2(FC)	P-adj
Tmem194b	4,28	-0,05	0,9627	0,41	0,5812	0,07	NA	0,04	NA	0,18	0,8184	0,42	0,6738	0,52	NA	0,29	NA	-0,07	0,9470
Tmem196	3,06	-0,10	0,9181	-0,59	0,2998	-0,11	NA	-0,32	NA	-0,93	0,1015	-0,57	NA	0,02	NA	-0,30	NA	-0,48	0,5479
Tmem198	1,40	-0,08	NA	0,02	0,9820	0,05	NA	-0,10	NA	0,16	0,8421	0,04	NA	-0,14	NA	-0,01	NA	-0,18	NA
Tmem198b	19,52	-0,67	0,1045	0,25	0,6906	-0,06	NA	-0,06	0,9853	-0,65	0,1510	0,39	0,6453	0,31	NA	0,14	0,9348	-0,48	0,4651
Tmem199	31,77	0,33	0,4541	-0,02	0,9804	-0,11	NA	-0,04	0,9853	0,21	0,6398	-0,11	0,9081	-0,30	0,6678	-0,11	0,9393	-0,09	0,8740
Tmem2	111,25	-0,13	0,7253	-0,06	0,9202	-0,06	1,0000	-0,04	0,9853	0,45	0,0617	0,24	0,6446	-0,12	0,8536	0,34	0,5206	0,78	0,0028
Tmem200c	1,19	-0,38	NA	-0,36	0,5129	0,02	NA	-0,22	NA	-0,62	NA	0,22	NA	-0,07	NA	-0,02	NA	-0,06	NA
Tmem201	96,30	0,02	0,9692	-0,08	0,8779	-0,05	1,0000	0,08	0,9634	0,59	0,0126	-0,13	0,8292	-0,26	0,6087	0,23	0,7215	0,48	0,0675
Tmem202	1,58	0,33	NA	-0,08	NA	0,06	NA	-0,03	NA	-0,24	NA	-0,04	0,9732	0,02	NA	-0,42	NA	0,06	0,9525
Tmem203	4,33	-0,03	0,9769	0,38	0,6189	0,00	NA	0,14	NA	0,34	0,6364	0,50	0,5805	0,08	NA	0,27	NA	0,21	0,8142
Tmem205	16,57	0,17	0,8040	0,39	0,4931	0,03	NA	0,08	0,9753	0,65	0,1171	0,38	0,6516	-0,11	NA	0,11	0,9551	0,17	0,8078
Tmem206	16,28	-0,21	0,7447	0,47	0,3644	0,22	NA	-0,07	0,9798	0,09	0,8738	0,87	0,1226	0,15	NA	-0,13	0,9423	0,40	0,4805
Tmem208	27,93	0,26	0,6366	-0,12	0,8628	0,00	NA	-0,02	0,9901	0,25	0,5695	0,20	0,8291	-0,08	0,9428	-0,16	0,9119	0,14	0,8181
Tmem209	60,54	0,07	0,9020	-0,04	0,9505	-0,10	1,0000	0,06	0,9798	0,23	0,5115	0,06	0,9413	-0,18	0,8046	-0,21	0,8373	-0,14	0,7671
Tmem214	79,97	-0,10	0,8095	-0,58	0,0503	0,11	1,0000	-0,06	0,9753	0,21	0,4754	-0,42	0,3709	-0,08	0,9173	0,09	0,9392	0,24	0,4915
Tmem216	4,49	-0,06	0,9486	0,20	0,8295	0,01	NA	-0,03	NA	-0,14	0,8621	0,44	0,6466	-0,15	NA	-0,35	NA	-0,08	0,9355
Tmem218	12,56	-0,33	0,6041	0,64	0,1863	-0,09	NA	-0,37	0,7037	-0,51	0,3536	0,71	0,3167	0,15	NA	-0,06	0,9851	-0,21	0,8033
Tmem219	5,54	-0,06	0,9452	-0,14	0,8917	0,00	NA	-0,03	NA	0,21	0,7818	0,43	0,6531	0,02	NA	-0,17	NA	0,13	0,8990
Tmem220	5,74	-0,66	0,2512	-0,90	0,0982	-0,28	NA	-0,21	0,8917	-1,47	0,0058	-0,05	0,9713	0,14	NA	-0,23	NA	-0,81	0,2344
Tmem222	17,38	-0,18	0,7792	0,06	0,9506	0,01	NA	0,25	0,8464	0,25	0,6231	0,29	0,7501	-0,05	NA	0,25	0,8472	0,48	0,3278
Tmem223	15,11	-0,11	0,8795	-0,54	0,3511	-0,10	NA	-0,35	0,7345	0,10	0,8803	-0,24	0,8135	0,03	NA	0,02	0,9936	0,33	0,5853
Tmem229b	3,31	-0,13	0,8793	0,55	0,3949	0,06	NA	0,02	NA	0,97	0,0818	0,73	0,3470	0,20	NA	0,31	NA	0,90	0,1734
Tmem230	27,47	0,14	0,7984	-0,22	0,7582	-0,05	NA	-0,04	0,9853	0,01	0,9875	-0,07	0,9444	-0,17	0,8492	-0,43	0,5919	-0,09	0,8817
Tmem231	11,78	-0,33	0,5934	0,59	0,2460	0,01	NA	-0,28	0,8318	-0,92	0,0647	0,64	0,3746	-0,18	NA	-0,09	0,9688	-0,23	0,7639
Tmem234	46,35	0,15	0,7543	-0,03	0,9766	0,00	1,0000	-0,16	0,9211	0,00	0,9953	-0,16	0,8324	-0,45	0,3895	0,00	0,9999	-0,15	0,7538
Tmem237	21,12	0,02	0,9785	-0,43	0,4800	-0,10	NA	-0,17	0,9330	-0,33	0,5512	-0,45	0,5464	-0,21	NA	-0,40	0,6843	-0,40	0,4604
Tmem240	1,51	-0,21	NA	-0,20	0,7823	0,06	NA	-0,05	NA	0,07	0,9374	0,02	NA	0,18	NA	0,38	NA	0,22	NA
Tmem241	8,65	-0,12	0,8923	0,07	0,9446	0,04	NA	-0,04	0,9853	-0,30	0,6495	0,11	0,9359	0,08	NA	-0,01	0,9987	-0,55	0,4778
Tmem242	43,56	0,23	0,6214	-0,29	0,5897	-0,02	1,0000	0,09	0,9680	-0,34	0,4144	-0,10	0,9166	-0,16	0,8375	0,14	0,9074	-0,60	0,1379
Tmem243	12,34	-0,42	0,4646	-0,16	0,8475	0,03	NA	-0,02	0,9925	0,00	0,9976	0,06	0,9653	-0,30	NA	0,50	0,5911	0,59	0,3167
Tmem245	215,97	-0,39	0,1759	-0,16	0,7479	-0,03	1,0000	-0,04	0,9853	-0,22	0,4754	-0,02	0,9771	0,30	0,4914	0,27	0,6212	0,16	0,6425
Tmem246	43,93	-0,13	0,7896	-0,72	0,0429	-0,16	1,0000	-0,07	0,9764	-0,30	0,4463	-0,64	0,2312	-0,03	0,9756	0,40	0,5545	-0,03	0,9645
Tmem248	98,46	0,08	0,8683	0,13	0,7801	0,00	1,0000	0,09	0,9600	0,15	0,6145	0,26	0,6536	0,12	0,8657	0,15	0,8833	0,18	0,6725
Tmem25	1,66	0,24	NA	0,05	0,9540	0,00	NA	-0,07	NA	-0,24	NA	-0,01	0,9936	-0,23	NA	-0,14	NA	-0,60	NA
Tmem251	14,51	0,31	0,6041	-0,71	0,2071	0,06	NA	0,25	0,8616	-0,15	0,8184	-0,42	0,6322	0,12	NA	0,03	0,9931	-0,18	0,7916
Tmem252	2,11	-0,01	NA	-0,40	0,4149	-0,13	NA	-0,19	NA	-0,63	0,2150	0,07	0,9254	-0,13	NA	-0,07	NA	-0,13	0,8792
Tmem256	35,47	0,15	0,7990	0,12	0,8631	-0,15	1,0000	-0,32	0,7413	-0,50	0,2426	0,20	0,7997	-0,21	0,7939	-0,05	0,9792	-0,52	0,2391
Tmem258	16,71	0,19	0,7567	0,02	0,9841	0,16	NA	0,12	0,9602	-0,18	0,7673	-0,03	0,9818	-0,42	NA	-0,19	0,8974	-0,02	0,9783
Tmem259	92,66	0,09	0,8247	-0,12	0,7967	0,07	1,0000	0,01	0,9941	0,34	0,2187	-0,21	0,7495	-0,35	0,4836	-0,01	0,9967	0,45	0,2585
Tmem260	15,03	-0,17	0,8095	0,38	0,5534	0,36	NA	0,60	0,2976	0,75	0,0986	0,28	0,7672	0,34	NA	0,56	0,4707	0,87	0,0422
Tmem261	20,57	0,25	0,6639	-0,20	0,7983	-0,24	NA	0,04	0,9853	-0,20	0,7419	-0,28	0,7589	-0,39	NA	-0,15	0,9192	-0,08	0,9226
Tmem263	174,14	0,26	0,2993	0,08	0,8382	0,14	1,0000	0,41	0,1318	0,24	0,4318	0,16	0,7718	0,23	0,6266	0,08	0,9371	0,06	0,9001
Tmem28	5,43	0,28	0,7197	1,03	0,0431	0,05	NA	0,15	NA	0,60	0,3621	0,45	0,6271	-0,36	NA	-0,10	0,9609	0,23	0,7769
Tmem29	6,67	0,14	0,8641	-0,02	0,9895	0,12	NA	0,33	0,7536	0,71	0,1837	-0,39	0,6999	-0,16	NA	0,24	0,8665	0,41	0,5454
Tmem30a	436,29	0,28	0,2203	0,15	0,6829	-0,01	1,0000	0,32	0,4453	0,30	0,2456	0,25	0,5423	0,11	0,8355	0,18	0,7320	0,18	0,6521

GeneID	CTL	ET-1 vs CTL		SAHA vs CTL		JS28 vs CTL		BSP vs CTL		JQ1 vs CTL		ET-1+SAHA vs ET1		ET-1+JS28 vs ET1		ET-1+BSP vs ET1		ET-1+JQ1 vs ET1	
	mean	log2(FC)	P-adj	log2(FC)	P-adj	log2(FC)	P-adj	log2(FC)	P-adj	log2(FC)	P-adj	log2(FC)	P-adj	log2(FC)	P-adj	log2(FC)	P-adj	log2(FC)	P-adj
Trmt1l	80,90	0,11	0,7781	-0,14	0,7711	-0,17	1,0000	0,01	0,9968	0,08	0,8193	-0,30	0,5679	-0,21	0,7100	0,05	0,9734	-0,02	0,9729
Trmt2a	20,18	-0,13	0,8299	-0,31	0,6354	-0,08	NA	0,07	0,9777	0,45	0,2718	0,03	0,9789	0,09	NA	0,15	0,9192	0,25	0,6548
Trmt2b	67,84	-0,58	0,0741	-0,62	0,0370	0,02	1,0000	-0,22	0,8055	-0,95	0,0001	0,04	0,9707	0,63	0,1799	0,28	0,7608	-0,52	0,2404
Trmt44	11,83	-0,26	0,6966	-0,10	0,9109	0,22	NA	-0,30	0,8121	-0,66	0,2174	0,14	0,9090	0,15	NA	0,22	0,8879	-0,29	0,6955
Trmt5	35,63	-0,12	0,8321	0,20	0,7371	-0,02	1,0000	-0,30	0,7454	-1,35	0,0001	0,60	0,2634	0,46	0,4286	0,01	0,9993	-0,81	0,0605
Trmt6	28,35	0,22	0,6666	-0,08	0,9229	0,22	NA	-0,01	0,9972	-0,16	0,7595	0,04	0,9736	-0,06	0,9527	-0,25	0,8207	-0,27	0,6238
Trmt61a	11,70	1,23	0,0031	-0,22	0,8073	0,11	NA	0,10	NA	0,27	0,7036	-1,03	0,0894	-0,74	NA	-0,62	0,4377	-1,02	0,0634
Trmt61b	6,00	0,31	0,6748	-0,12	0,9075	-0,04	NA	-0,22	NA	0,09	0,9107	-0,10	0,9378	-0,23	NA	-0,33	0,7954	-0,37	0,6462
Trmu	11,70	-0,06	0,9431	0,18	0,8470	-0,06	NA	0,08	0,9764	-0,20	0,7800	0,24	0,8198	-0,13	NA	-0,17	0,9187	0,09	0,9156
Trnu1ap	17,23	-0,33	0,5750	-0,70	0,1735	-0,19	NA	-0,10	0,9681	-0,17	0,7699	-0,19	0,8610	-0,03	NA	-0,01	0,9971	-0,23	0,7779
Trnp1	1,90	-0,18	NA	1,03	0,0456	0,09	NA	-0,04	NA	-0,35	0,6329	1,22	0,0446	0,27	NA	0,29	NA	0,42	0,6100
Trmt1	71,73	0,31	0,3620	0,08	0,8871	0,10	1,0000	0,14	0,9211	-0,37	0,2228	-0,17	0,8025	-0,10	0,8988	-0,17	0,8536	-0,51	0,1542
Tro	34,75	-0,23	0,6461	0,77	0,0107	-0,01	1,0000	0,06	0,9829	0,74	0,0100	0,69	0,1795	0,28	0,7065	0,35	0,6935	1,06	0,0011
Troap	1,69	-0,02	NA	-0,28	0,6673	-0,09	NA	-0,15	NA	0,22	0,7744	-0,33	NA	-0,10	NA	0,09	NA	-0,28	NA
Trove2	314,59	0,44	0,0073	-0,02	0,9668	-0,28	0,9488	-0,01	0,9943	0,33	0,1803	-0,15	0,7255	-0,33	0,2897	-0,35	0,2639	0,16	0,6985
Trp53	53,59	0,01	0,9901	-0,19	0,7030	-0,08	1,0000	-0,43	0,4665	0,03	0,9578	-0,16	0,8445	-0,32	0,5915	-0,25	0,7779	0,03	0,9606
Trp53bp1	205,23	-0,34	0,0917	-0,34	0,1789	-0,25	1,0000	-0,54	0,0343	-0,53	0,0140	-0,18	0,7139	-0,23	0,6089	-0,22	0,7048	-0,14	0,7508
Trp53bp2	74,44	-0,02	0,9730	-0,04	0,9587	-0,09	1,0000	0,22	0,8294	0,59	0,0153	-0,27	0,6736	0,10	0,8988	0,19	0,8389	0,56	0,0939
Trp53cor1	51,10	0,21	0,6977	0,34	0,4359	-0,25	1,0000	-0,40	0,5679	-0,05	0,9278	-0,29	0,7110	-0,47	0,4372	-0,77	0,1513	-0,35	0,5592
Trp53i11	11,09	-0,90	0,0509	0,88	0,0410	0,12	NA	-0,30	0,7987	-0,17	0,7922	0,70	0,3524	0,22	NA	0,21	0,8990	0,69	0,2697
Trp53i13	6,52	-0,07	0,9397	-0,07	0,9505	-0,01	NA	0,07	0,9805	0,01	0,9925	0,50	0,5812	-0,51	NA	0,03	0,9918	0,28	0,7240
Trp53inp1	288,59	-0,89	0,0002	0,08	0,8947	-0,26	1,0000	-0,31	0,6502	-0,02	0,9698	0,45	0,1772	0,69	0,0136	0,20	0,7396	0,67	0,0174
Trp53inp2	1006,65	0,07	0,8821	-0,58	0,0157	-0,03	1,0000	0,01	0,9956	0,21	0,4829	-0,52	0,1740	0,12	0,8390	0,30	0,5347	0,50	0,1261
Trp53rk	3,81	-0,15	0,8623	-0,08	0,9462	-0,25	NA	-0,27	NA	-0,04	0,9614	0,12	0,9309	-0,21	NA	0,04	NA	-0,02	0,9868
Trpc1	9,70	0,35	0,5833	0,53	0,3831	0,04	NA	-0,05	0,9853	-0,50	0,4315	0,11	0,9307	0,12	NA	-0,30	0,8171	-0,51	0,4461
Trpc3	4,28	-0,21	0,7931	-0,39	0,5919	-0,04	NA	-0,34	NA	-0,48	0,4972	0,05	0,9696	0,39	NA	0,31	NA	-0,78	0,2715
Trpc4	6,42	-0,18	0,8299	1,00	0,0392	0,34	NA	0,25	0,8610	-0,44	0,5242	1,04	0,0971	0,56	NA	-0,01	0,9967	-0,80	0,2581
Trpc4ap	175,06	-0,28	0,2971	-0,25	0,3716	0,03	1,0000	0,07	0,9599	0,37	0,0331	-0,06	0,9309	0,12	0,8559	0,28	0,6212	0,61	0,0106
Trpm3	1,24	-0,39	NA	-0,11	0,9044	-0,03	NA	0,11	NA	-0,66	0,2069	0,47	NA	0,29	NA	0,27	NA	0,15	NA
Trpm4	30,87	-0,52	0,1733	0,10	0,8948	-0,07	1,0000	0,01	0,9967	0,09	0,8837	0,01	0,9914	0,38	0,5639	0,55	0,3872	0,69	0,0895
Trpm7	297,72	-0,33	0,1431	-0,22	0,5115	0,04	1,0000	0,13	0,8966	0,30	0,2101	0,26	0,4801	0,76	0,0008	0,68	0,0033	0,52	0,0256
Trps1	57,85	-0,45	0,1505	-1,02	0,0006	-0,11	1,0000	-0,42	0,4434	-1,41	0,0000	-0,17	0,8292	0,32	0,5946	-0,10	0,9400	-1,56	0,0000
Trpt1	11,92	0,32	0,6150	-0,05	0,9639	-0,06	NA	-0,06	0,9853	-0,40	0,5078	-0,50	0,5553	-0,06	NA	-0,53	0,5586	-0,60	0,3369
Trrap	332,92	-0,71	0,0000	-0,41	0,0699	0,03	1,0000	0,58	0,0062	1,11	0,0000	-0,29	0,4430	0,22	0,6063	0,99	0,0000	1,49	0,0000
Trub1	12,64	-0,16	0,8333	0,23	0,7779	-0,07	NA	0,03	0,9860	-0,70	0,2062	0,09	0,9444	0,25	NA	-0,13	0,9416	-0,77	0,2382
Trub2	54,44	0,21	0,5733	-0,12	0,8325	-0,06	1,0000	-0,15	0,9121	-0,17	0,6421	-0,10	0,9049	0,03	0,9692	-0,26	0,7341	-0,40	0,2663
Tsacc	5,08	-0,03	0,9744	-0,52	0,4377	-0,17	NA	-0,21	NA	0,89	0,1022	0,08	0,9525	0,00	NA	-0,05	NA	0,46	0,5532
Tsc1	124,32	-0,19	0,4947	-0,34	0,2344	-0,10	1,0000	-0,06	0,9701	0,07	0,8180	-0,37	0,3860	0,02	0,9765	0,11	0,9074	0,29	0,2653
Tsc2	201,18	-0,28	0,2784	0,20	0,5670	0,06	1,0000	0,34	0,4092	0,86	0,0000	0,00	0,9957	-0,04	0,9522	0,44	0,1989	0,97	0,0000
Tsc22d1	374,01	0,28	0,1599	-0,16	0,5662	-0,09	1,0000	0,15	0,8121	0,57	0,0002	0,28	0,4223	0,07	0,9042	0,21	0,6658	0,52	0,0086
Tsc22d2	345,37	0,63	0,0012	-0,21	0,5603	-0,05	1,0000	0,14	0,8977	0,78	0,0002	-0,89	0,0002	-0,65	0,0108	-0,60	0,0227	0,30	0,3836
Tsc22d3	81,66	0,11	0,8259	0,27	0,4422	0,17	1,0000	0,21	0,8022	0,15	0,6276	0,04	0,9601	-0,38	0,4936	-0,22	0,8122	-0,28	0,5482
Tsc22d4	111,98	-0,23	0,5295	0,07	0,8801	0,09	1,0000	0,25	0,6518	0,38	0,2769	-0,01	0,9882	0,03	0,9728	0,43	0,4224	0,49	0,3304
Tsen15	13,72	0,62	0,1851	0,41	0,5362	0,19	NA	0,42	0,6234	0,38	0,4929	0,27	0,7645	-0,13	NA	0,12	0,9444	-0,17	0,8043
Tsen2	8,63	-0,01	0,9948	0,30	0,6981	-0,02	NA	-0,21	0,8966	0,16	0,8219	0,16	0,8914	-0,12	NA	-0,11	0,9558	0,35	0,6114

GeneID	CTL	ET-1 vs CTL		SAHA vs CTL		JS28 vs CTL		BSP vs CTL		JQ1 vs CTL		ET-1+SAHA vs ET1		ET-1+JS28 vs ET1		ET-1+BSP vs ET1		ET-1+JQ1 vs ET1	
	mean	log2(FC)	P-adj	log2(FC)	P-adj	log2(FC)	P-adj	log2(FC)	P-adj	log2(FC)	P-adj	log2(FC)	P-adj	log2(FC)	P-adj	log2(FC)	P-adj	log2(FC)	P-adj
Tsen34	39,45	0,10	0,8620	0,05	0,9499	0,03	1,0000	0,12	0,9555	-0,10	0,8475	0,02	0,9871	-0,41	0,4866	-0,03	0,9915	-0,09	0,8627
Tsen54	18,05	0,54	0,2078	0,64	0,1946	0,21	NA	0,36	0,6955	1,03	0,0037	0,17	0,8532	-0,40	NA	0,07	0,9730	0,18	0,7580
Tsfn	10,41	0,39	0,5326	0,54	0,3811	0,04	NA	0,05	0,9853	0,32	0,6243	0,03	0,9822	-0,39	NA	0,04	0,9911	-0,21	0,7813
Tsg101	133,29	0,14	0,6791	-0,27	0,4417	-0,17	1,0000	-0,06	0,9723	0,16	0,5703	-0,19	0,7355	-0,12	0,8503	-0,17	0,8285	-0,11	0,7789
Tsga10	5,31	-0,34	0,6459	0,58	0,3682	0,12	NA	0,25	0,8500	0,58	0,3431	0,54	0,5393	0,63	NA	0,65	0,4340	0,96	0,1192
Tshz1	187,26	-0,40	0,0853	-0,75	0,0012	-0,16	1,0000	-0,27	0,6103	-0,38	0,1190	-0,38	0,3496	-0,24	0,6098	-0,06	0,9551	-0,16	0,6406
Tshz3	13,25	0,40	0,4802	0,65	0,2281	0,00	NA	0,22	0,8938	0,04	0,9578	0,24	0,8044	0,01	NA	-0,42	0,6796	0,01	0,9921
Tsix	2,01	0,34	NA	-0,16	0,8073	0,06	NA	0,00	NA	-0,42	NA	-0,27	0,7905	-0,09	NA	0,06	NA	-0,67	0,3493
Tsku	6,77	0,53	0,3857	0,51	0,4505	0,06	NA	-0,09	NA	-0,29	0,7035	0,48	0,5838	-0,01	NA	-0,25	0,8638	-0,64	0,3386
Tslp	1,58	0,11	NA	0,22	0,7691	0,05	NA	-0,09	NA	-0,33	NA	0,20	0,8576	-0,14	NA	-0,08	NA	-0,03	0,9806
Tsn	106,08	-0,03	0,9580	-0,31	0,3509	-0,14	1,0000	-0,18	0,8465	-0,27	0,4137	0,08	0,9247	0,01	0,9963	-0,07	0,9606	-0,15	0,7756
Tspan12	128,99	0,37	0,0982	-0,78	0,0015	0,00	1,0000	0,02	0,9866	-0,03	0,9500	-0,76	0,0108	0,16	0,7460	0,06	0,9494	0,12	0,7556
Tspan13	22,85	-0,18	0,7645	0,84	0,0152	-0,26	NA	0,17	0,9158	0,25	0,5842	1,56	0,0000	0,04	NA	0,11	0,9483	0,51	0,3320
Tspan14	20,47	-0,42	0,3596	0,01	0,9946	-0,04	NA	0,10	0,9676	0,60	0,0883	0,38	0,6322	0,37	NA	0,29	0,8037	1,30	0,0002
Tspan17	8,65	0,17	0,8271	0,71	0,1946	0,16	NA	-0,08	0,9769	-0,32	0,6558	0,39	0,6817	0,12	NA	-0,18	0,9179	-0,83	0,2001
Tspan18	53,13	-0,04	0,9580	0,23	0,7429	0,52	0,5240	0,80	0,0606	0,84	0,0344	0,23	0,7667	0,88	0,0275	1,02	0,0074	0,84	0,0876
Tspan2	30,77	0,74	0,0341	0,81	0,0334	0,28	NA	-0,82	0,0698	-0,70	0,1190	0,32	0,6329	-0,05	0,9634	-0,78	0,1274	-1,14	0,0022
Tspan3	182,70	-0,20	0,5213	-0,14	0,7183	0,09	1,0000	0,17	0,8378	-0,38	0,0940	0,50	0,1447	0,45	0,2178	0,39	0,3510	-0,10	0,7707
Tspan31	75,80	0,02	0,9753	0,42	0,1611	-0,01	1,0000	0,27	0,6740	0,79	0,0001	0,52	0,2564	0,08	0,9206	0,48	0,3627	0,94	0,0029
Tspan33	1,23	-0,04	NA	0,57	0,3216	0,01	NA	0,00	NA	-0,29	NA	0,75	0,2920	0,04	NA	0,04	NA	-0,10	NA
Tspan4	33,01	-0,48	0,1634	-0,36	0,4366	-0,10	1,0000	-0,68	0,1107	-0,56	0,1087	-0,01	0,9957	-0,04	0,9678	-0,39	0,6651	0,27	0,5986
Tspan5	12,15	0,03	0,9692	0,29	0,6990	0,05	NA	0,35	0,7246	0,99	0,0154	0,21	0,8443	-0,06	NA	0,53	0,5276	1,32	0,0012
Tspan6	12,23	-0,08	0,9180	-0,22	0,7855	0,05	NA	-0,19	0,9158	-1,20	0,0175	0,01	0,9965	0,21	NA	-0,85	0,2163	-0,93	0,1114
Tspan7	79,57	-0,38	0,2369	0,14	0,7486	0,02	1,0000	0,29	0,5973	0,51	0,0295	0,55	0,2258	0,12	0,8813	0,43	0,4614	0,87	0,0152
Tspan9	135,79	0,33	0,4950	0,18	0,7882	-0,13	1,0000	-0,31	0,7443	-0,30	0,4737	0,02	0,9818	-0,45	0,3758	-0,24	0,7864	-0,59	0,1414
Tspo	1,49	0,30	NA	0,28	0,6603	0,11	NA	0,03	NA	0,07	0,9284	0,56	0,5019	-0,03	NA	-0,23	NA	-0,19	0,8341
Tspyl1	199,34	-0,02	0,9485	-0,07	0,8773	-0,07	1,0000	0,01	0,9901	0,43	0,0143	0,08	0,8874	0,12	0,8232	0,13	0,8597	0,55	0,0058
Tspyl2	58,89	0,11	0,8382	-0,12	0,8325	-0,01	1,0000	-0,07	0,9737	0,44	0,1359	-0,53	0,3527	-0,20	0,8009	-0,39	0,6122	0,00	0,9967
Tspyl4	75,51	0,39	0,4070	0,20	0,7158	-0,28	1,0000	-0,12	0,9501	0,36	0,2852	-0,27	0,7223	-0,59	0,2799	-0,50	0,4651	0,09	0,8842
Tspyl5	7,94	0,20	0,8040	0,63	0,2871	0,32	NA	0,18	0,9264	0,27	0,7046	0,36	0,7209	-0,18	NA	-0,15	0,9347	0,13	0,8865
Tsr1	102,07	0,75	0,0003	-0,38	0,2781	-0,13	1,0000	0,06	0,9779	0,18	0,5660	-0,99	0,0010	-0,72	0,0248	-0,86	0,0043	-0,59	0,0418
Tsr2	28,38	-0,20	0,7134	-0,73	0,0726	-0,60	NA	-0,22	0,8681	-0,34	0,4318	-0,37	0,6466	-0,20	0,8246	-0,04	0,9862	0,14	0,8161
Tsr3	15,91	0,32	0,5673	0,06	0,9550	-0,09	NA	-0,18	0,9213	-0,11	0,8758	-0,38	0,6561	-0,58	NA	-0,64	0,3917	-0,15	0,8159
Tssc1	9,24	0,19	0,8011	-0,45	0,5167	-0,09	NA	0,05	0,9853	-0,23	0,7531	-0,22	0,8466	-0,22	NA	-0,23	0,8833	-0,65	0,3433
Tssc4	19,77	-0,15	0,8148	0,26	0,6875	-0,06	NA	-0,48	0,5034	0,11	0,8421	0,15	0,8905	-0,26	NA	-0,48	0,6122	0,53	0,3316
Tsta3	15,74	0,09	0,9129	0,33	0,6607	-0,10	NA	0,13	0,9563	0,05	0,9488	0,30	0,7369	-0,25	NA	0,28	0,8152	-0,22	0,7309
Tstd2	61,57	0,17	0,7876	-0,25	0,7087	-0,12	1,0000	-0,13	0,9555	0,07	0,8963	0,07	0,9393	0,03	0,9780	-0,32	0,6935	-0,02	0,9778
Tstd3	32,71	0,24	0,6454	0,76	0,0332	0,22	1,0000	-0,21	0,8797	-1,02	0,0062	0,88	0,0467	0,36	0,5736	0,07	0,9680	-0,93	0,0342
Ttbk2	98,39	-0,07	0,8667	0,23	0,5044	-0,02	1,0000	0,10	0,9417	0,41	0,0798	0,32	0,4820	0,08	0,9099	0,18	0,8203	0,42	0,1975
Ttc1	131,87	0,13	0,6931	0,38	0,1663	0,33	0,8061	0,18	0,8318	0,27	0,3084	-0,03	0,9721	0,00	0,9963	0,11	0,9065	-0,03	0,9528
Ttc12	38,09	-0,56	0,1355	0,91	0,0014	0,42	0,7608	-0,04	0,9853	-0,66	0,0559	1,54	0,0000	1,05	0,0072	0,34	0,7070	-0,08	0,9111
Ttc13	81,85	0,09	0,8323	-0,07	0,9057	0,09	1,0000	0,21	0,8369	0,43	0,1141	0,04	0,9572	0,05	0,9444	0,32	0,5606	0,48	0,0565
Ttc14	100,66	-0,24	0,4758	0,28	0,4535	0,10	1,0000	0,40	0,3680	0,07	0,8469	0,28	0,5667	0,60	0,0745	0,46	0,2638	-0,03	0,9566
Ttc17	88,21	-0,18	0,6247	0,35	0,3094	0,09	1,0000	0,22	0,7928	0,30	0,3011	0,43	0,2974	0,31	0,5014	0,49	0,2234	0,62	0,0080
Ttc19	77,80	0,03	0,9463	-0,30	0,4413	-0,23	1,0000	0,40	0,3910	0,36	0,1847	-0,17	0,7909	0,24	0,6517	0,47	0,2771	0,45	0,2454

GeneID	CTL	ET-1 vs CTL		SAHA vs CTL		JS28 vs CTL		BSP vs CTL		JQ1 vs CTL		ET-1+SAHA vs ET1		ET-1+JS28 vs ET1		ET-1+BSP vs ET1		ET-1+JQ1 vs ET1	
	mean	log2(FC)	P-adj	log2(FC)	P-adj	log2(FC)	P-adj	log2(FC)	P-adj	log2(FC)	P-adj	log2(FC)	P-adj	log2(FC)	P-adj	log2(FC)	P-adj	log2(FC)	P-adj
Ttc21b	53,62	-0,32	0,3332	0,47	0,1553	0,02	1,0000	-0,25	0,7773	-0,88	0,0023	0,53	0,2374	0,58	0,1653	-0,01	0,9957	-0,54	0,1220
Ttc23	43,16	-0,02	0,9777	0,13	0,8332	0,04	1,0000	-0,23	0,8395	-1,49	0,0000	-0,08	0,9343	0,32	0,5850	-0,05	0,9800	-1,04	0,0057
Ttc25	2,48	-0,67	0,2329	-0,15	0,8703	-0,13	NA	-0,02	NA	-0,59	0,3659	0,55	NA	-0,03	NA	-0,05	NA	0,05	NA
Ttc26	12,72	-0,03	0,9742	0,77	0,1097	0,01	NA	-0,47	0,5470	-0,46	0,4226	0,90	0,1181	0,11	NA	-0,14	0,9397	-0,67	0,3028
Ttc27	26,60	0,05	0,9431	-0,07	0,9290	0,02	NA	-0,14	0,9430	-0,70	0,0932	0,10	0,9201	-0,03	0,9776	-0,44	0,6007	-0,53	0,2562
Ttc28	103,71	-0,15	0,6720	-0,27	0,4148	0,17	1,0000	-0,42	0,2674	-0,16	0,6224	-0,59	0,1376	-0,14	0,8371	-0,16	0,8511	-0,24	0,5359
Ttc3	629,69	-0,42	0,0077	0,01	0,9783	-0,10	1,0000	0,30	0,3116	0,47	0,0067	0,31	0,3948	0,29	0,3798	0,56	0,0152	0,72	0,0014
Ttc30a1	4,32	-0,64	0,2801	-0,20	0,8325	-0,29	NA	-0,40	NA	-1,23	0,0274	0,21	0,8484	0,26	NA	-0,16	NA	-0,41	0,6225
Ttc30b	13,38	-0,51	0,3365	0,00	0,9975	0,05	NA	-0,04	0,9853	-0,41	0,4540	0,52	0,5101	0,46	NA	0,22	0,8833	-0,68	0,2977
Ttc32	3,99	0,02	0,9813	-0,60	0,3118	-0,02	NA	-0,02	NA	-0,14	0,8672	-0,19	0,8689	-0,01	NA	0,03	NA	-0,44	0,6008
Ttc33	58,68	-0,41	0,1410	-0,21	0,6372	0,06	1,0000	0,05	0,9823	-0,48	0,1171	0,31	0,5994	0,41	0,3980	0,26	0,7468	-0,20	0,7007
Ttc37	65,77	0,12	0,7778	0,35	0,3009	0,20	1,0000	-0,06	0,9794	-0,42	0,1471	-0,04	0,9629	0,10	0,9042	-0,19	0,8412	-0,54	0,2396
Ttc38	7,10	-0,43	0,5095	0,06	0,9617	-0,01	NA	-0,33	0,7521	-1,17	0,0320	0,28	0,8020	0,20	NA	0,09	0,9659	-0,45	0,5710
Ttc39a	42,26	-0,06	0,9177	0,01	0,9915	0,14	1,0000	-0,05	0,9853	-0,65	0,0632	-0,27	0,7064	-0,31	0,6277	-0,29	0,7374	-0,98	0,0082
Ttc39b	52,42	0,66	0,0387	0,47	0,2709	0,22	1,0000	-0,07	0,9794	-0,23	0,5964	0,23	0,7231	-0,06	0,9406	-0,52	0,3398	-0,58	0,1004
Ttc39c	8,59	-0,32	0,6465	-0,05	0,9705	-0,02	NA	-0,08	0,9753	-0,68	0,2394	0,45	0,6350	-0,20	NA	0,13	0,9445	-0,56	0,4483
Ttc39d	2,32	-0,12	0,8903	0,16	0,8628	-0,02	NA	0,07	NA	0,03	0,9714	0,02	NA	-0,09	NA	-0,11	NA	-0,55	NA
Ttc4	58,80	-0,11	0,8191	0,22	0,6374	0,18	1,0000	0,11	0,9482	-0,20	0,5821	0,17	0,8060	0,09	0,9142	0,18	0,8597	0,01	0,9923
Ttc5	36,27	-0,38	0,3719	0,25	0,6291	0,13	1,0000	-0,20	0,8761	-0,11	0,8072	0,28	0,7294	0,18	0,8390	0,30	0,7577	0,04	0,9562
Ttc7	10,65	0,13	0,8634	0,20	0,8210	-0,05	NA	0,38	0,6887	1,08	0,0072	-0,02	0,9869	-0,34	NA	0,28	0,8369	0,73	0,1394
Ttc7b	98,54	0,19	0,5273	-0,17	0,6964	0,10	1,0000	-0,10	0,9472	-0,37	0,1803	-0,28	0,5610	-0,17	0,7591	-0,38	0,4478	-0,56	0,0423
Ttc8	26,06	-0,44	0,2963	0,12	0,8621	0,24	1,0000	0,16	0,9211	-0,76	0,0428	0,59	0,3584	0,38	0,5851	0,14	0,9249	-0,18	0,7769
Ttc9	1,08	0,26	NA	0,22	NA	0,02	NA	-0,09	NA	0,05	NA	-0,03	NA	-0,15	NA	-0,09	NA	-0,16	NA
Ttc9c	79,37	-0,21	0,6320	-0,32	0,3825	-0,24	1,0000	-0,30	0,6334	0,00	0,9926	-0,32	0,6184	-0,18	0,8129	-0,23	0,8044	0,05	0,9288
Ttf1	28,67	-0,39	0,3459	-0,12	0,8676	-0,23	NA	-0,03	0,9853	0,07	0,8942	-0,28	0,7483	-0,02	0,9858	0,20	0,8722	0,34	0,4798
Ttf2	30,01	-0,34	0,4222	0,17	0,7807	-0,02	1,0000	-0,46	0,4844	-0,98	0,0068	-0,08	0,9394	0,12	0,8987	-0,38	0,6790	-0,92	0,0372
Tti1	68,53	-0,19	0,6391	0,11	0,8333	0,19	1,0000	0,23	0,7688	0,40	0,1164	0,27	0,6586	0,13	0,8558	0,27	0,7206	0,39	0,2385
Tti2	36,77	0,13	0,7888	0,30	0,5314	-0,03	1,0000	-0,06	0,9805	-0,02	0,9749	0,14	0,8641	-0,05	0,9622	-0,32	0,7067	-0,22	0,6454
Ttk	2,10	-0,14	NA	0,03	0,9818	0,02	NA	0,21	NA	0,07	0,9393	-0,38	NA	0,15	NA	0,06	NA	-0,05	0,9681
Ttl	28,09	0,00	0,9949	0,14	0,8391	-0,03	NA	-0,19	0,9000	-0,13	0,7871	0,17	0,8493	0,23	0,7609	-0,17	0,9058	0,24	0,6321
Ttl1	47,45	-0,13	0,7700	0,09	0,8790	0,19	1,0000	0,03	0,9853	0,53	0,0467	0,50	0,3059	0,32	0,5907	0,21	0,8262	0,56	0,0900
Ttl11	6,14	1,18	0,0117	0,77	0,1799	0,02	NA	0,39	NA	0,83	0,1691	-0,17	0,8877	-0,58	NA	-0,27	0,8485	0,07	0,9335
Ttl12	45,77	0,10	0,8323	0,24	0,6403	-0,13	1,0000	-0,04	0,9853	0,55	0,0541	0,09	0,9101	-0,33	0,5753	-0,26	0,7668	0,60	0,0509
Ttl3	2,74	0,49	0,4420	0,68	0,2437	0,02	NA	0,19	NA	0,87	0,1550	-0,02	0,9919	0,08	NA	0,14	NA	0,34	0,6753
Ttl4	38,16	-0,08	0,8909	-0,05	0,9546	-0,13	1,0000	-0,36	0,6430	0,12	0,8005	-0,41	0,5294	-0,50	0,3981	-0,30	0,7409	-0,01	0,9834
Ttl5	42,00	-0,37	0,3115	0,59	0,0554	-0,06	1,0000	0,09	0,9634	0,10	0,8269	0,61	0,2089	0,14	0,8687	0,38	0,6042	0,72	0,0391
Ttl7	57,65	0,20	0,6614	0,59	0,0902	-0,01	1,0000	0,26	0,7796	0,32	0,3431	0,45	0,3453	-0,18	0,8140	-0,16	0,8793	0,05	0,9381
Ttn	45316,59	0,02	0,9851	-0,53	0,3748	-0,43	0,7942	-0,24	0,8671	-0,77	0,0894	-0,85	0,2116	-0,23	0,8155	0,09	0,9619	-0,35	0,5018
Ttpal	36,93	0,06	0,9118	0,50	0,1715	0,27	1,0000	0,40	0,5124	0,42	0,2296	0,30	0,6619	0,06	0,9458	0,26	0,7864	0,55	0,1595
Ttyh1	8,91	0,43	0,4976	0,48	0,4725	0,06	NA	-0,29	NA	-0,76	0,2120	0,11	0,9325	-0,26	NA	-0,59	0,5036	-0,78	0,2344
Ttyh2	14,27	-0,59	0,2130	1,89	0,0000	0,49	NA	0,40	0,6195	0,19	0,7251	1,65	0,0002	0,54	NA	0,52	0,5726	0,43	0,4998
Ttyh3	39,05	-0,51	0,1351	-0,11	0,8657	0,07	1,0000	0,18	0,8917	0,76	0,0284	-0,13	0,8936	0,03	0,9763	0,36	0,6586	1,01	0,0170
Tuba1a	301,28	0,08	0,8411	-0,14	0,7174	-0,68	0,0066	-0,16	0,8420	0,36	0,0670	-0,04	0,9512	-0,45	0,2196	-0,07	0,9492	0,35	0,2030
Tuba1b	223,78	0,82	0,0000	-0,08	0,8476	-0,12	1,0000	0,36	0,2633	0,68	0,0000	-0,47	0,2175	-0,65	0,0448	-0,36	0,4102	0,05	0,9150
Tuba1c	41,52	0,48	0,2684	0,29	0,5676	-0,23	1,0000	-0,33	0,7079	0,48	0,1596	0,46	0,4482	-0,33	0,6355	-0,34	0,7168	-0,06	0,9329

GeneID	CTL	ET-1 vs CTL		SAHA vs CTL		JS28 vs CTL		BSP vs CTL		JQ1 vs CTL		ET-1+SAHA vs ET1		ET-1+JS28 vs ET1		ET-1+BSP vs ET1		ET-1+JQ1 vs ET1	
	mean	log2(FC)	P-adj	log2(FC)	P-adj	log2(FC)	P-adj	log2(FC)	P-adj	log2(FC)	P-adj	log2(FC)	P-adj	log2(FC)	P-adj	log2(FC)	P-adj	log2(FC)	P-adj
Tuba4a	93,28	0,27	0,4276	0,77	0,0100	0,16	1,0000	0,56	0,1543	0,88	0,0010	0,56	0,0849	-0,06	0,9334	0,43	0,2736	0,46	0,0660
Tuba8	3,67	0,20	0,8099	0,72	0,2210	0,27	NA	0,44	NA	0,05	0,9580	0,71	0,3570	0,27	NA	0,51	0,6069	0,07	0,9440
Tubb2a	23,42	1,88	0,0000	1,41	0,0006	0,04	NA	-0,02	0,9901	0,17	0,8141	0,14	0,8557	-1,04	0,0135	-1,17	0,0063	-0,81	0,0633
Tubb2b	27,83	0,85	0,0402	0,98	0,0213	-0,36	NA	-0,56	0,3898	-0,46	0,4091	0,40	0,5446	-1,02	0,0316	-1,30	0,0046	-1,24	0,0042
Tubb3	28,92	1,76	0,0000	0,53	0,3726	-0,42	NA	-0,46	0,5731	0,22	0,7600	-1,29	0,0019	-2,52	0,0000	-2,42	0,0000	-1,25	0,0085
Tubb4a	4,89	-0,06	0,9509	1,88	0,0000	0,48	NA	0,20	NA	-0,12	0,8827	1,34	0,0196	0,51	NA	0,32	0,8100	0,03	0,9818
Tubb4b	302,75	0,57	0,0233	-0,31	0,3250	-0,38	0,6015	0,54	0,0531	0,86	0,0000	-0,62	0,0709	-0,52	0,1628	0,21	0,7645	0,52	0,0746
Tubb5	1021,02	0,24	0,3032	0,06	0,8520	-0,08	1,0000	0,24	0,5133	0,35	0,0388	-0,01	0,9934	-0,32	0,3853	0,07	0,9315	0,14	0,6124
Tubb6	48,74	1,76	0,0000	0,56	0,2849	-0,22	NA	0,46	0,5460	0,87	0,0173	-0,67	0,1448	-1,14	0,0020	-0,21	0,8339	-0,38	0,3609
Tubd1	19,26	-0,29	0,5965	0,31	0,6123	0,08	NA	0,21	0,8875	0,25	0,6052	0,80	0,1448	0,38	NA	0,10	0,9570	0,53	0,2753
Tube1	1,85	0,13	NA	0,33	0,6361	-0,04	NA	-0,04	NA	-0,01	0,9952	0,16	0,8888	0,03	NA	0,14	NA	-0,08	0,9392
Tubg1	52,87	0,02	0,9761	0,53	0,1429	-0,06	1,0000	0,03	0,9860	0,67	0,0179	0,10	0,9004	-0,09	0,9144	0,26	0,7393	0,68	0,0251
Tubgcp2	52,52	-0,07	0,8962	-0,16	0,7686	-0,05	1,0000	0,00	0,9986	0,21	0,5727	-0,14	0,8572	0,04	0,9634	0,06	0,9648	0,03	0,9529
Tubgcp3	84,88	-0,28	0,3868	-0,05	0,9382	0,16	1,0000	-0,27	0,7006	-0,16	0,6530	0,15	0,8297	0,08	0,9199	0,11	0,9191	0,00	0,9988
Tubgcp4	64,19	-0,35	0,2080	0,08	0,8855	-0,19	1,0000	0,01	0,9932	-0,32	0,2555	0,20	0,7597	0,14	0,8492	-0,03	0,9911	-0,12	0,7839
Tubgcp5	51,35	-0,34	0,2979	-0,28	0,5461	-0,03	1,0000	-0,23	0,8147	-0,34	0,3184	-0,13	0,8781	0,40	0,4453	0,18	0,8601	-0,21	0,6642
Tubgcp6	29,83	-0,26	0,5708	0,33	0,4835	-0,10	1,0000	0,35	0,6197	0,37	0,2847	0,40	0,5580	-0,13	0,8988	0,41	0,5997	0,20	0,7130
Tufm	61,89	0,20	0,6522	0,49	0,1193	-0,16	1,0000	0,00	0,9988	-0,32	0,3150	0,30	0,6420	-0,32	0,6078	-0,25	0,7874	-0,19	0,6810
Tuft1	1,13	0,20	NA	0,42	0,4602	0,03	NA	-0,02	NA	0,19	0,7887	0,14	NA	-0,06	NA	-0,23	NA	-0,38	NA
Tug1	473,69	-0,02	0,9605	-0,29	0,2747	0,08	1,0000	0,12	0,9015	0,05	0,8484	-0,03	0,9606	0,42	0,1495	0,11	0,8787	0,13	0,7283
Tulp3	13,46	0,13	0,8596	0,40	0,5112	-0,04	NA	0,09	0,9741	0,43	0,3982	0,21	0,8392	-0,12	NA	-0,12	0,9471	0,19	0,7709
Tulp4	249,89	0,17	0,5032	-0,06	0,8782	0,05	1,0000	0,03	0,9853	0,47	0,0042	-0,13	0,8044	-0,11	0,8354	-0,28	0,5167	0,29	0,2192
Tusc1	9,13	0,14	0,8538	-1,31	0,0057	-0,04	NA	0,03	0,9860	0,05	0,9532	-0,84	0,2400	-0,20	NA	-0,19	0,9074	-0,18	0,8184
Tusc2	30,98	0,25	0,6247	-0,17	0,8099	-0,09	NA	0,15	0,9301	0,80	0,0173	0,17	0,8461	-0,39	0,5602	0,34	0,6814	0,91	0,0209
Tusc3	146,25	-0,22	0,3835	0,03	0,9577	-0,07	1,0000	0,36	0,2837	0,26	0,2985	0,66	0,0204	0,07	0,9089	0,54	0,0867	0,28	0,3459
Tut1	19,22	0,36	0,4691	-0,02	0,9822	-0,02	NA	-0,17	0,9269	0,33	0,4887	-0,41	0,6035	-0,30	NA	-0,53	0,5075	-0,27	0,6333
Tvp23a	1,57	-0,15	NA	-0,06	0,9505	-0,12	NA	-0,19	NA	0,29	0,6975	0,44	NA	0,02	NA	-0,11	NA	0,71	0,3277
Tvp23b	41,64	0,16	0,7697	-0,05	0,9499	0,09	1,0000	0,35	0,6103	-0,34	0,3518	-0,14	0,8745	-0,22	0,7798	-0,07	0,9713	-0,42	0,3798
Twf1	85,80	-0,01	0,9901	-0,24	0,5708	0,02	1,0000	0,20	0,8318	0,10	0,7994	-0,25	0,6501	0,05	0,9534	-0,02	0,9911	0,05	0,9323
Twf2	35,41	-0,06	0,9141	0,62	0,0751	-0,03	1,0000	-0,16	0,9211	-0,45	0,2526	0,70	0,1115	-0,55	0,3309	-0,02	0,9931	-0,24	0,6090
Twist1	12,46	0,10	0,9002	0,03	0,9780	-0,06	NA	-0,04	0,9853	-0,02	0,9785	0,04	0,9742	-0,01	NA	-0,25	0,8577	-0,29	0,6761
Twistnb	32,57	0,43	0,2621	0,34	0,5248	0,18	NA	0,20	0,8917	-0,34	0,4853	0,17	0,8298	0,21	0,7650	-0,23	0,8285	-0,40	0,3595
Twsg1	171,86	-0,16	0,6790	-0,44	0,1467	0,01	1,0000	0,28	0,6218	0,37	0,1685	-0,05	0,9401	0,29	0,5078	0,36	0,4297	0,30	0,4873
Txlna	84,39	0,03	0,9431	-0,35	0,2817	0,12	1,0000	0,00	0,9980	0,20	0,4823	-0,50	0,2307	-0,13	0,8492	-0,02	0,9918	0,34	0,2430
Txlnb	871,08	-0,23	0,4233	-0,94	0,0000	-0,16	1,0000	-0,30	0,3800	-1,36	0,0000	-0,72	0,0110	0,40	0,2728	0,07	0,9414	-0,85	0,0003
Txlng	42,42	-0,13	0,7949	0,26	0,5845	-0,06	1,0000	0,05	0,9835	-0,30	0,4135	0,27	0,7027	0,25	0,7100	-0,06	0,9758	-0,11	0,8611
Txn1	47,14	0,32	0,4185	0,24	0,6698	-0,07	1,0000	0,38	0,5973	0,42	0,2759	0,60	0,1470	-0,08	0,9234	-0,11	0,9267	-0,02	0,9797
Txn2	51,74	0,50	0,1060	-0,28	0,5994	-0,07	1,0000	-0,04	0,9853	0,40	0,2795	-0,37	0,5028	-0,46	0,3484	-0,06	0,9625	-0,13	0,7719
Txndc11	22,28	0,22	0,7389	-0,41	0,5099	0,05	NA	-0,08	0,9769	0,08	0,8932	-0,18	0,8669	-0,12	0,9089	-0,13	0,9416	-0,06	0,9391
Txndc12	92,46	0,98	0,0000	-0,17	0,7616	-0,24	1,0000	-0,37	0,5897	-0,34	0,3218	-0,48	0,2135	-0,72	0,0282	-0,89	0,0037	-0,82	0,0028
Txndc15	57,16	-0,10	0,8128	-0,56	0,0844	0,16	1,0000	-0,07	0,9702	-1,08	0,0001	-0,04	0,9667	0,26	0,6734	-0,42	0,5140	-1,08	0,0008
Txndc16	58,85	-0,72	0,0122	0,62	0,0554	0,28	1,0000	0,55	0,1845	0,55	0,0588	1,21	0,0003	0,94	0,0060	1,30	0,0000	1,21	0,0000
Txndc17	75,63	-0,16	0,7534	-0,03	0,9729	-0,18	1,0000	-0,05	0,9817	-0,65	0,0502	0,38	0,5012	-0,04	0,9664	0,20	0,8446	-0,51	0,2018
Txndc5	125,10	0,16	0,6522	-0,39	0,2386	0,18	1,0000	0,04	0,9853	0,09	0,8057	-0,35	0,4016	-0,02	0,9754	-0,06	0,9602	-0,10	0,7769
Txndc9	66,29	0,16	0,7139	-0,22	0,6418	0,03	1,0000	0,30	0,6424	0,15	0,7017	0,03	0,9714	0,21	0,7390	0,02	0,9918	0,14	0,7881

GeneID	CTL	ET-1 vs CTL		SAHA vs CTL		JS28 vs CTL		BSP vs CTL		JQ1 vs CTL		ET-1+SAHA vs ET1		ET-1+JS28 vs ET1		ET-1+BSP vs ET1		ET-1+JQ1 vs ET1	
	mean	log2(FC)	P-adj	log2(FC)	P-adj	log2(FC)	P-adj	log2(FC)	P-adj	log2(FC)	P-adj	log2(FC)	P-adj	log2(FC)	P-adj	log2(FC)	P-adj	log2(FC)	P-adj
Txnip	537,44	-0,53	0,0890	0,42	0,4950	0,28	1,0000	-0,02	0,9925	0,35	0,3220	0,59	0,0108	0,19	0,6353	0,07	0,9264	0,71	0,0023
Txn1	107,08	0,42	0,0757	-0,07	0,8844	-0,13	1,0000	-0,25	0,7021	0,03	0,9287	-0,50	0,1896	-0,29	0,5436	-0,21	0,7668	-0,22	0,5482
Txn14a	96,61	0,20	0,4985	0,43	0,1044	0,15	1,0000	0,10	0,9454	0,27	0,3233	0,28	0,5399	-0,07	0,9219	0,07	0,9483	0,15	0,6334
Txn14b	17,46	-0,15	0,8334	-0,76	0,1508	0,04	NA	-0,37	0,7022	-1,59	0,0007	-0,65	0,3682	-0,07	NA	-0,05	0,9854	-1,29	0,0197
Txnrd1	144,89	0,47	0,1171	0,16	0,6988	-0,09	1,0000	0,38	0,3423	0,81	0,0002	-0,27	0,6395	-0,29	0,5905	-0,12	0,9074	0,49	0,1989
Txnrd2	11,27	-0,36	0,5552	-0,89	0,0839	-0,25	NA	-0,34	0,7444	-0,62	0,2646	-0,45	0,6358	0,16	NA	0,38	0,7301	-0,40	0,5891
Txnrd3	24,97	0,06	0,9225	0,45	0,3283	0,08	NA	0,50	0,3835	0,54	0,1164	0,10	0,9305	-0,05	0,9661	0,44	0,5640	0,80	0,0295
Tyk2	45,68	-0,95	0,0005	-0,11	0,8542	-0,20	1,0000	-0,38	0,5477	0,11	0,7924	0,17	0,8458	0,31	0,6445	0,35	0,6688	0,61	0,1063
Tyms	3,40	-0,11	0,9018	0,25	0,7713	-0,05	NA	0,27	NA	0,60	0,3585	0,62	0,4453	0,27	NA	0,27	NA	0,57	0,4575
Tyro3	4,09	-0,33	0,6579	0,94	0,0723	-0,10	NA	-0,21	NA	-0,15	0,8592	0,86	0,2312	-0,07	NA	0,01	NA	0,33	0,6988
Tysnd1	6,45	-0,33	0,6487	-0,46	0,5149	0,03	NA	-0,07	0,9798	0,09	0,9096	-0,04	0,9794	0,19	NA	0,31	0,8203	0,31	0,7046
Tyw1	40,33	-0,17	0,7391	-0,02	0,9845	-0,03	1,0000	0,00	0,9986	0,00	0,9981	-0,05	0,9629	-0,01	0,9948	-0,27	0,7891	-0,06	0,9254
Tyw3	10,21	0,07	0,9357	-0,44	0,5329	-0,12	NA	-0,19	0,9178	0,08	0,9111	-0,07	0,9566	0,01	NA	-0,24	0,8666	-0,27	0,7040
Tyw5	10,16	0,32	0,6140	0,09	0,9317	-0,04	NA	-0,12	0,9628	-1,08	0,0496	-0,38	0,6909	-0,23	NA	-0,16	0,9238	-1,54	0,0052
U2af1	32,51	0,17	0,7894	-0,22	0,7377	-0,01	NA	-0,03	0,9855	-0,23	0,6319	-0,09	0,9363	-0,01	0,9916	-0,15	0,9179	-0,41	0,4467
U2af114	16,89	0,23	0,7071	-0,40	0,5390	-0,05	NA	-0,09	0,9741	-0,04	0,9564	-0,42	0,6082	-0,01	NA	-0,30	0,8018	-1,26	0,0111
U2af2	103,16	0,07	0,8349	-0,32	0,2919	-0,03	1,0000	0,06	0,9745	0,71	0,0001	-0,57	0,1166	-0,38	0,3895	-0,03	0,9842	0,63	0,0228
U2surp	202,49	-0,16	0,5832	0,18	0,5919	0,05	1,0000	0,07	0,9618	0,03	0,9370	0,34	0,3553	0,38	0,2875	0,10	0,9065	0,07	0,8648
Uaca	49,22	0,24	0,5673	0,71	0,0222	0,13	1,0000	-0,06	0,9827	-0,75	0,0244	0,11	0,8911	0,21	0,7418	-0,20	0,8432	-0,65	0,0891
Uap1	28,56	0,25	0,6041	0,33	0,5421	0,03	NA	0,10	0,9634	-0,10	0,8612	0,10	0,9226	0,01	0,9949	-0,12	0,9371	0,21	0,6562
Uap111	20,10	-0,64	0,1859	-0,16	0,8492	0,06	NA	-0,10	0,9681	0,65	0,1046	-0,03	0,9801	0,28	NA	0,52	0,5440	1,10	0,0079
Uba1	506,91	0,14	0,6140	-0,16	0,6189	-0,09	1,0000	-0,05	0,9727	0,13	0,5546	-0,18	0,6604	-0,45	0,1068	-0,14	0,8125	-0,04	0,8908
Uba2	72,23	0,43	0,0969	-0,25	0,5911	-0,25	1,0000	0,02	0,9860	0,08	0,8393	-0,40	0,3935	-0,38	0,4116	-0,18	0,8339	-0,13	0,7322
Uba3	159,71	0,56	0,0086	-0,06	0,9044	-0,13	1,0000	0,09	0,9472	-0,29	0,2533	-0,47	0,2022	-0,37	0,3683	-0,41	0,3427	-0,66	0,0115
Uba5	90,76	0,25	0,3581	-0,54	0,0603	-0,17	1,0000	0,11	0,9378	0,16	0,6050	-0,55	0,1856	-0,26	0,6006	-0,06	0,9572	-0,09	0,8354
Uba52	402,82	0,25	0,3568	0,13	0,7602	-0,12	1,0000	-0,07	0,9634	-0,13	0,6965	0,25	0,4868	-0,22	0,5905	-0,03	0,9792	-0,23	0,3632
Uba6	75,85	0,33	0,2832	-0,08	0,8978	-0,07	1,0000	0,30	0,6754	0,85	0,0003	-0,35	0,4723	-0,05	0,9535	0,01	0,9967	0,61	0,0266
Uba7	8,86	0,07	0,9370	-0,31	0,7020	0,07	NA	-0,27	0,8369	-1,51	0,0040	-0,31	0,7698	-0,16	NA	-0,79	0,2747	-1,12	0,0775
Ubac1	75,07	0,32	0,2970	-0,13	0,8177	-0,21	1,0000	0,22	0,8318	0,06	0,8732	-0,70	0,0690	-0,32	0,5107	0,08	0,9458	-0,13	0,7556
Ubac2	35,89	-0,33	0,4235	-0,05	0,9546	-0,08	1,0000	-0,30	0,7411	-0,20	0,6479	0,54	0,3200	0,17	0,8465	0,09	0,9556	0,23	0,6417
Ubald1	18,17	-0,06	0,9405	0,63	0,2046	0,14	NA	-0,03	0,9873	0,84	0,0323	0,19	0,8585	0,04	NA	0,44	0,6309	1,03	0,0505
Ubap1	94,93	-0,21	0,5029	0,15	0,7249	-0,02	1,0000	0,28	0,6053	0,73	0,0008	0,01	0,9882	-0,06	0,9432	0,18	0,8241	0,99	0,0017
Ubap2	246,31	-0,12	0,7272	0,37	0,1939	0,22	1,0000	0,20	0,7729	0,54	0,0094	0,13	0,7966	0,17	0,7226	0,34	0,4038	0,72	0,0004
Ubap2l	309,31	-0,07	0,7954	-0,22	0,3619	0,03	1,0000	-0,05	0,9638	0,56	0,0011	-0,28	0,4650	-0,10	0,8501	0,05	0,9608	0,63	0,0044
Ubash3b	8,31	1,42	0,0009	1,09	0,0301	0,22	NA	0,34	NA	0,48	0,4895	0,25	0,8029	-0,54	NA	-1,22	0,0283	-0,62	0,2903
Ubb	313,59	-0,16	0,7154	0,02	0,9790	0,00	1,0000	0,12	0,9269	0,33	0,2285	0,04	0,9627	0,03	0,9713	0,36	0,4718	0,44	0,1647
Ubc	36,47	-0,07	0,9070	-0,12	0,8628	-0,23	1,0000	-0,15	0,9370	0,15	0,7579	-0,23	0,7827	-0,43	0,4974	-0,09	0,9545	-0,20	0,7000
Ube2a	48,15	0,26	0,4886	-0,06	0,9376	-0,17	1,0000	0,11	0,9550	0,17	0,6693	-0,14	0,8588	-0,09	0,9173	-0,14	0,9065	0,11	0,8198
Ube2b	270,15	-0,12	0,6508	-0,04	0,9237	0,07	1,0000	0,43	0,0431	0,19	0,3889	0,42	0,2033	0,31	0,4121	0,36	0,3303	0,18	0,5479
Ube2c	5,87	0,17	0,8449	-0,17	0,8530	0,10	NA	-0,05	NA	0,05	0,9580	-0,19	0,8790	-0,47	NA	-0,49	NA	-0,24	0,7831
Ube2cbp	1,30	0,09	NA	0,27	0,6929	0,02	NA	-0,14	NA	0,32	0,6512	-0,03	NA	0,19	NA	-0,23	NA	-0,33	NA
Ube2d1	41,19	-0,41	0,2669	-0,40	0,3739	-0,05	1,0000	-0,08	0,9727	0,02	0,9716	0,23	0,7607	0,36	0,5526	0,26	0,7779	0,62	0,0629
Ube2d2a	99,49	0,22	0,4885	0,34	0,3245	-0,07	1,0000	0,09	0,9600	0,14	0,6664	0,40	0,2920	0,11	0,8607	-0,02	0,9911	0,02	0,9718
Ube2d3	593,36	0,54	0,0000	-0,14	0,5626	-0,05	1,0000	0,19	0,6388	0,33	0,0255	-0,15	0,7103	-0,33	0,2900	-0,20	0,6494	0,07	0,8295
Ube2e1	30,32	0,41	0,2938	0,07	0,9350	0,20	NA	0,48	0,4145	-0,43	0,3310	-0,09	0,9231	-0,27	0,7009	-0,18	0,8784	-0,29	0,5276

GeneID	CTL	ET-1 vs CTL		SAHA vs CTL		JS28 vs CTL		BSP vs CTL		JQ1 vs CTL		ET-1+SAHA vs ET1		ET-1+JS28 vs ET1		ET-1+BSP vs ET1		ET-1+JQ1 vs ET1	
	mean	log2(FC)	P-adj	log2(FC)	P-adj	log2(FC)	P-adj	log2(FC)	P-adj	log2(FC)	P-adj	log2(FC)	P-adj	log2(FC)	P-adj	log2(FC)	P-adj	log2(FC)	P-adj
Ube2e2	27,02	0,15	0,7875	-0,08	0,9250	0,06	NA	-0,02	0,9901	-0,02	0,9779	0,13	0,8897	-0,07	0,9413	-0,54	0,4432	-0,07	0,9311
Ube2e3	123,45	-0,42	0,0442	-0,50	0,0327	0,17	1,0000	0,37	0,2353	-0,45	0,0258	0,05	0,9394	0,38	0,3502	0,60	0,0672	0,05	0,9259
Ube2f	51,30	0,72	0,0040	0,39	0,3110	-0,03	1,0000	-0,28	0,7499	0,21	0,5896	0,41	0,3673	-0,01	0,9854	-0,42	0,4724	-0,30	0,4490
Ube2g1	277,83	0,41	0,0096	-0,09	0,8113	0,04	1,0000	0,16	0,8147	0,05	0,8620	-0,04	0,9427	-0,03	0,9634	-0,27	0,4870	-0,22	0,5143
Ube2g2	62,03	0,20	0,6150	-0,17	0,7473	-0,29	1,0000	0,03	0,9853	0,25	0,4651	-0,19	0,7734	-0,64	0,1273	-0,14	0,8974	0,07	0,8702
Ube2h	307,89	-0,25	0,1785	-0,10	0,7569	-0,02	1,0000	0,07	0,9563	0,39	0,0098	0,10	0,8321	0,01	0,9921	0,10	0,8934	0,56	0,0014
Ube2i	50,15	-0,04	0,9387	0,38	0,3047	0,06	1,0000	0,11	0,9501	0,48	0,1117	0,08	0,9335	0,15	0,8482	0,07	0,9633	0,19	0,6751
Ube2j1	97,65	0,30	0,2749	-0,10	0,8316	0,11	1,0000	0,35	0,4665	0,55	0,0075	-0,31	0,5048	-0,16	0,7900	-0,02	0,9918	0,29	0,3206
Ube2j2	2,28	-0,54	0,3751	0,13	0,8947	-0,05	NA	0,06	NA	0,27	0,7310	0,61	0,4067	0,11	NA	0,37	NA	0,46	0,5667
Ube2k	135,98	0,03	0,9491	-0,06	0,9075	-0,12	1,0000	-0,10	0,9473	-0,11	0,7417	0,25	0,6093	0,22	0,6315	-0,13	0,8638	-0,01	0,9808
Ube2l3	172,24	0,16	0,6220	0,03	0,9610	-0,06	1,0000	-0,05	0,9753	0,24	0,2845	0,08	0,9049	0,18	0,7226	-0,02	0,9918	0,31	0,3234
Ube2l6	5,60	-0,47	0,4762	0,70	0,2247	0,03	NA	-0,18	NA	0,14	0,8552	1,57	0,0037	0,11	NA	-0,43	NA	-0,05	0,9601
Ube2m	86,48	0,21	0,5638	0,25	0,5112	-0,11	1,0000	0,00	0,9998	0,25	0,4689	0,11	0,8709	-0,38	0,4329	0,13	0,9018	0,01	0,9898
Ube2n	78,42	0,21	0,5474	0,38	0,2595	0,07	1,0000	0,20	0,8504	-0,17	0,6255	0,75	0,0189	0,18	0,7630	0,19	0,8122	-0,16	0,6760
Ube2o	90,53	0,18	0,6059	0,30	0,4147	-0,06	1,0000	0,15	0,9060	0,71	0,0014	-0,30	0,5441	-0,77	0,0250	-0,15	0,8643	0,40	0,1655
Ube2q1	74,31	0,02	0,9681	-0,50	0,1232	-0,02	1,0000	-0,15	0,9050	0,21	0,5465	-0,40	0,4121	-0,01	0,9961	-0,04	0,9827	0,39	0,3660
Ube2q2	94,48	-0,01	0,9859	-0,25	0,4874	0,12	1,0000	0,24	0,7308	-0,44	0,1186	-0,11	0,8660	0,36	0,4121	0,15	0,8597	-0,25	0,5025
Ube2q11	16,64	1,01	0,0150	0,22	0,7938	-0,06	NA	-0,03	0,9895	0,46	0,4342	0,03	0,9792	-0,32	0,6801	0,02	0,9931	-0,22	0,7281
Ube2r2	223,67	-0,21	0,5946	-0,90	0,0004	-0,27	1,0000	-0,26	0,7019	-0,65	0,0038	-0,32	0,5134	0,15	0,8219	-0,15	0,8660	-0,44	0,1769
Ube2s	14,44	0,58	0,2278	0,04	0,9706	-0,08	NA	-0,13	0,9516	0,45	0,3870	0,02	0,9879	-0,60	NA	-0,18	0,9074	-0,09	0,9167
Ube2t	6,44	0,17	0,8392	1,01	0,0458	0,13	NA	0,37	0,6940	0,88	0,0874	0,57	0,4737	0,04	NA	0,39	0,7232	0,99	0,0490
Ube2v1	53,10	0,00	0,9993	-0,48	0,2218	-0,28	1,0000	-0,25	0,8044	-0,09	0,8283	-0,29	0,6509	-0,40	0,4730	-0,27	0,7339	0,18	0,6800
Ube2v2	19,67	-0,17	0,7984	0,08	0,9329	0,14	NA	0,20	0,8998	0,10	0,8796	0,44	0,5344	0,23	NA	0,29	0,7954	0,33	0,5272
Ube2w	66,81	0,20	0,5938	0,29	0,4668	0,13	1,0000	0,57	0,1068	-0,01	0,9757	0,30	0,5631	0,45	0,3061	0,39	0,4841	-0,24	0,6234
Ube2z	175,68	0,07	0,8105	-0,06	0,8766	0,01	1,0000	0,01	0,9901	0,56	0,0067	-0,10	0,8519	-0,20	0,6588	0,29	0,5161	0,54	0,1060
Ube3a	474,05	0,24	0,2080	-0,10	0,7593	-0,17	1,0000	0,17	0,7601	0,19	0,4747	-0,11	0,8045	0,20	0,6257	-0,01	0,9931	0,07	0,8741
Ube3b	182,80	0,00	0,9924	-0,29	0,2582	0,12	1,0000	0,03	0,9853	0,04	0,9023	-0,17	0,7716	-0,20	0,6959	0,25	0,6550	0,03	0,9437
Ube3c	163,85	-0,04	0,9309	-0,31	0,2420	-0,10	1,0000	0,25	0,5838	0,56	0,0005	0,08	0,9069	0,03	0,9637	0,36	0,4409	0,54	0,0293
Ube4a	135,22	0,03	0,9520	0,35	0,2000	-0,06	1,0000	0,18	0,8147	0,40	0,0449	0,19	0,7242	-0,02	0,9755	0,11	0,9082	0,36	0,2286
Ube4b	261,31	-0,58	0,0019	0,21	0,4194	-0,04	1,0000	-0,05	0,9741	0,15	0,5631	0,43	0,2162	-0,02	0,9834	0,08	0,9329	0,48	0,1108
Ubfd1	178,77	0,15	0,5786	-0,41	0,0753	-0,31	0,8061	0,00	0,9988	0,35	0,1136	-0,28	0,5050	-0,11	0,8504	-0,02	0,9911	0,16	0,6193
Ubiad1	37,83	0,35	0,3519	0,15	0,8144	-0,04	1,0000	-0,37	0,6395	0,17	0,7017	-0,15	0,8552	-0,26	0,6956	-0,21	0,8431	-0,18	0,7170
Ubl3	120,05	0,20	0,4936	-0,06	0,9158	-0,01	1,0000	0,08	0,9628	0,23	0,4058	0,15	0,7891	0,02	0,9794	0,25	0,6462	0,27	0,3014
Ubl4	39,85	0,20	0,6409	-0,42	0,3473	-0,03	1,0000	-0,17	0,9058	-0,25	0,5448	0,10	0,9034	-0,26	0,6956	-0,20	0,8472	-0,25	0,5482
Ubl5	42,37	-0,08	0,9054	0,01	0,9947	-0,32	1,0000	-0,16	0,9159	-0,09	0,8574	0,44	0,4843	-0,07	0,9444	0,06	0,9766	-0,07	0,9228
Ubl7	59,92	-0,41	0,2162	-0,02	0,9818	0,03	1,0000	-0,03	0,9853	0,12	0,7530	-0,19	0,8140	-0,16	0,8394	0,04	0,9856	0,43	0,2695
Ublcp1	47,99	0,06	0,9023	0,05	0,9479	-0,09	1,0000	0,03	0,9853	0,06	0,8868	0,22	0,7426	0,26	0,6619	-0,20	0,8405	0,35	0,2881
Ubn1	128,10	-0,13	0,6718	-0,63	0,0061	0,03	1,0000	0,13	0,8917	0,66	0,0002	-0,67	0,0409	0,02	0,9814	0,25	0,6494	0,77	0,0001
Ubn2	274,11	-0,45	0,0241	-0,36	0,1431	-0,21	1,0000	0,03	0,9853	-0,01	0,9745	-0,22	0,6344	0,37	0,3047	0,37	0,3329	0,30	0,2750
Ubox5	17,81	0,58	0,1988	0,13	0,8759	0,28	NA	0,14	0,9449	0,53	0,2409	-0,25	0,7891	-0,40	NA	-0,36	0,7198	-0,12	0,8572
Ubp1	77,89	-0,09	0,8336	0,08	0,8680	0,07	1,0000	0,18	0,8543	0,53	0,0141	0,09	0,9049	0,37	0,4291	0,12	0,9119	0,45	0,1067
Ubqln1	198,41	0,39	0,0455	0,06	0,9044	-0,04	1,0000	-0,04	0,9853	0,17	0,4751	-0,04	0,9448	-0,09	0,8682	-0,27	0,5541	-0,22	0,4848
Ubqln2	228,77	0,14	0,7591	-0,74	0,0045	-0,19	1,0000	0,26	0,6581	0,90	0,0001	-0,99	0,0038	-0,38	0,4372	0,12	0,9107	0,79	0,0109
Ubqln4	95,83	0,11	0,8142	-0,04	0,9445	0,02	1,0000	-0,10	0,9430	0,41	0,0758	-0,25	0,7027	-0,61	0,1615	-0,31	0,6750	0,30	0,4630
Ubr1	202,64	-0,19	0,4029	-0,24	0,4143	-0,04	1,0000	-0,02	0,9853	-0,83	0,0000	-0,42	0,2198	0,23	0,5702	-0,13	0,8511	-0,86	0,0053

GeneID	CTL	ET-1 vs CTL		SAHA vs CTL		JS28 vs CTL		BSP vs CTL		JQ1 vs CTL		ET-1+SAHA vs ET1		ET-1+JS28 vs ET1		ET-1+BSP vs ET1		ET-1+JQ1 vs ET1	
	mean	log2(FC)	P-adj	log2(FC)	P-adj	log2(FC)	P-adj	log2(FC)	P-adj	log2(FC)	P-adj	log2(FC)	P-adj	log2(FC)	P-adj	log2(FC)	P-adj	log2(FC)	P-adj
Ubr2	270,94	-0,30	0,1490	-0,50	0,0032	0,02	1,0000	0,02	0,9853	-0,06	0,7837	-0,53	0,1072	0,13	0,8123	0,13	0,8577	0,16	0,6388
Ubr3	536,19	-0,22	0,3019	-0,01	0,9752	0,07	1,0000	0,17	0,7367	0,07	0,7548	0,23	0,5529	0,40	0,1729	0,28	0,4614	0,23	0,4464
Ubr4	676,41	-0,15	0,6036	-0,02	0,9643	-0,11	1,0000	-0,03	0,9794	0,18	0,2984	-0,53	0,1014	-0,31	0,4311	-0,02	0,9909	0,28	0,2885
Ubr5	677,00	-0,19	0,4139	-0,03	0,9546	-0,04	1,0000	0,22	0,6540	0,35	0,0712	-0,03	0,9546	0,17	0,6594	0,16	0,7614	0,49	0,0827
Ubr7	88,71	0,13	0,7155	0,31	0,4073	0,00	1,0000	-0,10	0,9447	-0,15	0,6329	0,08	0,9171	-0,23	0,6790	-0,37	0,4948	-0,28	0,3900
Ubt1	15,85	0,14	0,8409	0,18	0,8227	0,36	NA	-0,02	0,9925	-0,02	0,9748	0,26	0,7866	-0,37	NA	0,14	0,9347	-0,23	0,7321
Ubt2	45,04	-0,17	0,7036	-0,35	0,4223	-0,03	1,0000	0,19	0,8717	0,32	0,3666	-0,13	0,8772	0,21	0,7677	0,19	0,8541	0,37	0,3729
Ubt3	177,65	-0,22	0,3418	-0,82	0,0000	-0,06	1,0000	-0,01	0,9901	0,15	0,4861	-0,78	0,0090	-0,06	0,9263	-0,04	0,9784	0,37	0,1363
Ubx1	64,91	0,09	0,8597	0,15	0,7589	0,06	1,0000	-0,05	0,9837	0,13	0,7653	0,17	0,8135	-0,10	0,9021	-0,46	0,4483	-0,04	0,9525
Ubx11	1,43	-0,44	NA	0,50	0,4448	-0,10	NA	-0,05	NA	-0,05	0,9590	0,48	NA	0,04	NA	0,05	NA	0,09	NA
Ubx2a	102,27	0,37	0,1598	-0,19	0,6782	0,01	1,0000	0,05	0,9853	-0,10	0,7983	-0,10	0,8669	0,14	0,8085	-0,24	0,6935	-0,30	0,4368
Ubx2b	34,77	-0,26	0,5551	0,00	0,9954	0,08	1,0000	0,39	0,5666	0,16	0,7056	0,53	0,3355	0,42	0,4808	0,23	0,8285	0,58	0,1030
Ubx4	257,83	0,18	0,4691	-0,42	0,0519	0,07	1,0000	-0,08	0,9469	-0,33	0,1073	-0,54	0,0760	-0,09	0,8779	-0,12	0,8772	-0,37	0,1919
Ubx6	68,66	-0,09	0,8400	-0,65	0,0214	-0,02	1,0000	-0,10	0,9469	0,60	0,0054	-0,73	0,0826	-0,16	0,8232	0,33	0,6014	0,55	0,0880
Ubx7	154,03	-0,30	0,2119	0,26	0,3958	0,04	1,0000	0,22	0,7246	0,18	0,4740	0,45	0,1856	0,55	0,0687	0,37	0,3528	0,21	0,4895
Ubx8	42,22	0,01	0,9872	-1,01	0,0050	-0,15	1,0000	-0,36	0,6529	-0,24	0,5704	-0,63	0,2340	0,18	0,8174	-0,47	0,4846	-0,07	0,9150
Uchl1	25,79	0,54	0,1930	1,22	0,0002	0,00	NA	0,02	0,9901	0,80	0,0278	0,95	0,0257	-0,34	0,6288	-0,36	0,6935	0,62	0,0942
Uchl3	31,65	-0,21	0,6636	0,29	0,5605	-0,05	1,0000	0,09	0,9681	-0,18	0,7004	0,82	0,0633	0,29	0,6852	0,58	0,3227	0,57	0,2194
Uchl5	48,81	-0,02	0,9717	0,34	0,4108	0,27	1,0000	0,52	0,2282	0,46	0,1427	-0,22	0,7598	0,41	0,4453	0,60	0,1764	0,46	0,2903
Uck1	17,86	0,26	0,6706	-0,01	0,9946	0,13	NA	0,30	0,7987	0,25	0,6513	-0,44	0,5858	0,11	NA	0,38	0,6906	0,15	0,8250
Uck2	62,71	1,49	0,0000	0,44	0,3050	0,08	1,0000	0,24	0,8294	0,75	0,0095	-0,82	0,0179	-1,30	0,0000	-1,12	0,0006	-0,75	0,0293
Uck11	41,47	0,18	0,7255	-0,57	0,1830	0,06	1,0000	-0,16	0,9254	-1,44	0,0000	-0,61	0,2519	-0,10	0,9142	-0,72	0,1594	-1,29	0,0003
Uck10s	2,13	-0,03	NA	-0,41	0,4052	-0,12	NA	-0,13	NA	-0,39	0,5579	-0,23	NA	-0,32	NA	-0,44	NA	-0,54	NA
Ucp2	36,03	-0,36	0,6239	0,61	0,3256	0,15	1,0000	0,23	0,8643	0,16	0,8363	0,89	0,0927	0,00	0,9983	0,05	0,9874	0,49	0,3988
Ucp3	3,59	-0,75	0,1753	-0,20	0,8275	0,37	NA	0,14	NA	-0,87	0,1522	-0,09	NA	0,10	NA	0,15	NA	-0,47	NA
Uev1d	35,45	-0,19	0,7209	-0,01	0,9895	0,03	1,0000	-0,06	0,9853	-0,42	0,3378	0,13	0,8862	0,11	0,8995	-0,34	0,6935	-0,24	0,6436
Ufc1	35,39	0,11	0,8489	-1,48	0,0001	0,17	1,0000	-0,09	0,9654	-0,80	0,0282	-0,77	0,1491	-0,10	0,9121	-0,15	0,9143	-0,56	0,2028
Ufd11	81,71	0,29	0,3663	-0,32	0,4108	-0,37	0,8594	-0,44	0,3573	0,19	0,6060	-0,33	0,5159	-0,14	0,8428	-0,47	0,3398	-0,18	0,6825
Ufl1	131,66	-0,20	0,4040	-0,26	0,3596	0,13	1,0000	0,24	0,6330	0,09	0,7649	-0,13	0,8216	0,38	0,3301	0,38	0,3595	0,35	0,2651
Ufm1	93,54	0,09	0,8491	0,03	0,9665	0,02	1,0000	0,09	0,9534	-0,32	0,2286	0,26	0,6452	0,46	0,3050	0,03	0,9911	-0,35	0,4494
Ufsp1	5,87	0,50	0,4205	0,64	0,2965	0,09	NA	0,13	NA	0,17	0,8335	0,25	0,8179	-0,15	NA	-0,18	0,9191	-0,20	0,8118
Ufsp2	25,50	-0,21	0,6968	0,26	0,6555	0,00	NA	-0,13	0,9448	-0,65	0,0937	0,58	0,3218	0,35	0,6288	-0,09	0,9608	-0,21	0,7331
Ugcg	137,00	0,34	0,1991	-0,25	0,5082	-0,12	1,0000	-0,06	0,9769	-0,22	0,4631	-0,26	0,5759	-0,20	0,6967	-0,66	0,0445	-0,44	0,1193
Ugdh	31,20	-0,12	0,8256	0,41	0,3543	0,20	1,0000	0,55	0,2471	-0,35	0,4366	0,39	0,5486	0,30	0,6678	0,16	0,9034	-0,44	0,3386
Ugg1	223,94	-0,02	0,9452	0,13	0,6990	-0,12	1,0000	0,08	0,9469	0,04	0,8758	0,17	0,7003	0,03	0,9666	0,28	0,4948	0,17	0,5074
Ugg2	36,42	-0,01	0,9869	0,63	0,1044	0,19	1,0000	0,29	0,7652	-0,30	0,5031	0,64	0,1769	0,41	0,4699	-0,10	0,9437	-0,41	0,3442
Ugp2	341,38	0,72	0,0000	0,16	0,6034	0,09	1,0000	0,09	0,9250	-0,37	0,0538	0,10	0,8320	-0,17	0,7169	-0,47	0,1134	-0,78	0,0009
Uhm1	59,81	-0,20	0,6247	-0,58	0,0824	-0,05	1,0000	-0,25	0,7729	0,11	0,7647	-0,19	0,7960	0,16	0,8326	0,02	0,9931	0,59	0,1205
Uhr1	1,82	-0,45	NA	-0,06	0,9591	0,03	NA	-0,20	NA	-0,63	0,3059	-0,03	NA	0,15	NA	-0,02	NA	0,28	NA
Uhr1bp1	114,16	0,30	0,3459	-0,15	0,7470	-0,05	1,0000	-0,03	0,9853	0,46	0,0416	-0,79	0,0314	-0,68	0,0644	-0,34	0,5640	0,05	0,9083
Uhr1bp11	113,25	0,06	0,8802	-0,26	0,4910	0,03	1,0000	0,04	0,9853	0,03	0,9347	-0,05	0,9490	0,09	0,8968	-0,23	0,7235	0,09	0,8133
Uhr2	63,45	-0,48	0,0868	0,00	0,9960	0,08	1,0000	0,05	0,9817	-0,04	0,9256	0,00	0,9993	0,50	0,2787	0,39	0,5245	0,45	0,2148
Uimc1	34,46	-0,55	0,1376	0,13	0,8397	-0,02	1,0000	0,07	0,9794	0,26	0,4956	0,30	0,7103	0,55	0,3307	0,68	0,2151	0,51	0,2898
Ulb1	1,75	0,69	NA	0,85	0,0745	0,26	NA	0,01	NA	0,13	NA	0,63	0,4372	-0,21	NA	-0,52	NA	-0,53	0,4991
Ulk1	165,52	-0,38	0,0566	-0,02	0,9747	0,01	1,0000	0,11	0,9028	0,68	0,0011	-0,07	0,9201	0,07	0,9184	0,55	0,0918	0,99	0,0001

GeneID	CTL	ET-1 vs CTL		SAHA vs CTL		JS28 vs CTL		BSP vs CTL		JQ1 vs CTL		ET-1+SAHA vs ET1		ET-1+JS28 vs ET1		ET-1+BSP vs ET1		ET-1+JQ1 vs ET1	
	mean	log2(FC)	P-adj	log2(FC)	P-adj	log2(FC)	P-adj	log2(FC)	P-adj	log2(FC)	P-adj	log2(FC)	P-adj	log2(FC)	P-adj	log2(FC)	P-adj	log2(FC)	P-adj
Ulk2	272,44	-0,40	0,0271	-0,71	0,0002	0,11	1,0000	0,45	0,0679	0,77	0,0000	-0,31	0,4012	0,59	0,0267	0,79	0,0005	1,13	0,0000
Ulk3	22,20	0,20	0,7197	-0,03	0,9793	0,06	NA	-0,13	0,9533	0,70	0,0492	-0,26	0,7691	-0,04	0,9728	-0,22	0,8567	0,37	0,4881
Ulk4	1,90	-0,20	NA	0,81	0,1473	0,09	NA	-0,16	NA	-0,34	0,6364	0,25	NA	-0,08	NA	-0,16	NA	-0,19	NA
Umps	22,06	0,62	0,1006	0,17	0,8300	-0,02	NA	0,19	0,9096	0,70	0,0672	-0,44	0,5247	-0,43	0,5032	-0,38	0,6820	-0,04	0,9560
Unc119	34,23	-1,00	0,0026	0,31	0,5606	0,23	1,0000	-0,03	0,9860	-0,09	0,8710	0,85	0,0939	0,52	0,4062	0,55	0,4405	0,38	0,5172
Unc119b	23,21	0,13	0,8366	0,06	0,9453	0,21	NA	0,10	0,9647	0,28	0,5677	-0,01	0,9933	-0,37	0,6113	-0,17	0,9074	-0,23	0,7012
Unc13a	9,23	0,49	0,4205	1,21	0,0099	0,12	NA	-0,35	NA	-0,34	0,6497	0,54	0,4707	-0,23	NA	-0,56	0,5271	-1,45	0,0076
Unc13b	87,64	-0,14	0,7272	0,21	0,5851	-0,25	1,0000	-0,10	0,9472	0,23	0,4076	0,05	0,9491	-0,32	0,5552	-0,18	0,8366	0,31	0,3320
Unc13c	21,86	-1,02	0,0121	-1,17	0,0073	-0,26	NA	-0,62	0,2909	-1,00	0,0189	-0,50	0,5709	0,16	NA	-0,44	0,6820	-0,43	0,5701
Unc45a	13,88	0,34	0,5632	-0,32	0,6804	-0,01	NA	-0,02	0,9901	0,35	0,5235	-0,46	0,5718	-0,15	NA	0,01	0,9966	-0,26	0,6964
Unc45b	608,34	-0,37	0,0496	-0,74	0,0000	-0,24	1,0000	0,22	0,6070	0,06	0,8053	-0,36	0,2510	-0,04	0,9449	0,55	0,0277	0,16	0,5493
Unc50	30,49	-0,06	0,9287	-0,25	0,6774	0,07	1,0000	0,11	0,9563	0,15	0,7708	0,07	0,9506	0,00	0,9978	0,14	0,9219	0,16	0,7766
Unc5a	6,79	-0,13	0,8795	-0,33	0,6829	0,00	NA	0,10	0,9634	-0,54	0,4190	-0,23	0,8400	0,09	NA	0,33	0,8020	0,34	0,6692
Unc5b	115,12	0,10	0,7816	-0,37	0,1929	0,03	1,0000	0,06	0,9701	-0,44	0,0703	-0,37	0,3966	-0,26	0,6175	-0,29	0,6212	-0,50	0,1143
Unc5c	35,80	-1,78	0,0000	-1,10	0,0005	0,18	1,0000	0,47	0,3050	-0,58	0,0597	0,02	0,9918	0,64	NA	0,54	0,5165	0,31	0,6340
Unc5d	2,75	-0,54	0,3748	0,27	0,7484	-0,14	NA	-0,25	NA	0,62	0,3314	0,47	NA	0,13	NA	0,42	NA	1,64	0,0051
Unc79	1,31	0,32	NA	0,35	0,5200	0,01	NA	0,07	NA	-0,17	NA	-0,03	NA	-0,28	NA	-0,39	NA	-0,41	NA
Unc80	39,26	-1,64	0,0000	0,64	0,0404	-0,16	1,0000	0,85	0,0044	-1,63	0,0000	1,34	0,0030	1,22	0,0037	1,65	0,0000	-0,67	0,2732
Ung	7,02	0,47	0,4593	1,30	0,0040	0,07	NA	0,15	NA	0,31	0,6586	1,01	0,0859	0,12	NA	-0,06	0,9809	-0,35	0,6378
Unk	38,71	-0,32	0,4315	-0,20	0,7174	0,08	1,0000	-0,24	0,8294	0,48	0,1363	-0,12	0,9018	-0,03	0,9738	0,05	0,9792	0,43	0,3253
Unkl	8,02	-0,43	0,5032	-0,26	0,7636	0,01	NA	0,04	0,9853	0,30	0,6362	0,06	0,9680	0,01	NA	0,12	0,9494	0,54	0,4363
Upf1	188,80	0,15	0,5953	0,05	0,9237	-0,08	1,0000	-0,01	0,9902	0,25	0,3236	-0,20	0,6835	-0,20	0,6696	0,08	0,9300	0,28	0,3351
Upf2	133,72	-0,49	0,0399	-0,29	0,3184	-0,15	1,0000	0,22	0,7007	0,03	0,9332	-0,15	0,8343	0,34	0,4886	0,73	0,0277	0,30	0,5241
Upf3a	29,66	-0,33	0,4350	-0,45	0,3318	-0,14	1,0000	-0,04	0,9853	0,31	0,4123	-0,64	0,3000	0,22	0,7811	0,12	0,9397	0,63	0,1033
Upf3b	41,88	-0,47	0,2155	-0,59	0,1631	-0,29	1,0000	0,09	0,9647	0,09	0,8569	-0,11	0,9176	0,58	0,2820	0,53	0,4019	0,48	0,3200
Upk1a	1,32	0,29	NA	0,31	0,6166	0,09	NA	0,14	NA	0,35	0,6065	0,03	NA	-0,19	NA	0,05	NA	0,32	0,7147
Upp1	5,03	0,98	0,0548	1,00	0,0554	0,28	NA	0,15	NA	-0,29	0,7017	0,39	0,6905	-0,29	NA	-0,16	0,9278	-1,19	0,0609
Uprt	11,39	-0,08	0,9252	-0,34	0,6490	0,01	NA	-0,01	0,9972	-0,15	0,8269	0,06	0,9601	0,43	NA	-0,29	0,8326	-0,33	0,6354
Uqcc1	63,51	0,40	0,2748	-0,23	0,6882	-0,06	1,0000	-0,27	0,7630	0,15	0,7010	-0,08	0,9312	-0,11	0,8994	0,02	0,9918	-0,15	0,7811
Uqcc2	25,60	0,62	0,1182	0,20	0,7894	-0,04	NA	0,17	0,9251	0,24	0,6373	-0,12	0,9049	-0,44	0,4867	0,25	0,8056	-0,21	0,7046
Uqcr10	192,37	0,21	0,4595	-0,37	0,1631	-0,18	1,0000	-0,13	0,8939	-0,27	0,3693	0,00	0,9981	-0,14	0,8232	-0,19	0,7712	-0,61	0,0337
Uqcr11	99,97	0,31	0,5330	-0,38	0,4150	-0,15	1,0000	-0,15	0,9293	0,09	0,8465	0,17	0,8292	-0,32	0,6185	0,00	0,9998	0,01	0,9953
Uqcrb	196,41	0,41	0,1780	-0,15	0,7616	-0,01	1,0000	0,01	0,9925	-0,16	0,7079	0,17	0,7617	0,31	0,4817	0,22	0,7206	-0,52	0,0807
Uqcrc1	308,42	0,24	0,5288	-0,31	0,4004	-0,10	1,0000	-0,18	0,8507	-0,36	0,2329	0,01	0,9893	-0,31	0,5236	-0,14	0,8772	-0,54	0,0918
Uqcrc2	279,38	0,42	0,1621	-0,14	0,7944	0,03	1,0000	-0,10	0,9533	-0,62	0,0143	-0,25	0,5803	-0,07	0,9143	-0,05	0,9712	-0,86	0,0002
Uqcrfs1	238,60	0,46	0,0367	-0,24	0,4874	-0,16	1,0000	-0,16	0,8624	-0,67	0,0036	-0,01	0,9886	-0,32	0,4251	-0,19	0,7553	-0,83	0,0007
Uqcrh	252,82	-0,08	0,8554	0,34	0,2865	-0,05	1,0000	0,09	0,9473	-0,19	0,5331	0,78	0,0081	0,25	0,6130	0,55	0,1054	0,13	0,7458
Uqcrcq	188,54	0,52	0,0988	0,00	0,9975	-0,21	1,0000	-0,28	0,7328	-0,21	0,5971	-0,05	0,9510	-0,43	0,3257	-0,25	0,6978	-0,49	0,1132
Urb1	26,03	0,43	0,4268	0,14	0,8775	0,09	NA	-0,18	0,9269	0,24	0,6729	-0,53	0,4070	-0,55	0,3681	-0,65	0,3128	-0,76	0,0831
Urb2	44,72	0,32	0,4082	0,39	0,4028	0,06	1,0000	0,06	0,9805	0,11	0,8210	-0,29	0,6466	-0,50	0,3214	-0,47	0,4277	-0,27	0,5272
Urgcp	150,58	0,01	0,9867	-0,04	0,9434	0,06	1,0000	0,12	0,9178	0,13	0,6367	-0,05	0,9375	-0,09	0,8951	0,18	0,7975	0,20	0,4994
Uri1	130,75	0,04	0,9085	0,04	0,9337	-0,10	1,0000	-0,03	0,9853	-0,06	0,8487	0,06	0,9253	0,35	0,3714	0,08	0,9311	0,04	0,9211
Urm1	14,09	0,06	0,9415	-0,40	0,5527	-0,05	NA	-0,53	0,4532	-0,25	0,7067	-0,28	0,7759	-0,31	NA	-0,55	0,5369	-0,47	0,4537
Urod	43,74	-0,50	0,1037	0,28	0,5275	0,11	1,0000	0,15	0,9208	0,20	0,5985	0,82	0,0395	0,47	0,3720	0,27	0,7668	0,60	0,0696
Uros	22,02	0,21	0,7344	-0,04	0,9730	-0,14	NA	0,32	0,7601	0,69	0,0710	0,12	0,9040	-0,25	0,7625	0,01	0,9967	0,27	0,6172

GeneID	CTL	ET-1 vs CTL		SAHA vs CTL		JS28 vs CTL		BSP vs CTL		JQ1 vs CTL		ET-1+SAHA vs ET1		ET-1+JS28 vs ET1		ET-1+BSP vs ET1		ET-1+JQ1 vs ET1	
	mean	log2(FC)	P-adj	log2(FC)	P-adj	log2(FC)	P-adj	log2(FC)	P-adj	log2(FC)	P-adj	log2(FC)	P-adj	log2(FC)	P-adj	log2(FC)	P-adj	log2(FC)	P-adj
Usp1	71.06	0,31	0,4055	-0,13	0,8164	-0,03	1,0000	0,08	0,9700	-0,18	0,6307	-0,58	0,2044	-0,03	0,9750	-0,14	0,8986	-0,27	0,5153
Usp10	147,31	0,45	0,0200	-0,41	0,1188	-0,18	1,0000	-0,17	0,8334	0,72	0,0000	-0,58	0,0672	-0,60	0,0526	-0,44	0,2382	0,41	0,0845
Usp11	101,73	-0,34	0,4177	-0,93	0,0023	-0,31	1,0000	0,29	0,6921	0,96	0,0002	-0,53	0,3077	-0,33	0,5863	0,45	0,4445	1,37	0,0000
Usp12	61,86	-0,10	0,8256	-0,36	0,3764	-0,10	1,0000	0,00	0,9972	0,07	0,8512	-0,44	0,4012	-0,04	0,9634	0,15	0,8904	0,17	0,7225
Usp13	416,45	0,00	0,9927	-0,65	0,0022	-0,19	1,0000	-0,02	0,9860	-0,16	0,5252	-0,45	0,1570	-0,17	0,7187	0,05	0,9633	-0,15	0,6160
Usp14	192,02	0,49	0,0052	0,04	0,9396	0,08	1,0000	0,14	0,8736	-0,18	0,5105	-0,15	0,7517	-0,09	0,8713	-0,44	0,1771	-0,46	0,1063
Usp15	210,56	-0,09	0,7650	-0,18	0,5849	-0,06	1,0000	0,24	0,6440	0,04	0,8900	-0,24	0,5915	0,16	0,7481	0,27	0,5598	0,16	0,6346
Usp16	110,79	0,35	0,1579	0,09	0,8532	-0,04	1,0000	-0,13	0,9081	-0,40	0,1601	-0,17	0,7909	0,06	0,9329	-0,11	0,9138	-0,52	0,1315
Usp19	219,38	0,02	0,9486	-0,34	0,1907	-0,05	1,0000	-0,16	0,8302	0,42	0,0132	-0,54	0,0650	-0,46	0,1526	-0,21	0,7061	0,27	0,2467
Usp2	127,41	0,01	0,9851	-0,35	0,2331	-0,26	1,0000	-0,11	0,9300	-0,23	0,3946	-0,39	0,4368	-0,09	0,9030	0,03	0,9911	-0,14	0,7709
Usp20	48,72	-0,43	0,2125	0,08	0,9044	0,18	1,0000	-0,08	0,9700	0,08	0,8444	0,26	0,7267	0,26	0,6959	0,18	0,8730	0,51	0,1983
Usp21	20,61	-0,23	0,6748	-0,14	0,8472	-0,07	NA	0,01	0,9948	-0,01	0,9801	0,02	0,9879	0,07	NA	0,29	0,7971	0,26	0,6397
Usp22	216,82	-0,13	0,5968	0,42	0,0358	0,07	1,0000	0,18	0,7436	0,47	0,0018	0,50	0,0790	0,11	0,8440	0,21	0,6882	0,67	0,0001
Usp24	613,37	0,02	0,9221	-0,27	0,1117	-0,10	1,0000	0,09	0,8803	-0,59	0,0000	-0,41	0,1148	-0,07	0,8912	-0,14	0,7827	-0,64	0,0160
Usp25	191,11	0,03	0,9277	-0,36	0,1683	-0,05	1,0000	0,08	0,9516	0,11	0,6681	-0,13	0,8058	0,25	0,5496	0,16	0,8266	0,17	0,6400
Usp27x	3,28	-0,03	0,9793	0,36	0,6440	0,08	NA	0,33	NA	0,01	0,9928	0,30	0,7774	0,00	NA	-0,26	NA	0,62	0,4129
Usp28	365,63	0,38	0,0623	-0,07	0,8608	-0,13	1,0000	0,22	0,6377	0,07	0,7871	0,12	0,8170	-0,02	0,9765	0,29	0,4948	0,07	0,8354
Usp29	4,32	-0,23	0,7765	0,32	0,6925	0,04	NA	-0,45	NA	-0,95	0,1112	0,48	0,6031	0,20	NA	-0,42	NA	-0,84	0,2304
Usp3	67,40	-0,15	0,7136	0,30	0,4432	0,19	1,0000	0,23	0,7826	-0,31	0,3393	0,31	0,5835	0,15	0,8336	0,08	0,9523	-0,41	0,2507
Usp30	29,97	-0,39	0,3240	0,04	0,9660	-0,05	1,0000	0,06	0,9827	-0,16	0,7392	0,00	0,9976	-0,02	0,9834	0,20	0,8782	0,19	0,7425
Usp31	95,77	0,62	0,0092	0,10	0,8703	0,05	1,0000	0,17	0,8977	0,37	0,2103	-0,16	0,7672	-0,41	0,3090	-0,59	0,0978	-0,25	0,5477
Usp32	286,58	-0,10	0,7602	0,08	0,8571	0,10	1,0000	0,28	0,5646	0,55	0,0130	0,17	0,7109	0,23	0,5636	0,32	0,4018	0,65	0,0242
Usp33	116,19	-0,08	0,8540	0,22	0,5291	0,01	1,0000	0,17	0,8420	0,24	0,3589	0,15	0,8246	0,30	0,5422	0,16	0,8567	0,24	0,5707
Usp34	710,03	-0,27	0,0965	-0,06	0,8599	-0,07	1,0000	0,28	0,3244	0,14	0,5689	0,03	0,9624	0,33	0,2931	0,38	0,1584	0,20	0,6347
Usp35	3,87	-0,35	0,6379	1,01	0,0474	0,12	NA	-0,22	NA	-0,47	0,5001	0,87	0,2218	0,14	NA	-0,02	NA	0,06	0,9566
Usp36	82,32	0,64	0,0092	0,07	0,8947	-0,02	1,0000	-0,08	0,9684	0,29	0,3750	-0,79	0,0332	-0,70	0,0640	-0,79	0,0402	-0,20	0,6749
Usp37	73,46	-0,16	0,6895	-0,09	0,8766	-0,22	1,0000	0,20	0,8475	0,26	0,4437	-0,10	0,8903	0,09	0,9038	0,33	0,5739	0,31	0,3739
Usp38	133,34	-0,01	0,9754	0,41	0,0978	0,03	1,0000	0,20	0,7521	0,36	0,1656	0,49	0,1836	0,12	0,8548	0,19	0,8045	0,29	0,4274
Usp39	40,00	0,22	0,6060	0,45	0,2418	-0,10	1,0000	-0,10	0,9614	0,19	0,6319	0,48	0,3475	-0,09	0,9223	-0,06	0,9730	-0,09	0,8792
Usp4	173,75	0,27	0,3196	0,08	0,8693	0,04	1,0000	0,24	0,6940	0,67	0,0005	-0,26	0,5522	-0,31	0,4483	-0,09	0,9192	0,30	0,2800
Usp40	74,00	-0,10	0,8230	-0,59	0,0603	0,02	1,0000	-0,35	0,5425	-1,33	0,0000	-0,39	0,4837	-0,05	0,9575	-0,63	0,1866	-1,38	0,0000
Usp42	62,53	0,14	0,7426	-0,25	0,6189	-0,08	1,0000	-0,18	0,8894	0,15	0,6973	-0,57	0,2135	-0,19	0,7701	-0,26	0,7393	0,12	0,7803
Usp45	86,39	-0,27	0,4062	-0,09	0,8691	0,00	1,0000	-0,22	0,8147	-0,39	0,1758	-0,02	0,9771	0,49	0,2113	0,06	0,9609	0,04	0,9401
Usp46	131,82	0,26	0,4376	0,06	0,8972	-0,01	1,0000	-0,21	0,7668	-0,51	0,0222	0,19	0,7597	0,18	0,7782	-0,11	0,9192	-0,44	0,1774
Usp47	593,42	-0,03	0,9128	0,08	0,7892	-0,04	1,0000	0,04	0,9718	0,00	0,9972	0,11	0,7987	-0,02	0,9685	-0,11	0,8567	-0,12	0,7702
Usp48	77,85	-0,20	0,6452	0,21	0,6720	0,08	1,0000	0,33	0,6021	0,18	0,6003	0,34	0,5101	0,32	0,5440	0,06	0,9708	0,32	0,3911
Usp49	17,14	-0,04	0,9592	0,65	0,1825	0,16	NA	0,13	0,9563	0,25	0,6433	-0,09	0,9359	0,17	NA	-0,05	0,9827	0,21	0,7479
Usp5	100,79	0,17	0,6297	0,01	0,9822	0,05	1,0000	0,09	0,9533	0,37	0,1729	-0,12	0,8551	-0,34	0,4750	-0,04	0,9766	0,29	0,4788
Usp53	50,36	-0,18	0,7057	0,29	0,5324	0,38	0,8983	0,79	0,0148	0,54	0,0706	0,41	0,4487	0,46	0,3469	0,57	0,2330	0,54	0,2081

GeneID	CTL	ET-1 vs CTL		SAHA vs CTL		JS28 vs CTL		BSP vs CTL		JQ1 vs CTL		ET-1+SAHA vs ET1		ET-1+JS28 vs ET1		ET-1+BSP vs ET1		ET-1+JQ1 vs ET1	
	mean	log2(FC)	P-adj	log2(FC)	P-adj	log2(FC)	P-adj	log2(FC)	P-adj	log2(FC)	P-adj	log2(FC)	P-adj	log2(FC)	P-adj	log2(FC)	P-adj	log2(FC)	P-adj
Usp54	80,32	-0,30	0,3825	-0,58	0,0939	-0,25	1,0000	-0,57	0,1703	-0,16	0,6456	-0,02	0,9868	0,31	0,5266	0,11	0,9192	0,10	0,8159
Usp6nl	48,54	0,22	0,5617	-0,17	0,7688	0,28	1,0000	-0,01	0,9932	0,13	0,7364	-0,34	0,5688	0,15	0,8317	-0,10	0,9346	-0,05	0,9226
Usp7	220,58	0,04	0,9260	-0,06	0,8811	-0,01	1,0000	0,28	0,4619	0,20	0,4105	-0,16	0,7617	0,11	0,8504	0,17	0,8039	0,12	0,7982
Usp8	187,26	0,03	0,9277	0,29	0,2834	0,15	1,0000	0,22	0,7019	0,24	0,3158	0,04	0,9476	0,09	0,8856	0,14	0,8408	0,17	0,6306
Usp9x	1042,68	-0,30	0,0905	-0,32	0,1890	-0,08	1,0000	0,19	0,7084	0,29	0,1969	-0,29	0,3102	0,24	0,4422	0,23	0,5028	0,43	0,2057
Uspl1	43,37	0,29	0,4317	0,04	0,9665	-0,09	1,0000	-0,16	0,9213	-0,26	0,5192	-0,04	0,9647	0,09	0,9095	-0,28	0,7289	-0,58	0,1574
Ust	7,85	-0,46	0,4751	0,03	0,9822	0,01	NA	-0,07	0,9798	0,07	0,9238	-0,09	0,9446	0,18	NA	-0,35	NA	0,22	0,7988
Utp11l	29,27	0,28	0,5871	0,38	0,4906	0,02	NA	0,29	0,8039	0,02	0,9760	0,26	0,7388	0,14	0,8661	-0,22	0,8429	-0,09	0,8754
Utp14a	39,31	0,41	0,3240	0,45	0,2919	0,00	1,0000	0,05	0,9853	-0,41	0,3083	-0,22	0,7960	-0,69	0,1738	-0,42	0,5925	-0,54	0,2121
Utp14b	2,22	-0,10	NA	0,48	0,4662	0,05	NA	0,24	NA	0,28	0,7188	0,27	0,7958	0,26	NA	0,20	NA	0,11	0,9182
Utp15	26,05	0,58	0,1109	0,21	0,7649	0,41	NA	0,31	0,7495	0,49	0,2195	0,22	0,7801	-0,01	0,9952	-0,31	0,7398	-0,19	0,7253
Utp18	55,13	0,55	0,0363	0,44	0,2247	0,25	1,0000	0,52	0,2303	0,36	0,2524	0,07	0,9326	-0,07	0,9272	0,13	0,9023	0,05	0,9292
Utp20	114,35	0,36	0,1634	-0,38	0,2582	-0,19	1,0000	-0,23	0,7601	-0,80	0,0006	-0,70	0,0348	-0,49	0,1963	-0,89	0,0030	-1,23	0,0000
Utp23	9,31	-0,05	0,9557	0,03	0,9815	-0,01	NA	0,01	0,9968	0,00	0,9970	-0,04	0,9794	0,05	NA	-0,32	0,8020	0,41	0,5506
Utp3	68,44	-0,04	0,9398	0,29	0,4309	0,00	1,0000	0,11	0,9440	-0,27	0,3727	0,04	0,9707	-0,07	0,9244	0,03	0,9911	-0,14	0,7464
Utp6	110,82	0,08	0,8392	-0,21	0,5856	0,04	1,0000	0,16	0,8780	0,21	0,4344	-0,16	0,7758	0,16	0,7793	0,05	0,9630	0,04	0,9283
Utrn	726,11	-0,31	0,0815	-0,56	0,0003	-0,12	1,0000	-0,22	0,5115	-0,39	0,0172	-0,59	0,0242	-0,10	0,8406	-0,13	0,8416	-0,09	0,7616
Uty	107,50	-0,26	0,3751	-0,44	0,1631	0,04	1,0000	0,14	0,9096	-0,34	0,2286	0,02	0,9789	0,52	0,1365	0,36	0,4476	-0,19	0,6219
Uvrag	37,41	-0,07	0,9054	0,26	0,6122	0,09	1,0000	-0,05	0,9853	-0,25	0,5446	0,35	0,5727	0,12	0,8923	-0,09	0,9523	-0,02	0,9721
Uvssa	49,09	-0,46	0,1550	-0,04	0,9577	-0,10	1,0000	0,05	0,9853	0,21	0,5493	0,08	0,9320	0,40	0,4808	0,46	0,4651	0,61	0,0897
Uxs1	10,91	0,11	0,8913	0,10	0,9150	-0,25	NA	-0,03	0,9860	0,49	0,3919	-0,14	0,9072	-0,07	NA	-0,25	0,8583	0,48	0,4216
Uxt	10,36	-0,20	0,7844	-0,55	0,3866	-0,13	NA	-0,01	0,9932	-0,31	0,6332	0,03	0,9842	0,30	NA	0,10	0,9608	0,19	0,8017
Vac14	65,30	0,03	0,9602	-0,28	0,5512	-0,06	1,0000	-0,13	0,9399	0,18	0,6496	-0,01	0,9957	0,00	0,9963	-0,14	0,8982	0,04	0,9394
Vamp1	17,13	-0,39	0,4711	0,46	0,3668	-0,07	NA	0,10	0,9672	0,77	0,0731	0,72	0,2681	0,09	NA	0,47	0,6122	1,02	0,0349
Vamp2	89,09	-0,05	0,9194	-0,08	0,8750	-0,33	0,9678	-0,31	0,6211	0,74	0,0209	-0,06	0,9414	-0,29	0,6222	-0,19	0,8412	0,76	0,2404
Vamp3	180,65	0,13	0,7682	-0,22	0,5760	0,08	1,0000	0,15	0,8826	0,13	0,7159	0,17	0,7925	0,06	0,9447	-0,04	0,9852	-0,03	0,9548
Vamp4	36,74	-0,23	0,6183	0,32	0,4853	0,18	1,0000	0,32	0,6782	-0,13	0,7620	0,33	0,6365	0,10	0,9184	0,43	0,5306	-0,04	0,9619
Vamp5	2,40	-0,09	0,9230	0,34	0,6502	0,11	NA	0,06	NA	0,02	0,9855	0,60	0,4548	0,07	NA	-0,20	NA	-0,10	0,9246
Vamp7	52,40	-0,14	0,7849	0,02	0,9818	0,03	1,0000	0,07	0,9727	-0,47	0,1721	0,50	0,3475	0,39	0,4963	0,24	0,8122	-0,61	0,1919
Vamp8	30,74	-0,50	0,1781	-0,90	0,0174	-0,08	1,0000	-0,16	0,9249	-0,44	0,2589	-0,11	0,9180	0,26	0,7346	0,29	0,7779	-0,24	0,7066
Vangl1	65,59	-0,41	0,1545	0,06	0,9221	-0,05	1,0000	0,24	0,7688	0,43	0,0896	0,27	0,6492	0,04	0,9664	0,52	0,2597	0,70	0,0126
Vangl2	7,68	-0,42	0,5282	0,47	0,4800	0,09	NA	0,12	0,9628	-0,24	0,7327	0,68	0,3776	0,27	NA	0,23	0,8849	-0,25	0,7766
Vapa	169,32	0,34	0,1018	0,09	0,8195	0,18	1,0000	0,24	0,6491	0,09	0,7568	-0,11	0,8417	0,00	0,9963	0,09	0,9192	-0,09	0,8047
Vapb	107,86	0,06	0,9043	0,50	0,1199	0,02	1,0000	0,20	0,8504	-0,23	0,4972	0,12	0,8566	-0,17	0,7749	0,06	0,9570	-0,17	0,6491
Vars	68,54	0,49	0,1377	0,01	0,9857	-0,17	1,0000	-0,31	0,7138	-0,19	0,6617	-0,60	0,1755	-0,95	0,0082	-0,97	0,0075	-0,64	0,0920
Vars2	28,81	-0,02	0,9743	0,22	0,7045	0,05	NA	-0,07	0,9793	0,39	0,3509	0,07	0,9431	-0,32	0,6695	-0,01	0,9971	0,26	0,6378
Vash1	5,80	-0,08	0,9350	0,77	0,1676	0,10	NA	0,12	NA	0,86	0,0911	0,56	0,5120	-0,53	NA	-0,23	NA	0,80	0,2201
Vash2	28,35	-0,42	0,4817	-0,59	0,3298	-0,34	NA	-0,84	0,0632	-2,08	0,0000	0,27	0,7645	-0,05	0,9688	-0,81	0,2041	-2,23	0,0000
Vasn	33,38	0,09	0,8782	0,16	0,8066	0,52	0,4577	0,69	0,0875	0,55	0,0993	0,25	0,7369	0,28	0,6809	0,70	0,1264	0,78	0,0110
Vasp	63,97	0,44	0,2219	0,19	0,7047	-0,21	1,0000	-0,52	0,2630	-0,18	0,6940	-0,21	0,7836	-0,59	0,2247	-0,54	0,3523	-0,16	0,8181
Vat1	17,14	0,84	0,0564	1,36	0,0009	0,30	NA	-0,16	0,9399	0,12	0,8754	0,01	0,9956	-1,26	NA	-0,95	0,0867	-0,23	0,7462
Vaultrc5	52,23	-0,06	0,9427	0,34	0,5824	0,10	1,0000	0,08	0,9634	0,22	0,7721	0,17	0,8765	0,11	0,8968	0,42	0,6114	0,48	0,5125
Vav2	10,69	-1,04	0,0193	0,17	0,8389	-0,21	NA	-0,34	0,7443	-0,72	0,1802	0,93	0,1624	0,26	NA	0,54	0,5647	0,09	0,9300
Vbp1	98,36	0,19	0,5229	-0,08	0,8747	-0,04	1,0000	0,21	0,7987	0,08	0,8205	-0,11	0,8651	0,17	0,7513	0,31	0,5435	-0,12	0,7980
Vcam1	77,81	1,75	0,0000	-0,26	0,7347	-0,34	NA	-1,30	0,0002	-2,17	0,0000	-0,90	0,0194	-1,91	0,0000	-2,98	0,0000	-2,75	0,0000

GeneID	CTL	ET-1 vs CTL		SAHA vs CTL		JS28 vs CTL		BSP vs CTL		JQ1 vs CTL		ET-1+SAHA vs ET1		ET-1+JS28 vs ET1		ET-1+BSP vs ET1		ET-1+JQ1 vs ET1	
	mean	log2(FC)	P-adj	log2(FC)	P-adj	log2(FC)	P-adj	log2(FC)	P-adj	log2(FC)	P-adj	log2(FC)	P-adj	log2(FC)	P-adj	log2(FC)	P-adj	log2(FC)	P-adj
Vcan	142,00	-0,15	0,7928	0,28	0,6189	0,14	1,0000	-0,66	0,1510	-1,74	0,0000	0,31	0,5769	0,73	0,0377	-0,85	0,0225	-1,46	0,0000
Vcl	800,42	0,61	0,0001	-0,24	0,3367	-0,27	0,8983	-0,03	0,9853	0,60	0,0001	-0,28	0,3674	-0,37	0,1827	-0,18	0,6971	0,43	0,0125
Vcp	468,53	0,15	0,5647	-0,41	0,0831	-0,07	1,0000	0,00	0,9988	0,15	0,4906	-0,34	0,2572	-0,24	0,5032	0,03	0,9792	0,12	0,6127
Vcpip1	124,39	0,04	0,9133	0,00	0,9954	0,06	1,0000	0,09	0,9500	0,08	0,8130	-0,09	0,8889	0,09	0,8912	-0,04	0,9789	0,17	0,7046
Vcpkmt	5,51	0,17	0,8317	-0,04	0,9769	0,04	NA	0,01	NA	0,07	0,9388	0,18	0,8805	0,33	NA	0,00	1,0000	0,00	0,9988
Vdac1	725,12	0,09	0,7865	-0,01	0,9864	-0,01	1,0000	0,03	0,9853	-0,10	0,6446	0,05	0,9351	-0,08	0,8912	0,04	0,9674	-0,23	0,3998
Vdac2	524,95	0,73	0,0000	0,14	0,6512	0,06	1,0000	-0,05	0,9707	-0,01	0,9805	-0,15	0,7366	-0,50	0,0548	-0,34	0,2890	-0,45	0,0533
Vdac3	286,61	0,74	0,0000	-0,17	0,6444	-0,05	1,0000	-0,04	0,9853	-0,14	0,6701	-0,41	0,1630	-0,46	0,1039	-0,70	0,0026	-0,81	0,0074
Vegfa	143,05	0,91	0,0001	0,99	0,0000	0,37	0,7571	-0,06	0,9741	-0,21	0,5757	-0,08	0,9201	-0,06	0,9361	-0,91	0,0055	-1,17	0,0001
Vegfb	68,10	0,01	0,9867	-0,81	0,0089	-0,40	0,7942	-0,78	0,0204	-0,67	0,0432	-0,73	0,1507	-0,18	0,8305	-0,17	0,8915	-0,78	0,1037
Vegfc	12,13	-0,22	0,7517	0,02	0,9894	0,16	NA	-0,15	0,9449	-0,51	0,3847	0,10	0,9360	0,05	NA	-0,21	0,8960	-0,55	0,4087
VeZF1	251,92	-0,17	0,5059	-0,52	0,0050	-0,10	1,0000	-0,21	0,6430	-0,11	0,6496	-0,50	0,1406	-0,09	0,8910	-0,01	0,9931	0,12	0,7321
VeZt	53,56	-0,15	0,7203	0,09	0,8725	0,04	1,0000	0,03	0,9855	-0,50	0,0897	0,43	0,3966	0,37	0,4793	0,31	0,6664	-0,22	0,5946
Vgll2	1,79	-0,49	NA	0,42	0,5560	0,00	NA	-0,20	NA	-0,53	0,4183	0,57	NA	0,17	NA	-0,03	NA	-0,13	NA
Vgll4	26,94	0,04	0,9580	-0,28	0,6626	-0,26	NA	-0,07	0,9805	-0,05	0,9264	0,12	0,9031	0,02	0,9843	-0,10	0,9494	0,03	0,9662
Vhl	51,72	-0,31	0,3832	-0,30	0,4944	-0,19	1,0000	0,07	0,9746	-0,06	0,8928	-0,08	0,9346	0,14	0,8629	0,32	0,6709	0,41	0,2471
Vim	378,45	0,23	0,5059	-0,93	0,0003	-0,34	0,9212	-0,91	0,0004	-0,15	0,6363	-1,58	0,0000	-1,15	0,0000	-1,13	0,0000	-0,21	0,5556
Vimp	49,95	0,32	0,3897	-0,85	0,0255	-0,26	1,0000	-0,30	0,7454	-0,33	0,3904	-0,70	0,1129	-0,08	0,9288	-0,46	0,4295	-0,26	0,5673
Vipas39	43,39	0,07	0,9032	-0,03	0,9730	0,20	1,0000	-0,04	0,9853	-0,11	0,8191	0,12	0,8885	0,11	0,9064	-0,03	0,9918	-0,02	0,9757
Vkorc1	12,91	-0,14	0,8409	0,19	0,8238	-0,04	NA	-0,22	0,8881	0,04	0,9580	0,09	0,9404	-0,06	NA	-0,26	0,8501	-0,29	0,6669
Vkorc11l	75,92	0,15	0,6731	0,14	0,7792	-0,04	1,0000	-0,10	0,9516	0,27	0,3818	-0,14	0,8298	-0,09	0,9014	-0,21	0,7903	0,20	0,5734
Vldlr	934,31	0,15	0,5994	-0,60	0,0000	-0,06	1,0000	-0,15	0,7138	-0,38	0,0020	-0,61	0,0413	0,05	0,9434	-0,24	0,6451	-0,60	0,0185
Vma21	65,83	0,22	0,5566	-0,19	0,7164	-0,06	1,0000	-0,12	0,9437	-0,32	0,3534	0,18	0,7809	0,18	0,7743	-0,35	0,5809	-0,53	0,1441
Vmac	26,85	-0,18	0,7450	0,54	0,1946	0,26	1,0000	0,21	0,8786	0,70	0,0262	0,48	0,4761	0,08	0,9432	0,04	0,9862	0,73	0,0741
Vmn2r1	1,08	-0,18	NA	-0,33	NA	-0,06	NA	-0,08	NA	0,18	0,8133	0,14	NA	0,06	NA	0,25	NA	0,37	NA
Vmp1	150,15	0,90	0,0001	0,35	0,2368	-0,02	1,0000	-0,04	0,9853	0,36	0,1912	-0,12	0,8596	-0,44	0,3280	-0,52	0,2292	-0,38	0,2903
Vopp1	32,93	0,40	0,3357	-0,35	0,5575	-0,08	NA	-0,20	0,8966	-1,09	0,0131	-0,32	0,6365	-0,16	0,8442	-0,56	0,3578	-1,21	0,0008
Vprbp	122,98	-0,04	0,9398	0,02	0,9779	-0,15	1,0000	-0,23	0,7413	-0,20	0,4872	0,20	0,7186	0,04	0,9628	-0,24	0,7227	-0,14	0,7084
Vps11	70,19	0,08	0,8760	0,31	0,4028	0,16	1,0000	0,34	0,5477	0,57	0,0298	0,25	0,7027	0,00	0,9963	0,15	0,8866	0,57	0,0819
Vps13a	222,80	-0,28	0,2240	-0,03	0,9526	-0,08	1,0000	0,34	0,4111	0,29	0,2613	-0,06	0,9201	0,43	0,1567	0,36	0,2977	0,43	0,2807
Vps13b	197,39	-0,43	0,0369	0,04	0,9264	0,03	1,0000	0,12	0,9050	-0,26	0,2609	0,04	0,9564	0,24	0,6081	0,14	0,8501	-0,30	0,4651
Vps13c	300,47	-0,55	0,0004	0,34	0,1179	-0,15	1,0000	0,02	0,9853	-0,21	0,3853	0,17	0,7103	0,20	0,6266	0,43	0,1397	0,13	0,6514
Vps13d	483,55	-0,31	0,0982	-0,26	0,2709	-0,22	1,0000	-0,02	0,9853	-0,34	0,0673	-0,13	0,7815	0,01	0,9819	0,17	0,7583	-0,15	0,5733
Vps16	48,61	-0,09	0,8428	-0,15	0,7842	0,08	1,0000	-0,02	0,9901	0,10	0,7980	-0,23	0,7471	-0,01	0,9878	0,04	0,9862	-0,01	0,9924
Vps18	38,59	-0,06	0,9195	-0,19	0,7513	0,07	1,0000	-0,17	0,9088	0,27	0,5080	-0,27	0,7239	-0,25	0,7336	0,08	0,9616	0,48	0,3077
Vps25	131,75	0,35	0,1991	0,11	0,8119	-0,13	1,0000	-0,03	0,9853	0,44	0,0451	0,48	0,1949	0,00	0,9989	-0,14	0,8660	0,39	0,1777
Vps26a	106,79	0,16	0,6772	-0,13	0,7708	-0,02	1,0000	0,04	0,9853	0,39	0,1574	-0,02	0,9840	0,00	0,9963	-0,15	0,8813	0,17	0,7336
Vps26b	101,58	0,02	0,9540	0,19	0,5994	0,06	1,0000	0,16	0,8579	0,28	0,2433	0,10	0,8790	-0,06	0,9400	0,21	0,7660	0,19	0,5699
Vps28	42,09	0,05	0,9374	-0,29	0,6229	-0,25	1,0000	-0,13	0,9472	-0,15	0,7722	0,06	0,9509	-0,25	0,7274	-0,11	0,9334	-0,07	0,9006
Vps29	50,87	-0,06	0,9151	0,18	0,7426	0,07	1,0000	0,00	0,9986	-0,32	0,4625	0,73	0,0896	0,21	0,7685	0,21	0,8446	0,00	0,9982
Vps33a	78,60	-0,06	0,8910	-0,51	0,1322	-0,09	1,0000	-0,03	0,9853	-0,09	0,8335	-0,50	0,2800	-0,09	0,9089	0,08	0,9492	-0,12	0,7654
Vps33b	18,30	0,29	0,6266	0,16	0,8543	0,02	NA	-0,28	0,8292	0,19	0,7592	0,39	0,5915	-0,14	NA	-0,25	0,8446	-0,01	0,9935
Vps35	456,22	0,10	0,6207	-0,09	0,7686	-0,04	1,0000	0,00	0,9977	0,23	0,3717	-0,10	0,8382	-0,02	0,9694	-0,02	0,9861	0,17	0,6791
Vps36	58,89	0,05	0,9263	-0,40	0,3050	-0,19	1,0000	-0,02	0,9901	0,03	0,9481	-0,48	0,3402	0,13	0,8618	-0,24	0,7863	-0,06	0,9118
Vps37a	166,71	-0,12	0,7476	0,20	0,6486	0,09	1,0000	0,11	0,9430	-0,08	0,8281	0,34	0,3586	0,53	0,0736	0,26	0,5951	-0,06	0,8797

GeneID	CTL	ET-1 vs CTL		SAHA vs CTL		JS28 vs CTL		BSP vs CTL		JQ1 vs CTL		ET-1+SAHA vs ET1		ET-1+JS28 vs ET1		ET-1+BSP vs ET1		ET-1+JQ1 vs ET1	
	mean	log2(FC)	P-adj	log2(FC)	P-adj	log2(FC)	P-adj	log2(FC)	P-adj	log2(FC)	P-adj	log2(FC)	P-adj	log2(FC)	P-adj	log2(FC)	P-adj	log2(FC)	P-adj
Vps37b	82,25	-0,23	0,4457	-0,31	0,3756	-0,08	1,0000	-0,21	0,8147	0,26	0,2999	0,11	0,8765	-0,11	0,8779	0,31	0,5949	0,66	0,0393
Vps37c	54,22	0,02	0,9699	-0,67	0,0445	0,02	1,0000	-0,42	0,4873	0,19	0,5920	-0,55	0,2674	-0,41	0,4392	-0,22	0,8058	0,32	0,3978
Vps37d	1,90	-0,11	NA	0,34	0,6555	-0,02	NA	0,04	NA	-0,16	0,8484	0,11	NA	0,19	NA	-0,26	NA	-0,44	NA
Vps39	97,84	-0,03	0,9506	-0,03	0,9665	0,13	1,0000	0,23	0,7630	0,01	0,9784	-0,09	0,9004	0,04	0,9628	0,11	0,9074	0,19	0,5588
Vps41	127,67	-0,30	0,2234	0,10	0,8300	0,08	1,0000	-0,03	0,9853	-0,54	0,0144	0,32	0,4324	0,35	0,3923	0,20	0,7608	-0,37	0,2730
Vps45	13,88	0,35	0,5373	0,26	0,7332	0,10	NA	0,15	0,9430	0,25	0,6610	0,05	0,9698	-0,08	NA	0,11	0,9494	-0,04	0,9559
Vps4a	117,32	0,13	0,6533	-0,33	0,2467	-0,01	1,0000	0,14	0,8797	0,09	0,7670	-0,42	0,2726	-0,11	0,8558	0,08	0,9347	0,13	0,6954
Vps4b	100,11	0,02	0,9697	-0,16	0,6887	-0,03	1,0000	-0,10	0,9430	-0,15	0,6359	-0,02	0,9818	0,10	0,8812	-0,15	0,8511	-0,14	0,6975
Vps51	32,56	0,13	0,8086	-0,49	0,2884	0,05	1,0000	0,03	0,9855	0,08	0,8776	-0,53	0,3821	-0,20	0,8062	0,03	0,9918	0,00	0,9988
Vps52	64,36	0,02	0,9686	-0,67	0,0474	-0,02	1,0000	-0,35	0,6175	-0,29	0,4040	-0,66	0,1608	-0,39	0,4867	-0,22	0,8121	-0,26	0,5841
Vps53	108,46	-0,15	0,6481	0,04	0,9356	0,11	1,0000	0,00	0,9988	0,13	0,6535	0,18	0,7507	0,16	0,7925	0,17	0,8270	0,20	0,5593
Vps54	196,08	-0,18	0,5429	-0,14	0,7341	0,14	1,0000	0,10	0,9372	-0,21	0,4646	0,00	0,9976	0,48	0,1245	0,18	0,7481	0,05	0,9099
Vps72	30,37	-0,34	0,4584	-0,38	0,4817	-0,12	1,0000	-0,17	0,9215	-0,01	0,9876	-0,16	0,8669	-0,25	0,7578	0,05	0,9858	0,24	0,6839
Vps8	78,69	0,04	0,9365	-0,03	0,9622	0,19	1,0000	0,42	0,2744	0,49	0,0297	-0,11	0,8721	0,02	0,9837	0,24	0,7341	0,52	0,0588
Vps9d1	65,39	0,13	0,7709	-0,62	0,0855	-0,11	1,0000	-0,29	0,7250	-0,15	0,7447	-0,92	0,0152	-0,56	0,2034	-0,17	0,8551	-0,45	0,3059
Vrk1	16,17	-0,37	0,4988	-0,65	0,2271	0,00	NA	0,26	0,8369	-0,36	0,5052	-0,34	0,7258	0,16	NA	0,19	0,9065	0,11	0,8896
Vrk2	27,32	-0,09	0,8903	-0,32	0,6031	-0,17	NA	0,08	0,9746	-0,48	0,2721	-0,35	0,6466	0,27	0,7138	-0,18	0,8951	-0,87	0,0720
Vrk3	55,06	-0,03	0,9554	-0,89	0,0055	-0,22	1,0000	0,02	0,9884	0,60	0,0181	-0,54	0,2965	-0,24	0,7036	0,34	0,6031	0,67	0,0224
Vsig10	24,53	-0,79	0,0329	-0,68	0,1102	0,04	NA	-0,20	0,8939	-0,87	0,0198	-0,24	0,8095	0,06	NA	0,02	0,9931	-0,11	0,8896
Vsig10l	6,50	0,38	0,5759	0,75	0,1941	0,01	NA	0,15	NA	0,46	0,4728	0,23	0,8379	-0,23	NA	0,00	1,0000	-0,08	0,9323
Vsn1	167,25	-0,71	0,0264	-0,56	0,1621	-0,15	1,0000	-0,25	0,8095	-0,98	0,0005	0,57	0,1354	0,82	0,0097	0,47	0,2985	0,17	0,6889
Vstm4	1,70	-0,30	NA	-0,29	0,6693	-0,09	NA	-0,12	NA	-0,29	0,6892	0,15	NA	0,01	NA	0,16	NA	-0,17	NA
Vta1	54,01	0,14	0,7558	-0,12	0,8363	-0,18	1,0000	-0,09	0,9628	-0,60	0,0532	-0,27	0,6643	-0,23	0,7226	-0,22	0,8095	-0,53	0,1187
Vti1a	40,17	0,09	0,8597	0,03	0,9766	-0,05	1,0000	-0,09	0,9634	0,21	0,6100	-0,19	0,8044	-0,23	0,7319	0,09	0,9492	0,49	0,1587
Vti1b	66,48	0,28	0,3730	0,10	0,8516	-0,03	1,0000	0,18	0,8756	0,44	0,0769	-0,06	0,9394	-0,11	0,8779	0,03	0,9911	0,07	0,8848
Vva5a	182,10	-0,48	0,0159	-0,76	0,0001	-0,11	1,0000	-0,04	0,9805	0,12	0,5912	-0,22	0,6621	0,00	0,9975	-0,03	0,9878	0,23	0,4663
Vva7	2,82	-0,05	0,9630	-0,37	0,5954	0,00	NA	-0,26	NA	-0,50	0,4594	-0,43	NA	-0,08	NA	-0,30	NA	-0,55	0,4668
Vva8	232,66	-0,33	0,1634	0,36	0,0824	-0,07	1,0000	0,19	0,7230	-0,12	0,6224	0,45	0,2192	0,17	0,7610	0,19	0,7903	0,14	0,7092
Vva9	68,93	0,20	0,5786	-0,48	0,1946	-0,10	1,0000	-0,35	0,6051	-0,28	0,4235	-0,32	0,5652	-0,13	0,8504	-0,47	0,3460	-0,25	0,4665
Vwc2	12,24	-0,34	0,6176	-0,48	0,4735	-0,29	NA	-0,17	0,9340	-0,34	0,6052	0,06	0,9650	-0,23	NA	0,30	0,8203	-0,44	0,5599
Wac	306,58	-0,04	0,9105	-0,07	0,8621	0,13	1,0000	0,11	0,9125	0,18	0,4801	-0,17	0,7556	0,36	0,3398	0,14	0,8474	0,24	0,5171
Wapal	216,23	-0,15	0,5698	0,31	0,1961	0,18	1,0000	0,19	0,7392	-0,01	0,9757	0,30	0,4616	0,41	0,2169	0,42	0,1890	0,12	0,8045
Wars	85,46	0,71	0,0071	0,01	0,9845	-0,25	1,0000	-0,30	0,6589	-0,01	0,9913	-0,65	0,1251	-0,89	0,0178	-0,59	0,2050	-0,60	0,1308
Wars2	31,53	-0,24	0,6213	-0,27	0,6387	-0,25	1,0000	-0,04	0,9853	0,04	0,9487	-0,17	0,8512	0,00	0,9973	0,16	0,9028	0,29	0,5639
Wasf1	16,65	-0,08	0,9195	0,19	0,8066	-0,31	NA	0,26	0,8420	0,99	0,0055	0,36	0,6808	-0,12	NA	0,20	0,8982	1,54	0,0000
Wasf2	107,10	-0,18	0,5757	-0,31	0,3363	-0,08	1,0000	-0,20	0,8064	-0,06	0,8844	-0,46	0,2796	-0,38	0,4239	-0,18	0,8289	0,17	0,7134
Wasf3	3,91	0,10	0,9149	0,60	0,3425	-0,03	NA	-0,05	NA	0,21	0,7980	0,47	0,6225	-0,09	NA	-0,11	NA	0,38	0,6260
Wash	39,34	-0,48	0,2105	-0,23	0,7096	0,00	1,0000	0,04	0,9853	0,50	0,1572	-0,27	0,7400	-0,10	0,9152	0,23	0,8290	0,80	0,0759
Wasl	200,93	0,08	0,8525	0,12	0,8215	0,01	1,0000	0,19	0,8369	0,38	0,1214	0,23	0,6250	0,19	0,6932	0,06	0,9570	0,40	0,0940
Wbp1	40,94	-0,50	0,2258	-0,41	0,4401	-0,08	1,0000	-0,05	0,9853	0,01	0,9919	0,28	0,7105	-0,02	0,9851	0,45	0,5177	0,64	0,0656
Wbp11	93,50	0,08	0,8519	-0,24	0,5507	-0,09	1,0000	-0,03	0,9853	0,13	0,7424	-0,55	0,2007	-0,13	0,8558	0,01	0,9967	0,16	0,7046
Wbp1l	179,70	-0,41	0,0401	0,00	0,9981	0,25	1,0000	0,42	0,1443	0,26	0,2793	-0,01	0,9957	0,22	0,6353	0,52	0,1190	0,38	0,2657
Wbp2	226,41	0,08	0,8775	-0,81	0,0002	-0,16	1,0000	-0,38	0,3210	0,69	0,0327	-0,75	0,0762	-0,37	0,4954	-0,24	0,7721	0,74	0,1038
Wbp4	54,09	0,15	0,7602	0,22	0,6668	0,08	1,0000	-0,19	0,8901	0,05	0,9162	-0,07	0,9355	-0,10	0,9096	0,08	0,9563	-0,03	0,9530
Wbp5	132,38	0,05	0,9290	-0,07	0,9237	-0,28	1,0000	-0,36	0,5926	-0,16	0,6916	0,36	0,4067	-0,01	0,9837	-0,26	0,6750	-0,22	0,5871

GeneID	CTL	ET-1 vs CTL		SAHA vs CTL		JS28 vs CTL		BSP vs CTL		JQ1 vs CTL		ET-1+SAHA vs ET1		ET-1+JS28 vs ET1		ET-1+BSP vs ET1		ET-1+JQ1 vs ET1	
	mean	log2(FC)	P-adj	log2(FC)	P-adj	log2(FC)	P-adj	log2(FC)	P-adj	log2(FC)	P-adj	log2(FC)	P-adj	log2(FC)	P-adj	log2(FC)	P-adj	log2(FC)	P-adj
Wbscr16	8,94	0,16	0,8477	0,20	0,8189	-0,04	NA	-0,04	0,9853	-0,06	0,9465	-0,28	0,7972	-0,07	NA	0,25	0,8577	-0,68	0,3131
Wbscr17	9,37	-0,99	0,0329	0,33	0,6400	0,30	NA	0,33	0,7605	0,07	0,9269	0,34	0,7446	0,10	NA	0,45	0,6686	0,77	0,2290
Wbscr22	14,54	-0,07	0,9254	-0,05	0,9665	-0,17	NA	-0,15	0,9430	0,03	0,9721	0,21	0,8435	-0,13	NA	0,06	0,9792	0,12	0,8723
Wbscr27	16,09	-0,59	0,2233	1,07	0,0022	0,49	NA	0,05	0,9853	-0,40	0,4340	0,92	0,1237	0,67	NA	0,40	0,7091	-0,06	0,9506
Wdfy1	68,63	0,29	0,3418	-0,07	0,9003	0,05	1,0000	-0,06	0,9770	-0,52	0,0845	-0,62	0,1322	-0,15	0,8268	-0,62	0,1436	-0,93	0,0015
Wdfy2	7,20	-0,11	0,9002	0,54	0,4101	0,09	NA	0,04	0,9853	0,21	0,7728	0,59	0,4650	0,47	NA	0,12	0,9496	0,40	0,6091
Wdfy3	391,04	-0,24	0,2326	-0,66	0,0000	-0,14	1,0000	0,09	0,9084	0,19	0,2949	-0,67	0,0170	-0,15	0,7401	0,27	0,5374	0,34	0,1292
Wdhd1	7,96	-0,10	0,9068	0,80	0,1193	-0,15	NA	-0,19	0,9158	0,01	0,9906	0,15	0,9046	0,07	NA	-0,11	0,9570	0,07	0,9392
Wdpcp	14,55	-0,56	0,2487	0,89	0,0264	0,31	NA	0,13	0,9484	-0,60	0,2147	1,33	0,0063	0,64	NA	0,25	0,8577	-0,25	0,7425
Wdr1	193,71	0,63	0,0011	0,07	0,8551	-0,01	1,0000	0,22	0,6740	0,46	0,0154	-0,32	0,4493	-0,61	0,0602	-0,34	0,4707	-0,04	0,9277
Wdr11	85,68	-0,37	0,1239	-0,26	0,4461	0,04	1,0000	0,07	0,9634	-0,62	0,0054	0,04	0,9572	0,34	0,4751	0,05	0,9753	-0,15	0,7035
Wdr12	33,50	0,31	0,4374	0,43	0,3399	-0,03	NA	-0,01	0,9975	-0,38	0,4051	0,00	0,9976	-0,30	0,6505	-0,68	0,2142	-0,67	0,0861
Wdr13	108,74	-0,41	0,0743	-1,11	0,0000	-0,27	1,0000	-0,08	0,9550	0,18	0,4792	-0,87	0,0112	0,08	0,9086	0,44	0,2975	0,68	0,0035
Wdr18	30,90	0,08	0,9032	0,05	0,9549	-0,26	NA	-0,14	0,9430	0,06	0,9141	-0,19	0,8384	-0,34	0,6505	-0,03	0,9918	0,43	0,3502
Wdr19	28,83	-0,81	0,0095	0,93	0,0007	0,19	1,0000	-0,13	0,9430	-0,64	0,0663	1,23	0,0030	0,75	0,1285	0,37	0,6882	-0,34	0,5948
Wdr20	23,57	0,13	0,8199	0,30	0,6003	0,29	NA	0,26	0,8291	0,03	0,9633	0,19	0,8251	0,01	0,9946	0,37	0,6550	0,18	0,7373
Wdr24	22,09	-0,16	0,8095	0,38	0,4800	0,25	NA	0,40	0,6070	0,46	0,2513	0,60	0,3570	0,13	0,9052	0,28	0,8160	0,22	0,7306
Wdr25	6,42	-0,16	0,8493	0,30	0,7134	0,03	NA	0,20	0,9060	0,32	0,6312	-0,14	0,9171	-0,19	NA	0,48	0,6374	-0,04	0,9706
Wdr26	536,13	-0,32	0,2148	0,30	0,2726	0,30	0,9212	0,31	0,4665	0,41	0,0366	0,61	0,0397	0,63	0,0277	0,60	0,0345	0,72	0,0049
Wdr3	37,95	-0,20	0,6520	0,14	0,8125	-0,08	1,0000	0,02	0,9901	-0,25	0,5215	0,02	0,9856	0,08	0,9307	-0,18	0,8833	-0,20	0,6688
Wdr33	121,03	0,06	0,8824	0,00	0,9935	-0,09	1,0000	0,03	0,9853	0,28	0,3082	-0,23	0,6722	0,03	0,9699	0,18	0,8058	0,21	0,5195
Wdr34	13,78	-0,44	0,4473	-0,36	0,6135	-0,17	NA	-0,39	0,6787	-0,32	0,5934	-0,14	0,9089	0,13	NA	0,06	0,9807	-0,12	0,8860
Wdr35	45,30	-0,58	0,0760	0,38	0,3981	-0,15	1,0000	-0,33	0,6782	-0,57	0,0943	0,88	0,0239	0,31	0,6288	-0,06	0,9784	-0,41	0,3516
Wdr36	62,48	0,07	0,8856	-0,09	0,8895	-0,12	1,0000	-0,05	0,9853	-0,41	0,2801	0,05	0,9572	-0,14	0,8536	-0,21	0,8197	-0,43	0,2592
Wdr37	163,82	-0,24	0,3256	-0,13	0,7355	-0,13	1,0000	0,09	0,9447	-0,19	0,4376	0,32	0,4051	0,20	0,6735	-0,02	0,9911	0,05	0,9283
Wdr4	15,78	0,18	0,7858	-0,16	0,8524	0,09	NA	-0,06	0,9853	-0,37	0,5264	-0,25	0,7984	-0,72	NA	-0,57	0,4816	-0,94	0,0596
Wdr41	41,67	-0,14	0,7792	-0,15	0,7851	-0,06	1,0000	-0,23	0,8318	-0,57	0,0766	0,15	0,8586	0,27	0,6946	0,08	0,9591	-0,28	0,5482
Wdr43	104,69	0,29	0,3363	-0,06	0,9050	-0,02	1,0000	-0,02	0,9860	-0,15	0,6398	-0,25	0,6583	-0,02	0,9765	-0,20	0,8100	-0,33	0,4185
Wdr44	89,21	0,02	0,9779	0,46	0,1792	0,07	1,0000	0,19	0,8643	-0,13	0,7249	0,29	0,5667	0,33	0,5032	0,30	0,6122	0,24	0,5226
Wdr45	35,64	-0,46	0,1851	0,11	0,8560	0,13	1,0000	0,27	0,7443	0,64	0,0173	0,07	0,9470	0,27	0,7068	0,32	0,7186	0,80	0,0193
Wdr45b	109,40	0,10	0,7888	-0,11	0,8112	0,00	1,0000	0,11	0,9399	-0,13	0,6962	-0,03	0,9666	0,01	0,9940	0,15	0,8492	-0,20	0,5753
Wdr46	24,43	0,51	0,2411	0,16	0,8325	0,06	NA	-0,36	0,7167	-0,08	0,9037	-0,99	0,0572	-0,54	0,3675	-0,51	0,4935	-0,31	0,5564
Wdr47	41,94	0,16	0,7117	0,52	0,1401	0,12	1,0000	0,13	0,9389	0,59	0,0318	0,72	0,0668	0,02	0,9857	0,10	0,9416	0,72	0,0210
Wdr48	99,20	-0,08	0,8455	0,00	0,9975	0,12	1,0000	0,26	0,6746	0,20	0,4593	-0,20	0,7498	0,27	0,5863	0,24	0,7206	0,25	0,4595
Wdr5	39,87	0,18	0,6891	-0,18	0,7548	-0,05	1,0000	0,04	0,9853	0,50	0,1166	-0,39	0,5127	-0,44	0,4392	-0,28	0,7552	0,20	0,6378
Wdr53	6,84	0,01	0,9948	0,55	0,3933	0,18	NA	0,36	0,7037	-0,02	0,9836	0,26	0,8135	0,08	NA	0,23	0,8796	0,12	0,8963
Wdr55	12,00	0,11	0,8846	-0,58	0,3473	0,04	NA	-0,23	0,8797	0,25	0,6823	-0,11	0,9316	-0,29	NA	-0,12	0,9492	-0,05	0,9506
Wdr59	44,36	-0,22	0,6271	0,38	0,3418	0,09	1,0000	0,34	0,6186	-0,45	0,2053	0,27	0,7103	0,26	0,7016	0,02	0,9922	-0,16	0,7587
Wdr5b	7,45	0,06	0,9432	-0,08	0,9429	-0,01	NA	-0,12	0,9601	-0,90	0,1317	-0,01	0,9930	-0,47	NA	-0,27	0,8469	-0,85	0,2013
Wdr6	89,45	-0,70	0,0082	-0,69	0,0110	-0,31	0,9896	-0,29	0,6307	0,28	0,2861	-0,45	0,4121	0,13	0,8713	0,40	0,5113	0,86	0,0049
Wdr60	1,28	-0,40	NA	0,48	0,4619	-0,01	NA	0,15	NA	-0,47	0,4424	0,62	NA	0,25	NA	0,11	NA	-0,12	NA
Wdr61	29,43	0,28	0,5701	0,13	0,8621	0,04	NA	0,06	0,9853	0,08	0,8920	0,36	0,5954	-0,23	0,7780	0,02	0,9931	-0,11	0,8546
Wdr62	9,62	-0,33	0,6329	-0,67	0,2559	0,15	NA	-0,05	0,9853	-0,06	0,9396	0,06	0,9666	-0,15	NA	0,02	0,9936	0,62	0,3523
Wdr7	127,45	-0,32	0,3055	0,18	0,6678	0,08	1,0000	0,19	0,8318	-0,05	0,8984	0,23	0,6791	0,16	0,7981	0,30	0,6075	0,32	0,4185
Wdr70	12,13	-0,54	0,2832	0,20	0,7980	-0,10	NA	-0,01	0,9951	0,22	0,7204	0,71	0,3026	0,62	NA	0,61	0,4560	1,19	0,0077

GeneID	CTL	ET-1 vs CTL		SAHA vs CTL		JS28 vs CTL		BSP vs CTL		JQ1 vs CTL		ET-1+SAHA vs ET1		ET-1+JS28 vs ET1		ET-1+BSP vs ET1		ET-1+JQ1 vs ET1	
	mean	log2(FC)	P-adj	log2(FC)	P-adj	log2(FC)	P-adj	log2(FC)	P-adj	log2(FC)	P-adj	log2(FC)	P-adj	log2(FC)	P-adj	log2(FC)	P-adj	log2(FC)	P-adj
Wdr73	11,31	-0,18	0,8026	-0,21	0,8099	-0,10	NA	-0,04	0,9853	0,22	0,7258	-0,19	0,8688	-0,04	NA	0,00	1,0000	0,21	0,7709
Wdr74	21,57	0,65	0,0949	0,16	0,8408	-0,12	NA	-0,05	0,9853	0,55	0,2053	-0,31	0,7027	-0,85	0,0973	-0,80	0,1710	-0,16	0,7955
Wdr75	56,73	0,39	0,2335	0,05	0,9396	-0,10	1,0000	0,07	0,9741	-0,08	0,8469	-0,19	0,7826	-0,36	0,5043	-0,20	0,8365	-0,34	0,4654
Wdr76	16,65	-0,05	0,9498	0,19	0,8162	-0,13	NA	-0,30	0,8062	-0,40	0,4754	0,14	0,9018	0,34	NA	-0,37	0,7320	-0,75	0,1904
Wdr77	72,26	0,42	0,1350	0,22	0,6490	0,19	1,0000	0,22	0,8283	0,33	0,3028	0,12	0,8566	-0,09	0,9064	-0,18	0,8368	-0,02	0,9618
Wdr78	3,14	-0,43	0,5236	-0,28	0,7329	0,05	NA	-0,27	NA	0,49	0,4658	0,10	0,9343	-0,13	NA	-0,09	NA	0,21	0,8245
Wdr8	6,19	-0,43	0,5074	0,12	0,9055	0,17	NA	0,08	0,9779	0,72	0,1445	0,15	0,9048	0,34	NA	0,58	0,5206	1,18	0,0310
Wdr81	53,00	-0,56	0,0600	0,06	0,9251	0,09	1,0000	0,15	0,9158	0,51	0,0899	0,05	0,9572	0,01	0,9963	0,41	0,5040	0,87	0,0059
Wdr82	163,48	-0,02	0,9530	-0,21	0,5441	-0,22	1,0000	-0,05	0,9777	0,15	0,6020	-0,26	0,5585	-0,09	0,8909	0,05	0,9604	0,18	0,5570
Wdr83	20,34	0,15	0,8112	0,15	0,8474	-0,24	NA	-0,22	0,8798	-0,24	0,6718	0,14	0,8905	-0,09	NA	-0,16	0,9115	-0,05	0,9498
Wdr83os	30,34	0,66	0,0968	0,16	0,8450	-0,11	NA	-0,26	0,8448	-0,54	0,2768	-0,08	0,9307	-0,30	0,6693	-0,93	0,0492	-0,64	0,1561
Wdr89	5,48	0,51	0,4177	0,00	0,9981	0,01	NA	-0,08	NA	-0,61	0,3573	-0,25	0,8291	-0,25	NA	-0,47	0,6449	-0,89	0,1772
Wdr90	8,76	-0,16	0,8373	-0,03	0,9822	0,15	NA	0,05	0,9853	0,18	0,7869	-0,07	0,9596	-0,31	NA	0,00	1,0000	0,42	0,5710
Wdr91	23,06	-0,35	0,4595	0,43	0,3765	0,02	NA	0,13	0,9472	0,46	0,2061	0,29	0,7305	-0,11	NA	0,47	0,5705	0,45	0,3618
Wdr92	21,53	-0,07	0,9237	0,28	0,6564	0,04	NA	0,12	0,9602	-0,12	0,8406	0,34	0,6763	0,46	0,4730	0,20	0,8800	-0,27	0,6579
Wdsub1	39,20	-0,64	0,0682	-0,48	0,2453	-0,11	1,0000	0,03	0,9853	-0,28	0,4470	0,21	0,8139	0,46	0,4534	0,16	0,9077	-0,01	0,9905
Wdte1	97,54	-0,21	0,4947	0,25	0,4538	0,17	1,0000	0,10	0,9406	0,50	0,0450	0,21	0,7176	-0,24	0,6690	0,20	0,7865	0,64	0,0420
Wdyhv1	15,37	-0,06	0,9350	0,41	0,4876	-0,02	NA	0,11	0,9634	0,28	0,5971	0,79	0,1755	0,05	NA	0,45	0,6178	0,51	0,3715
Wee1	34,72	-0,42	0,2453	-0,24	0,6595	0,04	1,0000	-0,33	0,6883	-1,12	0,0009	0,44	0,4684	0,34	0,6101	-0,33	0,7269	-0,63	0,1528
Wfs1	67,81	0,28	0,3786	0,21	0,6558	0,09	1,0000	-0,02	0,9860	0,46	0,1319	0,04	0,9629	-0,33	0,5266	-0,33	0,5895	0,28	0,4218
Whamm	23,98	-0,09	0,8938	0,14	0,8471	0,09	NA	-0,07	0,9805	0,24	0,6100	-0,13	0,9032	0,05	0,9661	-0,13	0,9400	0,30	0,5942
Whrn	4,10	0,73	0,1951	1,17	0,0179	0,13	NA	0,13	NA	1,08	0,0617	0,09	0,9446	-0,12	NA	-0,08	0,9722	0,04	0,9746
Whsc1	164,88	0,01	0,9777	-0,14	0,6884	-0,09	1,0000	-0,14	0,8797	-0,23	0,2876	-0,21	0,6526	-0,04	0,9466	-0,17	0,8039	-0,28	0,3582
Whsc111	199,20	-0,34	0,2080	0,36	0,2055	-0,01	1,0000	0,25	0,6770	0,45	0,0635	0,31	0,4615	0,42	0,2577	0,59	0,0610	0,80	0,0002
Wibg	8,86	0,21	0,7745	0,24	0,7779	0,09	NA	0,10	0,9717	-0,36	0,6052	0,28	0,7842	-0,08	NA	-0,13	0,9471	-0,78	0,2087
Wif1	5,73	0,07	0,9419	0,13	0,8928	0,39	NA	0,01	NA	-0,72	0,2528	0,15	0,9098	1,20	NA	0,30	0,8285	-0,93	0,1755
Wipf1	6,39	0,33	0,6487	0,03	0,9799	0,06	NA	0,13	NA	-0,32	0,6671	-0,70	0,3716	0,02	NA	-0,41	0,7156	-1,11	0,0770
Wipf2	74,12	0,15	0,6966	-0,26	0,5475	-0,01	1,0000	-0,27	0,7266	0,47	0,0779	-0,90	0,0120	-0,35	0,4836	-0,28	0,6761	0,38	0,3567
Wipf3	21,48	-0,15	0,8271	1,06	0,0037	-0,01	NA	0,17	0,9250	-0,59	0,2139	1,11	0,0191	0,61	0,3105	0,55	0,4674	-0,59	0,3280
Wipi1	272,29	-0,30	0,0797	0,22	0,3346	0,14	1,0000	0,07	0,9516	0,05	0,8475	0,37	0,2389	0,25	0,5064	0,27	0,5209	0,10	0,7639
Wipi2	82,28	-0,22	0,4758	0,41	0,1605	0,17	1,0000	0,24	0,7315	0,38	0,1359	0,60	0,0918	0,07	0,9254	0,33	0,5583	0,39	0,1827
Wisp1	142,18	0,42	0,1242	-0,09	0,8621	-0,02	1,0000	-0,63	0,0548	-1,33	0,0000	-0,36	0,4044	-0,58	0,1054	-2,07	0,0000	-1,80	0,0000
Wiz	75,42	-0,04	0,9497	-0,27	0,4988	0,12	1,0000	-0,33	0,5969	0,09	0,8679	-0,71	0,1753	-0,47	0,4199	-0,34	0,6734	0,08	0,9126
Wls	235,55	0,34	0,1451	-0,92	0,0000	-0,07	1,0000	-0,13	0,8797	-0,01	0,9771	-0,64	0,0391	-0,26	0,5592	-0,32	0,5016	-0,14	0,7068
Wnk1	1479,51	-0,34	0,0442	0,28	0,2152	0,00	1,0000	0,17	0,7446	0,43	0,0063	0,27	0,3867	0,24	0,4532	0,37	0,1687	0,71	0,0000
Wnk2	44,12	-0,73	0,0107	0,72	0,0086	0,01	1,0000	0,26	0,7451	0,09	0,8578	0,77	0,0939	-0,08	0,9403	0,55	0,3656	0,49	0,2955
Wnk3	12,85	0,18	0,7891	-0,02	0,9824	-0,18	NA	-0,23	0,8797	-0,10	0,8908	-0,09	0,9404	-0,08	NA	-0,49	0,6051	-0,11	0,8886
Wnk4	13,03	-0,06	0,9425	0,38	0,5527	-0,06	NA	0,06	0,9853	0,61	0,2053	0,37	0,6788	-0,01	NA	0,07	0,9785	0,65	0,2752
Wnt11	5,05	-0,04	0,9650	0,04	0,9745	0,13	NA	-0,10	NA	-1,32	0,0154	0,23	0,8411	0,23	NA	0,12	NA	-0,84	0,2319
Wnt2	2,37	0,01	0,9901	0,00	0,9973	0,21	NA	0,00	NA	-0,66	0,2006	-0,49	NA	-0,08	NA	-0,29	NA	-0,74	NA
Wnt5a	24,97	-0,02	0,9839	0,15	0,8355	0,15	NA	-0,12	0,9600	-1,17	0,0050	0,10	0,9239	0,19	0,8330	-0,63	0,3874	-1,13	0,0203
Wnt5b	1,03	0,59	NA	0,18	NA	0,04	NA	0,11	NA	0,21	NA	-0,27	NA	-0,32	NA	-0,22	NA	-0,63	NA
Wnt9a	11,40	0,30	0,6758	0,38	0,5797	0,13	NA	-0,05	0,9853	0,63	0,1920	-0,44	0,6459	-0,22	NA	-0,16	0,9264	-0,22	0,7951
Wrap53	8,21	-0,05	0,9550	0,08	0,9393	0,05	NA	0,19	0,9158	0,10	0,8947	0,14	0,9129	0,03	NA	0,08	0,9722	-0,26	0,7458
Wrb	51,29	-0,35	0,3825	0,11	0,8430	-0,06	1,0000	0,08	0,9708	0,15	0,7220	0,64	0,1936	0,06	0,9554	0,14	0,9143	0,37	0,4269

GeneID	CTL	ET-1 vs CTL		SAHA vs CTL		JS28 vs CTL		BSP vs CTL		JQ1 vs CTL		ET-1+SAHA vs ET1		ET-1+JS28 vs ET1		ET-1+BSP vs ET1		ET-1+JQ1 vs ET1	
	mean	log2(FC)	P-adj	log2(FC)	P-adj	log2(FC)	P-adj	log2(FC)	P-adj	log2(FC)	P-adj	log2(FC)	P-adj	log2(FC)	P-adj	log2(FC)	P-adj	log2(FC)	P-adj
Wrm	60,97	-0,55	0,0640	-0,41	0,2719	-0,15	1,0000	-0,10	0,9516	-0,66	0,0188	0,32	0,6086	0,59	0,1884	0,02	0,9918	-0,37	0,3750
Wrmip1	41,86	0,23	0,5786	0,34	0,4502	-0,20	1,0000	-0,17	0,9096	-0,15	0,7448	0,40	0,4487	-0,06	0,9458	-0,05	0,9784	-0,25	0,5592
Wsb1	168,78	0,38	0,0940	-0,08	0,8492	0,18	1,0000	0,26	0,6111	0,32	0,1166	-0,27	0,5453	-0,11	0,8560	-0,25	0,6663	0,05	0,9118
Wsb2	172,72	0,47	0,0574	-0,17	0,6369	0,09	1,0000	0,22	0,6982	0,49	0,0160	-0,62	0,0837	-0,61	0,0908	-0,13	0,8942	0,19	0,5830
Wt1	14,05	-0,44	0,4481	-1,57	0,0003	0,25	NA	-0,88	0,0481	-1,62	0,0004	-0,48	0,5966	0,77	NA	-0,30	0,8261	-1,12	0,0827
Wtap	60,19	0,12	0,7887	-0,44	0,2747	-0,09	1,0000	0,15	0,9129	0,04	0,9228	-0,60	0,1890	0,11	0,8951	0,04	0,9852	0,13	0,7671
Wtip	20,27	0,45	0,3435	-0,28	0,6984	0,06	NA	-0,06	0,9853	-0,16	0,7945	-0,51	0,4684	-0,31	0,6926	0,16	0,9119	-0,72	0,1646
Wwc1	6,85	0,41	0,5429	0,91	0,0813	-0,08	NA	0,15	NA	0,03	0,9754	-0,22	0,8464	-0,10	NA	-0,63	0,4614	-0,36	0,6392
Wwc2	251,03	0,47	0,0415	-0,55	0,0264	0,08	1,0000	-0,23	0,7304	0,19	0,4551	-0,84	0,0026	-0,37	0,3426	-0,36	0,4057	0,06	0,8585
Wwox	11,71	-0,64	0,1892	0,56	0,2747	0,10	NA	0,13	0,9519	0,44	0,3521	0,89	0,1608	-0,15	NA	0,20	0,9023	0,91	0,0726
Wwp1	177,76	0,21	0,3916	0,11	0,7855	0,06	1,0000	0,01	0,9947	-0,17	0,5274	0,04	0,9478	0,29	0,4711	-0,10	0,9080	-0,11	0,7825
Wwp2	57,74	-0,11	0,8080	-0,17	0,7336	0,21	1,0000	-0,19	0,8671	-0,03	0,9540	-0,07	0,9351	-0,17	0,8175	-0,08	0,9526	-0,08	0,8732
Wwtr1	252,83	-0,17	0,4794	-0,03	0,9523	-0,01	1,0000	0,14	0,8380	0,08	0,7255	0,26	0,4986	0,20	0,6386	0,23	0,6579	0,28	0,2908
Xab2	55,26	-0,02	0,9777	-0,01	0,9923	-0,15	1,0000	-0,05	0,9853	-0,07	0,8692	-0,01	0,9893	0,05	0,9505	-0,18	0,8516	0,14	0,7615
Xaf1	1,54	-0,09	NA	-0,25	0,6923	-0,02	NA	-0,09	NA	-0,37	0,5336	-0,16	NA	-0,12	NA	-0,06	NA	-0,32	NA
Xbp1	132,67	0,55	0,0343	-0,56	0,0703	-0,01	1,0000	0,17	0,8671	0,11	0,7495	-0,59	0,1373	-0,58	0,1116	-0,53	0,1766	-0,42	0,1688
Xiap	228,80	-0,10	0,7498	-0,83	0,0000	-0,14	1,0000	0,03	0,9853	-0,51	0,0050	-0,31	0,4487	0,27	0,5144	0,15	0,8405	-0,32	0,4365
Xirp1	830,15	0,90	0,0000	-0,93	0,0000	-0,24	0,9896	-0,26	0,4735	0,46	0,0299	-1,59	0,0000	-0,91	0,0000	-0,36	0,2457	0,53	0,0382
Xirp2	507,61	0,97	0,0578	-0,71	0,2379	-0,34	0,9040	-0,48	0,4891	-1,39	0,0045	-1,00	0,1372	-0,85	0,1350	-0,89	0,1814	-1,85	0,0004
Xk	28,72	-0,36	0,4202	-0,07	0,9258	-0,09	1,0000	-0,35	0,6846	-1,02	0,0047	0,38	0,6077	0,45	0,4794	0,00	1,0000	-0,78	0,1337
Xkr4	3,80	-0,47	0,4786	-0,30	0,7141	0,00	NA	0,12	NA	0,62	0,3116	-0,38	NA	-0,10	NA	0,28	NA	1,28	0,0363
Xkr6	3,62	-0,37	0,6131	0,73	0,2078	0,05	NA	-0,01	NA	1,16	0,0194	0,62	0,4467	0,08	NA	0,60	NA	1,43	0,0148
Xkr8	3,86	0,03	0,9773	0,52	0,4371	0,17	NA	-0,09	NA	-0,73	0,2444	0,10	0,9372	-0,24	NA	-0,39	NA	-0,77	0,2821
Xkrx	2,17	-0,03	NA	-0,33	0,5936	-0,05	NA	0,02	NA	-0,10	0,9018	-0,29	NA	0,11	NA	-0,25	NA	0,03	0,9836
Xlr3a	1,60	0,49	NA	0,49	0,3538	0,24	NA	0,38	NA	0,32	0,6264	0,09	0,9407	-0,02	NA	0,23	NA	-0,45	0,5796
Xndc1	3,18	-0,61	0,3065	-0,20	0,8323	-0,22	NA	-0,45	NA	-0,96	0,1052	0,04	NA	-0,02	NA	0,08	NA	-0,44	NA
Xpa	19,02	-0,65	0,1202	-0,65	0,1788	0,11	NA	0,02	0,9901	-0,07	0,9080	-0,31	0,7580	0,42	NA	0,79	0,1883	-0,11	0,8966
Xpc	33,06	-0,28	0,5795	0,16	0,8332	-0,03	1,0000	-0,22	0,8797	-0,03	0,9651	0,38	0,5653	0,13	0,8849	0,00	0,9994	0,42	0,3032
Xpnpep1	116,24	0,15	0,7156	0,29	0,4870	0,00	1,0000	-0,06	0,9769	0,15	0,6880	0,20	0,7027	-0,41	0,3050	0,03	0,9818	-0,08	0,8217
Xpnpep3	28,61	0,24	0,6225	0,05	0,9559	-0,09	NA	0,01	0,9972	0,12	0,8174	-0,04	0,9700	-0,15	0,8669	-0,39	0,6409	0,00	0,9967
Xpo1	340,08	0,68	0,0000	0,26	0,2690	-0,23	1,0000	0,15	0,8257	-0,05	0,8770	-0,11	0,8246	-0,30	0,3967	-0,32	0,4028	-0,32	0,3273
Xpo4	55,86	0,17	0,7454	0,05	0,9396	-0,11	1,0000	0,08	0,9700	-0,29	0,4204	0,00	0,9976	-0,21	0,7800	-0,33	0,6952	-0,47	0,3325
Xpo5	86,95	0,48	0,0551	-0,17	0,7102	0,03	1,0000	0,08	0,9634	0,00	0,9926	-0,52	0,2115	-0,46	0,2953	-0,38	0,4889	-0,35	0,2812
Xpo6	120,54	-0,25	0,5030	0,28	0,4557	0,24	1,0000	0,15	0,8917	0,00	0,9972	0,45	0,3192	0,46	0,3037	0,28	0,6987	0,15	0,7671
Xpo7	209,70	-0,31	0,1129	-0,02	0,9665	0,12	1,0000	0,03	0,9853	0,18	0,4525	0,02	0,9714	0,11	0,8492	0,21	0,6938	0,35	0,1146
Xpot	180,71	1,03	0,0001	-0,37	0,2868	-0,06	1,0000	-0,25	0,7294	-0,22	0,5292	-1,33	0,0001	-1,11	0,0008	-1,19	0,0003	-1,22	0,0003
Xpr1	588,55	0,17	0,4374	0,47	0,0191	0,04	1,0000	0,38	0,1804	0,89	0,0000	0,69	0,0009	0,18	0,6142	0,26	0,4198	0,77	0,0000
Xrcc1	30,44	-0,30	0,5384	-0,66	0,1390	-0,19	1,0000	-0,45	0,5133	-0,26	0,6113	-0,25	0,7803	-0,16	0,8618	0,03	0,9918	0,15	0,8409
Xrcc2	6,32	-0,08	0,9283	-0,25	0,7737	-0,07	NA	-0,27	NA	-0,85	0,1582	-0,15	0,9081	0,27	NA	-0,02	0,9936	-0,20	0,8159
Xrcc3	2,59	-0,29	0,6968	0,17	0,8544	-0,02	NA	0,01	NA	0,39	0,5995	0,18	0,8709	-0,03	NA	0,16	NA	0,84	0,2298
Xrcc4	28,35	0,14	0,8169	0,00	0,9964	0,14	NA	0,24	0,8569	-1,21	0,0039	-0,20	0,8158	0,34	0,6078	0,08	0,9616	-1,36	0,0008
Xrcc5	57,88	-0,12	0,7896	-0,23	0,6296	-0,32	1,0000	-0,07	0,9742	-0,53	0,0763	-0,06	0,9491	-0,23	0,7274	-0,28	0,7236	-0,32	0,4080
Xrcc6	39,77	0,35	0,3357	0,63	0,0738	0,21	1,0000	0,20	0,8797	0,62	0,0381	0,38	0,4775	-0,57	0,2542	0,12	0,9192	0,16	0,7450
Xrcc6bp1	3,03	0,00	0,9971	-0,29	0,7047	-0,01	NA	0,07	NA	0,20	0,8072	-0,08	0,9544	0,04	NA	-0,02	NA	-0,02	0,9876
Xrn1	142,19	-0,53	0,0035	-0,56	0,0078	-0,07	1,0000	0,06	0,9701	-0,33	0,1456	-0,27	0,5751	0,50	0,1471	0,44	0,2663	0,08	0,8591

GeneID	CTL	ET-1 vs CTL		SAHA vs CTL		JS28 vs CTL		BSP vs CTL		JQ1 vs CTL		ET-1+SAHA vs ET1		ET-1+JS28 vs ET1		ET-1+BSP vs ET1		ET-1+JQ1 vs ET1	
	mean	log2(FC)	P-adj	log2(FC)	P-adj	log2(FC)	P-adj	log2(FC)	P-adj	log2(FC)	P-adj	log2(FC)	P-adj	log2(FC)	P-adj	log2(FC)	P-adj	log2(FC)	P-adj
Xrn2	145,05	-0,24	0,3932	0,06	0,9167	0,01	1,0000	-0,11	0,9364	-0,08	0,7898	0,22	0,6621	0,23	0,6432	0,21	0,7271	0,10	0,7819
Xrra1	1,07	-0,13	NA	0,22	0,7485	-0,03	NA	-0,12	NA	-0,14	0,8552	0,27	NA	0,04	NA	0,06	NA	0,17	NA
Xxyt1	24,52	0,14	0,8356	0,12	0,8804	-0,10	NA	0,06	0,9853	-0,07	0,9046	0,02	0,9843	-0,06	0,9559	-0,11	0,9487	0,00	0,9986
Xylt1	8,76	-0,16	0,8461	0,32	0,6865	-0,18	NA	0,10	0,9708	0,33	0,6266	0,07	0,9590	-0,16	NA	0,15	0,9366	0,64	0,3364
Xylt2	24,07	-0,05	0,9446	-0,10	0,9050	0,05	NA	0,04	0,9853	0,23	0,6287	0,04	0,9714	0,01	0,9895	0,18	0,8982	0,50	0,2499
Yae1d1	43,99	0,48	0,1489	0,29	0,5878	-0,03	1,0000	0,06	0,9851	-0,42	0,3097	0,18	0,7958	0,00	0,9963	0,01	0,9967	-0,54	0,1542
Yaf2	71,16	0,34	0,2784	0,43	0,2219	0,17	1,0000	0,37	0,5235	0,21	0,5689	0,25	0,6466	0,30	0,5475	0,10	0,9264	-0,03	0,9506
Yap1	252,04	-0,02	0,9549	-0,24	0,3723	0,05	1,0000	0,09	0,9371	0,07	0,7876	-0,17	0,7338	0,00	0,9963	-0,02	0,9911	0,17	0,5330
Yars	72,24	0,86	0,0034	-0,33	0,5843	-0,14	1,0000	-0,17	0,9141	0,32	0,4226	-1,05	0,0033	-1,27	0,0001	-1,14	0,0007	-0,28	0,5191
Yars2	17,10	0,08	0,9175	0,07	0,9393	-0,29	NA	-0,22	0,8881	-0,63	0,2466	0,08	0,9444	-0,09	NA	0,01	0,9966	-1,43	0,0037
Ybey	12,86	-0,13	0,8554	-0,31	0,6641	-0,13	NA	0,09	0,9742	-0,90	0,0711	-0,14	0,9081	0,24	NA	-0,13	0,9437	-0,47	0,4883
Ybx1	571,67	0,25	0,3865	0,19	0,5842	-0,03	1,0000	0,27	0,5914	0,49	0,0093	-0,14	0,8008	-0,18	0,6959	0,49	0,1069	0,48	0,0522
Ybx2	1,60	-0,36	NA	2,23	0,0000	0,11	NA	-0,05	NA	-0,15	0,8538	1,90	0,0004	0,24	NA	0,12	NA	-0,21	NA
Ybx3	194,42	0,69	0,0054	0,04	0,9404	-0,06	1,0000	0,42	0,2211	0,60	0,0030	-0,84	0,0136	-0,91	0,0044	-0,23	0,7556	-0,05	0,9226
Ydjc	3,92	-0,04	0,9635	0,02	0,9863	-0,16	NA	-0,19	NA	-0,16	0,8454	0,03	0,9869	-0,18	NA	-0,34	NA	-0,60	0,4322
Yeats2	60,72	-0,04	0,9414	0,08	0,8903	-0,16	1,0000	0,09	0,9626	0,28	0,3924	-0,22	0,7672	0,07	0,9361	0,19	0,8465	0,05	0,9327
Yeats4	29,69	0,13	0,8409	-0,58	0,2344	0,10	NA	0,03	0,9896	0,18	0,7178	-0,55	0,4338	0,03	0,9756	0,12	0,9438	-0,08	0,9226
Yes1	65,82	-0,20	0,5898	-0,14	0,7801	-0,06	1,0000	0,23	0,7652	0,09	0,8089	-0,13	0,8640	0,22	0,7138	0,27	0,7235	0,05	0,9226
Yif1a	40,59	0,72	0,0094	0,48	0,2311	0,00	NA	0,05	0,9853	0,04	0,9434	-0,12	0,8859	-0,52	0,2966	-0,30	0,6935	-0,46	0,2308
Yif1b	19,38	0,92	0,0154	-0,26	0,7485	0,15	NA	0,18	0,9269	0,34	0,5533	-0,53	0,4304	-0,63	0,2838	-0,54	0,4673	-0,41	0,4139
Yipf1	44,47	0,05	0,9315	-0,30	0,5277	0,12	1,0000	0,23	0,8147	0,18	0,6282	-0,05	0,9622	-0,02	0,9837	0,10	0,9465	0,17	0,7065
Yipf2	11,42	-0,08	0,9207	-0,56	0,3721	0,01	NA	-0,23	0,8797	-0,24	0,7416	-0,16	0,8970	0,00	NA	-0,25	0,8588	-0,34	0,6352
Yipf3	43,10	-0,09	0,8554	-0,06	0,9290	-0,15	1,0000	0,07	0,9742	0,52	0,0578	-0,23	0,7661	-0,14	0,8722	0,02	0,9931	0,78	0,0188
Yipf4	79,89	0,30	0,3341	-0,13	0,8139	0,11	1,0000	0,11	0,9469	-0,05	0,8955	-0,10	0,8811	0,27	0,5981	-0,03	0,9911	-0,42	0,1599
Yipf5	88,02	0,16	0,6296	0,10	0,8427	0,16	1,0000	0,06	0,9754	-0,08	0,8444	0,26	0,6163	0,16	0,7833	0,04	0,9789	-0,31	0,4355
Yipf6	83,49	-0,01	0,9812	-0,11	0,8244	-0,12	1,0000	0,20	0,8237	-0,20	0,5063	0,18	0,7561	0,38	0,3858	0,12	0,9074	0,02	0,9588
Yipf7	44,71	0,36	0,4906	-0,07	0,9453	-0,38	0,9896	-0,65	0,2380	-1,47	0,0007	0,04	0,9627	-0,31	0,6140	-0,80	0,0868	-2,12	0,0000
Ykt6	149,14	0,36	0,2700	0,05	0,9342	0,07	1,0000	0,00	0,9988	0,20	0,5051	0,16	0,8064	-0,19	0,7419	0,11	0,9206	0,13	0,7473
Ylpm1	220,09	-0,21	0,5384	0,08	0,8532	-0,02	1,0000	0,14	0,8780	0,44	0,1031	-0,26	0,6225	0,16	0,7888	0,23	0,7312	0,50	0,1529
Yme111	236,55	0,13	0,5951	0,27	0,2207	0,03	1,0000	0,25	0,5148	-0,01	0,9654	0,26	0,5351	0,27	0,4836	0,24	0,5949	-0,17	0,6969
Yod1	16,89	0,08	0,9146	0,03	0,9750	0,18	NA	0,25	0,8517	0,11	0,8626	0,24	0,7956	0,43	NA	0,05	0,9829	-0,22	0,7183
Ypel1	11,67	-1,57	0,0001	-0,17	0,8275	0,10	NA	-0,16	0,9318	-0,48	0,3247	1,15	0,0695	0,86	NA	0,35	NA	0,70	0,3176
Ypel2	293,74	-0,33	0,2097	-0,15	0,6397	0,00	1,0000	0,09	0,9272	0,11	0,7010	-0,04	0,9510	0,18	0,7385	0,19	0,7914	0,46	0,1108
Ypel3	41,30	-0,93	0,0021	0,01	0,9919	0,11	1,0000	0,20	0,8528	0,71	0,0443	0,25	0,7721	0,32	0,6704	0,73	0,1825	1,17	0,0094
Ypel4	6,37	-1,00	0,0451	0,81	0,1262	0,14	NA	0,11	0,9634	0,58	0,2899	1,57	0,0046	0,62	NA	0,86	NA	1,33	0,0290
Ypel5	163,93	0,08	0,7900	0,11	0,7703	-0,08	1,0000	-0,24	0,6826	-0,08	0,8314	0,07	0,9186	-0,10	0,8732	-0,40	0,3224	-0,28	0,4488
Yrdc	8,61	0,16	0,8440	-0,06	0,9579	-0,25	NA	-0,24	0,8643	0,28	0,6955	-0,17	0,8888	-0,01	NA	-0,05	0,9909	-0,05	0,9585
Ythdc1	134,00	0,29	0,3776	0,10	0,8337	-0,07	1,0000	0,06	0,9761	0,10	0,7751	-0,27	0,6153	-0,06	0,9360	-0,11	0,9170	0,04	0,9351
Ythdc2	75,34	0,36	0,1615	0,14	0,7689	-0,04	1,0000	0,09	0,9598	-0,52	0,0916	-0,13	0,8388	-0,12	0,8536	-0,15	0,8665	-0,55	0,1233
Ythdf1	95,15	-0,04	0,9195	0,41	0,1524	0,11	1,0000	0,15	0,8966	0,12	0,6984	0,38	0,3538	0,04	0,9557	0,25	0,6935	0,41	0,2012
Ythdf2	95,25	0,36	0,2109	0,15	0,7649	0,12	1,0000	0,07	0,9686	0,52	0,0467	-0,28	0,5791	-0,28	0,5639	0,01	0,9931	0,47	0,1639
Ythdf3	295,04	-0,04	0,8994	-0,27	0,2657	-0,14	1,0000	0,26	0,4923	-0,03	0,9350	-0,08	0,8859	0,20	0,6449	0,23	0,6427	0,05	0,9168
Ywhab	301,32	0,30	0,1287	-0,14	0,6555	-0,13	1,0000	-0,11	0,9125	0,00	0,9948	-0,06	0,9236	-0,23	0,5572	-0,31	0,4134	-0,17	0,5036
Ywhae	1273,66	0,17	0,5355	-0,51	0,0152	-0,27	0,9754	-0,10	0,9213	0,47	0,0051	-0,31	0,3128	-0,13	0,7631	-0,19	0,6743	0,55	0,0092
Ywhag	314,27	0,44	0,0312	-0,20	0,5609	-0,23	1,0000	-0,11	0,9254	0,59	0,0111	-0,41	0,2030	-0,65	0,0109	-0,30	0,4463	0,50	0,1345

GeneID	CTL	ET-1 vs CTL		SAHA vs CTL		JS28 vs CTL		BSP vs CTL		JQ1 vs CTL		ET-1+SAHA vs ET1		ET-1+JS28 vs ET1		ET-1+BSP vs ET1		ET-1+JQ1 vs ET1	
	mean	log2(FC)	P-adj	log2(FC)	P-adj	log2(FC)	P-adj	log2(FC)	P-adj	log2(FC)	P-adj	log2(FC)	P-adj	log2(FC)	P-adj	log2(FC)	P-adj	log2(FC)	P-adj
Ywhah	149,89	0,24	0,4029	-0,40	0,1904	-0,24	1,0000	0,00	0,9998	0,13	0,6644	-0,50	0,1363	-0,38	0,3292	-0,10	0,9065	0,00	0,9982
Ywhaq	65,06	0,15	0,6791	-0,18	0,7047	0,04	1,0000	0,16	0,8948	-0,09	0,8475	-0,28	0,6343	-0,08	0,9140	-0,01	0,9936	-0,19	0,6988
Ywhaz	334,29	0,29	0,1780	-0,39	0,1105	-0,29	0,9367	-0,15	0,8579	0,18	0,4235	-0,25	0,5041	-0,21	0,6111	-0,39	0,2274	0,24	0,3414
Yy1	101,06	-0,20	0,4573	-0,18	0,6330	-0,03	1,0000	-0,15	0,8826	-0,02	0,9641	0,26	0,5858	0,42	0,2861	0,18	0,8100	0,09	0,8182
Yy2	9,46	0,13	0,8749	-0,01	0,9919	-0,04	NA	-0,07	0,9798	-0,59	0,3469	0,00	0,9982	0,05	NA	-0,44	0,6783	-0,67	0,3040
Zadh2	130,68	-0,40	0,1420	-0,56	0,0405	-0,13	1,0000	0,02	0,9860	-0,47	0,0548	-0,02	0,9863	0,02	0,9765	0,17	0,8369	-0,12	0,7653
Zak	911,93	-0,35	0,0294	-0,56	0,0014	-0,31	0,5932	-0,24	0,5144	-0,52	0,0027	0,07	0,8709	0,21	0,5303	-0,06	0,9328	-0,33	0,1060
Zan	1,46	-0,34	NA	-0,40	0,4714	-0,15	NA	-0,16	NA	-0,68	0,1948	-0,09	NA	-0,06	NA	-0,14	NA	-0,16	NA
Zbed3	49,77	-0,17	0,7630	-0,56	0,1320	-0,11	1,0000	-0,17	0,8966	-0,65	0,0301	-0,45	0,5239	-0,12	0,8989	-0,19	0,8907	-0,57	0,2993
Zbed4	17,04	0,22	0,7340	0,17	0,8427	0,01	NA	0,23	0,8786	0,80	0,0636	-0,09	0,9351	0,18	NA	-0,15	0,9273	0,75	0,0587
Zbed5	9,56	-0,52	0,3825	0,10	0,9198	-0,05	NA	-0,22	0,8814	-0,20	0,7801	0,76	0,2831	0,42	NA	-0,32	0,8088	-0,14	0,8810
Zbed6	192,85	-0,24	0,3751	0,13	0,7470	0,12	1,0000	0,22	0,7006	0,27	0,2208	0,27	0,5502	0,41	0,2952	0,44	0,2352	0,61	0,0086
Zbtb1	63,86	0,18	0,6804	-0,23	0,6466	0,18	1,0000	0,29	0,6939	-0,22	0,5662	-0,68	0,1333	0,19	0,7790	-0,06	0,9660	-0,03	0,9691
Zbtb10	91,19	0,11	0,8051	0,23	0,5863	0,03	1,0000	0,55	0,1229	0,04	0,9141	0,26	0,6442	0,37	0,4337	0,17	0,8466	-0,17	0,7365
Zbtb11	55,80	0,32	0,3550	0,18	0,7231	0,05	1,0000	0,50	0,2353	0,60	0,0569	-0,03	0,9726	-0,01	0,9953	0,09	0,9437	0,61	0,1057
Zbtb12	11,55	-0,22	0,7591	-0,74	0,1904	-0,17	NA	-0,10	0,9681	-0,38	0,5502	-0,69	0,3759	-0,25	NA	-0,35	0,7727	-0,59	0,3722
Zbtb14	33,36	0,05	0,9411	-0,23	0,7078	0,17	1,0000	0,15	0,9268	0,12	0,8017	-0,50	0,4583	0,05	0,9634	0,13	0,9228	0,01	0,9921
Zbtb16	9,00	-0,13	0,8828	-0,50	0,4676	0,00	NA	-0,27	0,8334	-0,55	0,3894	-0,60	0,4666	-0,43	NA	-0,31	0,8237	-0,13	0,9001
Zbtb17	16,76	0,14	0,8349	0,26	0,7175	0,25	NA	-0,06	0,9853	-0,19	0,7558	0,11	0,9210	0,21	NA	0,07	0,9788	0,10	0,8835
Zbtb18	106,92	0,51	0,0271	-0,03	0,9696	0,02	1,0000	-0,11	0,9389	0,38	0,1049	-0,48	0,2386	-0,29	0,5448	-0,45	0,3128	0,00	0,9997
Zbtb2	20,74	0,43	0,3697	0,23	0,7589	-0,06	NA	-0,04	0,9853	-0,07	0,9138	-0,15	0,8781	-0,21	0,8171	-0,57	0,4309	-0,83	0,0620
Zbtb20	287,16	-0,50	0,0637	-0,71	0,0012	-0,23	1,0000	-0,15	0,8684	-0,64	0,0413	-0,78	0,0289	-0,06	0,9406	-0,06	0,9602	-0,52	0,1877
Zbtb21	37,09	0,47	0,2364	-0,22	0,7332	-0,08	NA	-0,30	0,7688	0,33	0,4307	-0,64	0,2391	-0,37	0,5560	-0,39	0,6103	0,15	0,7687
Zbtb22	23,91	0,18	0,7558	-0,34	0,5702	-0,14	NA	0,04	0,9853	0,27	0,5913	-0,90	0,1040	-0,49	0,4418	-0,34	0,7210	0,21	0,6901
Zbtb24	30,40	-0,28	0,5575	-0,10	0,8912	-0,21	NA	-0,09	0,9707	-0,14	0,7837	-0,19	0,8382	0,08	0,9407	0,18	0,8915	-0,09	0,8980
Zbtb25	24,23	-0,30	0,6057	0,10	0,8988	-0,13	NA	-0,04	0,9853	0,36	0,3818	-0,02	0,9900	0,11	0,9206	0,30	0,7948	0,72	0,1423
Zbtb26	49,74	0,16	0,6993	0,12	0,8434	-0,02	1,0000	-0,10	0,9605	-0,63	0,0452	0,03	0,9742	-0,23	0,7226	-0,21	0,8285	-1,15	0,0012
Zbtb3	4,99	0,52	0,4167	-0,27	0,7246	0,05	NA	-0,13	NA	-0,27	0,7229	-0,23	0,8429	-0,53	NA	-0,47	0,6422	-0,52	0,4860
Zbtb33	79,16	0,29	0,3596	0,20	0,6672	0,12	1,0000	0,30	0,6725	0,02	0,9580	-0,07	0,9229	0,27	0,6220	-0,03	0,9911	-0,04	0,9482
Zbtb34	45,67	-0,34	0,4098	0,23	0,6375	0,16	1,0000	0,15	0,9208	0,40	0,2984	0,34	0,6120	0,41	0,4840	0,27	0,7790	0,67	0,1383
Zbtb37	43,87	-0,47	0,1255	-0,39	0,3363	-0,22	1,0000	0,09	0,9634	-0,10	0,7997	-0,09	0,9302	0,27	0,6791	0,32	0,6906	0,13	0,7923
Zbtb38	76,57	0,15	0,6846	-0,42	0,2152	0,00	1,0000	-0,36	0,5124	-0,76	0,0067	-0,62	0,1232	-0,11	0,8772	-0,60	0,1506	-0,86	0,0052
Zbtb39	32,68	-0,43	0,2545	-0,14	0,8301	-0,08	1,0000	0,03	0,9853	0,10	0,8213	0,03	0,9794	0,40	0,5297	0,11	0,9437	0,21	0,6929
Zbtb4	135,46	-0,21	0,5158	-0,23	0,5099	-0,23	1,0000	-0,38	0,3473	-0,58	0,1172	-0,59	0,1237	-0,27	0,5970	-0,37	0,4773	-0,59	0,1815
Zbtb40	30,10	0,24	0,6661	-0,03	0,9752	-0,02	NA	0,02	0,9901	0,08	0,8909	-0,32	0,6722	-0,16	0,8504	-0,32	0,7393	-0,14	0,8058
Zbtb41	210,88	-0,02	0,9630	-0,50	0,0722	-0,05	1,0000	0,29	0,5969	0,27	0,2939	-0,38	0,2831	0,28	0,4831	0,29	0,5141	0,19	0,6128
Zbtb42	8,17	-0,22	0,7834	-0,45	0,5160	0,01	NA	-0,25	0,8616	-0,64	0,2763	-0,55	0,5227	-0,17	NA	0,05	0,9909	0,21	0,8153
Zbtb43	39,98	0,19	0,6792	0,38	0,3893	0,16	1,0000	0,19	0,8814	-0,21	0,6328	0,17	0,8304	-0,14	0,8657	0,02	0,9936	-0,37	0,3764
Zbtb44	155,16	-0,58	0,0019	-0,17	0,6039	-0,04	1,0000	0,12	0,8970	-0,36	0,0736	0,08	0,8999	0,54	0,1054	0,17	0,8326	0,12	0,7994
Zbtb45	11,46	-0,06	0,9412	-0,31	0,6902	-0,04	NA	-0,09	0,9746	-0,22	0,7453	-0,23	0,8348	0,09	NA	-0,07	0,9784	-0,42	0,5450
Zbtb46	9,01	0,45	0,4646	0,67	0,2515	0,18	NA	0,32	0,7688	0,00	0,9977	0,23	0,8291	-0,16	NA	-0,15	0,9300	-0,14	0,8641
Zbtb48	5,39	-0,46	0,4867	0,43	0,5461	0,07	NA	0,08	0,9764	0,45	0,4768	0,28	0,8040	0,46	NA	0,57	0,5273	1,09	0,0638
Zbtb49	9,00	0,18	0,8219	0,13	0,8899	-0,20	NA	-0,23	0,8797	0,05	0,9512	-0,61	0,4583	-0,05	NA	-0,12	0,9545	-0,35	0,6473
Zbtb5	41,72	-0,20	0,6841	-0,32	0,5529	-0,20	1,0000	-0,03	0,9858	0,13	0,7779	0,06	0,9478	0,11	0,8965	0,11	0,9342	0,07	0,9002
Zbtb6	36,08	0,00	0,9969	0,01	0,9906	-0,08	1,0000	0,03	0,9855	-0,18	0,7043	-0,08	0,9378	0,21	0,7798	0,03	0,9918	-0,15	0,7917

GeneID	CTL	ET-1 vs CTL		SAHA vs CTL		JS28 vs CTL		BSP vs CTL		JQ1 vs CTL		ET-1+SAHA vs ET1		ET-1+JS28 vs ET1		ET-1+BSP vs ET1		ET-1+JQ1 vs ET1	
	mean	log2(FC)	P-adj	log2(FC)	P-adj	log2(FC)	P-adj	log2(FC)	P-adj	log2(FC)	P-adj	log2(FC)	P-adj	log2(FC)	P-adj	log2(FC)	P-adj	log2(FC)	P-adj
Zbtb7a	66,17	0,15	0,7476	0,16	0,7484	0,10	1,0000	0,25	0,7595	0,70	0,0199	-0,25	0,7155	0,04	0,9633	-0,05	0,9792	0,70	0,0786
Zbtb7b	23,08	0,24	0,6741	0,27	0,6911	0,07	NA	-0,15	0,9430	-0,45	0,3518	-0,26	0,7672	-0,35	0,6411	-0,75	0,2280	-0,75	0,1379
Zbtb7c	4,55	0,33	0,6551	-0,24	0,7762	0,13	NA	0,57	NA	0,43	0,5432	0,02	0,9930	-0,25	NA	0,23	0,8833	0,59	0,3798
Zbtb8a	8,02	-0,36	0,6004	-0,41	0,5812	-0,10	NA	-0,32	0,7688	-0,39	0,5653	-0,33	0,7536	0,18	NA	-0,10	0,9600	-0,10	0,9237
Zbtb8os	17,16	0,21	0,7389	0,16	0,8476	-0,11	NA	0,00	0,9991	-0,89	0,0651	-0,04	0,9732	-0,21	NA	-0,04	0,9878	-0,96	0,0668
Zbtb9	16,83	-0,22	0,7289	-0,09	0,9256	-0,18	NA	0,00	0,9986	0,29	0,5494	0,43	0,5911	0,14	NA	-0,22	0,8803	0,18	0,7819
Zc2hc1a	105,90	0,11	0,7473	0,22	0,5297	0,02	1,0000	0,15	0,8768	0,20	0,5771	0,40	0,3185	0,09	0,9021	-0,18	0,8161	0,07	0,9080
Zc2hc1c	3,80	-0,49	0,4513	0,16	0,8720	-0,08	NA	-0,18	NA	-0,51	0,4628	0,59	0,4755	0,17	NA	-0,17	NA	0,21	0,8261
Zc3h10	11,04	-0,08	0,9254	0,00	0,9995	-0,12	NA	-0,11	0,9634	0,27	0,6589	-0,07	0,9572	-0,09	NA	-0,15	0,9347	0,93	0,1060
Zc3h11a	209,98	-0,10	0,7398	-0,12	0,7467	0,06	1,0000	0,03	0,9853	0,08	0,7832	-0,27	0,5251	0,10	0,8713	0,04	0,9784	0,05	0,9035
Zc3h12a	3,64	-0,08	0,9370	-0,02	0,9895	-0,16	NA	-0,36	NA	-0,86	0,1527	0,21	0,8484	0,14	NA	0,05	NA	-0,26	0,7737
Zc3h12b	11,77	-0,39	0,5082	0,40	0,5314	0,11	NA	0,23	0,8797	0,16	0,7980	0,75	0,2614	0,42	NA	0,17	0,9192	0,67	0,2075
Zc3h12c	89,47	-0,14	0,7549	-0,84	0,0090	-0,16	1,0000	-0,07	0,9746	-0,02	0,9580	-0,42	0,3569	-0,02	0,9806	-0,03	0,9862	0,33	0,2703
Zc3h13	152,96	-0,27	0,2749	0,24	0,4028	-0,12	1,0000	-0,13	0,8887	-0,06	0,8468	-0,05	0,9450	0,09	0,8968	0,16	0,8335	0,23	0,4546
Zc3h14	190,98	-0,17	0,4947	0,40	0,0630	0,11	1,0000	0,04	0,9853	0,18	0,4287	0,33	0,3668	0,31	0,4131	0,35	0,3571	0,38	0,1661
Zc3h15	143,84	0,13	0,6726	0,09	0,8192	0,15	1,0000	0,30	0,4564	0,07	0,8237	-0,09	0,8886	0,23	0,6505	0,15	0,8386	0,05	0,9236
Zc3h18	108,52	0,17	0,6509	-0,17	0,6865	-0,11	1,0000	-0,15	0,8881	0,50	0,0422	-0,67	0,0849	-0,28	0,6051	-0,26	0,7014	0,22	0,5520
Zc3h3	6,83	-0,24	0,7591	0,11	0,9110	0,18	NA	0,14	0,9459	0,18	0,8016	0,06	0,9685	-0,07	NA	0,21	0,8982	0,54	0,4268
Zc3h4	139,40	-0,05	0,9277	-0,51	0,0940	-0,05	1,0000	-0,05	0,9805	0,46	0,1163	-0,87	0,0219	-0,61	0,1440	-0,34	0,5957	0,38	0,3782
Zc3h6	50,24	-0,80	0,0076	-0,20	0,7154	0,21	1,0000	0,48	0,3088	0,54	0,0721	0,31	0,6570	1,05	0,0034	1,28	0,0001	1,26	0,0000
Zc3h7a	80,18	-0,01	0,9769	0,02	0,9804	0,12	1,0000	0,00	0,9988	0,03	0,9487	-0,01	0,9903	0,26	0,6170	-0,07	0,9570	-0,05	0,9052
Zc3h7b	190,63	-0,26	0,3255	-0,73	0,0003	0,03	1,0000	-0,14	0,8643	0,12	0,6239	-0,65	0,0619	-0,17	0,7496	-0,14	0,8619	0,27	0,3980
Zc3h8	9,51	0,29	0,6758	0,23	0,7815	-0,02	NA	0,04	0,9853	0,73	0,1390	0,18	0,8709	-0,01	NA	0,00	1,0000	0,63	0,2311
Zc3hav1	37,95	0,06	0,9263	-0,48	0,2998	-0,03	1,0000	0,11	0,9594	-0,30	0,4846	-0,53	0,3966	-0,26	0,7246	-0,22	0,8463	-0,30	0,5461
Zc3hav1l	80,38	-0,08	0,8733	-0,80	0,0092	-0,02	1,0000	-0,22	0,8319	0,17	0,6867	-0,56	0,2614	0,03	0,9728	-0,41	0,4773	0,23	0,5671
Zc3hc1	15,01	0,11	0,8848	0,17	0,8333	-0,03	NA	0,24	0,8643	0,15	0,8070	-0,10	0,9343	-0,13	NA	0,00	1,0000	0,27	0,6641
Zc4h2	13,64	-0,16	0,8256	0,33	0,6353	0,08	NA	-0,46	0,5649	-1,18	0,0244	0,71	0,2621	0,28	NA	-0,16	0,9264	-0,86	0,1321
Zcchc10	18,63	0,45	0,3337	-0,04	0,9718	0,00	NA	0,02	0,9901	-0,46	0,4052	0,00	0,9986	0,13	0,8910	-0,35	0,7215	-0,48	0,3435
Zcchc11	413,47	-0,54	0,0004	0,13	0,6417	-0,08	1,0000	0,08	0,9293	-0,13	0,5774	0,36	0,2994	0,60	0,0374	0,44	0,1347	0,43	0,0558
Zcchc14	93,58	-0,10	0,7995	-0,27	0,4656	0,09	1,0000	0,47	0,1720	0,82	0,0001	-0,47	0,3148	0,01	0,9917	0,51	0,2292	0,81	0,0016
Zcchc17	35,61	-0,15	0,7788	0,23	0,6865	0,06	1,0000	0,33	0,6702	0,50	0,1265	0,53	0,3326	0,38	0,5176	0,43	0,5148	0,77	0,0254
Zcchc2	63,28	0,00	0,9969	-0,01	0,9895	-0,27	1,0000	0,09	0,9634	0,49	0,0733	-0,38	0,5044	-0,23	0,7200	0,08	0,9528	0,49	0,1244
Zcchc24	81,91	-0,66	0,0190	0,32	0,3623	0,33	0,9475	0,31	0,6103	0,17	0,6122	0,63	0,1524	0,63	0,1360	0,81	0,0331	0,62	0,0591
Zcchc3	29,64	0,13	0,8411	-0,27	0,6865	-0,29	NA	-0,11	0,9634	0,15	0,7889	-0,07	0,9450	-0,06	0,9527	-0,39	0,6594	0,07	0,9234
Zcchc4	12,49	-0,12	0,8760	-0,08	0,9349	-0,07	NA	0,07	0,9805	-0,61	0,2695	-0,09	0,9401	0,00	NA	0,07	0,9785	-0,34	0,6203
Zcchc5	6,60	0,12	0,8969	-0,59	0,3523	0,04	NA	-0,28	NA	-0,88	0,1457	-0,23	0,8417	-0,08	NA	-0,35	0,7779	-1,03	0,1213
Zcchc6	147,65	-0,19	0,4758	0,11	0,7870	-0,01	1,0000	-0,14	0,8797	-0,35	0,1192	-0,04	0,9500	0,26	0,5436	0,05	0,9616	-0,07	0,8716
Zcchc7	45,17	-0,13	0,8323	0,15	0,8189	0,09	1,0000	0,01	0,9959	0,18	0,7302	-0,05	0,9654	0,13	0,8811	0,05	0,9824	-0,02	0,9786
Zcchc8	53,04	0,04	0,9370	-0,05	0,9444	-0,07	1,0000	-0,09	0,9628	0,12	0,7580	-0,40	0,4800	0,02	0,9818	0,04	0,9829	-0,10	0,8402
Zcchc9	33,44	0,21	0,6700	-0,37	0,5089	0,16	1,0000	0,35	0,6689	-0,03	0,9584	0,02	0,9873	0,30	0,6418	0,24	0,8122	-0,10	0,8544
Zcrb1	57,24	0,17	0,7027	-0,36	0,3986	0,00	1,0000	-0,15	0,9158	-0,39	0,2851	-0,29	0,6421	-0,08	0,9228	0,07	0,9570	-0,55	0,1283
Zcwpw1	1,17	-0,16	NA	0,06	0,9517	0,12	NA	-0,01	NA	0,11	0,8928	-0,06	NA	0,21	NA	-0,12	NA	-0,09	NA
Zdbf2	144,28	-0,13	0,7238	-0,23	0,5114	-0,33	0,8273	-0,37	0,3801	-0,51	0,0178	-0,36	0,4027	0,13	0,8344	-0,11	0,9115	-0,10	0,8181
Zdhhc1	23,09	-0,62	0,1568	-0,02	0,9836	0,10	NA	-0,12	0,9598	-1,15	0,0047	0,61	0,3496	0,65	0,2615	0,71	0,2457	-0,29	0,6548
Zdhhc12	10,43	-0,06	0,9421	0,19	0,8355	0,02	NA	-0,16	0,9364	-0,14	0,8538	0,25	0,8085	-0,08	NA	-0,31	0,8122	-0,24	0,7458

GeneID	CTL	ET-1 vs CTL		SAHA vs CTL		JS28 vs CTL		BSP vs CTL		JQ1 vs CTL		ET-1+SAHA vs ET1		ET-1+JS28 vs ET1		ET-1+BSP vs ET1		ET-1+JQ1 vs ET1	
	mean	log2(FC)	P-adj	log2(FC)	P-adj	log2(FC)	P-adj	log2(FC)	P-adj	log2(FC)	P-adj	log2(FC)	P-adj	log2(FC)	P-adj	log2(FC)	P-adj	log2(FC)	P-adj
Zdhhc13	68,65	-0,12	0,7970	0,59	0,0562	0,11	1,0000	0,18	0,8762	0,27	0,4231	1,07	0,0003	0,56	0,1553	0,52	0,2462	0,45	0,1408
Zdhhc14	6,46	-0,28	0,7205	-0,08	0,9441	-0,01	NA	0,19	0,9060	0,50	0,4183	-0,02	0,9929	-0,24	NA	0,55	0,5583	0,91	0,1091
Zdhhc15	10,16	0,01	0,9946	1,15	0,0061	0,33	NA	-0,03	0,9901	-0,94	0,0894	1,41	0,0026	0,52	NA	-0,14	0,9387	-1,24	0,0342
Zdhhc16	26,83	0,03	0,9672	0,12	0,8727	-0,01	NA	-0,18	0,9208	0,23	0,6143	0,09	0,9360	0,08	0,9361	-0,28	0,8020	-0,38	0,4788
Zdhhc17	69,61	-0,25	0,5213	-0,30	0,4794	0,14	1,0000	0,34	0,5829	-0,02	0,9578	-0,23	0,7404	0,26	0,6646	0,21	0,8161	-0,03	0,9643
Zdhhc18	15,27	0,12	0,8714	0,29	0,6851	0,06	NA	0,11	0,9628	0,63	0,1524	-0,23	0,8224	-0,29	NA	-0,28	0,8339	0,13	0,8535
Zdhhc2	123,14	0,29	0,3350	0,20	0,5658	-0,26	1,0000	0,06	0,9700	-0,34	0,2279	0,13	0,8292	-0,36	0,4453	-0,39	0,4460	-0,46	0,2048
Zdhhc20	48,37	0,04	0,9373	0,17	0,7647	0,23	1,0000	0,20	0,8610	-0,29	0,4631	0,11	0,8992	0,53	0,2330	0,11	0,9313	-0,35	0,4850
Zdhhc21	77,91	0,33	0,3196	-0,02	0,9799	-0,06	1,0000	0,24	0,7737	0,16	0,6613	0,04	0,9638	0,07	0,9320	-0,04	0,9792	-0,25	0,5863
Zdhhc24	11,93	-0,23	0,7289	-0,23	0,7739	-0,24	NA	0,07	0,9805	-0,28	0,6659	0,06	0,9615	0,19	NA	-0,12	0,9483	-0,09	0,9167
Zdhhc3	65,56	0,20	0,6176	0,12	0,8313	0,01	1,0000	0,10	0,9516	0,44	0,1022	-0,09	0,9061	-0,19	0,7688	0,08	0,9476	0,48	0,1650
Zdhhc4	18,31	0,69	0,0956	0,19	0,8192	0,35	NA	0,33	0,7495	0,54	0,2737	-0,30	0,7267	-0,19	0,8336	0,04	0,9862	-0,34	0,5532
Zdhhc5	229,33	0,33	0,1067	-0,27	0,3361	-0,02	1,0000	-0,20	0,7563	0,45	0,0134	-0,41	0,2136	-0,28	0,4742	-0,26	0,5723	0,38	0,1044
Zdhhc6	48,42	0,14	0,7621	-0,02	0,9822	-0,03	1,0000	-0,19	0,8807	0,03	0,9607	0,31	0,5916	0,14	0,8519	-0,12	0,9214	0,04	0,9431
Zdhhc7	43,75	0,21	0,6335	0,07	0,9232	0,07	1,0000	0,37	0,5553	0,81	0,0023	-0,15	0,8551	-0,15	0,8548	0,31	0,6935	0,23	0,6219
Zdhhc8	68,64	-0,27	0,4317	0,09	0,8712	0,06	1,0000	0,16	0,8911	0,37	0,3455	0,03	0,9755	-0,03	0,9754	0,77	0,0281	0,72	0,1087
Zdhhc9	70,44	0,44	0,2088	0,39	0,2959	0,13	1,0000	-0,12	0,9430	0,44	0,2498	0,23	0,7231	-0,22	0,7413	-0,43	0,4714	0,33	0,4906
Zeb1	159,55	0,20	0,4243	0,11	0,8003	0,30	0,8634	0,15	0,8634	0,16	0,5103	-0,31	0,4432	-0,02	0,9765	0,00	0,9989	0,11	0,7535
Zeb2	233,01	0,34	0,2624	-1,08	0,0000	-0,15	1,0000	-0,45	0,2459	-0,40	0,1983	-1,23	0,0000	-0,42	0,2892	-0,63	0,0509	-0,53	0,0738
Zeb2os	2,31	-0,52	0,3934	-0,24	0,7737	0,03	NA	-0,27	NA	-0,80	0,1865	-0,09	NA	-0,01	NA	-0,08	NA	-0,26	NA
Zer1	86,25	-0,48	0,0699	-0,26	0,4978	0,02	1,0000	-0,05	0,9832	0,00	0,9978	-0,03	0,9732	0,11	0,8806	0,43	0,3853	0,32	0,3956
Zfand1	44,74	0,16	0,7161	0,15	0,8116	0,26	1,0000	0,14	0,9378	-0,54	0,1268	0,13	0,8590	0,03	0,9744	0,12	0,9170	-0,47	0,1889
Zfand2a	36,10	0,59	0,0830	-0,19	0,7793	0,08	NA	-0,23	0,8610	0,11	0,8403	-0,18	0,8198	-0,31	0,6345	-0,31	0,7189	-0,30	0,5173
Zfand2b	11,37	-0,01	0,9895	0,06	0,9587	-0,10	NA	0,07	0,9805	0,32	0,6127	-0,06	0,9627	0,01	NA	0,19	0,9074	0,14	0,8561
Zfand3	145,46	0,16	0,5429	0,29	0,2652	0,18	1,0000	0,15	0,8500	0,18	0,4444	0,13	0,8203	-0,08	0,9009	-0,04	0,9714	-0,04	0,9094
Zfand4	12,23	-0,12	0,8789	-0,28	0,7200	-0,29	NA	0,01	0,9967	-0,60	0,2756	0,27	0,7953	0,31	NA	0,04	0,9911	-0,34	0,6321
Zfand5	374,29	0,28	0,2427	-0,39	0,0624	0,00	1,0000	0,16	0,7941	0,23	0,2530	-0,41	0,2424	0,08	0,8988	-0,04	0,9730	0,06	0,9071
Zfand6	135,33	-0,29	0,2027	0,05	0,9240	-0,04	1,0000	0,08	0,9537	-0,32	0,2088	0,58	0,0684	0,58	0,0587	0,10	0,9143	0,11	0,8130
Zfat	16,07	-0,06	0,9350	-0,18	0,8294	-0,06	NA	-0,14	0,9472	0,23	0,6911	-0,18	0,8620	0,10	NA	-0,16	0,9189	0,19	0,7794
Zfc3h1	182,97	-0,37	0,1551	0,01	0,9895	0,10	1,0000	0,23	0,7308	-0,19	0,5258	0,07	0,9247	0,53	0,1248	0,53	0,1148	0,16	0,7239
Zfhx2	55,58	-0,75	0,0150	0,32	0,4108	-0,01	1,0000	-0,18	0,8783	0,33	0,4332	0,25	0,7521	-0,16	0,8548	0,13	0,9266	0,57	0,2562
Zfhx2os	1,52	-0,08	NA	-0,22	0,7117	-0,11	NA	-0,16	NA	-0,30	0,6470	-0,13	NA	-0,04	NA	-0,19	NA	-0,06	NA
Zfhx3	258,54	-0,30	0,3365	-0,17	0,5441	-0,26	0,9754	-0,39	0,1543	-0,35	0,2050	-0,42	0,3707	-0,07	0,9262	-0,16	0,8597	0,01	0,9912
Zfhx4	209,64	-1,03	0,0000	-0,59	0,0079	-0,34	0,7128	-0,33	0,3960	-0,80	0,0001	-0,05	0,9444	0,48	0,2491	0,38	0,4673	-0,03	0,9533
Zfml	319,02	-0,03	0,9412	-0,19	0,5114	-0,24	1,0000	0,08	0,9430	-0,07	0,7994	-0,24	0,6409	0,03	0,9728	0,05	0,9638	-0,09	0,8591
Zfp1	22,28	0,17	0,7876	-0,12	0,8778	0,22	NA	0,17	0,9211	-0,22	0,6789	-0,11	0,9206	0,03	0,9781	-0,23	0,8572	-0,70	0,1644
Zfp101	6,18	0,03	0,9769	0,25	0,7694	0,03	NA	0,13	NA	0,33	0,6355	-0,03	0,9868	0,20	NA	0,01	0,9967	-0,20	0,8265
Zfp105	11,09	-0,06	0,9425	-0,04	0,9724	-0,02	NA	-0,06	0,9853	0,10	0,8903	0,26	0,8079	0,00	NA	0,13	0,9436	-0,06	0,9483
Zfp106	979,53	-0,04	0,8851	-0,12	0,5887	-0,08	1,0000	-0,05	0,9516	-0,03	0,8908	-0,05	0,9254	0,04	0,9432	0,08	0,9023	0,04	0,9006
Zfp108	3,61	-0,37	0,6117	0,47	0,5025	0,19	NA	0,36	NA	-0,37	0,6222	0,67	0,3966	0,43	NA	0,51	NA	-0,16	0,8695
Zfp109	6,40	-0,09	0,9184	0,01	0,9944	0,14	NA	0,14	0,9472	-0,50	0,4658	0,14	0,9147	0,01	NA	-0,16	0,9300	-0,84	0,2261
Zfp11	22,05	0,44	0,3359	-0,26	0,7170	0,12	NA	0,00	0,9988	-0,18	0,7690	-0,41	0,5764	-0,01	0,9895	-0,21	0,8597	-0,46	0,3479
Zfp110	52,00	0,38	0,3532	0,00	0,9964	0,03	1,0000	-0,09	0,9634	-0,49	0,1780	-0,32	0,6313	-0,54	0,3072	-0,60	0,2809	-1,07	0,0040
Zfp111	18,38	-0,13	0,8428	-0,10	0,9057	0,04	NA	0,02	0,9910	-0,89	0,0533	-0,13	0,9057	0,23	NA	-0,17	0,9141	-1,07	0,0349
Zfp112	11,23	-0,49	0,3999	0,22	0,7851	0,13	NA	0,35	0,7246	-1,15	0,0261	0,43	0,6335	0,45	NA	0,32	0,8018	-0,87	0,1811

GeneID	CTL	ET-1 vs CTL		SAHA vs CTL		JS28 vs CTL		BSP vs CTL		JQ1 vs CTL		ET-1+SAHA vs ET1		ET-1+JS28 vs ET1		ET-1+BSP vs ET1		ET-1+JQ1 vs ET1	
	mean	log2(FC)	P-adj	log2(FC)	P-adj	log2(FC)	P-adj	log2(FC)	P-adj	log2(FC)	P-adj	log2(FC)	P-adj	log2(FC)	P-adj	log2(FC)	P-adj	log2(FC)	P-adj
Zfp113	43,11	-0,37	0,3196	-0,11	0,8563	-0,13	1,0000	0,06	0,9798	0,37	0,2332	-0,04	0,9699	0,28	0,6757	0,38	0,6130	0,38	0,3493
Zfp119a	18,09	-0,31	0,5693	-0,53	0,3286	-0,01	NA	0,16	0,9275	0,50	0,2149	-0,53	0,4945	0,46	NA	0,51	0,5401	0,54	0,2946
Zfp119b	8,90	0,18	0,8123	-0,12	0,9044	0,04	NA	0,40	0,6533	0,56	0,3026	-0,40	0,6822	0,14	NA	0,41	0,6935	0,06	0,9449
Zfp12	24,41	-0,27	0,6236	-0,17	0,8192	-0,13	NA	0,12	0,9555	-0,06	0,9127	0,00	0,9976	0,13	0,8942	0,53	0,4409	-0,03	0,9693
Zfp120	45,24	-0,02	0,9834	0,10	0,8933	0,06	1,0000	-0,15	0,9323	-0,38	0,3931	-0,02	0,9819	0,16	0,8364	0,12	0,9238	-0,28	0,5823
Zfp128	13,48	-0,34	0,5832	-0,33	0,6444	0,06	NA	-0,17	0,9272	-1,18	0,0142	-0,03	0,9837	0,22	NA	-0,15	0,9321	-0,83	0,1891
Zfp13	7,48	-0,44	0,4900	0,18	0,8422	0,07	NA	0,04	0,9855	-0,44	0,5079	0,37	0,7182	0,41	NA	0,58	0,5141	0,34	0,6525
Zfp131	1,14	0,19	NA	0,02	NA	-0,07	NA	-0,02	NA	-0,01	NA	0,23	NA	0,07	NA	-0,01	NA	-0,39	NA
Zfp133-ps	1,75	-0,34	NA	-0,15	0,8547	-0,03	NA	-0,24	NA	-0,09	0,9169	0,58	NA	0,14	NA	-0,11	NA	-0,10	NA
Zfp14	26,64	-0,63	0,0933	0,06	0,9461	0,05	1,0000	0,13	0,9464	-0,42	0,3306	0,62	0,2965	0,67	0,2050	0,40	0,6530	0,06	0,9347
Zfp142	52,65	0,37	0,3180	0,53	0,1509	0,04	1,0000	0,17	0,9060	0,54	0,0621	-0,16	0,8292	-0,25	0,6966	0,25	0,7608	0,25	0,5479
Zfp143	37,02	-0,05	0,9431	-0,39	0,4369	-0,16	1,0000	-0,05	0,9853	0,10	0,8494	0,13	0,8905	-0,22	0,7833	0,06	0,9783	0,16	0,7880
Zfp146	51,04	0,36	0,2989	-0,42	0,3165	0,05	1,0000	0,01	0,9925	0,10	0,8180	-1,00	0,0140	-0,06	0,9432	-0,33	0,6427	-0,27	0,5209
Zfp148	299,53	-0,08	0,7710	-0,08	0,8221	0,00	1,0000	0,00	0,9986	-0,09	0,6973	0,04	0,9445	0,30	0,3758	0,12	0,8511	0,01	0,9919
Zfp157	58,42	-0,58	0,0443	0,05	0,9342	0,01	1,0000	0,48	0,1933	-0,19	0,6141	0,03	0,9754	0,65	0,1524	0,49	0,4085	-0,17	0,7393
Zfp160	52,08	0,39	0,2936	0,15	0,8082	0,07	1,0000	0,13	0,9430	-0,10	0,8193	-0,23	0,7475	-0,04	0,9685	-0,10	0,9416	-0,67	0,0746
Zfp169	17,78	-0,50	0,3050	0,38	0,4848	0,06	NA	-0,07	0,9798	0,01	0,9824	0,63	0,3636	-0,03	NA	0,34	0,7668	0,36	0,5709
Zfp174	10,63	-0,40	0,5022	0,44	0,4661	0,01	NA	0,07	0,9798	-0,25	0,7009	0,94	0,1249	0,65	NA	0,46	0,6422	0,17	0,8288
Zfp180	42,17	-0,18	0,6891	-0,24	0,6387	-0,15	1,0000	-0,35	0,6249	-0,51	0,1110	-0,16	0,8451	-0,46	0,4453	-0,32	0,7075	-0,05	0,9318
Zfp182	16,53	-0,60	0,2110	-0,40	0,5341	-0,21	NA	-0,24	0,8682	-0,71	0,1572	-0,13	0,9186	0,27	NA	-0,32	0,7977	-0,14	0,8542
Zfp184	8,12	-0,34	0,6182	0,08	0,9414	0,16	NA	-0,14	0,9465	-0,33	0,6169	0,12	0,9316	0,38	NA	0,13	0,9454	0,26	0,7411
Zfp189	16,08	-0,51	0,3065	0,14	0,8547	0,03	NA	-0,09	0,9746	-0,72	0,1339	0,59	0,4067	0,58	NA	0,42	0,6676	-0,34	0,6368
Zfp191	96,29	0,01	0,9755	-0,48	0,1198	-0,05	1,0000	0,16	0,8731	0,00	0,9951	-0,41	0,3443	0,16	0,7839	0,21	0,7533	0,05	0,9182
Zfp2	16,98	-0,06	0,9406	0,16	0,8429	0,13	NA	-0,17	0,9272	-0,67	0,2096	0,37	0,6523	0,46	NA	-0,05	0,9862	-1,08	0,0356
Zfp202	6,52	0,22	0,7746	0,50	0,4503	0,17	NA	0,02	NA	-0,24	0,7541	0,05	0,9732	0,28	NA	-0,17	0,9214	-0,09	0,9245
Zfp207	312,58	-0,11	0,7560	-0,03	0,9591	0,12	1,0000	0,17	0,8465	0,04	0,8947	0,21	0,6365	0,54	0,0647	0,28	0,5282	0,18	0,5863
Zfp212	16,65	0,10	0,8898	0,17	0,8274	0,09	NA	0,34	0,7370	0,47	0,2984	-0,16	0,8862	-0,30	NA	-0,04	0,9915	0,00	0,9988
Zfp213	7,64	0,48	0,4272	-0,01	0,9901	-0,03	NA	0,17	NA	0,70	0,1995	-0,50	0,5688	-0,33	NA	0,28	0,8389	0,03	0,9773
Zfp217	30,84	-0,34	0,4295	0,53	0,1703	0,28	1,0000	0,13	0,9437	0,34	0,3417	0,60	0,2739	0,46	0,4453	0,09	0,9602	0,37	0,4237
Zfp219	47,29	-0,39	0,2211	-0,69	0,0414	0,18	1,0000	-0,18	0,8894	-0,52	0,1264	-0,65	0,2081	-0,08	0,9337	0,34	0,6577	-0,04	0,9585
Zfp229	42,35	-0,23	0,5965	-0,25	0,6230	-0,08	1,0000	0,02	0,9901	-0,03	0,9507	0,01	0,9927	0,31	0,6199	0,22	0,8339	-0,12	0,8558
Zfp235	13,35	-0,06	0,9401	-0,21	0,8040	0,16	NA	0,33	0,7588	-0,19	0,7748	-0,13	0,9125	0,46	NA	0,14	0,9377	-0,50	0,4269
Zfp236	47,24	-0,37	0,3374	-0,82	0,0113	-0,12	1,0000	-0,09	0,9634	-0,78	0,0128	-0,35	0,6340	0,10	0,9133	-0,02	0,9936	-0,38	0,4277
Zfp239	1,82	0,37	NA	1,41	0,0021	0,03	NA	-0,05	NA	-0,36	NA	0,87	0,2243	-0,12	NA	-0,52	NA	-0,76	NA
Zfp248	10,59	-0,47	0,4450	-0,16	0,8649	0,16	NA	0,07	0,9798	-0,20	0,7768	-0,20	0,8682	0,42	NA	-0,11	0,9590	0,73	0,2253
Zfp251	45,75	0,29	0,4371	0,01	0,9894	0,10	1,0000	0,10	0,9628	0,23	0,5687	-0,35	0,5421	-0,19	0,7939	-0,13	0,9144	0,02	0,9808
Zfp26	82,08	-0,19	0,5641	-0,11	0,8121	-0,03	1,0000	0,15	0,8903	-0,25	0,3527	0,11	0,8790	0,31	0,5266	0,06	0,9612	-0,25	0,5234
Zfp260	164,20	-0,19	0,5065	-0,29	0,2887	-0,01	1,0000	0,04	0,9827	-0,15	0,5584	-0,15	0,7984	0,32	0,4392	0,16	0,8285	0,05	0,9187
Zfp263	31,46	0,12	0,8328	0,00	0,9964	0,19	1,0000	-0,11	0,9600	-0,34	0,4375	-0,03	0,9783	-0,07	0,9444	-0,17	0,8934	-0,11	0,8294
Zfp266	177,00	-0,17	0,4960	-0,02	0,9678	0,06	1,0000	0,08	0,9469	-0,23	0,2938	0,15	0,7613	0,39	0,2663	0,04	0,9789	0,08	0,7893
Zfp27	20,55	0,23	0,6647	0,28	0,6608	0,05	NA	-0,33	0,7492	-1,25	0,0038	-0,28	0,7572	-0,29	NA	-0,46	0,5985	-1,73	0,0001
Zfp273	3,55	0,02	0,9862	0,43	0,5491	0,20	NA	0,20	NA	-0,26	0,7457	0,38	0,7103	0,33	NA	0,27	NA	-0,13	0,8990
Zfp275	63,27	0,33	0,3104	0,27	0,5244	0,01	1,0000	-0,04	0,9853	-0,07	0,8732	0,34	0,5101	0,17	0,7907	0,31	0,6256	0,00	0,9988
Zfp276	26,47	-0,44	0,3946	0,12	0,8824	0,00	NA	0,08	0,9764	0,33	0,4759	0,29	0,7481	0,41	0,5446	0,28	0,8106	0,50	0,3264
Zfp277	46,48	-0,31	0,3825	0,60	0,0422	0,26	1,0000	0,37	0,5133	-0,07	0,8694	0,61	0,2117	0,37	0,5215	0,42	0,5013	-0,08	0,8977

GeneID	CTL	ET-1 vs CTL		SAHA vs CTL		JS28 vs CTL		BSP vs CTL		JQ1 vs CTL		ET-1+SAHA vs ET1		ET-1+JS28 vs ET1		ET-1+BSP vs ET1		ET-1+JQ1 vs ET1	
	mean	log2(FC)	P-adj	log2(FC)	P-adj	log2(FC)	P-adj	log2(FC)	P-adj	log2(FC)	P-adj	log2(FC)	P-adj	log2(FC)	P-adj	log2(FC)	P-adj	log2(FC)	P-adj
Zfp28	8,80	-0,32	0,6438	0,38	0,5974	0,24	NA	-0,02	0,9901	-0,71	0,2271	0,61	0,4296	0,63	NA	0,15	0,9328	-0,21	0,8079
Zfp280b	53,81	-0,14	0,7618	-0,03	0,9733	0,08	1,0000	-0,13	0,9370	0,23	0,4821	0,10	0,9034	0,12	0,8842	0,15	0,8915	0,13	0,7902
Zfp280c	59,13	-0,03	0,9603	-0,06	0,9338	-0,09	1,0000	0,24	0,8190	-0,05	0,9131	-0,11	0,8921	0,39	0,4230	-0,04	0,9852	-0,17	0,7176
Zfp280d	92,41	-0,28	0,3466	-0,48	0,0950	0,00	1,0000	-0,03	0,9853	-0,20	0,5200	-0,41	0,4061	0,55	0,1454	0,41	0,4244	-0,03	0,9612
Zfp281	93,98	0,31	0,3106	0,02	0,9818	-0,06	1,0000	-0,02	0,9895	0,14	0,6902	-0,46	0,2622	0,04	0,9604	-0,30	0,6075	-0,13	0,7861
Zfp282	37,69	-0,53	0,1568	-0,33	0,5165	-0,05	1,0000	0,01	0,9956	0,22	0,6368	-0,31	0,7085	-0,04	0,9694	0,50	0,4707	0,74	0,0845
Zfp286	5,39	-0,30	0,6848	0,03	0,9813	0,01	NA	-0,25	NA	-0,56	0,3943	-0,01	0,9976	0,28	NA	-0,18	NA	-0,80	0,2603
Zfp287	18,98	-0,23	0,7071	0,15	0,8462	0,06	NA	-0,12	0,9606	0,02	0,9721	0,41	0,6161	0,29	NA	0,01	0,9980	0,00	0,9982
Zfp292	300,89	-0,42	0,0394	-0,18	0,5475	-0,14	1,0000	0,09	0,9399	-0,15	0,6051	0,14	0,7953	0,59	0,0449	0,37	0,3481	0,16	0,7176
Zfp3	16,97	-0,14	0,8411	-0,40	0,5287	-0,02	NA	-0,24	0,8624	-0,21	0,7149	-0,40	0,6573	0,17	NA	0,17	0,9161	0,04	0,9661
Zfp30	22,83	-0,21	0,7086	-0,36	0,5258	0,11	NA	0,25	0,8363	-0,39	0,3995	-0,25	0,7891	0,37	0,5985	0,22	0,8647	-0,28	0,6397
Zfp316	26,66	-0,25	0,6107	0,22	0,7047	0,10	NA	-0,15	0,9354	-0,07	0,9023	-0,22	0,8143	-0,09	0,9270	0,11	0,9420	0,23	0,6729
Zfp317	62,26	0,09	0,8323	0,03	0,9722	0,07	1,0000	0,05	0,9823	0,19	0,5566	-0,39	0,4396	-0,41	0,4131	0,11	0,9192	-0,04	0,9412
Zfp318	113,09	-0,40	0,0834	-0,62	0,0046	0,03	1,0000	0,14	0,8671	0,33	0,0987	-0,26	0,6466	0,34	0,4601	0,45	0,2964	0,59	0,0251
Zfp319	63,82	-0,15	0,7266	-0,21	0,6601	0,09	1,0000	0,22	0,8214	0,41	0,2050	-0,38	0,5120	-0,34	0,5499	0,36	0,5839	0,39	0,2970
Zfp322a	119,86	0,37	0,1415	-0,15	0,7454	-0,05	1,0000	-0,08	0,9634	0,03	0,9310	-0,06	0,9373	0,02	0,9768	-0,30	0,6091	-0,10	0,8424
Zfp324	14,80	-0,22	0,7657	0,16	0,8543	0,12	NA	-0,06	0,9853	-0,59	0,2866	0,28	0,7795	0,27	NA	0,19	0,9025	0,18	0,8027
Zfp326	42,78	-0,07	0,8910	-0,46	0,2608	-0,35	0,9896	0,03	0,9853	-0,68	0,0388	-0,33	0,6277	0,52	0,2740	-0,18	0,8745	-0,72	0,0459
Zfp329	55,19	-0,16	0,6975	0,11	0,8355	0,05	1,0000	0,10	0,9510	0,07	0,8516	0,13	0,8668	0,44	0,3484	0,30	0,6750	0,06	0,9028
Zfp330	61,79	0,14	0,7324	0,08	0,8926	0,11	1,0000	0,26	0,7386	-0,12	0,7830	-0,11	0,8790	-0,13	0,8638	-0,06	0,9619	-0,14	0,7812
Zfp334	48,30	-0,27	0,5823	0,21	0,6888	-0,10	1,0000	-0,37	0,6004	-1,40	0,0000	-0,04	0,9714	0,12	0,8988	-0,20	0,8719	-1,25	0,0016
Zfp335	42,46	-0,14	0,7790	-0,13	0,8355	0,12	1,0000	-0,17	0,9004	0,19	0,6654	-0,24	0,7481	-0,10	0,9085	0,06	0,9753	0,20	0,6872
Zfp341	11,96	-0,14	0,8597	-0,76	0,1676	0,13	NA	-0,22	0,8881	-0,03	0,9667	-0,77	0,2991	-0,32	NA	-0,21	0,8960	-0,02	0,9900
Zfp346	53,98	-0,64	0,1033	0,10	0,8954	-0,06	1,0000	0,10	0,9634	0,81	0,0158	0,19	0,8135	0,11	0,9042	0,58	0,3063	1,00	0,0036
Zfp35	28,48	0,19	0,7392	0,22	0,7397	-0,07	NA	0,10	0,9658	0,03	0,9641	0,09	0,9257	-0,02	0,9842	-0,25	0,8285	0,07	0,9201
Zfp354a	14,44	-0,61	0,2125	-0,09	0,9229	0,14	NA	-0,29	0,8147	-0,76	0,1159	-0,13	0,9157	0,44	NA	0,31	0,8092	-0,05	0,9534
Zfp354b	7,48	-0,30	0,6741	-0,02	0,9848	0,11	NA	-0,03	0,9860	-0,59	0,3306	0,30	0,7814	0,16	NA	-0,02	0,9936	-0,61	0,4163
Zfp354c	38,27	-0,58	0,0688	0,40	0,2747	0,23	1,0000	-0,15	0,9211	-0,94	0,0018	0,92	0,0299	0,60	0,2344	0,13	0,9300	-0,38	0,4959
Zfp358	60,74	-0,59	0,0622	-0,25	0,6291	0,12	1,0000	-0,23	0,8318	-0,27	0,5808	-0,08	0,9318	-0,13	0,8818	-0,03	0,9911	0,02	0,9778
Zfp36	22,49	0,28	0,6247	-0,25	0,7412	0,08	NA	-0,26	0,8512	0,36	0,5281	-0,98	0,0790	-0,56	0,3730	-0,93	0,1003	0,03	0,9747
Zfp362	69,29	-0,18	0,7509	-0,49	0,2582	0,03	1,0000	-0,29	0,7524	0,15	0,7778	-0,74	0,1526	-0,42	0,4802	-0,15	0,9064	0,41	0,4570
Zfp365	22,62	0,01	0,9905	-0,30	0,6669	-0,42	NA	-0,49	0,5133	-0,49	0,3228	0,20	0,8292	-0,21	NA	-0,48	0,5834	-0,17	0,7903
Zfp367	73,74	-0,01	0,9862	0,21	0,6127	-0,05	1,0000	0,18	0,8528	-0,51	0,0751	0,45	0,3538	0,38	0,4590	0,17	0,8675	-0,20	0,6568
Zfp369	69,74	-0,32	0,3948	-0,38	0,3229	-0,24	1,0000	-0,19	0,8625	-0,38	0,2145	-0,46	0,4029	-0,04	0,9654	-0,04	0,9824	-0,19	0,6781
Zfp3611	430,92	-0,43	0,1980	-0,22	0,4553	-0,21	1,0000	-0,24	0,6218	0,38	0,2101	0,12	0,8709	0,28	0,6345	0,13	0,9074	0,75	0,0652
Zfp3612	24,08	-0,48	0,2840	-0,27	0,6589	-0,05	NA	-0,24	0,8581	-0,03	0,9672	-0,20	0,8452	0,27	NA	-0,23	0,8619	-0,14	0,8464
Zfp37	62,19	1,03	0,0011	0,12	0,8603	0,00	1,0000	-0,41	0,5864	-0,83	0,0219	-1,10	0,0075	-0,83	0,0526	-1,30	0,0006	-1,44	0,0002
Zfp382	8,62	0,14	0,8683	-0,09	0,9290	-0,05	NA	0,35	0,7328	0,24	0,7327	-0,24	0,8292	-0,40	NA	-0,36	0,7712	0,20	0,8004
Zfp383	22,17	0,04	0,9559	0,18	0,8101	0,34	NA	0,05	0,9853	-0,59	0,2056	0,20	0,8246	0,44	0,4840	0,26	0,8203	-0,67	0,1758
Zfp384	56,83	-0,21	0,6449	-0,29	0,5326	0,09	1,0000	-0,14	0,9293	-0,24	0,5478	-0,32	0,6368	0,20	0,7856	0,01	0,9980	-0,20	0,7029
Zfp385a	10,48	-0,22	0,7670	1,21	0,0031	0,03	NA	-0,22	0,8866	0,45	0,5025	0,85	0,1875	-0,27	NA	-0,29	0,8335	0,22	0,8053
Zfp385b	32,45	-0,24	0,7141	0,21	0,7454	0,31	1,0000	0,34	0,6939	-0,29	0,5915	0,15	0,8859	0,50	0,4518	0,47	0,5865	-0,22	0,7671
Zfp385c	5,04	0,18	NA	-0,23	0,7164	-0,03	NA	-0,14	NA	0,28	0,6540	-0,05	0,9735	-0,16	NA	-0,83	NA	0,00	0,9996
Zfp386	71,58	-0,44	0,1464	0,09	0,8788	0,21	1,0000	0,40	0,4369	-0,12	0,7502	0,38	0,4415	0,74	0,0369	0,60	0,1335	0,13	0,7820
Zfp39	11,87	-0,23	0,7361	0,18	0,8274	0,05	NA	-0,03	0,9894	-0,32	0,6003	0,31	0,7536	-0,03	NA	0,18	0,9119	0,14	0,8584

GeneID	CTL	ET-1 vs CTL		SAHA vs CTL		JS28 vs CTL		BSP vs CTL		JQ1 vs CTL		ET-1+SAHA vs ET1		ET-1+JS28 vs ET1		ET-1+BSP vs ET1		ET-1+JQ1 vs ET1	
	mean	log2(FC)	P-adj	log2(FC)	P-adj	log2(FC)	P-adj	log2(FC)	P-adj	log2(FC)	P-adj	log2(FC)	P-adj	log2(FC)	P-adj	log2(FC)	P-adj	log2(FC)	P-adj
Zfp395	47,07	-0,69	0,0479	-0,08	0,9004	-0,06	1,0000	-0,30	0,7019	0,04	0,9405	0,06	0,9572	-0,04	0,9726	0,13	0,9338	0,26	0,6990
Zfp397	140,44	-0,13	0,6750	0,13	0,7348	-0,08	1,0000	0,00	0,9988	-0,06	0,8444	0,06	0,9255	0,43	0,2570	0,12	0,8960	-0,19	0,7222
Zfp398	16,44	-0,06	0,9367	0,42	0,4825	-0,06	NA	0,10	0,9681	0,26	0,6312	0,07	0,9564	0,20	NA	0,18	0,9065	0,08	0,9226
Zfp40	25,39	-0,08	0,9105	-0,03	0,9752	0,01	NA	0,37	0,6433	-0,31	0,5065	0,00	0,9993	0,32	0,6696	0,24	0,8446	-0,51	0,4133
Zfp407	61,13	-0,05	0,9184	-0,30	0,4573	-0,26	1,0000	-0,25	0,7521	0,01	0,9789	-0,52	0,2894	-0,16	0,8280	-0,12	0,9192	0,14	0,7418
Zfp408	13,72	-0,15	0,8271	0,34	0,6108	0,05	NA	0,15	0,9437	0,28	0,6248	-0,01	0,9976	0,25	NA	0,40	0,6938	0,46	0,4008
Zfp41	4,89	-0,54	0,3906	0,49	0,4655	0,08	NA	-0,22	NA	-0,66	0,2990	0,85	0,2400	0,18	NA	0,36	NA	-0,33	0,7012
Zfp410	51,43	-0,26	0,4772	-0,42	0,2817	0,01	1,0000	0,31	0,6249	0,04	0,9169	0,01	0,9933	0,32	0,5851	0,22	0,8207	0,19	0,6638
Zfp414	18,18	-0,35	0,5328	-0,14	0,8585	0,11	NA	-0,32	0,7576	-0,18	0,7527	-0,20	0,8551	0,16	NA	-0,08	0,9730	0,16	0,8424
Zfp418	6,46	-0,04	0,9635	0,35	0,6521	0,03	NA	-0,33	NA	-0,44	0,5274	0,41	0,6787	0,26	NA	-0,21	0,9017	-0,66	0,3665
Zfp420	9,18	-0,08	0,9239	0,46	0,4819	-0,04	NA	0,27	0,8380	0,12	0,8723	0,22	0,8424	0,09	NA	0,23	0,8833	0,08	0,9396
Zfp422	38,39	0,33	0,3937	-0,12	0,8482	0,09	1,0000	-0,08	0,9713	-0,51	0,1919	-0,59	0,2968	-0,23	0,7407	-0,44	0,5293	-0,77	0,0379
Zfp423	3,27	-0,65	0,2681	-0,08	0,9462	-0,09	NA	-0,20	NA	-0,22	0,7846	-0,09	NA	0,21	NA	-0,02	NA	0,06	0,9566
Zfp426	41,08	-0,29	0,4891	-0,31	0,5044	-0,14	1,0000	0,05	0,9829	-0,07	0,8928	0,19	0,8224	0,42	0,4836	0,25	0,8021	0,25	0,6136
Zfp428	9,80	-0,13	0,8733	-0,92	0,0863	-0,11	NA	-0,59	0,3014	-0,61	0,3311	-1,13	0,0790	-0,24	NA	-0,38	0,7502	-0,29	0,7077
Zfp433	2,14	-0,35	NA	-0,69	0,1657	-0,05	NA	0,07	NA	0,09	0,9238	-0,06	NA	0,07	NA	0,46	NA	0,39	0,6369
Zfp438	18,44	0,34	0,5363	0,00	0,9992	-0,16	NA	-0,06	0,9853	-0,57	0,2683	-0,25	0,7866	-0,12	NA	-0,49	0,5705	-0,70	0,1605
Zfp442	12,69	0,00	0,9948	0,28	0,7170	-0,05	NA	-0,03	0,9860	-0,70	0,2052	0,26	0,7937	0,05	NA	0,02	0,9933	-0,74	0,2024
Zfp444	20,92	-0,69	0,0760	0,15	0,8347	-0,14	NA	-0,10	0,9634	0,26	0,5600	0,67	0,2796	0,29	NA	0,41	0,6673	0,88	0,0536
Zfp445	114,97	-0,24	0,4272	0,23	0,5161	0,07	1,0000	0,13	0,9077	-0,35	0,1944	0,17	0,7717	0,47	0,2196	0,21	0,7617	-0,28	0,4074
Zfp446	5,93	0,11	0,8982	-0,18	0,8445	0,03	NA	0,03	NA	0,46	0,4848	-0,35	0,7347	-0,08	NA	0,11	0,9570	0,41	0,5861
Zfp449	30,48	0,09	0,8756	0,07	0,9338	0,10	NA	0,22	0,8670	-0,11	0,8403	0,01	0,9936	0,29	0,6690	-0,26	0,7987	-0,14	0,7873
Zfp451	68,33	-0,14	0,7452	-0,14	0,7679	0,07	1,0000	0,25	0,7175	-0,32	0,2697	-0,24	0,7240	0,20	0,7517	0,20	0,8285	-0,17	0,7229
Zfp454	1,89	-0,17	NA	0,47	0,4865	0,13	NA	0,13	NA	-0,80	0,1315	0,18	NA	0,22	NA	0,26	NA	-0,08	NA
Zfp455	3,79	0,02	0,9879	0,04	0,9767	0,19	NA	0,05	NA	-0,18	0,8314	0,13	0,9216	0,14	NA	-0,24	NA	-0,51	0,5280
Zfp456	5,23	-0,47	0,4758	0,06	0,9623	-0,11	NA	-0,11	NA	-0,70	0,2709	0,13	0,9236	0,19	NA	-0,17	NA	-0,77	0,2838
Zfp457	12,76	0,35	0,5655	0,42	0,5075	0,00	NA	0,31	0,7856	-0,56	0,3452	0,18	0,8689	0,11	NA	0,36	0,7320	-1,06	0,0652
Zfp458	12,20	0,06	0,9421	0,66	0,2036	0,15	NA	0,54	0,4127	0,48	0,3470	0,27	0,7909	0,19	NA	0,21	0,8889	0,11	0,8936
Zfp459	1,17	-0,21	NA	0,12	0,8895	0,05	NA	0,25	NA	0,29	0,7021	0,08	NA	0,12	NA	0,00	NA	0,00	NA
Zfp46	92,40	-0,55	0,0091	-0,93	0,0000	-0,13	1,0000	-0,19	0,8191	-0,54	0,0179	-0,35	0,4938	0,26	0,6154	0,32	0,5821	0,02	0,9625
Zfp462	173,77	0,01	0,9891	-0,14	0,6766	-0,01	1,0000	-0,02	0,9853	-0,38	0,0622	-0,40	0,2786	-0,09	0,8858	-0,12	0,8926	-0,63	0,0112
Zfp467	25,81	-0,97	0,0141	-0,82	0,0875	0,16	1,0000	-0,25	0,8610	-1,22	0,0102	-0,17	0,8808	0,31	NA	-0,22	0,8833	-1,03	0,0947
Zfp472	8,31	-0,07	0,9370	0,06	0,9550	-0,03	NA	-0,08	0,9764	-0,13	0,8700	0,26	0,8087	0,45	NA	0,23	0,8828	-0,11	0,9080
Zfp473	1,09	0,39	NA	0,10	NA	-0,01	NA	0,07	NA	0,43	0,4674	-0,07	NA	0,06	NA	-0,21	NA	-0,51	NA
Zfp493	5,70	0,19	0,8248	0,52	0,4444	0,09	NA	0,07	NA	-0,12	0,8823	0,43	0,6563	-0,24	NA	-0,13	0,9438	-0,51	0,5172
Zfp503	5,51	0,04	0,9676	-0,17	0,8614	-0,07	NA	-0,05	NA	0,70	0,2487	0,03	0,9818	-0,44	NA	-0,10	NA	0,76	0,2425
Zfp507	82,25	-0,05	0,8975	-0,43	0,1862	-0,10	1,0000	-0,13	0,9118	-0,49	0,0574	-0,30	0,5617	0,19	0,7382	-0,24	0,7465	-0,59	0,0510
Zfp51	27,81	-0,26	0,6416	0,29	0,6031	0,01	NA	-0,20	0,9000	-0,97	0,0131	0,11	0,9175	0,29	0,7045	-0,10	0,9527	-0,89	0,0804
Zfp511	11,18	0,18	0,7969	-0,02	0,9894	-0,05	NA	0,04	0,9853	0,76	0,1180	-0,30	0,7663	-0,03	NA	0,09	0,9619	0,64	0,1889
Zfp512	72,79	-0,39	0,1529	-0,21	0,6093	0,10	1,0000	0,07	0,9649	0,01	0,9771	0,13	0,8670	0,27	0,6302	0,32	0,6165	0,18	0,6500
Zfp513	13,75	0,39	0,4950	0,23	0,7776	0,09	NA	-0,11	0,9634	0,66	0,1928	-0,49	0,5415	-0,44	NA	-0,27	0,8343	0,38	0,5085
Zfp516	130,77	-0,06	0,8991	0,55	0,0326	-0,03	1,0000	-0,03	0,9853	-0,17	0,5920	0,24	0,6522	-0,10	0,8846	0,01	0,9971	-0,18	0,6321
Zfp518a	67,46	-0,08	0,8795	-0,22	0,6139	-0,28	1,0000	-0,27	0,7153	-0,90	0,0005	-0,38	0,5086	0,12	0,8732	-0,29	0,7198	-0,59	0,1728
Zfp518b	51,06	-0,01	0,9901	-0,87	0,0086	-0,26	1,0000	-0,31	0,6940	-0,14	0,7275	-0,77	0,1006	-0,09	0,9219	-0,21	0,8348	-0,01	0,9921
Zfp52	6,58	-0,08	0,9276	1,24	0,0051	0,26	NA	0,11	0,9634	-0,31	0,6687	1,03	0,1022	0,14	NA	-0,08	0,9714	-0,39	0,6378

GeneID	CTL	ET-1 vs CTL		SAHA vs CTL		JS28 vs CTL		BSP vs CTL		JQ1 vs CTL		ET-1+SAHA vs ET1		ET-1+JS28 vs ET1		ET-1+BSP vs ET1		ET-1+JQ1 vs ET1	
	mean	log2(FC)	P-adj	log2(FC)	P-adj	log2(FC)	P-adj	log2(FC)	P-adj	log2(FC)	P-adj	log2(FC)	P-adj	log2(FC)	P-adj	log2(FC)	P-adj	log2(FC)	P-adj
Zfp521	83,94	-0,40	0,2516	-0,76	0,0166	0,05	1,0000	-0,08	0,9647	-0,38	0,2385	-0,66	0,1413	0,23	0,7034	0,33	0,6122	-0,21	0,6491
Zfp523	33,68	-0,84	0,0112	-0,63	0,1320	0,06	1,0000	-0,03	0,9853	0,01	0,9836	-0,02	0,9893	0,37	0,5996	1,08	0,0106	0,72	0,1752
Zfp524	5,52	-0,23	0,7745	-0,38	0,6135	-0,08	NA	-0,16	NA	-0,33	0,6586	-0,06	0,9645	0,03	NA	0,06	NA	0,10	0,9236
Zfp526	16,25	0,32	0,5641	0,47	0,4129	0,29	NA	0,44	0,5830	0,93	0,0119	-0,29	0,7525	-0,33	NA	0,02	0,9931	0,77	0,0881
Zfp53	16,17	-0,33	0,5641	0,51	0,3341	-0,08	NA	0,11	0,9634	-0,04	0,9584	0,51	0,4898	0,38	NA	0,22	0,8800	-0,06	0,9355
Zfp532	89,13	-0,43	0,1377	-1,34	0,0000	0,13	1,0000	-0,64	0,0684	-2,19	0,0000	-0,89	0,0170	0,19	0,7489	-0,38	0,5131	-1,62	0,0000
Zfp536	4,68	-0,20	0,8072	-0,22	0,8100	-0,04	NA	-0,19	NA	-1,11	0,0526	0,04	0,9792	0,48	NA	-0,14	NA	-0,80	0,2621
Zfp54	5,32	-0,16	0,8449	0,82	0,1253	0,22	NA	0,11	NA	0,18	0,8165	0,68	0,3932	0,65	NA	0,16	NA	0,26	0,7618
Zfp551	9,54	0,13	0,8621	-0,04	0,9709	0,21	NA	-0,36	0,7021	-1,42	0,0075	-0,22	0,8417	0,30	NA	-0,69	0,3924	-1,33	0,0218
Zfp553	27,43	0,21	0,7392	0,41	0,4863	0,12	NA	-0,14	0,9486	0,51	0,2167	-0,25	0,7715	-0,29	0,6956	-0,13	0,9290	0,14	0,8076
Zfp558	10,14	-0,49	0,3989	-0,06	0,9571	-0,07	NA	-0,05	0,9853	0,15	0,8123	0,08	0,9506	0,14	NA	-0,14	0,9400	0,36	0,6347
Zfp560	16,11	-0,08	0,9141	0,31	0,6521	-0,06	NA	-0,25	0,8619	-1,14	0,0171	-0,03	0,9849	0,08	NA	-0,16	0,9202	-0,71	0,2312
Zfp563	22,15	-0,12	0,8611	-0,11	0,8901	0,19	NA	0,08	0,9761	-0,63	0,1541	-0,08	0,9447	0,31	0,6799	0,33	0,7375	-0,25	0,6798
Zfp566	8,86	0,11	0,9007	0,35	0,6397	-0,22	NA	-0,40	0,6299	0,54	0,3298	-0,58	0,4913	-0,57	NA	-0,47	0,6443	-0,33	0,6787
Zfp568	229,91	0,83	0,0000	-0,66	0,0009	-0,23	1,0000	-0,41	0,1836	0,09	0,7728	-0,97	0,0000	-0,74	0,0023	-0,89	0,0001	-0,54	0,0393
Zfp57	4,18	0,31	0,6748	0,31	0,7019	0,02	NA	-0,21	NA	-0,66	0,2984	-0,16	0,9018	0,03	NA	-0,56	NA	-1,06	0,1116
Zfp574	25,50	0,11	0,8489	0,12	0,8714	0,12	NA	-0,01	0,9968	0,65	0,0541	-0,32	0,7092	-0,19	0,8334	-0,16	0,9074	0,41	0,3656
Zfp579	40,13	-0,34	0,5172	0,03	0,9730	0,33	1,0000	0,12	0,9452	0,26	0,7188	-0,06	0,9552	0,20	0,8264	0,58	0,4003	0,29	0,7331
Zfp58	18,67	0,02	0,9765	0,50	0,3182	0,09	NA	0,21	0,8903	0,12	0,8406	-0,06	0,9581	0,37	0,6283	0,04	0,9907	-0,06	0,9440
Zfp580	5,20	0,33	0,6498	0,40	0,5936	0,10	NA	0,00	NA	0,46	0,4972	0,10	0,9378	-0,10	NA	-0,13	0,9480	0,08	0,9431
Zfp583	1,21	-0,09	NA	0,19	0,8016	-0,07	NA	-0,11	NA	0,07	0,9378	0,24	NA	0,33	NA	-0,07	NA	-0,08	NA
Zfp59	16,53	0,13	0,8525	-0,17	0,8313	0,01	NA	0,20	0,9058	0,29	0,5787	-0,10	0,9303	0,18	NA	0,02	0,9931	-0,09	0,9050
Zfp592	72,04	0,04	0,9421	0,14	0,7762	0,09	1,0000	0,10	0,9555	0,52	0,0558	-0,30	0,6032	-0,06	0,9432	0,18	0,8405	0,62	0,0630
Zfp593	8,92	0,53	0,3555	0,32	0,6923	-0,05	NA	0,09	0,9741	0,29	0,6692	-0,63	0,4291	-0,52	NA	-0,65	0,4320	-0,18	0,8205
Zfp595	9,41	-0,21	0,7753	0,12	0,9008	0,25	NA	0,05	0,9853	-0,53	0,3915	0,17	0,8863	0,43	NA	0,18	0,9143	-0,41	0,5796
Zfp597	37,86	0,22	0,6291	-0,02	0,9830	-0,04	1,0000	0,20	0,8881	0,09	0,8626	-0,55	0,3194	0,31	0,6024	-0,17	0,8816	-0,11	0,8699
Zfp598	36,58	0,02	0,9773	0,13	0,8422	0,19	1,0000	0,20	0,8797	0,20	0,6617	0,08	0,9360	-0,45	0,4532	0,27	0,7617	0,24	0,5923
Zfp599	6,30	-0,20	0,8022	0,32	0,6830	-0,10	NA	-0,18	NA	-0,72	0,2433	0,47	0,6149	0,12	NA	-0,10	NA	-0,60	0,4329
Zfp60	51,30	-0,06	0,9065	0,28	0,4819	-0,02	1,0000	0,06	0,9805	0,22	0,5180	0,19	0,7856	0,40	0,4313	0,36	0,5771	0,20	0,6769
Zfp605	8,98	0,35	0,5908	0,21	0,8151	0,25	NA	0,11	0,9634	-0,49	0,4558	-0,13	0,9144	0,00	NA	-0,61	0,4805	-1,61	0,0046
Zfp606	62,22	-0,30	0,3253	-0,08	0,8794	-0,19	1,0000	-0,02	0,9901	-0,58	0,0480	-0,08	0,9257	0,33	0,5354	0,25	0,7442	-0,45	0,2015
Zfp607	18,94	-0,44	0,3774	-0,53	0,3575	-0,43	NA	-0,21	0,8937	-0,44	0,3727	-0,29	0,7629	-0,31	NA	0,18	0,9080	-0,20	0,7686
Zfp608	207,20	-0,16	0,6070	0,52	0,0233	0,13	1,0000	0,06	0,9674	-0,08	0,8506	0,32	0,4389	0,36	0,3367	0,02	0,9918	-0,18	0,6769
Zfp609	190,61	-0,04	0,9370	0,10	0,8162	0,02	1,0000	-0,05	0,9764	0,53	0,0190	-0,15	0,8301	-0,17	0,8170	-0,06	0,9717	0,43	0,3126
Zfp61	15,01	-0,42	0,4289	-0,15	0,8532	0,15	NA	-0,04	0,9853	-0,43	0,4308	0,16	0,8906	0,14	NA	-0,01	0,9966	-0,02	0,9875
Zfp612	44,10	-0,22	0,6522	0,75	0,0130	0,19	1,0000	0,28	0,7421	0,21	0,5920	0,82	0,0720	0,47	0,3904	0,51	0,3984	0,00	0,9981
Zfp617	46,07	0,28	0,4505	0,00	0,9947	0,24	1,0000	0,17	0,8998	-0,06	0,8917	-0,27	0,6802	0,21	0,7471	0,10	0,9371	-0,23	0,6127
Zfp618	5,14	-0,98	0,0528	-0,38	0,6189	0,00	NA	-0,57	NA	-1,57	0,0032	0,20	0,8538	0,46	NA	-0,01	NA	-0,72	NA
Zfp619	6,09	-0,67	0,2420	-0,42	0,5633	-0,26	NA	-0,36	0,7019	0,21	0,7764	-0,05	0,9714	0,31	NA	0,54	NA	0,93	0,1481
Zfp62	133,03	0,01	0,9747	0,08	0,8698	0,06	1,0000	0,39	0,3237	-0,02	0,9557	-0,19	0,7389	0,49	0,1858	0,41	0,3122	-0,08	0,8842
Zfp622	43,05	-0,13	0,7970	0,22	0,6593	0,04	1,0000	-0,06	0,9770	-0,17	0,6849	0,20	0,7946	-0,17	0,8397	-0,02	0,9931	-0,20	0,6842
Zfp623	16,61	0,58	0,1839	0,31	0,6528	-0,12	NA	0,07	0,9827	0,53	0,2712	-0,32	0,7138	-0,40	NA	-0,52	0,5172	-0,53	0,2894
Zfp628	15,70	-0,06	0,9427	-0,46	0,4668	0,05	NA	0,02	0,9915	0,33	0,5582	-0,55	0,4881	-0,14	NA	-0,14	0,9372	0,51	0,4333
Zfp629	38,97	-0,05	0,9303	0,25	0,6253	0,04	1,0000	-0,12	0,9469	-0,26	0,5426	-0,31	0,6643	0,05	0,9634	0,13	0,9242	-0,27	0,5709
Zfp637	24,03	-0,26	0,6193	-0,43	0,3974	0,06	NA	-0,25	0,8420	-0,46	0,2909	0,04	0,9754	0,14	0,8942	0,07	0,9713	-0,62	0,2288

GeneID	CTL	ET-1 vs CTL		SAHA vs CTL		JS28 vs CTL		BSP vs CTL		JQ1 vs CTL		ET-1+SAHA vs ET1		ET-1+JS28 vs ET1		ET-1+BSP vs ET1		ET-1+JQ1 vs ET1	
	mean	log2(FC)	P-adj	log2(FC)	P-adj	log2(FC)	P-adj	log2(FC)	P-adj	log2(FC)	P-adj	log2(FC)	P-adj	log2(FC)	P-adj	log2(FC)	P-adj	log2(FC)	P-adj
Zfp639	38,40	0,20	0,6615	-0,12	0,8638	0,30	1,0000	0,12	0,9550	0,10	0,8267	-0,05	0,9564	0,24	0,7136	0,21	0,8339	-0,11	0,8343
Zfp64	18,13	-0,40	0,4146	0,01	0,9895	0,07	NA	-0,10	0,9634	-0,34	0,4981	-0,16	0,8840	0,11	NA	0,03	0,9918	0,16	0,8288
Zfp641	18,93	-0,32	0,5612	-0,08	0,9251	-0,01	NA	-0,16	0,9306	-1,36	0,0012	0,07	0,9564	0,09	NA	-0,04	0,9911	-0,80	0,1431
Zfp644	450,35	-0,06	0,8223	-0,23	0,3081	0,05	1,0000	0,10	0,8998	-0,05	0,8464	-0,07	0,8938	0,33	0,2927	0,33	0,2805	0,13	0,6781
Zfp646	65,10	-0,21	0,5779	-0,37	0,3121	-0,03	1,0000	0,13	0,9264	0,23	0,5035	-0,48	0,3474	-0,03	0,9768	0,12	0,9119	0,33	0,3691
Zfp647	8,85	-0,25	0,7418	0,16	0,8615	0,03	NA	-0,05	0,9853	0,20	0,7712	0,05	0,9729	0,32	NA	0,19	0,9097	-0,03	0,9778
Zfp65	25,51	0,04	0,9580	0,38	0,4911	0,11	NA	0,14	0,9437	-0,78	0,0740	0,15	0,8689	0,09	0,9300	0,12	0,9400	-0,96	0,0422
Zfp651	127,61	0,26	0,4053	-1,00	0,0000	-0,11	1,0000	-0,20	0,8121	-0,03	0,9347	-1,07	0,0006	-0,34	0,4618	-0,07	0,9494	0,07	0,9006
Zfp652	139,10	-0,34	0,1271	-0,04	0,9391	0,04	1,0000	-0,01	0,9938	-0,03	0,9322	-0,11	0,8557	0,21	0,6832	0,17	0,8152	0,24	0,4293
Zfp653	11,77	0,08	0,9251	-0,30	0,7037	0,17	NA	-0,23	0,8814	-0,06	0,9391	-0,52	0,5278	-0,01	NA	-0,15	0,9300	-0,37	0,5755
Zfp654	88,42	0,03	0,9468	0,34	0,2727	0,04	1,0000	0,22	0,7620	0,14	0,6779	0,30	0,5603	0,21	0,7118	0,18	0,8366	0,24	0,6425
Zfp655	112,69	0,16	0,6508	0,30	0,4101	0,02	1,0000	0,33	0,5551	0,34	0,2055	0,16	0,7854	0,25	0,6103	0,08	0,9425	0,19	0,6219
Zfp658	4,66	0,12	0,8923	0,19	0,8421	-0,06	NA	0,04	NA	0,31	0,6739	-0,16	0,8995	0,01	NA	-0,30	NA	-0,01	0,9953
Zfp661	6,27	0,07	0,9391	0,23	0,7981	0,21	NA	-0,06	NA	0,11	0,8904	0,26	0,8196	0,06	NA	-0,05	0,9862	-0,33	0,6929
Zfp664	122,78	-0,35	0,1688	-0,24	0,4537	-0,01	1,0000	0,16	0,8334	0,47	0,0152	0,08	0,9095	0,40	0,3646	0,44	0,3303	0,65	0,0314
Zfp667	13,14	-0,84	0,0590	-0,04	0,9666	-0,11	NA	-0,12	0,9600	-0,24	0,6731	0,71	0,3336	0,58	NA	0,11	0,9570	0,10	0,9226
Zfp668	13,09	-0,05	0,9463	-0,32	0,6655	0,00	NA	0,03	0,9873	-0,05	0,9421	-0,12	0,9257	-0,46	NA	0,18	0,9081	0,53	0,3387
Zfp672	67,58	0,26	0,4971	0,13	0,8023	0,12	1,0000	0,37	0,4891	0,87	0,0001	-0,12	0,8781	-0,14	0,8447	0,35	0,5815	0,73	0,0104
Zfp677	10,52	-0,52	0,3958	0,20	0,8224	-0,13	NA	-0,15	0,9443	-0,71	0,2365	0,68	0,3630	0,58	NA	0,00	1,0000	-0,25	0,7659
Zfp68	85,44	-0,41	0,0871	-0,02	0,9778	0,10	1,0000	0,13	0,9058	-0,29	0,2654	0,26	0,6364	0,43	0,3197	0,58	0,1374	0,13	0,7617
Zfp687	46,61	-0,38	0,2333	0,48	0,1498	0,00	1,0000	-0,13	0,9372	0,26	0,5159	0,40	0,4693	0,23	0,7279	0,22	0,8285	0,41	0,3592
Zfp688	6,94	-0,36	0,6106	0,00	0,9992	0,05	NA	0,04	0,9853	0,56	0,3206	0,42	0,6621	-0,09	NA	0,11	0,9590	0,69	0,2776
Zfp689	3,86	0,22	0,7844	0,70	0,2473	0,26	NA	0,13	NA	-0,45	0,5226	0,16	0,9034	0,09	NA	-0,37	NA	-0,33	0,7004
Zfp69	1,92	0,04	NA	0,28	0,7195	0,00	NA	0,07	NA	0,45	0,5287	-0,20	NA	-0,20	NA	0,17	NA	0,63	0,4080
Zfp691	37,02	0,37	0,3751	0,38	0,4150	0,31	1,0000	0,33	0,6767	0,72	0,0221	0,12	0,8908	-0,20	0,8101	-0,03	0,9911	0,04	0,9566
Zfp692	9,61	-0,22	0,7623	-0,06	0,9546	0,10	NA	-0,20	0,9118	-0,57	0,3672	0,26	0,8075	0,10	NA	-0,14	0,9406	-0,65	0,3329
Zfp697	22,49	0,37	0,5022	0,41	0,5040	-0,12	NA	0,21	0,8998	0,26	0,6457	0,11	0,9169	-0,32	0,6719	-0,20	0,8792	0,41	0,3785
Zfp7	9,90	-0,33	0,6254	0,35	0,6330	-0,08	NA	-0,64	0,2471	-0,68	0,2341	0,31	0,7672	0,40	NA	-0,29	0,8364	-0,08	0,9359
Zfp703	44,40	-0,21	0,7396	-0,52	0,2343	-0,08	1,0000	0,31	0,7044	1,38	0,0001	-0,64	0,3264	-0,09	0,9305	0,67	0,2639	1,52	0,0006
Zfp704	206,85	-0,77	0,0020	-0,87	0,0003	-0,17	1,0000	-0,10	0,9424	-0,11	0,7083	-0,42	0,3839	0,29	0,5890	0,60	0,1219	0,40	0,2564
Zfp706	212,94	0,24	0,2389	0,22	0,4088	-0,17	1,0000	0,21	0,6535	0,02	0,9333	0,34	0,3105	-0,05	0,9379	0,13	0,8432	-0,18	0,5044
Zfp707	9,74	0,10	0,9027	-0,04	0,9730	-0,15	NA	-0,04	0,9853	-0,14	0,8512	0,15	0,8981	-0,37	NA	0,08	0,9734	-0,08	0,9277
Zfp708	9,04	-0,03	0,9744	-0,09	0,9298	-0,11	NA	0,27	0,8366	-0,01	0,9914	0,17	0,8877	0,24	NA	-0,24	0,8736	-0,29	0,7240
Zfp710	28,78	0,14	0,8238	-0,47	0,3509	0,16	NA	0,24	0,8369	-0,06	0,9216	-0,56	0,4232	-0,26	0,7460	-0,30	0,7965	-0,04	0,9659
Zfp711	17,78	0,37	0,5328	-0,23	0,7712	0,11	NA	-0,04	0,9855	-0,14	0,8340	-0,76	0,2583	0,06	0,9564	-0,04	0,9911	-0,27	0,6952
Zfp712	11,05	-0,20	0,7849	0,24	0,7607	-0,05	NA	0,14	0,9473	0,29	0,6239	0,20	0,8586	0,46	NA	0,27	0,8456	0,25	0,7591
Zfp715	85,89	0,17	0,6819	0,36	0,3073	0,07	1,0000	0,28	0,6934	-0,19	0,5850	0,24	0,6791	0,16	0,8125	0,09	0,9406	-0,21	0,6659
Zfp719	34,96	0,81	0,0091	0,63	0,1352	0,34	NA	0,51	0,3960	0,72	0,0319	-0,06	0,9512	-0,12	0,8948	-0,19	0,8577	-0,06	0,9201
Zfp72	5,41	0,16	0,8540	0,19	0,8407	-0,03	NA	-0,04	NA	-0,16	0,8486	0,01	0,9939	0,12	NA	0,06	0,9819	-0,29	0,7411
Zfp738	29,48	-0,44	0,2861	0,27	0,6120	0,13	1,0000	0,11	0,9574	-1,04	0,0085	0,68	0,2018	0,74	0,1256	0,40	0,6358	-0,80	0,1483
Zfp74	43,00	-0,17	0,7308	-0,51	0,2337	-0,15	1,0000	-0,18	0,9015	-0,75	0,0296	-0,16	0,8446	0,34	0,5609	-0,02	0,9936	-0,19	0,6952
Zfp740	55,78	-0,27	0,4156	-0,17	0,7298	0,05	1,0000	-0,05	0,9805	-0,08	0,8219	0,17	0,8159	0,23	0,7098	0,21	0,8192	0,05	0,9220
Zfp746	24,95	-0,36	0,4699	-0,43	0,4010	0,08	NA	-0,04	0,9853	-0,06	0,9131	-0,20	0,8373	0,28	0,7263	0,01	0,9993	0,06	0,9426
Zfp747	7,89	-0,11	0,8991	-0,48	0,4855	-0,05	NA	-0,15	0,9437	0,18	0,8046	-0,09	0,9444	0,15	NA	0,07	0,9789	-0,02	0,9901
Zfp748	26,37	0,40	0,3710	0,14	0,8524	0,05	NA	0,23	0,8643	0,18	0,7160	-0,44	0,5149	-0,18	0,8389	-0,10	0,9527	-0,43	0,4194

GeneID	CTL	ET-1 vs CTL		SAHA vs CTL		JS28 vs CTL		BSP vs CTL		JQ1 vs CTL		ET-1+SAHA vs ET1		ET-1+JS28 vs ET1		ET-1+BSP vs ET1		ET-1+JQ1 vs ET1	
	mean	log2(FC)	P-adj	log2(FC)	P-adj	log2(FC)	P-adj	log2(FC)	P-adj	log2(FC)	P-adj	log2(FC)	P-adj	log2(FC)	P-adj	log2(FC)	P-adj	log2(FC)	P-adj
Zfp758	26,53	-0,18	0,7467	-0,18	0,8040	-0,07	NA	0,24	0,8464	0,14	0,7993	-0,19	0,8308	0,50	0,3895	0,15	0,9178	0,23	0,7292
Zfp759	22,75	0,04	0,9485	0,27	0,6773	-0,22	NA	-0,12	0,9606	-0,66	0,1357	0,16	0,8681	0,10	0,9219	-0,30	0,7882	-1,17	0,0082
Zfp760	41,82	-0,68	0,0358	-0,06	0,9289	0,07	1,0000	0,18	0,8797	-0,06	0,8928	0,62	0,2483	0,79	0,0764	0,52	0,4325	0,54	0,2019
Zfp763	16,44	0,09	0,9027	0,67	0,1409	0,11	NA	0,48	0,4792	0,32	0,5203	0,55	0,4070	0,26	NA	0,63	0,3487	-0,02	0,9805
Zfp764	3,48	-0,36	0,6161	-0,26	0,7577	-0,02	NA	-0,19	NA	-0,14	0,8674	0,60	0,4548	0,19	NA	-0,07	NA	0,17	0,8601
Zfp768	41,16	0,27	0,5710	-0,17	0,7941	0,14	1,0000	-0,02	0,9908	-0,31	0,4793	-0,83	0,0911	-0,52	0,3516	-0,21	0,8507	-0,16	0,7905
Zfp770	43,17	0,32	0,3870	0,25	0,6216	0,29	1,0000	0,04	0,9853	-0,04	0,9434	0,00	0,9989	-0,01	0,9864	-0,10	0,9416	-0,23	0,6125
Zfp771	9,55	-0,16	0,8380	0,32	0,6699	0,08	NA	-0,15	0,9440	-0,25	0,7115	0,67	0,3664	-0,03	NA	0,15	0,9372	-0,23	0,7820
Zfp772	2,64	0,18	0,8283	0,81	0,1521	0,10	NA	0,07	NA	-0,24	0,7596	0,68	0,3919	0,02	NA	0,21	NA	-0,42	0,6203
Zfp773	1,50	-0,20	NA	-0,31	0,6349	0,16	NA	0,02	NA	-0,53	0,3693	-0,09	NA	0,36	NA	0,00	NA	-0,29	NA
Zfp775	11,03	-0,07	0,9366	0,24	0,7711	0,03	NA	0,09	0,9741	-0,10	0,8930	-0,11	0,9307	-0,04	NA	0,32	0,7971	-0,03	0,9800
Zfp777	24,55	-0,18	0,7665	-0,21	0,7792	0,02	NA	0,07	0,9805	0,44	0,3228	-0,19	0,8406	-0,19	NA	-0,16	0,9170	0,51	0,2474
Zfp78	2,69	-0,12	0,8903	0,19	0,8309	0,09	NA	-0,07	NA	-0,08	0,9315	0,63	0,4256	0,02	NA	-0,09	NA	0,26	0,7757
Zfp780b	28,37	-0,27	0,5673	-0,04	0,9672	-0,15	NA	0,04	0,9853	-0,16	0,7298	0,20	0,8179	0,42	0,5078	0,16	0,9065	0,28	0,5926
Zfp781	2,54	-0,30	0,6822	-0,14	0,8782	-0,10	NA	0,15	NA	0,24	0,7592	0,26	0,8065	0,50	NA	0,23	NA	0,70	0,3466
Zfp784	9,46	-0,48	0,4295	-0,56	0,3821	0,15	NA	0,08	0,9769	0,23	0,7317	-0,36	0,7294	0,06	NA	0,42	0,6994	0,48	0,4939
Zfp786	2,10	-0,02	NA	0,58	0,3466	0,05	NA	0,10	NA	-0,21	0,7795	0,05	NA	-0,29	NA	-0,17	NA	0,21	0,8270
Zfp787	17,51	0,16	0,8308	0,70	0,1407	0,17	NA	0,26	0,8517	0,57	0,2101	-0,02	0,9879	-0,26	NA	0,05	0,9861	0,52	0,4083
Zfp788	28,86	-0,40	0,3626	0,01	0,9940	-0,14	1,0000	0,06	0,9827	-0,16	0,7522	-0,01	0,9966	0,36	0,6084	0,47	0,5222	0,11	0,8657
Zfp790	56,00	-0,08	0,8641	0,01	0,9848	0,06	1,0000	0,08	0,9634	-0,16	0,6672	-0,06	0,9478	0,21	0,7481	-0,02	0,9918	-0,20	0,6865
Zfp791	4,34	-0,13	0,8878	-0,03	0,9799	-0,03	NA	-0,25	NA	-0,69	0,2843	0,01	0,9976	-0,36	NA	-0,28	NA	-0,35	0,6892
Zfp799	54,84	-0,13	0,7734	-0,04	0,9579	-0,02	1,0000	0,09	0,9606	-0,01	0,9801	-0,08	0,9216	0,15	0,8445	0,12	0,9194	-0,09	0,8396
Zfp800	56,70	0,11	0,8329	-0,02	0,9822	0,11	1,0000	0,33	0,6288	0,33	0,3573	-0,39	0,4923	0,32	0,5736	0,04	0,9819	0,20	0,6428
Zfp808	18,38	0,01	0,9867	-0,28	0,6984	-0,02	NA	-0,23	0,8780	-0,74	0,1312	0,15	0,8885	0,55	0,3758	-0,37	0,7189	-0,97	0,0479
Zfp809	37,28	0,13	0,7984	-0,02	0,9845	0,10	1,0000	0,12	0,9469	0,61	0,0436	-0,43	0,4945	-0,01	0,9888	0,22	0,8285	0,41	0,3832
Zfp81	19,99	0,19	0,7425	0,40	0,4646	0,17	NA	0,46	0,5135	0,27	0,5896	-0,21	0,8291	0,33	0,6461	0,25	0,8364	0,08	0,9133
Zfp810	28,28	-0,59	0,0884	-0,29	0,5883	0,08	1,0000	0,08	0,9746	-0,74	0,0393	0,28	0,7366	0,70	0,1641	0,70	0,2028	-0,15	0,8159
Zfp811	4,37	-0,07	0,9421	0,81	0,1429	0,19	NA	0,19	NA	-0,03	0,9728	0,34	0,7506	0,01	NA	0,36	NA	-0,43	0,6070
Zfp82	4,73	-0,21	0,7984	-0,20	0,8313	0,04	NA	-0,10	NA	-0,27	0,7247	0,11	0,9345	0,18	NA	0,21	NA	0,62	0,3851
Zfp820	11,00	0,17	0,8204	0,88	0,0718	0,25	NA	0,13	0,9559	-0,38	0,5666	0,76	0,2253	0,60	NA	-0,12	0,9516	-0,77	0,1813
Zfp821	25,98	-0,17	0,7602	-0,43	0,4108	0,00	NA	0,01	0,9959	-0,18	0,7043	-0,39	0,6149	0,11	0,9131	0,06	0,9790	-0,20	0,7239
Zfp825	18,32	-0,31	0,5683	-0,33	0,6005	-0,08	NA	0,17	0,9252	-0,17	0,7585	-0,42	0,6312	0,55	NA	0,35	0,7375	-0,21	0,7784
Zfp827	165,16	-0,06	0,8600	-0,66	0,0046	-0,19	1,0000	-0,38	0,3473	-1,02	0,0001	-0,69	0,0235	-0,18	0,7138	-0,21	0,7227	-1,00	0,0004
Zfp830	48,39	0,26	0,4955	0,08	0,8978	0,19	1,0000	0,07	0,9745	0,02	0,9629	-0,10	0,9136	0,04	0,9666	0,18	0,8592	0,05	0,9347
Zfp839	18,71	-0,17	0,7960	0,34	0,5739	-0,03	NA	-0,36	0,7080	-0,51	0,2938	0,02	0,9868	0,21	NA	-0,20	0,8960	-0,66	0,2201
Zfp84	47,75	0,43	0,1918	-0,02	0,9799	0,16	1,0000	0,13	0,9454	0,01	0,9904	-0,56	0,2424	0,00	0,9963	-0,15	0,8842	-0,32	0,4107
Zfp846	13,50	0,24	0,7197	-0,03	0,9804	0,17	NA	0,22	0,8917	0,06	0,9388	0,06	0,9636	-0,11	NA	-0,12	0,9492	0,21	0,7533
Zfp85	10,01	-0,13	0,8641	0,24	0,7700	0,03	NA	-0,04	0,9853	-0,45	0,4751	0,57	0,4554	-0,06	NA	0,00	1,0000	-0,30	0,6835
Zfp850	11,04	0,09	0,9195	0,76	0,1271	0,01	NA	0,32	0,7674	0,22	0,7341	0,37	0,7027	0,03	NA	0,14	0,9400	0,36	0,6170
Zfp862-ps	8,99	0,14	0,8661	0,41	0,5611	0,09	NA	0,01	0,9959	0,04	0,9599	0,24	0,8223	0,00	NA	-0,27	0,8507	-0,65	0,3329
Zfp865	25,13	-0,52	0,2169	0,21	0,7550	-0,06	NA	-0,05	0,9853	0,19	0,7170	0,26	0,7717	-0,19	NA	0,36	0,7050	0,86	0,0626
Zfp866	83,59	-0,17	0,6374	-0,11	0,8275	-0,02	1,0000	0,46	0,1747	0,60	0,0035	-0,21	0,7388	0,17	0,7863	0,49	0,2548	0,56	0,0714
Zfp867	38,85	-0,39	0,2938	-0,04	0,9665	-0,04	1,0000	-0,03	0,9853	-0,04	0,9352	0,10	0,9147	0,22	0,7650	0,55	0,3391	0,06	0,9206
Zfp868	53,52	-0,35	0,3080	-0,46	0,2174	-0,13	1,0000	0,08	0,9672	0,19	0,5982	-0,44	0,4506	0,47	0,3360	0,39	0,5469	0,26	0,6052
Zfp869	38,27	0,18	0,7143	-0,54	0,2236	-0,20	1,0000	-0,11	0,9611	-0,13	0,7840	-0,63	0,2412	-0,35	0,5851	-0,78	0,1350	-0,23	0,6376

GeneID	CTL	ET-1 vs CTL		SAHA vs CTL		JS28 vs CTL		BSP vs CTL		JQ1 vs CTL		ET-1+SAHA vs ET1		ET-1+JS28 vs ET1		ET-1+BSP vs ET1		ET-1+JQ1 vs ET1	
	mean	log2(FC)	P-adj	log2(FC)	P-adj	log2(FC)	P-adj	log2(FC)	P-adj	log2(FC)	P-adj	log2(FC)	P-adj	log2(FC)	P-adj	log2(FC)	P-adj	log2(FC)	P-adj
Zfp87	17,76	-0,22	0,7025	0,25	0,7102	0,16	NA	-0,02	0,9925	0,13	0,8203	0,60	0,3429	0,32	NA	0,27	0,8268	0,09	0,9090
Zfp870	15,16	-0,30	0,6297	0,49	0,3897	0,28	NA	0,05	0,9853	-1,06	0,0339	0,76	0,2158	0,55	NA	0,19	0,9025	-0,42	0,5424
Zfp871	293,19	-0,33	0,0627	-0,24	0,3368	-0,20	1,0000	0,19	0,7006	0,31	0,0841	-0,01	0,9922	0,37	0,2564	0,18	0,7442	0,51	0,0198
Zfp873	18,22	-0,18	0,7710	-0,42	0,4785	-0,07	NA	0,24	0,8528	0,29	0,5518	-0,22	0,8291	0,25	NA	0,39	0,6750	0,03	0,9706
Zfp874a	13,05	-0,32	0,6043	-0,07	0,9469	-0,01	NA	-0,23	0,8767	-1,21	0,0108	0,17	0,8785	0,31	NA	0,15	0,9328	-0,86	0,1774
Zfp874b	40,88	-0,30	0,5357	-0,07	0,9229	0,03	1,0000	-0,10	0,9626	-0,54	0,0951	-0,28	0,7501	0,31	0,6734	-0,01	0,9971	-0,51	0,3424
Zfp882	9,60	-0,36	0,5881	-0,16	0,8587	-0,22	NA	-0,07	0,9805	-0,86	0,1220	-0,53	0,5529	0,23	NA	-0,08	0,9740	-0,64	0,3884
Zfp9	51,92	0,45	0,1785	-0,23	0,6718	0,10	1,0000	-0,12	0,9516	-0,02	0,9632	-0,77	0,0824	-0,25	0,7037	-0,55	0,3427	-0,36	0,3541
Zfp90	26,71	-0,13	0,8191	-0,53	0,2603	-0,09	NA	-0,42	0,5690	-0,33	0,4332	-0,48	0,4945	0,18	0,8376	-0,17	0,9037	-0,46	0,3658
Zfp91	159,36	0,19	0,5330	-0,42	0,1198	-0,03	1,0000	-0,19	0,7979	-0,18	0,4896	-0,28	0,5475	-0,09	0,8988	-0,33	0,5089	-0,29	0,3865
Zfp93	12,13	-0,43	0,4618	0,04	0,9706	0,01	NA	-0,16	0,9406	-0,25	0,6915	-0,06	0,9638	-0,12	NA	0,31	0,8098	0,23	0,7557
Zfp930	58,16	0,62	0,0521	0,58	0,0807	-0,20	1,0000	0,31	0,6740	-0,15	0,7251	0,02	0,9879	-0,23	0,7382	-0,15	0,8970	-0,87	0,0157
Zfp931	10,06	-0,28	0,6801	0,30	0,6865	-0,11	NA	-0,31	0,7889	-0,55	0,3325	0,59	0,4527	0,13	NA	-0,10	0,9616	-0,74	0,2839
Zfp932	12,28	0,27	0,6869	0,60	0,2998	0,21	NA	-0,08	0,9754	-0,54	0,3693	0,42	0,6032	0,10	NA	-0,14	0,9372	-0,57	0,3785
Zfp933	33,24	-0,23	0,6232	0,53	0,1551	0,00	1,0000	0,25	0,8190	-0,23	0,5956	0,51	0,3652	0,31	0,6590	0,51	0,4295	0,16	0,7806
Zfp934	8,45	-0,30	0,6790	0,09	0,9273	-0,15	NA	-0,23	0,8797	-1,07	0,0543	0,16	0,9018	0,41	NA	0,02	0,9936	-0,86	0,2045
Zfp935	30,49	0,02	0,9747	0,40	0,3757	0,19	1,0000	0,57	0,2125	0,05	0,9284	0,14	0,8858	0,19	0,8216	0,17	0,9023	-0,13	0,8424
Zfp937	5,88	0,19	0,8213	0,35	0,6608	-0,03	NA	-0,15	NA	-0,43	0,5505	0,40	0,6809	-0,15	NA	-0,37	0,7608	-0,89	0,1988
Zfp938	24,23	0,41	0,3666	0,60	0,2074	0,30	NA	0,41	0,6175	0,31	0,5242	0,23	0,7691	0,07	0,9403	-0,04	0,9892	-0,43	0,3743
Zfp939	7,26	-0,27	0,7236	0,23	0,7892	-0,16	NA	-0,12	0,9600	-0,59	0,3565	0,36	0,7285	0,51	NA	-0,19	0,9067	-0,48	0,5365
Zfp94	5,93	-0,43	0,5163	-0,18	0,8456	-0,01	NA	-0,21	NA	-0,85	0,1532	0,24	0,8356	0,16	NA	-0,29	NA	-0,59	0,4448
Zfp940	2,08	-0,13	NA	1,18	0,0166	0,11	NA	-0,18	NA	-0,63	0,2781	1,38	0,0193	0,21	NA	-0,13	NA	-0,64	NA
Zfp941	12,94	0,78	0,1092	0,63	0,2778	0,13	NA	0,14	0,9473	0,06	0,9440	-0,26	0,8025	-0,47	NA	-0,45	0,6427	-0,36	0,6113
Zfp942	34,40	-0,12	0,8489	0,18	0,7870	0,06	1,0000	0,26	0,8279	-0,04	0,9515	0,16	0,8542	0,26	0,7319	0,44	0,5506	0,08	0,9208
Zfp943	27,43	0,05	0,9421	0,08	0,9259	0,19	NA	0,28	0,7737	-0,17	0,7340	0,06	0,9525	0,25	0,7255	0,21	0,8511	-0,35	0,5067
Zfp944	18,92	-0,31	0,5542	0,65	0,1184	0,05	NA	0,20	0,8966	-0,17	0,7729	0,82	0,1363	0,79	0,1240	0,72	0,2300	0,33	0,5680
Zfp945	114,67	-0,41	0,0990	-0,21	0,5854	-0,12	1,0000	0,27	0,6109	-0,21	0,5048	0,25	0,6414	0,65	0,0477	0,58	0,1062	0,14	0,7811
Zfp946	13,78	-0,10	0,8903	0,56	0,2988	0,04	NA	-0,21	0,8994	-0,34	0,5755	0,68	0,2841	0,44	NA	0,01	0,9966	-0,83	0,1626
Zfp947	6,98	-0,48	0,4581	0,03	0,9818	0,09	NA	0,15	0,9430	-0,31	0,6433	0,68	0,3887	0,62	NA	0,09	NA	0,08	0,9374
Zfp948	11,18	0,53	0,3459	-0,20	0,8212	-0,11	NA	0,02	0,9902	-0,32	0,6365	-0,23	0,8292	-0,50	NA	-0,27	0,8472	-0,53	0,4257
Zfp949	25,12	-0,59	0,1418	0,08	0,9247	0,08	NA	0,23	0,8587	-0,57	0,1919	0,23	0,8040	0,30	NA	0,39	0,6776	-0,31	0,6342
Zfp952	17,78	-0,23	0,7141	0,01	0,9912	0,08	NA	0,12	0,9574	0,04	0,9532	0,51	0,4776	0,37	NA	0,56	0,4640	0,34	0,5585
Zfp953	12,00	-0,18	0,8051	-0,03	0,9822	0,00	NA	0,24	0,8676	-0,52	0,3565	0,12	0,9229	0,37	NA	0,08	0,9753	-0,80	0,1866
Zfp954	11,59	0,13	0,8733	-0,08	0,9382	-0,08	NA	-0,08	0,9798	0,29	0,6287	0,07	0,9558	-0,25	NA	-0,28	0,8369	0,08	0,9333
Zfp955a	30,74	0,07	0,9077	0,18	0,7976	-0,19	NA	0,16	0,9272	0,23	0,6154	0,13	0,8851	0,11	0,9072	0,30	0,7375	-0,11	0,8505
Zfp955b	38,95	-0,12	0,8259	0,00	0,9965	-0,01	1,0000	0,12	0,9469	-0,01	0,9930	0,12	0,8888	0,35	0,5851	0,41	0,5415	-0,01	0,9937
Zfp956	1,72	0,11	NA	0,10	0,9059	0,04	NA	0,02	NA	-0,43	NA	-0,12	NA	-0,02	NA	-0,25	NA	-0,65	NA
Zfp958	34,64	-0,26	0,5832	0,65	0,0601	0,00	1,0000	0,24	0,8318	-0,17	0,7219	0,49	0,4070	0,52	0,3437	0,52	0,4217	0,05	0,9440
Zfp959	11,90	-0,26	0,7129	-0,17	0,8472	0,10	NA	0,16	0,9417	0,16	0,8114	-0,20	0,8617	0,37	NA	0,45	0,6540	-0,02	0,9906
Zfp960	11,59	-0,21	0,7753	0,43	0,4903	-0,06	NA	-0,09	0,9746	-0,36	0,5688	0,20	0,8601	0,37	NA	0,09	0,9667	-0,18	0,8233
Zfp961	24,61	0,35	0,4639	0,18	0,8158	0,04	NA	-0,17	0,9264	-0,53	0,2855	0,06	0,9528	0,12	0,8932	-0,54	0,4445	-0,93	0,0251
Zfp963	32,35	-0,21	0,6613	-0,62	0,1332	0,02	1,0000	0,48	0,3496	0,68	0,0144	-0,37	0,6172	0,30	0,6531	0,54	0,3693	0,96	0,0023
Zfp964	10,73	-0,57	0,3054	0,08	0,9353	0,07	NA	0,18	0,9211	0,34	0,5219	0,48	0,5971	0,54	NA	0,25	0,8655	0,90	0,1213
Zfp97	11,85	0,08	0,9195	0,62	0,2493	0,21	NA	0,22	0,8917	-0,10	0,8867	0,30	0,7601	0,11	NA	0,27	0,8386	-0,02	0,9836
Zfp1	22,33	0,05	0,9522	0,05	0,9621	0,30	NA	-0,01	0,9948	0,67	0,0763	-0,16	0,8804	0,02	0,9843	0,08	0,9648	0,51	0,3577

GeneID	CTL	ET-1 vs CTL		SAHA vs CTL		JS28 vs CTL		BSP vs CTL		JQ1 vs CTL		ET-1+SAHA vs ET1		ET-1+JS28 vs ET1		ET-1+BSP vs ET1		ET-1+JQ1 vs ET1	
	mean	log2(FC)	P-adj	log2(FC)	P-adj	log2(FC)	P-adj	log2(FC)	P-adj	log2(FC)	P-adj	log2(FC)	P-adj	log2(FC)	P-adj	log2(FC)	P-adj	log2(FC)	P-adj
Zfpm1	96,17	0,13	0,7956	0,25	0,5948	-0,04	1,0000	0,00	0,9988	0,34	0,4135	0,02	0,9836	-0,25	0,6949	0,19	0,8358	0,50	0,2311
Zfpm2	166,86	-0,21	0,5459	-0,39	0,2299	-0,18	1,0000	0,15	0,8903	0,34	0,1759	-0,14	0,8132	-0,01	0,9946	0,28	0,6100	0,56	0,0502
Zfr	535,51	0,27	0,2362	-0,29	0,2688	0,08	1,0000	0,16	0,8245	0,36	0,0974	-0,45	0,1191	-0,01	0,9879	-0,02	0,9911	0,40	0,2372
Zfr2	21,92	-0,07	0,9254	0,15	0,8355	0,13	NA	-0,01	0,9947	-0,09	0,8867	0,26	0,7608	0,08	0,9432	-0,24	0,8492	-0,10	0,9004
Zfx	128,90	-0,13	0,7200	-0,69	0,0093	-0,09	1,0000	-0,02	0,9860	-0,16	0,6141	-0,48	0,2177	0,20	0,6922	0,16	0,8364	-0,03	0,9564
Zfyve1	65,81	-0,63	0,0139	-0,04	0,9551	0,05	1,0000	-0,07	0,9727	-0,10	0,7974	0,47	0,3453	0,35	0,5240	0,26	0,7602	0,44	0,1875
Zfyve16	97,99	0,04	0,9412	-0,15	0,7762	0,08	1,0000	0,44	0,3040	0,28	0,3103	-0,14	0,8343	0,32	0,4845	0,39	0,4203	0,18	0,6760
Zfyve19	23,48	-0,09	0,8910	-0,23	0,7397	-0,24	NA	-0,21	0,8939	0,14	0,8070	-0,37	0,6494	0,06	0,9557	-0,08	0,9688	0,16	0,8080
Zfyve20	72,10	0,09	0,8323	-0,25	0,5445	-0,14	1,0000	-0,13	0,9306	-0,56	0,0543	-0,31	0,5680	-0,24	0,6778	-0,39	0,5141	-0,40	0,2580
Zfyve21	11,56	0,17	0,8132	0,20	0,8190	0,10	NA	0,13	0,9533	0,05	0,9531	-0,08	0,9473	-0,05	NA	0,33	0,7863	-0,26	0,7089
Zfyve26	89,81	-0,41	0,1504	-0,04	0,9451	-0,09	1,0000	-0,22	0,7999	-0,13	0,6889	0,05	0,9476	0,03	0,9699	-0,01	0,9967	0,07	0,8746
Zfyve27	40,58	-0,21	0,7197	0,61	0,0924	0,21	1,0000	0,26	0,8044	0,11	0,8159	0,16	0,8579	0,08	0,9403	0,35	0,6999	-0,02	0,9803
Zfyve9	87,46	-0,09	0,8220	-0,35	0,2939	0,05	1,0000	0,01	0,9932	-0,30	0,2792	-0,20	0,7579	-0,14	0,8344	-0,09	0,9423	-0,16	0,7411
Zgpat	30,60	0,12	0,8243	0,07	0,9290	-0,07	NA	0,06	0,9853	0,47	0,1859	-0,14	0,8709	-0,36	0,5851	-0,10	0,9479	0,15	0,7622
Zgrf1	10,23	-0,34	0,6093	-0,63	0,3061	-0,14	NA	-0,23	0,8782	-0,36	0,5704	-0,30	0,7827	0,15	NA	-0,02	0,9957	0,00	0,9984
Zhx1	128,20	-0,29	0,2629	-0,05	0,9278	0,01	1,0000	0,14	0,8966	0,06	0,8842	-0,03	0,9704	0,26	0,5855	0,12	0,8942	0,31	0,3280
Zhx2	113,48	0,19	0,6810	-0,51	0,1359	0,00	1,0000	-0,33	0,6129	-1,26	0,0000	-0,86	0,0335	-0,33	0,5689	-0,64	0,1709	-1,38	0,0001
Zhx3	53,96	-0,63	0,0224	0,38	0,2794	0,12	1,0000	0,28	0,7019	0,50	0,0438	0,70	0,1156	0,49	0,3367	0,55	0,3345	1,03	0,0003
Zic3	9,50	-0,76	0,1239	-0,41	0,5457	-0,22	NA	-0,25	0,8619	-0,32	0,6065	0,00	0,9982	0,54	NA	0,06	0,9818	0,31	0,6966
Zik1	22,41	0,29	0,5816	0,19	0,7899	0,05	NA	-0,09	0,9700	-0,52	0,2625	-0,34	0,6856	0,12	0,8994	-0,59	0,4224	-0,74	0,1400
Zim1	2,60	0,00	0,9961	0,30	0,7047	-0,04	NA	-0,20	NA	-0,54	0,3842	0,26	0,8122	-0,10	NA	-0,42	NA	-0,35	0,6767
Zkscan1	200,57	0,15	0,6498	-0,26	0,3899	-0,15	1,0000	-0,10	0,9272	0,05	0,8643	-0,44	0,2430	-0,17	0,7578	-0,25	0,6671	-0,09	0,8170
Zkscan14	7,67	-0,67	0,2108	0,28	0,7144	-0,15	NA	-0,31	0,7850	-0,16	0,8215	0,49	0,5897	0,22	NA	0,26	0,8577	0,68	0,2908
Zkscan16	2,27	-0,29	0,6900	0,06	0,9545	-0,13	NA	-0,14	NA	0,12	0,8891	0,24	NA	0,08	NA	0,11	NA	-0,11	NA
Zkscan17	90,13	-0,38	0,1358	0,17	0,6865	0,14	1,0000	-0,10	0,9500	-0,21	0,5370	0,17	0,7803	-0,03	0,9712	-0,09	0,9400	0,29	0,5749
Zkscan2	13,70	-0,58	0,2727	0,44	0,4602	0,19	NA	-0,54	0,4367	-0,54	0,3049	0,89	0,1618	0,74	NA	0,05	0,9882	-0,16	0,8452
Zkscan3	54,52	0,06	0,9246	-0,05	0,9518	-0,18	1,0000	-0,07	0,9793	-0,23	0,5882	-0,05	0,9552	-0,15	0,8465	-0,03	0,9911	-0,29	0,5475
Zkscan4	3,80	0,05	0,9632	0,30	0,7174	0,17	NA	0,25	NA	0,41	0,5644	0,17	0,8923	0,17	NA	-0,33	NA	-0,02	0,9875
Zkscan5	32,37	0,38	0,3487	0,37	0,4874	0,10	NA	0,29	0,7688	0,05	0,9370	-0,06	0,9459	-0,47	0,4183	-0,04	0,9854	-0,34	0,4499
Zkscan6	23,40	-0,22	0,7033	-0,01	0,9881	-0,10	NA	0,03	0,9853	0,01	0,9899	0,02	0,9882	-0,05	NA	-0,02	0,9936	0,04	0,9607
Zkscan8	146,74	0,05	0,9027	-0,04	0,9337	-0,17	1,0000	0,02	0,9872	-0,02	0,9548	-0,20	0,7005	-0,01	0,9916	0,02	0,9918	-0,13	0,7459
Zmat1	40,85	-0,30	0,5050	-0,42	0,3485	-0,08	1,0000	0,45	0,4422	0,61	0,0904	-0,30	0,7035	0,40	0,5284	0,65	0,2127	0,88	0,0263
Zmat2	83,36	0,11	0,7896	0,05	0,9383	0,06	1,0000	0,16	0,8947	-0,02	0,9658	-0,08	0,9180	0,03	0,9728	0,09	0,9352	0,14	0,7012
Zmat3	296,67	0,10	0,7025	-0,12	0,7114	-0,39	0,3210	-0,67	0,0010	-0,30	0,1300	-0,17	0,7211	-0,50	0,0657	-0,82	0,0003	-0,23	0,4284
Zmat5	13,18	0,28	0,6527	0,48	0,4266	0,03	NA	0,12	0,9626	0,19	0,7693	0,21	0,8320	-0,02	NA	-0,10	0,9570	-0,32	0,6223
Zmiz1	387,15	-0,19	0,6263	0,32	0,2910	0,07	1,0000	0,08	0,9564	0,34	0,3084	-0,03	0,9754	0,17	0,7734	0,11	0,9170	0,43	0,3072
Zmiz2	158,78	-0,07	0,8763	0,25	0,4799	0,07	1,0000	-0,03	0,9853	0,22	0,5858	-0,35	0,4220	-0,23	0,6556	-0,06	0,9608	0,37	0,4464
Zmpste24	101,30	0,17	0,6595	0,21	0,5535	0,04	1,0000	-0,09	0,9501	0,07	0,8676	0,22	0,7231	0,24	0,6852	-0,24	0,7609	-0,26	0,5034
Zmym1	25,80	-0,31	0,4884	-0,06	0,9445	0,01	NA	-0,04	0,9853	0,41	0,2697	0,31	0,6953	0,31	0,6759	0,31	0,7645	0,78	0,0615
Zmym2	291,93	-0,33	0,1102	0,04	0,9444	0,17	1,0000	0,15	0,8660	-0,11	0,7156	0,26	0,4923	0,61	0,0119	0,51	0,0527	0,15	0,6692
Zmym3	88,29	-0,44	0,0578	-0,67	0,0081	-0,18	1,0000	-0,34	0,5124	-0,58	0,0330	-0,32	0,5366	-0,12	0,8721	-0,07	0,9590	-0,16	0,7492
Zmym4	161,35	-0,04	0,9043	-0,17	0,6243	0,01	1,0000	0,09	0,9404	-0,40	0,0594	-0,23	0,6277	0,10	0,8731	0,10	0,9178	-0,24	0,4341
Zmym5	93,64	-0,26	0,4783	-0,02	0,9798	0,11	1,0000	0,16	0,9004	0,04	0,9201	-0,11	0,8899	0,44	0,3032	0,38	0,4409	0,26	0,5125
Zmym6	77,31	-0,30	0,2835	0,08	0,8782	-0,07	1,0000	0,16	0,8797	-0,16	0,6378	0,07	0,9257	0,46	0,2715	0,49	0,2697	0,18	0,6638
Zmynd11	352,54	-0,15	0,5125	-0,58	0,0002	0,00	1,0000	0,05	0,9726	-0,24	0,1983	-0,50	0,1015	0,01	0,9905	-0,07	0,9371	-0,12	0,7084

GeneID	CTL	ET-1 vs CTL		SAHA vs CTL		JS28 vs CTL		BSP vs CTL		JQ1 vs CTL		ET-1+SAHA vs ET1		ET-1+JS28 vs ET1		ET-1+BSP vs ET1		ET-1+JQ1 vs ET1	
	mean	log2(FC)	P-adj	log2(FC)	P-adj	log2(FC)	P-adj	log2(FC)	P-adj	log2(FC)	P-adj	log2(FC)	P-adj	log2(FC)	P-adj	log2(FC)	P-adj	log2(FC)	P-adj
Zmynd12	1,49	-0,16	NA	-0,04	0,9664	-0,01	NA	-0,11	NA	-0,08	0,9230	0,17	NA	-0,19	NA	-0,13	NA	0,16	NA
Zmynd19	12,86	0,21	0,7580	-0,20	0,8146	-0,05	NA	-0,01	0,9968	0,12	0,8723	-0,42	0,6417	-0,46	NA	-0,21	0,8937	-0,16	0,8240
Zmynd8	110,28	-0,44	0,1851	0,30	0,4169	0,04	1,0000	-0,65	0,0531	-2,00	0,0000	0,33	0,5553	0,29	0,6185	-0,65	0,1985	-1,85	0,0000
Znf41-ps	1,80	-0,37	NA	0,08	0,9392	-0,02	NA	-0,09	NA	-0,07	0,9398	0,66	0,3527	0,18	NA	0,31	NA	0,44	0,5755
Znf512b	116,33	-0,15	0,6657	-0,54	0,0551	0,13	1,0000	-0,12	0,9266	0,35	0,2003	-0,64	0,0650	-0,05	0,9449	-0,13	0,8904	0,31	0,4329
Znfx1	87,58	-0,14	0,7019	-0,08	0,8782	0,09	1,0000	-0,03	0,9853	0,00	0,9953	-0,29	0,5930	-0,13	0,8504	0,02	0,9931	0,24	0,5470
Znhit1	20,95	-0,28	0,6337	-0,41	0,4901	-0,20	NA	-0,26	0,8369	-0,05	0,9470	0,17	0,8689	0,05	NA	0,03	0,9921	0,37	0,5761
Znhit2	6,22	0,19	0,8168	-0,15	0,8744	0,09	NA	0,08	NA	1,06	0,0314	-0,18	0,8867	0,05	NA	-0,07	0,9789	0,47	0,4867
Znhit3	16,86	0,06	0,9425	0,14	0,8725	0,09	NA	0,19	0,9102	0,28	0,6287	0,47	0,5327	0,03	NA	-0,19	0,9025	0,03	0,9718
Znhit6	39,10	0,10	0,8489	-0,11	0,8735	-0,18	1,0000	-0,03	0,9853	-0,18	0,6759	-0,25	0,7406	-0,24	0,7289	-0,35	0,6750	-0,25	0,6136
Znrd1	8,82	0,14	0,8547	0,01	0,9926	-0,88	NA	0,09	0,9726	-0,37	0,5762	0,23	0,8316	-0,02	NA	-0,32	0,8014	-0,32	0,6606
Znrd1as	15,08	-0,14	0,8312	0,30	0,6567	-0,01	NA	-0,04	0,9853	-0,96	0,0474	0,20	0,8468	0,36	NA	0,24	0,8597	-0,68	0,2624
Znrf1	72,57	-0,70	0,0016	0,09	0,8471	-0,01	1,0000	0,02	0,9884	0,48	0,0881	0,39	0,4338	0,48	0,2861	0,84	0,0143	1,04	0,0112
Znrf2	36,04	0,63	0,0777	0,36	0,5397	0,08	NA	0,38	0,6430	0,97	0,0038	-0,09	0,9186	-0,18	0,8282	0,11	0,9264	0,63	0,0326
Znrf3	94,63	-0,26	0,4236	0,25	0,5021	0,10	1,0000	0,12	0,9272	-0,06	0,8899	0,38	0,4063	0,35	0,4730	0,37	0,4822	0,22	0,5755
Zpbp	2,80	-0,01	0,9927	-0,22	0,7891	-0,11	NA	0,21	NA	-0,07	0,9392	0,07	0,9571	0,26	NA	-0,03	NA	0,23	0,8033
Zpr1	38,31	-0,04	0,9504	0,10	0,8782	0,22	1,0000	0,06	0,9794	0,55	0,0897	-0,40	0,5319	-0,09	0,9243	0,19	0,8583	0,62	0,0766
Zranb1	61,31	-0,28	0,4272	0,40	0,2325	-0,05	1,0000	0,02	0,9860	-0,25	0,4437	0,56	0,1974	0,11	0,8910	0,28	0,7050	0,08	0,9002
Zranb2	143,41	0,23	0,3415	-0,11	0,7943	-0,08	1,0000	0,07	0,9632	0,20	0,3971	-0,18	0,7289	0,10	0,8779	-0,08	0,9328	-0,11	0,7709
Zranb3	9,27	-0,39	0,5403	0,55	0,3341	0,10	NA	0,01	0,9972	-0,02	0,9760	0,76	0,2818	0,49	NA	0,18	0,9178	-0,04	0,9725
Zrsr1	217,34	-0,17	0,6221	-0,17	0,6581	0,21	1,0000	0,00	0,9988	0,06	0,8263	-0,25	0,6277	0,24	0,6257	0,32	0,5276	0,15	0,6936
Zrsr2	36,23	-0,10	0,8643	-0,29	0,6034	0,06	1,0000	-0,16	0,9264	-0,36	0,4091	-0,39	0,5787	0,02	0,9837	0,19	0,8750	-0,24	0,6451
Zscan12	18,13	-0,42	0,4069	0,05	0,9572	0,02	NA	-0,07	0,9805	-0,13	0,8203	0,20	0,8417	0,22	NA	0,36	0,7289	0,03	0,9717
Zscan18	3,95	-0,03	0,9802	0,47	0,5035	0,15	NA	0,09	NA	-0,01	0,9912	0,16	0,8948	0,13	NA	-0,20	NA	-0,40	0,6357
Zscan2	17,26	-0,59	0,2147	-0,12	0,8912	-0,08	NA	-0,15	0,9437	-0,24	0,6773	-0,16	0,8874	0,13	NA	0,22	0,8833	0,02	0,9804
Zscan20	13,70	-0,27	0,6522	0,44	0,4461	0,02	NA	0,04	0,9855	0,34	0,4972	0,52	0,4884	0,10	NA	0,19	0,9037	0,09	0,9105
Zscan21	40,62	-0,36	0,3063	-0,53	0,1616	-0,11	1,0000	-0,38	0,5679	0,02	0,9673	-0,01	0,9967	0,38	0,5083	0,23	0,8254	0,46	0,1917
Zscan22	19,74	-0,02	0,9779	0,06	0,9551	-0,19	NA	-0,17	0,9340	0,33	0,5088	-0,03	0,9829	0,12	NA	-0,09	0,9608	0,10	0,9006
Zscan25	14,06	0,39	0,5110	0,13	0,8909	0,03	NA	0,08	0,9753	0,04	0,9584	-0,78	0,2531	-0,48	NA	-0,27	0,8429	-0,31	0,6514
Zscan26	116,46	0,07	0,8854	0,08	0,8782	0,15	1,0000	-0,02	0,9858	0,09	0,8022	0,05	0,9506	0,09	0,9120	-0,09	0,9396	-0,16	0,7177
Zscan29	34,15	-0,30	0,5161	-0,31	0,5607	-0,21	1,0000	0,04	0,9853	-0,04	0,9349	-0,13	0,8956	0,31	0,6540	0,13	0,9290	0,19	0,7188
Zswim1	17,48	0,40	0,4253	0,39	0,5405	0,00	NA	0,36	0,7084	1,02	0,0039	0,22	0,8040	-0,33	NA	0,16	0,9080	0,75	0,0427
Zswim3	6,59	-0,29	0,6900	-0,20	0,8257	0,09	NA	0,02	0,9901	0,14	0,8538	0,00	0,9993	0,00	NA	0,25	0,8656	0,63	0,3589
Zswim4	48,89	0,30	0,5034	0,16	0,8039	0,36	0,9896	-0,06	0,9829	0,58	0,0640	-0,12	0,8874	-0,37	0,5261	-0,38	0,5977	0,42	0,2722
Zswim5	11,98	-0,40	0,4852	0,12	0,8884	-0,20	NA	-0,11	0,9634	0,61	0,1601	0,13	0,9156	-0,12	NA	0,20	0,9017	0,87	0,0654
Zswim6	48,96	0,14	0,7888	0,13	0,8309	0,07	1,0000	0,67	0,0560	1,63	0,0000	-0,54	0,3465	0,07	0,9334	0,72	0,0934	1,72	0,0000
Zswim7	13,87	0,12	0,8634	-1,01	0,0419	-0,26	NA	0,03	0,9872	-0,15	0,8180	-0,35	0,7059	-0,19	NA	0,31	0,7939	0,07	0,9325
Zswim8	122,94	0,17	0,5904	0,30	0,3338	-0,08	1,0000	-0,12	0,9211	0,52	0,0334	-0,23	0,6342	-0,48	0,1900	-0,19	0,7973	0,49	0,1545
Zufsp	18,09	-0,03	0,9643	0,03	0,9776	-0,11	NA	-0,08	0,9777	-0,02	0,9760	-0,34	0,7044	0,50	0,4311	0,23	0,8521	-0,87	0,0980
Zw10	33,83	0,27	0,5616	0,26	0,6397	0,02	NA	0,10	0,9626	-0,09	0,8707	-0,13	0,8851	-0,18	0,8354	-0,22	0,8492	-0,29	0,5447
Zwilch	10,57	0,22	0,7590	-0,68	0,2581	0,01	NA	-0,02	0,9925	0,20	0,7694	-0,92	0,1767	-0,42	NA	-0,32	0,7975	-0,13	0,8729
Zwint	142,57	0,14	0,6794	-0,25	0,4336	-0,31	0,8985	-0,21	0,7659	-0,10	0,7848	-0,23	0,6415	-0,21	0,6946	-0,38	0,4176	-0,20	0,6378
Zxda	33,64	0,00	0,9968	-0,63	0,1635	0,11	1,0000	0,34	0,6940	0,25	0,5689	-0,52	0,3991	0,37	0,5437	-0,12	0,9328	0,09	0,8741
Zxdb	17,27	-0,11	0,8814	-0,40	0,5324	0,02	NA	0,17	0,9269	-0,15	0,8170	-0,49	0,5464	0,18	NA	-0,21	0,8915	-0,27	0,7046
Zxdc	65,88	-0,39	0,2727	-0,08	0,9075	0,05	1,0000	0,26	0,7601	0,48	0,0787	0,02	0,9857	0,10	0,9089	0,40	0,5113	0,87	0,0018

GeneID	CTL	ET-1 vs CTL		SAHA vs CTL		JS28 vs CTL		BSP vs CTL		JQ1 vs CTL		ET-1+SAHA vs ET1		ET-1+JS28 vs ET1		ET-1+BSP vs ET1		ET-1+JQ1 vs ET1	
	mean	log2(FC)	P-adj	log2(FC)	P-adj	log2(FC)	P-adj	log2(FC)	P-adj	log2(FC)	P-adj	log2(FC)	P-adj	log2(FC)	P-adj	log2(FC)	P-adj	log2(FC)	P-adj
Zyg11b	433,79	0,35	0,2606	0,18	0,7251	0,07	1,0000	0,13	0,9288	0,02	0,9685	0,00	0,9976	-0,07	0,8986	-0,25	0,5357	-0,21	0,5125
Zyx	153,98	0,23	0,4201	-0,12	0,7891	-0,01	1,0000	0,19	0,8211	1,04	0,0000	-0,80	0,0092	-0,78	0,0070	-0,27	0,6130	0,70	0,0196
Zzef1	287,77	-0,49	0,0127	-0,03	0,9499	0,02	1,0000	0,05	0,9681	0,00	0,9876	0,30	0,4735	0,31	0,4711	0,40	0,3198	0,41	0,1487
Zzz3	152,28	-0,37	0,0618	-0,15	0,6659	-0,09	1,0000	0,27	0,5548	0,08	0,7729	0,22	0,6563	0,33	0,4015	0,24	0,6579	0,43	0,1435

Supplemental Table S5: Details on biosample processing and accession

Study Accession	Library Strategy	Experiment Accession	Library Name	Sample Accession	Sample name	Organism Name	Instrument	Submitter	Total Size, Mb	Total Spots	Total Bases
SRP373735	RNA-Seq	SRX15161187	CTL_1	SRS12903212	CTL_1	Mus musculus	NextSeq 500	University of Freiburg	401,04	7073307	1131729120
SRP373735	RNA-Seq	SRX15161198	CTL_2	SRS12903214	CTL_2	Mus musculus	NextSeq 500	University of Freiburg	152,3	2677567	428410720
SRP373735	RNA-Seq	SRX15161199	CTL_3	SRS12903215	CTL_3	Mus musculus	Illumina HiSeq 3000	University of Freiburg	196,44	3597076	539561400
SRP373735	RNA-Seq	SRX15161200	CTL_4	SRS12903216	CTL_4	Mus musculus	Illumina HiSeq 3000	University of Freiburg	184,41	3371842	505776300
SRP373735	RNA-Seq	SRX15161201	CTL_5	SRS12903217	CTL_5	Mus musculus	Illumina HiSeq 3000	University of Freiburg	550,54	10134941	1520241150
SRP373735	RNA-Seq	SRX15161202	ET1_1	SRS12903218	ET1_1	Mus musculus	NextSeq 500	University of Freiburg	225,4	3949776	631964160
SRP373735	RNA-Seq	SRX15161155	ET1_2	SRS12903192	ET1_2	Mus musculus	NextSeq 500	University of Freiburg	267,83	4673028	747684480
SRP373735	RNA-Seq	SRX15161156	ET1_3	SRS12903193	ET1_3	Mus musculus	Illumina HiSeq 3000	University of Freiburg	205,97	3828732	574309800
SRP373735	RNA-Seq	SRX15161157	ET1_4	SRS12903194	ET1_4	Mus musculus	Illumina HiSeq 3000	University of Freiburg	481,05	9162901	1374435150
SRP373735	RNA-Seq	SRX15161171	SAHA CTL_1	SRS12903208	SAHA CTL_1	Mus musculus	Illumina HiSeq 3000	University of Freiburg	387,68	7143182	1071477300
SRP373735	RNA-Seq	SRX15161172	SAHA CTL_2	SRS12903209	SAHA CTL_2	Mus musculus	Illumina HiSeq 3000	University of Freiburg	426,89	7855050	1178257500
SRP373735	RNA-Seq	SRX15161173	SAHA ET1_1	SRS12903210	SAHA ET1_1	Mus musculus	Illumina HiSeq 3000	University of Freiburg	339,95	6552246	982836900
SRP373735	RNA-Seq	SRX15161174	SAHA ET1_2	SRS12903211	SAHA ET1_2	Mus musculus	Illumina HiSeq 3000	University of Freiburg	307,51	5844765	876714750
SRP373735	RNA-Seq	SRX15161167	JS28 CTL_1	SRS12903204	JS28 CTL_1	Mus musculus	Illumina HiSeq 3000	University of Freiburg	311,12	5649360	847404000
SRP373735	RNA-Seq	SRX15161168	JS28 CTL_2	SRS12903205	JS28 CTL_2	Mus musculus	Illumina HiSeq 3000	University of Freiburg	303,97	5518512	827776800
SRP373735	RNA-Seq	SRX15161169	JS28 ET1_1	SRS12903206	JS28 ET1_1	Mus musculus	Illumina HiSeq 3000	University of Freiburg	361,73	7022968	1053445200
SRP373735	RNA-Seq	SRX15161170	JS28 ET1_2	SRS12903207	JS28 ET1_2	Mus musculus	Illumina HiSeq 3000	University of Freiburg	355,91	6897392	1034608800
SRP373735	RNA-Seq	SRX15161158	JQ1 CTL_1	SRS12903195	JQ1 CTL_1	Mus musculus	Illumina HiSeq 3000	University of Freiburg	232,97	4421195	663179250
SRP373735	RNA-Seq	SRX15161159	JQ1 CTL_2	SRS12903196	JQ1 CTL_2	Mus musculus	Illumina HiSeq 3000	University of Freiburg	276,19	5268461	790269150
SRP373735	RNA-Seq	SRX15161160	JQ1 CTL_3	SRS12903197	JQ1 CTL_3	Mus musculus	Illumina HiSeq 3000	University of Freiburg	331,78	5955002	893250300
SRP373735	RNA-Seq	SRX15161161	JQ1 CTL_4	SRS12903198	JQ1 CTL_4	Mus musculus	Illumina HiSeq 3000	University of Freiburg	108,14	1989890	298483500
SRP373735	RNA-Seq	SRX15161162	JQ1 ET1_1	SRS12903199	JQ1 ET1_1	Mus musculus	Illumina HiSeq 3000	University of Freiburg	204,83	3857815	578672250
SRP373735	RNA-Seq	SRX15161163	JQ1 ET1_2	SRS12903200	JQ1 ET1_2	Mus musculus	Illumina HiSeq 3000	University of Freiburg	239,47	4518392	677758800
SRP373735	RNA-Seq	SRX15161164	JQ1 ET1_3	SRS12903201	JQ1 ET1_3	Mus musculus	Illumina HiSeq 3000	University of Freiburg	405	7612112	1141816800
SRP373735	RNA-Seq	SRX15161166	JQ1 ET1_4	SRS12903203	JQ1 ET1_4	Mus musculus	Illumina HiSeq 3000	University of Freiburg	428,4	7870499	1180574850
SRP373735	RNA-Seq	SRX15161153	BSP CTL_1	SRS12903190	BSP CTL_1	Mus musculus	Illumina HiSeq 3000	University of Freiburg	299,54	5474743	821211450
SRP373735	RNA-Seq	SRX15161154	BSP CTL_2	SRS12903191	BSP CTL_2	Mus musculus	Illumina HiSeq 3000	University of Freiburg	326,92	5966833	895024950
SRP373735	RNA-Seq	SRX15161165	BSP ET1_1	SRS12903202	BSP ET1_1	Mus musculus	Illumina HiSeq 3000	University of Freiburg	353,8	6962029	1044304350
SRP373735	RNA-Seq	SRX15161176	BSP ET1_2	SRS12903213	BSP ET1_2	Mus musculus	Illumina HiSeq 3000	University of Freiburg	289,46	5608111	841216650
SRP373735	ChIP-Seq	SRX15161194	H3K9ac_CTL_3	SRS12903215	CTL_3	Mus musculus	Illumina NovaSeq 6000	University of Freiburg	324,01	11627025	1185956550
SRP373735	ChIP-Seq	SRX15161193	H3K9ac_CTL_2	SRS12903214	CTL_2	Mus musculus	Illumina NovaSeq 6000	University of Freiburg	662,18	23033867	2349454434
SRP373735	ChIP-Seq	SRX15161192	H3K9ac_CTL_1_2	SRS12903212	CTL_1	Mus musculus	Illumina NovaSeq 6000	University of Freiburg	295,02	10451413	1034689887
SRP373735	ChIP-Seq	SRX15161191	H3K9ac_CTL_1	SRS12903212	CTL_1	Mus musculus	Illumina HiSeq 3000	University of Freiburg	577,76	11222556	1683383400
SRP373735	ChIP-Seq	SRX15161190	H3K4me3_CTL_1	SRS12903212	CTL_1	Mus musculus	Illumina NovaSeq 6000	University of Freiburg	618,98	21125850	2154836700
SRP373735	ChIP-Seq	SRX15161189	H3K4me1_CTL_2	SRS12903214	CTL_2	Mus musculus	Illumina NovaSeq 6000	University of Freiburg	386,1	13621572	1389400344
SRP373735	ChIP-Seq	SRX15161188	H3K4me1_CTL_1	SRS12903212	CTL_1	Mus musculus	Illumina NovaSeq 6000	University of Freiburg	1324,44	41113137	4193539974
SRP373735	ChIP-Seq	SRX15161186	H3K27ac_CTL_3	SRS12903215	CTL_3	Mus musculus	Illumina NovaSeq 6000	University of Freiburg	353,26	12475468	1272497736
SRP373735	ChIP-Seq	SRX15161185	H3K27ac_CTL_2	SRS12903214	CTL_2	Mus musculus	Illumina NovaSeq 6000	University of Freiburg	658,92	22038076	2247883752
SRP373735	ChIP-Seq	SRX15161184	H3K27ac_CTL_1_2	SRS12903212	CTL_1	Mus musculus	Illumina NovaSeq 6000	University of Freiburg	222,78	8125788	804453012
SRP373735	ChIP-Seq	SRX15161183	H3K27ac_CTL_1	SRS12903212	CTL_1	Mus musculus	Illumina HiSeq 3000	University of Freiburg	528,66	10676020	1601403000
SRP373735	ChIP-Seq	SRX15161195	HDAC6_CTL_1	SRS12903212	CTL_1	Mus musculus	NextSeq 500	University of Freiburg	507,34	9238414	1385762100
SRP373735	ChIP-Seq	SRX15161196	HDAC6_CTL_1_2	SRS12903212	CTL_1	Mus musculus	Illumina NovaSeq 6000	University of Freiburg	669,74	24791755	2454383745
SRP373735	ChIP-Seq	SRX15161197	HDAC6_CTL_2	SRS12903214	CTL_2	Mus musculus	Illumina NovaSeq 6000	University of Freiburg	642,08	23637962	2340158238
SRP373735	ChIP-Seq	SRX15161182	Brd4_CTL_2	SRS12903214	CTL_2	Mus musculus	Illumina NovaSeq 6000	University of Freiburg	297,95	11120057	1134245814
SRP373735	ChIP-Seq	SRX15161181	Brd4_CTL_1_2	SRS12903212	CTL_1	Mus musculus	Illumina NovaSeq 6000	University of Freiburg	51,02	1690892	167398308
SRP373735	ChIP-Seq	SRX15161180	Brd4_CTL_1	SRS12903212	CTL_1	Mus musculus	Illumina NovaSeq 6000	University of Freiburg	879,67	33238160	3290577840
SRP373735	ATAC-Seq	SRX15161179	ATAC_CTL_2_2	SRS12903214	CTL_2	Mus musculus	Illumina HiSeq 3000	University of Freiburg	1228,42	26676371	4001455650
SRP373735	ATAC-Seq	SRX15161178	ATAC_CTL_2	SRS12903214	CTL_2	Mus musculus	Illumina HiSeq 3000	University of Freiburg	801,91	17161407	2574211050
SRP373735	ATAC-Seq	SRX15161177	ATAC_CTL_1_2	SRS12903212	CTL_1	Mus musculus	Illumina HiSeq 3000	University of Freiburg	962,93	21080244	3162036600
SRP373735	ATAC-Seq	SRX15161175	ATAC_CTL_1	SRS12903212	CTL_1	Mus musculus	Illumina HiSeq 3000	University of Freiburg	741,48	16117701	2417655150